QH
7
.G3X
NH

ISSN 0365-4389

ANNALI DEL MUSEO CIVICO

DI

STORIA NATURALE

"GIACOMO DORIA,,

PUBBLICATI PER CURA DI R. POGGI

SMITHSONIAN
FEB 17 2005
LIBRARIES

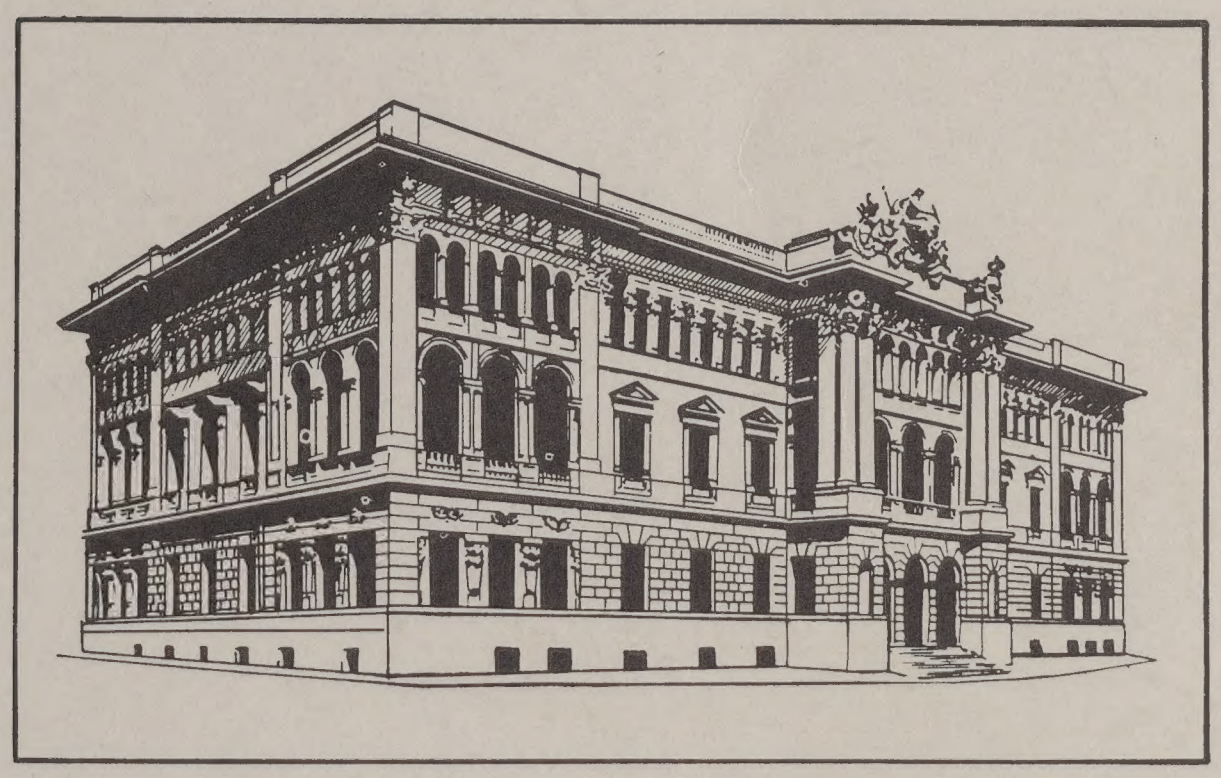

VOLUME XCV

GENOVA
ERREDI GRAFICHE EDITORIALI
2003-2004

MUSEO CIVICO DI STORIA NATURALE
« G. DORIA »
VIA BRIGATA LIGURIA, 9 - 16121 GENOVA

PERSONALE SCIENTIFICO

Direttore - Dott. Roberto Poggi
Conservatore - Dott. Giuliano Doria

CONSERVATORI ONORARI

Dr.ssa Gianna Arbocco - Zoologia
Dr.ssa Lilia Capocaccia - Zoologia
Prof. Mario Galli - Mineralogia
Prof. Salvatore Gentile - Botanica
Prof. Sandro Ruffo - Zoologia
Prof. Michele Sarà - Zoologia

Si vedano nella 3ª pagina di copertina le norme per gli Autori

ANNALI DEL MUSEO CIVICO
DI
STORIA NATURALE
"GIACOMO DORIA"

Volume XCV

ANNALI DEL MUSEO CIVICO

DI

STORIA NATURALE

"GIACOMO DORIA"

PUBBLICATI PER CURA DI R. POGGI

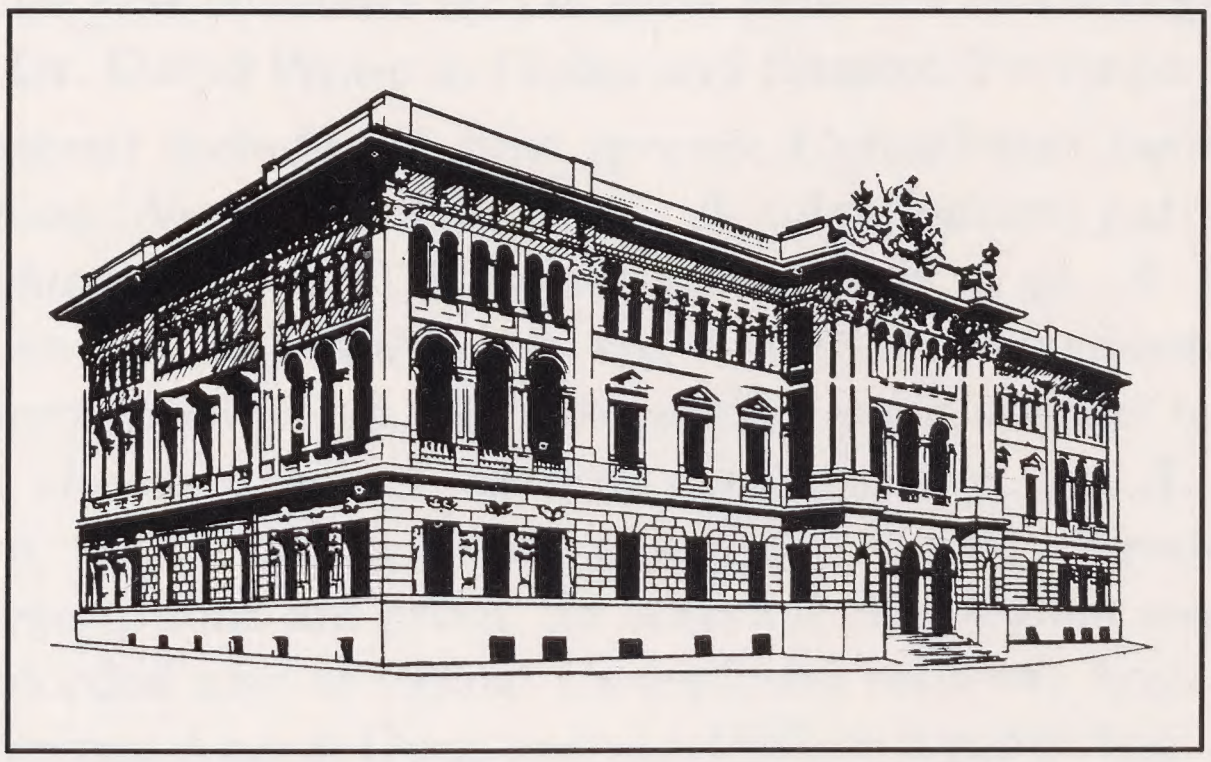

VOLUME XCV

GENOVA
ERREDI GRAFICHE EDITORIALI
2003-2004

FERNANDO ANGELINI (*) & JONATHAN COOTER (**)

NEW DATA AND SPECIES OF AGATHIDIINI (COLEOPTERA, LEIODIDAE) FROM CHINA

We refer in this paper about the study of 108 specimens of Agathidiini, belonging to 21 species, which were collected by Jonathan Cooter and Peter Hlaváč in China (Fujian and Jiangxi Provinces and Beijing region) during May and June 2001 and by Prof Zhou Hong-Zhang in China (Hubei Province) during July and August 1998. A further species was collected by Dr John Fellowes in Guangxi Province and by Dr. David Wrase in Hubei and Shaanxi Province.

The material includes 15 new species: *Cyrtoplastus fujianicus* n. sp., *Agathidium* (*Neoceble*) *zhoui* n. sp., *A.* (*Agathidium*) *patris* n. sp., *A.* (*A.*) *paralasti* n. sp., *A.* (*A.*) *huangganshanicum* n. sp., *A.* (*A.*) *jiuchongense* n. sp., *A.* (*A.*) *hubeicum* n. sp., *A.* (*A.*) *shennongjiaense* n. sp., *A.* (*A.*) *melancholicum* n. sp., *A.* (*Microceble*) *wuyishanicum* n. sp., *A.* (*Macroceble*) *hlavaci* n. sp., *A.* (*Macr.*) *dongnanense* n. sp., *A.* (*Macr.*) *penultimum* n. sp., *A.* (*Macr.*) *soror* n. sp., *A.* (*Macr.*) *ultimum* n. sp., for which descriptions are given. In addition *Agathidium mequignoni* Roubal is recorded new to China; *Cyrtoplastus chinensis* Ang. & Švec, *Agathidium inerme* Ang. & Dmz. and *Agathidium lugubre* Ang. & Dmz. new respectively to Hubei, Shaanxi and Jiangxi Province; a specimen thought to be *Agathidium emeicum* Ang. should be new to Jiangxi Province.

The specimens are deposited in the collection of the Institute of Zoology, Chinese Academy of Sciences, Beijing (Bj), in Cooter (CC) and in Angelini collections in Museo Civico di Storia Naturale "G.Doria", Genova (CA-MCSNG).

Jonathan Cooter (and on behalf of Peter Hlaváč) wishes to record sincere thanks to Professor Yang Xingke (Chinese Academy of Scien-

(*) S.S. 7 per Latiano, Km. 0.500 – 72021 Francavilla Fontana (Brindisi), Italy.
(**) 19 Mount Crescent - Hereford HR1 1NQ, England.

ces, Beijing) for organising the visit; to Ph. D. candidate Ge Si Qin for her companionship and unfailing energy in attending to the day logistics and occasional last minute revisions to the schedule; to the staff at Wuyi Shan Nature Reserve for arranging all the necessary permits and providing transport and finally to the staff at the Forestry Research Station, Xiaolongmen for a thoroughly enjoyable stay and for not telling them that they had infused snake gall bladders in the rice wine. Thanks also to Dr John Fellowes and Dr. David Wrase for generously presenting the Guangxi, Hubei and Shaanxi material. Jonathan Cooter's visit to China was supported by a Royal Society exagreement study grant.

Genus ***Cyrtoplastus*** Reitter, 1884

Cyrtoplastus chinensis Ang. & Švec

Cyrtoplastus chinensis Angelini & Švec, 1994, Acta Soc. zool. bohem., 58: 8; Angelini & Cooter, 1998, Entomologist's Gazette, 49: 134; 1999, Oriental Insects, 33: 224; Angelini, 2000, Annali Mus. civ. St. nat. "G. Doria", 93: 162.

Material: China, Beijing, Dongling Mts., Xiaolongmen, 1400 m, 39°97'N-115°43'E, Liu Lang Yu mixed forest litter, 15.VI.2001, leg. Cooter & Hlaváč, 1 ♂ and 2 ♀♀ in CC; Hubei Prov., Shennongjia Nat. Res., Guanmenshan, 23.VII.98, 1460 m, leg. H.-Z. Zhou, 1 ♀, in Bj.

Distribution: China (Sichuan, Beijing, Hubei). New record for Hubei.

Cyrtoplastus fujianus n. sp. (Figs. 1, 2)

Length 2.95-3.0 mm (holotype ♂ 3.0 mm). Dorsum of head and pronotum reddish-brown, elytra almost black, venter reddish-brown, mesosternum lighter; antennae testaceous with antennal segment 8-10 dark; legs reddish-brown. Microreticulation absent; puncturation double on head, single on pronotum, each elytron with 8 puntured striae. Sutural striae weak, confined to the apical 1/6 of elytron.

Head: microreticulation absent; punctures larger and clearly impressed, separated from each other by 0.5-1 times their own diameter, interposed punctures very small and sparse. Widest at the eyes;

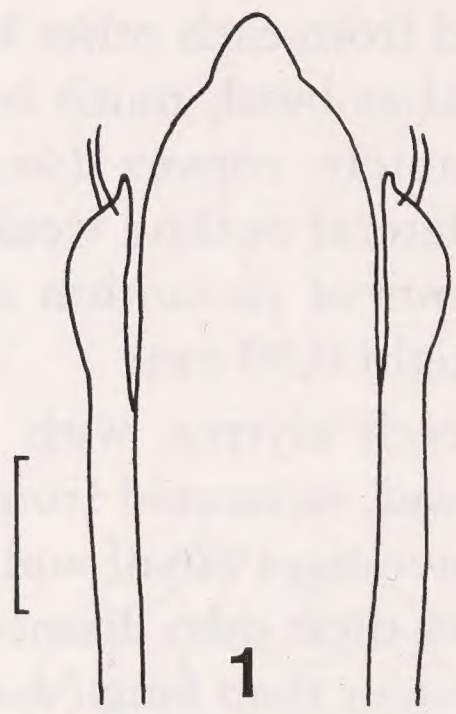

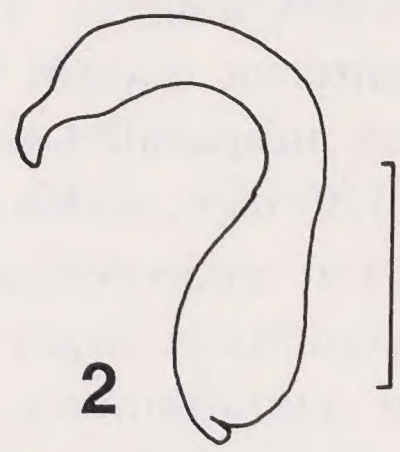

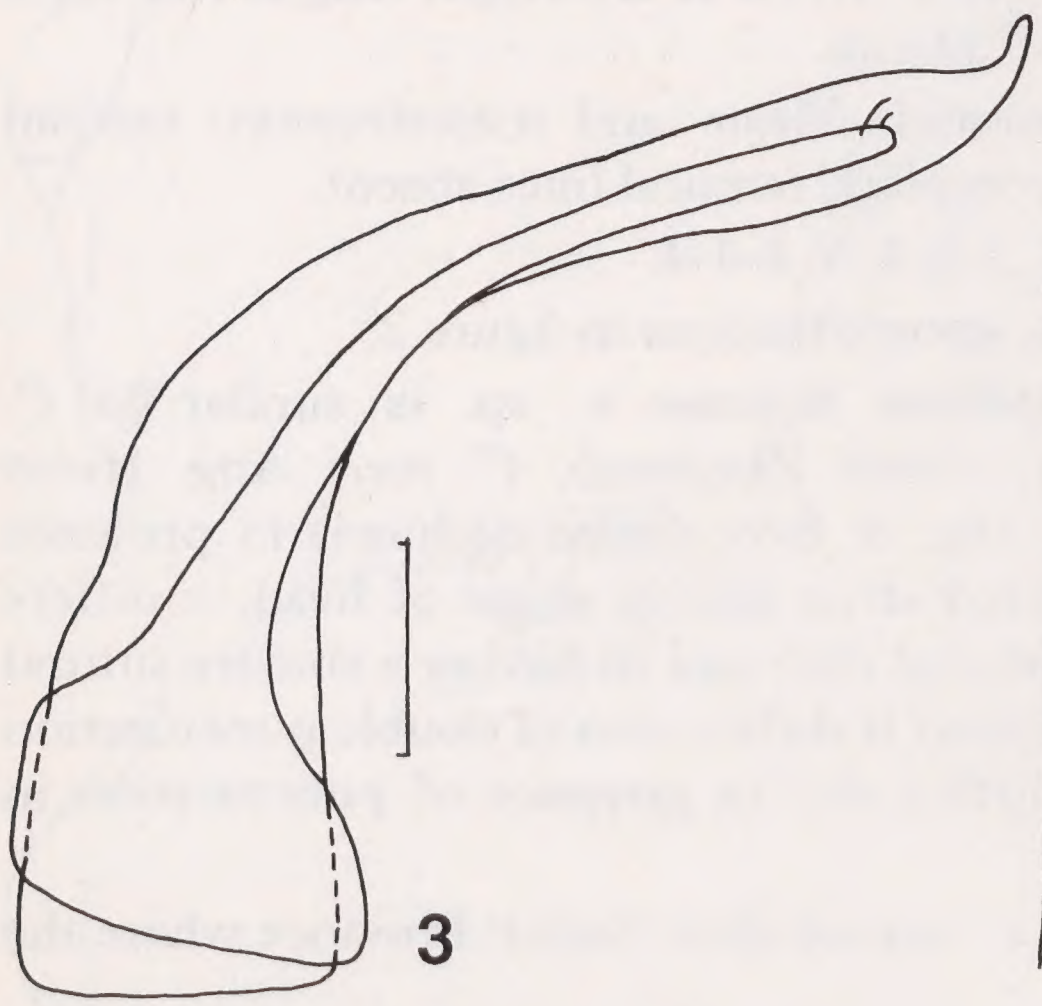

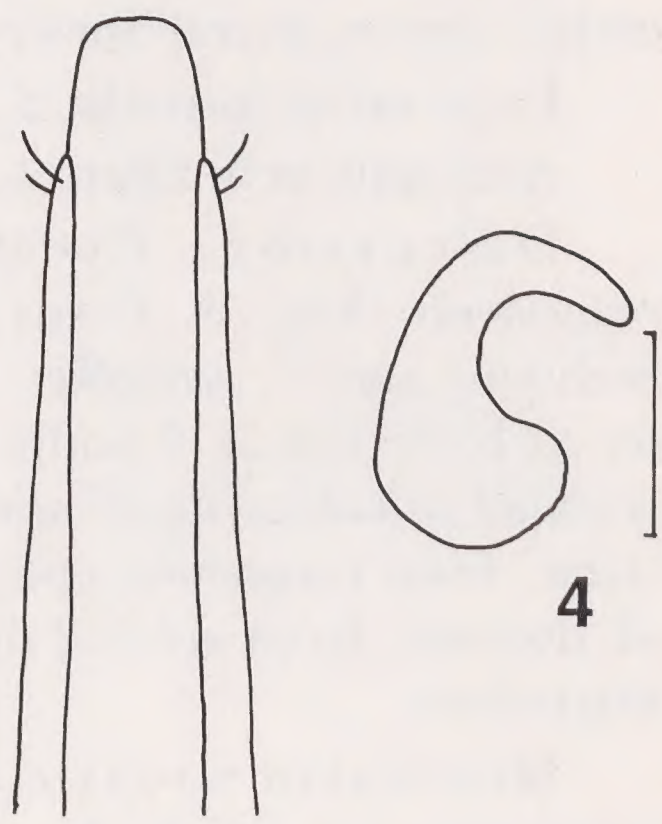

Figs. 1-4: Aedeagus (lateral and dorsal view) of: 1, *Cyrtoplastus fujianus* n. sp. (dorsal view); 3, *Agathidium* (*Neoceble*) *zhoui* n. sp. Spermatheca of: 2, *Cyrtoplastus fujianus* n. sp.; 4, *Agathidium* (*Neoceble*) *zhoui* n. sp.
Scale: 0,1 mm in all the figures of the paper.

eyes protuberant; antero-lateral margins uniformly raised; clypeus moderately narrow; clypeal line sharp. 3rd antennal segment 1.2 times longer than 2nd and longer than 4th + 5th together.

Pronotum: microreticulation absent; punctures smaller and more superficial than those of head, separated from each other by 2-3 times their own diameter; 1.61 times as broad as head, much broader than long (width/length= 1.81) and moderately convex (width/height= 1.61); anterior margin weakly curved; lateral outline weakly rounded and with subparallel sides. Measurements of pronotum of holotype: length 0.80 mm, width 1.45 mm and height 0.90 mm.

Elytra: microreticulation absent; each elytron with 8 puntured striae, punctures larger than those of head, separated from each other by their own diameter, punctures in interstices small and superficial, separated from each other by 2-10 times their own diameter. Slightly narrower than the pronotum, a little broader than long (width/length= 1.1) and very convex (width/height= 1.32); lateral outline with sharp humeral angle. Measurements of elytra of holotype: length 1.55 mm, width 1.72 mm and height 1.30 mm.

Metathoracic wings present. Meso- and metasternum: median carina absent, lateral lines complete, femoral lines absent.

Legs: tarsal formula: ♂ 5-5-4, ♀ 4-4-4.

Aedeagus as in figure 1; spermatheca as in figure 2.

Discussion: *Cyrtoplastus fujianus* n. sp. is similar to *C. rougemonti* Ang. & Cooter (from Zhejiang), *C. sveci* Ang. (from Sichuan) and *C. schuelkei* Ang. & Švec (from Sichuan) in presence on each elytron of 8 puntured striae and in shape of head; it differs from all in colouring of antennal club and in having a shorter sutural striae; from *rougemonti* and *sveci* it differs also in double puncturation of dorsum; from *sveci* it differs also in presence of puncturation in interstices.

Derivatio nominis: named after Fujian Province where the type series was collected.

Holotype ♂: China, Fujian Prov., Wuyi Shan N.R., ca. 1150 m, Qiliqiao-Guadun road, ca 5 Km from Qiliqiao, 27°75'N-117°64'E, 1.VI.2001, mixed forest litter, leg. Cooter & Hlaváč, in Bj.

Paratype: same data as holotype, ca. 1000 m, 8 Km along road to Masu, 6.VI.2001, *Rhododendron* dominant forest, leg. Cooter & Hlaváč, 1 ♀ in CC.

Distribution: China (Fujian).

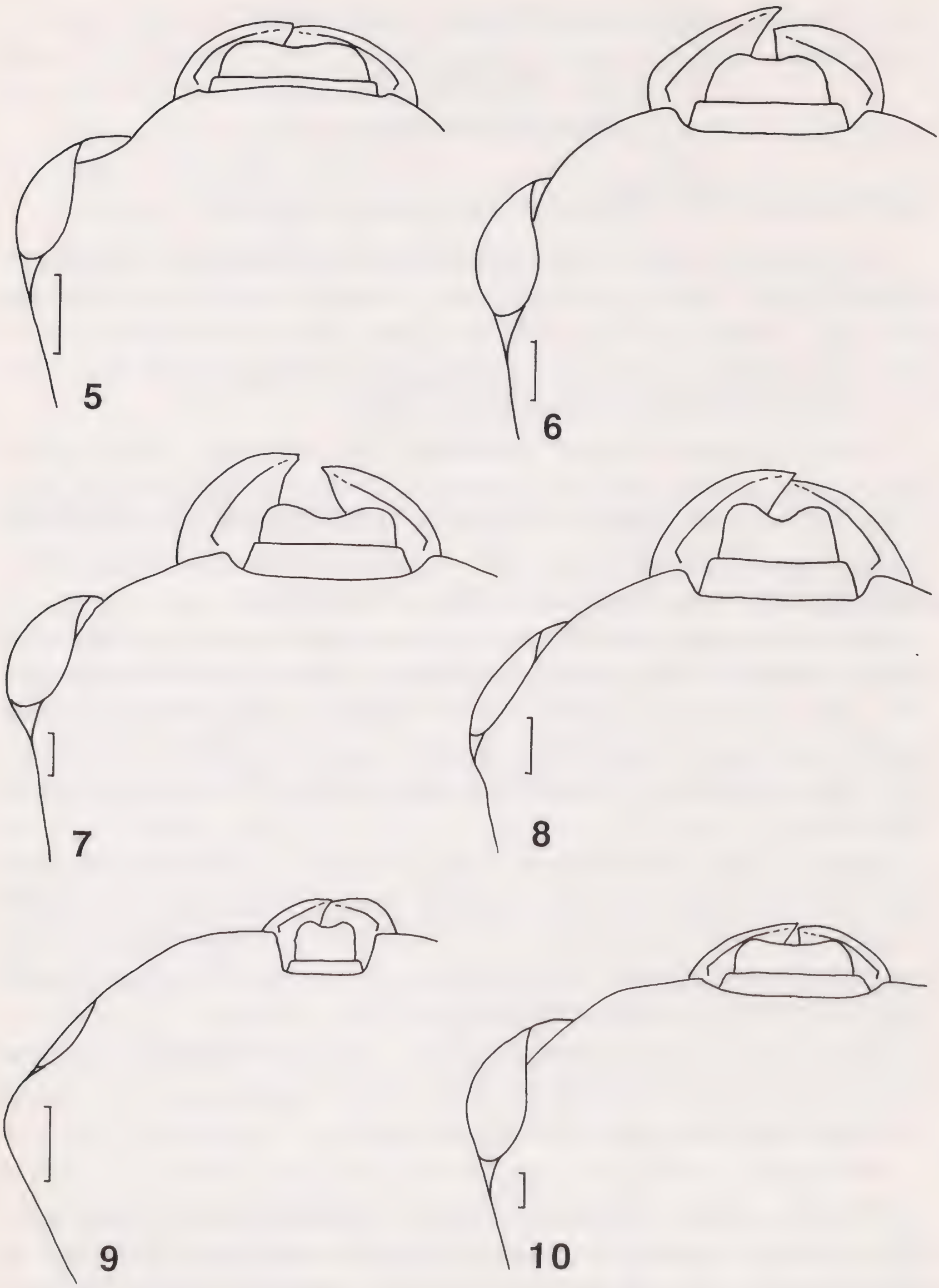

Figs. 5-10: Head (dorsal view) of: 5, *Agathidium* (*Neoceble*) *zhoui* n. sp.; 6, *A.* (*Agathidium*) *patris* n. sp.; 7, *A.* (*A.*) *paralasti* n. sp.; 8, *A.* (*A.*) *huangganshanicum* n. sp.; 9, *A.* (*A.*) *jiuchongense* n. sp.; 10, *A.* (*A.*) *hubeicum* n. sp.

Genus *Agathidium* Panzer, 1797

Subgenus *Neoceble* Gozis, 1886
marginatum group

Agathidium (Neoceble) zhoui n. sp. (Figs. 3-5)

Length 2.25-2.30 mm (holotype ♂ 2.25 mm). Dorsum uniformly reddish-brown, venter reddish-brown, mesosternum lighter; antennae uniformly testaceous; legs reddish-brown. Microreticulation superficial and uniform on whole dorsum; puncturation absent, only rare microscopic punctures. Sutural striae absent.

Head: microreticulation superficial and uniform; puncturation absent, only rare microscopic punctures. Widest at the eyes; eyes flattened (fig. 5); antero-lateral margins uniformly raised; clypeus weakly emarginate; clypeal line in traces. 3rd antennal segment 0.8 times longer than 2nd and shorter than 4th + 5th together.

Pronotum: microreticulation and puncturation as on head; 1.51 times as broad as head, moderately broader than long (width/length= 1.63) and moderately convex (width/height= 1.55); anterior margin weakly curved; lateral outline broadly rounded. Measurements of pronotum of holotype: length 0.65 mm, width 1.06 mm and height 0.68 mm.

Elytra: microreticulation and puncturation as on head. Slightly narrower than the pronotum, a little longer than broader (width/length= 0.92) and very convex (width/height= 1.42); lateral outline with sharp humeral angle. Measurements of elytra of holotype: length 1.08 mm, width 1.00 mm and height 0.70 mm.

Metathoracic wings absent. Meso- and metasternum: median carina absent, lateral lines absent, femoral lines absent.

Legs: tarsal formula: ♂ 5-5-4, ♀ 4-4-4.

Aedeagus as in figure 3; spermatheca as in figure 4.

Discussion: *Agathidium zhoui* n. sp. is similar to *A. tarokoense* Ang. & Dmz. (from Taiwan) and *A. nubile* Ang. (from Sichuan). It differs in colouring of antennal club, in presence of metathoracic wings, less length ratio pronotum/head; from *nubile* differs also in being smaller and lower length ratio 3rd/2nd antennal segments; from *tarokoense* differs also in male tarsal formula and in absence of puncturation on whole dorsum.

Derivatio nominis: after Professor Zhou Hong-Zhang, Deputy Director of the Institute of Zoology, Chinese Academy of Sciences, Beijing and collector of the type series.

Holotype ♂: China, Hubei Prov., Shennongjia Nat. Res., Shennongding, 9.VIII.98, 2700 m, leg. H.-Z. Zhou, in Bj.

Paratype: same data as holotype, 1 ♀ in CC.

Distribution: China (Hubei).

Subgenus ***Agathidium*** s. str. Panzer, 1797

madurense group

Agathidium (Agathidium) patris n. sp. (Figs. 6, 11, 12, 16)

Length 3.2-3.5 mm (holotype ♂ 3.4 mm). Dorsum dark reddish-brown or black with head reddish-brown, venter reddish-brown; antennae testaceous with antennal club black; legs reddish-brown. Microreticulation absent; puncturation fine and sparse on whole dorsum. Sutural striae absent.

Head: microreticulation absent; punctures moderately large, clearly impressed, separated from each other by 5-7 times their own diameter. Widest at the eyes; eyes weakly rounded (fig. 6); antero-lateral margins distinctly raised; clypeus weakly emarginate; clypeal line absent. 3rd antennal segment 1.2 times longer than 2nd and longer than 4th + 5th together.

Pronotum: microreticulation absent; punctures as those of head; 1.54 times as broad as head, moderately broader than long (width/length= 1.54) and moderately convex (width/height= 1.54); anterior margin weakly curved; lateral outline broadly rounded. Measurements of pronotum of holotype: length 1.10 mm, width 1.70 mm and height 1.10 mm.

Elytra: microreticulation absent, punctures larger than those on the head, impressed as on head, separated from each other by 6 times their own diameter. Slightly narrower than the pronotum, a little broader than long (width/length= 1.03) and moderately convex (width/height= 1.83); lateral outline with humeral angle very broadly rounded. Measurements of elytra of holotype: length 1.60 mm, width 1.65 mm and height 0.90 mm.

Metathoracic wings present. Meso- and metasternum: median carina sharp, lateral lines absent, femoral lines short, limited at middle of metasternum, a small tubercle present between the metacoxae.

Legs: male hind femora rounded at the posterior margin (fig. 16); tarsal formula: ♂ 5-5-4, ♀ 5-4-4.

Aedeagus as in figure 11; spermatheca as in figure 12.

Discussion: *Agathidium patris* n. sp. is similar to *A. nefandum* Ang. (from Sumatra) and *A. plumbeum* Ang. (from Nepal) in colouring of antennal club; it differs in being of greater length. The three species present very different distribution.

Derivatio nominis: named in memory of John Edward Cooter (2.2.1913 – 26.4.2001), the junior author's father, whose influence and encouragement fired JC's interest in entomology. He was a loving and supportive father always interested to hear of his son's travels and see the beetles collected; he will be greatly missed.

Holotype ♂: China, Fujian Prov., Wuyi Shan N.R., ca. 1200 m, Qiliqiao-Guadun road, ca. 5 Km from Qiliqiao, 27°75'N-117°64'E, 1.VI.2001, mixed forest litter, leg. Cooter & Hlaváč, in Bj.

Paratypes: same data as holotype, 5 ♂♂ and 12 ♀♀ in Bj, CC and CA-MCSNG.

Distribution: China (Fujian).

Agathidium (Agathidium) paralasti n. sp. (Figs. 7,13,14,17)

Length 4.55-4.6 mm (holotype ♂ 4.55 mm). Dorsum dark reddish-brown or black, venter reddish-brown, mesosternum lighter; antennae uniformly testaceous; legs reddish-brown. Microreticulation almost entirely absent, only present in vague traces on elytra; puncturation fine and sparse on whole dorsum. Sutural striae absent.

Head: microreticulation absent; punctures very small, superficial, separated from each other by 5-10 times their own diameter. Widest at the eyes; eyes flattened (fig. 7); antero-lateral margins distinctly raised up; clypeus weakly emarginate; clypeal line absent. 3rd antennal segment 1.2 times longer than 2nd and shorter than 4th + 5th together.

Pronotum: microreticulation absent; punctures smaller and more superficial than those on the head, separated from each other by 5-10 times their own diameter; 1.4 times as broad as head, weakly broader

than long (width/length= 1.34) and very convex (width/height= 1.4); anterior margin moderately curved; lateral outline broadly rounded. Measurements of pronotum of holotype: length 1.60 mm, width 2.15 mm and height 1.50 mm.

Elytra: microreticulation present in vague traces, punctures larger than those on the head, superficial, separated from each other by 5-10 times their own diameter. Slightly narrower than the pronotum, as broad as long and weakly convex (width/height= 2); lateral outline with humeral angle very broadly rounded. Measurements of elytra of holotype: length 2.00 mm, width 2.00 mm and height 1.00 mm.

Metathoracic wings absent. Meso- and metasternum: median carina sharp, lateral lines absent, femoral lines almost complete, rounded between the metacoxae.

Legs: male hind femora with a sharp tooth at posterior margin (fig. 17); tarsal formula: ♂ 5-5-4, ♀ 5-4-4.

Aedeagus as in figure 13; spermatheca as in figure 14.

Discussion: *Agathidium paralasti* n. sp. is similar to *A. lasti* Ang. & Cooter (from Zhejiang); it differs in length ratio 3rd/2nd and in greater length size.

Derivatio nominis: for its similarity to *Agathidium lasti* Ang. & Cooter, from Zhejiang Province.

Holotype ♂: China, Fujian Prov., Wuyi Shan N.R., ca. 1200 m, Qiliqiao-Guadun road, ca. 5 Km from Qiliqiao, 27°75'N-117°64'E, 1.VI.2001, mixed forest litter, leg. Cooter & Hlaváč, in Bj.

Paratypes: same data as holotype, 1 ♂ and 1 ♀ in CC.

Distribution: China (Fujian).

seminulum group

Agathidium (Agathidium) mequignoni Roubal

Agathidium (Agathidium) mequignoni Roubal, 1911, Cas. Ces. Spol. Ent., 8: 49; Hlisnikovsky, 1964, Acta ent. Mus. nat. Pragae, supp. 5: 221; Angelini, 1995, Mus. reg. Sci. nat. Torino, Monografie, 18: 278 ; 2001, Annali Mus. civ. St. nat. "G. Doria", 94: 353; Angelini & De Marzo, 1998a, Revue suisse Zool., 105 (1): 133; Angelini & Cooter, 1999, Oriental Insects, 33: 227.

Material: China, Beijing, Dongling Mts., Xiaolongmen, 1400 m, 39°97'N-115°43'E, Lao Pao Gou, mixed forest litter, 17.VI.2001, 1 ♂, leg. Cooter & Hlaváč, in CC; same data but Liu Lang Yu, under fungoid conifer bark, 15.VI.2001, 3 ♀♀ in CC; same data but under fungoid *Juglans* bark, 15.VI.2001, 2 ♀♀ in Bj; same data but bracket fungus, 15.VI.2001, 1 ♀ in CA-MCSNG; same data but mixed forest litter, 15.VI.2001, 1 ♀ in CA-MCSNG.

Distribution: Caucasus, Turkey, North Iran, Kirgizstan, Sibiria, Korea, China (Beijing), Taiwan. New record for China.

laevigatum group

Agathidium (Agathidium) huangganshanicum n. sp. (Figs. 8, 15, 18)

Length 3.3 mm (holotype and paratype). Dorsum and venter reddish-brown; antennae uniformly testaceous; legs reddish-brown. Microreticulation superficial and uniform on elytra; puncturation fine and sparse on head and pronotum, absent on elytra. Sutural striae absent.

Head: microreticulation absent; punctures small and superficial, separated from each other by 3-8 times their own diameter. Widest at posterior margin of the eyes; eyes flattened (fig. 8); antero-lateral margins uniformly raised; clypeus moderately emarginate; clypeal line absent. 3rd antennal segment 1.6 times longer than 2nd and longer than 4th + 5th together.

Pronotum: microreticulation absent; punctures as those of head; 1.36 times as broad as head, moderately broader than long (width/length= 1.45) and very convex (width/height= 1.45); anterior margin weakly curved; lateral outline broadly rounded. Measurements of pronotum of holotype: length 1.10 mm, width 1.60 mm and height 1.10 mm.

Elytra: microreticulation superficial and uniform, puncturation absent. As broad as pronotum, a little broader than long (width/length= 1.06) and less convex (width/height= 1.88); lateral outline with humeral angle very broadly rounded. Measurements of elytra of holotype: length 1.50 mm, width 1.60 mm and height 0.85 mm.

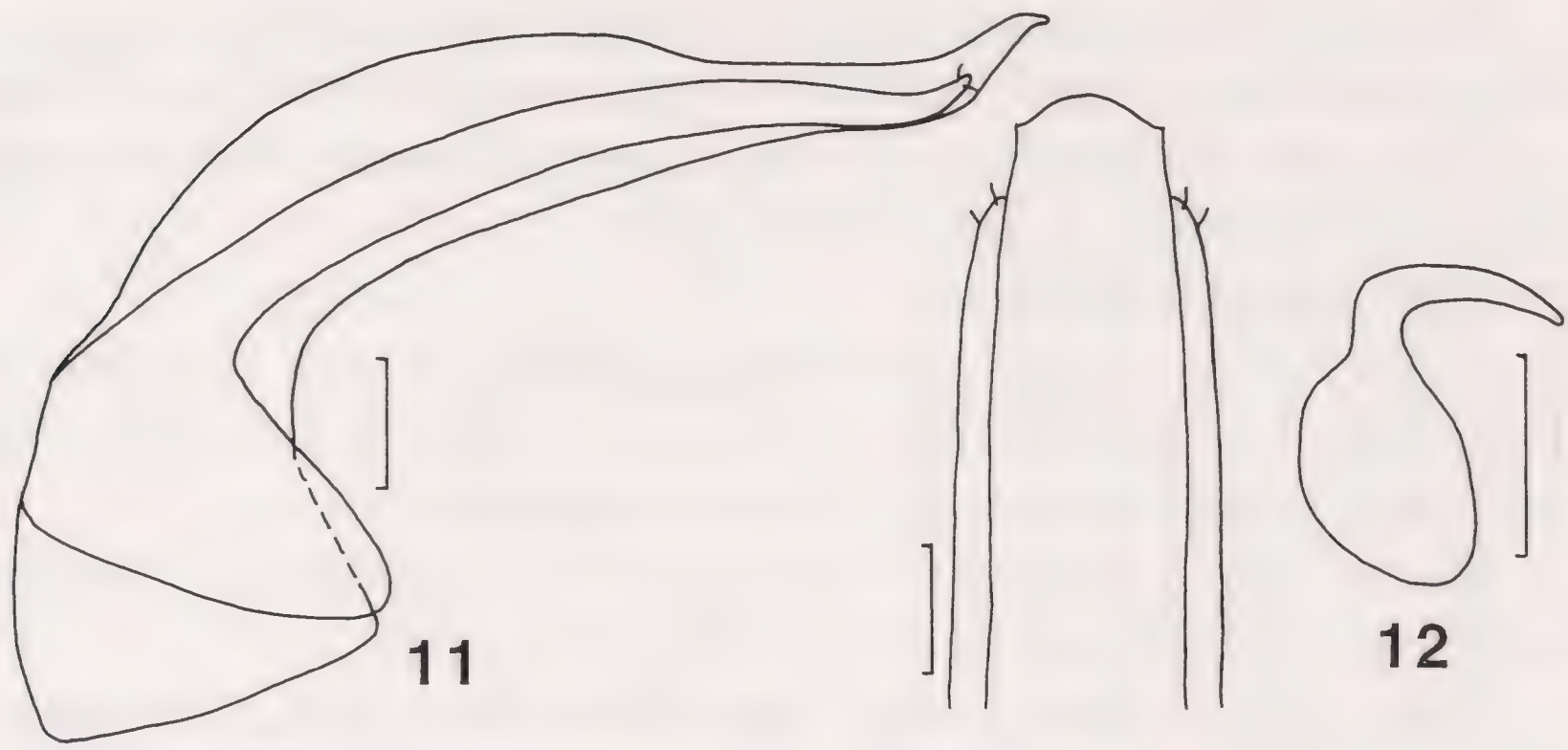

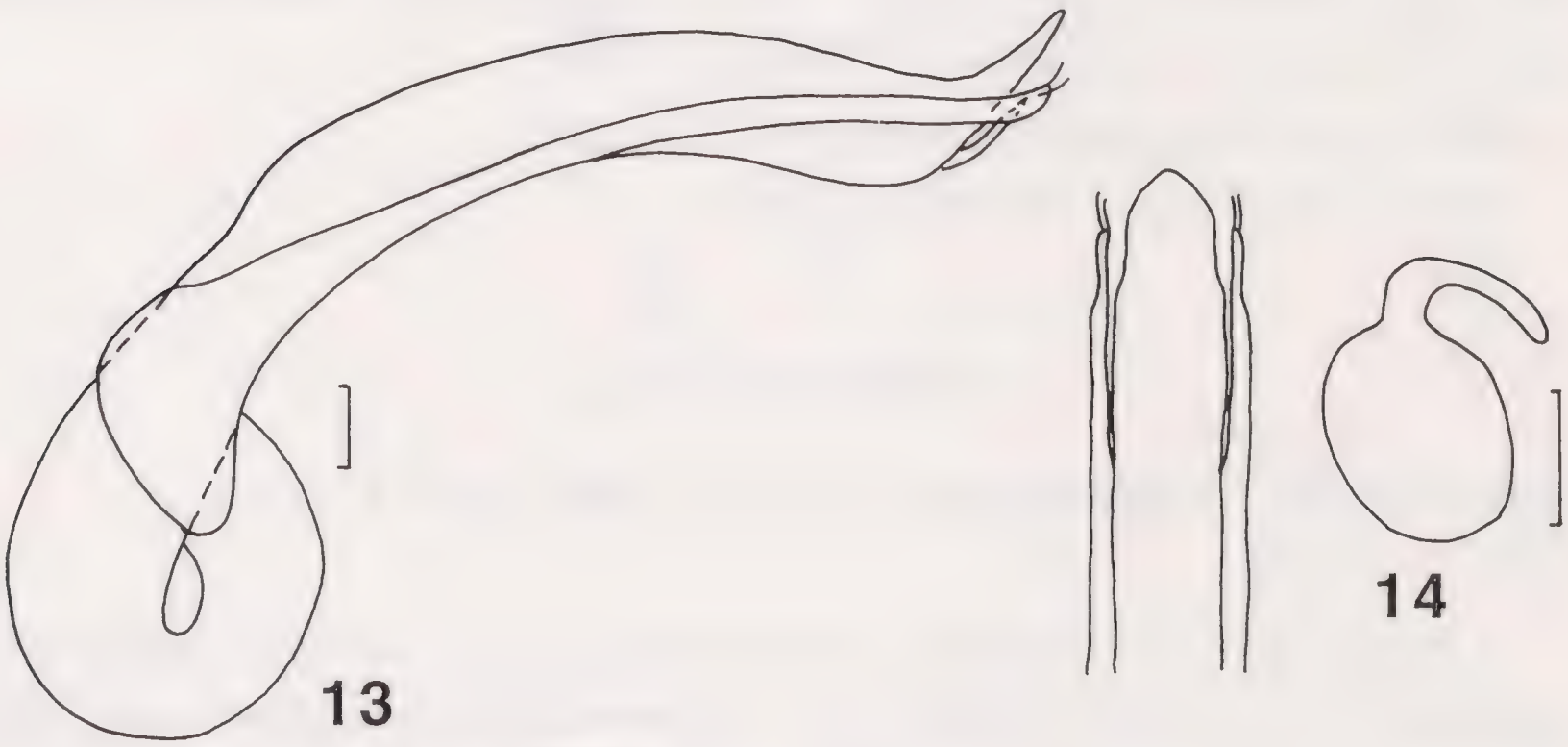

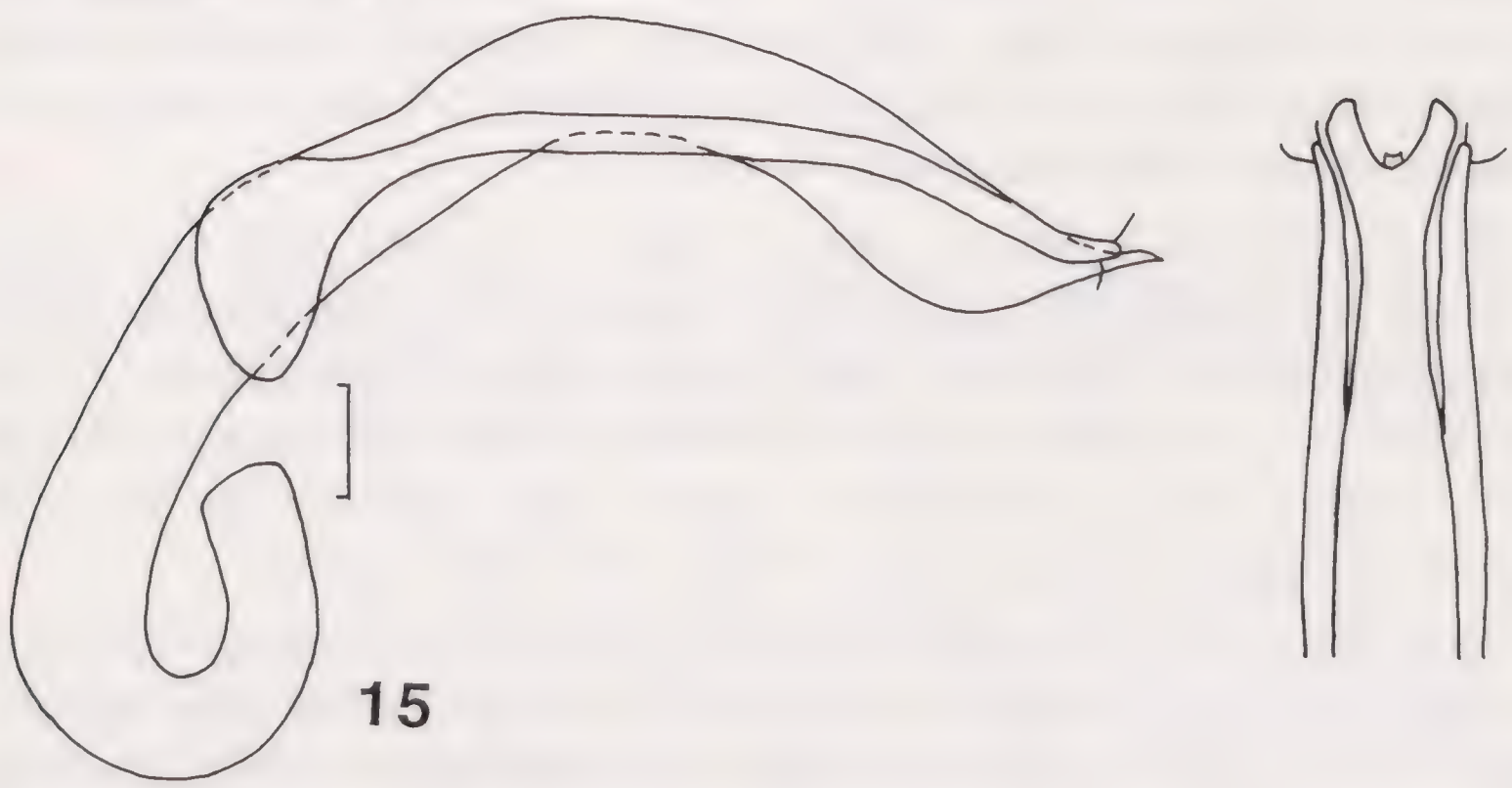

Figs. 11-15: Aedeagus (lateral and dorsal view) of: 11, *Agathidium* (*Agathidium*) *patris* n. sp.; 13, *A.* (*A.*) *paralasti* n. sp.; 15, *A.* (*A.*) *huangganshanicum* n. sp. Spermatheca of: 12, *A.* (*A.*) *patris* n. sp.; 14, *A.* (*A.*) *paralasti* n. sp.

Metathoracic wings absent. Meso- and metasternum: median carina sharp, lateral lines absent, femoral lines complete, rounded at middle.

Legs: male hind femora with sharp tooth at posterior margin (fig. 18); tarsal formula: ♂ 5-5-4, ♀ unknown.

Aedeagus as in figure 15.

Discussion: *Agathidium huangganshanicum* n. sp. is similar to *A. rufescens* Ang. & Dmz. (from Sichuan); it differs in less length ratio 3rd/2nd antennal segments and in less length size.

Derivatio nominis: named after Huangganshan, the type locality and highest point (2150 m) in the Wuyi Shan.

Holotype ♂: China, Jiangxi Prov., Wuyi Shan N.R., Huanggan-shan, ca. 2000 m, 5.VI.2001, 27°84'N-117°76'E, conifer-bamboo broad-leaf litter, leg. Cooter & Hlaváč, in Bj.

Paratype: same data as holotype, 1 ♂ in CC.

Distribution: China (Jiangxi).

dentatum group

Agathidium (Agathidium) jiuchongense n. sp.
(Figs. 9, 19, 23)

Length 2.5 mm (holotype ♂ and paratype). Dorsum uniformly reddish-brown, venter reddish-brown, mesosternum lighter; antennae uniformly testaceous; legs reddish-brown. Microreticulation absent, present only in traces on head and elytra; puncturation fine and sparse on whole dorsum. Sutural striae absent.

Head: microreticulation almost absent, present only in traces; punctures very small and superficial, separated from each other by 2-10 times their own diameter. Head widest behind eyes, temple 1/2 as long as the eye; eyes flattened (fig. 9); antero-lateral margins uniformly raised; clypeus very emarginate; clypeal line absent. 3rd antennal segment as long as 2nd and shorter than 4th + 5th together.

Pronotum: microreticulation absent; puncturation as that of head; 1.2 times as broad as head, moderately broader than long (width/length= 1.47) and moderately convex (width/height= 1.54); anterior margin weakly curved; lateral outline broadly rounded. Measurements of pronotum of holotype: length 0.73 mm, width 1.08 mm and height 0.70 mm.

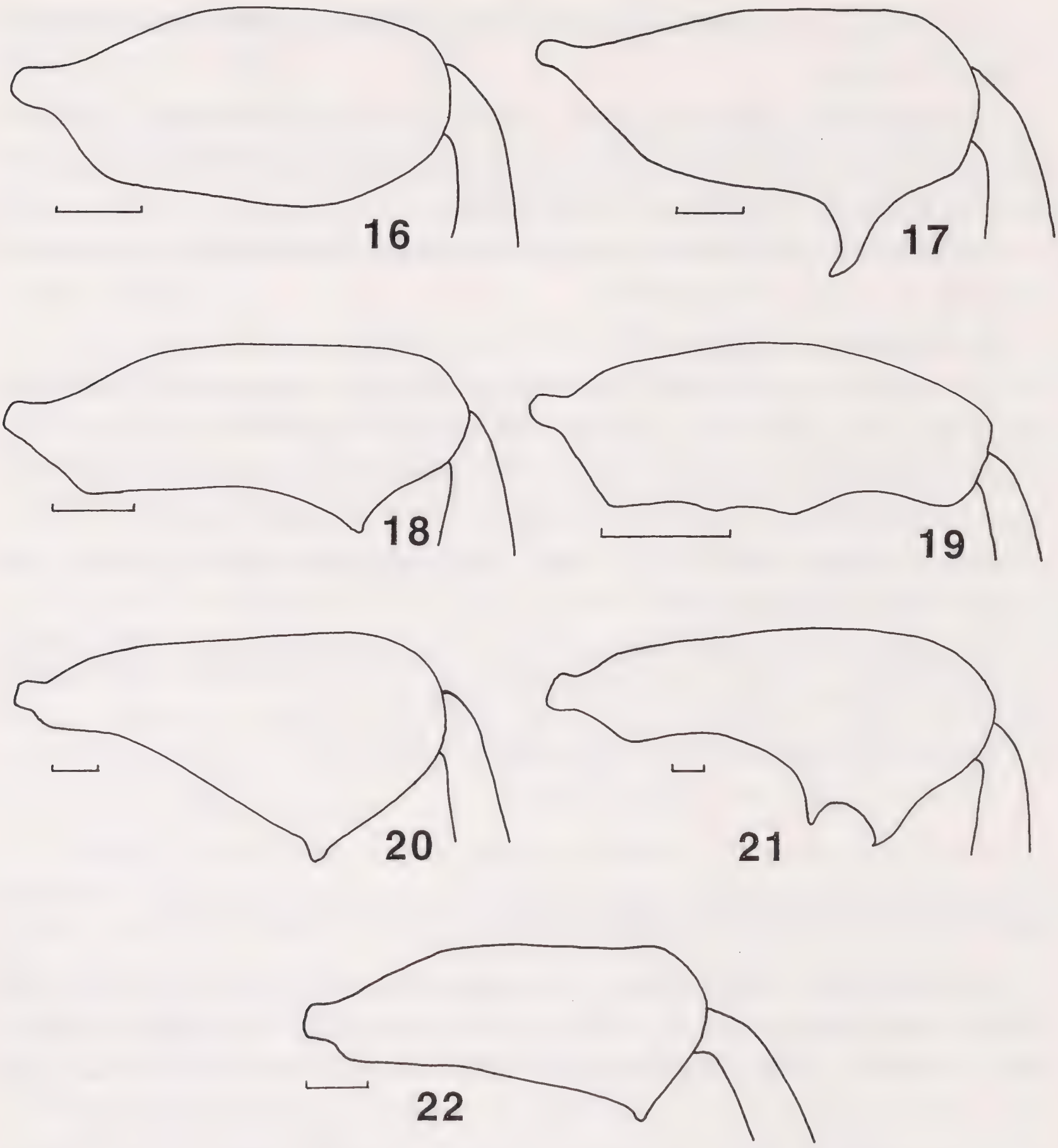

Figs. 16-22: Male hind femora of: 16, *Agathidium* (*Agathidium*) *patris* n. sp.; 17, *A.* (*A.*) *paralasti* n. sp.; 18, *A.* (*A.*) *huangganshanicum* n. sp.; 19, *A.* (*A.*) *jiuchongense* n. sp.; 20, *A.* (*A.*) *hubeicum* n. sp.; 21, *A.* (*A.*) *shennongjiaense* n. sp.; 22, *A.* (*A.*) *melancholicum* n. sp.

Elytra: microreticulation almost absent, present only in traces; puncturation greater and more evidently impressed than that on the head, punctures separated from each other by 5-10 times their own diameter. Slightly narrower than the pronotum, much broader than long (width/length= 0.83) and moderately convex (width/height= 1.61); lateral outline with humeral angle very broadly rounded. Mea-

surements of elytra of holotype: length 1.20 mm, width 1.00 mm and height 0.62 mm.

Metathoracic wings absent. Meso- and metasternum: median carina weakly, lateral lines absent, femoral lines incomplete, a weak tubercle present between the metacoxae.

Legs: male hind femora curved at posterior margin (fig. 19); tarsal formula: ♂ 5-5-4, ♀ unknown.

Aedeagus as in figure 23.

Discussion: *Agathidium jiuchongense* n. sp. is similar to *A. tianmuense* Ang. & Cooter (from Zhejiang); it differs in larger size, lesser length ratio 3rd/2nd antennal segments, presence of traces of microreticulation on head and in shape of male hind femora.

Derivatio nominis: after Jiuchong, the locality where the species was first collected.

Holotype ♂: China, Hubei Prov., Shennongjia Nat. Res., Jiuchong, 19.VII.98, 900 m, leg. H.-Z. Zhou, in Bj.

Paratype: same data as holotype, 1 ♂, in CC.

Distribution: China (Hubei).

Agathidium (Agathidium) brunneipenne Ang. & Dmz.

Agathidium (Agathidium) brunneipenne Angelini & De Marzo, 1998b, Revue suisse Zool., 105 (2): 363; Angelini, 1999, Revue suisse Zool., 106 (4): 918; 2000, Annali Mus. civ. St. nat. "G. Doria", 93: 138, 164; Angelini & Cooter, 1999, Oriental Insects, 33: 193, 229.

Material: China, Hubei Prov., Shennongjia Nat. Res., Jiuchong,19.VII.98, 900 m, leg. H-Z. Zhou, 3 ♂♂ and 4 ♀♀, in Bj; same data, 875 m, 1 ♂ and 4 ♀♀, in CC and CA-MCSNG; same data, 870 m, 1 ♂, in CC; same data, Guanmenshan, 30.VII.98, 1720 m, 2 ♀♀, in Bj; same data, 23.VII.98, 1240 m, 3 ♀♀, in Bj; same data, Jiuhuping , 4.VII.1998, 1870 m, leg. Jun-jian He, 1 ♀, in Bj; Shaanxi Prov., border Shaanxi-Sichuan Provs., Daba Shan, pass 20 Km SSE Zhenping, 1700-1800 m, 31°44'N-109°35'E, 9-12.VII.2001, small creek vall./young dry mixed forest, leaf-litter, moss-sifted, leg. Wrase, 1 ♂ and 1 ♀ in CC.

Distribution: China (Hubei, Sichuan, Shaanxi).

Agathidium (Agathidium) h u b e i c u m n. sp.
(Figs. 10, 20, 24)

Length 5.7 mm (holotype ♂). Dorsum uniformly black, venter reddish-brown, mesosternum lighter; antennae uniformly testaceous; legs reddish-brown. Microreticulation absent, present only in traces on elytra; puncturation fine and sparse on whole dorsum. Sutural striae absent.

Head: microreticulation absent; punctures small and superficial, separated from each other by 6-8 times their own diameter. Widest at the eyes; eyes flattened (fig. 10); antero-lateral margins uniformly raised; clypeus weakly emarginate; clypeal line absent. 3rd antennal segment 2 times longer than 2nd and than 4th + 5th together.

Pronotum: microreticulation absent; punctures smaller and more superficial than those on the head, separated from each other by 8-10 times their own diameter; 1.33 times as broad as head, less broader than long (width/length= 1.33) and moderately convex (width/height= 1.57); anterior margin very curved; lateral outline broadly rounded. Measurements of pronotum of holotype: length 2.10 mm, width 2.60 mm and height 1.65 mm.

Elytra: microreticulation almost absent, present only in traces; puncturation microscopic and little visible, punctures separated from each other by 2-15 times their own diameter. Slightly narrower than the pronotum, broader than long (width/length= 1) and weakly convex (width/height= 2.08); lateral outline with humeral angle very broadly rounded. Measurements of elytra of holotype: length 2.40 mm, width 2.40 mm and height 1.15 mm.

Metathoracic wings absent. Meso- and metasternum: median carina weakly, lateral lines absent, femoral lines almost complete, rounded at middle.

Legs: male hind femora with sharp tooth at posterior margin (fig. 20); tarsal formula: ♂ 5-5-4, ♀ unknown.

Aedeagus as in figure 24.

D i s c u s s i o n: *Agathidium hubeicum* n. sp. is similar to *A. inerme* Ang. & Dmz. (from Hubei); it differs in less length ratio 3rd/2nd antennal segments and pronotum/head, and in shape of aedeagus in dorsal and lateral view.

D e r i v a t i o n o m i n i s: after Hubei, the Province where the species was first collected.

Holotype ♂: China, Hubei Prov., Shennongjia Nat. Res., Guanmenshan, 23.VII.98, 1240 m, leg. H.-Z. Zhou, in Bj.

Distribution: China (Hubei).

Agathidium (Agathidium) inerme Ang. & Dmz.

Agathidium (Agathidium) inerme Angelini & De Marzo, 1998b, Revue suisse Zool., 105 (2): 365; Angelini & Cooter, 1999, Oriental Insects, 33: 193, 229; Angelini, 2000, Annali Mus. civ. St. nat. "G. Doria", 93: 164.

Material: China, Hubei Prov., Shennongjia Nat. Res., Pingqian area, 1-8.VIII.98, 1610 m, leg. H.-Z. Zhou, 2 ♂♂ and 1 ♀, in Bj and CC; Shaanxi Prov., border Shaanxi-Sichuan Provs., Daba Shan, pass 20 Km SSE Zhenping, 1700-1800 m, 31°44'N-109°35'E, 9-12.VII.2001, small creek vall./young dry mixed forest, leaf-litter, moss-sifted, leg. Wrase, 1 ♂ in CC.

Distribution: China (Hubei).

Agathidium (Agathidium) shennongjiaense n. sp. (Figs. 21, 25-27)

Length 4.55-4.80 mm (holotype ♂ 4.55 mm). Dorsum uniformly black, venter reddish-brown, mesosternum lighter; antennae uniformly testaceous; legs reddish-brown. Microreticulation absent; puncturation fine and sparse on whole dorsum. Sutural striae absent.

Head: microreticulation absent; punctures very small and superficial, separated from each other by 5-12 times their own diameter. Widest at the eyes; eyes flattened (fig. 27); antero-lateral margins uniformly raised; clypeus weakly emarginate; clypeal line absent. 3rd antennal segment twice as long as 2nd and longer than 4th + 5th together.

Pronotum: microreticulation absent; puncturation as that of head; 1.36 times as broad as head, longer than broad (width/length= 1.23) and moderately convex (width/height= 1.53); anterior margin very curved; lateral outline broadly rounded. Measurements of pronotum of holotype: length 1.62 mm, width 2.00 mm and height 1.30 mm.

Elytra: microreticulation absent, puncturation as that of head, hardly visible. As broad as pronotum, a little broader than long

(width/length= 1.02) and less convex (width/height= 2); lateral outline with humeral angle very broadly rounded. Measurements of elytra of holotype: length 1.95 mm, width 2.00 mm and height 1.00 mm.

Metathoracic wings absent. Meso- and metasternum: median carina weakly, lateral lines incomplete, femoral lines incomplete, rounded at middle.

Legs: male hind femora with two sharp tooth at posterior margin (fig. 21); tarsal formula: ♂ 5-5-4, ♀ 5-4-4.

Aedeagus as in figure 25; spermatheca as in figure 26.

Discussion: *Agathidium shennongjiaense* n. sp. is similar to *A. grandicolle* Ang. (from Sichuan); it differs in lesser length ratio pronotum/head, in absence of metathoracic wings, in shape of male hind femora, with two sharp teeth at posterior margin, and in shape of the aedeagus in lateral view.

Derivatio nominis: after Shennongjia Nature Reserve where the species was collected.

Holotype ♂: China, Hubei Prov., Shennongjia nat. res., Xiaolongtan, 27.VII-9.VIII.98, 2180 m, leg. H.-Z. Zhou, in Bj.

Paratypes: same data as holotype, 1 ♀ in CA-MCSNG; same data, Jiuchong, 18.VII.98, 1240 m, leg. H.-Z. Zhou, 1 ♀, in CC; same data, 19.VII.98, 875 m, 1 ♀, in Bj; W Hubei Prov., Daba Shan, creek valley 11 Km NW Muyuping, 31°30'N-110°22'E, 1960 m, 18.VII.2001, creek valley, mixed deciduous forest, moss, leaves sifted, leg. Wrase, 1 ♂ in CC.

Distribution: China (Hubei).

Agathidium (Agathidium) melancholicum n. sp.
(Figs. 22, 28, 31)

Length 3.8 mm (holotype ♂). Dorsum uniformly reddish-brown, venter reddish-brown, mesosternum lighter; antennae uniformly testaceous; legs reddish-brown. Microreticulation absent; punctuation fine and sparse on whole dorsum. Sutural striae absent.

Head: microreticulation absent; punctures small and superficial, separated from each other by 5-10 times their own diameter. Widest at the eyes; eyes flattened (fig. 28); antero-lateral margins uniformly raised; clypeus moderately emarginate; clypeal line superficial. 3rd antennal segment 1.9 times longer than 2nd and than 4th + 5th together.

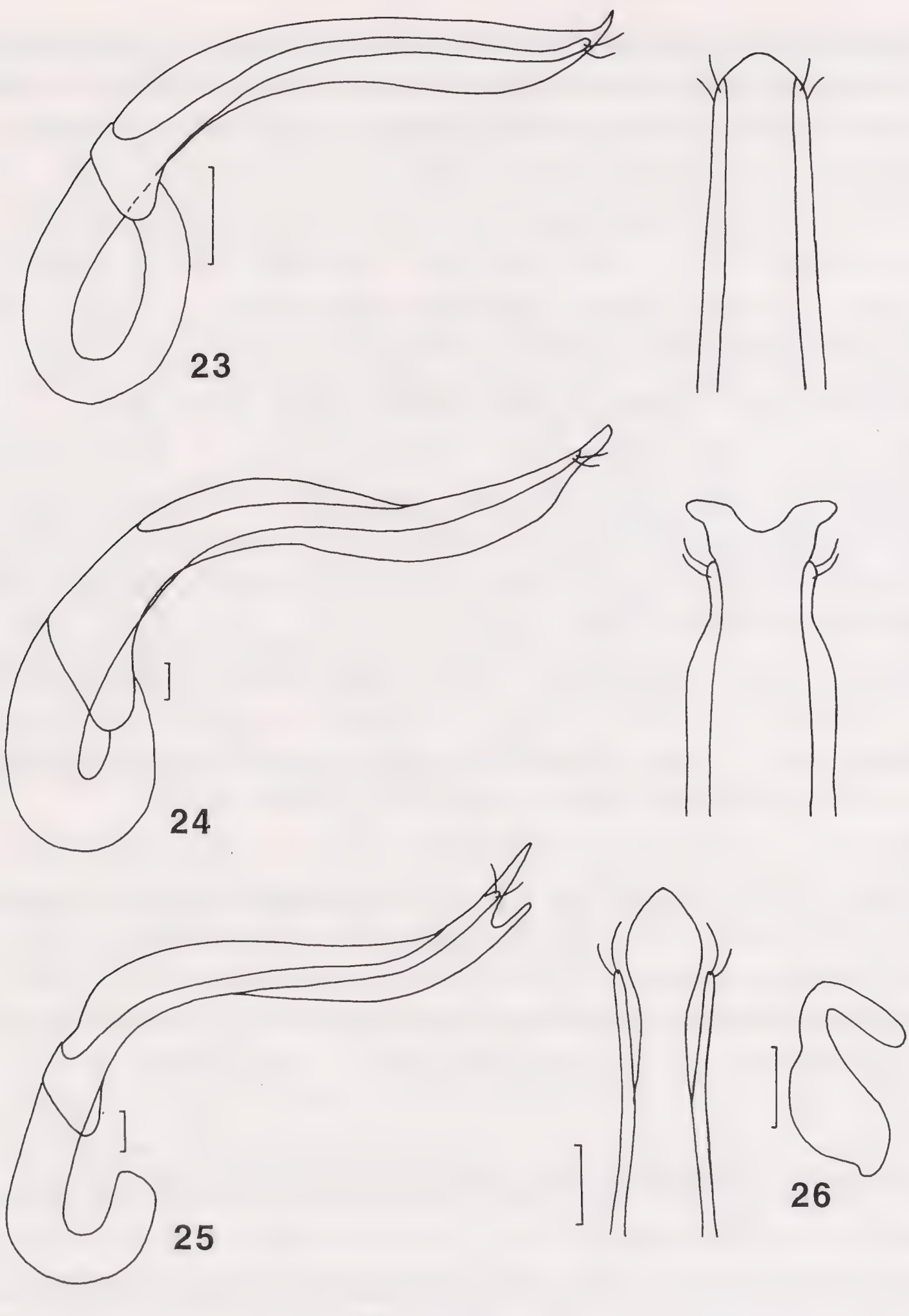

Figs. 23-26: Aedeagus (lateral and dorsal view) of: 23, *Agathidium* (*Agathidium*) *jiuchongense* n. sp.; 24, *A.* (*A.*) *hubeicum* n. sp.; 25, *A.* (*A.*) *shennongjiaense* n. sp.. Spermatheca of: 26, *A.* (*A.*) *shennongjiaense* n. sp.

Pronotum: microreticulation absent; puncturation as that of head; 1.4 times as broad as head, longer than broad (width/length= 1.34) and very convex (width/height= 1.48); anterior margin very curved; lateral outline broadly rounded. Measurements of pronotum of holotype: length 1.30 mm, width 1.75 mm and height 1.18 mm.

Elytra: microreticulation absent, puncturation as that of head, punctures separated from each other by 2-10 times their own diameter. Slightly narrower than the pronotum, a little broader than long (width/length= 1.03) and moderately convex (width/height= 1.77); lateral outline with humeral angle very broadly rounded. Measurements of elytra of holotype: length 1.65 mm, width 1.70 mm and height 0.96 mm.

Metathoracic wings absent. Meso- and metasternum: median carina sharp, lateral lines complete, femoral lines complete, rounded at middle.

Legs: male hind femora with sharp tooth at posterior margin (fig. 22); tarsal formula: ♂ 5-5-4, ♀ unknown.

Aedeagus as in figure 31.

Discussion: *Agathidium melancholicum* n. sp. is similar to *A. hani* Ang. (from Sichuan) and *A. lugubre* Ang.& Dmz. (from Guangxi and Sichuan); it differs in presence of clypeal line. *A. melancholicum* n. sp. is the only species from China of the *dentatum* group with clypeal line.

Holotype ♂: China, Hubei Prov., Shennongjia Nat. Res., Shennongding, 9.VIII.98, 2700 m, leg. H.-Z. Zhou, in Bj.

Distribution: China (Hubei).

Agathidium (Agathidium) lugubre Ang. & Dmz.

Agathidium (Agathidium) lugubre Angelini & De Marzo, 1998b, Revue suisse Zool., 105 (2): 365; Angelini, 1999, Revue suisse Zool, 106 (4): 918; 2000, Annali Mus. civ. St. nat. "G. Doria", 93: 164; Angelini & Cooter, 1999, Oriental Insects, 33: 193, 230.

Material: China, Jiangxi Prov., Wuyi Shan N. R., Huangganshan, ca. 2000 m, 5.VI.2001, 27°83'N-117°76'E, *Cryptomeira*, *Stewartia* and *Rhododendron* litter, leg. Cooter & Hlaváč, 1 ♂ and 4 ♀♀ in CC; same data but conifer and bamboo broad-leaf litter, 5.VI.2001, 1 ♂ in CC.

Distribution: China (Guangxi, Jiangxi, ? Sichuan). New record for Jiangxi.

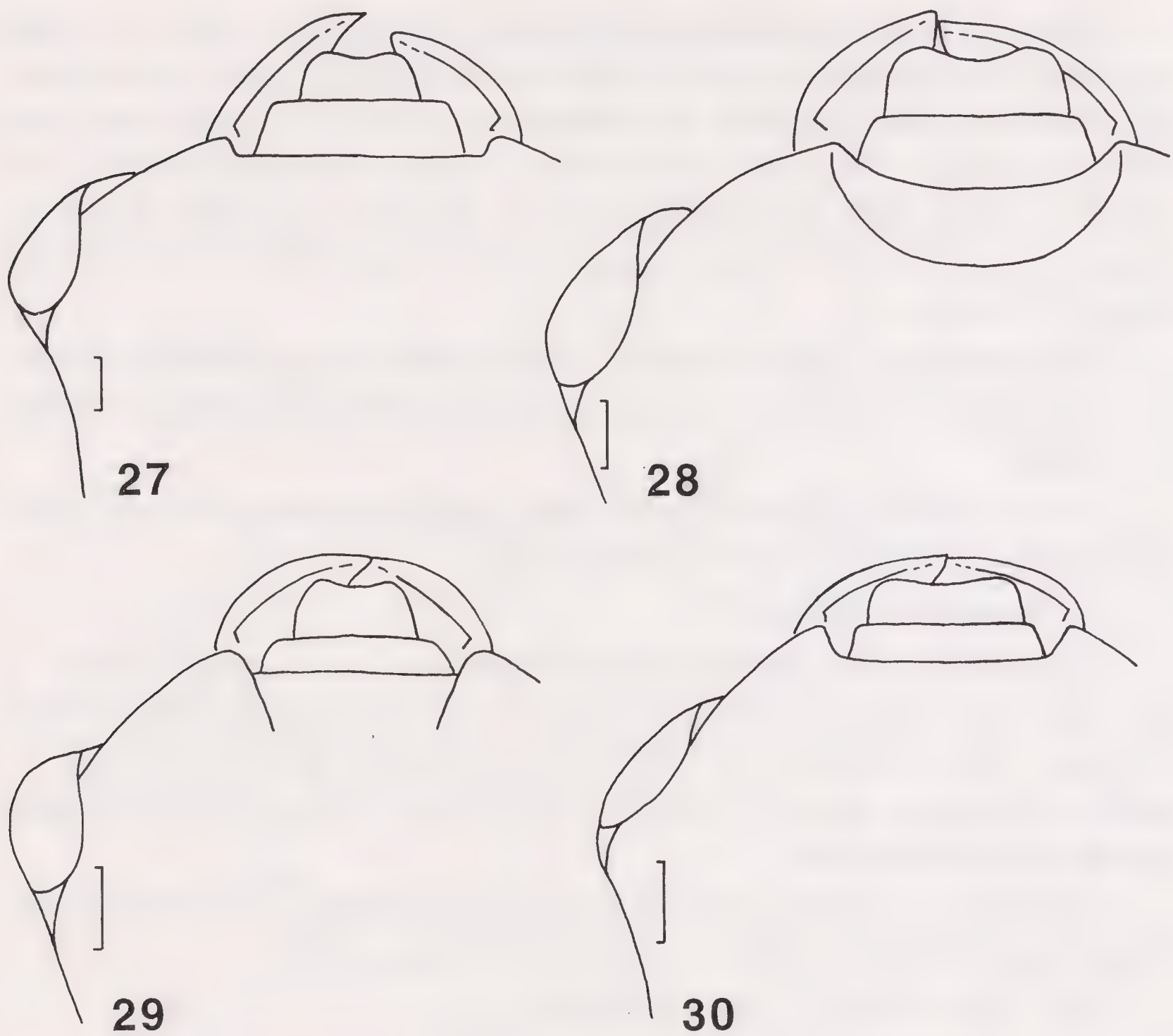

Figs. 27-30: Head (dorsal view) of: 27, *Agathidium* (*Agathidium*) *shennongjiaense* n. sp.; 28, *A.* (*A.*) *melancholicum* n. sp.; 29, *A.* (*Microceble*) *wuyishanicum* n. sp.; 30, *A.* (*Macroceble*) *hlavaci* n. sp.

Subgenus ***Microceble*** Angelini & De Marzo, 1986

andrewesi group

Agathidium (Microceble) wuyishanicum n. sp.
(Figs. 29, 32, 33, 36)

Length 3.1-3.4 mm (holotype ♂ 3.3 mm). Dorsum reddish-brown more or less dark; mesosternum testaceous, metasternum reddish-brown; antennae testaceous but with segments 9-10 darker, antennal club ♂ of 4 segments (8°-11°); legs reddish-brown. Microreticulation

absent; puncturation fine and sparse on head and pronotum, absent on elytra. Sutural striae absent.

Head: microreticulation absent; punctures small, superficial, separated from each other by 2-8 times their own diameter. Head widest at the eyes (fig. 29), eyes hemispherical; antero-lateral margins distinctly raised up; clypeus weakly emarginate, with a short weak groove and small pit either side. 3rd antennal segment 1.5 times longer than 2nd and shorter than the 4th + 5th together.

Pronotum: microreticulation absent; punctures smaller and more superficial than those of the head, separated from each other by 1-10 times their own diameter; 1.8 times as broad as head, less broader than long (width/length= 1.3) and moderately convex (width/height= 1.54); anterior margin weakly curved; lateral outline broadly rounded. Measurements of pronotum of holotype: length 1.15 mm, width 1.50 mm and height 0.97 mm.

Elytra: microreticulation almost absent, present only in traces; puncturation absent, only rare microscopic punctures. Moderately broader than the pronotum, a little broader than long (width/length= 1.06) and moderately convex (width/height= 1.6); lateral outline with humeral angle very broadly rounded. Measurements of elytra of holotype: length 1.50 mm, width 1.60 mm and height 1.00 mm.

Metathoracic wings present. Meso- and metasternum: median carina sharp, lateral lines absent, femoral lines incomplete, prolonged between the metacoxae.

Legs: male hind femora rounded at posterior margin (fig. 36); tarsal formula: ♂ 5-5-4, ♀ 5-4-4.

Aedeagus as in figure 32; spermatheca as in figure 33.

Discussion: *Agathidium wuyishanicum* n. sp. is similar to *A. xilingense* Ang. (from Sichuan); it differs in greater body length and in possessing a four segmented antennal club in male.

Derivatio nominis: named after Wuyi Shan, the mountain range where the type series was collected.

Holotype ♂: China, Fujian Prov., Wuyi Shan N.R., ca. 820 m, ca. 2 Km NW Tongmu vill., 27°75'N-117°66'E, 30.V-7.VI.2001, Bamboo broad-leaf forest litter, leg. Cooter & Hlaváč, in Bj.

Paratypes: same data as holotype, 6 ♂♂ in CC; Wuyi Shan N.R., ca. 1300 m, Qiliqiao-Guadun road, 27°73'N-117°64'E, 1.VI.2001, Hardwood + bamboo litter, leg. Cooter & Hlaváč, 1 ♀ in Bj; same data

but ca. 1200 m, ca. 5 Km from Qiliqiao, mixed forest litter, 1 ♂ and 1 ♀ in CA-MCSNG.

Distribution: China (Fujian).

Subgenus ***Macroceble*** Angelini, 1993

Agathidium (Macroceble) h l a v a c i n. sp. (Figs. 30, 34, 35, 37)

Length 2.50-2.75 mm (holotype ♂ 2.60 mm). Dorsum uniformly reddish-brown, venter lighter; antennae uniformly testaceous; legs reddish-brown. Microreticulation almost absent, present only in traces on whole dorsum; puncturation fine and sparse on head and pronotum. Sutural striae absent.

Head: microreticulation almost absent, present only in traces; punctures very small, superficial, separated from each other by 5-8 times their own diameter. Widest at posterior margin of the eyes; eyes flattened (fig. 30); antero-lateral margins uniformly raised; clypeus moderately emarginate; clypeal line absent. 3rd antennal segment 1.15 times as long as 2nd and shorter than 4th + 5th together.

Pronotum: microreticulation almost absent, present only in traces; punctures as those of head, separated from each other by 6-10 times their own diameter; 1.3 times as broad as head, moderately broader than long (width/length= 1.5) and moderately convex (width/height= 1.5); anterior margin weakly curved; lateral outline broadly rounded. Measurements of pronotum of holotype: length 1.15 mm, width 1.10 mm and height 0.67 mm.

Elytra: microreticulation almost absent, present only in traces; puncturation absent. Slightly broader than the pronotum, a little longer than broad (width/length= 0.95) and moderately convex (width/height= 1.64); lateral outline with humeral angle very broadly rounded. Measurements of elytra of holotype: length 1.10 mm, width 1.18 mm and height 0.62 mm.

Metathoracic wings absent. Meso- and metasternum: median carina sharp, lateral lines absent, femoral lines absent, a small tubercle present between the metacoxae; metasternum short, meso- and metacoxae almost touching.

Legs: male hind femora curved at posterior margin (fig. 37); tarsal formula: ♂ 5-5-4, ♀ 5-4-4.

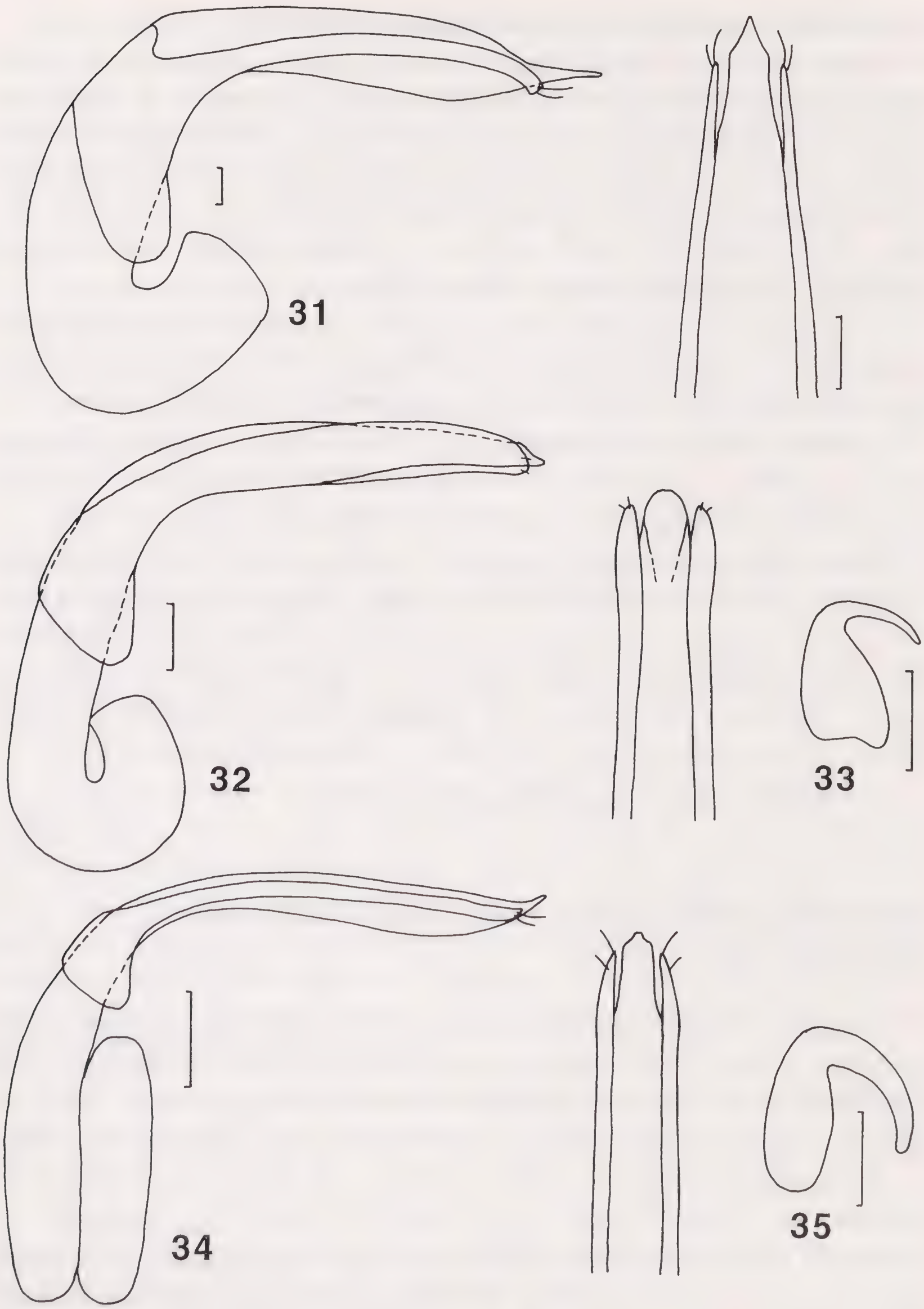

Figs. 31-35: Aedeagus (lateral and dorsal view) of: 31, *Agathidium* (*Agathidium*) *melancholicum* n. sp.; 32, *A.* (*Microceble*) *wuyishanicum* n. sp.; 34, *A.* (*Macroceble*) *hlavaci* n. sp. Spermatheca of: 33, *A.* (*Microceble*) *wuyishanicum* n. sp.; 35, *A.* (*Macroceble*) *hlavaci* n. sp.

Aedeagus as in figure 34; spermatheca as in figure 35.

Discussion: *Agathidium hlavaci* n. sp. is similar to *A. aterrimum* Ang. & Dmz. (from Malaya) in shape of head; it differs in presence of puncturation on pronotum, shape of male hind femora, greater length ratio pronotum/head, smaller size, different male and female tarsal formula. *A. hlavaci* n. sp. it is the only species of the subg. *Macroceble* with head widest at posterior margin of the eyes found in China, all the others are from Malaya.

Derivatio nominis: named after Peter Hlaváč, co-collector of the material described here, a good friend, excellent field companion and authority on Pselaphinae and myrmecophilous Staphylinidae.

Holotype ♂: China, Jiangxi Prov., Wuyi Shan N.R., Huanggan-shan, ca. 2000 m, 5.VI.2001, 27°84'N-117°76'E, *Cryptomeira*, *Stewartia* and *Rhododendron* litter, leg. Cooter & Hlaváč, in Bj.

Paratypes: same data as holotype, 1 ♂ and 2 ♀♀ in CC; same data but 5.VI.2001, 27°83'N-117°76'E, conifer, bamboo broad-leaf litter, 1 ♀ in CA-MCSNG; same data but ca. 2100 m, 5.VI.2001, 27°83'N-117°76'E, broad-leaf bamboo litter, 2 ♂♂ and 1 ♀ in CC; same data but ca. 1000 m, ca. 4 Km NE Tongmu vill., 27°75'N-117°66'E, bamboo mixed forest litter, 7.VI.2001, 1 ♂ in CA-MCSNG.

Distribution: China (Jiangxi).

Agathidium (Macroceble) dongnanense n. sp.
(Figs. 38, 42, 48)

Length 1.7-1.75 mm (holotype ♂ 1.7 mm). Dorsum uniformly reddish-brown, venter lighter; antennae uniformly testaceous; legs reddish-brown. Microreticulation almost absent, present only in traces on head and pronotum; puncturation very small and sparse on head and pronotum, almost absent on elytra. Sutural striae absent.

Head: microreticulation absent; punctures very small, superficial, separated from each other by 5-8 times their own diameter. Head widest behind eyes, temple 1/2 as long as the eye; eyes flattened and little visible at dorsum (fig. 48); antero-lateral margins uniformly raised; clypeus very emarginate; clypeal line absent. 3rd antennal segment as long as 2nd and than 4th + 5th together.

Pronotum: microreticulation present in vague traces; punctures as those of head, separated from each other by 4-8 times their own diameter; 1.19 times as broad as head, moderately broader than long (width/length= 1.52) and moderately convex (width/height= 1.62); anterior margin weakly curved; lateral outline broadly rounded. Measurements of pronotum of holotype: length 0.53 mm, width 0.81 mm and height 0.50 mm.

Elytra: microreticulation present in vague traces; punctures absent, only rare microscopic punctures. Slightly narrower than the pronotum, longer than broader (width/length= 1) and moderately convex (width/height= 1.65); lateral outline with humeral angle very broadly rounded. Measurements of elytra of holotype: length 0.78 mm, width 0.78 mm and height 0.47 mm.

Metathoracic wings absent. Meso- and metasternum: median carina sharp, lateral lines absent, femoral lines absent, a sharp tubercle present between the metacoxae; metasternum short, meso- and metacoxae almost touching.

Legs: male hind femora rectilinear at posterior margin (fig. 38); tarsal formula: ♂ 5-5-4, ♀ 4-4-4.

Aedeagus as in figure 42.

Discussion: *Agathidium dongnanense* n. sp. together to *A. penultimum* n. sp. and *A. nanum* Ang. (from Hubei) differs from all other species of this subgenus in shape of head with widest behind eyes and in having temple 1/2 as long as the eye; from *A. penultimum* differs in shape of aedeagus and male hind femora, in having a lesser length ratio 3rd/2nd antennal segments, in the clypeus being very emarginate and in smaller size; from *A. nanum* differs in lesser length ratio 3rd/2nd antennal segments.

Derivatio nominis: the name, derived from Mandarin, means "south east", the region of China containing Fujian and Jiangxi Provinces.

Holotype ♂: China, Jiangxi Prov., Wuyi Shan N.R., Huangganshan, ca. 2000 m, 5.VI.2001, 27°83'N-117°76'E, conifer-bamboo broad-leaf litter, leg. Cooter & Hlaváč, in Bj.

Paratype: China, Fujian Prov., Wuyi Shan N.R., road from Qiliqiao to Guadun, ca. 1150 m, 27°73'N-117°64'E, 1.VI.2001, sieved banana palm litter, leg. Cooter & Hlaváč, 1 ♀ in CC.

Distribution: China (Jiangxi and Fujian).

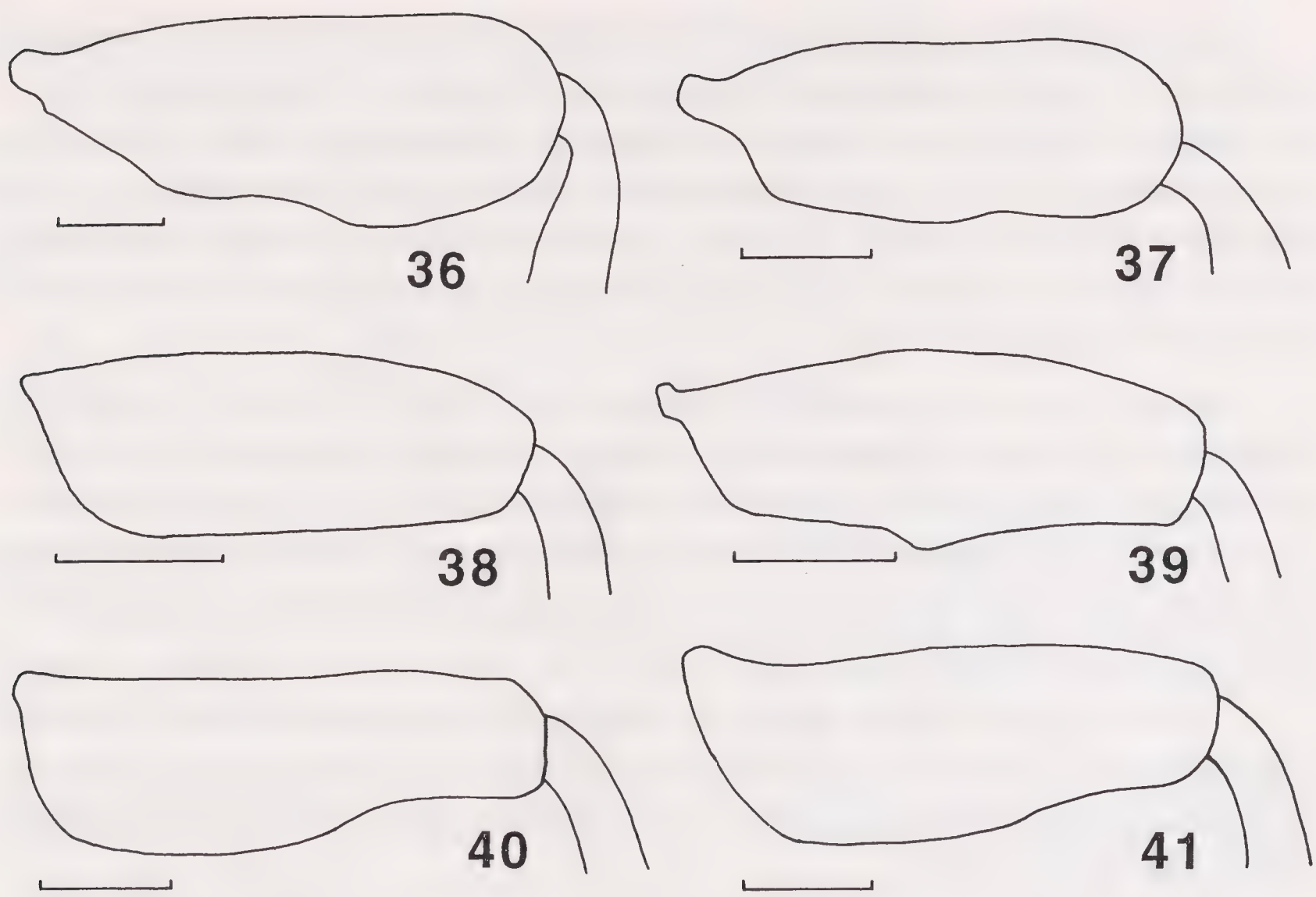

Figs. 36-41: Male (or female: fig. 40) hind femora of: 36, *Agathidium* (*Microceble*) *wuyishanicum* n. sp.; 37, *A.* (*Macroceble*) *hlavaci* n. sp.; 38, *A.* (*Macr.*) *dongnanense* n. sp.; 39, *A.* (*Macr.*) *penultimum* n. sp.; 40, *A.* (*Macr.*) *soror* n. sp.; 41, *A.* (*Macr.*) *ultimum* n. sp.

Agathidium (Macroceble) penultimum n. sp.
(Figs. 39, 43, 44, 49)

Length 2.2-2.3 mm (holotype ♂ 2.2 mm). Dorsum uniformly reddish-brown, venter reddish-brown, mesosternum lighter; antennae uniformly testaceous; legs reddish-brown. Microreticulation almost absent, present only in traces on whole dorsum; puncturation almost absent, present only rare microsopic punctures. Sutural striae absent.

Head: microreticulation almost absent, present only in traces; puncturation absent. Head widest behind eyes, temple 1/2 as long as the eye; eyes flattened and hardly visible dorsally (fig. 49); antero-lateral margins uniformly raised; clypeus very emarginate; clypeal line absent. 3rd antennal segment 1.1 times as long as 2nd and shorter than 4th + 5th together.

Pronotum: microreticulation almost absent, present only in traces; puncturation absent; 1.15 times as broad as head, slightly broader

than long (width/length= 1.37) and moderately convex (width/height= 1.5); anterior margin weakly curved; lateral outline broadly rounded. Measurements of pronotum of holotype: length 0.70 mm, width 0.96 mm and height 0.64 mm.

Elytra: microreticulation almost absent, present only in traces; puncturation absent. Slightly broader than the pronotum, a little longer than broad (width/length= 0.98) and moderately convex (width/height= 1.52); lateral outline with humeral angle very broadly rounded. Measurements of elytra of holotype: length 1.02 mm, width 1.00 mm and height 0.63 mm.

Metathoracic wings absent. Meso- and metasternum: median carina weakly, lateral lines absent, femoral lines absent, a small tubercle present between the metacoxae; metasternum short, meso- and metacoxae almost touching.

Legs: male hind femora curved at posterior margin (fig. 39); tarsal formula: ♂ 5-5-4, ♀ 4-4-4.

Aedeagus as in figure 43; spermatheca as in figure 44.

Discussion: see *Agathidium dongnanense* n. sp.

Derivatio nominis: This species is, chronologically, the penultimate that the senior author will describe before concluding nearly 20 years of studying the Agathidiini.

Holotype ♂: China, Hubei Prov., Shennongjia Nat. Res., Jiuchong, 19.VII.98, 875 m, leg. H.-Z. Zhou, in Bj.

Paratypes: same data as holotype, 19.VII.98, 900 m, 2 ♀♀, in CC and CA-MCSNG.

Distribution: China (Hubei).

Agathidium (Macroceble) cfr. ***emeicum*** Ang.

Agathidium (Macroceble) emeicum Angelini, 2000, Annali Mus. civ. St. nat. "G. Doria", 93: 157, 165.

Material: China, Jiangxi Prov., Wuyi Shan N.R., Huangganshan, ca. 2000 m, 5.VI.2001, 27°84'N-117°76'E, *Cryptomeira*, *Stewartia* and *Rhododendron* litter, leg. Cooter & Hlaváč, 1 ♂ in CC.

Discussion: specimen similar to the type, it differs in colouring of antennal club.

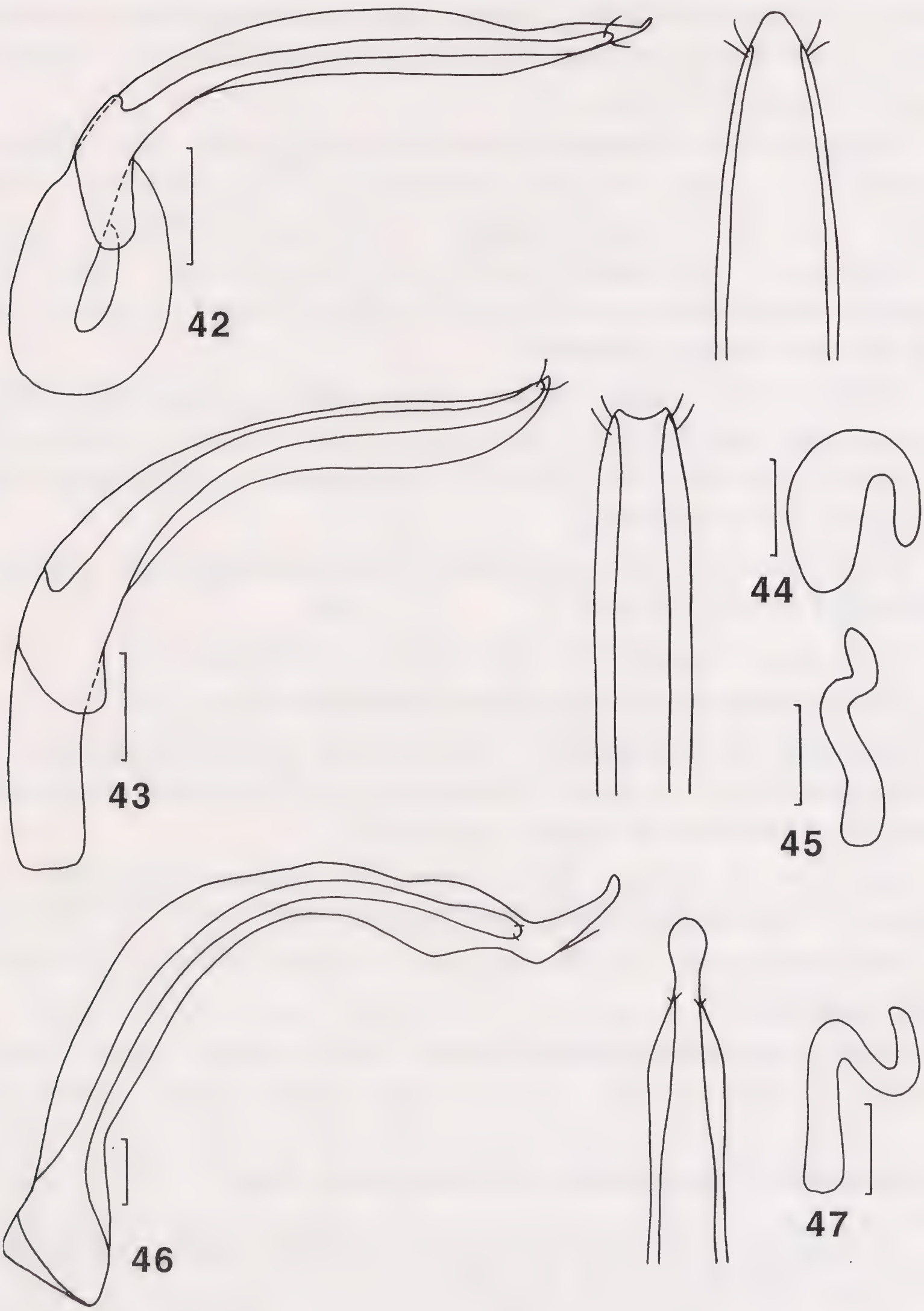

Figs. 42-47: Aedeagus (lateral and dorsal view) of: 42, *Agathidium* (*Macroceble*) *dongnanense* n. sp.; 43, *A.* (*Macr.*) *penultimum* n. sp.; 46, *A.* (*Macr.*) *ultimum* n. sp. Spermatheca of: 44, *A.* (*Macroceble*) *penultimum* n. sp.; 45, *A.* (*Macr.*) *soror* n. sp.; 47, *A.* (*Macr.*) *ultimum* n. sp.

Distribution: China (Sichuan and Jiangxi). New record for Jiangxi if the determination is correct.

Agathidium (Macroceble) soror n. sp. (Figs. 40, 45, 50)

Length 2.7 mm (holotype ♀). Dorsum uniformly dark reddish-brown, venter lighter; antennae uniformly testaceous; legs reddish-brown. Microreticulation absent; puncturation fine and sparse on whole dorsum. Sutural striae absent.

Head: microreticulation absent; punctures very small, superficial, separated from each other by 5-6 times their own diameter. Widest at the eyes; eyes hemispherical (fig. 50); antero-lateral margins uniformly raised; clypeus weakly emarginate; clypeal line absent. 3rd antennal segment as long as 2nd and than 4th + 5th together.

Pronotum: microreticulation absent; punctures as those of head, separated from each other by 2-10 times their own diameter; 1.27 times as broad as head, broader than long (width/length= 1.15) and very convex (width/height= 1.27); anterior margin weakly curved; lateral outline broadly rounded. Measurements of pronotum of holotype: length 1.00 mm, width 1.15 mm and height 0.90 mm.

Elytra: microreticulation absent; punctures as those of head, separated from each other by 1-15 times their own diameter. Slightly narrower than the pronotum, a little longer than broad (width/length= 0.95) and very convex (width/height= 1.28); lateral outline with humeral angle very broadly rounded. Measurements of elytra of holotype: length 1.10 mm, width 1.05 mm and height 0.82 mm.

Metathoracic wings absent. Meso- and metasternum: median carina absent, lateral lines absent, femoral lines absent, a small tubercle present between the metacoxae; metasternum short, meso- and metacoxae almost touching.

Legs: female hind femora dilated at posterior margin (fig. 40); tarsal formula: ♂ unknown, ♀ 4-4-4.

Spermatheca as in figure 45.

Discussion: *Agathidium soror* n. sp. is similar to *A. ultimum* n. sp. (from Hubei); it differs in greater length ratio pronotum/head and in less length size.

Derivatio nominis: known from the female holotype and one other very similar female specimen which may or may not be co-specific.

Holotype ♀: China, Guangxi Prov., Cenwanglao Shan, 2000 m, 2.VII.1999, Broad leaf forest, closed bamboo under storey litter, leg. J. R. Fellowes, in CC.

Other material: China, Guangxi Prov., Nepo, Defu, 3-6.IV.1998, 1400 m, leg. Hong-Zhang Zhou, 1 ♀, in Bj (spermatheca with basal part shorter and greater than holotype; antennae greater than holotype; nova species?)

Distribution: China (Guangxi).

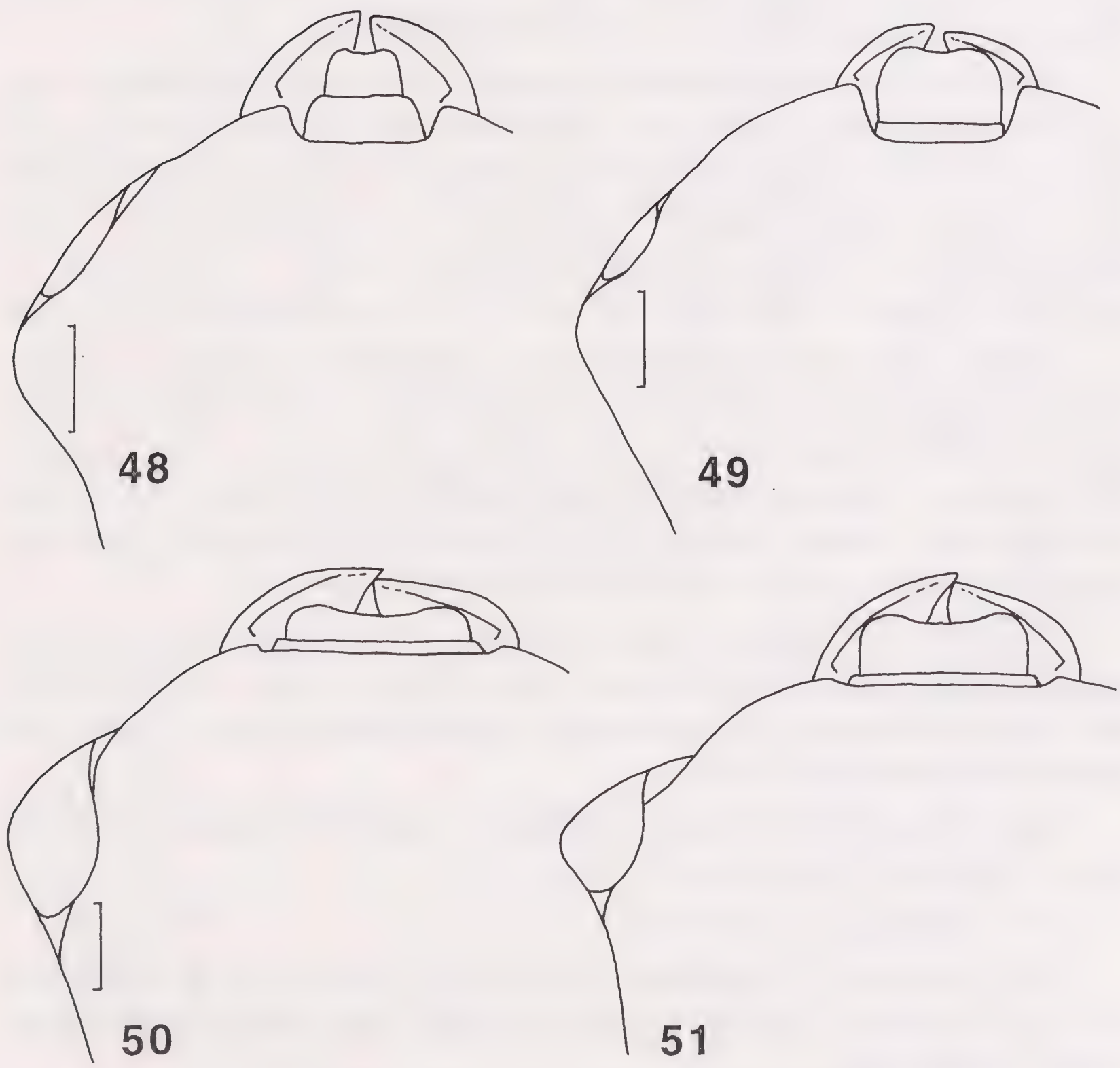

Figs. 48-51: Head (dorsal view) of: 48, *Agathidium* (*Macroceble*) *dongnanense* n. sp.; 49, *A.* (*Macr.*) *penultimum* n. sp.; 50, *A.* (*Macr.*) *soror* n. sp.; 51, *A.* (*Macr.*) *ultimum* n. sp.

Agathidium (Macroceble) ultimum n.sp. (Figs. 41,46,47,51)

Length 2.9-3.5 mm (holotype ♂ 2.2 mm). Dorsum of head reddish-brown, pronotum and elytra black, venter reddish-brown; legs reddish-brown. Microreticulation absent; puncturation clear on head, very small on pronotum and elytra. Sutural striae absent.

Head: microreticulation absent; punctures small but clearly impressed, separated from each other by 2-5 times their own diameter. Widest at the eyes; eyes hemispherical (fig. 51); antero-lateral margins uniformly raised; clypeus weakly emarginate; clypeal line absent. 3rd antennal segment 0.8 times as long as 2nd and than 4th + 5th together.

Pronotum: microreticulation absent; punctures very small, superficial, separated from each other by 1-10 times their own diameter; 1.25 times as broad as head, slightly broader than long (width/length= 1.07) and very convex (width/height= 1.3); anterior margin very curved; lateral outline broadly rounded. Measurements of pronotum of holotype: length 1.07 mm, width 1.15 mm and height 0.88 mm.

Elytra: microreticulation absent; punctures as those of pronotum, separated from each other by 2-15 times their own diameter. As broad as pronotum, clearly longer than broad (width/length= 0.92) and moderately convex (width/height= 1.4); lateral outline with humeral angle very broadly rounded. Measurements of elytra of holotype: length 1.25 mm, width 1.15 mm and height 0.82 mm.

Metathoracic wings absent. Meso- and metasternum: median carina sharp, lateral lines absent, femoral lines absent, a small tubercle present between the metacoxae; metasternum short, meso- and metacoxae almost touching.

Legs: male hind femora curved at posterior margin (fig. 41); tarsal formula: ♂ 5-5-4, ♀ unknown (paratype ♀ without anterior tarsi).

Aedeagus as in figure 46; spermatheca as in figure 47.

Discussion: see *A. soror* n. sp.

Derivatio nominis: Chronologically the final species to be described by the senior author concluding almost 20 years of study of the Agathidiini.

Holotype ♂: China, Hubei Prov., Shennongjia Nat. Res., Jiuchong, 19.VII.98, 900 m, leg. H.-Z. Zhou, in Bj.

Paratype: same data as holotype, 1 ♀, in CC.

Distribution: China (Hubei).

REFERENCES

ANGELINI F., 1995 - Revisione tassonomica delle specie paleartiche del genere *Agathidium* Panzer (Coleoptera, Leiodidae, Agathidiini) - *Monogr. Mus. reg. Sci. nat.*, Torino, 18: 1-484.

ANGELINI F., 1999 - New species of *Agathidium* Panzer from China - *Rev. suisse Zool.*, Genève, 106 (4): 913-927.

ANGELINI F., 2000 - Descrizione di 30 nuove specie di Agathidiini della Cina e Taiwan - *Annali Mus. civ. St. nat. "G. Doria"*, Genova, 93: 107-166.

ANGELINI F., 2001 - LXXXIII contributo alla conoscenza degli Agathidiini delle regioni paleartica e orientale: descrizione di nuove specie e nuovi dati corologici. (Coleoptera, Leiodidae) - *Annali Mus. civ. St. nat. "G. Doria"*, Genova, 94: 313-394.

ANGELINI F. & COOTER J., 1998 - New species of Agathidiini Westwood (Coleoptera: Leiodidae, Leiodinae) from China - *Entom. Gazette*, London, 49: 131-137.

ANGELINI F. & COOTER J., 1999 - The Agathidiini of China with descriptions of twelve new species of *Agathidium* Panzer (Coleoptera: Leiodidae) - *Oriental Insects*, Gainesville, 33: 187-232.

ANGELINI F. & DE MARZO L., 1998a - Supplement to the knowledge of the Agathidiini of Taiwan (Coleoptera, Leiodidae) - *Rev. suisse Zool.*, Genève, 105 (1): 125-138.

ANGELINI F. & DE MARZO L., 1998b - Agathidiini from China, with description of 14 new species - *Rev. suisse Zool.*, Genève, 105 (2): 351-373.

ANGELINI F. & ŠVEC Z., 1994 - Review of Chinese species of the subfamily Leiodinae - *Acta Soc. zool. bohem.*, Praha, 58: 1-31.

HLISNIKOVSKÝ J., 1964 - Monographische Bearbeitung der Gattung *Agathidium* Panzer - *Acta ent. Mus. nat. Pragae*, suppl. 5: 1-255.

ROUBAL J., 1911 - Koleopterologické vysledky mé cesty na Kavkaz v cervenci r. 1911 - *Čas. Čes. Spol. Ent.*, Praha, 8: 48-50.

ABSTRACT

Descriptive and/or collecting data are presented for 21 species, 108 specimens, of Agathidiini recently collected in China (Fujian, Jiangxi, Hubei, Shaanxi and Guangxi Provinces and Beijing region) by one of the authors (JC) and by Dr Petr Hlaváč, Dr John Fellowes, Dr David Wrase and Prof. Hong-Zhang Zhou.

The following new species are described: *Cyrtoplastus fujianicus* n. sp. (Fujian), *Agathidium* (*Neoceble*) *zhoui* n. sp. (Hubei), *A.* (*Agathidium*) *patris* n. sp. (Fujian), *A.* (*A.*) *paralasti* n. sp. (Fujian), *A.* (*A.*) *huangganshanicum* n. sp. (Jiangxi), *A.* (*A.*) *jiuchongense* n. sp. (Hubei), *A.* (*A.*) *hubeicum* n. sp. (Hubei), *A.* (*A.*) *shennongjiaense* n. sp. (Hubei), *A.* (*A.*) *melancholicum* (Hubei), *A.* (*Microceble*) *wuyishanicum* n. sp. (Fujian), *A.* (*Macroceble*) *hlavaci* n. sp. (Jiangxi), *A.* (*Macr.*) *dongnanense* n. sp. (Fujian, Jiangxi)), *A.* (*Macr.*) *penultimum* n. sp. (Hubei), *A.* (*Macr.*) *soror* n. sp. (Guangxi), *A.* (*Macr.*) *ultimum* n. sp. (Hubei).

Agathidium mequignoni Roubal is recorded as new to China (Beijing region) and

Cyrtoplastus chinensis Ang. & Švec, *Agathidium inerme* Ang. & Dmz. and *Agathidium lugubre* Ang. & Dmz. respectively as new to Hubei, Shaanxi and Jiangxi Province; if the determination is correct *Agathidium emeicum* Ang. is newly recorded for Jiangxi Province too.

RIASSUNTO

Sono riportati i dati di cattura di 21 specie, 108 esemplari, di Agathidiini provenienti dalla Cina (Hubei, Jiangxi, Shaanxi, Fujian e Beijing) e raccolti da uno degli Autori (JC), dal Dr. Petr Hlaváč, dal Dr. John Fellowes, dal Dr. David Wrase e dal Prof. Hong-Zhang Zhou.

Sono descritte le seguenti nuove specie: *Cyrtoplastus fujianicus* n. sp. (Fujian), *Agathidium* (*Neoceble*) *zhoui* n. sp. (Hubei), *A.* (*Agathidium*) *patris* n. sp. (Fujian), *A.* (*A.*) *paralasti* n. sp. (Fujian), *A.* (*A.*) *huangganshanicum* n. sp. (Jiangxi), *A.* (*A.*) *jiuchongense* n. sp. (Hubei), *A.* (*A.*) *hubeicum* (Hubei), *A.* (*A.*) *shennongjiaense* n. sp. (Hubei), *A.* (*A.*) *melancholicum* n. sp. (Hubei), *A.* (*Microceble*) *wuyishanicum* n. sp. (Fujian), *A.* (*Macroceble*) *hlavaci* n. sp. (Jiangxi), *A.* (*Macr.*) *dongnanense* n. sp. (Fujian, Jiangxi), *A.* (*Macr.*) *penultimum* n. sp. (Hubei), *A.* (*Macr.*) *soror* n. sp. (Guangxi), *A.* (*Macr.*) *ultimum* n. sp. (Hubei).

Agathidium mequignoni Roubal è nuovo per la Cina (regione di Beijing) mentre *Cyrtoplastus chinensis* Ang. & Švec, *Agathidium inerme* Ang. & Dmz. e *Agathidium lugubre* Ang. & Dmz. sono nuovi rispettivamente per le province di Hubei, di Shaanxi e di Jiangxi. *Agathidium emeicum* Ang. risulterebbe nuovo per lo Jiangxi se l'attuale determinazione si confermerà esatta.

Dirk Ahrens (*)

NEW SPECIES OF THE GENUS *MICROSERICA* BRENSKE, 1894 FROM SUMATRA AND MALAY PENINSULA, WITH NOTES ON SYNONYMY

(COLEOPTERA, SCARABAEIDAE, SERICINI)

In the framework of a revision of the genus *Microserica* Brenske, 1894 types and additional material of South-East Asian species have been examined. First results of the studies are published by Ahrens (2000), further information on morphology, distribution, and synonymy of the species from Sumatra and Malay Peninsula are presented in this paper, where a few taxa are newly described.

Abbreviations of depositories:

BMNH	The Natural History Museum, London
BPBM	Bernice P. Bishop Museum, Hawaii
CA	coll. D. Ahrens, Eberswalde
CABB	coll. A. Ballerio, Brescia
CF	coll. G. Frey (NHMB)
CN	coll. M. Nikodým, Praha
CP	coll. C. Pacholátko, Brno
CRSW	coll. R. Schuh, Wien
DEI	Deutsches Entomologisches Institut, Eberswalde
HNHM	Hungarian Natural History Museum, Budapest
MHNG	Muséum d'Histoire Naturelle, Genève
MMBC	Moravske Muzeum, Brno
MNHN	Muséum National d'Histoire Naturelle, Paris
MSNG	Museo Civico di Storia Naturale "Giacomo Doria", Genova
NHMB	Naturhistorisches Museum, Basel
NHMW	Naturhistorisches Museum, Wien
SMNS	Staatliches Museum für Naturkunde, Stuttgart

(*) c/o Deutsches Entomologisches Institut, ZALF e.V., Schicklerstr. 5, D-16225 Eberswalde, Germany. e-mail: ahrens.dirk_col@gmx.de, dahrens@zalf.de.

SMTD	Staatliches Museum für Tierkunde, Dresden
ZMHB	Zoologisches Museum der Humboldt-Universität, Berlin
ZMUC	University of Copenhagen, Zoological Museum

Microserica quadripustulata Moser

Microserica quadripustulata Moser, 1915: 386.
Microserica flavopicta Arrow, 1946: 271, **n. syn.**

Type material: Syntype (*quadripustulata*): 1 ♂ "Perak Malacca (Doherty) / Fry Coll. 1905.100./ *Microserica quadripustulata* type Mos." (ZMHB). Syntypes: (*flavopicta*): 1 ♂ "Type/Perak m./ Doherty/ Fry Coll. 1905.100./ *Microserica flavopicta* type Arrow", 1 ♀ "Perak m./ Doherty/ Fry Coll. 1905.100./ *Microserica flavopicta* cotype Arrow", 1 ♂, 2 ♀♀ "Perak m./ Doherty/ Fry Coll. 1905.100." (BMNH).

Additional material examined: 2 ex. "W. Malaysia: Perak; Maxwell Hill, 900-1000 m above Taiping city, 1995 J. & S. Becvar leg. 12.-16.I." (CP), 1 ex. "Malaya: Perak Maxwell Hill 1350 m, 17.-20.III.58/ T. C. Maa Collector Bishop Mus." (BPBM).

Aedeagus: Figs 1-2.

Notes. Types of *M. quadripustulata* Moser and *M. flavopicta* Arrow are identical in morphology of aedeagus and parameres.

Microserica malaccensis (Brenske)

Serica malaccensis Brenske, 1893: 352.
Microserica malaccensis: Brenske 1898: 382, 404.

Type material: Syntypes: 1 ♂, 3 ♀♀ "Malakka Perak" (ZMHB).

Additional material examined: 1 ex. (♀) "P. Pinang L. Fea/ Typus/ *Serica malaccensis* type vergl. Brsk." (MSNG), 2 ex. "Malacca (Doherty)", 3 ex. "Malacca Tengah Gebirge P. Zobris V." (ZMHB), 1 ex. "Malacca" (SMTD), 1 ex. "Perak" (SMTD), 1 ex. "Penang IV-`97 Curtis" (SMTD), 2 ex. "Pulo Penang/ Mus. Westerm." (ZMUC), 1 ex. "Malaysia 1992 leg. Schillhammer/ Prov. Pahang (16) Fraser Hill 1250

m 6.-11.2. Licht" (NHMW), 6 ex. "Pahang F. M. S. Cameron Highlands 3500-4500 ft. May 15, 1939" (BMNH), 1 ex. "Malaya Selangor F. M. S. Ulu Langat 26. Dec. 1938" (BMNH), 1 ex. "Malay Penin. Cameron Highlands 1.11.1943" (BMNH), 1 ex. "G 1406 Malaya Ulu Sali Ro 10.1.1935"(BMNH), 1 ex. "on buds of *Rosa* sp. Malay pensinsula 6.12.31 Cameron Highlands G. H. Corbett Perak" (BMNH), 1 ex. "Malaysia Cameroon Hills 22.-30.III.1984 Rougemount" (MHNG), 1 ex. "W. Malaysia Pahang Gombak 1.IV.93 Löbl & Calame on Agaricales ♀ 25b" (MHNG), 1 ex. "Malaisie Taiping IV.79 K. C. Liew"

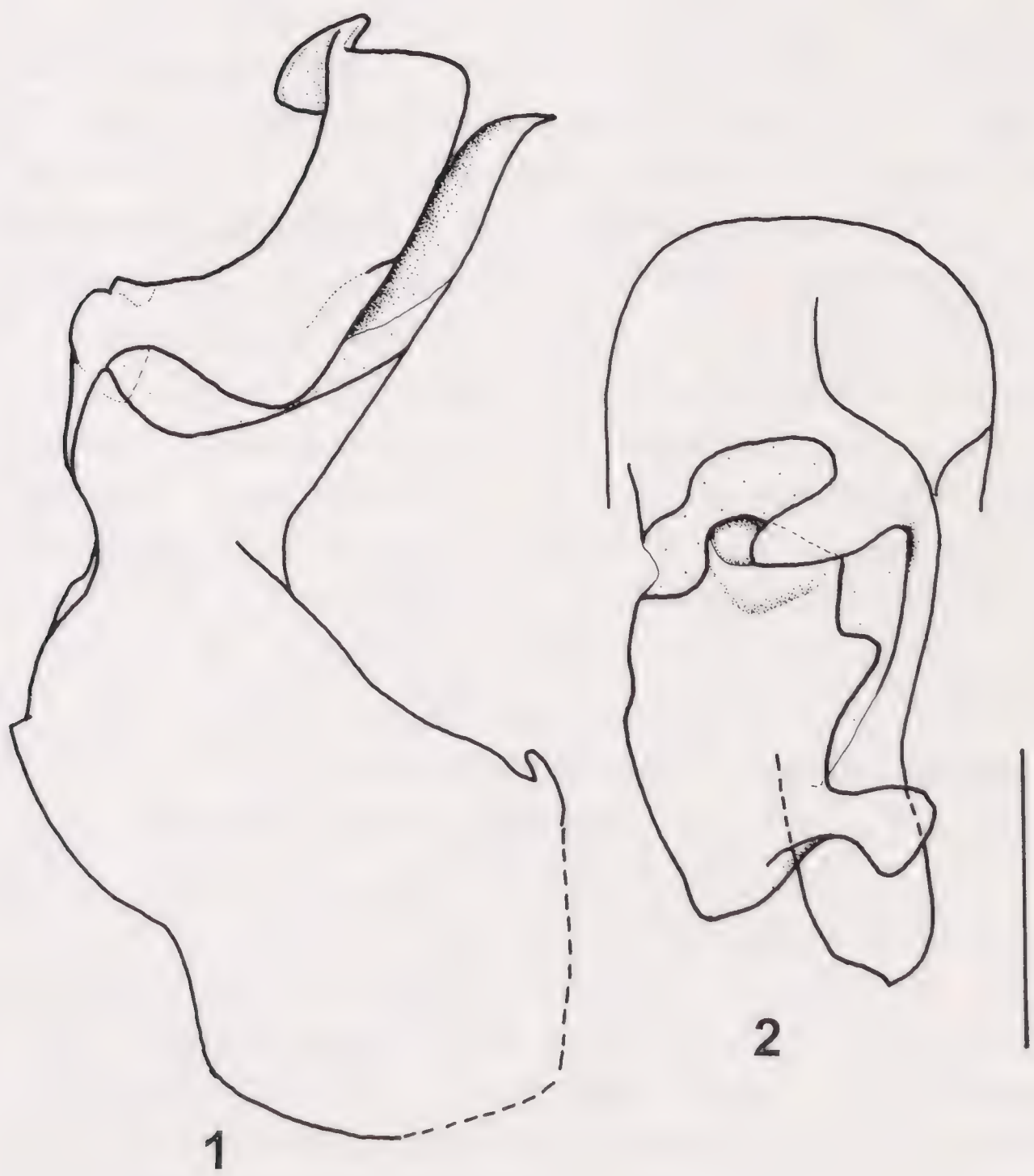

Figs. 1-2: *Microserica quadripustulata* Moser (Syntypus: Perak, Malacca), 1- aedeagus lateral view, 2- parameres dorsal view (scale: 0.5 mm).

(MHNG), 1 ex. "Thailand, 1.2.1991 Banglang Nat. Park/ Than to Waterfall Than to Dist. 150 m P. Schwendinger" (MHNG), 1 ex. (♀) "Malaysia Pahang Cameron Highlands Tanah Rata/ singled in and aroud the town, No. 73 21-30.III.1995 O. Merkl", 1 ex. "Malaysia Pahang Cameron Highlands, Robinson Falls, montane rainforest/ swept & beaten No. 81, 24.III.1995 O. Merkl" (HNHM), 1 ex. "Muséum Paris 1906 coll. Léon Fairmaire/ Singapor/ *malaccensis* Brsk." (MNHN), 4 ex. "Malaysia; W. Pahang, Cameron Highlands; 1999 Tanah Rata, 1500-1800 m P. Pacholátko leg. 7.-9.i." (CP), 4 ex. "Malaysia; W. Pahang, Cameron Highlands; 1999 Tanah Rata, 1500-1800 m P. Pacholátko leg. 22.-26.i." (CP), 3 ex. "Malaysia: Benom Mts. 15 km E Kampong Dong; 700 m 3,53N 102,01E 1998 Dembicky & Pacholátko leg." (CP), 1 ex. "Malaysia. W. Perak 25 km NE of Ipoh, 1200 m Banjaran Titi Wangsa mts. Korbu mts. 27.I.-2.II.1999 P. Pacholátko leg." (CP), 1 ex. "Malaysia: Perak Kuala Woh 10 km NE Tapah 1.8.1993 leg. Schuh" (CRSW), 1 ex. "Malaysia: Selangor, Fraser Hill, Umgeb. Gap, 900 m 12.-15.8.1993 lg. Schuh" (CRSW), 1 ex. "Penang" (MNHN), 1 ex. "Thailand: Trang Prov., Khaophappa Khaochang, 200-400 m 13.I.1964/ G. A. Samuelson Collector Bishop" (BPBM), 1 ex. (♂) "Camboja/ Ex Museo H. W. Bates 1892/ Feae var. Type Brsk./ Muséum Paris Ex Coll. Oberthür/ Type" (MNHN), 1 ex. "E. Thailand, 5.-13.5. Chanthaburi Dist. Khao Soi Dao, 1998 J. Horak leg." (CP), 1 ex. "W-Malaysia: E Taiping, 500-800 m V.-VI.1978 leg. H. Knorr" (SMNS), 3 ex. (♀) "W Malaysia- Pahang Cameron Highlands Tanah Rata env. 1500 m 13.-20.VI.1999 leg. A. Ballerio" (CABB), 1 ex. "W. Malaysia-Kelantan 30 km N of Tanah Rata mt. 800 17-19.IV.1999 Leg. A. Ballerio" (CA), 2 ex. "Malaysia-Perak Banjaren Bintang, Bukit Berapit (Taiping) 11.-12.3.1997 Dulik & Jeniš leg." (CP), 1 ex. "S Thailand, Betong Gunung Cang dun vill. Yala dist., 25.3.-22.4.1993 J. Horak leg." (CP), 2 ex. "Malaysia W Ipoh, 5 km E Taiping Rambutan, 3.-15.IV. leg. M. Snizek 2000" (CP), 2 ex. "Malaysia W 27.3.-1.4. Cameron Highlands Ringlet env. lgt. M. Snizek 2000" (CP), 2 ex. "Malaysia, Pahang, 2000 Cameron Highlands, 1600 m, Tanah Rata 11.-27.2. P. Pacholátko leg." (CP), 1 ex. "Malaysia-Perak Cameron Highlands Tanah Rata 13.-17.2.1997 Dulik & Jenis leg." (CP), 2 ex. "Malaysia-Pahang Bukit Fraser 29.2.-6.3.2000 K. Deneš jun. lgt." (CP).

Aedeagus: Figs. 3-5.

Microserica larutensis n. sp.

Type material: Holotype: ♂ "Malaya Perak F. M. S. Larut Hills 1600 ft. 18.2.1938/ Ex. F. M. S. Museum B. M. 1955-354" (BMNH). Paratypes: 2 ♂♂, 3 ♀♀ "Malacca Perak W. Doherty/ Muséum Paris ex. Coll. R. Oberthür" (MNHN, CA).

Length: 5.7 mm, length of elytra: 3.6-4.0 mm, width: 3.4-3.8 mm. Body oval, black, partly with greenish lustre, anterior half of elytra reddish brown, antenna brown or black, dorsal surface, except shiny labroclypeus and tibia, dull and glabrous.

Labroclypeus moderately broad, transversely trapezoidal, widest at base, lateral margins straight and moderately convergent to strongly rounded anterior angles, lateral border and ocular canthus producing a blunt angle, margins moderately reflexed, anterior border almost straight; surface flat and little shiny, basally dull, with coarse and sparsely scattered punctures bearing erect robust hairs, between coarse punctures with very fine and moderately dense punctures; frontoclypeal suture very indistinctly incised and weakly curved medially; smooth area in front of eye approximately a little wider than long; ocular canthus short and broad, smooth, apically with one hair. Frons with fine and dense punctures, microscopicly hairy, beside eyes and behind frontoclypeal suture a few single long hairs. Eyes small, ratio of diameter/ interocular width: 0.52. Antenna 10-segmented; club in male with five segments, as long as the remaining segments together (♂), all segments of the club of the same length, in female antennal club with three segments and a little shorter than the remaining segments combined. Mentum anteriorly elevated and flattened, anterior margin densely hairy.

Pronotum in male narrow and trapezoidal, widest at base, lateral borders almost straight, strongly convergent anteriorly, anterior angles weakly protruding but very sharp, posterior angle moderately sharp, anterior margin weakly convexly produced medially and with a fine marginal line; surface finely and densely punctate, with microscopic hairs in the punctures, anteriorly beside anterior angles few strong hairs; anterior and lateral margins sparsely setose; hypomeron distinctly edged, basally strongly produced and transversely grooved, its basal border producing with that of pronotum a rounded angle. Scutellum black and large, triangular, densely and finely punctate, with microscopic hairs in the punctures.

Elytra moderately long, widest shortly behind middle, Epipleura, sutural interval and shoulder black, anterior half reddish brown, striae weakly impressed, finely and not densely punctate, intervals weakly convex, with fine and dense punctures concentrated beside striae, punctures only microscopicly hairy; epipleural edge fine, ending at strongly curved external apical angle of elytra, epipleura not densely setose, apical border chitinous, without microtrichomes.

Ventral surface dull, finely and not densely punctate, sparsely hairy, metacoxal plates only laterally with a number of longer hairs; each abdominal sternite with a transversal row of coarse punctures bearing long hairs between very fine and dense punctation, punctures of transversal row on second sternite very dense and hairs only very short, penultimate sternite apically with only very narrow smooth chitinous border. Mesosternum between mesocoxae as wide as mesofemur. Ratio of length of metepisternum/ metacoxae: 1/ 2.0, posterior angle of metacoxal plates moderately rounded. Pygidium in male dull and weakly convex, finely and moderately densely punctate, with microscopic hairs in the punctures, without smooth midline, only beside apical margin with a few long hairs, in female pygidium moderately shiny.

Legs moderately slender; femora dull, mesofemur with two longitudinal rows of hairs, metafemur dull, anteriorly sharply edged, behind anterior edge without serrated line, longitudinal rows of hairs reduced, anterior completely lacking, posterior one consisting only of four single hairs, surface moderately coarse and not densely punctate, posterior margin feebly convex and glabrous, neither dorsally nor ventrally serrated, dorsoapically widely produced. Metatibia moderately slender and not long, widest at middle, basally and apically narrowed, ratio of width/ length: 1/ 3.5, dorsal margin longitudinally rounded, not edged, with two groups of spines, basal one at one third, apical one at two third of metatibial length, basally only with two very short and indistinct hairs; outside longitudinally convex, with moderately dense and very fine punctures, partly microscopicly hairy; ventral edge with four strong, very long hairs; inside completely smooth, apex interiorly near tarsal articulation shallowly concavely truncate. Tarsal segments dorsally impunctate, ventrally with sparse, short setae; metatarsal segments ventrally with a strongly serrated ridge and completely glabrous, immediately beside it with a moderate longitudinal edge, first metatarsomer a little shorter than the two following segments combined and of same length as the upper tibial spur. Protibia short,

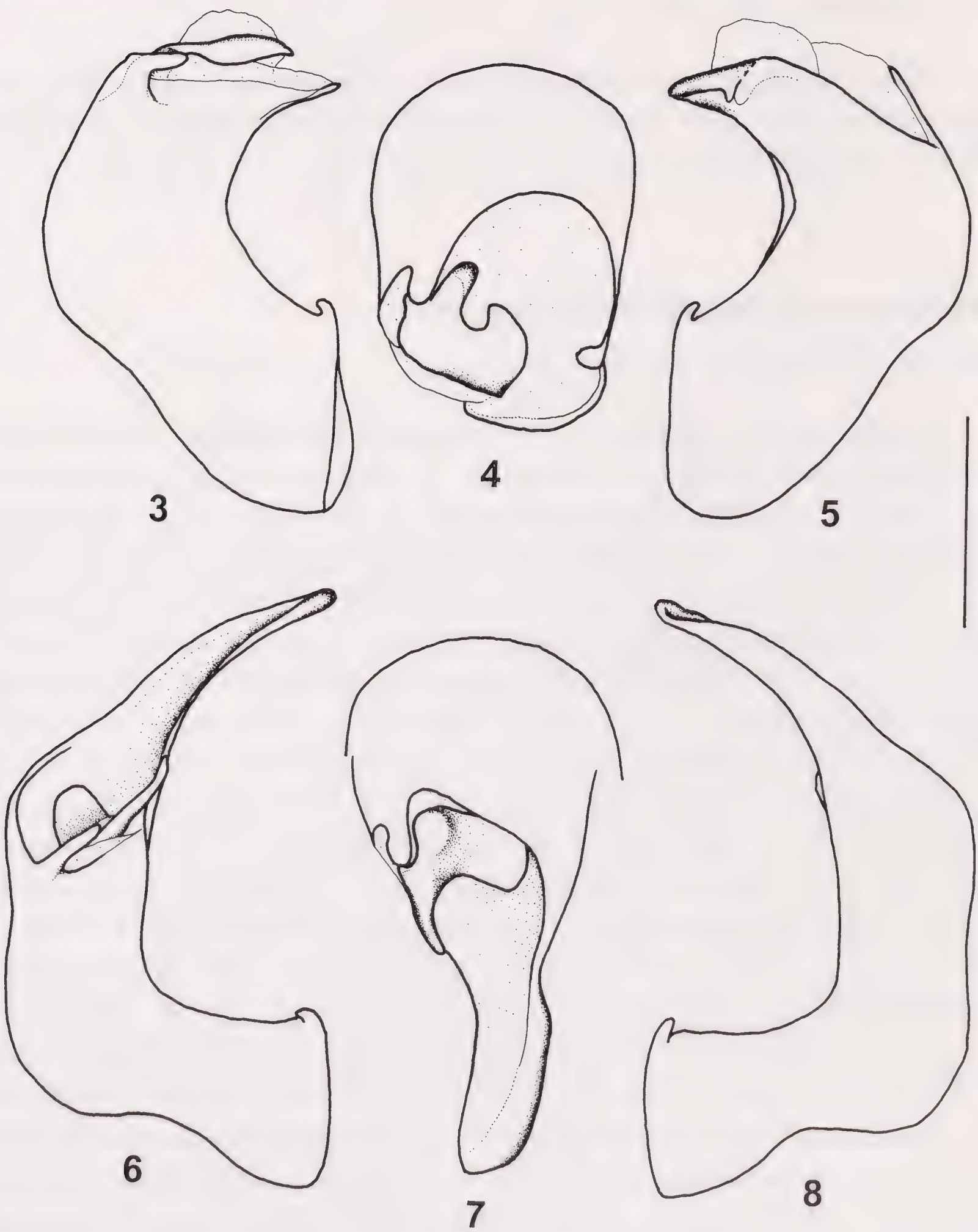

Figs. 3-8: 3-5: *Microserica malaccensis* Brenske (Malacca, Tengak Gebirge), 6-8: *M. larutensis* n. sp. (Holotypus: Malaya, Larut Hills); 3, 5, 6, 8- aedeagus lateral view, 4, 7- parameres dorsal view (scale: 0.5 mm).

bidentate, external teeth small; all claws symmetrical, strongly curved and moderately long.

Aedeagus: Figs. 6-8.

Notes. Sides of pronotum in female are slightly convex. The species differs from very similar *M. malaccensis* (Brenske) by particular shape of pronotum in male and by morphology of aedeagus.

Microserica pyrrhopoecila Brenske

Microserica pyrrhopoecila Brenske, 1899: 171.

Type material Lectotype: ♂ "Sumatra Si-Rambé XII.90-III.91 E. Modigliani/ *Serica pyrrhopoecila* ♂ type Brsk./ a./ *pyrrhopoecila a* ♂ Brsk." (MSNG). Paralectotypen: 4 ♂♂ "Sumatra Si-Rambé XII.90-III.91 E. Modigliani/ *pyrrhopoecila* ♂ type Brsk./ coll. Brenske" (ZMHB, DEI), 1 ♂ "Sumatra Si-Rambé XII.90-III.91 E. Modigliani/ *Serica pyrrhopoecila* ♂ type Brsk./ b./ *pyrrhopoecila* b ♂ Brsk." (MSNG), 2 ♂♂ "Sumatra Si-Rambé XII.90-III.91 E. Modigliani/ *Serica pyrrhopoecila* ♂ type Brsk." (MSNG), 1 ♀ "Sumatra Si-Rambé XII.90-III.91 E. Modigliani/ *Serica pyrrhopoecila* ♀ type Brsk./ a./ *pyrrhopoecila a* ♀ Brsk." (MSNG), 8 ♂♂, 2 ♀♀ "Sumatra Si-Rambé XII.90-III.91 E. Modigliani/ *Serica pyrrhopoecila* [♂/♀] type Brsk." (MSNG), 1 ♂ "Sumatra Pangherang-Pisang X.90 e III.91 E. Modigliani/ *Serica pyrrhopoecila* ♂ type Brsk./ d./ *pyrrhopoecila d* ♂ Brsk." (MSNG), 1 ♂ "Sumatra Si-Rambé XII.90-III.91 E. Modigliani/ *Serica pyrrhopoecila* ♂ type Brsk./ c./ *pyrrhopoecila c* ♂ Brsk." (MSNG), 3 ♂♂, 1 ♀ "Sumatra Si-Rambé XII.90-III.91 E. Modigliani/ *Serica pyrrhopoecila* ♂ type Brsk./ Coll. C. Felsche Kauf 20, 1918" (SMTD).

Additional material examined: 3 ex. "Sumatra Si-Rambé XII.90-III.91 E. Modigliani" (MSNG), 1 ex. "Medan Doloc Baros Estate Sumatra" (ZMHB), 2 ex. "Sumatra Brastagi" (ZMHB), 1 ex. "Corporaal Ran Rakit 2-1918/ 1922-5" (SMTD), 2 ex. "N-Sumatra 16.8.1992 Brastagi Sikulikap" (CA).

Aedeagus: Figs 9-12.

Notes. The type series contained more than only one species, consequently it was necessary to select a lectotype.

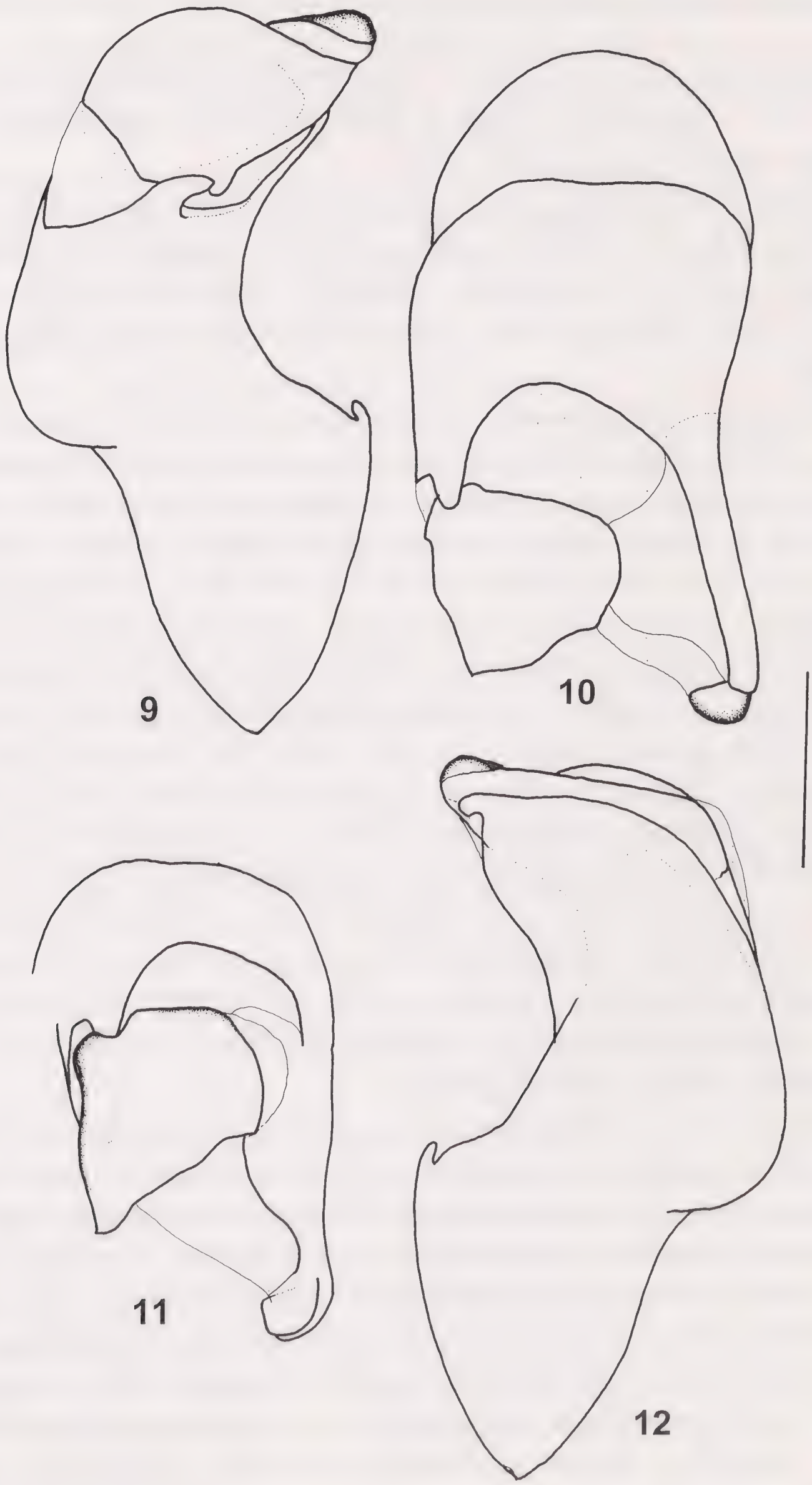

Figs. 9-12: *Microserica pyrrhopoecila* Brenske, (Lectotypus: Sumatra, Si-Rambé); 9, 12- aedeagus lateral view, 10, 11- parameres dorsal view (scale: 0.5 mm).

Microserica beccarii n. sp.

Type material: Holotype: ♂ "Sumatra Mt. Singalang Luglio 1878 O. Beccari/ *pyrrhopoecila* Type ♂ Brsk." (MSNG). Paratypes: 2 ♂♂ - same data as holotype (MSNG, CA).

Length: 6.0-6.1 mm, length of elytra: 4.0-4.1 mm, width: 3.7 mm. Body oval, dark or reddish brown, partly with greenish lustre, elytra with two more or less distinct yellowish transversal bands, antenna brown, dorsal surface, except shiny labroclypeus and tibia, dull and glabrous.

Labroclypeus moderately broad, transversely rectangular, widest at base, lateral margins slightly curved and moderately convergent to strongly rounded anterior angles, lateral border and ocular canthus producing a blunt angle, margins moderately reflexed, anteriorly moderately sinuate medially; surface flat and shiny, basally dull, with moderately coarse and dense punctures, with only a few single robust hairs; frontoclypeal suture feebly incised and weakly curved medially; smooth area in front of eye approximately as wide as long; ocular canthus short and moderately broad, with a few fine punctures and a terminal hair. Frons with fine and moderately dense, very superficial punctures, with fine microscopic hairs in the punctures, beside eyes and behind frontoclypeal suture a few single long hairs. Eyes small, ratio of diameter/ interocular width: 0.48. Antenna 10-segmented; club (♂) with seven segments, almost twice as long as the remaining segments together, first segment of club a little shorter than the club, third antennal segment long. Mentum anteriorly elevated and flattened, anterior margin densely hairy.

Pronotum moderately transverse, widest at base, lateral borders in basal half subparallel, in anterior half convexly curved and distinctly convergent anteriorly, anterior angles strongly protruding and moderately sharp, posterior angle blunt, only weakly rounded, anterior margin weakly convexly produced medially and with a fine marginal line; surface finely and not densely punctate, with microscopic hairs in the punctures, anteriorly beside anterior angles few strong hairs; anterior and lateral margins sparsely setose; hypomeron distinctly edged. Scutellum slender, triangular, densely and finely punctate, with microscopic hairs in the punctures, at base smooth medially .

Elytra moderately long, widest behind middle, striae distinctly impressed, finely and not densely punctate, intervals strongly convex,

with fine and dense punctures along the striae, medially smooth, punctures only microscopicly hairy; epipleural edge fine, ending at moderately curved external apical angle of elytra, epipleura not densely setose, apical border chitinous, without microtrichomes.

Ventral surface dull, finely and not densely punctate, sparsely hairy, metacoxal plates with a number of longer hairs only laterally; each abdominal sternite with a transversal row of coarse punctures bearing long hairs between very fine and dense punctation, penultimate sternite apically with only very narrow smooth chitinous border. Mesosternum between mesocoxae as wide as mesofemur. Ratio of length of metepisternum/ metacoxae: 1/ 1.56, posterior angle of metacoxal plates moderately rounded. Pygidium dull and weakly convex, finely and moderately densely punctate, with microscopic hairs in the punctures, without smooth midline, only beside apical margin with a few long hairs.

Legs moderately slender; femora dull, mesofemur with two longitudinal rows of hairs, metafemur with opaque tomentum, anteriorly sharply edged, behind anterior edge without serrated line, longitudinal rows reduced, only finely and very sparsely punctate, posterior margin feebly convex and glabrous, neither dorsally nor ventrally serrated, dorsoapically widely produced. Metatibia moderately slender and not long, subparallel, basally narrowed, ratio of width/ length: 1/ 3.7, dorsal margin longitudinally rounded, not edged, with two groups of spines, basal one at one third, apical one at two third of metatibial length, basally only with two very short indistinct hairs; outside longitudinally convex, with moderately dense and very fine punctures, partly microscopicly hairy; ventral edge with three strong spines; inside completely smooth, apex interiorly near tarsal articulation shallowly concavely truncate. Tarsal segments dorsally impunctate, ventrally with sparse, short setae; metatarsal segments ventrally with a strongly serrated ridge and completely glabrous, immediately beside it with a moderate longitudinal edge, first metatarsomer a little shorter than the two following segments combined and about one fourth longer than the upper tibial spur. Protibia moderately long, bidentate, external teeth small; all claws symmetrical, strongly curved and moderately long.

Aedeagus: Figs 13-16.

Notes. Female unknown. *M. beccarii* n. sp. may be distinguished from the very similar *M. pyrrhopoecila* Brenske by the slenderer labro-

clypeus, the less sharply pointed anterior angles of pronotum, and little longer antennal club; the parameres differ significantly in shape. It is dedicated to its collector, Dr. Odoardo Beccari.

Microserica bifasciata n. sp.

Type material: Holotype: ♂ "Sumatra Drescher 4/ 1911 Matoer" (ZMHB). Paratype: 1 ♂ "W. Sumatra Padang 7.1994" (CA).

Length: 6.9 mm, length of elytra: 5.1 mm, width: 4.4 mm. Body oval, dark brown, partly with greenish or iridescent shine, pronotum and anterior third of elytra reddish brown, elytra with two more or less distinct yellowish transversal bands, antenna brown, dorsal surface, except shiny labroclypeus and tibia, dull and glabrous.

Labroclypeus moderately broad, transversely trapezoidal, widest at base, lateral margins slightly curved and moderately convergent to strongly rounded anterior angles, lateral border and ocular canthus producing a blunt angle, margins moderately reflexed, anteriorly moderately sinuate medially; surface flat and shiny, basally dull, with fine and moderately dense punctures, punctures anteriorly very superficial, only with a few single robust hairs; frontoclypeal suture feebly incised and weakly curved medially; smooth area in front of eye approximately as wide as long; ocular canthus short and moderately broad, with a few fine punctures and a terminal hair. Frons with fine and moderately dense, very superficial punctures, with fine microscopic hairs in the punctures, beside eyes and behind frontoclypeal suture with a few single long hairs. Eyes small, ratio of diameter/ interocular width: 0.44. Antenna 10-segmented; club with seven segments, 1.5 times as long as the remaining segments together (♂), first segment of club a little shorter than the club, third antennal segment long. Mentum anteriorly elevated and flattened, anterior margin densely hairy.

Pronotum moderately transverse, widest at base, lateral borders weakly but uniformly curved, weakly convergent anteriorly, anterior angles strongly protruding and moderately sharp, posterior angle blunt, only weakly rounded, anterior margin weakly convexly produced medially and with a fine marginal line; surface finely and not densely punctate, with microscopic hairs in the punctures, anteriorly beside anterior angles with a few strong hairs; anterior and lateral

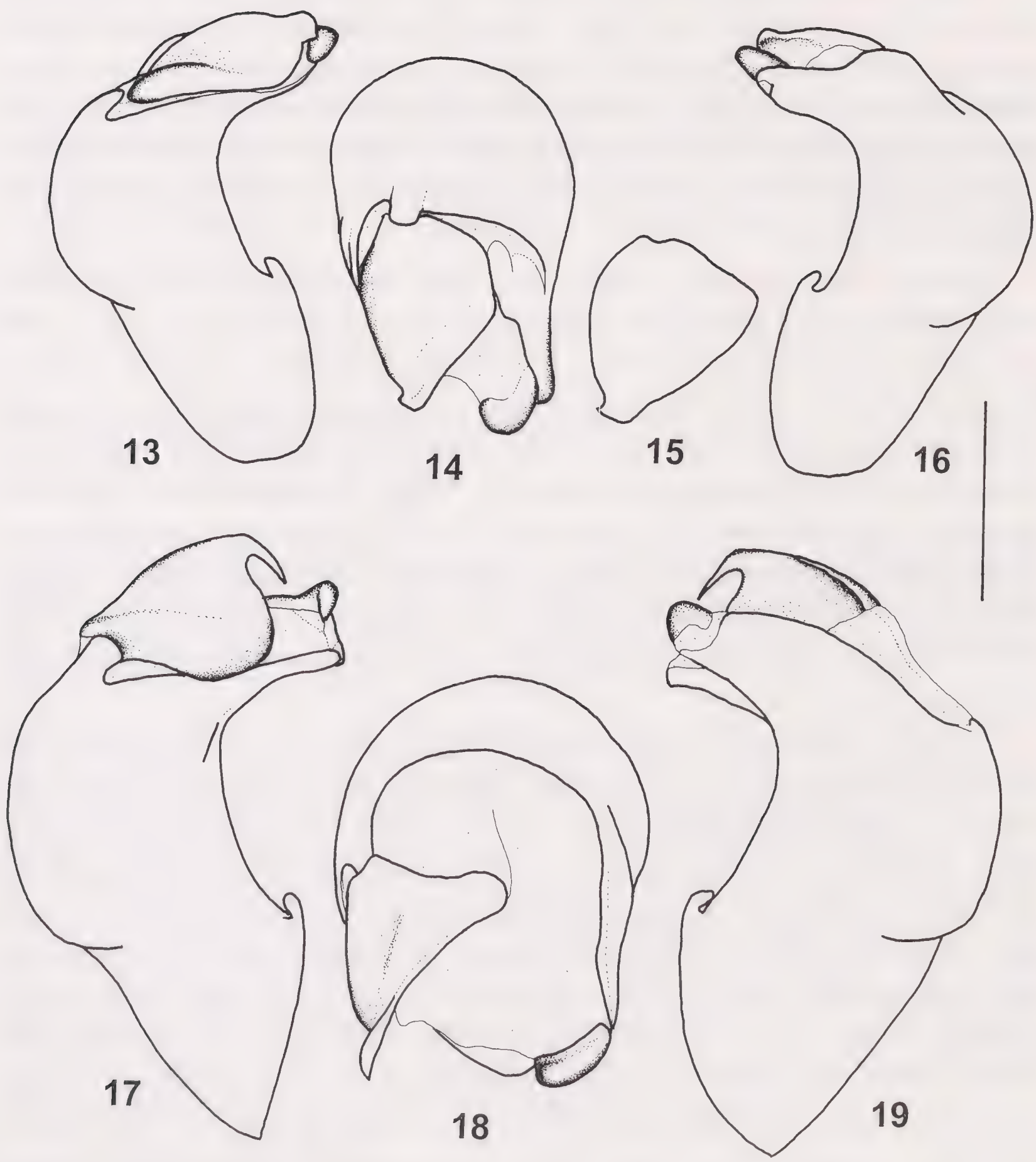

Figs. 13-19: 13-16: *Microserica beccarii* n. sp. (Holotypus: Sumatra, Mt. Singalang), 17-19: *M. bifasciata* n. sp. (Holotypus: Sumatra, Matoer); 13, 16, 17, 19- aedeagus lateral view, 14, 18- parameres dorsal view, 15- left paramere, dorsal upright view (scale: 0.5 mm).

margins sparsely setose; hypomeron distinctly edged. Scutellum slender, triangular, densely and finely punctate, with microscopic hairs in the punctures.

Elytra moderately long, widest behind middle, striae distinctly impressed and finely and not densely punctate, intervals weakly convex, with fine and dense punctures concentrated beside striae, medially almost smooth, punctures only microscopicly hairy; epipleural edge fine, ending at moderately curved external apical angle of elytra, epipleura not densely setose, apical border chitinous, without microtrichomes.

Ventral surface dull, finely and not densely punctate, sparsely hairy, metacoxal plates only laterally with a number of longer hairs; each abdominal sternite with a transversal row of coarse punctures bearing long hairs between very fine and dense punctation, penultimate sternite apically with only very narrow smooth chitinous border. Mesosternum between mesocoxae as wide as mesofemur. Ratio of length of metepisternum/ metacoxae: 1/ 1.77, posterior angle of metacoxal plates moderately rounded. Pygidium dull and weakly convex, finely and moderately densely punctate, with microscopic hairs in the punctures, without smooth midline, only beside apical margin with a few long hairs.

Legs moderately slender; femora dull, mesofemur with two longitudinal rows of hairs, metafemur with opaque tomentum, anteriorly sharply edged, behind anterior edge without serrated line, longitudinal rows of hairs reduced, anterior completely lacking, posterior one consisting only of four single hairs, surface moderately coarse and sparsely scattered punctate, posterior margin feebly convex and glabrous, neither dorsally nor ventrally serrated, dorsoapically widely produced. Metatibia moderately slender and not long, subparallel, basally narrowed, ratio of width/ length: 1/ 3.7, dorsal margin longitudinally rounded, not edged, with two groups of spines, basal one at one third, apical one at three fourth of metatibial length, basally only with two very short indistinct hairs; outside longitudinally convex, with moderately dense and very fine punctures, partly microscopicly hairy; ventral edge with three strong spines; inside completely smooth, apex interiorly near tarsal articulation shallowly concavely truncate. Tarsal segments dorsally impunctate, ventrally with sparse, short setae; metatarsal segments ventrally with a strongly serrated ridge and completely glabrous, immediately beside it with a moderate longitu-

dinal edge, first metatarsomer a little shorter than the two following segments combined and about one fourth longer than the upper tibial spur. Protibia moderately long, bidentate, external teeth small; all claws symmetrical, strongly curved and moderately long.

Aedeagus: Figs 17-19.

Notes. Female unknown. Externally *M. bifasciata* n. sp. may be distinguished from the similar *M. pyrrhopoecila* Brenske, 1898 by the less dense punctuation of anterior labroclypeus and the less sharply pointed anterior angles of pronotum. The parameres differ significantly in shape.

Microserica septemflabellata Moser

Microserica septemflabellata Moser, 1916: 171.

Type material: Syntypes: 2 ♂♂ " Sumatra Pangherang-Pisang X.90 e III.91 E. Modigliani/ coll. Brenske/ *pyrrhopoecila* var. type Brsk./ *Microserica 7-flabellata* Type Mos." (ZMHB), 1 ♂ "Sumatra Manna 1902 M. Knappert" (ZMHB).

Additional material examined: 1 ex. "Sumatra Pangherang-Pisang X.90 e III.91 E. Modigliani" (MSNG), 1 ex. (♂) "Habisaran Sumatra Indonesia/ 30 April 1988 F. R. Wylie/ on foliage *Euc. urophylla* "Timaor/ Brazil"/ Sumatra C. I. E. A19801" (BMNH), 1 ex. (♂) "Sumatra Harau Valley January 1991, local collector" (CP), 1 ex. "E Sumatra: Riau prov.; Bukit Tigapuluh N.P.; 0°50'S 102°26'E; D. Hauck leg.; 18.-25.i.2000" (CP), 19 ex. "Malaysia W 27.3.-1.4. Cameron Highlands Ringlet env. lgt. M. Snizek 2000" (CP), 1 ex. "Malaysia: W. Perak; 25 km NE of Ipoh; 1200 m; Banjaran Titi Wangsa mts.; Korbu mts.; 27.i.-2.ii.1999 P. Pacholátko leg." (CP).

Aedeagus: Figs 20-22.

Microserica lampungensis n. sp.

Type material: Holotype: ♂ "S Sumatra: Lampung prov.; Bukit Barisan Saletan N.P. 5°4'S, 104°4'E; + 600 m; 5 km SW Liwa; D.

Hauck leg.; 7.-17.ii.2000" (MMBC via CP). Paratype: 1 ♂ - same data as holotype (CA).

Length: 5.8-6.4 mm, length of elytra: 3.6-3.9 mm, width: 3.3-3.6 mm. Body oval, dark or reddish brown, partly with greenish lustre, abdominal sternites, pygidium, sides of pronotum and elytra yellow, each elytron with two large yellowish transversal bands or dots, antenna brown, dorsal surface, except shiny labroclypeus and tibia, dull and glabrous.

Labroclypeus moderately broad, transversely rectangular, widest at base, lateral margins almost subparallel, rounded anterior strongly angles, lateral border and ocular canthus producing a blunt angle, margins moderately reflexed, anterior margin moderately sinuate medially; surface flat and shiny, basally dull, with moderately coarse and dense punctures, with only a few single robust hairs; frontoclypeal suture feebly incised and weakly curved medially; smooth area in front of eye approximately as wide as long; ocular canthus short and moderately broad, almost impunctate, with a terminal hair. Frons with fine and moderately dense punctures, with fine microscopic hairs in the punctures, beside eyes and behind frontoclypeal suture a few single long hairs. Eyes small, ratio of diameter/ interocular width: 0.46. Antenna 10-segmented; club with seven segments, almost twice as long as the remaining segments together (♂) and feebly reflexed, first segment of club a little shorter than the club, third antennal segment long. Mentum anteriorly elevated and flattened, anterior margin densely hairy.

Pronotum moderately transverse, widest at base, lateral borders moderately convexly curved and distinctly convergent anteriorly, anterior angles moderately produced and moderately sharp, posterior angle blunt, only weakly rounded, anterior margin weakly convexly produced medially and with a fine marginal line; surface finely and not densely punctate, with microscopic hairs in the punctures; anterior and lateral margins sparsely setose; hypomeron distinctly edged. Scutellum broadly triangular and dark, with fine and dense punctures, punctation less dense medially, with microscopic hairs in the punctures.

Elytra moderately long, widest in the middle, striae finely impressed and not densely punctate, intervals moderately convex, with fine and sparse punctures along the striae, medially smooth, punctures only microscopicly hairy; epipleural edge fine, ending at moderately curved external apical angle of elytra, epipleura not densely setose, apical border chitinous, without microtrichomes.

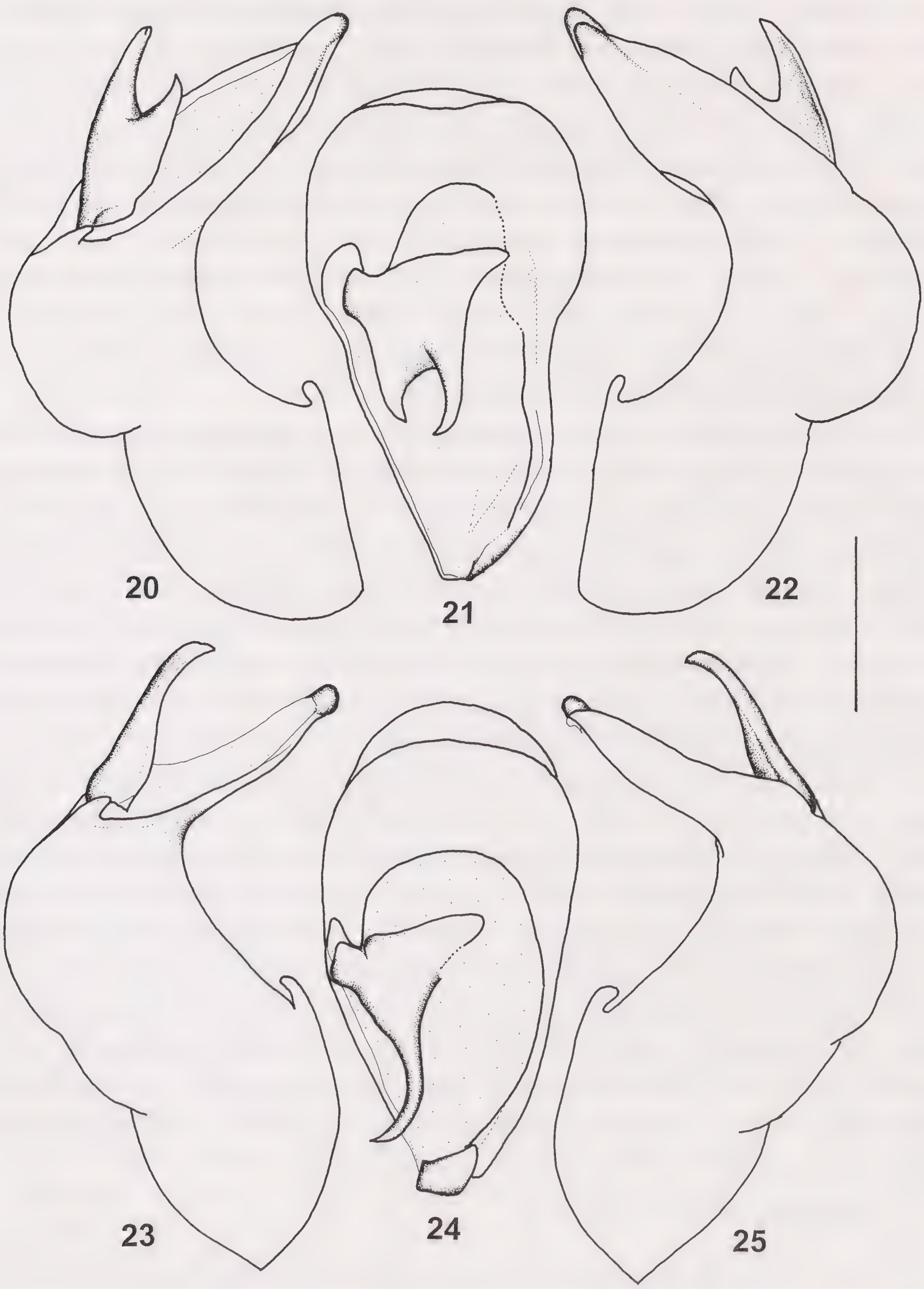

Figs. 20-25: 20-22: *Microserica septemflabellata* Moser (Syntype: Sumatra, Pangharang-Pisang), 23-25: *M. lampungensis* n. sp. (Holotype: S. Sumatra, Lampung prov., Bukit Barisan Selatan N.P.), 20, 22, 23, 25- aedeagus lateral view, 21, 24- parameres dorsal view (scale: 0.5 mm).

Ventral surface dull, finely and not densely punctate, sparsely hairy, metacoxal plates only laterally with a number of longer hairs; each abdominal sternite with a transversal row of coarse punctures bearing long hairs between very fine and dense punctation, penultimate sternite apically with only very narrow smooth chitinous border. Mesosternum between mesocoxae as wide as mesofemur. Ratio of length of metepisternum/ metacoxae: 1/ 1.78, posterior angle of metacoxal plates moderately rounded. Pygidium yellow, with dark margin, shiny and moderately convex, coarsely and densely punctate, with microscopic hairs in the punctures, without smooth midline, only beside apical margin with a few long hairs.

Legs moderately slender; mesofemur with two longitudinal rows of hairs, metafemur shiny, anteriorly sharply edged, behind anterior edge without serrated line, longitudinal rows reduced, only finely and very sparsely punctate, posterior margin feebly convex and glabrous, neither dorsally nor ventrally serrated, dorsoapically widely produced. Metatibia moderately slender and not long, subparallel, basally narrowed, ratio of width/ length: 1/ 3.25, dorsal margin longitudinally rounded, not edged, with two groups of spines, basal one at one third, apical one at two third of metatibial length, basally only with two very short indistinct hairs; outside longitudinally convex, with sparse and very fine punctures, partly microscopicly hairy; ventral edge with three strong equidistant spines; inside completely smooth, apex interiorly near tarsal articulation shallowly concavely truncate. Tarsal segments dorsally impunctate, ventrally with sparse, short setae; metatarsal segments ventrally with a strongly serrated ridge and completely glabrous, immediately beside it with a moderate longitudinal edge, first metatarsomer as long as the two following segments combined and about one fourth longer than the upper tibial spur. Protibia moderately long, bidentate, external teeth small; all claws symmetrical, strongly curved and moderately long.

Aedeagus: Figs 23-25.

Notes. Female unknown. Compared to *M. septemflabellata* Moser, *M. lampungensis* n. sp. has a slenderer labroclypeus with subparallel lateral margins. The two species may easily be separated by characters of the male genitalia.

Microserica compressipes (Wiedemann)

Melolontha compressipes Wiedemann, 1823: 91.
Microserica compressipes: Brenske, 1899: 186.
Microserica compressipes var. tjibodasia Brenske, 1899: 186.
Microserica compressipes var. unicolor Brenske, 1899: 186.
Microserica brenskei Reitter, 1896: 186, **n. syn.**
Microserica pulchella Brenske, 1899: 161, **n. syn.**
Microserica leopoldiana Balthasar, 1932: 113, **n. syn.**

Type material Lectotype (*compressipes,* here designated): ♂ "Westermann/ Java Septbr. 1814 *compressipes* Wied." (ZMUC). Paralectotype (*compressipes)*: 1 ♂ "Westermann/ Java Septbr. 1814 *compressipes* Wied." (ZMUC). Syntypes (*compressipes var. tjibodasia*): 1 ♂ "Tcibodas Giava Beccari 1874/ *compressipes* var. *tjibodasia* typ. Brsk./ Type/ *compressipes* var. *tjibodasia* Brsk." (MSNG), 1 ♂, 1 ♀ "Tcibodas Giava Beccari 1874.X/ v. *tjibodasia* typ. Brsk." (MSNG), 5 ♂♂ "Tcibodas Giava Beccari 1874.X" (MSNG), 17 ♂♂, 35 ♀♀ "Tcibodas Giava Beccari 8bre 1874" (MSNG). Syntypes (*pulchella*): 2 ♂♂, 5 ♀♀ "Sumatra Si-Rambé XII.90-III.91 E. Modigliani/ *pulchella* type Brsk." (MSNG, DEI), 1 ♂, 1 ♀ "Sumatra Si-Rambé XII.90-III.91 E. Modigliani" (MSNG), 2 ♂♂ "Sumatra D. Tolong XI.1890 E. Modigliani/ *pulchella* type ♂ Brsk." (MSNG), 3 ♂♂, 4 ♀♀ "Sumatra Lago Toba II & XI.1891 E. Modigliani/ *pulchella* type Brsk." (MSNG), 1 ♂ "Sumatra Ajer Mantcior Agosto 1878 O. Beccari/ *pulchella* typ. ♂ Brsk./ coll. Brenske", 1 ♂ "Sumatra Balighe/ coll. Brenske/ *pulchella* ♂ Brsk.", 1 ♂ "Sumatra D. Tolong XI.1890 E. Modigliani/ coll. Brenske/ *Serica pulchella* type ♂ Brsk.", 2 ♂♂, 5 ♀♀ "Sumatra Lago Toba II & XI. 1891 E. Modigliani/ *pulchella* typ. Brsk./ coll. Brenske" (DEI, ZMHB), 1 ♂ "Sumatra Pangherang-Pisang X.90-III.91 E. Modigliani/ *Serica pulchella* Type ♂ Br./ coll. Brenske" (ZMHB), 12 ♂♂, 2 ♀♀ "Soekaranda Januar 1894 Dohrn/ coll. Brenske" (ZMHB), 1 ♂, 2 ♀♀ "Sumatra Benculen IV.1891 E. Modigliani/ *pulchella* Typ. ♀ Brsk./ *pulchella* Brsk. ♀" (DEI, ZMHB, MSNG), 2 ♂♂, 5 ♀♀ "Sumatra Balighe X.90-III.91 E. Modigliani/ *pulchella* typ." (ZMHB, MSNG, DEI). Holotype (*brenskei* Rtt.): ♂ "Jokohama Staudgr./ Holotypus/ n. sp. N° 15 Vaterland/ Brenske vid./ Lewis vid./ *Microserica brenskei* m." (DEI). Paratype (*leopoldiana*): 1 ♀ "Takengon (Sumatra) 9-V-1929 Prince Leopold/ Typus/ Dr. V. Balthasar det, 1931: *Microserica leopoldiana* n. sp./ Paratypoid" (CF).

Additional material examined: Thailand: 3 ex. "NW Thai 17.-23.V.1991 Mae Hong Son Ban Huai Po 1600-2000 m J. Horák leg." (CP), 1 ex. "NW Thailand, 19.19N, 97.59E Mae Hong Son, 1991 Ban Huai Po, 1600-2000 m, 17.-23.5., L. Dembicky leg." (NHMW). Sumatra: 4 ex. "W-Sumatra Mt. Sago II/1991" (CN), 1 ex. "W-Sumatra Merapi Mt. III.1991" (CN), 4 ex. "Bedagei int. Sumatra's o.K. 600' 2. Sem. 89 I. Z. Kannegieter" (ZMHB), 2 ex. "Fort de Kock (Sumatra) 920 m April 1921 leg. E. Jacobson" (ZMHB), 2 ex. "Edw. Jacobson Lasikin, Sim. Sum. 4.1913" (ZMHB), 2 ex. "J. B. Corporaal Sumatra's O.-K. Brastagi 14-2-21 1300 m" (ZMHB), 2 ex. "J. B. Corporaal Sumatra's O.-K. Brastagi 15-5-21 1300 m" (ZMHB), 1 ex. "Sumatra" (ZMHB), 5 ex. "Medan Doloc Baros Estate Sumatra" (ZMHB), 3 ex. "Sumatra Medan" (ZMHB), 4 ex. "Sumatra Silbolangit" (ZMHB), 1 ex. "Sumatra Aceh Kuala Don b. Calang 20.-28.2.96 lg. Zorn", 8 ex. "I. N. Sumatra Brastagi 22-26.5.1991" (CA), 1 ex. "Indonesia: W-Java, Gunung Salak 6,43S 106,44E 1100 m S. Jakl leg. VII.1996" (CP), 1 ex. "Indonesia, Sumatra (Aceh) 20 km N Ronga Ronga 26. Feb. 1998 800 m L. Bocak lgt." (CP), 5 ex. "North Sumatra, Brastagi Sibayak 22.-25.V.1991 leg. Jiri Moravec" (CP), 5 ex. "Tandjong Morawa N.O. Sumatra/ Coll. Kraatz" (DEI), 2 ex. "Tombameer III. 1922 Damm" (DEI), 1 ex. "N. O. Sumatra Tebing tiggi Dr. Schultheiss/ Coll. Kraatz" (DEI), 1 ex. "*compressipes* Wd. Sumatra/ Mus. Hauschild 12-9-1914" (ZMUC), 10 ex. "Sumatra Klein" (ZMUC), 30 ex. "Holl. Indien (Sumatra?) Klein" (ZMUC), 2 ex. "Tibbing tingi/ Collectio Dr. Ohaus" (SMTD), 5 ex. "Sumatra Lago Toba II & XI. 1891 E. Modigliani/ Coll. C. Felsche Kauf 20, 1918/ *pulchella*" (SMTD), 5 ex. "Sumatra Si-Rambé XII.90-III.91 E. Modigliani" (SMTD), 7 ex. "Sumatra" (SMTD), 13 ex. "Indonesia, Aceh Is. Simalur Aer Pinang 17./ 18.II.84 2 m/ Sumatra-Reise 1984, leg. H. Urban, K. Urban, I. Worm, J. Wiesner" (NHMB), 2 ex. "Brastagi 27.IV.1982/ Sumatra R. Blaser" (NHMB), 1 ex. "Sumatra (Jambi), Gunung Kerinci, 1800-2100 m 6.-7.III.1991 Bocak & Bocakova lgt." (NHMB), 2 ex. "North Sumatra Ketambe env. 14.-16.iv.1998 lgt. Vit Kabourek" (CP), 14 ex. "North Sumatra Brastagi 76 km S from Medan 30.3.-1.4.1996 lgt. S. Becvar" (CP), 87 ex. "E Sumatra; Riau prov.; Bukit Tigapuluh N.P.; 0°50'S 102°26'E; D. Hauck leg.; 18.-25.i.2000" (CP). Java: 1 ♂ "Tcibodas Giava Beccari 1874.X/ *compressipes* var. b", 1 ♂ "Buitenzorg X.1874 Beccari" (die 2 Tiere nicht deutlich der *unicolor* o. *tjibodasia* zuzuordnen), 1 ♂, 4 ♀♀ "Tcibodas Giava Beccari 1874", 1 ex. "Java Fruh-

stfr./ *Microserica compressipes* Brsk. det.", 1 ♀ "Java Occ. Preanger T. Prao/ Lansb. 78" (MSNG), 12 ex. "Java occid. Fruhst./ Zool. Inst. Mus. Greifswald Coll. Gerstaecker" (Mus. Greifswald), 4 ex. "Java occident. Sucabumi 2000' 1893 H. Fruhstorfer/ Moser det." (DEI), 8 ex. "Java orient. Montes Tengger 4000' 1890 H. Fruhstorfer" (DEI), 10 ex. "Java/ Coll. Heyden" (DEI), ex. "Java occident. Mons Gede 4000' 1893 H. Fruhstorfer" (DEI), 3 ex. "Holländ. Indien" (DEI), 4 ex. "Java occident. Pengalengan 4000' 1893 H. Fruhstorfer/ Coll. Kraatz" (DEI), 1 ex. "I. B. Corporaal Java P..aenger-Tjigembong/ det. Moser *Microserica compressipes* Wied." (DEI), 1 ex. "Java Schönfeldt/ Brenske vid./ *compressipes* Wied." (DEI), 13 ex. "Java/ Mus. Hauschild 12-9-1914" (ZMUC), 1 ex. "Tjibodas Java/ J. Skovgaard Java" (ZMUC), 7 ex. "Java Tjib. Gédé Maj. 1904/ J. Skovgaard Java" (ZMUC), 31 ex. "Java J. Skovgaard" (ZMUC), 1 ex. "Java/ Coll. Jansen-Haarup" (ZMUC), 7 ex. "Java/ Collectio Ohaus" (SMTD), 5 ex. "Java 9179" (SMTD), 1 ex. "Java Samarang/ Aus Neppenthes Kannen/ 1922-3" (SMTD), 4 ex. "Tjibodas/ Coll. C. Felsche Kauf 20, 1918" (SMTD), 17 ex. "Java" (SMTD), 1 ex. "J. B. Corporaal Java Preanger Tjigembong/ 1922 5" (SMTD), 3 ex. "Java Batjang Mt. Gedeh 1100 m IX.-X.1919 R. Ratter cond." (NHMB). Bali: 5 ex. "Indonesien, Bali Denpasar V-VII 1981 leg. Wolfgang Barries" (CP).

Aedeagus: Figs 26-33.

Notes. No significant morphological differences in male genitalia could be found between types of *M. brenskei*, *M. pulchella* und *M. compressipes*. The forms differ only in colour pattern, which Brenske (1899:161) used for separation between *M. pulchella* and *M. compressipes*, but the colouration is very variable. Specimens with colour pattern of typical *M. pulchella* have been recorded from Java, too. Since from genital morphology of different colour forms no significant evidence for separation of valid species could be derived, the species are here regarded as synonyms. The original description of "*Melolontha compressipes*" gave no information about the number of specimens on which the description was based. Consequently, it was necessary to fix the taxonomic status by designating a lectotype.

The description of *M. brenskei* by Reitter (1896) is based on a specimen with erroneous locality label (?Yokyakarta = ?Yokohama/ Jokohama). The representatives of the *Microserica compressipes*-group occur, due to present knowledge, only in Indonesia. Aedeagus of

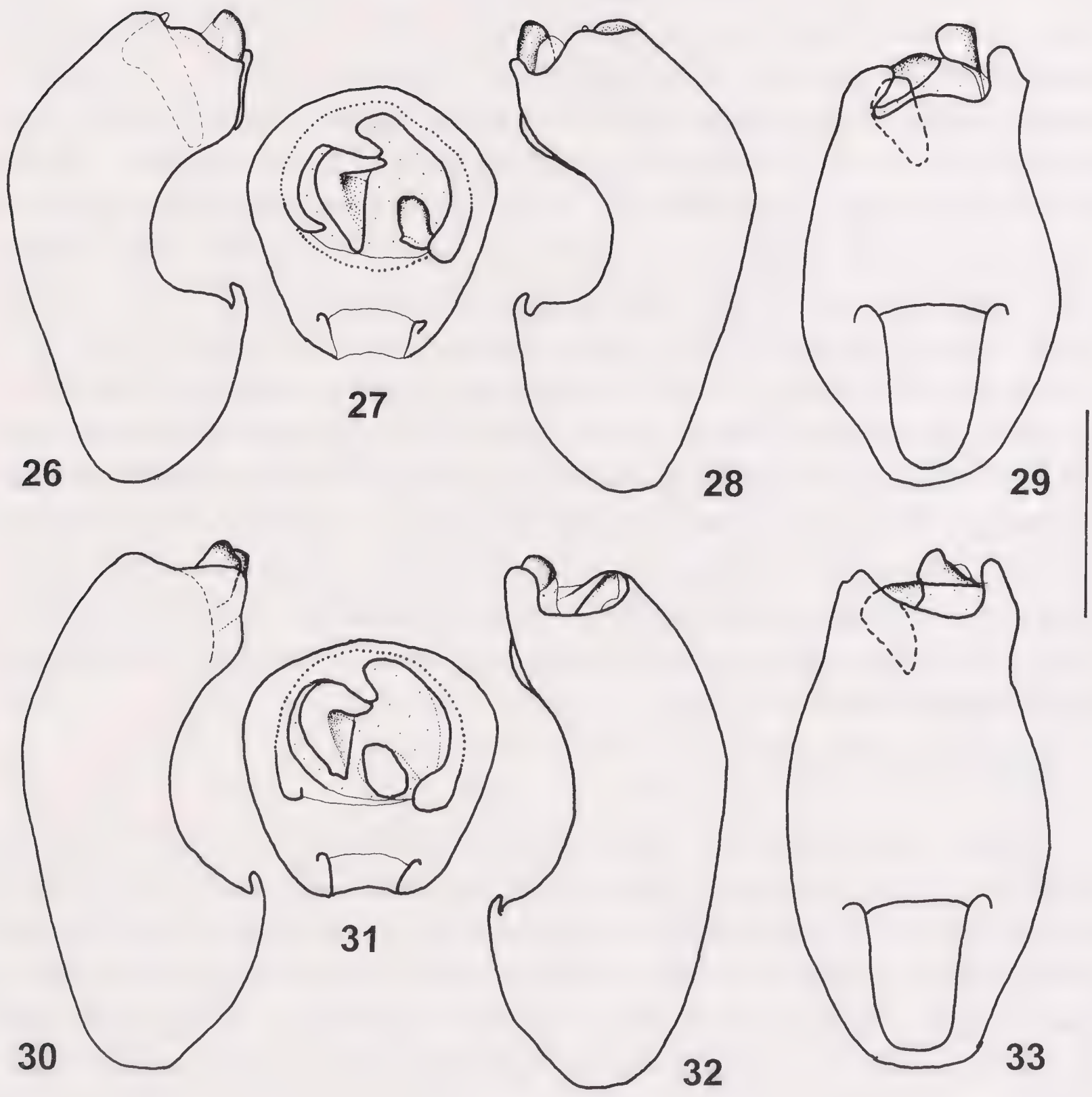

Figs. 26-33: *Microserica compressipes* (Wiedemann); 26-29: Syntype of *M. pulchella* Brsk.: Sumatra, Benculen, 30-33: specimen from Java compared with type of *M. compressipes* (Java occid., Sukabumi); 26, 28, 33, 35- aedeagus lateral view, 27, 34- parameres dorsal view, 29, 33- aedeagus ventral view (scale: 0.5 mm).

holotype of *M. brenskei* Reitter is identical with that of *M. compressipes*.

Microserica ornata (Nonfried)

Serica ornata Nonfried, 1894: 202.
Microserica ornata: Brenske 1898: 403.
Microserica lineola Brenske, 1898: 402, **n. syn.**

Type material: Holotypus (*ornata*): ♂ "N.O. Sumatra Tebingtinggi Dr. Schultheiss/ *Serica ornata* Type Nonfr." (ZMHB). Syntypes (*lineola*): 2 ♂♂, 1 ♀ "Sumatra Pangherang-Pisang X.90 e III.91 E. Modigliani", 1 ♂ "Sumatra Siboga X.90 e III.91 E. Modigliani"(ZMHB), 1 ♂, 1 ♀ "Dohrn Sumatra Soekaranda/ coll. Brenske" (ZMHB), 3 ♂♂, 1 ♀ "Sumatra Pangherang-Pisang X.90 e III.91 E. Modigliani" (MSNG), 2 ♂♂ "Sumatra Pangherang-Pisang X.90 e III.91 E. Modigliani/ 136/ *Serica lineola* Brsk. n. sp." (MSNG), 2 ♂♂ "Sumatra Siboga Aprile 1886 Modigliani" (MSNG), 1 ♂ "Sumatra Kaju Tanam Agosto e Sett. 1878 O. Beccari"(MSNG), 1 ♂ "Sumatra Ajer Mantcior Agosto 1878 O. Beccari" (MSNG).

Additional material examined: 4 ex. "Sumatra 800 m Padg. Pandjang 1. trim. 1896 / Kannegieter legit" (ZMHB), 1 ex. "J. B.Corporaal Sumatra's O. K. Sibolangit 29.10.'21 550 m" (ZMHB), 2 ex. "J. B.Corporaal Sumatra's O. K. Sibolangit 22.10.'21 550 m" (ZMHB), 3 ex. "Bedagei int. Sumatra's O.K. 600 m 2de Sem. 89 I. Z. Kannegieter" (ZMHB), 1 ex. "Sumatra Lan Rakit" (ZMHB), 1 ex. "Sumatra Padang" (ZMHB), 5 ex. "Sumatra Boscha Bandar (?)" (ZMHB), 2 ex. "Pangkalan W. Sumatra Feb. 1990 H. Arimoto"(CA), 3 ex. "Indonesia Sumatra-Utara Umg. Aek Tarum ca. 50 km NO Pematang-Siantar 300 m 7.-9.I.95" (CA), 4 ex. "Indonesia Sumatra Barat Umg. Padang-Panjang 700-1000 m 21.-25.I.95"(CA), 1 ex. "W-Sumatra Pedang-Punjang 700 m 8.II.96 lg. Zorn"(CA), 3 ex. "Sumatra Barat Kempat Feb. 94 leg. Widagdo", 1 ex. "Sumatra North Berastagi 23.-27.5.1991 H. Cermak lgt." (CA), 1 ex. "W.Sumatra Payakumbuh Sarilamak env. 15.-16.2.91 Jezevec lgt." (CN), 12 ex. "W-Sumatra Mt. Sago II, III/ 91" (CN), 3 ex. "I.-W. Sumatra 600 m Paykumbuh 6-10.1.1991 Harau vill. env. St. Jakl lgt." (CN), 2 ex. "I-W. Sumatra 1991 Pangalan 4-10.2. St. Jakl lgt. 1300 m" (CN), 4 ex. "Sumatra Harau Vallay January 1991

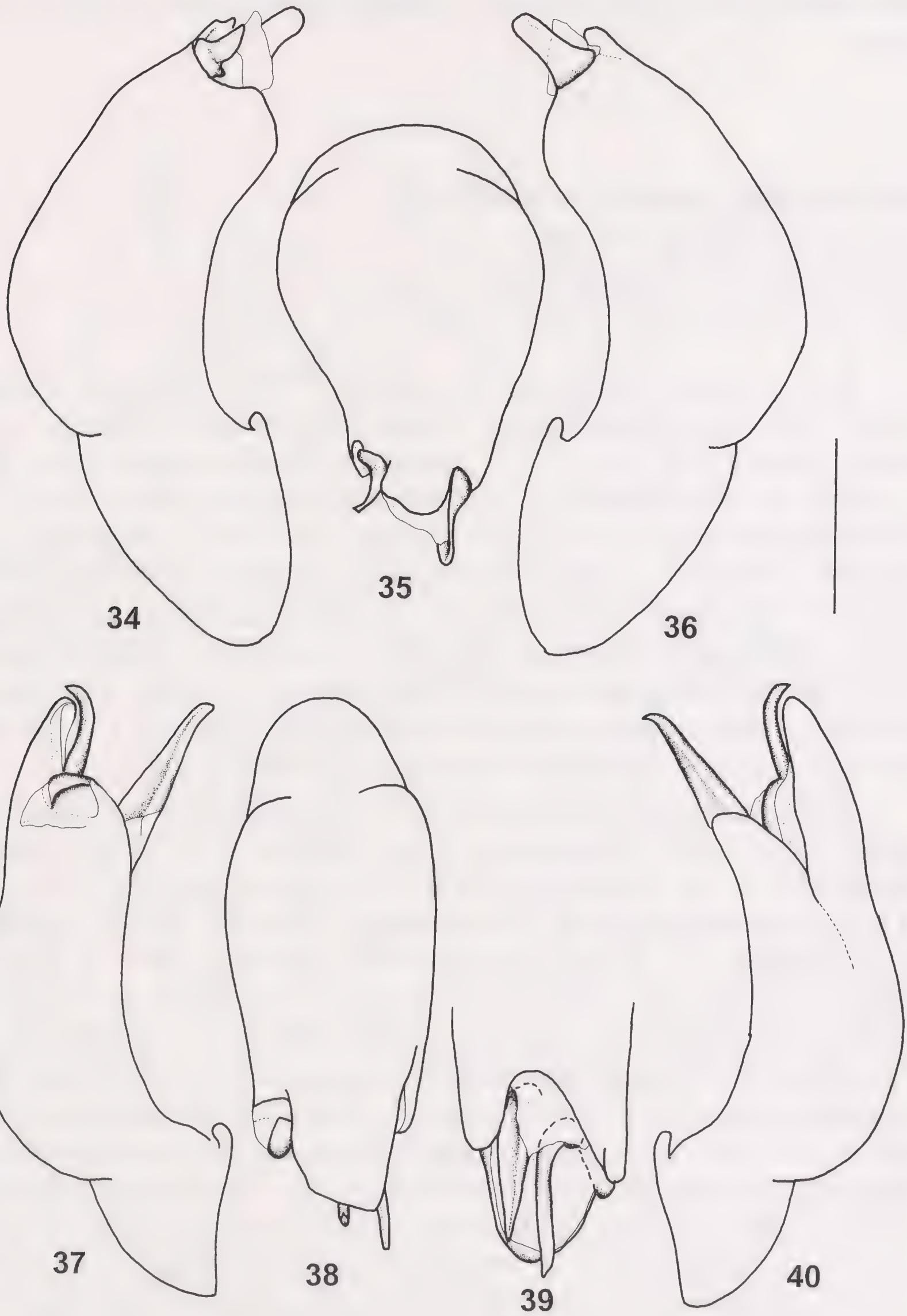

Figs. 34-40: 34-36: *Microserica ornata* (Nonfried) (Holotype: Sumatra, Tebing tiggi), 37-40: *M. nuda* n. sp. (Holotype: Sumatra, Padang); 34, 36, 37, 40- aedeagus lateral view, 35, 38- parameres dorsal view, 39- parameres ventral view (scale: 0.5 mm).

local collector" (CP), 3 ex. "Bukittinggi 7.1.94 Sumatra leg. Kondler" (CP), 2 ex. N. Sumatra IV.1991 Marapi Local collector" (CP).

Aedeagus: Figs 34-36.

Notes. Head and thorax of holotype (♂) of *Microserica ornata* (Nonfried) were lost. Later on, they were replaced by head and thorax of another *Microserica* species (♀, club 3-segmented and short). The aedeagus of holotype (♂) of *Microserica ornata* (Nonfried) is identical with that of syntypes of *M. lineola* Brenske.

Microserica agraria Brenske

Microserica agraria Brenske, 1898: 444.

Type material: Syntypes: 1 ♂, 1 ♀ "Sumatra Pangherang-Pisang X.90 e III.91 E. Modigliani/ *Serica agraria* Type Brsk./ *agraria* Brsk." (MSNG).

Aedeagus: Figs 41-43.

Microserica nuda n. sp.

Type material: Holotype: ♂ "Sumatra Padang 1890 E. Modigliani" (MSNG).

Length: 6.8 mm, length of elytra: 5.1 mm, width: 4.3 mm. Body oval, dark reddish brown, partly with greenish lustre, antenna yellow, dorsal surface, except shiny labroclypeus and tibia, dull and glabrous.

Labroclypeus transverse and subtrapezoidal, widest at base, lateral margins feebly curved and moderately convergent to feebly rounded anterior angles, lateral border and ocular canthus producing a blunt angle, margins moderately reflexed, anteriorly moderately sinuate medially; surface flat and shiny, with coarse and moderately dense punctures, with only a few single short hairs anteriorly; frontoclypeal suture feebly incised and weakly curved medially; smooth area in front of eye approximately twice as wide as long; ocular canthus short and moderately broad, with a few fine punctures and a terminal hair. Frons with fine and moderately dense, very superficial punc-

tures, with fine microscopic hairs in the punctures, beside eyes two single long hairs. Eyes moderately large, ratio of diameter/ interocular width: 0.67. Antenna 10-segmented; club with four segments, as long as the remaining segments together (♂). Mentum anteriorly elevated and flattened, anterior margin densely hairy.

Pronotum moderately transverse, widest at base, lateral borders feebly but uniformly curved, weakly convergent anteriorly, anterior angles strongly protruding and sharp, posterior angle strongly rounded, anterior margin medially weakly convexly produced and with fine marginal line; surface densely and finely punctate, with microscopic hairs in the punctures; anterior border glabrous, lateral border sparsely setose; hypomeron only weakly edged. Scutellum slender,

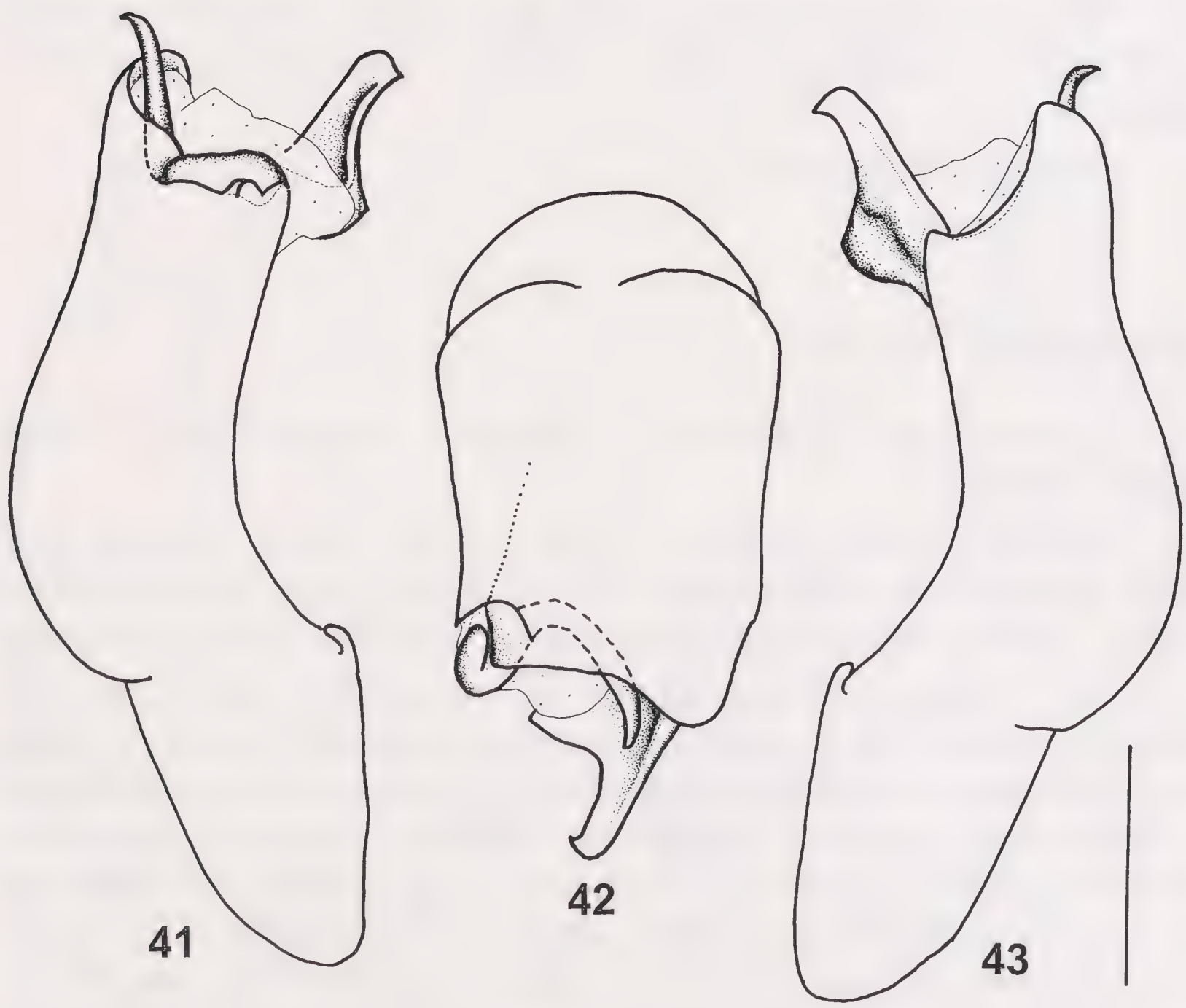

Figs. 41-43: *Microserica agraria* Brenske (Syntype: Sumatra, Pangherang-Pisang); 41, 43- aedeagus lateral view, 42- parameres dorsal view (scale: 0.5 mm).

triangular, densely and finely punctate, with microscopic hairs in the punctures, at base smooth medially .

Elytra moderately long, widest behind middle, striae weakly impressed, finely and not densely punctate, intervals flat, with fine and moderately dense punctures, punctures only microscopicly hairy; epipleural edge fine, ending at strongly curved external apical angle of elytra, epipleura not densely setose, apical border membranous, covered with very short microtrichomes.

Ventral surface dull, finely and not densely punctate, sparsely hairy, metacoxal plates only laterally with a few longer hairs; each abdominal sternite with a transversal row of coarse punctures bearing long hairs between very fine and dense punctation, penultimate sternite apically with only a very narrow smooth chitinous border. Mesosternum between mesocoxae as wide as mesofemur. Ratio of length of metepisternum/ metacoxae: 1/ 2.0. Pygidium dull and moderately convex, finely and moderately densely punctate, without smooth midline, only beside apical margin with a few robust and long hairs.

Legs moderately slender; femora dull, mesofemur with two longitudinal rows of hairs; surface of metafemur with opaque tomentum, anteriorly sharply edged, behind anterior edge without a continuously serrated line, longitudinal rows of metafemur reduced, only finely and very sparsely punctate, posterior margin feebly convex, posterior margin neither dorsally nor ventrally serrated, dorsoapically widely produced. Metatibia moderately slender and not long, subparallel, narrowed to base, ratio of width/ length: 1/ 3.3, dorsal margin longitudinally rounded, not edged, with two groups of spines, basal one at one third, apical one at two third of metatibial length, basally only with two very short indistinct hairs; outside longitudinally convex, with moderately dense and very fine punctures, partly microscopicly hairy; ventral edge with three strong spines; inside completely smooth, apex interiorly near tarsal articulation shallowly concavely truncate. Tarsal segments dorsally impunctate, ventrally with sparse, short setae; metatarsal segments ventrally completely glabrous and with a strongly serrated ridge, immediately beside it with a moderate longitudinal edge, first metatarsomer distinctly shorter than the two following segments combined and about one fourth longer than the upper tibial spur. Protibia moderately long, bidentate, external teeth small; all claws symmetrical, strongly curved and moderately long.

Aedeagus: Figs 37-40.

Notes. Female unknown. *M. nuda* n. sp. may be separated from *M. agraria* Brenske, 1898 only by the shape of the aedeagus and parameres (figs 41-43). Both are to distinguish from *M. enganoana* Brenske, 1898 by wider metafemur and shorter antennal club (in *M. enganoana* 1.2 times longer than the remaining segments combined). All mentioned species belong to an outstanding species group of *Microserica*, characterized by only weakly edged hypomeron, four segmented antennal club in male, dorsally widely produced phallobasis of aedeagus, and completely dull pygidium in female, that bear close to the apical border a few strong and long hairs. *M. nicobarenis* (Redtenbacher, 1868) is a further representative of this group.

ACKNOWLEDGEMENTS

I wish to express my cordial thanks to the following persons and their institutions for loaning the material: A. Ballerio, Brescia, M. Brancucci (NHMB), Y. Cambefort, N. Berti, O. Montreuil (MNHN), I. Löbl (MHNG), O. Martin (ZMUC), O. Merkl (HNHM), M. Nikodým (Praha), P. Pacholátko (Brno), R. Poggi (MSNG), W. Schawaller (SMNS), H. Schönmann, H. Schillhammer (NMHW), R. Schuh, Wien, M. Uhlig, H. Wendt, J. Schulze (ZMHB), L. Zerche, L. Behne (DEI).

REFERENCES

AHRENS D., 2001 - Neue Arten der *Microserica splendidula* (Fabricius, 1801)-Gruppe von West-Malayasia, Nias und Sumatra (Coleoptera: Melolonthidae) - *Kol. Rundschau*, Wien, 71: 111-120.

ARROW G.J., 1946 - Notes on *Aserica* and some related genera of melolonthine beetles, with descriptions of a new species and two new genera - *Ann. Mag. nat. Hist.*, London, (13), 11: 264-283.

BALTHASAR V., 1932 - Deux nouveaux Sericini de Sumatra. Une contribution à la connaissance des Scarabaeidae de la région orientale - *Bull. Ann. Soc. ent. Belg.*, Bruxelles, 72: 113-117.

BRENSKE E., 1893 - Melolonthiden von Borneo und einigen anderen malayischen Inseln - *Berl. ent. Ztschr.*, Berlin, 38: 347-358.

BRENSKE E., 1898 - Die *Serica*-Arten der Erde. II - *Berl. ent. Ztschr.*, Berlin, 43: 205-403.

BRENSKE E., 1899 - Die *Serica*-Arten der Erde. III - *Berl. ent. Ztschr.*, Berlin, 44: 161-272.

MOSER J., 1915 - Neue *Serica*-Arten - *Deutsche ent. Ztschr.*, Berlin: 337-393.

MOSER J., 1916 - Beitrag zur Kenntnis der Melolonthiden.V - *Deutsche ent. Ztschr.*, Berlin: 129-190.

NONFRIED A.F., 1894 - Beiträge zur Coleopteren-Fauna von Tebing-Tiggi (Süd-Sumatra). Lucanidae, Melolonthidae, Rutelidae, Cetonini, Buprestidae und Cerambycidae - *Deutsche ent. Ztschr.*, Berlin: 193-215.

REITTER E., 1896 - Uebersicht der mir bekannten palaearktischen, mit der Coleopteren-Gattung *Serica* verwandten Gattungen und Arten - *Wien. ent. Ztg.*, Wien, 15 (4-5): 180-188.

WIEDEMANN C.R.W., 1823 - Zweihundert neue Käfer von Java, Bengalen und dem Vorgebirge der guten Hoffnung - *Zool. Mag.*, Altona, 2: 1-135.

ABSTRACT

Type material revision of Indomalayan species of *Microserica* Brenske, 1894 resulted in following new synonymies: *M. quadripustulata* Moser, 1915 (= *M. flavopicta* Arrow, 1946, n. syn.), *M. ornata* (Nonfried, 1894) (= *M. lineola* Brenske, 1898, n. syn.), *M. compressipes* (Wiedemann, 1823) (= *M. brenskei* Reitter, 1896, n. syn. = *M. pulchella* Brenske, 1899, n. syn. = *M. leopoldiana* Balthasar, 1932, n. syn.).

New distributional data are given and five new species are described: *M. beccarii* n. sp. (from Sumatra), *M. bifasciata* n. sp. (from Sumatra), *M. lampungensis* n. sp. (from Sumatra), *M. larutensis* n. sp. (from Malacca) and *M. nuda* n. sp. (from Sumatra). Male genitalia of all new species are illustrated and discriminative characters to related taxa are discussed. The lectotypes of *M. pyrrhopoecila* Brenske and of *M. compressipes* (Wiedemann) are designated.

RIASSUNTO

La revisione del materiale tipico delle specie indomalesi del genere *Microserica* Brenske, 1894 ha permesso di stabilire le seguenti nuove sinonimie: *M. quadripustulata* Moser, 1915 (= *M. flavopicta* Arrow, 1946, n. syn.), *M. ornata* (Nonfried, 1894) (= *M. lineola* Brenske, 1898, n. syn.), *M. compressipes* (Wiedemann, 1823) (= *M. brenskei* Reitter, 1896, n. syn. = *M. pulchella* Brenske, 1899, n. syn. = *M. leopoldiana* Balthasar, 1932, n. syn.).

Si forniscono nuovi dati corologici e cinque specie sono descritte come nuove: *M. beccarii* n. sp. (Sumatra), *M. bifasciata* n. sp. (Sumatra), *M. lampungensis* n. sp. (Sumatra), *M. larutensis* n. sp. (Malacca) e *M. nuda* n. sp. (Sumatra). Per tutte le nuove specie si illustrano gli apparati genitali maschili e si evidenziano i caratteri morfologici che permettono la separazione dalle specie già note; vengono infine designati i lectotipi di *M. pyrrhopoecila* Brenske e di *M. compressipes* (Wiedemann).

Carlo Galuppo (*) & Enrico Borgo (**)

I TROCHILIDAE DEL MUSEO CIVICO DI STORIA NATURALE "G. DORIA" DI GENOVA

(AVES, TROCHILIFORMES)

INTRODUZIONE

Nell'ambito di un riordino di parte delle collezioni ornitologiche, si è provveduto ad una revisione degli uccelli appartenenti alla famiglia Trochilidae presenti nel Museo Civico di Storia Naturale "G. Doria" di Genova (che in seguito sarà indicato con la sua sigla internazionale MSNG), la qual cosa ha comportato sia la determinazione dei soggetti rimasti sino ad oggi indeterminati che l'adeguamento alla sistematica corrente degli altri.

Per l'ordinamento delle specie si è adottata la classificazione proposta dall'American Ornithologists' Union (AOU) nel 2000, dalla quale ci si è scostati solamente nei due casi relativi a *Phaethornis striigularis* Gould, 1854 ed *Heliangelus clarisse* (Longuemare, 1841), che alcuni autori indicano rispettivamente come *Phaethornis longuemareus striigularis* ed *Heliangelus amethysticollis clarisse*; per alcuni caratteri morfologici e per l'areale completamente separato si è preferito considerarli specie a sé, seguendo la classificazione proposta da del Hoyo *et al.* (1992).

I Trochilidae sono di solito inseriti nell'Ordine Apodiformes (assieme agli Apodidae) ma nell'assetto sistematico adottato dall'AOU sono considerati gli unici rappresentanti dell'Ordine Trochiliformes, secondo i lavori di Sibley & Monroe (1990, 1993).

La collezione qui trattata ha avuto origine da raccolte di privati, principalmente nella seconda metà dell'Ottocento e nei primi decenni del Novecento, ed è stata poi incrementata soprattutto nel 1932, col

(*) Museo Civico di Storia Naturale Villa Gardella – 15016 Stazzano (AL).
(**) Via Cancelliere 17/2 – 16125 Genova.

trasferimento presso il Museo delle collezioni dell'ex Museo Zoologico dell'Università di Genova e nel 1957 con la donazione di vari soggetti dell'Istituto Salesiano di Torino; parte del materiale più antico era stato determinato a suo tempo da Tommaso Salvadori, ma 87 animali erano ancora privi di identificazione e sono stati studiati in questa occasione.

La lista degli esemplari è stata redatta, per praticità, in ordine alfabetico di genere e, all'interno dello stesso, di specie: tale criterio è stato seguito anche per la loro sistemazione nei cassetti ove la collezione è contenuta. Viene altresì riportato il nome in italiano proposto da Massa *et al.* (2000), scostandosene solo in quattro casi: *Colibri serrirostris*, *Heliangelus clarisse*, *Phaethornis striigularis* e *Thalurania fannyi*; si è preferito indicare un nome diverso per il primo perché la specie in oggetto ha solo ventre e sottocoda bianchi, non la coda, mentre per gli altri tre il nome è stato proposto da noi visto che queste specie non compaiono nella lista citata. Nel caso di sottospecie è indicato il nome riferito al taxon superiore.

Nella collezione del museo sono presenti attualmente 438 esemplari rappresentanti 71 generi, 138 specie e 22 sottospecie.

Per ogni esemplare sono riportati, quando disponibili, i seguenti dati in quest'ordine:

- numero di riferimento progressivo del Catalogo Entrate (C. E.) preceduto dalla sigla MSNG;
- sesso: ♂, ♀, ? (indeterminato);
- località di raccolta;
- data di cattura;
- nome del raccoglitore o donatore; gli esemplari provenienti dall'ex Museo dell'Università vengono indicati con la sigla "ex MZU";
- eventuali note e/o citazioni bibliografiche;
- per quanto riguarda il tipo di preparazione, dato che la quasi totalità degli uccelli è preparata in pelle, viene indicata, solo per i pochi soggetti interessati, la dicitura "montato".

Tra parentesi quadre vengono riportate le nostre integrazioni e i nostri commenti. I nomi degli Stati utilizzati, anche all'interno del lavoro, sono gli esonimi tratti da "Il nuovissimo Atlante del Touring" (1998).

Generalmente le specie presenti in collezione sono ancora abbastanza comuni nelle rispettive aree di distribuzione; per quelle aventi

uno status diverso, esso è stato evidenziato aggiungendo alcune sigle dopo il nome italiano: E (endangered), NT (near threatened), RR (restricted range), riferendoci a DEL HOYO *et al.* (1992) e BIRDLIFE INTERNATIONAL (2000).

CATALOGO DELLE SPECIE

Acestrura heliodor (Bourcier, 1840)

Stella dei boschi dal collare

- MSNG 19255; ♂; Venezuela, Merida, Zambor, 3000 m; 20.V.1905 [sul C.E. è indicato erroneamente 1901]; S. Briceño Gabaldòn; ricevuto 16.IV.1906; [det. C. Galuppo & E. Borgo, 2001].
- MSNG 19403; ♂; Colombia, Bogotà.
- MSNG 19404; ♀; Colombia, Bogotà.
- MSNG 51350; ?; Venezuela, Merida; S. Briceño; Ricevuto nel 1906-1907. [det. C. Galuppo & E. Borgo, 2001].

Acestrura mulsant (Bourcier, 1842)

Stella dei boschi pettobianco

- MSNG 19395; ♂; Colombia, Bogotà.
- MSNG 19396; ♀; Colombia, Bogotà.

Adelomyia melanogenys (Fraser, 1840)

Colibrì guancenere

- MSNG 19429; ?; Colombia, Bogotà.

Aglaeactis cupripennis (Bourcier, 1843)

Raggio di sole splendente

- MSNG 19383; ♂; Colombia, Bogotà.
- MSNG 19384; ♀; Colombia, Bogotà.
- MSNG 19486; ?; Ecuador, zona orientale; dono F.G. Costa, 14.II.1924; [det. C. Galuppo & E. Borgo, 2001].

- MSNG 19501; ?; Ecuador, Quito; dono V. Carbone, 16.XI.1923; [det. C. Galuppo & E. Borgo, 2001].
- MSNG 19502; ?; Ecuador, Quito; dono V. Carbone, 16.XI.1923; [det. C. Galuppo & E. Borgo, 2001].
- MSNG 27722; ?; Ecuador, Quito, regione occidentale; C. Figini, 1926.
- MSNG 35745; ♂; Ecuador, Frutillas; 1895-98; E. Festa; Salvadori & Festa (1900).
- MSNG 35769; ♂; Ecuador, Gualea; V.1898; E. Festa; [si tratta dell'es. "e (1102)" citato da Salvadori & Festa (1900)].

Aglaiocercus coelestis (Gould, 1861)

Silfide codaviola

- MSNG 35775; ♂; Ecuador, Guallabamba; 1897; E. Festa; Salvadori & Festa (1900).

Aglaiocercus kingi (Lesson, 1832)

Silfide codalunga

- MSNG 19346; ♂; Colombia, Bogotà.
- MSNG 19347; ♀; Colombia, Bogotà.
- MSNG 19444; ♂; senza indicazioni di località; dono G. Rovereto, 10.V.1913; [det. C. Galuppo & E. Borgo, 2001].

Amazilia amabilis (Gould, 1853)

Amazilia pettoblu

- MSNG 19424; ?; Colombia, Bogotà.

Amazilia amazilia dumerilii (Lesson, 1832)

Colibrì di Amazili

- MSNG 35747; ♂; Ecuador, Balzar; 1895-98; E. Festa; Salvadori & Festa (1900).

Amazilia cyanifrons (Bourcier, 1843)

Amazilia fronteazzurra

- MSNG 19427; ♂; Colombia, Bogotà.

- MSNG 19428; ♀; Colombia, Bogotà.
- MSNG 19451; ♂; senza indicazioni di località; dono G. Rovereto,10.V.1913; [det. C. Galuppo & E. Borgo, 2001].

Amazilia cyanocephala (Lesson, 1829)

Amazilia coronablu

- MSNG 19355; ?; Messico.
- MSNG 19356; ♂; Colombia, Bogotà.
- MSNG 19357; ♀; Colombia, Bogotà.

Amazilia fimbriata tephrocephala (Vieillot, 1818)

Amazilia golascintillante

- MSNG 19421; ?; Brasile, Bahia.
- MSNG 51125; ♂; Brasile; ex MZU.

Amazilia franciae (Bourcier & Mulsant, 1846)

Amazilia delle Ande

- MSNG 36849; ♂; Colombia; dono Istituto Salesiano di Torino, XI.1957; [det. C. Galuppo & E. Borgo, 2001].
- MSNG 50858; ♂; Colombia; dono Istituto Salesiano di Torino, XI.1957; [det. C. Galuppo & E. Borgo, 2001].
- MSNG 50859; ♂; Colombia; dono Istituto Salesiano di Torino, XI.1957; [det. C. Galuppo & E. Borgo, 2001].

Amazilia lactea (Lesson, 1832)

Amazilia di zaffiro

- MSNG 51126; ♂; Brasile meridionale; ex MZU.

Amazilia leucogaster (J.F. Gmelin, 1788)

Amazilia ventrechiaro

- MSNG 19285; ♀; Brasile.
- MSNG 19420; ?; Guiana francese, Cajenna.
- MSNG 50901; ?; Cajenna - Brasile, ex MZU.

Amazilia saucerrottei saucerrottei (De Lattre & Bourcier, 1846)

Amazilia coda d'acciaio

– MSNG 19399; ?; Guatemala; [l'areale attuale a nord si estende solo fino al Nicaragua].

Amazilia saucerrottei hoffmanni (Cabanis & Heine, 1860)

Amazilia coda d'acciaio

– MSNG 48043; ♀; Nicaragua, Managua; 1875; P. Giusto; [det. S. Howell, XI.1987].

Amazilia tobaci aliciae (Richmond, 1895)

Amazilia dal groppone ramato

– MSNG 50899; ?; senza indicazioni di località; ex MZU; [det. C. Galuppo & E. Borgo, 2001].

Amazilia tobaci feliciae (Lesson, 1840)

Amazilia dal groppone ramato

– MSNG 19407; ?; Guatemala; [? la specie non vive in Guatemala bensì in Venezuela e Trinidad e Tobago].

Amazilia tzacatl (De la Llave, 1833)

Amazilia codarossiccia

– MSNG 19394; ?; Colombia, Bogotà.

Amazilia versicolor (Vieillot, 1818)

Amazilia versicolore

- MSNG 19422; ?; Brasile.

Amazilia viridigaster (Bourcier, 1843)

Amazilia ventreverde

- MSNG 19454; ?; senza indicazioni di località; dono G. Rovereto,10.V.1913; [det. C. Galuppo & E. Borgo, 2001].

Anthracothorax nigricollis (Vieillot, 1817)

Mango collonero

- MSNG 19286; ♀; Brasile; dono E. Chiossone.
- MSNG 19287; ♀; Uruguay, Rio Uruguay; ex collezione G. Sivori.
- MSNG 19312; ♀; Brasile, Bahia.
- MSNG 19319; ♂; Brasile, Bahia.
- MSNG 36857; ♂; Colombia; dono Istituto Salesiano di Torino, XI.1957; [det. C. Galuppo & E. Borgo, 2001].
- MSNG 50854; ♂; Colombia; dono Istituto Salesiano di Torino, XI.1957; [det. C. Galuppo & E. Borgo, 2001].
- MSNG 50855; ♂; Colombia; dono Istituto Salesiano di Torino, XI.1957; [det. C. Galuppo & E. Borgo, 2001].
- MSNG 50856; ♂; Colombia; dono Istituto Salesiano di Torino, XI.1957; [det. C. Galuppo & E. Borgo, 2001].
- MSNG 50857; ♂; Colombia; dono Istituto Salesiano di Torino, XI.1957; [det. C. Galuppo & E. Borgo, 2001].

Anthracothorax prevostii prevostii (Lesson, 1832)

Mango pettoverde

- MSNG 19318; ♂; Messico.
- MSNG 50900; ?; Messico - America centrale; ex MZU ?

Anthracothorax prevostii iridescens (Gould, 1861)

Mango pettoverde

- MSNG 27422; ♂; Perù; ex MZU 1197.
- MSNG 35770; ♂; Ecuador, Vinces; 1897; E. Festa; Salvadori & Festa (1900).

Anthracothorax viridigula (Boddaert, 1783)

Mango golaverde

- MSNG 27421; ♂; Sud America; ex MZU 1200.

- MSNG 50902; ?; America meridionale; ex MZU.
- MSNG 50903; ?; America meridionale; ex MZU 650. "juv." [probabilmente un giovane ♂].

Archilochus colubris (Linnaeus, 1758)

Colibrì golarubino

- MSNG 19360; ♂; Stati Uniti, Georgia.

Augastes geoffroyi (Bourcier, 1843)

Colibrì becco a cuneo

- MSNG 19332; ♂; Colombia, Bogotà.

Boissonneaua flavescens (Loddiges, 1832)

Colibrì diadema codafulva

- MSNG 19362; ♂; Colombia, Bogotà.
- MSNG 35757; ♂; Ecuador, Gualea; 1895-98; E. Festa; SALVADORI & FESTA (1900).

Boissonneaua jardini (Bourcier, 1851)

Colibrì diadema purpureo - RR

- MSNG 35771; ♀; Ecuador, Gualea; 1897; E. Festa; SALVADORI & FESTA (1900).

Calliphlox amethystina (Boddaert, 1783)

Stella dei boschi ametista

- MSNG 19400; ♂; Brasile; adulto.
- MSNG 50904; ♂; Brasile; ex MZU 686.
- MSNG 50905; ♂; Brasile; ex MZU; giovane.

Calothorax lucifer (Swainson, 1827)

Colibrì lucifero

- MSNG 19388; ♂; Messico.

Campylopterus falcatus (Swainson, 1821)

Colibrì alacurva lazulino

- MSNG 19327; ♂; Colombia, Bogotà.
- MSNG 19328; ♀; Colombia, Bogotà.
- MSNG 19459; ♂; senza indicazioni di località; dono G. Rovereto, 10.V.1913; [det. C. Galuppo & E. Borgo, 2001].
- MSNG 35750; ♂; Colombia, Bogotà; ricevuto da E. Tortonese.
- MSNG 36852; ♀; Colombia; dono Istituto Salesiano di Torino, XI.1957; [det. C. Galuppo & E. Borgo, 2001].
- MSNG 50906; ♂; Colombia, Bogotà; ricevuto da E. Tortonese.

Campylopterus hemileucurus (Lichtenstein, 1830)

Colibrì alacurva violetto

- MSNG 19260; ♂; America centrale; 1875; Viaggio del Duca di Genova.
- MSNG 19294; ♂; Messico.
- MSNG 20314; ♂; Messico; ex collezione G. Doria, acquistato da De Greaux, 1869.

Campylopterus largipennis (Boddaert, 1783)

Colibrì alacurva pettogrigio

- MSNG 19298; ?; Guiana francese, Cajenna; [rachidi delle prime tre primarie poco ingrossate, probabilmente è una ♀].
- MSNG 19299; ?; Guiana francese, Cajenna; [rachidi delle prime tre primarie poco ingrossate, probabilmente è una ♀].

Campylopterus villaviscensio (Bourcier, 1851)

Colibrì alacurva di Napo - NT, RR

- MSNG 50907; ♂; Messico; dono Istituto Salesiano di Torino, XI.1957; [il Messico però non è compreso nell'areale attuale; la specie occupa Colombia meridionale, Ecuador e Perù; det. C. Galuppo & E. Borgo, 2001].

Chaetocercus jourdanii (Bourcier, 1839)

Stella dei boschi di Jourdan

- MSNG 51352; ?; Venezuela, Merida; S. Briceño, ricevuto nel 1906-1907; [det. C. Galuppo & E. Borgo, 2001].

Chalcostigma heteropogon (Boissonneau, 1840)

Colibrì beccominuto codabronzata - RR

- MSNG 19338; ♂; Colombia, Bogotà.
- MSNG 50908; ♀; Colombia; ex MZU.
- MSNG 50909; ♂; Colombia; dono Istituto Salesiano di Torino, XI.1957; [det. C. Galuppo & E. Borgo, 2001].

Chalybura buffonii (Lesson, 1832)

Colibrì di Buffon

- MSNG 19330; ♂; Colombia, Bogotà.
- MSNG 19331; ♀; Colombia, Bogotà.
- MSNG 50910; ♂; Colombia; dono Istituto Salesiano di Torino, XI.1957; [det. C. Galuppo & E. Borgo, 2001].

Chlorestes notatus (Reich, 1793)

Colibrì zaffiro golablu

- MSNG 19423; ♂; Colombia, Bogotà; [det. C. Galuppo & E. Borgo, 2001].
- MSNG 19458; ♂; senza indicazioni di località; dono G. Rovereto,10.V.1913; [det. C. Galuppo & E. Borgo, 2001].

Chlorostilbon aureoventris aureoventris (d'Orbigny & Lafresnaye, 1838)

Colibrì smeraldo ventredorato

- MSNG 19253; ♂; Uruguay, Rio Uruguay; ex coll. G. Sivori; [det. C. Galuppo & E. Borgo, 2001].
- MSNG 19254; Uruguay, Rio Uruguay; ex coll. G. Sivori; [det. C. Galuppo & E. Borgo, 2001].
- MSNG 27423; ♂; Argentina; ex MZU 1189; montato; [det. C. Galuppo & E. Borgo, 2001].
- MSNG 51345; ?; Rio Uruguay; 1892; G. Capurro; [det. C. Galuppo & E. Borgo, 2001].

Chlorostilbon aureoventris pucherani (Bourcier & Mulsant, 1848)

Colibrì smeraldo ventredorato

- MSNG 19249; ♂; Brasile; dono E. Chiossone.
- MSNG 19250; ♂; Brasile; dono E. Chiossone.

Chlorostilbon mellisugus mellisugus (Linnaeus, 1758)

Colibrì smeraldo golablu

- MSNG 19408; ♂; Colombia, Bogotà; [det. C. Galuppo & E. Borgo, 2001].
- MSNG 19432; ?; Guiana francese, Cajenna.
- MSNG 19452; ♂; senza indicazioni di località; dono G. Rovereto,10.V.1913; [det. C. Galuppo & E. Borgo, 2001].
- MSNG 51039; ♂; Colombia; dono Istituto Salesiano di Torino, XI.1957.
- MSNG 51040; ♂; Colombia; dono Istituto Salesiano di Torino, XI.1957.
- MSNG 51041; ♂; Colombia; dono Istituto Salesiano di Torino, XI.1957.
- MSNG 51042; ♂; Colombia; dono Istituto Salesiano di Torino, XI.1957.
- MSNG 51043; ♂; Colombia; dono Istituto Salesiano di Torino, XI.1957.
- MSNG 51044; ♂; Colombia; dono Istituto Salesiano di Torino, XI.1957.
- MSNG 51045; ♂; Colombia; dono Istituto Salesiano di Torino, XI.1957.

Chlorostilbon mellisugus chrysogaster (Bourcier, 1843)

Colibrì smeraldo golablu

- MSNG 19415; ♂; Brasile.
- MSNG 19416; ?; Brasile; [indicato come ♀, ma sembra un ♂ giovane].

Chlorostilbon mellisugus osberti Gould, 1860

Colibrì smeraldo golablu

- MSNG 48042; ♂; Nicaragua, Managua; 1875; P. Giusto; [det. S. Howell, XI.1987].

Chlorostilbon poortmani (Bourcier, 1843)

Colibrì smeraldo di Poortman - RR

- MSNG 51046; ♂; Colombia; dono Istituto Salesiano di Torino, XI.1957; [det. C. Galuppo & E. Borgo, 2001].

- MSNG 51047; ♂; Colombia; dono Istituto Salesiano di Torino, XI.1957; [det. C. Galuppo & E. Borgo, 2001].
- MSNG 51048; ♂; Colombia; dono Istituto Salesiano di Torino, XI.1957; [det. C. Galuppo & E. Borgo, 2001].

Chrysolampis mosquitus (Linnaeus, 1758)

Colibrì rubino-topazio

- MSNG 19251; ♂; Brasile; dono E. Chiossone; giovane.
- MSNG 19252; ♂; Brasile; dono E. Chiossone.
- MSNG 19281; ♂; Brasile; dono E. Chiossone.
- MSNG 19282; ♂; Brasile; dono E. Chiossone.
- MSNG 19283; ♂; Venezuela; 1878; E. Devoto.
- MSNG 19418; ♂; Brasile.
- MSNG 19419; ♀; Brasile.
- MSNG 19442; ♂; senza indicazioni di località; dono G. Rovereto,10.V.1913.
- MSNG 27426; ♂; America eq.; ex MZU 1203; montato.
- MSNG 36847; ♂; Colombia; dono Istituto Salesiano di Torino, XI.1957.
- MSNG 51049; ♂; Colombia; dono Istituto Salesiano di Torino, XI.1957.
- MSNG 51050; ♂; Colombia; dono Istituto Salesiano di Torino, XI.1957.
- MSNG 51051; ♂; Colombia; dono Istituto Salesiano di Torino, XI.1957.
- MSNG 51052; ♂; Colombia; dono Istituto Salesiano di Torino, XI.1957.
- MSNG 51053; ♂; Colombia; dono Istituto Salesiano di Torino, XI.1957.
- MSNG 51054; ♂; Colombia; dono Istituto Salesiano di Torino, XI.1957.
- MSNG 51055; ♂; Colombia; dono Istituto Salesiano di Torino, XI.1957.
- MSNG 51056; ♂; Colombia; dono Istituto Salesiano di Torino, XI.1957.
- MSNG 51057; ♂; Colombia; dono Istituto Salesiano di Torino, XI.1957.
- MSNG 51058; ♂; Colombia; dono Istituto Salesiano di Torino, XI.1957.
- MSNG 51059; ♂; Colombia; dono Istituto Salesiano di Torino, XI.1957.
- MSNG 51060; ♂; Colombia; dono Istituto Salesiano di Torino, XI.1957.
- MSNG 51061; ♂; Colombia; dono Istituto Salesiano di Torino, XI.1957.
- MSNG 51062; ♂; Colombia; dono Istituto Salesiano di Torino, XI.1957.
- MSNG 51063; ♂; Colombia; dono Istituto Salesiano di Torino, XI.1957; es. senza coda.
- MSNG 51064; ♂; senza indicazioni di località; anni 1890 ÷ 1940; ex Coll. Semeria, acq. 1995; [det. C. Galuppo & E. Borgo, 2001].
- MSNG 51136; ♂; senza alcuna indicazione; montato [det. C. Galuppo & E. Borgo, 2001].

Chrysuronia oenone (Lesson, 1832)

Colibrì zaffiro codadorata

- MSNG 19409; ♂; Trinidad e Tobago, Trinidad.

- MSNG 19457; ♂; senza indicazioni di località; dono G. Rovereto,10.V.1913; [det. C. Galuppo & E. Borgo, 2001].
- MSNG 19497; ♀; Ecuador, Quito; dono V. Carbone, 16.XI.1923; [det. C. Galuppo & E. Borgo, 2001].
- MSNG 51065; ♂; Messico; dono Istituto Salesiano di Torino, XI.1957; [il Messico non è incluso nell'areale attuale: la specie, a nord, arriva sino a Colombia e Venezuela; det. C. Galuppo & E. Borgo, 2001].

Clytolaema rubricauda (Boddaert, 1783)

Colibrì rubino del Brasile

- MSNG 19273; ♂; Brasile; dono E. Chiossone.
- MSNG 19274; ♂; Brasile; dono E. Chiossone.
- MSNG 19275; ♂; Brasile; dono E. Chiossone.
- MSNG 19371; ♂; Brasile.
- MSNG 19372; ♀; Brasile.
- MSNG 27425; ♂; Brasile; ex MZU 1210; montato.
- MSNG 51066; ♀; Brasile, S. [= Sud ?]; ex MZU .
- MSNG 51067; ♀; Brasile, S. [= Sud ?]; ex MZU.

Coeligena bonapartei (Boissonneau, 1840)

Frontestellata di Bonaparte - RR

- MSNG 19313; ♂; Colombia, Bogotà.
- MSNG 19314; ♀; Colombia, Bogotà.
- MSNG 19445; ♂; senza indicazioni di località; dono G. Rovereto,10.V.1913; [det. C. Galuppo & E. Borgo, 2001].

Coeligena coeligena (Lesson, 1832)

Colibrì inca bronzato

- MSNG 19375; ?; Colombia, Bogotà.

Coeligena helianthea (Lesson, 1838)

Frontestellata golablu - RR

- MSNG 19348; ♂; Colombia, Bogotà.

- MSNG 19349; ♀; Colombia, Bogotà.
- MSNG 19446; ♂; senza indicazioni di località; dono G. Rovereto,10.V.1913; [det. C. Galuppo & E. Borgo, 2001].

Coeligena lutetiae (De Lattre & Bourcier, 1846)

Frontestellata alifulve

- MSNG 35753; ♂; Ecuador, Papallacta; 1895-98; E. Festa; Salvadori & Festa (1900).
- MSNG 35780; ♂; Ecuador, Frutillas; 1897; E. Festa; Salvadori & Festa (1900).

Coeligena prunellei (Bourcier, 1843)

Colibrì inca nero - E, RR

- MSNG 19382; ?; Colombia, Bogotà.

Coeligena torquata torquata (Boissonneau, 1840)

Colibrì inca dal collare

- MSNG 19339; ♂; Colombia, Bogotà.
- MSNG 19483; ♂; Ecuador, zona orientale; dono F.G. Costa, 14.II.1924; [det. C. Galuppo & E. Borgo, 2001].
- MSNG 19487; ♀; Ecuador, zona orientale; dono F.G. Costa, 14.II.1924; [det. C. Galuppo & E. Borgo, 2001].

Coeligena torquata fulgidigula (Gould, 1854)

Colibrì inca dal collare

- MSNG 35778; ♂; Ecuador, Gualea; 1897; E. Festa; Salvadori & Festa (1900).
- MSNG 35787; ♂; Ecuador, Intac; 1897; E. Festa; Salvadori & Festa (1900).

Coeligena wilsoni (De Lattre & Bourcier, 1846)

Colibrì inca di Wilson - RR

- MSNG 19484; ?; Ecuador, zona orientale; dono F.G. Costa, 14.II.1924; [det. C. Galuppo & E. Borgo, 2001].

Colibri coruscans (Gould, 1846)

Colibrì orecchieviola scintillante

- MSNG 7833; ?; Argentina, Tucuman, 2500 metri alt.; dono G. Rovereto, 1913; [det. C. Galuppo & E. Borgo, 2001].
- MSNG 19490; ?; Ecuador, zona orientale; dono F.G. Costa, 14.II.1924; [det. C. Galuppo & E. Borgo, 2001].
- MSNG 19491; ?; Ecuador, zona orientale; dono F.G. Costa, 14.II.1924; [det. C. Galuppo & E. Borgo, 2001].
- MSNG 19492; ?; Ecuador, zona orientale; dono F.G. Costa, 14.II.1924; [det. C. Galuppo & E. Borgo, 2001].
- MSNG 27431; ?; Bolivia; ex MZU 1195; montato.
- MSNG 27726; ? [sul C.E. indicato come ♂]; Ecuador, Quito, regione occidentale; C. Figini, 1926; [det. C. Galuppo & E. Borgo, 2001].
- MSNG 35749; ♂; Ecuador, Quito; 1895-98; E. Festa; [si tratta dell'es. "b (612)" citato da Salvadori & Festa (1900)].
- MSNG 36848; ♂; Colombia; dono Istituto Salesiano di Torino, XI.1957; [det. C. Galuppo & E. Borgo, 2001].
- MSNG 51068; ♂; Colombia; dono Istituto Salesiano di Torino, XI.1957; [det. C. Galuppo & E. Borgo, 2001].

Colibri delphinae (Lesson, 1839)

Colibrì orecchieviola bruno

- MSNG 19324; ?; Guatemala.
- MSNG 19481; ?; Ecuador, zona orientale; dono F.G. Costa, 14.II.1924; [det. C. Galuppo & E. Borgo, 2001].
- MSNG 51069; ?; Messico; dono Istituto Salesiano di Torino, XI.1957; [attualmente il limite settentrionale dell'areale non arriva al Messico fermandosi a Guatemala e Belize; det. C. Galuppo & E. Borgo, 2001].

Colibri serrirostris (Vieillot, 1816)

Colibrì orecchieviola ventrebianco

- MSNG 19325; ?; Brasile.
- MSNG 19326; ♀; Brasile.

Colibri thalassinus (Swainson, 1827)

Colibrì orecchieviola marino

- MSNG 19315; ♀; Colombia, Bogotà.

- MSNG 19316; ♂; Colombia, Bogotà.
- MSNG 19317; ♂; Colombia, Bogotà.
- MSNG 19322; ♂; Colombia, Bogotà.
- MSNG 19323; ♀; Colombia, Bogotà.
- MSNG 51070; ?; Colombia; dono Istituto Salesiano di Torino, XI.1957; [det. C. Galuppo & E. Borgo, 2001].

Damophila julie (Bourcier, 1842)

Colibrì ventreviola

- MSNG 19425; ♂; Colombia, Bogotà.
- MSNG 19426; ♂; Colombia, Bogotà; [giovane, indicato come ♀].
- MSNG 35784; ♂; Ecuador; ricevuto da E. Tortonese.
- MSNG 51071; ♂; Colombia; dono Istituto Salesiano di Torino, XI.1957; [det. C. Galuppo & E. Borgo, 2001].
- MSNG 51072; ♂; Colombia; dono Istituto Salesiano di Torino, XI.1957; [det. C. Galuppo & E. Borgo, 2001].
- MSNG 51073; ♂; Colombia; dono Istituto Salesiano di Torino, XI.1957; [det. C. Galuppo & E. Borgo, 2001].

Discosura longicauda (J.F. Gmelin, 1788)

Colibrì coda a racchetta

- MSNG 27434; ♂; Brasile; ex MZU 1238; montato.

Doricha enicura (Vieillot, 1818)

Colibrì coda a cesoie snello - RR

- MSNG 19434; ♂; Messico.

Doryfera johannae (Bourcier, 1847)

Colibrì beccodilancia fronteblu

- MSNG 19496; ♂; Ecuador, Quito; dono V. Carbone, 16.XI.1923; [det. C. Galuppo & E. Borgo, 2001].

Doryfera ludovicae (Bourcier & Mulsant, 1847)

Colibrì beccodilancia fronteverde

– MSNG 19336; ?; Colombia, Bogotà.

Ensifera ensifera (Boissonneau, 1840)

Colibrì becco a spada

– MSNG 19292; ♂; Colombia, Bogotà.
– MSNG 35776; ♂; Ecuador, Papallacta; 1897; E. Festa; Salvadori & Festa (1900).

Eriocnemis alinae (Bourcier, 1842)

Colibrì zampapiumosa pettosmeraldo

– MSNG 19351; ?; Colombia, Bogotà.,
– MSNG 19449; ♂; senza indicazioni di località; dono G. Rovereto,10.V.1913; [det. C. Galuppo & E. Borgo, 2001].

Eriocnemis cupreoventris (Fraser, 1840)

Colibrì zampapiumosa ventreramato - NT, RR

– MSNG 19365; ♂; Colombia, Bogotà.
– MSNG 19366; ♀; Colombia, Bogotà.
– MSNG 19367; ?; Colombia, Bogotà.
– MSNG 19450; ♂; senza indicazioni di località; dono G. Rovereto,10.V.1913; [det. C. Galuppo & E. Borgo, 2001].
– MSNG 36854; ♂; Colombia; dono Istituto Salesiano di Torino, XI.1957.
– MSNG 40951; ♂; Colombia; ex MZU; montato.
– MSNG 51074; ♂; Colombia; dono Istituto Salesiano di Torino, XI.1957.
– MSNG 51075; ♂; Colombia; dono Istituto Salesiano di Torino, XI.1957.
– MSNG 51076; ♂; Colombia; dono Istituto Salesiano di Torino, XI.1957.
– MSNG 51077; ♂; Colombia; dono Istituto Salesiano di Torino, XI.1957.

Eriocnemis luciani (Bourcier, 1847)

Colibrì zampapiumosa codadizaffiro

– MSNG 19488; ♂; Ecuador, zona orientale; dono F.G. Costa, 14.II.1924; [det. C. Galuppo & E. Borgo, 2001].

- MSNG 19489; ♂; Ecuador, zona orientale; dono F.G. Costa, 14.II.1924; [det. C. Galuppo & E. Borgo, 2001].
- MSNG 19503; ♂; Ecuador, Quito; dono V. Carbone, 16.XI.1923; [det. C. Galuppo & E. Borgo, 2001].
- MSNG 19504; ♂; Ecuador, Quito; dono V. Carbone, 16.XI.1923; [det. C. Galuppo & E. Borgo, 2001].
- MSNG 19505; ♂; Ecuador, Quito; dono V. Carbone, 16.XI.1923; [det. C. Galuppo & E. Borgo, 2001].
- MSNG 19506; ♂ [indicato come ♀]; Ecuador [Quito, sul C.E.]; V. Carbone, 1924 [16.XI.1923 sul C.E.]; nome volgare "Calzonario"; [det. C. Galuppo & E. Borgo, 2001].
- MSNG 27727; ? [indicato come ♂ sul C.E.]; Ecuador, Quito, regione occidentale; C. Figini, 1926.
- MSNG 35748; ♂; Ecuador, Chinguil; 1895-98; E. Festa; Salvadori & Festa (1900).

Eriocnemis vestitus (Lesson, 1838)

Colibrì zampapiumosa smagliante

- MSNG 19353; ♂; Colombia, Bogotà.
- MSNG 19354; ♀; Colombia, Bogotà.
- MSNG 19456; ♂; senza indicazioni di località; dono G. Rovereto,10.V.1913; [det. C. Galuppo & E. Borgo, 2001].
- MSNG 51078; ? ♀; Venezuela, Colombia [sic!]; ex MZU.
- MSNG 51137; ♂; Colombia, Venezuela [sic!]; ex MZU 1215; montato.

Eugenes fulgens (Swainson, 1827)

Colibrì magnifico

- MSNG 19380; ♂; Messico.
- MSNG 19381; ♀; Messico.

Eulampis holosericeus (Linnaeus, 1758)

Colibrì dei Caraibi sericeo - RR

- MSNG 19311; ?; Giamaica; [la specie non vive in Giamaica ma solo nella parte orientale di Portorico e nelle Piccole Antille].
- MSNG 19461; ?; senza indicazioni di località; dono G. Rovereto,10.V.1913; [det. C. Galuppo & E. Borgo, 2001].

Eulampis jugularis (Linnaeus, 1766)

Colibrì dei Caraibi golapurpurea - RR

– MSNG 27430; ?; Antille; ex MZU 1205; montato.

Eupetomena macroura macroura (J.F. Gmelin, 1788)

Colibrì codadirondine

– MSNG 19256; ?; Brasile; dono E. Chiossone.
– MSNG 19257; ?; Brasile; dono E. Chiossone.
– MSNG 19350; ?; Guiana francese, Cajenna.
– MSNG 51079; ?; Centro America merid.; ex MZU.
– MSNG 51081; ?; Centro America merid.; ex MZU.
– MSNG 51082; ?; Centro America merid.; ex MZU.

Eupetomena macroura simoni (Hellmayr, 1929)

Colibrì codadirondine

– MSNG 51080; ?; Brasile, zona orientale; ex MZU 674; [det. C. Galuppo & E. Borgo, 2001].

Eutoxeres aquila heterura Gould, 1868

Colibrì beccodifalce codabronzata

– MSNG 35758; ♂; Ecuador, foreste del Rio Peripa; 1895-98; E. Festa; Salvadori & Festa (1900).
– MSNG 35789; ♀; Ecuador, Gualea; V.1898; E. Festa; [si tratta dell'es. "e (993)" citato da Salvadori & Festa (1900)].

Florisuga mellivora (Linnaeus, 1758)

Colibrì collobianco

– MSNG 19329; ♂; Brasile.
– MSNG 51083; ♂; Colombia; dono Istituto Salesiano di Torino, XI.1957; [det. C. Galuppo & E. Borgo, 2001].
– MSNG 51084; ♀; Messico, Amazzonia; ex MZU.

- MSNG 51085; ♂; Brasile, Amazzonia; ex MZU 668.
- MSNG 51139; ♂; Guiana francese, Cajenna; ex MZU 670; montato.

Glaucis hirsuta (J.F. Gmelin, 1788)

Eremita pettorossiccio

- MSNG 19302; ?; Guiana francese, Cajenna.
- MSNG 19303; ?; Guiana francese, Cajenna.
- MSNG 51086; ?; America meridionale e centrale; ex MZU.

Haplophaedia aureliae (Bourcier & Mulsant, 1846)

Colibrì zampapiumosa verdastro

- MSNG 19363; ?; Colombia, Bogotà.
- MSNG 19364; ?; Colombia, Bogotà.

Heliactin cornuta (Wied-Neuwied, 1821)

Colibrì gemma del sole

- MSNG 51087; ♀; Brasile; ex MZU 641.
- MSNG 51088; ♂; Brasile; ex MZU 672.

Heliangelus clarisse (Longuemare, 1841)

Angelo del sole di Clarissa

- MSNG 19369; ♂; Colombia, Bogotà.
- MSNG 19370; ♂; Colombia, Bogotà; [giovane].
- MSNG 27429; ♂; Colombia; ex MZU 1219.
- MSNG 35785; ♂; Colombia; ricevuto da E. Tortonese.
- MSNG 36850; ♂; Colombia; dono Istituto Salesiano di Torino, XI.1957; [det. C. Galuppo & E. Borgo, 2001].
- MSNG 51089; ♂; Colombia; dono Istituto Salesiano di Torino, XI.1957; [det. C. Galuppo & E. Borgo, 2001].

Heliangelus exortis (Fraser, 1840)

Angelo del sole tormalina

- MSNG 19385; ♂; Colombia, Bogotà; [det. C. Galuppo & E. Borgo, 2001].

- MSNG 19386; ♀; Colombia, Bogotà; [det. C. Galuppo & E. Borgo, 2001].
- MSNG 19455; ♂; senza indicazioni di località; dono G. Rovereto,10.V.1913; [det. C. Galuppo & E. Borgo, 2001].
- MSNG 36856; ♂; Colombia; dono Istituto Salesiano di Torino, XI.1957; [det. C. Galuppo & E. Borgo, 2001].

Heliangelus strophianus (Gould, 1846)

Angelo del sole golaornata - RR

- MSNG 19485; ♂; Ecuador, zona orientale; dono F.G. Costa, 14.II.1924; [det. C. Galuppo & E. Borgo, 2001].
- MSNG 35746; ♂; Ecuador, ; 1895-98; E. Festa; Salvadori & Festa (1900).

Heliodoxa jacula jacula Gould, 1850

Colibrì diamante coronaverde

- MSNG 19460; ♂; senza indicazioni di località; dono G. Rovereto,10.V.1913; [det. C. Galuppo & E. Borgo, 2001].

Heliodoxa jacula jamesoni (Bourcier, 1851)

Colibrì diamante coronaverde

- MSNG 35759; ♂; Ecuador, Intac; 1895-98; E. Festa; Salvadori & Festa (1900).
- MSNG 35779; ♀; Ecuador; ricevuto da E. Tortonese.

Heliodoxa rubinoides rubinoides (Bourcier & Mulsant, 1846)

Colibrì diamante pettocastano

- MSNG 19368; ♂; Colombia, Bogotà.

Heliodoxa rubinoides aequatorialis (Gould, 1860)

Colibrì diamante pettocastano

- MSNG 27729; ♀; Ecuador, Quito, regione occidentale; C. Figini, 1926.

Heliomaster furcifer (Shaw, 1812)

Golastellata ciuffoblu

– MSNG 7834; ♂; Argentina, Tucuman; dono G. Rovereto, 1913.
– MSNG 7835; ♂; Argentina, Tucuman; dono G. Rovereto, 1913.

Heliomaster longirostris (Audebert & Vieillot, 1801)

Golastellata beccolungo

– MSNG 19335; ♂; Brasile.

Heliothryx aurita aurita (J.F. Gmelin, 1788)

Filo di sole orecchienere

– MSNG 19333; ♂; Brasile.
– MSNG 19334; ♀; Guiana francese, Cajenna.
– MSNG 51090; ♂; Brasile S.E.; ex MZU.
– MSNG 51091; ♀; Brasile S.E.; ex MZU.

Heliothryx aurita auriculata (Nordmann, 1835)

Filo di sole orecchienere

– MSNG 27433; ♂; Ande; ex MZU 1227; montato.

Heliothryx barroti (Bourcier, 1843)

Filo di sole coronapurpurea

– MSNG 35781; ♀; Ecuador, foreste del Rio Peripa; 1898; E. Festa; Salvadori & Festa (1900).

Hylocharis chrysura (Shaw, 1812)

Colibrì dorato

– MSNG 19261; ♂; Argentina; XI.1878; dono C.H.C. Burmeister, VII.1890; [det. C. Galuppo & E. Borgo, 2001].

– MSNG 19262; ?; Argentina; XI.1878; dono C.H.C. Burmeister, VII.1890; [det. C. Galuppo & E. Borgo, 2001].

Hylocharis cyanus (Vieillot, 1818)

Colibrì zaffiro golabianca

– MSNG 19266; ♂; Brasile; dono E. Chiossone.
– MSNG 19267; ♂; Brasile; dono E. Chiossone.
– MSNG 19397; ?; Brasile.
– MSNG 51092; ♂; Brasile; ex MZU.
– MSNG 51093; ♀; Brasile; ex MZU.

Hylocharis grayi grayi (De Lattre & Bourcier, 1846)

Colibrì di Gray

– MSNG 35782; ♂; Ecuador; ricevuto da E. Tortonese.

Hylocharis grayi humboldtii (Bourcier & Mulsant, 1852)

Colibrì di Gray

– MSNG 51094; ♀; Ecuador; ex MZU.

Hylocharis leucotis (Vieillot, 1818)

Colibrì orecchiebianche

– MSNG 19352; ♂; Messico; [det. C. Galuppo & E. Borgo, 2001].

Hylocharis sapphirina (J.F. Gmelin, 1788)

Colibrì zaffiro golarossiccia

– MSNG 19398; ?; Brasile.

Klais guimeti (Bourcier, 1843)

Colibrì testavioletta

– MSNG 19493; ♂; Ecuador; dono V. Carbone, 1924; [prob. giovane - det. C. Galuppo & E. Borgo, 2001].

Lafresnaya lafresnayi (Boissonneau, 1840)

Colibrì di Lafresnaye

– MSNG 19376; ♀; Colombia, Bogotà.

Lamphrolaima rhami (Lesson, 1838)

Colibrì gola di granato

– MSNG 19374; ?; Messico.

Lampornis amethystinus (Swainson, 1827)

Colibrì gola ametista

– MSNG 19373; ♂; Messico.

Lampornis clemenciae (Lesson, 1829)

Colibrì golablu

– MSNG 19320; ♂; Messico.
– MSNG 19321; ♀; Messico.

Lepidopyga coeruleogularis (Gould, 1851)

Colibrì gola di zaffiro

– MSNG 19453; ♂; senza indicazioni di località; dono G. Rovereto,10.V.1913; [det. C. Galuppo & E. Borgo, 2001].

Lepidopyga goudoti (Bourcier, 1843)

Colibrì verde splendente

- MSNG 19430; ♂; Colombia, Bogotà.
- MSNG 19431; ♀; Colombia, Bogotà.

Lesbia nuna nuna (Lesson, 1832)

Lesbia codaverde

- MSNG 19340; ♂; Colombia, Bogotà.
- MSNG 19341; ♀; Colombia, Bogotà.

Lesbia nuna gracilis (Gould, 1846)

Lesbia codaverde

- MSNG 27728; ♂; Ecuador, Quito, regione occidentale; C. Figini, 1926; [det. C. Galuppo & E. Borgo, 2001].

Lesbia victoriae (Bourcier & Mulsant, 1846)

Lesbia codanera

- MSNG 19342; ♂; Colombia, Bogotà.
- MSNG 19343; ♂; Colombia, Bogotà.
- MSNG 19466; ♂; Ecuador; dono V. Carbone, 1924; nome volgare: "Colalarga" ; [det. C. Galuppo & E. Borgo, 2001].
- MSNG 19467; ♂; Ecuador; dono V. Carbone, 1924; nome volgare: "Colalarga" ; [det. C. Galuppo & E. Borgo, 2001].
- MSNG 19468; ♂; Ecuador; dono V. Carbone, 1924; nome volgare: "Colalarga" ; [det. C. Galuppo & E. Borgo, 2001].
- MSNG 19469; ♂; Ecuador, zona orientale; dono F.G. Costa, 14.II.1924; [det. C. Galuppo & E. Borgo, 2001].
- MSNG 19470; ♂; Ecuador, zona orientale; dono F.G. Costa, 14.II.1924; [det. C. Galuppo & E. Borgo, 2001].
- MSNG 19471; ♂; Ecuador, zona orientale; dono F.G. Costa, 14.II.1924; [det. C. Galuppo & E. Borgo, 2001].
- MSNG 19472; ♂; Ecuador, zona orientale; dono F.G. Costa, 14.II.1924; [giovane - det. C. Galuppo & E. Borgo, 2001].
- MSNG 19473; ♀; Ecuador, zona orientale; dono F.G. Costa, 14.II.1924; [det. C. Galuppo & E. Borgo, 2001].

- MSNG 19474; ♂; Ecuador, zona orientale; dono F.G. Costa, 14.II.1924; [giovane - det. C. Galuppo & E. Borgo, 2001].
- MSNG 35777; ♂; Ecuador, Tulcan; 1897; E. Festa; [si tratta dell'es. "b (640)" citato da Salvadori & Festa (1900)].
- MSNG 51095; ♀; Colombia; dono Istituto Salesiano di Torino, XI.1957; [det. C. Galuppo & E. Borgo, 2001].
- MSNG 51096; ♀; Colombia; dono Istituto Salesiano di Torino, XI.1957; [det. C. Galuppo & E. Borgo, 2001].

Leucochloris albicollis (Vieillot, 1818)

Colibrì golabianca

- MSNG 19279; ?; Brasile; dono E. Chiossone.
- MSNG 19280; ?; Brasile; dono E. Chiossone.
- MSNG 51097; ?; Brasile, Uruguay; ex MZU 637.
- MSNG 51351; ?; Brasile, Paranà, Palmeira; 1890; G. F. Grillo; [det. C. Galuppo & E. Borgo, 2001].

Lophornis delattrei (Lesson, 1839)

Colibrì dai ciuffi rossiccio

- MSNG 19402; ♀; Colombia, Bogotà.

Lophornis magnificus (Vieillot, 1817)

Colibrì dai ciuffi magnifico

- MSNG 19401; ♂; Brasile.

Melanotrochilus fuscus (Vieillot, 1817)

Colibrì nero

- MSNG 19387; ?; Colombia, Bogotà.
- MSNG 19435; ?; ? Brasile [sul C.E.].
- MSNG 51098; ?; Brasile; ex MZU 633.
- MSNG 51099; ?; Brasile; ex MZU 634.
- MSNG 51100; ?; Sud America, zona settentrionale; ex MZU; [immaturo - det. C. Galuppo & E. Borgo, 2001].
- MSNG 51120; ?; Brasile, S.E.; ex MZU 625.

Metallura tyrianthina tyrianthina (Loddiges,1832)

Colibrì codametallica rosso tirio

- MSNG 19410; ♂; Colombia, Bogotà.
- MSNG 19411; ♀; Colombia, Bogotà.
- MSNG 19494; ♂; Ecuador, Quito; dono V. Carbone, 16.XI.1923; [det. C. Galuppo & E. Borgo, 2001].
- MSNG 19495; ♂; Ecuador, Quito; dono V. Carbone, 16.XI.1923; [det. C. Galuppo & E. Borgo, 2001].
- MSNG 19508; ♂; Ecuador; dono V. Carbone, 1924; nome volgare: "Ubillus comun"; [det. C. Galuppo & E. Borgo, 2001].
- MSNG 19509; ♂; Ecuador; dono V. Carbone, 1924; nome volgare: "Ubillus comun"; [det. C. Galuppo & E. Borgo, 2001].
- MSNG 36853; ♂; Colombia; dono Istituto Salesiano di Torino, XI.1957.
- MSNG 51220; ♂; Colombia; dono Istituto Salesiano di Torino, XI.1957.

Metallura tyrianthina quitensis Gould, 1861

Colibrì codametallica rosso tirio

- MSNG 35752; ♂; Ecuador, Frutillas; 1895-98; E. Festa; Salvadori & Festa (1900).

Metallura williami (De Lattre e Bourcier, 1846)

Colibrì codametallica di William

- MSNG 19479; ♂; Ecuador, zona orientale; dono F.G. Costa, 14.II.1924; [det. C. Galuppo & E. Borgo, 2001].
- MSNG 19480; ♂; Ecuador, zona orientale; dono F.G. Costa, 14.II.1924; [det. C. Galuppo & E. Borgo, 2001].

Microstilbon burmeisteri (P.L. Sclater, 1887)

Stella dei boschi codasottile

- MSNG 7836; ♀; Argentina, Tucuman; dono G. Rovereto, 1913.
- MSNG 7837; ♀; Argentina, Tucuman; dono G. Rovereto, 1913.

Ocreatus underwoodii underwoodii (Lesson, 1832)

Colibrì di Underwood

- MSNG 19391; ♂; Colombia, Bogotà.
- MSNG 19392; ♀; Colombia, Bogotà.
- MSNG 19443; ♂; senza indicazioni di località; dono G. Rovereto,10.V.1913; [det. C. Galuppo & E. Borgo, 2001].
- MSNG 36851; ♂; Colombia; dono Istituto Salesiano di Torino, XI.1957.

Ocreatus underwoodii melanantherus (Jardine, 1851)

Colibrì di Underwood

- MSNG 35788; ♀; Ecuador, Gualea; 1897; E. Festa; Salvadori & Festa (1900).

Oreotrochilus chimborazo jamesonii Jardine, 1849

Stella dei monti dell'Ecuador

- MSNG 19295; ♂; Ecuador.
- MSNG 27723; ♂; Ecuador, Quito; C. Figini, 1926; montato.
- MSNG 27724; ♂; Ecuador, Quito; C. Figini, 1926.
- MSNG 27725; ♂; Ecuador, Quito; C. Figini, 1926.
- MSNG 35786; ♂; Ecuador, Quito, M. Pichincha; 1898; E. Festa; Salvadori & Festa (1900).

Oxypogon guerinii (Boissonneau, 1840)

Colibrì dall'elmo di Guerin - RR

- MSNG 19344; ♂; Colombia, Bogotà.
- MSNG 19345; ♀; Colombia, Bogotà.

Patagona gigas (Vieillot, 1824)

Colibrì gigante

- MSNG 19293; ?; Ecuador.
- MSNG 19462; ♂; Ecuador; dono V. Carbone, 1924; nome volgare: "Troquino".
- MSNG 19463; ♂; Ecuador; dono V. Carbone, 1924; nome volgare: "Troquino".

- MSNG 19464; ♀; Ecuador; dono V. Carbone, 1924; nome volgare: "Troquino".
- MSNG 19465; ♀; Ecuador; dono V. Carbone, 1924; nome volgare: "Troquino".
- MSNG 51138; ?; Ande; ex MZU 636; montato.

Phaeochroa cuvierii (De Lattre & Bourcier, 1846)

Colibrì di Cuvier

- MSNG 19414; ?; Brasile; [non vive in Brasile bensì in America centrale - det. C. Galuppo & E. Borgo, 2001].

Phaethornis bourcieri (Lesson, 1832)

Colibrì del sole di Bourcier

- MSNG 19499; ♂; Ecuador, Quito; dono V. Carbone, ricevuto 16.XI.1923; [det. C. Galuppo & E. Borgo, 2001].
- MSNG 19500; ♂; Ecuador, S. José [Quito, sul C.E.]; dono V. Carbone, 1924 [16.XI.1923 sul C.E.]; [det. C. Galuppo & E. Borgo, 2001].

Phaethornis eurynome (Lesson, 1832)

Colibrì del sole golascagliosa

- MSNG 19264; ?; Brasile; dono E. Chiossone.
- MSNG 19265; ?; Brasile; dono E. Chiossone.
- MSNG 19300; ?; Brasile.
- MSNG 19301; ?; Brasile.

Phaethornis guy (Lesson, 1832)

Colibrì del sole verde

- MSNG 19309; ♂; Colombia, Bogotà; [timoniere centrali rotte].
- MSNG 19337; ♀; Colombia, Bogotà.

Phaethornis malaris (Nordmann, 1835)

Colibrì del sole beccogrande

- MSNG 19304; ?; Guiana francese, Cajenna.
- MSNG 19305; ?; Guiana francese, Cajenna.

Phaethornis pretrei (Lesson & De Lattre, 1839)

Colibrì del sole del Planalto

- MSNG 19272; ?; Brasile; dono E. Chiossone.
- MSNG 51121; ?; Brasile, zona N.; ex MZU; [det. C. Galuppo & E. Borgo, 2001].
- MSNG 51122; ?; Ande, Guiana [sic !]; ex MZU; [la specie è distribuita in Argentina settentrionale, Paraguay, Brasile, ma non in Guiana - det. C. Galuppo & E. Borgo, 2001].
- MSNG 51123; ?; Guiana, Brasile [sic !]; ex MZU 646; [la specie è distribuita in Argentina settentrionale, Paraguay, Brasile, ma non in Guiana].
- MSNG 51124; ?; Guiana, Ande [sic !]; ex MZU; [la specie è distribuita in Argentina settentrionale, Paraguay, Brasile, ma non in Guiana].

Phaethornis ruber (Linnaeus, 1758)

Colibrì del sole rossastro

- MSNG 19278; ♂; Brasile; dono E. Chiossone; [det. C. Galuppo & E. Borgo, 2001].
- MSNG 19310; ?; Brasile.

Phaethornis squalidus (Temminck, 1822)

Colibrì del sole golabruna

- MSNG 19306; ?; Brasile.
- MSNG 19307; ?; Brasile.
- MSNG 27730; ?; Ecuador, Quito, regione occidentale; C. Figini, 1926.

Phaethornis striigularis subrufescens Chapman, 1917

Colibrì del sole golastriata

- MSNG 35783; ♀; Ecuador, foreste del Rio Peripa; 1897; E. Festa; Salvadori & Festa (1900).

Phaethornis superciliosus (Linnaeus, 1766)

Colibrì del sole codalunga

– MSNG 19308; ?; Guiana francese, Cajenna.

Phaethornis syrmatophorus Gould, 1851

Colibrì del sole ventrefulvo

– MSNG 51219; ♂; Ecuador, Gualea; V.1897; E. Festa; [si tratta dell'es. "a (1104)" citato da SALVADORI & FESTA (1900)].

Phaethornis yaruqui (Bourcier, 1851)

Colibrì del sole dai mustacchi bianchi

– MSNG 35773; ♀; Ecuador, Intac; 1897; E. Festa; SALVADORI & FESTA (1900).

Phlogophilus hemileucurus Gould, 1860

Colibrì coda bianconera - NT, RR

– MSNG 19498; ?; Ecuador, Quito; dono V. Carbone, 16.XI.1923; [det. C. Galuppo & E. Borgo, 2001].

Polytmus guainumbi (Pallas, 1764)

Colibrì guainumbi

– MSNG 19263; ♂; Venezuela; 1878; E. Devoto.
– MSNG 19378; ♂; Guiana francese, Cajenna; [det. C. Galuppo & E. Borgo, 2001].
– MSNG 19379; ♀; Guiana francese, Cajenna; [det. C. Galuppo & E. Borgo, 2001].

Polytmus theresiae (Da Silva Maia, 1843)

Colibrì di Teresa

– MSNG 19377; ♂; Guiana francese, Cajenna; [det. C. Galuppo & E. Borgo, 2001].

Popelairia conversii (Bourcier & Mulsant, 1846)

Colibrì codalunga verde

– MSNG 19433; ♀; Colombia, Bogotà.

Popelairia langsdorffi (Temminck, 1821)

Colibrì codalunga di Langsdorff

– MSNG 19389; ♂; Brasile.

Popelairia popelairii (Du Bus de Gisignies, 1846)

Colibrì codalunga di Popelaire

– MSNG 19390; ♂; Colombia, Bogotà.

Pterophanes cyanopterus (Fraser, 1840)

Colibrì ali di zaffiro

– MSNG 19296; ♂; Colombia, Bogotà.
– MSNG 19297; ♀; Colombia, Bogotà.
– MSNG 35772; ♂; Ecuador, Papallacta; 1897; E. Festa; Salvadori & Festa (1900).
– MSNG 36855; ♂; Ecuador, Gualaquiza; dono Istituto Salesiano di Torino, XI.1957; [det. C. Galuppo & E. Borgo, 2001].

Ramphodon naevius (Dumont, 1818)

Colibrì becco a sega - NT

– MSNG 19277; ♂; Brasile; dono E. Chiossone.
– MSNG 19289; ♂; Brasile.
– MSNG 19290; ♂; Brasile.
– MSNG 51127; ?; Brasile, S. E.; ex MZU 1901; [probabilmente è una ♀ (becco senza uncino)].

Ramphomicron microrhynchum (Boissonneau, 1840)

Colibrì beccominuto

- MSNG 19412; ♂; Colombia, Bogotà.
- MSNG 19413; ♀; Colombia, Bogotà.
- MSNG 19448; ♂; senza indicazioni di località; dono G. Rovereto,10.V.1913; [det. C. Galuppo & E. Borgo, 2001].
- MSNG 19507; ♂; Ecuador; dono V. Carbone, 1924; nome volgare: " Obispo"; [det. C. Galuppo & E. Borgo, 2001].

Sappho sparganura sapho (Lesson, 1829)

Colibrì di Saffo

- MSNG 1951; ♂; Argentina, Tucuman; dono G. Rovereto, IX.1913; montato.
- MSNG 7828; ♂; Argentina, Tucuman; dono G. Rovereto, 1913.
- MSNG 7829; ♂; Argentina, Tucuman; dono G. Rovereto, 1913.
- MSNG 7830; ♂; Argentina, Tucuman; dono G. Rovereto, 1913.
- MSNG 7831; ♂; Argentina, Tucuman; dono G. Rovereto, 1913; [giovane].
- MSNG 7832; ♀; Argentina, Tucuman; dono G. Rovereto, 1913.
- MSNG 19258; ♂; Argentina; dono C.H.C. Burmeister, VII.1890.
- MSNG 19259; ♂; Argentina; dono C.H.C. Burmeister, VII.1890.

Selasphorus platycercus (Swainson, 1827)

Colibrì codalarga

- MSNG 19405; ♂; Messico.
- MSNG 19406; ♀; Messico.

Selasphorus sasin (Lesson, 1829)

Colibrì di Allen - RR

- MSNG 19417; ♂; Stati Uniti, Georgia.

Sephanoides sephanoides (Lesson, 1827)

Corona di fiamma dorsoverde

- MSNG 27427; ♂; Cile; ex MZU 1222.

Stephanoxis lalandi (Vieillot, 1818)

Colibrì crestato di Delalande

- MSNG 19284; ♂; Brasile; dono E. Chiossone.
- MSNG 19393; ♂; Brasile.
- MSNG 51128; ♂; Brasile meridionale; ex MZU 662.
- MSNG 51129; ?; Brasile; ex MZU 662.

Thalurania colombica (Bourcier, 1843)

Ninfa coronata

- MSNG 19358; ♂; Colombia, Bogotà.
- MSNG 19359; ♀; Colombia, Bogotà.
- MSNG 19447; ♂; senza indicazioni di località; dono G. Rovereto,10.V.1913; [det. C. Galuppo & E. Borgo, 2001].
- MSNG 51130; ♂; Colombia; dono Istituto Salesiano di Torino, XI.1957; [det. C. Galuppo & E. Borgo, 2001].
- MSNG 51131; ♂; Colombia; dono Istituto Salesiano di Torino, XI.1957; [det. C. Galuppo & E. Borgo, 2001].
- MSNG 51132; ♂; Colombia; dono Istituto Salesiano di Torino, XI.1957; [det. C. Galuppo & E. Borgo, 2001].

Thalurania fannyi (De Lattre & Bourcier, 1846)

Ninfa di Fanny

- MSNG 19482; ♂; Ecuador, zona orientale; dono F.G. Costa, 14.II.1924; [det. C. Galuppo & E. Borgo, 2001].
- MSNG 35774; ♂; Ecuador, Gualea; 1897; E. Festa; Salvadori & Festa (1900).

Thalurania furcata (J.F. Gmelin, 1788)

Ninfa codaforcuta

- MSNG 51133; ♀; Colombia, Amazon.; ex MZU.

Thalurania glaucopis (J.F. Gmelin, 1788)

Ninfa codavioletta

- MSNG 19268; ♂; Brasile; dono E. Chiossone.
- MSNG 19269; ♂; Brasile; dono E. Chiossone; [questo ♂ ha un riflesso dorato su gola e petto, assente negli altri].
- MSNG 19270; ♂; Brasile; dono E. Chiossone.
- MSNG 19271; ♀; Brasile; dono E. Chiossone.
- MSNG 19361; ♂; Brasile.
- MSNG 51134; ♂; Brasile, zona S.E.; ex MZU 652; [giovane].

Topaza pella (Linnaeus, 1758)

Colibrì topazio cremisi

- MSNG 19291; ♂; Guiana francese, Cajenna.
- MSNG 27432; ♂; Ecuador; ex MZU 1209; montato.
- MSNG 51135; ♂; Guyana; ex MZU 692.

Urosticte benjamini (Bourcier, 1851)

Colibrì di Benjamin

- MSNG 19475; ♂; Ecuador, zona orientale; dono F.G. Costa, 14.II.1924; [det. C. Galuppo & E. Borgo, 2001].
- MSNG 19476; ♂; Ecuador, zona orientale; dono F.G. Costa, 14.II.1924; [det. C. Galuppo & E. Borgo, 2001].
- MSNG 19477; ♂; Ecuador, zona orientale; dono F.G. Costa, 14.II.1924; [det. C. Galuppo & E. Borgo, 2001].
- MSNG 19478; ♂; Ecuador, zona orientale; dono F.G. Costa, 14.II.1924; [det. C. Galuppo & E. Borgo, 2001].

OSSERVAZIONI

Con questo riordino, non considerando ovviamente gli aggiornamenti sistematici e nomenclatoriali, sono state identificate dodici specie non presenti fino a questo momento nei cataloghi del Museo: *Amazilia viridigaster*, *Campylopterus villaviscensio*, *Chaetocercus jourdanii*, *Chlorostilbon poortmani*, *Coeligena wilsoni*, *Doryfera johannae*, *Klais guimeti*, *Lepidopyga caeruleogularis*, *Metallura williami*, *Phaethornis bourcieri*,

Phlogophilus hemileucurus, *Urosticte benjamini* e due sottospecie: *Amazilia tobaci aliciae* ed *Eupetomena macroura simoni*.

Gli esemplari da noi determinati nell'ambito del presente lavoro sono 129; in particolare si è provveduto ad identificare tutti i materiali donati da Carbone, Costa e Figini e pervenuti al Museo tra il 1923 ed il 1926, che erano stati inventariati ma non studiati.

Fra le specie, *Chrysolampis mosquitus* è risultata la più rappresentata (27 esemplari) mentre tra i generi, *Amazilia* e *Phaethornis* sono quelli con il maggior numero di specie (rispettivamente 13 e 11).

È da notare che purtroppo le località sono spesso indicate in modo generico, derivando da acquisizioni di vecchie collezioni o da acquisti in loco da privati non professionisti.

Nella tabella che segue è riportata la distribuzione per Stato degli esemplari che presentano una località di cattura indicata chiaramente ed in modo univoco; da questo gruppo sono stati eliminati i soggetti che inducono qualche perplessità alla luce degli attuali areali di distribuzione delle specie.

Colombia	144
Ecuador	93
Brasile	82
Argentina	16
Guiana francese	16
Messico	15
Venezuela	5
Uruguay	3

Nicaragua	2
Stati Uniti	2
Bolivia	1
Cile	1
Guatemala	1
Guyana	1
Perù	1
Trinidad e Tobago	1

Considerando quanto esposto in precedenza, si può concludere che la collezione copre in modo più che soddisfacente l'intera famiglia, specie in considerazione del fatto che gli esploratori ed i viaggiatori legati al Museo di Genova hanno operato soprattutto nell'area africana e in quella australo-asiatica.

Infine, sino a questo momento non sono stati reperiti alcuni esemplari che risultano sul Catalogo Entrate e sulle schede ma non nelle collezioni e più precisamente:

* *Chrysolampis mosquitus* (Linnaeus, 1758)

MSNG 36847; Colombia; dono Istituto Salesiano di Torino, XI.1957 [7 ess.].

* *Heliactin cornuta* (Wied-Neuwied, 1821)

MSNG 27428; Brasile; ex MZU 1228 [1 es.].

* *Lophornis magnificus* (Vieillot, 1817)

MSNG 27424; Brasile; ex MZU 1231 [1 es.].

RINGRAZIAMENTI

Si ringraziano Giuliano Doria e Roberto Poggi per la disponibilità dimostrata.

BIBLIOGRAFIA

BirdLife International, 2000 - Threatened Birds of the World - Lynx Edicions and BirdLife International, Barcelona and Cambridge (UK), 852 + xii pp.

Hilty S. L. & Brown W. L., 1986 - A Guide to the Birds of Colombia - Princeton University Press, Princeton, USA, 836 pp.

Hoyo (del) J., Elliott A. & Sargatal J. (eds.), 1999 - Handbook of the Birds of the World. Vol. 5 - Lynx Edicions, Barcelona, 759 pp.

Massa R., Bottoni L. & Violani C., 2000 - I nomi in lingua italiana degli uccelli di tutto il mondo - Università degli Studi di Milano, Stazione Italiana per la Ricerca Ornitologica, Pavia, 166 pp.

Meyer de Schauensee R., 1970 - A Guide to the Birds of South America - The Academy of Natural Sciences of Philadelphia, 470 pp.

Narosky T. & Yzurieta D., 1987 - Guìa para la Identificaciòn de la Aves de Argentina y Uruguay - Asociación Ornitológica del Plata, Buenos Ayres, 340 pp.

Peña (de la) M.R. & Rumboll M., 1998 - Birds of Southern South America and Antarctica - Harper Collins Publishers, London, 304 pp.

Peters J.L., 1945 - Check-list of Birds of the World. Vol. V - Harvard University Press, Cambridge (USA), 306 + xi pp.

PETERSON R. T. & CHALIF E. L., 1973 - A Field Guide to Mexican Birds - Houghton Mifflin Co., Boston, 298 pp.

SALVADORI T. & FESTA E., 1900 - Viaggio del Dr. Enrico Festa nell'Ecuador. Uccelli. Parte Terza - *Boll. Mus. Zool. Anat. comp. Univ. Torino*, 15 (368): 1 - 54 pp.

SIBLEY C.G. & MONROE B.L. Jr., 1990 - Distribution and Taxonomy of Birds of the World - Yale University Press, New Haven, 1111 + xxiv pp.

SIBLEY C.G. & MONROE B.L. Jr., 1993 - A Supplement to Distribution and Taxonomy of Birds of the World - Yale University Press, New Haven, 108 + vi pp.

TOURING CLUB ITALIANO, 1998 - Il nuovissimo Atlante del Touring. Vol. 2 - Touring Editore, Milano, 167 pp.

RIASSUNTO

Vengono riportati i principali dati relativi alle specie della famiglia Trochilidae (Aves – Trochiliformes) conservate nel Museo Civico di Storia Naturale "G. Doria" di Genova.

Nella collezione sono presenti 438 esemplari in rappresentanza di 138 specie riferite a 71 generi; per le specie che sono o potrebbero essere minacciate in un prossimo futuro ne viene anche indicato, mediante una sigla, lo status attuale.

SUMMARY

The main data about the specimens of the family Trochilidae (Aves – Trochiliformes) stored in the Museo Civico di Storia Naturale "G. Doria" of Genoa are reported.

With this revision, carried out following the classification proposed by the American Ornithologists' Union, 438 specimens (129 of these determined by the authors) representing 138 species belonging to 71 genera have been found.

The specimens with a clearly indicated locality of collection are distributed as follow: Colombia (144), Ecuador (93), Brazil (82), Argentina (16), French Guiana (16), Mexico (15), Venezuela (5), Uruguay (3), Nicaragua (2), USA (2), Bolivia (1), Chile (1), Guatemala (1), Guyana (1), Peru (1), Trinidad and Tobago (1).

The collection covers quite well the entire family, especially considering that the travellers and explorers connected to Genoa Museum have worked mostly in African and Australo-Asiatic regions.

For those species that are or could be threatened in the years to come, their status is given by an abbreviation (E = endangered; NT = near threatened; RR = restricted range) beside the Italian name.

The identification work of the still not studied specimens stored in the collection led to the addition of 12 species to the Museum catalogues.

Giuseppe Platia (*) & Rainer Schimmel (**)

DESCRIZIONE DI NUOVI *PRIOPUS* CASTELNAU CON NOTE GEONEMICHE E SINONIMICHE

(COLEOPTERA, ELATERIDAE, MELANOTINAE)

Fra il 1995 e il 1996 abbiamo pubblicato quattro contributi alla conoscenza delle specie di *Priopus* Castelnau della regione indomalese. Oggi rendiamo noti i risultati ottenuti dall'esame dell'abbondante materiale che abbiamo continuato a ricevere in studio in questi ultimi anni, grazie al quale aumenta di 20 unità il numero di entità incluse nel genere; per 16 specie si definisce meglio la geonemia e per 2 viene descritto il maschio che non era finora noto.

Per la prima volta sono segnalate 2 specie (nuove) di *Priopus* per l'isola di Mindoro nell'Arcipelago delle Filippine e vengono infine poste in sinonimia due specie descritte dell'India dagli autori indiani Punam & Vasu (1996) ancora sotto il vecchio nome generico di *Neodiploconus* Hyslop.

I musei, le istituzioni pubbliche o le collezioni private dove il materiale viene conservato sono indicati con i seguenti acronimi elencati in ordine alfabetico:

CCW = coll. Cate, Vienna
CHKM = coll. Mertlik, Hradec Kralove
CHP = coll. Horak, Praga
CPG = coll. Platia, Gatteo
CRG = coll. Riese, Genova
CSB = coll. Sausa, Bratislava
CSV = coll. Schimmel, Vinningen
IRSNB = Institut Royal des Sciences Naturelles de Belgique, Bruxelles

(*) Via Molino Vecchio, 21, 47030 Gatteo (Forlì); e-mail: pinoplatia@libero.it
(**) Wiesenstrasse 6, D-66957 Vinningen (Germany).
e-mail: rainer.schimmel@web.de

MMB = coll. Jagemann, Moravske Museum, Brno
MSNG = Museo Civico di Storia Naturale «G. Doria», Genova
TM = Termeszettudomany Museum, Budapest

Ricordiamo che per le misure del corpo la lunghezza è considerata dal margine anteriore della fronte all'apice elitrale e la larghezza viene misurata nella parte più ampia, mentre per il pronoto la lunghezza viene misurata nella parte mediana dalla base all'apice e la larghezza comprende se del caso anche l'apice degli angoli posteriori.

SPECIE NUOVE DI INDIA, NEPAL, BHUTAN E BANGLADESH

Priopus bispinosus n. sp.

Diagnosi. La specie differisce da tutte quelle note per le due corte spine presenti nel lato ventrale del margine anteriore della fronte.

Materiale esaminato. Holotypus ♀: India: Meghalaya, 9 km NW of Jowai, m 1400, 12.V.1999, leg. Dembicky & Pacholatko (CCW).

Descrizione della femmina. Interamente castano scura con sfumature ferruginee; antenne e zampe ferruginosi; superficie rivestita di densa pubescenza fulva.

Fronte piana con margine anteriore ispessito, al centro brevemente subrettilineo, sporgente sul clipeo e munito di due corte spine laterali,verticali e dirette ventralmente; punti fortemente ombelicati e contigui. Antenne quasi raggiungenti l'apice degli angoli posteriori del pronoto; II articolo cilindrico, III subcilindrico poco più lungo del II, presi assieme della lunghezza del IV; IV-X triangolari, più lunghi che larghi; XI ellissoidale.

Pronoto poco più largo che lungo, fortemente convesso con depressione mediana longitudinale profonda nella declività basale, molto superficiale in avanti e prolungata fino alla metà del disco; lati subparalleli, fortemente ristretti nel terzo anteriore, sinuati presso gli angoli posteriori, questi lunghi, acuminati e divergenti all'apice, bicarenati, la carena esterna è più forte e poco più lunga di quella interna, questa è meno evidente e diretta internamente; punti sul disco profondi, ombelicati, con brevissimi intervalli lucidi, ai lati più densi, fortemente ombelicati, perfino contigui.

Scutello subrettangolare, leggermente convesso, punteggiato, alla base ribordato. Elitre 3 volte più lunghe del pronoto e 2,7 volte più lunghe che larghe; lati subparalleli fin oltre la metà e poi ristretti; strie fortemente incise e punteggiate; interstrie subconvesse con punti molto più fini; apice regolarmente arrotondato.

Apofisi prosternale inclinata bruscamente dietro le anche e leggermente incavata apicalmente.

Maschio ignoto.

Dimensioni. Lungh. mm 12; largh. mm 3.

SPECIE NUOVE DI BIRMANIA, TAILANDIA, LAOS, CAMBOGIA, VIETNAM E CINA

Priopus beauchenei n. sp.
(Figg. 1, 18).

Diagnosi. Specie molto simile a *rufulus* (Candèze) ma con il corpo più snello, le antenne più lunghe e gli angoli posteriori del pronoto più acuti e divergenti.

Materiale esaminato. Holotypus ♂: S Vietnam: 12 km N of Dalat, Lang Bian, m 1580-1750, 17/21.IV.1995, leg. Pacholatko & Dembicky (CCW); 6 Paratypi ♂♂: stessi dati (CCW, CPG, CSV).

Descrizione del maschio. Interamente ferruginoso con sfumature giallastre esclusi il capo nerastro e così i lati del corpo, le antenne e le zampe che possono essere pure nerastri; rivestito di pubescenza giallo-fulva.

Fronte convessa fino al margine anteriore, questo fortemente arcuato, leggermente ispessito e proiettato sopra il clipeo, che è fornito di due deboli carene; punti ombelicati, con brevissimi intervalli lucidi.

Antenne raggiungenti o superanti appena l'apice degli angoli posteriori del pronoto; II lungo quanto largo, III subconico, poco più lungo del II, presi assieme della lunghezza del IV; IV-X triangolari, più lunghi che larghi, con leggera carena; XI ellissoidale.

Pronoto 1,2 volte più largo che lungo, regolarmente convesso, con lieve depressione mediana longitudinale nella declività basale; lati

arcuati, da dietro la metà in avanti leggermente ristretti, in addietro sinuati presso gli angoli posteriori, questi lunghi, acuti, fortemente divergenti, bicarenati; le carene sono egualmente sviluppate e dirette parallelamente verso l'interno; ribordo laterale completo; punti sul disco molto sparsi, semplici o leggermente ombelicati, con intervalli pari o di molto superiori al loro diametro; anche ai lati i punti sono fini e sparsi.

Scutello subrettangolare, leggermente convesso. Elitre 3,2 volte più lunghe del pronoto e 2,8 volte più lunghe che larghe; lati subparalleli, apice integro; strie ben incise e punteggiate, interstrie piane, più finemente punteggiate.

Apofisi prosternale all'apice integra.

Edeago come in fig. 1.

Femmina ignota.

Dimensioni. Lungh. mm 13-14,5; largh. mm 3,3-3,5.

Priopus decoratus n. sp.

Diagnosi. Specie simile per la colorazione e la forma dell'apofisi prosternale a *brevis* (Candèze) dal quale si distingue essenzialmente per il corpo più piccolo e stretto, la colorazione chiara del pronoto più pallida e le antenne più lunghe.

Materiale esaminato. Holotypus ♂: Tailandia: Mae Hong Son, Soppong, m 1500, 7/12.V.1996, leg. S. Becvar (CRG don. MSNG).

Descrizione del maschio. Bicolore; capo, antenne, stretto orlo anteriore ed apice degli angoli posteriori del pronoto neri; pronoto giallo arancio con grande macchia nerastra subovale, centrale, raggiungente la base in addietro e l'orlo anteriore; scutello, elitre e zampe castano scuri; prosterno e apofisi neri; propleure e addome giallo arancio, la parte rimanente del colore elitrale; rivestito di ruvida pubescenza nerastra in parte eretta.

Fronte piana con margine anteriore leggermente ispessito, subarcuato e sporgente sul clipeo; punti fortemente ombelicati con brevissimi intervalli, fino a contigui. Antenne superanti con due articoli l'apice degli angoli posteriori del pronoto; II articolo cilindrico, lungo quanto largo, III subconico, poco più lungo del II, presi assieme della lunghezza del IV; IV-X triangolari, più lunghi che larghi; XI ellissoidale.

Pronoto appena più largo che lungo, fortemente convesso con accenno di depressione mediana longitudinale al centro del disco; lati arcuati, dalla metà in avanti ristretti, in addietro sinuati presso gli angoli posteriori, questi acuti, fortemente divergenti, bicarenati; carene di eguale sviluppo, molto vicine, decorrenti parallelamente verso l'interno; ribordo laterale completo; punti sul disco leggermente ombelicati, molto sparsi, poco evidenti, con intervalli molto superiori al loro diametro ed ai lati ancora più sparsi.

Scutello subrettangolare, piano, fortemente ribordato alla base. Elitre 3 volte più lunghe del pronoto e 2,5 volte più lunghe che larghe; lati subparalleli fino alla metà poi leggermente allargati ed infine ristretti fino all'apice, questo semplice e regolarmente arrotondato; strie alla base poco distinte e lisce, poi più evidenti e punteggiate; interstrie alla base subconvesse, in addietro piane e sparsamente punteggiate.

Apofisi prosternale orizzontale dietro le anche e biforcata all'apice.

Edeago con lobo mediano molto più lungo dei parameri.

Femmina ignota.

Dimensioni. Lungh. mm 7; largh. mm 1,87.

Priopus dissimilis n. sp.
(Figg. 2, 19)

Diagnosi. Specie vicina ad *angulatus* (Candèze) ma facilmente distinta per le antenne più lunghe superanti con due articoli l'apice degli angoli posteriori del pronoto.

Materiale esaminato. Holotypus ♂: S Vietnam: 40 km NW of An Khe, Buon Luoi, m 650-750, 28.III-12.IV.1995, leg. Pacholatko & Dembicky (CCW).

Descrizione del maschio. Interamente castano scuro, poco lucido, con sfumature ferruginee; rivestito di ruvida pubescenza giallo-fulva.

Fronte piana con margine anteriore leggermente ispessito, al centro subrettilineo, diretto in basso e di poco sporgente sul clipeo; punti ombelicati e contigui.

Antenne superanti con circa 2 articoli l'apice degli angoli posteriori del pronoto; II articolo lungo quanto largo, III subconico, poco

più lungo del II, presi assieme più corti del IV; IV-X triangolari, molto più lunghi che larghi; XI a lati subparalleli, molto stretto e più lungo del penultimo.

Pronoto 1,25 volte più largo che lungo, moderatamente ma regolarmente convesso con accenno di solco nella declività basale; lati appena arcuati, quasi paralleli, solo agli angoli posteriori sinuati, questi divergenti, lunghi, acuti, bicarenati; la carena esterna è molto più lunga e prominente, vicinissima al ribordo laterale e diretta in avanti, quella interna è molto più corta, poco visibile, ma allo stesso livello o leggermente più alta; punti superficiali, ombelicati, con intervalli brevissimi e poco lucidi, ai lati molto più superficiali e fortemente ombelicati.

Scutello subrettangolare, piano, punteggiato. Elitre 3,2 volte più lunghe del pronoto e 2,5 volte più lunghe che larghe; lati paralleli fin oltre la metà poi debolmente ristretti fino all'apice, questo integro; strie regolarmente incise e punteggiate; interstrie piane, ruvidamente punteggiate.

Apofisi prosternale appena incisa all'apice.

Edeago come in fig. 2.

Femmina ignota.

Dimensioni. Lungh. mm 12,5; largh. mm 3,2.

Priopus kirschi n. sp.
(Fig. 3)

Diagnosi. Specie vicina a *quatei* Platia & Schimmel per la fronte impressa prima del margine ma distinta essenzialmente per il colore scuro e le antenne più lunghe superanti l'apice degli angoli posteriori del pronoto.

Materiale esaminato. Holotypus ♂: Laos: Phu Bosi Dac, 11.V.1994, leg. S. Steinke (CCW).

Descrizione del maschio. Interamente nerastro lucido con accenno di colore ferrugineo lungo la sutura elitrale; antenne e zampe ferruginei; rivestito di ruvida pubescenza fulva.

Fronte piana sul vertice, leggermente impressa nella metà anteriore prima del margine, questo arcuato, leggermente ispessito e sporgente sul clipeo; punti superficiali, fortemente ombelicati, con brevissimi spazi lucidi.

Antenne superanti con 2 articoli l'apice degli angoli posteriori del pronoto, II e III articolo subcilindrici, subeguali, presi assieme della lunghezza del IV; IV-X triangolari, più lunghi che larghi, senza accenno di carena.

Pronoto appena più largo che lungo, moderatamente ma regolarmente convesso, senza accenno di solco mediano longitudinale nella declività basale; lati leggermente e regolarmente arcuati, sinuati presso gli angoli posteriori, questi lunghi, acuti, divergenti, bicarenati, carene fini, poco evidenti, allo stesso livello, dirette verso l'interno; margine laterale per oltre i due terzi della lunghezza visibile dall'alto; punti profondi, semplici o leggermente ombelicati con intervalli sul disco pari al loro diametro o più ampi, lucidi, ai lati superficiali e fortemente ombelicati.

Scutello piano, punteggiato. Elitre 3 volte più lunghe del pronoto e 2,3 volte più lunghe che larghe; lati per oltre i due terzi della lunghezza subparalleli poi leggermente ristretti fino all'apice; strie normalmente incise e punteggiate fino all'apice, questo integro; interstrie piane con superficie ruvida.

Apofisi prosternale all'apice integra.

Edeago come in fig. 3.

Femmina ignota.

Dimensioni. Lungh. mm 8,7; largh. mm 2,5.

Priopus laoticus n. sp.
(Fig. 4)

Diagnosi. Simile a *steinkeae* n. sp. ma con il pronoto più allungato, meno arcuato ai lati e con le carene degli angoli posteriori allo stesso livello.

Materiale esaminato. Holotypus ♂: C Laos: Bolikhamsai prov., Ban Nape, Koew Nua Pass, 18.IV.1V.1998, leg. E. Jendek & O. Sausa (CSB); 2 Paratypi (♂ & ♀): stessi dati (CPG, CSB).

Descrizione del maschio. Interamente ferrugineo con sfumature nerastre; rivestito di ruvida pubescenza giallo-fulva.

Fronte piana con margine anteriore subarcuato, ispessito e proiettato sul clipeo; punti robusti, ombelicati, contigui o con brevissimi intervalli lucidi.

Antenne non raggiungenti per circa un segmento l'apice degli angoli posteriori del pronoto; II articolo cilindrico, appena più lungo che largo, III subconico, più lungo del II, presi assieme chiaramente più lunghi del IV; IV-X triangolari, poco più lunghi che larghi; XI ellissoidale.

Pronoto appena più largo che lungo, convesso, con leggero solco mediano solo nella declività basale; lati subparalleli fin quasi agli angoli posteriori, questi sono lunghi, acuti, fortemente divergenti, bicarenati; la carena esterna è più robusta e più lunga, quella interna è più fine e corta ma ben evidente, allo stesso livello o leggermente più elevata; punti profondi, semplici, sul disco con intervalli in media pari al loro diametro o più ampi, ai lati più densi.

Scutello lungo e stretto, leggermente convesso. Elitre 3 volte più lunghe del pronoto e 2,7 volte più lunghe che larghe; lati subparalleli per oltre i due terzi della lunghezza, ristretti poi fino all'apice, questo integro; strie regolarmente incise e punteggiate; interstrie da piane a subconvesse, sparsamente punteggiate.

Apofisi prosternale leggermente incisa all'apice.

Edeago come in fig. 4.

Dimensioni. Lungh. mm 13,4-14,3; largh. mm 3,3-3,6.

Priopus steinkeae n. sp.
(Figg. 5, 17)

Diagnosi. Specie vicina a *laoticus* n. sp. ma distinto per il pronoto più allargato e per la carena interna degli angoli posteriori debole e posta ad un livello più basso di quella esterna.

Materiale esaminato. Holotypus ♂: Burma: Tenasserim, 30.V.1994, leg. S. Steinke (CCW); 1 Paratypus ♀ : stessi dati (CPG).

Descrizione del maschio. Interamente ferrugineo con sfumature più scure ai margini del corpo; rivestito di ruvida pubescenza giallo-fulva.

Fronte convessa con margine anteriore arcuato, ispessito e fortemente sporgente sul clipeo, questo con due flebili carene ai lati; punti robusti, superficiali, ombelicati, con brevissimi intervalli lucidi.

Antenne non raggiungenti per circa un segmento l'apice degli angoli posteriori del pronoto; II lungo quanto largo, III subconico,

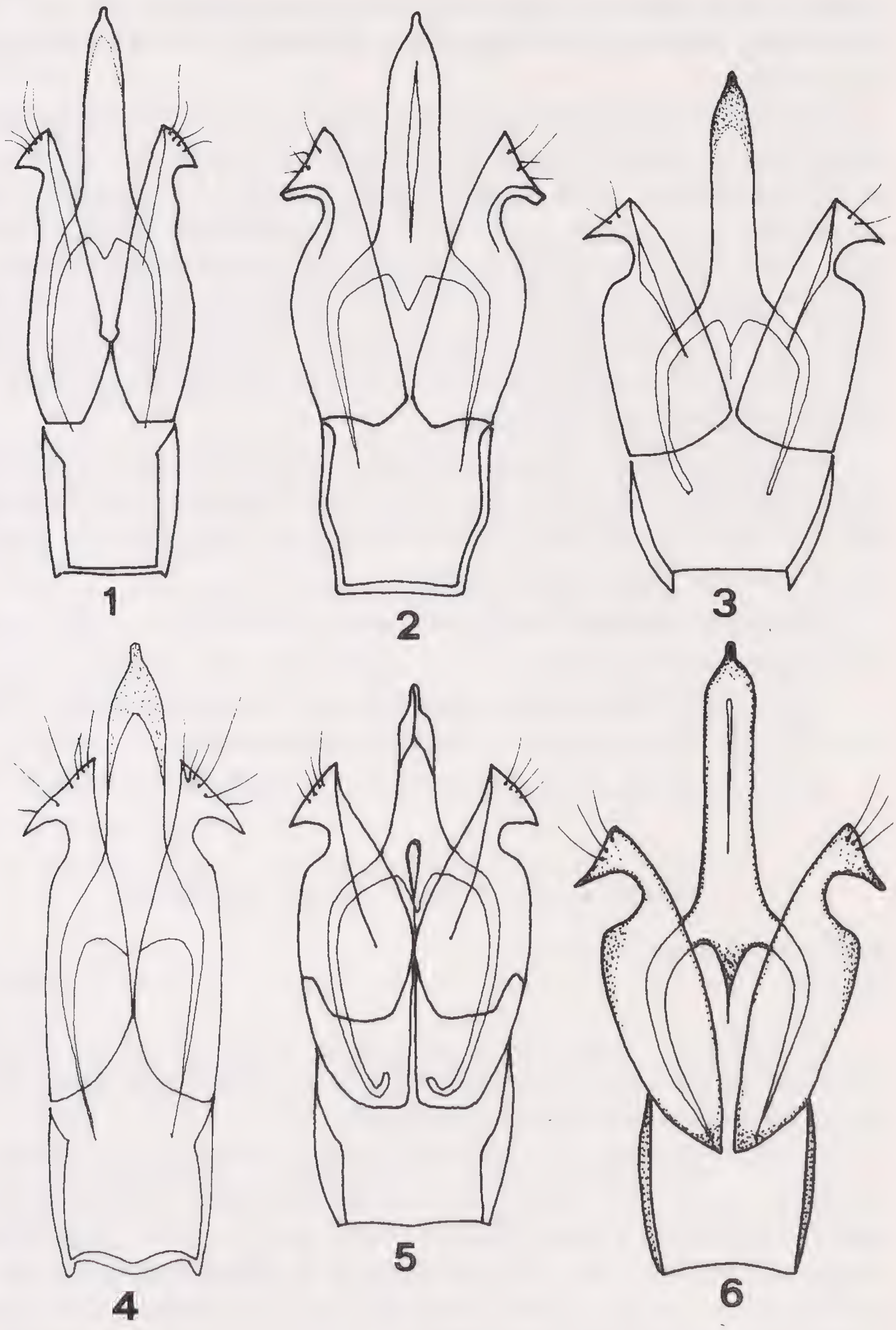

Figg. 1-6 - Edeago in visione dorsale. *Priopus beauchenei* n. sp. (1); *P. dissimilis* n. sp. (2); *P. kirschi* n. sp. (3); *P. laoticus* n. sp. (4); *P. steinkeae* n. sp. (5); *P. brevicollis* (Fleutiaux) (6).

appena più lungo del II, presi assieme della lunghezza del IV; IV-X triangolari, più lunghi che larghi, con accenno di carena mediana; XI ellissoidale.

Pronoto 1,2 volte più largo che lungo, convesso, con leggero ma chiaro solco mediano longitudinale dalla declività basale fin oltre la metà; lati arcuati, dalla metà in avanti ristretti, in addietro prima subparalleli poi sinuati presso gli angoli, questi acuti, lunghi, divergenti e bicarenati; la carena esterna è molto più evidente e diretta in avanti, quella interna è più fine, poco evidente e posta ad un livello più basso; punti sul disco profondi, semplici o leggermente ombelicati, con intervalli in media di molto inferiori al loro diametro, ai lati più robusti ed ombelicati ma spaziati.

Scutello allungato, convesso. Elitre 3 volte più lunghe del pronoto e 2,7 volte più lunghe che larghe; lati regolarmente e gradualmente ristretti dalla base all'apice, questo integro; strie regolarmente punteggiate, interstrie piane con punti sparsi.

Apofisi prosternale leggermente incisa all'apice.

Edeago come in fig. 5.

Femmina. Molto simile al maschio, con antenne poco più corte e II e III articoli presi assieme poco più lunghi del IV.

Dimensioni. Lungh. mm 13,5-14,3; largh. mm 3,4-3,7.

SPECIE NUOVE DI INDONESIA E MALAYSIA

Priopus baumi n. sp.
(Fig. 7)

Diagnosi. Specie simile ad exquisitus (Candèze) ma più piccola, con colorazione uniforme e antenne più lunghe con articoli leggermente carenati ad iniziare dal quarto.

Materiale esaminato. Holotypus ♂: Singapore, 1929, leg. Dr Baum (CCW); 6 Paratypi ♂♂ con gli stessi dati dell'holotypus ed inoltre: Malaysia: Pahang, Johor, Endau Rampin Nat. Park, Salendang, 28.II-12.III.1995, leg. M. Strba & R. Hergovits; Johor, 15 km NW of Kota Tinggi, Munta Hak Mt., m 200, 14/16.V.2001, leg. P. Cechovsky (CCW; CPG; CRG; CSB).

Descrizione del maschio. Da castano ferrugineo a nerastro con antenne e zampe ferruginei; pubescenza ruvida, giallo-fulva.

Fronte piana con margine anteriore arcuato, leggermente ispessito, diretto in basso od appena sporgente sul clipeo; punti ombelicati, contigui.

Antenne superanti con 1-1,5 articoli l'apice degli angoli posteriori del pronoto; articoli II e III subcilindrici, subeguali, presi assieme della lunghezza del IV; IV-X triangolari con leggera carena longitudinale, più lunghi che larghi; XI ellissoidale.

Pronoto appena più largo che lungo, convesso, con leggero solco mediano longitudinale dalla declività basale, dove è più marcato, fin oltre la metà dove invece è poco evidente; lati dalla base all'apice quasi regolarmente ristretti, angoli posteriori molto acuti, lunghi, non divergenti, bicarenati, la carena esterna è ben evidente, più alta e diretta verso l'interno, quella interna è finissima e posta ad un livello inferiore; punti sul disco profondi, semplici o leggermente ombelicati con intervalli inferiori al loro diametro, verso i lati più densi, fortemente ombelicati, pressoché contigui.

Scutello allungato, convesso, punteggiato. Elitre 2,7 volte più lunghe del pronoto e 2,6 volte più lunghe che larghe; lati dalla base all'apice leggermente ma regolarmente ristretti, apice integro; strie incise e punteggiate; interstrie piane con superficie ruvida.

Apofisi prosternale integra all'apice.

Edeago come in fig. 7.

Femmina ignota.

Dimensioni. Lungh. mm 6-7,5; largh. mm 1,75-2,1.

Priopus everetti n. sp.
(Fig. 8)

Diagnosi. Simile ad *ineptus* (Candèze) ma con il corpo più robusto e con l'apice degli angoli posteriori del pronoto più breve.

Materiale esaminato. Holotypus ♂: Indonesia: Sulawesi, Bonthain, IX.1895, leg. A. Everett (CPG).

Descrizione del maschio. Interamente castano ferrugineo con antenne e zampe più chiari; rivestito di ruvida pubescenza giallastra.

Fronte leggermente impressa nella metà anteriore con margine ispessito, regolarmente arcuato, diretto in basso e di poco sporgente sul clipeo; punti robusti, ombelicati, pressoché contigui.

Antenne superanti con circa 2 articoli l'apice degli angoli posteriori del pronoto; II articolo cilindrico, III subconico, di lunghezza subeguale, presi assieme della lunghezza del IV; IV-X triangolari, più lunghi che larghi, debolmente carenati; XI ellissoidale più lungo del penultimo.

Pronoto appena più largo che lungo, moderatamente convesso, nella declività basale con accenno di solco, sul disco lievemente depresso al centro; lati appena ma regolarmente arcuati, angoli posteriori corti, troncati, prima divergenti poi convergenti all'estremo apice, bicarenati; le carene sono poco evidenti, subparallele, quella esterna è più prominente e robusta di quella interna; ribordo laterale visibile solo nel terzo posteriore; punti profondi, semplici o leggermente ombelicati, con brevissimi intervalli lucidi, ai lati fortemente ombelicati.

Scutello leggermente convesso, poco più lungo che largo, punteggiato. Elitre 3 volte più lunghe del pronoto e 2,5 volte più lunghe che larghe; lati subparalleli per oltre i due terzi della lunghezza e poi ristretti fino all'apice, questo integro; strie normalmente incise e punteggiate, interstrie ruvide.

Articolo IV dei tarsi molto più piccolo del precedente.

Edeago come in fig. 8.

Femmina ignota.

Dimensioni. Lungh. mm 8; largh. mm 2,2.

Priopus horaki n. sp.
(Figg. 10, 20)

Diagnosi. Specie vicina a *candezei* Platia & Schimmel per aspetto e dimensioni, se ne distingue per la carena interna degli angoli posteriori del pronoto molto più fine e ad un livello più basso di quella esterna.

Materiale esaminato. Holotypus ♂: Malaysia: Sarawak, Kuching distr., Mt Serapi, 27/29.III.1994, leg. J. Horak (CPG).

Descrizione del maschio. Interamente ferrugineo con sfumature nerastre ai bordi del corpo ed ai lati verso l'apice elitrale; rivestito di rada pubescenza giallo-fulva.

Fronte convessa con ampio margine anteriore regolarmente e fortemente arcuato, ispessito e proiettato sul clipeo, questo con due flebili

carene ai lati; punti profondi, semplici o leggermente ombelicati con brevissimi intervalli lucidi.

Antenne corte non raggiungenti per circa due articoli l'apice degli angoli posteriori del pronoto; II e III subcilindrici, subeguali, presi assieme poco più lunghi del IV; IV-X triangolari, poco più lunghi che larghi con debole carena mediana longitudinale; XI ellissoidale, della lunghezza del penultimo.

Pronoto poco più largo che lungo, convesso, con debole impressione, come una linea mediana longitudinale per tutta la lunghezza, più profonda nella declività basale; lati arcuati, da dietro la metà in avanti regolarmente ristretti, sinuati presso gli angoli posteriori, questi acuti, prima leggermente divergenti, ma all'estremità apicale convergenti, bicarenati; le carene sono parallele, quella esterna è più lunga, quella interna è più debole ma allo stesso livello; punti profondi, semplici, sul disco ben spaziati, da un diametro a molto di più, ai lati più robusti ma sempre ben spaziati.

Scutello leggermente convesso, punteggiato. Elitre 2,7 volte più lunghe del pronoto e 2,5 volte più lunghe che larghe; lati notevolmente e regolarmente ristretti dalla base all'apice, questo incavato con spina esterna più lunga e acuta di quella interna; strie regolarmente incise e punteggiate; interstrie piane, densamente punteggiate.

Apofisi prosternale leggermente incisa all'apice.

Edeago come in fig. 10.

Femmina ignota.

Dimensioni. Lungh. mm 11,5; largh. mm 3.

Priopus humeralis n. sp.
(Fig. 9)

Diagnosi. Specie simile a *basalis* (Schwarz) ma più piccola e solo con gli omeri elitrali gialli, le prime due interstrie e la sutura elitrale neri.

Materiale esaminato. Holotypus ♂: Indonesia: W Sumatra, VIII.1991 (CHKM); 2 Paratypi (♂ & ♀): stessi dati (CPG).

Descrizione del maschio. Bicolore; capo, pronoto, base delle elitre dalla III interstria e compresi gli omeri, zampe, parte infe-

riore eccetto l'addome, di colore rosso-arancio, parti rimanenti nerastre; rivestito di ruvida pubescenza nerastra.

Fronte convessa con margine anteriore arcuato, ispessito e proiettato sul clipeo, questo con due flebili carene al centro; punti robusti, ombelicati, con brevissimi intervalli.

Antenne corte, superanti di poco la metà del pronoto; articoli II e III subcilindrici, subeguali, presi assieme più lunghi del IV; IV-X triangolari, poco più lunghi che larghi, con leggera carena; XI ellissoidale.

Pronoto lungo quanto largo, convesso, con leggero solco mediano longitudinale dalla base fin oltre la metà; lati da dietro la metà in avanti fortemente ristretti, sinuati presso gli angoli posteriori, questi lunghi, acuti, leggermente divergenti, bicarenati; le carene, parallele e dirette all'interno, sono allo stesso livello, quella interna appena più debole; punti molto fini, sparsi, profondi, semplici, con intervalli superiori al loro diametro anche fino a due o tre volte.

Scutello appena più lungo che largo, convesso, punteggiato. Elitre 2,7 volte più lunghe del pronoto e 2,5 volte più lunghe che larghe; lati ristretti dalla base all'apice, questo incavato; strie normalmente incise dalla base all'apice, interstrie piane con punti più fini.

Apofisi prosternale leggermente incisa all'apice.

Edeago come in fig. 9.

Femmina. Molto simile al maschio, con antenne appena più corte ed articoli dal IV più tozzi.

Dimensioni. Lungh. mm 8,2-8,7; largh. mm 2,2-2,3.

Priopus jucundus n. sp.

Diagnosi. Specie appartenente al primo gruppo per gli angoli posteriori del pronoto unicarenati; per la colorazione è estremamente simile a *seminiger* (Candèze) dal quale si distingue essenzialmente per le dimensioni minori ed il capo nero come le elitre.

Materiale esaminato. Holotypus ♂: Malaysia : Selangor Templer Park, lowland rainforest, 5.IV.1995, leg. O. Merkl (TM).

Descrizione del maschio. Bicolore; capo, antenne, elitre, nerastri; pronoto e parte inferiore giallo-arancio; zampe ferruginose;

rivestito di lunga e poco densa pubescenza nerastra, in gran parte semieretta.

Fronte convessa con margine anteriore subarcuato, leggermente ispessito, diretto in basso e nettamente sporgente sul clipeo; punti forti, ombelicati, irregolarmente distribuiti, con intervalli nettamente inferiori al loro diametro. Antenne raggiungenti l'apice degli angoli posteriori del pronoto; II articolo cilindrico, III subconico, poco più lungo del II, presi assieme più lunghi del IV; IV-X triangolari, lunghi quanto larghi; XI ellissoidale.

Pronoto 1,2 volte più largo che lungo, fortemente convesso sul disco, con accenno di solco mediano longitudinale nella declività basale; lati quasi regolarmente e fortemente ristretti dalla base all'apice; angoli posteriori acuti, nettamente unicarenati, con carena diretta internamente; ribordo laterale subrettilineo e completo; punti profondi, semplici o vagamente ombelicati, sparsi, con intervalli in media superiori a due o tre volte il loro diametro.

Scutello subrettangolare, leggermente convesso, fortemente ribordato alla base. Elitre 2,8 volte più lunghe del pronoto e 2,3 volte più lunghe che larghe; lati subparalleli fin verso la metà poi ristretti verso l'apice, questo arrotondato; strie normalmente incise e punteggiate; interstrie piane con superficie leggermente ruvida.

Apofisi prosternale leggermente piegata dietro le anche anteriori e incisa all'apice.

Edeago con parameri fortemente sinuati ai lati e lobo mediano molto più lungo dei parameri.

Femmina ignota.

Dimensioni. Lungh. mm 7,5; largh. mm 2,18.

Priopus pahangensis n. sp.

Diagnosi. Per la forma generale si avvicina ad *exquisitus* (Candèze) dal quale si separa essenzialmente per le antenne più corte non raggiungenti l'apice degli angoli posteriori del pronoto e la forma dell'edeago.

Materiale esaminato. Holotypus ♂: Malaysia: Pahang, Benom Mts, 15 km E Kampong Dong, m 300-1000, 24.III-15.IV.1998, leg. Dembicky & Pacholatko (CCW); 1 Paratypus ♂: stessi dati (CPG).

Descrizione del maschio. Interamente nerastro poco lucido ad eccezione di antenne e zampe ferruginei; rivestito di densa pubescenza fulva.

Fronte convessa con margine anteriore leggermente ispessito, regolarmente arcuato e sporgente sul clipeo; punti superficiali, fortemente ombelicati con brevissimi spazi lucidi. Antenne non raggiungenti per circa un articolo l'apice degli angoli posteriori del pronoto; II articolo cilindrico, lungo quanto largo, III subconico poco più lungo del II, presi assieme della lunghezza del IV; IV-X triangolari, più lunghi che larghi; XI ellissoidale.

Pronoto lungo quanto largo, moderatamente convesso con stretto ma profondo solco mediano longitudinale, dalla declività basale prolungato molto più superficialmente nel terzo posteriore; lati dalla base all'apice quasi regolarmente ristretti; angoli posteriori lunghi, acuti, all'apice appena divergenti, bicarenati; la carena esterna è più prominente e poco più lunga di quella interna, questa è molto meno evidente, ambedue sono dirette internamente; ribordo laterale completo; punti profondi, sul disco leggermente ombelicati con brevissimi intervalli, verso i lati sempre più densi e fortemente ombelicati, ai margini contigui.

Scutello subrettangolare, leggermente convesso, alla base ribordato. Elitre 2,8 volte più lunghe del pronoto e 2,4 volte più lunghe che larghe; lati dalla base all'apice quasi regolarmente ristretti; apice regolarmente arrotondato; strie fortemente incise e punteggiate; interstrie ruvide.

Apofisi prosternale piegata immediatamente dietro le anche, con apice integro.

Femmina ignota.

Dimensioni. Lungh. mm 7,8-8; largh. mm 2,1-2,2.

Priopus seramensis n. sp.

Diagnosi. Specie prossima a *bicolor* Platia & Schimmel delle Filippine per la colorazione e l'aspetto generale, ma distinta per l'apice elitrale nettamente incavato.

Materiale esaminato. Holotypus ♂: Indonesia: Is. Seram, Maluku, Solea, 12 km SE Wahai, 31.X-4.XI.1998, leg. J. Horak (CHP);

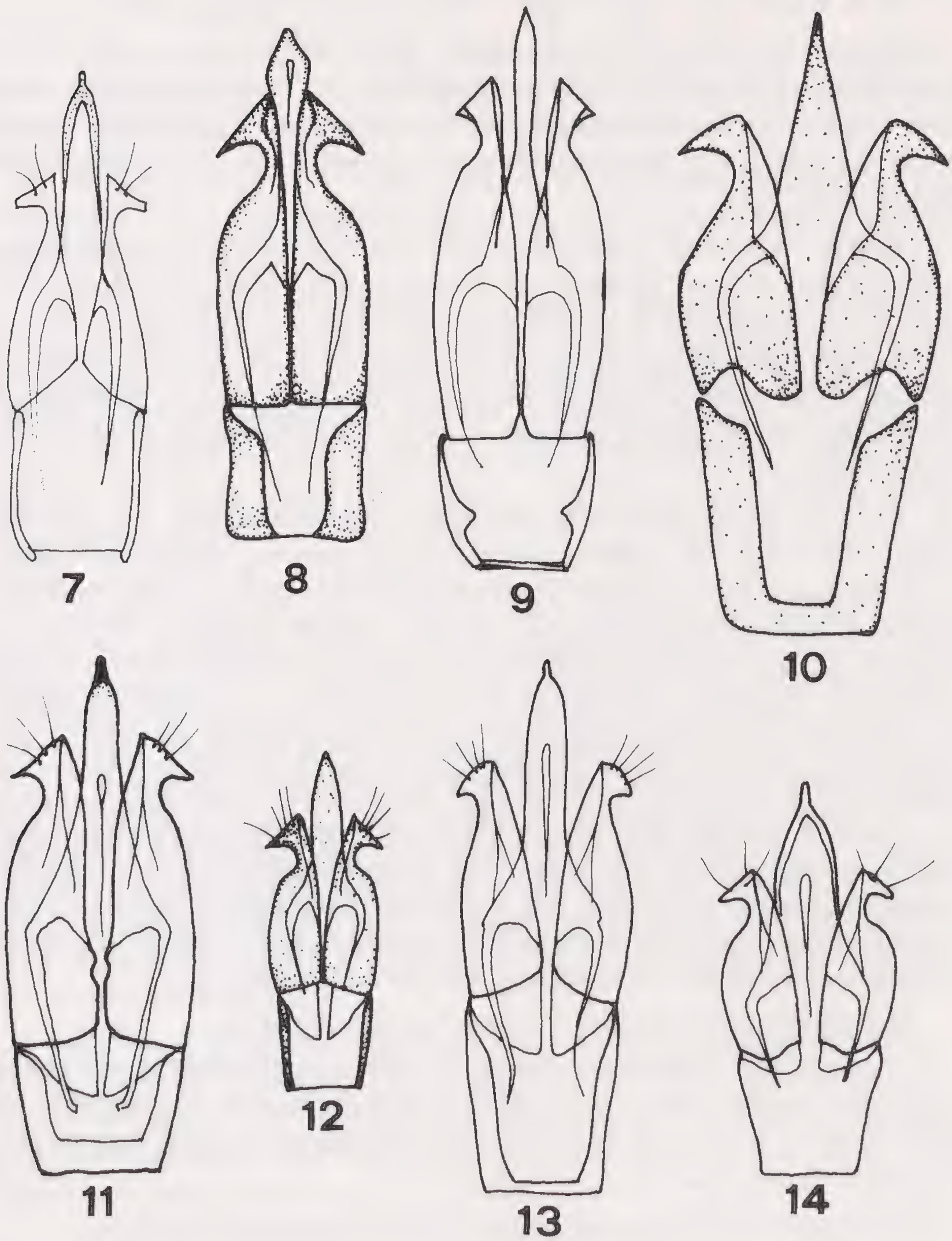

Figg. 7-14 - Edeago in visione dorsale. *Priopus baumi* n. sp. (7); *P. everetti* n. sp. (8); *P. humeralis* n. sp. (9); *P. horaki* n. sp. (10); *P. sumatrensis* n. sp. (11); *P. bryanti* Platia & Schimmel (12); *P. politoides* n. sp. (13); *P. mindoroensis* n. sp. (14).

9 Paratypi (4 ♂♂ e 5 ♀♀): stessi dati dell'Holotypus e stessa località, ma 16.X-4.XII.1999, leg. S. Bily (CHP; CCW, CPG; CSV; MSNG).

Descrizione del maschio. Bicolore; capo, margini dello scutello ed elitre neri; pronoto, propleure, parte centrale dello scutello rosso-arancio: prosterno, apofisi prosternale e parte rimanente nerastri; antenne e zampe ferruginei; rivestito di fine pubescenza giallo-fulva.

Fronte convessa col margine anteriore regolarmente arcuato, lievemente ispessito ed appena sporgente sul clipeo; punti forti, ombelicati, con brevissimi intervalli lucidi. Antenne raggiungenti l'apice degli angoli posteriori del pronoto; articoli II e III subcilindrici, subeguali, presi assieme della lunghezza del quarto; IV-X triangolari, più lunghi che larghi, con leggera carena mediana longitudinale; XI ellissoidale.

Pronoto appena più largo che lungo, moderatamente ma regolarmente convesso con leggera depressione mediana longitudinale dalla declività basale fino al centro del disco; lati dalla metà in addietro subparalleli, in avanti moderatamente ristretti; angoli posteriori acuminati, non od appena divergenti all'apice, bicarenati; le carene hanno eguale sviluppo e disegnano una stretta V in avanti; punti sul disco profondi e semplici con intervalli variabili e pari in media al loro diametro o più ampi, ai lati più densi ma non contigui e qualcuno ombelicato.

Scutello quadrangolare, leggermente convesso al centro e alla base ribordato. Elitre 2,6 volte più lunghe del pronoto e 2,4 volte più lunghe che larghe; lati dalla base all'apice quasi regolarmente ristretti; apice incavato con corte punte ai lati interni ed esterni; strie ben incise e punteggiate; interstrie piane ma con punti più fini.

Apofisi prosternale leggermente incavata all'apice.

Femmina. Forma più convessa, elitre più parallele, antenne più corte non raggiungenti l'apice degli angoli posteriori del pronoto, con gli articoli II e III presi assieme della lunghezza del IV, questo ed i seguenti meni seghettati.

Dimensioni. Lungh. mm 9,4-10,7; largh. mm 2,6-2,9.

Priopus sumatrensis n. sp.
(Fig. 11)

Diagnosi. Specie vicina a *flavidus* Platia & Schimmel ma distinta per il corpo più piccolo, la colorazione più scura e le antenne

più corte non raggiungenti per circa un articolo l'apice degli angoli posteriori del pronoto.

Materiale esaminato. Holotypus ♂: Indonesia: N Sumatra, Huta Padang, ca 62 km SE Pemangtan Siantar, m 250, 10.IX.1996, leg. E. W. Diehl (CCW).

Descrizione del maschio. Interamente ferruginoso con sfumature nerastre ai bordi del pronoto e delle elitre; rivestito di densa pubescenza fulva.

Fronte piana con margine anteriore ispessito, subrettilineo, proiettato suborizzontalmente sul clipeo, questo leggermente carenato longitudinalmente ai lati; punti profondi ombelicati, con intervalli variabili in media inferiori al loro diametro. Antenne non raggiungenti per circa un segmento l'apice degli angoli posteriori del pronoto; II articolo cilindrico, lungo quanto largo, III subconico poco più lungo del II, presi assieme più lunghi del IV; IV-X triangolari, appena più lunghi che larghi; XI ellissoidale.

Pronoto poco più largo che lungo, regolarmente convesso con stretta linea mediana longitudinale profonda nella declività basale, molto superficiale e raggiungente quasi il bordo anteriore sul disco; lati arcuati, da dietro la metà in avanti regolarmente ristretti, in addietro sinuati prima degli angoli posteriori, questi lunghi, divergenti all'apice, bicarenati, le carene sono della stessa lunghezza, egualmente prominenti e formano in avanti una stretta V diretta verso l'interno; ribordo laterale completo; punti sul disco profondi, semplici o debolmente ombelicati con intervalli in media superiori al loro diametro, ai lati solo poco più forti e più densi ma sempre con intervalli non inferiori al loro diametro.

Scutello rettangolare, leggermente convesso, alla base ribordato. Elitre 2,6 volte più lunghe del pronoto e 2,3 volte più lunghe che larghe; lati dalla base all'apice regolarmente ristretti; apice regolarmente arrotondato; strie ben incise e punteggiate; interstrie leggermente convesse con punteggiatura molto fine.

Apofisi prosternale regolarmente inclinata dietro le anche anteriori con apice integro.

Edeago come in fig. 11.

Femmina ignota.

Dimensioni. Lungh. mm 8; largh. mm 2,4.

SPECIE NUOVE DELLE FILIPPINE

Priopus fasciatus n. sp.
(Fig. 15)

Diagnosi. Molto simile a *samuelsoni* Platia & Schimmel ma distinto essenzialmente per il capo nero e la punteggiatura del pronoto più marcata.

Materiale esaminato. Holotypus ♂: Filippine: N Luzon, Kalinga-Apjabra Prov., Cordillera Centr. around Pass, m 1500-1700, 26/28.III.2000, leg. L. Dembicky (CCW).

Descrizione del maschio. Lucido; capo, stretto orlo anteriore del pronoto, lati delle elitre dal VII intervallo ed estremo apice neri; parte rimanente con zampe e parte inferiore giallo-ferruginoso; rivestito di pubescenza fulva.

Fronte leggermente convessa con margine anteriore lievemente ispessito, regolarmente arcuato ed appena sporgente sul clipeo; punti profondi, ombelicati, con intervalli in media pari alla metà del loro diametro. Antenne superanti con quasi un segmento l'apice degli angoli posteriori del pronoto; articoli II e III subcilindrici, col III poco più lungo del II; presi assieme poco più corti del IV; IV-X triangolari, più lunghi che larghi con lieve carena longitudinale; XI ellissoidale.

Pronoto poco più largo che lungo, piuttosto depresso, gradualmente declive ai lati ed alla base, con accenno di depressione mediana longitudinale; lati debolmente arcuati, dalla metà in avanti gradualmente ristretti, in addietro lungamente sinuati fino agli angoli posteriori, questi acuminati, divergenti, bicarenati, la carena interna è più prominente rispetto a quella esterna più fine, poco evidente e molto prossima al margine laterale, questo completo; punteggiatura costituita sul disco da punti semplici o leggermente ombelicati con intervalli variabili, in media superiori al loro diametro.

Scutello subrettangolare, leggermente convesso, sparsamente punteggiato. Elitre 3,38 volte più lunghe del pronoto e 3 volte più lunghe che larghe; lati paralleli fino alla metà poi ristretti fino all'apice, che è incavato; strie regolarmente punteggiate; interstrie piane con punteggiatura sparsa.

Ultimo segmento addominale regolarmente arrotondato.

Apofisi prosternale orizzontale dietro le anche, incavata all'apice.

Edeago come in fig. 15.

Femmina ignota.

Dimensioni. Lungh. mm 12,8; largh. mm 2,85.

Priopus mindoroensis n. sp.
(Fig. 14)

Diagnosi. Specie simile a *torrevillasi* Platia & Schimmel ma più piccola, con colorazione chiara e secondo e terzo articoli delle antenne presi assieme più lunghi del quarto.

Materiale esaminato. Holotypus ♂: Filippine: Mindoro Occ., Amnay river valley, 25 km SE Santa Cruz, 17.IV.2000, leg. L. Dembicky (CCW); 2 Paratypi ♂♂: stessi dati (CCW; CPG).

Descrizione del maschio. Interamente giallo ferruginoso con ruvida e lunga pubescenza giallo fulva, semieretta sulle elitre.

Fronte convessa con margine anteriore leggermente ispessito, regolarmente arcuato ed appena sporgente sul clipeo; punti superficiali, ombelicati, con brevissimi intervalli lucidi. Antenne raggiungenti e superanti appena l'apice degli angoli posteriori del pronoto; articoli II e III subcilindrici e subeguali, presi assieme più lunghi del IV; IV-X triangolari, poco più lunghi che larghi, longitudinalmente lievemente carenati; XI ellissoidale.

Pronoto lungo quanto largo, moderatamente ma regolarmente convesso con corta e stretta depressione mediana longitudinale nella declività basale; lati quasi regolarmente ristretti dalla base all'apice; angoli posteriori acuti, non od appena divergenti, bicarenati; carene della stessa lunghezza e sviluppo, dirette internamente, formanti in avanti una lunga e stretta formanti V; ribordo laterale completo. Punti sul disco profondi, semplici o vagamente ombelicati con intervalli variabili ma in media superiori al loro diametro, più grandi e più densi ai lati ma sempre con brevi intervalli.

Scutello subrettangolare, piano, ribordato alla base, punteggiato. Elitre 2,9 volte più lunghe del pronoto e 2,7 volte più lunghe che larghe; lati paralleli fino alla metà, poi ristretti fino all'apice, questo troncato od appena incavato; strie punteggiate; interstrie piane con finissima punteggiatura.

Ultimo segmento addominale regolarmente arrotondato.

Apofisi prosternale regolarmente piegata dietro le anche, appena incisa all'apice.

Edeago come in fig. 14.

Femmina ignota.

Dimensioni. Lungh. mm 6,8-7,5; largh. mm 1,7-1,9.

Priopus philippinus n. sp.

Diagnosi. Per la colorazione simile a *nigripes* (Fleutiaux) ma distinto per le dimensioni minori, le antenne più corte e la punteggiatura del pronoto più densa.

Materiale esaminato. Holotypus ♂: Filippine: N Luzon, Zambales Prov., Zambales Mts., High Peak W side, m 350-1350, 18.III.2000, leg. L. Dembicky (CCW).

Descrizione del maschio. Bicolore; interamente rosso scuro ad eccezione delle elitre nerastre con sfumature ferruginee lungo la sutura; rivestito di ruvida e poco densa pubescenza fulva.

Fronte convessa con margine anteriore leggermente ispessito, regolarmente arcuato ed appena sporgente sul clipeo; punti profondi, da semplici a vagamente ombelicati con brevissimi intervalli. Antenne superanti con un segmento gli angoli posteriori del pronoto; articoli II e III subcilindrici e subeguali, presi assieme più corti del IV; IV-X triangolari, più lunghi che larghi; XI lungamente ellissoidale.

Pronoto lungo quanto largo, moderatamente e regolarmente convesso con accenno di depressione mediana longitudinale nella declività basale; lati dalla base all'apice quasi regolarmente ristretti; angoli posteriori acuti, all'estremità apicale non divergenti, bicarenati; carene di eguale lunghezza, quella esterna poco più prominente; punti sul disco semplici o leggermente ombelicati, con intervalli pari in media al loro diametro, verso i lati più densi ed ai margini chiaramente ombelicati e pressoché contigui.

Scutello subrettangolare, leggermente sinuato ai lati, piano e punteggiato. Elitre 3 volte più lunghe del pronoto e 2,8 volte più lunghe che larghe; lati appena ma regolarmente ristretti dalla base all'apice, questo arrotondato ma con margini leggermente crenulati; strie regolarmente incise e punteggiate; interstrie piane con ruvida punteggiatura.

Ultimo segmento addominale leggermente incavato ai lati.

Apofisi prosternale regolarmente e immediatamente inclinata dietro le anche con apice integro.

Edeago con parameri dentati.

Femmina ignota.

Dimensioni. Lungh. mm 10; largh. mm 2,35.

Priopus politoides n. sp.
(Fig. 13)

Diagnosi. Specie molto simile nell'aspetto generale a *politus* (Candèze) ma distinto per il corpo più convesso, le antenne più corte e la forma dell'edeago.

Materiale esaminato. Holotypus ♂: Filippine: Mindoro Occ., Amnay river valley, 25 km SE Santa Cruz, 17.IV.2000, leg. L. Dembicky (CCW); Paratypus ♀: stessi dati (CPG).

Descrizione del maschio. Interamente castano ferrugineo con densa pubescenza fulva.

Fronte convessa con margine anteriore leggermente ispessito, regolarmente arcuato ed appena sporgente sul clipeo; punti forti, ombelicati, con brevissimi intervalli leggermente zigrinati. Antenne superanti con un segmento l'apice degli angoli posteriori del pronoto; articoli II e III subcilindrici, subeguali, presi assieme della lunghezza del IV; IV-X triangolari, più lunghi che larghi, longitudinalmente carenatai; XI lungamente ellissoidale.

Pronoto appena più largo che lungo, moderatamente e regolarmente convesso, con leggera depressione mediana longitudinale solo nella declività basale; lati leggermente arcuati, appena sinuati presso gli angoli posteriori, questi acuti, appena divergenti, bicarenati; le carene sono egualmente sviluppate e allo stesso livello e formano una lunga e stretta V diretta internamente; punti sul disco profondi, semplici o vagamente ombelicati con brevissimi intervalli lucidi, verso i lati più densi, più chiaramente ombelicati fino a contigui o con brevissimi intervalli zigrinati ai margini.

Scutello subrettangolare, leggermente convesso, ruvidamente punteggiato e ribordato alla base. Elitre 2,7 volte più lunghe del pronoto e 2,4 volte più lunghe che larghe; lati dalla base all'apice appena ma regolarmente ristretti; apice leggermente spinoso e subtroncato; strie regolari e punteggiate; interstrie piane con punti più sparsi.

Ultimo segmento addominale appena inciso ai lati.

Apofisi prosternale leggermente ma regolarmente piegata dietro le anche integra all'apice.

Edeago come in fig. 13.

Femmina. Corpo più parallelo e convesso; antenne più corte non raggiungenti l'apice degli angoli posteriori del pronoto con articoli II e III presi assieme più lunghi del IV.

Dimensioni. Lungh. mm 8,8-9; largh. mm 2,3-2,5.

Priopus schultzei n. sp.
(Fig. 16)

Diagnosi. Simile per la colorazione a *nigripes* (Fleutiaux) ma più grande e larga con antenne più corte e punteggiatura del pronoto più densa.

Materiale esaminato. Holotypus ♂: Filippine: N Luzon, Ilocos Norte Prov., Patapat Mts, N of Adams, m 300, 3.IV.2000, leg. L. Dembicky (CCW); 5 Paratypi (2 ♂♂ e 3 ♀♀): stessi dati (CCW; CPG; MSNG).

Descrizione del maschio. Colorazione variabile; da quasi unicolore nerastro con capo e pronoto leggermente più scuri a bicolore col pronoto rosso scuro anche se con sfumature brune; antenne e zampe sempre ferruginei; rivestito di densa pubescenza giallo fulva.

Fronte piana o leggermente convessa con margine anteriore regolarmente arcuato, lievemente ispessito ed appena sporgente sul clipeo, questo leggermente bicarenato ai lati; punti profondi, ombelicati, con brevissimi intervalli lucidi. Antenne superanti con 1-1,5 articoli l'apice degli angoli posteriori del pronoto; articoli II e III subcilindrici, col III appena più lungo del II, presi assieme della lunghezza od appena più corti del IV; IV-X triangolari, più lunghi che larghi, longitudinalmente carenati; XI lungamente ellissoidale.

Pronoto lungo quanto largo od appena più largo, fortemente convesso con accenno di depressione mediana longitudinale nella metà posteriore; lati appena arcuati, dalla base all'apice quasi regolarmente ristretti; angoli posteriori acuti, divergenti, bicarenati; le carene hanno eguale sviluppo e decorrono subparallelle verso l'interno; punti sul disco profondi, semplici o vagamente ombelicati, con intervalli variabili, in media pari al loro diametro, verso i lati più densi e perfino contigui e ombelicati; ribordo laterale completo.

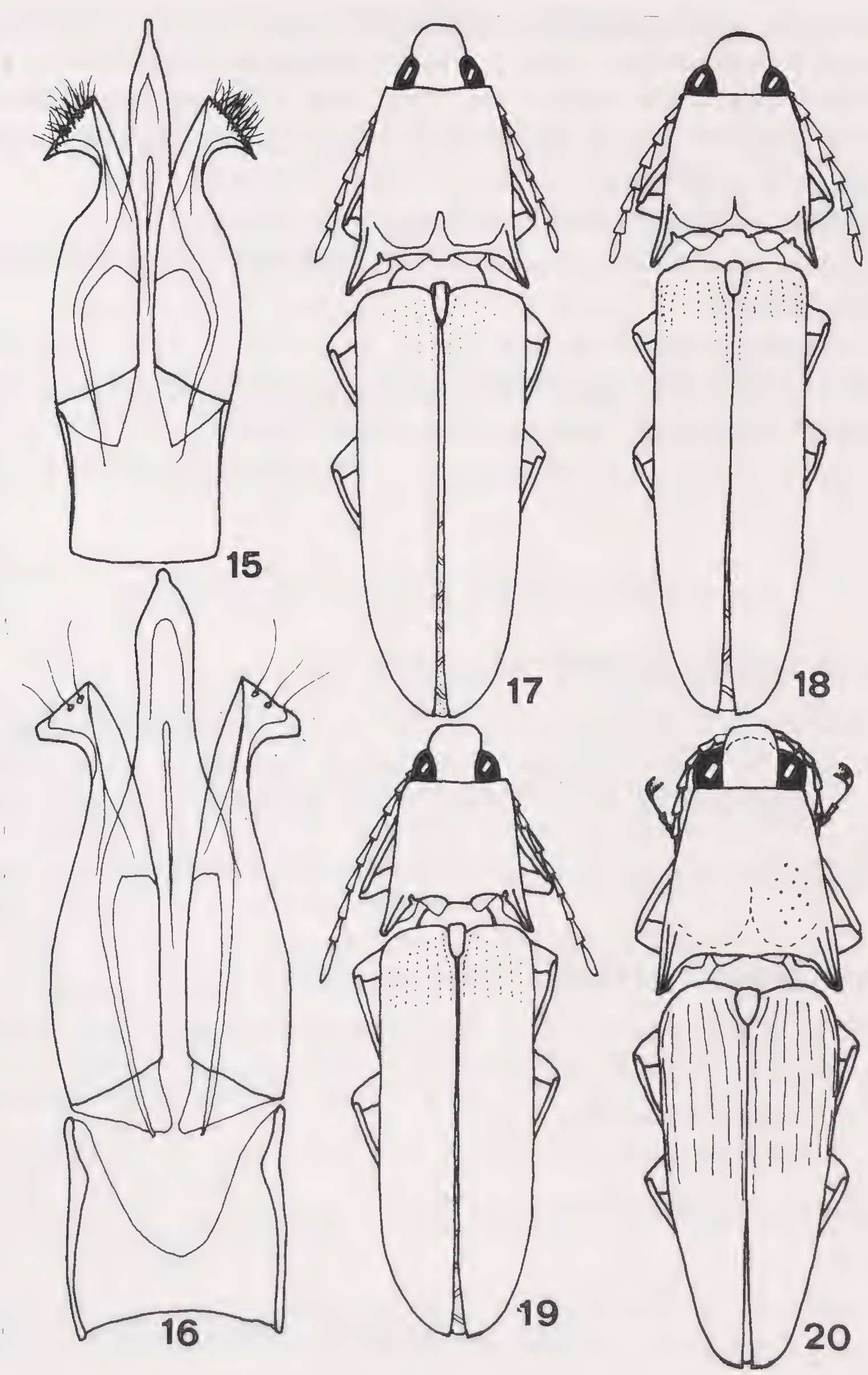

Figg. 15-20 - Edeago in visione dorsale. *Priopus fasciatus* n. sp. (15); *P. schultzei* n. sp. (16). Habitus. *Priopus steinkeae* n. sp. ♂ (17); *P. beauchenei* n. sp. ♂ (18); *P. dissimilis* n. sp. ♂ (19); *P. horaki* n. sp. ♂ (20).

Scutello subrettangolare, leggermente sinuato ai lati, debolmente convesso e punteggiato. Elitre 2,7 volte più lunghe del pronoto e 2,7 volte più lunghe che larghe; lati dalla base all'apice regolarmente ristretti; margine apicale arrotondato e leggermente crenulato; strie ben evidenti e punteggiate; interstrie piane con punti più fini.

Ultimo segmento addominale leggermente incavato ai lati.

Apofisi prosternale orizzontale fino alla metà poi inclinata fino all'apice integro.

Edeago come in fig. 16.

Femmina. Più larga e convessa con antenne più corte non raggiungenti l'apice degli angoli posteriori del pronoto.

Dimensioni. Lungh. mm 16-17,2; largh. mm 3,8-4,2.

NUOVI DATI GEONEMICI E OSSERVAZIONI VARIE

Priopus bimaculatus (Fleutiaux, 1918)

Materiale esaminato. 2 ♂♂: India: Meghalaya, 3 km E Tura, m 1150, 18.IV.1999, leg. Dembicky & Pacholatko; Laos, 15 km NW Louang Namtha, 13/24. V.1997, leg. E. Jendek & O. Sausa (CCW; CSB).

Nuovo per l'India e il Laos.

Priopus brancuccii Platia & Schimmel, 1995

Materiale esaminato. 6 ♂♂: Malaysia: Perak, 25 km NE of Ipoh, Banjaran, m 1200, 1/13.V.2000, leg. P. Cechovsky (CPG).

Nuovo per la Malaysia.

Priopus brevicollis (Fleutiaux, 1940)
(Fig. 6)

Materiale esaminato. 1♂: Tailandia: Namuang, 21/26.V. 1993, leg. Pacholatko & Dembicky (CCW).

La specie era nota solo sulla base dell'Holotypus ♀.

Descrizione del maschio. Simile alla femmina ma con antenne più lunghe superanti con un articolo l'apice degli angoli

posteriori del pronoto, il quale è più trapezoidale.

Lungh. mm 7,8; largh. mm 2,4.

Edeago come in fig. 6.

Nuovo per la Tailandia.

Priopus brevis (Candèze, 1897)

Materiale esaminato. 8 ♂♂: Laos: 15 km NW Louang Namtha, 13/24.V.1997, leg. E. Jendek & O. Sausa; NE Laos, Hua Phan Prov., 25 km SE Vieng Xai, Ban Kangpabong env., 14/18.V.2001, leg. D. Hauck (CPG; CRG; CSB).

Nuovo per il Laos.

Priopus bryanti Platia & Schimmel, 1995
(Fig. 12)

Materiale esaminato. 4 ♂♂: Malaysia: Sabah, Crocker Range, Gunung Emas, m 500-1900, 6/21.V.1995, leg. I. Jenis (CCW; CPG).

Descrizione del maschio, sconosciuto al momento della descrizione della femmina. Identica colorazione, più piccolo e stretto con antenne più lunghe superanti con un articolo gli angoli posteriori del pronoto, che è subtrapezoidale.

Dimensioni. Lungh. mm 6,7-7.2; largh. mm 1,8-2.

Edeago come in fig. 12.

Priopus diversus (Fleutiaux, 1933)

Materiale esaminato. 2 ♂♂: Indonesia: Sumatra, Bandar Baru, V.1998 (CCW).

Nuovo per l'Indonesia.

Priopus flavidus Platia & Schimmel, 1995

Materiale esaminato. 1 ♂: Indonesia: Sumatra, Utara, 30 km W Pemangtan Siantar, 3.III.1997, leg. E. Diehl (CCW).

La specie era nota in un solo esemplare.

Dimensioni. Lungh. mm 9,8; largh. mm 2,5.

Priopus merkli Platia & Schimmel, 1996

Materiale esaminato. 1 ♀: Filippine: Marinduque, VIII. 1996, leg. Lavron (CRG).

Nuovo per l'isola.

Priopus minidiversus Platia & Schimmel, 1996

Materiale esaminato. 4 exx.: India: W Bengal, Darjeeling, Kurseong, Chiple Forest, m 1000, 9.VI.1987, leg. N. Dangal; Assam, 5 km N of Umrongso, m 700, 17/25.V.1999, leg. Z. Kostal (CHKM; CPG).

Nuovo per l'India.

Priopus nigerrimus (Fleutiaux, 1903)

Materiale esaminato. 3 ♂♂: Laos: Bolikhamsai prov., Ban Nape-Kaew Nua Pass, 18.IV-1.V.1998, leg. E. Jendek & O. Sausa; NE Laos, Hua Phan Prov., Phu Loei N.P., Ban Sakok, 23/26.V.2001, leg. D. Hauck (CRG; CSB).

Nuovo per il Laos.

Priopus ornatus (Candèze, 1891)

Materiale esaminato. 16 ♂♂ e ♀♀: Laos: Nam Lang, IV.1918, leg. Vitalis de Salvaza; 15-20 km NW Louang Namtha, 5/24.V.1997, leg. E. Jendek, O. Sausa, M. Strba & R. Hergovits; Khammouan prov., Nakai env., route n. 8, m 560, 4/8.V.1998, leg. E. Jendek & O. Sausa; Bolikhamsai prov., Ban Nape-Kaew Nua Pass, m 600, 18.IV-1.V.1998, leg. M. Strba & R. Hergovits (IRSNB; CPG; CSB).

Nuovo per il Laos.

Priopus pendleburyi Platia & Schimmel, 1995

Materiale esaminato. 2 ♀♀: Birmania, Tenasserim, 29.IV.1995, leg. S. Steinke (CCW; CPG).

Nuovo per la Birmania.

Priopus rufulus (Candèze, 1891)

Materiale esaminato. 1 ♂: Malaysia: Perak, road Tapah-Ringlet, 10 km S Ringlet, m 800, 14/19.IV.1999, A. Ballerio (CCW).

Nuovo per la Malaysia.

Priopus rugosus (Fleutiaux, 1918)

Materiale esaminato. 2 ♂♂: China: Sichuan, Emei Shan, VI.1992; Tatsienlou, Yuling S. (CPG; coll. Jagemann, MMB).

Nuovo per la Cina.

Priopus spiloderus (Candèze, 1865)

Materiale esaminato. 4 exx.: S Thailand: Betong, Gunung Cang dun vill., Yala distr., 25.III-22.IV.1993, leg. J. Strnad; Burma, Tenasserim, 30.III.1994, leg. S. Steinke (CPG, CCW).

Nuovo per la Tailandia e la Birmania.

Priopus vitalisi (Fleutiaux, 1933)

Materiale esaminato. 15 ♂♂ e ♀♀: Laos: 20 km NW Louang Namtha, 5/11.V.1997, leg. M. Strba & R. Hergovits (CPG; CSB).

Nuovo per il Laos.

NUOVE SINONIMIE

Neodiploconus dirangensis Punam & Vasu, 1996 (Arunachal Pradesh) = *Priopus dureli* Platia & Schimmel, 1995 (Bhutan; Sikkim) (**n. syn.**).

Neodiploconus neeraae Punam & Vasu, 1996 (Uttar Pradesh) = *Priopus trimaculatus* (Hope, 1831) (Nepal; Bhutan; Sikkim) (**n. syn.**).

RINGRAZIAMENTI

Si ringraziano sentitamente tutti coloro che in vario modo hanno reso possibile la realizzazione di questo lavoro e in particolare: Dr. R. Poggi (MCSN); Dr. O. Merkl (TM); Dr. P. Cate, Wien; S. Riese, Genova; J. Horak, Praga; E. Jendek e O. Sausa, Bratislava; J. Mertlik, Hradec Kralove.

BIBLIOGRAFIA

PLATIA G. & SCHIMMEL R., 1995a - Revision of *Priopus* species from Malaysia, Indonesia, New Guinea and Pacific Islands (Coleoptera, Elateridae, Melanotinae) - *Bull. Inst. r. Sc. nat. Belg., Entom.*, Bruxelles, 65: 135-173.

PLATIA G. & SCHIMMEL R., 1995b - I *Priopus* della regione indiana (Coleoptera Elateridae, Melanotinae) - *Lav. Soc. ven. Sc. nat.*, Venezia, 20: 53-65.

PLATIA G. & SCHIMMEL R., 1996a - I *Priopus* Castelnau di Birmania, Thailandia, Laos, Cambodia, Vietnam, China (Coleoptera, Elateridae, Melanotinae) - *Annali Mus. civ. St. nat. "G. Doria"*, Genova, 91: 179-225.

PLATIA G. & SCHIMMEL R., 1996b - Review of the genus *Priopus* Castelnau (Coleoptera, Elateridae, Melanotinae) from the Philippine Islands - *Micronesica*, Guam, 28(2): 153-191.

PUNAM G. & VASU V., 1996 - Two new species and a revised key to genus *Neodiploconus* Hyslop (Coleoptera, Elateridae: Melanotinae) from India - *Journ. Bombay nat. Hist. Soc.*, 93(2): 260-262.

RIASSUNTO

Nel lavoro vengono descritte 19 nuove specie di *Priopus* Castelnau dalla Regione Indiana alle Filippine (per la prima volta vengono riportate due specie per l'Isola di Mindoro). Per 16 specie vengono pubblicati nuovi dati geonemici e per due di esse viene anche brevemente descritto il maschio, prima sconosciuto, con la raffigurazione dell'edeago. Infine vengono proposte due sinonimie per due specie recentemente descritte dell'India.

ABSTRACT

Description of new *Priopus* Castelnau with geonemic and synonymic notes (Coleoptera, Elateridae, Melanotinae).

Priopus bispinosus n. sp. (India): separated by all other species for the presence of two short spines directed ventrally in the anterior margin of frons.

Priopus beauchenei n. sp. (S Vietnam): allied to *rufulus* (Candèze) but separated for the slimmer body, longer antennae and the posterior angles of pronotum acuminate and divergent at apex.

Priopus decoratus n. sp. (Thailand): allied to *brevis* (Candèze) for the bicoloured

teguments and shape of prosternal process but separated by the smaller body and the longer antennae.

Priopus dissimilis n. sp. (S Vietnam): allied to *angulatus* (Candèze) but separated essentially for the longer antennae exceeding by two articles the apices of posterior angles of pronotum.

Priopus kirschi n. sp. (Laos): allied to *quatei* Platia & Schimmel for the impressed frons near the anterior margin of pronotum but separated for the dark colour and longer antennae exceeding the hind angles of pronotum.

Priopus laoticus n. sp. (Laos): allied to *steinkeae* n. sp. but separated by the subquadrate pronotum less arcuate at sides and with the carinae of posterior angles equally developed.

Priopus steinkeae n. sp. (Burma): allied to *laoticus* n. sp. but separated for the wider pronotum and the inner carina of posterior angles of pronotum feeble and at lower level than outer.

Priopus baumi n. sp. (Singapore; W Malaysia) allied to *exquisitus* (Candèze) but with smaller body, uniform colour, longer antennae from fourth article with slight and longitudinal carina.

Priopus everetti n. sp. (Indonesia: Sulawesi): allied to *ineptus* (Candèze) but separated by the larger body and short apex of posterior angles of pronotum.

Priopus horaki n. sp. (Malaysia: Sarawak): allied to *candezei* Platia & Schimmel for the general outline and size, separated essentially by the inner carina of the posterior angles of pronotum very feeble and at lower level than outer.

Priopus humeralis n. sp. (Indonesia: Sumatra): bicolored species allied to *basalis* (Schwarz) but separated for the smaller body, only elytral humera yellow-orange and first two intervals and elytral suture black.

Priopus jucundus n. sp. (W Malaysia): species with unicarinate posterior angles of pronotum; bicolored as *seminiger* (Candèze) but separated by smaller size and head blackish as elytra.

Priopus pahangensis n. sp. (W Malaysia): allied to *exquisitus* (Candèze) for the general shape but separated essentially for the shorter antennae not reaching tha apices of posterior angles of pronotum

Priopus seramensis n. sp. (Indonesia: Seram Is.): allied to *bicolor* Platia & Schimmel from Philippines for the general shape and colour but separated by the elytral apex clearly emarginate.

Priopus sumatrensis n. sp. (Indonesia: Sumatra): allied to *flavidus* Platia & Schimmel but separated for the smaller body, darker colour and shorter antennae not reaching the apices of posterior angles of pronotum.

Priopus fasciatus n. sp. (Philippines: N Luzon): allied to *samuelsoni* Platia & Schimmel but essentially separated by the black head and coarser punctures of pronotum.

Priopus mindoroensis n. sp. (Philippines: Mindoro): allied to *torrevillasi* Platia & Schimmel but separated by the smaller size, lighter colour, second and third antennal articles together longer than fourth.

Priopus philippinus n. sp. (Philippines: N Luzon): bicoloured species allied to *nigripes* (Fleutiaux) but with smaller size, shorter antennae and denser punctures of pronotum.

Priopus politoides n. sp. (Philippines: Mindoro): allied to *politus* (Candèze) but

separated for the more convex body, shorter antennae and apex of male genitalia paramera.

Priopus schultzei n. sp. (Philippines : N Luzon): allied to *nigripes* (Fleutiaux) but separated by the larger body, shorter antennae and denser punctures of pronotum.

Neodiploconus dirangensis Punam & Vasu, 1996 (Arunachal Pradesh) = *Priopus dureli* Platia & Schimmel, 1995 (Bhutan; Sikkim) (**n. syn.**).

Neodiploconus neeraae Punam & Vasu, 1996 (Uttar Pradesh) = *Priopus trimaculatus* (Hope, 1831) (Nepal; Bhutan; Sikkim) (**n. syn.**).

Fernando Angelini (*)

CHIAVI DICOTOMICHE E CATALOGO DELLE SPECIE DI *AGATHIDIUM* PANZER DELL'ASIA SUDORIENTALE E DELLA CINA

(COLEOPTERA, LEIODIDAE, AGATHIDIINI)

SOMMARIO

Pag.

Premessa 137

Attuale presenza delle specie di *Agathidium* nell'Asia sudorientale e in Cina 139

Caratteri morfologici utilizzati nelle chiavi dicotomiche 145

Materiali e metodi 150

Genere *Agathidium* Panzer, 1797. Diagnosi. Chiave dicotomica dei sottogeneri 166

Key to the subgenera of genus *Agathidium* Panzer, 1797 169

Sottogenere *Cyphoceble* C. G. Thomson, 1859. Diagnosi. Chiave dicotomica delle specie 170

Key to the species of the subgenus *Cyphoceble* C. G. Thomson, 1859 173

Sottogenere *Neoceble* Gozis, 1886. Diagnosi. Chiave dicotomica dei gruppi di specie 175

Key to the species groups of subgenus *Neoceble* Gozis, 1886 176

- Gruppo *varians* Beck. Diagnosi. Chiave dicotomica delle specie 176
- Key to the species of the *varians* Beck group 179
- Gruppo *nigripenne* (Fabricius). Diagnosi. Chiave dicotomica delle specie 180
- Key to the species of the *nigripenne* (Fabricius) group 185
- Gruppo *marginatum* Sturm. Diagnosi. Chiave dicotomica delle specie 188
- Key to the species of the *marginatum* Sturm group 190
- Gruppo *canariense* Lindberg. Diagnosi. Chiave dicotomica delle specie 191
- Key to the species of the *canariense* Lindberg group 192

Sottogenere *Agathidium* Panzer, 1797. Diagnosi. Chiave dicotomica dei gruppi di specie 193

(*) S.S. 7 per Latiano, Km.0. 500 – 72021 Francavilla Fontana (Brindisi).

Pag.

Key to the species groups of subgenus *Agathidium* s. str. Panzer, 1797 195
Gruppo *madurense* Portevin. Diagnosi. Chiave dicotomica delle specie e delle Sottospecie 195
Key to the species and subspecies of the *madurense* Portevin group 216
Gruppo *seminulum* (Linnaeus). Diagnosi. Chiave dicotomica delle specie 229
Key to the species of the *seminulum* (Linnaeus) group 240
Gruppo *atrum* (Paykull). Diagnosi. Chiave dicotomica delle specie 246
Key to the species of the *atrum* (Paykull) group 251
Gruppo *laevigatum* Erichson. Diagnosi. Chiave dicotomica delle specie 254
Key to the species of the *laevigatum* Erichson group 270
Gruppo *dentatum* Mulsant & Rey. Diagnosi. Chiave dicotomica delle specie 280
Key to the species of the *dentatum* Mulsant & Rey group 303

Sottogenere *Euryceble* Hlisnikovský, 1964. Diagnosi. Chiave dicotomica delle specie 318

Key to the species of the subgenus Euryceble Hlisnikovský, 1964 ... 320

Sottogenere *Microceble* Angelini & De Marzo, 1986. Diagnosi. Chiave dicotomica dei gruppi di specie 322

Key to the species groups of subgenus *Microceble* Angelini & De Marzo 1986 323
Gruppo *maculatum* Ang. & Cooter. Diagnosi. Chiave dicotomica delle specie 323
Key to the species of the *maculatum* Ang. & Cooter group 330
Gruppo *grouvellei* Portevin. Diagnosi. Chiave dicotomica delle specie e delle sottospecie 334
Key to the species and subspecies of the *grouvellei* Portevin group 348
Gruppo *andrewesi* Portevin. Diagnosi. Chiave dicotomica delle specie 357
Key to the species of the *andrewesi* Portevin group 368

Sottogenere *Macroceble* Angelini, 1993. Diagnosi. Chiave dicotomica delle specie 375

Key to the species of the subgenus *Macroceble* Angelini, 1993 391

Catalogo delle specie di *Agathidium* dell'Asia sudorientale e della Cina 402

Ringraziamenti 452
Bibliografia 453
Riassunto 457
Summary 458
Indice analitico 459
Figure/Figures 473

PREMESSA

Le conoscenze sugli *Agathidium* dell'Asia sudorientale e della Cina si sono notevolmente accresciute nell'ultimo ventennio per cui già da qualche anno si sentiva la necessità di un lavoro complessivo che permettesse la loro identificazione. Nella revisione degli *Agathidium* mondiali pubblicata nel 1964 dall'ing. Hlisnikovský erano, infatti, segnalate per queste regioni 13 specie, mentre attualmente ne sono note 513.

Con il presente contributo, che si colloca in un più ampio progetto di studio della tribù Agathidiini di cui avevo discusso in un mio precedente lavoro (Angelini 1995c: 9) si forniscono: a) le chiavi dicotomiche di tutte le specie descritte per le regioni oggetto dello studio; b) una chiave dicotomica più succinta in lingua inglese; c) un catalogo di tutte le specie aggiornato al 31.12.2003. Non si è ritenuto opportuno fornire una ridescrizione delle specie poiché la maggior parte di esse è stata descritta, o ridescritta, nell'ultimo ventennio; una loro complessiva ridescrizione (con citazioni bibliografiche complete e materiale esaminato), è comunque disponibile su dischetto per PC presso l'autore o il Museo Civico di Storia Naturale "G. Doria", Genova, ove è attualmente custodita la mia collezione di Agathidiini mondiali.

Nella revisione degli *Agathidium* paleartici (Angelini, 1995c) per la Cina veniva segnalata una sola specie, all'epoca nota, contro le 74 attualmente presenti nel settore paleartico per cui nel presente lavoro si è ritenuto utile trattare tutte le specie di questa nazione senza distinzione tra zona paleartica e orientale.

I limiti dell'Asia sudorientale coincidono sostanzialmente con quelli della regione orientale proposti da Pielou per cui sono considerate le specie delle Isole Ryukyus (Giappone) quale estremo confine nord orientale e quelle del Pakistan (bacino del medio e del basso corso del fiume Indo) quale estremo confine nordoccidentale; a sudest il confine considerato coincide con quello proposto da Weber per cui sono considerate le specie di Sulawesi (Celebes) mentre è escluso il territorio indonesiano (Irian Jaya) dell'Isola di Papua Nuova Guinea. In figg. 1-2 è raffigurata l'area oggetto del presente studio e per ciascuna nazione (o regione o isola nel caso di India, Malaysia, Indonesia, Filippine e Cina) è riportato il numero di specie accertate.

Per quanto riguarda le notizie di carattere generale sulle vicissitudini nomenclatoriali del genere, la sua posizione sistematica, l'ecologia, la morfologia dell'adulto e quella pre-immaginale si rinvia al mio recente lavoro sugli *Agathidium* della regione paleartica (ANGELINI 1995c: 10-28) non essendovi nulla di nuovo da aggiungere in merito. Per un più aggiornato inquadramento del genere *Agathidium* nell'ambito della tribù Agathidiini si rinvia al recente lavoro di ANGELINI & PECK (2000: 329-331). Si ritiene invece necessario evidenziare e discutere in appositi capitoli la presenza del genere *Agathidium* nelle regioni oggetto di questo studio, trattare succintamente il valore dei caratteri morfologici considerati nelle chiavi dicotomiche (capitolo in parte ripreso da ANGELINI 1995c: 20-26) e ribadire le metodologie di studio usate sia al fine di una esatta interpretazione delle stesse chiavi sia perché, pur avendo illustrato in più occasioni tali metodiche, si continuano ad osservare nella recente letteratura diagnosi o pletoriche o poco e male utilizzabili o con disegni errati nella prospettiva di osservazione dell'esemplare.

Alla formulazione delle chiavi dicotomiche sono giunto dopo oltre un ventennio di studio degli *Agathidium* dell'Asia sudorientale e della Cina nel corso del quale ho descritto circa 500 nuove specie ed esaminato direttamente le restanti (tranne *Agathidium insulare* Port.). I caratteri usati nelle stesse sono stati pertanto molto a lungo e attentamente valutati e opportunamente elaborati con un PC (tabella 3). Stante l'elevato numero di specie note per le regioni in studio nonché la straordinaria omogeneità delle stesse, talvolta si sono dovuti, senz'altra alternativa, usare anche caratteri di valutazione soggettiva (p. e. punteggiatura più o meno impressa), o si è dovuto fare riferimento alla distribuzione geografica (confidando che nella maggior parte dei casi si tratti di specie endemiche di singole regioni o aree geografiche) o ricorrere a caratteri che richiedono misure micrometriche (p. e. rapporto 3°/2° antennomero). Pur rendendomi perfettamente conto della soggettività o aleatorietà della valutazione di alcuni caratteri non è stato possibile fare diversamente. Unica alternativa sarebbe stata quella di designare dei sottogruppi di specie in base alla forma dell'edeago o della spermateca o del metafemore ma ciò mi è parso ugualmente criticabile e non avrebbe risolto definitivamente il problema. Conscio della difficoltà di identificazione dei singoli taxa ho ritenuto necessario riportare per ciascuna specie le figure dell'edeago, della spermateca e del meta-

femore, strutture che, singolarmente o nel loro insieme, definiscono sufficientemente ciascuna specie per cui per una identificazione certa non si può assolutamente prescindere dal loro esame. Poiché la maggior parte delle specie è stata descritta già in lingua inglese, si è ritenuto opportuno fornire le tavole dicotomiche con una sommaria descrizione della specie in lingua italiana mentre in lingua inglese sono fornite delle chiavi dicotomiche più succinte. Complessivamente nelle chiavi dicotomiche sono trattate tutte le 513 specie accertate per l'Asia sudorientale (=regione orientale) e Cina.

Nella terza parte del lavoro è riportato il catalogo con le specie note per l'area in studio; esse sono disposte in ordine alfabetico nell'ambito del sottogenere e dell'eventuale gruppo di specie di pertinenza.

ATTUALE PRESENZA DELLE SPECIE DI *AGATHIDIUM* NELL'ASIA SUDORIENTALE E IN CINA

Si ritiene preliminarmente utile riassumere assai brevemente le ricerche condotte nell'ultimo ventennio da ricercatori europei, giapponesi e nord americani nell'Asia sudorientale e in Cina sia poiché le stesse hanno condotto alla scoperta di 498 specie (di cui 492 nuove) a fronte delle 15 precedentemente note sia perché tali notizie possono essere utili per ulteriori studi.

Il contributo maggiore è stato apportato dai Colleghi del Museo di Ginevra (Dr. C. Besuchet, Dr. I. Löbl, Dr. H. Burckhardt *et alii*) con ricerche sulla fauna del suolo condotte in varie regioni dell'India, Nepal, Pakistan, Sabah, Malaya, Sumatra, Giava e Thailandia.

Un ulteriore sostanziale contributo è stato apportato dai Colleghi dei Musei di:

- Basilea (Dr. W. Wittmer, Dr. C. Baroni Urbani, Dr. M. Brancucci *et alii*) con ricerche nella sottoregione himalayana, Assam e Meghalaya;
- Budapest (Dr. G. Tòpal) con ricerche in Darjeeling, Orissa e Vietnam;
- Herfurt (Dr. M. Hartmann *et alii*) con ricerche in Nepal e Cina;
- Londra (Dr. P. Hammond *et alii*) con ricerche in Sarawak e, col Wallace Project, in Sulawesi;

- Stuttgart (Dr. W. Schawaller, Prof. J. Martens *et alii*) con ricerche nella sottoregione himalayana, Tamil Nadu, Thailandia, Vietnam, Malaya, Indonesia e Filippine;
- Vienna (Dr. H. Schillhammer *et alii*) con ricerche in Uttar Pradesh, Nepal, Malaya, Sarawak, Indonesia, Filippine e Cina.

Infine, un notevole contributo è stato apportato dai seguenti Colleghi con ricerche spesso mirate alla fauna del suolo: Dr. J. Cooter (Cina), Dr. M. Darby (Filippine), Dr. H. Franz (sottoregione himalayana e Sarawak), Dr. H. Hoshina et alii (Ryukyus), Dr. J. Klapperich (Sumatra, Fujian e Taiwan), Dr. S. Kurbatov (Cina), Dr. Th. Palm (Malaya), Dr. G. de Rougemont (Thailandia, Malaya, Indonesia e Cina), Dr. M. Schülke (Cina), Dr. A. Smetana (Taiwan, Nepal, Sabah e Cina), Dr. G. L. Stephenson (Himachal Pradesh), Dr. L. E. Watrous (Malaya).

Una cinquantina di specie sono infine state reperite da ricercatori locali o europei nel corso di raccolte generali e mi sono pervenute in studio tramite vari colleghi.

In Tabella 1 è riportato il numero di specie noto per ciascun genere della tribù Agathidiini nelle varie regioni zoogeografiche con le specie del genere *Agathidium* suddivise in sottogeneri e gruppi di specie. Dal suo esame si rileva: a) il genere *Agathidium*, unitamente al genere *Anisotoma*, è quello presente in un maggior numero di regioni; b) il genere *Agathidium* è l'unico presente nella regione australiana sebbene limitatamente alla zona di transizione nordoccidentale (Papua Nuova Guinea); c) il genere *Agathidium*, tra quelli a più ampia distribuzione, è quello presente più nettamente (sia numericamente che percentualmente) nella regione orientale; d) oltre la metà delle specie del genere *Agathidium* appartengono al sottogenere *Agathidium* s. str. gruppo *madurense* o ai sottogeneri *Euryceble*, *Microceble* e *Macroceble* (tutti pressoché esclusivi di tale area) per cui si rileva che la fauna della regione orientale è caratterizzata da una forte componente endemica a livello sopraspecifico; e) sebbene si supponga una origine neartica per la tribù Agathidiini la presenza del genere *Agathidium* nella regione orientale è predominante rispetto alle altre regioni zoogeografiche; infatti, le specie di questo genere sono il 60% del totale e il numero di specie di tutti i generi è il 57% del totale; f) gli unici due generi presenti nella regione afrotropicale (*Afroagathidium* e *Pseudoagathidium*) sono presenti anche

Tabella 1 - Presenza delle specie dei generi della Tribù Agathidiini nel mondo.
Le specie del genere *Agathidium* sono suddivise in sottogeneri e gruppi di specie.

Taxa \ Regioni	N neotro-picale	neartica	paleartica	orientale	afrotro-picale	australiana nordoccid.	Totale	Note
Afroagathidium				3	3		6	
Amphicyllis			2				2	
Anisotoma	4	26	22	9			56	(1), (2), (3)
Besuchetionella			3	17			20	
Cyrtoplastus			11	6			16	(4)
Liodopria			2	9			11	
Pseudoagathidium				1	9		10	
Sphaeroliodes			1	1			2	
Stetholiodes		1	5	8			14	
Agathidium	3	49	252	447		1	738	(5), (6)
subg. ***Cyphoceble***		6	16	5			27	
subg. ***Rhabdoelytrum***		2					2	
subg. ***Neoceble***	1	21	93	23			134	4 sp. paleartiche e orientali
gruppo *varians*		3	26	3			30	2 sp. paleartiche e orientali
gruppo *nigripenne*	1	13	42	15			69	2 sp. paleartiche e orientali
gruppo *marginatum*		1	18	2			21	
gruppo *canariense*		4	7	3			14	
subg. ***Agathidium***	2	20	123	248			384	7 sp. paleartiche e orientali; 2 sp. neartica e N neotropicale
gruppo *madurense*			9	77			83	3 sp. paleartiche e orientali
gruppo *seminulum*	1	1	21	36			57	1 sp. paleartica e orientale; 1 sp. neartica e N neotropicale
gruppo *atrum*	1	14	9	16			38	1 sp. paleartica e orientale; 1 sp. neartica e N neotropicale
gruppo *laevigatum*		2	35	46			82	1 sp. paleartica e orientale
gruppo *dentatum*		3	49	73			124	1 sp. paleartica e orientale
subg. ***Euryceble***				6		1	7	
subg. ***Microceble***			5	117			121	1 sp. paleartica e orientale
gruppo *maculatum*			1	23			24	
gruppo *grouvellei*			1	49			50	
gruppo *andrewesi*			3	45			47	1 sp. paleartica e orientale
subg. ***Chaetoceble***			1				1	
subg. ***Macroceble***			14	48			62	
Totale	7	76	298	501	12	1	875	(7)

(1): 1 sp. neartica e paleartica: *Anisotoma humeralis* (F.); (2): 1 sp. neartica e N neotropicale: *Anisotoma tenulucida* Wheeler; (3): 3 sp. paleartiche e orientali: *Anisotoma becvari* Ang. & Švec, *krali* Ang. & Švec e *schneideri* Ang. & Švec; (4) : 1 sp. paleartica e orientale: *Cyrtoplastus seriepunctatus* Bris.; (5): 12 sp. paleartiche e orientali: *Agathidium longicorne* Port., *cribratum* Port., *confusum* Bris., *kyotoense* Ang. & Dmz., *alatum heishuiense* Ang. & Švec, *neurayi* Ang., *vagum* Ang. & Dmz., *mequignoni* Roubal, *uliginosum* Ang. & Švec, *laevigatum* Er., *wannianicum* Ang., *venustum* Ang. & Dmz.; (6): 2 sp. neartiche e N neotropicali: *Agathidium californicum* Horn e *exiguum* Melsh.; (7): 1 sp. neartica e paleartica; 16 sp. paleartiche e orientali; 3 sp. neartiche e N neotropicali.

nella regione orientale; g) la scarsa presenza di specie del genere *Anisotoma* nella regione orientale ove, peraltro, è limitato alle regioni più settentrionali; ciò era ampiamente ipotizzabile trattandosi del genere più antico della tribù e di origine neartica; h) inspiegabile, attualmente, l'elevata percentuale di specie dei generi *Cyrtoplastus* e *Stetholiodes*, ugualmente di origine neartica o siberiana, sebbene relegati alle regioni settentrionali; i) anomala, nell'ambito della tribù, è la distribuzione del genere *Liodopria,* presente con una specie nell'Europa centrale, una in Giappone e Siberia orientale e con nove nella regione orientale (dal Nepal e Taiwan a Sulawesi e Giava).

In Tabella 2 è riportata la presenza delle specie del genere *Agathidium*, suddivise in sottogeneri e gruppi di specie, nelle varie nazioni dell'Asia sudorientale e in Cina; l'esame di questa tabella si presta ad ancor più interessanti considerazioni circa la peculiarità ed elevata endemicità di tale fauna. In particolare si rileva: a) le specie del sottogenere *Agathidium* s. str. riferite ai gruppi *seminulum*, *atrum*, *laevigatum* e *dentatum*, ampiamente presenti nella regione paleartica (vedasi Tab. 1), nella regione orientale sono relegate alla catena himalayana, Cina, Taiwan, Giappone (Ryukyus) (200 specie) e solo marginalmente 7 specie del gruppo *atrum* e *dentatum* sono presenti nelle restanti regioni centromeridionali; b) il gruppo *madurense*, pressoché esclusivo della regione orientale, è presente in quasi tutte le nazioni e presenta una discreta percentuale di endemiti (83%) pur essendo la maggior parte delle specie alate; c) i sottogeneri *Neoceble* e *Cyphoceble* sono marginalmente presenti nella regione orientale in quanto le varie specie sono generalmente relegate alla sottoregione himalayana ed alla Cina; d) le specie del sottogenere *Euryceble* risultano presenti solo nelle Isole della Sonda e di Papua Nuova Guinea; e) le specie del sottogenere *Microceble*, gruppo *maculatum*, sono anch'esse presenti solo nelle Isole della Sonda (è un gruppo particolarmente evoluto nel quale i solchi laterali al clipeo sono sostituiti da una cresta arcuata continua o interrotta medialmente, analogamente ad alcune specie del sottogenere *Euryceble*); f) il sottogenere *Macroceble*, pressoché esclusivo della regione orientale, è presente nella regione himalayana, Thailandia, Malaya, Cina e Taiwan mentre risulta assente nelle Isole della Sonda; probabilmente ha distribuzione più ampia nella sottoregione indocinese; g) il sottogenere *Microceble*, con i gruppi *grouvellei* e *andrewesi*, pressoché esclusivo della regione orientale, è presente in quasi tutte le nazioni

Tabella 2 - Presenza delle specie del genere *Agathidium*, suddivise per sottogeneri e gruppi di specie, nelle varie nazioni dell'Asia sudorientale e in Cina. Sono considerate endemiche le specie presenti in una singola nazione (regione o isola nel caso di India, Malaysia, Indonesia, Filippine, Cina e Giappone); i totali non corrispondono a quelli della Tab. 1 poiché per la Cina sono considerate le specie comprese sia nella regione orientale che in quella paleartica.

Nazioni / Taxa	Pakistan	Nepal	Bhutan	India sett.	India centr.	India mer.	Sri Lanka	Myanmar	Thailandia	Vietnam	Malaysia	Singapore	Indonesia	Filippine	Cina	Taiwan	Is. Ryukyus	Totale	Endemiti
Genere ***Agathidium*** Panzer	**10**	**134**	**6**	**49**	**13**	**12**	**3**	**12**	**26**	**17**	**73**	**3**	**41**	**12**	**121**	**61**	**10**	**513**	**421**
subg. ***Cyphoceble*** Thomson		**1**													**3**	**3**		**7**	**7**
subg. ***Neoceble*** Gozis	**1**	**5**	**1**	**1**	**1**					**1**	**1**		**1**		**16**	**7**	**2**	**32**	**23**
gruppo *varians*		1													2		2	5	2
gruppo *nigripenne*		4	1	1	1					1	1		1		9	4		18	12
gruppo *marginatum*															5	1		6	6
gruppo *canariense*	1															2		3	3
subg. ***Agathidium*** Panzer	**8**	**99**	**3**	**33**	**6**	**5**	**1**	**5**	**14**	**7**	**9**		**8**		**73**	**43**	**6**	**290**	**251**
gruppo *madurense*		11		7	6	3		5	12	6	8		8		19	8	2	83	69
gruppo *seminulum*	3	30	1	6											3	1		37	31
gruppo *atrum*	2	6		7		1									3	1	1	18	13
gruppo *laevigatum*	2	29	1	4											17	10		60	58
gruppo *dentatum*	1	23	1	9		1	1		2	1	1				31	23	3	92	80
subg. ***Euryceble*** Hlisnikovský											**3**		**2**	**2**				**6**	**5**
subg. ***Microceble*** Ang. & Dmz.	**1**	**13**	**2**	**7**	**5**	**7**	**2**	**7**	**8**	**9**	**42**		**30**	**10**	**13**	**7**	**1**	**119**	**83**
gruppo *maculatum*											20		3	2				23	15
gruppo *grouvellei*	1	9	2	3	2	1	1	4	5	2	17	2	19	5	5	3		50	33
gruppo *andrewesi*		4		4	3	6	1	3	3	7	5	1	8	3	8	4	1	46	35
subg. ***Macroceble*** Angelini		**16**		**8**	**1**				**4**		**18**				**16**	**1**	**1**	**59**	**52**

e presenta un notevole numero di endemiti (rispettivamente 66% e 75%) sebbene quasi tutte le specie siano alate; la presenza di ali nelle specie della regione orientale non ha favorito una loro dispersione probabilmente poiché si tratta di una fauna relativamente recente. Una sola specie, *Agathidium laticorne* Port., risulta presente in quasi tutte le regioni mentre le rimanenti sono endemiche o di ristretti territori o di ben precise sottoregioni geografiche. Nella regione paleartica sono ben più numerose le specie presenti dal nord Africa e/o Europa occidentale alla Siberia.

Per quanto riguarda le attuali conoscenze sugli Agathidiini dell'Asia sudorientale e della Cina ritengo che possa ritenersi sufficientemente nota solo la fauna della catena himalayana (ad esclusione del Bhutan), del Sichuan e di Taiwan. Ad un livello inferiore sono le conoscenze sulla fauna di India, Sri Lanka, Pakistan, Malaysia, Indonesia e Filippine. Ben più scarse sono invece le conoscenze sulla fauna della regione indocinese. Per quanto riguarda la Cina si hanno discrete conoscenze per le regioni di Yunnan, Shaanxi e Hubei mentre esse sono scarse per le rimanenti regioni sudorientali e inesistenti per quelle occidentali e nordorientali (vedasi fig. 2); assolutamente nulla si conosce della fauna del Pakistan occidentale (Bangladesh), del Brunei, del Tibet, del Laos e della Cambogia; la fauna di queste ultime due nazioni può con un certo grado di attendibilità ipotizzarsi e quantificarsi mentre rimane un assoluto mistero quella del Tibet anche in considerazione del fatto che sul versante meridionale della catena himalayana e, in particolare in Nepal, si riscontra la più elevata concentrazione di specie (134, pari al 53% della fauna della regione paleartica e al 30% di quella della regione orientale). Per quanto riguarda l'Indonesia e le Filippine va precisato che per la prima nazione sono noti dati solo per Sumatra, Mentawai, Nias, Siberut, Giava, Bali, Lombok, Timor, Sulawesi (Celebes) e Borneo (Sabah e Sarawak); rimarchevole è la mancanza di dati per il Borneo (la cui fauna, a giudicare da quanto si conosce per il Sabah e Sarawak, dovrebbe essere particolarmente ricca con specie dei subg. *Euryceble* e *Microceble*; attualmente è nota solo 1 specie) e per la Nuova Guinea (Irian Jaya); per le Filippine si hanno dati solo per Luzon, Palawan, Negros, Leyte e Mindanao. Le prospettive di studio degli Agathidiini dell'Asia sudorientale e della Cina sono pertanto ancora notevoli però si ritiene che i lineamenti fondamentali siano ormai noti.

CARATTERI MORFOLOGICI UTILIZZATI NELLE CHIAVI DICOTOMICHE

Capo. È di forma subrettangolare o subovale, depressa, variabile secondo la specie. Nelle figg. 32-136 sono rappresentate le condizioni fondamentali del profilo dorsale e del margine clipeale. Nel capo risiedono numerosi e importanti caratteri tassonomici: 1) l'andamento del margine clipeale, più o meno nettamente incavato ad eccezione di *Agathidium* (*Macroceble*) *scutellare* Ang. & Dmz., *A.* (*Macr.*) *ivani* Ang., *A.* (*Macr.*) *pseudoscutellare* Ang. e *A.* (*Macr.*) *cameronicum* Ang. & Dmz. (figg. 114-116), tutti della Malaysia o Thailandia; 2) la forma degli occhi, semisferici e nettamente sporgenti ai lati, oppure più o meno compressi e talvolta molto poco o affatto visibili dal dorso o, in una specie, assenti (*A. anophthalmicum* Ang. & Dmz. del Darjeeling); 3) la presenza di un "angolo temporale", in dipendenza del fatto che talvolta (subg. *Cyphoceble* e alcune specie dei subg. *Neoceble*, *Agathidium* s. str. e *Macroceble*) il capo inizia a restringersi dopo un breve tratto ("tempia") dietro al margine posteriore degli occhi; 4) la presenza della carena sopraoculare, caratteristica del genere, con l'eccezione di tre specie, *A. parvulum* Lec. del Nord America, *A. aglyptoides* Reitt. dell'Europa e *A. kyotoense* Ang. & Dmz. del Giappone e Taiwan; 5) la presenza di fossette antero-laterali, che si manifesta nelle specie del subg. *Euryceble* e *Microceble*, raramente in specie di altri sottogeneri; 6) l'assenza o la presenza di linea clipeale, che può essere uniformemente arcuata e più o meno profonda (subg. *Cyphoceble*, *Neoceble* e *Agathidium* s. str.) o costituita da un profondo solco obliquo a ciascun lato del clipeo (subg. *Euryceble* e *Microceble* gruppi *grouvellei* e *andrewesi*), oppure da una cresta, sia continua sia interrotta medialmente (subg. *Euryceble* e *Microceble* gruppo *maculatum*); 7) il ribordo antero-laterale del capo che può essere uniforme o più elevato anteriormente presso il clipeo (subg. *Agathidium* s. str. gruppo *madurense*, subg. *Euryceble* e *Microceble*); 8) la presenza o l'assenza di microreticolazione e punteggiatura e la loro profondità; questi caratteri vanno rilevati a 100x.

Antenne (figg. 3-12). Sono sempre di 11 articoli ed hanno generalmente la clava di tre articoli. Eccezionalmente la clava può essere costituita da 5 articoli, come nel maschio di *A. taru* Ang. & Dmz. (fig. 8) del Nepal, oppure da 4 articoli, come nei maschi di

A. acridulum Ang. (Filippine) (fig. 6), *A. leytense* Ang. (Filippine) (fig. 7), *A. modiglianii* Ang. (Thailandia, Malaysia, Indonesia) (fig. 9), *A. deharvengi* Ang. (Filippine), *A. enigmaticum* Ang. & Cooter (Filippine), *A. cooteri* Ang. & Dmz. (Filippine) (fig. 10), *A. farkaci* Ang. (Yunnan) e *A. wuyishanicum* Ang. & Cooter (Fujian) per cui si tratta di una modificazione legata al sesso in specie dei sottogeneri *Euryceble* e *Microceble*. A livello specifico si considerano i seguenti caratteri: a) rapporto tra gli antennomeri 3°/2° (che può variare da 0,6 a 2,8) e, più raramente, 7°/8°; b) colorazione dei vari antennomeri che possono essere testacei, rosso-bruni più o meno scuri o neri.

Pronoto (figg. 20-31). È di forma ovale-convessa, più o meno trasversa e convessa, con margini anteriori più o meno curvi nelle varie specie; ai fini tassonomici ne vengono considerati: 1) i profili dorsale e laterale; 2) l'indice di trasversalità (rapporto larghezza/lunghezza (= rapp. la/lu)) e di convessità (rapporto larghezza/altezza (= rapp. la/alt.)); 3) la colorazione; 4) l'assenza o la presenza di microreticolazione e punteggiatura e la loro profondità anche in rapporto a quella di capo ed elitre; questi caratteri vanno rilevati a 100x e osservando il tegumento in modo perpendicolare.

Elitre (figg. 17-19, 20-31). Sono di forma tondeggiante, con rapporto la/lu intorno ad 1 e più o meno convesse. Carattere di notevole utilità diagnostica a livello sopraspecifico è la forma dell'angolo omerale, che può essere sia netto e strettamente arrotondato (subg. *Cyphoceble*, *Rhabdoelytrum*, e *Neoceble*: figg. 17-18), sia poco accennato e largamente arrotondato (subg. *Agathidium* s. str., *Euryceble*, *Microceble*, *Chaetoceble* e *Macroceble*: figg. 19, 21, 23, 25, 27, 29, 31). La presenza/assenza di strie suturali è invece utilizzata per la designazione dei gruppi di specie; esse, quando presenti, sono ben incise all'apice elitrale e sfumano verso la base, per cui contrariamente a quanto in genere si usa negli altri Coleotteri, si citano e si misurano per convenzione individuandone il punto di partenza all'apice delle elitre e non alla loro base. A livello specifico si utilizzano i seguenti caratteri: 1) la lunghezza e profondità delle strie suturali se presenti; 2) gli indici di trasversalità (rapp. la/lu) e di convessità (rapp. la/alt.); 3) la colorazione; 4) l'assenza o la presenza di microreticolazione e punteggiatura e la loro profondità anche in rapporto a quella del capo e del pronoto; questi caratteri vanno rilevati a 100x e osservando il tegumento in modo perpendicolare.

Mesosterno (figg. 13-16). È di forma subtriangolare-convessa e può presentare sia una carena mediana, più o meno netta, sia due linee laterali complete o incomplete.

Metasterno (figg. 13-16). È di fondamentale importanza a livello sottogenerico; ha forma rettangolare, più o meno trasversa, a volte estremamente ridotta in lunghezza; può presentare le linee femorali più o meno lunghe (subg. *Agathidium* s. str., *Euryceble*, *Microceble*: fig. 15) o esserne privo (subg. *Cyphoceble*, *Chaetoceble*, *Rhabdoelytrum* e *Neoceble*: figg. 13-14); nel subg. *Macroceble* esso è estremamente ridotto in lunghezza per cui le mesocoxe sono a contatto con le metacoxe (fig. 16) e non vi è spazio per le linee femorali che, pertanto, si considerano secondariamente assenti o indistinte.

Zampe. In esse risiedono caratteri più generalmente soggetti a dimorfismo sessuale. Nella maggior parte delle specie il ♂ presenta formula tarsale 5-5-4 e la ♀ 5-4-4, ma non sono infrequenti, principalmente tra le specie della regione orientale, altre due combinazioni: ♂ 5-5-4 e ♀ 4-4-4 oppure ♂ e ♀ 4-4-4. I tarsi anteriori e mediani del ♂ sono più o meno espansi rispetto a quelli della ♀. I femori posteriori del ♂ nelle specie dei subg. *Agathidium* s. str., *Euryceble*, *Microceble* e *Macroceble* costituiscono un ottimo carattere diagnostico poiché di aspetto differente nelle varie specie (figg. 998-1435) e sono spesso muniti di uno o due denti o di un'espansione non dentata al margine posteriore, più accentuata nei maschi. Le tibie, generalmente esili, si presentano vistosamente espanse in entrambi i sessi di alcune specie (figg. 1122, 1132, 1181, 1183, 1184, 1186, 1187, 1233, 1388).

Organo copulatore maschile (figg. 137-626) e spermateca femminile (figg. 627-997). Sono sede di caratteri di base nella tassonomia degli *Agathidium*, data la notevole omogeneità dell'habitus e di altre caratteristiche esterne in questo genere; la loro forma è generalmente molto costante all'interno delle singole specie e generalmente differente tra le varie specie per cui il loro esame è essenziale per una esatta identificazione.

A livello specifico sono infine considerati i seguenti caratteri per discriminare le varie specie:

a) Dimensioni. La differenza di lunghezza del corpo varia solitamente da mm 0,2, per le specie più piccole, a mm 1,2 per quelle più grandi.

b) Colorazione del tegumento dorsale. Nella maggior parte delle specie la colorazione è uniformemente rosso-bruna, più o meno scura o nera, ma in altre il dorso è diversamente colorato o presenta macchie.

c) Punteggiatura del tegumento dorsale. Ne vengono prese in considerazione la profondità e la reciproca distanza dei punti. In alcune specie la punteggiatura è doppia, cioè composta da punti di due differenti diametri; generalmente essa è poco variabile nell'ambito della specie. Come già ricordato è importante che essa sia rilevata a 100x, così come il carattere seguente.

d) Microreticolazione del tegumento dorsale. Se presente è più o meno impressa nelle varie specie. Spesso si verifica che capo, pronoto ed elitre siano microreticolate in modo differente, e si utilizza tale combinazione nelle chiavi dicotomiche. Generalmente essa varia poco in impressione nell'ambito di una stessa specie. Nelle specie dei subg. *Euryceble* e *Microceble*, gruppo *grouvellei*, la microreticolazione è molto spesso sostituita da una striolatura che, per contro, si riscontra assai raramente nelle specie degli altri sottogeneri.

Nella tabella 3 sono riportati, per ciascun taxon, i caratteri essenziali che, in gran parte, sono stati utilizzati per la redazione delle chiavi dicotomiche. Esse, disponibili su dischetto per PC presso l'autore, e allo stesso richiedibili, dovrebbero rendere più agevole l'inserimento nelle chiavi dicotomiche di nuovi taxa e, nel contempo, mostrano con immediatezza i criteri usati per la loro redazione e rendono ancor più evidente la già ricordata omogeneità degli *Agathidium* oggetto di questo studio. Nella predetta tabella sono impiegate le seguenti abbreviazioni:

Strie sutur.	strie suturali delle elitre (presenza/assenza/lunghezza)
Micr. capo-pron.-elitre	microreticolazione rispettivamente del capo, pronoto ed elitre
Punt. capo-pron.-elitre	punteggiatura rispettivamente del capo, pronoto ed elitre
Colore ant.	colore clava antennale (testacea o scura o nera) o articoli antennali
Rapp. 3°/2° an	rapporto antennomeri 3°/2°

L.-car. clipea.	presenza/assenza di linea clipeale o di una cresta arcuata o solchi
Foss.	presenza o assenza di fossette antero-laterali sul clipeo
Lar. capo	massima larghezza del capo a livello degli occhi, al loro margine posteriore o dietro al margine posteriore
Rapp. pr/cap	rapporto di larghezza tra pronoto e capo
Pron. la/lu	rapporto larghezza/lunghezza pronoto
Col. dorso	colorazione del tegumento dorsale
Ali	presenza o assenza di ali
Metafem.	forma dei metafemori del ♂ (o, se sconosciuto, della ♀) al margine posteriore: rettilineo, sinuato, dilatato, con 1 o 2 denti
Tarsi ♂	formula tarsale ♂
Tarsi ♀	formula tarsale ♀
Lungh.	lunghezza minima-massima di tutti gli esemplari esaminati, serie tipica inclusa
>½, ⅔, ecc.	lunghezza delle strie suturali o della tempia
4-11, ecc.	numero di articoli antennali scuri o neri
cont	clipeo delimitato da una cresta arcuata continua
int	clipeo delimitato da una cresta arcuata interrotta al centro
cst	clipeo striolato
d	massima larghezza del capo dietro al margine posteriore degli occhi
den	metafemori del ♂ (o, se sconosciuto, della ♀) con un dente al margine posteriore
dil	metafemori del ♂ (o, se sconosciuto, della ♀) dilatati al margine posteriore
do	punteggiatura doppia
im	punteggiatura, microreticolazione, ecc. impressa
ms	punteggiatura, microreticolazione, ecc. molto superficiale o poco evidente
mst	metà anteriore del capo striolato
n	colore della clava antennale o del dorso nero

no	punteggiatura, microreticolazione, ecc. assente
n-rb	colorazione del dorso nero-rosso bruno
o	massima larghezza del capo a livello degli occhi
rb	colorazione del dorso rosso-bruna
rett	metafemori del ♂ (o, se sconosciuto, della ♀) rettilinei al margine posteriore
scu	colore della clava antennale scura
si	punteggiatura, microreticolazione, ecc. presente
sin	metafemori del ♂ (o, se sconosciuto, della ♀) sinuati al margine posteriore
sol	clipeo delimitato da 2 solchi obliqui
str	capo e/o pronoto striolato
sup	punteggiatura, microreticolazione, ecc. superficiale
t	massima larghezza del capo al margine posteriore degli occhi
test	antenne uniformemente testacee
tr	microreticolazione in vaghe tracce o poco evidente
ve	ali vestigiali
2den	metafemori del ♂ con due denti al margine posteriore

MATERIALI E METODI

Per l'Asia sudorientale e la Cina sono state sinora descritte o citate 514 specie, di cui 513 tuttora valide (l'unico sinonimo è *Agathidium ceylanicum* Hlisn., 1972 = *A. laticorne* Port., 1922). Sono stati esaminati materiali tipici di 513 specie (*A. insulare* Port. è l'unica specie di cui non è stato rintracciato il tipo).

Complessivamente sono stati esaminati oltre 12.000 esemplari tutti identificati mediante l'estrazione dell'edeago o della spermateca. Le serie tipiche sono conservate nelle collezioni riportate sub punto 4 del capitolo "Catalogo delle specie di *Agathidium* dell'Asia sudorientale e della Cina" ma anche il restante materiale, tranne qualche rara eccezione, è conservato nelle stesse collezioni.

Tabella 3 - *Agathidium* dell'Asia sudorientale e della Cina. Distribuzione e caratteri considerati nelle chiavi dicotomiche.

Specie	Distribuzione	Strie sutur.	Micr. capo-pron.-elitre	Punt. capo-pron.-elitre	Colore ant.	Rapp. 3/2an	L.-car. clipea.	Foss.	Lar. capo	Rapp. pr/ cap	Pron. la/lu	Col. dorso	Ali	Meta-fem.	Tarsi ♂	Tarsi ♀	Lungh.
Genere *Agathidium*																	
subg. *Cyphoceble*																	
yushanicum	Taiwan	½ im	im-im-no	si-si-do	9-10	2	im	no	½	1,52	2,05	rb	ve		554	444	4,5-5,1
wangianum	Cina (Hubei)	⅔ ms	tr-tr-tr	do-si-no	test	1,6	ms	no	⅓	1,49	1,72	rb	si			444	3,45
inquisitor	Taiwan	>½ im	tr-tr-sup	do-do-si	7-11	2	im	no	⅕	1,44	2	n-rb	no			444	3,45
aeneonigrum	Cina (Yunnan)	½ im	no-no-tr	do-si-do	scu	1,5	ms	no	½	1,75	1,66	rb	si		554		3,8
wutangshanense	Cina (Hubei)	⅔ im	no-no-tr	si-si-si	n	1,4	ms	no	⅓	1,29	1,62	rb	si		554		2,9
geniculatum	Taiwan	⅕ ms	tr-sup-tr	si-si-si	test	1,8	ms	no	½	1,45	1,84	rb	no		554	444	2,5-2,8
glabrum	Nepal	½ im	no-no-tr	si-si-si	n	1,8	ms	no	<½	1,3	1,64	n	si		554	544	3,2-3,3
subg. *Neoceble*																	
gruppo *varians*																	
daxuense	Cina (Sichuan)	½ im	im-sup-tr	no-si-si	scu	1,15	im	no	d	1,5	1,82	n-rb	no		554		2,7
dundai	Cina (Sichuan, Shaanxi, ?Yunnan)	½ im	no-no-si	do-do-si	n	1,6	sup	no	d	1,6	2	n	si		554	544	2,9-3,4
longicorne	Giapp.(Hons.,Shik.,Kyus.,Ryuky.)	>½ im	tr-no-no	do-si-si	7-11	1,9	ms	no	d	1,61	1,64	n-rb	si		554		3,4-3,5
coloratum	Nepal	½ im	no-no-sup	si-si-si	7-11	1,2	ms	no	o	1,4	1,75	n-rb	si		554		2,15
cribratum	Giapp. (Hons.,Shik.,Kyus.,Ryuky.)	½ im	sup-sup-no	si-si-do	scu	1,2	im	no	o	1,87	1,87	rb	si		554	444	3,0-3,4
gruppo *nigripenne*																	
mingchiense	Cina (Fujian)	⅓ ms	no-no-tr	si-si-no	scu	1	tr	no		1,37	1,6	rb	si		554		2,85
kumaonicum	Nepal,India (Kash.,Kum.,Him.Prad.)	>½ im	no-no-no	si-si-si	n	1	im	no	o	1,5	1,47	n-rb	si		444	444	1,9-2,0
kyotoense	Giapp.(Hons.,Shik.,Kyus.),Taiwan	½ ms	no-no-no	si-si-si	scu	1	ms	no	o	1,59	1,69	rb	si		444	444	1,7-1,8
kandingense	Cina (Sichuan)	>½ im	no-tr-tr	si-si-si	n	1	tr	no	o	1,47	1,6	n	si		554	444	2,8-3,0
nigrocastaneum	Taiwan	¼ ms	tr-tr-no	si-si-si	scu	1,5	no	no	t	1,4	1,68	n-rb	si		554	444	2,5-2,7
unicolorum	India (Meghalaya), Cina (Fujian)	½ ms	no-no-no	si-si-si	9-10	1,2	im	no	<¼	1,5	1,84	n	si		554	544	2,5-2,75
shaanxiense	Cina (Shaanxi)	½ im	no-no-no	do-do-do	scu	1,7	tr	no	1/10	1,47	1,7	n-rb	si		554		2,75
angulatum	Indon.(Giava,Borneo),Vietnam,Malay	<½ ms	no-no-no	si-si-si	7-11	2,1	sup	no	o	1,5	1,79	n-rb	si		554	444	3,4-3,5
fuscatum	Cina (Yunnan)	>½ im	no-no-tr	si-si-si	n	2	no	no	o	1,55	1,75	rb	si		554		2,8
bhutanense	Nepal, Bhutan	<½ ms	tr-no-no	si-si-si	7-11	1,55	sup	no	o	1,52	1,77	rb	si			444	3,65
praeustum	Taiwan	½ ms	tr-tr-tr	si-si-si	7-11	1,6	ms	no	o	1,6	2	rb	no			444	3,3
bonzi	Cina (Fujian)	½ im	no-no-no	si-si-si	7-11	1,5	ms	no	o	1,6	1,76	n-rb	si		554		3,5
jonathani	Cina (Shaanxi)	½ ms	no-tr-tr	si-si-si	n	1,4	tr	no	o	1,4	1,79	rb	si		554		2,7-2,9
brunnipes	Cina (Yunnan)	½ im	no-no-no	si-si-si	n	1,7	sup	no	o	1,5	1,74	rb	si		554	544	2,9-2,95
confusum	Europa, Asia pal., Taiwan	½ im	no-no-no	si-si-si	n	1,3	ms	no	o	1,5	1,72	n-rb	si		554	444	2,2-3,3
pseudoconfusum	Nepal	½ im	no-no-no	si-si-si	n	1,3	tr	no	o	1,5	1,9	n	si		554	444	2,1-2,55
semicastaneum	Cina (Fujian)	⅓ im	no-no-no	si-si-si	scu	1,6	ms	no	o	1,55	1,75	rb	si		554		2,85
oculatum	Nepal	⅓ im	no-no-tr	si-si-si	scu	1,2	im	no	o	1,3	2,05	rb	si		444	444	2,15-2,4
gruppo *marginatum*																	
sichuanicum	Cina (Sichuan)	no	ms-sup-ms	si-si-no	test	1,3	ms	no	¼	1,45	1,7	rb	no		554	444	2,7-3,1
abbreviatum	Cina (Sichuan)	no	im-im-sup	no-no-no	test	1	ms	no	t	1,5	1,58	rb	si		554	444	2,4-2,7

Tabella 3 (*segue*) - *Agathidium* dell'Asia sudorientale e della Cina. Distribuzione e caratteri considerati nelle chiavi dicotomiche.

Specie	Distribuzione	Strie sutur.	Micr. capo-pron.-elitre	Punt. capo-pron.-elitre	Colore ant.	Rapp. 3/2an	L.-car. clipea.	Foss.	Lar. capo	Rapp. pr/ cap	Pron. la/lu	Col. dorso	Ali	Meta-fem.	Tarsi ♂	Tarsi ♀	Lungh.
kunmingense	Cina (Yunnan)	no	str-str-im	si-si-no	test	1,5	tr	no	o	1,7	1,36	n	no		554	544	3,55-3,6
zhoui	Cina (Hubei)	no	si-si-si	no-no-no	test	0,8	tr	no	o	1,51	1,63	rb	no		554	444	2,25-2,3
tarokoense	Taiwan	no	sup-sup-sup	si-si-si	scu	0,7	ms	no	o	1,6	1,66	n	si		444	444	2,1-2,3
nubile	Cina (Sichuan)	no	tr-sup-tr	si-si-no	9-10	1	sup	no	o	1,62	1,53	rb	si			444	2,85
gruppo *canariense*																	
vestitum	Taiwan	no	no-no-tr	si-si-si	test	1	no	no	o	1,32	1,98	rb	no		554	544	2,1-2,5
rufomarginatum	Taiwan	no	no-no-no	si-si-si	9-10	1	no	no	t	1,37	1,72	rb	no		554	444	2,1-2,5
dardi	Pakistan	no	no-no-no	si-si-si	9-10	1,6	ms	no	o	1,5	1,75	rb	no		554	444	2,6-2,85
subg. *Agathidium*																	
gruppo *madurense*																	
alatum alatum	Nepal, India (Uttar Pradesh)	½ im	no-no-no	si-si-si	test	1,57	no	no	¼	1,54	1,47	rb	si	dil	554	544	3,0-3,4
alatum heishuiense	Cina (Yunnan, Sichuan)	½ im	tr-tr-tr	si-si-si	test	1,8	no	no	¼	1,53	1,53	n-rb	si	dil	554	544	3,2-4,3
separatum	Myanmar	$^1/_3$ ms	no-no-tr	si-si-si	test	1,4	no	no	o	1,5	1,25	rb	si	dil	554		2,65
pedemontanum	Nepal	$^1/_3$ ms	tr-tr-sup	si-si-no	scu	1,5	no	no	o	1,53	1,68	rb	si	rett	554		2,5
yeti	Nepal	$^1/_3$ ms	no-no-sup	si-si-si	test	1,35	no	no	o	1,45	1,66	rb	si	dil	554		2,35
krali	Cina (Sichuan)	no	no-no-no	si-si-si	9-10	1,7	no	no	t	1,45	1,6	n	si	den	554		3,1
kejvali	Cina (Sichuan)	no	no-no-tr	si-si-si	n	1,5	no	no	t	1,44	1,44	n-rb	si	den	554		2,7
luctuosum	Malaysia(Sabah), ? Indonesia (Sum.)	no	sup-sup-ms	si-si-si	4-11	1,4	no	no	o	1,9	1,52	n	si	den	554	544	3,0-3,5
formosum	Thailandia,Taiwan	no	no-no-no	si-si-no	7-10	1,3	no	no	o	1,7	1,35	rb	si	dil	554	544	2,7-3,0
inelegans	Indonesia (Sumatra)	no	no-no-no	si-si-si	7-10	1,25	no	no	o	1,65	1,35	rb	si	dil	554		2,9
becvari	Cina (Yunnan)	no	no-no-tr	si-si-si	7-11	1,5	no	no	o	1,44	1,44	n	si	den	554	544	2,6-2,8
familiare	Taiwan	no	no-no-tr	si-si-si	7-11	1	no	no	o	1,44	1,51	rb	no	dil	554	544	2,6-2,8
keralaense	India (Kerala)	no	no-no-tr	si-si-si	7-11	1,2	no	no	o	1,76	1,53	rb	si	dil	554		2,7
pseudomadurense	India (Kerala, Tamil Nadu)	no	no-no-no	si-si-si	7-11	1,6	no	no	o	1,5	1,3	n	si	den	554	544	3,5,4,15
madurense	India (Tamil Nadu)	no	no-no-no	si-si-si	7-11	1,4	no	no	o	1,5	1,39	n-rb	si	dil	554	544	3,2-3,3
shillongense	India (Meghalaya)	no	no-no-no	si-si-si	7-11	1,5	no	no	o	1,5	1,48	rb	si	dil	554	544	2,8-3
gratiosum	Cina (Yunnan)	no	no-no-no	si-si-si	9-10	0,83	no	no	o	1,35	1,38	n-rb	ve	dil	554	444	2,75-2,85
occultum	Cina (Yunnan)	no	no-no-tr	si-si-si	9-10	1,7	no	no	o	1,57	1,5	rb	si	rett	554	544	3,0-3,2
thaii	Cina (Yunnan)	no	no-no-no	si-si-si	9-10	1,2	no	no	o	1,64	1,47	rb	si	dil	554		2,75
signatum	Nepal	no	ms-ms-ms	si-si-si	9-10	1,15	no	no	o	1,5	1,71	rb	si	dil	554		2,3
watrousi	Malay. (Malaya), Indonesia(Sumatra)	no	sup-sup-no	si-si-si	9-10	1,7	no	no	o	1,7	1,25	n-rb	si	sin	554	544	3,05-3,15
wheeleri	Malay. (Malaya), Indonesia(Sumatra)	no	sup-sup-no	si-si-si	9-10	1,5	no	no	o	1,7	1,3	n-rb	si	sin	554	544	2,6-2,8
senoi	Malaysia (Malaya)	no	no-no-no	si-si-si	9-10	1,3	no	no	o	1,59	1,43	n	si	rett	554		2,75
subobscurum	Indonesia (Sumatra)	no	no-no-no	si-si-si	9-10	1,4	no	no	o	1,58	1,37	n	si	rett	554	544	2,5-2,8
hlisnikovskyi	Malaysia (Malaya)	no	no-no-no	si-si-si	9-10	1,2	no	no	o	1,6	1,29	rb	si	dil	554	544	2,75
calvum	Indonesia (Giava)	no	no-no-no	si-si-si	9-10	1,7	no	no	o	1,7	1,45	rb	si	dil	554		2,95
pecki	Vietnam	no	no-no-tr	si-si-si	9-10	2	no	no	o	1,76	1,48	rb	si	dil	554	544	3,0-3,15
nahangense	Vietnam	no	no-no-no	si-si-si	9-10	1,6	no	no	o	1,83	1,5	rb	si	dil	554	544	3,5-3,7

Tabella 3 (*segue*) - *Agathidium* dell'Asia sudorientale e della Cina. Distribuzione e caratteri considerati nelle chiavi dicotomiche.

Specie	Distribuzione	Strie sutur.	Micr. capo-pron.-elitre	Punt. capo-pron.-elitre	Colore ant.	Rapp. 3/2an	L.-car. clipea.	Foss.	Lar. capo	Rapp. pr/ cap	Pron. la/lu	Col. dorso	Ali	Meta-fem.	Tarsi ♂	Tarsi ♀	Lungh.
caovansungi	Vietnam	no	no-no-tr	si-si-si	9-10	1,3	no	no	o	1,74	1,42	rb	si	dil	554	544	3,1-3,25
apocryphum	Thailandia	no	no-no-tr	si-si-si	9-10	1,15	no	no	o	1,64	1,49	rb	si	dil	554	544	2,55,2,6
kryzhanovskii	Vietnam	no	no-no-tr	si-si-si	9-10	1,15	no	no	o	1,3	1,27	rb	no	dil	554		2,4
patris	Cina (Fujian)	no	no-no-no	si-si-si	n	1,2	no	no	o	1,54	1,54	n-rb	si	dil	554	544	3,2-3,5
nefandum	Indonesia (Sumatra)	no	no-no-no	si-si-si	n	1,25	no	no	o	1,6	1,55	n	si	den	554		2,85
plumbeum	Nepal	no	ms-ms-sup	si-si-no	n	2	no	no	o	1,66	1,66	n	si	dil	554		2,35
schuelkeicum	Cina (Shaanxi)	no	no-no-no	si-si-si	scu	1,8	no	no	o	1,6	1,51	rb	si	den	554	544	3,0-3,3
tardum	Taiwan	no	no-no-tr	si-si-si	scu	1,8	no	no	o	1,66	1,56	rb	si	dil	554		2,75
obscurum	Cina (Guangxi)	no	no-no-no	si-si-no	scu	1,6	no	no	o	1,3	1,29	n	si	den	554		3,85
nigritulum	Cina (Shaanxi)	no	no-no-tr	si-si-si	scu	1,3	no	no	o	1,9	1,42	n	si	den	554		2,9
silvestre	Thailandia	no	no-no-no	si-si-si	scu	1,3	no	no	o	1,5	1,38	rb	si	dil	554		2,8-3,2
varuna	India (Darjeeling)	no	no-no-no	si-si-si	scu	1,7	no	no	o	1,6	1,58	rb	si	den	554		2,75
khasicum	Nepal, India (Darjeeling, Meghalaya)	no	no-no-no	si-si-si	scu	1,2	no	no	o	1,6	1,25	n-rb	no	den	554	544	2,7-3
meghalayanum	India (Meghalaya)	no	no-no-no	si-si-si	scu	1,3	no	no	o	1,47	1,4	n-rb	no	dil	554	544	2,3-2,5
lebongense	India (Darjeeling,Meghalaya), ?Nepal	no	no-no-no	si-si-si	scu	1,36	no	no	o	1,43	1,48	n-rb	si	dil	554	544	2,6-2,7
lijiangense	Cina (Yunnan)	no	no-no-no	si-si-si	test	0,8	no	no	o	1,52	1,52	rb	no	dil	554		2,6
giganteum	Cina (Sichuan)	no	no-no-tr	si-si-si	test	2,8	no	no	o	1,38	1,2	n	no	den	554	rovi	5,5-6,5
lasti	Cina (Zhejiang)	no	no-no-sup	si-si-si	test	1,75	no	no	o	1,33	1,31	n	no	den	554	544	3,6-4,3
paralasti	Cina (Fujian)	no	no-no-tr	si-si-si	test	1,2	no	no	o	1,4	1,34	rb	no	den	554	544	4,55-4,6
simulator	Cina (Yunnan)	no	no-no-no	si-si-si	test	1	no	no	o	1,44	1,22	rb	no	dil	554		2,45
vagum	Cina (Guangxi, Shaanxi)	no	no-no-no	si-si-si	test	1,4	no	no	o	1,6	1,45	rb	si	dil	554		3,4
modestum	Cina (Sichuan)	no	no-no-no	si-si-si	test	1,27	no	no	o	1,59	1,55	rb	no	dil	554	444	2,6-3,0
neurayi	Cina (Yunnan, Sichuan)	no	no-no-tr	si-si-no	test	1,3	no	no	o	1,44	1,62	rb	no	dil	554		2,6
alesi	Taiwan	no	no-no-no	si-si-si	test	1,3	no	no	o	1,4	1,25	n	no	den	554	544	3,0-4,1
distinguendum	Taiwan	no	no-no-no	si-si-no	test	1,2	no	no	o	1,45	1,35	n	no	den	554	544	3,0-3,7
lucifugum	Taiwan	no	no-no-no	no-no-no	test	1,3	no	no	o	1,36	1,17	n	no	den	554		3,85
delicatulum	Taiwan	no	no-no-no	si-si-si	test	1,5	no	no	o	1,3	1,31	n-rb	no	dil	554	544	2,9-3,8
subnitidum	Taiwan	no	no-ms-ms	si-si-si	test	1,8	no	no	o	1,3	1,33	n-rb	no	dil	554	544	3,3-3,5
ishigakiense	Giappone (Ryukyus)	no	no-no-tr	no-no-no	test	1,4	no	no	o	1,27	1,46	rb	no	sin	554	544	2,5
saigoi	Giappone (Ryukyus)	no	no-no-no	si-si-si	test	1,1	no	no	o	1,21	1,31	n-rb	no	den	554	544	2,7
lashioense	Myanmar	no	no-no-no	si-si-no	test	1,8	no	no	o	1,7	1,41	rb	si	den	554		3,7
herberti	Nepal	no	no-no-tr	si-si-si	test	2	no	no	o	1,57	1,53	rb	si	dil	554		2,95
kuaiense	Thailandia	no	no-no-tr	si-si-no	test	1,25	no	no	o	1,73	1,43	rb	si	rett	554		3,35
hoabinhense	Vietnam	no	no-no-no	si-si-no	test	1,2	no	no	o	1,85	1,62	rb	si	rett	554		2,6
sveci	Thailandia	no	no-no-tr	si-si-si	test	1,2	no	no	o	1,52	1,45	rb	si	dil	554	544	2,75-3,0
newari	Nepal, Thailandia	no	no-no-no	si-si-si	test	1,2	no	no	o	1,5	1,42	n-rb	no	dil	554	544	2,75,3,5
crassum	Nepal, India (Darjeeling)	no	no-no-no	si-si-si	test	1,9	no	no	o	1,5	1,43	rb	no	dil	554	544	2,8-3,0
darjeelingense	India (Darjeeling)	no	no-no-no	si-si-do	test	1,1	no	no	o	1,57	1,45	rb	si	rett	554		2,9

Tabella 3 (*segue*) - *Agathidium* dell'Asia sudorientale e della Cina. Distribuzione e caratteri considerati nelle chiavi dicotomiche.

Specie	Distribuzione	Strie sutur.	Micr. capo-pron.-elitre	Punt. capo-pron.-elitre	Colore ant.	Rapp. 3/2an	L.-car. clipea.	Foss.	Lar. capo	Rapp. pr/ cap	Pron. la/lu	Col. dorso	Ali	Meta-fem.	Tarsi ♂	Tarsi ♀	Lungh.
lewisi	Myanmar	no	no-no-no	si-si-si	test	1,5	no	no	o	1,68	1,44	rb	si	rett	554		2,7
aeratum	Thailandia	no	no-no-tr	si-si-si	test	1,6	no	no	o	1,2	1,43	rb	si	dil	554		3,7
schwendingeri	Thailandia, Myanmar	no	no-no-tr	si-si-si	test	1,5	no	no	o	1,67	1,48	rb	si	rett	554	544	2,9-3,15
impressum	Vietnam	no	no-no-no	si-si-si	test	1,3	no	no	o	1,78	1,5	rb	si	den	554		2,95
siamense	Thailandia, ? Vietnam	no	no-no-tr	si-si-si	test	1,15	no	no	o	1,5	1,17	rb	si	dil	554	544	2,5-2,9
riedeli	India (Uttar Pradesh)	no	no-no-tr	si-si-si	test	1,35	no	no	o	1,51	1,54	n-rb	si	dil	554	544	2,85,2,9
relictum	Thailandia	no	no-no-tr	si-si-si	test	1,4	no	no	o	1,71	1,48	rb	si	rett	554	544	3,5
urbanii	India (Meghalaya)	no	no-no-no	si-si-do	test	1,1	no	no	o	1,56	1,31	n-rb	si	dil	554		3,35
acuminatum	Nepal	no	no-no-no	si-si-si	test	1,4	no	no	o	1,4	1,48	rb	ve	dil	554	544	1,8-2,45
lepidum	Thailandia	no	no-no-no	si-si-no	test	1,2	no	no	o	1,68	1,2	rb	si	dil	554		3,0
obsoletum	Myanmar	no	no-no-no	si-si-si	test	1,4	no	no	o	1,63	1,44	rb	si	dil	554		2,75
brahmano	Nepal, India (Assam),Thailandia	no	no-no-no	si-si-si	test	1,5	no	no	o	1,6	1,35	rb	si	dil	554	544	2,7-2,8
kualalumpurense	Malaysia (Malaya)	no	sup-sup-sup	si-si-si	test	1,2	no	no	o	1,72	1,55	rb	si	den	554	544	2,4-2,6
montivagum	Indonesia (Sumatra)	no	no-no-no	si-si-si	test	1,9	no	no	o	1,54	1,45	n-rb	si	dil	554	544	2,5-2,7
negritos	Malaysia (Malaya)	no	no-no-no	si-si-si	test	1,25	no	no	o	1,6	1,62	n	si	♀ dil		544	4,1
agostii	Indonesia (Giava)	no	no-no-no	si-si-si	test	1,14	no	no	o	1,64	1,37	n	si	dil	554	544	2,4-2,5
marshalli	Malaysia (Sarawak)	no	no-no-no	si-si-si	test	1,2	no	no	o	1,65	1,39	rb	si	den	554	544	2,8-2,95
gruppo *seminulum*																	
pakistanicum	Pakistan	1/3 ms	str-no-ms	si-si-no	test	1	no	no	t	1,2	1,5	rb	no	dil	554	444	2,05-2,7
semipunctatum	Nepal	1/3 im	tr-sup-im	si-si-no	test	1,4	no	no	t	1,44	1,61	rb	no			444	2,1-2,4
testaceum	India (Himachal Pradesh)	1/3 ms	no-ms-sup	do-si-si	test	1,4	no	no	d	1,5	1,74	rb	no	sin	554		2,1
pinorum	Pakistan	1/2 im	im-im-im	no-no-no	test	1	no	no	d	1,3	1,63	rb	no	dil	554	444	2,15-2,35
vile	Pakistan	1/2 im	im-im-im	no-no-no	test	1,4	no	no	d	1,3	1,55	rb	no	sin	554	444	1,95-2,35
jatanai	Cina (Gansu)	1/2 im	im-im-sup	si-si-si	test	1,6	no	no	1/3	1,33	1,67	rb	no	den	554		3,7
mequignoni	Caucaso,Asia, Taiwan, Cina (Beijing)	1/2 ms	im-im-im	si-si-si	test	1,6	no	no	d	1,6	1,45	rb	ve	dil	554	544	3,2-3,6
glaciale	Nepal	1/2 ms	no-no-sup	si-si-no	scu	1,72	no	no	o	1,38	1,61	n-rb	no	rett	554	444	2,45-2,95
barahbisense	Nepal	1/3ms	no-no-sup	si-si-no	scu	1,7	no	no	o	1,4	1,59	n	no	sin	554	444	2,75-3,1
fulungense	Nepal, India (Himachal Pradesh)	1/3 ms	no-no-sup	si-si-si	scu	1,68	no	no	o	1,42	1,66	n-rb	no	den	554	444	2,5-3,0
subopacum	India sett., Nepal, Bhutan	1/3 im	im-im-im	no-no-no	scu	2	no	no	o	1,3	1,68	n	no	sin	554	444	2,9-3,55
microreticulatum	Nepal	1/2 im	sup-sup-sup	no-no-no	scu	1,3	no	no	o	1,35	1,57	n-rb	no	dil	554	444	2,75-3,15
castaneum	Nepal	1/3sup	sup-sup-im	si-si-no	scu	1,8	no	no	o	1,38	1,52	n-rb	no	sin	554	444	2,3-2,5
jendeki	Cina (Yunnan)	1/5sup	str-str-no	si-si-si	test	1,65	no	no	o	1,48	1,42	n	no	den	554	544	4,0
punctatum	Nepal	1/3 ms	str-no-ms	do-do-si	test	2,4	no	no	o	1,35	1,62	n-rb	no	rett	554		3,2
substriatum	Nepal	1/2 im	str-no-im	si-si-no	test	1,8	no	no	o	1,34	1,64	n-rb	no	sin	554	444	2,6-2,85
johnsoni	Nepal	1/3 ms	str-no-sup	si-si-si	test	2,2	no	no	o	1,35	1,65	n-rb	no	rett	554	444	3,0-3,2
parbaticum	Nepal	1/4 ms	str-no-sup	si-si-no	test	2	no	no	o	1,3	1,66	rb	no	dil	554	444	2,55-2,85
bagmaticum	Nepal	1/2 im	no-no-sup	si-si-no	test	1,8	no	no	o	1,4	1,77	n	no	dil	554	444	2,7-3,3
brunneum	Nepal, India (Kashmir)	1/3ms	no-ms-im	do-do-do	test	1,53	no	no	o	1,33	1,58	rb	no	sin	554	444	2,4-2,8

Tabella 3 (*segue*) - *Agathidium* dell'Asia sudorientale e della Cina. Distribuzione e caratteri considerati nelle chiavi dicotomiche.

Specie	Distribuzione	Strie sutur.	Micr. capo-pron.-elitre	Punt. capo-pron.-elitre	Colore ant.	Rapp. 3/2an	L.-car. clipea.	Foss.	Lar. capo	Rapp. pr/ cap	Pron. la/lu	Col. dorso	Ali	Meta-fem.	Tarsi ♂	Tarsi ♀	Lungh.
indistinctum	Nepal	1/3 ms	no-no-sup	si-do-si	test	1,38	no	no	o	1,38	1,63	n-rb	no	rett	554		2,5-2,85
thochungense	Nepal	1/3 ms	tr-tr-sup	do-si-do	test	1,72	no	no	o	1,35	1,66	n-rb	no	sin	554	444	2,7-3,2
ineptum	Nepal	1/3 im	no-no-im	si-si-no	test	1,5	no	no	o	1,34	1,62	rb	no	sin	554	444	3,2-3,4
kuwapanicum	Nepal	1/3 ms	no-no-im	si-si-si	test	1,3	no	no	o	1,3	1,6	rb	no	dil	554	444	2,5-3,0
nivale	Nepal	½ im	sup-sup-im	si-do-no	test	1,2	no	no	o	1,32	1,6	n-rb	no	dil	554	444	2,5-3,3
kali	Nepal	½ im	sup-sup-im	si-si-no	test	1,6	no	no	o	1,4	1,63	n-rb	no	dil	554	444	3,1-3,6
smetanai	Nepal	1/3 ms	sup-sup-im	si-si-no	test	1,7	no	no	o	1,4	1,38	n-rb	no	dil	554	444	2,75-3,45
dargharicum	Nepal	1/3 im	sup-sup-im	si-si-no	test	1,8	no	no	o	1,33	1,57	rb	no	dil	554	444	2,2-2,4
apterum	Nepal, India (Darjeeling)	½ im	no-no-im	do-do-si	test	2,08	no	no	o	1,37	1,61	n-rb	no	sin	554	444	2,8-3,7
ilamense	Nepal	½ im	lati-sup-im	do-do-no	test	2,5	no	no	o	1,4	1,63	n	no	dil	554	444	3,1-3,5
indicum	Nepal, India (Darjeeling)	½ ms	im-im-im	do-do-do	test	2,3	no	no	o	1,37	1,65	n-rb	no	den	554	444	2,9-3,0
conspersum	Nepal	½ im	im-im-im	no-no-no	test	2	no	no	o	1,4	1,76	n	no	sin	554	444	3,15-3,5
kharkaense	Nepal	½ im	im-im-im	no-no-no	test	2,3	no	no	o	1,53	1,77	n	no	sin	554	444	3,0-3,8
francae	Nepal	½ ms	sup-sup-im	si-si-no	test	2,3	no	no	o	1,32	1,48	n-rb	no	sin	554	444	2,8-3,55
concolor	Nepal	½ ms	ms-ms-ms	do-si-si	test	2,21	no	no	o	1,31	1,39	n-rb	no	den	554	444	2,9
confluens	Nepal	1/3 im	lati-no-ms	si-si-no	test	2	no	no	o	1,3	1,64	n	no	rett	554	444	3,15-3,3
ausobskyi	Nepal	1/3 sup	lati-no-no	si-si-si	test	2	no	no	o	1,3	1,63	rb	no	rett	554	444	2,7-2,9
gruppo *atrum*																	
glabricolle	Taiwan	1/3 ms	no-no-tr	si-si-si	9-10	1,6	no	no	d	1,45	1,45	rb	no	rett	554	544	2,9-3,0
gulmargense	India (Kashmir)	1/3 ms	no-no-tr	si-si-si	test	1,3	no	no	d	1,25	1,6	n-rb	no	rett	554	444	2,0-2,1
amamiense	Giappone (Ryukyus)	½ im	no-no-tr	si-si-si	9-10	1,6	no	no	o	1,57	1,37	rb	si	sin	554		3,4
uliginosum	Cina (Yunnan, Sichuan)	1/5 ms	tr-tr-no	si-si-si	9-10	2	no	no	o	1,75	1,5	n	no	den	554	544	3,7-4,1
raffaellae	Nepal	½ ms	no-no-no	si-do-si	scu	1,8	no	no	o	1,3	1,52	n-rb	no	den	554	444	3,25
sikh	India (Darjeeling)	1/5 ms	no-no-no	si-si-si	scu	--	no	no	o	1,6	1,45	n	si	dil	554		1,8
chinense	Cina (Sichuan)	½ im	no-no-no	si-si-si	test	1,3	no	no	o	1,6	1,55	n-rb	ve	dil	554	544	3,1
robustum	Pakistan	½ ms	no-no-tr	si-si-si	test	1,5	no	no	o	1,4	1,52	rb	no	sin	554	444	2,85-3,4
laevipenne	India (Kashmir)	1/3 ms	no-no-no	si-do-si	test	1,4	no	no	o	1,37	1,58	rb	no	dil	554		2,7
kashmirense	India sett.	1/3 im	no-no-no	do-si-si	test	1,7	no	no	o	1,47	1,51	n-rb	no	den	554	444	2,1-2,8
fallax	Nepal, India (Darjeeling)	1/3 ms	no-no-no	si-si-do	test	1,8	no	no	o	1,3	1,65	n-rb	no	den	554	444	2,7-2,8
hamanni	Nepal	1/3 im	no-no-no	si-si-si	test	1,15	no	no	o	1,52	1,45	rb	si	-		544	2,8
pauperum	Pakistan, India (Kashmir)	1/3 ms	no-no-tr	si-si-si	test	1,4	no	no	o	1,4	1,59	rb	no	dil	554	444	2,9-3,5
visnu	Nepal	1/3 ms	no-no-no	si-si-no	test	1,7	no	no	o	1,3	1,49	rb	no	dil	554	444	2,6-3,0
garhwalense	India (Garhwal, Tamil Nadu)	1/3 ms	no-no-no	si-si-si	test	1,8	no	no	o	1,3	1,5	n	no	dil	554	444	3,1-3,2
sadhu	Nepal	¼ ms	no-no-no	si-si-no	test	2	no	no	o	1,3	1,63	n	no	sin	554	444	2,75-2,85
dinguaricum	Nepal	1/3 ms	no-no-no	si-si-si	test	2,1	no	no	o	1,38	1,59	n-rb	no	den	554		3,0-3,1
kabateki	Cina (Sichuan)	½ ms	no-no-no	si-si-si	test	2,3	no	no	o	1,34	1,54	rb	no	dil	554	444	3,6-3,9
gruppo *laevigatum*																	
celatum	Cina (Hubei)	no	no-no-sup	si-si-no	test	1,3	no	no	½	1,2	1,5	rb	no	dil	554	444	2,2-2,3

Tabella 3 (*segue*) - *Agathidium* dell'Asia sudorientale e della Cina. Distribuzione e caratteri considerati nelle chiavi dicotomiche.

Specie	Distribuzione	Strie sutur.	Micr. capo-pron.-elitre	Punt. capo-pron.-elitre	Colore ant.	Rapp. 3/2an	L.-car. clipea.	Foss.	Lar. capo	Rapp. pr/ cap	Pron. la/lu	Col. dorso	Ali	Meta-fem.	Tarsi ♂	Tarsi ♀	Lungh.
michaeli	Cina (Sichuan)	no	no-no-sup	si-si-no	test	1,9	no	no	o	1,35	1,33	rb	no	den	554		2,85-2,95
nitidulum	Cina (Zhejiang)	no	tr-tr-sup	si-si-no	test	1	no	no	½	1,6	0,92	rb	no	dil	554		1,6
zijinense	Cina (Jiangsu)	no	tr-tr-sup	si-si-no	test	1	no	no	½	1,1	1,42	rb	no	rett	554	544	2,1-2,4
swaticum	Pakistan	no	sup-sup-im	no-no-no	test	1,35	no	no	d	1,3	1,55	rb	no	dil	444	444	1,7-2,15
nepalense	Nepal	no	tr-sup-im	si-si-si	test	1,45	no	no	d	1,28	1,59	rb	no	dil	554	444	2,1-2,35
minutissimum	Nepal	no	sup-im-im	si-si-si	test	1,35	no	no	d	1,33	1,6	rb	no	sin	444	444	1,6-1,8
shimlense	India (Himachal Pradesh)	no	sup-im-im	si-si-no	test	1,3	no	no	d	1,3	1,67	rb	no	sin	554		2,0
armatum	Cina (Sichuan)	no	no-no-im	si-si-no	test	2,3	no	no	t	1,37	1,47	rb	no	den	554	544	2,85-3,1
huangganshanicum	Cina (Jiangxi)	no	no-no-sup	si-si-no	test	1,6	no	no	t	1,36	1,45	rb	no	den	554		3,3
rufescens	Cina (Sichuan)	no	no-no-sup	si-si-si	test	2,3	no	no	t	1,26	1,17	rb	no	den	554	544	3,6-3,9
guagir	Pakistan	no	sup-sup-im	no-no-no	test	1,15	no	no	t	1,4	1,61	rb	no	rett	554	444	1,75-2,1
himalayanum	Nepal	no	im-im-im	no-no-no	test	1,55	no	no	t	1,31	1,64	rb	no	rett	554	444	2,3-2,55
tibiale	Nepal	no	ms-ms-sup	si-si-si	test	1,5	no	no	t	1,4	1,63	rb	no	rett	444	444	1,8-2,1
lividum	Nepal	no	ms-sup-im	si-si-no	test	1,3	no	no	t	1,3	1,47	rb	no	sin	554	444	2,15-2,5
rubrum	Nepal	no	ms-sup-im	si-si-no	test	1,3	no	no	t	1,4	1,57	rb	no	sin	554	444	2,0-2,15
manangense	Nepal	no	sup-sup-im	si-si-si	scu	1,7	no	no	o	1,5	1,64	n	si	dil	554	544	1,8-2,1
lassethamense	Nepal	no	sup-sup-im	si-si-no	scu	1,5	no	no	o	1,42	1,5	n	no	dil	554	444	3,0-3,2
laevigatum	Nepal, Bhutan, India sett.,reg.paleart.	no	sup-sup-sup	si-si-no	scu	1,3	no	no	o	1,5	1,35	n	si	dil	554	544	2,7-3,4
detritum	Nepal	no	no-no-im	si-si-no	scu	1,8	no	no	o	1,4	1,84	rb	no	sin	554		3,15
semireticulatum	Nepal	no	no-no-sup	si-si-no	n	1,7	no	no	o	1,25	1,42	rb	no	dil	554	544	2,1-2,9
goropanicum	Nepal	no	sup-im-im	si-si-si	n	1,5	no	no	o	1,43	1,57	n-rb	no	den	554	444	2,3-2,6
angustatum	Taiwan	no	no-no-im	si-si-no	test	1,5	no	no	o	1,31	1,37	rb	no	den	554	544	2,9-3,4
memnonium	Taiwan	no	no-no-sup	si-si-no	test	1,5	no	no	o	1,31	1,27	rb	no	dil	554	544	3,3-3,5
inustum	Taiwan	no	no-no-sup	si-si-no	test	1,6	no	no	o	1,33	1,27	n	no	den	554	544	2,7-3,0
furcatum	Taiwan	no	no-no-sup	si-si-no	test	1,1	no	no	o	1,23	1,23	rb	no	den	554		2,6
comptum	Taiwan	no	no-no-sup	si-si-si	test	1,2	no	no	o	1,35	1,3	n-rb	no	den	544	544	2,6-2,7
egregium	Taiwan	no	trr-no-sup	no-si-no	test	1,2	no	no	o	1,33	1,43	rb	no	den	554	544	2,3-2,6
exoletum	Taiwan	no	no-no-sup	si-si-no	test	1,3	no	no	o	1,36	1,46	n	no	den	554	544	3,2-3,5
alpestre	Taiwan	no	no-no-sup	si-si-si	test	1,2	no	no	o	1,33	1,23	n	no	den	554	544	3,0-3,3
subalpinum	Taiwan	no	no-no-sup	si-si-no	test	1,2	no	no	o	1,31	1,18	n-rb	no	den	554	544	3,0-3,3
taichungense	Taiwan	no	no-no-sup	si-si-no	test	1,1	no	no	o	1,3	1,29	n	no	den	554	544	3,4-3,6
rurale	Cina (Sichuan)	no	im-im-im	no-no-no	test	1,5	no	no	o	1,47	1,64	rb	no	♀sin		544	2,4
procerum	Cina (Sichuan)	no	sup-sup-sup	no-no-no	test	1,1	no	no	o	1,4	1,57	rb	no	sin	554	544	2,15-2,3
tschungi	Cina (Shaanxi)	no	tr-tr-sup	si-si-no	test	1,1	no	no	o	1,4	1,43	rb	no	sin	554		2,55
consimile	Cina (Sichuan)	no	no-no-im	si-si-no	test	1,6	no	no	o	1,36	1,22	rb	no	den	554		3,2
garrattii	Cina (Zhejiang)	no	no-no-sup	si-si-si	test	1,4	no	no	o	1,4	1,45	n	no	♀den		544	3,1-3,5
simplex	Cina (Sichuan)	no	no-tr-sup	si-no-no	test	1,7	no	no	o	1,59	1,59	n-rb	no	den	554	544	3,8-3,9
gonggaense	Cina (Sichuan)	no	sup-sup-im	si-si-si	test	2,1	no	no	o	1,4	1,35	n	no	den	554	544	4,2-4,6

Tabella 3 (*segue*) - *Agathidium* dell'Asia sudorientale e della Cina. Distribuzione e caratteri considerati nelle chiavi dicotomiche.

Specie	Distribuzione	Strie sutur.	Micr. capo-pron.-elitre	Punt. capo-pron.-elitre	Colore ant.	Rapp. 3/2an	L.-car. clipea.	Foss.	Lar. capo	Rapp. pr/ cap	Pron. la/lu	Col. dorso	Ali	Meta-fem.	Tarsi ♂	Tarsi ♀	Lungh.
nigerrimum	Cina (Sichuan)	no	im-im-im	no-no-no	test	2,15	no	no	o	1,77	1,36	n	no	den	554	544	3,6-3,95
jaechi	Cina (Sichuan)	no	no-no-im	si-si-no	test	2,3	no	no	o	1,6	1,45	rb	no	den	554		3,1
rubiginosum	Cina (Sichuan)	no	no-no-sup	si-si-no	test	2,4	no	no	o	1,59	1,42	rb	no	den	554	554	3,05-3,15
kathmanduense	Nepal	no	str-str-no	si-si-si	test	1,4	no	no	o	1,28	1,53	rb	no	dil	554	544	1,9-2,4
siva	Nepal	no	str-no-ms	si-si-no	test	2	no	no	o	1,3	1,6	n	no	dil	554	544	2,65
rusticanum	Nepal	no	no-no-sup	do-do-no	test	1,6	no	no	o	1,42	1,75	rb	no	dil	554		2,8
franzi	Nepal	no	no-no-sup	si-do-no	test	2	no	no	o	1,31	1,48	n-rb	no	den	554	444	2,4-2,7
proximum	India (Uttar Pradesh)	no	no-no-sup	si-si-si	test	1,75	no	no	o	1,37	1,7	rb	si	den	554	544	3,2-3,4
imitator	Nepal	no	tr-tr-sup	si-si-no	test	1,75	no	no	o	1,35	1,67	n-rb	no	dil	554	444	3,2
variabile	Nepal	no	sup-sup-im	no-no-no	test	1,4	no	no	o	1,4	1,6	rb	no	dil	554	444	2,5-2,55
martensi	Nepal, India (Darjeeling)	no	sup-sup-no	si-si-si	test	1,5	no	no	o	1,3	1,58	n-rb	no	rett	554	444	2,4-2,65
rufifrons	Nepal	no	no-no-sup	si-si-no	test	1,7	no	no	o	1,5	1,59	n-rb	no	den	554	544	2,65-3,0
circumflexum	Nepal	no	no-no-sup	si-si-no	test	1,72	no	no	o	1,32	1,62	n-rb	no	den	554	544	2,3-2,6
inquietum	Nepal	no	sup-tr-sup	si-si-no	test	1,5	no	no	o	1,47	1,49	n	no	sin	554	444	2,8-3,0
excelsum	Nepal	no	tr-tr-sup	si-si-no	test	1,4	no	no	o	1,35	1,76	rb	no	sin	554	444	2,2-2,6
dobaticum	Nepal	no	tr-tr-sup	si-si-si	test	1,3	no	no	o	1,4	1,5	n-rb	no	dil	554	444	2,35-2,65
ornatum	Nepal	no	tr-tr-sup	si-si-si	test	1,7	no	no	o	1,4	1,51	n-rb	no	dil	554	544	2,6-2,75
seminigrum	Nepal	no	im-im-im	si-si-no	test	2	no	no	o	1,4	1,64	n-rb	no	-		544	2,75
ishvara	Nepal	no	no-no-sup	si-si-no	test	2	no	no	o	1,4	1,5	rb	no	dil	554	544	2,35-3,05
fulgens	Nepal	no	sup-sup-no	no-no-si	test	2	no	no	o	1,3	1,49	rb	no	den	554	544	2,8-3,3
querceum	Nepal	no	sup-sup-no	si-si-si	test	2,3	no	no	o	1,4	1,6	n	no	den	554	544	3,4-3,5
gruppo *dentatum*																	
tianmuoides	Cina (Zhejiang)	no	no-no-ms	si-si-si	test	0,9	no	no	1/3	1,22	1,53	rb	no	den	554	444	2,0-2,2
aikanae	Giappone (Ryukyus)	no	no-no-ms	si-no-no	test	1,15	no	no	1/3	1,24	1,48	rb	no	sin	554	544	1,78
paratianmuense	Cina (Zhejiang)	no	no-no-ms	si-si-si	test	1,1	no	no	1/3	1,25	1,56	rb	no	dil	554	444	1,85-1,95
pseudotianmuense	Cina (Zhejiang)	no	no-ms-ms	si-si-si	test	1,2	no	no	1/4	1,22	1,48	rb	no	rett	554	444	1,85-2,1
jiuchongense	Cina (Hubei)	no	tr-no-tr	si-si-si	test	1	no	no	1/2	1,2	1,47	rb	no	sin	554		2,5
tianmuense	Cina (Zhejiang)	no	no-ms-ms	si-si-si	test	1,1	no	no	1/4	1,21	1,41	rb	no	dil	554	544	1,7-1,9
pusillum	Nepal, India (Darjeeling)	no	no-no-no	si-si-si	test	1,8	no	no	d	1,4	1,6	rb	no	dil	444	444	1,7-2,2
wittmeri	India (Darjeeling)	no	no-no-no	si-si-no	test	1,8	no	no	d	1,27	1,4	rb	no	rett	444	444	2,1-2,4
pseudotibiale	Nepal	no	no-no-ms	si-si-si	test	1,2	no	no	d	1,42	1,7	rb	no	dil	444	444	2,35
macrotibiale	Nepal	no	no-no-no	si-si-si	test	1,5	no	no	1/3	1,4	1,7	n-rb	no	dil	444	444	2,05-2,3
sikkimense	Nepal, India (Darjeeling, Sikkim)	no	no-no-ms	si-si-si	test	1,4	no	no	d	1,26	1,55	rb	no	dil	444	444	2,2-2,5
indra	Nepal, India (Darjeeling)	no	no-no-no	si-si-si	test	1,3	no	no	d	1,3	1,36	rb	no	dil	444	444	1,95-2,2
curtum	Nepal	no	no-no-ms	si-si-si	test	1,55	no	no	d	1,3	1,53	rb	no	dil	444		2,05
deoralicum	Nepal	no	ms-ms-ms-	si-si-no	test	2	no	no	t	1,39	1,51	n-rb	no	dil	554	544	2,9-3,6
uniforme	Nepal	no	no-no-ms	si-si-si	test	2	no	no	t	1,4	1,62	rb	no	den	554	544	2,2-2,6
xianggangense	Cina (Hong Kong)	no	no-no-ms	si-si-no	test	1,6	no	no	t	1,1	1,37	rb	no	dil	554	544	2,7-3,2

Tabella 3 (*segue*) - *Agathidium* dell'Asia sudorientale e della Cina. Distribuzione e caratteri considerati nelle chiavi dicotomiche.

Specie	Distribuzione	Strie sutur.	Micr. capo-pron.-elitre	Punt. capo-pron.-elitre	Colore ant.	Rapp. 3/2an	L.-car. clipea.	Foss.	Lar. capo	Rapp. pr/ cap	Pron. la/lu	Col. dorso	Ali	Meta-fem.	Tarsi ♂	Tarsi ♀	Lungh.
fujisakiae	Giappone (Ryukyus)	no	no-no-ms	si-si-no	test	1,1	no	no	t	1,36	1,55	rb	no	dil	554	544	2,0
senile	Pakistan	no	no-no-ms	si-si-si	test	1,3	no	no	t	1,3	1,58	rb	no	sin	554	444	1,85-2,25
okinawaense	Giappone (Ryukyus)	no	no-no-ms	si-si-no	test	1,8	no	no	o	1,45	1,45	n	no	dil	554	544	3,1
fujianense	Cina (Fujian)	no	no-no-no	si-si-si	scu	1,5	no	no	o	1,6	1,4	rb	si	dil	554		3,05
schuelkei	Cina (Sichuan)	no	ms-no-ms	si-si-si	9-10	2,3	no	no	o	1,77	1,34	n	no	den	554	544	3,65-3,8
hoshinai	Cina (Sichuan)	no	no-no-tr	si-si-si	9-10	2	no	no	o	1,57	1,35	n	no	den	554	544	4,5-4,95
smetanaicum	Cina (Shaanxi, Hubei)	no	no-no-tr	si-si-si	test	1,7	no	no	o	1,4	1,2	n	no	den	554	544	5,35-5,65
puetzi	Cina (Shaanxi)	no	no-no-ms	si-si-si	test	1,4	no	no	o	1,4	1,35	n	no	den	554		4,05-4,2
brunneipenne	Cina (Hubei, Sichuan, Shaanxi)	no	no-no-ms	si-si-si	test	1,1	no	no	o	1,39	1,32	rb	no	rett	444	444	2,7-3,0
zdeneki	Cina (Shaanxi, Hubei)	no	no-no-tr	si-si-si	test	1,7	no	no	o	1,33	1,33	n	no	den	554	544	3,35-3,5
huaense	Cina (Shaanxi)	no	no-no-ms	si-si-si	test	1,5	no	no	o	1,27	1,33	rb	no	den	554	544	2,9-3,1
gutianense	Cina (Guangdong)	no	ms-no-ms	si-si-si	test	1,2	no	no	o	1,27	1,3	rb	no	dil	554	544	2,9
luojiense	Cina (Sichuan)	no	no-no-ms	si-si-si	test	1,3	no	no	o	1,42	1,57	rb	no	dil	554	544	3,25-3,6
pseudouniforme	Cina (Sichuan)	no	no-ms-ms	si-si-si	test	1,7	no	no	o	1,37	1,45	rb	no	den	554	544	2,5-3,2
wannianicum	Cina (Sichuan, Yunnan)	no	no-no-tr	si-si-no	test	1,1	no	no	o	1,35	1,53	rb	no	dil	554	444	2,4-2,65
sinuatum	Cina (Sichuan)	no	ms-ms-ms	si-si-si	test	2,8	no	no	o	1,47	1,05	n	no	den	554		4,3
hubeicum	Cina (Hubei)	no	no-no-tr	si-si-si	test	2	no	no	o	1,33	1,23	n	no	den	554		5,7
inerme	Cina (Hubei, Shaanxi)	no	no-no-ms	si-si-si	test	2,3	no	no	o	1,48	1,37	n	no	den	554	544	5,6-6,0
shennongjiaense	Cina (Hubei)	no	no-no-no	si-si-si	test	2	no	no	o	1,36	1,23	n	no	2den	554	544	4,55-4,8
grandicolle	Cina (Sichuan)	no	no-no-no	si-si-si	test	2	no	no	o	1,62	1,33	n	si	den	554		4,45
bowringi	Cina (Hong Kong)	no	no-no-no	si-si-si	test	2,2	no	no	o	1,47	1,42	rb	si	dil	554		2,95
acutum	Cina (Yunnan)	no	no-no-ms	si-si-no	test	2,2	no	no	o	1,55	1,35	rb	no	den	554		2,85
acuticorne	Cina (Sichuan)	no	no-no-tr	si-si-no	test	2	no	no	o	1,4	1,25	n	no	den	554		2,5-2,8
yunnanicum	Cina (Yunnan, ? Sichuan)	no	no-no-no	si-si-si	test	2,1	no	no	o	1,3	1,3	n	no	den	554		4,1
indubium	Cina (Sichuan)	no	no-no-ms	si-si-no	test	2	no	no	o	1,4	1,28	n-rb	no	den	554	544	3,7-4
melancholicum	Cina (Hubei)	no	no-no-no	si-si-si	test	1,9	sup	no	o	1,4	1,34	rb	no	den	554		3,8
hani	Cina (Sichuan)	no	no-no-tr	si-si-si	test	2	no	no	o	1,62	1,34	rb	no	2den	554	544	3,8-4,4
lugubre	Cina (Guangxi, Jiangxi, ? Sichuan)	no	no-no-ms	si-si-si	test	2,1	no	no	o	1,3	1,38	n-rb	no	den	554	544	3,95
ovatum	Nepal	no	no-no-no	no-no-n o	9-11	2	no	no	o	1,5	1,48	n-rb	si	den	554	544	2,8-3,05
harmandi	India (Darjeeling, Sikkim)	no	no-no-no	si-si-si	n	1,18	no	no	o	1,5	1,45	n-rb	si	dil	554	544	1,95-2,3
gurka	Nepal	no	no-no-no	si-si-si	scu	1,77	no	no	o	1,29	1,46	rb	no	den	554	544	3,2
transversum	Nepal, India (Darjeeling)	no	no-no-ms	si-si-do	test	1,4	no	no	o	1,6	1,9	rb	no	sin	554	444	2,0-2,3
phulcokiense	Nepal	no	no-no-no	si-si-do	test	1,3	no	no	o	1,3	1,54	rb	no	dil	554	444	2,1-2,4
cinereum	Bhutan	no	no-no-no	si-si-no	test	1,47	no	no	o	1,38	1,47	n-rb	no	sin	554		2,15
martensianum	Nepal	no	ms-ms-ms	si-si-no	test	1,8	no	no	o	1,42	1,57	rb	no	sin	554	444	2,8
tenebricosum	Nepal	no	no-no-no	si-si-si	test	1,4	no	no	o	1,4	1,68	n-rb	no	dil	554	444	2,0-2,5
fulvum	Nepal	no	no-no-no	si-si-si	test	1,6	no	no	o	1,34	1,68	rb	no	den	554		2,4
daamsae	Nepal	no	no-no-no	si-si-si	test	1,6	no	no	o	1,4	1,5	n	no	dil	554	444	2,7-2,9

Tabella 3 (*segue*) - *Agathidium* dell'Asia sudorientale e della Cina. Distribuzione e caratteri considerati nelle chiavi dicotomiche.

Specie	Distribuzione	Strie sutur.	Micr. capo-pron.-elitre	Punt. capo-pron.-elitre	Colore ant.	Rapp. 3/2an	L.-car. clipea.	Foss.	Lar. capo	Rapp. pr/ cap	Pron. la/lu	Col. dorso	Ali	Meta-fem.	Tarsi ♂	Tarsi ♀	Lungh.
pothanaense	Nepal	no	no-no-no	do-do-si	test	1,8	no	no	o	1,3	1,5	rb	no	rett	554	444	3,1-3,3
paria	Nepal	no	no-no-no	do-si-si	test	2,3	no	no	o	1,44	1,15	n-rb	no	den	554	544	3,2-3,7
eremita	India (Darjeeling)	no	no-no-no	si-si-do	test	2	no	no	o	1,3	1,64	rb	no	den	554		2,8
montanum	India (Kashmir, Darjeeling)	no	no-no-no	si-si-no	test	2	no	no	o	1,31	1,51	rb	no	sin	554	444	2,9-3,0
connexum	Nepal	no	no-no-ms	si-si-si	test	2,2	no	no	o	1,5	1,6	rb	no	den	554	544	3,45-3,55
bidentatum	Nepal	no	no-no-ms	si-si-si	test	2	no	no	o	1,3	1,58	n-rb	no	dil	554	544	2,6-2,95
sparsum	Nepal	no	no-no-ms	si-si-si	test	2	no	no	o	1,45	1,81	rb	no	dil	554	544	2,6-3,1
tridentatum	Nepal	no	no-no-no	si-si-si	test	2	no	no	o	1,4	1,77	rb	no	dil	554		3,05
pseudoparia	Nepal, India (Darjeeling)	no	no-no-no	si-si-si	test	2	no	no	o	1,4	1,66	n	no	den	554	544	2,55-2,65
grossum	Taiwan	no	no-no-ms	si-si-si	test	2	no	no	o	1,61	1,14	rb	no	sin	554		4,1
lucidum	Taiwan	no	ms-ms-no	si-si-no	test	0,9	no	no	o	1,47	1,3	n	no	sin	554	544	2,6-2,9
honestum	Taiwan	no	no-no-ms	si-si-si	test	1	no	no	o	1,27	1,27	rb	no	den	554	544	2,6-2,9
asphaltinum	Taiwan	no	no-no-ms	si-si-no	test	1	no	no	o	1,24	1,39	n-rb	no	den	554	544	3,0-3,3
tenebroides	Taiwan	no	no-no-ms	si-si-no	test	1	no	no	o	1,35	1,35	rb	no	dil	554	544	2,4-2,8
griseum	Taiwan	no	no-no-ms	no-no-no	test	1,5	no	no	o	1,33	1,14	n	no	den	554		3,55
fuscum	Taiwan	no	no-no-no	si-si-no	test	1,3	no	no	o	1,3	1,06	n	no	den	554		4,1
umbratum	Taiwan	no	no-no-no	si-si-no	test	1,5	no	no	o	1,48	1,24	n	no	den	554		4,15
lunatum	Taiwan	no	no-no-no	si-si-no	test	1,6	no	no	o	1,27	1,16	n-rb	no	sin	554		4,0
pictum	Taiwan	no	no-no-no	si-si-no	test	1,6	no	no	o	1,3	1,2	n	no	den	554		4,0
fenestratum	Taiwan	no	no-no-no	si-si-no	test	1,5	no	no	o	1,3	1,25	n	no	den	554	544	4-4,1
fuliginosum	Taiwan	no	no-no-ms	si-si-no	test	1,7	no	no	o	1,34	1,3	n	no	den	554		3,4-3,7
chiaicum	Taiwan	no	no-no-ms	si-si-no	test	1,2	no	no	o	1,29	1,34	n	no	den	554	544	3,1-3,5
kaohsiungense	Taiwan	no	no-no-ms	si-si-no	test	1,2	no	no	o	1,29	1,4	n	no	dil	554	544	3,0-3,1
tessellatum	Taiwan	no	ms-ms-ms	si-si-no	test	1,3	no	no	o	1,25	1,36	rb	no	dil	554	544	2,9-3,2
subsinuatum	Taiwan	no	no-no-ms	si-si-no	test	1,5	no	no	o	1,42	1,36	rb	no	dil	554		3,1
discretum	Taiwan	no	no-no-ms	si-si-no	test	1,8	no	no	o	1,3	1,41	rb	no	den	554		2,7
chalconotum	Taiwan	no	no-no-ms	si-si-si	test	1,5	no	no	o	1,5	1,37	rb	no	den	554		2,85
splendidulum	Taiwan	no	no-no-no	si-si-no	test	1,5	no	no	o	1,26	1,15	n-rb	no	den	554	544	3,5-3,9
intricatum	Taiwan	no	no-no-ms	si-si-si	test	1,2	no	no	o	1,29	1,21	n	no	den	554		3,55
melanocephalum	Taiwan	no	no-no-no	si-si-si	test	1,3	no	no	o	1,24	1,28	n	no	den	554	544	3,3-3,8
anmashanense	Taiwan	no	no-no-ms	si-si-si	test	1,2	no	no	o	1,28	1,31	n	no	den	554	544	3,1-3,4
meifengense	Taiwan	no	no-no-ms	si-si-si	test	1,5	no	no	o	1,37	1,17	n	no	den	554	544	3,9-4,2
ducentesimum	Thailandia	no	no-no-no	si-si-no	test	1,8	no	no	o	1,3	1,65	n	no	den	554	544	2,3-2,7
ilvense	Thailandia	no	no-no-no	si-si-si	test	1	no	no	o	1,37	1,46	rb	no	dil	554	544	1,8-1,9
montanellum	Sri Lanka	no	no-no-no	si-si-si	7-11	1,15	no	no	o	1,7	1,3	n	si	♀dil		544	2,7
pseudomontanellum	India (Tamil Nadu)	no	no-no-no	si-si-si	7-11	1	no	no	o	1,6	1,46	n	si	dil	554	544	2,25-2,45
prosperum	Vietnam	no	no-no-no	si-si-si	9-10	2,2	no	no	o	1,5	1,35	n	si	♀dil		544	3,4
collinsi	Malaysia (Sarawak)	no	no-ms-no	si-si-no	9-10	1	no	no	o	1,61	1,43	rb	si	dil	554	544	2,5-2,6

Tabella 3 (*segue*) - *Agathidium* dell'Asia sudorientale e della Cina. Distribuzione e caratteri considerati nelle chiavi dicotomiche.

Specie	Distribuzione	Strie sutur.	Micr. capo-pron.-elitre	Punt. capo-pron.-elitre	Colore ant.	Rapp. 3/2an	L.-car. clipea.	Foss.	Lar. capo	Rapp. pr/ cap	Pron. la/lu	Col. dorso	Ali	Meta-fem.	Tarsi ♂	Tarsi ♀	Lungh.
subg. *Euryceble*																	
antennatum	Malaysia (Sarawak)	no	ms-ms-ms	do-si-si	test	1,25	cont	si	o	1,57	1,33	rb	si	♀ dil		544	2,75
capito	Malaysia (Sarawak)	no	sup-sup-no	si-si-si	scu	1	cont	si	o	1,55	1,36	rb	si	♀ den		544	3,0
illustre	Malay.(Sabah, Saraw.),Indon.,(Sum.)	no	str-sup-sup	si-si-si	9-10	1,55	cont	si	o	1,47	1,32	n-rb	si	den	554	544	3,5-3,7
acridulum	Filippine (Leyte)	no	str-sup-ms	si-si-si	7-10	1*	sol	si	o	1,6	1,4	rb	ve	dil	554	544	3,0-3,2
leytense	Filippine (Leyte)	no	str-sup-ms	si-si-si	4-9	1,4*	sol	si	o	1,48	1,4	n-rb	si	dil	554	544	3,1-3,35
montuosum	Indonesia (Sumatra)	no	cst-no-no	si-si-si	test	1,95	sol	si	o	1,53	1,46	n-rb	si	rett	554	544	2,6-2,8
subg. *Microceble*																	
gruppo *maculatum*																	
loeblianum	Malaysia (Sabah, Sarawak)	no	ms-ms-ms	si-si-si	test	0,8	cont	si	o	1,9	1,39	rb	si	dil	554	544	2,3-2,6
pileti	Malaysia (Malaya)	no	no-no-no	si-si-si	test	0,8	cont	si	o	1,95	1,31	rb	si	sin	554		2,55
kuchingense	Malaysia (Sarawak)	no	no-no-no	si-si-si	test	1,3	cont	si	o	1,84	1,35	rb	si	dil	554		2,9
maculatum	Malaysia (Sarawak)	no	no-no-no	si-si-si	test	1,4	cont	si	o	1,84	1,41	n-rb	si	dil	554		2,6
crockerense	Malay.(Sab.,Sar.),Indon.,Filip.(Leyte)	no	no-no-tr	do-si-si	9-10	0,6	cont	si	o	1,9	1,33	n-rb	si	dil	554	544	2,1-2,5
malignum	Malaysia (Sabah)	no	no-no-no	si-si-si	9-10	0,75	cont	si	o	1,73	1,28	rb	no	den	554	544	2,3-2,5
optatum	Malaysia (Sabah)	no	no-no-no	si-si-si	7-11	1,45	cont	si	o	1,8	1,41	n	si	dil	554	544	2,6-2,7
quadrimaculatum	Malaysia (Sabah, Sarawak)	no	no-no-no	si-si-si	8-10	1	cont	si	o	1,85	1,51	n-rb	si	dil	554	544	2,5-2,9
abiectum	Indonesia (Sumatra)	no	no-no-ms	si-si-si	9-11	1	cont	si	o	1,7	1,4	rb	si	dil	554	544	2,2-2,5
nebulosum	Malaysia (Sabah, Sarawak)	no	no-no-no	si-si-si	9-10	1,1	cont	si	o	1,85	1,37	rb	si	dil	554	544	2,3-2,9
recurvum	Malaysia (Sabah)	no	cst-no-no	si-si-no	test	1,4	cont	si	o	1,76	1,27	rb	si	dil	554		2,65
sabahense	Malaysia (Sabah, Sarawak)	no	sup-no-no	si-si-si	9-10	0,75	cont	si	o	1,87	1,41	n-rb	si	dil	554	544	2,1-2,5
aequale	Malaysia (Sabah, ? Sarawak)	no	sup-ms-ms	si-si-si	9-10	1	cont	si	o	2	1,41	n-rb	si	den	554		2,45-2,65
elongatum	Malaysia (Sabah)	no	ms-sup-no	si-si-si	9-10	1,15	cont	si	o	1,8	1,32	rb	si	dil	554	544	2,85
indefinitum	Malaysia (Sabah, Sarawak)	no	sup-ms-no	si-si-si	7-11	1,2	cont	si	o	1,85	1,58	n	si	dil	554		2,4-2,45
magnificum	Malaysia (Sarawak)	no	sup-sup-no	si-si-si	7-10	1,5	cont	si	o	1,76	1,51	n	si	dil	554		2,95
aeternum	Malaysia (Sabah)	no	sup-sup-ms	si-si-si	8-10	1,45	cont	si	o	1,94	1,36	rb	si	dil	554		3,0
xerampelinum	Malaysia (Sabah)	no	sup-sup-ms	si-si-si	test	1,3	int	si	o	1,88	1,36	rb	si	dil	554	544	2,1-2,5
arcuatum	Malaysia (Sabah, Sarawak)	no	sup-ms-no	si-si-si	test	0,9	int	si	o	1,92	1,41	rb	si	den	554	544	2,5-3,15
semiarcuatum	Filippine (Luzon, Palawan)	no	sup-sup-ms	si-si-si	test	1	int	si	o	1,75	1,21	rb	si	den	554		2,9
obesum	Malaysia (Sabah)	no	sup-tr-no	si-si-si	test	1,1	int	si	o	1,83	1,33	rb	si	den	554		3,5
interruptum	Malaysia (Sabah)	no	sup-sup-no	si-si-si	9-10	1	int	si	o	1,84	1,33	n-rb	si	dil	554	544	2,2-2,6
wallacei	Indonesia (Sulawesi)	no	no-no-no	si-si-no	9-10	1,18	int	si	o	1,75	1,4	n	si	♀ dil		544	3,05
gruppo *grouvellei*																	
saundersi	Singapore, Vietnam	no	cst-no-no	si-si-si	test	1,05	sol	si	o	2	1,42	rb	si	dil	554	544	2,6-2,85
silvarum	Thailandia	no	cst-no-no	si-si-si	test	1,6	sol	si	o	1,8	1,43	n	si	dil	554	544	2,5-2,8
rama	Nepal	no	cst-no-no	si-si-si	test	1,7	sol	si	o	1,8	1,35	rb	no	sin	554	544	2,8-2,9
melanarium	Cina (Yunnan)	no	cst-sup-im	si-si-si	9-10	1,4	sol	si	o	1,63	1,28	n	si	dil	554		4,1
pahangense	Malaysia (Malaya)	no	cst-sup-ms	si-si-si	9-10	1,1	sol	si	o	1,88	1,46	n	si	dil	554	544	2,6-3,0

*: clava antennale di 4 antennomeri nel ♂.

Tabella 3 (*segue*) - *Agathidium* dell'Asia sudorientale e della Cina. Distribuzione e caratteri considerati nelle chiavi dicotomiche.

Specie	Distribuzione	Strie sutur.	Micr. capo-pron.-elitre	Punt. capo-pron.-elitre	Colore ant.	Rapp. 3/2an	L.-car. clipea.	Foss.	Lar. capo	Rapp. pr/ cap	Pron. la/lu	Col. dorso	Ali	Meta-fem.	Tarsi ♂	Tarsi ♀	Lungh.
javanicum	Indonesia (Giava)	no	cst-no-no	si-si-si	4-10	1,6	sol	si	o	1,75	1,47	n	no	dil	554	544	2,4-2,6
gentingense	Malaysia (Malaya)	no	cst-no-ms	si-si-si	6-10	1,5	sol	ms	o	1,9	1,52	n	si	dil	554		2,7-2,8
klapperichi	Taiwan	no	cst-no-no	si-si-si	7-11	1,5	sol	no	o	1,76	1,4	rb	si	den	554	544	2,7-3,2
monticola	Indonesia (Giava)	no	cst-no-ms	si-si-no	7-10	1,56	sol	si	o	1,65	1,46	n-rb	no	dil	554	544	2,7-2,8
schillhammeri	Indonesia (Sumatra)	no	cst-ms-ms	si-si-si	7-10	1,3	sol	si	o	1,82	1,42	n-rb	si	sin	554	544	2,6-2,85
corticinum	Cina (Yunnan)	no	cst-ms-no	si-si-no	7-10	1,2	sol	si	o	1,73	1,38	rb	si	dil	554	544	2,65-2,8
simum	Malaysia (Malaya)	no	cst-ms-ms	si-si-si	9-10	1,5	sol	si	o	1,97	1,56	n	si	dil	554	544	2,6-3,0
vulneratum	Indonesia (Sumatra)	no	cst-ms-ms	si-si-si	9-10	1,2	sol	si	o	1,7	1,33	rb	si	dil	554	544	2,5-2,6
infuscatum	Thailandia, Myanmar, ? Vietnam	no	cst-no-no	si-si-si	9-10	1,3	sol	si	o	1,8	1,42	n-rb	si	dil	554	544	2,4-2,6
gracile	Nepal	no	mst-no-no	si-si-si	test	1,7	sol	ms	o	1,74	1,34	rb	no	rett	554		2,65-2,85
immodicum	Nepal	no	mst-no-ms	si-si-si	test	1,6	sol	si	o	1,8	1,4	rb	ve	dil	554		3,0
taru	Nepal	no	mst-no-no	si-si-si	scu	1,4*	sol	si	o	1,9	1,4	n-rb	si	dil	554	544	3,3-3,75
modiglianii	Thail,Malaysia (Sabah),Indon.(Sum.)	no	mst-no-no	si-si-si	6-10	1,4*	sol	si	o	1,84	1,45	rb	si	dil	554	544	3,1-3,35
maculicolle	Nepal, India (Kumaon)	no	mst-no-no	si-si-si	7-10	1,7	sol	si	o	2	1,44	rb	si	dil	554	544	4,05-4,3
fumosum	Indonesia (Sumatra)	no	mst-no-no	si-si-si	7-10	1,5	sol	si	o	1,74	1,4	n-rb	si	sin	554	544	2,4-2,7
deharvengi	Filippine (Luzon, Mindanao)	no	str-no-sup	si-si-si	8-10	1,2*	sol	si	o	1,7	1,35	n-rb	si	den	554		3,05-3,35
enigmaticum	Indon.(Sulawesi), ? Malaysia (Sabah)	no	str-no-no	si-si-si	test	1,9*	sol	si	o	1,7	1,5	n-rb	si	dil	554		3,15
laticorne	Asia sudorientale, Cina (Yunnan)	no	str-ms-ms	si-si-si	scu	1,7	sol	si	o	1,8	1,44	n-rb	si	dil	554	544	2,95-3,45
yaanense	Cina (Sichuan)	no	str-tr-no	no-si-si	n	1,6	sol	si	o	1,65	1,36	rb	si	dil	554	544	2,7-2,9
amplum	Malaysia (Sabah)	no	str-no-no	si-si-si	6-10	1,4	sol	si	o	1,84	1,42	n-rb	no	dil	554	544	2,5-3,0
semirufum	India NE, Nepal, Bhutan	no	str-no-no	si-si-si	6-10	1,4	sol	si	o	1,73	1,35	n-rb	si	dil	554	544	2,55-3,45
kinabaluense	Malaysia (Sabah, Sarawak)	no	str-no-no	si-si-si	6-8	1,15	sol	si	o	1,77	1,47	n-rb	si	dil	554	544	2,4-2,9
grouvellei	Myan.,Ind.(Sum.), Thail.,Cina(Yun.)	no	str-no-no	si-si-si	8-10	1,3	sol	si	o	2,1	1,39	n-rb	si	sin	554	544	3,05-3,45
poggii	Indonesia (Sumatra, Siberut)	no	str-ms-no	si-si-si	8-10	1,4	sol	si	o	1,76	1,42	rb	si	dil	554	544	3,0-3,1
mirificum	Indonesia (Sumatra, Nias)	no	str-no-no	si-si-si	9-10	1,9	sol	si	o	1,8	1,36	n-rb	si	dil	554	544	2,8-3,5
godawaricum	Nepal	no	str-no-no	si-si-no	9-10	1,5	sol	si	o	1,7	1,31	n-rb	si	rett	554	544	2,85-3,3
yamputhinense	Nepal	no	str-no-ms	si-si-si	9-10	1,45	sol	si	o	1,78	1,38	rb	si	dil	554	544	3,0-3,1
kaderi	Malaysia (Sabah)	no	str-ms-no	si-si-no	9-10	1,7	sol	si	o	1,82	1,35	rb	si	dil	554		3,8
insolitum	Indonesia (Giava)	no	str-no-no	si-si-si	9-10	1,35	sol	si	o	1,75	1,53	n	si	dil	554	544	2,8-3,2
opulentum	Indonesia (Sumatra)	no	str-no-no	si-si-si	9-10	1,35	sol	si	o	1,75	1,42	n-rb	si	dil	554	544	3,0-3,3
jambicum	Indonesia (Sumatra)	no	str-no-no	si-si-si	9-10	1,5	sol	si	o	1,7	1,33	n-rb	si	♀dil	554	544	2,7-3,1
luridum	Indonesia (Sumatra)	no	str-im-im	si-si-si	scu	2	sol	si	o	1,9	1,41	n	si	dil		544	3,4
cooteri	Filippine (Luzon)	no	str-sup-ms	no-si-no	test	1,5*	sol	si	o	1,7	1,48	rb	si	den	554	544	2,9-3,0
amictum	Taiwan	no	str-sup-sup	si-si-no	7-10	1,2	sol	si	o	1,84	1,42	rb	si	dil	554	544	2,9-3,2
darbyi darbyi	Malaysia, Indonesia, Filippine	no	str-sup-no	si-si-si	7-10	1,8	sol	si	o	1,9	1,38	rb	si	sin	554	544	2,5-3,15
bolmi	Indonesia, ? Malaysia (Malaya)	no	str-sup-ms	si-si-no	9-10	1,8	sol	si	o	1,9	1,52	n-rb	si	dil	554	544	3,0-3,3
limatum	Malaysia (Sabah)	no	str-sup-ms	no-no-no	7-10	1,5	sol	si	o	1,93	1,42	rb	si	♀dil		544	2,7-3,1
argutum	Malaysia (Sabah,Sarawak), ?Thailan.	no	str-sup-no	si-si-si	7-10	1,2	sol	si	o	2	1,45	rb	si	dil	554	544	2,6-2,8

*: clava antennale di 4 antennomeri nel ♂ (di 5 antennomeri in *A. taru* Ang. & Dmz.).

Tabella 3 (*segue*) - *Agathidium* dell'Asia sudorientale e della Cina. Distribuzione e caratteri considerati nelle chiavi dicotomiche.

Specie	Distribuzione	Strie sutur.	Micr. capo-pron.-elitre	Punt. capo-pron.-elitre	Colore ant.	Rapp. 3/2an	L.-car. clipea.	Foss.	Lar. capo	Rapp. pr/ cap	Pron. la/lu	Col. dorso	Ali	Meta-fem.	Tarsi ♂	Tarsi ♀	Lungh.
puncticolle	Malay.(Sabah),Filipp.(Luz.),Taiwan	no	str-sup-ms	si-si-si	7-10	1,3	sol	si	o	1,76	1,18	rb	si	dil	554	544	2,6-3,1
darbyi sulawesicum	Indonesia (Sulawesi)	no	str-sup-ms	si-si-si	8-10	1,3	sol	si	o	1,77	1,42	rb	si	sin	554	544	2,7-3,1
sarawakense	Malaysia (Sarawak), Filippine(Luzon)	no	ms-sup-no	si-si-si	test	1,35	sol	si	o	1,93	1,51	rb	si	den	554	544	2,3-2,8
abruptum	Malaysia (Sabah)	no	sup-sup-ms	si-si-si	test	1,35	sol	si	o	1,9	1,38	rb	si	den	554	544	2,0-2,4
carinense	Myanmar, Indonesia (Sumatra)	no	ms-sup-ms	si-si-si	9-10	1,4	sol	si	o	1,88	1,33	rb	si	♀ dil		544	3,3-3,55
ebeninum	Malaysia (Malaya)	no	sup-sup-ms	si-si-si	9-10	1,15	sol	si	o	1,85	1,28	n	si	dil	554	544	2,9-3,3
exaratum	Malaysia (Malaya)	no	sup-sup-sup	si-si-si	9-10	1,2	sol	no	o	1,83	1,27	n	si	dil	554	544	3,2-3,5
gruppo *andrewesi*																	
palnicum	India (Kerala, Tamil Nadu)	no	no-no-no	si-si-si	test	1	sol	si	o	1,7	1,4	n-rb	no	dil	554	544	2,7-3,25
solutum	Cina (Guangxi)	no	no-no-no	si-si-si	test	1,3	sol	si	o	1,65	1,28	rb	no	dil	554	544	2,6-2,8
andrewesi	India (Kerala, Tamil Nadu)	no	no-no-no	si-si-si	test	1,2	sol	ms	o	1,8	1,52	n-rb	si	dil	554	544	2,5-3,3
assamense	India (Assam)	no	no-no-no	si-si-no	test	1,2	sol	ms	o	2	1,16	rb	si	dil	554	544	2,9-3,1
pseudopalnicum	India (Kerala)	no	no-no-no	si-si-si	test	1,3	sol	si	o	2	1,33	n-rb	no	rett	554	544	3,2-3,5
insulare	Indonesia (Giava)	no	no-no-no	no-no-no	scu							n					1,9
elegans	Nepal	no	no-no-no	si-si-si	n	1,6	sol	si	o	1,85	1,44	n-rb	si	den	554	544	3,75-4,1
minusculum	Indonesia (Sumatra)	no	no-no-no	si-si-si	scu	1,25	sol	si	o	1,95	1,44	n	si	dil	554		2,65
pocsi	Vietnam	no	no-no-no	si-si-si	scu	1,2	sol	ms	o	1,75	1,62	n	si	♀ dil		544	2,4
serratum	Taiwan	no	no-no-no	si-si-si	scu	1,45	sol	si	o	1,73	1,45	rb	si	dil	554	544	3,3-3,6
duofoveatum	Nepal, India (Darjeeling)	no	ms-ms-no	si-si-si	scu	1,2	sol	si	o	1,71	1,54	rb	si	rett	554	544	2,2-2,3
sevokense	India (Darjeeling)	no	no-no-no	si-si-si	scu	1,4	sol	si	o	1,7	1,55	rb	si	dil	554	544	2,7-3,25
ravana	India (Darjeeling)	no	no-no-no	si-si-si	scu	1,5	sol	no	o	1,6	1,5	rb	si	sin	554	544	2,3-2,4
farkaci	Cina (Yunnan)	no	no-no-ms	si-si-si	8-10	2*	sol	si	o	1,95	1,3	n-rb	si	den	554	544	3,7-3,8
limbatum	Vietnam	no	no-no-no	si-si-si	9-10	2	sol	si	o	2,1	1,68	rb	no	dil	554		2,95
globulosum	Sri Lanka	no	ms-ms-ms	si-si-si	7-10	1	sol	si	o	1,78	1,22	rb	no	♀ dil	554	544	2,3
filiforme	Filippine (Luzon)	no	no-no-no	si-si-si	9-10	0,9	sol	si	o	2,1	1,46	rb	si	dil	554		2,2
hammondi	Malaysia,Singap.,Indonesia,Filippine	no	no-no-no	si-si-no	9-10	1	sol	si	o	1,9	1,38	rb	si	den	554	544	2,3-2,5
wangi	Cina (Zhejiang)	no	no-no-ms	si-si-si	7-10	1,6	sol	si	o	1,65	1,47	rb	si	rett	554		2,9
rufoatrum	Malaysia (Sabah)	no	no-no-no	si-si-no	6-11	1,3	sol	si	o	2	1,51	n-rb	si	rett	554		2,75
bicoloratum	Malaysia (Malaya)	no	no-no-no	si-si-si	7-11	1,6	sol	ms	o	1,95	1,47	n-rb	si	den	554		3,7
mussardi	India (Kerala, Tamil Nadu)	no	no-no-no	si-si-si	7-11	1,3	sol	ms	o	1,9	1,52	rb	si	rett	554	544	2,6-3,2
karnatakaense	India (Karnataka)	no	tr-no-no	si-si-si	7-11	1,4	sol	si	o	1,88	1,6	rb	si	dil	554	544	2,85-3,1
biimpressum	India (Kumaon, Tamil Nadu)	no	no-no-no	si-si-si	7-10	1,3	sol	ms	o	2	1,33	rb	si	dil	554	544	2,8-3,1
coomani	Vietnam	no	no-no-no	si-si-no	7-10	1,35	sol	no	o	1,72	1,38	rb	si	den	554	544	2,7-2,8
nitidum	Indonesia (Giava)	no	no-no-no	si-si-si	7-10	1,6	sol	si	o	1,81	1,41	n	si	dil	554	544	2,5-2,8
nomurai	Giappone (Ryukyus)	no	ms-ms-ms	si-si-si	9-10	1,2	sol	si	o	1,8	1,46	n-rb	si	dil	554		2,65
imitans	Cina (Yunnan)	no	ms-no-ms	si-si-si	9-10	1,3	sol	no	o	1,71	1,66	rb	no	dil	554		2,4
venustum	Taiwan,Cina (Guang.,Sha.,Hong K.)	no	ms-no-ms	si-si-no	9-10	1,3	sol	si	o	1,87	1,42	rb	si	dil	554	544	3,0
fenchihuense	Taiwan	no	ms-no-ms	si-si-no	9-10	1,3	sol	si	o	1,74	1,39	n-rb	si	dil	554		3,4

*: clava antennale di 4 antennomeri nel ♂.

Tabella 3 (*segue*) - *Agathidium* dell'Asia sudorientale e della Cina. Distribuzione e caratteri considerati nelle chiavi dicotomiche.

Specie	Distribuzione	Strie sutur.	Micr. capo-pron.-elitre	Punt. capo-pron.-elitre	Colore ant.	Rapp. 3/2an	L.-car. clipea.	Foss.	Lar. capo	Rapp. pr/ cap	Pron. la/lu	Col. dorso	Ali	Meta-fem.	Tarsi ♂	Tarsi ♀	Lungh.
inornatum	Thailandia, Vietnam	no	no-no-no	si-si-si	9-10	1,3	sol	si	o	1,8	1,5	rb	si	den	554	544	3,25
topali	Vietnam	no	no-no-no	si-si-si	9-10	1,3	sol	no	o	1,85	1,53	rb	si	dil	554	544	2,7
capitulatum	Thailandia	no	no-ms-ms	si-si-si	9-10	1,3	sol	si	o	1,8	1,35	n-rb	si	dil	554		2,3
schuhi	Malaysia (Malaya)	no	no-no-ms	si-si-si	9-10	1,3	sol	ms	o	1,76	1,38	rb	si	dil	554	544	2,8-3,0
celebense	Indonesia (Sulawesi)	no	no-no-no	si-si-si	9-10	1,2	sol	si	o	1,95	1,45	rb	si	dil	554	544	2,35-2,8
sumatrense	Indonesia (Sumatra)	no	no-no-no	si-si-si	9-10	1,3	sol	si	o	1,8	1,39	rb	si	dil	554	544	2,45-2,7
mentawaicum	Indonesia (Mentawai)	no	no-no-no	si-si-si	9-10	1,15	sol	si	o	1,8	1,35	rb	si	dil	554	544	2,3-2,5
angelinii	Malay.(Sabah),Filipp.(Luzon,Negros)	no	no-no-no	si-si-si	9-10	1,2	sol	si	o	1,8	1,48	rb	si	dil	554	544	2,0-2,5
feai	Myanmar	no	no-no-ms	si-si-si	9-10	1,85	sol	si	o	1,75	1,43	rb	no	♀ dil		544	3,55
taiwanense	Taiwan	no	no-no-ms	si-si-si	9-10	1,5	sol	si	o	1,84	1,36	rb	si	dil	554		2,5
manasicum	India,Thailan.,Myanm.,Vietnam,Cina	no	no-no-no	si-si-si	9-10	1,5	sol	si	o	1,9	1,23	rb	si	sin	554	544	2,7-3,0
tonkinense	Nepal,India(Assam),Myanm.,Vietnam	no	no-no-no	si-si-si	9-10	1,65	sol	si	o	1,9	1,4	rb	si	dil	554	544	2,7-3,1
wuyishanicum	Cina (Fujian)	no	no-no-no	si-si-no	9-10	1,5*	sol	si	o	1,8	1,3	rb	si	dil	554	544	3,1-3,4
xilingense	Cina (Sichuan)	no	no-ms-ms	si-si-si	9-10	1,6	sol	ms	o	1,75	1,55	rb	si	dil	554		2,2-2,3
brahma	Nepal	no	no-no-ms	si-si-no	9-10	1,5	sol	si	o	1,6	1,28	rb	si	dil	554	544	2,75
tersum	Indonesia (Sumatra)	no	no-no-ms	si-si-si	9-10	1,5	sol	si	o	1,7	1,43	rb	si	dil	554	544	2,0-2,3
subg. *Macroceble*																	
pseudoscutellare	Malaysia (Malaya)	no	no-no-no	si-si-si	test	0,7	no	no	ter**	1,18	1,25	rb	no	dil	444		1,75
ivani	Malaysia (Malaya)	no	tr-tr-tr	no-no-no	test	0,8	no	no	ter**	1,27	1,18	rb	no	sin	444	444	1,7-1,85
scutellare	Thailandia	no	no-no-no	si-si-si	test	1,2	no	no	o**	1,3	1,24	n-rb	no	dil	444	444	2,1-2,5
cameronicum	Malaysia (Malaya)	no	no-no-no	no-no-no	test	1,35	no	no	ter**	1,25	1,16	n	no	dil	444	444	2,9-3,3
anophthalmicum	India (Darjeeling)	no	no-no-no	si-si-si	test	1,2	no	no	***	1,2	1,4	rb	no	dil	444	444	1,35-1,55
pilosellum	Malaysia (Malaya)	no	no-no-no	si-si-no	test	1	no	no	½	1,2	1,41	rb****	no	den	444	444	1,9-1,95
ambiguum	Cina (Yunnan)	¼ ms	no-no-no	si-si-no	test	1,5	no	no	o	1,5	1,6	rb	no	rett	554		3,1
malaysicum	Malaysia (Malaya)	no	no-no-no	si-si-si	test	1	no	no	t	1,2	1,45	n-rb	no	den	444	444	2,1-2,4
distinctum	Malaysia (Malaya)	no	no-no-ms	si-si-si	test	2,3	no	no	t	1,26	1,18	n	no	sin	444	444	2,9-3,6
jaccoudi	Malaysia (Malaya)	no	no-no-no	no-no-no	test	1,5	no	no	t	1,3	1,36	n	no	sin	444	444	2,3-2,6
hlavaci	Cina (Jiangxi)	no	tr-tr-tr	si-si-no	test	1,15	no	no	t	1,3	1,5	rb	no	dil	554	544	2,5-2,75
aterrimum	Malaysia (Malaya)	no	no-no-tr	si-no-no	test	1,15	no	no	t	1,2	1,32	n	no	den	444		2,9-3,2
austerum	Malaysia (Malaya)	no	tr-no-tr	si-si-si	test	1,3	no	no	t	1,12	1,38	n-rb	no	den	444		2,5
amoenum	Malaysia (Malaya)	no	ms-ms-ms	si-si-si	test	1,6	no	no	t	1,25	1,25	n-rb	no	sin	444	444	2,7-2,8
selangoricum	Malaysia (Malaya)	no	no-no-ms	si-si-si	test	1,6	no	no	t	1,16	1,21	rb	no	sin	444	444	2,7-2,8
nanum	Cina (Hubei)	no	tr-tr-sup	si-si-no	test	1,4	no	no	½	1,15	1,48	rb	no	dil	554		2,15
dongnanense	Cina (Jiangxi, Fujian)	no	no-tr-tr	si-si-no	test	1	no	no	½	1,19	1,52	rb	no	rett	554	444	1,7-1,75
penultimum	Cina (Hubei)	no	tr-tr-tr	no-no-no	test	1,1	no	no	½	1,15	1,37	rb	no	sin	554	444	2,2-2,3
singmaricum	Nepal, India (Darjeeling, Meghalaya)	no	sup-sup-no	si-si-do	test	2	no	no	o	1,29	1,74	n-rb	no	dil	554	544	2,6-2,8
newtoni	Cina (Shaanxi)	no	cst -no-tr	si-si-no	test	0,6	sol	no	o	1,22	1,16	rb	no	dil	554	544	2,65-2,7
invalidum	Nepal	no	im-im-sup	no-no-si	test	1,7	no	no	o	1,3	1,68	n	no	dil	554	544	3,7-3,9

*: clava antennale di 4 antennomeri nel ♂; **: clipeo appuntito; ***: occhi assenti; ****: dorso con lunghe e rade setole.

Tabella 3 (*segue*) - *Agathidium* dell'Asia sudorientale e della Cina. Distribuzione e caratteri considerati nelle chiavi dicotomiche.

Specie	Distribuzione	Strie sutur.	Micr. capo-pron.-elitre	Punt. capo-pron.-elitre	Colore ant.	Rapp. 3/2an	L.-car. clipea.	Foss.	Lar. capo	Rapp. pr/ cap	Pron. la/lu	Col. dorso	Ali	Meta-fem.	Tarsi ♂	Tarsi ♀	Lungh.
geminatum	Nepal	no	sup-sup-sup	si-si-no	test	1,7	no	no	o	1,22	1,54	rb	no	rett	554	544	2,7-3,1
shermathangense	Nepal, India (Darjeeling)	no	im-im-im	no-no-no	n	1,2	no	no	o	1,25	1,6	n-rb	no	sin	554	444	2,2-2,7
fatuum	Nepal	no	sup-sup-im	no-no-no	test	1,3	no	no	o	1,35	1,78	rb	no	rett	554		2,35
longum	Nepal	no	no-no-im	si-no-no	test	1,5	no	no	o	1,3	1,53	rb	no	dil	554	544	2,3-2,8
breve	Nepal, India (Darjeeling)	no	no-no-sup	si-si-si	test	1,45	no	no	o	1,41	1,55	rb	no	sin	554	544	2,0-2,5
inopinatum	Malaysia (Malaya)	no	no-no-no	no-no-no	test	0,8	no	no	o	1,37	1,57	rb	no	dil	444		2,0-2,5
narusawae	Giappone (Ryukyus)	no	no-no-no	si-si-si	test	1	no	no	o	1,22	1,57	rb	no	sin	554	444	1,85
oblitum	Taiwan	no	no-no-no	si-si-si	test	1	no	no	o	1,28	1,51	n-rb	no	rett	554	444	2,3-2,4
truncatum	Cina (Sichuan, Shaanxi)	no	ms-no-ms	no-si-no	test	1,05	no	no	o	1,5	1,27	rb	no	rett	554	444	2,9
sescentesimum	Cina (Shaanxi)	no	no-no-tr	si-si-si	test	2	no	no	o	1,24	1,4	rb	no	den	554		3,3
macrocephalum	Cina (Shaanxi)	no	no-no-no	si-no-no	test	1	no	no	o	1,31	1,49	rb	no	sin	554		2,35
tarsale	Cina (Sichuan)	no	no-no-no	si-si-no	test	1,1	no	no	o	1,3	1,22	rb	no	sin	444	444	2,4-2,6
emeicum	Cina (Sichuan, ? Jiangxi)	no	no-no-no	si-no-no	test	1	no	no	o	1,39	1,18	rb	no	rett	554		2,9
soror	Cina (Guangxi)	no	no-no-no	si-si-si	test	1	no	no	o	1,27	1,15	rb	no	♀dil		444	2,7
ultimum	Cina (Hubei)	no	no-no-no	si-si-si	test	0,8	no	no	o	1,25	1,07	n-rb	no	dil	554		2,9-3,05
unumvesciculatum	Nepal, India (Darjeeling)	no	no-no-no	si-si-do	test	2,1	no	no	o	1,28	1,62	n-rb	no			544	2,5-2,8
quaterfoveatum	India (Darjeeling)	no	no-no-no	si-si-no	test	1,6	no	no	o	1,25	1,16	n-rb	no	sin	554	544	3,1
schawalleri	Nepal	no	no-no-ms	no-no-no	test	1,3	no	no	o	1,35	1,64	rb	no	sin	554	444	2,2-2,4
sherpa	Nepal	no	no-no-no	no-no-no	test	1,6	no	no	o	1,35	1,58	rb	no	den	554	444	2,5-2,7
brancuccii	Nepal, India (Darjeeling, Sikkim)	no	no-no-no	si-si-no	test	1,4	no	no	o	1,25	1,46	rb	no	rett	554	544	1,9-2,3
caelebs	Nepal	no	no-no-no	si-si-si	test	1,35	no	no	o	1,27	1,54	rb	no	rett	554	544	2,0-2,6
fulcratum	Nepal	no	no-no-no	si-si-si	test	1,3	no	no	o	1,3	1,61	n-rb	no	rett	554	444	2,8-3,0
dissimile	Nepal	no	no-no-no	si-si-si	test	1,7	no	no	o	1,3	1,5	n-rb	no	rett	554	544	2,8-3,25
sudra	Nepal	no	no-no-no	si-si-si	test	1,8	no	no	o	1,3	1,64	n-rb	no	sin	554	544	2,8-3,4
rougemonti	Malaysia (Malaya)	no	no-no-no	no-no-no	test	2,1	no	no	o	1,2	1,24	n	no	2den	444	444	2,1-2,6
malayanum	Malaysia (Malaya)	no	no-no-no	si-si-no	test	1,1	no	no	o	1,2	1,35	rb	no	rett	444	444	2,1-2,5
cuccodoroi	Malaysia (Malaya)	no	tr-tr-tr	no-no-no	test	1,1	no	no	o	1,27	1,27	rb	no	sin	444	444	2,4-2,7
peninsulare	Malaysia (Malaya)	no	no-no-no	si-si-si	test	1,2	no	no	o	1,16	1,28	rb	si	sin	444		2,2
palmi	Malaysia (Malaya)	no	no-no-no	no-no-no	test	1,7	no	no	o	1,32	1,35	rb	no	sin	444		2,4
calamei	Malaysia (Malaya)	no	no-no-ms	si-si-no	test	1,5	no	no	o	1,23	1,3	n-rb	no	rett	444	444	2,6-2,7
abominabile	India (Darjeeling)	no	no-no-no	no-no-no	4-11	1,3	no	no	o	1,35	1,21	n	no	sin	554	444	2,4-2,7
fraternum	Thailandia	no	no-no-no	si-no-no	9-10	1,15	no	no	o	1,3	1,36	rb	no	sin	554	444	1,85-2,2
megacephalum	Cina (Sichuan)	no	no-no-no	si-si-si	scu	0,88	no	no	o	1,4	1,29	rb	no	dil	554	444	2,7-3,0
fungivorum	Thailandia	no	no-no-no	si-si-si	scu	0,85	no	no	o	1,3	1,36	rb	no	sin	554	444	2,1-2,6
incognitum	Thailandia	no	no-no-no	si-si-si	scu	1	no	no	o	1,3	1,38	n	no	sin	554	444	2,45-2,55
crinitum	Nepal	no	no-no-no	si-si-no	scu	1,15	no	no	o	1,35	1,54	rb	no	sin	554		2,7
kurbatovianum	Cina (Sichuan)	no	no-no-no	si-si-si	scu	1,1	no	no	o	1,51	1,18	rb	no	sin	554	444	2,6-2,75
impunctatum	Cina (Sichuan)	no	no-no-no	si-si-si	scu	1	no	no	o	1,35	1,25	rb	no	dil	554	444	2,5-2,85

Le diagnosi sono state eseguite esaminando il materiale allo stereomicroscopio con ingrandimento 100x; ingrandimenti inferiori sono insufficienti per rilevare la microreticolazione, la punteggiatura, l'impressione delle strie suturali e la linea o la cresta arcuata clipeale.

Il capo, le antenne, il profilo dorsale e quello laterale del pronoto, delle elitre e dei metafemori maschili di tutte le serie tipiche sono stati disegnati, su preparati a secco, a 30x, 50x o 100x, attraverso una camera lucida montata su uno stereomicroscopio, onde rilevare: a) la forma del capo, degli occhi, del clipeo, delle mandibole e del metafemore; b) il profilo dorsale e laterale del pronoto e delle elitre, c) per confronto con un'apposita scala, le dimensioni del capo, del pronoto, delle elitre e degli articoli antennali (si veda anche Angelini & De Marzo, 1981: 190, fig. 7).

Nell'esecuzione dei disegni si è posta attenzione affinché i margini anteriore e posteriore del pronoto fossero sullo stesso piano rispetto al campo visivo per evitare errori di parallasse; a tal fine è stata usata una base snodata che permetteva di ruotare l'esemplare nella posizione desiderata. Antenne, organi copulatori maschili e spermateche sono stati disegnati a 100 x e 160 x con un microscopio ottico corredato di camera lucida, su preparati montati in glicerolo dopo una breve bollitura nello stesso liquido per eliminare le bolle d'aria oppure montati a secco; in questo caso è opportuno incollare l'edeago alla base in modo che sia facilmente esaminabile il profilo dorsale e, con una rotazione di 90 gradi, quello laterale mentre per quanto riguarda la spermateca è sufficiente includerla in una goccia di colla arabica.

Tutti i disegni che corredano il testo sono tratti dalle descrizioni originali e si riferiscono quindi agli esemplari tipici di tutte le specie; se eseguiti appositamente dall'autore per questo lavoro al nome della specie segue la dizione "(originale)". Sin dal mio primo lavoro sugli *Agathidium* dell'Asia sudorientale ho fornito solo un disegno schematico dell'edeago e della spermateca poiché essi sono più che sufficienti all'identificazione dei vari taxa; la raffigurazione di caratteri più minuti, anche se esteticamente più piacevole, può addirittura generare errori se non si usano le medesime metodiche e non si adotta lo stesso piano di inclinazione nell'osservazione.

La terminologia relativa agli indici di trasversalità del pronoto e di convessità di pronoto ed elitre, è la seguente:

poco trasverso: rapp. la/lu = 1,0-1,4; discretamente trasverso: rapp. la/lu = 1,41-1,8; molto trasverso: rapp. la/lu = 1,81-2,2; poco convesso: rapp. la/alt = 1,3-1,5; discretamente convesso: rapp. la/alt = 1,51-1,85; molto convesso: rapp. la/alt = 1,86-2,2.

Abbreviazioni relative ai valori numerici:

alt.	altezza
la.	larghezza
lungh.	lunghezza
rapp. la/lu	rapporto tra larghezza e lunghezza
rapp. la/alt	rapporto tra larghezza e altezza

Genere ***Agathidium*** Panzer, 1797

Agathidium Panzer, 1797: 13; Brisout, 1863: 9; Gozis, 1886: 16; Portevin, 1905: 419, 423; 1907a: 76; 1907b: 254; 1908: 22; 1914: 227; 1922: 58; 1926: 81; 1927: 86; 1928: 31; 1937: 33; Champion, 1924: 161; 1927: 247; Hatch, 1929: 65; Hlisnikovský, 1964: 13; 1972: 131; Angelini & De Marzo, 1981: 207; 1983a: 158; 1983b: 153; 1984a: 564; 1984b: 165; 1984c: 8; 1985a: 34; 1985b: 28; 1986a: 424; 1986b: 589; 1986c: 829; 1987: 455; 1989a: 25; 1989b: 461; 1990: 50; 1993: 430; 1994: 6; 1995a: 186; 1995b: 166; 1998a: 126; 1998b: 352; Cooter, 1984: 69; Angelini & Cooter, 1985: 126; 1986: 37; 1993: 71; 1999: 194; 2002: 87; 2003: 4; Angelini, 1986. 159; 1988: 16; 1990: 241; 1992a: 202; 1992b: 163; 1993a: 200; 1993b: 34; 1995a: 128; 1995b: 192; 1995c: 33; 1996: 2; 1998: 140; 1999a: 914; 1999b: 170; 2000a: 308; 2000b: 111; 2000c: 37; 2002a: 327; 2002b: 487; Angelini & Stephenson, 1990: 119; Angelini & Švec, 1994: 12; 1995: 510; 1998: 1; 2000: 134; 2002: 3; Hoshina, 1998: 140; 2000: 60.

Volvoxis Kugelann, 1794: 535.

Agathidium Illiger, 1798: 81.

Specie tipo: *Tetratoma globosa* Herbst, 1792 (= *Agathidium seminulum* (Linnaeus, 1758)).

Diagnosi. Corpo tondeggiante, più o meno convesso (figg. 20-31), dotato di capacità di volvuzione (= appallottolamento). Lunghezza compresa tra 1.35 mm (*A. anophthalmicum* Ang. & Dmz., Darjeeling) e 6.5 mm (*A. giganteum* Ang., Sichuan). Colorazione del dorso generalmente rosso-bruna o nera, raramente bicolore o con macchie. Tegumento dorsale microreticolato interamente o in parte o con capo striolato o del tutto privo di microreticolazione o striolatura; punteggiatura assente o, se presente, variabile da fine e rada a impressa e fitta; pubescenza breve e rada, raramente (in due specie) sono presenti lunghe e rade setole. Occhi di varia forma e grandezza, globosi, appiattiti, a volte poco o affatto visibili dal dorso (figg. 32-136), assenti in una specie (*A. anophthalmicum* Ang. & Dmz.,

fig. 117). Clipeo più o meno nettamente incavato; solo in 4 specie nettamente prolungato a punta (figg. 28, 114-116). Linea clipeale assente o costituita da un solco arcuato più o meno impresso, o da due solchi laterali al clipeo o, infine, da una cresta arcuata continua o interrotta medialmente. Carena sopraoculare presente, eccezionalmente assente in tre specie. Antenne di 11 articoli con clava di 3 articoli, eccezionalmente di 4 o 5 articoli nei maschi di 8 specie dei subg. *Euryceble* e *Microceble* gruppi *grouvellei* e *andrewesi* (figg. 6, 7, 9, 10). Organo di Hamann composto solitamente da due sensilli con o senza vescicole, negli antennomeri 9° e 10° (figg. 3-5, 8-12), eccezionalmente comprendente un terzo sensillo nel 7°. Mandibole grandi e asimmetriche nelle specie di alcuni sottogeneri, simmetriche nelle specie di altri sottogeneri. Pronoto più o meno trasverso, con margine anteriore più o meno curvo; profilo laterale tronco o largamente arrotondato o quasi angolato. Elitre lunghe quanto larghe o poco più lunghe che larghe, più o meno convesse; profilo laterale con angolo omerale netto nelle specie di alcuni sottogeneri oppure poco accennato nelle specie di altri sottogeneri (figg. 17-19, 21, 23, 25, 27, 29); scutello piccolo; strie suturali più o meno estese dall'apice delle elitre in avanti o assenti. Ali metatoraciche presenti (normali o raramente vestigiali) o assenti. Mesosterno con o senza carena mediana, con o senza linee laterali (complete o incomplete); metasterno più o meno trasverso, con o senza linee femorali (complete o incomplete) o indistinte (meso- e metacoxe a contatto) (figg. 13-16). Formula tarsale del ♂ 5-5-4 o, raramente 4-4-4, della ♀ 5-4-4 o 4-4-4. Femori posteriori dei ♂♂ con dimorfismo sessuale nelle specie di alcuni sottogeneri. Edeago di forma più o meno allungata, con parte prossimale semplice o ricurva (ad uncino, anello, spirale) e parte apicale appuntita o tronca o incavata; pezzo ventrale indistinto o ben sclerotizzato e di varia forma; parameri solitamente esili, di forma più o meno allungata e gradualmente assottigliati all'apice, talvolta dilatati e variamente conformati; fallobase abbracciante l'edeago in una zona più o meno distante dalla sua estremità basale. Spermateca con parti basale ed apicale solitamente differenti nella forma e grandezza.

Distribuzione geografica: Il genere comprende 737 specie diffuse nelle regioni nord neotropicale (3 spp.), neartica (49 spp.), paleartica (252 spp.), orientale (448 spp.) e australiana nordoccidentale (1 sp.). La fauna dell'Asia sudorientale (regione orientale) è caratterizzata dall'esclusiva presenza di specie del subg. *Euryceble*

e dalla predominanza di specie dei subg. *Agathidium* s. str. gruppo *madurense*, *Microceble* e *Macroceble*, scarsamente o affatto presenti nella regione paleartica e, per contro, dalla scarsa presenza di specie dei subg. *Cyphoceble* e *Neoceble*. Notevole è altresì la presenza di specie del subg. *Agathidium* s. str. gruppo *seminulum*, *laevigatum* e *dentatum* ma pressoché esclusivamente nei territori settentrionali. Tale situazione è illustrata nelle tabelle 1 e 2.

CHIAVE DICOTOMICA DEI SOTTOGENERI DI *AGATHIDIUM* PANZER, 1797

1 Elitre con angolo omerale netto (figg. 17-18), metasterno non fortemente ridotto in lunghezza e senza linee femorali (figg. 13-14) 2

\- Elitre con angolo omerale poco accennato (fig. 19), metasterno non fortemente ridotto in lunghezza e con linee femorali distinte (fig. 15), oppure fortemente ridotto in lunghezza e con linee femorali assenti o indistinte (fig. 16). 4

2 Capo con tempia lunga da $^1/_3$ a ½ della lunghezza dell'occhio (figg. 32-37) . . . . . **Cyphoceble** C. G. Thomson, 1859

\- Capo senza tempia o con tempia lunga meno di $^1/_3$ della lunghezza dell'occhio (figg. 38-48). 3

3 Elitre con 2-6 serie longitudinali di grossi punti ciascuna. . . . . **Rhabdoelytrum** Hlisnikovský, 1964

\- Elitre senza serie longitudinali di punti . . . . . **Neoceble** Gozis, 1886

4 Metasterno non fortemente ridotto in lunghezza, linee femorali distinte (fig. 15) 5
Metasterno fortemente ridotto in lunghezza, linee femorali assenti o indistinte (fig. 16). 7

5 Capo con occhi appiattiti o moderatamente protuberanti, mai semisferici (figg. 49-98), linea clipeale assente oppure costituita da un solco semicircolare continuo e più o meno impresso). . . . . **Agathidium** s. str. Panzer 1797

- Capo con occhi semisferici (figg. 99-113), linea clipeale rappresentata da una cresta, continua o interrotta medialmente, oppure solo da due brevi solchi obliqui, laterali al clipeo 6

6 Capo grande rispetto al pronoto (rapp. pronoto/capo = 1,47-1,6) . . . . . **Euryceble** Hlisnikovský, 1964

- Capo molto piccolo rispetto al pronoto (rapp. pronoto/capo = 1,7-2,1, eccezionalmente 1,6). . . . . **Microceble** Angelini & De Marzo 1986

7 Meso e metacoxe distanziate, linee femorali assenti . . . . . **Chaetoceble** Sainte-Claire Deville, 1899

- Meso e metacoxe non distanziate, linee femorali indistinte (fig. 16). . . . . **Macroceble** Angelini, 1993

KEY TO THE SUBGENERA OF GENUS *AGATHIDIUM* PANZER, 1797

1 Lateral outline of elytra with sharp humeral angle (figs. 17-18), metasternum not abbreviated and without femoral lines (figs. 13-14) 2

- Lateral outline of elytra with weak humeral angle (fig. 19), metasternum not abbreviated and with distinct femoral lines (fig. 15), or greatly abbreviated and with femoral lines indistinct or absent (fig. 16) 4

2 Temples $^1/_3$-$^1/_2$ length of the eyes (figs. 32-37). . . . . **Cyphoceble** Thomson, 1859

- Temples absent or, if present, less than $^1/_3$ length of the eyes (figs. 38-48) 3

3 Each elytron with 2-6 striae of large punctures . . . . . **Rhabdoelytrum** Hlisnikovský, 1964

- Elytra without punctured striae. . . . . **Neoceble** Gozis,1886

4 Metasternum not greatly abbreviated, femoral lines distinct (fig. 15) 5

- Metasternum greatly abbreviated, femoral lines absent or indistinct (fig. 16) 7

5 Eyes flattened or moderately protuberant, not hemispherical (figs. 49-98), clypeus with or without a typical impressed line . . . . . **Agathidium** s. str. Panzer, 1797

- Eyes hemispherical (figs. 99-113), clypeus with an uninterrupted or a medially interrupted posterior carina, or with a short oblique groove at each side 6

6 Head large (width ratio of pronotum/head=1.5-1.6) . . . . . **Euryceble** Hlisnikovský, 1964

- Head very small (width ratio of pronotum/head=1.7-2.1) . . . . . **Microceble** Angelini & De Marzo, 1986

7 Meso- and metacoxae separated, femoral lines absent. . . . . **Chaetoceble** Sainte-Claire Deville, 1899

- Meso- and metacoxae contiguous, femoral lines indistinct (fig. 16) . . . . . **Macroceble** Angelini, 1993

Sottogenere ***Cyphoceble*** C. G. Thomson, 1859

Cyphoceble C. G. Thomson, 1859: 59; Hatch, 1929: 78; Hlisnikovský, 1964: 13; Angelini & De Marzo, 1986c: 829; 1990: 50; 1995a: 186; 1998a: 126; Angelini, 1993b: 36; 1995c: 36; 2000b: 111; 2002b: 487; Angelini & Cooter, 1999: 225.

Saccoceble Gozis, 1886: 17.

Specie tipo: *Anisotoma staphylaeum* Gyllenhal, 1810 (= *Agathidium nigrinum* Sturm, 1807).

Diagnosi. Profilo laterale delle elitre con netto angolo omerale (fig. 17), metasterno senza linee femorali (fig. 13); si differenzia dai subg. *Neoceble* e *Rhabdoelytrum* unicamente per la presenza di una tempia (figg. 32-37), avanti l'angolo temporale, lunga $^1/_3$ o più della lunghezza dell'occhio (massimo $^1/_3$ nelle specie di detti sottogeneri). Occhi semisferici o poco allungati e sempre ben visibili dal dorso; le mandibole sono solitamente più sviluppate che nelle specie dei subg. *Agathidium* s. str., *Euryceble*, *Microceble* e *Macroceble*.

Discussione. Già nella revisione degli *Agathidium* paleartici (Angelini, 1995: 36) avevo avanzato delle perplessità, tuttora immutate, sulla effettiva validità di questo sottogenere a causa della varia-

bilità della lunghezza della "tempia" nell'ambito delle varie specie. Nei taxa oggetto del presente studio la suddetta tempia è comunque nettamente più lunga che in quelli del subg. *Neoceble* per cui non vi sono problemi nella loro attribuzione sottogenerica. Analogamente alle specie della fauna paleartica tutti i maschi presentano formula tarsale 5-5-4 mentre nelle ♀ è nettamente maggiore la percentuale con formula 4-4-4.

Distribuzione geografica. Le specie di questo sottogenere sono presenti nella regione neartica con 6 specie, paleartica con 16 e orientale con 5 (7 considerando la Cina paleartica): Nepal (1 specie), Cina (1 specie) e Taiwan (3 specie).

CHIAVE DICOTOMICA DELLE SPECIE DEL SOTTOGENERE *CYPHOCEBLE* C. G. THOMSON, 1859

1 Specie di dimensioni maggiori (lungh. 4.5-5.1 mm). Tegumento dorsale rosso-bruno; microreticolazione impressa su capo e pronoto, assente sulle elitre; punteggiatura impressa su capo e pronoto, doppia sulle elitre; antenne testacee con antennomeri 9°-10° appena più scuri; rapporto antennomeri 3°/2° = 2; tempia lunga ½ degli occhi; linea clipeale impressa; strie suturali impresse e raggiungenti la metà delle elitre. Formula tarsale ♂ 5-5-4, ♀ 4-4-4. Capo: fig. 32; edeago: fig. 137; spermateca: fig. 627. Taiwan. . . . . **yushanicum** Ang. & Dmz.

\- Specie di dimensioni minori (lungh. 2.5-3.8 mm). 2

2 Capo con punteggiatura doppia 3

\- Capo con punteggiatura semplice 5

3 Antenne uniformemente testacee. Tegumento dorsale rosso-bruno e con microreticolazione poco evidente; punteggiatura doppia sul capo, microscopica sul pronoto, assente sulle elitre; rapporto antennomeri 3°/2° = 1.6; tempia lunga $^1/_3$ degli occhi; linea clipeale molto superficiale; strie suturali lunghe, raggiungenti i $^2/_3$ apicali delle elitre. Formula tarsale ♀ 4-4-4. Lungh. 3.45 mm. Capo: fig. 33; spermateca: fig. 628. Cina (Hubei) . **wangianum** Ang.

- Antenne testacee con clava scura o con antennomeri 7°-11° scuri 4

4 Antenne testacee con antennomeri 7°-11° scuri, rapporto antennomeri 3°/2° = 2, strie suturali impresse ed estese oltre la metà delle elitre, tempia lunga $^3/_5$ della lunghezza dell'occhio (fig. 34), rapporto pronoto/capo = 1.44, ali metatoraciche assenti. Tegumento dorsale di capo e pronoto nero, elitre rosso-brune; microreticolazione poco evidente su capo e pronoto, superficiale sulle elitre; punteggiatura doppia su capo e pronoto, semplice ma impressa sulle elitre; linea clipeale impressa. Formula tarsale ♀ 4-4-4. Lungh. 3.45 mm. Spermateca:fig. 629. Taiwan. . . . . **inquisitor** Ang. & Dmz.

- Antenne testacee con clava scura, rapporto antennomeri 3°/2° = 1.5, strie suturali impresse e raggiungenti la metà delle elitre, tempia lunga ½ della lunghezza dell'occhio (fig. 35), rapporto pronoto/capo = 1.75, ali metatoraciche presenti. Tegumento dorsale di capo ed elitre rosso-bruno scuro, pronoto testaceo; microreticolazione assente, solo vaghe tracce sulle elitre; punteggiatura doppia e impressa su capo ed elitre, semplice sul pronoto; linea clipeale superficiale e appena visibile. Formula tarsale ♂ 5-5-4. Lungh. 3.8 mm. Edeago: fig. 138. Cina (Yunnan). . . . . **aeneonigrum** Ang.

5 Strie suturali lunghe, raggiungenti i $^2/_3$ apicali delle elitre, rapporto antennomeri 3°/2° = 1.4. Tegumento dorsale rosso-bruno scuro e con punteggiatura microscopica e rada; microreticolazione assente, solo vaghe tracce sulle elitre; tempia lunga $^1/_3$ degli occhi; linea clipeale molto superficiale; antenne testacee con clava nera. Formula tarsale ♂ 5-5-4. Lungh. 2.9 mm. Capo: fig. 36; edeago: fig. 139. Cina (Hubei) . . . . . **wutangshanense** Ang.

- Strie suturali brevi, raggiungenti $^1/_5$ o ½ delle elitre, rapporto antennomeri 3°/2° = 1.8. 6

6 Antenne uniformemente testacee, strie suturali superficiali e raggiungenti il quinto apicale delle elitre, tempia lunga ½ della lunghezza dell'occhio; microreticolazione poco

evidente sul capo, superficiale e uniforme sul pronoto, rapporto pronoto/capo = 1.45, ali metatoraciche assenti, tegumento dorsale rosso-bruno, formula tarsale ♀ 4-4-4, specie di dimensioni minori (lungh. 2.5-2.8 mm). Microreticolazione poco evidente sulle elitre; punteggiatura fine sull'intero dorso; rapporto antennomeri 3°/2° = 1.8, linea clipeale molto superficiale, appena visibile. Formula tarsale ♂ 5-5-4. Edeago: fig. 140, spermateca: fig. 630. Taiwan . . . . . **geniculatum** Ang. & Dmz.

- Antenne testacee con antennomeri 6°-8° scuri, 9°-11° neri, strie suturali impresse e raggiungenti la metà delle elitre, tempia lunga meno della metà dell'occhio (fig. 37), capo e pronoto privi di microreticolazione, rapporto pronoto/capo = 1.3, ali metatoraciche presenti, tegumento dorsale nero, formula tarsale ♀ 5-4-4, specie di dimensioni maggiori (lungh. 3.2-3.3 mm). Microreticolazione poco evidente sulle elitre; punteggiatura fine sull'intero dorso; rapporto antennomeri 3°/2° = 1.8, linea clipeale superficiale. Formula tarsale ♂ 5-5-4. Edeago: fig. 141; spermateca: fig. 631; antenna: fig. 3; meso- e metasterno: fig. 13; elitre in visione laterale: fig. 17. Nepal . . . . . **glabrum** Ang. & Dmz.

KEY TO THE SPECIES OF THE SUBGENUS *CYPHOCEBLE* C. G. THOMSON, 1859

1 Length 4.5-5.1 mm. Head: fig. 32; aedeagus: fig. 137; spermatheca: fig. 627. Taiwan . . . . . **yushanicum** Ang. & Dmz.

- Length 2.5-3.8 mm 2

2 Head with double puncturation 3

- Head with simple puncturation. 5

3 Antennae uniformly testaceous. Length 3.45 mm. Head: fig. 33; spermatheca: fig. 628. China (Hubei) . **wangianum** Ang.

- Antennae with club dark or with antennal segments 7°-11° dark. 4

4 Antennal segments 7°-11° dark, ratio of 3rd/2nd antennal segments = 2, sutural striae clearly impressed, extending beyond middle of elytra, temple $^3/_5$ length of the eye (fig. 34), width ratio of pronotum/head = 1.44, membranous wings absent. Length 3.45 mm. Spermatheca: fig. 629. Taiwan . . . . . **inquisitor** Ang. & Dmz.

- Antennae with club dark, ratio of 3rd/2nd antennal segments = 1.5, sutural striae clearly impressed, confined within the apical half of elytra, temple ½ length of the eye (fig. 35), width ratio of pronotum/head = 1.75, membranous wings present. Length 3.8 mm. Aedeagus: fig. 138. China (Yunnan) . . . . . **aeneonigrum** Ang.

5 Sutural striae long, confined within the apical $^2/_3$ of elytra, ratio of 3rd/2nd antennal segments = 1.4. Length 2.9 mm. Head: fig. 36; aedeagus: fig. 139. China (Hubei) . . . . . **wutangshanense** Ang.

- Sutural striae short, confined within the apical $^1/_5$ or ½ of elytra, ratio of 3rd/2nd antennal segments = 1.8 6

6 Antennae uniformly testaceous, sutural striae superficial, confined within the apical $^1/_5$ of elytra, temple ½ length of the eye; microreticulation present on head but hardly evident, superficial and uniform on pronotum, width ratio of pronotum/head = 1.45, membranous wings absent, dorsum reddish-brown, tarsal formula ♀ 4-4-4, size smaller (2.5-2.8 mm). Aedeagus: fig. 140; spermatheca: fig. 630. Taiwan . . . . . **geniculatum** Ang. & Dmz.

- Antennal segments 6°-8° dark, sutural striae impressed, confined within the apical half of elytra, temple less than ½ length of the eye (fig. 37), head and pronotum without microreticulation, width ratio of pronotum/head = 1.3, membranous wings present, dorsum black, tarsal formula ♀ 5-4-4, size larger (3.2-3.3 mm). Aedeagus: fig. 141; spermatheca: fig. 631; antennae: fig. 3; meso- metasternum: fig. 13; elytra in lateral view: fig. 17. Nepal. . . . . **glabrum** Ang. & Dmz.

Sottogenere ***Neoceble*** Gozis, 1886

Neoceble Gozis, 1886: 16; Portevin, 1908: 25; Hatch, 1929: 72; Hlisnikovský, 1964: 33; Angelini & De Marzo, 1985a: 34; 1985b: 28; 1986a: 424; 1986b: 589; 1986c: 831; 1990: 51; 1994: 6; 1995a: 191; 1998a: 126; 1998b: 352; Angelini, 1986: 150; 1992b: 163; 1993b: 36; 1995c: 70; 1998: 140; 1999a: 914; 2000b: 112; 2000c: 37; 2002a: 328; 2002b: 490; Angelini & Stephenson, 1990: 119; Angelini & Švec, 1994: 12; 1995: 510; 2000: 135; 2002: 3; Hoshina, 1998: 140; 2000: 60; Angelini & Cooter, 1999: 190; 2002: 87; 2003: 4.

Stigmoceble Hlisnikovský, 1964: 119.

Specie tipo: *Agathidium marginatum* Sturm, 1807.

Diagnosi. Profilo laterale delle elitre con netto angolo omerale (fig. 18), metasterno senza linee femorali (fig. 14); capo con tempia lunga al massimo $^1/_3$ della lunghezza dell'occhio o assente (figg. 38-46). Sono comprese in questo sottogenere specie dall'habitus molto vario. Il capo può presentare la sua massima larghezza o in corrispondenza dell'occhio o poco dietro al suo margine posteriore; gli occhi sono sempre semisferici, variamente sporgenti ai lati; nei maschi di molte specie la mandibola sinistra presenta un forte dente rivolto in alto; esse sono solitamente più sviluppate che nelle specie dei subg. *Agathidium* s. str., *Euryceble*, *Microceble* e *Macroceble*; l'edeago manca solitamente del pezzo ventrale ed è tronco o lievemente curvo nella sua parte prossimale, la spermateca presenta generalmente la parte apicale contorta o è a forma di S.

Discussione. Come il precedente anche questo sottogenere è scarsamente rappresentato nell'Asia sudorientale e in Cina e la maggior parte delle specie sono presenti nelle regioni più settentrionali. Rispetto alla fauna della regione paleartica un più consistente numero di specie presenta formula tarsale 4-4-4 sia nei maschi che nelle femmine.

Distribuzione geografica. Sottogenere presente nella regione nord neotropicale con 1 specie, neartica con 21, paleartica con 93 e orientale con 23 (32 considerando quelle presenti nella Cina paleartica); nella regione orientale questo sottogenere è presente nella sottoregione himalayana, Cina e Taiwan e, con singole specie, in Meghalaya, Vietnam, Malaysia, Giava, Borneo e Giappone (Ryukyus).

CHIAVE DICOTOMICA DEI GRUPPI DI SPECIE
DEL SOTTOGENERE *NEOCEBLE* GOZIS, 1886

1 Elitre con strie suturali 2

- Elitre senza strie suturali. 3

2 Tegumento dorsale microreticolato . . . . gruppo **varians** Beck

- Tegumento dorsale non microreticolato . . . . . gruppo **nigripenne** (Fabricius)

3 Tegumento dorsale microreticolato. . . . . gruppo **marginatum** Sturm

- Tegumento dorsale non microreticolato . . . . . gruppo **canariense** Lindberg

KEY TO THE SPECIES GROUPS
OF SUBGENUS *NEOCEBLE* GOZIS, 1886

1 Elytra with sutural striae. 2

- Elytra without sutural striae 3

2 Dorsum with microreticulation. . . . . **varians** Beck group

- Dorsum without microreticulation . . . . . **nigripenne** (Fabricius) group

3 Dorsum with microreticulation. . . **marginatum** Sturm group

- Dorsum without microreticulation **canariense** Lindberg group

Gruppo **varians** Beck

Diagnosi. Tegumento dorsale con microreticolazione, elitre con strie suturali.

Discussione. Gruppo scarsamente presente nell'Asia sudorientale e Cina; la percentuale di specie con formula tarsale 4-4-4 nelle femmine è nettamente più bassa che nella fauna paleartica ed è l'unico caso in cui si rileva questa situazione.

Distribuzione geografica. Gruppo di specie presente nella regione neartica con 3 specie, paleartica con 26 specie e orientale con 3 specie che ascendono a 5 considerando la Cina paleartica; nella regione orientale le specie di questo gruppo sono presenti solo in Nepal e Giappone (Ryukyus).

CHIAVE DICOTOMICA DELLE SPECIE DEL GRUPPO *VARIANS* BECK

1 Massima larghezza del capo dietro al margine posteriore degli occhi (figg. 38-39) 2

- Massima larghezza del capo a livello degli occhi 4

2 Capo con microreticolazione impressa e privo di punteggiatura, rapporto antennomeri 3°/2° = 1.15, linea clipeale impressa, ali metatoraciche assenti, specie di dimensioni minori (lungh. 2.7 mm). Tegumento dorsale del capo nero, pronoto ed elitre rosso-bruno scuri; microreticolazione molto superficiale sul pronoto, poco evidente sulle elitre; punteggiatura fine e rada solo su pronoto ed elitre; antenne testacee con clava scura; strie suturali impresse e raggiungenti la metà delle elitre. Formula tarsale ♂ 5-5-4. Capo: fig. 38; edeago: fig. 142. Cina (Sichuan) . . . . . **daxuense** Ang. & Švec

- Capo privo di microreticolazione o solo con vaghe tracce e con punteggiatura doppia, rapporto antennomeri 3°/2° = 1.6-1.9, linea clipeale superficiale, ali metatoraciche presenti, specie di dimensioni maggiori (lungh. 2.9-3.5 mm) 3

3 Antenne testacee con clava nera, pronoto con punteggiatura doppia, rapporto antennomeri 3°/2° = 1.6, pronoto molto trasverso (rapp. la/lu = 2), edeago in visione dorsale ristretto prima dell'apice (fig. 143). Tegumento dorsale nero, lati del pronoto più chiari; microreticolazione presente solo sulle elitre; punteggiatura doppia su capo e pronoto, semplice ma impressa sulle elitre; strie suturali impresse e raggiungenti la metà delle

elitre. Formula tarsale ♂ 5-5-4, ♀ 5-4-4. Lungh. 2.9-3.4 mm. Capo: fig. 39; spermateca: fig. 632. Cina (Sichuan, Shaanxi, ? Yunnan) . . . . . **dundai** Ang. & Švec

- Antenne testacee con antennomeri 7°-11° neri, pronoto con punteggiatura semplice, rapporto antennomeri 3°/2° = 1.9, pronoto poco trasverso (rapp. la/lu = 1.64), edeago in visione dorsale uniformemente ristretto verso l'apice (fig. 144). Tegumento dorsale nero, lati del pronoto ed apice delle elitre rosso-bruno, interamente con punteggiatura impressa; microreticolazione presente solo ai lati degli occhi, superficiale; strie suturali impresse ed estese poco oltre la metà delle elitre. Formula tarsale ♂ 5-5-4. Lungh. 3.4-3.5 mm. Giappone (Honshu, Shikoku, Kyushu, Ryukyus) . . . . . **longicorne** Port.

4 Antenne testacee con antennomeri 7°-11° neri, elitre con punteggiatura semplice, linea clipeale molto superficiale, capo e pronoto privi di microreticolazione, rapporto pronoto/capo = 1.4, specie di dimensioni minori (lungh. 2.15 mm). Tegumento dorsale nero, lati del pronoto ed apice delle elitre rosso-bruno, interamente con punteggiatura impressa; microreticolazione presente solo sulle elitre, superficiale e uniforme; rapporto antennomeri 3°/2° = 1.2; strie suturali impresse e raggiungenti la metà delle elitre. Formula tarsale ♂ 5-5-4. Edeago: fig. 145. Nepal . . . . . **coloratum** Ang. & Dmz.

- Antenne testacee con clava scura, elitre con punteggiatura doppia, linea clipeale impressa, capo e pronoto con microreticolazione superficiale e uniforme, rapporto pronoto/capo = 1.87, specie di dimensioni maggiori (lungh. 3.0-3.4 mm). Tegumento dorsale rosso-bruno; elitre prive di microreticolazione; punteggiatura semplice ma impressa su capo e pronoto; rapporto antennomeri 3°/2° = 1.2; strie suturali impresse e raggiungenti la metà delle elitre. Formula tarsale ♂ 5-5-4, ♀ 4-4-4. Edeago: fig. 146; spermateca: fig. 633. Giappone (Honshu, Shikoku, Kyushu, Ryukyus) . . . . . **cribratum** Port.

KEY TO THE SPECIES OF THE *VARIANS* BECK GROUP

1 Head widest behind eyes (figs. 38-39) 2

- Head widest at eyes 4

2 Head with microreticulation clearly impressed and without puncturation, ratio of 3rd/2nd antennal segments = 1.15, clypeal line impressed, membranous wings absent, size smaller (2.7 mm). Head: fig. 38; aedeagus: fig. 142. China (Sichuan) . . . . . **daxuense** Ang. & Švec

- Head without microreticulation or only with vague traces and with double puncturation, ratio of 3rd/2nd antennal segments = 1.6-1.9, clypeal line superficial, membranous wings present, size larger (2.9-3.5 mm) 3

3 Antennal club black, pronotum with double puncturation, ratio of 3rd/2nd antennal segments = 1.6, pronotum much broader than long (ratio width/length = 2), aedeagus in dorsal view narrowed before of the apex (fig. 143). Length 2.9-3.4 mm. Head: fig. 39; spermatheca: fig. 632. China (Sichuan, Shaanxi, ? Yunnan) . . . . . **dundai** Ang. & Švec

- Antennal segments 7°-11° black, pronotum with simple puncturation, ratio of 3rd/2nd antennal segments = 1.9, pronotum slightly broader than long (ratio width/length = 1.64), aedeagus in dorsal view uniformly narrowed to apex (fig. 144). Length 3.4-3.5 mm. Japan (Honshu, Shikoku, Kyushu, Ryukyus) . . . . . **longicorne** Port.

4 Antennal segments 7°-11° black, elytra with simple puncturation, clypeal line superficial, head and pronotum without microreticulation, width ratio of pronotum/head = 1.4, size smaller (2.15 mm). Aedeagus: fig. 145. Nepal . . . . . **coloratum** Ang. & Dmz.

- Antennal club dark, elytra with double puncturation, clypeal line impressed, head and pronotum with superficial and uniform microreticulation, width ratio of pronotum/head = 1.87, size larger (3.0-3.4 mm). Aedeagus: fig. 146; spermatheca: fig. 633. Japan (Honshu, Shikoku, Kyushu, Ryukyus) . . . . . **cribratum** Port.

Gruppo ***nigripenne*** (Fabricius)

Diagnosi. Tegumento dorsale privo di microreticolazione o solo con vaghe tracce, elitre con strie suturali più o meno estese in avanti e più o meno impresse.

Discussione. Nell'ambito del sottogenere Neoceble è il gruppo di specie maggiormente presente nell'Asia sudorientale e in Cina e gli appartengono specie con distribuzione più meridionale. Il numero di specie con formula tarsale 4-4-4 nei maschi e/o nelle femmine è percentualmente maggiore di quello presente nella regione paleartica.

Distribuzione geografica. Gruppo di specie presente nella regione nord neotropicale con 1 specie, neartica con 13, paleartica con 42 e orientale con 15 (18 considerando la Cina paleartica); nella regione orientale le specie di questo gruppo sono presenti solo nella sottoregione himalayana, Meghalaya, Vietnam, Malaysia, Giava, Borneo, Cina e Taiwan.

CHIAVE DICOTOMICA DELLE SPECIE DEL GRUPPO *NIGRIPENNE* (FABRICIUS)

1 Rapporto antennomeri 3°/2° = 1 2

- Rapporto antennomeri 3°/2° = 1.2-2.1 5

2 Strie suturali brevi, raggiungenti il terzo apicale delle elitre. Tegumento dorsale rosso-bruno; microreticolazione assente, solo vaghe tracce sulle elitre; punteggiatura microscopica e rada su capo e pronoto, assente sulle elitre; rapporto antennomeri 3°/2° = 1; linea clipeale assente, solo vaghe tracce; antenne testacee con clava nera. Formula tarsale ♂ 5-5-4. Lungh. 2.85 mm. Edeago: fig. 147. Cina (Fujian) . . . . . **mingchiense** Ang.

- Strie suturali lunghe, raggiungenti la metà apicale delle elitre. 3

3 Capo con linea clipeale impressa, più superficiale al centro; specie del Nepal e dell'India (Kumaon, Kashmir, Himachal Pradesh). Tegumento dorsale uniformemente nero o rosso-bruno, privo di microreticolazione e con punteggiatura

impressa; antenne testacee con clava nera; strie suturali limitate ad oltre la metà apicale delle elitre. Formula tarsale ♂ e ♀ 4-4-4. Lungh. 1.9-2.0 mm. Edeago: fig. 148; spermateca: fig. 634 . . . . . **kumaonicum** Ang. & Dmz.

- Capo con linea clipeale superficiale o assente; specie del Giappone e di Taiwan o della Cina 4

4 Capo con linea clipeale superficiale, antenne testacee con clava scura, dorso rosso-bruno e con punteggiatura fine, specie di dimensioni minori (lungh. 1.7-1.8 mm), formula tarsale ♂ e ♀ 4-4-4, strie suturali limitate alla metà apicale delle elitre. Tegumento dorsale privo di microreticolazione. Edeago: fig. 149; spermateca: fig. 635. Giappone (Honshu, Shikoku, Kyushu), Taiwan . . . . . **kyotoense** Ang. & Dmz.

- Capo senza linea clipeale o appena evidente, antenne testacee con clava nera, dorso uniformemente nero e con punteggiatura impressa e rada, specie di dimensioni maggiori (lungh. 2.8-3.0 mm), formula tarsale ♂ 5-5-4, ♀ 4-4-4, strie suturali estese ad oltre la metà apicale delle elitre. Tegumento dorsale privo di microreticolazione. Edeago: fig. 150; spermateca: fig. 636. Cina (Sichuan). . . . . **kandingense** Ang.

5 Massima larghezza del capo al margine posteriore degli occhi o dietro ad esso (figg. 40-41) 6

- Massima larghezza del capo a livello degli occhi (figg. 42-44) 8

6 Massima larghezza del capo al margine posteriore degli occhi (fig. 40), strie suturali brevi, raggiungenti il quarto apicale delle elitre, linea clipeale assente, capo e pronoto con microreticolazione poco evidente. Tegumento dorsale di capo e pronoto nero, elitre rosso-brune, interamente con punteggiatura fine e rada; microreticolazione assente sulle elitre; antenne testacee con clava scura; rapporto antennomeri 3°/2° = 1.5. Formula tarsale ♂ 5-5-4, ♀ 4-4-4. Lungh. 2.5-2.7 mm. Edeago: fig. 151. Taiwan . . . . . **nigrocastaneum** Ang. & Dmz.

- Massima larghezza del capo dietro al margine posteriore degli occhi (fig. 41), strie suturali lunghe, raggiungenti la

metà delle elitre, linea clipeale impressa o poco evidente, capo e pronoto privi di microreticolazione 7

7 Linea clipeale impressa, antenne testacee con antennomeri 9°-10° scuri, rapporto antennomeri 3°/2° = 1.2, tegumento dorsale nero e con punteggiatura semplice, strie suturali superficiali. Formula tarsale ♂ 5-5-4, ♀ 5-4-4. Lungh. 2.5-2.75 mm. Edeago: fig. 152; spermateca: fig. 637. India (Meghalaya), Cina (Fujian) . . . . . **unicolorum** Ang. & Dmz.

- Linea clipeale poco evidente, antenne testacee con clava scura, rapporto antennomeri 3°/2° = 1.7, tegumento dorsale di capo e pronoto rosso-bruno, elitre nere, interamente con punteggiatura doppia, strie suturali impresse. Formula tarsale ♂ 5-5-4. Lungh. 2.75 mm. Capo: fig. 41; edeago: fig. 153. Cina (Shaanxi) . . . . . **shaanxiense** Ang. & Švec

8 Rapporto antennomeri 3°/2° = 2-2.1 9

- Rapporto antennomeri 3°/2° = 1.2-1.7 10

9 Specie di dimensioni maggiori (lungh. 3.4-3.5 mm), strie suturali limitate a meno della metà delle elitre, linea clipeale superficiale, antenne testacee con antennomeri 7°-8° scuri e 9°-11° neri; specie del Vietnam, Malaysia (Sabah) e dell'Indonesia (Giava e Borneo). Tegumento dorsale rosso bruno con lati del capo e delle elitre neri, interamente privo di microreticolazione e con punteggiatura fine; rapporto antennomeri 3°/2° = 2.1. Formula tarsale ♂ 5-5-4, ♀ 4-4-4. Edeago: fig. 154; spermateca: fig. 638 . . . . . **angulatum** Ang.

- Specie di dimensioni minori (lungh. 2.8 mm), strie suturali limitate ad oltre la metà apicale delle elitre, linea clipeale assente, antenne testacee con clava nera; specie della Cina (Yunnan). Tegumento dorsale rosso-bruno scuro e con punteggiatura impressa; microreticolazione assente, poco evidente sulle elitre; rapporto antennomeri 3°/2° = 2. Formula tarsale ♂ 5-5-4. Edeago: fig. 155 . . . . . **fuscatum** Ang.

10 Antenne testacee con antennomeri 7°-11° scuri 11

- Antenne testacee con clava scura o nera 13

11 Strie suturali brevi, non raggiungenti la metà apicale delle elitre, linea clipeale superficiale; specie del Nepal e del Bhutan. Tegumento dorsale rosso-bruno e con punteggiatura fine; microreticolazione poco evidente sul capo, assente su pronoto ed elitre; rapporto antennomeri 3°/2° = 1.55. Formula tarsale ♀ 4-4-4. Lungh. 3.65 mm. Spermateca: fig. 639. . . . . **bhutanense** Ang.

- Strie suturali lunghe, raggiungenti la metà delle elitre, linea clipeale poco visibile; specie della Cina o di Taiwan 12

12 Intero dorso con microreticolazione poco evidente, pronoto molto trasverso (rapp. la/lu = 2), ali metatoraciche assenti. Tegumento dorsale rosso-bruno e con punteggiatura impressa; rapporto antennomeri 3°/2° = 1.6. Formula tarsale ♀ 4-4-4. Lungh. 3.3 mm. Capo: fig. 42; spermateca: fig. 640. Taiwan . . . . . **praeustum** Ang. & Dmz.

- Intero dorso privo di microreticolazione, pronoto meno trasverso (rapp. la/lu = 1.76), ali metatoraciche presenti. Tegumento dorsale nero, più chiaro ai lati e lungo la sutura, interamente con punteggiatura impressa; rapporto antennomeri 3°/2° = 1.5; linea clipeale molto superficiale, poco visibile. Formula tarsale ♂ 5-5-4. Lungh. 3.5 mm. Edeago: fig. 156; antenna: fig. 4. Cina (Fujian) . . . . . **bonzi** Ang. & Dmz.

13 Strie suturali lunghe, raggiungenti la metà delle elitre, antenne testacee con clava nera. 14

- Strie suturali brevi, raggiungenti il terzo apicale delle elitre, antenne testacee con clava più scura 17

14 Strie suturali molto superficiali, pronoto ed elitre con vaghe tracce di microreticolazione. Tegumento dorsale rosso-bruno; punteggiatura fine e rada su capo e pronoto, più impressa sulle elitre; rapporto antennomeri 3°/2° = 1.4; linea clipeale poco evidente. Formula tarsale ♂ 5-5-4. Lungh. 2.7-2.9 mm. Edeago: fig. 157. Cina (Shaanxi) . . . . . **jonathani** Ang.

- Strie suturali impresse, pronoto ed elitre senza tracce di microreticolazione 15

15 Rapporto antennomeri 3°/2° = 1.7, formula tarsale ♀ 5-4-4. Tegumento dorsale rosso-bruno, elitre più scure, interamente privo di microreticolazione e con punteggiatura impressa; linea clipeale superficiale. Formula tarsale ♂ 5-5-4. Lungh. 2.9-2.95 mm. Capo: fig. 43; edeago: fig. 158; spermateca: fig. 641. Cina (Yunnan) . . . . . **brunnipes** Ang. & Švec

- Rapporto antennomeri 3°/2° = 1.3, formula tarsale ♀ 4-4-4. 16

16 Specie della regione paleartica e Taiwan. Tegumento dorsale nero con lati più chiari oppure uniformemente rosso-bruno privo di microreticolazione e con punteggiatura fine; linea clipeale fine ma ben distinta. Formula tarsale ♂ 5-5-4. Lungh. 2.2-3.3 mm. Edeago: fig. 159; spermateca: fig. 642 . . . . . **confusum** Bris.

- Specie del Nepal. Tegumento dorsale nero con lati più chiari, privo di microreticolazione e con punteggiatura fine; linea clipeale appena visibile. Formula tarsale ♂ 5-5-4. Lungh. 2.1-2.55 mm. Edeago: fig. 160; spermateca: fig. 643; mesosterno: fig. 14; elitre in visione laterale: fig. 18 . . . . . **pseudoconfusum** Ang. & Dmz.

17 Specie di dimensioni maggiori (lungh. 2.85 mm), capo con linea clipeale superficiale, rapporto antennomeri 3°/2° = 1.6, pronoto discretamente trasverso (rapp. la/lu = 1.75), formula tarsale ♂ 5-5-4; specie della Cina (Fujian). Tegumento dorsale rosso-bruno scuro, lati e sutura più chiari, interamente privo di microreticolazione e con punteggiatura impressa; strie suturali impresse. Capo: fig. 44; edeago: fig. 161 . . . . . **semicastaneum** Ang.

- Specie di dimensioni minori (lungh. 2.15-2.4 mm), capo con linea clipeale impressa, rapporto antennomeri 3°/2° = 1.2, pronoto molto trasverso (rapp. la/lu = 2.05), formula tarsale ♂ 4-4-4; specie del Nepal. Tegumento dorsale rosso-bruno scuro; microreticolazione assente, solo vaghe

tracce sulle elitre; punteggiatura fine e rada su capo e pronoto, impressa e fitta sulle elitre; strie suturali impresse. Formula tarsale ♀ 4-4-4. Edeago: fig. 162; spermateca: fig. 44 . . . . . **oculatum** Ang. & Dmz.

KEY TO THE SPECIES OF THE *NIGRIPENNE* (FABRICIUS) GROUP

1 Ratio of 3rd/2nd antennal segments = 1 2

- Ratio of 3rd/2nd antennal segments = 1.2-2.1 5

2 Sutural striae shorter, confined within the apical $^1/_3$ of elytra. Length 2.85 mm. Aedeagus: fig. 147. China (Fujian) . . . . . **minchiense** Ang

- Sutural striae longer, confined within the apical ½ of elytra or extended beyond middle of elytra. 3

3 Head with clypeal line more clearly impressed, more superficial at middle. India (Kumaon, Kashmir, Himachal Pradesh) and Nepal. Length 1.9-2.0 mm. Aedeagus: fig. 148; spermatheca: fig. 634 . . . . . **kumaonicum** Ang. & Dmz.

- Head with clypeal line superficial or absent, sutural striae confined within the apical half of elytra, Japan and Taiwan or China 4

4 Head with clypeal line superficial, antennae with club dark, whole dorsum reddish-brown and with fine puncturation, size smaller (1.7-1.8 mm), tarsal formula ♂ and ♀ 4-4-4. Aedeagus: fig. 149; spermatheca: fig. 635. Japan (Honshu, Shikoku, Kyushu), Taiwan . . . . . **kyotoense** Ang. & Dmz.

- Head without clypeal line or evanescent, antennae with club black, whole dorsum black and with clear and sparse puncturation, size larger (2.8-3.0 mm), tarsal formula ♂ 5-5-4, ♀ 4-4-4. Aedeagus: fig. 150; spermatheca: fig. 636. China (Sichuan) . . . . . **kandingense** Ang.

5 Head widest just behind eyes or at the posterior margin (figs. 40-41) 6

- Head widest at eyes (figs. 42-44) 8

6 Head widest at posterior margin of eyes (fig. 40), sutural striae shorter, confined within the apical quarter of elytra, clypeal line absent, head and pronotum with microreticulation less evident. Length 2.5-2.7 mm. Aedeagus: fig. 151. Taiwan . . . . . **nigrocastaneum** Ang. & Dmz.

- Head widest just behind eyes (fig. 41), sutural striae longer, confined within the apical half of elytra, clypeal line impressed or less evident, head and pronotum without microreticulation 7

7 Clypeal line impressed, dorsum with simple puncturation, antennal segments 9°-10° dark, ratio of 3rd/2nd antennal segments = 1.2, dorsum black, sutural striae superficial. Length 2.5-2.75 mm. Aedeagus: fig. 152; spermatheca: fig. 637. India (Meghalaya), China (Fujian). . . . . **unicolorum** Ang. & Dmz.

- Clypeal line less evident, dorsum with double puncturation, antennal club dark, ratio of 3rd/2nd antennal segments = 1.7, dorsum of head and pronotum reddish-brown, elytra black, sutural striae impressed. Length 2.75 mm. Head: fig. 41; aedeagus: fig. 153. China (Shaanxi) . . . . . **shaanxiense** Ang. & Švec

8 Ratio of 3rd/2nd antennal segments = 2-2.1 9

- Ratio of 3rd/2nd antennal segments = 1.2-1.7 10

9 Size larger (3.45 mm), sutural striae evanescent before middle of elytra, clypeal line superficial, antennal segments 7°-8° dark and 9°-11° black, Vietnam, Malaysia (Sabah) and Indonesia (Java and Borneo). Aedeagus: fig. 154; spermatheca: fig. 638 . . . . . **angulatum** Ang.

- Size smaller (2.8 mm), sutural striae extended beyond middle of elytra, clypeal line absent, antennal club black, China (Yunnan). Aedeagus: fig. 155 . . . . . **fuscatum** Ang.

10 Antennal segments 7°-11° dark. 11

- Antennal club dark or black 13

11 Sutural striae shorter, evanescent before middle of elytra, clypeal line superficial, Nepal and Bhutan. Length 3.65 mm. Spermatheca: fig. 639 . . . . . **bhutanense** Ang.

- Sutural striae longer, confined within the apical half of elytra, clypeal line less evident, China or Taiwan. 12

12 Whole dorsum with microreticulation less evident, pronotum much broader than long (ratio width/length = 2), membranous wings absent. Length 3.3 mm. Head: fig. 42; spermatheca: fig. 640. Taiwan . . . . . **praeustum** Ang. & Dmz.

- Whole dorsum without microreticulation, pronotum less broader than long (ratio width/length = 1.76), membranous wings present. Length 3.5 mm. Aedeagus: fig. 156; antennae: fig. 4. China (Fujian) . . . . . **bonzi** Ang. & Dmz.

13 Sutural striae longer, confined within the apical half of elytra, antennal club black 14

- Sutural striae shorter, confined within the apical third of elytra, antennal club darkened 17

14 Sutural striae weak, pronotum and elytra with traces of microreticulation. Length 2.7-2.9 mm. Aedeagus: fig. 157. China (Shaanxi). . . . . **jonathani** Ang.

- Sutural striae impressed, pronotum and elytra without traces of microreticulation. 15

15 Ratio of 3rd/2nd antennal segments = 1.7, tarsal formula ♀ 5-4-4. Length 2.90-2.95 mm. Head: fig. 43; aedeagus: fig. 158; spermatheca: fig. 641. China (Yunnan). . . . . **brunnipes** Ang. & Švec

- Ratio of 3rd/2nd antennal segments = 1.3, tarsal formula ♀ 4-4-4. 16

16 Species of Palaearctic region and Taiwan. Length 2.2-3.3 mm. Aedeagus: fig. 159; spermatheca: fig. 642 . . . . . **confusum** Bris.

- Species of Nepal. Length 2.1-2.55 mm. Aedeagus: fig. 160; spermatheca: fig. 643; meso- metasternum: fig. 14; elytra in lateral view: fig. 18 . **pseudoconfusum** Ang. & Dmz.

17 Size larger (2.85 mm), head with clypeal line superficial, ratio of 3rd/2nd antennal segments = 1.6, pronotum moderately broader than long (ratio width/length = 1.75, tarsal formula ♂ 5-5-4, China (Fujian). Head: fig. 44; aedeagus: fig. 161 . . . . . **semicastaneum** Ang.

- Size smaller (2.15-2.4 mm), head with clypeal line impressed, ratio of 3rd/2nd antennal segments = 1.2, pronotum much broader than long (ratio width/length = 2.05, tarsal formula ♂ 4-4-4, Nepal. Aedeagus: fig. 162; spermatheca: fig. 644 . . . . . **oculatum** Ang. & Dmz.

Gruppo ***marginatum*** Sturm

Diagnosi. Tegumento dorsale microreticolato, elitre senza strie suturali.

Discussione. Gruppo scarsamente presente nell'Asia sudorientale e in Cina; le uniche due specie ad esso ascritte sono relegate alle regioni nordorientali. Il numero di specie con formula tarsale 4-4-4 nelle femmine è percentualmente maggiore di quello presente nella regione paleartica.

Distribuzione geografica. Gruppo di specie presente nella regione neartica con 1 specie, paleartica con 18 e orientale con 2 (6 considerando la Cina paleartica); nella regione orientale è presente solo in Cina (Yunnan) e Taiwan.

CHIAVE DICOTOMICA DELLE SPECIE DEL GRUPPO *MARGINATUM* STURM

1 Massima larghezza del capo al margine posteriore degli occhi oppure dietro di esso, tempia lunga ¼ degli stessi (figg. 45-46). 2

- Massima larghezza del capo a livello degli occhi. 3

2 Massima larghezza del capo dietro al margine posteriore degli occhi (fig. 45), rapporto antennomeri 3°/2° = 1.3. Tegumento dorsale rosso-bruno; microreticolazione superficiale su capo ed elitre, più impressa sul pronoto; punteggiatura fine e rada su capo e pronoto, pressoché assente sulle elitre; antenne uniformemente testacee; linea clipeale molto superficiale. Formula tarsale ♂ 5-5-4, ♀ 4-4-4. Lungh. 2.7-3.1 mm. Edeago: fig. 163; spermateca: fig. 645. Cina (Sichuan) . . . . . **sichuanicum** Ang. & Dmz.

- Massima larghezza del capo al margine posteriore degli occhi (fig. 46), rapporto antennomeri 3°/2° = 1. Tegumento dorsale rosso-bruno più o meno scuro; microreticolazione impressa su capo e pronoto, superficiale o in vaghe tracce sulle elitre, punteggiatura assente, solo radi microscopici punti; antenne uniformemente testacee; linea clipeale molto superficiale. Lungh. 2.4-2.7 mm). Formula tarsale ♂ 5-5-4, ♀ 4-4-4. Edeago: fig. 164; spermateca: fig. 646. Cina (Sichuan). . . . . **abbreviatum** Ang.

3 Capo e pronoto striolato, elitre con microreticolazione impressa, specie di dimensioni maggiori (lungh. 3.55-3.6 mm). Tegumento dorsale nero; punteggiatura fine su capo e pronoto, assente sulle elitre; rapporto antennomeri 3°/2° = 1.5; antenne uniformemente testacee; linea clipeale appena evidente ai lati. Formula tarsale ♂ 5-5-4, ♀ 5-4-4. Edeago: fig. 165. Cina (Yunnan) . . . . . **kunmingense** Ang.

- Intero dorso con microreticolazione uniforme e superficiale o parzialmente microreticolato, specie di dimensioni minori (2.1-2.85 mm.) 4

4 Antenne uniformemente testacee, ali metatoraciche assenti, rapporto pronoto/capo = 1,51. Tegumento dorsale rosso-bruno e con microreticolazione superficiale e uniforme; punteggiatura assente, solo rari microscopici punti; rapporto antennomeri 3°/2° = 0.8; linea clipeale poco evidente. Formula tarsale ♂ 5-5-4, ♀ 4-4-4. Lungh. 2.25-2.3. Edeago: fig. 166; spermateca: fig. 647. Cina (Hubei) . . . . . **zhoui** Ang. & Cooter

- Antenne testacee con clava scura o con antennomeri 9°-10° scuri, ali metatoraciche presenti, rapporto pronoto/capo = 1.6-1.62 5

5 Antenne testacee con clava scura, rapporto antennomeri 3°/2° = 0.7, specie di dimensioni minori (2.1-2.3 mm.), microreticolazione uniforme e superficiale sull'intero dorso. Tegumento dorsale nero e con punteggiatura fine e rada; linea clipeale molto superficiale. Formula tarsale ♂ e ♀ 4-4-4. Edeago: fig. 167; spermateca: fig. 648. Taiwan . . . . . **tarokoense** Ang. & Dmz.

- Antenne testacee con antennomeri 9°-10° scuri, rapporto antennomeri 3°/2° = 1, specie di dimensioni maggiori (2.85 mm.), microreticolazione superficiale e uniforme sul pronoto, poco evidente su capo ed elitre. Tegumento dorsale rosso-bruno scuro; punteggiatura fine e rada su capo e pronoto, pressoché assente sulle elitre; linea clipeale superficiale. Formula tarsale ♀ 4-4-4. Spermateca: fig. 649. Cina (Sichuan) . . . . . **nubile** Ang.

KEY TO THE SPECIES OF THE *MARGINATUM* STURM GROUP

1 Head widest behind eyes or at posterior margin of eyes (figs. 45-46) 2

- Head widest at eyes. 3

2 Head widest behind eyes (fig. 45), temples ¼ length of the eye, ratio of 3rd/2nd antennal segments = 1.3. Length 2.7-3.1 mm. Aedeagus: fig. 163; spermatheca: fig. 645. China (Sichuan) . . . . . **sichuanicum** Ang. & Dmz.

- Head widest at posterior margin of eyes (fig. 46), ratio of 3rd/2nd antennal segments = 1. Length 2.4-2.7 mm. Aedeagus: fig. 164; spermatheca: fig. 646. China (Sichuan) . . . . . **abbreviatum** Ang.

3 Head and pronotum striolate, elytra with clearly impressed microreticulation, size larger (3.55-3.6 mm.). Aedeagus: fig. 165. China (Yunnan) . . . . . **kunmingense** Ang.

- Whole dorsum with uniform and superficial microreticulation or in part microreticulate, size smaller (2.1-2.85 mm)..... 4

4 Antennae uniformly testaceous, membraneous wings absent, pronotum moderately broader than long (ratio width/length = 1.51). Length 2.25-2.30. Aedeagus: fig. 166; spermatheca: fig. 647. China (Hubei) .. **zhoui** Ang. & Cooter

- Antennal club dark or with segments 9°-10° dark, membraneous wings present, pronotum much broader than long (ratio width/length = 1.6-1.62) 5

5 Antennal club dark, ratio of 3rd/2nd antennal segments = 0.7, size smaller (2.1-2.3 mm), whole dorsum with uniform and superficial microreticulation. Aedeagus: fig. 167; spermatheca: fig. 648. Taiwan ..... **tarokoense** Ang. & Dmz.

- Antennae with segments 9°-10° dark, ratio of 3rd/2nd antennal segments = 1, size larger (2.85 mm), microreticulation superficial on pronotum, in traces on head and elytra. Spermatheca: fig. 649. China (Sichuan) ... **nubile** Ang.

Gruppo ***canariense*** Lindberg

Diagnosi. Tegumento dorsale senza microreticolazione, elitre senza strie suturali.

Discussione. Gruppo scarsamente presente nell'Asia sudorientale e in Cina; le uniche tre specie ad esso ascritte sono relegate alle estreme regioni nordoccidentali o nordorientali. Il numero di specie con formula tarsale 4-4-4 nei maschi e/o nelle femmine è percentualmente maggiore di quello presente nella regione paleartica ed analogo a quello del gruppo *marginatum*.

Distribuzione geografica. Gruppo di specie presente nella regione neartica con 4 specie, paleartica con 7 e orientale con 3 presenti solo in Pakistan e Taiwan.

CHIAVE DICOTOMICA DELLE SPECIE DEL GRUPPO *CANARIENSE* LINDBERG

1 Antenne uniformemente testacee, pronoto molto trasverso (rapp. la/lu = 1.98), formula tarsale ♀ 5-4-4. Tegumento dorsale rosso-bruno scuro; microreticolazione assente, solo vaghe tracce sulle elitre; punteggiatura fine su capo e pronoto, più impressa sulle elitre; rapporto antennomeri 3°/2° = 1; linea clipeale assente. Formula tarsale ♂ 5-5-4. Lungh. 2.1-2.5 mm. Capo: fig. 47; edeago: fig. 168; spermateca: fig. 650. Taiwan . . . . . **vestitum** Ang. & Dmz.

- Antenne testacee con antennomeri 9°-10° scuri, pronoto meno trasverso (rapp. la/lu = 1.72-1.75), formula tarsale ♀ 4-4 2

2 Massima larghezza del capo al margine posteriore degli occhi (fig. 48), rapporto antennomeri 3°/2° = 1, linea clipeale assente; specie di Taiwan. Tegumento dorsale rosso-bruno scuro, più chiaro ai lati, interamente con punteggiatura molto fine. Formula tarsale ♂ 5-5-4. Lungh. 2.1-2.5 mm. Edeago: fig. 169; spermateca: fig. 651 . . . . . **rufomarginatum** Ang. & Dmz.

- Massima larghezza del capo a livello degli occhi, rapporto antennomeri 3°/2° = 1.6, linea clipeale superficiale; specie del Pakistan. Tegumento dorsale rosso-bruno e con punteggiatura fine. Formula tarsale ♂ 5-5-4. Lungh. 2.6-2.85 mm. Edeago: fig. 170; spermateca: fig. 652 . . . . . **dardi** Ang. & Dmz.

KEY TO THE SPECIES OF THE *CANARIENSE* LINDBERG GROUP

1 Antennae uniformly testaceous, pronotum much broader than long (ratio width/length = 1.98), tarsal formula ♀ 5-4-4. Length 2.1-2.5 mm. Head: fig. 47; aedeagus: fig. 168; spermatheca: fig. 650. Taiwan . . . . . **vestitum** Ang. & Dmz.

- Antennal segments 9°-10° dark, pronotum less broader than long (ratio width/length = 1.72-1.75), tarsal formula ♀ 4-4-4 2

2 Head widest at posterior margin of eyes (fig. 48), ratio of 3rd/2nd antennal segments = 1, clypeal line absent, Taiwan. Length 2.1-2.5 mm. Aedeagus: fig. 169; spermatheca: fig. 651 . . . . . **rufomarginatum** Ang. & Dmz.

- Head widest at eyes, ratio of 3rd/2nd antennal segments = 1.6, clypeal line superficial, Pakistan. Length 2.6-2.85 mm. Aedeagus: fig. 170; spermatheca: fig. 652 . . . . . **dardi** Ang. & Dmz.

Sottogenere ***Agathidium*** Panzer, 1797

Agathidium Panzer, 1797: 13; Thomson, 1859: 59; Gozis, 1886: 15; Portevin, 1905: 423; Hatch, 1929: 65; Hlisnikovský, 1964: 125; 1972: 131; Angelini & De Marzo, 1981: 207; 1984c: 8; 1983a: 158; 1983b: 153; 1984a: 564; 1984b: 165; 1985a: 38; 1985b: 31; 1986a: 424; 1986b: 592; 1986c: 835; 1987: 455; 1989a: 25; 1989b: 461; 1990: 53; 1993: 430; 1994: 6; 1995a: 201; 1995b: 166; 1998a: 127; 1998b: 354; Cooter, 1984: 69; Angelini & Cooter, 1985: 126; 1986: 37; 1999: 190, 194, 226; 2003: 7; Angelini, 1986: 155; 1988: 16; 1990: 243; 1992a: 202; 1992b: 166; 1993a: 200; 1993b: 37; 1995a: 128; 1995c: 257; 1996: 2; 1998: 140; 1999a: 914; 1999b: 170; 2000a: 308; 2000b: 117; 2000c: 37; 2002a: 344; 2002b: 492; Angelini & Stephenson, 1990: 121; Angelini & Švec, 1994: 14; 1995: 512; 2000: 137; 2002: 4; Hoshina, 1998: 145.

Cyphoceble C. G. Thomson, 1862: 48 (nec 1859).

Saccoceble: Portevin, 1926: 81.

Specie tipo: *Tetratoma globosa* Herbst, 1792 (= *Agathidium seminulum* (Linnaeus, 1758)).

Diagnosi. Profilo laterale delle elitre con angolo omerale poco accennato (figg. 19, 21), metasterno con linee femorali complete o incomplete (fig. 15), capo senza ribordo anteriore, salvo che nelle specie del gruppo *madurense*, linea clipeale assente o costituita da un solco continuo ed arcuato, più o meno impresso; formula tarsale: nei ♂♂ 5-5-4 o raramente 4-4-4, nelle ♀♀ 5-4-4 o 4-4-4; tegumento dorsale con brevi e rade setole; edeago generalmente munito di un distinto pezzo ventrale, spermateca con parte basale generalmente piriforme o globosa e parte apicale esile. Nei confronti dei sottogeneri che ugualmente presentano elitre con angolo omerale poco accennato e metasterno con linee femorali (*Euryceble* e *Microceble*), *Agathidium* s. str. si distingue per l'assenza o il particolare aspetto della linea clipeale, per la forma degli occhi che non sono mai

semisferici e molto protuberanti e, secondariamente, per il minore rapporto pronoto/capo.

Discussione. È questo il sottogenere più ricco di specie nell'Asia sudorientale e in Cina. In tutte le specie (tranne *A. melancholicum* Ang. & Cooter) è assente la linea clipeale (presente invece in gran parte di quelle della regione paleartica). Il numero di taxa con formula tarsale 4-4-4 nei maschi e/o nelle femmine è percentualmente maggiore di quello presente nella regione paleartica.

Distribuzione geografica. Sottogenere presente nella regione nord neotropicale con 2 specie, neartica con 20 specie, paleartica con 123 e orientale con 248 (290 considerando la Cina paleartica); nella regione orientale è presente essenzialmente nella parte settentrionale e solo marginalmente in quella centromeridionale, è assente nelle Filippine.

CHIAVE DICOTOMICA DEI GRUPPI DI SPECIE DEL SOTTOGENERE *AGATHIDIUM* PANZER, 1797

1 Capo con ribordo tra clipeo e occhi, più evidente presso il clipeo . . . . . gruppo **madurense** Portevin

- Capo con fine e uniforme ribordo tra clipeo e occhi. 2

2 Elitre con strie suturali 3

- Elitre senza strie suturali. 4

3 Tegumento dorsale microreticolato . . . . . gruppo **seminulum** (Linnaeus)

- Tegumento dorsale non microreticolato . . . . . gruppo **atrum** (Paykull)

4 Tegumento dorsale microreticolato. . . . . gruppo **laevigatum** Erichson

- Tegumento dorsale non microreticolato . . . . . gruppo **dentatum** Mulsant & Rey

KEY TO THE SPECIES GROUPS OF SUBGENUS *AGATHIDIUM* PANZER, 1797

1 Clypeus at antero-lateral margin with a raised bead . . . . . **madurense** Portevin group

- Clypeus without antero-lateral raised marginal bead 2

2 Elytra with sutural striae 3

- Elytra without sutural striae 4

3 Dorsum with microreticulation . **seminulum** (Linnaeus) group

- Dorsum without microreticulation . . . . **atrum** (Paykull) group

4 Dorsum with microreticulation . . **laevigatum** Erichson group

- Dorsum without microreticulation . . . . . **dentatum** Mulsant & Rey group

Gruppo ***madurense*** Portevin

Diagnosi. Capo con ribordo tra clipeo e occhi, più evidente presso il clipeo.

Discussione. Si tratta di un gruppo di specie molto eterogeneo per quanto attiene i caratteri esoscheletrici esterni; infatti esso comprende specie con o senza strie suturali e microreticolazione. La presenza di netto ribordo presso il clipeo è comunque un buon carattere, anche se a volte di non immediata individuazione. Forse andrebbe ridefinito in quanto dovrebbe comprendere solo specie prive di microreticolazione e strie suturali. È però omogeneo per quanto attiene la formula tarsale che, contrariamente a quanto si verifica negli altri gruppi, nei maschi è sempre 5-5-4 e nelle femmine 5-4-4.

Distribuzione geografica. Gruppo di specie presente nella regione paleartica sudorientale (Cina) con 9 specie e orientale con 77 (83 considerando la Cina paleartica); nella regione orientale è presente in tutte le nazioni tranne Pakistan, Bhutan, Sri Lanka e Filippine.

CHIAVE DICOTOMICA DELLE SPECIE E DELLE SOTTOSPECIE DEL GRUPPO *MADURENSE* PORTEVIN

1 Elitre con strie suturali 2

- Elitre senza strie suturali. 6

2 Massima larghezza del capo dietro al margine posteriore degli occhi, tempia lunga ¼ degli stessi (fig. 49), strie suturali raggiungenti la metà delle elitre 3

- Massima larghezza del capo al margine posteriore degli occhi o al loro livello (fig. 50), strie suturali brevi, raggiungenti il terzo apicale delle elitre. 4

3 Microreticolazione assente, rapporto antennomeri 3°/2° = 1.57; sottospecie dell'India (Uttar Pradesh) e del Nepal. Tegumento dorsale rosso-bruno, elitre con venature nere; punteggiatura fine su capo e pronoto, impressa sulle elitre; antenne uniformemente testacee; strie suturali impresse. Formula tarsale ♂ 5-5-4, ♀ 5-4-4. Lungh. 3.0-3.4 mm. Edeago: fig. 171; spermateca: fig. 653; metafemore del ♂: fig. 998; elitre in visione laterale: fig. 19 . . . . . **alatum alatum** Ang. & Dmz.

- Microreticolazione poco evidente sull'intero dorso, rapporto antennomeri 3°/2° = 1.8; sottospecie della Cina (Yunnan e Sichuan). Tegumento dorsale rosso-bruno scuro o nero con lati più chiari; punteggiatura fine su capo e pronoto, impressa sulle elitre; antenne uniformemente testacee; strie suturali impresse. Formula tarsale ♂ 5-5-4, ♀ 5-4-4. Lungh. 3.2-4.3 mm. Capo: fig. 49; edeago: fig. 172; spermateca: fig. 654; metafemore del ♂: fig. 999 . . . . . **alatum heishuiense** Ang. & Švec

4 Elitre con microreticolazione appena evidente; specie del Myanmar. Tegumento dorsale rosso-bruno scuro e con punteggiatura fine ma impressa; antenne uniformemente testacee; rapporto antennomeri 3°/2° = 1.4; strie suturali molto superficiali. Formula tarsale ♂ 5-5-4. Lungh. 2.65 mm. Edeago: fig. 173; metafemore del ♂: fig. 1000 . . . . . **separatum** Ang.

- Elitre con microreticolazione superficiale; specie del Nepal 5

5 Antenne testacee con clava scura, rapporto antennomeri 3°/2° = 1.5, metafemori del ♂ rettilinei al margine posteriore (fig. 1001), capo e pronoto con microreticolazione appena evidente, edeago in visione dorsale uniformemente ristretto verso l'apice (fig. 174). Tegumento dorsale rosso-bruno scuro; punteggiatura fine e rada su capo e pronoto, assente sulle elitre; strie suturali molto superficiali. Formula tarsale ♂ 5-5-4. Lungh. 2.5 mm. Capo: fig. 50. Nepal. . . . . **pedemontanum** Ang. & Dmz.

- Antenne uniformemente testacee, rapporto antennomeri 3°/2° = 1.35, metafemori del ♂ dilatati al margine posteriore (fig. 1002), capo e pronoto non microreticolati, edeago in visione dorsale ristretto prima dell'apice (fig. 175). Tegumento dorsale rosso-bruno scuro e con punteggiatura fine e rada; strie suturali molto superficiali. Formula tarsale ♂ 5-5-4. Lungh. 2.35 mm. Nepal . . . . . **yeti** Ang. & Dmz.

6 Massima larghezza del capo al margine posteriore degli occhi 7

- Massima larghezza del capo a livello degli occhi (figg. 51-60) 8

7 Rapporto antennomeri 3°/2° = 1.7, antenne testacee con antennomeri 9°-10° scuri, elitre senza tracce di microreticolazione, specie di dimensioni maggiori (lungh. 3.1 mm). Intero tegumento dorsale uniformemente nero, privo di microreticolazione e con punteggiatura fine e rada. Formula tarsale ♂ 5-5-4. Edeago: fig. 176; metafemore del ♂: fig. 1003. Cina (Sichuan). . . . . **krali** Ang. & Švec

- Rapporto antennomeri 3°/2° = 1.5, antenne testacee con clava nera, elitre con tracce di microreticolazione, specie di dimensioni minori (lungh. 2.7 mm). Tegumento dorsale di capo e pronoto rosso-bruno scuro, elitre nere, interamente con punteggiatura impressa. Formula tarsale ♂ 5-5-4. Edeago: fig. 177; metafemore del ♂: fig. 1004. Cina (Sichuan). . . . . **kejvali** Ang. & Švec

8 Antenne testacee con intera clava o con almeno alcuni antennomeri scuri o neri. 9

- Antenne uniformemente testacee. 44

9 Antenne testacee con antennomeri 4°-11° scuri. Tegumento dorsale nero e con punteggiatura fine; microreticolazione superficiale e uniforme su capo e pronoto, appena evidente sulle elitre; rapporto antennomeri 3°/2° = 1.4. Formula tarsale ♂ 5-5-4, ♀ 5-4-4. Lungh. 3.0-3.5 mm. Edeago: fig. 178; spermateca: fig. 655; metafemore del ♂: fig. 1005. Malaysia (Sabah), ? Indonesia (Sumatra) . . . . . **luctuosum** Ang. & Dmz.

- Antenne testacee con intera clava o antennomeri 7°-10°, 7°-11°, 9°-10° scuri o neri. 10

10 Antenne testacee con antennomeri 7°-10° o 7°-11° scuri o neri 11

- Antenne testacee con intera clava o antennomeri 9°-10° scuri o neri. 18

11 Antenne testacee con antennomeri 7°-10° scuri o neri 12

- Antenne testacee con antennomeri 7°-11° scuri o neri 13

12 Specie della Thailandia e di Taiwan. Tegumento dorsale uniformemente rosso-bruno e privo di microreticolazione; punteggiatura presente solo su capo e pronoto, fine e rada; antenne testacee con antennomeri 7°-10° più scuri; rapporto antennomeri 3°/2° = 1.3. Formula tarsale ♂ 5-5-4, ♀ 5-4-4. Lungh. 2.7-3.0 mm. Edeago: fig. 179; spermateca: fig. 656; metafemore del ♂: fig. 1006. . . . . **formosum** Ang. & Dmz.

- Specie dell'Indonesia (Sumatra). Tegumento dorsale rosso-bruno scuro e privo di microreticolazione; punteggiatura impressa su capo e pronoto, più fine sulle elitre; antenne testacee con antennomeri 7°-8° inscuriti e 9°-10° neri; rapporto antennomeri 3°/2° = 1.25. Formula tarsale ♂ 5-5-4. Lungh. 2.9 mm. Edeago: fig. 180; metafemore del ♂: fig. 1007. . . . . **inelegans** Ang.

13 Specie della Cina o di Taiwan 14

- Specie dell'India 15

14 Tegumento dorsale uniformemente nero, rapporto antennomeri 3°/2° = 1.5, ali metatoraciche presenti, metafemori del ♂ con dente al margine posteriore (fig. 1008), edeago in visione dorsale con apice simmetrico (fig. 181). Microreticolazione assente, solo vaghe tracce sulle elitre; punteggiatura fine sull'intero dorso. Formula tarsale ♂ 5-5-4, ♀ 5-4-4. Lungh. 2.6-2.8 mm. Spermateca: fig. 657. Cina (Yunnan) . . . . . **becvari** Ang. & Švec

- Tegumento dorsale uniformemente rosso-bruno, rapporto antennomeri 3°/2° = 1, ali metatoraciche assenti, metafemori del ♂ dilatati al margine posteriore (fig. 1009), edeago in visione dorsale con apice asimmetrico (fig. 182). Microreticolazione assente, solo vaghe tracce sulle elitre; punteggiatura fine e rada sull'intero dorso. Formula tarsale ♂ 5-5-4, ♀ 5-4-4. Lungh. 2.6-2.8 mm. Spermateca: fig. 658. Taiwan . . . . . **familiare** Ang. & Dmz.

15 Elitre con microreticolazione appena evidente, rapporto pronoto/capo = 1.76, rapporto antennomeri 3°/2° = 1.2. Tegumento dorsale rosso-bruno; microreticolazione assente su capo e pronoto; punteggiatura impressa su capo e pronoto, microscopica sulle elitre. Formula tarsale ♂ 5-5-4. Lungh. 2.7 mm. Edeago: fig. 183; metafemore del ♂: fig. 1010. India (Kerala) . . . . . **keralaense** Ang.

- Elitre non microreticolate, rapporto pronoto/capo = 1.5, rapporto antennomeri 3°/2° = 1.4-1.6 16

16 Specie di dimensioni maggiori (lungh. 3.5-4.15 mm), tegumento dorsale uniformemente nero, metafemori del ♂ con dente al margine posteriore (fig. 1011). Dorso privo di microreticolazione e con punteggiatura fine e rada; rapporto antennomeri 3°/2° = 1.6. Formula tarsale ♂ 5-5-4, ♀ 5-4-4. Edeago: fig. 184; spermateca: fig. 659. India (Kerala, Tamil Nadu) . . . . . **pseudomadurense** Ang. & Dmz.

- Specie di dimensioni minori (lungh. 2.8-3.3 mm), tegumento dorsale uniformemente rosso-bruno o con elitre nere, metafemori del ♂ dilatati al margine posteriore (figg. 1012-1213) 17

17 Specie di dimensioni maggiori (lungh. 3.2-3.3 mm), edeago in visione dorsale ristretto prima dell'apice (fig. 185). Tegumento dorsale rosso-bruno, più chiaro ai lati oppure con elitre nere, interamente privo di microreticolazione e con punteggiatura fine; rapporto antennomeri 3°/2° = 1.4. Formula tarsale ♂ 5-5-4, ♀ 5-4-4. Spermateca: fig. 660; metafemore del ♂: fig. 1012. India (Tamil Nadu). . . . . **madurense** Port.

- Specie di dimensioni minori (lungh. 2.8-3.0 mm), edeago in visione dorsale uniformemente ristretto verso l'apice (fig. 186). Tegumento dorsale rosso-bruno, privo di microreticolazione e con punteggiatura fine e rada; rapporto antennomeri 3°/2° = 1.5. Formula tarsale ♂ 5-5-4, ♀ 5-4-4. Spermateca: fig. 661; metafemore del ♂: fig. 1013. India (Meghalaya) . . . . . **shillongense** Ang. & Dmz.

18 Antenne testacee con antennomeri 9°-10° scuri o neri 19

- Antenne testacee con intera clava scura o nera 33

19 Rapporto antennomeri 3°/2° = 0.83, ali metatoraciche vestigiali. Tegumento dorsale rosso-bruno o nero, privo di microreticolazione e con punteggiatura fine e rada. Formula tarsale ♂ 5-5-4, ♀ 4-4-4. Lungh. 2.75-2.85 mm. Capo: fig. 51; edeago: fig. 187; spermateca: fig. 662; metafemore del ♂: fig. 1014. Cina (Yunnan) . . . . . **gratiosum** Ang. & Švec

- Rapporto antennomeri 3°/2° = 1.15-2, ali metatoraciche presenti, ben sviluppate. 20

20 Specie della Cina 21

- Specie dell'Asia 22

21 Rapporto antennomeri 3°/2° = 1.7, specie di dimensioni maggiori (lungh. 3.0-3.2 mm), metafemori del ♂ rettilinei al margine posteriore (fig. 1015), capo con occhi poco protuberanti e sporgenti (fig. 52). Tegumento dorsale rosso-bruno e con punteggiatura fine e rada; microreticolazione assente, solo vaghe tracce sulle elitre. Formula tarsale ♂ 5-5-4, ♀ 5-4-4. Edeago: fig. 188; spermateca: fig. 663. Cina (Yunnan) . . . . . **occultum** Ang. & Dmz.

- Rapporto antennomeri 3°/2° = 1.2, specie di dimensioni minori (lungh. 2.75 mm), metafemori del ♂ dilatati al margine posteriore (fig. 1016), capo con occhi più protuberanti e sporgenti (fig. 53). Tegumento dorsale rosso-bruno, privo di microreticolazione e con punteggiatura fine e rada. Formula tarsale ♂ 5-5-4. Edeago: fig. 189. Cina (Yunnan) . . . . . **thaii** Ang.

22 Specie del Nepal. Tegumento dorsale rosso-bruno, con microreticolazione poco evidente e punteggiatura fine e rada; rapporto antennomeri 3°/2° = 1.15. Formula tarsale ♂ 5-5-4. Lungh. 2.3 mm. Edeago: fig. 190; metafemore del ♂: fig. 1017 . . . . . **signatum** Ang. & Dmz.

- Specie dell'Insulindia o regione indocinese 23

23 Specie dell'Insulindia. 24

- Specie della regione indocinese. 29

24 Capo e pronoto con microreticolazione superficiale. 25

- Capo e pronoto privi di microreticolazione 26

25 Specie di dimensioni maggiori (lungh. 3.05-3.15 mm), rapporto antennomeri 3°/2° = 1.7, edeago in visione dorsale con apice tronco (fig. 191). Tegumento dorsale rosso-bruno scuro o nero e con punteggiatura impressa. Formula tarsale ♂ 5-5-4, ♀ 5-4-4. Capo in visione dorsale e laterale: figg. 54-55; spermateca: fig. 664; metafemore del ♂: fig. 1018. Malaysia (Malaya), Indonesia (Sumatra) . . . . . **watrousi** Ang.

- Specie di dimensioni minori (lungh. 2.6-2.8 mm), rapporto antennomeri 3°/2° = 1.5, edeago in visione dorsale con apice largamente arrotondato (fig. 192). Tegumento dorsale rosso-bruno scuro o nero; punteggiatura fine su capo e pronoto, più impressa sulle elitre. Formula tarsale ♂ 5-5-4, ♀ 5-4-4. Spermateca: fig. 665; metafemore del ♂: fig. 1019. Malaysia (Malaya), Indonesia (Sumatra) . . . . . **wheeleri** Ang.

26 Tegumento dorsale uniformemente nero, edeago in visione dorsale uniformemente ristrettoverso l'apice (figg. 193-194) 27

- Tegumento dorsale uniformemente rosso-bruno, edeago in visione dorsale ristretto prima dell'apice (figg. 195-196) 28

27 Edeago in visione dorsale con parameri uniformemente assottigliati verso l'apice (fig. 193); specie della Malaysia (Malaya). Tegumento dorsale privo di microreticolazione e con punteggiatura fine e rada; rapporto antennomeri 3°/2° = 1.3. Formula tarsale ♂ 5-5-4. Lungh. 2.75 mm. Metafemore del ♂: fig. 1020 . . . . . **senoi** Ang.

- Edeago in visione dorsale con parameri dilatati verso l'apice (fig. 194); specie dell'Indonesia (Sumatra). Tegumento dorsale con punteggiatura fine e microreticolazione assente o poco evidente; rapporto antennomeri 3°/2° = 1.4. Formula tarsale ♂ 5-5-4, ♀ 5-4-4. Lungh. 2.5-2.8 mm. Spermateca: fig. 666; metafemore del ♂: fig. 1021 . . . . . **subobscurum** Ang. & Dmz.

28 Rapporto antennomeri 3°/2° = 1.2, specie di dimensioni minori (lungh. 2.75 mm) e della Malaysia (Malaya), metafemori del ♂ nettamente dilatati al margine posteriore (fig. 1022). Tegumento dorsale privo di microreticolazione e con punteggiatura fine e rada. Formula tarsale ♂ 5-5-4, ♀ 5-4-4. Edeago: fig. 195; spermateca: fig. 667 . . . . . **hlisnikovskyi** Ang. & Dmz.

- Rapporto antennomeri 3°/2° = 1.7, specie di dimensioni maggiori (lungh. 2.95 mm) e dell'Indonesia (Giava), metafemori del ♂ poco dilatati al margine posteriore (fig. 1023). Tegumento dorsale privo di microreticolazione e con punteggiatura fine e rada. Formula tarsale ♂ 5-5-4. Edeago: fig. 196 . . . . . **calvum** Ang.

29 Rapporto antennomeri 3°/2° = 2. Tegumento dorsale rosso-bruno e con punteggiatura impressa ma rada; microreticolazione assente, solo vaghe tracce sulle elitre. Formula tarsale ♂ 5-5-4, ♀ 5-4-4. Lungh. 3.0-3.15 mm. Capo: fig. 56; edeago: fig. 197; spermateca: fig. 668; metafemore del ♂: fig. 1024. Vietnam . . . . . **pecki** Ang.

- Rapporto antennomeri 3°/2° = 1.15-1.6 30

30 Rapporto antennomeri 3°/2° = 1.6, specie di dimensioni maggiori (lungh. 3.5-3.7 mm). Tegumento dorsale rosso-bruno, privo di microreticolazione e con punteggiatura fine e rada. Formula tarsale ♂ 5-5-4, ♀ 5-4-4. Edeago: fig. 198; metafemore del ♂: fig. 1025. Vietnam . . . . . **nahangense** Ang.

- Rapporto antennomeri 3°/2° = 1.15-1.3, specie di dimensioni minori (lungh. 2.4-3.25 mm) 31

31 Specie di dimensioni maggiori (lungh. 3.1-3.25 mm), rapporto antennomeri 3°/2° = 1.3, rapporto pronoto/capo = 1.74. Tegumento dorsale rosso-bruno e con punteggiatura fine e rada; microreticolazione assente, solo vaghe tracce sulle elitre. Formula tarsale ♂ 5-5-4, ♀ 5-4-4. Edeago: fig. 199; spermateca: fig. 669; metafemore del ♂: fig. 1026. Vietnam . . . . . **caovansungi** Ang.

- Specie di dimensioni minori (lungh. 2.4-2.6 mm), rapporto antennomeri 3°/2° = 1.15, rapporto pronoto/capo = 1.3-1.64 32

32 Pronoto discretamente trasverso (rapp. la/lu = 1.5), rapporto pronoto/capo = 1.64, ali metatoraciche presenti. Tegumento dorsale di capo e pronoto rosso-bruno, elitre più scure; microreticolazione assente, solo vaghe tracce sulle elitre; punteggiatura microscopica su capo e pronoto, più impressa sulle elitre; rapporto antennomeri 3°/2° = 1.15. Formula tarsale ♂ 5-5-4, ♀ 5-4-4. Lungh. 2.55-2.6 mm. Edeago: fig. 200; spermateca: fig. 670; metafemore del ♂: fig. 1027. Thailandia . . . . . **apocryphum** Ang.

- Pronoto poco trasverso (rapp. la/lu = 1.27), rapporto pronoto/capo = 1.3, ali metatoraciche assenti. Tegumento dorsale rosso-bruno e con punteggiatura fine e rada; microreticolazione assente, solo vaghe tracce sulle elitre; rapporto antennomeri 3°/2° = 1.15. Formula tarsale ♂ 5-5-4. Lungh. 2.4 mm. Edeago: fig. 201; metafemore del ♂: fig. 1028. Vietnam . . . . . **kryzhanovskii** Ang.

33 Antenne con clava uniformemente nera 34

- Antenne con clava uniformemente rosso-bruno scura 36

34 Specie della Cina e di dimensione maggiore (lungh. 3.2-3.5 mm). Tegumento dorsale rosso-bruno o nero con capo rosso-bruno, interamente privo di microreticolazione e con punteggiatura fine e rada; rapporto antennomeri 3°/2° = 1,2. Formula tarsale ♂ 5-5-4, ♀ 5-4-4. Edeago: fig. 202; spermateca: fig. 671; metafemore del ♂: fig. 1029. Cina (Fujian) . . . . . **patris** Ang. & Cooter

- Specie dell'Indonesia o Nepal e di dimensioni minori (lungh. 2.35-2.85 mm). 35

35 Massima larghezza del capo al margine posteriore degli occhi, rapporto antennomeri 3°/2° = 1.25, edeago in visione dorsale ristretto prima dell'apice (fig. 203); specie dell'Indonesia (Sumatra). Tegumento dorsale uniformemente nero, privo di microreticolazione e con punteggiatura impressa e fitta. Formula tarsale ♂ 5-5-4. Lungh. 2.85 mm. Metafemore del ♂: fig. 1030. . . . . **nefandum** Ang.

- Massima larghezza del capo a livello degli occhi (fig. 57), rapporto antennomeri 3°/2° = 2, edeago in visione dorsale uniformemente ristretto verso l'apice (fig. 204); specie del Nepal. Tegumento dorsale uniformemente nero; microreticolazione poco evidente sul capo, molto superficiale sul pronoto, più impressa sulle elitre; punteggiatura fine e rada su capo e pronoto, assente sulle elitre. Formula tarsale ♂ 5-5-4. Lungh. 2.35 mm. Metafemore del ♂: fig. 1031 . . . . . **plumbeum** Ang.

36 Specie della Cina o di Taiwan 37

- Specie del Nepal e/o dell'India o della Thailandia 40

37 Tegumento dorsale uniformemente rosso-bruno, rapporto antennomeri 3°/2° = 1.8 38

- Tegumento dorsale uniformemente nero, rapporto antennomeri 3°/2° = 1.3-1.6. 39

38 Specie di dimensioni maggiori (lungh. 3.0-3.3 mm), metafemori del ♂ con dente al margine posteriore (fig. 1032). Tegumento dorsale rosso-bruno scuro, privo di microreticolazione e con punteggiatura fine e rada;

rapporto antennomeri 3°/2° = 1.8. Formula tarsale ♂ 5-5-4, ♀ 5-4-4. Edeago: fig. 205; spermateca: fig. 672. Cina (Shaanxi) . . . . . **schuelkeicum** Ang.

- Specie di dimensioni minori (lungh. 2.75 mm), metafemori del ♂ dilatati al margine posteriore (fig. 1033). Tegumento dorsale rosso-bruno; microreticolazione assente, solo vaghe tracce sulle elitre; punteggiatura fine su capo e pronoto, più impressa sulle elitre; rapporto antennomeri 3°/2° = 1.8. Formula tarsale ♂ 5-5-4. Edeago: fig. 206. Taiwan. . . . . **tardum** Ang. & Dmz.

39 Specie di dimensioni maggiori (lungh. 3.85 mm), rapporto pronoto/capo = 1.3, edeago in visione dorsale con apice arrotondato (fig. 207), metafemori del ♂ con dente al margine posteriore (fig. 1034), rapporto antennomeri 3°/2° = 1.6. Microreticolazione assente; punteggiatura microscopica su capo e pronoto, assente sulle elitre. Formula tarsale ♂ 5-5-4. Cina (Guangxi). . . . . **obscurum** Ang.

- Specie di dimensioni minori (lungh. 2.9 mm), rapporto pronoto/capo = 1.9, edeago in visione dorsale con apice tronco (fig. 208), metafemori del ♂ dilatati al margine posteriore (fig. 1035), rapporto antennomeri 3°/2° = 1.3. Microreticolazione assente, solo vaghe tracce sulle elitre; punteggiatura impressa e rada sull'intero dorso. Formula tarsale ♂ 5-5-4. Cina (Shaanxi) . . . . . **nigritulum** Ang.

40 Specie della Thailandia. Tegumento dorsale di capo e pronoto rosso-bruno, elitre più chiare, interamente privo di microreticolazione e con punteggiatura fine e rada, rapporto antennomeri 3°/2° = 1.3. Formula tarsale ♂ 5-5-4. Lungh. 2.8-3.2 mm. Edeago: fig. 209; metafemore del ♂: fig. 1036 . . . . . **silvestre** Ang. & Dmz.

- Specie dell'India e/o del Nepal. 41

41 Rapporto antennomeri 3°/2° = 1.7. Tegumento dorsale rosso-bruno, privo di microreticolazione e con punteggiatura impressa. Formula tarsale ♂ 5-5-4. Lungh. 2.75 mm. Edeago: fig. 210; metafemore del ♂: fig. 1037. India (Darjeeling) . . . . . **varuna** Ang. & Dmz.

- Rapporto antennomeri 3°/2° = 1.2-1.36 42

42 Rapporto pronoto/capo = 1.6, pronoto poco trasverso (rapp. la/lu = 1.25), metafemori del ♂ con dente al margine posteriore (fig. 1038). Tegumento dorsale rosso-bruno o nero con lati più chiari, privo di microreticolazione e con punteggiatura fine e rada; rapporto antennomeri 3°/2° = 1.2. Formula tarsale ♂ 5-5-4, ♀ 5-4-4. Lungh. 2.7-3.0 mm. Edeago: fig. 211; spermateca: fig. 673. India (Darjeeling, Meghalaya), Nepal . . . . . **khasicum** Ang. & Dmz.

- Rapporto pronoto/capo = 1.43-1.47, pronoto discretamente trasverso (rapp. la/lu = 1.4-1.48), metafemori del ♂ dilatati al margine posteriore (figg. 1039-1040) 43

43 Metafemori del ♂ poco dilatati al margine posteriore (fig. 1039), ali metatoraciche assenti, edeago in visione laterale con apice curvato verso l'alto (fig. 212). Tegumento dorsale di capo e pronoto rosso-bruno, elitre con venature nere, interamente privo di microreticolazione e con punteggiatura fine e rada; rapporto antennomeri 3°/2° = 1.3. Formula tarsale ♂ 5-5-4, ♀ 5-4-4. Lungh. 2.3-2.5 mm. Spermateca: fig. 674. India (Meghalaya) . . . . . **meghalayanum** Ang. & Dmz.

- Metafemori del ♂ più nettamente dilatati al margine posteriore (fig. 1040), ali metatoraciche presenti, edeago in visione laterale con apice curvato verso il basso (fig. 213). Tegumento dorsale di capo e pronoto rosso-bruno scuro, elitre quasi nere, interamente privo di microreticolazione e con punteggiatura impressa e rada; rapporto antennomeri 3°/2° = 1.36. Formula tarsale ♂ 5-5-4, ♀ 5-4-4. Lungh. 2.6-2.7 mm. Spermateca: fig. 675. India (Darjeeling, Meghalaya), ? Nepal . . . . . **lebongense** Ang. & Dmz.

44 Specie della Cina o di Taiwan o del Giappone (Ryukyus) 45

- Specie dell'Asia 59

45 Specie della Cina 46

- Specie di Taiwan o del Giappone (Ryukyus) 53

46 Rapporto antennomeri 3°/2° = 0.8. Tegumento dorsale rosso-bruno; microreticolazione assente, solo vaghe tracce sull'intero dorso; punteggiatura fine e rada su capo e pronoto, microscopica sulle elitre. Formula tarsale ♂ 5-5-4. Lungh. 2.6 mm. Capo: fig. 58; edeago: fig. 214; metafemore del ♂: fig. 1041. Cina (Yunnan) . . . . . **lijiangense** Ang.

- Rapporto antennomeri 3°/2° = 1-2.8 47

47 Specie di dimensioni maggiori (lungh. 5.5-6.5 mm), rapporto antennomeri 3°/2° = 2.8. Tegumento dorsale uniformemente nero e con punteggiatura fine e rada; microreticolazione assente, solo vaghe tracce sulle elitre. Formula tarsale ♂ 5-5-4. Capo: fig. 59; edeago: fig. 215; spermateca: fig. 676; metafemore del ♂: fig. 1042. Cina (Sichuan) . . . . . **giganteum** Ang. & Švec

- Specie di dimensioni minori (lungh. 2.45-4.3 mm), rapporto antennomeri 3°/2° = 1-1.75 48

48 Specie di dimensioni maggiori (lungh. 3.6-4.6 mm), elitre con microreticolazione superficiale o poco evidente, metafemori del ♂ con dente al margine posteriore (figg. 1043-1044) 49

- Specie di dimensioni minori (lungh. 2.45-3.4 mm), elitre del tutto prive di microreticolazione, metafemori del ♂ dilatati al margine posteriore (figg. 1045-1048) 50

49 Rapporto antennomeri 3°/2° = 1.75, specie di dimensioni minori (lungh. 3.6-4.3), colorazione del tegumento dorsale nero. Microreticolazione assente su capo e pronoto, molto superficiale o poco evidente sulle elitre; punteggiatura fine e rada sull'intero dorso. Formula tarsale ♂ 5-5-4, ♀ 5-4-4. Edeago: fig. 216; spermateca: fig. 677; metafemore del ♂: fig. 1043. Cina (Zhejiang) . . . . . **lasti** Ang. & Cooter

- Rapporto antennomeri 3°/2° = 1.2, specie di dimensioni maggiori (lungh. 4.55-4.6), colorazione del tegumento dorsale rosso-bruno scuro. Microreticolazione assente su capo e pronoto, poco evidente sulle elitre; punteggiatura fine e rada sull'intero dorso. Formula tarsale ♂ 5-5-4, ♀ 5-4-4. Edeago: fig. 217; spermateca: fig. 678; metafemore del ♂: fig. 1044. Cina (Fujian) . . . . . **paralasti** Ang. & Cooter

50 Specie di dimensioni minori (lungh. 2.45 mm), rapporto antennomeri 3°/2° = 1. Tegumento dorsale rosso-bruno scuro, capo più chiaro; microreticolazione assente; punteggiatura fine e rada sul capo, microscopica su pronoto ed elitre. Formula tarsale ♂ 5-5-4. Edeago: fig. 218, metafemore del ♂: fig. 1045. Cina (Yunnan) . . . . . **simulator** Ang.

- Specie di dimensioni maggiori (lungh. 2.6-3.4 mm), rapporto antennomeri 3°/2° = 1.27-1.4. 51

51 Specie di dimensioni maggiori (lungh. 3.4 mm) e con ali metatoraciche. Microreticolazione assente; punteggiatura fine e rada su capo e pronoto, pressoché assente sulle elitre; rapporto antennomeri 3°/2° = 1.4. Formula tarsale ♂ 5-5-4. Edeago: fig. 219; metafemore del ♂: fig. 1046. Cina (Guangxi, Shaanxi) . . . . . **vagum** Ang. & Dmz.

- Specie di dimensioni minori (lungh. 2.6-3.0 mm) e priva di ali metatoraciche 52

52 Edeago in visione dorsale con parameri dilatati all'apice (fig. 220), pronoto discretamente trasverso (rapp. la/lu = 1,59). Tegumento dorsale privo di microreticolazione e con punteggiatura fine e rada; rapporto antennomeri 3°/2° = 1.27. Formula tarsale ♂ 5-5-4, ♀ 4-4-4. Lungh. 2.6-3.0 mm. Spermateca: fig. 679; metafemore del ♂: fig. 1047. Cina (Sichuan). . . . . **modestum** Ang.

- Edeago in visione dorsale con parameri non dilatati all'apice (fig. 221), pronoto meno trasverso (rapp. la/lu = 1,44). Microreticolazione assente, solo vaghe tracce sulle elitre; punteggiatura fine e rada su capo e pronoto, assente sulle elitre; rapporto antennomeri 3°/2° = 1.3. Formula tarsale ♂ 5-5-4. Lungh. 2.6 mm. Metafemore del ♂: fig. 1048. Cina (Yunnan, Sichuan) . . . . . **neurayi** Ang.

53 Specie di Taiwan 54

- Specie del Giappone (Ryukyus) 58

54 Tegumento dorsale uniformemente nero, rapporto antennomeri 3°/2° = 1.2-1.3, metafemori del ♂ con dente al margine posteriore (figg. 1049-1051) 55

- Tegumento dorsale uniformemente rosso-bruno, rapporto antennomeri 3°/2° = 1.5-1.8, metafemori del ♂ dilatati al margine posteriore (figg. 1052-1053) 57

55 Edeago in visione dorsale ristretto prima dell'apice e in visione laterale con apice a curvatura molto accentuata verso l'alto (fig. 222). Tegumento dorsale privo di microreticolazione e con punteggiatura molto fine e rada; rapporto antennomeri 3°/2° = 1.3. Formula tarsale ♂ 5-5-4, ♀ 5-4-4. Lungh. 3.0-4.1 mm. Spermateca: fig. 680; metafemore del ♂: fig. 1049. Taiwan . . . . . **alesi** Ang. & Dmz.

- Edeago in visione dorsale uniformemente ristretto verso l'apice e in visione laterale con apice a curvatura meno accentuata verso l'alto (figg. 223-224) 56

56 Rapporto antennomeri 3°/2° = 1.2, punteggiatura fine su capo e pronoto, specie di dimensioni minori (lungh. 3.0-3.7 mm), metafemori del ♂ con netto dente al margine posteriore (fig. 1050). Tegumento dorsale privo di microreticolazione; elitre senza punteggiatura. Formula tarsale ♂ 5-5-4, ♀ 5-4-4. Lungh. 3.0-3.7 mm. Edeago: fig. 223; spermateca: fig. 681. Taiwan . . . . . **distinguendum** Ang. & Dmz.

- Rapporto antennomeri 3°/2° = 1.3, punteggiatura assente su capo e pronoto, specie di dimensioni maggiori (lungh. 3.85 mm), metafemori del ♂ con lieve dente al margine posteriore (fig. 1051). Tegumento dorsale uniformemente nero e privo di microreticolazione; punteggiatura assente, solo radi microscopici punti. Formula tarsale ♂ 5-5-4. Edeago: fig. 224. Taiwan. . . . . **lucifugum** Ang.

57 Rapporto antennomeri 3°/2° = 1.5, intero dorso non microreticolato, edeago in visione dorsale con parameri esili (fig. 225). Tegumento dorsale con punteggiatura fine e rada. Formula tarsale ♂ 5-5-4, ♀ 5-4-4. Lungh. 2.9-3.8 mm. Spermateca: fig. 682; metafemore del ♂: fig. 1052. Taiwan . . . . . **delicatulum** Ang. & Dmz.

- Rapporto antennomeri 3°/2° = 1.8, pronoto ed elitre con microreticolazione appena evidente, edeago in visione dorsale con parameri molto dilatati prima dell'apice (fig. 226). Tegumento dorsale con punteggiatura

fine e rada. Formula tarsale ♂ 5-5-4, ♀ 5-4-4. Lungh. 3.3-3.5 mm. Spermateca: fig. 683; metafemore del ♂: fig. 1053. Taiwan . . . . . **subnitidum** Ang. & Dmz.

58 Rapporto antennomeri 3°/2° = 1.4, tegumento dorsale uniformemente rosso-bruno scuro, metafemori del ♂ sinuati al margine posteriore (fig. 1054). Microreticolazione assente su capo e pronoto, poco evidente sulle elitre; punteggiatura assente, solo radi microscopici punti sull'intero dorso. Formula tarsale ♂ 5-5-4, ♀ 5-4-4. Lungh. 2.5 mm. Edeago: fig. 227; spermateca: fig. 684. Giappone (Ryukyus) . . . . . **ishigakiense** Hoshina

- Rapporto antennomeri 3°/2° = 1.1, tegumento dorsale del capo rosso-bruno, pronoto più scuro, elitre quasi nere, metafemori del ♂ con dente al margine posteriore (fig. 1055). Dorso privo di microreticolazione e con punteggiatura microscopica e radà, poco visibile. Formula tarsale ♂ 5-5-4, ♀ 5-4-4. Lungh. 2.7 mm. Edeago: fig. 228; spermateca: fig. 685. Giappone (Ryukyus) . . . . . **saigoi** Hoshina

59 Specie delle sottoregioni himalayana o indiana o indocinese 60

- Specie dell'Insulindia. 79

60 Elitre con punteggiatura microscopica o del tutto assente . 61

- Elitre con punteggiatura più o meno impressa ed evidente 65

61 Rapporto antennomeri 3°/2° = 1.8-2 62

- Rapporto antennomeri 3°/2° = 1.2-1.25 63

62 Rapporto antennomeri 3°/2° = 1.8, specie di dimensioni maggiori (lungh. 3.7 mm) e del Myanmar. Tegumento dorsale rosso-bruno e privo di microreticolazione; punteggiatura microscopica su capo e pronoto, assente sulle elitre. Formula tarsale ♂ 5-5-4. Edeago: fig. 229; metafemore del ♂: fig. 1056 . . . . . **lashioense** Ang.

- Rapporto antennomeri 3°/2° = 2, specie di dimensioni minori (lungh. 2.95 mm) e del Nepal. Tegumento dorsale rosso-bruno e con punteggiatura molto fine e rada; microreticolazione assente, solo vaghe tracce

sulle elitre. Formula tarsale ♂ 5-5-4. Edeago: fig. 230; metafemore del ♂: fig. 1057 . . . . . **herberti** Ang.

63 Specie di dimensioni maggiori (lungh. 3.35 mm), edeago in visione dorsale con apice largamente arrotondato (fig. 231). Tegumento dorsale rosso-bruno; microreticolazione molto superficiale o poco evidente sulle elitre; punteggiatura microscopica su capo e pronoto, assente sulle elitre; rapporto antennomeri 3°/2° = 1.25. Formula tarsale ♂ 5-5-4. Metafemore del ♂: fig. 1058. Thailandia . . . . . **kuaiense** Ang. & Cooter

- Specie di dimensioni minori (lungh. 2.6-3.0 mm), edeago in visione dorsale con apice terminante in punta (figg. 232-233) 64

64 Pronoto discretamente trasverso (rapp. la/lu = 1.62), capo piccolo rispetto al pronoto (rapp. pronoto/capo = 1.85). Tegumento dorsale rosso-bruno e privo di microreticolazione; punteggiatura microscopica su capo e pronoto, assente sulle elitre; rapporto antennomeri 3°/2° = 1.2. Lungh. 2.6 mm. Formula tarsale ♂ 5-5-4. Edeago: fig. 232; metafemore del ♂: fig. 1059. Vietnam . . . . . **hoabinhense** Ang.

- Pronoto poco trasverso (rapp. la/lu = 1.45), capo grande rispetto al pronoto (rapp. pronoto/capo = 1.52). Tegumento dorsale rosso-bruno scuro e con punteggiatura microscopica; microreticolazione assente, solo vaghe tracce sulle elitre; rapporto antennomeri 3°/2° = 1.2. Formula tarsale ♂ 5-5-4, ♀ 5-4-4. Edeago: fig. 233, spermateca: fig. 686; metafemore del ♂: fig. 1060. Thailandia . . . . . **sveci** Ang.

65 Ali metatoraciche assenti 66

- Ali metatoraciche presenti 67

66 Rapporto antennomeri 3°/2° = 1.2, metafemori del ♂ dilatati al margine posteriore (fig. 1061). Tegumento dorsale uniformemente rosso-bruno o nero, privo di microreticolazione e con punteggiatura impressa e fitta. Formula tarsale ♂ 5-5-4, ♀ 5-4-4. Lungh. 2.75-3.5 mm. Edeago: fig. 234. Nepal, Thailandia ... **newari** Ang. & Dmz.

- Rapporto antennomeri 3°/2° = 1.9, metafemori del ♂ non dilatati al margine posteriore (fig. 1062). Tegumento dor-

sale rosso-bruno e con margine anteriore del pronoto nero, interamente privo di microreticolazione e con punteggiatura impressa. Formula tarsale ♂ 5-5-4, ♀ 5-4-4. Lungh. 2.8-3.0 mm. Edeago: fig. 235; spermateca: fig. 687. India (Darjeeling), Nepal . . . . . **crassum** Ang. & Dmz.

67 Metafemori del ♂ rettilinei al margine posteriore (figg. 1063-1066) 68

- Metafemori del ♂ dilatati o con dente al margine posteriore (figg. 1067-1070) 71

68 Rapporto antennomeri 3°/2° = 1.1; specie dell'India (Darjeeling). Tegumento dorsale rosso-bruno, elitre con venature nere; microreticolazione assente; punteggiatura fine e rada su capo e pronoto, doppia sulle elitre. Formula tarsale ♂ 5-5-4. Lungh. 2.9 mm. Edeago: fig. 236; metafemore del ♂: fig. 1063 . . . . . **darjeelingense** Ang. & Dmz.

- Rapporto antennomeri 3°/2° = 1.5-1.6; specie della Thailandia e/o del Myanmar. 69

69 Elitre non microreticolate. Tegumento dorsale rosso-bruno; punteggiatura fine su capo e pronoto, più impressa sulle elitre; rapporto antennomeri 3°/2° = 1.5. Formula tarsale ♂ 5-5-4. Lungh. 2.7 mm. Capo: fig. 60; edeago: fig. 237; metafemore del ♂: fig. 1064. Myanmar . . . . . **lewisi** Ang.

- Elitre con microreticolazione appena evidente 70

70 Specie di dimensioni maggiori (lungh. 3.7), rapporto pronoto/capo = 1.2. Tegumento dorsale di capo e pronoto rosso-bruno, elitre più scure, interamente con punteggiatura fine e rada; microreticolazione assente, solo vaghe tracce sulle elitre; rapporto antennomeri 3°/2° = 1.6. Formula tarsale ♂ 5-5-4. Edeago: fig. 238; metafemore del ♂: fig. 1065. Thailandia . . . . . **aeratum** Ang.

- Specie di dimensioni minori (lungh. 2.9-3.15), rapporto pronoto/capo = 1.67. Tegumento dorsale di capo e pronoto rosso-bruno, elitre più scure, interamente con punteggiatura fine e rada; microreticolazione assente, solo vaghe tracce

sulle elitre. Formula tarsale ♂ 5-5-4, ♀ 5-4-4. Edeago: fig. 239; spermateca: fig. 688; metafemore del ♂: fig. 1066. Myanmar, Thailandia. . . . . **schwendingeri** Ang.

71 Metafemori del ♂ con dente al margine posteriore (fig. 1067). Tegumento dorsale uniformemente rosso-bruno, privo di microreticolazione e con punteggiatura impressa; rapporto antennomeri 3°/2° = 1.3. Formula tarsale ♂ 5-5-4. Lungh. 2.95 mm. Edeago: fig. 240. Vietnam **impressum** Ang.

- Metafemori del ♂ dilatati al margine posteriore (figg. 1068-1074) 72

72 Elitre con vaghe tracce di microreticolazione. 73

- Elitre del tutto prive di microreticolazione 75

73 Rapporto antennomeri 3°/2° = 1.15, pronoto poco trasverso (rapp. la/lu = 1.17). Tegumento dorsale di capo e pronoto rosso-bruno, elitre più scure, interamente con punteggiatura fine ma impressa; microreticolazione assente su capo e pronoto. Formula tarsale ♂ 5-5-4, ♀ 5-4-4. Lungh. 2.5-2.9 mm. Edeago: fig. 241; spermateca: fig. 689; metafemore del ♂: fig. 1068. Thailandia, ? Vietnam . . . . . **siamense** Ang.

- Rapporto antennomeri 3°/2° = 1.35-1.4, pronoto più trasverso (rapp. la/lu = 1.48-1.54). 74

74 Specie di dimensioni minori (lungh. 2.85-2.9 mm) e dell'India (Uttar Pradesh), edeago in visione laterale con apice non curvato e in visione dorsale con parameri esili (fig. 242). Tegumento dorsale rosso-bruno scuro o nero con lati più chiari, interamente con punteggiatura fine e rada; microreticolazione assente su capo e pronoto; rapporto antennomeri 3°/2° = 1.35. Formula tarsale ♂ 5-5-4, ♀ 5-4-4 Spermateca: fig. 690; metafemore del ♂: fig. 1069 . . . . . **riedeli** Ang.

- Specie di dimensioni maggiori (lungh. 3.5 mm) e della Thailandia, edeago in visione laterale con apice curvato verso l'alto e in visione dorsale con parameri dilatati (fig. 243). Tegumento dorsale di capo e pronoto

rosso-bruno, elitre più scure, interamente con punteggiatura fine e rada; microreticolazione assente su capo e pronoto; rapporto antennomeri 3°/2° = 1.4. Formula tarsale ♂ 5-5-4, ♀ 5-4-4. Spermateca: fig. 691; metafemore del ♂: fig. 1070 . . . . . **relictum** Ang.

75 Rapporto antennomeri 3°/2° = 1.1, specie di dimensioni maggiori (lungh. 3.35 mm). Tegumento dorsale di capo e pronoto rosso-bruno scuro, elitre nere con venature rosso-brune; microreticolazione assente; punteggiatura fine e rada su capo e pronoto, doppia sulle elitre. Formula tarsale ♂ 5-5-4. Edeago: fig. 244; metafemore del ♂: fig. 1071. India (Meghalaya) . . . . . **urbanii** Ang. & Dmz.

- Rapporto antennomeri 3°/2° = 1.2-1.5, specie di dimensioni minori (lungh. 1.8-3.0 mm) 76

76 Specie di dimensioni minori (lungh. 1.8-2.45 mm). Tegumento dorsale rosso-bruno, privo di microreticolazione e con punteggiatura fine; rapporto antennomeri 3°/2° = 1.4. Formula tarsale ♂ 5-5-4, ♀ 5-4-4. Edeago: fig. 245; spermateca: fig. 692; metafemore del ♂: fig. 1072. Nepal . . . . . **acuminatum** Ang. & Dmz.

- Specie di dimensioni maggiori (lungh. 2.7-3.0 mm) 77

77 Rapporto antennomeri 3°/2° = 1.2, pronoto poco trasverso (rapp. la/lu = 1.2). Tegumento dorsale di capo e pronoto rosso-bruno, elitre più scure; microreticolazione assente; punteggiatura fine e rada su capo e pronoto, assente sulle elitre. Formula tarsale ♂ 5-5-4. Lungh. 3.0 mm. Edeago: fig. 246; metafemore del ♂: fig. 1073. Thailandia . . . . . **lepidum** Ang.

- Rapporto antennomeri 3°/2° = 1.4-1.5, pronoto più trasverso (rapp. la/lu = 1.35-1.44). 78

78 Edeago in visione laterale con apice curvato verso il basso e con parameri esili (fig. 247). Tegumento dorsale uniformemente rosso-bruno scuro, privo di microreticolazione e con punteggiatura impressa; rapporto antennomeri 3°/2° = 1.4. Formula tarsale ♂ 5-5-4. Lungh. 2.75 mm. Metafemore del ♂: fig. 1074. Myanmar . . . . . **obsoletum** Ang.

- Edeago in visione laterale con apice curvato verso l'alto e con parameri robusti (fig. 248). Tegumento dorsale uniformemente rosso-bruno, privo di microreticolazione e con punteggiatura fine e rada; rapporto antennomeri 3°/2° = 1.5. Formula tarsale ♂ 5-5-4, ♀ 5-4-4. Lungh. 2.7-2.8 mm. Spermateca: fig. 693. India (Assam), Nepal, Thailandia . . . . . **brahmano** Ang. & Dmz.

79 Intero tegumento dorsale microreticolato. Dorso rosso-bruno e con punteggiatura fine e rada; rapporto antennomeri 3°/2° = 1.2. Formula tarsale ♂ 5-5-4, ♀ 5-4-4. Lungh. 2.4-2.6 mm. Edeago: fig. 249; spermateca: fig. 694; metafemore del ♂: fig. 1075. Malaysia (Malaya) . . . . . **kualalumpurense** Ang. & Dmz.

- Tegumento dorsale non microreticolato 80

80 Rapporto antennomeri 3°/2° = 1.9. Tegumento dorsale di capo e pronoto rosso-bruno, elitre più scure o nere, interamente con punteggiatura fine. Formula tarsale ♂ 5-5-4, ♀ 5-4-4. Lungh. 2.5-2.7 mm. Edeago: fig. 250; spermateca: fig. 695; metafemore del ♂: fig. 1076. Indonesia (Sumatra) . . . . . **montivagum** Ang. & Dmz.

- Rapporto antennomeri 3°/2° = 1.14-1.25 81

81 Specie di dimensioni maggiori (lungh. 4.1 mm). Tegumento dorsale uniformemente nero e con punteggiatura impressa su capo ed elitre, più fine sul pronoto; rapporto antennomeri 3°/2° = 1.25. Formula tarsale ♀ 5-4-4. Spermateca: fig. 696; metafemore della ♀: fig. 1077. Malaysia (Malaya) . . . . . **negritos** Ang.

- Specie di dimensioni minori (lungh. 2.4-2.85 mm). 82

82 Tegumento dorsale uniformemente nero, metafemori del ♂ dilatati al margine posteriore (fig. 1078). Punteggiatura di capo ed elitre fine, più impressa sul pronoto; antenne uniformemente testacee o con clava poco più scura; rapporto antennomeri 3°/2° = 1.14. Formula tarsale ♂ 5-5-4, ♀ 5-4-4. Lungh. 2.4-2.5 mm. Edeago: fig. 251; spermateca: fig. 697. Indonesia (Giava). . . . . **agostii** Ang. & Dmz.

- Tegumento dorsale uniformemente rosso-bruno, metafemori del ♂ con dente al margine posteriore (fig. 1079). Intero dorso con punteggiatura fine e rada; rapporto antennomeri 3°/2° = 1.2. Formula tarsale ♂ 5-5-4, ♀ 5-4-4. Lungh. 2.85-2.95 mm. Edeago: fig. 252; spermateca: fig. 698. Malaysia (Sarawak) . . . . . **marshalli** Ang. & Cooter

KEY TO THE SPECIES AND SUBSPECIES OF THE *MADURENSE* PORTEVIN GROUP

1 Elytra with sutural striae. 2
- Elytra without sutural striae 6

2 Head widest behind eyes, temples ¼ length of the eye (fig. 49), sutural striae confined within the apical half of elytra. 3
- Head widest at eyes or at their posterior margin (fig. 50), sutural striae shorter, confined within the apical third of elytra. 4

3 Microreticulation absent, ratio of 3rd/2nd antennal segments = 1.57, India (Uttar Pradesh) and Nepal. Length 3.0-3.4 mm. Aedeagus: fig. 171; spermatheca: fig. 653; male hind femora: fig. 998; elytra in lateral view: fig. 19 . . . . . **alatum alatum** Ang. & Dmz.
- Microreticulation hardly evident on whole dorsum, ratio of 3rd/2nd antennal segments = 1.8, China (Yunnan and Sichuan). Length 3.2-4.3 mm. Head: fig. 49; aedeagus: fig. 172; spermatheca: fig. 654; male hind femora: fig. 999 . . . . . **alatum heishuiense** Ang. & Švec

4 Elytra with microreticulation hardly evident, Myanmar. Length 2.65 mm. Aedeagus: fig. 173; male hind femora: fig. 1000 . . . . . **separatum** Ang.
- Elytra with superficial microreticulation, Nepal. 5

5 Antennal club dark, ratio of 3rd/2nd antennal segments = 1.5, male hind femora rectilinear at posterior margin (fig. 1001), head and pronotum with microreticulation

hardly evident, aedeagus in dorsal view uniformly narrowed to apex (fig. 174). Length 2.5 mm. Head: fig. 50. Nepal . . . . . **pedemontanum** Ang. & Dmz.

- Antennae uniformly testaceous, ratio of 3rd/2nd antennal segments = 1.35, male hind femora rounded at posterior margin (fig. 1002), head and pronotum without microreticulation, aedeagus in dorsal view narrowed before of the apex (fig. 175). Length 2.35 mm. Nepal . . . . . **yeti** Ang. & Dmz.

6 Head widest at posterior margin of eyes 7

- Head widest at eyes (figs. 51-60) 8

7 Ratio of 3rd/2nd antennal segments = 1.7, antennal segments 9°-10° dark, elytra without traces of microreticulation, size larger (3.1 mm). Aedeagus: fig. 176; male hind femora: fig. 1003. China (Sichuan) . . . . . **krali** Ang. & Švec

- Ratio of 3rd/2nd antennal segments = 1.5, antennal club black, elytra with traces of microreticulation, size smaller (2.7 mm). Aedeagus: fig. 177; male hind femora: fig. 1004. China (Sichuan). . . . . **kejvali** Ang. & Švec

8 Antennal club or some segments dark or black. 9

- Antennae uniformly testaceous 44

9 Antennal segments 4°-11° dark. Length 3.0-3.5 mm. Aedeagus: fig. 178; spermatheca: fig. 655; male hind femora: fig. 1005. Malaysia (Sabah), ? Indonesia (Sumatra) . . . . . **luctuosum** Ang. & Dmz.

- Antennal club or segments 7°-10° or 7°-11° or 9°-10° dark or black. 10

10 Antennal segments 7°-10° or 7°-11° dark or black 11

- Antennal club or segments 9°-10° dark or black. 18

11 Antennal segments 7°-10° dark or black 12

- Antennal segments 7°-11° dark or black 13

12 Species of Thailand and Taiwan. Length 2.7-3.0 mm. Aedeagus: fig. 179; spermatheca: fig. 656; male hind femora: fig. 1006 . . . . . **formosum** Ang. & Dmz.

- Species of Indonesia (Sumatra). Length 2.9 mm. Aedeagus: fig. 180; male hind femora: fig. 1007 . . . . . **inelegans** Ang.

13 Species of China or Taiwan 14

- Species of India. 15

14 Dorsum uniformly black, ratio of 3rd/2nd antennal segments = 1.5, membranous wings present, male hind femora with a tooth at posterior margin (fig. 1008), aedeagus in dorsal view narrow with symmetric apex (fig. 181). Length 2.6-2.8 mm. Spermatheca: fig. 657. China (Yunnan) . . . . . **becvari** Ang. & Švec

- Dorsum uniformly reddish-brown, ratio of 3rd/2nd antennal segments = 1, membranous wings absent, male hind femora rounded at posterior margin (fig. 1009), aedeagus in dorsal view narrow with asymmetric apex (fig. 182). Length 2.6-2.8 mm. Spermatheca: fig. 658. Taiwan . . . . . **familiare** Ang. & Dmz.

15 Elytra with microreticulation hardly evident, width ratio of pronotum/head = 1.76, ratio of 3rd/2nd antennal segments = 1.2. Length 2.7 mm. Aedeagus: fig. 183; male hind femora: fig. 1010. India (Kerala) . . . . . **keralaense** Ang.

- Elytra without microreticulation, width ratio of pronotum/head = 1.5, ratio of 3rd/2nd antennal segments = 1.4-1.6 16

16 Size larger (3.5-4.15 mm), dorsum uniformly black, male hind femora with a tooth at posterior margin (fig. 1011). Aedeagus: fig. 184; spermatheca: fig. 659. India (Kerala, Tamil Nadu) . . . . . **pseudomadurense** Ang. & Dmz.

- Size smaller (2.8-3.3 mm), dorsum uniformly reddish-brown or with elytra black, male hind femora dilated at posterior margin (figs. 1012-1013) 17

17 Size larger (3.2-3.3 mm), aedeagus in dorsal view narrowed before of the apex (fig. 185). Spermatheca: fig. 660; male hind femora: fig. 1012. India (Tamil Nadu) . **madurense** Port.

- Size smaller (2.8-3.0 mm), aedeagus in dorsal view uniformly narrowed to apex (fig. 186). Spermatheca: fig. 661; male hind femora: fig. 1013. India (Meghalaya) . . . . . **shillongense** Ang. & Dmz.

18 Antennal segments 9°-10° dark or black 19

- Antennal club dark or black 33

19 Ratio of 3rd/2nd antennal segments = 0.83, membranous wings vestigial. Length 2.75-2.85 mm. Head: fig. 51; aedeagus: fig. 187; spermatheca: fig. 662; male hind femora: fig. 1014. China (Yunnan) . . . . . **gratiosum** Ang. & Švec

- Ratio of 3rd/2nd antennal segments = 1.15-2, membranous wings present, normal 20

20 Species of China 21

- Species of southeast Asia 22

21 Ratio of 3rd/2nd antennal segments = 1.7, size larger (3.0-3.2 mm), head with eyes less protuberant (fig. 52), male hind femora rectilinear at posterior margin (fig. 1015). Aedeagus: fig. 188; spermatheca: fig. 663. China (Yunnan) . . . . . **occultum** Ang. & Dmz.

- Ratio of 3rd/2nd antennal segments = 1.2, size smaller (2.75 mm), head with eyes larger and more protuberant (fig. 53), male hind femora dilated at posterior margin (fig. 1016). Aedeagus: fig. 189. China (Yunnan) . . . . . **thaii** Ang.

22 Species of Nepal. Length 2.3 mm. Aedeagus: fig. 190; male hind femora: fig. 1017 . . . . . **signatum** Ang. & Dmz.

- Species of Malaysia and/or Indonesia or Indochina 23

23 Species of Malaysia and/or Indonesia 24

- Species of Indochina 29

24 Head and pronotum with superficial microreticulation 25

- Head and pronotum without microreticulation 26

25 Size larger (3.05-3.15 mm), ratio of 3rd/2nd antennal segments = 1.7, aedeagus in dorsal view with truncate apex (fig. 191). Head in lateral and dorsal view: figs. 54-55; spermatheca: fig. 664; male hind femora: fig. 1018. Malaysia (Malaya), Indonesia (Sumatra). . . . . **watrousi** Ang.

- Size smaller (2.6-2.8 mm), ratio of 3rd/2nd antennal segments = 1.5, aedeagus in dorsal view with rounded apex (fig. 192). Spermatheca: fig. 665; male hind femora: fig. 1019. Malaysia (Malaya), Indonesia (Sumatra) **wheeleri** Ang.

26 Dorsum uniformly black, aedeagus in dorsal view uniformly narrowed to apex (figs. 193-194) 27

- Dorsum uniformly reddish-brown, aedeagus in dorsal view narrowed before of the apex (figs. 195-196) 28

27 Aedeagus in dorsal view with parameres uniformly narrowed to apex (fig. 193), Malaysia (Malaya). Length 2.75 mm. Male hind femora: fig. 1020. . . . . **senoi** Ang.

- Aedeagus in dorsal view with parameres rounded at apex (fig. 194), Indonesia (Sumatra). Length 2.5-2.8 mm. Sper matheca: fig. 666; male hind femora: fig. 1021 . . . . . **subobscurum** Ang. & Dmz.

28 Ratio of 3rd/2nd antennal segments = 1.2, size smaller (2.75 mm), male hind femora dilated at posterior margin (fig. 1022), Malaysia (Malaya). Aedeagus: fig. 195; spermatheca: fig. 667 . . . . . **hlisnikovskyi** Ang. & Dmz.

- Ratio of 3rd/2nd antennal segments = 1.7, size larger (2.95 mm), male hind femora weakly dilated at posterior margin (fig. 1023), Indonesia (Java). Aedeagus: fig. 196; male hind femora: fig. 1023 . . . . . **calvum** Ang.

29 Ratio of 3rd/2nd antennal segments = 2. Length 3.0-3.15 mm. Head: fig. 56; aedeagus: fig. 197; spermatheca: fig. 668; male hind femora: fig. 1024. Vietnam . . . . . **pecki** Ang.

- Ratio of 3rd/2nd antennal segments = 1.15-1.6 30

30 Ratio of 3rd/2nd antennal segments = 1.6, size larger (3.5-3.7 mm). Aedeagus: fig. 198; male hind femora: fig. 1025. Vietnam . . . . . **nahangense** Ang.

- Ratio of 3rd/2nd antennal segments = 1.15-1.3, size smaller (2.4-3.25 mm) 31

31 Size larger (3.1-3.25 mm), ratio of 3rd/2nd antennal segments = 1.3, width ratio of pronotum/head = 1.74. Aedeagus: fig. 199; spermatheca: fig. 669; male hind femora: fig. 1026. Vietnam . . . . . **caovansungi** Ang.

- Size smaller (2.4-2.6 mm), ratio of 3rd/2nd antennal segments = 1.15, width ratio of pronotum/head = 1.3-1.64 . . 32

32 Pronotum moderately broader than long (ratio width/length = 1.5), width ratio of pronotum/head = 1.64, membranous wings present. Length 2.55-2.6 mm. Aedeagus: fig. 200; spermatheca: fig. 670; male hind femora: fig. 1027. Thailand. . . . . **apocryphum** Ang.

- Pronotum very slightly broader than long (ratio width/length = 1.27), width ratio of pronotum/head = 1.3, membranous wings absent. Length 2.4 mm. Aedeagus: fig. 201; male hind femora: fig. 1028. Vietnam . . . **kryzhanovskii** Ang.

33 Antennal club black. 34

- Antennal club darkened. 36

34 Species of China and size larger (3.2-3.5 mm). Aedeagus: fig. 202; spermatheca: fig. 671; male hind femora: fig. 1029. China (Fujian) . . . . . **patris** Ang. & Cooter

- Species of Indonesia or Nepal, size smaller (2.35-2.85 mm) 35

35 Head widest at posterior margin of eyes, ratio of 3rd/2nd antennal segments = 1.25, aedeagus in dorsal view narrowed before of the apex (fig. 203), Indonesia (Sumatra). Length 2.85 mm. Male hind femora: fig. 1030 . . . . . **nefandum** Ang.

- Head widest at eyes (fig. 57), ratio of 3rd/2nd antennal segments = 2, aedeagus in dorsal view uniformly narrowed to apex (fig. 204), Nepal. Length 2.35 mm. Male hind femora: fig. 1031 . . . . . **plumbeum** Ang.

36 Species of China or Taiwan 37

- Species of Nepal and/or India or Thailand. 40

37 Dorsum uniformly reddish-brown, ratio of 3rd/2nd antennal segments = 1.8 38

- Dorsum uniformly black, ratio of 3rd/2nd antennal segments = 1.3-1.6 39

38 Size larger (3.0-3.3 mm), male hind femora with a tooth at posterior margin (fig. 1032). Aedeagus: fig. 205; sperma theca: fig. 672. China (Shaanxi) . . . . . **schuelkeicum** Ang.

- Size smaller (2.75 mm), male hind femora dilated at posterior margin (fig. 1033). Aedeagus: fig. 206. Taiwan . . . . . **tardum** Ang. & Dmz.

39 Size larger (3.85 mm), width ratio of pronotum/head = 1.3, aedeagus in dorsal view with rounded apex (fig. 207), male hind femora with a tooth at posterior margin (fig. 1034), ratio of 3rd/2nd antennal segments = 1.6. China (Guangxi) . . . . . **obscurum** Ang.

- Size smaller (2.9 mm), width ratio of pronotum/head = 1.9, aedeagus in dorsal view with truncate apex (fig. 208), male hind femora dilated at posterior margin (fig. 1035), ratio of 3rd/2nd antennal segments = 1.3. China (Shaanxi) . . . . . **nigritulum** Ang.

40 Species of Thailand. Length 2.8-3.2 mm. Aedeagus: fig. 209; male hind femora: fig. 1036 . . . . **silvestre** Ang. & Dmz.

- Species of India and/or Nepal 41

41 Ratio of 3rd/2nd antennal segments = 1.7. Length 2.75 mm. Aedeagus: fig. 210; male hind femora: fig. 1037. India (Darjeeling) . . . . . **varuna** Ang. & Dmz.

- Ratio of 3rd/2nd antennal segments = 1.2-1.36 42

42 Width ratio of pronotum/head = 1.6, pronotum very slightly broader than long (ratio width/length = 1.25), male hind femora with a tooth at posterior margin (fig. 1038). Length 2.7-3.0 mm. Aedeagus: fig. 211; spermatheca: fig. 673. India (Darjeeling, Meghalaya), Nepal . . . . . **khasicum** Ang. & Dmz.

- Width ratio of pronotum/head = 1.43-1.47, pronotum moderately broader than long (ratio width/length = 1.4-1.48), male hind femora dilated at posterior margin (figs. 1039-1040) 43

43 Male hind femora less dilated at posterior margin (fig. 1039), aedeagus in lateral view with apex reflexed (fig. 212), membranous wings absent. Length 2.3-2.5 mm. Spermatheca: fig. 674. India (Meghalaya) . . . . . **meghalayanum** Ang. & Dmz.

- Male hind femora more dilated at posterior margin (fig. 1040), aedeagus in lateral view with apex deflexed (fig. 213), membranous wings present. Length 2.6-2.7 mm. Spermatheca: fig. 675. India (Darjeeling, Meghalaya), ? Nepal . . . . . **lebongense** Ang. & Dmz.

44 Species of China or Taiwan or Japan (Ryukyus) 45

- Species of southeast Asia 59

45 Species of China 46

- Species of Taiwan or Japan (Ryukyus) 53

46 Ratio of 3rd/2nd antennal segments = 0.8. Length 2.6 mm. Head: fig. 58; aedeagus: fig. 214; male hind femora: fig. 1041. China (Yunnan) . . . . . **lijiangense** Ang.

- Ratio of 3rd/2nd antennal segments = 1.3-2.8 47

47 Size larger (5.5-6.5 mm), ratio of 3rd/2nd antennal segments = 2.8. Head: fig. 59; aedeagus: fig. 215; spermatheca: fig. 676; male hind femora: fig. 1042. China (Sichuan) . . . . . **giganteum** Ang. & Švec

- Size smaller (2.6-4.3 mm), ratio of 3rd/2nd antennal segments = 1-1.75 48

48 Size larger (3.6-4.3 mm), elytra with superficial microreticulation or hardly evident, male hind femora with a tooth at posterior margin (figs. 1043-1044) 49

- Size smaller (2.45-3.4 mm), elytra without microreticulation, male hind femora dilated at posterior margin (figs. 1045-1048) 50

49 Ratio of 3rd/2nd antennal segments = 1.75, size smaller (3.6-4.3 mm), dorsum black. Aedeagus: fig. 216; spermatheca: fig. 677; male hind femora: fig. 1043. China (Zhejiang) . . . . . **lasti** Ang. & Cooter

- Ratio of 3rd/2nd antennal segments = 1.2, size larger (4.55-4.6 mm), dorsum dark reddish-brown. Aedeagus: fig. 217; spermatheca: fig. 678; male hind femora: fig. 1044. China (Fujian) . . . . . **paralasti** Ang. & Cooter

50 Ratio of 3rd/2nd antennal segments = 1, size smaller (2.45 mm). Aedeagus: fig. 218; male hind femora: fig. 1045. China (Yunnan) . . . . . **simulator** Ang.

- Ratio of 3rd/2nd antennal segments = 1.27-1.4, size larger (2.6-3.4 mm) 51

51 Size larger (3.4 mm), membraneous wings present. Aedeagus: fig. 219; male hind femora: fig. 1046. China (Guangxi, Shaanxi) . . . . . **vagum** Ang. & Dmz.

- Size smaller (2.6-3.1 mm), membraneous wings absent . . . 52

52 Aedeagus in dorsal view with parameres dilated at apex (fig. 220), pronotum moderately broader than long (ratio width/length = 1.59). Length 2.6-3.0 mm. Spermatheca: fig. 679; male hind femora: fig. 1047. China (Sichuan). . . . . **modestum** Ang.

- Aedeagus in dorsal view with parameres not dilated at apex (fig. 221), pronotum less broader than long (ratio width/length = 1,44). Length 2.6 mm. Male hind femora: fig. 1048. China (Yunnan, Sichuan) . . . . . **neurayi** Ang.

53 Species of Taiwan 54

- Species of Japan (Ryukyus) 58

54 Dorsum uniformly black, ratio of 3rd/2nd antennal segments = 1.2-1.3, male hind femora with a tooth at posterior margin (figs. 1049-1051) 55

- Dorsum uniformly reddish-brown, ratio of 3rd/2nd antennal segments = 1.5-1.8, male hind femora rounded at posterior margin (figs. 1052-1053) 57

55 Aedeagus in dorsal view narrowed before apex and in lateral view with apex strongly reflexed (fig. 222). Length 3.0-4.1 mm. Spermatheca: fig. 680; male hind femora: fig. 1049. Taiwan . . . . . **alesi** Ang. & Dmz.

- Aedeagus in dorsal view uniformly narrowed to apex and in lateral view with apex weakly reflexed (figs. 223-224) . . 56

56 Ratio of 3rd/2nd antennal segments = 1.2, puncturation fine on head and pronotum, size smaller (3.0-3.7 mm), male hind femora with a tooth at posterior margin (fig. 1050). Aedeagus: fig. 223; spermatheca: fig. 681. Taiwan . . . . . **distinguendum** Ang. & Dmz.

- Ratio of 3rd/2nd antennal segments = 1.3, puncturation absent on head and pronotum, size larger (3.85 mm), male hind femora with a weak tooth at posterior margin (fig. 1051). Aedeagus: fig. 224. Taiwan . . . . . **lucifugum** Ang.

57 Ratio of 3rd/2nd antennal segments = 1.5, whole dorsum without microreticulation, aedeagus in lateral view with thin parameres (fig. 225). Length 2.9-3.8 mm. Sperma theca: fig. 682; male hind femora: fig. 1052. Taiwan . . . . . **delicatulum** Ang. & Dmz.

- Ratio of 3rd/2nd antennal segments = 1.8, pronotum and elytra with microreticulation hardly evident, aedeagus with parameres rounded before of the apex (fig. 226). Length 3.3-3.5 mm. Spermatheca: fig. 683; male hind femora: fig. 1053. Taiwan . . . . . **subnitidum** Ang. & Dmz.

58 Ratio of 3rd/2nd antennal segments = 1.4, dorsum uniformly reddish-brown, male hind femora bent at posterior margin (fig. 1054). Length 2.5 mm. Aedeagus: fig. 227; spermatheca: fig. 684. Japan (Ryukyus) . **ishigakiense** Hoshina

- Ratio of 3rd/2nd antennal segments = 1.1, dorsum reddish-brown dark, elytra black, male hind femora with a tooth at posterior margin (fig. 1055). Length 2.7 mm. Aedeagus: fig. 228; spermatheca: fig. 685. Japan (Ryukyus). . . . . **saigoi** Hoshina

59 Species of Himalayan or Indiana or Indochina region 60

- Species of Malaysia or Indonesia 79

60 Elytra without puncturation or with microscopic punctures 61

- Elytra with puncturation more or less impressed and evident 65

61 Ratio of 3rd/2nd antennal segments = 1.8-2 62

- Ratio of 3rd/2nd antennal segments = 1.2-1.25 63

62 Ratio of 3rd/2nd antennal segments = 1.8, size larger (3.7), Myanmar. Aedeagus: fig. 229; male hind femora: fig. 1056 . . . . . **lashioense** Ang.

- Ratio of 3rd/2nd antennal segments = 2, size smaller (2.95), Nepal. Aedeagus: fig. 230; male hind femora: fig. 1057 . . . . . **herberti** Ang.

63 Size larger (3.35 mm), aedeagus in dorsal view with rounded apex (fig. 231). Male hind femora: fig. 1058. Thailand . . . . . **kuaiense** Ang. & Cooter

- Size smaller (2.6-3.0 mm), aedeagus in dorsal view with apex pointed (figs. 232-233) 64

64 Pronotum moderately broader than long (ratio width/length = 1.62), ratio pronotum/head = 1.85. Length 2.6 mm. Aedeagus: fig. 232; male hind femora: fig. 1059. Vietnam. . . . . **hoabinhense** Ang.

- Pronotum slightly broader than long (ratio width/length = 1.45), ratio pronotum/head = 1.52. Length 2.75-3.0 mm. Aedeagus : fig. 233; spermatheca: fig. 686; male hind femora: fig. 1060. Thailand . . . . . **sveci** Ang.

65 Membranous wings absent 66

- Membranous wings present. 67

66 Ratio of 3rd/2nd antennal segments = 1.2, male hind femora dilated at posterior margin (fig. 1061). Length 2.75-3.5 mm. Aedeagus: fig. 234. Nepal, Thailand . . . . . **newari** Ang. & Dmz.

- Ratio of 3rd/2nd antennal segments = 1.9, male hind femora not dilated at posterior margin (fig. 1062). Length 2.8-3.0 mm. Aedeagus: fig. 235; spermatheca: fig. 687. India (Darjeeling), Nepal . . . . . **crassum** Ang. & Dmz.

67 Male hind femora rectilinear at posterior margin (figs. 1063-1066) 68

- Male hind femora rounded or with a tooth at posterior margin (figs. 1067-1074) 71

68 Ratio of 3rd/2nd antennal segments = 1.1, India (Darjeeling). Length 2.9 mm. Aedeagus: fig. 236; male hind femora: fig. 1063 . . . . . **darjeelingense** Ang. & Dmz.

- Ratio of 3rd/2nd antennal segments = 1.5-1.6, Thailand and/or Myanmar 69

69 Elytra without microreticulation. Length 2.7 mm. Head: fig. 60; aedeagus: fig. 237; male hind femora: fig. 1064. Myanmar . . . . . **lewisi** Ang.

- Elytra with microreticulation hardly evident 70

70 Size larger (3.7 mm), width ratio of pronotum/head = 1.2. Aedeagus: fig. 238; male hind femora: fig. 1065. Thailand. . . . . **aeratum** Ang.

- Size smaller (2.9-3.15), width ratio of pronotum/head = 1.5. Aedeagus: fig. 239; spermatheca: fig. 688; male hind femora: fig. 1066. Myanmar, Thailand . . **schwendingeri** Ang.

71 Male hind femora with a tooth at posterior margin (fig. 1067). Length 2.95 mm. Aedeagus: fig. 240. Vietnam . . . . . **impressum** Ang.

- Male hind femora rounded at posterior margin (figs. 1068-1074) 72

72 Elytra with vague traces of the microreticulation 73

- Elytra without microreticulation 75

73 Ratio of 3rd/2nd antennal segments = 1.15, pronotum very slightly broader than long (ratio width/length = 1.17). Length 2.5-2.9 mm. Aedeagus: fig. 241; spermatheca: fig. 689; male hind femora: fig. 1068. Thailand, ? Vietnam . . . . . **siamense** Ang.

- Ratio of 3rd/2nd antennal segments = 1.35-1.4, pronotum more broader than long (ratio width/length = 1.48-1.54) . . 74

74 Size smaller (2.85-2.9 mm) and India (Uttar Pradesh), aedeagus in dorsal view with thin parameres and in lateral view with apex not curved (fig. 242). Spermatheca: fig. 690; male hind femora: fig. 1069 . . . . . **riedeli** Ang.

- Size larger (3.5 mm) and Thailand, aedeagus in dorsal view with parameres robust and in lateral view with apex reflexed (fig. 243). Spermatheca: fig. 691; male hind femora: fig. 1070 . . . . . **relictum** Ang.

75 Ratio of 3rd/2nd antennal segments = 1.1, size larger (3.35 mm). Aedeagus: fig. 244; male hind femora: fig. 1071. India (Meghalaya) . . . . . **urbanii** Ang. & Dmz.

- Ratio of 3rd/2nd antennal segments = 1.2-1.5, size smaller (1.8-3.0 mm) 76

76 Size smaller (1.8-2.45 mm). Length 1.8-2.45 mm. Aedeagus: fig. 245; spermatheca: fig. 692; male hind femora: fig. 1072. Nepal . . . . . **acuminatum** Ang. & Dmz.

- Size larger (2.7-3.0 mm) 77

77 Ratio of 3rd/2nd antennal segments = 1.2, pronotum very slightly broader than long (ratio width/length = 1.2). Length 3.0 mm. Aedeagus: fig. 246; male hind femora: fig. 1073. Thailand . . . . . **lepidum** Ang.

- Ratio of 3rd/2nd antennal segments = 1.4-1.5, pronotum more broader than long (ratio width/ length = 1.35-1.44) . 78

78 Aedeagus in lateral view with apex deflexed and with parameres robust (fig. 247). Length 2.75 mm. Male hind femora: fig. 1074. Myanmar . . . . . **obsoletum** Ang.

- Aedeagus in lateral view with apex reflexed and with parameres slender (fig. 248). Length 2.7-2.8 mm. Sper matheca: fig. 693. India (Assam), Nepal, Thailand . . . . . **brahmano** Ang. & Dmz.

79 Whole dorsum with microreticulation. Length 2.4-2.6 mm. Aedeagus: fig. 249; spermatheca: fig. 694; male hind femora: fig. 1075. Malaysia (Malaya) . . . . . **kualalumpurense** Ang. & Dmz.

- Dorsum without microreticulation 80

80 Ratio of 3rd/2nd antennal segments = 1.9. Length 2.5-2.7 mm. Aedeagus: fig. 250; spermatheca: fig. 695; male hind femora: fig. 1076. Indonesia (Sumatra). . . . . **montivagum** Ang. & Dmz.

- Ratio of 3rd/2nd antennal segments = 1.14-1.25 81

81 Size larger (4.1 mm). Spermatheca: fig. 696; female hind femora: fig. 1077. Malaysia (Malaya) . . . . . **negritos** Ang.

- Size smaller (2.4-2.85 mm) 82

82 Dorsum uniformly black, male hind femora rounded at posterior margin (fig. 1078). Length 2.4-2.5 mm. Aedeagus: fig. 251; spermatheca: fig. 697. Indonesia (Java) . . . . . **agostii** Ang. & Dmz.

- Dorsum uniformly reddish-brown, male hind femora with a tooth at posterior margin (fig. 1079). Length 2.85-2.95 mm. Aedeagus: fig. 252; spermatheca: fig. 698. Malaysia (Sarawak) . . . . . **marshalli** Ang. & Cooter

Gruppo ***seminulum*** (Linnaeus)

Diagnosi. Tegumento dorsale con microreticolazione, elitre con strie suturali.

Discussione. La formula tarsale maschile è sempre 5-5-4; nelle femmine può essere 5-4-4 (2 specie) oppure 4-4-4 (34 specie). Nelle femmine della regione paleartica è sempre 5-4-4.

Distribuzione geografica. Gruppo di specie presente nella regione nord neotropicale con 1 specie, neartica con 1, paleartica con 21 e orientale con 36 (37 considerando la Cina paleartica); nella regione orientale è presente solo nella sottoregione himalayana, Cina e Taiwan.

CHIAVE DICOTOMICA DELLE SPECIE DEL GRUPPO *SEMINULUM* (LINNAEUS)

1 Massima larghezza del capo al margine posteriore degli occhi o dietro ad esso (figg. 61-64) 2

- Massima larghezza del capo a livello degli occhi (figg. 65-66) 8

2 Massima larghezza del capo al margine posteriore degli occhi 3

- Massima larghezza del capo dietro al margine posteriore degli occhi (figg. 61-64) 4

3 Capo striolato, elitre con microreticolazione appena evidente, rapporto antennomeri 3°/2° = 1, rapporto pronoto/capo = 1.2, strie suturali superficiali e raggiungenti il terzo apicale delle elitre; specie del Pakistan. Tegumento dorsale rosso-bruno e con punteggiatura fine e rada su capo e pronoto, pressoché assente sulle elitre; antenne uniformemente testacee. Formula tarsale ♂ 5-5-4, ♀ 4-4-4. Lungh. 2.05-2.7 mm. Edeago: fig. 253; spermateca: fig. 699; metafemore del ♂: fig. 180 . . . . . **pakistanicum** Ang. & Dmz.

- Capo con microreticolazione appena evidente presso gli occhi, elitre con microreticolazione impressa, rapporto antennomeri 3°/2° = 1.4, rapporto pronoto/capo = 1.44, strie suturali impresse e raggiungenti il terzo apicale delle elitre; specie del Nepal. Tegumento dorsale rosso-bruno; microreticolazione superficiale sul pronoto; punteggiatura presente solo su capo e pronoto, fine e rada; antenne uniformemente testacee. Formula tarsale ♀ 4-4-4. Lungh. 2.1-2.4 mm. Edeago: fig. 254; spermateca: fig. 700 . . . . . **semipunctatum** Ang. & Dmz.

4 Strie suturali brevi, raggiungenti il terzo apicale delle elitre, capo non microreticolato e con punteggiatura doppia. Tegumento dorsale rosso-bruno chiaro e con punteggiatura fine, rada e irregolare; microreticolazione poco evidente sul pronoto, superficiale sulle elitre; rapporto antennomeri 3°/2° = 1.4; antenne uniformemente testacee; strie suturali molto superficiali. Formula tarsale ♂ 5-5-4. Lungh. 2.1 mm. Edeago: fig. 255. India (Himachal Pradesh) . . . . . **testaceum** Ang. & Dmz.

- Strie suturali lunghe, raggiungenti la metà delle elitre, capo con microreticolazione impressa e con punteggiatura semplice o assente 5

5 Specie del Pakistan, capo con occhi non visibili dal dorso (figg. 61-62) 6

- Specie di Taiwan e/o della Cina, capo con occhi visibili dal dorso (figg. 63-64) 7

6 Rapporto antennomeri 3°/2° = 1, metafemori del ♂ dilatati al margine posteriore (fig. 1081), edeago in visione dorsale lievemente ristretto prima dell'apice (fig. 256). Tegumento dorsale rosso-bruno, con microreticolazione uniforme e impressa e privo di punteggiatura; antenne uniformemente testacee; strie suturali impresse. Formula tarsale ♂ 5-5-4, ♀ 4-4-4. Lungh. 2.15-2.35 mm. Capo: fig. 61; spermateca: fig. 701. Pakistan . . . . . **pinorum** Ang. & Dmz.

- Rapporto antennomeri 3°/2° = 1.4, metafemori del ♂ sinuati al margine posteriore (fig. 1082), edeago in visione dorsale bruscamente ristretto verso l'apice (fig. 257). Tegumento dorsale rosso-bruno, con microreticolazione impressa e uniforme e privo di punteggiatura; antenne uniformemente testacee; strie suturali impresse. Formula tarsale ♂ 5-5-4, ♀ 4-4-4. Lungh. 1.95-2.35 mm. Capo: fig. 62; spermateca: fig. 702. Pakistan . . . . . **vile** Ang. & Dmz.

7 Elitre con microreticolazione superficiale, rapporto pronoto/capo = 1.33, pronoto molto trasverso (rapp. la/lu = 1.67), ali metatoraciche assenti, metafemori del ♂ con dente al margine posteriore (fig. 1083). Tegumento dorsale rosso-bruno scuro, microreticolazione impressa e uniforme su capo e pronoto e con punteggiatura impressa ma rada su capo e pronoto, fitta sulle elitre; antenne uniformemente testacee; rapporto antennomeri 3°/2° = 1.6; strie suturali impresse. Formula tarsale ♂ 5-5-4. Lungh. 3.7 mm. Capo: fig. 63; edeago: fig. 258. Cina (Gansu) . . . . . **jatanai** Ang. & Švec

- Elitre con microreticolazione impressa, rapporto pronoto/capo = 1.6, pronoto discretamente trasverso (rapp. la/lu = 1.45), ali metatoraciche vestigiali, metafemori del ♂ dilatati al margine posteriore (fig. 1084). Tegumento dorsale rosso-bruno, microreticolazione impressa e uniforme e con punteggiatura fine e rada su capo e pronoto, più impressa

sulle elitre; strie suturali impresse. Formula tarsale ♂ 5-5-4, ♀ 5-4-4. Lungh. 3.2-3.6 mm. Capo: fig. 64; edeago: fig. 259; spermateca: fig. 703. Caucaso, Asia paleartica, Taiwan, Cina (Beijing) . . . . . **mequignoni** Roubal

8 Antenne testacee con clava scura 9

- Antenne uniformemente testacee. 14

9 Microreticolazione presente solo sulle elitre. 10

- Microreticolazione presente sull'intero tegumento dorsale . 12

10 Strie suturali superficiali e lunghe, raggiungenti la metà delle elitre. Tegumento dorsale rosso-bruno oppure nero con lati del pronoto rosso-bruni; punteggiatura presente solo su capo e pronoto, fine, rada e irregolare; rapporto antennomeri 3°/2° = 1.72. Formula tarsale ♂ 5-5-4, ♀ 4-4-4. Lungh. 2.45-2.95 mm. Edeago: fig. 260; spermateca: fig. 704. Nepal . . . . . **glaciale** Ang. & Dmz.

- Strie suturali superficiali e brevi, raggiungenti il terzo apicale delle elitre 11

11 Elitre prive di punteggiatura, tegumento dorsale nero con lati del pronoto rosso-bruni, metafemori del ♂ sinuati al margine posteriore (fig. 1085). Punteggiatura presente solo su capo e pronoto, fine e rada; rapporto antennomeri 3°/2° = 1.7. Formula tarsale ♂ 5-5-4, ♀ 4-4-4. Lungh. 2.75-3.1 mm. Edeago: fig. 261; spermateca: fig. 705. Nepal . . . . . **barahbisense** Ang. & Dmz.

- Elitre punteggiate solo presso lo scutello, tegumento dorsale rosso-bruno o nero, metafemori del ♂ con dente al margine posteriore. Punteggiatura fine e rada su capo e pronoto; rapporto antennomeri 3°/2° = 1.68. Formula tarsale ♂ 5-5-4, ♀ 4-4-4. Lungh. 2.5-3.0 mm. Edeago: fig. 262; spermateca: fig. 706. India (Himachal Pradesh), Nepal . . . . . **fulungense** Ang. & Dmz.

12 Rapporto antennomeri 3°/2° = 2, intero tegumento dorsale con microreticolazione impressa e colorazione uniformemente nera. Punteggiatura assente o fine e rada negli esemplari più superficialmente microreticolati; strie suturali

impresse. Formula tarsale ♂ 5-5-4, ♀ 4-4-4. Lungh. 2.9-3.55 mm. Edeago: fig. 263; spermateca: fig. 707; metafemore del ♂: fig. 1086. India (Uttar Pradesh, Darjeeling), Nepal, Bhutan . . . . . **subopacum** Ang. & Dmz.

- Rapporto antennomeri 3°/2° = 1.3-1.8, capo e pronoto con microreticolazione superficiale, tegumento dorsale rosso-bruno scuro o in parte nero 13

13 Strie suturali impresse e raggiungenti la metà delle elitre, queste con microreticolazione superficiale, tegumento dorsale privo di punteggiatura, rapporto antennomeri 3°/2° = 1.3. Tegumento dorsale del capo rosso-bruno scuro, nero ai lati, pronoto rosso-bruno scuro ma più chiaro ai lati, elitre rosso-brune o nere; microreticolazione molto superficiale sul capo, più impressa sul pronoto ed elitre. Formula tarsale ♂ 5-5-4, ♀ 4-4-4. Lungh. 2.75-3.15 mm. Edeago: fig. 264; spermateca: fig. 708; metafemore del ♂: fig. 1087. Nepal . . . . . **microreticulatum** Ang. & Dmz.

- Strie suturali superficiali e raggiungenti il terzo apicale delle elitre, queste con microreticolazione impressa, punteggiatura presente solo su capo e pronoto, fine e rada, rapporto antennomeri 3°/2° = 1.8. Tegumento dorsale di capo ed elitre rosso-bruno scuri o neri, pronoto rosso-bruno con lati più chiari; microreticolazione superficiale su capo e pronoto. Formula tarsale ♂ 5-5-4, ♀ 4-4-4. Lungh. 2.3-2.5 mm. Edeago: fig. 265; spermateca: fig. 709; metafemore del ♂: fig. 1088. Nepal . . . . . **castaneum** Ang. & Dmz.

14 Capo striolato 15

- Capo liscio o microreticolato 19

15 Specie di dimensioni maggiori (lungh. 4.0 mm), rapporto antennomeri 3°/2° = 1.65, pronoto striolato; specie della Cina (Yunnan). Tegumento dorsale nero e striolato solo sul capo e il pronoto; punteggiatura fine e rada su capo e pronoto, più impressa e fitta sulle elitre; strie suturali lievi e raggiungenti il quinto apicale delle elitre. Formula tarsale ♂ 5-5-4, ♀ 5-4-4. Capo: fig.

65; edeago: fig. 266; spermateca: fig. 710; metafemore del ♂: fig. 1089 . . . . . **jendeki** Ang. & Švec

- Specie di dimensioni minori (lungh. 2.55-3.2 mm), rapporto antennomeri 3°/2° = 1.8-2.4, pronoto non striolato; specie del Nepal. 16

16 Capo e pronoto con punteggiatura doppia, rapporto antennomeri 3°/2° = 2.4. Tegumento dorsale nero, lati del pronoto rosso-bruni; microreticolazione presente solo sulle elitre ma poco evidente; punteggiatura impressa e fitta sulle elitre; strie suturali lievi e raggiungenti il terzo apicale delle elitre. Formula tarsale ♂ 5-5-4. Lungh. 3.2 mm. Edeago: fig. 267. Nepal . . . . . **punctatum** Ang. & Dmz.

- Capo e pronoto con punteggiatura semplice, rapporto antennomeri 3°/2° = 1.8-2.2 17

17 Strie suturali impresse e raggiungenti la metà delle elitre, rapporto antennomeri 3°/2° = 1.8, elitre con microreticolazione impressa. Tegumento dorsale uniformemente nero o con lati del pronoto rosso-bruni; capo nettamente striolato solo presso gli occhi, microreticolazione presente solo sulle elitre, superficiale presso lo scutello e impressa altrove; punteggiatura impressa su capo e pronoto, assente sulle elitre. Formula tarsale ♂ 5-5-4, ♀ 4-4-4. Lungh. 2.6-2.85 mm. Edeago: fig. 268; spermateca: fig. 711; metafemore del ♂: fig. 1090. Nepal . . . . . **substriatum** Ang. & Dmz.

- Strie suturali superficiali e raggiungenti il terzo o quarto apicale delle elitre, rapporto antennomeri 3°/2° = 2-2.2, elitre con microreticolazione superficiale 18

18 Specie di dimensioni maggiori (lungh. 3.0-3.2 mm), rapporto antennomeri 3°/2° = 2.2, strie suturali raggiungenti il terzo apicale delle elitre, metafemori del ♂ rettilinei al margine posteriore, edeago in visione dorsale ristretto prima dell'apice (fig. 269). Tegumento dorsale nero, lati del pronoto più chiari, interamente con punteggiatura fine e rada; microreticolazione superficiale sulle elitre, capo con striolatura impressa solo presso gli occhi. Formula tarsale ♂ 5-5-4, ♀ 4-4-4. Spermateca: fig. 712. Nepal . . . . . **johnsoni** Ang. & Dmz.

- Specie di dimensioni minori (lungh. 2.55-2.85 mm), rapporto antennomeri 3°/2° = 2, strie suturali raggiungenti il quarto apicale delle elitre, metafemori del ♂ dilatati al margine posteriore (fig. 1091), edeago in visione dorsale uniformemente ristretto verso l'apice (fig. 270). Tegumento dorsale rosso-bruno; capo con striolatura impressa solo ai lati, microreticolazione presente solo sulle elitre e più o meno impressa; punteggiatura presente solo su capo e pronoto, fine e rada. Formula tarsale ♂ 5-5-4, ♀ 4-4-4. Spermateca: fig. 713. Nepal . . . . . **parbaticum** Ang. & Dmz.

19 Rapporto antennomeri 3°/2° = 1.2-1.8 20

- Rapporto antennomeri 3°/2° = 2-2.5 29

20 Tegumento dorsale parzialmente microreticolato 21

- Tegumento dorsale interamente microreticolato 26

21 Strie suturali raggiungenti la metà delle elitre, tegumento dorsale uniformemente nero. Microreticolazione presente solo sulle elitre; punteggiatura presente solo su capo e pronoto, fine e rada; rapporto antennomeri 3°/2° = 1.8. Formula tarsale ♂ 5-5-4, ♀ 4-4-4. Lungh. 2.7-3.3 mm. Edeago: fig. 271; spermateca: fig. 714; metafemore del ♂: fig. 1092. Nepal . . . . . **bagmaticum** Ang. & Dmz.

- Strie suturali raggiungenti il terzo apicale delle elitre, tegumento dorsale rosso-bruno o nero 22

22 Tegumento dorsale interamente o parzialmente con punteggiatura doppia 23

- Tegumento dorsale con punteggiatura semplice 25

23 Intero tegumento dorsale con punteggiatura doppia, microreticolazione impressa sulle elitre, poco evidente sul pronoto. Tegumento dorsale rosso-bruno; rapporto antennomeri 3°/2° = 1.53; strie suturali lievi. Formula tarsale ♂ 5-5-4, ♀ 4-4-4. Lungh. 2.4-2.8 mm. Edeago: fig. 272; spermateca: fig. 715; metafemore del ♂: fig. 1093. India (Kashmir), Nepal . . . . . **brunneum** Ang. & Dmz.

- Tegumento dorsale solo in parte con punteggiatura doppia, elitre con microreticolazione superficiale 24

24 Rapporto antennomeri 3°/2° = 1.38, edeago in visione dorsale con apice strettamente arrotondato e parameri uniformemente ristretti verso l'apice (fig. 273), punteggiatura fine e rada su capo ed elitre, doppia sul pronoto. Tegumento dorsale di capo e pronoto rosso-bruno, elitre più scure oppure uniformemente nero; microreticolazione presente solo sulle elitre, superficiale; strie suturali lievi. Formula tarsale ♂ 5-5-4. Lungh. 2.5-2.85 mm. Spermateca: fig. 716. Nepal . . . . . **indistinctum** Ang. & Dmz.

- Rapporto antennomeri 3°/2° = 1.72, edeago in visione dorsale con apice largamente arrotondato e parameri uniformemente dilatati verso l'apice (fig. 274), punteggiatura doppia, impressa e fitta su capo ed elitre, fine e rada sul pronoto. Tegumento dorsale rosso-bruno o nero e con microreticolazione poco evidente su capo e pronoto, superficiale sulle elitre; strie suturali lievi. Formula tarsale ♂ 5-5-4, ♀ 4-4-4. Lungh. 2.7-3.2 mm. Spermateca: fig. 717; metafemore del ♂: fig. 1094. Nepal . . . . . **thochungense** Ang. & Dmz.

25 Rapporto antennomeri 3°/2° = 1.5, specie di dimensioni maggiori (lungh. 3.2-3.4 mm), edeago in visione dorsale uniformemente ristretto verso l'apice (fig. 275), strie suturali impresse. Tegumento dorsale rosso-bruno scuro; microreticolazione presente solo sulle elitre, impressa e uniforme; punteggiatura presente solo su capo e pronoto, impressa e fitta. Formula tarsale ♂ 5-5-4, ♀ 4-4-4. Capo: fig. 66; spermateca: fig. 718; metafemore del ♂: fig. 1095. Nepal . . . . . **ineptum** Ang. & Dmz.

- Rapporto antennomeri 3°/2° = 1.3, specie di dimensioni minori (lungh. 2.5-3.0), edeago in visione dorsale ristretto prima dell'apice (fig. 276), strie suturali lievi. Tegumento dorsale rosso-bruno e con punteggiatura fine e rada; microreticolazione presente solo sulle elitre, più impressa nelle femmine. Formula tarsale ♂ 5-5-4, ♀ 4-4-4. Spermateca: fig. 719; metafemore del ♂: fig. 1096. Nepal . . . . . **kuwapanicum** Ang. & Dmz.

26 Strie suturali raggiungenti la metà delle elitre. 27

- Strie suturali raggiungenti il terzo apicale delle elitre. 28

27 Rapporto antennomeri 3°/2° = 1.2. Tegumento dorsale rosso-bruno o nero; microreticolazione superficiale su capo e pronoto, impressa sulle elitre; punteggiatura fine e rada sul capo, doppia e irregolare sul pronoto, assente sulle elitre; strie suturali impresse. Formula tarsale ♂ 5-5-4, ♀ 4-4-4. Lungh. 2.5-3.3 mm. Edeago: fig. 277; spermateca: fig. 720; metafemore del ♂: fig. 1097. Nepal . . . . . **nivale** Ang. & Dmz.

- Rapporto antennomeri 3°/2° = 1.6. Tegumento dorsale di capo e pronoto rosso-bruno, elitre nere; microreticolazione superficiale sul disco del capo, più impressa ai lati, superficiale ma uniforme sul pronoto, impressa sulle elitre; punteggiatura fine e rada su capo e pronoto, assente sulle elitre; strie suturali impresse. Formula tarsale ♂ 5-5-4, ♀ 4-4-4. Lungh. 3.1-3.6 mm. Edeago: fig. 278; spermateca: fig. 721. Nepal . . . . . **kali** Ang. & Dmz.

28 Specie di dimensioni maggiori (lungh. 2.75 -3.45 mm), strie suturali lievi. Tegumento dorsale nero con lati del pronoto rosso-bruni; microreticolazione uniforme e superficiale su capo e pronoto, più impressa sulle elitre; punteggiatura molto fine e rada su capo e pronoto, assente sulle elitre; rapporto antennomeri 3°/2° = 1.7. Formula tarsale ♂ 5-5-4, ♀ 4-4-4. Edeago: fig. 279; spermateca: fig. 722; metafemore del ♂: fig. 1098. Nepal . . . . . **smetanai** Ang. & Dmz.

- Specie di dimensioni minori (lungh. 2.2-2.4 mm), strie suturali impresse. Tegumento dorsale rosso-bruno, pronoto con lati più chiari; microreticolazione molto superficiale su capo e pronoto, impressa sulle elitre; punteggiatura presente solo su capo e pronoto, fine e rada; rapporto antennomeri 3°/2° = 1.8. Formula tarsale ♂ 5-5-4, ♀ 4-4-4. Edeago: fig. 280; spermateca: fig. 723; metafemore del ♂: fig. 1099. Nepal . . . . . **dargharicum** Ang. & Dmz.

29 Tegumento dorsale interamente o solo in parte con punteggiatura doppia 30

- Tegumento dorsale con punteggiatura semplice 32

30 Capo non microreticolato, rapporto antennomeri 3°/2° = 2.08. Tegumento dorsale uniformemente nero oppure nero

con parte anteriore del capo e lati del pronoto rosso-bruni; microreticolazione presente solo sulle elitre, impressa; punteggiatura doppia su capo e pronoto, semplice ma impressa sulle elitre; strie suturali impresse. Formula tarsale ♂ 5-5-4, ♀ 4-4-4. Lungh. 2.8-3.7 mm. Edeago: fig. 281; spermateca: fig. 724; metafemore del ♂: fig. 1100. India (Darjeeling), Nepal . . . . . **apterum** Ang. & Dmz.

- Capo microreticolato almeno ai lati, rapporto antennomeri 3°/2° = 2.3-2.5 31

31 Capo microreticolato solo ai lati, specie di dimensione mediamente maggiore (lungh. 3.1-3.5 mm), edeago in visione dorsale ristretto prima dell'apice (fig. 282), strie suturali impresse. Tegumento dorsale uniformemente nero; microreticolazione superficiale ai lati del capo e sul pronoto, uniforme e impressa sulle elitre; punteggiatura presente solo su capo e pronoto, impressa e doppia. Formula tarsale ♂ 5-5-4, ♀ 4-4-4. Spermateca: fig. 725; metafemore del ♂: fig. 1101. Nepal . . . . . **ilamense** Ang. & Dmz.

- Capo con microreticolazione impressa e uniforme, specie di dimensione mediamente minore (lungh. 2.9-3.0 mm), edeago in visione dorsale uniformemente ristretto verso l'apice (fig. 283), strie suturali lievi. Tegumento dorsale nero, lati del pronoto più chiari; microreticolazione impressa sull'intero dorso nelle femmine, superficiale nei maschi; punteggiatura doppia, fine e rada sull'intero dorso. Formula tarsale ♂ 5-5-4, ♀ 4-4-4. Spermateca: fig. 726. India (Darjeeling), Nepal . . . . . **indicum** Ang. & Dmz.

32 Strie suturali raggiungenti la metà delle elitre. 33

- Strie suturali raggiungenti il terzo apicale delle elitre. 36

33 Intero tegumento dorsale con microreticolazione impressa, strie suturali impresse. 34

- Capo e pronoto con microreticolazione superficiale, strie suturali lievi 35

34 Rapporto antennomeri 3°/2° = 2. Tegumento dorsale nero e privo di punteggiatura. Formula tarsale ♂ 5-5-4, ♀ 4-4-4. Lungh. 3.15-3.5 mm. Edeago: fig. 284; spermateca: fig.

727; metafemore del ♂: fig. 1102. Nepal . . . . . **conspersum** Ang. & Dmz.

- Rapporto antennomeri 3°/2° = 2.3. Tegumento dorsale nero e privo di punteggiatura. Formula tarsale ♂ 5-5-4, ♀ 4-4-4. Lungh. 3.0-3.8 mm. Edeago: fig. 285; spermateca: fig. 728; metafemore del ♂: fig. 1103. Nepal . . . . . **kharkaense** Ang. & Dmz.

35 Metafemori del ♂ sinuati al margine posteriore (fig. 1104). Tegumento dorsale di capo e pronoto rosso-bruno scuro, elitre nere; microreticolazione del capo e pronoto superficiale o poco evidente sul disco e impressa ai lati, uniforme e impressa sulle elitre; punteggiatura presente solo su capo e pronoto, fine e rada; rapporto antennomeri 3°/2° = 2.3. Formula tarsale ♂ 5-5-4, ♀ 4-4-4. Lungh. 2.8-3.55 mm. Edeago: fig. 286; spermateca: fig. 729. Nepal. . . . . **francae** Ang. & Dmz.

- Metafemori del ♂ con dente al margine posteriore. Tegumento dorsale rosso-bruno o nero e con punteggiatura fine e rada; microreticolazione assente o molto superficiale nei maschi, impressa nelle femmine, doppia sul capo; rapporto antennomeri 3°/2° = 2.2. Formula tarsale ♂ 5-5-4, ♀ 4-4-4. Lungh. 2.9 mm. Edeago: fig. 287; spermateca: fig. 730. Nepal . . . . . **concolor** Ang. & Dmz.

36 Tegumento dorsale uniformemente nero, specie di dimensioni maggiori (lungh. 3.15-3.3 mm). Microreticolazione lieve sulle elitre e ai lati del capo; punteggiatura presente solo su capo e pronoto, fine e rada; rapporto antennomeri 3°/2° = 2. Formula tarsale ♂ 5-5-4, ♀ 4-4-4. Edeago: fig. 288; spermateca: fig. 731; metafemore del ♂: fig. 1105. Nepal . . . . . **confluens** Ang. & Dmz.

- Tegumento dorsale rosso-bruno, specie di dimensioni minori (lungh. 2.7-2.9 mm). Microreticolazione presente solo ai lati del capo, punteggiatura fine e rada sull'intero dorso; rapporto antennomeri 3°/2° = 2. Formula tarsale ♂ 5-5-4, ♀ 4-4-4. Edeago: fig. 289; spermateca: fig. 732; metafemore del ♂: fig. 1106. Nepal . **ausobskyi** Ang. & Dmz.

KEY TO THE SPECIES OF THE *SEMINULUM* (LINNAEUS) GROUP

1 Head widest just behind eyes or at posterior margin (figs. 61-64) 2

- Head widest at eyes (figs. 65-66) 8

2 Head widest at posterior margin of eyes 3

- Head widest behind eyes (figs. 61-64) 4

3 Head striolate, elytra with microreticulation hardly evident, ratio of 3rd/2nd antennal segments = 1, width ratio of pronotum/head = 1.2, sutural striae superficial, confined within the apical third of elytra, Pakistan. Length 2.05-2.7 mm. Aedeagus: fig. 253; spermatheca: fig. 699; male hind femora: fig. 1080 . . . . . **pakistanicum** Ang. & Dmz.

- Head with microreticulation hardly evident at eyes, elytra with microreticulation clearly impressed, ratio of 3rd/2nd antennal segments = 1.4, width ratio of pronotum/head = 1.44, sutural striae impressed, confined within the apical third of elytra, Nepal. Length 2.1-2.4 mm. Aedeagus: fig. 254; spermatheca: fig. 700 . . . . **semipunctatum** Ang. & Dmz.

4 Sutural striae shorter, confined within the apical third of elytra, head without microreticulation and with double puncturation. Length 2.1 mm. Aedeagus: fig. 255. India (Himachal Pradesh) . . . . . **testaceum** Ang. & Dmz.

- Sutural striae longer, confined within the apical half of elytra, head with microreticulation impressed and with simple puncturation or puncturation absent. 5

5 Species of Pakistan, eyes not visible from above (figs. 61-62) 6

- Species of Taiwan and/or China, eyes visible from above (figs. 63-64) 7

6 Ratio of 3rd/2nd antennal segments = 1, aedeagus in dorsal view hardly narrowed before of the apex (fig. 256), male hind femora dilated at posterior margin (fig. 1081). Length 2.15-2.35 mm. Head: fig. 61; spermatheca: fig. 701. Pakistan . . . . . **pinorum** Ang. & Dmz.

- Ratio of 3rd/2nd antennal segments = 1.4, aedeagus in dorsal view strongly narrowed to apex (fig. 257), male hind femora emarginate at posterior margin (fig. 1082). Length 1.95-2.35 mm. Head: fig. 62; spermatheca: fig. 702. . . . . Pakistan . . . . . **vile** Ang. & Dmz.

7 Elytra with superficial microreticulation, width ratio of pronotum/head = 1.33 pronotum much broader than long (ratio width/length = 1.67), membranous wings absent, male hind femora with a tooth at posterior margin (fig. 1083). Length 3.7 mm. Head: fig. 63; aedeagus: fig. 258. China (Gansu) . . . . . **jatanai** Ang. & Švec

- Elytra with clearly impressed microreticulation, width ratio of pronotum/head = 1.6 pronotum moderately broader than long (ratio width/length = 1.45), membranous wings vestigial, male hind femora rounded at posterior margin (fig. 1084). Length 3.2-3.6 mm. Head: fig. 64; aedeagus: fig. 259; spermatheca: fig. 703. Caucasus, Palaearctic Asia, Taiwan, China (Beijing) . . . . . **mequignoni** Roubal

8 Antennal club dark 9

- Antennae uniformly testaceous 14

9 Microreticulation present only on elytra 10

- Whole dorsum with microreticulation 12

10 Sutural striae superficial and long, confined within the apical half of elytra. Length 2.45-2.95 mm. Aedeagus: fig. 260; spermatheca: fig. 704. Nepal. . . . . **glaciale** Ang. & Dmz.

- Sutural striae superficial and short, confined within the apical third of elytra 11

11 Elytra without puncturation, dorsum black with sides of the pronotum reddish-brown, male hind femora emarginate at posterior margin (fig. 1085). Length 2.75-3.1 mm. Aedeagus: fig. 261; spermatheca: fig. 705. Nepal. . . . . **barahbisense** Ang. & Dmz.

- Elytra with puncturation only near the scutellum, dorsum reddish-brown or black, male hind femora with a tooth at

posterior margin. Length 2.5-3.0 mm. Aedeagus: fig. 262; spermatheca: fig. 706. India (Himachal Pradesh), Nepal. . . . . **fulungense** Ang. & Dmz.

12 Ratio of 3rd/2nd antennal segments = 2, whole dorsum with clearly impressed microreticulation and uniformly black. Length 2.9-3.55 mm. Aedeagus: fig. 263; spermatheca: fig. 707; male hind femora: fig. 1086. India (Uttar Pradesh, Darjeeling), Nepal, Bhutan . . . . . **subopacum** Ang. & Dmz.

- Ratio of 3rd/2nd antennal segments = 1.3-1.8, head and pronotum with superficial microreticulation, dorsum reddish-brown dark or partially black 13

13 Sutural striae clearly impressed, confined within the apical half of elytra, elytra with superficial microreticulation, dorsum without puncturation, ratio of 3rd/2nd antennal segments = 1.3. Length 2.75-3.15 mm. Aedeagus: fig. 264; spermatheca: fig. 708; male hind femora: fig. 1087. Nepal . . . . . **microreticulatum** Ang. & Dmz.

- Sutural striae superficial, confined within the apical third of elytra, microreticulation clearly impressed on elytra, puncturation present only on head and pronotum, fine and sparse, ratio of 3rd/2nd antennal segments = 1.8. Length 2.3-2.5 mm. Aedeagus: fig. 265; spermatheca: fig. 709; male hind femora: fig. 1088. Nepal . . . . . **castaneum** Ang. & Dmz.

14 Head striolate 15

- Head without striolation or microreticulation 19

15 Size larger (4.0 mm), ratio of 3rd/2nd antennal segments = 1.65, pronotum striolate, China (Yunnan). Head: fig. 65; aedeagus: fig. 266; spermatheca: fig. 710; male hind femora: fig. 1089 . . . . . **jendeki** Ang. & Švec

- Size smaller (2.55-3.2 mm), ratio of 3rd/2nd antennal segments = 1.8-2.4, pronotum without striolation, Nepal 16

16 Head and pronotum with double puncturation, ratio of 3rd/2nd antennal segments = 2.4. Length 3.2 mm. Aedeagus: fig. 267. Nepal . . . . . **punctatum** Ang. & Dmz.

- Head and pronotum with simple puncturation, ratio of 3rd/2nd antennal segments = 1.8-2.2 17

17 Sutural striae impressed, confined within the apical half of elytra, ratio of 3rd/2nd antennal segments = 1.8, elytra with impressed microreticulation. Length 2.6-2.85 mm. Aedeagus: fig. 268; spermatheca: fig. 711; male hind femora: fig. 1090. Nepal . . . . . **substriatum** Ang. & Dmz.

- Sutural striae superficial, extending for 1/3 or 1/4 of elytra, ratio of 3rd/2nd antennal segments = 2-2.2, elytra with superficial microreticulation. 18

18 Size larger (3.0-3.2 mm), ratio of 3rd/2nd antennal segments = 2.2, sutural striae confined within the apical third of elytra, aedeagus in dorsal view narrowed before of the apex (fig. 269), male hind femora rectilinear at posterior margin. Spermatheca: fig. 712. Nepal. . **johnsoni** Ang. & Dmz.

- Size smaller (2.55-2.85 mm), ratio of 3rd/2nd antennal segments = 2, sutural striae confined within the apical fourth of elytra, aedeagus in dorsal view uniformly narrowed to apex (fig. 270), male hind femora dilated at posterior margin (fig. 1091). Spermatheca: fig. 713. Nepal. . . . . **parbaticum** Ang. & Dmz.

19 Ratio of 3rd/2nd antennal segments = 1.2-1.8 20

- Ratio of 3rd/2nd antennal segments = 2-2.5 29

20 Dorsum only in part with microreticulation 21

- Whole dorsum with microreticulation 26

21 Sutural striae confined within the apical half of elytra, dorsum uniformly black. Length 2.7-3.3 mm. Aedeagus: fig. 271; spermatheca: fig. 714; male hind femora: fig. 1092. Nepal . . . . . **bagmaticum** Ang. & D.mz.

- Sutural striae confined within the apical third of elytra, dorsum reddish-brown or black 22

22 Dorsum entirely or in part with double puncturation. 23

- Dorsum with simple puncturation 25

23 Whole dorsum with double puncturation, microreticulation clearly impressed on elytra, hardly evident

on pronotum. Length 2.4-2.8 mm. Aedeagus: fig. 272; spermatheca: fig. 715; male hind femora: fig. 1093. India (Kashmir), Nepal . . . . . **brunneum** Ang. & Dmz.

- Dorsum only in part with double puncturation, elytra with superficial microreticulation 24

24 Ratio of 3rd/2nd antennal segments = 1.38, aedeagus in dorsal view with narrowly rounded apex and with parameres uniformly narrowed to apex (fig. 273), puncturation sparse on head and elytra, double on pronotum. Length 2.5-2.85 mm. Spermatheca: fig. 716. Nepal . . . . . **indistinctum** Ang. & Dmz.

- Ratio of 3rd/2nd antennal segments = 1.72, aedeagus in dorsal view with larger rounded apex and with parameres dilated at apex (fig. 274), puncturation double on head and elytra, sparse on pronotum. Length 2.7-3.2 mm. Spermatheca: fig. 717; male hind femora: fig. 1094. Nepal . . . . . **thochungense** Ang. & Dmz.

25 Ratio of 3rd/2nd antennal segments = 1.5, size larger (3.2-3.4 mm), aedeagus in dorsal view uniformly narrowed to apex (fig. 275), sutural striae impressed. Head: fig. 66; spermatheca: fig. 718; male hind femora: fig. 1095. Nepal . . . . . **ineptum** Ang. & Dmz.

- Ratio of 3rd/2nd antennal segments = 1.3, size smaller (2.5-3.0), aedeagus in dorsal view narrowed before of the apex (fig. 276), sutural striae superficial. Spermatheca: fig. 719; male hind femora: fig. 1096. Nepal . . . . . **kuwapanicum** Ang. & Dmz.

26 Sutural striae confined within the apical half of elytra . . . 27

- Sutural striae confined within the apical third of elytra. . . 28

27 Ratio of 3rd/2nd antennal segments = 1.2. Length 2.5-3.3 mm. Aedeagus: fig. 277; spermatheca: fig. 720; male hind femora: fig. 1097. Nepal . . . . . **nivale** Ang. & Dmz.

- Ratio of 3rd/2nd antennal segments = 1.6. Length 3.1-3.6 mm. Aedeagus: fig. 278; spermatheca: fig. 721. Nepal . . . . . **kali** Ang. & Dmz.

28 Size larger (2.75 -3.45 mm), sutural striae superficial. Aedeagus: fig. 279; spermatheca: fig. 722; male hind femora: fig. 1098. Nepal . . . . . **smetanai** Ang. & Dmz.

- Size smaller (2.2-2.4 mm), sutural striae impressed. Aedeagus: fig. 280; spermatheca: fig. 723; male hind femora: fig. 1099. Nepal . . . . . **dargharicum** Ang. & Dmz.

29 Dorsum entirely or in part with double puncturation. 30

- Dorsum with simple puncturation 32

30 Head without microreticulation, ratio of 3rd/2nd antennal segments = 2.08. Length 2.8-3.7 mm. Aedeagus: fig. 281; spermatheca: fig. 724; male hind femora: fig. 1100. India (Darjeeling), Nepal . . . . . **apterum** Ang. & Dmz.

- Head with microreticulation uniform or confined laterally, ratio of 3rd/2nd antennal segments = 2.3-2.5 31

31 Head with microreticulation confined laterally, size larger (3.1-3.5 mm), aedeagus in dorsal view narrowed before of the apex (fig. 282), sutural striae impressed. Spermatheca: fig. 725; male hind femora: fig. 1101. Nepal . . . . . **ilamense** Ang. & Dmz.

- Head with microreticulation impressed and uniform, size smaller (2.9-3.0 mm), aedeagus in dorsal view uniformly narrowed to apex (fig. 283), sutural striae superficial. Sper matheca: fig. 726. India (Darjeeling), Nepal . . . . . **indicum** Ang. & Dmz.

32 Sutural striae confined within the apical half of elytra . . . 33

- Sutural striae confined within the apical third of elytra. . . 36

33 Whole dorsum with clearly impressed microreticulation, sutural striae impressed. 34

- Head and pronotum with superficial microreticulation, sutural striae superficial. 35

34 Ratio of 3rd/2nd antennal segments = 2. Length 3.15-3.5 mm. Aedeagus: fig. 284; spermatheca: fig. 727; male hind femora: fig. 1102. Nepal . . . . . **conspersum** Ang. & Dmz.

- Ratio of 3rd/2nd antennal segments = 2.3. Length 3.0-3.8 mm. Aedeagus: fig. 285; spermatheca: fig. 728; male hind femora: fig. 1103. Nepal . . . . . **kharkaense** Ang. & Dmz.

35 Male hind femora curved at posterior margin (fig. 1104). Length 2.8-3.55 mm. Aedeagus: fig. 286; spermatheca: fig. 729. Nepal . . . . . **francae** Ang. & Dmz.

- Male hind femora with a tooth at posterior margin. Length 2.9 mm. Aedeagus: fig. 287; spermatheca: fig. 730. Nepal . . . . . **concolor** Ang. & Dmz.

36 Dorsum uniformly black, size larger (3.15-3.3 mm). Aedeagus: fig. 288; spermatheca: fig. 731; male hind femora: fig. 1105. Nepal . . . . . **confluens** Ang. & Dmz.

- Dorsum reddish-brown, size smaller (2.7-2.9 mm). Aedeagus: fig. 289; spermatheca: fig. 733; male hind femora: fig. 1106. Nepal . . . . . **ausobskyi** Ang. & Dmz.

Gruppo ***atrum*** (Paykull)

Diagnosi. Tegumento dorsale senza microreticolazione (raramente con vaghe tracce visibili solo a 100 x), elitre con strie suturali.

Discussione. Nei maschi la formula tarsale è sempre 5-5-4; nelle femmine può essere 5-4-4 (3 specie) oppure 4-4-4 (10 specie). Nelle femmine della regione paleartica è sempre 5-4-4.

Distribuzione geografica. Gruppo di specie presente nella regione nord neotropicale con 1 specie, neartica con 14, paleartica con 9 e orientale con 16 (18 considerando la Cina paleartica); nella regione orientale è presente solo nella sottoregione himalayana, nel Tamil Nadu, in Cina, Taiwan e in Giappone (Ryukyus).

CHIAVE DICOTOMICA DELLE SPECIE DEL GRUPPO *ATRUM* (PAYKULL)

1 Massima larghezza del capo dietro al margine posteriore degli occhi 2

- Massima larghezza del capo a livello degli occhi (figg. 67-70) 3

2 Specie di Taiwan e di dimensioni maggiori (2.9-3.0 mm), antenne testacee con antennomeri 9°-10° scuri, rapporto antennomeri 3°/2° = 1.6. Tegumento dorsale rosso-bruno e con punteggiatura fine e rada; microreticolazione assente, solo vaghe tracce sulle elitre; strie suturali lievi e raggiungenti il terzo apicale delle elitre. Formula tarsale ♂ 5-5-4, ♀ 5-4-4. Edeago: fig. 290; spermateca: fig. 733; metafemore del ♂: fig. 1107 . . . . . **glabricolle** Ang. & Dmz.

- Specie dell'India (Kashmir) e di dimensioni minori (2.0-2.1 mm), antenne uniformemente testacee, rapporto antennomeri 3°/2° = 1.3. Tegumento dorsale rosso-bruno, margini del pronoto neri, interamente con punteggiatura fine e rada; microreticolazione assente, solo vaghe tracce sulle elitre; strie suturali lievi e raggiungenti il terzo apicale delle elitre. Formula tarsale ♂ 5-5-4, ♀ 4-4-4. Edeago: fig. 291; spermateca: fig. 734; metafemore del ♂: fig. 1108. India (Kashmir) . . . . . **gulmargense** Ang. & Dmz.

3 Antenne testacee con antennomeri 9°-10° o intera clava scura 4

- Antenne uniformemente testacee. 7

4 Antenne testacee con antennomeri 9°-10° scuri 5

- Antenne testacee con intera clava scura 6

5 Rapporto antennomeri 3°/2° = 1.6, strie suturali impresse e raggiungenti la metà delle elitre, rapporto pronoto/capo = 1.57, ali metatoraciche presenti, tegumento dorsale rosso-bruno, specie di dimensioni minori (lungh. 3.4 mm) e del Giappone (Ryukyus). Microreticolazione assente, solo vaghe tracce sulle elitre; punteggiatura fine e rada sull'intero dorso. Formula tarsale ♂ 5-5-4. Capo: fig. 67; edeago: fig. 292; metafemore del ♂: fig. 1109 . . . . . **amamiense** Hoshina

- Rapporto antennomeri 3°/2° = 2, strie suturali superficiali e raggiungenti il quinto apicale delle elitre, rapporto pronoto/capo = 1.75, ali metatoraciche assenti, tegumento dorsale uniformemente nero, specie di dimensioni maggiori (lungh. 3.7-4.1 mm) e della Cina (Yunnan, Sichuan). Microreticolazione assente, solo vaghe tracce su capo e pronoto; punteggiatura impressa sull'intero dorso. Formula tarsale ♂ 5-5-4, ♀ 5-4-4. Capo: fig. 68; edeago: fig. 293; spermateca: fig. 735; metafemore del ♂: fig. 1110 . . . . . **uliginosum** Ang. & Švec

6 Specie di dimensioni maggiori (lungh. 3.25 mm), strie suturali superficiali e raggiungenti la metà delle elitre, ali metatoraciche assenti, metafemori del ♂ con dente al margine posteriore. Tegumento dorsale nero con lati più chiari, interamente privo di microreticolazione; punteggiatura impressa e fitta sul capo, più rada sulle elitre, doppia sul pronoto; rapporto antennomeri 3°/2° = 1.8. Formula tarsale ♂ 5-5-4, ♀ 4-4-4. Edeago: fig. 294; spermateca: fig. 736. Nepal . . . . . **raffaellae** Ang. & Dmz.

- Specie di dimensioni minori (lungh. 1.8 mm), strie suturali superficiali e raggiungenti il quinto apicale delle elitre, ali metatoraciche presenti, metafemori del ♂ poco dilatati al margine posteriore (fig. 1111). Tegumento dorsale nero, privo di microreticolazione e con punteggiatura fine e rada; rapporto antennomeri 3°/2° = 1.6. Formula tarsale ♂ 5-5-4. Edeago: fig. 295. India (Darjeeling) . . . . . **sikh** Ang. & Dmz.

7 Rapporto antennomeri 3°/2° = 1.15-1.8 8

- Rapporto antennomeri 3°/2° = 2.0-2.3 16

8 Strie suturali raggiungenti la metà delle elitre. 9

- Strie suturali raggiungenti il terzo apicale delle elitre. 10

9 Strie suturali impresse, rapporto pronoto/capo = 1.6, ali metatoraciche vestigiali, formula tarsale ♀ 5-4-4; specie della Cina (Sichuan). Tegumento dorsale nero, lati del pronoto e sutura rosso-bruni; microreticolazione assente; punteggiatura impressa su capo e pronoto, più evidente sulle elitre; rapporto antennomeri 3°/2° = 1.3. Formula tarsale ♂ 5-5-4. Lungh. 3.1 mm. Edeago: fig. 296; spermateca: fig. 737; metafemore del ♂: fig. 1112 . . . . . **chinense** Hlisn.

- Strie suturali superficiali, rapporto pronoto/capo = 1.4, ali metatoraciche assenti, formula tarsale ♀ 4-4-4; specie del Pakistan. Tegumento dorsale rosso-bruno e con punteggiatura fine e rada; microreticolazione assente, solo vaghe tracce sulle elitre; rapporto antennomeri 3°/2° = 1.5. Formula tarsale ♂ 5-5-4, ♀ 4-4-4. Lungh. 2.85-3.4 mm. Edeago: fig. 297; spermateca: fig. 738; metafemore del ♂: fig. 1113 ..... **robustum** Ang. & Dmz.

10 Tegumento dorsale del capo o pronoto o elitre con punteggiatura doppia 11

- Intero tegumento dorsale con punteggiatura semplice 13

11 Rapporto antennomeri 3°/2° = 1.4, metafemori del ♂ dilatati al margine posteriore (fig. 1114), pronoto con punteggiatura doppia. Tegumento dorsale rosso-bruno, privo di microreticolazione e con punteggiatura fine e rada su capo ed elitre; strie suturali lievi. Formula tarsale ♂ 5-5-4. Lungh. 2.7 mm. Edeago: fig. 298. India (Kashmir) ..... **laevipenne** Port.

- Rapporto antennomeri 3°/2° = 1.7-1.8, metafemori del ♂ con dente al margine posteriore, pronoto con punteggiatura semplice 12

12 Strie suturali impresse, solo il capo con punteggiatura doppia, rapporto pronoto/capo = 1.47, edeago in visione laterale con apice curvato verso l'alto (fig. 299). Tegumento dorsale rosso-bruno o nero e privo di microreticolazione; punteggiatura impressa sul pronoto, più fine e rada sulle elitre; rapporto antennomeri 3°/2° = 1.7. Formula tarsale ♂ 5-5-4, ♀ 4-4-4. Lungh. 2.1-2.8 mm. Capo: fig. 69; spermateca: fig. 739. India (Kashmir, Kumaon, Garhwal, Himachal Pradesh) ..... **kashmirense** Ang. & Dmz.

- Strie suturali superficiali, solo le elitre con punteggiatura doppia, rapporto pronoto/capo = 1.3, edeago in visione laterale con apice non curvato verso l'alto (fig. 300). Tegumento dorsale di capo e pronoto rosso-bruno, elitre nere; microreticolazione assente; punteggiatura fine e rada su capo e pronoto; rapporto antennomeri 3°/2° = 1.8. Formula tarsale ♂ 5-5-4, ♀ 4-4-4. Lungh. 2.7-2.8 mm. Spermateca: fig. 740. India (Darjeeling), Nepal ..... **fallax** Ang. & Dmz.

13 Rapporto antennomeri 3°/2° = 1.15, strie suturali impresse, ali metatoraciche presenti, formula tarsale ♀ 5-4-4. Tegumento dorsale rosso-bruno, elitre con venature nere, interamente privo di microreticolazione e con punteggiatura impressa. Lungh. 2.8 mm. Capo: fig. 70; spermateca: fig. 741. Nepal . . . . . **hamanni** Ang. & Dmz.

- Rapporto antennomeri 3°/2° = 1.4-1.8, strie suturali superficiali, ali metatoraciche assenti, formula tarsale ♀ 4-4-4 14

14 Rapporto antennomeri 3°/2° = 1.4, edeago in visione dorsale con apice largamente arrotondato (fig. 301). Tegumento dorsale rosso-bruno e con punteggiatura fine e rada; microreticolazione assente, solo vaghe tracce sulle elitre. Formula tarsale ♂ 5-5-4, ♀ 4-4-4. Lungh. 2.9-3.5 mm. Spermateca: fig. 742; metafemore del ♂: fig. 1115. Pakistan, India (Kashmir) . . . . . **pauperum** Ang. & Dmz.

- Rapporto antennomeri 3°/2° = 1.7-1.8, edeago in visione dorsale con apice appuntito (figg. 302-303) 15

15 Tegumento dorsale rosso-bruno; specie del Nepal. Dorso privo di microreticolazione e con punteggiatura fine e rada su capo e pronoto, pressoché assente sulle elitre; rapporto antennomeri 3°/2° = 1.7. Formula tarsale ♂ 5-5-4, ♀ 4-4-4. Lungh. 2.6-3.0 mm. Edeago: fig. 302; spermateca: fig. 743; metafemore del ♂: fig. 1116 . . . . . **visnu** Ang. & Dmz.

- Tegumento dorsale uniformemente nero; specie dell'India (Garhwal e Tamil Nadu). Dorso privo di microreticolazione e con punteggiatura fine e molto rada; rapporto antennomeri 3°/2° = 1.8. Formula tarsale ♂ 5-5-4, ♀ 4-4-4. Lungh. 3.1-3.2 mm. Edeago: fig. 303; spermateca: fig. 744; metafemore del ♂: fig. 1117 . . . . . **garhwalense** Ang. & Dmz.

16 Specie di dimensioni minori (lungh. 2.75-2.85 mm). Tegumento dorsale nero, privo di microreticolazione e con punteggiatura fine e rada solo su capo e pronoto; rapporto antennomeri 3°/2° = 2; strie suturali lievi e raggiungenti il quarto apicale delle elitre. Formula tarsale ♂ 5-5-4, ♀ 4-4-4. Edeago: fig. 304; spermateca: fig. 745; metafemore del ♂: fig. 1118. Nepal . . . . . **sadhu** Ang. & Dmz.

- Specie di dimensioni maggiori (lungh. 3.0-3.9 mm) 17

17 Strie suturali raggiungenti il terzo apicale delle elitre, specie di dimensioni minori (lungh. 3.0-3.1 mm), metafemori del ♂ con dente al margine posteriore; specie del Nepal. Tegumento dorsale nero, lati del pronoto più chiari, privo di microreticolazione e con punteggiatura fine e rada; rapporto antennomeri 3°/2° = 2.1; strie suturali lievi. Formula tarsale ♂ 5-5-4. Edeago: fig. 305 . . . . . **dinguaricum** Ang. & Dmz.

- Strie suturali raggiungenti la metà delle elitre, specie di dimensioni maggiori (lungh. 3.6-3.9 mm), metafemori del ♂ rettilinei al margine posteriore (fig. 1119); specie della Cina (Sichuan). Tegumento dorsale rosso-bruno, privo di microreticolazione e con punteggiatura fine e rada; rapporto antennomeri 3°/2° = 2.3; strie suturali lievi. Formula tarsale ♂ 5-5-4, ♀ 4-4-4. Edeago: fig. 306; spermateca: fig. 746 . . . . . **kabateki** Ang.

KEY TO THE SPECIES OF THE *ATRUM* (PAYKULL) GROUP

1 Head widest behind eyes. 2

- Head widest at eyes (figs. 67-70) 3

2 Species of Taiwan, size larger (2.9-3.0 mm), antennal segments 9°-10° dark, ratio of 3rd/2nd antennal segments = 1.6. Aedeagus: fig. 290; spermatheca: fig. 733; male hind femora: fig. 1107 . . . . . **glabricolle** Ang. & Dmz.

- Species of India (Kashmir), size smaller (2.0-2.1 mm), antennae uniformly testaceous, ratio of 3rd/2nd antennal segments = 1.3. Aedeagus: fig. 291; spermatheca: fig. 734; male hind femora: fig. 1108 . . . . **gulmargense** Ang. & Dmz.

3 Antennal segments 9°-10° or antennal club dark. 4

- Antennae uniformly testaceous 7

4 Antennal segments 9°-10° dark. 5

- Antennal club dark 6

5 Ratio of 3rd/2nd antennal segments = 1.6, sutural striae clearly impressed, confined within the apical half of elytra, width ratio of pronotum/head = 1.57, membranous wings present, dorsum reddish-brown, size smaller (3.4 mm), Japan (Ryukyus). Head: fig. 67; aedeagus: fig. 292; male hind femora: fig. 1109 . . . . . **amamiense** Hoshina

- Ratio of 3rd/2nd antennal segments = 2, sutural striae superficial, not reaching apical $^1/_5$ of elytra, width ratio of pronotum/head = 1.75, membranous wings absent, dorsum uniformly black, size larger (3.7-4.1 mm), China (Yunnan, Sichuan). Head: fig. 68; aedeagus: fig. 293; spermatheca: fig. 735; male hind femora: fig. 1110 . . . . . **uliginosum** Ang. & Švec.

6 Size larger (3.25 mm), sutural striae superficial, confined within the apical half of elytra, membranous wings absent, male hind femora with a tooth at posterior margin. Aedeagus: fig. 294; spermatheca: fig. 736. Nepal. . . . . **raffaellae** Ang. & Dmz.

- Size smaller (1.8 mm), sutural striae superficial, not reaching apical $^1/_5$ of elytra, membranous wings present, male hind femora less dilated at posterior margin (fig. 1111). Aedeagus: fig. 295. India (Darjeeling) . . . . **sikh** Ang. & Dmz.

7 Ratio of 3rd/2nd antennal segments = 1.15-1.8 8

- Ratio of 3rd/2nd antennal segments = 2.0-2.3 16

8 Sutural striae confined within the apical half of elytra . . . 9

- Sutural striae confined within the apical third of elytra. . . 10

9 Sutural striae clearly impressed, width ratio of pronotum/head = 1.6, membranous wings vestigial, tarsal formula ♀ 5-4-4, China (Sichuan). Length 3.1 mm. Aedeagus: fig. 296; spermatheca: fig. 737; male hind femora: fig. 1112 . . . . . **chinense** Hlisn.

- Sutural striae superficial, width ratio of pronotum/head = 1.4, membranous wings absent, tarsal formula ♀ 4-4-4, Pakistan. Length 2.85-3.4 mm. Aedeagus: fig. 297; spermatheca: fig. 738; male hind femora: fig. 1113. . . . . **robustum** Ang. & Dmz.

10 Dorsum of the head or pronotum or elytra with double puncturation 11

\- Whole dorsum with simple puncturation 13

11 Ratio of 3rd/2nd antennal segments = 1.4, male hind femora rounded at posterior margin (fig. 1114), pronotum with double puncturation. Length 2.7 mm. Aedeagus: fig. 298. India (Kashmir) . . . . . **laevipenne** Port.

\- Ratio of 3rd/2nd antennal segments = 1.7-1.8, male hind femora with a tooth at posterior margin, pronotum with simple puncturation 12

12 Sutural striae clearly impressed, only the head with double puncturation, width ratio of pronotum/head = 1.47, aedeagus in lateral view with apex reflexed (fig. 299). Length 2.1-2.8 mm. Head: fig. 69; spermatheca: fig. 739. India (Kashmir, Kumaon, Garhwal, Himachal Pradesh) . . . . . **kashmirense** Ang. & Dmz.

\- Sutural striae superficial, only the elytra with double puncturation, width ratio of pronotum/head = 1.3, aedeagus in lateral view with apex not reflexed (fig. 300). Length 2.7-2.8 mm. Spermatheca: fig. 740. India (Darjeeling), Nepal . . . . . **fallax** Ang. & Dmz.

13 Ratio of 3rd/2nd antennal segments = 1.14, sutural striae clearly impressed, membranous wings present, tarsal formula ♀ 5-4-4. Length 2.8 mm. Head: fig. 70; spermatheca: fig. 741. Nepal . . . . . **hamanni** Ang. & Dmz.

\- Ratio of 3rd/2nd antennal segments = 1.4-1.8, sutural striae superficial, membranous wings absent, tarsal formula ♀ 4-4-4 14

14 Ratio of 3rd/2nd antennal segments = 1.4, aedeagus in dorsal view with apex rounded (fig. 301). Length 2.9-3.5 mm. Spermatheca: fig. 742; male hind femora: fig. 1115. Pakistan, India (Kashmir) . . . . . **pauperum** Ang. & Dmz.

\- Ratio of 3rd/2nd antennal segments = 1.7-1.8, aedeagus in dorsal view with apex pointed (figs. 302-303) 15

15 Dorsum reddish-brown, Nepal. Length 2.6-3.0 mm. Aedeagus: fig. 302; spermatheca: fig. 743; male hind femora: fig. 1116 . . . . . **visnu** Ang. & Dmz.

- Dorsum uniformly black, India (Garhwal and Tamil Nadu). Length 3.1-3.2 mm. Aedeagus: fig. 303; spermatheca: fig. 744; male hind femora: fig. 1117 **garhwalense** Ang. & Dmz.

16 Size smaller (2.75-2.85 mm). Aedeagus: fig. 304; sperma theca: fig. 745; male hind femora: fig. 1118. Nepal. . . . . **sadhu** Ang. & Dmz.

- Size larger (3.0-3.9 mm) 17

17 Sutural striae confined within the apical third of elytra, size smaller (3.0-3.1 mm), male hind femora with a tooth at posterior margin, Nepal. Aedeagus: fig. 305 . . . . . **dinguaricum** Ang. & Dmz.

- Sutural striae confined within the apical half of elytra, size larger (3.6-3.9 mm), male hind femora rectilinear at posterior margin (fig. 1119), China (Sichuan). Aedeagus: fig. 306; spermatheca: fig. 746. . . . . **kabateki** Ang.

Gruppo ***laevigatum*** Erichson

Diagnosi. Tegumento dorsale del tutto o in parte microreticolato, elitre senza strie suturali.

Discussione. Nei maschi la formula tarsale è quasi sempre 5-5-4 (solo in tre specie è 4-4-4); nelle femmine può essere 5-4-4 (23 specie) oppure 4-4-4 (17 specie). Nelle femmine della regione paleartica è 5-4-4 tranne che in un caso e in tutti i maschi è 5-5-4.

Distribuzione geografica. Gruppo di specie presente nella regione neartica con 2 specie, paleartica con 35 e orientale con 46 (60 considerando la Cina paleartica); nell'Asia sudorientale è presente solo nella sottoregione himalayana, Cina e Taiwan.

CHIAVE DICOTOMICA DELLE SPECIE DEL GRUPPO *LAEVIGATUM* ERICHSON

1 Massima larghezza del capo al margine posteriore degli occhi o dietro ad esso (figg. 71-76). 2

- Massima larghezza del capo a livello degli occhi (figg. 77-84) 17

2 Massima larghezza del capo dietro al margine posteriore degli occhi (figg. 71-75). 3

- Massima larghezza del capo al margine posteriore degli occhi (fig. 76) 10

3 Specie della Cina 4

- Specie del Pakistan o sottoregione himalayana 7

4 Rapporto antennomeri 3°/2° = 1.3-1.9, capo e pronoto senza tracce di microreticolazione. 5

- Rapporto antennomeri 3°/2° = 1, capo e pronoto con microreticolazione appena evidente 6

5 Rapporto antennomeri 3°/2° = 1.3, specie di dimensioni minori (lungh. 2.2-2.3 mm). Tegumento dorsale rosso-bruno; microreticolazione presente solo sulle elitre, superficiale; punteggiatura fine e rada, presente solo su capo e pronoto; antenne uniformemente testacee. Formula tarsale ♂ 5-5-4, ♀ 4-4-4. Capo: fig. 71; edeago: fig. 307; spermateca: fig. 747; metafemore del ♂: fig. 1120. Cina (Hubei) . . . . . **celatum** Ang. & Dmz.

- Rapporto antennomeri 3°/2° = 1.9, specie di dimensioni maggiori (lungh. 2.85-2.95 mm). Tegumento dorsale rosso-bruno scuro; microreticolazione presente solo sulle elitre, superficiale; punteggiatura microscopica, presente solo su capo e pronoto; antenne uniformemente testacee. Formula tarsale ♂ 5-5-4. Capo: fig. 72; edeago: fig. 308; metafemore del ♂: fig. 1121. Cina (Sichuan). . . . . **michaeli** Ang.

6 Specie di dimensioni minori (lungh. 1.6 mm), rapporto pronoto/capo = 1.6, edeago in visione dorsale uniformemente ristretto verso l'apice (fig. 309). Tegumento dorsale rosso-bruno; microreticolazione superficiale sulle elitre;

punteggiatura fine e rada, presente solo su capo e pronoto; antenne uniformemente testacee; rapporto antennomeri 3°/2° = 1. Formula tarsale ♂ 5-5-4. Metafemore del ♂: fig. 1122. Cina (Zhejiang) . . . . . **nitidulum** Ang. & Cooter

- Specie di dimensioni maggiori (lungh. 2.1-2.4 mm), rapporto pronoto/capo = 1.1, edeago in visione dorsale ristretto prima dell'apice (fig. 310). Tegumento dorsale rosso-bruno; microreticolazione superficiale sulle elitre; punteggiatura fine e rada, presente solo su capo e pronoto; antenne uniformemente testacee; rapporto antennomeri 3°/2° = 1. Formula tarsale ♂ 5-5-4, ♀ 5-4-4. Capo: fig. 73; spermateca: fig. 748; metafemore del ♂: fig. 1123. Cina (Jiangsu) . . . . . **zijinense** Ang. & Cooter

7 Specie del Pakistan. Tegumento dorsale rosso-bruno; microreticolazione molto variabile, poco evidente o superficiale su capo e pronoto, più impressa sulle elitre; punteggiatura assente, solo rari punti; antenne uniformemente testacee; rapporto antennomeri 3°/2° = 1.35. Formula tarsale ♂ e ♀ 4-4-4. Lungh. 1.7-2.15 mm. Edeago: fig. 311; spermateca: fig. 749; metafemore del ♂: fig. 1124 . . . . . **swaticum** Ang. & Dmz.

- Specie della sottoregione himalayana 8

8 Capo privo di microreticolazione o solo con vaghe tracce. Tegumento dorsale rosso-bruno e con punteggiatura fine e poco rada; microreticolazione superficiale sul pronoto, più impressa sulle elitre; antenne uniformemente testacee; rapporto antennomeri 3°/2° = 1.45. Formula tarsale ♂ 5-5-4, ♀ 4-4-4. Lungh. 2.1-2.35 mm. Edeago: fig. 312; spermateca: fig. 750; metafemore del ♂: fig. 1125. Nepal . . . . . **nepalense** Ang. & Dmz.

- Capo con microreticolazione superficiale ma uniforme 9

9 Specie di dimensioni minori (lungh. 1.6-1.8 mm), elitre con punteggiatura, formula tarsale ♂ 4-4-4, capo con occhi piccoli e poco visibili dal dorso (fig. 74). Tegumento dorsale rosso-bruno e con punteggiatura fine e poco fitta; microreticolazione superficiale sul capo, più impressa su pronoto

ed elitre; antenne uniformemente testacee; rapporto antennomeri 3°/2° = 1.35. Formula tarsale ♀ 4-4-4. Edeago: fig. 313; spermateca: fig. 751; metafemore del ♂: fig. 1126. Nepal . . . . . **minutissimum** Ang. & Dmz.

- Specie di dimensioni maggiori (lungh. 2 mm), elitre prive di punteggiatura, formula tarsale ♂ 5-5-4, capo con occhi più grandi e più visibili dal dorso (fig. 75). Tegumento dorsale rosso-bruno; microreticolazione superficiale ai lati del capo e posteriormente, superficiale ma uniforme sul pronoto, più impressa sulle elitre; punteggiatura fine e rada su capo e pronoto; antenne uniformemente testacee; rapporto antennomeri 3°/2° = 1.3. Edeago: fig. 314; metafemore del ♂: fig. 1127; habitus in visione dorsale e laterale: figg. 20-21. India (Himachal Pradesh) . . . . . **shimlense** Ang. & Steph.

10 Specie della Cina, formula tarsale ♀ 5-4-4 11

- Specie del Nepal o Pakistan, formula tarsale ♀ 4-4-4 13

11 Elitre con microreticolazione impressa, specie di dimensioni minori (lungh. 2.85-3.1 mm). Tegumento dorsale rosso-bruno e con punteggiatura fine e rada, presente solo su capo e pronoto; antenne uniformemente testacee. Formula tarsale ♂ 5-5-4, ♀ 5-4-4. Capo: fig. 76; edeago: fig. 315; spermateca: fig. 752; metafemore del ♂: fig. 1128. Cina (Sichuan) . . . . . **armatum** Ang.

- Elitre con microreticolazione superficiale, specie di dimensioni maggiori (lungh. 3.3-3.9 mm) 12

12 Specie di dimensioni minori (lungh. 3.3 mm), rapporto antennomeri 3°/2° = 1.6. Tegumento dorsale rosso-bruno; microreticolazione superficiale e presente solo sulle elitre; capo e pronoto con punteggiatura fine e rada; antenne uniformemente testacee. Formula tarsale ♂ 5-5-4. Edeago: fig. 316; metafemore del ♂: fig. 1129. Cina (Jiangxi) . . . . . **huangganshanicum** Ang. & Cooter

- Specie di dimensioni maggiori (lungh. 3.6-3.9 mm), rapporto antennomeri 3°/2° = 2.3. Tegumento dorsale rosso-bruno e con punteggiatura fine e rada; microreticolazione superficiale e presente solo sulle elitre; antenne uniformemente testacee. Formula tarsale ♂ 5-5-4, ♀ 5-4-4. Edeago: fig.

317; spermateca: fig. 753; metafemore del ♂: fig. 1130. Cina (Sichuan) . . . . . **rufescens** Ang. & Dmz.

13 Specie del Pakistan, rapporto antennomeri 3°/2° = 1.15. Tegumento dorsale rosso-bruno e privo di punteggiatura; microreticolazione superficiale su capo e pronoto, impressa sulle elitre; antenne uniformemente testacee o con clava poco più scura. Formula tarsale ♂ 5-5-4, ♀ 4-4-4. Lungh. 1.75-2.1 mm. Edeago: fig. 318; spermateca: fig. 754; metafemore del ♂: fig. 1131 . . . . . **guagir** Ang. & Dmz.

- Specie del Nepal, rapporto antennomeri 3°/2° += 1.3-1.55 14

14 Intero dorso con uniforme e impressa microreticolazione. Tegumento dorsale rosso-bruno chiaro e privo di punteggiatura; antenne uniformemente testacee; rapporto antennomeri 3°/2° = 1.55. Formula tarsale ♂ 5-5-4, ♀ 4-4-4. Lungh. 2.3-2.55 mm. Edeago: fig. 319; spermateca: fig. 755. Nepal. . . . . **himalayanum** Ang. & Dmz.

- Capo con microreticolazione poco evidente 15

15 Microreticolazione appena evidente sul pronoto, superficiale sulle elitre, rapporto antennomeri 3°/2° = 1.5, formula tarsale ♂ 4-4-4. Tegumento dorsale rosso-bruno; microreticolazione poco evidente sul capo; punteggiatura impressa e rada su capo e pronoto, più fine sulle elitre; antenne uniformemente testacee. Formula tarsale ♀ 4-4-4. Lungh. 1.8-2.1 mm. Edeago: fig. 320; spermateca: fig. 756; metafemore del ♂: fig. 1132. Nepal . . . . . **tibiale** Ang. & Dmz.

- Microreticolazione superficiale sul pronoto, impressa sulle elitre, rapporto antennomeri 3°/2° = 1.3, formula tarsale ♂ 5-4-4 16

16 Occhi suboblunghi e ben visibili dal dorso. Tegumento dorsale rosso-bruno; microreticolazione poco evidente o assente sul capo, superficiale sul pronoto, impressa sulle elitre; punteggiatura fine e rada, presente solo su capo e pronoto; antenne uniformemente testacee; rapporto antennomeri 3°/2° = 1.3. Formula tarsale ♂ 5-5-4, ♀ 4-4-4. Lungh. 2.15-2.5 mm. Edeago: fig. 321; spermateca: fig. 757; metafemore del ♂: fig. 1133. Nepal . . . . . **lividum** Ang. & Dmz.

- Occhi appiattiti e poco visibili dal dorso. Tegumento dorsale rosso-bruno; microreticolazione poco evidente sul capo, superficiale sul pronoto, più impressa sulle elitre; punteggiatura fine e rada, presente solo su capo e pronoto; antenne uniformemente testacee; rapporto antennomeri 3°/2° = 1.3. Formula tarsale ♂ 5-5-4, ♀ 4-4-4. Lungh. 2.0-2.15 mm. Edeago: fig. 322; spermateca: fig. 758; metafemore del ♂: fig. 1134. Nepal . . . . . **rubrum** Ang. & Dmz.

17 Antenne testacee con clava scura o nera 18

- Antenne uniformemente testacee. 23

18 Tegumento dorsale uniformemente nero 19

- Tegumento dorsale uniformemente rosso-bruno o nero con lati rosso-bruni 21

19 Specie di dimensioni minori (lungh. 1.8-2.1 mm). Tegumento dorsale con microreticolazione superficiale su capo e pronoto, più impressa sulle elitre; punteggiatura fine e poco fitta sull'intero dorso; rapporto antennomeri 3°/2° = 1.7; antenne testacee con clava scura. Formula tarsale ♂ 5-5-4, ♀ 5-4-4. Edeago: fig. 323; spermateca: fig. 759; metafemore del ♂: fig. 1135. Nepal . . . . . **manangense** Ang. & Dmz.

- Specie di dimensioni maggiori (lungh. 2.7-3.4 mm) 20

20 Elitre con microreticolazione impressa, rapporto antennomeri 3°/2° = 1.5, formula tarsale ♀ 4-4-4, edeago in visione dorsale con apice asimmetrico (fig. 324), ali metatoraciche assenti. Tegumento dorsale con microreticolazione superficiale su capo e pronoto e con punteggiatura fine e rada; antenne testacee con clava scura. Formula tarsale ♂ 5-5-4, ♀ 4-4-4. Lungh. 3.0-3.2 mm. Spermateca: fig. 760; metafemore del ♂: fig. 1136. Nepal . . . . . **lassethamense** Ang. & Dmz.

- Elitre con microreticolazione superficiale, rapporto antennomeri 3°/2° = 1.3, formula tarsale ♀ 5-4-4, edeago in visione dorsale con apice simmetrico (fig. 325), ali metatoraciche presenti. Tegumento dorsale con microreticolazione superficiale e uniforme e con punteggiatura

fine e rada solo su capo e pronoto. Formula tarsale ♂ 5-5-4. Lungh. 2.7-3.4 mm. Spermateca: fig. 761; metafemore del ♂: fig. 1137; meso- e metasterno: fig. 15. India (Himachal Pradesh, Darjeeling), Nepal, Bhutan, regione paleartica ..... **laevigatum laevigatum** Er.

21 Antenne testacee con clava scura, specie di dimensioni maggiori (lungh. 3.15 mm). Tegumento dorsale rosso-bruno, elitre più scure; microreticolazione presente solo sulle elitre, impressa; punteggiatura impressa e fitta, presente solo su capo e pronoto; rapporto antennomeri 3°/2° = 1.8. Formula tarsale ♂ 5-5-4. Edeago: fig. 326; metafemore del ♂: fig. 1138. Nepal ..... **detritum** Ang. & Dmz.

- Antenne testacee con clava nera, specie di dimensioni minori (lungh. 2.1-2.9 mm) 22

22 Capo e pronoto non microreticolato, rapporto pronoto/capo = 1.25, metafemori del ♂ dilatati al margine posteriore (fig. 1139), formula tarsale ♀ 5-4-4. Tegumento dorsale rosso-bruno scuro; microreticolazione superficiale sulle elitre; punteggiatura fine e rada, presente solo su capo e pronoto; rapporto antennomeri 3°/2° = 1.7. Formula tarsale ♂ 5-5-4. Lungh. 2.1-2.9 mm. Edeago: fig. 327; spermateca: fig. 762. Nepal ..... **semireticulatum** Ang. & Dmz.

- Intero dorso microreticolato, rapporto pronoto/capo = 1.43, metafemori del ♂ con dente al margine posteriore, formula tarsale ♀ 4-4-4. Tegumento dorsale nero con lati del pronoto rosso-bruni, interamente con punteggiatura fine e rada; microreticolazione superficiale sul capo, più impressa su pronoto ed elitre; rapporto antennomeri 3°/2° = 1.5. Formula tarsale ♂ 5-5-4. Lungh. 2.3-2.6 mm. Edeago: fig. 328; spermateca: fig. 763. Nepal ..... **goropanicum** Ang. & Dmz.

23 Specie di Taiwan o della Cina 24

- Specie della sottoregione himalayana 43

24 Specie di Taiwan 25

- Specie della Cina 34

25 Elitre con microreticolazione impressa. Tegumento dorsale rosso-bruno scuro; microreticolazione presente solo sulle elitre; punteggiatura presente solo su capo e pronoto, fine e rada; rapporto antennomeri 3°/2° = 1.5. Formula tarsale ♂ 5-5-4, ♀ 5-4-4. Lungh. 2.9-3.4 mm. Edeago: fig. 329; spermateca: fig. 764; metafemore del ♂: fig. 1140. Taiwan . . . . . **angustatum** Ang. & Dmz.

- Elitre con microreticolazione superficiale 26

26 Metafemori del ♂ dilatati al margine posteriore (fig. 1141). Tegumento dorsale rosso-bruno; microreticolazione superficiale, presente solo sulle elitre; punteggiatura fine e rada, presente solo su capo e pronoto; rapporto antennomeri 3°/2° = 1.5. Formula tarsale ♂ 5-5-4, ♀ 5-4-4. Lungh. 3.3-3.5 mm. Edeago: fig. 330; spermateca: fig. 765. Taiwan . . . . . **memnonium** Ang. & Dmz.

- Metafemori del ♂ con dente al margine posteriore (figg. 1142-1149) 27

27 Rapporto antennomeri 3°/2° = 1.6. Tegumento dorsale nero, sutura elitrale più chiara; microreticolazione presente solo sulle elitre, superficiale o poco evidente; punteggiatura fine e rada, presente solo su capo e pronoto. Formula tarsale ♂ 5-5-4, ♀ 5-4-4. Lungh. 2.7-3.0 mm. Edeago: fig. 331; spermateca: fig. 766; metafemore del ♂: fig. 1142. Taiwan . . . . . **inustum** Ang. & Dmz.

- Rapporto antennomeri 3°/2° = 1.1-1.3 28

28 Specie di dimensioni minori (lungh. 2.3-2.7 mm) 29

- Specie di dimensioni maggiori (lungh. 3.0-3.6 mm) 31

29 Edeago in visione dorsale con parameri dilatati prima dell'apice (fig. 332), rapporto pronoto/capo = 1.23. Tegumento dorsale rosso-bruno; microreticolazione superficiale e uniforme, presente solo sulle elitre; punteggiatura fine e rada, presente solo su capo e pronoto; rapporto antennomeri 3°/2° = 1.1. Formula tarsale ♂ 5-5-4. Lungh. 2.6 mm. Metafemore del ♂: fig. 1143. Taiwan . . . . . **furcatum** Ang. & Dmz.

- Edeago in visione dorsale con parameri uniformemente ristretti verso l'apice (figg. 333-334), rapporto pronoto/capo = 1.33-1.35 30

30 Elitre con punteggiatura microscopica, capo non microreticolato. Tegumento dorsale rosso-bruno scuro o nero e con punteggiatura fine e rada; microreticolazione presente solo sulle elitre, superficiale o poco evidente; rapporto antennomeri 3°/2° = 1.2. Formula tarsale ♂ 5-5-4, ♀ 5-4-4. Lungh. 2.6-2.7 mm. Edeago: fig. 333; spermateca: fig. 767; metafemore del ♂: fig. 1144. Taiwan . . . . . **comptum** Ang. & Dmz.

- Elitre prive di punteggiatura, capo con microreticolazione poco evidente. Tegumento dorsale rosso-bruno più o meno scuro; microreticolazione molto superficiale sulle elitre; punteggiatura presente solo sul pronoto, fine e rada; rapporto antennomeri 3°/2° = 1.2. Formula tarsale ♂ 5-5-4, ♀ 5-4-4. Lungh. 2.3-2.6 mm. Edeago: fig. 334; spermateca: fig. 768; metafemore del ♂: fig. 1145. Taiwan . . . . . **egregium** Ang. & Dmz.

31 Pronoto discretamente trasverso (rapp. la/lu = 1.46). Tegumento dorsale nero; microreticolazione superficiale o poco evidente, presente solo sulle elitre; punteggiatura fine e molto rada, presente solo su capo e pronoto; rapporto antennomeri 3°/2° = 1.3. Formula tarsale ♂ 5-5-4, ♀ 5-4-4. Lungh. 3.2-3.5 mm. Edeago: fig. 335; spermateca: fig. 769; metafemore del ♂: fig. 1146. Taiwan . . . . . **exoletum** Ang. & Dmz.

- Pronoto poco trasverso (rapp. la/lu = 1.18-1.29) 32

32 Metafemori del ♂ con lieve dente al margine posteriore (fig. 1147). Tegumento dorsale nero e con punteggiatura fine e rada; microreticolazione presente solo sulle elitre, superficiale o poco evidente; rapporto antennomeri 3°/2° = 1.2. Formula tarsale ♂ 5-5-4, ♀ 5-4-4. Lungh. 3.0-3.3 mm. Edeago: fig. 336; spermateca: fig. 770. Taiwan . . . . . **alpestre** Ang. & Dmz.

- Metafemori del ♂ con netto dente al margine posteriore (figg. 1148-1149) 33

33 Pronoto poco trasverso (rapp. la/lu = 1.18), margine anteriore molto curvo. Tegumento dorsale rosso-bruno scuro o nero; microreticolazione superficiale o poco evidente, presente solo sulle elitre; punteggiatura fine e molto rada, presente solo su capo e pronoto; rapporto antennomeri 3°/2° = 1.2. Formula tarsale ♂ 5-5-4, ♀ 5-4-4. Lungh. 3.0-3.3 mm. Capo: fig. 77; edeago: fig. 337; spermateca: fig. 771; metafemore del ♂: fig. 1148. Taiwan . . . . . **subalpinum** Ang. & Dmz.

- Pronoto più trasverso (rapp. la/lu = 1.29), margine anteriore poco curvo. Tegumento dorsale nero; microreticolazione superficiale o poco evidente, presente solo sulle elitre; punteggiatura fine e rada su capo e pronoto, assente sulle elitre; rapporto antennomeri 3°/2° = 1.1. Formula tarsale ♂ 5-5-4, ♀ 5-4-4. Lungh. 3.4-3.6 mm. Edeago: fig. 338; spermateca: fig. 772; metafemore del ♂: fig. 1149. Taiwan . . . . . **taichungense** Ang. & Dmz.

34 Rapporto antennomeri 3°/2° = 1.1-1.7 35

- Rapporto antennomeri 3°/2° = 2.1-2.4 40

35 Specie di dimensioni minori (lungh. 2.15-2.55 mm) 36

- Specie di dimensioni maggiori (lungh. 3.1-3.9 mm) 38

36 Rapporto antennomeri 3°/2° = 1.5, microreticolazione impressa e uniforme sull'intero dorso. Tegumento dorsale rosso-bruno e privo di punteggiatura. Formula tarsale ♀ 5-4-4. Lungh. 2.4 mm. Spermateca: fig. 773; metafemore della ♀: fig. 1150. Cina (Sichuan) . . . . . **rurale** Ang.

- Rapporto antennomeri 3°/2° = 1.1, microreticolazione superficiale o poco evidente sull'intero dorso 37

37 Intero tegumento dorsale con microreticolazione uniforme e superficiale e privo di punteggiatura, edeago in visione dorsale con apice strettamente arrotondato (fig. 339). Tegumento dorsale rosso-bruno; rapporto antennomeri 3°/2° = 1.1. Formula tarsale ♂ 5-5-4, ♀ 5-4-4. Lungh. 2.15-2.3 mm. Spermateca: fig. 774; metafemore del ♂: fig. 1151. Cina (Sichuan) . . . . . **procerum** Ang. & Dmz.

- Microreticolazione superficiale sulle elitre, poco evidente su capo e pronoto, punteggiatura presente solo su capo e pronoto, edeago in visione dorsale con apice largamente arrotondato (fig. 340). Tegumento dorsale rosso-bruno; rapporto antennomeri 3°/2° = 1.1. Formula tarsale ♂ 5-5-4. Lungh. 2.55 mm. Metafemore del ♂: fig. 1152. Cina (Shaanxi) . . . . . **tschungi** Ang.

38 Pronoto poco trasverso (rapp. la/lu = 1.22), elitre con microreticolazione impressa. Tegumento dorsale rosso-bruno; microreticolazione presente solo sulle elitre, impressa; punteggiatura microscopica e presente solo su capo e pronoto; rapporto antennomeri 3°/2° = 1.6. Formula tarsale ♂ 5-5-4. Lungh. 3.2 mm. Edeago: fig. 341; metafemore del ♂: fig. 1153. Cina (Sichuan) . . . . . **consimile** Ang.

- Pronoto discretamente trasverso (rapp. la/lu = 1.45-1.59), elitre con microreticolazione superficiale 39

39 Rapporto antennomeri 3°/2° = 1.4, pronoto ed elitre con punteggiatura, pronoto non microreticolato, rapporto pronoto/capo = 1.4, specie di dimensioni minori (lungh. 3.1-3.5 mm), capo in visione dorsale con occhi discretamente grandi e poco sporgenti (fig. 78). Tegumento dorsale nero e con punteggiatura fine e rada; microreticolazione presente solo sulle elitre, molto superficiale o poco evidente. Formula tarsale ♀ 5-4-4. Spermateca: fig. 775; metafemore della ♀: fig. 1154. Cina (Zhejiang) . . . . . **garrattii** Ang. & Cooter

- Rapporto antennomeri 3°/2° = 1.7, pronoto ed elitre prive di punteggiatura, pronoto con microreticolazione appena evidente, rapporto pronoto/capo = 1.59, specie di dimensioni maggiori (lungh. 3.8-3.9 mm), capo in visione dorsale con occhi più grandi e sporgenti (fig. 79). Tegumento dorsale rosso-bruno scuro o nero; microreticolazione poco evidente sul pronoto, superficiale sulle elitre; punteggiatura microscopica e rada sul capo. Formula tarsale ♂ 5-5-4, ♀ 5-4-4. Edeago: fig. 342; spermateca: fig. 776; metafemore del ♂: fig. 1155. Cina (Sichuan) . . . . . **simplex** Ang.

40 Specie di dimensioni maggiori (lungh. 3.6-4.6 mm), tegumento dorsale uniformemente nero, rapporto antennomeri 3°/2° = 2.1-2.15 41

- Specie di dimensioni minori (lungh. 3.05-3.15 mm), tegumento dorsale uniformemente rosso-bruno, rapporto antennomeri 3°/2° = 2.3-2.4 42

41 Specie di dimensioni maggiori (lungh. 4.2-4.6 mm), microreticolazione superficiale su capo e pronoto, impressa sulle elitre, rapporto pronoto/capo = 1.4, capo con occhi suboblunghi e poco sporgenti (fig. 80), edeago in visione dorsale con apice incavato (fig. 343). Tegumento dorsale nero e con punteggiatura fine e rada; rapporto antennomeri 3°/2° = 2.1. Formula tarsale ♂ 5-5-4, ♀ 5-4-4. Spermateca: fig. 777; metafemore del ♂: fig. 1156. Cina (Sichuan) . . . . . **gonggaense** Ang. & Dmz.

- Specie di dimensioni minori (lungh. 3.6-3.95 mm), microreticolazione impressa sull'intero dorso, rapporto pronoto/capo = 1.77, capo con occhi tondeggianti e sporgenti (fig. 81), edeago in visione dorsale con apice appuntito (fig. 344). Tegumento dorsale nero e privo di punteggiatura o solo con grandi e radi punti; rapporto antennomeri 3°/2° = 2.15. Formula tarsale ♂ 5-5-4, ♀ 5-4-4. Spermateca: fig. 778; metafemore del ♂: fig. 1157. Cina (Sichuan) . . . . . **nigerrimum** Ang.

42 Elitre con microreticolazione impressa, capo con occhi suboblunghi e poco sporgenti (fig. 82). Tegumento dorsale rosso-bruno scuro; microreticolazione assente su capo e pronoto; punteggiatura fine e rada, presente solo su capo e pronoto; rapporto antennomeri 3°/2° = 2.3. Formula tarsale ♂ 5-5-4. Lungh. 3.1 mm. Edeago: fig. 345; metafemore del ♂: fig. 1158. Cina (Sichuan). . . . . **jaechi** Ang.

- Elitre con microreticolazione più superficiale, capo con occhi suboblunghi ma più sporgenti posteriormente (fig. 83). Tegumento dorsale rosso-bruno; microreticolazione assente su capo e pronoto; punteggiatura fine e rada su capo e pronoto, assente sulle elitre; rapporto antennomeri 3°/2° = 2.4. Formula tarsale ♂ 5-

5-4, ♀ 5-4-4. Lungh. 3.05-3.15 mm. Edeago: fig. 346; spermateca: fig. 779; metafemore del ♂: fig. 1159. Cina (Sichuan) . . . . . **rubiginosum** Ang.

43 Capo striolato 44

- Capo non striolato (con microreticolazione superficiale o del tutto liscio) 45

44 Pronoto striolato, rapporto antennomeri 3°/2° = 1.4, tegumento dorsale rosso-bruno, edeago in visione dorsale uniformemente ristretto verso l'apice (fig. 347). Capo e pronoto con striolatura superficiale; punteggiatura fine e rada sull'intero dorso. Formula tarsale ♂ 5-5-4, ♀ 5-4-4. Lungh. 1.9-2.4 mm. Spermateca: fig. 780; metafemore del ♂: fig. 1160. Nepal . . . . . **kathmanduense** Ang. & Dmz.

- Pronoto non striolato, rapporto antennomeri 3°/2° = 2, tegumento dorsale nero, edeago in visione dorsale ristretto prima dell'apice (fig. 348). Elitre con microreticolazione appena evidente; punteggiatura fine e rada, presente solo su capo e pronoto. Formula tarsale ♂ 5-5-4, ♀ 5-4-4. Lungh. 2.65 mm. Spermateca: fig. 781; metafemore del ♂: fig. 1161. Nepal . . . . . **siva** Ang. & Dmz.

45 Pronoto con punteggiatura doppia 46

- Pronoto con punteggiatura semplice o assente 47

46 Capo con punteggiatura doppia, rapporto antennomeri 3°/2° = 1.6, pronoto molto trasverso (rapp. la/lu = 1.75), metafemori del ♂ dilatati al margine posteriore (fig. 1162). Tegumento dorsale rosso-bruno; microreticolazione superficiale, presente solo sulle elitre; punteggiatura fine e doppia su capo e pronoto, assente sulle elitre. Formula tarsale ♂ 5-5-4. Lungh. 2.8 mm. Capo: fig. 84; edeago: fig. 349. Nepal . . . . . **rusticanum** Ang. & Dmz.

- Capo con punteggiatura semplice, rapporto antennomeri 3°/2° = 2, pronoto discretamente trasverso (rapp. la/lu = 1.48), metafemori del ♂ con dente al margine posteriore. Tegumento dorsale rosso-bruno oppure con elitre nere; microreticolazione superficiale e pre-

sente solo sulle elitre; punteggiatura impressa sul capo, doppia sul pronoto, assente sulle elitre. Formula tarsale ♂ 5-5-4, ♀ 4-4-4. Lungh. 2.4-2.7 mm. Edeago: fig. 350; spermateca: fig. 782. Nepal . . . . . **franzi** Ang. & Dmz.

47 Rapporto antennomeri 3°/2° = 1.3-1.75 48

- Rapporto antennomeri 3°/2° = 2-2.3 57

48 Specie di dimensioni maggiori (lungh. 3.2-3.4 mm) 49

- Specie di dimensioni minori (lungh. 2.2-3.0 mm). 50

49 Capo e pronoto non microreticolati, elitre con punteggiatura, metafemori del ♂ con dente al margine posteriore (fig. 1163), edeago in visione dorsale con apice largamente arrotondato (fig. 351), formula tarsale ♀ 5-4-4. Tegumento dorsale rosso-bruno scuro; microreticolazione superficiale, presente solo sulle elitre; punteggiatura fine ma impressa su capo e pronoto, poco visibile e rada sulle elitre; rapporto antennomeri 3°/2° = 1.75. Formula tarsale ♂ 5-5-4. Lungh. 3.2-3.4 mm. Spermateca: fig. 783. India (Uttar Pradesh) . . . . . **proximum** Ang.

- Capo e pronoto con microreticolazione appena evidente, elitre prive di punteggiatura, metafemori del ♂ dilatati al margine posteriore (fig. 1164), edeago in visione dorsale con apice strettamente arrotondato (fig. 352), formula tarsale ♀ 4-4-4. Tegumento dorsale di capo e pronoto rosso-bruno, elitre nere con sutura più chiara; microreticolazione presente solo sulle elitre, superficiale; punteggiatura fine e rada, presente solo su capo e pronoto; rapporto antennomeri 3°/2° = 1.75. Formula tarsale ♂ 5-5-4. Lungh. 3.2 mm. Spermateca: fig. 784. Nepal . . . . . **imitator** Ang. & Dmz.

50 Intero tegumento dorsale con microreticolazione impressa. Tegumento dorsale rosso-bruno, elitre più scure; punteggiatura assente; rapporto antennomeri 3°/2° = 1.4. Formula tarsale ♂ 5-5-4, ♀ 4-4-4. Lungh. 2.5-2.55 mm. Edeago: fig. 353; spermateca: fig. 785; metafemore del ♂: fig. 1165. Nepal . . . . . **variabile** Ang. & Dmz.

- Tegumento dorsale molto superficialmente o parzialmente microreticolato 51

51 Elitre non microreticolate. Tegumento dorsale di capo e pronoto rosso-bruno, elitre nere, interamente con punteggiatura fine; microreticolazione molto superficiale su capo e pronoto; rapporto antennomeri 3°/2° = 1.5. Formula tarsale ♂ 5-5-4, ♀ 4-4-4. Lungh. 2.4-2.65 mm. Edeago: fig. 354; spermateca: fig. 786; metafemore del ♂: fig. 1166. India (Darjeeling), Nepal . . . . . **martensi** Ang. & Dmz.

- Elitre con microreticolazione superficiale e uniforme 52

52 Capo e pronoto privi di microreticolazione 53

- Capo e pronoto con microreticolazione superficiale o poco evidente 54

53 Rapporto pronoto/capo = 1.5, edeago in visione dorsale con apice nettamente appuntito e in visione laterale a curvatura meno accentuata verso l'alto (fig. 355). Tegumento dorsale nero con lati più chiari; microreticolazione superficiale, presente solo sulle elitre; punteggiatura fine e rada, presente solo su capo e pronoto; rapporto antennomeri 3°/2° = 1.7. Formula tarsale ♂ 5-5-4, ♀ 5-4-4. Lungh. 2.65-3.0 mm. Spermateca: fig. 787; metafemore del ♂: fig. 1167. Nepal . . . . . **rufifrons** Ang. & Dmz.

- Rapporto pronoto/capo = 1.32, edeago in visione dorsale con apice arrotondato e in visione laterale a curvatura molto accentuata verso l'alto (fig. 356). Tegumento dorsale di capo e pronoto rosso-bruno, elitre più scure o nere con lati più chiari; microreticolazione presente solo sulle elitre, superficiale; punteggiatura presente solo su capo e pronoto, fine e rada; rapporto antennomeri 3°/2° = 1.72. Formula tarsale ♂ 5-5-4, ♀ 5-4-4. Lungh. 2.3-2.6 mm. Spermateca: fig. 788. Nepal . . . . . **circumflexum** Ang. & Dmz.

54 Elitre prive di punteggiatura. 55

- Elitre con punteggiatura 56

55 Tegumento dorsale uniformemente nero, specie di dimensioni maggiori (lungh. 2.8-3.0 mm), edeago in visione laterale con apice non curvato verso l'alto (fig. 357). Microreticolazione superficiale sul capo ed elitre, poco evidente sul pronoto, nei maschi più superficiale

che nelle femmine; punteggiatura fine e rada su capo e pronoto; rapporto antennomeri 3°/2° = 1.5. Formula tarsale ♂ 5-5-4, ♀ 4-4-4. Spermateca: fig. 789; metafemore del ♂: fig. 1168. Nepal . . . . . **inquietum** Ang. & Dmz.

- Tegumento dorsale uniformemente rosso-bruno, specie di dimensioni minori (lungh. 2.2-2.6 mm), edeago in visione laterale con apice a curvatura molto accentuata verso l'alto (fig. 358). Microreticolazione poco evidente su capo e pronoto, superficiale sulle elitre; punteggiatura fine ma fitta su capo e pronoto; rapporto antennomeri 3°/2° = 1.4. Formula tarsale ♂ 5-5-4, ♀ 4-4-4. Spermateca: fig. 790; metafemore del ♂: fig. 1169. Nepal . . . . . **excelsum** Ang. & Dmz.

56 Rapporto antennomeri 3°/2° = 1.3, formula tarsale ♀ 4-4-4. Tegumento dorsale rosso-bruno scuro o nero e con punteggiatura fine e rada; microreticolazione poco evidente su capo e pronoto, molto superficiale sulle elitre. Formula tarsale ♂ 5-5-4. Lungh. 2.35-2.65 mm. Edeago: fig. 359; spermateca: fig. 791; metafemore del ♂: fig. 1170. Nepal . . . . . **dobaticum** Ang. & Dmz.

- Rapporto antennomeri 3°/2° = 1.7, formula tarsale ♀ 5-4-4. Tegumento dorsale di capo ed elitre nero, pronoto rosso-bruno; microreticolazione poco evidente su capo e pronoto, superficiale sulle elitre; punteggiatura fine e rada su capo e pronoto, più impressa sulle elitre. Formula tarsale ♂ 5-5-4. Lungh. 2.6-2.75 mm. Edeago: fig. 360; spermateca: fig. 792; metafemore del ♂: fig. 1171. Nepal . . . . . **ornatum** Ang. & Dmz.

57 Intero dorso con microreticolazione impressa. Tegumento dorsale del capo rosso-bruno scuro, pronoto ed elitre nere con lati rosso-bruni; punteggiatura fine e rada, presente solo su capo e pronoto; rapporto antennomeri 3°/2° = 2. Formula tarsale ♀ 5-4-4. Lungh. 2.75 mm. Spermateca: fig. 793. Nepal . . . . . **seminigrum** Ang. & Dmz.

- Dorso parzialmente microreticolato 58

58 Elitre con microreticolazione superficiale e uniforme. Tegumento dorsale rosso-bruno più o meno scuro; microretico-

lazione presente solo sulle elitre; punteggiatura fine e rada, presente solo su capo e pronoto; rapporto antennomeri 3°/2° = 2. Formula tarsale ♂ 5-5-4, ♀ 5-4-4. Lungh. 2.35-3.05 mm. Edeago: fig. 361; spermateca: fig. 794; metafemore del ♂: fig. 1172. Nepal . . . . . **ishvara** Ang. & Dmz.

- Elitre non microreticolate 59

59 Rapporto antennomeri 3°/2° = 2, tegumento dorsale rosso-bruno, capo e pronoto privi di punteggiatura, edeago in visione dorsale con apice strettamente arrotondato (fig. 362). Microreticolazione superficiale, presente solo su capo e pronoto; punteggiatura fine e rada, presente solo sulle elitre. Formula tarsale ♂ 5-5-4, ♀ 5-4-4. Lungh. 2.8-3.3 mm. Spermateca: fig. 795; metafemore del ♂: fig. 1173. Nepal . . . . . **fulgens** Ang. & Dmz.

- Rapporto antennomeri 3°/2° = 2.3, tegumento dorsale nero, capo e pronoto con punteggiatura, edeago in visione dorsale con apice largamente arrotondato (fig. 363). Microreticolazione superficiale, presente solo su capo e pronoto; punteggiatura fine e rada sull'intero dorso. Formula tarsale ♂ 5-5-4, ♀ 5-4-4. Lungh. 3.4-3.5 mm. Spermateca: fig. 796; metafemore del ♂: fig. 1174; antenna: fig. 5. Nepal . . . . . **querceum** Ang. & Dmz.

KEY TO THE SPECIES OF THE *LAEVIGATUM* ERICHSON GROUP

1 Head widest just behind eyes or at posterior margin (figs. 71-76) 2

- Head widest at eyes (figs. 77-84) 17

2 Head widest behind eyes (figs. 71-75) 3

- Head widest at posterior margin of eyes (fig. 76) 10

3 Species of China 4

- Species of Pakistan or the Himalayan region 7

4 Ratio of 3rd/2nd antennal segments = 1.3-1.9, head and pronotum without microreticulation 5

- Ratio of 3rd/2nd antennal segments = 1, head and pronotum with weak microreticulation 6

5 Ratio of 3rd/2nd antennal segments = 1.3, size smaller (2.2-2.3 mm). Head: fig. 71; aedeagus: fig. 307; spermatheca: fig. 747; male hind femora: fig. 1120. China (Hubei) . . . . . **celatum** Ang. & Dmz.

- Ratio of 3rd/2nd antennal segments = 1,9, size larger (2.85-2.95 mm). Head: fig. 72; aedeagus: fig. 308; male hind femora: fig. 1121. China (Sichuan) . . . . . **michaeli** Ang.

6 Size smaller (1.6 mm), width ratio of pronotum/head = 1.6, aedeagus in dorsal view uniformly narrowed to apex (fig. 309). Male hind femora: fig. 1122. China (Zhejiang). . . . . **nitidulum** Ang. & Cooter

- Size larger (2.1-2.4 mm), width ratio of pronotum/head = 1.1, aedeagus in dorsal view narrowed before of the apex (fig. 310). Head: fig. 73; spermatheca: fig. 748; male hind femora: fig. 1123. China (Jiangsu) . . **zijinense** Ang. & Cooter

7 Species of Pakistan. Length 1.7-2.15 mm. Aedeagus: fig. 311; spermatheca: fig. 749; male hind femora: fig. 1124 . . . . . **swaticum** Ang. & Dmz.

- Species of the Himalayan region 8

8 Head without microreticulation or only with vague traces. Length 2.1-2.35 mm. Aedeagus: fig. 312; spermatheca: fig. 750; male hind femora: fig. 1125. Nepal . . . . . **nepalense** Ang. & Dmz.

- Head with superficial but uniform microreticulation. 9

9 Size smaller (1.6-1.8 mm), elytra with puncturation, head with eyes smaller and hardly visible from above (fig. 74), tarsal formula ♂ 4-4-4. Aedeagus: fig. 313; spermatheca: fig. 751; male hind femora: fig. 1126. Nepal . . . . . **minutissimum** Ang. & Dmz.

- Size larger (2.0 mm), elytra without puncturation, head with eyes larger and more visible from above (fig. 75), tarsal formula ♂ 5-5-4. Aedeagus: fig. 314; male hind femora: fig.

1127; habitus in dorsal and lateral view: figs. 20-21. India (Himachal Pradesh) . . . . . **shimlense** Ang. & Steph.

10 Species of China, tarsal formula ♀ 5-4-4 11

- Species of Nepal or Pakistan, tarsal formula ♀ 4-4-4 13

11 Size smaller (2.85-3.1 mm), elytra with clear microreticulation. Length 2.85-3.1 mm. Head: fig. 76; aedeagus: fig. 315; spermatheca: fig. 752; male hind femora: fig. 1128. China (Sichuan) . . . . . **armatum** Ang.

- Size larger (3.3-3.9 mm), elytra with superficial microreticulation 12

12 Size smaller (3.3 mm), ratio of 3rd/2nd antennal segments = 1.6. Aedeagus: fig. 316; male hind femora: fig. 1129. China (Jiangxi) . . . . . **huangganshanicum** Ang. & Cooter

- Size larger (3.6-3.9 mm), ratio of 3rd/2nd antennal segments = 2.3. Aedeagus: fig. 317; spermatheca: fig. 753; male hind femora: fig. 1130. China (Sichuan) . . . . . **rufescens** Ang. & Dmz.

13 Species of Pakistan, ratio of 3rd/2nd antennal segments = 1.15. Length 1.75-2.1 mm. Aedeagus: fig. 318; spermatheca: fig. 754; male hind femora: fig. 1131 . . . . . **guagir** Ang. & Dmz.

- Species of Nepal, ratio of 3rd/2nd antennal segments = 1.3-1.55 14

14 Whole dorsum with uniform and clear microreticulation. Length 2.3-2.55 mm. Aedeagus: fig. 319; spermatheca: fig. 755. Nepal . . . . . **himalayanum** Ang. & Dmz.

- Head with microreticulation hardly evident 15

15 Pronotum with microreticulation hardly evident, elytra with superficial microreticulation, ratio of 3rd/2nd antennal segments = 1.5, tarsal formula ♂ 4-4-4. Length 1.8-2.1 mm. Aedeagus: fig. 320; spermatheca: fig. 756; male hind femora: fig. 1132. Nepal . . . . . **tibiale** Ang. & Dmz.

- Pronotum with superficial microreticulation, clearer on elytra, ratio of 3rd/2nd antennal segments = 1.3, tarsal formula ♂ 5-4-4 16

16 Eyes flattened and visible from above. Length 2.15-2.5 mm. Aedeagus: fig. 321; spermatheca: fig. 757; male hind femora: fig. 1133. Nepal . . . . . **lividum** Ang. & Dmz.

- Eyes flattened and hardly visible from above. Length 2.0-2.15 mm. Aedeagus: fig. 322; spermatheca: fig. 758; male hind femora: fig. 1134. Nepal . . . . . **rubrum** Ang. & Dmz.

17 Antennal club dark or black 18

- Antennae uniformly testaceous 23

18 Dorsum uniformly black 19

- Dorsum uniformly reddish-brown or black and with sides reddish-brown 21

19 Size smaller (1.8-2.1 mm). Aedeagus: fig. 323; spermatheca: fig. 759; male hind femora: fig. 1135. Nepal . . . . . **manangense** Ang. Dmz.

- Size larger (2.7-3.4 mm) 20

20 Elytra with microreticulation clear, ratio of 3rd/2nd antennal segments = 1.5, aedeagus in dorsal view narrow with asymmetric apex (fig. 324), tarsal formula ♀ 4-4-4, membranous wings absent. Length 3.0-3.2 mm. Spermatheca: fig. 760; male hind femora: fig. 1136. Nepal . . . . . **lassethamense** Ang. & Dmz.

- Elytra with superficial microreticulation, ratio of 3rd/2nd antennal segments = 1.3, aedeagus in dorsal view narrow with symmetric apex (fig. 325), tarsal formula ♀ 5-4-4, membranous wings present. Length 2.7-3.4 mm. Spermatheca: fig. 761; male hind femora: fig. 1137; meso- metasternum: fig. 15. India (Himachal Pradesh, Darjeeling), Nepal, Bhutan, Palaearctic region . . . . . **laevigatum laevigatum** Er.

21 Antennal club dark, size larger (3.15 mm). Aedeagus: fig. 326; male hind femora: fig. 1138. Nepal . . . . . **detritum** Ang. & Dmz.

- Antennal club black, size smaller (2.1-2.9 mm). 22

22 Head and pronotum without microreticulation, width ratio of pronotum/head = 1.25, male hind femora rounded at posterior margin (fig. 1139), tarsal formula ♀ 5-4-4. Length 2.1-2.9 mm. Aedeagus: fig. 327; spermatheca: fig. 762. Nepal . . . . . **semireticulatum** Ang. & Dmz.

- Whole dorsum with microreticulation, width ratio of pronotum/head = 1.43, male hind femora with a tooth at posterior margin, tarsal formula ♀ 4-4-4. Length 2.3-2.6 mm. Aedeagus: fig. 328; spermatheca: fig. 763. Nepal .... **goropanicum** Ang. & Dmz.

23 Species of Taiwan or China 24

- Species of the Himalayan region 43

24 Species of Taiwan 25

- Species of China 34

25 Elytra with clear microreticulation. Length 2.9-3.4 mm. Aedeagus: fig. 329; spermatheca: fig. 764; male hind femora: fig. 1140. Taiwan ..... **angustatum** Ang. & Dmz.

- Elytra with superficial microreticulation..... 26

26 Male hind femora dilated at posterior margin (fig. 1141). Length 3.3-3.5 mm. Aedeagus: fig. 330; spermatheca: fig. 765. Taiwan..... **memnonium** Ang. & Dmz.

- Male hind femora with a tooth at posterior margin (figs. 1142-1149)..... 27

27 Ratio of 3rd/2nd antennal segments = 1.6. Length 2.7-3.0 mm. Aedeagus: fig. 331; spermatheca: fig. 766; male hind femora: fig. 1142. Taiwan ..... **inustum** Ang. & Dmz.

- Ratio of 3rd/2nd antennal segments = 1.1-1.3 28

28 Size smaller (2.3-2.7 mm)..... 29

- Size larger (3.0-3.6 mm) 31

29 Aedeagus in dorsal view with parameres dilated before of the apex (fig. 332), width ratio of pronotum/head = 1.23. Length 2.6 mm. Male hind femora: fig. 1143. Taiwan ..... **furcatum** Ang. & Dmz.

- Aedeagus in dorsal view with parameres uniformly narrowed to apex (figs. 333-334), width ratio of pronotum/head = 1.33-1.35..... 30

30 Elytra with microscopic puncturation, head without microreticulation. Length 2.6-2.7 mm. Aedeagus: fig. 333; sper-

matheca: fig. 767; male hind femora: fig. 1144. Taiwan . . . . . **comptum** Ang. & Dmz.

- Elytra without puncturation, head with microreticulation hardly evident. Length 2.3-2.6 mm. Aedeagus: fig. 334; spermatheca: fig. 768; male hind femora: fig. 1145. Taiwan . . . . . **egregium** Ang. & Dmz.

31 Pronotum moderately broader than long (ratio width/length = 1.46). Length 3.2-3.5 mm. Aedeagus: fig. 335; spermatheca: fig. 769; male hind femora: fig. 1146. Taiwan . . . . . **exoletum** Ang. & Dmz.

- Pronotum very slightly broader than long (ratio width/length = 1.18-1.29) 32

32 Male hind femora with a weak tooth at posterior margin (fig. 1147), width ratio of pronotum/head = 1.23. Length 3.0-3.3 mm. Aedeagus: fig. 336; spermatheca: fig. 770. Taiwan . . . . . **alpestre** Ang. & Dmz

- Male hind femora with a tooth at posterior margin (figs. 1148-1149), width ratio of pronotum/head = 1.33-1.35. 33

33 Pronotum very slightly broader than long (ratio width/length = 1.18), anterior margin very curved. Length 3.0-3.3 mm. Head: fig. 77; aedeagus: fig. 337; spermatheca: fig. 771; male hind femora: fig. 1148. Taiwan . . . . . **subalpinum** Ang. & Dmz.

- Pronotum more broader than long (ratio width/length = 1.29), anterior margin hardly curved. Length 3.4-3.6 mm. Aedeagus: fig. 338; spermatheca: fig. 772; male hind femora: fig. 1149. Taiwan . . . . . **taichungense** Ang. & Dmz.

34 Ratio of 3rd/2nd antennal segments = 1.1-1.7 35

- Ratio of 3rd/2nd antennal segments = 2.1-2.4 40

35 Size smaller (2.15-2.55 mm) 36

- Size larger (3.1-3.9 mm) 38

36 Ratio of 3rd/2nd antennal segments = 1.5, microreticulation clear and uniform on whole dorsum. Spermatheca: fig.

773; female hind femora: fig. 1150. China (Sichuan) . . . . . **rurale** Ang.

- Ratio of 3rd/2nd antennal segments = 1.1, microreticulation superficial or in traces on whole dorsum 37

37 Whole dorsum with microreticulation uniform and superficial and without puncturation, aedeagus in dorsal view with apex narrowly rounded (fig. 339). Length 2.15-2.3 mm. Spermatheca: fig. 774; male hind femora: fig. 1151. China (Sichuan). . . . . **procerum** Ang. & Dmz.

- Microreticulation superficial on elytra, hardly evident on head and pronotum, puncturation present only on head and pronotum, aedeagus in dorsal view with apex larger rounded (fig. 340). Length 2.55 mm. Male hind femora: fig. 1152. China (Shaanxi) . . . . . **tschungi** Ang.

38 Pronotum very slightly broader than long (ratio width/length = 1.22), elytra with clear microreticulation. Length 3.2 mm. Aedeagus: fig. 341; male hind femora: fig. 1153. China (Sichuan) . . . . . **consimile** Ang.

- Pronotum moderately broader than long (ratio width/length = 1.45-1.59), elytra with superficial microreticulation. 39

39 Ratio of 3rd/2nd antennal segments = 1.4, pronotum ed elytra with puncturation, pronotum without microreticulation, width ratio of pronotum/head = 1.4, head with eyes moderately protuberant (fig. 78), size smaller (3.1-3.5 mm). Spermatheca: fig. 775; female hind femora: fig. 1154. China (Zhejiang) . . . . . **garrattii** Ang. & Cooter

- Ratio of 3rd/2nd antennal segments = 1.7, pronotum ed elytra without puncturation, pronotum with microreticulation hardly evident, width ratio of pronotum/head = 1.59, head with eyes larger and more protuberant (fig. 79), size larger (3.8-3.9 mm). Aedeagus: fig. 342; spermatheca: fig. 776; male hind femora: fig. 1155. China (Sichuan) . . . . . **simplex** Ang.

40 Size larger (3.6-4.6 mm), dorsum uniformly black, ratio of 3rd/2nd antennal segments = 2.1-2.15 41

- Size smaller (3.05-3.15 mm), dorsum uniformly reddish-brown, ratio of 3rd/2nd antennal segments = 2.3-2.4. 42

41 Size larger (4.2-4.6 mm), microreticulation superficial on head and pronotum, clear on elytra, width ratio of pronotum/head = 1.4, head with eyes elongate and slightly angled (fig. 80), aedeagus in dorsal view with apex emarginate (fig. 343). Spermatheca: fig. 777; male hind femora: fig. 1156. China (Sichuan) . . . . . **gonggaense** Ang. & Dmz.

- Size smaller (3.6-3.95 mm), microreticulation clear on whole dorsum, width ratio of pronotum/head = 1.77, head with eyes rounded and angled leanings (fig. 81), aedeagus in dorsal view with apex pointed (fig. 344). Spermatheca: fig. 778; male hind femora: fig. 1157. China (Sichuan) . . . . . **nigerrimum** Ang.

42 Elytra with clear microreticulation, head with eyes elongate and slightly obliquely angled (fig. 82). Length 3.1 mm. Aedeagus: fig. 345; male hind femora: fig. 1158. China (Sichuan) . . . . . **jaechi** Ang.

- Elytra with microreticulation more superficial, head with eyes elongate and more obliquely angled (fig. 83). Length 3.05-3.15 mm. Aedeagus: fig. 346; spermatheca: fig. 779; male hind femora: fig. 1159. China (Sichuan) . . . . . **rubiginosum** Ang.

43 Head striolate. 44

- Head without striolation (or with superficial microreticulation or without microreticulation). 45

44 Pronotum striolate, ratio of 3rd/2nd antennal segments = 1.4, dorsum reddish-brown, aedeagus in dorsal view uniformly narrowed to apex (fig. 347). Length 1.9-2.4 mm. Spermatheca: fig. 780; male hind femora: fig. 1160. Nepal . . . . . **kathmanduense** Ang. & Dmz.

- Pronotum without striolation, ratio of 3rd/2nd antennal segments = 2, dorsum black, aedeagus in dorsal view narrowed before of the apex (fig. 348). Length 2.65 mm. Spermatheca: fig. 781; male hind femora: fig. 1161. Nepal . . . . . **siva** Ang. & Dmz.

45 Pronotum with double puncturation. 46

- Pronotum with simple puncturation or impunctate. 47

46 Head with double puncturation, ratio of 3rd/2nd antennal segments = 1.6, pronotum much broader than long (ratio width/length = 1.75), male hind femora emarginate at posterior margin (fig. 1162). Length 2.8 mm. Head: fig. 84; aedeagus: fig. 349. Nepal. . . . . **rusticanum** Ang. & Dmz.

- Head with simple puncturation, ratio of 3rd/2nd antennal segments = 2, pronotum moderately broader than long (ratio width/length = 1.48), male hind femora with a tooth at posterior margin. Length 2.4-2.7 mm. Aedeagus: fig. 350; spermatheca: fig. 782. Nepal. . . . . **franzi** Ang. & Dmz.

47 Ratio of 3rd/2nd antennal segments = 1.3-1.75 48

- Ratio of 3rd/2nd antennal segments = 2-2.3 57

48 Size larger (3.2-3.4 mm) 49

- Size smaller (2.2-3.0 mm) 50

49 Head and pronotum without microreticulation, elytra with puncturation, aedeagus in dorsal view with broadly rounded apex (fig. 351), male hind femora with a tooth at posterior margin (fig. 1163), tarsal formula ♀ 5-4-4. Length 3.2-3.4 mm. Spermatheca: fig. 783. India (Uttar Pradesh) . . . . . **proximum** Ang.

- Head and pronotum with microreticulation hardly evident, elytra without puncturation, aedeagus in dorsal view with strongly rounded apex (fig. 352), male hind femora dilated at posterior margin (fig. 1164), tarsal formula ♀ 4-4-4. Length 3.2 mm. Spermatheca: fig. 784. Nepal . . . . . **imitator** Ang. & Dmz.

50 Whole dorsum with clearly impressed microreticulation. Length 2.5-2.55 mm. Aedeagus: fig. 353; spermatheca: fig. 785; male hind femora: fig. 1165. Nepal . . . . . **variabile** Ang. & Dmz.

- Dorsum only in part with microreticulation or with superficial microreticulation. 51

51 Elytra without microreticulation. Length 2.4-2.65 mm. Aedeagus: fig. 354; spermatheca: fig. 786; male hind femora: fig. 1166. India (Darjeeling), Nepal . . . . . **martensi** Ang. & Dmz.

- Elytra with superficial and uniform microreticulation. 52

52 Head and pronotum without microreticulation 53

- Head and pronotum with superficial microreticulation or hardly evident 54

53 Width ratio of pronotum/head = 1.5, aedeagus in dorsal view with apex clearly pointed and in lateral view weakly reflexed (fig. 355). Length 2.65-3.0 mm. Spermatheca: fig. 787; male hind femora: fig. 1167. Nepal . . . . . **rufifrons** Ang. & Dmz.

- Width ratio of pronotum/head = 1.32, aedeagus in dorsal view with rounded apex and in lateral view strongly reflexed (fig. 356). Length 2.3-2.6 mm. Spermatheca: fig. 788. Nepal . . . . . **circumflexum** Ang. & Dmz.

54 Elytra without puncturation 55

- Elytra with puncturation 56

55 Dorsum uniformly black, aedeagus in lateral view with apex not reflexed (fig. 357), size larger (2.8-3.0 mm). Spermatheca: fig. 789; male hind femora: fig. 1168. Nepal . . . . . **inquietum** Ang. & Dmz.

- Dorsum uniformly reddish-brown, aedeagus in lateral view with apex reflexed (fig. 358), size smaller (2.2-2.6 mm). Spermatheca: fig. 790; male hind femora: fig. 1169. Nepal . . . . . **excelsum** Ang. & Dmz.

56 Ratio of 3rd/2nd antennal segments = 1.3, tarsal formula ♀ 4-4-4. Length 2.35-2.65 mm. Aedeagus: fig. 359; spermatheca: fig. 791; male hind femora: fig. 1170. Nepal . . . . . **dobaticum** Ang. & Dmz.

- Ratio of 3rd/2nd antennal segments = 1.7, tarsal formula ♀ 5-4-4. Length 2.6-2.75 mm. Aedeagus: fig. 360; spermatheca: fig. 792; male hind femora: fig. 1171. Nepal . . . . . **ornatum** Ang. & Dmz.

57 Whole dorsum with clear microreticulation. Length 2.75 mm. Spermatheca: fig. 793. Nepal . **seminigrum** Ang. & Dmz.

- Dorsum only in part with microreticulation 58

58 Elytra with superficial microreticulation and uniform. Length 2.35-3.05 mm. Aedeagus: fig. 361; spermatheca: fig. 794; male hind femora: fig. 1172. Nepal . . . . . **ishvara** Ang. & Dmz.

- Elytra without microreticulation 59

59 Ratio of 3rd/2nd antennal segments = 2, dorsum reddish-brown, head and pronotum without puncturation, aedeagus in dorsal view with apex strongly rounded (fig. 362). Length 2.8-3.3 mm. Spermatheca: fig. 795; male hind femora: fig. 1173. Nepal . . . . . **fulgens** Ang. & Dmz.

- Ratio of 3rd/2nd antennal segments = 2.3, dorsum black, head and pronotum with puncturation, aedeagus in dorsal view with apex greater rounded (fig. 363). Length 3.4-3.5 mm. Spermatheca: fig. 796; male hind femora: fig. 1174; antennae: fig. 5. Nepal. . . . . **querceum** Ang. & Dmz.

Gruppo ***dentatum*** Mulsant & Rey

Diagnosi. Tegumento dorsale senza microreticolazione (raramente con vaghe tracce visibili a 100 x), elitre senza strie suturali.

Discussione. È il gruppo più numeroso sia nella regione paleartica sia in quella orientale (Cina inclusa). Nei maschi la formula tarsale è 5-5-4 tranne che in 7 specie; nelle femmine può essere 5-4-4 (35 specie) oppure 4-4-4 (19 specie). Nelle femmine della regione paleartica è 5-4-4 tranne che in tre specie.

Distribuzione geografica. Gruppo di specie presente nella regione neartica con 3 specie, paleartica con 49 e orientale con 73 (92 considerando la Cina paleartica); nella regione orientale è presente in quasi tutte le nazioni (risulta assente solo nell'India centrale, Myanmar, Indonesia e Filippine) ma è più frequente nella sottoregione himalayana, Cina e Taiwan.

CHIAVE DICOTOMICA DELLE SPECIE DEL GRUPPO *DENTATUM* MULSANT & REY

1 Massima larghezza del capo al margine posteriore degli occhi o dietro ad esso (figg. 85-92) 2

- Massima larghezza del capo a livello degli occhi (figg. 93-98). 19

2 Massima larghezza del capo dietro al margine posteriore degli occhi (figg. 85-90). 3

- Massima larghezza del capo al margine posteriore degli occhi (figg. 91-92) 15

3 Specie della Cina o Giappone. 4

- Specie della sottoregione himalayana 9

4 Rapporto antennomeri 3°/2° = 0.9. Tegumento dorsale rosso-bruno e con punteggiatura fine e rada; microreticolazione assente, solo tracce sulle elitre; antenne uniformemente testacee. Formula tarsale ♂ 5-5-4, ♀ 4-4-4. Lungh. 2.0-2.2 mm. Capo: fig. 85; edeago: fig. 364; spermateca: fig. 797; metafemore del ♂: fig. 1175. Cina (Zhejiang) . . . . . **tianmuoides** Ang. & Cooter

- Rapporto antennomeri 3°/2° = 1-1.2 5

5 Specie del Giappone (Ryukyus). Tegumento dorsale rosso-bruno; microreticolazione assente, solo vaghe tracce sulle elitre; punteggiatura microscopica e rada sul capo, assente su pronoto ed elitre; rapporto antennomeri 3°/2° = 1.15; antenne uniformemente testacee. Formula tarsale ♂ 5-5-4, ♀ 5-4-4. Lungh. 1.78 mm. Capo: fig. 86; edeago: fig. 365; spermateca: fig. 796; metafemore del ♂: fig. 1176 . . . . . **aikanae** Hoshina

- Specie della Cina 6

6 Pronoto discretamente trasverso (rapp. la/lu = 1.56), edeago in visione dorsale con apice largamente arrotondato (fig. 366). Tegumento dorsale rosso-bruno e con punteggiatura fine e rada; microreticolazione assente, solo vaghe tracce sulle elitre, meno visibile sulle elitre; rapporto

antennomeri 3°/2° = 1.1; antenne uniformemente testacee. Formula tarsale ♂ 5-5-4, ♀ 4-4-4. Lungh. 1.85-1.95 mm. Spermateca: fig. 799; metafemore del ♂: fig. 1177. Cina (Zhejiang) . . . . . **paratianmuense** Ang. & Cooter

- Pronoto meno trasverso (rapp. la/lu = 1.41-1.48), edeago in visione dorsale con apice strettamente arrotondato (figg. 1178-1180) 7

7 Metafemori del ♂ rettilinei al margine posteriore (fig. 1178). Tegumento dorsale rosso-bruno e con punteggiatura fine e rada, poco visibile; microreticolazione assente, solo vaghe tracce su pronoto ed elitre; rapporto antennomeri 3°/2° = 1.2; antenne uniformemente testacee. Formula tarsale ♂ 5-5-4, ♀ 4-4-4. Lungh. 1.85-2.1 mm. Edeago: fig. 367; spermateca: fig. 800. Cina (Zhejiang) . . . . . **pseudotianmuense** Ang. & Cooter

- Metafemori del ♂ dilatati o sinuati al margine posteriore (figg. 1179-1180) 8

8 Specie di dimensioni maggiori (lungh. 2.5 mm), rapporto antennomeri 3°/2° = 1, capo con tracce di microreticolazione, metafemori del ♂ sinuati al margine posteriore (fig. 1179). Tegumento dorsale uniformemente rosso-bruno e con punteggiatura microscopica; microreticolazione assente, solo vaghe tracce su capo ed elitre; antenne uniformemente testacee. Formula tarsale ♂ 5-5-4. Capo: fig. 87; edeago: fig. 368. Cina (Hubei) . . . . . **jiuchongense** Ang. & Cooter

- Specie di dimensioni minori (lungh. 1.7-1.9 mm), rapporto antennomeri 3°/2° = 1.1, capo privo di tracce di microreticolazione, metafemori del ♂ dilatati al margine posteriore (fig. 1180). Tegumento dorsale rosso-bruno e con punteggiatura fine e rada; microreticolazione assente, solo vaghe tracce su pronoto ed elitre; antenne uniformemente testacee. Formula tarsale ♂ 5-5-4, ♀ 5-4-4. Edeago: fig. 369; spermateca: fig. 801. Cina (Zhejiang) . . . . . **tianmuense** Ang. & Cooter

9 Rapporto antennomeri 3°/2° = 1.8 10

- Rapporto antennomeri 3°/2° = 1.2-1.55 11

10 Pronoto discretamente trasverso (rapp. la/lu = 1.6), elitre con punteggiatura, edeago in visione laterale con apice a curvatura poco accentuata verso l'alto (fig. 370). Tegumento dorsale rosso-bruno chiaro, privo di microreticolazione e con punteggiatura fine e rada; antenne uniformemente testacee; rapporto antennomeri 3°/2° = 1.8. Formula tarsale ♂ e ♀ 4-4-4. Lungh. 1.7-2.2 mm. Spermateca: fig. 802; metafemore del ♂: fig. 1181. India (Darjeeling), Nepal . . . . . **pusillum** Ang. & Dmz.

- Pronoto poco trasverso (rapp. la/lu = 1.4), elitre prive di punteggiatura, edeago in visione laterale con apice a curvatura molto accentuata verso l'alto (fig. 371). Tegumento dorsale rosso-bruno, privo di microreticolazione e con punteggiatura fine e rada solo su capo e pronoto; antenne uniformemente testacee; rapporto antennomeri 3°/2° = 1.8. Formula tarsale ♂ e ♀ 4-4-4. Lungh. 2.1-2.4 mm. Spermateca: fig. 803; metafemore del ♂: fig. 1182. India (Darjeeling) . . . . . **wittmeri** Ang. & Dmz.

11 Pronoto molto trasverso (rapp. la/lu = 1.7) 12

- Pronoto discretamente trasverso (rapp. la/lu = 1.36-1.55) 13

12 Rapporto antennomeri 3°/2° = 1.2, metatibia poco dilatata (fig. 1183), capo con occhi discretamente visibili dal dorso (fig. 88). Tegumento dorsale rosso-bruno scuro e con punteggiatura fine e rada; microreticolazione assente su capo e pronoto, poco evidente sulle elitre; antenne uniformemente testacee. Formula tarsale ♂ e ♀ 4-4-4. Lungh. 2.35 mm. Edeago: fig. 372; spermateca: fig. 804; metafemore del ♂: fig. 1183. Nepal . . . . . **pseudotibiale** Ang. & Dmz.

- Rapporto antennomeri 3°/2° = 1.5, metatibia più nettamente dilatata (fig. 1184), capo con occhi poco visibili dal dorso(fig. 89). Tegumento dorsale del capo rosso-bruno, pronoto ed elitre più scure o nere, interamente privo di microreticolazione e con punteggiatura impressa e fitta; antenne uniformemente testacee. Formula tarsale ♂ e ♀ 4-4-4. Lungh. 2.05-2.3 mm. Edeago: fig. 373; spermateca: fig. 805; metafemore del ♂: fig. 1184. Nepal . . . . . **macrotibiale** Ang. & Dmz.

13 Edeago in visione laterale con apice a curvatura molto accentuata verso l'alto (fig. 374). Tegumento dorsale rosso-bruno e con punteggiatura fine e rada; microreticolazione assente, solo vaghe tracce sulle elitre; antenne uniformemente testacee; rapporto antennomeri 3°/2° = 1.4. Formula tarsale ♂ e ♀ 4-4-4. Lungh. 2.2-2.5. Spermateca: fig. 806; metafemore del ♂: fig. 1185. India (Sikkim, Darjeeling), Nepal . . . . . **sikkimense** Ang. & Dmz.

- Edeago in visione laterale con apice a curvatura poco accentuata verso l'alto (figg. 375-376). 14

14 Rapporto antennomeri 3°/2° = 1.3, pronoto poco trasverso (rapp. la/lu = 1.36). Tegumento dorsale rosso-bruno, privo di microreticolazione e con punteggiatura fine e rada; antenne uniformemente testacee. Formula tarsale ♂ e ♀ 4-4-4. Lungh. 1.95-2.2 mm. Edeago: fig. 375; spermateca: fig. 807; metafemore del ♂: fig. 1186. India (Darjeeling), Nepal . . . . . **indra** Ang. & Dmz.

- Rapporto antennomeri 3°/2° = 1.55, pronoto discretamente trasverso (rapp. la/lu = 1.53). Tegumento dorsale rosso-bruno e con punteggiatura fine e rada; microreticolazione assente, solo vaghe tracce sulle elitre; antenne uniformemente testacee. Formula tarsale ♂ 4-4-4. Lungh. 2.05. Capo: fig. 90; edeago: fig. 376; metafemore del ♂: fig. 1187. Nepal . . . . . **curtum** Ang. & Dmz.

15 Rapporto antennomeri 3°/2° = 2, specie del Nepal. 16

- Rapporto antennomeri 3°/2° = 1.1-1.6, specie del Giappone (Ryukyus) o Cina o Pakistan. 17

16 Elitre prive di punteggiatura, specie di dimensioni maggiori (lungh. 2.9-3.6 mm), metafemori del ♂ dilatati al margine posteriore (fig. 1188). Tegumento dorsale rosso-bruno scuro o nero e con microreticolazione poco evidente; punteggiatura fine e rada, presente solo su capo e pronoto; antenne uniformemente testacee; rapporto antennomeri 3°/2° = 2. Formula tarsale ♂ 5-5-4, ♀ 5-4-4. Capo: fig. 91; edeago: fig. 377; spermateca: fig. 808. Nepal . . . . . **deoralicum** Ang. & Dmz.

- Elitre con punteggiatura, specie di dimensioni minori (lungh. 2.2-2.6 mm), metafemori del ♂ con dente al margine posteriore (fig. 1189). Tegumento dorsale rosso-bruno e con punteggiatura fine e rada; microreticolazione assente, solo vaghe tracce sulle elitre; antenne uniformemente testacee; rapporto antennomeri 3°/2° = 2. Formula tarsale ♂ 5-5-4, ♀ 5-4-4. Edeago: fig. 378; spermateca: fig. 809. Nepal . . . . . **uniforme** Ang. & Dmz.

17 Specie di dimensioni maggiori (lungh. 2.7-3.2 mm), rapporto antennomeri 3°/2° = 1.6; specie della Cina (Hong Kong). Tegumento dorsale rosso-bruno scuro; microreticolazione assente, solo vaghe tracce sulle elitre; punteggiatura microscopica su capo e pronoto, assente sulle elitre; antenne uniformemente testacee. Formula tarsale ♂ 5-5-4, ♀ 5-4-4. Capo: fig. 92; edeago: fig. 379; spermateca: fig. 810; metafemore del ♂: fig. 1190 . . . . . **xianggangense** Ang. & Cooter

- Specie di dimensioni minori (lungh. 1.85-2.25 mm), rapporto antennomeri 3°/2° = 1.1-1.3; specie del Giappone (Ryukyus) o del Pakistan 18

18 Specie del Giappone (Ryukyus), formula tarsale ♀ 5-4-4, elitre prive di punteggiatura, rapporto antennomeri 3°/2° = 1.1. Tegumento dorsale rosso-bruno chiaro e con punteggiatura microscopica e rada solo su capo e pronoto; microreticolazione assente, solo vaghe tracce sulle elitre; antenne uniformemente testacee. Formula tarsale ♂ 5-5-4. Lungh. 2.0 mm. Edeago: fig. 380; spermateca: fig. 811; metafemore del ♂: fig. 1191 . . . . . **fujisakiae** Hoshina

- Specie del Pakistan, formula tarsale ♀ 4-4-4, elitre con punteggiatura, rapporto antennomeri 3°/2° = 1.3. Tegumento dorsale rosso-bruno e con punteggiatura fine e rada; microreticolazione assente, solo vaghe tracce sulle elitre; antenne uniformemente testacee. Formula tarsale ♂ 5-5-4. Lungh. 1.85-2.25 mm. Edeago: fig. 381; spermateca: fig. 812; metafemore del ♂: fig. 1192 . . . . . **senile** Ang. & Dmz.

19 Specie del Giappone (Ryukyus). Tegumento dorsale nero; microreticolazione assente, solo vaghe tracce sulle elitre;

punteggiatura microscopica, presente solo su capo e pronoto; antenne uniformemente testacee; rapporto antennomeri 3°/2° = 1.8. Formula tarsale ♂ 5-5-4, ♀ 5-4-4. Lungh. 3.1 mm. Edeago: fig. 382; spermateca: fig. 813 . . . . . **okinawaense** Hoshina

- Specie della Cina o della restante Asia sudorientale 20

20 Specie della Cina 21

- Specie della restante Asia sudorientale 45

21 Antenne testacee con clava o antennomeri 9°-10° scuri o neri 22

- Antenne uniformemente testacee. 24

22 Antenne testacee con clava scura, rapporto antennomeri 3°/2° = 1.5, specie di dimensioni minori (lungh. 3.05 mm), metafemori del ♂ dilatati al margine posteriore (fig. 1193). Tegumento dorsale rosso-bruno, privo di microreticolazione e con punteggiatura fine e rada. Formula tarsale ♂ 5-5-4. Edeago: fig. 383. Cina (Fujian) . . . . . **fujianense** Ang. & Dmz.

- Antenne testacee con antennomeri 9°-10° scuri, rapporto antennomeri 3°/2° = 2-2.3, specie di dimensioni maggiori (lungh. 3.65-4.95 mm), metafemori del ♂ con netto dente al margine posteriore (figg. 1194-1195) 23

23 Specie di dimensioni minori (lungh. 3.65-3.8 mm), rapporto antennomeri 3°/2° = 2.3. Tegumento dorsale nero; microreticolazione assente, solo vaghe tracce sul clipeo e sulle elitre; punteggiatura impressa su capo ed elitre, più fine sul pronoto. Formula tarsale ♂ 5-5-4, ♀ 5-4-4. Edeago: fig. 384; spermateca: fig. 814; metafemore del ♂: fig. 1194. Cina (Sichuan) . . . . . **schuelkei** Ang.

- Specie di dimensioni maggiori (lungh. 4.5-4.95 mm), rapporto antennomeri 3°/2° = 2. Tegumento dorsale uniformemente nero; microreticolazione assente, solo vaghe tracce sulle elitre; punteggiatura impressa e fitta su capo e pronoto, più rada sulle elitre. Formula tarsale ♂ 5-5-4, ♀5-4-4. Edeago: fig. 385; spermateca: fig. 815; metafemore del ♂: fig. 1195. Cina (Sichuan). . . . . **hoshinai** Ang.

24 Rapporto antennomeri 3°/2° = 1.1-1.7 25

- Rapporto antennomeri 3°/2° = 1.9-2.8 33

25 Specie di dimensioni maggiori (lungh. 4.05-5.65 mm), tegumento dorsale uniformemente nero 26

- Specie di dimensioni minori (lungh. 2.4-3.6 mm), tegumento dorsale uniformemente rosso-bruno o con venature nere 27

26 Specie di dimensioni maggiori (lungh. 5.35-5.65 mm), rapporto antennomeri 3°/2° = 1.7. Tegumento dorsale uniformemente nero e con punteggiatura fine e rada; microreticolazione assente, solo vaghe tracce sulle elitre. Formula tarsale ♂ 5-5-4, ♀ 5-4-4. Edeago: fig. 386; spermateca: fig. 816; metafemore del ♂: fig. 1196. Cina (Shaanxi, Hubei) . . . . . **smetanaicum** Ang.

- Specie di dimensioni minori (lungh. 4.05-4.2 mm); rapporto antennomeri 3°/2° = 1.4. Tegumento dorsale uniformemente nero; microreticolazione assente, solo vaghe tracce sulle elitre; punteggiatura fine e rada su capo e pronoto, più impressa sulle elitre. Formula tarsale ♂ 5-5-4, ♀ 5-4-4. Edeago: fig. 387; spermateca: fig. 817; metafemore del ♂: fig. 1197. Cina (Shaanxi) . . . . . **puetzi** Ang. & Švec

27 Formula tarsale ♂ e ♀ 4-4-4. Tegumento dorsale di capo e pronoto rosso-bruno, elitre più scure, interamente con punteggiatura fine, rada e poco visibile; microreticolazione assente, solo vaghe tracce sulle elitre. Lungh. 2.7-3.0 mm. Edeago: fig. 388; spermateca: fig. 818; metafemore del ♂: fig. 1198. Cina (Hubei, Sichuan, Shaanxi) . . . . . **brunneipenne** Ang. & Dmz.

- Formula tarsale ♂ 5-5-4, ♀ 5-4-4 o 4-4-4 28

28 Pronoto poco trasverso (rapp. la/lu = 1.3-1.33), rapporto pronoto/capo = 1.27-1.33 29

- Pronoto discretamente trasverso (rapp. la/lu = 1.45-1.57), rapporto pronoto/capo = 1.37-1.42 31

29 Specie di dimensioni maggiori (lungh. 3.35-3.5 mm), rapporto antennomeri 3°/2° = 1.7, tegumento dorsale nero.

Microreticolazione assente, solo vaghe tracce sulle elitre; punteggiatura fine e rada sull'intero dorso. Formula tarsale ♂ 5-5-4, ♀ 5-4-4. Edeago: fig. 389; spermateca: fig. 819; metafemore del ♂: fig. 1199. Cina (Shaanxi, Hubei) . . . . . **zdeneki** Ang.

- Specie di dimensioni minori (lungh. 2.9-3.1 mm), rapporto antennomeri 3°/2° = 1.2-1.5, tegumento dorsale rosso-bruno 30

30 Metafemori del ♂ con dente al margine posteriore (fig. 1200), capo con occhi suboblunghi e clipeo poco incavato (fig. 93), edeago in visione dorsale con apice largamente arrotondato (fig. 390), rapporto antennomeri 3°/2° = 1.5. Tegumento dorsale rosso-bruno e con punteggiatura fine e rada; microreticolazione assente, solo vaghe tracce sulle elitre. Formula tarsale ♂ 5-5-4, ♀ 5-4-4. Lungh. 2.9-3.1 mm. Spermateca: fig. 820 Cina. (Shaanxi). . . . . **huaense** Ang. & Dmz.

- Metafemori del ♂ dilatati al margine posteriore (fig. 1201), capo con occhi meno allungati e clipeo più incavato (fig. 94), edeago in visione dorsale con apice strettamente arrotondato (fig. 391), rapporto antennomeri 3°/2° = 1.2. Tegumento dorsale rosso-bruno e con punteggiatura fine e rada; microreticolazione assente, solo vaghe tracce sul capo e sulle elitre. Formula tarsale ♂ 5-5-4, ♀ 5-4-4. Lungh. 2.9 mm. Spermateca: fig. 821. Cina (Guangdong) . . . . . **gutianense** Ang. & Cooter

31 Specie di dimensioni maggiori (lungh. 3.25-3.6 mm). Tegumento dorsale rosso-bruno e con punteggiatura fine e rada; microreticolazione assente, solo vaghe tracce sulle elitre; rapporto antennomeri 3°/2° = 1.3. Formula tarsale ♂ 5-5-4, ♀ 5-4-4. Edeago: fig. 392; spermateca: fig. 822; metafemore del ♂: fig. 1202. Cina (Sichuan). . . . . **luojiense** Ang.

- Specie di dimensioni minori (lungh. 2.4-3.2 mm). 32

32 Rapporto antennomeri 3°/2° = 1.7, metafemori del ♂ con dente al margine posteriore (fig. 1203). Tegumento dorsale rosso-bruno e con punteggiatura fine e rada; microreticolazione assente, solo vaghe tracce ai

lati del pronoto e sulle elitre. Formula tarsale ♂ 5-5-4, ♀ 5-4-4. Lungh. 2.5-3.2. Edeago: fig. 393; spermateca: fig. 823. Cina (Sichuan). . . . . **pseudouniforme** Ang.

- Rapporto antennomeri 3°/2° = 1.1, metafemori del ♂ dilatati al margine posteriore (fig. 1204). Tegumento dorsale rosso-bruno e con punteggiatura fine e rada solo su capo e pronoto; microreticolazione assente, solo vaghe tracce sulle elitre. Formula tarsale ♂ 5-5-4, ♀ 5-4-4. Lungh. 2.4-2.65. Edeago: fig. 394; spermateca: fig. 824. Cina (Sichuan, Yunnan) . . . . . **wannianicum** Ang.

33 Rapporto antennomeri 3°/2° = 2.8. Tegumento dorsale nero e con punteggiatura fine e rada; microreticolazione assente, solo vaghe tracce sull'intero dorso. Formula tarsale ♂ 5-5-4. Lungh. 4.3 mm. Edeago: fig. 395; metafemore del ♂: fig. 1205. Cina (Sichuan) . . . . . **sinuatum** Ang.

- Rapporto antennomeri 3°/2° = 2-2.3 34

34 Specie di dimensioni maggiori (lungh. 4.45-6.0 mm) 35

- Specie di dimensioni minori (lungh. 2.5-4.4 mm). 38

35 Specie di dimensioni maggiori (lungh. 5.6-6.0 mm) 36

- Specie di dimensioni minori (lungh. 4.45-4.80 mm). 37

36 Rapporto antennomeri 3°/2° = 2, rapporto pronoto/capo = 1.33, edeago in visione dorsale con apice incavato e in visione laterale a curvatura fortemente accentuata verso l'alto (fig. 396). Tegumento dorsale nero e con punteggiatura fine e rada; microreticolazione assente, solo vaghe tracce sulle elitre. Formula tarsale ♂ 5-5-4. Lungh. 5.7 mm. Metafemore del ♂: fig. 1206. Cina (Hubei) . . . . . **hubeicum** Ang. & Cooter

- Rapporto antennomeri 3°/2° = 2.3, rapporto pronoto/capo = 1.48, edeago in visione dorsale con apice non incavato e in visione laterale a curvatura poco accentuata verso l'alto (fig. 397). Tegumento dorsale nero e con punteggiatura impressa; microreticolazione assente, solo vaghe tracce sulle elitre. Formula tarsale ♂ 5-5-4, ♀ 5-4-4. Lungh. 5.6-6.0 mm. Capo: fig. 95; spermateca: fig. 825; metafemore del ♂: fig. 1207. Cina (Hubei, Shaanxi). . . . . **inerme** Ang. & Dmz.

37 Capo piccolo rispetto al pronoto (rapporto pronoto/capo = 1.36), ali metatoraciche assenti, metafemori del ♂ con due denti al margine posteriore (fig. 1208), edeago in visione laterale a curvatura fortemente accentuata verso l'alto (fig. 398). Tegumento dorsale nero, privo di microreticolazione e con punteggiatura fine e rada; rapporto antennomeri 3°/2° = 2. Formula tarsale ♂ 5-5-4, ♀ 5-4-4. Lungh. 4.55-4.80 mm. Spermateca: fig. 826. Cina (Hubei) . . . . . **shennongjiaense** Ang. & Cooter

- Capo grande rispetto al pronoto (rapporto pronoto/capo = 1.62), ali metatoraciche presenti, metafemori del ♂ con un dente al margine posteriore (fig. 1209), edeago in visione laterale a curvatura poco accentuata verso l'alto (fig. 399). Tegumento dorsale nero, privo di microreticolazione e con punteggiatura impressa su capo e pronoto, fine sulle elitre. Formula tarsale ♂ 5-5-4. Lungh. 4.45. Capo: fig. 96. Cina (Sichuan) . . . . . **grandicolle** Ang.

38 Specie di dimensioni minori (lungh. 2.5-2.95 mm). 39

- Specie di dimensioni maggiori (lungh. 3.7-4.4 mm) 41

39 Metafemori del ♂ dilatati al margine posteriore (fig. 1210), elitre con punteggiatura, ali metatoraciche presenti. Tegumento dorsale rosso-bruno, elitre più scure, interamente privo di microreticolazione e con punteggiatura fine e rada; rapporto antennomeri 3°/2° = 2.2. Formula tarsale ♂ 5-5-4. Lungh. 2.95 mm. Capo: fig. 97; edeago: fig. 400. Cina (Hong Kong). . . . . **bowringi** Ang. & Cooter

- Metafemori del ♂ con dente al margine posteriore (figg. 1211-1212), elitre prive di punteggiatura, ali metatoraciche assenti 40

40 Capo con occhi allungati e poco sporgenti (fig. 98), edeago in visione dorsale con apice appuntito (fig. 401), rapporto antennomeri 3°/2° = 2.2. Tegumento dorsale rosso-bruno; microreticolazione assente, solo vaghe tracce sulle elitre; punteggiatura microscopica e presente solo su capo e pronoto. Formula tarsale ♂ 5-5-4. Lungh. 2.85 mm. Metafemore del ♂: fig. 1211. Cina (Yunnan) . . . . . **acutum** Ang.

- Capo con occhi poco allungati e più sporgenti, edeago in visione dorsale con apice poco incavato al centro (fig. 402), rapporto antennomeri 3°/2° = 2. Tegumento dorsale nero; microreticolazione assente, solo vaghe tracce sulle elitre; punteggiatura fine e rada su capo e pronoto, pressoché assente sulle elitre. Formula tarsale ♂ 5-5-4. Lungh. 2.5-2.8 mm. Metafemore del ♂: fig. 1212. Cina (Sichuan) . . . . . **acuticorne** Ang.

41 Tegumento dorsale uniformemente nero. Microreticolazione assente; punteggiatura fine e fitta su capo e pronoto, più impressa sulle elitre; rapporto antennomeri 3°/2° = 2.1. Formula tarsale ♂ 5-5-4. Lungh. 4.1 mm. Edeago: fig. 403; metafemore del ♂: fig. 1213. Cina (Yunnan, ? Sichuan) . . . . . **yunnanicum** Ang. & Švec

- Tegumento dorsale rosso-bruno scuro o nero con lati rosso-bruni 42

42 Elitre prive di punteggiatura, edeago in visione dorsale con apice nettamente incavato (fig. 404). Tegumento dorsale del capo rosso-bruno, pronoto ed elitre nere; microreticolazione assente, solo vaghe tracce sulle elitre; punteggiatura fine e poco visibile solo su capo e pronoto; rapporto antennomeri 3°/2° = 2. Formula tarsale ♂ 5-5-4, ♀ 5-4-4. Lungh. 3.7-4.0 mm. Spermateca: fig. 827; metafemore del ♂: fig. 1214. Cina (Sichuan) . . . . . **indubium** Ang. & Dmz.

- Elitre con punteggiatura, edeago in visione dorsale con apice appuntito o lievemente incavato (figg. 405-407) 43

43 Capo con linea clipeale superficiale. Tegumento dorsale rosso-bruno, privo di microreticolazione e con punteggiatura fine e rada; rapporto antennomeri 3°/2° = 1.9. Formula tarsale ♂ 5-5-4. Lungh. 3.8 mm. Edeago: fig. 405; metafemore del ♂: fig. 1215. Cina (Hubei) . . . . . **melancholicum** Ang. & Cooter

- Capo senza linea clipeale 44

44 Metafemori del ♂ con due denti al margine posteriore (fig. 1216), edeago in visione dorsale con apice appuntito (fig.

406). Tegumento dorsale rosso-bruno scuro e con punteggiatura fine e rada; microreticolazione assente, solo vaghe tracce sulle elitre; rapporto antennomeri 3°/2° = 2. Formula tarsale ♂ 5-5-4, ♀ 5-4-4. Lungh. 3.8-4.4 mm. Spermateca: fig. 828. Cina (Sichuan). . . . . **hani** Ang.

- Metafemori del ♂ con un dente al margine posteriore (fig. 1217), edeago in visione dorsale con apice lievemente incavato (fig. 407). Tegumento dorsale del capo rosso-bruno, pronoto ed elitre nere oppure uniformemente nero; microreticolazione assente, solo vaghe tracce sulle elitre; punteggiatura fine e rada su capo e pronoto, meno visibile sulle elitre; rapporto antennomeri 3°/2° = 2.1. Formula tarsale ♂ 5-5-4, ♀ 5-4-4. Lungh. 3.95 mm. Spermateca: fig. 829. Cina (Guangxi, Jiangxi, ? Sichuan). . . . . **lugubre** Ang. & Dmz.

45 Specie della sottoregione himalayana 46

- Specie della restante Asia sudorientale. 64

46 Antenne testacee con clava scura o nera 47

- Antenne uniformemente testacee. 49

47 Rapporto antennomeri 3°/2° = 2. Tegumento dorsale di capo e pronoto rosso-bruno, elitre nere oppure uniformemente rosso-bruno, privo di microreticolazione e con punteggiatura impressa. Formula tarsale ♂ 5-5-4, ♀ 5-4-4. Lungh. 2.8-3.05 mm. Edeago: fig. 408; spermateca: fig. 830; metafemore del ♂: fig. 1218. Nepal . . . . . **ovatum** Ang. & Dmz.

- Rapporto antennomeri 3°/2° = 1.18-1.77 48

48 Rapporto antennomeri 3°/2° = 1.18, specie di dimensioni minori (lungh. 1.95-2.3 mm), rapporto pronoto/capo = 1.5. Tegumento dorsale di capo e pronoto rosso-bruno, elitre più scure o nere, interamente privo di microreticolazione e con punteggiatura fine e rada; antenne testacee con clava nera. Formula tarsale ♂ 5-5-4, ♀ 5-4-4. Edeago: fig. 409; spermateca: fig. 831; metafemore del ♂: fig. 1219. India (Sikkim, Darjeeling). . . . . **harmandi** Port.

- Rapporto antennomeri 3°/2° = 1.77, specie di dimensioni maggiori (lungh. 3.2 mm), rapporto pronoto/capo = 1.29. Tegumento dorsale rosso-bruno, privo di microreticolazione e con punteggiatura fine e rada; antenne testacee con clava scura. Formula tarsale ♂ 5-5-4, ♀ 5-4-4. Edeago: fig. 410; spermateca: fig. 832; metafemore del ♂: fig. 1220. Nepal . . . . . **gurka** Ang. & Dmz.

49 Rapporto antennomeri 3°/2° = 1.3-1.8 50

- Rapporto antennomeri 3°/2° = 2-2.3 57

50 Elitre con punteggiatura doppia 51

- Elitre con punteggiatura semplice o assente. 52

51 Rapporto pronoto/capo = 1.6, pronoto molto trasverso (rapp. la/lu = 1.9). Tegumento dorsale rosso-bruno; microreticolazione assente, solo vaghe tracce sulle elitre; punteggiatura fine e rada su capo e pronoto, doppia sulle elitre; rapporto antennomeri 3°/2° = 1.4. Formula tarsale ♂ 5-5-4, ♀ 4-4-4. Lungh. 2.0-2.3 mm. Edeago: fig. 411; spermateca: fig. 833. India (Darjeeling), Nepal . . . . . **transversum** Ang. & Dmz.

- Rapporto pronoto/capo = 1.3, pronoto discretamente trasverso (rapp. la/lu = 1.54). Tegumento dorsale rosso-bruno, privo di microreticolazione e con punteggiatura impressa, doppia sulle elitre; rapporto antennomeri 3°/2° = 1.3. Formula tarsale ♂ 5-5-4, ♀ 4-4-4. Lungh. 2.1-2.4 mm. Edeago: fig. 412; spermateca: fig. 834; metafemore del ♂: fig. 1221. Nepal . . . . . **phulcokiense** Ang. & Dmz.

52 Elitre prive di punteggiatura. 53

- Elitre con punteggiatura 54

53 Rapporto antennomeri 3°/2° = 1.47, specie di dimensioni minori (lungh. 2.15 mm), edeago in visione dorsale con apice strettamente arrotondato (fig. 413). Tegumento dorsale nero, lati più chiari, interamente privo di microreticolazione e con punteggiatura fine e rada solo su capo e pronoto. Formula tarsale ♂ 5-5-4. Bhutan . . . . . **cinereum** Ang. & Dmz.

- Rapporto antennomeri 3°/2° = 1.8, specie di dimensioni maggiori (lungh. 2.8 mm), edeago in visione dorsale con apice lievemente incavato (fig. 414). Tegumento dorsale rosso-bruno; microreticolazione assente, solo vaghe tracce sull'intero dorso; punteggiatura fine e rada su capo e pronoto, assente sulle elitre. Formula tarsale ♂ 5-5-4, ♀ 4-4-4. Spermateca: fig. 835; metafemore del ♂: fig. 1222. Nepal . . . . . **martensianum** Ang. & Dmz.

54 Specie di dimensioni minori (lungh. 2.0-2.5 mm), pronoto molto trasverso (rapp. la/lu = 1.68) 55

- Specie di dimensioni maggiori (lungh. 2.7-3.3 mm), pronoto discretamente trasverso (rapp. la/lu =1.55) 56

55 Metafemori del ♂ poco dilatati al margine posteriore (fig. 1223), tegumento dorsale nero con i lati del pronoto più chiari, punteggiatura fine e rada su capo e pronoto, più impressa sulle elitre. Microreticolazione assente; rapporto antennomeri 3°/2° = 1.4. Formula tarsale ♂ 5-5-4, ♀ 4-4-4. Lungh. 2.0-2.5 mm. Edeago: fig. 415; spermateca: fig. 836. Nepal . . . . . **tenebricosum** Ang. & Dmz.

- Metafemori del ♂ con dente al margine posteriore, tegumento dorsale rosso-bruno, punteggiatura impressa su capo e pronoto, più fine sulle elitre. Microreticolazione assente; rapporto antennomeri 3°/2° = 1.6. Formula tarsale ♂ 5-5-4. Lungh. 2.4 mm. Edeago: fig. 416. Nepal. . . . . **fulvum** Ang. & Dmz.

56 Rapporto antennomeri 3°/2° = 1.6, specie di dimensioni minori (lungh. 2.7-2.9 mm), edeago in visione dorsale con parameri dilatati prima dell'apice (fig. 417). Tegumento dorsale nero, privo di microreticolazione e con punteggiatura fine e rada. Formula tarsale ♂ 5-5-4, ♀ 4-4-4. Spermateca: fig. 837; metafemore del ♂: fig. 1224. Nepal . . . . . **daamsae** Ang. & Dmz.

- Rapporto antennomeri 3°/2° = 1.8, specie di dimensioni maggiori (lungh. 3.1-3.3 mm), edeago in visione dorsale con parameri uniformemente ristretti verso l'apice (fig. 418). Tegumento dorsale rosso-bruno più o meno

scuro, privo di microreticolazione e con punteggiatura fine e rada, doppia su capo e pronoto. Formula tarsale ♂ 5-5-4, ♀ 4-4-4. Spermateca: fig. 838; metafemore del ♂: fig. 1225. Nepal . . . . . **pothanaense** Ang.

57 Capo o elitre con punteggiatura doppia 58

- Capo ed elitre con punteggiatura semplice o assente 59

58 Specie di dimensioni maggiori (lungh. 3.2-3.7 mm), rapporto antennomeri 3°/2° = 2.3, punteggiatura doppia presente solo sul capo, pronoto poco trasverso (rapp. la/lu = 1.15). Tegumento dorsale rosso-bruno o nero, privo di microreticolazione e con punteggiatura impressa su pronoto ed elitre. Formula tarsale ♂ 5-5-4, ♀ 5-4-4. Edeago: fig. 419; spermateca: fig. 839; metafemore del ♂: fig. 1226. Nepal . . . . . **paria** Ang. & Dmz.

- Specie di dimensioni minori (lungh. 2.8 mm), rapporto antennomeri 3°/2° = 2, punteggiatura doppia presente solo sulle elitre, pronoto discretamente trasverso (rapp. la/lu = 1.64). Tegumento dorsale rosso-bruno scuro, lati più chiari, interamente privo di microreticolazione e con punteggiatura impressa su capo e pronoto. Formula tarsale ♂ 5-5-4. Edeago: fig. 420; metafemore del ♂: fig. 1227. India (Darjeeling) . . . . . **eremita** Ang. & Dmz.

59 Elitre prive di punteggiatura. Tegumento dorsale rosso-bruno scuro con lati più chiari, privo di microreticolazione e con punteggiatura fine e rada su capo e pronoto; rapporto antennomeri 3°/2° = 2. Formula tarsale ♂ 5-5-4, ♀ 4-4-4. Lungh. 2.9-3.0 mm. Edeago: fig. 421; spermateca: fig. 840; metafemore del ♂: fig. 1228. India (Kashmir, Darjeeling) . . . . . **montanum** Ang. & Dmz.

- Intero tegumento dorsale con punteggiatura 60

60 Specie di dimensioni maggiori (lungh. 3.45-3.55 mm), rapporto antennomeri 3°/2° = 2.2. Tegumento dorsale rosso-bruno; microreticolazione assente, solo vaghe tracce sulle elitre; punteggiatura fine e rada su capo e pronoto, pressoché assente sulle elitre. Formula tarsale ♂

5-5-4, ♀ 5-4-4. Edeago: fig. 422; spermateca: fig. 841; metafemore del ♂: fig. 1229. Nepal . . . . . **connexum** Ang.

- Specie di dimensioni minori (lungh. 2.55-3.1 mm), rapporto antennomeri 3°/2° = 2 61

61 Edeago in visione dorsale con apice incavato (fig. 423). Tegumento dorsale rosso-bruno scuro o nero e con punteggiatura fine e rada; microreticolazione assente, solo vaghe tracce sulle elitre; rapporto antennomeri 3°/2° = 2. Formula tarsale ♂ 5-5-4, ♀ 5-4-4. Lungh. 2.6-2.95 mm. Spermateca: fig. 842; metafemore del ♂: fig. 1230. Nepal . . . . . **bidentatum** Ang. & Dmz.

- Edeago in visione dorsale con apice appuntito o arrotondato (figg. 424-426) 62

62 Edeago in visione dorsale con apice fortemente appuntito (fig. 424). Tegumento dorsale rosso-bruno e con punteggiatura fine e rada; microreticolazione assente, solo vaghe tracce sulle elitre; rapporto antennomeri 3°/2° = 2. Formula tarsale ♂ 5-5-4, ♀ 5-4-4. Lungh. 2.6-3.1 mm. Spermateca: fig. 843; metafemore del ♂: fig. 1231. Nepal . . . . . **sparsum** Ang. & Dmz.

- Edeago in visione dorsale con apice meno appuntito o arrotondato (figg. 425-426). 63

63 Specie di dimensioni maggiori (lungh. 3.05 mm), edeago in visione dorsale con apice appuntito (fig. 425). Tegumento dorsale rosso-bruno, privo di microreticolazione e con punteggiatura fine e rada; rapporto antennomeri 3°/2° = 2. Formula tarsale ♂ 5-5-4. Metafemore del ♂: fig. 1232. Nepal . . . . . **tridentatum** Ang. & Dmz.

- Specie di dimensioni minori (lungh. 2.55-2.65 mm), edeago in visione dorsale con apice arrotondato (fig. 426). Tegumento dorsale nero, privo di microreticolazione e con punteggiatura fine e rada; rapporto antennomeri 3°/2° = 2. Formula tarsale ♂ 5-5-4, ♀ 5-4-4. Spermateca: fig. 844; metafemore del ♂: fig. 1233. India (Darjeeling), Nepal . . . . . **pseudoparia** Ang. & Dmz.

64 Specie di Taiwan 65

- Specie della restante Asia sudorientale 87

65 Rapporto antennomeri 3°/2° = 2. Tegumento dorsale rosso-bruno scuro e con punteggiatura molto fine e rada; microreticolazione assente, solo vaghe tracce sulle elitre; antenne uniformemente testacee. Formula tarsale ♂ 5-5-4. Lungh. 4.1 mm. Edeago: fig. 427; metafemore del ♂: fig. 1234. Taiwan . . . . . **grossum** Ang.

- Rapporto antennomeri 3°/2° = 0.9-1.8 66

66 Rapporto antennomeri 3°/2° = 0.9-1 67

- Rapporto antennomeri 3°/2° = 1.2-1.8 70

67 Tegumento dorsale uniformemente nero. Microreticolazione appena evidente su capo e pronoto, assente sulle elitre; punteggiatura fine e rada, presente solo su capo e pronoto; antenne uniformemente testacee; rapporto antennomeri 3°/2° = 0.9. Formula tarsale ♂ 5-5-4, ♀ 5-4-4. Lungh. 2.6-2.9 mm. Edeago: fig. 428; spermateca: fig. 845; metafemore del ♂: fig. 1235. Taiwan . . . . . **lucidum** Ang. & Dmz.

- Tegumento dorsale uniformemente rosso-bruno o nero con lati rosso-bruni 68

68 Intero dorso punteggiato. Tegumento dorsale rosso-bruno scuro e con punteggiatura microscopica e rada; microreticolazione assente, solo vaghe tracce sulle elitre; antenne uniformemente testacee; rapporto antennomeri 3°/2° = 1. Formula tarsale ♂ 5-5-4, ♀ 5-4-4. Lungh. 2.6-2.9 mm. Edeago: fig. 429; spermateca: fig. 846; metafemore del ♂: fig. 1236. Taiwan . . . . . **honestum** Ang. & Dmz.

- Punteggiatura presente solo su capo e pronoto 69

69 Specie di dimensioni maggiori (lungh. 3.0-3.3 mm), rapporto pronoto/capo = 1.24, metafemori del ♂ con lieve dente al margine posteriore (fig. 1237). Tegumento dorsale rosso-bruno o nero con lati più chiari; microreticolazione assente, solo vaghe tracce sulle elitre; punteggiatura microscopica e poco visibile solo su capo e pronoto; antenne uniformemente testacee; rapporto antennomeri 3°/2° = 1. Formula tarsale ♂ 5-5-4, ♀ 5-4-4. Edeago: fig. 430; spermateca: fig. 847. Taiwan . . . . . **asphaltinum** Ang. & Dmz.

- Specie di dimensioni minori (lungh. 2.4-2.8 mm), rapporto pronoto/capo = 1.35, metafemori del ♂ dilatati al margine posteriore (fig. 1238). Tegumento dorsale rosso-bruno; microreticolazione assente, solo vaghe tracce sulle elitre; punteggiatura fine e rada, presente solo su capo e pronoto; antenne uniformemente testacee; rapporto antennomeri 3°/2° = 1. Formula tarsale ♂ 5-5-4, ♀ 5-4-4. Edeago: fig. 431; spermateca: fig. 848. Taiwan . . . . . **tenebroides** Ang. & Dmz.

70 Intero tegumento dorsale privo di punteggiatura (solo rari microscopici punti). Microreticolazione assente, solo vaghe tracce sulle elitre; antenne uniformemente testacee; rapporto antennomeri 3°/2° = 1.5. Formula tarsale ♂ 5-5-4. Lungh. 3.55 mm. Edeago: fig. 432; metafemore del ♂: fig. 1239. Taiwan . . . . . **griseum** Ang.

- Tegumento dorsale interamente punteggiato o solo le elitre prive di punteggiatura 71

71 Elitre prive di punteggiatura 72

- Elitre con punteggiatura 82

72 Specie di dimensioni maggiori (lungh. 4.0-4.15 mm) 73

- Specie di dimensioni minori (lungh. 2.7-3.7 mm) 77

73 Pronoto appena più largo che lungo (rapp. la/lu = 1.06), rapporto antennomeri 3°/2° = 1.3. Tegumento dorsale nero, privo di microreticolazione e con punteggiatura fine e rada solo su capo e pronoto; antenne uniformemente testacee. Formula tarsale ♂ 5-5-4. Lungh. 4.1 mm. Edeago: fig. 433; metafemore del ♂: fig. 1240. Taiwan . . . . . **fuscum** Ang. & Dmz.

- Pronoto alquanto più largo che lungo (rapp. la/lu = 1.16-1.25), rapporto antennomeri 3°/2° = 1.5-1.6 74

74 Pronoto nettamente più largo del capo (rapp. pronoto/capo = 1.48). Tegumento dorsale nero, privo di microreticolazione e con punteggiatura microscopica solo su capo e pronoto; antenne uniformemente testacee; rapporto antennomeri 3°/2° = 1.5. Formula tarsale ♂ 5-5-4.

Lungh. 4.15 mm. Edeago: fig. 434; metafemore del ♂: fig. 1241. Taiwan . . . . . **umbratum** Ang. & Dmz.

- Pronoto poco più largo del capo (rapp. pronoto/capo =1.27 -1.3) 75

75 Metafemori del ♂ sinuati al margine posteriore (fig. 1242), edeago in visione laterale con apice a curvatura poco accentuata verso l'alto (fig. 435). Tegumento dorsale nero, suturale elitrale più chiara, interamente privo di microreticolazione e con punteggiatura fine e rada solo su capo e pronoto; antenne uniformemente testacee; rapporto antennomeri 3°/2° = 1.6. Formula tarsale ♂ 5-5-4. Lungh. 4.0 mm. Taiwan . . . . . **lunatum** Ang. & Dmz.

- Metafemori del ♂ con dente al margine posteriore (figg. 1243-1244), edeago in visione laterale con apice a curvatura molto accentuata verso l'alto (figg. 436-437) 76

76 Edeago in visione dorsale con apice appuntito e con parameri poco più corti (fig. 436). Tegumento dorsale nero, privo di microreticolazione e con punteggiatura fine e rada solo su capo e pronoto; antenne uniformemente testacee; rapporto antennomeri 3°/2° = 1.6. Formula tarsale ♂ 5-5-4. Lungh. 4.0 mm. Metafemore del ♂: fig. 1243. Taiwan . . . . . **pictum** Ang. & Dmz.

- Edeago in visione dorsale con apice arrotondato e con parameri alquanto più corti (fig. 437). Tegumento dorsale nero, sutura elitrale più chiara, interamente privo di microreticolazione e con punteggiatura impressa e rada su capo e pronoto, pressoché assente sulle elitre; antenne uniformemente testacee; rapporto antennomeri 3°/2° = 1.5. Formula tarsale ♂ 5-5-4, ♀ 5-4-4. Lungh. 4.0-4.1 mm. Spermateca: fig. 849; metafemore del ♂: fig. 1244. Taiwan . . . . . **fenestratum** Ang. & Dmz.

77 Tegumento dorsale uniformemente nero 78

- Tegumento dorsale uniformemente rosso-bruno 80

78 Rapporto antennomeri 3°/2° = 1.7. Tegumento dorsale nero; microreticolazione poco evidente solo sulle elitre; punteg-

giatura fine e rada, presente solo su capo e pronoto; antenne uniformemente testacee. Formula tarsale ♂ 5-5-4. Lungh. 3.4-3.7 mm. Edeago: fig. 438; metafemore del ♂: fig. 1245. Taiwan . . . . . **fuliginosum** Ang. & Dmz.

- Rapporto antennomeri 3°/2° = 1.2 79

79 Edeago in visione dorsale con parameri sinuati al margine interno (fig. 439). Tegumento dorsale nero e con punteggiatura fine e rada solo su capo e pronoto; microreticolazione assente, solo vaghe tracce sulle elitre; antenne uniformemente testacee; rapporto antennomeri 3°/2° = 1.2. Formula tarsale ♂ 5-5-4, ♀ 5-4-4. Lungh. 3.1-3.5 mm. Spermateca: fig. 850; metafemore del ♂: fig. 1246. Taiwan . . . . . **chiaicum** Ang. & Dmz.

- Edeago in visione dorsale con parameri non sinuati al margine interno (fig. 440). Tegumento dorsale nero e con punteggiatura fine e rada solo su capo e pronoto; microreticolazione assente, solo vaghe tracce sulle elitre; antenne uniformemente testacee; rapporto antennomeri 3°/2° = 1.2. Formula tarsale ♂ 5-5-4, ♀ 5-4-4. Lungh. 3.0-3.1 mm. Spermateca: fig. 851; metafemore del ♂: fig. 1247. Taiwan . . . . . **kaohsiungense** Ang. & Dmz.

80 Rapporto antennomeri 3°/2° = 1.3, metafemori del ♂ poco dilatati al margine posteriore (fig. 1248). Tegumento dorsale rosso-bruno, microreticolazione poco evidente e con punteggiatura fine e rada solo su capo e pronoto; antenne uniformemente testacee. Formula tarsale ♂ 5-5-4, ♀ 5-4-4. Lungh. 2.9-3.2 mm. Edeago: fig. 441; spermateca: fig. 852. Taiwan . . . . . **tessellatum** Ang. & Dmz.

- Rapporto antennomeri 3°/2° = 1.5-1.8, metafemori del ♂ più dilatati o con dente al margine posteriore (figg. 1249 -1250) 81

81 Specie di dimensioni maggiori (lungh. 3.1 mm), rapporto antennomeri 3°/2° = 1.5, metafemori del ♂ dilatati al margine posteriore (fig. 1249). Tegumento dorsale rosso-bruno e con punteggiatura microscopica e poco visibile solo su capo e pronoto; microreticolazione assente, solo vaghe tracce sulle elitre; antenne

uniformemente testacee. Formula tarsale ♂ 5-5-4. Edeago: fig. 442. Taiwan . . . . . **subsinuatum** Ang.

- Specie di dimensioni minori (lungh. 2.7 mm), rapporto antennomeri 3°/2° = 1.8, metafemori del ♂ con dente al margine posteriore (fig. 1250). Tegumento dorsale rosso-bruno e con punteggiatura fine e rada, solo su capo e pronoto; microreticolazione assente, solo vaghe tracce sulle elitre; antenne uniformemente testacee. Formula tarsale ♂ 5-5-4. Edeago: fig. 443. Taiwan . . . . . **discretum** Ang. & Dmz.

82 Specie di dimensioni minori (lungh. 2.85 mm). Tegumento dorsale rosso-bruno e con punteggiatura fine e rada; microreticolazione poco evidente solo sulle elitre; antenne uniformemente testacee; rapporto antennomeri 3°/2° = 1.5. Formula tarsale ♂ 5-5-4. Edeago: fig. 444; metafemore del ♂: fig. 1251. Taiwan . . . . . **chalconotum** Ang. & Dmz.

- Specie di dimensioni maggiori (lungh. 3.1-4.2 mm) 83

83 Tegumento dorsale nero con sutura rosso-bruna. Microreticolazione assente; punteggiatura fine, rada e poco visibile su capo e pronoto, assente sulle elitre; antenne uniformemente testacee; rapporto antennomeri 3°/2° = 1.5. Formula tarsale ♂ 5-5-4, ♀ 5-4-4. Lungh. 3.5-3.9 mm. Edeago: fig. 445; spermateca: fig. 853; metafemore del ♂: fig. 1252. Taiwan . . . . . **splendidulum** Ang. & Dmz.

- Tegumento dorsale uniformemente nero 84

84 Edeago in visione dorsale con apice largamente arrotondato (fig. 446). Tegumento dorsale nero e con punteggiatura fine e rada; microreticolazione assente, solo vaghe tracce sulle elitre; antenne uniformemente testacee; rapporto antennomeri 3°/2° = 1.2. Formula tarsale ♂ 5-5-4. Lungh. 3.55 mm. Metafemore del ♂: fig. 1253. Taiwan . . . . . **intricatum** Ang. & Dmz.

- Edeago in visione dorsale con apice strettamente arrotondato (figg. 447-449) 85

85 Edeago in visione dorsale fortemente ristretto verso l'apice (fig. 447). Tegumento dorsale nero, privo di microreticolazione e con punteggiatura fine e rada; antenne

uniformemente testacee; rapporto antennomeri 3°/2° = 1.3. Formula tarsale ♂ 5-5-4, ♀ 5-4-4. Lungh. 3.3-3.8 mm. Spermateca: fig. 854; metafemore del ♂: fig. 1254. Taiwan . . . . . **melanocephalum** Ang. & Dmz.

- Edeago in visione dorsale uniformemente ristretto verso l'apice (figg. 448-449) 86

86 Rapporto antennomeri 3°/2° = 1.2, specie di dimensioni minori (lungh. 3.1-3.4 mm). Tegumento dorsale nero e con punteggiatura fine e rada; microreticolazione assente su capo e pronoto, poco evidente sulle elitre; antenne uniformemente testacee. Formula tarsale ♂ 5-5-4, ♀ 5-4-4. Edeago: fig. 448; spermateca: fig. 855; metafemore del ♂: fig. 1255. Taiwan . . . . . **anmashanense** Ang. & Dmz.

- Rapporto antennomeri 3°/2° = 1.5, specie di dimensioni maggiori (lungh. 3.9-4.2 mm). Tegumento dorsale nero e con punteggiatura fine su capo e pronoto, più impressa sulle elitre; microreticolazione assente, solo vaghe tracce sulle elitre; antenne uniformemente testacee. Formula tarsale ♂ 5-5-4, ♀ 5-4-4. Edeago: fig. 449; spermateca: fig. 856; metafemore del ♂: fig. 1256. Taiwan . . . . . **meifengense** Ang. & Dmz.

87 Antenne uniformemente testacee. 88

- Antenne testacee con antennomeri 9°-10° o 7°-11° scuri . . 89

88 Specie di dimensioni maggiori (lungh. 2.3-2.7 mm), rapporto antennomeri 3°/2° = 1.8. Tegumento dorsale nero, privo di microreticolazione e con punteggiatura fine e rada solo su capo e pronoto. Formula tarsale ♂ 5-5-4, ♀ 5-4-4. Edeago: fig. 450; spermateca: fig. 857; metafemore del ♂: fig. 1257. Thailandia . . . . . **ducentesimum** Ang. & Dmz.

- Specie di dimensioni minori (lungh. 1.8-1.9 mm), rapporto antennomeri 3°/2° = 1. Tegumento dorsale rosso-bruno, privo di microreticolazione e con punteggiatura fine e rada. Formula tarsale ♂ 5-5-4, ♀ 5-4-4. Edeago: fig. 451; spermateca: fig. 858; metafemore del ♂: fig. 1258. Thailandia . . . . . **ilvense** Ang. & Dmz.

89 Antenne testacee con antennomeri 7°-11° scuri. 90

- Antenne testacee con antennomeri 9°-10° scuri 91

90 Specie di dimensioni maggiori (lungh. 2.7 mm). Tegumento dorsale nero, privo di microreticolazione e con punteggiatura impressa; rapporto antennomeri 3°/2° = 1.15. Formula tarsale ♀ 5-4-4. Spermateca: fig. 859; metafemore della ♀: fig. 1259. Sri Lanka . . . . . **montanellum** Hlisn.

- Specie di dimensioni minori (lungh. 2.25-2.45 mm). Tegumento dorsale nero, privo di microreticolazione e con punteggiatura fine e rada; rapporto antennomeri 3°/2° = 1. Formula tarsale ♂ 5-5-4, ♀ 5-4-4. Edeago: fig. 452; spermateca: fig. 860; metafemore del ♂: fig. 1260. India (Tamil Nadu) . . . . . **pseudomontanellum** Ang. & Dmz.

91 Specie di dimensioni maggiori (lungh. 3.4 mm), rapporto antennomeri 3°/2° = 2.2. Tegumento dorsale nero, privo di microreticolazione e con punteggiatura fine e rada su capo e pronoto, più impressa sulle elitre. Formula tarsale ♀ 5-4-4. Spermateca: fig. 861; metafemori della ♀: fig. 1261. Vietnam . . . . . **prosperum** Ang.

- Specie di dimensioni minori (lungh. 2.5-2.6 mm), rapporto antennomeri 3°/2° = 1. Tegumento dorsale rosso-bruno e con punteggiatura fine e rada solo su capo e pronoto; microreticolazione assente, solo vaghe tracce sul pronoto. Formula tarsale ♂ 5-5-4, ♀ 5-4-4. Edeago: fig. 453; metafemori del ♂: fig. 1262. Malaysia (Sarawak) . . . . . **collinsi** Ang. & Cooter

KEY TO THE SPECIES OF THE *DENTATUM* MULSANT & REY GROUP

1 Head widest just behind eyes or at their posterior margin (figs. 85-92) 2

- Head widest at eyes (figs. 93-98) 19

2 Head widest behind eyes (figs. 85-90) 3

- Head widest at posterior margin of eyes (figs. 91-92) 15

3 Species of China or Japan 4

- Species of the Himalayan region 9

4 Ratio of 3rd/2nd antennal segments = 0.9 Length 2.0-2.2 mm. Head: fig. 85; aedeagus: fig. 364; spermatheca: fig. 797; male hind femora: fig. 1175. China (Zhejiang) . . . . . **tianmuoides** Ang. & Cooter

- Ratio of 3rd/2nd antennal segments = 1.1-1.2 5

5 Species of Japan (Ryukyus). Length 1.78 mm. Head: fig. 86; aedeagus: fig. 365; spermatheca: fig. 798; male hind femora: fig. 1176 . . . . . **aikanae** Hoshina

- Species of China 6

6 Pronotum moderately broader than long (ratio width/length = 1.56), aedeagus in dorsal view with apex broadly rounded (fig. 366). Length 1.85-1.95 mm. Spermatheca: fig. 799; male hind femora: fig. 1177. China (Zhejiang) . . . . . **paratianmuense** Ang. & Cooter

- Pronotum less broader than long (ratio width/length = 1.41-1.48), aedeagus in dorsal view with apex strongly rounded (figs. 367-369) 7

7 Male hind femora rectilinear at posterior margin (fig. 1178). Length 1.85-2.1 mm. Aedeagus: fig. 367; spermatheca: fig. 800. China (Zhejiang) . . . **pseudotianmuense** Ang. & Cooter

- Male hind femora dilated or sinuate at posterior margin (figs. 1179-1180). 8

8 Size larger (2.5 mm), ratio of 3rd/2nd antennal segments = 1, head with traces of microreticulation, male hind femora sinuate at posterior margin (fig. 1179). Head: fig. 87; aedeagus: fig. 368. China (Hubei) . . . . . **jiuchongense** Ang. & Cooter

- Size smaller (1.7-1.9 mm), ratio of 3rd/2nd antennal segments = 1.1, head without traces of microreticulation, male hind femora dilated at posterior margin (fig. 1180). Aedeagus: fig. 369; spermatheca: fig. 801. China (Zhejiang) . . . . . **tianmuense** Ang. & Cooter

9 Ratio of 3rd/2nd antennal segments = 1.8. 10

- Ratio of 3rd/2nd antennal segments = 1.2-1.55 11

10 Pronotum moderately broader than long (ratio width/length = 1.6), elytra with puncturation, aedeagus in lateral view with apex few reflexed (fig. 370). Length 1.7-2.2 mm. Spermatheca: fig. 802; male hind femora: fig. 1182. India (Darjeeling), Nepal . . . . . **pusillum** Ang. & Dmz.

- Pronotum very slightly broader than long (ratio width/length = 1.4), elytra without puncturation, aedeagus in lateral view with apex strongly reflexed (fig. 371). Length 2.1-2.4 mm. Spermatheca: fig. 803; male hind femora: fig. 1182. India (Darjeeling) . . . . . **wittmeri** Ang. & Dmz.

11 Pronotum much broader than long (ratio width/length = 1.7) 12

- Pronotum moderately broader than long (ratio width/length = 1.36-1.55) 13

12 Ratio of 3rd/2nd antennal segments = 1.2, metatibia weakly dilated (fig. 1183), head with eyes moderately visible from above (fig. 88). Length 2.35 mm. Aedeagus: fig. 372; spermatheca: fig. 804; male hind femora: fig. 1183. Nepal . . . . . **pseudotibiale** Ang. & Dmz.

- Ratio of 3rd/2nd antennal segments = 1.5, metatibia more evidently dilated (fig. 1184), head with eyes hardly visible from above (fig. 89). Length 2.05-2.3 mm. Aedeagus: fig. 373; spermatheca: fig. 805; male hind femora: fig. 1184. Nepal . . . . . **macrotibiale** Ang. & Dmz.

13 Aedeagus in lateral view with apex strongly reflexed (fig. 374). Length 2.2-2.5 mm. Spermatheca: fig. 806; male hind femora: fig. 1185. India (Sikkim, Darjeeling), Nepal . . . . . **sikkimense** Ang. & Dmz.

- Aedeagus in lateral view with apex weakly reflexed (figs. 375-376) 14

14 Ratio of 3rd/2nd antennal segments = 1.3, pronotum very slightly broader than long (ratio width/length = 1.36).

Length 1.95-2.2 mm. Aedeagus: fig. 375; spermatheca: fig. 807; male hind femora: fig. 1186. India (Darjeeling), Nepal ..... **indra** Ang. & Dmz.

- Ratio of 3rd/2nd antennal segments = 1.55, pronotum moderately broader than long (rapp. width/length = 1.53). Length 2.05 mm. Head: fig. 90; aedeagus: fig. 376; male hind femora: fig. 1187. Nepal ..... **curtum** Ang. & Dmz.

15 Ratio of 3rd/2nd antennal segments = 2, Nepal 16

- Ratio of 3rd/2nd antennal segments = 1.1-1.6, Japan (Ryukyus) or China or Pakistan 17

16 Elytra without puncturation, male hind femora dilated at posterior margin (fig. 1188), size larger (2.9-3.6 mm). Head: fig. 91; aedeagus: fig. 377; spermatheca: fig. 808. Nepal ..... **deoralicum** Ang. & Dmz.

- Elytra with puncturation, male hind femora with a tooth at posterior margin (fig. 1189), size smaller (2.2-2.6 mm). Aedeagus: fig. 378; spermatheca: fig. 809. Nepal..... ..... **uniforme** Ang. & Dmz.

17 Size larger (2.7-3.2 mm), ratio of 3rd/2nd antennal segments = 1.6, China (Hong Kong). Head: fig. 92; aedeagus: fig. 379; spermatheca: fig. 810; male hind femora: fig. 1190 ..... **xianggangense** Ang. & Cooter

- Size smaller (1.85-2.25 mm), ratio of 3rd/2nd antennal segments = 1.1-1.3, Japan (Ryukyus) or Pakistan 18

18 Species of Japan (Ryukyus), tarsal formula ♀ 5-4-4, elytra without puncturation, ratio of 3rd/2nd antennal segments = 1.1. Length 2.0 mm. Aedeagus: fig. 380; spermatheca: fig. 811; male hind femora: fig. 1191 ..... **fujisakiae** Hoshina

- Species of Pakistan, tarsal formula ♀ 4-4-4, elytra with puncturation, ratio of 3rd/2nd antennal segments = 1.3. Length 1.85-2.25 mm. Aedeagus: fig. 381; spermatheca: fig. 812; male hind femora: fig. 1192 ..... **senile** Ang. & Dmz.

19 Species of Japan (Ryukyus). Length 3.1 mm. Aedeagus: fig. 382; spermatheca: fig. 813..... **okinawaense** Hoshina

- Species of the remaining part of southeast Asia 20

20 Species of China 21

- Species of the remaining part of southeast Asia 45

21 Antennal club or segments 9°-10° dark or black 22

- Antennae uniformly testaceous 24

22 Antennae with dark club, ratio of 3rd/2nd antennal segments = 1.5, size smaller (3.05 mm), male hind femora dilated at posterior margin (fig. 1193). Aedeagus: fig. 383. China (Fujian) . . . . . **fujianense** Ang. & Dmz.

- Antennal segments 9°-10° dark, ratio of 3rd/2nd antennal segments = 2-2.3, size larger (3.65-4.95 mm), male hind femora with a tooth at posterior margin (figs. 1194-1195) . 23

23 Size larger (4.5-4.95 mm), ratio of 3rd/2nd antennal segments = 2. Aedeagus: fig. 384; spermatheca: fig. 814; male hind femora: fig. 1194. China (Sichuan) . . . . . **schuelkei** Ang.

- Size smaller (3.65-3.8 mm), ratio of 3rd/2nd antennal segments = 2.3. Aedeagus: fig. 385; spermatheca: fig. 815; male hind femora: fig. 1195. China (Sichuan) . **hoshinai** Ang.

24 Ratio of 3rd/2nd antennal segments = 1.1-1.7 25

- Ratio of 3rd/2nd antennal segments = 1.9-2.8 33

25 Size larger (4.05-5.65 mm), dorsum uniformly black 26

- Size smaller (2.5-3.6 mm), dorsum uniformly reddish-brown or with veins black 27

26 Size larger (5.35-5.65 mm), ratio of 3rd/2nd antennal segments = 1.7. Aedeagus: fig. 386; spermatheca: fig. 816; male hind femora: fig. 1196. China (Shaanxi, Hubei) . . . . . **smetanaicum** Ang.

- Size smaller (4.05-4.2 mm), ratio of 3rd/2nd antennal segments = 1.4. Aedeagus: fig. 387; spermatheca: fig. 817; male hind femora: fig. 1197. China (Shaanxi) . . . . . **puetzi** Ang. & Švec

27 Tarsal formula ♂ and ♀ 4-4-4. Length 2.7-3.0 mm. Aedeagus: fig. 388; spermatheca: fig. 818; male hind femora: fig. 1198. China (Hubei, Sichuan, Shaanxi) . . . . . **brunneipenne** Ang. & Dmz.

- Tarsal formula ♂ 5-5-4 and ♀ 5-4-4 28

28 Pronotum very slightly broader than long (ratio width/length = 1.3-1.33), width ratio of pronotum/head = 1.27 . 29

- Pronotum moderately broader than long (ratio width/length = 1.45-1.57), width ratio of pronotum/head = 1.37-1.42 . . 31

29 Size larger (3.35-3.5 mm), dorsum uniformly black, ratio of 3rd/2nd antennal segments = 1.7. Aedeagus: fig. 389; spermatheca: fig. 819; male hind femora: fig. 1199. China (Shaanxi, Hubei). . . . . **zdeneki** Ang.

- Size smaller (2.9-3.1 mm), dorsum reddish-brown, ratio of 3rd/2nd antennal segments = 1.2-1.5 30

30 Head with eyes very elongate, clypeus weakly emarginate (fig. 93), aedeagus in dorsal view with apex broadly rounded (fig. 390), male hind femora with a tooth at posterior margin (fig. 1200), ratio of 3rd/2nd antennal segments = 1.5. Length 2.9-3.1 mm. Spermatheca: fig. 820. China (Shaanxi) . . . . . **huaense** Ang. & Dmz.

- Head with eyes less elongate, clypeus more emarginate (fig. 94), aedeagus in dorsal view with apex strongly rounded (fig. 391), male hind femora dilated at posterior margin (fig. 1201), ratio of 3rd/2nd antennal segments = 1.2. Length 2.9 mm. Spermatheca: fig. 821. China (Guangdong). . . . . **gutianense** Ang. & Cooter

31 Size larger (3.25-3.6 mm). Aedeagus: fig. 392; spermatheca: fig. 822; male hind femora: fig. 1202. China (Sichuan). . . . . **luojiense** Ang.

- Size smaller (2.4-3.2 mm). 32

32 Ratio of 3rd/2nd antennal segments = 1.7, male hind femora with a tooth at posterior margin (fig. 1203). Length. 2,5-3,2 mm Aedeagus: fig. 393; spermatheca: fig. 823. China (Sichuan) . . . . . **pseudouniforme** Ang.

- Ratio of 3rd/2nd antennal segments = 1.1, male hind femora dilated at posterior margin (fig. 1204). Length 2.4-2.65 mm. Aedeagus: fig. 394; spermatheca: fig. 824. China (Sichuan, Yunnan) . . . . . **wannianicum** Ang.

33 Ratio of 3rd/2nd antennal segments = 2.8. Length 4.3 mm. Aedeagus: fig. 395; male hind femora: fig. 1205. China (Sichuan) . . . . . **sinuatum** Ang.

- Ratio of 3rd/2nd antennal segments = 2-2.3 34

34 Size larger (4.45-6.0 mm) 35

- Size smaller (2.85-4.4 mm) 38

35 Size larger (5.6-6.0 mm) 36

- Size smaller (4.45-4.8 mm) 37

36 Ratio of 3rd/2nd antennal segments = 2, width ratio of pronotum/head = 1.33, aedeagus in dorsal view with apex emarginate and in lateral view with apex strongly reflexed (fig. 396). Length 5.7 mm. Male hind femora: fig. 1206. China (Hubei) . . . . . **hubeicum** Ang. & Cooter

- Ratio of 3rd/2nd antennal segments = 2.3, width ratio of pronotum/head = 1.48, aedeagus in dorsal view with truncate apex and in lateral view with apex less reflexed (fig. 397). Length 5.6-6.0 mm. Head: fig. 95; spermatheca: fig. 825; male hind femora: fig. 1207. China (Hubei, Shaanxi) . . . . . **inerme** Ang. & Dmz.

37 Male hind femora with two teeth at posterior margin (fig. 1208), width ratio pronotum/head = 1.36, metathoracic wings absent, aedeagus in lateral view with apex strongly reflexed (fig. 398). Length 4.55-4.80 mm. Spermatheca: fig. 826. China (Hubei) . . . . . **shennongjiaense** Ang. & Cooter

- Male hind femora with a single tooth at posterior margin (fig. 1209), width ratio pronotum/head = 1.62, metathoracic wings present, aedeagus in lateral view with apex less reflexed (fig. 399). Length 4.45 mm. Head: fig. 96. China (Sichuan) . . . . . **grandicolle** Ang.

38 Size smaller (2.85-2.95 mm) 39

- Size larger (3.7-4.4 mm) 41

39 Male hind femora dilated at posterior margin (fig. 1210), elytra with puncturation, species with wings. Length 2.95 mm. Head: fig. 97; aedeagus: fig. 400. China (Hong Kong) . . . . . **bowringi** Ang. & Cooter

- Male hind femora with a tooth at posterior margin (figs. 1211-1212), elytra without puncturation, species without wings 40

40 Head with eyes elongate and weakly obliquely angled (fig. 98), aedeagus in dorsal view with apex pointed (fig. 401), ratio of 3rd/2nd antennal segments = 2.2. Length 2.85 mm. Male hind femora: fig. 1211. China (Yunnan) . . . . . **acutum** Ang.

- Head with eyes less elongate and more obliquely angled, aedeagus in dorsal view with apex emarginate (fig. 402), ratio of 3rd/2nd antennal segments = 2. Length 2.5-2.8 mm. Male hind femora: fig. 1212. China (Sichuan) . . . . . **acuticorne** Ang.

41 Dorsum uniformly black. Length 4.1 mm. Aedeagus: fig. 403; male hind femora: fig. 1213. China (Yunnan, ? Sichuan) . . . . . **yunnanicum** Ang. & Švec

- Dorsum reddish-brown dark or black with sides reddish-brown 42

42 Elytra without puncturation, aedeagus in dorsal view with apex strongly emarginate (fig. 404). Length 3.7-4.0 mm. Spermatheca: fig. 827; male hind femora: fig. 1214. China (Sichuan) . . . . . **indubium** Ang. & Dmz.

- Elytra with puncturation, aedeagus in dorsal view with apex weakly emarginate or pointed (figs. 405-407) 43

43 Head with superficial clypeal line. Length 3.8 mm. Aedeagus: fig. 405; male hind femora: fig. 1215. China (Hubei) . . . . . **melancholicum** Ang. & Cooter

- Head without clypeal line 44

44 Male hind femora with two teeth at posterior margin (fig. 1216), aedeagus in dorsal view with apex pointed (fig. 406). Length 3.8-4.4 mm. Spermatheca: fig. 828. China (Sichuan) . . . . . **hani** Ang.

- Male hind femora with a tooth at posterior margin (fig. 1217), aedeagus in dorsal view with apex few emarginate (fig. 407). Length 3.95 mm. Spermatheca: fig. 829. China (Guangxi, Jiangxi, ? Sichuan). . . . . **lugubre** Ang. & Dmz.

45 Species of the Himalayan region 46

- Species of the remaining part of southeast Asia. 64

46 Antennal club dark or black 47

- Antennae uniformly testaceous 49

47 Ratio of 3rd/2nd antennal segments = 2. Length 2.8-3.05 mm. Aedeagus: fig. 408; spermatheca: fig. 830; male hind femora: fig. 1218. Nepal . . . . . **ovatum** Ang. & Dmz.

- Ratio of 3rd/2nd antennal segments = 1.18-1.77 48

48 Ratio of 3rd/2nd antennal segments = 1.18, size smaller (1.95-2.3 mm), width ratio of pronotum/head = 1.5. Aedeagus: fig. 409; spermatheca: fig. 831; male hind femora: fig. 1219. India (Sikkim, Darjeeling). **harmandi** Port.

- Ratio of 3rd/2nd antennal segments = 1.77, size larger (3.2 mm), width ratio of pronotum/head = 1.29. Aedeagus: fig. 410; spermatheca: fig. 832; male hind femora: fig. 1220. Nepal . . . . . **gurka** Ang. & Dmz.

49 Ratio of 3rd/2nd antennal segments = 1.3-1.8 50

- Ratio of 3rd/2nd antennal segments = 2-2.3. 57

50 Elytra with double puncturation. 51

- Elytra with simple puncturation or impunctate. 52

51 Width ratio of pronotum/head = 1.6, pronotum much broader than long (ratio width/length = 1.9). Length 2.0-2.3 mm. Aedeagus: fig. 411; spermatheca: fig. 833. India (Darjeeling), Nepal . . . . . **transversum** Ang. & Dmz.

- Width ratio of pronotum/head = 1.3, pronotum moderately broader than long (ratio width/length = 1.54). Length 2.1-2.4 mm. Aedeagus: fig. 412; spermatheca: fig. 834; male hind femora: fig. 1221. Nepal . . . **phulcokiense** Ang. & Dmz.

52 Elytra without puncturation 53

- Elytra with puncturation 54

53 Ratio of 3rd/2nd antennal segments = 1.47, size smaller (2.15 mm), aedeagus in dorsal view with apex strongly rounded (fig. 413). Bhutan . . . . . **cinereum** Ang. & Dmz.

- Ratio of 3rd/2nd antennal segments = 1.8, size larger (2.8 mm), aedeagus in dorsal view with apex weakly emarginate (fig. 414). Spermatheca: fig. 835; male hind femora: fig. 1222. Nepal . . . . . **martensianum** Ang. & Dmz.

54 Pronotum much broader than long (ratio width/length = 1.68), size smaller (2.0-2.5 mm) 55

- Pronotum moderately broader than long (ratio width/length = 1.55), size larger (2.7-3.3 mm) 56

55 Male hind femora weakly dilated at posterior margin (fig. 1223), dorsum black, sides of the pronotum lighter, punctuation fine and sparse on head and pronotum, more evident on elytra. Length 2.0-2.5 mm. Aedeagus: fig. 415; spermatheca: fig. 836. Nepal . . . . . **tenebricosum** Ang. & Dmz.

- Male hind femora with a tooth at posterior margin, dorsum reddish-brown; puncturation clear on head and pronotum, finer on elytra. Length 2.4 mm. Aedeagus: fig. 416. Nepal . . . . . **fulvum** Ang. & Dmz.

56 Ratio of 3rd/2nd antennal segments = 1.6, size smaller (2.7-2.9 mm), aedeagus with parameres rounded before of the apex (fig. 417). Spermatheca: fig. 837; male hind femora: fig. 1224. Nepal . . . . . **daamsae** Ang. & Dmz.

- Ratio of 3rd/2nd antennal segments = 1.8, size larger (3.1-3.3 mm), aedeagus in dorsal view with parameres uniformly narrowed to apex (fig. 418). Spermatheca: fig. 838; male hind femora: fig. 1225. Nepal . . **pothanaense** Ang.

57 Head or elytra with double puncturation 58

- Head and elytra with simple puncturation or absent 59

58 Size larger (3.2-3.7 mm), ratio of 3rd/2nd antennal segments = 2.3, double puncturation present only on head, pronotum very slightly broader than long (ratio width/length = 1.15). Aedeagus: fig. 419; spermatheca: fig. 839; male hind femora: fig. 1226. Nepal . . . . . **paria** Ang. & Dmz.

- Size smaller (2.8 mm), ratio of 3rd/2nd antennal segments = 2, double puncturation present only on elytra, pronotum moderately broader than long (ratio width/length = 1.64). Aedeagus: fig. 420; male hind femora: fig. 1227. India . . . . (Darjeeling) . . . . . **eremita** Ang. & Dmz.

59 Elytra without puncturation. Length 2.9-3.0 mm. Aedeagus: fig. 421; spermatheca: fig. 840; male hind femora: fig. 1228. India (Kashmir, Darjeeling) . . . . . **montanum** Ang. & Dmz.

- Whole dorsum with puncturation 60

60 Size larger (3.45-3.55 mm), ratio of 3rd/2nd antennal segments = 2.2. Aedeagus: fig. 422; spermatheca: fig. 841; male hind femora: fig. 1229. Nepal . . . . . **connexum** Ang.

- Size smaller (2.55-3.1 mm), ratio of 3rd/2nd antennal segments = 2 61

61 Aedeagus in dorsal view with apex emarginate (fig. 423). Length 2.6-2.95 mm. Spermatheca: fig. 842; male hind femora: fig. 1230. Nepal. . . . . **bidentatum** Ang. & Dmz.

- Aedeagus in dorsal view with apex pointed or rounded (figs. 424-426). 62

62 Aedeagus in dorsal view with apex pointed as in fig. 424. Length 2.6-3.1 mm. Spermatheca: fig. 843; male hind femora: fig. 1231. Nepal . . . . . **sparsum** Ang. & Dmz.

- Aedeagus in dorsal view with apex pointed or rounded as in figs. 425-426 63

63 Size larger (3.05 mm). Aedeagus: fig. 425; male hind femora: fig. 1232. Nepal . . . . . **tridentatum** Ang. & Dmz.

- Size smaller (2.55-2.65 mm). Aedeagus: fig. 426; spermatheca: fig. 844; male hind femora: fig. 1233. India (Darjeeling), Nepal . . . . . **pseudoparia** Ang. & Dmz.

64 Species of Taiwan 65

- Species of the remaining part of southeast Asia 87

65 Ratio of 3rd/2nd antennal segments = 2 Length 4.1 mm. Aedeagus: fig. 427; male hind femora: fig. 1234. Taiwan . . . . . **grossum** Ang.

- Ratio of 3rd/2nd antennal segments = 0.9-1.8 66

66 Ratio of 3rd/2nd antennal segments = 0.9-1 67

- Ratio of 3rd/2nd antennal segments = 1.2-1.8 70

67 Dorsum uniformly black. Length 2.6-2.9 mm. Aedeagus: fig. 428; spermatheca: fig. 845; male hind femora: fig. 1235. Taiwan . . . . . **lucidum** Ang. & Dmz.

- Dorsum uniformly reddish-brown or black with sides reddish-brown 68

68 Whole dorsum with puncturation. Length 2.6-2.9 mm. Aedeagus: fig. 429; spermatheca: fig. 846; male hind femora: fig. 1236. Taiwan . . . . . **honestum** Ang. & Dmz.

- Puncturation present only on head and pronotum 69

69 Size larger (3.0-3.3 mm), width ratio of pronotum/head = 1.24, male hind femora with a weak tooth at posterior margin (fig. 1237). Aedeagus: fig. 430; spermatheca: fig. 847. Taiwan . . . . . **asphaltinum** Ang. & Dmz.

- Size smaller (2.4-2.8 mm), width ratio of pronotum/head = 1.35, male hind femora dilated at posterior margin (fig. 1238). Aedeagus: fig. 431; spermatheca: fig. 848. Taiwan . . . . . **tenebroides** Ang. & Dmz.

70 Whole dorsum without puncturation (only sparse microscopic punctures). Length 3.55 mm. Aedeagus: fig. 432; male hind femora: fig. 1239. Taiwan . . . . . **griseum** Ang.

- Whole dorsum with puncturation or only elytra impunctate 71

71 Elytra without puncturation 72
- Elytra with puncturation 82

72 Size larger (4.0-4.15 mm) 73
- Size smaller (2.7-3.7 mm) 77

73 Pronotum slightly broader than long (ratio width/length = 1.06), ratio of 3rd/2nd antennal segments = 1.3. Length 4.1 mm. Aedeagus: fig. 433; male hind femora: fig. 1240. Taiwan . . . . . **fuscum** Ang. & Dmz.
- Pronotum somewhat broader than long (ratio width/length = 1.16-1.25), ratio of 3rd/2nd antennal segments = 1.5-1.6 74

74 Pronotum broader than head (ratio of pronotum/head = 1.48). Length 4.15 mm. Aedeagus: fig. 434; male hind femora: fig. 1241. Taiwan . . . . . **umbratum** Ang. & Dmz.
- Pronotum very slightly broader than head (ratio of pronotum/head = 1.27-1.3) 75

75 Male hind femora sinuate at posterior margin (fig. 1242), aedeagus in lateral view with apex less reflexed (fig. 435). Length 4.0 mm. Taiwan . . . . . **lunatum** Ang. & Dmz.
- Male hind femora with a tooth at posterior margin (figs. 1243-1244), aedeagus in lateral view with apex strongly reflexed (figs. 436-437). 76

76 Aedeagus in dorsal view at apex pointed and with parameres slightly shorter (fig. 436). Length 4.0 mm. Male hind femora: fig. 1243. Taiwan . . . . . **pictum** Ang. & Dmz.
- Aedeagus in dorsal view with rounded apex and with parameres clearly shorter (fig. 437). Length 4.0-4.1 mm. Spermatheca: fig. 849; male hind femora: fig. 1244. Taiwan . . . . . **fenestratum** Ang. & Dmz.

77 Dorsum uniformly black 78
- Dorsum uniformly reddish-brown 80

78 Ratio of 3rd/2nd antennal segments = 1.7. Length 3.4-3.7 mm. Aedeagus: fig. 438; male hind femora: fig. 1245. Taiwan . . . . . **fuliginosum** Ang. & Dmz.

- Ratio of 3rd/2nd antennal segments = 1.2. 79

79 Aedeagus in dorsal view with parameres sinuate at internal margins (fig. 439). Length 3.1-3.5 mm. Spermatheca: fig. 850; male hind femora: fig. 1246. Taiwan . . . . . **chiaicum** Ang. & Dmz.

- Aedeagus in dorsal view with parameres not sinuate at internal margins (fig. 440). Length 3.0-3.1 mm. Spermatheca: fig. 851; male hind femora: fig. 1247. Taiwan . . . . . **kaohsiungense** Ang. & Dmz.

80 Ratio of 3rd/2nd antennal segments = 1.3, male hind femora less dilated at posterior margin (fig. 1248). Length 2.9-3.2 mm. Aedeagus: fig. 441; spermatheca: fig. 852. Taiwan . . . . . **tessellatum** Ang. & Dmz.

- Ratio of 3rd/2nd antennal segments = 1.5-1.8, male hind femora more dilated or with a tooth at posterior margin (figs. 1249-1250). 81

81 Size larger (3.1 mm), ratio of 3rd/2nd antennal segments = 1.5, male hind femora dilated at posterior margin (fig. 1249). Aedeagus: fig. 442. Taiwan . . . . . **subsinuatum** Ang.

- Size smaller (2.7 mm), ratio of 3rd/2nd antennal segments = 1.8, male hind femora with a tooth at posterior margin (fig. 1250). Aedeagus: fig. 443. Taiwan . . . . . **discretum** Ang. & Dmz.

82 Size smaller (2.85 mm). Aedeagus: fig. 444; male hind femora: fig. 1251. Taiwan . . . . . **chalconotum** Ang. & Dmz.

- Size larger (3.1-4.2 mm) 83

83 Dorsum black with reddish-brown suture. Length 3.5-3.9 mm. Aedeagus: fig. 445; spermatheca: fig. 853; male hind femora: fig. 1252. Taiwan . . . . . **splendidulum** Ang. & Dmz.

- Dorsum uniformly black 84

84 Aedeagus in dorsal view with broadly rounded apex (fig. 446). Length 3.55 mm. Male hind femora: fig. 1253. Taiwan . . . . . **intricatum** Ang. & Dmz.

- Aedeagus in dorsal view with apex strongly rounded (figs. 447-449). 85

85 Aedeagus in dorsal view strongly narrowed to apex (fig. 447). Length 3.3-3.8 mm. spermatheca: fig. 854; male hind femora: fig. 1254. Taiwan . . **melanocephalum** Ang. & Dmz.

- Aedeagus in dorsal view uniformly narrowed to apex (figs. 448-449). 86

86 Ratio of 3rd/2nd antennal segments = 1.2, size smaller (3.1-3.4 mm). Aedeagus: fig. 448; spermatheca: fig. 855; male hind femora: fig. 1255. Taiwan . . . . . **anmashanense** Ang. & Dmz.

- Ratio of 3rd/2nd antennal segments = 1.5, size larger (3.9-4.2 mm). Aedeagus: fig. 449; spermatheca: fig. 856; male hind femora: fig. 1256. Taiwan. . **meifengense** Ang. & Dmz.

87 Antennae uniformly testaceous 88

- Antennal segments 9°-10° or 7°-11° dark. 89

88 Size larger (2.3-2.7 mm), ratio of 3rd/2nd antennal segments = 1.8. Aedeagus: fig. 450; spermatheca: fig. 857; male hind femora: fig. 1257. Thailand . . . . . **ducentesimum** Ang. & Dmz.

- Size smaller (1.8-1.9 mm), ratio of 3rd/2nd antennal segments = 1. Aedeagus: fig. 451; spermatheca: fig. 858; male hind femora: fig. 1258. Thailand . . . . . **ilvense** Ang. & Dmz.

89 Antennal segments 7°-11° dark. 90

- Antennal segments 9°-10° dark. 91

90 Size larger (2.7 mm). Spermatheca: fig. 859; female hind femora: fig. 1259. Sri Lanka . . . . . **montanellum** Hlisn.

- Size smaller (2.25-2.45 mm). Aedeagus: fig. 452; spermatheca: fig. 860; male hind femora: fig. 1260. India (Tamil Nadu). . . . . **pseudomontanellum** Ang. & Dmz.

91 Size larger (3.4 mm), ratio of 3rd/2nd antennal segments = 2.2. Spermatheca: fig. 861; female hind femora: fig. 1261. Vietnam . . . . . **prosperum** Ang.

- Size smaller (2.5-2.6 mm), ratio of 3rd/2nd antennal segments = 1. Aedeagus: fig. 453; male hind femora: fig. 1262. Malaysia (Sarawak) ..... **collinsi** Ang. & Cooter

Sottogenere ***Euryceble*** Hlisnikovský, 1964

Euryceble Hlisnikovský, 1964: 123; Angelini, 1992: 173; 1993b: 39; 1995c: 35; 1996: 6; 1998: 143; 2000c: 48; Angelini & De Marzo, 1993: 438.

Specie tipo: *Agathidium antennatum* Hlisnikovský, 1964.

Diagnosi. Rapporto di larghezza pronoto/capo compreso tra 1.47-1,6, clipeo delimitato solo lateralmente da due solchi obliqui o da una cresta arcuata continua, capo con netto ribordo ai lati del clipeo e con una fossetta a ciascun lato; occhi semisferici e protuberanti (figg. 99-100); antenne con clava di tre articoli ma nei ♂ di *A. acridulum* Ang. (Filippine) (fig. 6) e *A. leytense* Ang. (Filippine) (fig. 7) è costituita da quattro articoli; elitre con angolo omerale poco accennato (fig. 23); metasterno con linee femorali.

Discussione. Le specie di questo sottogenere sono molto simili a quelle del subg. *Microceble* e si differenziano unicamente per il maggiore rapporto pronoto/capo. Il capo può presentare o i caratteristici solchi obliqui tipici dei gruppi *grouvellei* e *andrewesi* o una cresta arcuata così come la si riscontra nel gruppo *maculatum*. La distribuzione geografica di questo sottogenere è ugualmente molto simile a quella del gruppo *maculatum*. La sua presenza a Papua Nuova Guinea (estremo limite sudorientale per il genere *Agathidium*) può far supporre una più ampia distribuzione nella regione australiana nordoccidentale, comprendendo specie alate frequentemente reperite con la "Malayse trap" a Sulawesi.

Distribuzione geografica. Sottogenere presente con 6 specie nelle Isole della Sonda (da Sumatra alle Filippine) e con 1 nella regione australiana nordoccidentale (Papua Nuova Guinea).

CHIAVE DICOTOMICA DELLE SPECIE DEL SOTTOGENERE *EURYCEBLE* HLISNIKOVSKÝ, 1964

1 Clipeo delimitato da una cresta arcuata continua 2
- Clipeo delimitato solo lateralmente da due solchi obliqui 4

2 Antenne uniformemente testacee, tegumento dorsale non microreticolato o striolato, solo con vaghe tracce di microreticolazione, capo con punteggiatura doppia, specie di dimensioni minori (lungh. 2.75 mm). Tegumento dorsale rosso-bruno e con punteggiatura fine e rada su pronoto ed elitre; rapporto antennomeri 3°/2° = 1.25. Formula tarsale ♀ 5-4-4. Spermateca: fig. 862; metafemore della ♀: fig. 1263. Malaysia (Sarawak) . . . . . **antennatum** Hlisn.

- Antenne testacee con clava o antennomeri 9°-10° scuri, tegumento dorsale interamente o parzialmente microreticolato o striolato, capo con punteggiatura semplice, specie di dimensioni maggiori (lungh. 3.0-3.7 mm) 3

3 Rapporto antennomeri 3°/2° = 1, antenne testacee con clava scura, specie di dimensioni minori (lungh. 3.0 mm). Tegumento dorsale rosso-bruno e con punteggiatura fine e rada; microreticolazione superficiale su capo e pronoto, assente sulle elitre. Formula tarsale ♀ 5-4-4. Capo: fig. 99; spermateca: fig. 863; metafemore della ♀: fig. 1264. Malaysia (Sarawak) . . . . . **capito** Ang.

- Rapporto antennomeri 3°/2° = 1.55, antenne testacee con antennomeri 9°-10° scuri, specie di dimensioni maggiori (lungh. 3.5-3.7 mm). Tegumento dorsale del capo rosso-bruno, pronoto ed elitre nere, interamente con punteggiatura impressa; capo striolato, microreticolazione superficiale su pronoto ed elitre. Formula tarsale ♂ 5-5-4, ♀ 5-4-4. Edeago: fig. 454; spermateca: fig. 864; metafemore del ♂: fig. 1265. Malaysia (Sabah, Sarawak), Indonesia (Sumatra) . . . . . **illustre** Ang. & Dmz.

4 Antenne testacee con antennomeri 7°-10° scuri, rapporto antennomeri 3°/2° = 1. Tegumento dorsale rosso-bruno scuro e con punteggiatura fine e rada; capo uniformemente striolato, microreticolazione superficiale

sul pronoto, poco evidente sulle elitre; antenne del ♂ con clava di 4 articoli. Formula tarsale ♂ 5-5-4, ♀ 5-4-4. Lungh. 3.0-3.2 mm. Capo: fig. 100; edeago: fig. 455; spermateca: fig. 865; metafemore del ♂: fig. 1266; antenna: fig. 6; habitus in visione dorsale e laterale: figg. 22-23. Filippine (Leyte) . . . . . **acridulum** Ang.

- Antenne uniformemente testacee o con antennomeri 4°-9° scuri, rapporto antennomeri 3°/2° = 1.4-1.95.) 5

5 Antenne testacee con antennomeri 4°-9° scuri, rapporto antennomeri 3°/2° = 1.4, specie di dimensioni maggiori (lungh. 3.1-3.35 mm), pronoto con microreticolazione superficiale, antenne del ♂ con clava di 4 articoli (fig. 7). Tegumento dorsale rosso-bruno scuro oppure con elitre nere, interamente con punteggiatura fine e rada; capo striolato, più nettamente sul clipeo, microreticolazione assente o poco evidente sulle elitre;. Formula tarsale ♂ 5-5-4, ♀ 5-4-4. Edeago: fig. 456; spermateca: fig. 866; metafemore del ♂: fig. 1267. Filippine (Leyte) . . . . . **leytense** Ang.

- Antenne uniformemente testacee, rapporto antennomeri 3°/2° = 1.95, specie di dimensioni minori (lungh. 2.6-2.8 mm), pronoto privo di microreticolazione, antenne del ♂ con clava di 3 articoli. Tegumento dorsale nero o con capo e pronoto rosso-bruni, interamente con punteggiatura fine e rada; capo striolato solo sul clipeo, microreticolazione assente su pronoto ed elitre. Formula tarsale ♂ 5-5-4, ♀ 5-4-4. Edeago: fig. 457; spermateca: fig. 867; metafemore del ♂: fig. 1268. Indonesia (Sumatra) . . . . . **montuosum** Ang. & Dmz.

KEY TO THE SPECIES OF THE SUBGENUS *EURYCEBLE* HLISNIKOVSKÝ, 1964

1 Clypeus delimited by a carina 2
- Clypeus delimited only laterally by oblique lateral grooves 4

2 Antennae uniformly testaceous, dorsum without microreticulation or striolation or only with vague traces of microre-

ticulation, head with double puncturation, size smaller (2.75 mm). Spermatheca: fig. 862; female hind femora: fig. 1263. Malaysia (Sarawak) . . . . . **antennatum** Hlisn.

- Antennal club or segments 9°-10° dark, whole dorsum or in part with microreticulation or striolation, head with simple puncturation, size larger (3.0-3.7 mm) 3

3 Ratio of 3rd/2nd antennal segments = 1, antennal club dark, size smaller (3.0 mm). Head: fig. 99; spermatheca: fig. 863; female hind femora: fig. 1264. Malaysia (Sarawak) . . . . . **capito** Ang.

- Ratio of 3rd/2nd antennal segments = 1.55, antennal segments 9°-10° dark, size larger (3.5-3.7 mm). Aedeagus: fig. 454; spermatheca: fig. 864; male hind femora: fig. 1265. Malaysia (Sabah, Sarawak), Indonesia (Sumatra) . . . . . **illustre** Ang. & Dmz.

4 Antennal segments 7°-10° dark, ratio of 3rd/2nd antennal segments = 1. Male antennal club with 4 antennal segments (fig. 6). Length 3.0-3.2 mm. Head: fig. 100; aedeagus: fig. 455; spermatheca: fig. 865; male hind femora: fig. 1266; habitus in dorsal and lateral view: figs. 22-23. Philippines (Leyte) . . . . . **acridulum** Ang.

- Antennae uniformly testaceous or with antennal segments 4°-9° dark, ratio of 3rd/2nd antennal segments = 1.4-1.95 5

5 Antennal segments 4°-9° dark, ratio of 3rd/2nd antennal segments = 1.4, size larger (3.1-3.35 mm), pronotum with superficial microreticulation, male antennal club with 4 antennal segments (fig. 7). Aedeagus: fig. 456; spermatheca: fig. 866; male hind femora: fig. 1267. Philippines (Leyte) . . . . . **leytense** Ang.

- Antennae uniformly testaceous, ratio of 3rd/2nd antennal segments = 1.95, size smaller (2.6-2.8 mm), pronotum without microreticulation, male antennal club with 3 antennal segments. Aedeagus: fig. 457; spermatheca: fig. 867; male hind femora: fig. 1268. Indonesia (Sumatra) . . . . . **montuosum** Ang. & Dmz.

Sottogenere ***Microceble*** Angelini & De Marzo, 1986

Microceble Angelini & De Marzo, 1986a: 439; 1986b: 591; 1986c: 868; 1987: 460; 1989b: 471; 1990: 55; 1993: 442; 1994: 32; 1995a: 248; 1995b: 168; 1998a: 138; 1998b: 368; Angelini, 1990: 250; 1992a: 208; 1992b: 176; 1993a: 204; 1993b: 39; 1995a: 130; 1995b: 192; 1995c: 442; 1996: 10; 1998: 143; 1999a: 923; 1999b: 175; 2000a: 310; 2000b: 150; 2000c: 49; 2002a: 371; Angelini & Cooter, 1993: 71; 1999: 190, 205, 230; 2002: 87; 2003: 20; Angelini & Švec, 1994: 19; 1998: 1; 2002: 6; Hoshina, 1998: 143.

Cyphoceble: Portevin, 1907a: 76.

Neoceble: Portevin, 1937: 131.

Agathidium s. str.: Hlisnikovský, 1972: 131.

Specie tipo: *Agathidium grouvellei* Portevin, 1907a.

Diagnosi. Rapporto di larghezza pronoto/capo da 1,7 a 2,1; clipeo con un breve solco obliquo a ciascun lato oppure delimitato da una cresta arcuata continua o interrotta medialmente; capo con netto ribordo antero-laterale più evidente presso il clipeo e generalmente con una fossetta a ciascun lato; occhi semisferici e protuberanti (figg. 101-113); antenne con clava di tre articoli ma in alcuni casi essa nei ♂ può essere costituita da 5 articoli (*A. taru* Ang. & Dmz. (fig. 8)), oppure da 4 articoli (*A. modiglianii* Ang. (fig. 9), *A. deharvengi* Ang., *A. enigmaticum* Ang. & Cooter, *A. cooteri* Ang. & Dmz. (fig. 10), *A. farkaci* Ang. e *A. wuyishanicum* Ang. & Cooter); elitre con angolo omerale poco accennato e largamente arrotondato (fig. 25); metasterno con linee femorali quasi sempre incomplete e molto spesso prolungate in tubercolo tra le metacoxe.

Discussione. La suddivisione in gruppi di specie è stata operata in base alla presenza sul clipeo di una cresta o di due solchi ed alla presenza/assenza di microreticolazione. Tutte le specie mancano di strie suturali, hanno formula tarsale costante (♂ 5-5-4, ♀ 5-4-4) e quasi il 90% di esse è alata. L'edeago è sempre provvisto di pezzo ventrale ma assume le forme più varie che si possono riscontrare tra gli *Agathidium*, compresa la netta invaginazione dell'apice, aspetto del tutto caratteristico del gruppo *grouvellei*; la spermateca assume ugualmente aspetto assai vario e del tutto particolare in alcuni casi.

Distribuzione geografica. Sottogenere presente nella regione paleartica orientale (Giappone e Cina) con 5 specie e orientale con 117 (119 considerando la Cina paleartica); nella regione orientale è presente in tutte le nazioni ma è più frequente nelle Isole della Sonda.

CHIAVE DICOTOMICA DEI GRUPPI DI SPECIE DEL SOTTOGENERE *MICROCEBLE* ANGELINI & DE MARZO, 1986

1 Clipeo delimitato da una cresta arcuata continua o interrotta medialmente . . . gruppo **maculatum** Angelini & Cooter

- Clipeo delimitato solo da due brevi solchi obliqui 2

2 Dorso microreticolato o striolato . gruppo **grouvellei** Portevin

- Dorso privo di microreticolazione o striolatura . . . . . gruppo **andrewesi** Portevin

KEY TO THE SPECIES GROUPS OF SUBGENUS *MICROCEBLE* ANGELINI & DE MARZO, 1986

1 Clypeus delimited by a carina continuous or interrupted at middle . . . . . **maculatum** Ang. & Cooter group

- Clypeus delimited only laterally by oblique lateral grooves 2

2 Dorsum with microreticulation or striolation. . . . . **grouvellei** Portevin group

- Dorsum without microreticulation or striolation . . . . . **andrewesi** Portevin group

Gruppo ***maculatum*** Angelini & Cooter

Diagnosi. Clipeo delimitato da una cresta arcuata continua o interrotta medialmente; questo carattere lo si riscontra solo in alcune specie del subg. *Euryceble*.

Discussione. Del tutto inusuale è il tipo di distribuzione di questo sottogenere, limitato alle Isole della Sonda con 23 specie e al Giappone con 1 specie.

Distribuzione geografica. Gruppo di specie presente nella regione paleartica orientale (Giappone) con 1 specie e orientale con 23 presenti solo nelle Isole della Sonda.

CHIAVE DICOTOMICA DELLE SPECIE DEL GRUPPO *MACULATUM* ANG. & COOTER

1 Clipeo delimitato da una cresta arcuata continua 2

- Clipeo delimitato da una cresta arcuata interrotta posteriormente 18

2 Dorso non microreticolato 3

- Dorso microreticolato 12

3 Antenne uniformemente testacee 4

- Antenne testacee con alcuni antennomeri scuri 7

4 Rapporto antennomeri 3°/2° = 0.8 5

- Rapporto antennomeri 3°/2° = 1.3-1.4 6

5 Intero tegumento dorsale con microreticolazione appena evidente, edeago in visione dorsale con apice molto largamente arrotondato (fig. 458). Tegumento dorsale rosso-bruno scuro e con punteggiatura fine e rada solo su capo ed elitre, più impressa sul pronoto; rapporto antennomeri 3°/2° = 0.8. Formula tarsale ♂ 5-5-4, ♀ 5-4-4. Lungh. 2.3-2.6. Spermateca: fig. 868; metafemore del ♂: fig. 1269. Malaysia (Sabah, Sarawak) ..... **loeblianum** Ang. & Dmz.

- Intero tegumento dorsale non microreticolato, edeago in visione dorsale con apice più strettamente arrotondato (fig. 459). Tegumento dorsale rosso-bruno e con punteggiatura fine e rada; rapporto antennomeri 3°/2° = 0.8. Formula tarsale ♂ 5-5-4. Lungh. 2.55 mm. Metafemore del ♂: fig. 1270. Malaysia (Malaya) ..... **pileti** Ang. & Dmz.

6 Specie di dimensioni maggiori (lungh. 2.9 mm), edeago in visione dorsale con apice incavato (fig. 460). Tegumento dorsale di capo e pronoto rosso-bruno, elitre più scure, interamente privo di microreticolazione e con punteggiatura fine, più evidente sul capo; rapporto antennomeri 3°/2° = 1.3. Formula tarsale ♂ 5-5-4. Capo: fig. 101; metafemore del ♂: fig. 1271. Malaysia (Sarawak) ..... **kuchingense** Ang.

- Specie di dimensioni minori (lungh. 2.6 mm), edeago in visione dorsale con apice largamente arrotondato (fig. 461).

Tegumento dorsale nero, ciascuna elitra con una macchia omerale rossa, interamente privo di microreticolazione e con punteggiatura impressa; rapporto antennomeri 3°/2° = 1.4. Formula tarsale ♂ 5-5-4. Metafemore del ♂: fig. 1272. Malaysia (Sarawak) . . . . . **maculatum** Ang. & Cooter

7 Rapporto antennomeri 3°/2° = 0.6-0.75 8

- Rapporto antennomeri 3°/2° = 1-1.45 9

8 Rapporto antennomeri 3°/2° = 0.6, elitre con microreticolazione appena evidente, capo con punteggiatura doppia, rapporto pronoto/capo = 1.9. Tegumento dorsale del capo rosso-bruno, pronoto ed elitre nere; microreticolazione assente su capo e pronoto; punteggiatura fine e rada su pronoto ed elitre; antenne testacee con antennomeri 9°-10° scuri. Formula tarsale ♂ 5-5-4, ♀ 5-4-4. Lungh. 2.1-2.5 mm. Edeago: fig. 462; spermateca: fig. 869; metafemore del ♂: fig. 1273. Indonesia (Sumatra, Giava), Malaysia (Sabah, Sarawak), Filippine (Leyte) . . . . . **crockerense** Ang. & Dmz.

- Rapporto antennomeri 3°/2° = 0.75, elitre lisce, capo con punteggiatura semplice, rapporto pronoto/capo = 1.73. Tegumento dorsale rosso-bruno, privo di microreticolazione e con punteggiatura fine e rada, poco visibile; antenne testacee con antennomeri 9°-10° e metà apicale del 7°-8° più scuri. Formula tarsale ♂ 5-5-4, ♀ 5-4-4. Lungh. 2.3-2.5 mm. Edeago: fig. 463; spermateca: fig. 870; metafemore del ♂: fig. 1274. Malaysia (Sabah) . . . . . **malignum** Ang. & Dmz.

9 Rapporto antennomeri 3°/2° = 1.45, antenne testacee con antennomeri 7°-11° scuri. Tegumento dorsale nero, privo di microreticolazione e con punteggiatura fine su capo e pronoto, più impressa sulle elitre. Formula tarsale ♂ 5-5-4, ♀ 5-4-4. Lungh. 2.6-2.7 mm. Edeago: fig. 464; spermateca: fig. 871; metafemore del ♂: fig. 1275. Malaysia (Sabah) . . . . . **optatum** Ang. & Dmz.

- Rapporto antennomeri 3°/2° = 1-1.1, antenne testacee con antennomeri 8°-10° o 9°-11° o 9°-10° scuri 10

10 Antenne testacee con antennomeri 8°-10° scuri. Tegumento dorsale nero con una o due macchie rosse sul pronoto e una su ciascuna elitra estesa dagli omeri all'apice oppure uniformemente nero; microreticolazione assente; punteggiatura fine ma impressa sull'intero dorso; rapporto antennomeri 3°/2° = 1. Formula tarsale ♂ 5-5-4, ♀ 5-4-4. Lungh. 2.5-2.9 mm. Edeago: fig. 465; spermateca: fig. 872; metafemore del ♂: fig. 1276. Malaysia (Sabah, Sarawak) . . . . . **quadrimaculatum** Ang. & Dmz.

- Antenne testacee con antennomeri 9°-11° o 9°-10° scuri 11

11 Antenne testacee con antennomeri 9°-11° scuri, rapporto pronoto/capo = 1.7, elitre con microreticolazione appena evidente, edeago in visione dorsale con parameri fortemente dilatati verso l'apice (fig. 466). Tegumento dorsale rosso-bruno e con punteggiatura fine sul capo, più impressa su pronoto ed elitre; microreticolazione assente, solo vaghe tracce sulle elitre; rapporto antennomeri 3°/2° = 1. Formula tarsale ♂ 5-5-4, ♀ 5-4-4. Lungh. 2.2-2.5 mm. Spermateca: fig. 873; metafemore del ♂: fig. 1277. Indonesia (Sumatra) . . . . . **abiectum** Ang. & Dmz.

- Antenne testacee con antennomeri 9°-10° scuri, rapporto pronoto/capo = 1.85, elitre non microreticolate, edeago in visione dorsale con parameri uniformemente ristretti verso l'apice (fig. 467). Tegumento dorsale rosso-bruno scuro, privo di microreticolazione e con punteggiatura fine e rada; rapporto antennomeri 3°/2° = 1.1. Formula tarsale ♂ 5-5-4, ♀ 5-4-4. Lungh. 2.3-2.9 mm. Spermateca: fig. 874; metafemore del ♂: fig. 1278. Malaysia (Sabah, Sarawak) . . . . . **nebulosum** Ang. & Dmz.

12 Antenne uniformemente testacee, capo striolato solo sul clipeo, elitre prive di punteggiatura. Tegumento dorsale rosso-bruno; microreticolazione assente su pronoto ed elitre; punteggiatura fine ma impressa sul capo, superficiale sul pronoto, assente sulle elitre; rapporto antennomeri 3°/2° = 1.4. Formula tarsale ♂ 5-5-4. Lungh. 2.65 mm. Edeago: fig. 468; metafemore del ♂: fig. 1279. Malaysia (Sabah) . . . . . **recurvum** Ang.

- Antenne testacee con alcuni antennomeri scuri, capo microreticolato, elitre con punteggiatura 13

13 Rapporto antennomeri 3°/2° = 0.75. Tegumento dorsale rosso-bruno scuro o nero con lati più chiari; microreticolazione superficiale, presente solo sul capo; punteggiatura impressa sul capo, più fine sul pronoto ed elitre; antenne testacee con antennomeri 9°-10° più scuri. Formula tarsale ♂ 5-5-4, ♀ 5-4-4. Lungh. 2.1-2.5 mm. Capo: fig. 102; edeago: fig. 469; spermateca: fig. 875; metafemore del ♂: fig. 1280. Malaysia (Sabah, Sarawak) . . **sabahense** Ang. & Dmz

- Rapporto antennomeri 3°/2° = 1-1.5 14

14 Rapporto antennomeri 3°/2° = 1. Tegumento dorsale rosso-bruno scuro o nero e con punteggiatura fine e rada; microreticolazione superficiale sul capo, poco evidente su pronoto ed elitre; antenne testacee con antennomeri 9°-10° più scuri. Formula tarsale ♂ 5-5-4. Lungh. 2.45-2.65 mm. Edeago: fig. 470; spermateca: fig. 876; metafemore del ♂: fig. 1281. Malaysia (Sabah, ? Sarawak). . . . . **aequale** Ang. & Dmz.

- Rapporto antennomeri 3°/2° = 1.15-1.5 15

15 Antenne testacee con antennomeri 9°-10° scuri, capo con microreticolazione appena evidente. Tegumento dorsale rosso-bruno; microreticolazione poco evidente sul capo, superficiale sul pronoto, assente sulle elitre; punteggiatura microscopica e rada su capo e pronoto, più evidente sulle elitre; rapporto antennomeri 3°/2° = 1.15. Formula tarsale ♂ 5-5-4, ♀ 5-4-4. Lungh. 2.85 mm. Edeago: fig. 471; spermateca: fig. 877; metafemore del ♂: fig. 1282. Malaysia (Sabah) . . . . . **elongatum** Ang.

- Antenne testacee con antennomeri 7°-11° o 7°-10° o 8°-10° scuri, capo con microreticolazione superficiale. 16

16 Antenne testacee con antennomeri 7°-11° scuri, rapporto antennomeri 3°/2° = 1.2, specie di dimensioni minori (lungh. 2.4-2.45 mm), pronoto con microreticolazione appena evidente. Tegumento dorsale nero; microreticola-

zione superficiale sul capo, assente sulle elitre; punteggiatura fine ma evidente su capo e pronoto, più impressa sulle elitre. Formula tarsale ♂ 5-5-4. Edeago: fig. 472; metafemore del ♂: fig. 1283. Malaysia (Sabah, Sarawak) .... **indefinitum** Ang. & Dmz.

- Antenne testacee con antennomeri 7°-10° o 8°-10° scuri, rapporto antennomeri 3°/2° = 1.45-1.5, specie di dimensioni maggiori (lungh. 2.95-3.0 mm), pronotocon microreticolazione superficiale 17

17 Antenne testacee con antennomeri 7°-10° scuri, rapporto pronoto/capo = 1.76, pronoto discretamente trasverso (rapp. la/lu = 1.51), tegumento dorsale uniformemente nero, edeago in visione dorsale con apice incavato (fig. 473). Microreticolazione superficiale ma uniforme su capo e pronoto, assente sulle elitre; punteggiatura fine e rada sull'intero dorso; rapporto antennomeri 3°/2° = 1.5. Formula tarsale ♂ 5-5-4. Lungh. 2.95 mm. Metafemore del ♂: fig. 1284. Malaysia (Sarawak) ..... **magnificum** Ang.

- Antenne testacee con antennomeri 8°-10° scuri, rapporto pronoto/capo = 1.94, pronoto poco trasverso (rapp. la/lu = 1.36), tegumento dorsale rosso-bruno, edeago in visione dorsale con apice largamente arrotondato (fig. 474). Microreticolazione superficiale su capo e pronoto, poco evidente sulle elitre; punteggiatura fine e rada sull'intero dorso; rapporto antennomeri 3°/2° = 1.45. Formula tarsale ♂ 5-5-4. Lungh. 3.0 mm. Metafemore del ♂: fig. 1285. Malaysia (Sabah) ..... **aeternum** Ang. & Dmz.

18 Antenne uniformemente testacee 19

- Antenne testacee con antennomeri 9°-10° scuri 22

19 Rapporto antennomeri 3°/2° = 1.3. Tegumento dorsale rosso-bruno e con punteggiatura impressa e fitta; microreticolazione superficiale su capo e pronoto, poco evidente sulle elitre. Formula tarsale ♂ 5-5-4, ♀ 5-4-4. Lungh. 2.1-2.5 mm. Capo: fig. 103; edeago: fig. 475; spermateca: fig. 878; metafemore del ♂: fig. 1286. Malaysia (Sabah)..... ..... **xerampelinum** Ang. & Dmz.

- Rapporto antennomeri 3°/2° = 0.9-1.1 20

20 Rapporto antennomeri 3°/2° = 0.9, rapporto pronoto/capo = 1.92, pronoto discretamente trasverso (rapp. la/lu = 1.41), edeago in visione dorsale con apice tronco (fig. 476). Tegumento dorsale rosso-bruno scuro; microreticolazione superficiale sul capo, poco evidente sul pronoto, assente sulle elitre; punteggiatura fine e rada su capo e pronoto, pressoché assente sulle elitre. Formula tarsale ♂ 5-5-4, ♀ 5-4-4. Lungh. 2.5-3.15 mm. Spermateca: fig. 879; metafe more del ♂: fig. 1287. Malaysia (Sabah, Sarawak) . . . . . **arcuatum** Ang. & Cooter

- Rapporto antennomeri 3°/2° = 1-1.1, rapporto pronoto/capo = 1.75-1.83, pronoto poco trasverso (rapp. la/lu = 1.21-1.33), edeago in visione dorsale con apice largamente arrotondato (figg. 477-478) 21

21 Pronoto con microreticolazione superficiale, rapporto antennomeri 3°/2° = 1, specie di dimensioni minori (lungh. 2.9 mm) e delle Filippine (Luzon, Palawan). Tegumento dorsale rosso-bruno; microreticolazione superficiale su capo e pronoto, appena evidente sulle elitre; punteggiatura fine e rada sul capo e sul pronoto, microscopica sulle elitre. Formula tarsale ♂ 5-5-4. Capo: fig. 104; edeago: fig. 477; metafemore del ♂: fig. 1288 . . . . . **semiarcuatum** Ang.

- Pronoto con microreticolazione poco evidente, rapporto antennomeri 3°/2° = 1.1, specie di dimensioni maggiori (lungh. 3.5 mm) e della Malaysia (Sabah). Tegumento dorsale di capo e pronoto rosso-bruno, elitre più scure, interamente con punteggiatura fine e rada; microreticolazione superficiale sul capo, assente sulle elitre. Formula tarsale ♂ 5-5-4. Edeago: fig. 478; metafemore del ♂: fig. 1289 . . . . . **obesum** Ang.

22 Rapporto antennomeri 3°/2° = 1, specie di dimensioni minori (lungh. 2.2-2.6 mm), capo e pronoto con microreticolazione superficiale. Tegumento dorsale uniformemente rosso-bruno o con elitre nere sul disco; microreticolazione assente sulle elitre; punteggiatura fine sul capo, più evidente sul pronoto e sulle elitre. Formula tarsale ♂ 5-5-4, ♀ 5-4-4. Edeago:

fig. 479; spermateca: fig. 880; metafemore del ♂: fig. 1290. Malaysia (Sabah) . . . . . **interruptum** Ang. & Dmz.

- Rapporto antennomeri 3°/2° = 1.18, specie di dimensioni maggiori (lungh. 3.05 mm), capo e pronoto non microreticolati. Tegumento dorsale nero, privo di microreticolazione e con punteggiatura fine e rada solo su capo e pronoto. Formula tarsale ♀ 5-4-4. Spermateca: fig. 881; metafemore della ♀: fig. 1291. Indonesia (Sulawesi) . . . . . **wallacei** Ang. & Cooter

KEY TO THE SPECIES OF THE *MACULATUM* ANG. & COOTER GROUP

1 Clypeal carina entire 2

- Clypeal carina interrupted posteriorly 18

2 Dorsum without microreticulation 3

- Dorsum with microreticulation 12

3 Antennae uniformly testaceous 4

- Antennal club or some segments dark 7

4 Ratio of 3rd/2nd antennal segments = 0.8 5

- Ratio of 3rd/2nd antennal segments = 1.3-1.4 6

5 Whole dorsum with microreticulation hardly evident, aedeagus in dorsal view with apex broadly rounded (fig. 458). Length 2.3-2.6. Spermatheca: fig. 868; male hind femora: fig. 1269. Malaysia (Sabah, Sarawak) . . . . . **loeblianum** Ang. & Dmz.

- Whole dorsum without microreticulation, aedeagus in dorsal view with apex strongly rounded (fig. 459). Length 2.55 mm. Male hind femora: fig. 1270. Malaysia (Malaya) . . . . . **pileti** Ang. & Dmz.

6 Size larger (2.9 mm), aedeagus in dorsal view with apex emarginate (fig. 460). Head: fig. 101; male hind femora: fig. 1271. Malaysia (Sarawak) . . . . . **kuchingense** Ang.

- Size smaller (2.6 mm), aedeagus in dorsal view with rounded apex (fig. 461). Male hind femora: fig. 1272. Malaysia (Sarawak) . . . . . **maculatum** Ang. & Cooter

7 Ratio of 3rd/2nd antennal segments = 0.6-0.75 8

- Ratio of 3rd/2nd antennal segments = 1-1.45 9

8 Ratio of 3rd/2nd antennal segments = 0.6, elytra with microreticulation hardly evident, head with double puncturation, width ratio of pronotum/head = 1.9. Length 2.1-2.5 mm. Aedeagus: fig. 462; spermatheca: fig. 869; male hind femora: fig. 1273. Indonesia (Sumatra, Java), Malaysia (Sabah, Sarawak), Philippines (Leyte) . . . . . **crockerense** Ang. & Dmz.

- Ratio of 3rd/2nd antennal segments = 0.75, elytra without microreticulation, head with simple puncturation, width ratio of pronotum/head = 1.73. Length 2.3-2.5 mm. Aedeagus: fig. 463; spermatheca: fig. 870; male hind femora: fig. 1274. Malaysia (Sabah) . . . . . **malignum** Ang. & Dmz.

9 Ratio of 3rd/2nd antennal segments = 1.45, antennal segments 7°-11° dark. Length 2.6-2.7 mm. Aedeagus: fig. 464; spermatheca: fig. 871; male hind femora: fig. 1275. . . . . Malaysia (Sabah) . . . . . **optatum** Ang. & Dmz.

- Ratio of 3rd/2nd antennal segments = 1-1.1, Antennal segments 8°-10° or 9°-11° or 9°-10° dark 10

10 Antennal segments 8°-10° dark. Length 2.5-2.9 mm. Aedeagus: fig. 465; spermatheca: fig. 872; male hind femora: fig. 1276. Malaysia (Sabah, Sarawak) . . . . . **quadrimaculatum** Ang. & Dmz.

- Antennal segments 9°-11° or 9°-10° dark 11

11 Antennal segments 9°-11° dark, width ratio of pronotum/head = 1.7, elytra with microreticulation hardly evident, aedeagus in dorsal view with parameres very dilated at apex (fig. 466). Length 2.2-2.5 mm. Spermatheca: fig. 873 male hind femora: fig. 1277. Indonesia (Sumatra). . . . . **abiectum** Ang. & Dmz.

- Antennal segments 9°-10° dark, width ratio of pronotum/head = 1.85, elytra without microreticulation, aedeagus in dorsal view with parameres uniformly narrowed to apex (fig. 467). Length 2.3-2.9 mm. Spermatheca: fig. 874; male hind femora: fig. 1278. Malaysia (Sabah, Sarawak) . . . . . **nebulosum** Ang. & Dmz.

12 Antennae uniformly testaceous, head striolate only on clypeus, elytra without puncturation. Length 2.65 mm. Aedeagus: fig. 468; male hind femora: fig. 1279. Malaysia (Sabah) . . . . . **recurvum** Ang.

- Antennal club or some segments dark, head with microreticulation, elytra with puncturation 13

13 Ratio of 3rd/2nd antennal segments = 0.75. Length 2.1-2.5 mm. Head: fig. 102; aedeagus: fig. 469; spermatheca: fig. 875; male hind femora: fig. 1280. Malaysia (Sabah, Sarawak) . . . . . **sabahense** Ang. & Dmz

- Ratio of 3rd/2nd antennal segments = 1-1.5 14

14 Ratio of 3rd/2nd antennal segments = 1. Length 2.45-2.65 mm. Aedeagus: fig. 470; spermatheca: fig. 876; male hind femora: fig. 1281. Malaysia (Sabah, ? Sarawak) . . . . . **aequale** Ang. & Dmz.

- Ratio of 3rd/2nd antennal segments = 1.15-1.5 15

15 Antennal segments 9°-10° dark, head with microreticulation weak, hardly evident. Length 2.85 mm. Aedeagus: fig. 471; spermatheca: fig. 877; male hind femora: fig. 1282. Malaysia (Sabah) . . . . . **elongatum** Ang.

- Antennal segments 7°-11° or 7°-10° or 8°-10° dark, head with superficial microreticulation 16

16 Antennal segments 7°-11° dark, ratio of 3rd/2nd antennal segments = 1.2, size smaller (2.4-2.45 mm), pronotum with microreticulation weak, hardly evident. Aedeagus: fig. 472; male hind femora: fig. 1283. Malaysia (Sabah, Sarawak) . . . . . **indefinitum** Ang. & Dmz.

- Antennal segments 7°-10° or 8°-10° dark, ratio of 3rd/2nd antennal segments = 1.45-1.5, size larger (2.95-3.0 mm), pronotum with superficial microreticulation 17

17 Antennal segments 7°-10° dark, width ratio of pronotum/head = 1.76, pronotum moderately broader than long (ratio width/length = 1.51), dorsum uniformly black, aedeagus in dorsal view with apex emarginate (fig. 473). Length 2.95 mm. Male hind femora: fig. 1284. Malaysia (Sarawak) . . . . . **magnificum** Ang.

- Antennal segments 8°-10° dark, width ratio of pronotum/head = 1.94, pronotum very slightly broader than long (ratio width/length = 1.36), dorsum reddish-brown, aedeagus in dorsal view with rounded apex (fig. 474). Length 3.0 mm. Male hind femora: fig. 1285. Malaysia (Sabah) . . . . . **aeternum** Ang. & Dmz.

18 Antennae uniformly testaceous 19

- Antennal segments 9°-10° dark 22

19 Ratio of 3rd/2nd antennal segments = 1.3. Length 2.1-2.5 mm. Head: fig. 103; aedeagus: fig. 475; spermatheca: fig. 878; male hind femora: fig. 1286. Malaysia (Sabah) . . . . . **xerampelinum** Ang. & Dmz.

- Ratio of 3rd/2nd antennal segments = 0.9-1.1 20

20 Ratio of 3rd/2nd antennal segments = 0.9, width ratio of pronotum/head = 1.92, pronotum moderately broader than long (ratio width/length = 1.41), aedeagus in dorsal view with truncate apex (fig. 476). Length 2.5-3.15 mm. Spermatheca: fig. 879; male hind femora: fig. 1287. Malaysia (Sabah, Sarawak) . . . . . **arcuatum** Ang. & Cooter

- Ratio of 3rd/2nd antennal segments = 1-1.1, width ratio of pronotum/head = 1.75-1.83, pronotum less broader than long (ratio width/length = 1.21-1.33), aedeagus in dorsal view with rounded apex (figs. 477-478) 21

21 Pronotum with superficial microreticulation, ratio of 3rd/2nd antennal segments = 1, size smaller (2.9 mm), Philippines (Luzon, Palawan). Head: fig. 104; aedeagus: fig. 477; male hind femora: fig. 1288 . . . . . **semiarcuatum** Ang.

- Pronotum with only traces of the microreticulation, ratio of 3rd/2nd antennal segments = 1.1, size larger (3.5 mm), Malaysia (Sabah). Aedeagus: fig. 478; male hind femora: fig. 1289 . . . . . **obesum** Ang.

22 Ratio of 3rd/2nd antennal segments = 1, size smaller (2.2-2.6 mm), head and pronotum with superficial microreticulation. Aedeagus: fig. 479; spermatheca: fig. 880; male hind femora: fig. 1290. Malaysia (Sabah) . . . . . **interruptum** Ang. & Dmz.

- Ratio of 3rd/2nd antennal segments = 1.18, size larger (3.05 mm), head and pronotum without microreticulation. Spermatheca: fig. 881; female hind femora: fig. 1291. Indonesia (Sulawesi) . . . . . **wallacei** Ang. & Cooter

Gruppo ***grouvellei*** Portevin

Diagnosi. Clipeo delimitato a ciascun lato da un solco obliquo, capo interamente o parzialmente striolato o microreticolato, pronoto ed elitre più raramente microreticolate.

Discussione. Nell'ambito del sottogenere *Microceble* è il gruppo con maggior numero di specie. Esso annovera inoltre l'unica specie dell'intero sottogenere con distribuzione molto ampia (*A. laticorne* Port.). Peculiarità quasi esclusiva di questo gruppo è la forma dell'edeago che, in visione dorsale, presenta un'accentuata invaginazione all'apice.

Distribuzione geografica. Gruppo di specie presente solo nella regione paleartica con 1 specie (Cina: Sichuan) e orientale con 49 (50 considerando la Cina paleartica) diffuse in tutte le nazioni tranne il Giappone (Ryukyus).

CHIAVE DICOTOMICA DELLE SPECIE E DELLE SOTTOSPECIE DEL GRUPPO *GROUVELLEI* PORTEVIN

1 Capo striolato solo sul clipeo 2

- Capo striolato nella metà anteriore o interamente o solo con microreticolazione 15

2 Antenne uniformemente testacee 3

- Antenne testacee con alcuni antennomeri scuri 5

3 Rapporto antennomeri 3°/2° = 1.05, rapporto pronoto/capo = 2. Tegumento dorsale rosso-bruno scuro e con punteggiatura fine e rada; solo il clipeo striolato. Formula tarsale ♂ 5-5-4, ♀ 5-4-4. Lungh. 2.6-2.85 mm. Edeago: fig. 480; spermateca: fig. 882; metafemore del ♂: fig. 1292. Singapore, Vietnam . . . . . **saundersi** Ang. & Cooter

- Rapporto antennomeri 3°/2° = 1.6-1.7, rapporto pronoto/capo = 1.8 4

4 Tegumento dorsale uniformemente nero, ali metatoraciche presenti, metafemori del ♂ dilatati al margine posteriore (fig. 1293). Solo il clipeo striolato; punteggiatura fine e rada sull'intero dorso; rapporto antennomeri 3°/2° = 1.6. Formula tarsale ♂ 5-5-4, ♀ 5-4-4. Lungh. 2.5-2.8 mm. Edeago: fig. 481; spermateca: fig. 883. Thailandia. . . . . **silvarum** Ang. & Dmz.

- Tegumento dorsale uniformemente rosso-bruno, ali metatoraciche assenti, metafemori del ♂ non dilatati al margine posteriore (fig. 1294). Solo il clipeo con superficiale striolatura; punteggiatura fine e rada sull'intero dorso; rapporto antennomeri 3°/2° = 1.7. Formula tarsale ♂ 5-5-4, ♀ 5-4-4. Lungh. 2.8-2.9 mm. Edeago: fig. 482; spermateca: fig. 884. Nepal . . . . . **rama** Ang. & Dmz.

5 Elitre con microreticolazione impressa. Tegumento dorsale nero e con punteggiatura impressa; microreticolazione superficiale su capo e pronoto, clipeo striolato; antenne testacee con antennomeri 9°-10° scuri; rapporto antennomeri 3°/2° = 1.4. Formula tarsale ♂ 5-5-4. Lungh. 4.1 mm. Edeago: fig. 483; metafemore del ♂: fig. 1295. Cina (Yunnan) . . . . . **melanarium** Ang. & Švec

- Elitre lisce o con microreticolazione appena evidente 6

6 Pronoto con microreticolazione uniforme e superficiale. Tegumento dorsale nero, apice delle elitre rosso-bruno, punteggiatura fine e rada; capo striolato sul clipeo, micro-

reticolato altrove, elitre con microreticolazione appena evidente; antenne testacee con antennomeri 9°-10° scuri; rapporto antennomeri 3°/2° = 1.1. Formula tarsale ♂ 5-5-4, ♀ 5-4-4. Lungh. 2.6-3.0 mm. Capo in visione dorsale e laterale: figg. 105-106; edeago: fig. 484; spermateca: fig. 885; metafemore del ♂: fig. 1296. Malaysia (Malaya) . . . . . **pahangense** Ang.

- Pronoto liscio o con microreticolazione appena evidente . . 7

7 Antenne testacee con antennomeri 4°-10° scuri. Tegumento dorsale nero e con punteggiatura fine e rada; solo il capo striolato sul clipeo; rapporto antennomeri 3°/2° = 1.6. Formula tarsale ♂ 5-5-4, ♀ 5-4-4. Lungh. 2.4-2.6 mm. Edeago: fig. 485; spermateca: fig. 886; metafemore del ♂: fig. 1297. Indonesia (Giava) . **javanicum** Ang. & Dmz.

- Antenne testacee con antennomeri scuri a partire al massimo dal 6° 8

8 Antenne testacee con antennomeri 6°-10° scuri. Tegumento dorsale nero e con punteggiatura fine e rada; capo con striolatura superficiale solo sul clipeo, elitre con microreticolazione poco evidente; rapporto antennomeri 3°/2° = 1.5. Formula tarsale ♂ 5-5-4. Lungh. 2.7-2.8 mm. Edeago: fig. 486; metafemore del ♂: fig. 1298. Malaysia (Malaya) . . . . . **gentingense** Ang. & Dmz.

- Antenne testacee con antennomeri 7°-11° o 7°-10° o 9°-10° scuri 9

9 Antenne testacee con antennomeri 7°-11° scuri. Tegumento dorsale rosso-bruno e con punteggiatura fine e rada; solo il clipeo con striolatura superficiale; rapporto antennomeri 3°/2° = 1.5. Formula tarsale ♂ 5-5-4, ♀ 5-4-4. Lungh. 2.7-3.2 mm. Edeago: fig. 487; spermateca: fig. 887; metafemore del ♂: fig. 1299. Taiwan . . . . . **klapperichi** Ang. & Dmz.

- Antenne testacee con antennomeri 7°-10° o 9°-10° scuri . . 10

10 Antenne testacee con antennomeri 7°-10° scuri 11

- Antenne testacee con antennomeri 9°-10° scuri 13

11 Rapporto antennomeri 3°/2° = 1.56, rapporto pronoto/capo = 1.65, ali metatoraciche assenti. Tegumento dorsale uniformemente nero o con capo e pronoto rosso-bruno ed elitre nere; capo striolato solo sul clipeo, microreticolazione poco evidente sulle elitre; punteggiatura fine e rada su capo e pronoto, pressoché assente sulle elitre. Formula tarsale ♂ 5-5-4, ♀ 5-4-4. Lungh. 2.7-2.8 mm. Edeago: fig. 488; spermateca: fig. 888; metafemore del ♂: fig. 1300. Indonesia (Giava) . . . . . **monticola** Ang. & Dmz.

- Rapporto antennomeri 3°/2° = 1.2-1.3, rapporto pronoto/capo = 1.73-1.82, ali metatoraciche presenti 12

12 Intero tegumento dorsale con punteggiatura fine e rada, elitre con microreticolazione appena evidente, edeago in visione dorsale con apice fortemente incavato (fig. 489); specie dell'Indonesia (Sumatra). Tegumento dorsale rosso-bruno o nero; clipeo con striolatura superficiale, pronoto con microreticolazione poco evidente; rapporto antennomeri 3°/2° = 1.3. Formula tarsale ♂ 5-5-4, ♀ 5-4-4. Lungh. 2.6-2.85 mm. Spermateca: fig. 889; metafemore del ♂: fig. 1301 . . . . . **schillhammeri** Ang.

- Elitre prive di punteggiatura e non microreticolate, edeago in visione dorsale con apice arrotondato (fig. 490); specie della Cina (Yunnan). Tegumento dorsale rosso-bruno, elitre più scure; capo striolato solo sul clipeo, pronoto con microreticolazione poco evidente; punteggiatura fine e rada su capo e pronoto, assente sulle elitre; rapporto antennomeri 3°/2° = 1.2. Formula tarsale ♂ 5-5-4, ♀ 5-4-4. Lungh. 2.65-2.8 mm. Capo: fig. 107; spermateca: fig. 890; metafemore del ♂: fig. 1302 . . . . . **corticinum** Ang. & Dmz.

13 Rapporto antennomeri 3°/2° = 1.5, rapporto pronoto/capo = 1.97, pronoto discretamente trasverso (rapp. la/lu = 1.56). Tegumento dorsale uniformemente nero e con punteggiatura impressa ma fine e rada; capo striolato sul clipeo, restante dorso, pronoto ed elitre con microreticolazione appena evidente. Formula tarsale ♂ 5-5-4, ♀ 5-4-4. Lungh. 2.6-3.0 mm. Edeago: fig. 491; spermateca: fig. 891; metafemore del ♂: fig. 1303. Malaysia (Malaya) . . . . . **simum** Ang. & Dmz.

- Rapporto antennomeri 3°/2° = 1.2-1.3, rapporto pronoto/capo = 1.7-1.8, pronoto poco trasverso (rapp. la/lu = 1.33-1.42) 14

14 Pronoto ed elitre con microreticolazione appena evidente. Tegumento dorsale rosso-bruno scuro e con punteggiatura fine e rada; capo striolato solo sul clipeo; rapporto antennomeri 3°/2° = 1.2. Formula tarsale ♂ 5-5-4, ♀ 5-4-4. Lungh. 2.5-2.6 mm. Edeago: fig. 492; spermateca: fig. 892; metafemore del ♂: fig. 1304. Indonesia (Sumatra) ..... **vulneratum** Ang. & Dmz.

- Pronoto ed elitre non microreticolate. Tegumento dorsale nero o rosso-bruno con lati più chiari; striolatura presente solo sul clipeo; punteggiatura fine e rada su capo e pronoto, più evidente sulle elitre; rapporto antennomeri 3°/2° = 1.3. Formula tarsale ♂ 5-5-4, ♀ 5-4-4. Lungh. 2.4-2.6 mm. Edeago: fig. 493; spermateca: fig. 893; metafemore del ♂: fig. 1305. Thailandia, Myanmar, ? Vietnam ..... **infuscatum** Ang. & Dmz.

15 Capo striolato nella metà anteriore 16

- Capo interamente striolato o microreticolato 21

16 Antenne uniformemente testacee 17

- Antenne testacee con antennomeri 9°-11° o 6°-10° o 7°-10° scuri 18

17 Specie di dimensioni minori (lungh. 2.65-2.85 mm), elitre non microreticolate, ali metatoraciche assenti. Tegumento dorsale di capo e del pronoto rosso-bruno, elitre più scure, interamente con punteggiatura fine e rada; rapporto antennomeri 3°/2° = 1.7. Formula tarsale ♂ 5-5-4. Edeago: fig. 494; metafemore del ♂: fig. 1306. Nepal ..... **gracile** Ang. & Dmz.

- Specie di dimensioni maggiori (lungh. 3.0 mm), elitre con microreticolazione appena evidente, ali metatoraciche vestigiali. Tegumento dorsale rosso-bruno e con punteggiatura fine e rada; rapporto antennomeri 3°/2° = 1.6. Formula tarsale ♂ 5-5-4. Edeago: fig. 495; metafemore del ♂: fig. 1307. Nepal ..... **immodicum** Ang. & Dmz.

18 Antenne testacee con antennomeri 9°-11° o 6°-10° scuri, clava antennale del ♂ costituita da 4 o 5 antennomeri (figg. 8-9) 19

- Antenne testacee con antennomeri 7°-10° scuri, clava antennale del ♂ costituita da 3 antennomeri 20

19 Antenne testacee con antennomeri 9°-11° scuri, clava antennale del ♂ costituita da 5 antennomeri (fig. 8). Tegumento dorsale rosso-bruno o con elitre nere, interamente con punteggiatura impressa e rada; rapporto antennomeri 3°/2° = 1.4. Formula tarsale ♂ 5-5-4, ♀ 5-4-4. Lungh. 3.3-3.75 mm. Edeago: fig. 496; spermateca: fig. 894; metafemore del ♂: fig. 1308. Nepal . . . . . **taru** Ang. & Dmz.

- Antenne testacee con antennomeri 6°-10° scuri, clava antennale del ♂ costituita da 4 antennomeri (fig. 9). Tegumento dorsale di capo ed elitre rosso-bruno, pronoto più scuro, interamente con punteggiatura fine e rada; rapporto antennomeri 3°/2° = 1.4. Formula tarsale ♂ 5-5-4, ♀ 5-4-4. Lungh. 3.1-3.35 mm. Edeago: fig. 497; spermateca: fig. 895; metafemore del ♂: fig. 1309. Thailandia, Malaysia (Sabah), Indonesia (Sumatra) . . . . . **modiglianii** Ang.

20 Specie di dimensioni maggiori (lungh. 4.05-4.3 mm), rapporto antennomeri 3°/2° = 1.7, rapporto pronoto/capo = 2. Tegumento dorsale rosso-bruno e con punteggiatura fine e rada su capo e pronoto, più impressa e fitta sulle elitre. Formula tarsale ♂ 5-5-4, ♀ 5-4-4. Edeago: fig. 498; spermateca: fig. 896; metafemore del ♂: fig. 1310. India (Kumaon), Nepal . . . . . **maculicolle** Champion

- Specie di dimensioni minori (lungh. 2.4-2.7 mm), rapporto antennomeri 3°/2° = 1.5, rapporto pronoto/capo = 1.74. Tegumento dorsale uniformemente nero o con capo e pronoto rosso-bruni ed elitre nere; punteggiatura costituita da punti grandi ma superficiali sull'intero dorso. Formula tarsale ♂ 5-5-4, ♀ 5-4-4. Edeago: fig. 499; spermateca: fig. 897; metafemore del ♂: fig. 1311. Indonesia (Sumatra) . . . . . **fumosum** Ang. & Dmz.

21 Capo interamente striolato 22

- Capo microreticolato 46

22 Pronoto non microreticolato o solo con vaghe tracce 23

- Pronoto con microreticolazione impressa o superficiale e uniforme 38

23 Elitre con microreticolazione superficiale. Tegumento dorsale di capo ed elitre rosso-bruno, pronoto nero, interamente con punteggiatura fine e rada; capo con striolatura superficiale e uniforme, elitre con microreticolazione superficiale presso lo scutello; antenne testacee con antennomeri 8°-10° scuri; rapporto antennomeri 3°/2° = 1.2; clava antennale del ♂ costituita da 4 antennomeri. Formula tarsale ♂ 5-5-4. Lungh. 3.05-3.35 mm. Edeago: fig. 500; metafemore del ♂: fig. 1312. Filippine (Luzon, Mindanao) . **deharvengi** Ang.

- Elitre prive di microreticolazione o solo con vaghe tracce 24

24 Antenne uniformemente testacee, clava antennale del ♂ costituita da 4 antennomeri. Tegumento dorsale di capo ed elitre rosso-bruno, pronoto nero con lati più chiari, interamente con punteggiatura fine e rada; solo il capo con striolatura superficiale; rapporto antennomeri 3°/2° = 1.9. Formula tarsale ♂ 5-5-4. Lungh. 3.15 mm. Edeago: fig. 501; metafemore del ♂: fig. 1313. Indonesia (Sulawesi), ? Malaysia (Sabah) . . . . . **enigmaticum** Ang. & Cooter

- Antenne testacee con alcuni antennomeri scuri, clava antennale del ♂ di 3 antennomeri 25

25 Antenne testacee con antennomeri 9°-11° scuri o neri . . . 26

- Antenne testacee con alcuni antennomeri scuri, ma con l'11° sempre testaceo 27

26 Antenne testacee con clava scura, pronoto con microreticolazione appena evidente, rapporto antennomeri 3°/2° = 1.7 rapporto pronoto/capo = 1.8, specie di dimensioni mediamente maggiori (lungh. 2.95-3.45). Tegumento dorsale variabile dal rosso-bruno scuro al nero con lati più chiari; capo con striolatura superficiale e uniforme, elitre con microreticola-

zione appena evidente; punteggiatura fine e rada sull'intero dorso. Formula tarsale ♂ 5-5-4, ♀ 5-4-4. Edeago: fig. 502; spermateca: fig. 898; metafemore del ♂: fig. 1314. Asia sudorientale e Cina (Yunnan) . . . . . **laticorne** Port.

- Antenne testacee con antennomeri 7°-8° scuri e clava nera, pronoto non microreticolato o solo con vaghe tracce, rapporto antennomeri 3°/2° = 1.6, rapporto pronoto/capo = 1.65, specie di dimensioni mediamente minori (lungh. 2.7-2.9). Tegumento dorsale rosso-bruno molto scuro, lati più chiari; capo con striolatura uniforme, elitre non microreticolate; punteggiatura microscopica e presente solo su pronoto ed elitre. Formula tarsale ♂ 5-5-4, ♀ 5-4-4. Edeago: fig. 503; metafemore del ♂: fig. 1315. Cina (Sichuan) . . . . . **yaanense** Ang.

27 Antenne testacee con antennomeri 6°-10° scuri 28

- Antenne testacee con antennomeri 6°-8° o 8°-10° o 9°-10° scuri 29

28 Rapporto pronoto/capo = 1.84, ali metatoraciche assenti, edeago in visione dorsale con apice arrotondato (fig. 504). Tegumento dorsale uniformemente rosso-bruno o con elitre nere, interamente con punteggiatura fine e rada; capo con striolatura superficiale; rapporto antennomeri 3°/2° = 1.4. Formula tarsale ♂ 5-5-4, ♀ 5-4-4. Lungh. 2.5-3.0 mm. Spermateca: fig. 899; metafemore del ♂: fig. 1316. Malaysia (Sabah) . . . . . **amplum** Ang. & Dmz.

- Rapporto pronoto/capo = 1.73, ali metatoraciche presenti, edeago in visione dorsale con apice incavato (fig. 505). Tegumento dorsale di capo e pronoto nero, elitre rosso-brune; solo il capo striolato; punteggiatura fine, impressa e rada su capo ed elitre, superficiale sul pronoto; rapporto antennomeri 3°/2° = 1.4. Formula tarsale ♂ 5-5-4, ♀ 5-4-4. Lungh. 2.55-3.45 mm. Spermateca: fig. 900; metafemore del ♂: fig. 1317. India (Darjeeling, Assam), Nepal, Bhutan . . . . . **semirufum** Ang. & Dmz.

29 Antenne testacee con antennomeri 6°-8° scuri, rapporto antennomeri 3°/2° = 1.15. Tegumento dorsale uniforme-

mente rosso-bruno scuro o con elitre nere, punteggiatura fine e rada; solo il capo con striolatura uniforme. Formula tarsale ♂ 5-5-4, ♀ 5-4-4. Lungh. 2.4-2.9 mm. Edeago: fig. 506; spermateca: fig. 901; metafemore del ♂: fig. 1318. Malaysia (Sabah, Sarawak) .... **kinabaluense** Ang. & Dmz.

- Antenne testacee con antennomeri 8°-10° o 9°-10° scuri, rapporto antennomeri 3°/2° = 1.3-1.9 30

30 Antenne testacee con antennomeri 8°-10° scuri 31

- Antenne testacee con antennomeri 9°-10° scuri 32

31 Rapporto pronoto/capo = 2.1, pronoto non microreticolato. Tegumento dorsale nero e con lati più chiari, punteggiatura fine e rada; solo il capo con striolatura superficiale; rapporto antennomeri 3°/2° = 1.3. Formula tarsale ♂ 5-5-4, ♀ 5-4-4. Lungh. 3.05-3.45 mm. Edeago: fig. 507; spermateca: fig. 902; metafemore del ♂: fig. 1319. Myanmar, Thailandia, Indonesia (Sumatra), Cina (Yunnan) .... **grouvellei** Port.

- Rapporto pronoto/capo = 1.76, pronoto con microreticolazione appena evidente. Tegumento dorsale rosso-bruno e con punteggiatura fine e rada; capo con striolatura superficiale; rapporto antennomeri 3°/2° = 1.4. Formula tarsale ♂ 5-5-4, ♀ 5-4-4. Lungh. 3.0-3.1 mm. Capo: fig. 108; edeago: fig. 508; spermateca: fig. 903; metafemore del ♂: fig. 1320. Indonesia (Sumatra, Siberut) ..... **poggii** Ang.

32 Rapporto antennomeri 3°/2° = 1.9. Tegumento dorsale del capo rosso-bruno, pronoto ed elitre nere, interamente con punteggiatura impressa e fitta; solo il capo con striolatura evidente. Formula tarsale ♂ 5-5-4, ♀ 5-4-4. Lungh. 2.8-3.5 mm. Edeago: fig. 509; spermateca: fig. 904; metafemore del ♂: fig. 1321. Indonesia (Sumatra, Nias)..... ..... **mirificum** Ang. & Dmz.

- Rapporto antennomeri 3°/2° = 1.35-1.7 33

33 Specie del Nepal 34

- Specie dell'Indonesia 35

34 Edeago in visione dorsale con parameri dilatati prima dell'apice (fig. 510). Tegumento dorsale di colorazione variabile dal rosso-bruno al nero; solo il capo con striolatura superficiale; punteggiatura fine e rada su capo e pronoto, microscopica sulle elitre; rapporto antennomeri 3°/2° = 1.5. Formula tarsale ♂ 5-5-4, ♀ 5-4-4. Lungh. 2.85-3.3 mm. Spermateca: fig. 905; metafemore del ♂: fig. 1322. Nepal ..... **godawaricum** Ang. & Dmz.

- Edeago in visione dorsale con parameri uniformemente ristretti verso l'apice (fig. 511). Tegumento dorsale rosso-bruno scuro e con punteggiatura fine e rada; capo con striolatura superficiale, elitre con microreticolazione poco evidente; rapporto antennomeri 3°/2° = 1.45. Formula tarsale ♂ 5-5-4, ♀ 5-4-4. Lungh. 3.0-3.1 mm. Spermateca: fig. 906; metafemore del ♂: fig. 1323. Nepal..... ..... **yamputhinense** Ang. & Dmz.

35 Elitre prive di punteggiatura, rapporto antennomeri 3°/2° = 1.7. Tegumento dorsale rosso-bruno; capo con striolatura superficiale, pronoto con microreticolazione appena evidente; punteggiatura fine e rada sul capo, microscopica sul pronoto e assente sulle elitre. Formula tarsale ♂ 5-5-4. Lungh. 3.8 mm. Edeago: fig. 512; metafemore del ♂: fig. 1324. Malaysia (Sabah) ..... **kaderi** Ang.

- Elitre con punteggiatura, rapporto antennomeri 3°/2° = 1.35-1.5 36

36 Tegumento dorsale uniformemente nero. Capo con striolatura impressa; intero dorso con punti grandi e fitti ma superficiali; rapporto antennomeri 3°/2° = 1.35. Formula tarsale ♂ 5-5-4, ♀ 5-4-4. Lungh. 2.8-3.2 mm. Edeago: fig. 513; spermateca: fig. 907; metafemore del ♂: fig. 1325. Indonesia (Giava) ..... **insolitum** Ang. & Dmz.

- Tegumento dorsale uniformemente rosso-bruno o con venature nere 37

37 Rapporto antennomeri 3°/2° = 1.35. Tegumento dorsale rosso-bruno scuro e con punteggiatura impressa e fitta; solo il capo con striolatura superficiale. Formula tarsale ♂

5-5-4, ♀ 5-4-4. Lungh. 3.0-3.3 mm. Edeago: fig. 514; spermateca: fig. 908; metafemore del ♂: fig. 1326. Indonesia (Sumatra) ..... **opulentum** Ang. & Dmz.

- Rapporto antennomeri 3°/2° = 1.5. Tegumento dorsale di capo e pronoto rosso-bruno, elitre nere; solo il capo con striolatura impressa; intero dorso con punti grandi, radi e superficiali. Formula tarsale ♂ 5-5-4, ♀ 5-4-4. Lungh. 2.7-3.1 mm. Edeago: fig. 515; spermateca: fig. 909; metafemore del ♂: fig. 1327. Indonesia (Sumatra) ..... **jambicum** Ang. & Dmz.

38 Rapporto antennomeri 3°/2° = 2, antenne testacee con clava scura, pronoto ed elitre con microreticolazione impressa. Tegumento dorsale nero e con punteggiatura fine e rada; capo con striolatura superficiale. Formula tarsale ♀ 5-4-4. Lungh. 3.4 mm. Spermateca: fig. 910; metafemore della ♀: fig. 1328. Indonesia (Sumatra) ..... **luridum** Ang.

- Rapporto antennomeri 3°/2° = 1.2-1.8, antenne uniformemente testacee o con antennomeri 7°-10° o 9°-10° scuri, pronoto ed elitre con microreticolazione superficiale o elitre prive o con vaghe tracce e pronoto con microreticolazione superficiale 39

39 Antenne uniformemente testacee, clava antennale del ♂ costituita da 4 antennomeri. Tegumento dorsale rosso-bruno; capo con striolatura superficiale, microreticolazione superficiale sul pronoto, poco evidente sulle elitre; punteggiatura presente solo sul pronoto, fine e rada; rapporto antennomeri 3°/2° = 1.5. Formula tarsale ♂ 5-5-4, ♀ 5-4-4. Lungh. 2.9-3.0 mm. Edeago: fig. 516; spermateca: fig. 911; metafemore del ♂: fig. 1329; antenna: fig. 10; habitus in visione dorsale e laterale: figg. 24-25. Filippine (Luzon) ..... **cooteri** Ang. & Dmz.

- Antenne testacee con antennomeri 7°-10° o 8°-10° o 9°-10° scuri, clava antennale del ♂ costituita da 3 antennomeri 40

40 Elitre con microreticolazione superficiale. Tegumento dorsale rosso-bruno e con punteggiatura fine e rada;

capo striolato, pronoto con microreticolazione superficiale; antenne testacee con antennomeri 7°-10° scuri; rapporto antennomeri 3°/2° = 1.2. Formula tarsale ♂ 5-5-4, ♀ 5-4-4. Lungh. 2.9-3.2 mm. Capo: fig. 109; edeago: fig. 517; spermateca: fig. 912; metafemore del ♂: fig. 1330. Taiwan ..... **amictum** Ang. & Dmz.

- Elitre con microreticolazione appena evidente o del tutto assente 41

41 Rapporto antennomeri 3°/2° = 1.8 42

- Rapporto antennomeri 3°/2° = 1.2-1.5 43

42 Pronoto poco trasverso (rapp. la/lu = 1.38), antenne testacee con antennomeri 7°-10° scuri. Tegumento dorsale rosso-bruno e con punti grandi ma superficiali; capo con striolatura superficiale ma uniforme, pronoto con microreticolazione superficiale; rapporto antennomeri 3°/2° = 1.8. Formula tarsale ♂ 5-5-4, ♀ 5-4-4. Lungh. 2.5-3.15 mm. Edeago: fig. 518; spermateca: fig. 913; metafemore del ♂: fig. 1331. Indonesia (Sumatra, ? Bali), Malaysia (Sabah, Sarawak), Filippine (Luzon, Leyte, Mindanao) .... **darbyi darbyi** Ang. & Cooter

- Pronoto discretamente trasverso (rapp. la/lu = 1.52), antenne testacee con antennomeri 9°-10° scuri. Tegumento dorsale rosso-bruno scuro o nero; capo con striolatura superficiale, microreticolazione superficiale sul pronoto, poco evidente sulle elitre; punteggiatura fine e rada su capo e pronoto, assente sulle elitre; rapporto antennomeri 3°/2° = 1.8. Formula tarsale ♂ 5-5-4, ♀ 5-4-4. Lungh. 3.0-3.3 mm. Edeago: fig. 519; spermateca: fig. 914; metafemore del ♂: fig. 1332. Indonesia (Lombok, Timor, ? Giava), ? Malaysia (Malaya) ..... **bolmi** Ang.

43 Intero dorso privo di punteggiatura, rapporto antennomeri 3°/2° = 1.5. Tegumento dorsale rosso-bruno, elitre più scure; capo striolato, microreticolazione superficiale sul pronoto, poco evidente sulle elitre; punteggiatura assente, solo radi microscopici punti sull'intero dorso; antenne testacee con antennomeri 7°-10° scuri. Formula tarsale ♀

5-4-4. Lungh. 2.7-3.1 mm. Spermateca: fig. 915; metafemore della ♀: fig. 1333. Malaysia (Sabah) . . . . . **limatum** Ang. & Dmz.

- Intero dorso con punteggiatura, rapporto antennomeri 3°/2° = 1.2-1.3 44

44 Rapporto pronoto/capo = 2. Tegumento dorsale rosso-bruno e con punteggiatura fine e rada; capo con striolatura impressa, pronoto con microreticolazione superficiale, elitre lisce; antenne testacee con antennomeri 7°-10° più scuri; rapporto antennomeri 3°/2° = 1.2. Formula tarsale ♂ 5-5-4, ♀ 5-4-4. Lungh. 2.6-2.8 mm. Edeago: fig. 520; spermateca: fig. 916; metafemore del ♂: fig. 1334. Malaysia (Sabah, Sarawak), ? Thailandia . . . . . **argutum** Ang. & Dmz.

- Rapporto pronoto/capo = 1.77 45

45 Pronoto poco trasverso (rapp. la/lu = 1.18). Tegumento dorsale rosso-bruno più o meno scuro; capo con striolatura superficiale e uniforme, microreticolazione superficiale sul pronoto, poco evidente sulle elitre; punteggiatura microscopica su capo ed elitre, più evidente sul pronoto; antenne testacee con antennomeri 7°-10° neri; rapporto antennomeri 3°/2° = 1.3. Formula tarsale ♂ 5-5-4, ♀ 5-4-4. Lungh. 2.6-3.1 mm. Edeago: fig. 521; spermateca: fig. 917; metafemore del ♂: fig. 1335. Malaysia (Sabah), Filippine (Luzon), Taiwan . . . . . **puncticolle** Cooter

- Pronoto discretamente trasverso (rapp. la/lu = 1.42). Tegumento dorsale rosso-bruno, margini del pronoto più chiari, interamente con punteggiatura fine e rada; capo con striolatura superficiale ma uniforme, pronoto con microreticolazione superficiale, elitre solo con vaghe tracce; antenne testacee con antennomeri 8°-10° più scuri; rapporto antennomeri 3°/2° = 1.3. Formula tarsale ♂ 5-5-4, ♀ 5-4-4. Lungh. 2.7-3.1 mm. Edeago: fig. 522; spermateca: fig. 918; metafemore del ♂: fig. 1336; antenna: fig. 11. Indonesia (Sulawesi) . . . . . **darbyi sulawesicum** Ang. & Cooter

46 Antenne uniformemente testacee 47

- Antenne testacee con antennomeri 9°-10° scuri 48

47 Capo con microreticolazione appena evidente, pronoto discretamente trasverso (rapp. la/lu = 1.51), edeago in visione dorsale uniformemente ristretto verso l'apice (fig. 523). Tegumento dorsale rosso-bruno e con punteggiatura fine e rada; microreticolazione superficiale sul pronoto, assente sulle elitre; rapporto antennomeri 3°/2° = 1.35. Formula tarsale ♂ 5-5-4, ♀ 5-4-4. Lungh. 2.3-2.8 mm. Spermateca: fig. 919; metafemore del ♂: fig. 1337. Malay sia (Sarawak), Filippine (Luzon) . **sarawakense** Ang. & Cooter

- Capo con microreticolazione uniforme e superficiale, pronoto poco trasverso (rapp. la/lu = 1.38), edeago in visione dorsale ristretto prima dell'apice (fig. 524). Tegumento dorsale rosso-bruno e con punteggiatura fine ma impressa; microreticolazione superficiale su capo e pronoto, poco evidente sulle elitre; rapporto antennomeri 3°/2° = 1.35. Formula tarsale ♂ 5-5-4, ♀ 5-4-4. Lungh. 2.0-2.4 mm. Spermateca: fig. 920; metafemore del ♂: fig. 1338. Malaysia (Sabah) . . . . . **abruptum** Ang. & Dmz.

48 Capo con microreticolazione appena evidente, rapporto antennomeri 3°/2° = 1.4, tegumento dorsale uniformemente rosso-bruno. Microreticolazione superficiale sul pronoto, poco evidente sulle elitre; punteggiatura fine e impressa su capo e pronoto, più superficiale sulle elitre. Formula tarsale ♀ 5-4-4. Lungh. 3.3-3.55 mm. Spermateca: fig. 921; metafemore della ♀: fig. 1339. Indonesia (Sumatra), Myanmar . . . . . **carinense** Ang.

- Capo con microreticolazione superficiale, rapporto antennomeri 3°/2° = 1.15-1.2, tegumento dorsale uniformemente nero. 49

49 Elitre con microreticolazione appena evidente, edeago in visione dorsale con apice tronco (fig. 525). Tegumento dorsale nero; microreticolazione superficiale su capo e pronoto, poco evidente sulle elitre; punteggiatura fine e rada sul capo e sul pronoto, più impressa sulle elitre; rapporto antennomeri 3°/2° = 1.15. Formula tarsale ♂ 5-5-4, ♀ 5-4-4. Lungh. 2.9-3.3 mm. Spermateca: fig. 922; metafemore del ♂: fig. 1340. Malaysia (Malaya) . . . . . **ebeninum** Ang. & Dmz.

- Elitre con microreticolazione superficiale, edeago in visione dorsale con apice incavato (fig. 526). Tegumento dorsale uniformemente nero o con lati più chiari; microreticolazione presente sull'intero dorso, più impressa sul capo; punteggiatura fine e rada su capo e pronoto, più evidente sulle elitre; rapporto antennomeri 3°/2° = 1.2. Formula tarsale ♂ 5-5-4, ♀ 5-4-4. Lungh. 3.2-3.5 mm. Spermateca: fig. 923; metafemore del ♂: fig. 1341. Malaysia (Malaya) . . . . . **exaratum** Ang. & Dmz.

KEY TO THE SPECIES AND SUBSPECIES OF THE *GROUVELLEI* PORTEVIN GROUP

1 Head striolate only on clypeus 2

- Head entirely striolate or only on anterior half or with microreticulation 15

2 Antennae uniformly testaceous 3

- Antennal club dark or with some antennal segments dark 5

3 Ratio of 3rd/2nd antennal segments = 1.05, width ratio of pronotum/head = 2. Length 2.6-2.85 mm. Aedeagus: fig. 480; spermatheca: fig. 882; male hind femora: fig. 1292. Singapore, Vietnam . . . . . **saundersi** Ang. & Cooter

- Ratio of 3rd/2nd antennal segments = 1.6-1.7, width ratio of pronotum/head = 1.8 4

4 Dorsum uniformly black, species with wings, male hind femora dilated at posterior margin (fig. 1293). Length 2.5-2.8 mm. Aedeagus: fig. 481; spermatheca: fig. 883. Thailand . . . . . **silvarum** Ang. & Dmz.

- Dorsum uniformly reddish-brown, species without wings, male hind femora not dilated at posterior margin (fig. 1294). Length 2.8-2.9 mm. Aedeagus: fig. 482; spermatheca: fig. 884. Nepal . . . . . **rama** Ang. & Dmz.

5 Elytra with clear microreticulation. Length 4.1 mm. Aedeagus: fig. 483; male hind femora: fig. 1295. China (Yunnan) . . . . . **melanarium** Ang. & Švec

- Elytra with microreticulation hardly evident or absent . . . 6

6 Pronotum with microreticulation uniform and superficial. Length 2.6-3.0 mm. Head in dorsal and lateral view: figs. 105-106; aedeagus: fig. 484; spermatheca: fig. 885; male hind femora: fig. 1296. Malaysia (Malaya) **pahangense** Ang.

- Pronotum with microreticulation hardly evident or absent 7

7 Antennal segments 4°-10° dark. Length 2.4-2.6 mm. Aedeagus: fig. 485; spermatheca: fig. 886; male hind femora: fig. 1297. Indonesia (Java). . . . . **javanicum** Ang. & Dmz.

- Antennal segments 6°-10° or 9°-10° or 7°-11° or 7°-10° dark 8

8 Antennal segments 6°-10° dark. Length 2.7-2.8 mm. Aedeagus: fig. 486; male hind femora: fig. 1298. Malaysia (Malaya) . . . . . **gentingense** Ang. & Dmz.

- Antennal segments 7°-11° or 7°-10° or 9°-10° dark 9

9 Antennal segments 7°-11° dark. Length 2.7-3.2 mm. Aedeagus: fig. 487; spermatheca: fig. 887; male hind femora: fig. 1299. Taiwan . . . . . **klapperichi** Ang. & Dmz.

- Antennal segments 7°-10° or 9°-10° dark 10

10 Antennal segments 7°-10° dark 11

- Antennal segments 9°-10° dark 13

11 Ratio of 3rd/2nd antennal segments = 1.56, width ratio of pronotum/head = 1.65, species without wings. Length 2.7-2.8 mm. Aedeagus: fig. 488; spermatheca: fig. 888; male hind femora: fig. 1300. Indonesia (Java). . . . . **monticola** Ang. & Dmz.

- Ratio of 3rd/2nd antennal segments = 1.2-1.3, width ratio of pronotum/head = 1.73-1.82, species with wings. 12

12 Whole dorsum with puncturation fine and sparse, elytra with microreticulation hardly evident, aedeagus in dorsal view with apex strongly emarginate (fig. 489), Indonesia (Sumatra). Length 2.6-2.85 mm. Spermatheca: fig. 889; male hind femora: fig. 1301 . . . . . **schillhammeri** Ang.

- Elytra without puncturation and microreticulation, aedeagus in dorsal view with rounded apex (fig. 490), China (Yunnan). Length 2.65-2.8 mm. Head: fig. 107; spermatheca: fig. 890; male hind femora: fig. 1302 . . . . . **corticinum** Ang. & Dmz.

13 Ratio of 3rd/2nd antennal segments = 1.5, width ratio of pronotum/head = 1.97, pronotum moderately broader than long (ratio width/length = 1.56). Length 2.6-3.0 mm. Aedeagus: fig. 491; spermatheca: fig. 891; male hind femora: fig. 1303. Malaysia (Malaya) . . **simum** Ang. & Dmz.

- Ratio of 3rd/2nd antennal segments = 1.2-1.3, width ratio of pronotum/head = 1.7-1.8, pronotum very slightly broader than long (ratio width/length = 1.33-1.42) 14

14 Pronotum and elytra with microreticulation weak, hardly evident. Length 2.5-2.6 mm. Aedeagus: fig. 492; spermatheca: fig. 892; male hind femora: fig. 1304. Indonesia (Sumatra) . . . . . **vulneratum** Ang. & Dmz.

- Pronotum and elytra without microreticulation Length 2.4-2.6 mm. Aedeagus: fig. 493; spermatheca: fig. 893; male hind femora: fig. 1305. Thailand, Myanmar, ? Vietnam . . . . . **infuscatum** Ang. & Dmz.

15 Head striolate in the anterior half 16

- Head entirely striolate or with microreticulation 21

16 Antennae uniformly testaceous 17

- Antennal segments 9°-11° or 6°-10° or 7°-10° dark 18

17 Size smaller (2.65-2.85 mm), elytra without microreticulation, membranous wings absent. Aedeagus: fig. 494; male hind femora: fig. 1306. Nepal . . . . . **gracile** Ang. & Dmz.

- Size larger (3.0 mm), elytra with microreticulation hardly evident, membranous wings vestigial. Aedeagus: fig. 495; male hind femora: fig. 1307. Nepal . . . . . **immodicum** Ang. & Dmz.

18 Antennal segments 9°-11° or 6°-10° dark, male antennal club with 4 or 5 antennal segments (figs. 8-9) 19

- Antennal segments 7°-10° dark, male antennal club with 3 antennal segments 20

19 Antennal segments 9°-11° dark, male antennal club with 5 antennal segments (fig. 8). Length 3.3-3.75 mm. Aedeagus: fig. 496; spermatheca: fig. 894; male hind femora: fig. 1308. Nepal . . . . . **taru** Ang. & Dmz.

- Antennal segments 6°-10° dark, male antennal club with 4 antennal segments (fig. 9). Length 3.1-3.35 mm. Aedeagus: fig. 497; spermatheca: fig. 895; male hind femora: fig. 1309. Thailand, Malaysia (Sabah), Indonesia (Sumatra). . . . . **modiglianii** Ang.

20 Size larger (4.05-4.3 mm), ratio of 3rd/2nd antennal segments = 1.7, width ratio of pronotum/head = 2. Aedeagus: fig. 498; spermatheca: fig. 896; male hind femora: fig. 1310. India (Kumaon), Nepal . . . . . **maculicolle** Champion

- Size smaller (2.4-2.7 mm), ratio of 3rd/2nd antennal segments = 1.5, width ratio of pronotum/head = 1.74. Aedeagus: fig. 499; spermatheca: fig. 897; male hind femora: fig. 1311. Indonesia (Sumatra). . . . . **fumosum** Ang. & Dmz.

21 Head entirely striolate 22

- Head with microreticulation 46

22 Pronotum without microreticulation or present only with vague traces 23

- Pronotum with clear or superficial and uniform microreticulation 38

23 Elytra with superficial microreticulation. Male antennal club with 4 antennal segments. Length 3.05-3.35 mm. Aedeagus: fig. 500; male hind femora: fig. 1312. Philippines (Luzon, Mindanao) . . . . . **deharvengi** Ang.

- Elytra without microreticulation or present in vague traces 24

24 Antennae uniformly testaceous, male antennal club with 4 antennal segments. Length 3.15 mm. Aedeagus: fig. 501; male hind femora: fig. 1313. Indonesia (Sulawesi), ? Malaysia (Sabah) . . . . . **enigmaticum** Ang. & Cooter

- Antennal club dark or with some antennal segments dark or black, male antennal club with 3 antennal segments . . . 25

25 Antennal club dark or black 26

- Antennae with some segments dark but 11° always testaceous 27

26 Antennal segments 9°-11° dark, pronotum with microreticulation less evident, ratio of 3rd/2nd antennal segments = 1.7, width ratio of pronotum/head = 1.8, size larger (2.95-3.45 mm). Aedeagus: fig. 502; spermatheca: fig. 898; male hind femora: fig. 1314. Southeast Asia and China (Yunnan) . . . . . **laticorne** Port.

- Antennal segments 7°-8° dark and 9°-11° black, pronotum without microreticulation or present only with vague traces, ratio of 3rd/2nd antennal segments = 1.6, width ratio of pronotum/head = 1.65, size smaller (length 2.7-2.9). Aedeagus: fig. 503; male hind femora: fig. 1315. China (Sichuan) . . . . . **yaanense** Ang.

27 Antennal segments 6°-10° dark 28

- Antennal segments 6°-8° or 8°-10° or 9°-10° dark 29

28 Width ratio of pronotum/head = 1.84, membranous wings absent, aedeagus in dorsal view with rounded apex (fig. 504). Length 2.5-3.0 mm. Spermatheca: fig. 899; male hind femora: fig. 1316. Malaysia (Sabah) . . **amplum** Ang. & Dmz.

- Width ratio of pronotum/head = 1.73, membranous wings present, aedeagus in dorsal view with apex emarginate (fig. 505). Length 2.55-3.45 mm. Spermatheca: fig. 900; male hind femora: fig. 1317. India (Darjeeling, Assam), Nepal, Bhutan . . . . . **semirufum** Ang. & Dmz.

29 Antennal segments 6°-8° dark, ratio of 3rd/2nd antennal segments = 1.15. Length 2.4-2.9 mm. Aedeagus: fig. 506; spermatheca: fig. 901; male hind femora: fig. 1318. Malaysia (Sabah, Sarawak) . . . . . **kinabaluense** Ang. & Dmz.

- Antennal segments 8°-10° or 9°-10° dark, ratio of 3rd/2nd antennal segments = 1.3-1.9 30

30 Antennal segments 8°-10° dark 31

- Antennal segments 9°-10° dark 32

31 Width ratio of pronotum/head = 2.1, pronotum without microreticulation. Length 3.05-3.45 mm. Aedeagus: fig. 507; spermatheca: fig. 902; male hind femora: fig. 1319. Myanmar, Thailand, Indonesia (Sumatra), China (Yunnan) ..... **grouvellei** Port.

- Width ratio of pronotum/head = 1.76, pronotum with microreticulation present, very weak, hardly evident. Length 3.0-3.1 mm. Head: fig. 108; aedeagus: fig. 508; spermatheca: fig. 903; male hind femora: fig. 1320. Indonesia (Sumatra, Siberut) ..... **poggii** Ang.

32 Ratio of 3rd/2nd antennal segments = 1.9. Length 2.8-3.5 mm. Aedeagus: fig. 509; spermatheca: fig. 904; male hind femora: fig. 1321. Indonesia (Sumatra, Nias)..... ..... **mirificum** Ang. & Dmz.

- Ratio of 3rd/2nd antennal segments = 1.35-1.7 33

33 Species of Nepal 34

- Species of Indonesia 35

34 Aedeagus in dorsal view with parameres dilated before of the apex (fig. 510). Length 2.85-3.3 mm. Spermatheca: fig. 905; male hind femora: fig. 1322. Nepal .... **godawaricum** Ang. & Dmz.

- Aedeagus in dorsal view with parameres uniformly narrowed to apex (fig. 511). Length 3.0-3.1 mm. Spermatheca: fig. 906; male hind femora: fig. 1323. Nepal .... **yamputhinense** Ang. & Dmz.

35 Elytra impunctate, ratio of 3rd/2nd antennal segments = 1.7. Length 3.8 mm. Aedeagus: fig. 512; male hind femora: fig. 1324. Malaysia (Sabah) ..... **kaderi** Ang.

- Elytra punctate, ratio of 3rd/2nd antennal segments = 1.35 -1.5 36

36 Dorsum uniformly black. Length 2.8-3.2 mm. Aedeagus: fig. 513; spermatheca: fig. 907; male hind femora: fig. 1325. Indonesia (Java) ..... **insolitum** Ang. & Dmz.

- Dorsum uniformly reddish-brown 37

37 Ratio of 3rd/2nd antennal segments = 1.35. Length 3.0-3.3 mm. Aedeagus: fig. 514; spermatheca: fig. 908; male hind femora: fig. 1326. Indonesia (Sumatra)..... ..... **opulentum** Ang. & Dmz.

- Ratio of 3rd/2nd antennal segments = 1.5. Length 2.7-3.1 mm. Aedeagus: fig. 515; spermatheca: fig. 909; male hind femora: fig. 1327. Indonesia (Sumatra)..... ..... **jambicum** Ang. & Dmz.

38 Ratio of 3rd/2nd antennal segments = 2, antennal club dark, pronotum and elytra with microreticulation clear. Length 3.4 mm. Spermatheca: fig. 910; female hind femora: fig. 1328. Indonesia (Sumatra) ..... **luridum** Ang.

- Ratio of 3rd/2nd antennal segments = 1.2-1.8, antennae uniformly testaceous or with antennal segments 7°-10° or 8°-10° or 9°-10° dark, pronotum and elytra with superficial microreticulation or elytra with vague traces or entirely lacking and pronotum with superficial microreticulation .. 39

39 Antennae uniformly testaceous, male antennal club with 4 antennal segments (fig. 10). Length 2.9-3.0 mm. Aedeagus: fig. 516; spermatheca: fig. 911; male hind femora: fig. 1329; habitus in dorsal and lateral view: figs. 24-25. Philippines (Luzon) ..... **cooteri** Ang. & Dmz.

- Antennal segments 7°-10° or 8°-10° or 9°-10° dark, male antennal club with 3 antennal segments 40

40 Elytra with superficial microreticulation. Length 2.9-3.2 mm. Head: fig. 109; aedeagus: fig. 517; spermatheca: fig. 912; male hind femora: fig. 1330. Taiwan .... **amictum** Ang. & Dmz.

- Elytra with microreticulation hardly evident or absent ... 41

41 Ratio of 3rd/2nd antennal segments = 1.8 42

- Ratio of 3rd/2nd antennal segments = 1.2-1.5 43

42 Pronotum very slightly broader than long (ratio width/length = 1.38), Antennal segments 7°-10° dark. Length 2.5-3.15 mm. Aedeagus: fig. 518; spermatheca: fig. 913; male hind femora: fig. 1331. Indonesia (Sumatra, ? Bali), Malaysia (Sabah, Sarawak), Philippines (Luzon, Leyte, Mindanao) . . . . . **darbyi darbyi** Ang. & Cooter

- Pronotum moderately broader than long (ratio width/length = 1.52), antennal segments 9°-10° dark. Length 3.0-3.3 mm. Aedeagus: fig. 519; spermatheca: fig. 914; male hind femora: fig. 1332. Indonesia (Lombok, Timor, ? Java), ? Malaysia (Malaya) . . . . . **bolmi** Ang.

43 Whole dorsum impunctate, ratio of 3rd/2nd antennal segments = 1.5. Length 2.7-3.1 mm. Spermatheca: fig. 915; female hind femora: fig. 1333. Malaysia Sabah) . . . . . **limatum** Ang. & Dmz.

- Whole dorsum punctate, ratio of 3rd/2nd antennal segments = 1.2-1.3 44

44 Width ratio of pronotum/head = 2. Length 2.6-2.8 mm. Aedeagus: fig. 520; spermatheca: fig. 916; male hind femora: fig. 1334. Malaysia (Sabah, Sarawak), ? Thailand . . . . . **argutum** Ang. & Dmz.

- Width ratio of pronotum/head = 1.77 45

45 Pronotum slightly broader than long (ratio width/length = 1.18). Length 2.6-3.1 mm. Aedeagus: fig. 521; spermatheca: fig. 917; male hind femora: fig. 1335. Malaysia (Sabah), Philippines (Luzon), Taiwan . . . **puncticolle** Cooter

- Pronotum moderately broader than long (ratio width/length = 1.42). Length 2.7-3.1 mm. Aedeagus: fig. 522; spermatheca: fig. 918; male hind femora: fig. 1336; antennae: fig. 11. Indonesia (Sulawesi) . . . . . **darbyi sulawesicum** Ang. & Cooter

46 Antennae uniformly testaceous 47

- Antennal segments 9°-10° dark 48

47 Head with microreticulation hardly evident, pronotum moderately broader than long (ratio width/length = 1.51), aedeagus in dorsal view uniformly narrowed to apex (fig. 523). Length 2.3-2.8 mm. Spermatheca: fig. 919; male hind femora: fig. 1337. Malaysia (Sarawak), Philippines (Luzon) ..... **sarawakense** Ang. & Cooter

- Head with microreticulation uniform and superficial, pronotum very slightly broader than long (ratio width/length = 1.38), aedeagus in dorsal view narrowed before of the apex (fig. 524). Length 2.0-2.4 mm. Spermatheca: fig. 920; male hind femora: fig. 1338. Malaysia (Sabah) .... **abruptum** Ang. & Dmz.

48 Head with microreticulation hardly evident, ratio of 3rd/2nd antennal segments = 1.4, dorsum uniformly reddish-brown. Length 3.3-3.55 mm. Spermatheca: fig. 921; female hind femora: fig. 1339. Indonesia (Sumatra), Myanmar ... . **carinense** Ang.

- Head with superficial microreticulation, ratio of 3rd/2nd antennal segments = 1.15-1.2, dorsum uniformly black 49

49 Elytra with microreticulation hardly evident, aedeagus in dorsal view with truncate apex (fig. 525). Length 2.9-3.3 mm. Spermatheca: fig. 922; male hind femora: fig. 1340. Malaysia (Malaya) ..... **ebeninum** Ang. & Dmz.

- Elytra with superficial microreticulation, aedeagus in dorsal view with apex emarginate (fig. 526). Length 3.2-3.5 mm. Spermatheca: fig. 923; male hind femora: fig. 1341. Malaysia (Malaya) ..... **exaratum** Ang. & Dmz.

Gruppo ***andrewesi*** Portevin

Diagnosi. Clipeo delimitato a ciascun lato da un solco obliquo, dorso privo di microreticolazione o striolatura.

Discussione. Si tratta di un gruppo di specie molto omogeneo e per l'identificazione dei vari taxa è spesso necessario l'esame dell'edeago. Infatti, l'assenza di microreticolazione e la punteggia-

tura in genere poco significativa, riducono ulteriormente i caratteri diagnostici. In questo gruppo ho inserito, con qualche perplessità, *Agathidium insulare* Port., unica specie della regione orientale di cui non ho esaminato la serie tipica.

Distribuzione geografica. Gruppo di specie presente nella regione paleartica orientale (Giappone e Cina) con 3 specie e orientale con 45 (46 considerando la Cina paleartica); nella regione orientale è presente in tutte le nazioni tranne il Pakistan e il Bhutan.

CHIAVE DICOTOMICA DELLE SPECIE DEL GRUPPO *ANDREWESI* PORTEVIN

1 Antenne uniformemente testacee 2

- Antenne testacee con alcuni antennomeri scuri o neri 6

2 Rapporto antennomeri 3°/2° = 1. Tegumento dorsale nero o rosso-bruno con lati più chiari, interamente privo di microreticolazione e con punteggiatura fine e rada. Formula tarsale ♂ 5-5-4, ♀ 5-4-4. Lungh. 2.7-3.25 mm. Edeago: fig. 527; spermateca: fig. 924; metafemore del ♂: fig. 1342. India (Kerala, Tamil Nadu) . . . . . **palnicum** Ang. & Dmz.

- Rapporto antennomeri 3°/2° = 1.2-1.3 3

3 Specie della Cina (Guangxi). Tegumento dorsale rosso-bruno, privo di microreticolazione e con punteggiatura fine e rada; rapporto antennomeri 3°/2° = 1.3. Formula tarsale ♂ 5-5-4, ♀ 5-4-4. Lungh. 2.6-2.8 mm. Edeago: fig. 528; spermateca: fig. 925; metafemore del ♂: fig. 1343 . . . . . **solutum** Ang. & Dmz.

- Specie dell'India 4

4 Rapporto pronoto/capo = 1.8, pronoto discretamente trasverso (rapp. la/lu = 1.52). Tegumento dorsale nero con lati più chiari, privo di microreticolazione e con punteggiatura fine e rada; rapporto antennomeri 3°/2° = 1.2. Formula tarsale ♂ 5-5-4, ♀ 5-4-4. Lungh. 2.5-3.3 mm. Edeago: fig. 529; spermateca: fig. 926; metafemore del ♂: fig. 1344. India (Kerala, Tamil Nadu) . . . . . **andrewesi** Port.

- Rapporto pronoto/capo = 2, pronoto poco trasverso (rapp. la/lu = 1.16-1.33) 5

5 Pronoto poco trasverso (rapp. la/lu = 1.16), specie di dimensioni minori (lungh. 2.9-3.1 mm), capo con fossette antero-laterali superficiali, elitre prive di punteggiatura, edeago in visione dorsale con parameri esili (fig. 530). Tegumento dorsale rosso-bruno, privo di microreticolazione e con punteggiatura fine e rada solo su capo e pronoto; rapporto antennomeri 3°/2° = 1.2. Formula tarsale ♂ 5-5-4, ♀ 5-4-4. Spermateca: fig. 927; metafemore del ♂: fig. 1345. India (Assam) . . . . . **assamense** Ang. & Dmz.

- Pronoto più trasverso (rapp. la/lu = 1.33), specie di dimensioni maggiori (lungh. 3.2-3.5 mm), capo con fossette antero-laterali più impresse, elitre con punteggiatura, edeago in visione dorsale con parameri dilatati e a margini esterni sinuati (fig. 531). Tegumento dorsale del capo rosso-bruno, pronoto ed elitre nere con lati più chiari, interamente privo di microreticolazione e con punteggiatura fine e rada; rapporto antennomeri 3°/2° = 1.3. Formula tarsale ♂ 5-5-4, ♀ 5-4-4. Spermateca: fig. 928; metafemore del ♂: fig. 1346. India (Kerala) . . . . . **pseudopalnicum** Ang. & Švec

6 Antenne testacee con clava scura o nera 7

- Antenne testacee con alcuni antennomeri scuri o neri . . . 14

7 Specie di dimensioni minori (lungh. 1.9 mm). Tegumento dorsale nero, privo di microreticolazione e punteggiatura; antenne testacee con clava scura. Indonesia (Giava) . . . . . **insulare** Port.

- Specie di dimensioni maggiori (lungh. 2.2-4.16 mm) 8

8 Rapporto antennomeri 3°/2° = 1.6, antenne testacee con clava nera, specie di dimensioni maggiori (lungh. 3.75-4.1 mm). Tegumento dorsale del capo rosso-bruno, pronoto ed elitre nere con lati più chiari oppure di colore uniformemente rosso-bruno; microreticolazione assente; punteggiatura fine ma impressa sul capo, più superficiale sul pronoto ed elitre. Formula tarsale ♂ 5-5-4, ♀ 5-4-4. Edeago: fig. 532; spermateca: fig. 929; metafemore del ♂: fig. 1347. Nepal . . . . . **elegans** Ang. & Dmz.

- Rapporto antennomeri 3°/2° = 1.2-1.5, antenne testacee con clava scura, specie di dimensioni minori (lungh. 2.2-3.6 mm) 9

9 Rapporto pronoto/capo = 1.95; specie dell'Indonesia (Sumatra). Tegumento dorsale nero, privo di microreticolazione e con punteggiatura impressa e rada; rapporto antennomeri 3°/2° = 1.25. Formula tarsale ♂ 5-5-4. Edeago: fig. 533; metafemore del ♂: fig. 1348 . . . . . **minusculum** Ang.

- Rapporto pronoto/capo = 1.6-1.75; specie del Vietnam o della regione himalayana o di Taiwan 10

10 Tegumento dorsale uniformemente nero; specie del Vietnam. Dorso privo di microreticolazione e con punteggiatura fine e rada; rapporto antennomeri 3°/2° = 1.2. Formula tarsale ♀ 5-4-4. Lungh. 2.4 mm. Spermateca: fig. 930; metafemore della ♀: fig. 1349 . . . . . **pocsi** Ang.

- Tegumento dorsale uniformemente rosso-bruno; specie dell'Himalaya o di Taiwan 101

11 Specie di Taiwan. Tegumento dorsale rosso-bruno scuro, privo di microreticolazione e con punteggiatura fine e rada su capo e pronoto, più evidente sulle elitre; rapporto antennomeri 3°/2° = 1.45. Formula tarsale ♂ 5-5-4, ♀ 5-4-4. Lungh. 3.3-3.6 mm. Edeago: fig. 534; spermateca: fig. 931; metafemore del ♂: fig. 1350 . . . . . **serratum** Ang.

- Specie della regione himalayana 12

12 Rapporto antennomeri 3°/2° = 1.2, capo e pronoto con microreticolazione appena evidente. Tegumento dorsale rosso-bruno più o meno scuro; microreticolazione assente, solo vaghe tracce su capo e pronoto; punteggiatura fine e rada su capo e pronoto, più evidente sulle elitre. Formula tarsale ♂ 5-5-4, ♀ 5-4-4. Lungh. 2.2-2.3 mm. Edeago: fig. 535; spermateca: fig. 932. India (Darjeeling), Nepal . . . . . **duofoveatum** Ang. & Dmz.

- Rapporto antennomeri 3°/2° = 1.3-1.4, capo e pronoto senza tracce di microreticolazione 13

13 Specie di dimensioni maggiori (lungh. 2.7-3.25 mm), capo con fossette antero-laterali, edeago in visione dorsale con

parameri poco dilatati verso l'apice (fig. 536), metafemori del ♂ dilatati al margine posteriore (fig. 1351). Tegumento dorsale rosso-bruno, privo di microreticolazione e con punteggiatura impressa; rapporto antennomeri 3°/2° = 1.4. Formula tarsale ♂ 5-5-4, ♀ 5-4-4. Spermateca: fig. 933. India (Darjeeling) . . . . . **sevokense** Ang. & Dmz.

- Specie di dimensioni minori (lungh. 2.3-2-4 mm), capo senza fossette antero-laterali, edeago in visione dorsale con parameri molto dilatati verso l'apice (fig. 537), metafemori del ♂ non dilatati al margine posteriore (fig. 1352). Tegumento dorsale rosso-bruno, privo di microreticolazione e con punteggiatura fine e rada; rapporto antennomeri 3°/2° = 1.5. Formula tarsale ♂ 5-5-4, ♀ 5-4-4. India (Darjeeling) . . . . . **ravana** Ang. & Dmz.

14 Rapporto antennomeri 3°/2° = 2 15

- Rapporto antennomeri 3°/2° = 0.9-1.85 16

15 Antenne testacee con antennomeri 8°-10° scuri, rapporto pronoto/capo = 1.95, pronoto poco trasverso (rapp. la/lu = 1.3), specie di dimensioni maggiori (lungh. 3.7-3.8 mm) e della Cina (Yunnan), antenne del ♂ con clava antennale costituita da 4 antennomeri. Tegumento dorsale rosso-bruno scuro o nero; microreticolazione assente, solo vaghe tracce sulle elitre; punteggiatura fine e rada su capo e pronoto, microscopica sulle elitre. Formula tarsale ♂ 5-5-4, ♀ 5-4-4. Capo: fig. 110; edeago: fig. 538; metafemore del ♂: fig. 1353 . . . . . **farkaci** Ang.

- Antenne testacee con antennomeri 9°-10° scuri, rapporto pronoto/capo = 2.1 pronoto discretamente trasverso (rapp. la/lu = 1.68), specie di dimensioni minori (lungh. 2.95 mm) e del Vietnam, antenne del ♂ con clava antennale costituita da 3 antennomeri. Tegumento dorsale rosso-bruno, privo di microreticolazione e con punteggiatura impressa e fitta. Formula tarsale ♂ 5-5-4. Edeago: fig. 539; metafemore del ♂: fig. 1354 . . . . . **limbatum** Ang.

16 Rapporto antennomeri 3°/2° = 0.9-1 17

- Rapporto antennomeri 3°/2° = 1.2-1.85 19

17 Antenne testacee con antennomeri 7°-10° scuri, rapporto pronoto/capo = 1.78 pronoto poco trasverso (rapp. la/lu = 1.22), ali metatoraciche assenti; specie dello Sri Lanka. Tegumento dorsale rosso-bruno e con punteggiatura fine e rada; microreticolazione assente, solo vaghe tracce sull'intero dorso; rapporto antennomeri 3°/2° = 1. Formula tarsale ♂ 5-5-4, ♀ 5-4-4. Lungh. 2.3 mm. Capo: fig. 111; edeago: fig. 540; spermateca: fig. 934 . . . . . **globulosum** Hlisn.

- Antenne testacee con antennomeri 9°-10° scuri, rapporto pronoto/capo = 1.9-2.1, pronoto più trasverso (rapp. la/lu = 1.38-1.46), ali metatoraciche presenti; specie dell'Insulindia 18

18 Rapporto antennomeri 3°/2° = 0.9, rapporto pronoto/capo = 2.1, elitre con punteggiatura, edeago in visione laterale a curvatura molto accentuata verso l'alto (fig. 541). Tegumento dorsale rosso-bruno, privo di microreticolazione e con punteggiatura fine e rada. Formula tarsale ♂ 5-5-4. Lungh. 2.2 mm. Capo: fig. 112; metafemore del ♂: fig. 1355. Filippine (Luzon) . . . . . **filiforme** Ang.

- Rapporto antennomeri 3°/2° = 1, rapporto pronoto/capo = 1.9, elitre prive di punteggiatura, edeago in visione laterale non curvato verso l'alto (fig. 542). Tegumento dorsale rosso-bruno, privo di microreticolazione e con punteggiatura fine e rada su capo e pronoto. Formula tarsale ♂ 5-5-4, ♀ 5-5-4. Lungh. 2.3-2.5 mm. Spermateca: fig. 935; metafemore del ♂: fig. 1356. Singapore, Malaysia (Sabah, Sarawak), Indonesia (Sumatra), Filippine (Leyte) . . . . . **hammondi** Ang. & Cooter

19 Antenne testacee con antennomeri 6°-11° o 7°-11° o 7°-10° scuri 20

- Antenne testacee con antennomeri 9°-10° scuri 27

20 Specie della Cina (Zhejiang). Tegumento dorsale rosso-bruno e con punteggiatura fine e rada; microreticolazione assente, solo vaghe tracce sulle elitre; antenne testacee con antennomeri 7°-10° scuri; rapporto antennomeri 3°/2° = 1.6. Formula tarsale ♂ 5-5-4. Lungh. 2.9 mm. Edeago: fig. 543; metafemore del ♂: fig. 1357 . . **wangi** Ang. & Cooter

- Specie della restante Asia sudorientale 21

21 Antenne testacee con antennomeri 6°-11° o 7°-11° scuri . . 22

- Antenne testacee con antennomeri 7°-10° scuri 25

22 Antenne testacee con antennomeri 6°-11° scuri, elitre prive di punteggiatura. Tegumento dorsale del capo nero, pronoto ed elitre rosso-bruni con lati più chiari; microreticolazione assente; punteggiatura fine e rada su capo e pronoto; rapporto antennomeri 3°/2° = 1.3. Formula tarsale ♂ 5-5-4. Lungh. 2.75 mm. Edeago: fig. 544; metafemore del ♂: fig. 1358. Malaysia (Sabah) . . . . . **rufoatrum** Ang. & Dmz.

- Antenne testacee con antennomeri 7°-11° scuri, elitre con punteggiatura 23

23 Rapporto antennomeri 3°/2° = 1.6, specie di dimensioni maggiori (lungh. 3.7 mm) e della Malaysia (Malaya). Tegumento dorsale di capo e pronoto rosso-bruno, elitre con metà basale rosso-bruna e metà apicale nera, interamente privo di microreticolazione e con punteggiatura impressa ma rada. Formula tarsale ♂ 5-5-4. Edeago: fig. 545; metafemore del ♂: fig. 1359 . . . . . **bicoloratum** Ang.

- Rapporto antennomeri 3°/2° = 1.3-1.4, specie di dimensioni minori (lungh. 2.6-3.2 mm) e dell'India (Kerala e Tamil Nadu o Karnataka) 24

24 Edeago in visione dorsale con apice incavato. Tegumento dorsale rosso-bruno più o meno scuro, lati più chiari, interamente privo di microreticolazione e con punteggiatura impressa e fitta; rapporto antennomeri 3°/2° = 1.3. Formula tarsale ♂ 5-5-4, ♀ 5-4-4. Lungh. 2.6-3.2 mm. Edeago: fig. 546; spermateca: fig. 936; metafemore del ♂: fig. 1360. India (Kerala, Tamil Nadu) . . . . . **mussardi** Ang. & Dmz.

- Edeago in visione dorsale con apice uniformemente arrotondato (fig. 547). Tegumento dorsale rosso-bruno scuro, lati più chiari; microreticolazione assente, solo vaghe tracce di striolatura sul clipeo; punteggiatura fine e rada su capo e pronoto, più impressa sulle elitre; rapporto antennomeri 3°/2° = 1.4. Formula tarsale ♂ 5-5-4, ♀ 5-4-4. Lungh. 2.85-3.1 mm. Spermateca: fig. 937; metafemore del ♂: fig. 1361. India (Karnataka) . . . . . **karnatakaense** Ang. & Švec

25 Rapporto pronoto/capo = 2; specie dell'India (Kumaon, Tamil Nadu). Tegumento dorsale rosso-bruno più o meno scuro, privo di microreticolazione e con punteggiatura impressa ma rada; rapporto antennomeri 3°/2° = 1.3. Formula tarsale ♂ 5-5-4, ♀ 5-4-4. Lungh. 2.8-3.1 mm. Edeago: fig. 548; spermateca: fig. 938; metafemore del ♂: fig. 1362 . . . . . **biimpressum** Champion

- Rapporto pronoto/capo = 1.72-1.81; specie dell'Indonesia o del Vietnam 26

26 Rapporto antennomeri 3°/2° = 1.35, elitre prive di punteggiatura, capo senza fossette antero-laterali, tegumento dorsale uniformemente rosso-bruno, edeago in visione dorsale con apice incavato (fig. 549); specie del Vietnam. Dorso privo di microreticolazione e con punteggiatura impressa e rada su capo e pronoto. Formula tarsale ♂ 5-5-4, ♀ 5-4-4. Lungh. 2.7-2.8 mm. Spermateca: fig. 939; metafemore del ♂: fig. 1363 . . . . . **coomani** Port.

- Rapporto antennomeri 3°/2° = 1.6, elitre con punteggiatura, capo con fossette antero-laterali, tegumento dorsale uniformemente nero, edeago in visione dorsale con apice tronco (fig. 550); specie dell'Indonesia (Giava). Dorso privo di microreticolazione e con punteggiatura impressa e fitta. Formula tarsale ♂ 5-5-4, ♀ 5-4-4. Lungh. 2.5-2.8 mm. Spermateca: fig. 940; metafemore del ♂: fig. 1364 . . . . . **nitidum** Ang. & Dmz.

27 Rapporto antennomeri 3°/2° = 1.15-1.3 28

- Rapporto antennomeri 3°/2° = 1.5-1.85 39

28 Specie del Giappone o Cina e/o Taiwan 29

- Specie della regione indocinese o dell'Insulindia 32

29 Specie del Giappone (Ryukyus). Tegumento dorsale del capo rosso-bruno scuro, pronoto ed elitre nere, interamente con punteggiatura fine e rada; microreticolazione assente, solo vaghe tracce sull'intero dorso; rapporto antennomeri 3°/2° = 1.2. Formula tarsale ♂ 5-5-4. Lungh. 2.65 mm. Edeago: fig. 551 . . . . . **nomurai** Hoshina

- Specie della Cina e/o Taiwan 30

30 Specie di dimensioni minori (lungh. 2.4 mm). Tegumento dorsale rosso-bruno e con punteggiatura fine e rada; microreticolazione assente, solo vaghe tracce su capo ed elitre; rapporto antennomeri 3°/2° = 1.3. Formula tarsale ♂ 5-5-4. Edeago: fig. 552; metafemore del ♂: fig. 1365. Cina (Yunnan) ..... **imitans** Ang.

- Specie di dimensioni maggiori (lungh. 3.0-3.4 mm) 31

31 Specie di dimensioni minori (lungh. 3.0 mm), edeago in visione dorsale con parameri dilatati verso l'apice (fig. 553). Tegumento dorsale rosso-bruno e con punteggiatura fine e rada su capo e pronoto; microreticolazione assente, solo vaghe tracce su capo ed elitre; rapporto antennomeri 3°/2° = 1.3. Formula tarsale ♂ 5-5-4, ♀ 5-4-4. Capo: fig. 113; spermateca: fig. 941; metafemore del ♂: fig. 1366. Taiwan, Cina (Guangxi, Shaanxi, Hong Kong) ..... **venustum** Ang. & Dmz.

- Specie di dimensioni maggiori (lungh. 3.4 mm), edeago in visione dorsale con parameri ristretti verso l'apice (fig. 554). Tegumento dorsale nero, lati più chiari; microreticolazione assente, solo vaghe tracce su capo ed elitre; punteggiatura fine e rada su capo e pronoto, microscopica e molto rada sulle elitre; rapporto antennomeri 3°/2° = 1.3. Formula tarsale ♂ 5-5-4. Metafemore del ♂: fig. 1367. Taiwan ..... **fenchihuense** Ang.

32 Specie della regione indocinese 33

- Specie dell'Insulindia 35

33 Specie di dimensioni maggiori (lungh. 3.25 mm), metafemori del ♂ con dente al margine posteriore (fig. 1368). Tegumento dorsale rosso-bruno, privo di microreticolazione e con punteggiatura impressa sul capo, più fine e superficiale su pronoto ed elitre; rapporto antennomeri 3°/2° = 1.3. Formula tarsale ♂ 5-5-4, ♀ 5-4-4. Edeago: fig. 555; spermateca: fig. 942. Thailandia, Vietnam ..... **inornatum** Ang. & Dmz.

- Specie di dimensioni minori (lungh. 2.3-2.7 mm), metafemori del ♂ dilatati al margine posteriore 34

34 Pronoto discretamente trasverso (rapp. la/lu = 1.53), specie di dimensioni maggiori (lungh. 2.7 mm), edeago in visione dorsale ristretto prima dell'apice (fig. 556). Tegumento dorsale rosso-bruno, privo di microreticolazione e con punteggiatura impressa e fitta; rapporto antennomeri 3°/2° = 1.3. Formula tarsale ♂ 5-5-4, ♀ 5-4-4. Spermateca: fig. 943; metafemore del ♂: fig. 1369. Vietnam ..... **topali** Ang. & Dmz.

- Pronoto poco trasverso (rapp. la/lu = 1.35), specie di dimensioni minori (lungh. 2.3 mm), edeago in visione dorsale uniformemente ristretto verso l'apice (fig. 557). Tegumento dorsale di capo e pronoto rosso-bruno, elitre nere, interamente con punteggiatura impressa e rada; microreticolazione assente, solo vaghe tracce su pronoto ed elitre; rapporto antennomeri 3°/2° = 1.3. Formula tarsale ♂ 5-5-4. Metafemore del ♂: fig. 1370. Thailandia ..... **capitulatum** Ang. & Dmz.

35 Edeago in visione laterale con apice a curvatura poco accentuata verso l'alto (fig. 558). Tegumento dorsale rosso-bruno o con elitre più scure, interamente con punteggiatura impressa ma rada; microreticolazione assente, solo vaghe tracce sulle elitre; rapporto antennomeri 3°/2° = 1.3. Formula tarsale ♂ 5-5-4, ♀ 5-4-4. Lungh. 2.8-3.0 mm. Spermateca: fig. 944; metafemore del ♂: fig. 1371. Malaysia (Malaya) ..... **schuhi** Ang. & Dmz.

- Edeago in visione laterale con apice non curvato verso l'alto (figg. 559-562) 36

36 Rapporto pronoto/capo = 1.95. Tegumento dorsale rosso-bruno scuro, privo di microreticolazione e con punteggiatura fine e rada; rapporto antennomeri 3°/2° = 1.2. Formula tarsale ♂ 5-5-4, ♀ 5-4-4. Lungh. 2.35-2.8 mm. Edeago: fig. 559; spermateca: fig. 945; metafemore del ♂: fig. 1372. Indonesia (Sulawesi) ..... **celebense** Port.

- Rapporto pronoto/capo = 1.8 37

37 Edeago in visione dorsale uniformemente ristretto verso l'apice (fig. 560). Tegumento dorsale di capo e pro-

noto rosso-bruno, elitre più scure, interamente privo di microreticolazione e con punteggiatura impressa e rada; rapporto antennomeri 3°/2° = 1.3. Formula tarsale ♂ 5-5-4, ♀ 5-4-4. Lungh. 2.45-2.7 mm. Spermateca: fig. 946; metafemore del ♂: fig. 1373. Indonesia (Sumatra) ..... **sumatrense** Ang. & Dmz.

- Edeago in visione dorsale fortemente ristretto verso l'apice (figg. 561-562) 38

38 Pronoto poco trasverso (rapp. la/lu = 1.35); specie dell'Indonesia (Mentawai). Tegumento dorsale rosso-bruno, privo di microreticolazione e con punteggiatura fine e rada; rapporto antennomeri 3°/2° = 1.15. Formula tarsale ♂ 5-5-4, ♀ 5-4-4. Lungh. 2.3-2.5 mm. Edeago: fig. 561; spermateca: fig. 947; metafemore del ♂: fig. 1374 . . . **mentawaicum** Ang.

- Pronoto discretamente trasverso (rapp. la/lu = 1.48); specie della Malaysia (Sabah) e delle Filippine (Luzon, Negros). Tegumento dorsale rosso-bruno, privo di microreticolazione e con punteggiatura fine e rada; rapporto antennomeri 3°/2° = 1.2. Formula tarsale ♂ 5-5-4, ♀ 5-4-4. Lungh. 2.0-2.5 mm. Edeago: fig. 562; spermateca: fig. 948; metafemore del ♂: fig. 1375 ..... **angelinii** Cooter

39 Rapporto antennomeri 3°/2° = 1.85, specie di dimensioni maggiori (lungh. 3.55 mm). Tegumento dorsale rosso-bruno scuro e con punteggiatura impressa e fitta; microreticolazione assente, solo vaghe tracce sulle elitre. Formula tarsale ♀ 5-4-4. Spermateca: fig. 949; metafemore della ♀: fig. 1376. Myanmar ..... **feai** Ang.

- Rapporto antennomeri 3°/2° = 1.5-1.65, specie di dimensioni minori (lungh. 2.0-3.4 mm) 40

40 Specie di Taiwan. Tegumento dorsale rosso-bruno e con punteggiatura fine e rada; microreticolazione assente, solo vaghe tracce sulle elitre; rapporto antennomeri 3°/2° = 1.5. Formula tarsale ♂ 5-5-4. Lungh. 2.5 mm. Edeago: fig. 563; metafemore del ♂: fig. 1377 ..... **taiwanense** Ang. & Dmz.

- Specie della restante Asia sudorientale 41

41 Rapporto pronoto/capo = 1.9 42

- Rapporto pronoto/capo = 1.6-1.8 43

42 Edeago in visione dorsale con apice sinuato al centro (fig. 564), rapporto antennomeri 3°/2° = 1.5, metafemori del ♂ lievemente sinuati al margine posteriore (fig. 1378). Tegumento dorsale rosso-bruno, privo di microreticolazione e con punteggiatura fine e rada su capo e pronoto, elitre solo con radi punti grandi e superficiali. Formula tarsale ♂ 5-5-4, ♀ 5-4-4. Lungh. 2.7-3.0 mm. Spermateca: fig. 950. India (Assam), Thailandia, Myanmar, Vietnam, Cina (Guangxi) ..... **manasicum** Ang. & Dmz.

- Edeago in visione dorsale con apice largamente arrotondato (fig. 565), rapporto antennomeri 3°/2° = 1.65, metafemori del ♂ dilatati al margine posteriore (fig. 1379). Tegumento dorsale rosso-bruno, privo di microreticolazione e con punteggiatura impressa e fitta su capo e pronoto, più fine e rada sulle elitre. Formula tarsale ♂ 5-5-4, ♀ 5-4-4. Lungh. 2.7-3.1 mm. Spermateca: fig. 951. India (Assam), Nepal, Myanmar, Vietnam ..... **tonkinense** Ang. & Cooter

43 Specie della Cina 44

- Specie del Nepal o Indonesia 45

44 Specie di dimensioni maggiori (lungh. 3.1-3.4 mm), antenne del ♂ con clava antennale costituita da 4 articoli. Tegumento dorsale rosso-bruno più o meno scuro, privo di microreticolazione e con punteggiatura fine e rada su capo e pronoto; rapporto antennomeri 3°/2° = 1.5. Formula tarsale ♂ 5-5-4, ♀ 5-4-4. Edeago: fig. 566; spermateca: fig. 952. metafemore del ♂: fig. 1380. Cina (Fujian) ..... **wuyishanicum** Ang. & Cooter

- Specie di dimensioni minori (lungh. 2.2-2.3 mm), antenne del ♂ con clava antennale costituita da 3 articoli. Tegumento dorsale rosso-bruno e con punteggiatura fine e rada; microreticolazione assente, solo vaghe tracce su pronoto ed elitre; rapporto antennomeri 3°/2° = 1.6. Formula tarsale ♂ 5-5-4. Lungh. 2.2-2.3 mm. Edeago: fig. 567; metafemore del ♂: fig. 1381. Cina (Sichuan) ..... **xilingense** Ang.

45 Specie del Nepal, pronoto poco trasverso (rapp. la/lu = 1.28), specie di dimensioni maggiori (lungh. 2.75 mm). Tegumento dorsale rosso-bruno e con punteggiatura fine e rada solo su capo e pronoto; microreticolazione assente, solo vaghe tracce sulle elitre; rapporto antennomeri 3°/2° = 1.5. Formula tarsale ♂ 5-5-4, ♀ 5-4-4. Edeago: fig. 568; spermateca: fig. 953; metafemore del ♂: fig. 1382 . . . . . **brahma** Ang. & Dmz.

- Specie dell'Indonesia (Sumatra), pronoto discretamente trasverso (rapp. la/lu = 1.43), specie di dimensioni minori (lungh. 2.0-2.3 mm). Tegumento dorsale rosso-bruno scuro e con punteggiatura fine sul capo, più impressa e fitta su pronoto ed elitre; microreticolazione assente, solo vaghe tracce sulle elitre; rapporto antennomeri 3°/2° = 1.5. Formula tarsale ♂ 5-5-4, ♀ 5-4-4. Edeago: fig. 569; metafemore del ♂: fig. 1383 . . . . . **tersum** Ang. & Dmz.

KEY TO THE SPECIES OF THE *ANDREWESI* PORTEVIN GROUP

1 Antennae uniformly testaceous 2

- Antennal club or some antennal segments dark or black . . 6

2 Ratio of 3rd/2nd antennal segments = 1. Length 2.7-3.25 mm. Aedeagus: fig. 527; spermatheca: fig. 924; male hind femora: fig. 1342. India (Kerala, Tamil Nadu) . . . . . **palnicum** Ang. & Dmz.

- Ratio of 3rd/2nd antennal segments = 1.2-1.3 3

3 Species of China (Guangxi). Length 2.6-2.8 mm. Aedeagus: fig. 528; spermatheca: fig. 925; male hind femora: fig. 1343 . . . . . **solutum** Ang. & Dmz.

- Species of India 4

4 Width ratio of pronotum/head = 1.8, pronotum moderately broader than long (ratio width/length = 1.52). Length 2.5-3.3 mm. Aedeagus: fig. 529; spermatheca: fig. 926; male hind femora: fig. 1344. India (Kerala, Tamil Nadu). . . . . **andrewesi** Port.

- Width ratio of pronotum/head = 2, pronotum very slightly broader than long (ratio width/length = 1.16-1.33) 5

5 Pronotum very slightly broader than long (ratio width/length = 1.16), size smaller (2.9-3.1 mm), head with superficial anterior-lateral dimples, elytra without puncturation, aedeagus in lateral view with thin parameres (fig. 530). Spermatheca: fig. 927; male hind femora: fig. 1345. India (Assam) . . . . . **assamense** Ang. & Dmz.

- Pronotum broader than long (ratio width/length = 1.33), size larger (3.2-3.5 mm), head with anterior-lateral dimples more evidently impressed, elytra with puncturation, aedeagus in dorsal view with parameres dilated (fig. 531). Spermatheca: fig. 928; male hind femora: fig. 1346. India (Kerala) . . . . . **pseudopalnicum** Ang. & Švec

6 Antennal club dark or black 7

- Antennal segments 6°-11° or 7°-10° or 7°-11° or 8°-10° or 9°-10° dark or black 14

7 Size smaller (1.9 mm). Indonesia (Java) . . . . . **insulare** Port.

- Size larger (2.2-4.1 mm) 8

8 Ratio of 3rd/2nd antennal segments = 1.6, antennal club black, size larger (3.75-4.1 mm). Aedeagus: fig. 532; spermatheca: fig. 929; male hind femora: fig. 1347. Nepal . . . . . **elegans** Ang. & Dmz.

- Ratio of 3rd/2nd antennal segments = 1.2-1.5, antennal club dark, size smaller (2.2-3.25 mm) 9

9 Width ratio of pronotum/head = 1.95, species of Indonesia (Sumatra). Aedeagus: fig. 533; male hind femora: fig. 1348 . . . . . **minusculum** Ang.

- Width ratio of pronotum/head = 1.6-1.75, species of Vietnam or Himalaya or Taiwan 10

10 Dorsum uniformly black, Vietnam. Length 2.4 mm. Spermatheca: fig. 930; female hind femora: fig. 1349 . . . **pocsi** Ang.

- Dorsum uniformly reddish-brown, Himalaya or Taiwan . 11

11 Species of Taiwan. Length 3.3-3.6 mm. Aedeagus: fig. 534; spermatheca: fig. 931; male hind femora: fig. 1350 . . . . . **serratum** Ang.

- Species of Himalaya 12

12 Ratio of 3rd/2nd antennal segments = 1.2, head and pronotum with microreticulation hardly evident. Length 2.2-2.3 mm. Aedeagus: fig. 535; spermatheca: fig. 932. India (Darjeeling), Nepal . . . . . **duofoveatum** Ang. & Dmz.

- Ratio of 3rd/2nd antennal segments = 1.3-1.4, head and pronotum without traces of microreticulation 13

13 Size larger (2.7-3.25 mm), head with anterior-lateral dimples, aedeagus in dorsal view with parameres weakly dilated at apex (fig. 536), male hind femora dilated at posterior margin (fig. 1351). Spermatheca: fig. 933. India (Darjeeling) . . . . . **sevokense** Ang. & Dmz.

- Size smaller (2.3-2-4 mm), head without anterior-lateral dimples, aedeagus in dorsal view with parameres clearly dilated at apex (fig. 537), male hind femora not dilated at posterior margin (fig. 1352). India (Darjeeling) . . . . . **ravana** Ang. & Dmz.

14 Ratio of 3rd/2nd antennal segments = 2 15

- Ratio of 3rd/2nd antennal segments = 0.9-1.85 16

15 Antennal segments 8°-10°dark, width ratio of pronotum/head = 1.95, pronotum very slightly broader than long (ratio width/length = 1.3), size larger (3.7-3.8 mm), male antennal club with 4 antennal segments, China (Yunnan). Head: fig. 110; aedeagus: fig. 538; male hind femora: fig. 1353 . . . . . **farkaci** Ang.

- Antennal segments 9°-10° dark, width ratio of pronotum/head = 2.1 pronotum moderately broader than long (ratio width/length = 1.68), size smaller (2.95 mm), male antennal club with 3 antennal segments, Vietnam. Aedeagus: fig. 539; male hind femora: fig. 1354 . . . . . **limbatum** Ang.

16 Ratio of 3rd/2nd antennal segments = 0.9-1 17

- Ratio of 3rd/2nd antennal segments = 1.2-1.85 19

17 Antennal segments 7°-10° dark, width ratio of pronotum/head = 1.78 pronotum very slightly broader than long (ratio width/length = 1.22), membranous wings absent, Sri Lanka. Length 2.3 mm. Head: fig. 111; aedeagus: fig. 540; spermatheca: fig. 934 . . . . . **globulosum** Hlisn.

- Antennal segments 9°-10° dark, width ratio of pronotum/head = 1.9-2.1, pronotum broader than long (ratio width/length = 1.38-1.46), membranous wings present, Malaysia, Indonesia, Philippines 18

18 Ratio of 3rd/2nd antennal segments = 0.9, width ratio of pronotum/head = 2.1, elytra with puncturation, aedeagus in lateral view with apex strongly reflexed (fig. 541). Length 2.2 mm. Head: fig. 112; male hind femora: fig. 1355. Philippines (Luzon) . . . . . **filiforme** Ang.

- Ratio of 3rd/2nd antennal segments = 1, width ratio of pronotum/head = 1.9, elytra without puncturation, aedeagus in lateral view with apex not reflexed (fig. 542). Length 2.3-2.5 mm. Spermatheca: fig. 935; male hind femora: fig. 1356. Singapore, Malaysia (Sabah, Sarawak), Indonesia (Sumatra), Philippines (Leyte) . . . . . **hammondi** Ang. & Cooter

19 Antennal segments 6°-11° or 7°-11° or 7°-10° dark 20

- Antennal segments 9°-10° dark 27

20 China (Zhejiang). Length 2.9 mm. Aedeagus: fig. 543; male hind femora: fig. 1357 . . . . . **wangi** Ang. & Cooter

- Species of remaining part of Asia 21

21 Antennal segments 6°-11° or 7°-11° dark 22

- Antennal segments 7°-10° dark 25

22 Antennal segments 6°-11° dark, elytra without puncturation. Length 2.75 mm. Aedeagus: fig. 544; male hind femora: fig. 1358. Malaysia (Sabah). . **rufoatrum** Ang. & Dmz.

- Antennal segments 7°-11° dark, elytra with puncturation . 23

23 Ratio of 3rd/2nd antennal segments = 1.6, size larger (3.7 mm), Malaysia (Malaya). Aedeagus: fig. 545; male hind femora: fig. 1359 . . . . . **bicoloratum** Ang.

- Ratio of 3rd/2nd antennal segments = 1.3-1.4, size smaller (2.6-3.2 mm), India (Kerala and Tamil Nadu or Karnataka) 24

24 Aedeagus in dorsal view with emarginate apex (fig. 546). Length 2.6-3.2 mm. India (Kerala, Tamil Nadu). Spermatheca: fig. 936; male hind femora: fig. 1360 . . . . . **mussardi** Ang. & Dmz.

- Aedeagus in dorsal view with rounded apex (fig. 547). Length 2.85-3.1 mm. India (Karnataka). Spermatheca: fig. 937; male hind femora: fig. 1361 . . . . . **karnatakaense** Ang. & Švec

25 Width ratio of pronotum/head = 2, India (Kumaon, Tamil Nadu). Length 2.8-3.1 mm. Aedeagus: fig. 548; spermatheca: fig. 938; male hind femora: fig. 1362 . . . . . **biimpressum** Champion

- Width ratio of pronotum/head = 1.72-1.81, Indonesia or Vietnam 26

26 Ratio of 3rd/2nd antennal segments = 1.35, elytra without puncturation, head without anterior-lateral dimples, dorsum uniformly reddish-brown, aedeagus in dorsal view with apex emarginate (fig. 549), Vietnam. Length 2.7-2.8 mm. Spermatheca: fig. 939; male hind femora: fig. 1363 . . . . . **coomani** Port.

- Ratio of 3rd/2nd antennal segments = 1.6, elytra with puncturation, head with anterior-lateral dimples, dorsum uniformly black, aedeagus in dorsal view with truncate apex (fig. 550), Indonesia (Java). Length 2.5-2.8 mm. Spermatheca: fig. 940; male hind femora: fig. 1364 . . . . . **nitidum** Ang. & Dmz.

27 Ratio of 3rd/2nd antennal segments = 1.15-1.3 28

- Ratio of 3rd/2nd antennal segments = 1.5-1.85 39

28 Species of Japan or China and/or Taiwan 29

- Species of Indochina or Indonesia or Philippines and/or Malaysia 32

29 Species of Japan (Ryukyus). Length 2.65 mm. Aedeagus: fig. 551 . . . . . **nomurai** Hoshina

- Species of China and/or Taiwan 30

30 Size smaller (2.4 mm). Aedeagus: fig. 552; male hind femora: fig. 1365. China (Yunnan) . . . . . **imitans** Ang.

- Size larger (3.0-3.4 mm) 31

31 Size smaller (3.0 mm), aedeagus in dorsal view with parameres dilated at apex (fig. 553). Head: fig. 113; spermatheca: fig. 941; male hind femora: fig. 1366. Taiwan, China (Guangxi, Shaanxi, Hong Kong) . . . **venustum** Ang. & Dmz.

- Size larger (3.4 mm), aedeagus in dorsal view with parameres dilated before of the apex (fig. 554). Male hind femora: fig. 1367. Taiwan . . . . . **fenchihuense** Ang.

32 Species of Indochina 33

- Species of Indonesia or Philippines and/or Malaysia 35

33 Size larger (3.25 mm), male hind femora with a tooth at posterior margin (fig: 1368). Aedeagus: fig. 555; spermatheca: fig. 942. Thailand, Vietnam . **inornatum** Ang. & Dmz.

- Size smaller (2.3-2.7 mm), male hind femora dilated at posterior margin 34

34 Pronotum moderately broader than long (ratio width/length = 1.53), aedeagus in dorsal view narrowed before of the apex (fig. 556), size larger (2.7 mm). Spermatheca: fig. 943; male hind femora: fig. 1369. Vietnam . . . . . **topali** Ang. & Dmz.

- Pronotum slightly broader than long (ratio width/length = 1.35), aedeagus in dorsal view uniformly narrowed to apex (fig. 557), size smaller (2.3 mm). Male hind femora: fig. 1370. Thailand . . . . . **capitulatum** Ang. & Dmz.

35 Aedeagus in lateral view with apex reflexed (fig. 558). Length 2.8-3.0 mm. Spermatheca: fig. 944; male hind femora: fig. 1371. Malaysia (Malaya) . . . **schuhi** Ang. & Dmz.

- Aedeagus in lateral view with apex not reflexed (figs. 559-562) 36

36 Width ratio of pronotum/head = 1.95. Length 2.35-2.8 mm. Aedeagus: fig. 559; spermatheca: fig. 945; male hind femora: fig. 1372. Indonesia (Sulawesi) . . . . . **celebense** Port.

- Width ratio of pronotum/head = 1.8 37

37 Aedeagus in dorsal view uniformly narrowed to apex (fig. 560). Length 2.45-2.7 mm. Spermatheca: fig. 946; male hind femora: fig. 1373. Indonesia (Sumatra) . . . . . **sumatrense** Ang. & Dmz.

- Aedeagus in dorsal view strongly narrowed to apex (figs. 561-562) 38

38 Pronotum very slightly broader than long (ratio width/length = 1.35), Indonesia (Mentawai). Length 2.3-2.5 mm. Aedeagus: fig. 561; spermatheca: fig. 947; male hind femora: fig. 1374 . . . . . **mentawaicum** Ang.

- Pronotum moderately broader than long (ratio width/length = 1.48), Malaysia (Sabah) and Philippines (Luzon, Negros). Length 2.0-2.5 mm. Aedeagus: fig. 562; spermatheca: fig. 948; male hind femora: fig. 1375 . . . . . **angelinii** Cooter

39 Ratio of 3rd/2nd antennal segments = 1.85, size larger (3.55 mm). Spermatheca: fig. 949; female hind femora: fig. 1376. Myanmar . . . . . **feai** Ang.

- Ratio of 3rd/2nd antennal segments = 1.5-1.65, size smaller (2.0-3.4 mm) 40

40 Species of Taiwan. Length 2.5 mm. Aedeagus: fig. 563; male hind femora: fig. 1377 . . . . . **taiwanense** Ang. & Dmz.

- Species of the remaining part of southeast Asia 41

41 Width ratio of pronotum/head = 1.9 42

- Width ratio of pronotum/head = 1.6-1.8 43

42 Aedeagus in dorsal view with apex emarginate at middle (fig. 564), ratio of 3rd/2nd antennal segments = 1.5, male

hind femora sinuate at posterior margin (fig. 1378). Length 2.7-3.0 mm. Spermatheca: fig. 950. India (Assam), Thailand, Myanmar. Vietnam, China (Guangxi) . . . . . **manasicum** Ang. & Dmz.

- Aedeagus in dorsal view rounded at apex (fig. 565), ratio of 3rd/2nd antennal segments = 1.65, male hind femora dilated at posterior margin (fig. 1379). Length 2.7-3.1 mm. Spermatheca: fig. 951. India (Assam), Nepal, Myanmar, Vietnam . . . . . **tonkinense** Ang. & Cooter

43 Species of China 44

- Species of Nepal or Indonesia 45

44 Size larger (3.1-3.4 mm), male antennal club with 4 antennal segments. Aedeagus: fig. 566; spermatheca: fig. 952; male hind femora: fig. 1380. China (Fujian) . . . . . **wuyishanicum** Ang. & Cooter

- Size smaller (2.2-2.3 mm), male antennal club with 3 antennal segments. Aedeagus: fig. 567; male hind femora: fig. 1381. China (Sichuan) . . . . . **xilingense** Ang.

45 Species of Nepal, pronotum very slightly broader than long (ratio width/length = 1.28), size larger (2.75 mm). Aedeagus: fig. 568; spermatheca: fig. 953; male hind femora: fig. 1382 . . . . . **brahma** Ang. & Dmz.

- Species of Indonesia (Sumatra), pronotum moderately broader than long (ratio width/length = 1.43), size smaller (2.0-2.3 mm). Aedeagus: fig. 569; male hind femora: fig. 1383 . . . . . **tersum** Ang. & Dmz.

Sottogenere ***Macroceble*** Angelini, 1993

Macroceble Angelini, 1993: 30; 1995c: 35; 1996: 13; 1999a: 924; 1999b: 178; 2000b: 156; 2000c: 66; 2002a: 377; 2002b: 503; Angelini & De Marzo, 1994: 36; 1995a: 198; 1995b: 179; 1998a: 127; Hoshina, 1998: 140; Angelini & Cooter, 1999: 226; 2003: 22.

Specie tipo: *Agathidium shermathangense* Angelini & De Marzo, 1981.

Diagnosi. Metasterno fortemente ridotto in lunghezza (fig. 16) per cui le mesocoxe sono a contatto con le metacoxe. Rapporto

di larghezza pronoto/capo mediamente minore che nelle specie congeneri (preponderanza dei valori compresi tra 1.2-1,3 (eccezionalmente 1,12 o 1,5) anziché 1.4-1.7); molto spesso il metasterno presenta un'apofisi tra le metacoxe, a forma di tubercolo maggiormente sviluppato nei maschi. Elitre con angolo omerale debole (fig. 29) o netto (figg. 27-31).

Discussione. Le specie di questo sottogenere, pressoché esclusivo della regione orientale, presentano varie caratteristiche di evoluzione avanzata o caratteristiche del tutto peculiari quali: a) presenza di rade e lunghe setole in una specie (*A. pilosellum* Ang. & Dmz., figg. 30-31) analogamente ad *A.* (*Chaetoceble*) *pilosum* Deville delle Alpi Marittime; b) clipeo a forma di punta (figg. 114-116) in quattro specie (*A. pseudoscutellare* Ang., *A. ivani* Ang., *A. scutellare* Ang. & Dmz. e *A. cameronicum* Ang. & Dmz.), caratteristica inusuale nell'intera sottofamiglia; c) edeago di forma assolutamente inusuale in una specie (*A. abominabile* Ang. & Dmz., fig. 619) e con parameri particolarmente complessi in altre (figg. 620, 622); d) assenza degli occhi in una specie (*A. anophthalmicum* Ang. & Dmz.); e) occhi particolarmente allungati e spesso non visibili dal dorso. In tutte le specie, tranne *A. newtoni* Ang., è assente la linea clipeale. In alcune specie si è rilevata la ricomparsa di caratteri ancestrali quali la presenza di un pronunciato corno sulla mandibola sinistra del maschio e/o edeago con sbocco del dotto eiaculatore libero, analogamente alle specie dei sottogeneri *Cyphoceble* e *Neoceble*. La formula tarsale maschile può essere 5-5-4 (25 specie) o 4-4-4 (20 specie), quella femminile 5-4-4 (12 specie) o 4-4-4 (26 specie).

Distribuzione geografica. Sottogenere presente nella regione paleartica orientale (Giappone e Cina) con 14 specie e orientale con 49 (59 considerando la Cina paleartica); nella regione orientale è presente nella sottoregione himalayana, in Meghalaya, in Thailandia, in Malaysia, in Cina, Taiwan e Giappone (Ryukyus).

CHIAVE DICOTOMICA DELLE SPECIE DEL SOTTOGENERE *MACROCEBLE* ANGELINI, 1993

1 Capo con clipeo appuntito (figg. 114-116) 2

- Capo con clipeo incavato (figg. 117-136) 5

2 Rapporto antennomeri 3°/2° = 0.7-0.8, specie di dimensioni minori (lungh. 1.70-1.85 mm) 3

- Rapporto antennomeri 3°/2° = 1.2-1.35, specie di dimensioni maggiori (lungh. 2.1-3.3 mm) 4

3 Rapporto antennomeri 3°/2° = 0.7, rapporto pronoto/capo = 1.18, edeago in visione laterale con apice non curvato verso l'alto (fig. 570), metafemori del ♂ molto dilatati al margine posteriore (fig. 1384). Tegumento dorsale rosso-bruno, privo di microreticolazione e con punteggiatura microscopica; antenne uniformemente testacee. Formula tarsale ♂ 4-4-4. Lungh. 1.75. Capo: fig. 114; habitus in visione dorsale e laterale: figg. 26-27. Malaysia (Malaya) . . . . . **pseudoscutellare** Ang.

- Rapporto antennomeri 3°/2° = 0.8, rapporto pronoto/capo = 1.27, edeago in visione laterale con apice rivolto verso l'alto (fig. 571), metafemori del ♂ poco dilatati al margine posteriore (fig. 1385). Tegumento dorsale rosso-bruno e con vaghe tracce di microreticolazione; punteggiatura assente, solo radi microscopici punti sull'intero dorso; antenne uniformemente testacee. Formula tarsale ♂ e ♀ 4-4-4. Lungh. 1.70-1.85. Capo: fig. 115; spermateca: fig. 954. Malaysia (Malaya) . . . . . **ivani** Ang.

4 Rapporto antennomeri 3°/2° = 1.2, specie di dimensioni minori (lungh. 2.1-2.5 mm), massima larghezza del capo a livello degli occhi. Tegumento dorsale uniformemente nero o con capo rosso-bruno, interamente privo di microreticolazione e con punteggiatura fine e rada; antenne uniformemente testacee. Formula tarsale ♂ e ♀ 4-4-4. Edeago: fig. 572; spermateca: fig. 955; metafemore del ♂: fig. 1386; habitus in visione dorsale e laterale: figg. 28-29. Thailandia . . . . . **scutellare** Ang. & Dmz.

- Rapporto antennomeri 3°/2° = 1.35, specie di dimensioni maggiori (lungh. 2.9-3.3 mm), massima larghezza del capo al margine posteriore degli occhi (fig. 116). Tegumento dorsale nero e privo di microreticolazione; punteggiatura assente, solo radi microscopici punti sull'intero dorso; antenne uniformemente testacee. Formula tarsale ♂ e ♀ 4-4-4. Edeago:

fig. 573; spermateca: fig. 956; metafemore del ♂: fig. 1387. Malaysia (Malaya) ..... **cameronicum** Ang. & Dmz.

5 Capo privo di occhi. Tegumento dorsale rosso-bruno, privo di microreticolazione e con punteggiatura fine e rada; antenne uniformemente testacee; rapporto antennomeri 3°/2° = 1.2. Formula tarsale ♂ e ♀ 4-4-4. Lungh. 1.35-1.55 mm. Capo: fig. 117; edeago: fig. 574; spermateca: fig. 957; metafemore del ♂: fig. 1388. India (Darjeeling) .... **anophthalmicum** Ang. & Dmz.

- Capo con occhi 6

6 Tegumento dorsale con lunghe e rade setole. Dorso rosso-bruno, privo di microreticolazione e con punteggiatura molto fine e rada solo su capo e pronoto; antenne uniformemente testacee; rapporto antennomeri 3°/2° = 1. Formula tarsale ♂ e ♀ 4-4-4. Lungh. 1.9-1.95 mm. Edeago: fig. 575; spermateca: fig. 958; metafemore del ♂: fig. 1389; habitus in visione dorsale e laterale: figg. 30-31. Malaysia (Malaya) ..... **pilosellum** Ang. & Dmz.

- Tegumento dorsale con brevi e rade setole 7

7 Elitre con strie suturali. Tegumento dorsale rosso-bruno, privo di microreticolazione e con punteggiatura microscopica solo su capo e pronoto; antenne uniformemente testacee; rapporto antennomeri 3°/2° = 1.5. Formula tarsale ♂ 5-5-4. Lungh. 3.1 mm. Edeago: fig. 576; metafemore del ♂: fig. 1390. Cina (Yunnan) ..... **ambiguum** Ang.

- Elitre senza strie suturali 8

8 Massima larghezza del capo al margine posteriore degli occhi o dietro di esso (figg. 118-125) 9

- Massima larghezza del capo a livello degli occhi (figg. 126-136) 19

9 Massima larghezza del capo al margine posteriore degli occhi (figg. 118-122) 10

- Massima larghezza del capo dietro al margine posteriore degli occhi (figg. 123-125) 17

10 Rapporto antennomeri 3°/2° = 1. Tegumento dorsale rosso-bruno o nero, privo di microreticolazione e con punteggiatura fine e rada; antenne uniformemente testacee. Formula tarsale ♂ e ♀ 4-4-4. Lungh. 2.1-2.4 mm. Edeago: fig. 577; spermateca: fig. 959; metafemore del ♂: fig. 1391. Malaysia (Malaya) . . . . . **malaysicum** Ang. & Dmz.

- Rapporto antennomeri 3°/2° = 1.15-2.3 11

11 Rapporto antennomeri 3°/2° = 2.3. Tegumento dorsale nero e con punteggiatura microscopica e rada; microreticolazione assente, solo vaghe tracce sulle elitre; antenne uniformemente testacee. Formula tarsale ♂ e ♀ 4-4-4. Lungh. 2.9-3.6 mm. Capo: fig. 118; edeago: fig. 578; spermateca: fig. 960; metafemore del ♂: fig. 1392. Malaysia (Malaya) . . . . . **distinctum** Ang. & Dmz.

- Rapporto antennomeri 3°/2° = 1.15-1.6 12

12 Intero tegumento dorsale privo di punteggiatura. Tegumento dorsale nero e privo di microreticolazione; antenne uniformemente testacee; rapporto antennomeri 3°/2° = 1.5. Formula tarsale ♂ e ♀ 4-4-4. Lungh. 2.3-2.6 mm. Edeago: fig. 579; spermateca: fig. 961; metafemore del ♂: fig. 1393; antenna: fig. 12. Malaysia (Malaya) . . **jaccoudi** Ang. & Dmz.

- Tegumento dorsale interamente o parzialmente punteggiato 13

13 Rapporto antennomeri 3°/2° = 1.15, pronoto o elitre prive di punteggiatura 14

- Rapporto antennomeri 3°/2° = 1.3-1.6, dorso interamente punteggiato 15

14 Specie della Cina (Jiangxi), pronoto con punteggiatura, metafemori del ♂ sinuati al margine posteriore (fig. 1394), rapporto pronoto/capo = 1.3, specie di dimensioni minori (lungh. 2.5-2.75 mm), formula tarsale ♂ 5-4-4, tegumento dorsale rosso-bruno. Microreticolazione assente, solo vaghe tracce sull'intero dorso; punteggiatura fine sul capo, assente sulle elitre; antenne uniformemente testacee. Formula tarsale ♀ 5-4-4. Capo: fig. 119; edeago: fig. 580; spermateca: fig. 962 . . . . . **hlavaci** Ang. & Cooter

- Specie della Malaysia (Malaya) pronoto privo di punteggiatura, metafemori del ♂ con dente al margine posteriore (fig. 1395), rapporto pronoto/capo = 1.2, specie di dimensioni maggiori (lungh. 2.9-3.2 mm), formula tarsale ♂ 4-4-4, tegumento dorsale uniformemente nero. Microreticolazione assente, solo vaghe tracce sulle elitre; punteggiatura fine e rada sul capo, pressoché assente sulle elitre; antenne uniformemente testacee. Capo: fig. 120; edeago: fig. 581 . . . . . **aterrimum** Ang. & Dmz.

15 Occhi poco visibili dal dorso, rapporto antennomeri 3°/2° = 1.3, pronoto discretamente trasverso (rapp. la/lu = 1.38), metafemori del ♂ con dente al margine posteriore (fig. 1396), specie di dimensioni minori (lungh. 2.5 mm). Tegumento dorsale nero oppure capo rosso-bruno e pronoto ed elitre neri con lati più chiari, interamente con punteggiatura fine e rada; microreticolazione assente sul pronoto, poco evidente sul capo ed elitre; antenne uniformemente testacee. Formula tarsale ♂ 4-4-4. Edeago: fig. 582. Malaysia (Malaya) . . . . . **austerum** Ang. & Dmz.

- Occhi ben visibili dal dorso, rapporto antennomeri 3°/2° = 1.6, pronoto poco trasverso (rapp. la/lu = 1.21-1.25), metafemori del ♂ dilatati al margine posteriore (figg. 1397-1398), specie di dimensioni maggiori (lungh. 2.7-2.8 mm) 16

16 Intero tegumento dorsale con microreticolazione appena evidente, rapporto pronoto/capo = 1.25, edeago in visione laterale con apice curvato verso l'alto (fig. 583). Tegumento dorsale nero con lati più chiari oppure rosso-bruno scuro con capo più chiaro, interamente con punteggiatura fine e rada; antenne uniformemente testacee; rapporto antennomeri 3°/2° = 1.6. Formula tarsale ♂ e ♀ 4-4-4. Lungh. 2.7-2.8 mm. Capo: fig. 121; spermateca: fig. 963; metafemore del ♂: fig. 1397. Malaysia (Malaya) . . . . . **amoenum** Ang. & Dmz.

- Capo e pronoto non microreticolati, rapporto pronoto/capo = 1.16, edeago in visione laterale con apice non curvato verso l'alto (fig. 584). Tegumento dorsale rosso-bruno scuro con lati più chiari, interamente con punteg-

giatura microscopica e rada; microreticolazione assente, solo vaghe tracce sulle elitre; antenne uniformemente testacee; rapporto antennomeri 3°/2° = 1.6. Formula tarsale ♂ e ♀ 4-4-4. Lungh. 2.7-2.8 mm. Capo: fig. 122; spermateca: fig. 964; metafemore del ♂: fig. 1398. Malaysia (Malaya) ..... **selangoricum** Ang. & Dmz.

17 Rapporto antennomeri 3°/2° = 1.4. Tegumento dorsale rosso-bruno; microreticolazione poco evidente su capo e pronoto, molto superficiale sulle elitre; punteggiatura microscopica su capo e pronoto, assente sulle elitre; antenne uniformemente testacee. Formula tarsale ♂ 5-5-4. Lungh. 2.15 mm. Capo: fig. 123; edeago: fig. 585; metafemore del ♂: fig. 1399. Cina (Hubei) ..... **nanum** Ang.

- Rapporto antennomeri 3°/2° = 1-1.1 18

18 Specie di dimensioni minori (lungh. 1.70-1.75 mm), pronoto discretamente trasverso (rapp. la/lu = 1.52). Tegumento dorsale rosso-bruno; microreticolazione assente, solo vaghe tracce su pronoto ed elitre; punteggiatura microscopica su capo e pronoto, solo rari punti sulle elitre; rapporto antennomeri 3°/2° = 1, antenne uniformemente testacee. Formula tarsale ♂ 5-5-4, ♀ 4-4-4. Capo: fig. 124; edeago: fig. 586; metafemore del ♂: fig. 1400. Cina (Jiangxi, Fujian) ..... **dongnanense** Ang. & Cooter

- Specie di dimensioni maggiori (lungh. 2.2-2.3 mm), pronoto poco trasverso (rapp. la/lu = 1.37). Tegumento dorsale rosso-bruno e con vaghe tracce di microreticolazione; punteggiatura assente, solo rari microscopici punti; rapporto antennomeri 3°/2° = 1.1, antenne uniformemente testacee. Formula tarsale ♂ 5-5-4, ♀ 4-4-4. Capo: fig. 125; edeago: fig. 587; spermateca: fig. 965; metafemore del ♂: fig. 1401. Cina (Hubei) ..... **penultimum** Ang. & Cooter

19 Tegumento dorsale interamente o parzialmente microreticolato 20

- Tegumento dorsale non microreticolato 27

20 Rapporto antennomeri 3°/2° = 2. Tegumento dorsale nero con lati più chiari, punteggiatura fine e rada; microretico-

lazione superficiale su capo e pronoto, assente sulle elitre, doppia sulle elitre; antenne uniformemente testacee. Formula tarsale ♂ 5-5-4, ♀ 5-4-4. Lungh. 2.6-2.8 mm. Edeago: fig. 588; spermateca: fig. 966. India (Darjeeling, Meghalaya), Nepal . . . . . **singmaricum** Ang. & Dmz.

- Rapporto antennomeri 3°/2° = 0.6-1.7 21

21 Rapporto antennomeri 3°/2° = 0.6, clipeo delimitato lateralmente da due solchi obliqui, capo striolato solo sul clipeo, pronoto poco trasverso (rapp. la/lu = 1.16). Tegumento dorsale rosso-bruno scuro e con microreticolazione poco evidente solo su capo ed elitre; punteggiatura microscopica su capo e pronoto, assente sulle elitre; antenne uniformemente testacee. Formula tarsale ♂ 5-5-4, ♀ 5-4-4. Lungh. 2.65-2.70 mm. Capo: fig. 126; edeago: fig. 589; spermateca: fig. 967; metafemore del ♂: fig. 1402. Cina (Shaanxi) . . . . . **newtoni** Ang.

- Rapporto antennomeri 3°/2° = 1.2-1.7, clipeo non delimitato lateralmente da due solchi obliqui, capo non striolato sul clipeo, pronoto discretamente trasverso (rapp. la/lu = 1.53-1.78) 22

22 Rapporto antennomeri 3°/2° = 1.7 23

- Rapporto antennomeri 3°/2° = 1.2-1.5 24

23 Capo e pronoto con microreticolazione impressa e privi di punteggiatura, specie di dimensioni maggiori (lungh. 3.7-3.9 mm). Tegumento dorsale nero; elitre con microreticolazione poco evidente e punteggiatura superficiale e rada; antenne uniformemente testacee; rapporto antennomeri 3°/2° = 1.7. Formula tarsale ♂ 5-5-4, ♀ 5-4-4. Edeago: fig. 590; spermateca: fig. 968; metafemore del ♂: fig. 1403. Nepal . . . . . **invalidum** Ang. & Dmz.

- Capo e pronoto con microreticolazione superficiale e con punteggiatura, specie di dimensioni minori (lungh. 2.7-3.1 mm). Tegumento dorsale rosso-bruno e con microreticolazione superficiale; punteggiatura impressa e fitta sul pronoto, più fine e rada sul capo, pressoché assente sulle elitre; antenne uniformemente testacee; rapporto antennomeri

3°/2° = 1.7. Formula tarsale ♂ 5-5-4, ♀ 5-4-4. Edeago: fig. 591; spermateca: fig. 969; metafemore del ♂: fig. 1404. Nepal . . . . . **geminatum** Ang. & Dmz.

24 Capo e pronoto con microreticolazione impressa, antenne testacee con clava nera. Tegumento dorsale rosso-bruno o nero con lati più chiari, interamente con microreticolazione impressa e regolare e privo di punteggiatura; rapporto antennomeri 3°/2° = 1.2. Formula tarsale ♂ 5-5-4, ♀ 4-4-4. Lungh. 2.2-2.7 mm. Edeago: fig. 592; spermateca: fig. 970; metafemore del ♂: fig. 1405. India (Darjeeling), Nepal . . . . . **shermathangense** Ang. & Dmz.

- Capo e pronoto con microreticolazione superficiale o assente, antenne uniformemente testacee o con clava più chiara 25

25 Capo e pronoto con microreticolazione superficiale. Tegumento dorsale rosso-bruno e privo di punteggiatura; antenne testacee con clava più chiara; rapporto antennomeri 3°/2° = 1.3. Formula tarsale ♂ 5-5-4. Lungh. 2.35 mm. Edeago: fig. 593; metafemore del ♂: fig. 1406. Nepal . . . . . **fatuum** Ang. & Dmz.

- Capo e pronoto privi di microreticolazione 26

26 Pronoto ed elitre privi di punteggiatura, elitre con microreticolazione impressa, edeago in visione laterale con apice non curvato verso l'alto (fig. 594). Tegumento dorsale rosso-bruno; microreticolazione assente su capo e pronoto; punteggiatura fine e rada sul capo; antenne uniformemente testacee; rapporto antennomeri 3°/2° = 1.5. Formula tarsale ♂ 5-5-4, ♀ 5-4-4. Lungh. 2.3-2.8 mm. Spermateca: fig. 971; metafemore del ♂: fig. 1407. Nepal . . . . . **longum** Ang. & Dmz.

- Pronoto ed elitre con punteggiatura, elitre con microreticolazione superficiale, edeago in visione laterale con apice curvato verso l'alto (fig. 595). Tegumento dorsale rosso-bruno e con punteggiatura fine e rada; capo e pronoto non microreticolati; antenne uniformemente testacee; rapporto antennomeri 3°/2° = 1.45. Formula tarsale ♂ 5-5-4, ♀ 5-4-4. Lungh. 2.2 mm. Spermateca: fig. 972. India (Darjeeling), Nepal . . . . . **breve** Ang. & Dmz.

27 Antenne uniformemente testacee 28

- Antenne testacee con alcuni antennomeri scuri 52

28 Rapporto antennomeri 3°/2° = 0.8. Tegumento dorsale rosso-bruno e privo di microreticolazione; punteggiatura assente, solo radi microscopici punti sull'intero dorso. Formula tarsale ♂ 4-4-4. Lungh. 2.0 mm. Capo: fig. 127; edeago: fig. 596; metafemore del ♂: fig. 1408. Malaysia (Malaya) . . . . . **inopinatum** Ang.

- Rapporto antennomeri 3°/2° = 1-2.1 29

29 Specie del Giappone (Ryukyus) o Taiwan o Cina 30

- Specie della sottoregione himalayana o Malaysia (Malaya) 38

30 Specie del Giappone (Ryukyus). Tegumento dorsale rosso-bruno, privo di microreticolazione e con punteggiatura microscopica e poco visibile; rapporto antennomeri 3°/2° = 1. Formula tarsale ♂ 5-5-4, ♀ 4-4-4. Lungh. 1.85 mm. Edeago: fig. 597; spermateca: fig. 973. . . . **narusawae** Hoshina

- Specie di Taiwan o Cina 31

31 Specie di Taiwan. Tegumento dorsale rosso-bruno scuro o nero, privo di microreticolazione e con punteggiatura fine e rada; rapporto antennomeri 3°/2° = 1. Formula tarsale ♂ 5-5-4, ♀ 4-4-4. Lungh. 2.3-2.4 mm. Edeago: fig. 598; spermateca: fig. 974; metafemore del ♂: fig. 1409. . . . . **oblitum** Ang. & Dmz.

- Specie della Cina 32

32 Capo e/o elitre con microreticolazione appena evidente . . . 33

- Intero dorso senza tracce di microreticolazione 34

33 Rapporto antennomeri 3°/2° = 1.05, rapporto pronoto/capo = 1.5, specie di dimensioni minori (lungh. 2.9 mm). Tegumento dorsale di capo e pronoto rosso-bruno, elitre più scure; capo ed elitre con microreticolazione appena evidente, pronoto con punteggiatura microscopica. Formula tarsale ♂ 5-5-4, ♀ 4-4-4. Edeago: fig. 599; spermateca: fig. 975; metafemore del ♂: fig. 1410. Cina (Sichuan, Shaanxi) . . . . . **truncatum** Ang.

- Rapporto antennomeri 3°/2° = 2, rapporto pronoto/capo = 1.24, specie di dimensioni maggiori (lungh. 3.3 mm). Tegumento dorsale rosso-bruno scuro e con punteggiatura fine e rada; microreticolazione presente in tracce solo sulle elitre. Formula tarsale ♂ 5-5-4. Edeago: fig. 600; metafemore del ♂: fig. 1411. Cina (Shaanxi) . **sescentesimum** Ang.

34 Pronoto discretamente trasverso (rapp. la/lu = 1.49), specie di dimensioni mediamente minori (lungh. 2.35 mm). Tegumento dorsale rosso-bruno, privo di microreticolazione e con punteggiatura fine e rada solo sul capo, assente sul pronoto ed elitre; rapporto antennomeri 3°/2° = 1. Formula tarsale ♂ 5-5-4. Capo: fig. 128; edeago: fig. 601; metafemore del ♂: fig. 1412. Cina (Shaanxi) . . . . . **macrocephalum** Ang.

- Pronoto poco trasverso (rapp. la/lu = 1.07-1.22), specie di dimensioni mediamente maggiori (lungh. 2.4-3.05 mm) . . . 35

35 Elitre del tutto prive di punteggiatura, metafemori del ♂ non o poco dilatati al margine posteriore (figg. 1413-1414) 36

- Elitre con punteggiatura microscopica, metafemori del ♂ o della ♀ nettamente dilatati al margine posteriore (figg. 1415-1416) 37

36 Specie di dimensioni minori (lungh. 2.4-2.6 mm), edeago in visione dorsale ristretto prima dell'apice (fig. 602), metafemori del ♂ sinuati al margine posteriore (fig. 1413), formula tarsale ♂ 4-4-4. Tegumento dorsale rosso-bruno scuro, privo di microreticolazione e con punteggiatura fine e rada solo su capo e pronoto; rapporto antennomeri 3°/2° = 1.1. Formula tarsale ♀ 4-4-4. Capo: fig. 129. Cina (Sichuan) . . . . . **tarsale** Ang.

- Specie di dimensioni maggiori (lungh. 2.9 mm), edeago in visione dorsale uniformemente ristretto verso l'apice (fig. 603), metafemori del ♂ rettilinei al margine posteriore (fig. 1414), formula tarsale ♂ 5-5-4. Tegumento dorsale rosso-bruno scuro e con punteggiatura fine e rada sul capo, assente su pronoto ed elitre; rapporto antennomeri 3°/2° = 1. Cina (Sichuan, ? Jiangxi) . . . . . **emeicum** Ang.

37 Specie di dimensioni minori (lungh. 2.7 mm), rapporto antennomeri 3°/2° = 1. Tegumento dorsale rosso-bruno scuro, privo di microreticolazione e con punteggiatura fine e rada. Formula tarsale ♀ 4-4-4. Capo: fig. 130; spermateca: fig. 976; metafemore della ♀: fig. 1415. Cina (Guangxi) . . . . . **soror** Ang. & Cooter

- Specie di dimensioni maggiori (lungh. 2.9-3.05 m), rapporto antennomeri 3°/2° = 0.8. Tegumento dorsale rosso-bruno, pronoto ed elitre nere; microreticolazione assente; punteggiatura impressa sul capo, microscopica su pronoto ed elitre. Formula tarsale ♂ 5-5-4. Edeago: fig. 604; spermateca: fig. 977; metafemore del ♂: fig. 1416. Cina (Hubei) . . . . . **ultimum** Ang. & Cooter

38 Specie della sottoregione himalayana, formula tarsale ♂ 5-5-4 39

- Specie della Malaysia (Malaya), formula tarsale ♂ 4-4-4 . . 47

39 Rapporto antennomeri 3°/2° = 2.1. Tegumento dorsale nero con lati più chiari, privo di microreticolazione e con punteggiatura fine e rada, doppia sulle elitre. Formula tarsale ♀ 5-4-4. Lungh. 2.5-2.8 mm. Spermateca: fig. 978. India (Darjeeling), Nepal . **unumvesciculatum** Ang. & Dmz.

- Rapporto antennomeri 3°/2° = 1.3-1.8 40

40 Pronoto poco trasverso (rapp. la/lu = 1.16). Tegumento dorsale di capo e pronoto rosso-bruno scuro, elitre nere; microreticolazione assente; punteggiatura fine e rada su capo e pronoto, assente sulle elitre; rapporto antennomeri 3°/2° = 1.6. Formula tarsale ♂ 5-5-4, ♀ 5-4-4. Lungh. 3.1 mm. Edeago: fig. 605; spermateca: fig. 979; metafemore del ♂: fig. 1417. India (Darjeeling) . . . . . **quaterfoveatum** Ang. & Dmz.

- Pronoto discretamente trasverso (rapp. la/lu = 1.46-1.64). . 41

41 Intero tegumento dorsale privo di punteggiatura 42

- Intero tegumento dorsale punteggiato o solo le elitre prive di punteggiatura 43

42 Elitre con microreticolazione appena evidente, rapporto antennomeri 3°/2° = 1.3, specie di dimensioni minori

(lungh. 2.2-2.4 mm), edeago in visione dorsale uniformemente ristretto verso l'apice (fig. 606). Tegumento dorsale rosso-bruno e privo di microreticolazione su capo e pronoto. Formula tarsale ♂ 5-5-4, ♀ 4-4-4. Spermateca: fig. 980; metafemore del ♂: fig. 1418. Nepal . . . . . **schawalleri** Ang. & Dmz.

- Elitre non microreticolate, rapporto antennomeri 3°/2° = 1.6, specie di dimensioni maggiori (lungh. 2.5-2.7 mm), edeago in visione dorsale ristretto prima dell'apice (fig. 607). Tegumento dorsale rosso-bruno e privo di microreticolazione. Formula tarsale ♂ 5-5-4, ♀ 4-4-4. Spermateca: fig. 981. Nepal . . . . . **sherpa** Ang. & Dmz.

43 Specie di dimensioni minori (lungh. 1.9-2.6 mm) 44

- Specie di dimensioni maggiori (lungh. 2.8-3.4 mm) 45

44 Edeago in visione dorsale uniformemente ristretto verso l'apice (fig. 608), elitre prive di punteggiatura. Tegumento dorsale rosso-bruno, privo di microreticolazione e con punteggiatura fine e rada solo su capo e pronoto; rapporto antennomeri 3°/2° = 1.4. Formula tarsale ♂ 5-5-4, ♀ 5-4-4. Lungh. 1.9-2.3 mm. Spermateca: fig. 982; meso- e metasterno: fig. 16. India (Sikkim, Darjeeling), Nepal . . . . . **brancuccii** Ang. & Dmz.

- Edeago in visione dorsale ristretto prima dell'apice (fig. 609), elitre con fine e rada punteggiatura. Tegumento dorsale rosso-bruno scuro, privo di microreticolazione e con punteggiatura fine e rada; rapporto antennomeri 3°/2° = 1.35. Formula tarsale ♂ 5-5-4, ♀ 5-4-4. Lungh. 2.0-2.6 mm. Spermateca: fig. 983. Nepal . . . . . **caelebs** Ang. & Dmz.

45 Rapporto antennomeri 3°/2° = 1.3, formula tarsale ♀ 4-4-4. Tegumento dorsale rosso-bruno scuro o nero con lati più chiari, interamente privo di microreticolazione; punteggiatura superficiale ma impressa sulle elitre, microscopica su capo e pronoto. Formula tarsale ♂ 5-5-4. Lungh. 2.8-3.0 mm. Capo: fig. 131; edeago: fig. 610; spermateca: fig. 984; metafemore del ♂: fig. 1419. Nepal . . . . . **fulcratum** Ang. & Dmz.

- Rapporto antennomeri 3°/2° = 1.7-1.8, formula tarsale ♀ 5-4-4 46

46 Rapporto antennomeri 3°/2° = 1.7, pronoto discretamente trasverso (rapp. la/lu= 1.5), spermateca con la metà basale nettamente più larga di quella apicale (fig. 985). Tegumento dorsale rosso-bruno scuro o nero, privo di microreticolazione e con punteggiatura fine e rada. Formula tarsale ♂ 5-5-4, ♀ 5-4-4. Lungh. 2.8-3.25 mm. Edeago: fig. 611; metafemore del ♂: fig. 1420. Nepal . . . . . **dissimile** Ang. & Dmz.

- Rapporto antennomeri 3°/2° = 1.8, pronoto più trasverso (rapp. la/lu= 1.64), spermateca con la metà basale poco più larga di quella apicale (fig. 986). Tegumento dorsale rosso-bruno scuro o nero, privo di microreticolazione e con punteggiatura fine e rada. Formula tarsale ♂ 5-5-4, ♀ 5-4-4. Lungh. 2.8-3.4 mm. Edeago: fig. 612; metafemore del ♂: fig. 1421. Nepal . . . . . **sudra** Ang. & Dmz.

47 Rapporto antennomeri 3°/2° = 2.1. Tegumento dorsale nero; microreticolazione e punteggiatura assente. Formula tarsale ♂ e ♀ 4-4-4. Lungh. 2.1-2.6 mm. Capo in visione dorsale e laterale: figg. 132-133; edeago: fig. 613; spermateca: fig. 987; metafemore del ♂: fig. 1422. Malaysia (Malaya) . . . . . **rougemonti** Ang.

- Rapporto antennomeri 3°/2° = 1.1-1.7 48

48 Rapporto antennomeri 3°/2° = 1.1-1.2 49

- Rapporto antennomeri 3°/2° = 1.5-1.7 51

49 Capo e pronoto con punteggiatura fine, metafemori del ♂ rettilinei al margine posteriore (fig. 1423), edeago in visione dorsale con parameri sinuati verso l'apice (fig. 614). Tegumento dorsale rosso-bruno e privo di microreticolazione; punteggiatura assente sulle elitre; rapporto antennomeri 3°/2° = 1.1. Formula tarsale ♂ e ♀ 4-4-4. Lungh. 2.1-2.5 mm. Spermateca: fig. 988. Malaysia (Malaya) . . . . . **malayanum** Ang. & Dmz.

- Capo e pronoto privi di punteggiatura, metafemori del ♂ sinuati al margine posteriore (figg. 1424-1425), edeago in

visione dorsale con parameri non sinuati verso l'apice (figg. 615-616) 50

50 Rapporto antennomeri 3°/2° = 1.1, rapporto pronoto/capo = 1.27, edeago in visione dorsale con parameri esili (fig. 615), ali metatoraciche assenti. Tegumento dorsale rosso-bruno scuro e con vaghe tracce di microreticolazione; punteggiatura assente, solo rari microscopici punti sull'intero dorso. Formula tarsale ♂ e ♀ 4-4-4. Lungh. 2.4-2.7 mm. Capo: fig. 134; spermateca: fig. 989; metafemore del ♂: fig. 1424. Malaysia (Malaya) . . . . . **cuccodoroi** Ang.

- Rapporto antennomeri 3°/2° = 1.2, rapporto pronoto/capo = 1.16, edeago in visione dorsale con parameri robusti (fig. 616), ali metatoraciche presenti. Tegumento dorsale rosso-bruno scuro, privo di microreticolazione e con punteggiatura microscopica e rada. Formula tarsale ♂ 4-4-4. Lungh. 2.2 mm. Capo: fig. 135; metafemore del ♂: fig. 1425. Malaysia (Malaya) . . . . . **peninsulare** Ang.

51 Intero tegumento dorsale privo di punteggiatura, specie di dimensioni minori (lungh. 2.4 mm), rapporto antennomeri 3°/2° = 1.7, elitre non microreticolate, edeago in visione laterale con apice curvato verso il basso (fig. 617). Tegumento dorsale rosso-bruno e privo di microreticolazione. Formula tarsale ♂ 4-4-4. Metafemore del ♂: fig. 1426. Malaysia (Malaya) . . . . . **palmi** Ang.

- Punteggiatura presente solo su capo e pronoto, specie di dimensioni maggiori (lungh. 2.6-2.7 mm), rapporto antennomeri 3°/2° = 1.5, elitre con microreticolazione appena evidente, edeago in visione laterale con apice curvato verso l'alto (fig. 618). Tegumento dorsale uniformemente nero o con lati più chiari. Formula tarsale ♂ e ♀ 4-4-4. Spermateca: fig. 990; metafemore del ♂: fig. 1427. Malaysia (Malaya) . . . . . **calamei** Ang. & Dmz.

52 Antenne testacee con antennomeri 4°-11° scuri, intero tegumento dorsale privo di punteggiatura. Tegumento dorsale nero e privo di microreticolazione; rapporto antennomeri 3°/2° = 1.5. Formula tarsale ♂ 5-5-4, ♀ 4-4-4. Lungh. 2.4-2.7 mm. Edeago: fig. 619; spermateca: fig. 991; metafemore

del ♂: fig. 1428. India (Darjeeling) . . . . . **abominabile** Ang. & Dmz.

- Antenne testacee con antennomeri 9°-10° o 9°-11° scuri, dorso almeno in parte punteggiato 53

53 Antenne testacee con antennomeri 9°-10° scuri, specie mediamente più piccola (lungh. 1.85-2.2 mm). Tegumento dorsale rosso-bruno, privo di microreticolazione e con punteggiatura fine e rada sul capo, pressoché assente su pronoto ed elitre; rapporto antennomeri 3°/2° = 1.15. Formula tarsale ♂ 5-5-4, ♀ 4-4-4. Edeago: fig. 620; spermateca: fig. 992; metafemore del ♂: fig. 1429. Thailandia . . . . . **fraternum** Ang.

- Antenne testacee con antennomeri 9°-11° scuri, specie mediamente più grandi (lungh. 2.1-3.0 mm) 54

54 Rapporto antennomeri 3°/2° = 0.85-0.88 55

- Rapporto antennomeri 3°/2° = 1-1.15 56

55 Specie di dimensioni maggiori (lungh. 2.7-3.0 mm) e della Cina (Sichuan), edeago in visione dorsale con parameri brevi ed esili (fig. 621). Tegumento dorsale rosso-bruno scuro, privo di microreticolazione e con punteggiatura fine e rada; rapporto antennomeri 3°/2° = 0.88. Formula tarsale ♂ 5-5-4, ♀ 4-4-4. Spermateca: fig. 993; metafemore del ♂: fig. 1433 . . . . . **megacephalum** Ang.

- Specie di dimensioni minori (lungh. 2.1-2.6 mm) e della Thailandia, edeago in visione dorsale con parameri robusti e fortemente dilatati all'apice (fig. 622). Tegumento dorsale rosso-bruno più o meno scuro, privo di microreticolazione e con punteggiatura fine e rada; rapporto antennomeri 3°/2° = 0.85. Formula tarsale ♂ 5-5-4, ♀ 4-4-4. Spermateca: fig. 994; metafemore del ♂: fig. 1431 . . . . . **fungivorum** Ang. & Dmz.

56 Rapporto antennomeri 3°/2° = 1, tegumento dorsale uniformemente nero; specie della Thailandia. Dorso privo di microreticolazione e con punteggiatura fine e rada. Formula tarsale ♂ 5-5-4, ♀ 4-4-4. Lungh. 2.45-2.55 mm. Edeago: fig. 623; spermateca: fig. 995; metafemore del ♂: fig. 1432 . . . . . **incognitum** Ang. & Dmz.

- Rapporto antennomeri 3°/2° = 1.1-1.15, tegumento dorsale uniformemente rosso-bruno; specie della Cina o del Nepal 57

57 Specie del Nepal, pronoto discretamente trasverso (rapp. la/lu = 1.54). Tegumento dorsale rosso-bruno scuro, privo di microreticolazione e con punteggiatura solo su capo e pronoto; rapporto antennomeri 3°/2° = 1.15. Formula tarsale ♂ 5-5-4. Lungh. 2.7 mm. Edeago: fig. 624; metafemore del ♂: fig. 1433 . . . . . **crinitum** Ang. & Dmz.

- Specie della Cina, pronoto poco trasverso (rapp. la/lu = 1.18-1.25) 58

58 Rapporto pronoto/capo = 1.51, edeago in visione dorsale e laterale con parameri uniformemente ristretti verso l'apice (fig. 625). Tegumento dorsale rosso-bruno scuro, privo di microreticolazione e con punteggiatura; rapporto antennomeri 3°/2° = 1.1. Formula tarsale ♂ 5-5-4, ♀ 4-4-4. Lungh. 2.6-2.75 mm. Capo: fig. 136; spermateca: fig. 996; metafemore del ♂: fig. 1434. Cina (Sichuan) . . . . . **kurbatovianum** Ang.

- Rapporto pronoto/capo = 1.35 edeago in visione dorsale e laterale con parameri slargati verso l'apice (fig. 626). Tegumento dorsale rosso-bruno molto scuro con lati più chiari, interamente privo di microreticolazione e con punteggiatura microscopica e poco visibile; rapporto antennomeri 3°/2° = 1. Formula tarsale ♂ 5-5-4, ♀ 4-4-4. Lungh. 2.5-2.85 mm. Spermateca: fig. 997; metafemore del ♂: fig. 1435. Cina (Sichuan) . . . . . **impunctatum** Ang.

KEY TO THE SPECIES OF THE SUBGENUS *MACROCEBLE* ANGELINI, 1993

1 Head with clypeus produced into a point (figs. 114-116) . . 2

- Head with clypeus emarginate (figs. 117-136) 5

2 Ratio of 3rd/2nd antennal segments = 0.7-0.8, size smaller (1.7-1.85 mm) 3

- Ratio of 3rd/2nd antennal segments = 1.2-1.35, size larger (2.1-3.3 mm) 4

3 Ratio of 3rd/2nd antennal segments = 0.7, width ratio of pronotum/head = 1.18, aedeagus in lateral view with apex not reflexed (fig. 570), male hind femora very dilated at posterior margin (fig. 1384). Length 1.75. Head: fig. 114; habitus in dorsal and lateral view: figs. 26-27. Malaysia (Malaya) . . . . . **pseudoscutellare** Ang.

- Ratio of 3rd/2nd antennal segments = 0.8, width ratio of pronotum/head = 1.27, aedeagus in lateral view with apex reflexed (fig. 571), male hind femora less dilated at posterior margin (fig. 1385). Length 1.70-1.85. Head: fig. 115; spermatheca: fig. 954. Malaysia (Malaya) . . . . . **ivani** Ang.

4 Ratio of 3rd/2nd antennal segments = 1.2, size smaller (2.1-2.5 mm), head widest at eyes. Aedeagus: fig. 572; spermatheca: fig. 955; male hind femora: fig. 1386; habitus in dorsal and lateral view: figs. 28-29. Thailand . . . . . **scutellare** Ang. & Dmz.

- Ratio of 3rd/2nd antennal segments = 1.35, size larger (2.9-3.3 mm), head widest at posterior margin of eyes (fig. 116). Aedeagus: fig. 573; spermatheca: fig. 956; male hind femora: fig. 1387. Malaysia (Malaya) . . . . . **cameronicum** Ang. & Dmz.

5 Head without eyes. Length 1.35-1.55 mm. Head: fig. 117; aedeagus: fig. 574; spermatheca: fig. 957; male hind femora: fig. 1388. India (Darjeeling). . **anophthalmicum** Ang. & Dmz.

- Head with eyes 6

6 Dorsum with long and sparse setae. Length 1.9-1.95 mm. Aedeagus: fig. 575; spermatheca: fig. 958; male hind femora: fig. 1389; habitus in dorsal and lateral view: figs. 30-31. Malaysia (Malaya) . . . . . **pilosellum** Ang. & Dmz.

- Dorsum with short and sparse setae 7

7 Elytra with sutural striae. Length 3.1 mm. Aedeagus: fig. 576; male hind femora: fig. 1390. China (Yunnan) . . . . . **ambiguum** Ang.

- Elytra without sutural striae 8

8 Head widest at posterior margin of eyes or behind eyes with temple ½ length of eye (figs. 118-125) 9

- Head widest at eyes (figs. 126-136) 19

9 Head widest at posterior margin of eyes (figs. 118-122). . . 10

- Head widest behind eyes with temple ½ length of eye (figs. 123-125) 17

10 Ratio of 3rd/2nd antennal segments = 1. Length 2.1-2.4 mm. Aedeagus: fig. 577; spermatheca: fig. 959; male hind femora: fig. 1391. Malaysia (Malaya) . . . . . **malaysicum** Ang. & Dmz.

- Ratio of 3rd/2nd antennal segments = 1.15-2.3 11

11 Ratio of 3rd/2nd antennal segments = 2.3. Length 2.9-3.6 mm. Head: fig. 118; aedeagus: fig. 578; spermatheca: fig. 960; male hind femora: fig. 1392. Malaysia (Malaya) . . . . . **distinctum** Ang. & Dmz.

- Ratio of 3rd/2nd antennal segments = 1.15-1.6 12

12 Whole dorsum without puncturation. Length 2.3-2.6 mm. Aedeagus: fig. 579; spermatheca: fig. 961; male hind femora: fig. 1393; antennae: fig. 12. Malaysia (Malaya) . . . . . **jaccoudi** Ang. & Dmz.

- Whole dorsum or in part with puncturation 13

13 Ratio of 3rd/2nd antennal segments = 1.15, pronotum or elytra without puncturation 14

- Ratio of 3rd/2nd antennal segments = 1.3-1.6, whole dorsum with puncturation 15

14 Species of China (Jiangxi), pronotum with puncturation, male hind femora sinuate at posterior margin (fig. 1394), width ratio pronotum/head = 1.3, size smaller (2.5-2.75 mm), tarsal formula ♂ 5-5-4, dorsum reddish-brown. Head: fig. 119; aedeagus: fig. 580; spermatheca: fig. 962 . . . . . **hlavaci** Ang. & Cooter

- Species of Malaysia (Malaya), pronotum without puncturation, male hind femora with a tooth at posterior margin (fig.

1396), width ratio pronotum/head = 1.2, size larger (2.9-3.2 mm), tarsal formula ♂ 4-4-4, dorsum black. Head: fig. 120; aedeagus: fig. 581 . . . . . **aterrimum** Ang. & Dmz.

15 Eyes hardly visible from above, ratio of 3rd/2nd antennal segments = 1.3, pronotum moderately broader than long (ratio width/length = 1.38), male hind femora with a tooth at posterior margin (fig. 1396), size smaller (2.5 mm). Aedeagus: fig. 582. Malaysia (Malaya) . . . . . **austerum** Ang. & Dmz.

- Eyes visible from above, ratio of 3rd/2nd antennal segments = 1.6, pronotum very slightly broader than long (ratio width/length = 1.21-1.25), male hind femora dilated at posterior margin (figs. 1397-1398), size larger (2.7-2.8 mm) 16

16 Whole dorsum with microreticulation hardly evident, width ratio of pronotum/head = 1.25, aedeagus in lateral view with apex reflexed (fig. 583). Length 2.7-2.8 mm. Head: fig. 121; spermatheca: fig. 963; male hind femora: fig. 1397. Malaysia (Malaya) . . . . . **amoenum** Ang. & Dmz.

- Head and pronotum without microreticulation, width ratio of pronotum/head = 1.16, aedeagus in lateral view with apex not reflexed (fig. 584). Length 2.7-2.8 mm. Head: fig. 122; spermatheca: fig. 964; male hind femora: fig. 1398. Malaysia (Malaya) . . . . . **selangoricum** Ang. & Dmz.

17 Ratio of 3rd/2nd antennal segments = 1.4. Length 2.15 mm. Head: fig. 123; aedeagus: fig. 585; male hind femora: fig. 1399. China (Hubei) . . . . . **nanum** Ang.

- Ratio of 3rd/2nd antennal segments = 1-1.1 18

18 Size smaller (1.7-1.75 mm), pronotum moderately broader than long (width/length = 1.52). Head: fig. 124; aedeagus: fig. 586; male hind femora: fig. 1400. China (Jiangxi, Fujian) . . . . . **dongnanense** Ang. & Cooter

- Size larger (2.2-2.3 mm), pronotum less broader than long (width/length = 1.37). Head: fig. 125; aedeagus: fig. 587; spermatheca: fig. 965; male hind femora: fig. 1401. China (Hubei) . . . . . **penultimum** Ang. & Cooter

19 Whole dorsum or in part with microreticulation 20

- Dorsum without microreticulation 27

20 Ratio of 3rd/2nd antennal segments = 2. Length 2.6-2.8 mm. Aedeagus: fig. 588; spermatheca: fig. 966. India (Darjeeling, Meghalaya), Nepal . . . . . **singmaricum** Ang. & Dmz.

- Ratio of 3rd/2nd antennal segments = 0.6-1.7 21

21 Ratio of 3rd/2nd antennal segments = 0.6, clypeus with a short oblique groove at each side, clypeus striolate, pronotum less broader than long (width/length = 1.16). Length 2.65-2.70 mm. Head: fig. 126; aedeagus: fig. 589; spermatheca: fig. 967; male hind femora: fig. 1402. China (Shaanxi) . . . . . **newtoni** Ang.

- Ratio of 3rd/2nd antennal segments = 1.2-1.7, clypeus without a short oblique groove at each side, head with or without microreticulation, pronotum moderately broader than long (width/length = 1.53-1.78) 22

22 Ratio of 3rd/2nd antennal segments = 1.7 23

- Ratio of 3rd/2nd antennal segments = 1.2-1.5 24

23 Head and pronotum with clear microreticulation and without puncturation, size larger (3.7-3.9 mm). Aedeagus: fig. 590; spermatheca: fig. 968; male hind femora: fig. 1403. Nepal . . . . . **invalidum** Ang. & Dmz.

- Head and pronotum with superficial microreticulation and with puncturation, size smaller (2.7-3.1 mm). Aedeagus: fig. 591; spermatheca: fig. 969; male hind femora: fig. 1404. Nepal . . . . . **geminatum** Ang. & Dmz.

24 Head and pronotum with clear microreticulation, antennae with antennal club dark. Length 2.2-2.7 mm. Aedeagus: fig. 592; spermatheca: fig. 970; male hind femora: fig. 1405. India (Darjeeling), Nepal . . **shermathangense** Ang. & Dmz.

- Head and pronotum with microreticulation superficial or absent, antennae uniformly testaceous or with antennal club light 25

25 Head and pronotum with microreticulation superficial. Length 2.35 mm. Aedeagus: fig. 593; male hind femora: fig. 1406. Nepal ..... **fatuum** Ang. & Dmz.

- Head and pronotum without microreticulation 26

26 Pronotum and elytra without puncturation, elytra with clear microreticulation, aedeagus in lateral view with apex not reflexed (fig. 594). Length 2.3-2.8 mm. Spermatheca: fig. 971; male hind femora: fig. 1407. Nepal .... **longum** Ang. & Dmz.

- Pronotum and elytra with puncturation, elytra with superficial microreticulation, aedeagus in lateral view with apex reflexed (fig. 595). Length 2.2 mm. Spermatheca: fig. 972. India (Darjeeling), Nepal ..... **breve** Ang. & Dmz.

27 Antennae uniformly testaceous 28

- Antennal club or some segments dark 52

28 Ratio of 3rd/2nd antennal segments = 0.8. Length 2.0 mm. Head: fig. 127; aedeagus: fig. 596; male hind femora: fig. 1408. Malaysia (Malaya) ..... **inopinatum** Ang.

- Ratio of 3rd/2nd antennal segments = 1-2.1 29

29 Species of Japan (Ryukyus) or Taiwan or China 30

- Species of the Himalayan region or Malaysia (Malaya) ... 38

30 Species of Japan (Ryukyus). Length 1.85 mm. Aedeagus: fig. 597; spermatheca: fig. 973..... **narusawae** Hoshina

- Species of Taiwan or China 31

31 Species of Taiwan. Length 2.3-2.4 mm. Aedeagus: fig. 598; spermatheca: fig. 974; male hind femora: fig. 1409 .... **oblitum** Ang. & Dmz.

- Species of China 32

32 Head and/or elytra with traces of microreticulation 33

- Whole dorsum without traces of microreticulation 34

33 Ratio of 3rd/2nd antennal segments = 1.05, width ratio pronotum/head = 1.5, size smaller (2.9 mm). Aedeagus: fig.

599; spermatheca: fig. 975; male hind femora: fig. 1410. Cina (Sichuan, Shaanxi) . . . . . **truncatum** Ang.

- Ratio of 3rd/2nd antennal segments = 2, width ratio pronotum/head = 1.24, size larger (3.3 mm). Aedeagus: fig. 600; male hind femora: fig. 1411. China (Shaanxi) . . . . . **sescentesimum** Ang.

34 Size smaller (2.35 mm), pronotum moderately broader than long (width/length = 1.49). Head: fig. 128; aedeagus: fig. 601; male hind femora: fig. 1412. China (Shaanxi) . . . . . **macrocephalum** Ang.

- Size larger (2.4-3.05 mm), pronotum less broader than long (width/length = 1.07-1.22) 35

35 Elytra without puncturation, male hind femora not or less dilated at posterior margin (fig. 1413-1414) 36

- Elytra with microscopic puncturation, male hind femora very dilated at posterior margin (fig. 1415-1416). 37

36 Size smaller (2.4-2.6 mm), aedeagus in dorsal view uniformly narrowed before of the apex (fig. 602), male hind femora sinuate at posterior margin (fig. 1413), tarsal formula ♂ 4-4-4. Head: fig. 129. China (Sichuan) . . . . . **tarsale** Ang.

- Size larger (2.9 mm), aedeagus in dorsal view uniformly narrowed at apex (fig. 603), male hind femora rectilinear at posterior margin (fig. 1414), tarsal formula ♂ 5-5-4. China (Sichuan, ? Jiangxi) . . . . . **emeicum** Ang.

37 Size smaller (2.7 mm), ratio of 3rd/2nd antennal segments = 1. Spermatheca: fig. 976; female hind femora: fig. 1415. China (Guangxi) . . . . . **soror** Ang. & Cooter

- Size larger (2.9-3.05 mm), ratio of 3rd/2nd antennal segments = 0.8. Aedeagus: fig. 604; spermatheca: fig. 977; male hind femora: fig. 1416. China (Hubei) . . . . . **ultimum** Ang. & Cooter

38 Species of the Himalayan region, tarsal formula ♂ 5-5-4 . 39

- Species of Malaysia (Malaya), tarsal formula ♂ 4-4-4 47

39 Ratio of 3rd/2nd antennal segments = 2.1. Length 2.5-2.8 mm. Spermatheca: fig. 978. India (Darjeeling), Nepal . . . . . **unumvesciculatum** Ang. & Dmz.

- Ratio of 3rd/2nd antennal segments = 1.3-1.8 40

40 Pronotum very slightly broader than long (ratio width/ length = 1.16). Length 3.1 mm. Aedeagus: fig. 605; spermatheca: fig. 979; male hind femora: fig. 1417. India (Darjeeling) . . . . . **quaterfoveatum** Ang. & Dmz.

- Pronotum moderately broader than long (ratio width/length = 1.46-1.64) 41

41 Whole dorsum without puncturation 42

- Whole dorsum with puncturation or only on elytra without puncturation 43

42 Elytra with weak microreticulation, hardly evident, ratio of 3rd/2nd antennal segments = 1.3, size smaller (2.2-2.4 mm), aedeagus in dorsal view uniformly narrowed to apex (fig. 606). Spermatheca: fig. 980; male hind femora: fig. 1418. Nepal . . . . . **schawalleri** Ang. & Dmz.

- Elytra without microreticulation, ratio of 3rd/2nd antennal segments = 1.6, size larger (2.5-2.7 mm), aedeagus in dorsal view narrowed before of the apex (fig. 607). Spermatheca: fig. 981. Nepal . . . . . **sherpa** Ang. & Dmz.

43 Size smaller (1.9-2.6 mm) 44

- Size larger (2.8-3.4 mm) 45

44 Aedeagus in dorsal view uniformly narrowed to apex (fig. 608), elytra without puncturation. Length 1.9-2.3 mm. spermatheca: fig. 982; meso- metasternum: fig. 16. India (Sikkim, Darjeeling), Nepal . . . . . **brancuccii** Ang. & Dmz.

- Aedeagus in dorsal view narrowed before of the apex (fig. 609), elytra with fine and sparse puncturation. Length 2.0-2.6 mm. spermatheca: fig. 983. Nepal . . . **caelebs** Ang. & Dmz.

45 Ratio of 3rd/2nd antennal segments = 1.3, female tarsal formula 4-4-4. Length 2.8-3.0 mm. Head: fig. 131;

aedeagus: fig. 610; spermatheca: fig. 984; male hind femora: fig. 1419. Nepal . . . . . **fulcratum** Ang. & Dmz.

- Ratio of 3rd/2nd antennal segments = 1.7-1.8, female tarsal formula 5-4-4 46

46 Pronotum moderately broader than long (ratio width/length = 1.5), ratio of 3rd/2nd antennal segments = 1.7, spermatheca with basal half clearly larger than apical part (fig. 985). Length 2.8-3.25 mm. Aedeagus: fig. 611; male hind femora: fig. 1420. Nepal . . . . . **dissimile** Ang. & Dmz.

- Pronotum much broader than long (ratio width/length = 1.8), ratio of 3rd/2nd antennal segments = 1.8, spermatheca with basal half hardly larger than apical part (fig. 986). Length 2.8-3.4 mm. Aedeagus: fig. 612; male hind femora: fig. 1421. Nepal . . . . . **sudra** Ang. & Dmz.

47 Ratio of 3rd/2nd antennal segments = 2.1. Length 2.1-2.6 mm. Aedeagus: fig. 613; spermatheca: fig. 987; male hind femora: fig. 1422; head in dorsal and lateral view: figs. 132-133. Malaysia (Malaya) . . . . . **rougemonti** Ang.

- Ratio of 3rd/2nd antennal segments = 1.1-1.7 48

48 Ratio of 3rd/2nd antennal segments = 1.1-1.2 49

- Ratio of 3rd/2nd antennal segments = 1.5-1.7 51

49 Head and pronotum with fine puncturation, male hind femora rectilinear at posterior margin (fig. 1423), aedeagus in dorsal view with parameres not curved at apex (fig. 614). Length 2.1-2.5 mm. Spermatheca: fig. 988. Malaysia (Malaya) . . . . . **malayanum** Ang. & Dmz.

- Head and pronotum without puncturation, male hind femora curved at posterior margin (figs. 1424-1425), aedeagus in dorsal view with parameres not curved at apex (figs. 615-616) 50

50 Ratio of 3rd/2nd antennal segments = 1.1, width ratio of pronotum/head = 1.27, aedeagus in dorsal view with parameres thin (fig. 615), membraneous wings absent. Length 2.4-2.7 mm. Spermatheca: fig. 989; male hind femora: fig. 1424. Malaysia (Malaya) . . . . . **cuccodoroi** Ang.

- Ratio of 3rd/2nd antennal segments = 1.2, width ratio of pronotum/head = 1.16, aedeagus in dorsal view with parameres robust (fig. 616), membraneous wings present. Length 2.2 mm. Head: fig. 135; male hind femora: fig. 1425. Malaysia (Malaya) . . . . . **peninsulare** Ang.

51 Whole dorsum without puncturation, size smaller (2.4 mm), ratio of 3rd/2nd antennal segments = 1.7, elytra without microreticulation, aedeagus in lateral view with apex deflexed (fig. 617). Male hind femora: fig. 1426. Malaysia (Malaya) . . . . . **palmi** Ang.

- Puncturation present only on head and pronotum, size larger (2.6-2.7 mm), ratio of 3rd/2nd antennal segments = 1.5, elytra with weak microreticulation, hardly evident, aedeagus in lateral view with apex reflexed (fig. 618). Spermatheca: fig. 990; male hind femora: fig. 1427. Malaysia (Malaya) . . . . . **calamei** Ang. & Dmz.

52 Antennal segments 4°-11° dark, whole dorsum without puncturation. Length 2.4-2.7 mm. Aedeagus: fig. 619; spermatheca: fig. 991; male hind femora: fig. 1428. India (Darjeeling) . . . . . **abominabile** Ang. & Dmz.

- Antennal segments 9°-10° or 9°-11° dark, dorsum in part with puncturation 53

53 Antennal segments 9°-10° dark, size smaller (1.85-2.2 mm). Aedeagus: fig. 620; spermatheca: fig. 992; male hind femora: fig. 1429. Thailand . . . . . **fraternum** Ang.

- Antennal segments 9°-11° dark, size larger (2.1-3.0 mm). . 54

54 Ratio of 3rd/2nd antennal segments = 0.85-0.88 55

- Ratio of 3rd/2nd antennal segments = 1-1.15 56

55 Size larger (2.7-3.0 mm), species of China (Sichuan), aedeagus in dorsal view with parameres short and thin (fig. 621). Spermatheca: fig. 993; male hind femora: fig. 1430 . . . . . **megacephalum** Ang.

- Size smaller (2.1-2.6 mm), species of Thailand, aedeagus in dorsal view with parameres robust and strongly dilated to the

apex (fig. 622). Spermatheca: fig. 994; male hind femora: fig. 1431 . . . . . **fungivorum** Ang. & Dmz.

56 Ratio of 3rd/2nd antennal segments = 1, dorsum uniformly black, Thailand. Length 2.45-2.55 mm. Aedeagus: fig. 623; spermatheca: fig. 995; male hind femora: fig. 1432 . . . . . **incognitum** Ang. & Dmz.

- Ratio of 3rd/2nd antennal segments = 1.1-1.15, dorsum uniformly reddish-brown, China or Nepal 57

57 Species of Nepal, pronotum moderately broader than long (ratio width/length = 1.54). Length 2.7 mm. Aedeagus: fig. 624; male hind femora: fig. 1433 . **crinitum** Ang. & Dmz.

- Species of China, pronotum very slightly broader than long (ratio width/length = 1.18-1.25) 58

58 Width ratio of pronotum/head = 1.51, aedeagus in dorsal and lateral view with parameres uniformly narrowed to apex (fig. 625). Length 2.6-2.75 mm. Head: fig. 136; spermatheca: fig. 996; male hind femora: fig. 1434. China (Sichuan) . . . . . **kurbatovianum** Ang.

- Width ratio of pronotum/head = 1.35, aedeagus in dorsal and lateral view with parameres dilated at apex (fig. 626). Length 2.50-2.85 mm. Spermatheca: fig. 997; male hind femora: fig. 1435. China (Sichuan) . . . . . **impunctatum** Ang.

CATALOGO DELLE SPECIE DI *AGATHIDIUM* DELL'ASIA SUDORIENTALE E DELLA CINA

Nel catalogo che segue, come già ricordato nella premessa, le specie sono ordinate in ordine alfabetico nell'ambito del sottogenere e dell'eventuale gruppo di specie di pertinenza; sono riportati, nell'ordine, i seguenti dati:

1) Il nome della specie completo di Autore, anno e pagina. Il titolo del periodico è agevolmente rintracciabile in bibliografia.
2) Le figure a corredo della descrizione originale, che sono indicate tra parentesi utilizzando le seguenti abbreviazioni:

   a antenna
   c capo
   e edeago
   s spermateca
   m metafemore
   ms meso- e metasterno
   ell elitre in visione laterale
   eld elitre in visione dorsale
   pl pronoto in visione laterale
   pd pronoto in visione dorsale
   hd habitus in visione dorsale
   hl habitus in visione laterale
   mt metatibia
3) Le successive citazioni bibliografiche (con l'indicazione di eventuali ulteriori figure fornite) riguardanti solo le regioni in studio o le revisioni.
4) La località tipica (preceduta dal simbolo "Loc. typ.") seguita dall'indicazione, tra parentesi, della sigla della collezione (museo, istituto o collezione privata) dove è conservato il materiale tipico, precisando che, nel caso di più sigle, la prima si riferisce alla collezione dove è presente l'holotypus e la seconda (o le successive) a quelle dove sono conservati i paratypi.

   Le abbreviazioni utilizzate sono le seguenti:

   CA-MCSNG Coll. F. Angelini in Museo Civico di Storia Naturale "G. Doria", Genova, Italia
   CC Coll. J. Cooter, Hereford, Gran Bretagna
   CD Coll. R. Dunda, Praha, Repubblica Ceca
   CF Coll. H. Franz, Mödling, Austria

CH-NMP	Coll. J. Hlisnikovský in Národní Muzeum, Praha, Repubblica Ceca
CK	Coll. J. Klapperich, Bonn, Germania
CP	Coll. A. Pütz, Eisenhüttenstadt, Germania
CPE	Coll. S. B. Peck, Ottawa, Canada
CSC	Coll. J. Schneider, Praha, Repubblica Ceca
CSH	Coll. M. Schülke, Berlin, Germania
CSM	Coll. A. Smetana, Ottawa, Canada
CSV	Coll. Z. Švec, Praha, Repubblica Ceca
CUI	Cornell University, Ithaca, New York, USA
IZB	Institute of Zoology, Chinese Academy of Sciences, Beijing, China
MCSNG	Museo Civico di Storia Naturale "G. Doria", Genova, Italia
MCSNV	Museo Civico di Storia Naturale, Verona, Italia
MHNG	Muséum d'Histoire Naturelle, Genève, Svizzera
MNHNP	Muséum National d'Histoire Naturelle, Paris, Francia
NHML	The Natural History Museum, London, Gran Bretagna
NMB	Naturhistorisches Museum, Basel, Svizzera
NMNST	National Museum Natural Science, Taichung, Taiwan
NMP	Narodnì Muzeum Praha, Repubblica Ceca
NMW	Naturhistorisches Museum, Wien, Austria
SMNS	Staatliches Museum für Naturkunde, Stuttgart, Germania
TMB	Természettudomanyi Mùzeum Allattàra, Budapest, Ungheria
UK	University of Kyushu, Giappone
ZMNB	Zoologisches Museum für Naturkunde, Berlin, Germania

I parchi nazionali, riserve, fiumi e monti sono riportati secondo le seguenti abbreviazioni:

dint.	dintorni
distr.	distretto
F.	fiume

M. monte
M.ti monti
prov. provincia
P. N. parco naturale/nazionale
R. N. riserva naturale/nazionale
reg. regione

La località tipica è riportata indicando, nell'ordine, la nazione (se la specie non è endemica di una singola nazione), il distretto, la provincia, la località e, se nota, la stazione di raccolta.

5) Distribuzione. Alla nazione segue, tra parentesi, la regione o isola solo per i seguenti Stati la cui estensione o conformazione richiede ulteriori precisazioni: India, Malaysia, Indonesia, Filippine, Cina e Giappone.

Complessivamente sono trattate 513 specie provenienti dall'Asia sudorientale (= regione orientale) e dalla Cina.

Le specie riportate nel seguente catalogo provengono dalle seguenti nazioni (vedasi anche figg. 1-2) (la nomenclatura è tratta dall'Atlante Internazionale del Touring Club Italiano tranne qualche lieve adattamento (p. e. Sumatra anziché Sumatera)):

Pakistan	10 specie;
Nepal	134 specie;
Bhutan	6 specie;
India	66 specie (di cui 49 nelle regioni settentrionali, 13 in quelle centrali e 12 in quelle meridionali);
Sri Lanka	3 specie;
Myanmar	12 specie;
Thailandia	26 specie;
Vietnam	17 specie;
Malaysia	73 specie (di cui 33 in Malaya, 21 in Sarawak e 32 in Sabah);
Singapore	3 specie;
Indonesia	41 specie di cui 28 a Sumatra, 1 a Nias, 2 nelle isole Mentawai, 10 a Giava, 1 a Bali, 2 a Lombok, 1 a Timor, 4 a Sulawesi e 1 nel Borneo);
Filippine	12 specie (di cui 8 a Luzon, 1 a Palawan, 1 a Negros, 5 a Leyte e 2 a Mindanao);

Cina	121 specie (di cui 1 in Gansu, 45 in Sichuan, 18 nello Shaanxi, 15 in Hubei, 1 in Beijing, 1 in Jiangsu, 8 in Zhejiang, 9 nel Fujian, 4 nello Jiangxi, 1 in Guangdong, 3 a Hong Kong, 7 in Guangxi e 24 nello Yunnan);
Taiwan	61 specie;
Giappone	10 specie (Isole Ryukyus).

Sottogenere ***Cyphoceble*** C. G. Thomson, 1869

aeneonigrum Angelini, 2000b: 111, 162 (figg. c, e). Loc. typ.: Lijiang (CA-MCSNG). . . . . Cina (Yunnan)

geniculatum Angelini & De Marzo, 1995a: 191 (figg. e, s); 1998a: 126. Loc. typ.: Nantou Hsien, P. N. Yushan, Mun-Li Cliff (MHNG, NMNST, CA-MCSNG). . . . . Taiwan

glabrum Angelini & De Marzo, 1986c: 829 (figg. a, c, e, s, pd, pl); 1994: 45. Loc. typ.: distr. Sankhuwasawa, prov. Khosi, NE Kuwapani (MHNG, CA-MCSNG). . . . . Nepal

inquisitor Angelini & De Marzo, 1995a: 188 (figg. c, s, pd, pl). Loc. typ.: Taichung Hsien, Hsuehshan, dint. Shan-Liu Gieu Hut (MHNG). . . . . Taiwan

wangianum Angelini, 2002b: 487 (figg. c, s). Loc. typ.: Wu Tang Shan, Fang hsien (CA-MCSNG). . . . . Cina (Hubei)

wutangshanense Angelini, 2002b: 488 (figg. c, e). Loc. typ.: Wu Tang Shan, Fang hsien (CA-MCSNG). . . . . Cina (Hubei)

yushanicum Angelini & De Marzo, 1995a: 186 (figg. c, e, s, pd, pl); 1998a: 126. Loc. typ.: Nantou Hsien, P. N. Yushan (MHNG, NMNST, CA-MCSNG). . . . . Taiwan

Sottogenere ***Neoceble*** Gozis, 1886

Gruppo ***varians*** Beck

coloratum Angelini & De Marzo, 1985a: 34 (figg. a, e, pd, pl); 1994: 45. Loc. typ.: F. Dobate a NE di Barahbise (MHNG). . . . . Nepal

cribratum Portevin, 1905: 419; Hatch, 1929: 78; Angelini, 1986: 149; 1995c: 132 (figg. a, e, s, pd, pl); Angelini & De Marzo, 1990 (1988): 87 (figg. a, e, s, pd, pl); Hoshina, 1998: 138, 140; 2000: 78 (figg. a, e, s, hd, hl) (*Neoceble*); Hlisnikovský, 1964: 120, 123, 246 (*Stigmoceble*). Loc. typ.: Honshu, dint. Tokyo, Alpes di Nikko (MNHNP). . . . . Giappone (Honshu, Shikoku, Kyushu, Ryukyus)

daxuense Angelini & Švec, 2000: 135 (figg. c, e); Angelini, 2000b: 162. Loc. typ.: Daxue Shan, Hailuogou Glacier Park (CP). . . . . Cina (Sichuan)

dundai Angelini & Švec, 1994: 12 (figg. a, c, e, s, pd, pl); 2002: 3; Angelini, 1999a: 914; 2000b: 112, 162; Angelini & Cooter, 1999: 190, 225. Loc. typ.: Sichuan, distr. Kangding, Hailuogou Glacier Park, Goangga Shan, vill. Moxi (CSV, CA-MCSNG, CC, CD, CSC). . . . . Cina (Sichuan, Shaanxi, ?Yunnan)

longicorne Portevin, 1908: 20, 22, 25 (figg. ell, pl); Hatch, 1929: 78; Angelini, 1986: 150; 1995c: 130 (figg. a, c, e, pd, pl); Angelini & De Marzo, 1990 (1988): 83 (figg. a, e, pd, pl); Hoshina, 1998: 138, 140; 2000: 78 (figg. a, e, s, hd, hl) (*Neoceble*); Hlisnikovský, 1964: 120, 246. (figg. a, e, hd, hl) (*Stigmoceble*). Loc. typ.: Honshu, Tokyo (MNHNP). . . . . Giappone (Honshu, Shikoku, Kyushu, Ryukyus)

Gruppo ***nigripenne*** (Fabricius)

angulatum Angelini, 1992b: 164 (figg. s, pd, pl); 2000c: 37; Angelini & Švec, 2002: 3; Angelini & Cooter, 2002:87. Loc. typ.: Giava, Maling (CA-MCSNG). . . . . Vietnam, Malaysia (Sabah), Indonesia (Giava, Borneo)

bhutanense Angelini, 1992b: 163 (figg. c, s, pd, pl); Angelini & De Marzo, 1994: 6, 45. Loc. typ.: Bhutan, Dorjula (CA-MCSNG).. . . . . Nepal, Bhutan

bonzi Angelini & De Marzo, 1985b: 30 (figg. a, e, pd, pl); Angelini & Cooter, 1999: 190, 226; Angelini, 2000b: 162. Loc. typ.: Kuatun (CA-MCSNG). . . . . Cina (Fujian)

brunnipes Angelini & Švec, 1995: 510 (figg. a, c, e, s, pd, pl); Angelini & Cooter, 1999: 190, 226; Angelini,

2000b: 162. Loc. typ.: Heishui, 35 Km N Lijiang (NMW, CA-MCSNG). . . . . Cina (Yunnan)

confusum Brisout in Grenier, 1863: 9; Hlisnikovský, 1964: 90 (figg. a, e, hd, hl); Angelini, 1995c: 179 (figg. a, c, e, s, pd, pl); Angelini & De Marzo, 1990 (1988): 95; 1998a: 127; Angelini & Cooter, 1999: 226. Loc. typ.: Francia, Parigi (MNHNP). . . . . Europa, Caucaso, Siberia, Mongolia, Giappone, Taiwan

fuscatum Angelini, 2000b: 113, 162 (fig. e). Loc. typ.: Lijiang (CA-MCSNG). . . . . Cina (Yunnan)

jonathani Angelini, 2002b: 491 (figg. c, e). Loc. typ.: Qinling Shan (CSH, CA-MCSNG). . . . . Cina (Shaanxi)

kandingense Angelini, 2002a: 335 (figg. c, e, s). Loc. typ.: Ganzi Tibet Aut. Pref., Kanding Co., Daxue Shan, Mu Con (CSH, CA-MCSNG). . . . . Cina (Sichuan)

kumaonicum Angelini & De Marzo, 1985a: 37 (figg. a, e, m, pd, pl); 1986c: 833 (fig. s); 1994: 45; Angelini & Stephenson, 1990: 119. Loc. typ.: Kumaon, Rangarh (MHNG, CA-MCSNG, CF). . . . . India (Kashmir, Himachal Pradesh, Kumaon), Nepal

kyotoense Angelini & De Marzo, 1990 (1988): 79 (figg. a, e, s, pd, pl); 1998a: 126; Angelini, 1995c: 136 (figg. a, c, e, s, pd, pl); Angelini & Cooter, 1999: 226; Hoshina, 2000: 70 (figg. a, e, s, hd, hl). Loc. typ.: Honshu, Kyoto, Arashiyama (MHNG, CA-MCSNG). . . . . Giappone (Honshu, Shikoku, Kyushu), Taiwan

mingchiense Angelini, 2002b: 490 (figg. c, e). Loc. typ.: Ming chi Shan, Ming chi (CA-MCSNG). . . . . Cina (Fujian)

nigrocastaneum Angelini & De Marzo, 1995a: 192 (figg. c, e); 1998a: 127; Angelini & Cooter, 1999: 226. Loc. typ.: Hualien Hsien, P. N. Taroko, F. SE Nanhushi Hut (MHNG, CA-MCSNG). . . . . Taiwan

oculatum Angelini & De Marzo, 1986c: 833 (figg. a, c, e, s, hl, pd); 1994: 45. Loc. typ.: distr. Parbat, prov. Gandaki, N Goropani (MHNG, CA-MCSNG). . . . . Nepal

praeustum Angelini & De Marzo, 1995a: 192 (figg. c, s); Angelini & Cooter, 1999: 226. Loc. typ.: Pingtung Hsien, Peitawushan (MHNG). . . . . Taiwan

pseudoconfusum Angelini & De Marzo, 1986c: 831 (figg. a, e, s, pd, hl); 1994: 45; Angelini, 1998: 140. Loc. typ.: distr. Patan, prov. Bagmati, Phulcoki (MHNG; CA-MCSNG). . . . . Nepal

semicastaneum Angelini, 2000b: 114, 162 (figg. c, e). Loc. typ.: Kuatun (CA-MCSNG). . . . . Cina (Fujian)

shaanxiense Angelini & Švec, 2000: 137 (figg. c, e); Angelini, 2000b: 162. Loc. typ.: Qin Ling Shan (CP). . . . . Cina (Shaanxi)

unicolorum Angelini & De Marzo, 1985b: 28 (figg. a, e, s, pd, pl); 1986a: 424; Angelini & Cooter, 1999: 190, 226; Angelini, 2000b: 162. Loc. typ.: Cina, Fujian, Kuatun (CA-MCSNG, MCSNV). . . . . India (Meghalaya), Cina (Fujian)

Gruppo ***marginatum*** Sturm

abbreviatum Angelini, 2002a: 338 (figg. c, e, s). Loc. typ.: Ya'an Pref., Tinquan Co., E Erlang Shan Pass (CSH, CA-MCSNG). . . . . Cina (Sichuan)

kunmingense Angelini, 2000b: 116, 162 (fig. e). Loc. typ.: Lijiang (CA-MCSNG, CSM). . . . . Cina (Yunnan)

nubile Angelini, 2002a: 341 (fig. s). Loc. typ.: M. Luoji (CA-MCSNG). . . . . Cina (Sichuan)

sichuanicum Angelini & De Marzo, 1998b: 352 (figg. c, e, s); Angelini & Cooter, 1999: 190, 225; Angelini, 2000b: 162. Loc. typ.: R. N. Wolong (MHNG, CA-MCSNG). . . . . Cina (Sichuan)

tarokoense Angelini & De Marzo, 1995a: 194 (figg. e, s); Angelini & Cooter, 1999: 225. Loc. typ.: Hualien Hsien, P. N. Taroko (MHNG, CA-MCSNG). . . . . Taiwan

zhoui Angelini & Cooter, 2003: 4 (figg. c, e, s). Loc. typ.: R. N. Shennongjia, Shennongding (IZB, CC). . . . . Cina (Hubei)

Gruppo ***canariense*** Lindberg

dardi Angelini & De Marzo, 1986b: 589 (figg. a, e, s, pd, pl). Loc. typ.: Dir, passo Lawarai (MHNG, CA-MCSNG). . . . . Pakistan

rufomarginatum Angelini & De Marzo, 1995a: 197 (figg. c, e, s); 1998a: 127; Angelini & Cooter, 1999: 225. Loc. typ.: Hualien Hsien, P. N. Taroko (MHNG, CA-MCSNG). . . . . Taiwan

vestitum Angelini & De Marzo, 1995a: 196 (figg. c, e, s), Angelini & Cooter, 1999: 225. Loc. typ.: Pingtung Hsien, Peitawushan (MHNG, CA-MCSNG). . . . . Taiwan

Sottogenere ***Agathidium*** Panzer, 1797

Gruppo ***madurense*** Portevin

acuminatum Angelini & De Marzo, 1986c: 840 (figg. a, e, s, m, pd, pl); 1994: 8, 48. Loc. typ.: distr. Sankhuwasawa, prov. Kosi, NE Kuwapani (MHNG, CA-MCSNG, SMNS). . . . . Nepal

aeratum Angelini, 2000c: 40 (figg. e, m). Loc. typ.: Hot (CA-MCSNG). . . . . Thailandia

agostii Angelini & De Marzo, 1993: 437 (figg. e, s, m, pl). Loc. typ.: Cibodas Bot. Garden (MHNG, CA-MCSNG). . . . . Indonesia (Giava)

alatum alatum Angelini & De Marzo, 1981: 209 (figg. e, m, ell); 1986c: 839 (fig. s); 1989a: 30; 1994: 48; Angelini & Cooter, 1986: 37. Loc. typ.: Nepal, reg. Jumla, valle Dzunda Khola (CF, CA-MCSNG) . . India (Uttar Pradesh), Nepal

alatum heishuiense Angelini & Švec, 1994: 14 (figg. a, c, e, s, m, pd, pl); 1995: 512; 2002: 4; Angelini, 1998: 140; 2000b: 163; Angelini & Cooter, 1999: 191, 226. Loc. typ.: Yunnan, Heishu, 35 Km N Lijiang (CSV, CA-MCSNG). . . . . Cina (Yunnan, Sichuan)

alesi Angelini & De Marzo, 1998a: 131 (figg. e, s, m); Angelini & Cooter, 1999: 226; Angelini, 2002a: 344. Loc. typ.: Kaohsiung Hsien, str. Peinantashan (MHNG, NMNST, CA-MCSNG). . . . . Taiwan

apocryphum Angelini, 1992a: 206 (figg. s, m, pd, pl). Loc. typ.: prov. Mae Hong Son, 20 Km E Pai (MHNG, CA-MCSNG). . . . . Thailandia

becvari Angelini & Švec, 1994: 16 (figg. a, c, e, s, m, pd, pl); Angelini & Cooter, 1999: 191, 226; Angelini, 2000b: 163. Loc. typ.: Heishu, 35 Km N Lijiang (CSV, CA-MCSNG). . . . . Cina (Yunnan)

brahmano Angelini & De Marzo, 1986a: 430 (figg. a, e, s); 1987: 457; 1994: 48; Angelini, 1999b: 170; 2000c: 42. Loc. typ.: Assam, Manas (MHNG, CA-MCSNG). . . . . India (Assam), Nepal, Thailandia

calvum Angelini, 1992b: 172 (figg. e, m, pd, pl). Loc. typ.: Maling (CA-MCSNG). . . . . Indonesia (Giava)

caovansungi Angelini, 2000a: 309 (figg. c, e, s, m). Loc. typ.: Hoabinh (CA-MCSNG, CPE). . . . . Vietnam

crassum Angelini & De Marzo, 1981: 280 (figg. e, s, m); 1983b: 160; 1984a: 555; 1994: 48. Loc. typ.: Darjeeling, Lopchu-Ghum (NMB, CA-MCSNG). . . India (Darjeeling), Nepal

darjeelingense Angelini & De Marzo, 1981: 282 (figg. a, e, m). Loc. typ.: Darjeeling (NMB). . . . . India (Darjeeling)

delicatulum Angelini & De Marzo, 1998a: 130 (figg. e, s, m); Angelini & Cooter, 1999: 226; Angelini, 2002a: 344. Loc. typ.: Kaohsiung Hsien, Peinantashan (MHNG, NMNST, CA-MCSNG). . . . . Taiwan

distinguendum Angelini & De Marzo, 1995a: 202 (figg. e, s); 1998a: 131; Angelini & Cooter, 1999: 226; Angelini, 2002a: 345. Loc. typ.: Kaohsiung Hsien, Tengchih (MHNG, NMNST, CA-MCSNG). . . . . Taiwan

familiare Angelini & De Marzo, 1995a: 203 (figg. e, s); 1998a: 133; Angelini & Cooter, 1999: 191, 226; Angelini, 2002a: 345. Loc. typ.: Chiai Hsien, P. N. Yushan, Mun-Li Cliff (MHNG, NMNST, CA-MCSNG). . . . . Taiwan

formosum Angelini & De Marzo, 1985b: 32 (figg. a, e, s, m); 1989b: 468 (figg. e, s, m); Angelini, 1992a: 206; Angelini & Cooter, 1999: 227. Loc. typ.: Taiwan, Fenchihu (MCSNV, CA-MCSNG). . . . . Thailandia, Taiwan

giganteum Angelini & Švec, 2000: 137 (figg. c, e, s, m); Angelini, 2000b: 123, 163; 2002a: 345. Loc. typ.: Daxue Shan, Hailuogou Glacier Park (CP, CA-MCSNG). Cina (Sichuan)

gratiosum Angelini & Švec, 1995: 513 (figg. a, c, e, s, m, pd, pl); Angelini & Cooter, 1999: 191, 227; Angelini, 2000b: 163. Loc. typ.: Heishui, 35 Km N Lijiang (CSV, CA-MCSNG). . . . . Cina (Yunnan)

herberti Angelini, 2002a: 345 (figg. c, e, m). Loc. typ.: reg. Jumla, Dzunda Khola Tal presso Talphi (CA-MCSNG). . . . . Nepal

hlisnikovskyi Angelini & De Marzo, 1985b: 31 (figg. a, e, m, pd, pl); 1995b: 164, 194, 196 (fig. e); Angelini, 1990: 241; 2000c: 48 (fig. s). Loc. typ.: Penang (NMP). . . . . Malaysia (Malaya)

hoabinhense Angelini, 2000c: 44 (figg. e, m). Loc. typ.: Hoabinh (CA-MCSNG). . . . . Vietnam

impressum Angelini, 2000c: 42 (figg. c, e, m). Loc. typ.: Cuc phuong, Ninh binh (CA-MCSNG). . . . . Vietnam

inelegans Angelini, 1993a: 202 (figg. e, m, pd, pl). Loc. typ.: prov. Aceh Selatan, Babahrot (CA-MCSNG). . . . . Indonesia (Sumatra)

ishigakiense Hoshina, 1998: 139, 151 (figg. a, e, s, hd, hl). Loc. typ.: Ishigaki, M. Omotodake (UK) . . Giappone (Ryukyus)

kejvali Angelini & Švec, 1994: 16 (figg. a, c, e, m, pd, pl); Angelini & Cooter, 1999: 191, 227; Angelini, 2000b: 163. Loc. typ.: Liziping presso Shimian (CSV) . Cina (Sichuan)

keralaense Angelini, 2000c: 47 (figg. c, e, m). Loc. typ.: Kerala, Cardamon Hills, P. N. Periyar (CA-MCSNG) . . . . . India (Kerala)

khasicum Angelini & De Marzo, 1984a: 555 (figg. a, e, s, m, pd, pl); 1986a: 431; 1986c: 840; 1994: 48; Angelini, 1999b: 170. Loc. typ.: Meghalaya, Khasi Hills, Shillong (MHNG, CA-MCSNG, SMNS). . . . . India (Darjeeling, Meghalaya), Nepal

krali Angelini & Švec, 2002: 4 (figg. c, e, m). Loc. typ.: Gongga Shan, Hailuogou (CSV). . . . . Cina (Sichuan)

kryzhanovskii Angelini, 1995a: 128 (figg. e, m). Loc. typ.: Lb. Bjethau, Tayokuoii, Dpyk (CA-MCSNG). . . . . Vietnam

kuaiense Angelini & Cooter, 1998: 331 (figg. c, e, m). Loc. typ.: prov. Kanchanaburi, Ban Sai Yok (CC). . . . . Thailandia

kualalumpurense Angelini & De Marzo, 1995b: 164, 166, 194, 196 (figg. c, e, s, m, pd, pl). Loc. typ.: Pahang, Batu Caves (MHNG, CA-MCSNG). . . . . Malaysia (Malaya)

lashioense Angelini, 2000c: 37 (figg. c, e, m). Loc. typ.: prov. Shan, Lashio (CA-MCSNG). . . . . Myanmar

lasti Angelini & Cooter, 1999: 191, 195, 227 (figg. c, e, s, m); Angelini, 2000b: 163. Loc. typ.: Lin'an County, W R. N. Tianmu Shan (CC, CA-MCSNG). . . . . Cina (Zhejiang)

lebongense Angelini & De Marzo, 1981: 288 (figg. a, e, s, pl); 1986a: 433 (figg. m, pl); Angelini, 1998: 141. Loc. typ.: Darjeeling, Lebong (NMB, CA-MCSNG). . . . . India (Darjeeling, Meghalaya), ? Nepal

lepidum Angelini, 2000c: 45 (figg. e, m). Loc. typ.: Hot (CA-MCSNG). . . . . Thailandia

lewisi Angelini, 2000c: 41 (figg. c, e, m). Loc. typ.: prov. Shan, Lashio (CA-MCSNG). . . . . Myanmar

lijiangense Angelini, 2000b: 119, 163 (figg. c, e, m). Loc. typ.: Lijiang (CA-MCSNG). . . . . Cina (Yunnan)

lucifugum Angelini, 2002a: 346 (figg. c, e, m). Loc. typ.: Fenchihu (CA-MCSNG). . . . . Taiwan

luctuosum Angelini & De Marzo, 1993: 430 (figg. c, e, s, m, pl); Angelini, 1996: 2. Loc. typ.: M. Kinabalu (MHNG, CA-MCSNG). . . . . Malaysia (Sabah), ? Indonesia (Sumatra)

madurense Portevin, 1937: 33 (fig. a, pl); Hlisnikovský, 1964: 159, 249; Angelini & De Marzo, 1986a: 437 (figg. a, e, s, m, pl). Loc. typ.: Chambaganor (MNHNP). . . . . India (Tamil Nadu)

marshalli Angelini & Cooter, 1985: 126 (figg. a, c, e, s, m, pd, pl). Loc. typ.: P. N. Gunung Mulu (NHML, CC). . . . . Malaysia (Sarawak)

meghalayanum Angelini & De Marzo, 1981: 290 (figg. e, pl); 1986a: 433 (figg. s, m). Loc. typ.: Manophlang (NMB, CA-MCSNG) . . . . . India (Meghalaya)

modestum Angelini, 1999a: 914 (figg. c, e, s, m); Angelini, 2000b: 163. Loc. typ.: dint. Xichang, M. Luoji (MHNG, CA-MCSNG) . . . . . Cina (Sichuan)

montivagum Angelini & De Marzo, 1993: 435 (figg. c, e, m). Loc. typ.: Jambi, M. Kerinci (MHNG, CA-MCSNG) . . . . . Indonesia (Sumatra)

nahangense Angelini, 2000a: 308 (figg. c, e, m). Loc. typ.: prov. Tuyen Quang, Na Hang Reserve (CPE, CA-MCSNG). . . . . Vietnam

nefandum Angelini, 1993a: 200 (figg. e, m, pd, pl). Loc. typ.: Aceh Selatan prov., Babahrot (CA-MCSNG) . . . . . Indonesia (Sumatra)

negritos Angelini, 1992b: 169 (figg. s, m, pd, pl). Loc. typ.: Cameron Highlands (CA-MCSNG). . . . . Malaysia (Malaya)

neurayi Angelini, 2000b: 121, 163 (figg. c, e, m); 2002a: 347. Loc. typ.: Yunnan, Lijiang (CA-MCSNG) . . . . . Cina (Yunnan, Sichuan)

newari Angelini & De Marzo, 1985a: 42 (figg. a, e, m); 1986c: 838; 1989b: 468 (fig. m); 1994: 8, 48; Angelini, 1992a: 203. Loc. typ.: Nepal, F. Dobate, NE Barahbise (MHNG, CA-MCSNG) . . . . . Nepal, Thailandia

nigritulum Angelini, 2000b: 117, 163 (figg. c, e, m). Loc. typ.: Qin Ling Shan (CA-MCSNG). . . . . Cina (Shaanxi)

obscurum Angelini, 2000b: 124, 163 (figg. c, e, m). Loc. typ.: Longshen (CA-MCSNG).. . . . . Cina (Guangxi)

obsoletum Angelini, 1992b: 166 (figg. m, pd, pl). Loc. typ.: Tenasserim (CA-MCSNG). . . . . Myanmar

occultum Angelini & De Marzo, 1998b: 355 (figg. c, e, s, m); Angelini & Cooter, 1999: 191, 227; Angelini, 2000b: 163. Loc. typ.: R. N. Mengyang (MHNG, CA-MCSNG). . . . . Cina (Yunnan)

paralasti Angelini & Cooter, 2003: 8 (figg. c, e, s, m). Loc. typ.: R. N. Wuyi Shan, strada Qiliqiao-Guadun (IZB, CC). . . . . Cina (Fujian)

patris Angelini & Cooter, 2003: 7 (figg. c, e, s, m). Loc. typ.: R. N. Wuyi Shan, strada Qiliqiao-Guadun (IZB, CC, CA-MCSNG). . . . . Cina (Fujian)

pecki Angelini, 2000a: 309 (figg. c, e, m). Loc. typ.: Cao Bang Prov., P. N. Ba Be (CPE, CA-MCSNG). . . . . Vietnam

pedemontanum Angelini & De Marzo, 1994: 6, 48 (figg. c, e, m, pd, pl). Loc. typ.: distr. Panchtar, Dhorpar Kharka (SMNS). . . . . Nepal

plumbeum Angelini, 1999b: 170 (figg. c, e, m). Loc. typ.: distr. Kathmandu, Phulcoki (CA-MCSNG). . . . . Nepal

pseudomadurense Angelini & De Marzo, 1986a: 433 (figg. a, e, s, m). Loc. typ.: Tamil Nadu, Palni Hills, Kodaikanal (MHNG, CA-MCSNG). . . . . India (Kerala, Tamil Nadu)

relictum Angelini, 2000c: 38 (figg. e, s, m). Loc. typ.: Chiang Rai Prov., Doi Tung (MHNG, CA-MCSNG). . . . . Thailandia

riedeli Angelini, 1996: 2 (figg. a, c, e, s, m, pd, pl). Loc. typ.: Rishikesh, Laxman Bridge (SMNS, CA-MCSNG). . . . . India (Uttar Pradesh)

saigoi Hoshina, 1998: 139, 155 (figg. a, e, s, hd, hl). Loc. typ.: Kagoshima Pref., Amami-Oshima, M. Yuwandake (UK). . . . . Giappone (Ryukyus)

schuelkeicum Angelini, 2002b: 492 (figg. c, e, s, m). Loc. typ.: Qinling Shan (CSH, CA-MCSNG). . . . . Cina (Shaanxi)

schwendingeri Angelini, 1992a: 204 (figg. c, s, m, pd, pl); 2000c: 42; Angelini & Cooter, 1998: 332. Loc. typ.: Thailandia, Chiang Mai prov., Doi Suthep (MHNG, CA-MCSNG). . . . . Myanmar, Thailandia

senoi Angelini, 1992b: 170 (figg. c, m, pd, pl). Loc. typ.: Cameron Highlands (CA-MCSNG). . . . . Malaysia (Malaya)

separatum Angelini, 1992b: 167 (figg. m, pd, pl). Loc. typ.: Tenasserim (CA-MCSNG). . . . . Myanmar

shillongense Angelini & De Marzo, 1986a: 435 (figg. a, e, s, m, pl). Loc. typ.: Khasi Hills, presso Shillong (MHNG, CA-MCSNG). . . . . India (Meghalaya)

siamense Angelini, 1992a: 204 (figg. e, s, m, pd, pl); 2000c: 46. Loc. typ.: Chiang Mai prov., Doi Shutep (MHNG, CA-MCSNG). . . . . Thailandia, ? Vietnam

signatum Angelini & De Marzo, 1994: 8, 48 (figg. c, e, m, pd, pl). Loc. typ.: distr. Sankhua Sabha, Valle Arun (SMNS). . . . . Nepal

silvestre Angelini & De Marzo, 1989b: 468 (figg. a, e, m, pd, pl); Angelini, 2000c: 48. Loc. typ.: P. N. Khao Yai, NE Bangkok (MHNG, CA-MCSNG). . . . . Thailandia

simulator Angelini, 2002a: 348 (figg. c, e, m). Loc. typ.: Lijiang (CA-MCSNG). . . . . Cina (Yunnan)

subnitidum Angelini & De Marzo, 1998a: 128 (figg. e, s, m); Angelini & Cooter, 1999: 227; Angelini, 2002a: 350. Loc. typ.: Pingtung Hsien, Peitawushan, Kuai-Ku Hut (MHNG, CA-MCSNG, NMNST). . . . . Taiwan

subobscurum Angelini & De Marzo, 1993: 436 (figg. e, s, m, pl). Loc. typ.: Brastagi (MHNG, CA-MCSNG). . . . . Indonesia (Sumatra)

sveci Angelini, 2002a: 350 (figg. c, e, s, m). Loc. typ.: prov. Mae Hong Son, Soppong (CSV, CA-MCSNG). . . . . Thailandia

tardum Angelini & De Marzo, 1995a: 201 (fig. e); Angelini & Cooter, 1999: 227. Loc. typ.: Kaohsiung Hsien, Tengchih (MHNG). . . . . Taiwan

thaii Angelini, 2000b: 122, 163 (figg. c, e, m). Loc. typ.: 50 Km N Lijiang (CA-MCSNG). . . . . Cina (Yunnan)

urbanii Angelini & De Marzo, 1981: 266 (figg. a, c, e, m, pd). Loc. typ.: Songsak, Garo Hills (NMB). . . India (Meghalaya)

vagum Angelini & De Marzo, 1998b: 354 (figg. c, e, m); Angelini & Cooter, 1999: 191, 227; Angelini, 2000b: 163; 2002a: 351. Loc. typ.: Guangxi, 15 Km N Longshen (MHNG, CA-MCSNG). . . . . Cina (Guangxi, Shaanxi)

varuna Angelini & De Marzo, 1984a: 557 (figg. a, e, m, pd, pl). Loc. typ.: tra Algarah e Labha (MHNG). . . . .

Gruppo ***seminulum*** (Linnaeus)

apterum Angelini & De Marzo, 1981: 232 (figg. a, s); 1985a: 49 (figg. a, e, m); 1986c: 848; 1989a: 26; 1994: 48. Loc. typ.: Darjeeling, Chim-Khona (NMB, CA-MCSNG). . . . . India (Darjeeling), Nepal

ausobskyi Angelini & De Marzo, 1983a: 161 (figg. a, e, s, m, pl); 1994: 48; Angelini, 1999b: 170. Loc. typ.: distr. Kaski, Dhumpus (SMNS, CA-MCSNG). . . . . Nepal

bagmaticum Angelini & De Marzo, 1985a: 52 (figg. e, s, pl); 1986c: 850; 1989a: 26; 1994: 48; Angelini, 2002a: 352. Loc. typ.: Yangri, F. Yangri (MHNG, CA-MCSNG; SMNS). . . . . Nepal

barahbisense Angelini & De Marzo, 1985a: 51 (figg. e, s); 1994: 48; Angelini, 1996: 4; 1999b: 171. Loc. typ.: F. Yardang, NE Barahbise (MHNG, CA-MCSNG) . . . . . Nepal

brunneum Angelini & De Marzo, 1981: 233 (fig. s); 1983a: 166 (figg. e, m); 1986c: 849; 1994: 48; Angelini & Cooter, 1986: 37; Angelini, 1999b: 171. Loc. typ.: Nepal, dint. Goropani, Pokhara (CF). . . . . India (Kashmir), Nepal

castaneum Angelini & De Marzo, 1981: 218 (figg. e, s, m); 1984c: 8; 1986c: 844; 1994: 48. Loc. typ.: dint. Goropani, Pokhara (CF, CA-MCSNG). . . . . Nepal

concolor Angelini & De Marzo, 1981: 246 (fig. e); 1986c: 848 (fig. s); 1994: 48; Angelini, 1999b: 171. Loc. typ.: reg. Jumla, Valle Dzunda Khola presso Talphi (CF). . . . Nepal

confluens Angelini & De Marzo, 1986c: 847 (figg. a, e, s, m, pd, pl); 1994: 48. Loc. typ.: distr. Parbat, Gandaki prov., N Goropani (MHNG, CA-MCSNG). . . . . Nepal

conspersum Angelini & De Marzo, 1986c: 841 (figg. a, e, s, m, pd, pl); 1994: 12, 48. Loc. typ.: distr. Sankhuwasawa, Kosi prov., cresta a NE di Mangmaya (MHNG, CA-MCSNG, SMNS). . . . . Nepal

dargharicum Angelini & De Marzo, 1981: 220 (figg. e, s, m); 1983a: 158; 1984c: 8; 1994: 12, 48; Angelini, 1999b: 171; 2002a: 352. Loc. typ.: Jumla, M.ti Darghari presso Maharigaon (CF, CA-MCSNG). . . . . Nepal

francae Angelini & De Marzo, 1981: 224 (figg. a, e, s, m); 1983a: 159; 1985a: 45; 1986c: 844; 1987: 457; 1994: 48. Loc. typ.: Phulcoki (CF, CA-MCSNG, NMB)..... Nepal

fulungense Angelini & De Marzo, 1981: 236 (figg. a, e, s); 1983a: 166; 1987: 458; 1989a: 27; 1994: 48; Angelini, 1996: 4 (sub *A. barahbisense* Ang. & Dmz.); 1999b: 171; 2002a: 352. Loc. typ.: Nepal, Fulung (CF, CA-MCSNG, NMB)..... India (Himachal Pradesh), Nepal

glaciale Angelini & De Marzo, 1981: 235 (figg. e, s); 1984c: 9; 1986c: 851; 1987: 457; 1994: 15, 48; Angelini, 1999b: 171; 2002a: 353. Loc. typ.: reg. Jumla, Passo Dampa presso Chauta (CF, CA-MCSNG, NMB)..... Nepal

ilamense Angelini & De Marzo, 1983a: 159 (figg. a, e, s, m, pl); 1987: 457; 1994: 48; Angelini, 1999b: 171. Loc. typ.: distr. Ilam, Valle Gitang Khola (SMNS, CA-MCSNG)..... Nepal

indicum Angelini & De Marzo, 1981: 247 (figg. a, e, s); 1983a: 168; 1984a: 552; 1987: 458; 1994: 15, 49. Loc. typ.: Darjeeling, Chim-Khona (NMB, CA-MCSNG)..... India (Darjeeling), Nepal

indistinctum Angelini & De Marzo, 1981: 234 (fig. e); 1994: 14, 48 (fig. s). Loc. typ.: dint. Goropani, Pokhara (SMNS, CA-MCSNG)..... Nepal

ineptum Angelini & De Marzo, 1994: 12, 48 (figg. a, c, e, s, m, pd, pl). Loc. typ.: distr. Taplejung, sotto valle Simbua Khola, presso Tseram (SMNS, CA-MCSNG)..... Nepal

jatanai Angelini & Švec, 2000: 138 (figg. c, e, m); Angelini, 2000b: 163. Loc. typ.: Labrang, valle a Est di Ponggartang (CSV)..... Cina (Gansu)

jendeki Angelini & Švec, 1995: 512 (figg. a, c, e, s, m, pd, pl); Angelini & Cooter, 1999: 191, 227; Angelini, 2000b: 163. Loc. typ.: 50 Km N Lijiang, R. N. Yulongshan (NMW, CA-MCSNG)..... Cina (Yunnan)

johnsoni Angelini & De Marzo, 1981: 231 (figg. a, e, s); 1983a: 164; 1986c: 846; 1994: 49; Angelini, 1999b: 172. Loc. typ.: valle Kali-Gandaki tra Lete e Tukche (CF, CA-MCSNG)..... Nepal

kali Angelini & De Marzo, 1985a: 48 (figg. e, s, pd, pl); 1986c: 844; 1994: 49. Loc. typ.: Thare Pati (MHNG, CA-MCSNG). . . . . Nepal

kharkaense Angelini & De Marzo, 1994: 10, 49 (figg. a, c, e, s, m, pd, pl). Loc. typ.: distr. Taplejung, Omje Kharka, NW Yamputhin (SMNS, CA-MCSNG). . . . . Nepal

kuwapanicum Angelini & De Marzo, 1986c: 849 (figg. a, e, s, m, pd, pl); 1994: 14, 49. Loc. typ.: distr. Sankhuwasawa, prov. Kosi, NE Kuwapani (MHNG, CA-MCSNG, SMNS). . . . . Nepal

mequignoni Roubal, 1911: 49, Hatch, 1929: 70; Hlisnikovský, 1964: 221; Angelini, 1986: 155; 1988: 15; 1995c: 278 (figg. a, c, e, s, m, pd, pl, ali); 2002a: 353; Angelini & De Marzo, 1998a: 133; Angelini & Cooter, 1999: 227; 2003: 9. . . . . Caucaso, Turchia, N Iran, Kirgizstan, Siberia Corea, Cina (Beijing), Taiwan

microreticulatum Angelini & De Marzo, 1981: 226 (figg. a, s); 1985a: 45 (figg. e, m); 1987: 457; 1994: 49; Angelini, 1999b: 172. Loc. typ.: reg. Jumla (CF). . . . . Nepal

nivale Angelini & De Marzo, 1981: 223 (figg. a, e, s, m); 1983a: 159; 1983b: 156; 1985a: 45; 1989a: 26; 1994: 12, 49; Angelini, 1999b: 172. Loc. typ.: str. Gosaikunde-Monastero di Fulung (CF, CA-MCSNG). . . . . Nepal

pakistanicum Angelini & De Marzo, 1986b: 592 (figg. a, e, s, m, pd, pl). Loc. typ.: Hazara, Nathia Gali (MHNG, CA-MCSNG, SMNS). . . . . Pakistan

parbaticum Angelini & De Marzo, 1983a: 164 (figg. a, e, s, m, pl); 1986c: 848; 1994: 49; Angelini, 1999b: 172. Loc. typ.: distr. Parbat, tra Chitre e Ghandrung (SMNS, CA-MCSNG). . . . . Nepal

pinorum Angelini & De Marzo, 1986b: 601 (figg. a, c, e, s, m, pd, pl). Loc. typ.: Hazara, Shogran (MHNG, CA-MCSNG). . . . . Pakistan

punctatum Angelini & De Marzo, 1981: 228 (fig. e); 1994: 49. Loc. typ.: dint. Goropani, Pokhara (CF). . . . . Nepal

semipunctatum Angelini & De Marzo, 1981: 208 (figg. s, ms); 1994: 49; Angelini, 2002a: 354. Loc. typ.: reg. Jumla, valle Dzunda Khola (CF, CA-MCSNG). . . . . Nepal

smetanai Angelini & De Marzo, 1985a: 47 (figg. e, s, pd); 1987: 457; 1989a: 26; 1994: 49; Angelini, 2002a: 354. Loc. typ.: Mere Dara (MHNG, CA-MCSNG, SMNS) . . . . . Nepal

subopacum Angelini & De Marzo, 1981: 227 (figg. a, s); 1983a: 161 (figg. e, m); 1983b: 156; 1985a: 44; 1986c: 842; 1989a: 25; 1994: 49. Loc. typ.: Nepal, Phulcoki (NMB, CA-MCSNG) . . . . India (Darjeeling, Uttar Pradesh), Nepal, Bhutan

substriatum Angelini & De Marzo, 1981: 230 (figg. a, s); 1986c: 844 (figg. e, m); 1994: 49; Angelini, 1999b: 172. Loc. typ.: dint. Goropani, Pokhara (CF). . . . . Nepal

testaceum Angelini & De Marzo, 1981: 207 (fig. e). Loc. typ.: Passo Rohtang (CF, CA-MCSNG). India (Himachal Pradesh)

thochungense Angelini & De Marzo, 1981: 222 (fig. s); 1985a: 49 (figg. e, m); 1994: 49; Angelini, 1999b: 172. Loc. typ.: Thochung presso Jiri (CF, CA-MCSNG). . . . . Nepal

vile Angelini & De Marzo, 1986b: 603 (figg. a, e, s, m, pd, pl, hd). Loc. typ.: Hazara, tra Naran e Kaghan (MHNG, CA-MCSNG). . . . . Pakistan

Gruppo ***atrum*** (Paykull)

amamiense Hoshina, 1998: 139, 145 (figg. a, e, hd, hl). Loc. typ.: Amami-Oshima, Chuo-rindo (UK). . . . . Giappone (Ryukyus)

chinense Hlisnikovský, 1964: 144 (figg. a, e, hd, hl); Angelini, 1995c: 338 (figg. a, e, s, m, pd, pl); 2000b: 163; Angelini & Cooter, 1999: 191, 227. Loc. typ.: Chung King (NMP). . . . . Cina (Sichuan)

dinguaricum Angelini & De Marzo, 1981: 248 (figg. a, e); 1994: 49; Angelini, 1999b: 172. Loc. typ.: Valle Dinguari Khola presso Trisuli Basar (CF, CA-MCSNG). . . . . Nepal

fallax Angelini & De Marzo, 1981: 241 (figg. e, s); 1983a: 167; 1984a: 552; 1984b: 165; 1987: 458; 1994: 15, 49; Angelini, 1999b: 172. Loc. typ.: Darjeeling, Chim-Khona (NMB, CA-MCSNG). . . . . India (Darjeeling), Nepal

garhwalense Angelini & De Marzo, 1983b: 158 (figg. a, e, s, m, pd, pl); Angelini, 1996: 4. Loc. typ.: Garhwal, Chau battia (NMB, CA-MCSNG). . . . . India (Garhwal, Tamil Nadu)

glabricolle Angelini & De Marzo, 1995a: 206 (figg. e, s, m); Angelini & Cooter, 1999: 227. Loc. typ.: Taichung Hsien, Anmashan (MHNG, CA-MCSNG). . . . . Taiwan

gulmargense Angelini & De Marzo, 1981: 211 (figg. e, s, m, ell); Angelini & Cooter, 1986: 37. Loc. typ.: Gulmarg (NMB, CA-MCSNG, CF, CSV). . . . . India (Kashmir)

hamanni Angelini & De Marzo, 1981: 240 (figg. c, s); 1994: 49. Loc. typ.: reg. Jumla, Valle Dzunda Khola presso Talphi (CF, CA-MCSNG). . . . . Nepal

kabateki Angelini, 2000b: 126, 163 (figg. e, s, m); 2002a: 354. Loc. typ.: Daxue Shan, Hailuogou Glacier Park (CSH, CSM, CA-MCSNG). . . . . Cina (Sichuan)

kashmirense Angelini & De Marzo, 1981: 238 (figg. c, e, s); 1984c: 9; 1985a: 54; Angelini & Stephenson, 1990: 121; Angelini, 1996: 4. Loc. typ.: Kashmir, Chandanwari presso Pahalgan (CF, CA-MCSNG, NMB, SMNS) . . . . . India (Kashmir, Garhwal, Kumaon, Himachal Pradesh)

laevipenne Portevin, 1926: 82; 1928: 32 (*Saccoceble*); Hatch, 1929: 80; Hlisnikovský, 1964: 29 (*Cyphoceble*); Angelini, 1986: 155 (s. str.). Loc. typ.: Kashmir (MNHNP). . . . . India (Kashmir)

pauperum Angelini & De Marzo, 1984c: 10 (figg. a, e, m, pl); 1986b: 594 (fig. s) (*pauper*). Loc. typ.: Kashmir, Pahalgan (CF). . . . . Pakistan, India (Kashmir)

raffaellae Angelini & De Marzo, 1981: 244 (figg. e, s); 1984c: 11; 1994: 49. Loc. typ.: str. Gosaikunde-Monastero di Fulung (CF, CA-MCSNG). . . . . Nepal

robustum Angelini & De Marzo, 1986b: 595 (figg. a, e, s, m, pd, pl). Loc. typ.: Hazara, Shogran (MHNG, CA-MCSNG). . . . . Pakistan

sadhu Angelini & De Marzo, 1983a: 167 (figg. a, e, s, m, pl); 1994: 49; Angelini, 1999b: 173. Loc. typ.: distr. Kaski, Dhumpus (SMNS, CA-MCSNG). . . . . Nepal

sikh Angelini & De Marzo, 1984b: 165 (figg. e, m, pd, pl). Loc. typ.: Debrapani (TMB). . . . . India (Darjeeling)

uliginosum Angelini & Švec, 1994: 17 (figg. a, c, e, s, m, pd, pl); 2000: 140; Angelini & De Marzo, 1998b: 357; Angelini & Cooter, 1999: 191, 227; Angelini, 2000b: 126, 163. Loc. typ.: Yunnan, Heishui, 35 Km N Lijiang (CSV, CA-MCSNG). . . . . Cina (Yunnan, Sichuan)

visnu Angelini & De Marzo, 1985a: 54 (figg. e, s, pl); 1989a: 27; 1994: 15, 49. Loc. typ.: Shermathang (MHNG, CA-MCSNG, SMNS). . . . . Nepal

Gruppo ***laevigatum*** Erichson

alpestre Angelini & De Marzo, 1995a: 223 (figg. a, e, s, m); 1998a: 135; Angelini & Cooter, 1999: 227. Loc. typ.: Nantou Hsien, P. N. Yushan, Pai-Yun Hut (MHNG, CA-MCSNG, NMNST). . . . . Taiwan

angustatum Angelini & De Marzo, 1995a: 219 (figg. a, c, e, s, m); Angelini & Cooter, 1999: 228. Loc. typ.: Tai-chung Hsien, Hsuehshan presso Hsuehshan Tun-Feng (MHNG, CA-MCSNG, NMNST). . . . . Taiwan

armatum Angelini, 1999a: 916 (figg. c, e, s, m); 2000b: 163. Loc. typ.: M. Xiling (MHNG, CA-MCSNG). . . . . Cina (Sichuan)

celatum Angelini & De Marzo, 1998b: 362 (figg. c, e, s, m); Angelini & Cooter, 1999: 192, 228; Angelini, 2000b: 163. Loc. typ.: R. N. Shennongjia (MHNG, CA-MCSNG). . . . . Cina (Hubei)

circumflexum Angelini & De Marzo, 1981: 259 (figg. a, e, s); 1983a: 172; 1989a: 30; 1994: 16, 49; Angelini, 1999b: 173. Loc. typ.: Shermathang, Helambu (CF, CA-MCSNG). . . . . Nepal

comptum Angelini & De Marzo, 1995a: 227 (figg. a, e, s, m); 1998a: 135; Angelini & Cooter, 1999: 228. Loc. typ.: Nantou Hsien, P. N. Yushan, Mun-Li Cliff (MHNG, NMNST, CA-MCSNG). . . . . Taiwan

consimile Angelini, 2000b: 130, 163 (figg. c, e, m). Loc. typ.: M. Emei (CA-MCSNG). . . . . Cina (Sichuan)

detritum Angelini & De Marzo, 1994: 19, 49 (figg. c, e, m, pd, pl). Loc. typ.: distr. Sankhua Sabha, Thudam (SMNS) . . . . . Nepal

dobaticum Angelini & De Marzo, 1985a: 62 (figg. e, s, pd, pl); 1994: 49; Angelini, 1999b: 173. Loc. typ.: F. Dobate, NE Barahbise (MHNG, CA-MCSNG, SMNS). . . . . Nepal

egregium Angelini & De Marzo, 1995a: 228 (figg. e, m); 1998a: 135 (fig. s); Angelini & Cooter, 1999: 228. Loc. typ.: Hualien Hsien, P. N. Taroko, Nanhushi Hut (MHNG). . . . . Taiwan

excelsum Angelini & De Marzo, 1994: 25, 49 (figg. a, c, e, s, m, pd, pl). Loc. typ.: distr. Panchtar, Dhorpar Kharka (SMNS, CA-MCSNG).. . . . . Nepal

exoletum Angelini & De Marzo, 1995a: 236 (figg. a, e, s, m, pd, pl); Angelini & Cooter, 1999: 228. Loc. typ.: Pingtung Hsien, Peitawushan presso Kuai-Ku Hut (MHNG, CA-MCSNG). . . . . Taiwan

franzi Angelini & De Marzo, 1981: 260 (figg. e, s, ms); 1983a: 172; 1986c: 854; 1987: 458; 1989a: 30; 1994: 50; Angelini, 1999b: 173. Loc. typ.: Valle Kali-Gandaki tra Lete e Ghasa (CF, CA-MCSNG, NMB). . . . . Nepal

fulgens Angelini & De Marzo, 1985a: 57 (figg. e, s, m); 1986c: 852; 1989a: 29; 1994: 50. Loc. typ.: distr. Patan, prov. Bagmati, Phulcoki (MHNG, CA-MCSNG). . . . . Nepal

furcatum Angelini & De Marzo, 1995a: 225 (figg. a, e, m); Angelini & Cooter, 1999: 228. Loc. typ.: Kaohsiung Hsien, Tengchih (MHNG). . . . . Taiwan

garrattii Angelini & Cooter, 1999: 192, 196, 228 (figg. c, s, m); Angelini, 2000b: 163. Loc. typ.: Lin'an County, W R. N. Tianmu Shan (CC, CA-MCSNG). . . . . Cina (Zhejiang)

gonggaense Angelini & De Marzo, 1998b: 357 (figg. c, e, m); Angelini & Cooter, 1999: 192, 228; Angelini & Švec, 2000: 141 (fig. s); Angelini, 2000b: 127, 163; 2002a: 354. Loc. typ.: Gongga Shan (MHNG, CA-MCSNG). . . . . Cina (Sichuan)

goropanicum Angelini & De Marzo, 1981: 251 (figg. e, s); 1983a: 168; 1986c: 852; 1994: 50; Angelini, 1999b: 173. Loc. typ.: dint. Goropani, Pokhara (CF, CA-MCSNG, NMB). . . . . Nepal

guagir Angelini & De Marzo, 1986b: 596 (figg. a, e, s, m, pd, pl). Loc. typ.: Swat, Miandam (MHNG, CA-MCSNG, SMNS). . . . . Pakistan

himalayanum Angelini & De Marzo, 1981: 213 (fig. e); 1984c: 12 (fig. s); 1994: 50; Angelini, 1999b: 173. Loc. typ.: Jumla, M.ti Darghari presso Maharigaon (CF)..... Nepal

huangganshanicum Angelini & Cooter, 2003: 10 (figg. c, e, m). Loc. typ.: R. N. Wuyi Shan, Huangganshan (IZB, CC)..... Cina (Jiangxi)

imitator Angelini & De Marzo, 1994: 24, 50 (figg. a, c, e, m, pd, pl). Loc. typ.: distr. Taplejung, Walungchung Gola (SMNS, CA-MCSNG)..... Nepal

inquietum Angelini & De Marzo, 1994: 22, 50 (figg. a, c, e, s, m, pd, pl). Loc. typ.: distr. Taplejung, Lassetham, NW Yamputhin (SMNS, CA-MCSNG)..... Nepal

inustum Angelini & De Marzo, 1995a: 233 (figg. e, s, m); Angelini & Cooter, 1999: 228. Loc. typ.: Nantou Hsien, P. N. Yushan, Mun-Li Cliff (MHNG, CA-MCSNG, NMNST)..... Taiwan

ishvara Angelini & De Marzo, 1985a: 59 (figg. e, s, m); 1987: 458; 1994: 24, 50. Loc. typ.: F. Dobate, NE Barahbise (MHNG, CA-MCSNG, SMNS)..... Nepal

jaechi Angelini, 2000b: 135, 163 (figg. c, e, m). Loc. typ.: M. Emei (CA-MCSNG)..... Cina (Sichuan)

kathmanduense Angelini & De Marzo, 1981: 255 (figg. c, e, s, m); 1985a: 55; 1986c: 851; 1987: 458; 1989a: 27; 1994: 15, 50. Loc. typ.: Phulcoki (CF, CA-MCSNG, NMB)..... Nepal

laevigatum laevigatum Erichson, 1845: 98; Hlisnikovský, 1964: 216 (figg. a, e, m, hd, hl); Angelini & De Marzo, 1981: 250 (figg. e, s, ms); 1994: 22, 50; Angelini, 1995c: 342 (figg. a, c, e, s, m, pd, pl, ali, ms). Loc. typ.: Austria (ZMNB)..... India (Himachal Pradesh, Darjeeling), Nepal, Bhutan, regione paleartica

lassethamense Angelini & De Marzo, 1994: 17, 50 (figg. a, c, e, s, m, pd, pl); Angelini, 1999b: 173. Loc. typ.: distr. Taplejung, Lassetham, NW Yamputhin (SMNS, CA-MCSNG)..... Nepal

lividum Angelini & De Marzo, 1986c: 855 (figg. a, c, e, s, m, pd, pl); 1987: 458; 1994: 22, 50. Loc. typ.: distr. Parbat, Dhaulagiri prov., cresta a E di Goropani (MHNG, CA-MCSNG, SMNS)..... Nepal

manangense Angelini & De Marzo, 1983a: 168 (figg. a, e, s, pl); 1985a: 55; 1994: 15, 50. Loc. typ.: F. Dobate, NE Barahbise (SMNS, CA-MCSNG, MHNG). . . . . Nepal

martensi Angelini & De Marzo, 1983a: 170 (figg. a, e, s, m, pl); 1983b: 160; 1984a: 552; 1987: 459; 1994: 22, 50; Angelini, 1999b: 173. Loc. typ.: Nepal, distr. Ilam, Valle Gitang Khola (SMNS, CA-MCSNG, MHNG). . . . . India (Darjeeling), Nepal

memnonium Angelini & De Marzo, 1995a: 215 (figg. c, e, s, m, pd, pl); Angelini & Cooter, 1999: 228. Loc. typ.: Hualien Hsien, P. N. Taroko (MHNG, CA-MCSNG, NMNST). . . . . Taiwan

michaeli Angelini, 2002a: 356 (figg. c, e, m). Loc. typ.: Ganzi Tibet Aut. Pref., Luding Co., W Erlang Shan Pass (CSH, CA-MCSNG). . . . . Cina (Sichuan)

minutissimum Angelini & De Marzo, 1981: 214 (figg. c, e, s, ell); 1986c: 863; 1994: 50. Loc. typ.: Phulcoki (CF, CA-MCSNG). . . . . Nepal

nepalense Angelini & De Marzo, 1981: 216 (figg. c, s, ell); 1984c: 15 (figg. e, m); 1986c: 863; 1994: 50; Angelini, 1999b: 173. Loc. typ.: Goropani presso Pokhara (CF, CA-MCSNG). . . . . Nepal

nigerrimum Angelini, 2000b: 129, 163 (figg. c, e, s, m); 2002a: 358. Loc. typ.: Daxue Shan, Hailuogou Glacier Park (CSH, CSM, CA-MCSNG) . . . . . Cina (Sichuan)

nitidulum Angelini & Cooter, 1999: 192, 197, 229 (figg. c, e, m); Angelini, 2000b: 163. Loc. typ.: Lin'an County, W R. N. Tianmu Shan (CC). . . . . Cina (Zhejiang)

ornatum Angelini & De Marzo, 1984c: 11 (figg. a, e, s, m, pl); 1994: 50. Loc. typ.: M. Taksan presso Tukche (CF, CA-MCSNG). . . . . Nepal

procerum Angelini & De Marzo, 1998b: 359 (figg. c, e, s, m); Angelini, 1999a: 916; 2000b: 135, 163; 2002a: 358; Angelini & Cooter, 1999: 192, 229. Loc. typ.: R. N. Wolong (MHNG, CA-MCSNG). . . . . Cina (Sichuan)

proximum Angelini, 1996: 5 (figg. a, c, e, s, m, pd, pl). Loc. typ.: Joshimat, Ghargaria (SMNS, CA-MCSNG). . . . . India (Uttar Pradesh)

querceum Angelini & De Marzo, 1989a: 27 (figg. a, e, s, m, pd, pl); 1994: 15, 50. Loc. typ.: prov. Bagmati, distr. Kathmandu, Siwapuri Dara (MHNG, CA-MCSNG). . . . . Nepal

rubiginosum Angelini, 1999a: 917 (figg. c, e, s, m); 2000b: 163. Loc. typ.: M. Xiling (MHNG, CA-MCSNG). . . . . Cina (Sichuan)

rubrum Angelini & De Marzo, 1984c: 14 (figg. a, e, s, m, pl); 1986c: 863; 1994: 50; Angelini, 1999b: 174. Loc. typ.: Rarasees, Dampelek presso Jumla (CF, CA-MCSNG). . . . . Nepal

rufescens Angelini & De Marzo, 1998b: 358 (figg. c, e, s, m); Angelini & Cooter, 1999: 192, 229; Angelini, 2000b: 163. Loc. typ.: R. N. Wolong (MHNG, CA-MCSNG). . . . . Cina (Sichuan)

rufifrons Angelini & De Marzo, 1985a: 60 (figg. e, s, m); 1994: 50; Angelini, 1999b: 174. Loc. typ.: F. Yardang, NE Barahbise (MHNG, CA-MCSNG). . . . . Nepal

rurale Angelini, 2002a: 359 (figg. c, s, m). Loc. typ.: M. Emei (CA-MCSNG). . . . . Cina (Sichuan)

rusticanum Angelini & De Marzo, 1994: 25, 50 (figg. c, e, m, pd, pl). Loc. typ.: distr. Sankhua Sabha, Thudam (SMNS). . . . . Nepal

seminigrum Angelini & De Marzo, 1981: 249 (fig. s); 1994: 50. Loc. typ.: Valle Dinguari Khola, Trisuli Basar (CF). . . . . Nepal

semireticulatum Angelini & De Marzo, 1981: 258 (figg. e, s, m); 1985a: 59; 1986c: 852; 1987: 458; 1994: 50; Angelini, 1999b: 174. Loc. typ.: str. per Pokhara (CF, CA-MCSNG). . . . . Nepal

shimlense Angelini & Stephenson, 1990: 121 (figg. a, c, e, m, hd, hl). Loc. typ.: Narkanda (CUI). . . . . India (Himachal Pradesh)

simplex Angelini, 2000b: 132, 163 (figg. c, e, s, m); 2002a: 360. Loc. typ.: M. Emei (CA-MCSNG). . . . . Cina (Sichuan)

siva Angelini & De Marzo, 1985a: 57 (figg. e, s, m); 1989a: 29; 1994: 16, 50. Loc. typ.: Malemchi (MHNG, CA-MCSNG). . . . . Nepal

subalpinum Angelini & De Marzo, 1995a: 230 (figg. c, e, s, m); 1998a: 136; Angelini & Cooter, 1999: 229. Loc. typ.: Nantou Hsien, Houhuanshan (MHNG, CA-MCSNG, NMNST)..... Taiwan

swaticum Angelini & De Marzo, 1986b: 599 (figg. a, c, e, s, m, pd, pl). Loc. typ.: Swat, Miandam (MHNG, CA-MCSNG, SMNS)..... Pakistan

taichungense Angelini & De Marzo, 1995a: 236 (figg. a, e, s, m, pd, pl); Angelini & Cooter, 1999: 229. Loc. typ.: Taichung Hsien, Hsuehshan (MHNG, CA-MCSNG) .... Taiwan

tibiale Angelini & De Marzo, 1985a: 67 (figg. a, e, s, mt, pd, pl); 1986c: 864; 1994: 27, 50. Loc. typ.: Phulcoki (MHNG, CA-MCSNG)..... Nepal

tschungi Angelini, 2000b: 133, 163 (figg. c, e, m); 2002a: 360; 2002b: 495. Loc. typ.: Qin Ling Shan (CA-MCSNG)..... Cina (Shaanxi)

variabile Angelini & De Marzo, 1986c: 853 (figg. a, e, s, m, pd, pl); 1994: 21, 50. Loc. typ.: distr. Sankhuwasawa, Kosi prov., cresta a S di Mangsingma (MHNG, CA-MCSNG)..... Nepal

zijinense Angelini & Cooter, 1999: 192, 198, 229 (figg. c, e, s, m); Angelini, 2000b: 163. Loc. typ.: Nanjing, Zijinshan (CC, CA-MCSNG)..... Cina (Jiangsu)

Gruppo ***dentatum*** Mulsant & Rey

acuticorne Angelini, 2002a: 360 (figg. c, e, m). Loc. typ.: Emei Shan, Wannian (SMNS, CA-MCSNG)..... Cina (Sichuan)

acutum Angelini, 2000b: 136, 164 (figg. c, e, m). Loc. typ.: Lijiang (CA-MCSNG)..... Cina (Yunnan)

aikanae Hoshina, 1998: 139, 147 (figg. a, e, s, hd, hl). Loc. typ.: Pref. Kagoshima, Tokunoshima, Tanpatsu (UK) ..... Giappone (Ryukyus)

anmashanense Angelini & De Marzo, 1995a: 228 (figg. e, s, m); 1998a: 136; Angelini & Cooter, 1999: 228. Loc. typ.: Taichung Hsien, Anmashan (MHNG, NMNST, CA-MCSNG)..... Taiwan

asphaltinum Angelini & De Marzo, 1995a: 245 (figg. e, s, m); Angelini & Cooter, 1999: 229. Loc. typ.: Kaohsiung Hsien, Tengchih (MHNG, CA-MCSNG). . . . . Taiwan

bidentatum Angelini & De Marzo, 1986c: 859 (figg. a, e, s, m, pd, pl); 1994: 29, 50; Angelini, 1999b: 174. Loc. typ.: distr. Sankhuwasawa, Kosi prov., NE Kuwapani (MHNG, CA-MCSNG). . . . . Nepal

bowringi Angelini & Cooter, 1999: 191, 194, 226 (figg. c, e, m); Angelini, 2000b: 163. Loc. typ.: New Territories (CC). . . . . Cina (Hong Kong)

brunneipenne Angelini & De Marzo, 1998b: 363 (figg. c, e, s, m); Angelini, 1999a: 918; 2000b: 138, 164; 2002b: 500; Angelini & Cooter, 1999: 193, 229; 2003: 14. Loc. typ.: Hubei, R. N. Shennongjia (MHNG, CA-MCSNG). . . . . Cina (Hubei, Shaanxi, Sichuan)

chalconotum Angelini & De Marzo, 1995a: 219 (figg. a, c, e, m); Angelini & Cooter, 1999: 228. Loc. typ.: Pingtung Hsien, Peitawushan presso Kuai-Ku Hut (MHNG). . . . . Taiwan

chiaicum Angelini & De Marzo, 1995a: 247 (figg. e, s, m); Angelini & Cooter, 1999: 229. Loc. typ.: Chiai Hsien, P. N. Yushan, Mun-Li Cliff (MHNG, CA-MCSNG, NMNST) . . . . . Taiwan

cinereum Angelini & De Marzo, 1981: 276 (figg. e, pd, pl). Loc. typ.: Kharbandi (NMB).. . . . . Bhutan

collinsi Angelini & Cooter, 1985: 127 (figg. a, c, e, m, pd, pl). Loc. typ.: P. N. Gunung Mulu (NHML, CA-MCSNG). . . . . Malaysia (Sarawak)

connexum Angelini, 1999b: 174 (figg. c, e, s, m). Loc. typ.: reg. Jumla, Dzunda Khola Tal presso Talphi (CA-MCSNG). . . . . Nepal

curtum Angelini & De Marzo, 1994: 31, 50 (figg. c, e, m, pd, pl). Loc. typ.: distr. Kathmandu, Sheopuri (SMNS). . . . . Nepal

daamsae Angelini & De Marzo, 1987: 459 (figg. a, e, s, m, pd, pl); 1994: 51. Loc. typ.: distr. Terhathum, Kosi prov., Tinjura Dara (SMNS, CA-MCSNG). . . . . Nepal

deoralicum Angelini & De Marzo, 1994: 16, 49 (figg. a, c, e, s, m, pd, pl). Loc. typ.: distr. Taplejung, sotto valle Simbua Khola (SMNS, CA-MCSNG). . . . . Nepal

discretum Angelini & De Marzo, 1995a: 212 (figg. a, e, m); Angelini & Cooter, 1999: 228. Loc. typ.: Pingtung Hsien, Kuai-Ku Hut (MHNG). . . . . Taiwan

ducentesimum Angelini & De Marzo, 1989b: 461 (figg. a, e, s, m, pd, pl); Angelini, 1992a: 202. Loc. typ.: Chiang Mai prov., Doi Inthanon (MHNG, CA-MCSNG). . . . . Thailandia

eremita Angelini & De Marzo, 1981: 286 (figg. e, m, pd, pl). Loc. typ.: Lopchu-Ghum (NMB). . . . . India (Darjeeling)

fenestratum Angelini & De Marzo, 1995a: 243 (figg. c, e, s, m, pd, pl); Angelini & Cooter, 1999: 229. Loc. typ.: Chiai Hsien, P. N. Yushan, Mun-Li Cliff (MHNG, CA-MCSNG, NMNST). . . . . Taiwan

fujianense Angelini & De Marzo, 1985b: 33 (figg. a, e, m, pd, pl); Angelini & Cooter, 1999: 193, 229; Angelini, 2000b: 164 (*fukiense*). Loc. typ.: Kuatun (CA-MCSNG). L'originario nome *fukiense* va emendato in *fujianense* poiché il nome più corretto della provincia è Fujian. . . . . Cina (Fujian)

fujisakiae Hoshina, 1998: 139, 149 (figg. a, e, s, hd, hl). Loc. typ.: Okinawa, M. Yonahadake (UK) . . . . . Giappone (Ryukyus)

fuliginosum Angelini & De Marzo, 1995a: 221 (figg. a, c, e, m); 1998a: 135; Angelini & Cooter, 1999: 228. Loc. typ.: Pingtung Hsien, Peitawushan, Kuai-Ku Hut (MHNG). . . . . Taiwan

fulvum Angelini & De Marzo, 1981: 283 (fig. e); 1994: 51; Angelini, 1999b: 174. Loc. typ.: tra Mulkharka e Tare Pati (CF, CA-MCSNG). . . . . Nepal

fuscum Angelini & De Marzo, 1995a: 238 (figg. a, e, m, pd, pl); Angelini & Cooter, 1999: 229. Loc. typ.: Taoyuan Hsien, Takuanshan For. (MHNG) . . . . . Taiwan

grandicolle Angelini, 2000b: 141, 164 (figg. c, e, m); 2002a: 364. Loc. typ.: M. Emei (CA-MCSNG). . . . . Cina (Sichuan)

griseum Angelini, 2000b: 146 (figg. c, e, m); 2002a: 364. Loc. typ.: Fenchihu (CA-MCSNG). . . . . Taiwan

grossum Angelini, 2000b: 145 (figg. e, m). Loc. typ.: Fenchihu (CA-MCSNG). . . . . Taiwan

gurka Angelini & De Marzo, 1981: 284 (figg. e, s, m); 1994: 51. Loc. typ.: Dampelek presso Jumla (CF, CA-MCSNG). . . . . Nepal

gutianense Angelini & Cooter, 1999: 193, 204, 229 (figg. c, e, s, m); Angelini, 2000b: 164. Loc. typ.: R. N. Gutian (CC, CA-MCSNG). . . . . Cina (Guangdong)

hani Angelini, 1999a: 918 (figg. c, e, s, m); 2000b: 164. Loc. typ.: M. Xiling (MHNG, CA-MCSNG) . . . . . Cina (Sichuan)

harmandi Portevin, 1905: 423 (s. str.); 1926: 81-83; 1928: 31 (*Cyphoceble*); Hatch, 1929: 66; Hlisnikovský, 1964: 202, 248; Angelini & De Marzo, 1984a: 554 (figg. a, e, s, m, pd, pl) (s. str.). Loc. typ.: Sikkim (MNHNP). . . . . India (Sikkim, Darjeeling)

honestum Angelini & De Marzo, 1995a: 208 (figg. a, e, m); 1998a: 133 (fig. s); Angelini & Cooter, 1999: 228. Loc. typ.: Pingtung Hsien, Peitawushan, Kuai-Ku- Hut (MHNG, CA-MCSNG, NMNST). . . . . Taiwan

hoshinai Angelini, 2002a: 365 (figg. c, e, s, m). Loc. typ.: Ganzi Tibet Aut. Pref., Kanding Co., Daxue Shan (CSH, CA-MCSNG). . . . . Cina (Sichuan)

huaense Angelini & De Marzo, 1998b: 362 (figg. c, e, s, m); Angelini & Cooter, 1999: 193, 229; Angelini, 2000b: 164. Loc. typ.: M. Hua (MHNG, CA-MCSNG). . . . . Cina (Shaanxi)

hubeicum Angelini & Cooter, 2003: 15 (figg. c, e, m). Loc. typ.: R. N. Shennongjia, Guanmenshan (IZB). . . . . Cina (Hubei)

ilvense Angelini & De Marzo, 1989b: 463 (figg. a, e, s, m, pd, pl); Angelini, 1992a: 202. Loc. typ.: Chiang Mai prov., Doi Suthep (MHNG, CA-MCSNG). . . . . Thailandia

indra Angelini & De Marzo, 1984a: 549 (figg. a, e, s, m, pd, pl); 1986c: 865; 1994: 51. Loc. typ.: Darjeeling, Ghoom (MHNG, CA-MCSNG). . . . . India (Darjeeling), Nepal

indubium Angelini & De Marzo, 1998b: 367 (figg. c, e, m, s); Angelini & Cooter, 1999: 193, 229; Angelini, 2000b: 164. Loc. typ.: M. Emei (MHNG, CA-MCSNG). . . . . Cina (Sichuan)

inerme Angelini & De Marzo, 1998b: 365 (figg. c, e, m); Angelini & Cooter, 1999: 193, 229; 2003: 16; Angelini, 2000b: 164; 2002b: 503. Loc. typ.: Hubei, R. N. Shen nongjia (MHNG, CA-MCSNG) . . . . . Cina (Hubei, Shaanxi)

intricatum Angelini & De Marzo, 1995a: 232 (figg. a, c, e, m, pd, pl); Angelini & Cooter, 1999: 228. Loc. typ.: Taichung Hsien, Hsuehshan (MHNG, CA-MCSNG). . . . . Taiwan

jiuchongense Angelini & Cooter, 2003: 12 (figg. c, e, m). Loc. typ.: R. N. Shennongjia, Jiuchong (IZB, CC). . . . . Cina (Hubei)

kaohsiungense Angelini & De Marzo, 1995a: 217 (figg. a, c, e, s, m); 1998a: 135; Angelini & Cooter, 1999: 228. Loc. typ.: Kaohsiung Hsien, Tengchih (MHNG, CA-MCSNG, NMNST). . . . . Taiwan

lucidum Angelini & De Marzo, 1995a: 208 (figg. c, e, s, m); 1998a: 133; Angelini & Cooter, 1999: 228; Angelini, 2002a: 366. Loc. typ.: Taichung Hsien, Hsuehshan (MHNG, CA-MCSNG, NMNST). . . . . Taiwan

lugubre Angelini & De Marzo, 1998b: 365 (figg. c, e, s, m); Angelini, 1999a: 918; 2000b: 164; Angelini & Cooter, 1999: 193, 230; 2003: 19. Loc. typ.: Guangxi, 15 Km N Longshen (MHNG, CA-MCSNG). . . . . Cina (Guangxi, Jiangxi, ? Sichuan)

lunatum Angelini & De Marzo, 1995a: 240 (figg. a, e, m, pd, pl); Angelini & Cooter, 1999: 230; Angelini, 2002a: 366. Loc. typ.: Pingtung Hsien, Peitawushan, Kuai-Ku Hut (MHNG, CA-MCSNG). . . . . Taiwan

luojiense Angelini, 1999a: 920 (figg. c, e, s, m); 2000b: 164. Loc. typ.: dint. Xichang, M. Luoji (MHNG, CA-MCSNG). . . . . Cina (Sichuan)

macrotibiale Angelini & De Marzo, 1986c: 866 (figg. a, c, e, s, mt, pd, pl); 1994: 31, 51. Loc. typ.: distr. Sankhuwasawa, Kosi prov., S Mangsingma (MHNG, CA-MCSNG). . . . . Nepal

martensianum Angelini & De Marzo, 1994: 20, 50 (figg. a, c, e, s, m, pd, pl). Loc. typ.: distr. Taplejung, Yamputhin, str. per passo Deorali (SMNS, CA-MCSNG). . . . . Nepal

meifengense Angelini & De Marzo, 1995a: 213 (figg. a, e, m); 1998a: 134 (fig. s); Angelini & Cooter,

1999: 228. Loc. typ.: Nantou Hsien, Meifeng (MHNG, NMNST, CA-MCSNG). . . . . Taiwan

melancholicum Angelini & Cooter, 2003: 17 (figg. e, m). Loc. typ.: R. N. Shennongjia, Shennongding (IZB). . . . . Cina (Hubei)

melanocephalum Angelini & De Marzo, 1995a: 246 (figg. e, s, m, pd, pl); 1998a: 137; Angelini & Cooter, 1999: 230; Angelini, 2002a: 367. Loc. typ.: Chiai Hsien, P. N. Yushan, Mun-Li Cliff (MHNG, NMNST, CA-MCSNG). . . . . Taiwan

montanellum Hlisnikovský, 1972: 134. Loc. typ.: Horton Plains (MHNG, CH-NMP). . . . . Sri Lanka

montanum Angelini & De Marzo, 1981: 274 (figg. a, e, s, m, pl); Angelini & Cooter, 1986: 37. Loc. typ.: Kashmir, Gulmarg (NMB, CF, CA-MCSNG, SMNS). . . . . India (Kashmir, Darjeeling)

okinawaense Hoshina, 1998: 139, 153 (figg. a, e, s, hd, hl). Loc. typ.: Okinawa, M. Yonahadake (UK). . . . . Giappone (Ryukyus)

ovatum Angelini & De Marzo, 1986c: 861 (figg. a, e, s, m, pd, pl); 1994: 51. Loc. typ.: distr. Sankhuwasawa, Kosi prov., E Mangsingma (MHNG, CA-MCSNG). . . . . Nepal

paratianmuense Angelini & Cooter, 1999: 192, 201, 230 (figg. c, e, s, m); Angelini, 2000b: 164. Loc. typ.: Lin'an County, W R. N. Tianmu Shan (CC, CA-MCSNG). . . . . Cina (Zhejiang)

paria Angelini & De Marzo, 1981: 287 (figg. e, s, m, pl, pd); 1985a: 66; 1989a: 30; 1994: 51. Loc. typ.: Shermathang, Helambu (CF, CA-MCSNG). . . . . Nepal

phulcokiense Angelini & De Marzo, 1981: 278 (figg. a, e, s, m); 1983a: 172; 1994: 51; Angelini, 1999b: 175 (*phulchokiense*); Angelini & De Marzo, 1985a: 66; 1986c: 857. Loc. typ.: distr. Patan, prov. Bagmati, Phulcoki (CF, CA-MCSNG, NMB). L'originario nome *phulchokiense* va emendato in *phulcokiense* poiché la località tipica è Phulcoki. . . . . Nepal

pictum Angelini & De Marzo, 1998a: 136 (figg. e, m); Angelini & Cooter, 1999: 230. Loc. typ.: Taichung Hsien, Anmashan (MHNG, CA-MCSNG). . . . . Taiwan

pothanaense Angelini, 1999b: 175 (figg. c, e, s, m). Loc. typ.: distr. Kaski, dint. Pothana (SMNS, CA-MCSNG). . . . . Nepal

prosperum Angelini, 1995a: 129 (figg. s, m, pd, pl). Loc. typ.: Tam Dao prov., Vinh Yae (CA-MCSNG). . . . . Vietnam

pseudomontanellum Angelini & De Marzo, 1986a: 439 (figg. a, e, s, m). Loc. typ.: Nilgiri, Ootacamund (MHNG, CA-MCSNG). . . . . India (Tamil Nadu)

pseudoparia Angelini & De Marzo, 1983a: 172 (figg. a, e, s, m, pl); 1984a: 554; 1987: 460; 1994: 29, 51. Loc. typ.: Nepal, distr. Ilam, Valle Gitang Khola (SMNS, CA-MCSNG, MHNG). . . . . India (Darjeeling), Nepal

pseudotianmuense Angelini & Cooter, 1999: 192, 200, 230 (figg. c, e, s, m); Angelini, 2000b: 164. Loc. typ.: W R. N. Tianmushan (CC, CA-MCSNG). . . . . Cina (Zhejiang)

pseudotibiale Angelini & De Marzo, 1994: 27, 50 (figg. a, c, e, s, m, pd, pl). Loc. typ.: distr. Sankhua Sabha, Pahakhola (SMNS, CA-MCSNG). . . . . Nepal

pseudouniforme Angelini, 1999a: 922 (figg. c, e, s, m); 2000b: 164. Loc. typ.: dint. Xichang, Luoji (MHNG, CA-MCSNG). . . . . Cina (Sichuan)

puetzi Angelini & Švec, 2000: 140 (figg. c, e, m); Angelini, 2000b: 139, 164; 2002a: 367; 2002b: 498. Loc. typ.: Qin Ling Shan (CP). . . . . Cina (Shaanxi)

pusillum Angelini & De Marzo, 1981: 217 (figg. c, s, pl, mt); 1984a: 551; 1985a: 69 (figg. a, e); 1986c: 865; 1989a: 30; 1994: 51; Angelini, 1999b: 175. Loc. typ.: Darjeeling, Chim-Khona (NMB). . . . . India (Darjeeling), Nepal

schuelkei Angelini, 2000b: 143, 164 (figg. c, e, s, m); 2002a: 367. Loc. typ.: Daxue Shan, Bachtal (CSH, CA-MCSNG). . . . . Cina (Sichuan)

senile Angelini & De Marzo, 1986b: 598 (figg. a, e, s, m, pd, pl). Loc. typ.: Swat, Malam Jabba (MHNG, CA-MCSNG). . . . . Pakistan

shennongjiaense Angelini & Cooter, 2003: 16 (figg. c, e, s, m). Loc. typ.: R. N. Shennongjia, Xiaolongtan (IZB, CC, CA-MCSNG). . . . . Cina (Hubei)

sikkimense Angelini & De Marzo, 1983b: 154 (figg. a, e, s, m, pd, pl); 1984a: 551; 1994: 51. Loc. typ.: Sikkim, Balawa Khani (NMB, CA-MCSNG, MHNG)..... India (Sikkim, Darjeeling), Nepal

sinuatum Angelini, 2000b: 140, 164 (figg. e, m). Loc. typ.: M. Emei (CA-MCSNG). ..... Cina (Sichuan)

smetanaicum Angelini, 2002b: 496 (figg. c, e, s, m). Loc. typ.: Shaanxi, Qinling Shan (CSM, CSH, CA-MCSNG)..... Cina (Shaanxi, Hubei)

sparsum Angelini & De Marzo, 1994: 29, 51 (figg. a, c, e, s, m, pd, pl); Angelini, 1999b: 175. Loc. typ.: distr. Taplejung, sotto valle Simbua Khola, Tseram (SMNS, CA-MCSNG)..... Nepal

splendidulum Angelini & De Marzo, 1995a: 245 (figg. a, e, s, m, pd, pl); 1998a: 137; Angelini & Cooter, 1999: 230; Angelini, 2002a: 367. Loc. typ.: Nantou Hsien, Meifeng (MHNG, CA-MCSNG, NMNST). ..... Taiwan

subsinuatum Angelini, 2000b: 148 (figg. c, e, m). Loc. typ.: Fenchihu (CA-MCSNG). ..... Taiwan

tenebricosum Angelini & De Marzo, 1985a: 64 (figg. e, s); 1994: 51. Loc. typ.: F. Dobate, NE Barahbise (MHNG, CA-MCSNG)..... Nepal

tenebroides Angelini & De Marzo, 1995a: 210 (figg. c, e, s, m); Angelini & Cooter, 1999: 229. Loc. typ.: Chiai Hsien, P. N. Yushan, Mun-Li Cliff (MHNG, CA-MCSNG, NMNST). ..... Taiwan

tessellatum Angelini & De Marzo, 1995a: 214 (figg. c, e, s, m, pd, pl); Angelini & Cooter, 1999: 229. Loc. typ.: Taichung Hsien, Hsuehshan (MHNG, CA-MCSNG, NMNST)..... Taiwan

tianmuense Angelini & Cooter, 1999: 192, 202, 230 (figg. c, e, s, m); Angelini, 2000b: 164. Loc. typ.: Lin'an County, W R. N. Tianmu Shan (CC, CA-MCSNG). . . . .
. . . . . Cina (Zhejiang)

tianmuoides Angelini & Cooter, 1999: 192, 199, 230 (figg. c, e, s, m); Angelini, 2000b: 164. Loc. typ.: Lin'an County, W R. N. Tianmu Shan (CC, CA-MCSNG). . . . .
. . . . . Cina (Zhejiang)

transversum Angelini & De Marzo, 1981: 279 (figg. e, pd, pl); 1984a: 553 (fig. s); 1987: 460; 1994: 51; Angelini, 1999b: 175. Loc. typ.: Darjeeling, Lopchu-Ghum (NMB)..... India (Darjeeling), Nepal

tridentatum Angelini & De Marzo, 1986c: 861 (figg. a, e, m, pd, pl); 1994: 51. Loc. typ.: distr. Sankhuwasawa, Kosi prov., Sheduwa (MHNG)..... Nepal

umbratum Angelini & De Marzo, 1995a: 243 (figg. a, c, e, m, pd, pl); Angelini & Cooter, 1999: 230. Loc. typ.: Taoyuan Hsien, Takuanshan For (MHNG)..... Taiwan

uniforme Angelini & De Marzo, 1981: 275 (figg. e, s, m, pl); 1994: 29, 51. Loc. typ.: Thochung presso Jiri (CF, CA-MCSNG)..... Nepal

wannianicum Angelini, 2002a: 369 (figg. c, e, s, m). Loc. typ.: Sichuan, Emei Shan, Wannian (SMNS, CSH, CA-MCSNG)..... Cina (Sichuan, Yunnan)

wittmeri Angelini & De Marzo, 1981: 217 (figg. e, s, m, ms, pl). Loc. typ.: Chim-Khona (NMB, CA-MCSNG)..... India (Darjeeling)

xianggangense Angelini & Cooter, 1999: 192, 203, 230 (figg. c, e, s, m); Angelini, 2000b: 164. Loc. typ.: New Territories, Tai Mo Shan (CC, CA-MCSNG)..... Cina (Hong Kong)

yunnanicum Angelini & Švec, 1994: 17 (figg. a, c, e, m, pd, pl); 1995: 514; Angelini & Cooter, 1999: 193, 230; Angelini, 2000b: 145, 164. Loc. typ.: Heishui, 35 Km N Lijiang (CSV)..... Cina (Yunnan, ? Sichuan)

zdeneki Angelini, 2002b: 500 (figg. c, e, s, m). Loc. typ.: Shaanxi, Daba Shan (CSH, CA-MCSNG) . Cina (Shaanxi, Hubei)

Sottogenere ***Euryceble*** Hlisnikovský, 1964

acridulum Angelini, 1996: 6 (figg. a, c, e, s, m, pd, pl). Loc. typ.: Lake Danao (SMNS, CA-MCSNG)... Filippine (Leyte)

antennatum Hlisnikovský, 1964: 124 (figg. a, hd, hl). Loc. typ.: M. Matang (NMP)..... Malaysia (Sarawak)

capito Angelini, 1992b: 173 (figg. c, s, m, pd, pl); 2000c: 48. Loc. typ.: Kuching (CA-MCSNG). . . . . Malaysia (Sarawak)

illustre Angelini & De Marzo, 1993: 440 (figg. e, s, m, pl); Angelini, 1998: 143; 2000c: 49. Loc. typ.: Sumatra, Aceh, P. N. Leuser, R. N. Ketambe (MHNG, CA-MCSNG). . . . . Malaysia (Sarawak, Sabah), Indonesia (Sumatra)

leytense Angelini, 1996: 8 (figg. a, c, e, s, m, pd, pl). Loc. typ.: Lake Danao (SMNS, CA-MCSNG). . . . . Filippine (Leyte)

montuosum Angelini & De Marzo, 1993: 438 (figg. e, s, m). Loc. typ.: Jambi, Kerinci (MHNG, CA-MCSNG). . . . . Indonesia (Sumatra)

Sottogenere ***Microceble*** Angelini & De Marzo, 1986

Gruppo ***maculatum*** Angelini & Cooter

abiectum Angelini & De Marzo, 1993: 464 (figg. e, s, m); Angelini, 1996: 10. Loc. typ.: Jambi, str. Sungauipenuh-Tapan (MHNG, CA-MCSNG). . . . . Indonesia (Sumatra)

aequale Angelini & De Marzo, 1993: 454 (figg. e, m); Angelini, 1998: 143 (*aequalis*); Angelini & Cooter, 2002: 87. Loc. typ.: P. N. Kinabalu, Poring Hot Springs (MHNG, CA-MCSNG). L'originario nome *aequalis* va corretto in *aequale* in accordo grammaticale con il genere. . . . . Malaysia (Sabah, ? Sarawak)

aeternum Angelini & De Marzo, 1993: 453 (figg. e, m). Loc. typ.: P. N. Poring Hot Springs (MHNG, CA-MCSNG). . . . . Malaysia (Sabah)

arcuatum Angelini & Cooter, 1985: 129 (figg. a, c, s, m, pd, pl) (s. str.); Angelini & De Marzo, 1986a: 453; 1993: 444 (figg. e, m); Angelini, 2000c: 50. Loc. typ.: Sarawak, Parco Naz. Gunung Mulu (NHML). . . . . Malaysia (Sabah, Sarawak)

crockerense Angelini & De Marzo, 1993: 458 (figg. e, s, m); Angelini, 1996: 10; 2000c: 53. Loc. typ.: Sabah, Crocker Range (MHNG, CA-MCSNG). . . . . Malaysia (Sabah, Sarawak), Indonesia (Sumatra, Giava), Filippine (Leyte)

elongatum Angelini, 2000c: 51 (figg. c, e, s, m). Loc. typ.: M. Kinabalu (CA-MCSNG). . . . . Malaysia (Sabah)

indefinitum Angelini & De Marzo, 1993: 452 (figg. e, m); Angelini, 1996: 10. Loc. typ.: Sabah, M. Kinabalu (MHNG, CA-MCSNG). . . . . Malaysia (Sabah, Sarawak)

interruptum Angelini & De Marzo, 1993: 442 (figg. c, e, s, m). Loc. typ.: P. N. Kinabalu, Poring Hot Springs (MHNG, CA-MCSNG). . . . . Malaysia (Sabah)

kuchingense Angelini, 1992b: 177 (figg. c, e, m, pd, pl). Loc. typ.: Kuching (CA-MCSNG). . . . . Malaysia (Sarawak)

loeblianum Angelini & De Marzo, 1993: 450 (figg. e, s, m); Angelini, 2000c: 51. Loc. typ.: Sabah, M. Kinabalu (MHNG, CA-MCSNG, CF). . . . . Malaysia (Sabah, Sarawak)

maculatum Angelini & Cooter, 1985: 128 (figg. a, e, pd, pl) (s. str.); Angelini & De Marzo, 1986a: 454. Loc. typ.: P. N. Gunung Mulu (NHML). . . . . Malaysia (Sarawak)

magnificum Angelini, 1992b: 176 (figg. e, m, pd, pl). Loc. typ.: Kuching (CA-MCSNG). . . . . Malaysia (Sarawak)

malignum Angelini & De Marzo, 1993: 458 (figg. e, s, m). Loc. typ.: M. Kinabalu, str. Silau-Silau (MHNG, CA-MCSNG). . . . . Malaysia (Sabah)

nebulosum Angelini & De Marzo, 1993: 462 (figg. e, s, m); Angelini, 1998: 143; 2000c: 54. Loc. typ.: Sabah, P. N. Kinabalu, Poring Hot Springs (MHNG, CA-MCSNG). . . . . Malaysia (Sabah, Sarawak)

obesum Angelini, 2002a: 371 (figg. c, e, m). Loc. typ.: M. Kinabalu (CA-MCSNG). . . . . Malaysia (Sabah)

optatum Angelini & De Marzo, 1993: 456 (figg. e, s, m). Loc. typ.: M. Kinabalu, (MHNG, CA-MCSNG). . . . . Malaysia (Sabah)

pileti Angelini & De Marzo, 1986a: 442 (figg. a, e, m, pd, pl); 1995b: 165, 194, 196 (fig. e); Angelini, 1990: 242. Loc. typ.: Johor, Kota Tinggi, dint. di Dohol (MHNG). . . . . Malaysia (Malaya)

quadrimaculatum Angelini & De Marzo, 1993: 460 (figg. e, s, m); Angelini, 1996: 10. Loc. typ.: Sabah, M. Kinabalu, F. Liwagu (MHNG, CA-MCSNG). . . . . Malaysia (Sabah, Sarawak)

recurvum Angelini, 2000c: 52 (figg. e, m). Loc. typ.: M. Kinabalu (CA-MCSNG). . . . . Malaysia (Sabah)

sabahense Angelini & De Marzo, 1993: 448 (figg. c, e, s, m); Angelini, 2000c: 50. Loc. typ.: Sabah, P. N. Kinabalu, Poring Hot Springs (MHNG, CA-MCSNG). . . . . Malaysia (Sabah, Sarawak)

semiarcuatum Angelini, 2000c: 49 (figg. c, e, m). Loc. typ.: Luzon, Los Banos, Makling forest (CA-MCSNG). . . . . Filippine (Luzon, Palawan)

wallacei Angelini & Cooter, 1993: 75 (figg. a, s, m, pd, pl). Loc. typ.: Utara, P. N. Dumoga-Bone (NHML). . . . . Indonesia (Sulawesi)

xerampelinum Angelini & De Marzo, 1993: 446 (figg. c, e, s, m). Loc. typ.: P. N. Kinabalu, Head Quarter (MHNG, CA-MCSNG). . . . . Malaysia (Sabah)

Gruppo ***grouvellei*** Portevin

abruptum Angelini & De Marzo, 1993: 466 (figg. e, s, m). Loc. typ.: P. N. Kinabalu, Poring Hot Springs (MHNG, CA-MCSNG). . . . . Malaysia (Sabah)

amictum Angelini & De Marzo, 1995a: 248 (figg. a, c, e, s, m, pd, pl); Angelini & Cooter, 1999: 230. Loc. typ.: Kaohsiung Hsien, Tengchih (MHNG, CA-MCSNG). . . . . Taiwan

amplum Angelini & De Marzo, 1993: 478 (figg. c, e, s, m). Loc. typ.: Crocker Range (MHNG, CA-MCSNG). . . . . Malaysia (Sabah)

argutum Angelini & De Marzo, 1993: 470 (figg. e, s, m); Angelini, 1996: 11; 2000c: 57; Angelini & Cooter, 1998: 333. Loc. typ.: Sabah, P. N. Kinabalu, Poring Hot Springs (MHNG, CA-MCSNG). . . . . Malaysia (Sabah, Sarawak), ? Thailandia

bolmi Angelini, 2000c: 55 (figg. c, e, s, m). Loc. typ.: Lombok, Sembaluan Lawang, M. Rindjani (SMNS, CA-MCSNG). . . . . Indonesia (Timor, Lombok,? Giava), ? Malaysia (Malaya)

carinense Angelini, 1993a: 205 (figg. s, m, pd, pl); 1996: 11. Loc. typ.: Myanmar, Carin, Asciuii Ghecù (MCSNG). . . . . Myanmar, Indonesia (Sumatra)

cooteri Angelini & De Marzo, 1985b: 35 (figg. a, e, m, hd, hl) (s. str.); 1986a: 453; Angelini, 1990: 252 (figg. a, s); 2000c: 54. Loc. typ.: Los Banos, Makling Forest (CC, CA-MCSNG). . . . . Filippine (Luzon)

corticinum Angelini & De Marzo, 1998b: 368 (figg. c, e, s, m); Angelini & Cooter, 1999: 193, 230; Angelini, 2000b: 164. Loc. typ.: R. N. Mengyang (MHNG, CA-MCSNG). . . . . Cina (Yunnan)

darbyi darbyi Angelini & Cooter, 1985: 132 (figg. a, s, m, pd, pl) (s. str.); 1998: 332; Angelini & De Marzo, 1986a: 453; 1993: 470 (figg. e, m); Angelini, 1995b: 194; 1996: 10; 2000c: 54. Loc. typ.: Sarawak, P. N. Gunung Mulu (NHML, CC, CA-MCSNG) . . . . . Malaysia (Sabah, Sarawak), Indonesia (Sumatra, ? Bali), Filippine (Luzon, Leyte, Mindanao)

darbyi sulawesicum Angelini & Cooter, 1993: 71 (figg. a, e, s, m, pd, pl); Angelini, 1995b: 194; 2000c: 55; 2002a: 372. Loc. typ.: Utara, P. N. Dumoga-Bone (NHML, CC, CA-MCSNG). . . . . Indonesia (Sulawesi)

deharvengi Angelini, 1992b: 178 (figg. e, m, pd, pl); 2000c: 59. Loc. typ.: Luzon, Dolines NE Sagada (MHNG, CA-MCSNG). . . . . Filippine (Luzon, Mindanao)

ebeninum Angelini & De Marzo, 1995b: 165, 172, 194, 197 (figg. e, s, m); Angelini, 2002a: 372. Loc. typ.: Cameron Highlands (MHNG, CA-MCSNG). . . . . Malaysia (Malaya)

enigmaticum Angelini & Cooter, 1993: 77 (figg. a, e, m, pd, pl); Angelini, 2000c: 58. Loc. typ.: Utara, Gng. Ambang F. R. Kotamobagu (NHML). Angelini & De Marzo (1993: 429, 432) citano questa specie sub *asiaticum*, originario nome i.l. di questa specie, successivamente mutato dagli autori Angelini & Cooter in *enigmaticum*. . . . . Indonesia (Sulawesi), ? Malaysia (Sabah)

exaratum Angelini & De Marzo, 1995b: 165, 171, 194, 196 (figg. e, s, m). Loc. typ.: Selangor, Gap (MHNG, CA-MCSNG). . . . . Malaysia (Malaya)

fumosum Angelini & De Marzo, 1993: 479 (figg. e, s,

m); Angelini, 1996: 11. Loc. typ.: 5 Km W Brastagi, Tongkoh (MHNG, CA-MCSNG). . . . . Indonesia (Sumatra)

gentingense Angelini & De Marzo, 1995b: 165, 177, 195, 197 (figg. e, m). Loc. typ.: Genting Highlands, Awana (MHNG, CA-MCSNG). . . . . Malaysia (Malaya)

godawaricum Angelini & De Marzo, 1986c: 869 (figg. a, e, s, m, pd, pl); 1994: 51; Angelini, 1998: 143; 1999b: 178. Loc. typ.: distr. Patan, prov. Bagmati, Godawari (MHNG, CA-MCSNG). . . . . Nepal

gracile Angelini & De Marzo, 1986c: 870 (figg. a, e, m, pd, pl); 1994: 51. Loc. typ.: distr. Sankhuwasawa, Kosi prov., valle Induwa Khola (MHNG, CA-MCSNG) . . . . . Nepal

grouvellei Portevin, 1907a: 76; 1928: 31 (*Cyphoceble*); Hatch, 1929: 66; Hlisnikovský, 1964: 160 (figg. a, e, m, hd, hl); Angelini & De Marzo, 1985b: 38 (s. str.); 1986a: 454; Angelini, 1993a: 209; 2000b: 164; 2000c: 59; Angelini & Cooter, 1999: 193, 205, 230. Loc. typ.: Sumatra, Palembang (MNHNP) . . . . . Myanmar, Thailandia, Indonesia (Sumatra), Cina (Yunnan)

immodicum Angelini & De Marzo, 1994: 32, 51 (figg. a, c, e, m, pd, pl). Loc. typ.: distr. Panchtar, tra Paniporua e valle Hinwa Khola (SMNS, CA-MCSNG). . . . . Nepal

infuscatum Angelini & De Marzo, 1989b: 473 (figg. a, e, s, m, pd, pl); Angelini, 1992a: 209; 1996: 12; 2000a: 310; 2000c: 61. Loc. typ.: Thailandia, Chiang Mai prov., Doi Inthanon (MHNG; CA-MCSNG). . . . . Myanmar, Thailandia, ? Vietnam

insolitum Angelini & De Marzo, 1993: 482 (figg. e, s, m); Angelini & Cooter, 1998: 333. Loc. typ.: Giardino Botanico Cibodas presso Cipanas (MHNG, CA-MCSNG). . . . . Indonesia (Giava)

jambicum Angelini & De Marzo, 1993: 483 (figg. e, s, m). Loc. typ.: Padangpanjan (MHNG, CA-MCSNG). . . . . Indonesia (Sumatra)

javanicum Angelini & De Marzo, 1993: 486 (figg. e, s, m); Angelini, 2000c: 61. Loc. typ.: Giardino Botanico Cibodas presso Cipanas (MHNG, CA-MCSNG). . . . . Indonesia (Giava)

kaderi Angelini, 2000c: 57 (figg. e, m). Loc. typ.: M. Kinabalu (CA-MCSNG). . . . . Malaysia (Sabah)

kinabaluense Angelini & De Marzo, 1993: 476 (figg. e, s, m); Angelini & Cooter, 2002: 87. Loc. typ.: Sabah, M. Kinabalu, P. N. Kinabalu, str. Liwagu (MHNG, CA-MCSNG). . . . . Malaysia (Sabah, Sarawak)

klapperichi Angelini & De Marzo, 1985b: 41 (figg. a, e, s, m, pd, pl) (s. str.); 1986a: 454; 1995a: 248; 1998a: 138; Angelini & Cooter, 1999: 230. Loc. typ.: Fenchihu (MCSNV, CA-MCSNG). . . . . Taiwan

laticorne Portevin, 1922: 58; 1928: 32 (*Cyphoceble*); Hatch, 1929: 66; Hlisnikovský, 1964: 200 (figg. a, e, hd, hl); Angelini & De Marzo, 1983b: 162; 1984a: 559; 1984b: 167; 1985a: 70 (figg. e, s); 1985b: 37; Angelini & Cooter, 1985: 131; 1986: 37 (s. str.); Angelini & De Marzo, 1986a: 442; 1986b: 591; 1986c: 871; 1987: 460; 1989b: 471 (figg. s, m); 1993: 481; 1994: 33, 51; 1995b: 165, 175, 194, 197 (figg. e, s); Angelini, 1990: 243, 252; 1992a: 208, 209; 1993a: 211; 1995a: 128; 1995b: 195; 1996: 11; 1999b: 178; 2000a: 310; 2000b: 164; 2000c: 59; 2002a: 373; Angelini & Cooter, 1998: 333; 1999: 193, 205, 230. Loc. typ.: Giava, Buitenzorg (MNHNP). *ceylanicum* Hlisnikovský, 1972: 131 (figg. a, e, hd, hl) (s. str.). Loc. typ.: Sri Lanka, Haputale (MHNG, CH-NMP). . . . . Pakistan, India (Garhwal, Kumaon, Darjeeling, Assam, Meghalaya, Orissa, Kerala, Tamil Nadu), Nepal, Bhutan, Sri Lanka, Myanmar, Thailandia, Vietnam, Singapore, Malaysia (Malaya, Sarawak, Sabah), Indonesia (Giava, Sumatra, Lombok), Cina (Yunnan)

limatum Angelini & De Marzo, 1993: 472 (fig. s). Loc. typ.: P. N. Kinabalu, Poring Hot Springs (MHNG, CA-MCSNG). . . . . Malaysia (Sabah)

luridum Angelini, 1993a: 204 (figg. s, m, pd, pl). Loc. typ.: Aceh Selatan prov., Babahrot (CA-MCSNG). . . . . Indonesia (Sumatra)

maculicolle Champion, 1924: 161; Hatch, 1929: 81; Angelini & De Marzo, 1985a: 69 (figg. a, e, s, m, pd, pl) (s. str.); 1986a: 454; Angelini, 1995b: 194; 1996: 11; 1999b: 178. Loc. typ.: Kumaon, W Almora (NHML). . . . . India (Kumaon), Nepal

melanarium Angelini & Švec, 1994: 19 (figg. a, c, e, m, pd, pl); Angelini & Cooter, 1999: 193, 231; Angelini, 2000b: 164. Loc. typ.: Heishui, 35 Km N Lijiang (CSV)..... Cina (Yunnan)

mirificum Angelini & De Marzo, 1993: 481 (figg. e, s, m); Angelini, 1995b: 195. Loc. typ.: Sumatra, 5 Km SE Payakumbuh (MHNG, CA-MCSNG)..... Indonesia (Sumatra, Nias)

modiglianii Angelini, 1993a: 206 (figg. a, c, e, m, pd, pl); 2000c: 58; Angelini & De Marzo, 1993: 474 (fig. s). Loc. typ.: Sumatra, Si-Rambé (MCSNG). . . Malaysia (Sabah), Indonesia (Sumatra), Thailandia

monticola Angelini & De Marzo, 1993: 486 (figg. e, s, m); Angelini, 2000c: 61. Loc. typ.: Gede, 50 Km SE da Bogor (MHNG, CA-MCSNG)..... Indonesia (Giava)

opulentum Angelini & De Marzo, 1993: 480 (figg. e, s, m); Angelini, 1995b: 195. Loc. typ.: R. N. Palopo (MHNG, CA-MCSNG)..... Indonesia (Sumatra)

pahangense Angelini, 1990: 243, 250 (figg. a, c, e, s, m, hd, hl); 1995b: 194, 197 (figg e, s); 2000c: 55; 2002a: 373; Angelini & De Marzo, 1995b: 165, 174, 194. Loc. typ.: Pahang (CUI, CA-MCSNG)..... Malaysia (Malaya)

poggii Angelini, 1993a: 209 (figg. a, c, e, s, m, pd, pl); 1995b: 195. Loc. typ.: Sumatra, Si-Rambé (MCSNG)..... Indonesia (Sumatra, Siberut)

puncticolle Cooter, 1984: 70 (figg. a, c, e, s, m, pd, pl) (s. str.); Angelini & De Marzo, 1986a: 454; 1993: 485 (fig. s); Angelini & Cooter, 1999: 231. Loc. typ.: Luzon, Los Banos, Makling forest (CC, CA-MCSNG, TMB)..... Malaysia (Sabah), Filippine (Luzon), Taiwan

rama Angelini & De Marzo, 1985a: 71 (figg. a, e, s, m) (s. str.); 1986a: 454; 1994: 51. Loc. typ.: F. Dobate, NE Barahbise (MHNG, CA-MCSNG)..... Nepal

sarawakense Angelini & Cooter, 1985: 131 (figg. a, e, s, m, pd, pl) (s. str.); Angelini & De Marzo, 1986a: 454. Loc. typ.: Sarawak, P. N. Gunung Mulu (NHML, CC, CA MCSNG)..... Malaysia (Sarawak), Filippine (Luzon)

saundersi Angelini & Cooter, 1986: 37 (figg. a, e, s, m, pd, pl) (s. str.); Angelini & De Marzo, 1986a:

454; 1995b: 165, 175, 194,197 (figg e, s); Angelini, 1990: 243; 1995a: 128; 1996: 12. Loc. typ.: Singapore (NHML, TMB, CA-MCSNG). . . . . Vietnam, Singapore, Malaysia (Malaya)

schillhammeri Angelini, 1995b: 192 (figg. a, c, e, s, m, pd, pl). Loc. typ.: 25 Km E Padang, Taman Raya Bung Hatta (NMW, CA-MCSNG). . . . . Indonesia (Sumatra)

semirufum Angelini & De Marzo, 1981: 252 (figg. c, e, s, m); 1983b: 162; 1984c: 16; 1984a: 559; 1984b: 166 (s. str.); 1986a: 454; 1986c: 869; 1994: 33, 52. Loc. typ.: Bhutan, Dorjula (NMB, CA-MCSNG, CF, SMNS). . . . . India (Darjeeling, Assam), Nepal, Bhutan

silvarum Angelini & De Marzo, 1989b: 472 (figg. a, e, s, m, pd, pl); Angelini 1992a: 209; 2000c: 60. Loc. typ.: P. N. Khao Yai, dint. Headquarters (MHNG, CA-MCSNG). . . . . Thailandia

simum Angelini & De Marzo, 1995b: 165, 175, 195, 197 (figg. e, s, m); Angelini, 2002a: 373. Loc. typ.: Pahang, Cameron Highlands (MHNG, CA-MCSNG). . . . . Malaysia (Malaya)

taru Angelini & De Marzo, 1983b: 160 (figg. a, e, m, pd, pl) (s. str.); 1986a: 454; 1986c: 868 (figg. a, s); 1987: 460; 1994: 32, 52. Loc. typ.: Lamobagar (NMB). . . . . Nepal

vulneratum Angelini & De Marzo, 1993: 484 (figg. e, s, m). Loc. typ.: R. N. Valle Anay (MHNG, CA-MCSNG). . . . . Indonesia (Sumatra)

yaanense Angelini, 2002a: 374 (figg. c, e, m). Loc. typ.: Ya'an Pref., Tinquan Co., Jiajin Shan, 54 Km NW Ya'an (CSH, CA-MCSNG) . . . . . Cina (Sichuan)

yamputhinense Angelini & De Marzo, 1994: 34, 52 (figg. a, c, e, s, m, pd, pl); Angelini, 1999b: 178. Loc. typ.: distr. Panchtar, tra Paniporua e valle Hinwa Khola (SMNS, CA-MCSNG). . . . . Nepal

Gruppo ***andrewesi*** Portevin

andrewesi Portevin, 1907b: 254 (fig. pl); 1926: 81; 1928: 32 (*Cyphoceble*); Hatch, 1929: 66; Hlisnikovský, 1964: 202 (figg. a, hd, hl) (s. str.); Angelini & De Marzo, 1986a: 451 (figg. a, e, s, m, pd, pl); Angelini, 1996: 13. Loc. typ.: Tamil Nadu, Nilgiri Hills (MNHNP). . . . . India (Kerala, Tamil Nadu)

angelinii Cooter, 1984: 69 (figg. c, e, m) (s. str.); Angelini & De Marzo, 1986a: 453; 1993: 488; Angelini, 1990: 253 (fig. s); 1995b: 196; 2000c: 64. Loc. typ.: Luzon, Los Banos, Mailing Forest (CC) . . . . . Malaysia (Sabah), Filippine (Luzon, Negros)

assamense Angelini & De Marzo, 1986a: 447 (figg. a, e, s, m, pd). Loc. typ.: Manas (MHNG, CA-MCSNG) . India (Assam)

bicoloratum Angelini, 2000c: 63 (figg. e, m). Loc. typ.: Pahang, Cameron Highlands (CA-MCSNG) . . . Malaysia (Malaya)

biimpressum Champion, 1927: 247; Hatch, 1929: 81; Hlisnikovský, 1964: 199 (s. str.); Angelini & De Marzo, 1986a: 450 (figg. e, s, m, pd, pl); Angelini & Švec, 2002: 9. Loc. typ.: Kumaon, distr. Haldwani, Bodiar (NHML). . . . . India (Kumaon, Tamil Nadu)

brahma Angelini & De Marzo, 1985a: 73 (figg. a, e, s) (s. str.); 1986a: 453; 1994: 52. Loc. typ.: Malemchi (MHNG, CA-MCSNG). . . . . Nepal

capitulatum Angelini & De Marzo, 1989b: 475 (figg. a, e, m, pd, pl). Loc. typ.: P. N. Khao Yai, NE Bangkok, dint. Headquarters (MHNG). . . . . Thailandia

celebense Portevin, 1937: 34 (fig. pl); Hlisnikovský, 1964: 47 (*Neoceble*); Angelini & De Marzo, 1986a: 453; Angelini & Cooter, 1993: 76. Loc. typ.: Lompa-Battan (MNHNP). . . . . Indonesia (Sulawesi)

coomani Portevin, 1937: 33 (fig. pl) (*Cyphoceble*); Hlisnikovský, 1964: 200 (s. str.); Angelini & De Marzo, 1986a: 453; Angelini, 1995a: 128, 130 (figg. a, c, e, s, m, pd, pl); 2000a: 311. Loc. typ.: dint. di Hoabinh (MNHNP). . . . . Vietnam

duofoveatum Angelini & De Marzo, 1981: 264 (figg. a, c, e, s, pd) (s. str.); Angelini & De Marzo, 1986a: 454; 1994: 36, 52. Loc. typ.: Darjeeling, Chim-Khona (NMB, CA-MCSNG). . . . . India (Darjeeling), Nepal

elegans Angelini & De Marzo, 1986c: 872 (figg. a, e, s, m, pd, pl); 1994: 36, 52. Loc. typ.: distr. Sankhuwasawa, Kosi prov., valle Arun, S Num (MHNG, CA-MCSNG, SMNS). . . . . Nepal

farkaci Angelini, 2000b: 152, 164 (figg. c, e, m). Loc. typ.: Kunming, Western Hills (CSM, CA-MCSNG) . . . . Cina (Yunnan)

feai Angelini, 1993a: 213 (figg. s, m, pd, pl). Loc. typ.: Tenasserim, Kawkareet (MCSNG). . . . . Myanmar

fenchihuense Angelini, 2000b: 151 (figg. e, m). Loc. typ.: Fenchihu (CA-MCSNG). . . . . Taiwan

filiforme Angelini, 2000c: 61 (figg. c, e, m). Loc. typ.: Los Banos, Makling forest (CA-MCSNG) . . . . . Filippine (Luzon)

globulosum Hlisnikovský, 1972: 132 (figg. a, e, hd, hl) (s. str.); Angelini & De Marzo, 1986a: 454. Loc. typ.: Peradeniya (MHNG, CH-NMP). . . . . Sri Lanka

hammondi Angelini & Cooter, 1985: 130 (figg. a, c, e, s, m) (s. str.); Angelini & De Marzo, 1986a: 454; 1993: 487; Angelini, 1993a: 212; 1996: 12; 2000c: 63. Loc. typ.: Sarawak, P. N. Gunung Mulu (NHML, CC, CA-MCSNG). . . . . Malaysia (Sabah, Sarawak), Singapore, Indonesia (Sumatra), Filippine (Leyte)

imitans Angelini, 2000b: 150, 164 (figg. c, e, m). Loc. typ.: Lijiang (CA-MCSNG). . . . . Cina (Yunnan)

inornatum Angelini & De Marzo, 1989b: 478 (figg. a, e, m, pd, pl); 2000a: 311. Loc. typ.: Thailandia, Chiang Mai prov., Doi Suthep (MHNG) . . . . . Thailandia, Vietnam

insulare Portevin, 1928: 31 (*Cyphoceble*); Hlisnikovský, 1964: 200 (s. str.). Loc. typ.: Tjibodas. Serie tipica non esaminata; secondo l'Autore è conservata nel Museo di Leyden al quale è stata, più volte ma inutilmente, richiesta . . . . . Indonesia (Giava)

karnatakaense Angelini & Švec, 2002: 6 (figg. c, e, s, m). Loc. typ.: distr. Coorg, Virajpet (CSV, CA-MCSNG). . . . . India (Karnataka)

limbatum Angelini, 2000c: 65 (figg. e, m). Loc. typ.: Cuc phuong, Ninh binh (CA-MCSNG). . . . . Vietnam

manasicum Angelini & De Marzo, 1986a: 445 (figg. a, e, s, m); 1989b: 477; Angelini, 1992a: 209; 1996: 12; 2000a: 310; 2000b: 164; 2000c: 60; Angelini & Cooter, 1999: 194, 231. Loc. typ.: Assam, Manas (MHNG, CA-MCSNG) . . . . . India (Assam), Myanmar, Thailandia, Vietnam, Cina (Guangxi)

mentawaicum Angelini, 1993a: 214 (figg. a, c, e, s, m, pd,pl). Loc. typ.: Si Oban (MCSNG). . . . . Indonesia (Mentawai)

minusculum Angelini, 1993a: 212 (figg. e, m, pd, pl). Loc. typ.: Aceh Selatan prov., Babahrot (CA-MCSNG). . . . . Indonesia (Sumatra)

mussardi Angelini & De Marzo, 1986a: 449 (figg. a, e, s, pd, pl); Angelini, 1996: 13; Angelini & Švec, 1998: 3; 2002: 9. Loc. typ.: Tamil Nadu, Nilgiri, 15 Km E Conoor (MHNG, CA-MCSNG, SMNS). . . . . India (Kerala, Tamil Nadu)

nitidum Angelini & De Marzo, 1993: 489 (figg. e, s, m); Angelini, 1998: 144. Loc. typ.: Gede (MHNG, CA-MCSNG). . . . . Indonesia (Giava)

nomurai Hoshina, 1998: 139, 143 (figg. a, e, hd, hl). Loc. typ.: Kagoshima Pref., Takarajima (UK) . . Giappone (Ryukyus)

palnicum Angelini & De Marzo, 1986a: 446 (figg. a, e, s, m, pd); Angelini & Švec, 1998: 3; 2002: 9. Loc. typ.: Tamil Nadu, Palni Hills, Lago Berijam (MHNG, CA-MCSNG). . . . . India (Kerala, Tamil Nadu)

pocsi Angelini, 1995a: 128, 132 (figg. s, m, pd, pl). Loc. typ.: Cùc-phuomg Bong (CA-MCSNG). . . . . Vietnam

pseudopalnicum Angelini & Švec, 1998: 1 (figg. c, e, s, m). Loc. typ.: Cardamon Hills, 15 Km SW Munnar, Kallar Valley (CSV, CA-MCSNG). . . . . India (Kerala)

ravana Angelini & De Marzo, 1984b: 167 (figg. a, e, m, pd, pl) (s. str.); 1986a: 454. Loc. typ.: Debrapani (TMB, CA-MCSNG). . . . . India (Darjeeling)

rufoatrum Angelini & De Marzo, 1993: 488 (figg. e, m). Loc. typ.: P. N. Kinabalu, M. Kinabalu (MHNG). . . . . Malaysia (Sabah)

schuhi Angelini & De Marzo, 1995b: 165, 168, 194, 196 (figg. e, s, m). Loc. typ.: Pahang, Selangor, Gap (NMW, CA-MCSNG). . . . . Malaysia (Malaya)

serratum Angelini, 2002a: 375 (figg. c, e, s, m). Loc. typ.: Nantou Hsien, Meifeng (CSM, CA-MCSNG) . . . . . Taiwan

sevokense Angelini & De Marzo, 1984a: 561 (figg. a, e, s, m, pd, pl) (s. str.); 1986a: 454. Loc. typ.: Sevoke (MHNG, CA-MCSNG). . . . . India (Darjeeling)

solutum Angelini & De Marzo, 1998b: 370 (figg. c, e, s, m); Angelini & Cooter, 1999: 193, 231; Angelini, 2000b: 164. Loc. typ.: 15 Km N Longsheng (MHNG, CA-MCSNG). . . . . Cina (Guangxi)

sumatrense Angelini & De Marzo, 1985b: 45 (figg. a, e, s, m, pd, pl) (s. str.); 1986a: 454. Loc. typ.: Aceh-Selatan (CK, CA-MCSNG, SMNS). . . . . Indonesia (Sumatra)

taiwanense Angelini & De Marzo, 1985b: 42 (figg. a, e, m, pd, pl) (s. str.); 1986a: 454; 1995a: 250; Angelini & Cooter, 1999: 231. Loc. typ.: Fenchihu (CA-MCSNG) . . . Taiwan

tersum Angelini & De Marzo, 1993: 489 (figg. e, m). Loc. typ.: Jambi, Kerinci (MHNG, CA-MCSNG) . Indonesia (Sumatra)

tonkinense Angelini & Cooter, 1986: 39 (figg. a, c, e, s, m, pd, pl) (s. str.); Angelini & De Marzo, 1986a: 447; 1986c: 871; 1994: 52; Angelini, 1995a: 128; 2000a: 311; 2000c: 64. Loc. typ.: Vietnam, Cuc phuong, Ninh binh (NHML, CA-MCSNG, CC, TMB, MHNG). . . . . India (Assam), Nepal, Myanmar, Vietnam

topali Angelini & De Marzo, 1985b: 44 (figg. a, e, s, m, pd, pl) (s. str.); 1986a: 455; Angelini, 1995a: 128; 2000a: 311. Loc. typ.: Cuc phuong, Ninh binh (TMB, CA-MCSNG). . . . . Vietnam

venustum Angelini & De Marzo, 1995a: 250 (figg. a, c, e, m, pd, pl); 1998b: 373; Angelini & Cooter, 1999: 194, 206, 231 (fig. s); Angelini, 2000b: 151, 164; 2002a: 377. Loc. typ.: Taiwan, Taichung Hsien, Wufeng (MHNG). . . . . Cina (Guangxi, Hong Kong, Shaanxi), Taiwan

wangi Angelini & Cooter, 1999: 194, 206, 231 (figg. c, e, m); Angelini, 2000b: 164. Loc. typ.: Lin'an County, W R. N. Tianmu Shan (CC). . . . . Cina (Zhejiang)

wuyishanicum Angelini & Cooter, 2003: 20 (figg. c, e, s, m). Loc. typ.: R. N. Wuyi Shan, 2 Km NW Tongmu vill. (IZB, CC, CA-MCSNG).. . . . . Cina (Fujian)

xilingense Angelini, 1999a: 923 (figg. c, e, m); 2000b: 164. Loc. typ.: M. Xiling (MHNG, CA-MCSNG) . . . . . Cina (Sichuan)

Sottogenere ***Macroceble*** Angelini, 1993

abominabile Angelini & De Marzo, 1981: 288 (figg. c, e, m); 1984a: 548 (fig. s) (s. str.); Angelini, 1993b: 32, 33 (fig. c). Loc. typ.: Raman (NMB).. . . . . India (Darjeeling)

ambiguum Angelini, 2000b: 156, 165 (figg. c, e, m). Loc. typ.: Lijiang (CA-MCSNG). . . . . Cina (Yunnan)

amoenum Angelini & De Marzo, 1995b: 166, 187, 195, 198 (figg. c, e, s, m, pd, pl). Loc. typ.: Pahang, Ringlet (MHNG, CA-MCSNG). . . . . Malaysia (Malaya)

anophthalmicum Angelini & De Marzo, 1984a: 548 (figg. a, c, e, s, m, pd, pl) (s. str.); Angelini, 1993b: 33. Loc. typ.: tra Ghoom e Lopchu (MHNG, CA-MCSNG, SMNS). . . . . India (Darjeeling)

aterrimum Angelini & De Marzo, 1995b: 165, 180, 195, 197 (figg. c, e, m). Loc. typ.: Pahang, Cameron Highlands, Gunung Jasar (SMNS, CA-MCSNG). . . . . Malaysia (Malaya)

austerum Angelini & De Marzo, 1995b: 166, 184, 195, 198 (figg. c, e, m, pd, pl). Loc. typ.: Pahang, Cameron Highlands (MHNG, CA-MCSNG). . . . . Malaysia (Malaya)

brancuccii Angelini & De Marzo, 1981: 269 (figg. a, e, s, ms, pl); 1983b: 153; 1984a: 547; 1985a: 42; 1986c: 837; 1987: 457 (s. str.); 1994: 52; Angelini, 1999b: 178. Loc. typ.: Darjeeling, tra Lopchu e Ghum (NMB, CA-MCSNG, SMNS). . . . . India (Sikkim, Darjeeling), Nepal

breve Angelini & De Marzo, 1981: 262 (fig. e); 1984a: 546 (fig. s) (s. str.); 1994: 40, 52. Loc. typ.: Nepal, Chordung presso Jiri (CF, CA-MCSNG). . . . India (Darjeeling), Nepal

caelebs Angelini & De Marzo, 1981: 268 (figg. e, ms); 1985a: 42 (fig. s); 1986c: 838; 1987: 457; 1989a: 31 (s. str.); 1994: 52; Angelini, 1993b: 32 (fig. ell); 1999b: 178. Loc. typ.: prov. Bagmati, Phulcoki (CF, CA-MCSNG, NMB). . . . . Nepal

calamei Angelini & De Marzo, 1995b: 166, 190, 195, 198 (figg. c, e, s, m). Loc. typ.: Pahang, Ringlet (MHNG, CA-MCSNG). . . . . Malaysia (Malaya)

cameronicum Angelini & De Marzo, 1995b: 165, 179, 195, 197 (figg. c, e, s, m). Loc. typ.: Pahang, Cameron Highlands, Gunung Jasar (SMNS, CA-MCSNG, MHNG) .. . . . . Malaysia (Malaya)

crinitum Angelini & De Marzo, 1994: 41 (figg. a, c, e, m, pd, pl). Loc. typ.: distr. Panchtar, Dhorpar Kharka (SMNS, CA-MCSNG).. . . . . Nepal

cuccodoroi Angelini, 2002a: 378 (figg. c, e, s, m). Loc. typ.: Kedah, Gunung Jerai (MHNG, CA-MCSNG). . . . .

fungivorum Angelini & De Marzo, 1989b: 466 (figg. a, e, s, m, pd, pl); Angelini, 1992a: 202 (s. str.). Loc. typ.: Chiang Mai prov., Doi Inthanon (MHNG, CA-MCSNG) ..... Thailandia

geminatum Angelini & De Marzo, 1994: 37 (figg. c, e, s, m, pd, pl). Loc. typ.: distr. Sankhua Sabha, Pahakhola (SMNS, CA-MCSNG)..... Nepal

hlavaci Angelini & Cooter, 2003: 22 (figg. c, e, s, m). Loc. typ.: R. N. Wuyi Shan, Huangganshan (IZB, CC, CA-MCSNG)..... Cina (Jiangxi)

impunctatum Angelini, 2002a: 379 (figg. c, e, s, m). Loc. typ.: Ganzi Tibet Aut. Pref., Luding Co., W Erlang Shan Pass, 7 Km SSE Luding (CSH, CA-MCSNG) .... Cina (Sichuan)

incognitum Angelini & De Marzo, 1989b: 465 (figg. a, e, m, pd, pl); Angelini, 1992a: 202 (fig. s) (s. str.); 2000c: 66. Loc. typ.: Chiang Mai prov., Doi Inthanon (MHNG, CA-MCSNG)..... Thailandia

inopinatum Angelini, 2000c: 66 (figg. c, e, m). Loc. typ.: Taiping, Maxwell Hills (CA-MCSNG)..... Malaysia (Malaya)

invalidum Angelini & De Marzo, 1994: 36 (figg. a, c, e, s, m, pd, pl). Loc. typ.: distr. Taplejung, sotto valle Tamur (SMNS, CA-MCSNG). ..... Nepal

ivani Angelini, 2002a: 382 (figg. c, e, s, m). Loc. typ.: Kedah, Gunung Jerai (MHNG, CA-MCSNG) . . Malaysia (Malaya)

jaccoudi Angelini & De Marzo, 1986a: 429 (figg. a, e, s, m, pl); Angelini, 1990: 242, 252 (s. str.); 1993b: 33; 1996: 13; Angelini & De Marzo, 1995b: 166, 187, 195, 198 (figg. e, s). Loc. typ.: Pahang, Bukit Freser's (MHNG, CA-MCSNG, SMNS)..... Malaysia (Malaya)

kurbatovianum Angelini, 1999a: 924 (figg. c, e, s, m); 2000b: 165. Loc. typ.: dint. Xichang, Luoji (MHNG, CA-MCSNG)..... Cina (Sichuan)

longum Angelini & De Marzo, 1985a: 39 (figg. e, s, pl); 1986c: 835 (s. str.); 1994: 52. Loc. typ.: F. Dobate, NE Barahbise (MHNG, CA-MCSNG)..... Nepal

macrocephalum Angelini, 2000b: 160, 165 (figg. c, e, m). Loc. typ.: Qin Ling Shan (CA-MCSNG) . . . . . Cina (Shaanxi)

malayanum Angelini & De Marzo, 1986a: 429 (figg. a, e, s, m, pl); Angelini, 1990: 242 (s. str.); 1996: 13; Angelini & De Marzo, 1995b: 166, 184, 195, 197 (figg. e, s). Loc. typ.: Pahang, Cameron Highlands, Berinchang (MHNG, CA-MCSNG). . . . . Malaysia (Malaya)

malaysicum Angelini & De Marzo, 1986a: 426 (figg. a, e, s, m, pd); Angelini, 1990: 242, 248 (s. str.); Angelini & De Marzo, 1995b: 166, 184, 195, 197 (figg. e, s). Loc. typ.: Pahang, Cameron Highlands, Tanah Rata (MHNG, CA-MCSNG). . . . . Malaysia (Malaya)

megacephalum Angelini, 1999a: 926 (figg. c, e, s, m); 2000b: 165. Loc. typ.: dint. Xichang, Luoji (MHNG, CA-MCSNG). . . . . Cina (Sichuan)

nanum Angelini, 2002b: 503 (figg. c, e, m). Loc. typ.: Wu Tang Shan, Fang hsien (CA-MCSNG). . . . . Cina (Hubei)

narusawae Hoshina, 1998: 138, 140 (figg. a, e, s, ms, hd, hl). Loc. typ.: Okinawa, M. Yonahadake (UK). . . . . Giappone (Ryukyus)

newtoni Angelini, 2002b: 504 (figg. c, e, s, m). Loc. typ.: Daba Shan (CSH, CA-MCSNG). . . . . Cina (Shaanxi)

oblitum Angelini & De Marzo, 1995a: 198 (figg. a, c, e, s, m, pd, pl); 1998a: 127; Angelini & Cooter, 1999: 226; Angelini, 2002a: 377. Loc. typ.: Kaohsiung Hsien, Tengchih (MHNG, CA-MCSNG, NMNST). . . . . Taiwan

palmi Angelini, 2000c: 67 (figg. c, e, m). Loc. typ.: Pahang, Cameron Highlands (CA-MCSNG). . . . . Malaysia (Malaya)

peninsulare Angelini, 2002a: 383 (figg. c, e, m). Loc. typ.: Pahang, Cameron Highlands (CA-MCSNG) . . . Malaysia (Malaya)

penultimum Angelini & Cooter, 2003: 26 (figg. c, e, s, m). Loc. typ.: R. N. Shennongjia, Jiuchong (IZB, CC, CA-MCSNG). . . . . Cina (Hubei)

pilosellum Angelini & De Marzo, 1986a: 424 (figg. a, e, s, m, hd, hl); Angelini, 1990: 242, 247 (s. str.); 1993b: 33; Angelini & De Marzo, 1995b: 166, 195, 197 (figg. e, s). Loc. typ.: Pahang, Cameron Highlands, Tanah Rata (MHNG, CA-MCSNG). . . . . Malaysia (Malaya)

pseudoscutellare Angelini, 1990: 242, 247 (figg. a, c, e, m, hd, hl) (s. str.); 1993b: 33; Angelini & De Marzo, 1995b: 165, 195, 197 (fig. e). Loc. typ.: Pahang, 15 mi. NE Kuala Lumpur (CUI). . . . . Malaysia (Malaya)

quaterfoveatum Angelini & De Marzo, 1981: 263 (figg. a, s); 1983b: 153 (figg. e, m); 1984a: 546 (s. str.). Loc. typ.: Lebong (NMB). . . . . India (Darjeeling)

rougemonti Angelini, 1990: 242, 250 (figg. a, c, e, s, m, hd, hl) (s. str.); 1993b: 32 (fig. c); 1996: 13; Angelini & De Marzo, 1995b: 166, 183, 195, 197 (figg. e, s). Loc. typ.: Pahang, Cameron Highlands (CUI, CA-MCSNG). . . . . Malaysia (Malaya)

schawalleri Angelini & De Marzo, 1994: 43 (figg. a, c, e, s, m, pd, pl); Angelini, 1999b: 178. Loc. typ.: distr. Sankhua Sabha, valle Arun tra Mure e Hurure (SMNS, CA-MCSNG). . . . . Nepal

scutellare Angelini & De Marzo, 1989b: 464 (figg. a, c, e, s, m, hd, hl) (s. str.); Angelini, 1993b: 32, 33 (fig. c). Loc. typ.: P. N. Khao Yai, NE Bangkok, Khao Khieo (MHNG, CA-MCSNG). . . . . Thailandia

selangoricum Angelini & De Marzo, 1995b: 166, 188, 195, 198 (figg. c, e, s, m). Loc. typ.: Selangor, 5 Km sotto Freser's Hills (MHNG, CA-MCSNG). . . . . Malaysia (Malaya)

sescentesimum Angelini, 2002b: 506 (figg. c, e, m). Loc. typ.: Qinling Shan (CSH). . . . . Cina (Shaanxi)

shermathangense Angelini & De Marzo, 1981: 250 (fig. s); 1984b: 165; 1985a: 38 (figg. a, e, m); 1987: 455 (s. str.); 1994: 52. Loc. typ.: Nepal, Shermathang, Helambu (CF). . . . . India (Darjeeling), Nepal

sherpa Angelini & De Marzo, 1981: 272 (figg. e, s, pl); 1985a: 41; 1986c: 835 (s. str.); 1994: 52. Loc. typ.: distr. Patan, prov. Bagmati, Phulcoki (CF, CA-MCSNG). . . . . Nepal

singmaricum Angelini & De Marzo, 1981: 256 (fig. e); 1983a: 171 (fig. s); 1984a: 546; 1984b: 165; 1987: 455 (s. str.); 1994: 40. Loc. typ.: Darjeeling, Singmari-Bharapatea Bung (NMB, CA-MCSNG). . . . . India (Darjeeling, Meghalaya), Nepal

soror Angelini & Cooter, 2003: 29 (figg. c, s, m). Loc. typ.: Cenwanglao Shan (CC). . . . . Cina (Guangxi)

sudra Angelini & De Marzo, 1985a: 41 (figg. e, s, m, pd, pl); 1986c: 835 (s. str.); 1994: 53. Loc. typ.: F. Dobate, NE Barahbise (MHNG, CA-MCSNG, SMNS). . . . . Nepal

tarsale Angelini, 2002a: 384 (figg. c, e, m). Loc. typ.: Jinfo Shan (CSM, CA-MCSNG) . . . . . Cina (Sichuan)

truncatum Angelini, 2000b: 159, 165 (figg. c, e, s, m); 2002a: 386; 2002b: 503. Loc. typ.: Sichuan, M. Emei (CA-MCSNG). . . . . Cina (Sichuan, Shaanxi)

ultimum Angelini & Cooter, 2003: 31 (figg. c, e, s, m). Loc. typ.: Shennongjia Nat. Res., Jiuchong (IZB, CC) . . . . . Cina (Hubei)

unumvesciculatum Angelini & De Marzo, 1981: 267 (fig. s); 1987: 456 (s. str.); 1994: 53. Loc. typ.: Darjeeling, Bljanbari (NMB, CA-MCSNG) . . . . . India (Darjeeling), Nepal

RINGRAZIAMENTI

Mi è gradito rinnovare i miei ringraziamenti, anche in questa sede, alle persone che, affidandomi esemplari in studio e comunicandomi dati, mi hanno consentito di realizzare il presente studio: Dr. M. E. Bacchus, Londra; Dr. ssa Nicole Berti, Parigi; Dr. Claude Besuchet, Ginevra; Dr. Michael Brancucci, Basilea; Dr. Roy Danielsson, Lund; Dr. Michael Darby, Londra; † Prof. Herbert Franz, Mödling; Dr. Peter Hammond, Londra; Dr. Matthias Hartmann, Erfurt; Dr. Hideto Hoshina, Yokohama; Dr. Josef Jelinek, Praga; † Dr. Zoltan Kaszab, Budapest; Dr. J. Klapperich, Bonn; Dr. Ivan Löbl, Ginevra; Dr. Jochen Martens, Mainz; Dr. Ole Martin, Copenaghen; Dr. Ottó Merkl, Budapest; † Dr. Thure Palm, Uppsala; Prof. Stewart B. Peck, Ottawa; Sig. Andreas Pütz, Eisenhuttenstadt; Dr. G. M. Rougemont, Londra; Dr. Wolfgang Schawaller, Stuttgart; Dr. Harold Schillhammer, Vienna; Dr. Aleš Smetana, Ottawa; Dr. Michael Schülke, Berlino, Prof. Quentin D. Wheeler, Ithaca.

Un doveroso e cordiale ringraziamento va agli Amici Dr. Jonathan Cooter, Hereford, e Ing. Zdeněk Švec, Praga, coautori nella descrizione di alcune specie qui trattate; sono riconoscente soprat-

tutto al Dr. Cooter per avere rivisto criticamente le parti in inglese del testo.

Ringrazio inoltre sentitamente l'amico Prof. Luigi De Marzo (Università degli Studi della Basilicata) coautore nella descrizione di numerose specie qui trattate e autore della maggior parte dei disegni.

Un doveroso ringraziamento va infine al Dr. Roberto Poggi, Direttore del Museo Civico di Storia Naturale di Genova, per avere voluto includere il presente studio negli "Annali" del Museo nonché per i numerosi consigli e suggerimenti durante la stesura del testo.

BIBLIOGRAFIA

ANGELINI F., 1986 - XXX contributo allo studio degli Anisotomini. Note sinonimiche - *Boll. Soc. ent. ital.*, Genova, 118: 147-160.

ANGELINI F., 1988 - Studi sugli *Agathidium*: note sinonimiche e diverse (Coleoptera, Leiodidae) - *Boll. Soc. ent. ital.*, Genova, 120: 11-19.

ANGELINI F., 1990 - New species and records of *Agathidium* from Malaysia (Malaya) and The Philippines - *Coleopt. Bull.*, Washington, 44 (3): 241-254.

ANGELINI F., 1992a – *Agathidium* raccolti in Thailandia dal Dr P. Schwendinger con descrizione di 4 nuove specie (Coleoptera, Leiodidae) - *Revue suisse Zool.*, Genève, 99 (1): 201-209.

ANGELINI F., 1992b - Descrizione di dodici nuove specie di *Agathidium* dell'Asia sudorientale e dell'Isola di Papua (Nuova Guinea) (Coleoptera Leiodidae) - *Mem. Soc. ent. ital.*, Genova, 70 (2) (1991): 163-179.

ANGELINI F., 1993a - *Agathidium* di Sumatra e Birmania conservati nel Museo Civico di Storia Naturale di Genova e descrizione di 9 nuove specie - *Annali Mus. civ. St. nat. "G. Doria"*, Genova, 89 (1992): 199-218.

ANGELINI F., 1993b - Studi sugli *Agathidium*. Designazione di un nuovo genere, un nuovo sottogenere e gruppi di specie - *Boll. Soc. ent. ital.*, Genova, 125 (1): 29-44.

ANGELINI F., 1995a - Descrizione di tre nuove specie di *Agathidium* Panzer del Vietnam - *Boll. Soc. ent. ital.*, Genova, 127 (2): 127-134.

ANGELINI F., 1995b - Oriental species of *Agathidium* in the Naturhistorisches Museum Vienna - *Ann. naturhist. Mus. Wien*, 97B: 191-196.

ANGELINI F., 1995c - Revisione tassonomica delle specie paleartiche del genere *Agathidium* Panzer (Coleoptera, Leiodidae, Agathidiini) – *Monogr. Mus. reg. Sci. nat.*, Torino, 18: 1-484.

ANGELINI F., 1996 - New taxonomic and faunistic data on *Agathidium* from South East Asia - *Stuttgarter Beitr. Naturk.*, Stuttgart, Ser. A, Nr. 546: 1-14.

ANGELINI F., 1998 - Agathidiini (Insecta: Coleoptera: Leiodidae) from Turkey and South East Asia preserved in Naturhistorisches Museum, Wien - 2nd note - *Ann. naturhist. Mus. Wien*, 100 B: 137-144.

ANGELINI F., 1999a - New species of *Agathidium* Panzer from China - *Revue suisse Zool*, Genève, 106 (4): 913-927.

ANGELINI F., 1999b - New species and records of Agathidiini from Nepal - *Veröff. Naturkundemuseum Erfurt*: 169-179.

ANGELINI F., 2000a - New Species and Records of Agathidiini from Vietnam Collected by Prof. S. B. Peck - *Zoological Studies*, Taipei, 39 (4): 307-312.

ANGELINI F., 2000b - Descrizione di 30 nuove specie di Agathidiini della Cina e Taiwan - *Annali Mus. civ. St. nat. "G. Doria"*, Genova, 93: 107-166.

ANGELINI F., 2000c - Contributo alla conoscenza degli Agathidiini dell'Asia sudorientale: descrizione di nuove specie e nuovi dati corologici - *Fragmenta ent.*, Roma, 32 (1): 35-82.

ANGELINI F., 2002a - LXXXIII contributo alla conoscenza degli Agathidiini della regione paleartica e orientale: descrizione di nuove specie e nuovi dati corologici - *Annali Mus. civ. St. nat. "G. Doria"*, Genova, 94: 313-394.

ANGELINI F., 2002b – New species and records of Agathidiini from China (Coleoptera, Leiodidae) - *Annali Mus. civ. St. nat. "G. Doria"*, Genova, 94: 485-508.

ANGELINI F. & COOTER J., 1985 - Studies on Anisotomini (Coleoptera, Leiodidae) of Sarawak - *Sarawak Mus. Journ.*, Kuching, 34 (55): 125-143.

ANGELINI F. & COOTER J., 1986 - New species and records of the genus *Agathidium* Panzer (Coleoptera, Leiodidae) from South-East Asia - *Ent. mon. Mag.*, London, 122: 37-41.

ANGELINI F. & COOTER J., 1993 - New species of *Agathidium* Panzer and *Liodopria* Reitter (Coleoptera, Leiodidae) from Sulawesi - *Ent. mon. Mag.*, London, 129: 67-79.

ANGELINI F. & COOTER J., 1998 - Descriptions of two new species of Agathidiini Westwood, 1838 (Col., Leiodidae) from Thailand - *Ent. mon. Mag.*, London, 134: 329-333.

ANGELINI F. & COOTER J., 1999 - The Agathidiini of China with descriptions of twelwe new species of *Agathidium* Panzer (Coleoptera: Leiodidae) - *Oriental Insects*, Gainesville, 33: 187-232.

ANGELINI F. & COOTER J., 2002 - A new species of *Liodopria* and records of other Agathidiini from Sabah - *Ent. mon. Mag.*, London, 138: 85-88.

ANGELINI F. & COOTER J., 2003 - New Data and Species of Agathidiini (Coleoptera, Leiodidae) from China - *Annali Mus. civ. St. nat. "G. Doria"*, Genova, 95: 1-33.

ANGELINI F. & DE MARZO L., 1981 - Reports of *Agathidium* from Himalaya: expeditions of Basel Natural History Museum and Prof. H. Franz (Coleoptera, Leiodidae) - *Ent. basiliensia*, Basel, 6: 187-294.

ANGELINI F. & DE MARZO L., 1983a - New species and records of the genus *Agathidium* Panzer 1797 from Nepal (Insecta: Coleoptera, Leiodidae) - *Senckenbergiana biol.*, Stuttgart, 64 (1/3): 157-173.

ANGELINI F. & DE MARZO L., 1983b - New species and records of *Agathidium* from Himalaya: expeditions of Basel Natural History Museum (Coleoptera, Leiodidae) - *Ent. basiliensia*, Basel, 8: 153-164.

ANGELINI F. & DE MARZO L., 1984a - Reports of *Agathidium* from Darjeeling: expedition 1978 of Geneva Natural History Museum (Coleoptera, Leiodidae) - *Revue suisse Zool.*, Genève, 91 (3): 545-562.

ANGELINI F. & DE MARZO L., 1984b - *Agathidium* from India collected by Dr. Gy Topàl (Coleoptera, Leiodidae) - *Ann. hist.-nat. Mus. natn. hung.*, Budapest, 76: 165-168.

ANGELINI F. & DE MARZO L., 1984c - Anisotomini nuovi o poco conosciuti reperiti in Nepal e Kashmir dal Prof. H. Franz (Coleoptera, Leiodidae) - *Entomologica*, Bari, 18 (1983): 5-16.

ANGELINI F. & DE MARZO L., 1985a - Reports of *Agathidium* from Central Nepal and North India: expeditions 1979 and 1981 of Geneva Natural History Museum (Coleoptera, Leiodidae) - *Revue suisse Zool.*, Genève, 92 (1): 33-76.

ANGELINI F. & DE MARZO L., 1985b - Descrizione di 13 specie nuove di Anisotomini dell'Asia sudorientale - *Entomologica*, Bari, 19 (1984): 23-49.

ANGELINI F. & DE MARZO L., 1986a - *Agathidium* from India and Malaya: expedition of Geneva Natural History Museum (Coleoptera, Leiodidae) - *Revue suisse Zool.*, Genève, 93 (2): 423-455.

ANGELINI F. & DE MARZO L., 1986b - *Agathidium* from North Pakistan: expedition 1983 of Geneva Natural History Museum (Coleoptera, Leiodidae) - *Revue suisse Zool.*, Genève, 93 (3): 587-605.

ANGELINI F. & DE MARZO L., 1986c - Expeditions 1982, 1983 and 1984 of Geneva Natural History Museum in Nepal. Anisotomini (Coleoptera, Leiodidae) - *Revue suisse Zool.*, Genève, 93 (4): 827-873.

ANGELINI F. & DE MARZO L., 1987 - Chorological notes on the genus *Agathidium* Panzer 1797 from Nepal (Insecta: Coleoptera, Leiodidae) - *Courier Forsch.-Inst. Senckenberg*, Stuttgart, 93: 455-461.

ANGELINI F. & DE MARZO L., 1989a - *Agathidium* from Nepal collected by Dr. A. Smetana, with description of a new species (Coleoptera, Leiodidae, Anisotomini) - *Revue suisse Zool.*, Genève, 96 (1): 25-31.

ANGELINI F. & DE MARZO L., 1989b - *Agathidium* from Thailand: expedition 1985 of the Geneva Natural History Museum (Coleoptera, Leiodidae, Anisotomini) - *Revue suisse Zool.*, Genève, 96 (2): 459-478.

ANGELINI F. & DE MARZO L., 1990 - Anisotomini del Giappone (Coleoptera, Leiodidae) - *Entomologica*, Bari, 23 (1988): 47-122.

ANGELINI F. & DE MARZO L., 1993 - *Agathidium* from Sumatra, Java and Borneo (Coleoptera, Leiodidae, Anisotomini) - *Revue suisse Zool.*, Genève, 100 (2): 425-493.

ANGELINI F. & DE MARZO L., 1994 - Catalogue of the Agathidiini of Nepal with description of new species (Coleoptera, Leiodidae, Anisotomini) - *Stuttgarter Beitr. Naturk.*, Stuttgart, Ser. A, Nr. 505: 1-53.

ANGELINI F. & DE MARZO L., 1995a - Agathidiini from Taiwan collected by Dr. Aleš Smetana (Coleoptera, Leiodidae, Agathidiini) - *Revue suisse Zool.*, Genève, 102 (1): 175-255.

ANGELINI F. & DE MARZO L., 1995b - *Agathidium* della Malacca con descrizione di 13 specie nuove (Coleoptera, Leiodidae, Agathidiini) - *Entomologica*, Bari, 29: 163-198.

ANGELINI F. & DE MARZO L., 1998a - Supplement to the knowledge of the Agathidiini of Taiwan (Coleoptera, Leiodidae) - *Revue suisse zool.*, Genève, 105 (1): 125-138.

ANGELINI F. & DE MARZO L., 1998b - Agathidiini from China, with description of 14 new species - *Rev. suisse Zool.*, Genève, 105 (2): 351-373.

ANGELINI F. & PECK S.B., 2000 – *Besuchetionella* New Genus, with Descriptions of Eighteen New Species from Asia (Coleoptera: Leiodidae: Agathidiini)- *Zoological Studies*, Taipei, 39(4): 328-343.

ANGELINI F. & STEPHENSON S.L., 1990 - *Agathidium* collected in northwestern India with description of *Agathidium shimlense* n. sp. (Coleoptera Leiodidae) - *Boll. Soc. ent. ital.*, Genova, 122 (2): 119-122.

ANGELINI F. & ŠVEC Z., 1994 - Review of Chinese species of the subfamily Leiodinae - *Acta Soc. zool. bohem.*, Praha, 58: 1-31.

ANGELINI F. & ŠVEC Z., 1995 - New species and records of Leiodinae from China - *Linzer biol. Beitr.*, Linz, 27/2: 507-523.

ANGELINI F. & ŠVEC Z., 1998 - Two new species of Leiodinae from India and Vietnam with taxonomic and distributional notes - *Acta Soc. zool. bohem.*, Praha, 62: 1-5.

ANGELINI F. & ŠVEC Z., 2000 - New species of the genera *Cyrtusa*, *Pseudcolenis*, *Cyrtoplastus* and *Agathidium* (Coleoptera: Leiodidae: Leiodinae) from China - *Acta Soc. zool. bohem.*, Praha, 64: 119-141.

ANGELINI F. & ŠVEC Z., 2002 - Descrizione di due nuove specie e nuovi dati corologici sugli Agathidiini dell'Asia sudorientale e della Cina (Coleoptera, Leiodidae) - *Doriana*, Genova, 7 (329):1-11.

BRISOUT DE BARNEVILLE CH., 1863 - Matériaux pour servir à la faune des Coléoptères français. I - In Grenier A., Paris: 1-135.

CHAMPION G.C., 1924 - Some Indian Coleoptera (14) - *Ent. mon. Mag.*, London, 60: 159-172.

CHAMPION G.C., 1927 - Some Indian Coleoptera - *Ent. mon. Mag.*, London, 63: 245-250.

COOTER J., 1984 - Two new species of *Agathidium* Panzer (Col., Leiodidae) from the Philippines - *Ent. mon. Mag.*, London, 120: 69-72.

ERICHSON W., 1845 - Naturgeschichte der Insekten Deutschlands - Berlin, III: 41-104 (Anisotomidae).

GOZIS DES M., 1886 - Recherche de l'espèce typique de quelques anciens genres - Montluçon: 1-16.

HATCH M.H., 1929 - Leiodidae, Clambidae - Coleopterorum Catalogus. Berlin, 105: 1-100.

HLISNIKOVSKÝ J., 1964 - Monographische Bearbeitung der Gattung *Agathidium* Panzer - *Acta ent. Mus. nat. Pragae*, suppl. 5: 1-255.

HLISNIKOVSKÝ J., 1972 - Beitrag zur Kenntnis der Liodidae von Ceylon - *Mitteil. Schweiz. Entom. Gesell.*, Zürich, 45 (1-3): 131-149.

HOSHINA H., 1998 - A taxonomic study on the tribe Agathidiini (Coleoptera, Leiodidae) from the Ryukyus, Japan - *Jpn. Journ. syst. Ent.*, Matsuyama, 4 (1): 137-159.

HOSHINA H., 2000 - A taxonomic study on the Subgenus *Neoceble* (Coleoptera: Leiodidae: *Agathidium*) from Kyushu, Japan - *Species Diversity*, Tokyo, 5 (1): 59-88.

PANZER G.W.F., 1797 - Faunae Insectorum Germanicae initia - Nürnberg, 37: nr. 2-13.

PIELOU E.C., 1979 – Biogeography. *J. Willey & Sons*, New York.

PORTEVIN G., 1905 - Troisième note sur les Silphides du Museum - *Bull. Mus. Hist. nat. Paris*, 12 : 418-424.

PORTEVIN G., 1907a - Clavicornes nouveaux du groupe des Nécrophages - *Ann. Soc. ent. Fr.*, Paris: 76: 67-82.

PORTEVIN G., 1907b - Description de Silphides et Liodides nouveaux - *Bull. Soc. ent. Fr.*, Paris: 251-255.

PORTEVIN G., 1908 - Quatrième note sur les Nécrophages du Muséum - *Bull. Mus. Hist. nat. Paris*, 14 : 19-29.

PORTEVIN G., 1922 - Notes sur quelques Silphides et Liodides de la collection Grouvelle. *Bull. Mus. Natn. Hist. nat. Paris*, 28: 54-58.

PORTEVIN G., 1926 - Les Liodidae de l'Inde - *Encycl. Ent., Col.*, Paris, 1: 75-83.

PORTEVIN G., 1928 - Description d'un nouvel *Agathidium* des Iles de la Sonde - *Treubia*, Bogor, 10: 31-32.

PORTEVIN G., 1937 - Liodides nouveaux des collections du muséum - *Rev. franç. Ent.*, Paris, 4: 31-36.

ROUBAL J., 1911 - Koleopterologické vysledky mé cesty na Kavkaz v cervenci r. 1911 - *Čas. Čes. Spol. Ent.*, Praha, 8: 48-50.

RIASSUNTO

Sono preliminarmente riassunte le ricerche svolte nell'Asia sudorientale e in Cina nell'ultimo ventennio, periodo nel quale è stata descritta o segnalata la maggior parte delle specie (498 a fronte delle 15 precedentemente note). In figg. 1-2 è riportato, per ciascuna nazione (o regione o isola nel caso di India, Malaysia, Indonesia, Filippine e Cina) il numero di specie accertate. Nelle Tabelle 1 e 2 è riportato, rispettivamente, il numero di specie noto per ciascun genere della tribù Agathidiini nelle varie regioni zoogeografiche e il numero di specie del genere *Agathidium*, suddivise in sottogeneri e gruppi di specie, nelle varie nazioni dell'Asia

sudorientale e in Cina. Segue una disamina dei caratteri morfologici utilizzati nelle chiavi dicotomiche e riportati per ciascuna specie in Tabella 3. Sono infine fornite brevi notizie sui materiali esaminati, oltre 12.000 esemplari, appartenenti a 512 delle 513 specie note per l'area in esame (solo di *A. insulare* Port. non è stato esaminato alcun esemplare), e sulle metodiche di studio.

Ad una breve diagnosi del genere segue una chiave dicotomica dei sottogeneri di *Agathidium* Panzer. Di ciascun sottogenere e gruppo di specie viene ugualmente riportata una breve diagnosi seguita da notizie sulla distribuzione.

Nelle chiavi dicotomiche redatte in lingua italiana, per sottogenere (*Cyphoceble*, *Euryceble* e *Macroceble*) o gruppi di specie (dei sottogeneri *Neoceble*, *Agathidium* s. str. e *Microceble*), sono fornite brevi note su colorazione, punteggiatura e microreticolazione del tegumento dorsale, colorazione clava antennale e rapporto 3°/2° antennomero, formula tarsale; queste notizie sono omesse nelle chiavi redatte in lingua inglese. Di ciascuna specie vengono illustrati l'edeago, la spermateca e il metafemore del ♂ (o, se il ♂ è sconosciuto, quello della ♀); il capo viene invece raffigurato solo se strettamente necessario. Complessivamente sono trattate 513 specie provenienti dalla regione orientale e dalla Cina.

Il lavoro si chiude con il catalogo degli *Agathidium* dell'Asia sudorientale e della Cina nel quale, per ciascuna specie, sono riportati: a) il nome completo dell'Autore, l'anno e la pagina della descrizione; b) le figure a corredo della descrizione originale; c) le eventuali successive citazioni bibliografiche; d) la località tipica e la sigla della/e collezione/i dove è conservato il materiale tipico; e) la distribuzione.

SUMMARY

Key and catalogue to the *Agathidium* Panzer from Southeast Asia and China.

This work is a summary of researches into the south-east Asian and Chinese species of the genus *Agathidium*. Prior to starting these studies 15 species of *Agathidium* were known from the region, a further 498 species have been added in the last twenty years. Geographical distribution is reported in figure 1 and 2; tables 1 and 2 list the species of tribe Agathidiini in south eastern Asia and China. This is followed by a study of the morphological characters used in the keys and shown for each species in Table 3. A key using morphological characters enables identification of all 513 recorded species. Over 12,000 specimens belonging to these 512 species have been studied (the type material of *Agathidium insulare* Portevin was not available for study) and each of the 513 species is described and its known distribution given.

After a brief diagnosis of the genus it is given a key of the subgenera of *Agathidium* Panzer with distributional notes. This format is then repeated for each subgenus and species group with notes on the distribution.

The keys in English do not include such details as colour, puncturation, microreticulation, length ratio of antennal segments 3/2 and tarsal formulae; these are included and are thus accessible in the Italian language keys and descriptive text. For each species, figures depicting the aedeagus, spermatheca and male (or if male unknown, the female) hind femora and, if necessary, also of head are given.

The work concludes with a catalogue of species of *Agathidium* recorded from south-east Asia and China. For each of the 513 species following information is recorded: a) Author, year and page of publication with the figures to accompany the original description; b) subsequent bibliographic references; c) location of type material (with place of deposition); d) known distribution.

INDICE ANALITICO

Sono riportati solo i nomi delle specie presenti nell'Asia sudorientale e in Cina. In corsivo sono riportati i nomi delle specie valide e in tondo i sinonimi. Il primo numero (in neretto) indica la pagina della chiave dicotomica, il secondo (in tondo) quella della key, il terzo (in corsivo) quella del catalogo e il quarto (sottolineato) quella della tabella 3. Per il genere *Agathidium*, i sottogeneri e i gruppi di specie, in neretto è indicata anche la pagina relativa alla diagnosi.

A

abbreviatum Ang., **189**, 190, *408*, 151
abiectum Ang. & Dmz., **326**, 331, *435*, 160
abominabile Ang. & Dmz., **390**, 400, *447*, 164
abruptum Ang. & Dmz., **347**, 356, *437*, 162
acridulum Ang., **320**, 321, *434*, 160
acuminatum Ang. & Dmz., **214**, 228, *409*, 154
acuticorne Ang., **291**, 310, *426*, 158
acutum Ang., **290**, 310, *426*, 158
aeneonigrum Ang., **172**, 174, *405*, 151
aequale Ang. & Dmz., **327**, 332, *435*, 160
aeratum Ang., **212**, 227, *409*, 154
aeternum Ang. & Dmz., **328**, 333, *435*, 160
Agathidium Panzer, **166**
Agathidium s. str. Panzer, **168**, **193**, 170, *409*, 152
agostii Ang. & Dmz., **215**, 229, *409*, 154
aikanae Hoshina, **281**, 304, *426*, 157
alatum Ang. & Dmz., **196**, 216, *409*, 152
alesi Ang. & Dmz., **209**, 225, *409*, 153
alpestre Ang. & Dmz., **262**, 275, *421*, 156
amamiense Hoshina, **247**, 252, *419*, 155
ambiguum Ang., **378**, 392, *447*, 163
amictum Ang. & Dmz., **345**, 354, *437*, 161
amoenum Ang. & Dmz., **380**, 394, *447*, 163
amplum Ang. & Dmz., **341**, 352, *437*, 161
andrewesi Port., **357**, 368, *443*, 162
andrewesi Port., gruppo, **323**, **356**, 323, *443*, 162
angelinii Cooter, **366**, 374, *443*, 163
angulatum Ang., **182**, 186, *406*, 151
angustatum Ang. & Dmz., **261**, 274, *421*, 156
anmashanense Ang. & Dmz., **302**, 317, *426*, 159
anophthalmicum Ang. & Dmz., **378**, 392, *447*, 163
antennatum Hlisn., **319**, 321, *434*, 160

apocryphum Ang., **203**, 221, *409*, 153
apterum Ang. & Dmz., **238**, 245, *416*, 155
arcuatum Ang. & Cooter, **329**, 333, *435*, 160
argutum Ang. & Dmz., **346**, 355, *437*, 161
armatum Ang., **257**, 272, *421*, 156
asphaltinum Ang. & Dmz., **297**, 314, *427*, 159
assamense Ang. & Dmz., **358**, 369, *443*, 162
aterrimum Ang. & Dmz., **380**, 394, *447*, 163
atrum Payk., gruppo, **194**, **246**, 195, *419*, 155
ausobskyi Ang. & Dmz., **239**, 246, *416*, 155
austerum Ang. & Dmz., **380**, 394, *447*, 163

B

bagmaticum Ang. & Dmz., **235**, 243, *416*, 154
barahbisense Ang. & Dmz., **232**, 241, *416*, 154
becvari Ang. & Švec, **199**, 218, *410*, 152
bhutanense Ang., **183**, 187, *406*, 151
bicoloratum Ang., **362**, 372, *443*, 162
bidentatum Ang. & Dmz., **296**, 313, *427*, 159
biimpressum Champion, **363**, 372, *443*, 162
bolmi Ang., **345**, 355, *437*, 161
bonzi Ang. & Dmz., **183**, 187, *406*, 151
bowringi Ang. & Cooter, **290**, 310, *427*, 158
brahma Ang. & Dmz., **368**, 375, *443*, 163
brahmano Ang. & Dmz., **215**, 228, *410*, 154
brancuccii Ang. & Dmz., **387**, 398, *447*, 164
breve Ang. & Dmz., **383**, 396, *447*, 164
brunneipenne Ang. & Dmz., **287**, 308, *427*, 158
brunneum Ang. & Dmz., **235**, 244, *416*, 155
brunnipes Ang. & Švec, **184**, 187, *406*, 151

C

caelebs Ang. & Dmz., **387**, 398, *448*, 164
calamei Ang. & Dmz., **389**, 400, *448*, 164
calvum Ang., **202**, 220, *410*, 152
cameronicum Ang. & Dmz., **378**, 392, *448*, 163
canariense Lindb., gruppo, **176**, **191**, 176, *408*, 152
caovansungi Ang., **203**, 221, *410*, 153
capito Ang., **319**, 321, *435*, 160
capitulatum Ang. & Dmz., **365**, 373, *443*, 163
carinense Ang., **347**, 356, *438*, 162
castaneum Ang. & Dmz., **233**, 242, *416*, 154
celatum Ang. & Dmz., **255**, 271, *421*, 155

celebense Port., **365**, 374, *443*, 163
ceylanicum Hlisn., *440*
chalconotum Ang. & Dmz., **301**, 316, *427*, 159
chiaicum Ang. & Dmz., **300**, 316, *427*, 159
chinense Hlisn., **248**, 252, *419*, 155
cinereum Ang. & Dmz., **293**, 312, *427*, 158
circumflexum Ang. & Dmz., **268**, 279, *421*, 157
collinsi Ang. & Cooter, **303**, 318, *427*, 159
coloratum Ang. & Dmz., **178**, 179, *405*, 151
comptum Ang. & Dmz., **262**, 275, *421*, 156
concolor Ang. & Dmz., **239**, 246, *416*, 155
confluens Ang. & Dmz., **239**, 246, *416*, 155
confusum Brisout, **184**, 187, *407*, 151
connexum Ang., **296**, 313, *427*, 159
consimile Ang., **264**, 276, *421*, 156
conspersum Ang. & Dmz., **239**, 245, *416*, 155
coomani Port., **363**, 372, *443*, 162
cooteri Ang. & Dmz., **344**, 354, *438*, 161
corticinum Ang. & Dmz., **337**, 350, *438*, 161
crassum Ang. & Dmz., **212**, 226, *410*, 153
cribratum Port., **178**, 179, *406*, 151
crinitum Ang. & Dmz., **391**, 401, *448*, 164
crockerense Ang. & Dmz., **325**, 331, *435*, 160
cuccodoroi Ang., **389**, 399, *448*, 164
curtum Ang. & Dmz., **284**, 306, *427*, 157
Cyphoceble Thomson, **168**, **170**, 169, *405*,

D

daamsae Ang. & Dmz., **294**, 312, *427*, 158
darbyi Ang. & Cooter, **345**, 355, *438*, 161
dardi Ang. & Dmz., **192**, 193, *408*, 152
dargharicum Ang. & Dmz., **237**, 245, *416*, 155
darjeelingense Ang. & Dmz., **212**, 227, *410*, 153
daxuense Ang. & Švec, **177**, 179, *406*, 151
deharvengi Ang., **340**, 351, *438*, 161
delicatulum Ang. & Dmz., **209**, 225, *410*, 153
dentatum Muls. & Rey, gruppo, **194**, **280**, 195, *426*, 157
deoralicum Ang. & Dmz., **284**, 306, *428*, 157
detritum Ang. & Dmz., **260**, 273, *421*, 156
dinguaricum Ang. & Dmz., **251**, 254, *419*, 155
discretum Ang. & Dmz., **301**, 316, *428*, 159
dissimile Ang. & Dmz., **388**, 399, *448*, 164
distinctum Ang. & Dmz., **379**, 393, *448*, 163

distinguendum Ang. & Dmz., **209**, 225, *410*, 153
dobaticum Ang. & Dmz., **269**, 279, *422*, 157
dongnanense Ang. & Cooter, **381**, 394, *448*, 163
ducentesimum Ang. & Dmz., **302**, 317, *428*, 159
dundai Ang. & Švec, **178**, 179, *406*, 151
duofoveatum Ang. & Dmz., **359**, 370, *444*, 162

E
ebeninum Ang. & Dmz., **347**, 356, *438*, 162
egregium Ang. & Dmz., **262**, 275, *422*, 156
elegans Ang. & Dmz., **358**, 369, *444*, 162
elongatum Ang., **327**, 332, *436*, 160
emeicum Ang., **385**, 397, *448*, 164
enigmaticum Ang. & Cooter, **340**, 351, *438*, 161
eremita Ang. & Dmz., **295**, 313, *428*, 159
Euryceble Hlisnikovský, **169**, **318**, 170, *434*, 160
exaratum Ang. & Dmz., **348**, 356, *438*, 162
excelsum Ang. & Dmz., **269**, 279, *422*, 157
exoletum Ang. & Dmz., **262**, 275, *422*, 156

F
fallax Ang. & Dmz., **249**, 253, *419*, 155
familiare Ang. & Dmz., **199**, 218, *410*, 152
farkaci Ang., **360**, 370, *444*, 162
fatuum Ang. & Dmz., **383**, 396, *448*, 164
feai Ang., **366**, 374, *444*, 163
fenchihuense Ang., **364**, 373, *444*, 162
fenestratum Ang. & Dmz., **299**, 315, *428*, 159
filiforme Ang., **361**, 371, *444*, 162
formosum Ang. & Dmz., **198**, 217, *410*, 152
francae Ang. & Dmz., **239**, 246, *417*, 155
franzi Ang. & Dmz., **267**, 278, *422*, 157
fraternum Ang., **390**, 400, *448*, 164
fujianense Ang. & Dmz., **286**, 307, *428*, 158
fujisakiae Hoshina, **285**, 306, *428*, 158
fulcratum Ang. & Dmz., **387**, 399, *448*, 164
fulgens Ang. & Dmz., **270**, 280, *422*, 157
fuliginosum Ang. & Dmz., **300**, 315, *428*, 159
fulungense Ang. & Dmz., **232**, 241, *417*, 154
fulvum Ang. & Dmz., **294**, 312, *428*, 158
fumosum Ang. & Dmz., **339**, 351, *439*, 161
fungivorum Ang. & Dmz., **390**, 401, *449*, 164
furcatum Ang. & Dmz., **261**, 274, *422*, 156

fuscatum Ang., **182**, 186, *407*, 151
fuscum Ang. & Dmz., **298**, 315, *428*, 159

G

garhwalense Ang. & Dmz., **250**, 254, *420*, 155
garrattii Ang. & Cooter, **264**, 276, *422*, 156
geminatum Ang. & Dmz., **383**, 395, *449*, 164
geniculatum Ang. & Dmz., **173**, 174, *405*, 151
gentingense Ang. & Dmz., **336**, 349, *439*, 161
giganteum Ang. & Švec, **207**, 223, *410*, 153
glabricolle Ang. & Dmz., **247**, 251, *420*, 155
glabrum Ang. & Dmz., **173**, 174, *405*, 151
glaciale Ang. & Dmz., **232**, 241, *417*, 154
globulosum Hlisn., **361**, 371, *444*, 162
godawaricum Ang. & Dmz., **343**, 353, *439*, 161
gonggaense Ang. & Dmz., **265**, 277, *422*, 156
goropanicum Ang. & Dmz., **260**, 274, *422*, 156
gracile Ang. & Dmz., **338**, 350, *439*, 161
grandicolle Ang., **290**, 309, *428*, 158
gratiosum Ang. & Švec, **200**, 219, *411*, 152
griseum Ang., **298**, 314, *428*, 159
grossum Ang., **297**, 314, *429*, 159
grouvellei Port., **342**, 353, *439*, 161
grouvellei Port., gruppo, **323**, **334**, 323, *437*, 160
guagir Ang. & Dmz., **258**, 272, *422*, 156
gulmargense Ang. & Dmz., **247**, 251, *420*, 155
gurka Ang. & Dmz., **293**, 311, *429*, 158
gutianense Ang. & Cooter, **288**, 308, *429*, 158

H

hamanni Ang. & Dmz., **250**, 253, *420*, 155
hammondi Ang. & Cooter, **361**, 371, *444*, 162
hani Ang., **292**, 311, *429*, 158
harmandi Port., **292**, 311, *429*, 158
heishuiense Ang. & Švec, **196**, 216, *409*, 152
herberti Ang., **211**, 226, *411*, 153
himalayanum Ang. & Dmz., **258**, 272, *423*, 156
hlavaci Ang. & Cooter, **379**, 393, *449*, 163
hlisnikovskyi Ang. & Dmz., **202**, 220, *411*, 152
hoabinhense Ang., **211**, 226, *411*, 153
honestum Ang. & Dmz., **297**, 314, *429*, 159
hoshinai Ang., **286**, 307, *429*, 158
huaense Ang. & Dmz., **288**, 308, *429*, 158

huangganshanicum Ang. & Cooter, **257**, 272, *423*, 156
hubeicum Ang. & Cooter, **289**, 309, *429*, 158

I

ilamense Ang. & Dmz., **238**, 245, *417*, 155
illustre Ang. & Dmz., **319**, 321, *435*, 160
ilvense Ang. & Dmz., **302**, 317, *429*, 159
imitans Ang., **364**, 373, *444*, 162
imitator Ang. & Dmz., **267**, 278, *423*, 157
immodicum Ang. & Dmz., **338**, 350, *439*, 161
impressum Ang., **213**, 227, *411*, 154
impunctatum Ang., **391**, 401, *449*, 164
incognitum Ang. & Dmz., **390**, 401, *449*, 164
indefinitum Ang. & Dmz., **328**, 332, *436*, 160
indicum Ang. & Dmz., **238**, 245, *417*, 155
indistinctum Ang. & Dmz., **236**, 244, *417*, 155
indra Ang. & Dmz., **284**, 306, *429*, 157
indubium Ang. & Dmz., **291**, 310, *429*, 158
inelegans Ang., **198**, 218, *411*, 152
ineptum Ang. & Dmz., **236**, 244, *417*, 155
inerme Ang. & Dmz., **289**, 309, *430*, 158
infuscatum Ang. & Dmz., **338**, 350, *439*, 161
inopinatum Ang., **384**, 396, *449*, 164
inornatum Ang. & Dmz., **364**, 373, *444*, 163
inquietum Ang. & Dmz., **269**, 279, *423*, 157
inquisitor Ang. & Dmz., **172**, 174, *405*, 151
insolitum Ang. & Dmz., **343**, 354, *439*, 161
insulare Port., **358**, 369, *444*, 162
interruptum Ang. & Dmz., **330**, 334, *436*, 160
intricatum Ang. & Dmz., **301**, 316, *430*, 159
inustum Ang. & Dmz., **261**, 274, *423*, 156
invalidum Ang. & Dmz., **382**, 395, *449*, 163
ishigakiense Hoshina, **210**, 225, *411*, 153
ishvara Ang. & Dmz., **270**, 280, *423*, 157
ivani Ang., **377**, 392, *449*, 163

J

jaccoudi Ang. & Dmz., **379**, 393, *449*, 163
jaechi Ang., **265**, 277, *423*, 157
jambicum Ang. & Dmz., **344**, 354, *439*, 161
jatanai Ang. & Švec, **231**, 241, *417*, 154
javanicum Ang. & Dmz., **336**, 349, *439*, 161
jendeki Ang. & Švec, **234**, 242, *417*, 154

jiuchongense Ang. & Cooter, **282**, 304, *430*, 157
johnsoni Ang. & Dmz., **234**, 243, *417*, 154
jonathani Ang., **183**, 187, *407*, 151

K

kabateki Ang., **251**, 254, *420*, 155
kaderi Ang., **343**, 353, *440*, 161
kali Ang. & Dmz., **237**, 244, *418*, 155
kandingense Ang., **181**, 185, *407*, 151
kaohsiungense Ang. & Dmz., **300**, 316, *430*, 159
karnatakaense Ang. & Švec, **362**, 372, *444*, 162
kashmirense Ang. & Dmz., **249**, 253, *420*, 155
kathmanduense Ang. & Dmz., **266**, 277, *423*, 157
kejvali Ang. & Švec, **197**, 217, *411*, 152
keralaense Ang., **199**, 218, *411*, 152
kharkaense Ang. & Dmz., **239**, 246, *418*, 155
khasicum Ang. & Dmz., **206**, 222, *411*, 153
kinabaluense Ang. & Dmz., **342**, 352, *440*, 161
klapperichi Ang. & Dmz., **336**, 349, *440*, 161
krali Ang. & Švec, **197**, 217, *411*, 152
kryzhanovskii Ang., **203**, 221, *411*, 153
kuaiense Ang. & Cooter, **211**, 226, *412*, 153
kualalumpurense Ang. & Dmz., **215**, 228, *412*, 154
kuchingense Ang., **324**, 330, *436*, 160
kumaonicum Ang. & Dmz., **181**, 185, *407*, 151
kunmingense Ang., **189**, 190, *408*, 152
kurbatovianum Ang., **391**, 401, *449*, 164
kuwapanicum Ang. & Dmz., **236**, 244, *418*, 155
kyotoense Ang. & Dmz., **181**, 185, *407*, 151

L

laevigatum Er., **260**, 273, *423*, 156
laevigatum Er., gruppo, **194**, **254**, 195, *421*, 155
laevipenne Port., **249**, 253, *420*, 155
lashioense Ang., **210**, 226, *412*, 153
lassethamense Ang. & Dmz., **259**, 273, *423*, 156
lasti Ang. & Cooter, **207**, 224, *412*, 153
laticorne Port., **341**, 352, *440*, 161
lebongense Ang. & Dmz., **206**, 223, *412*, 153
lepidum Ang., **214**, 228, *412*, 154
lewisi Ang., **212**, 227, *412*, 154
leytense Ang., **320**, 321, *435*, 160
lijiangense Ang., **207**, 223, *412*, 153

limatum Ang. & Dmz., **346**, 355, *440*, 161
limbatum Ang., **360**, 370, *445*, 162
lividum Ang. & Dmz., **258**, 273, *423*, 156
loeblianum Ang. & Dmz., **324**, 330, *436*, 160
longicorne Port., **178**, 179, *406*, 151
longum Ang. & Dmz., **383**, 396, *449*, 164
lucidum Ang. & Dmz., **297**, 314, *430*, 159
lucifugum Ang., **209**, 225, *412*, 153
luctuosum Ang. & Dmz., **198**, 217, *412*, 152
lugubre Ang. & Dmz., **292**, 311, *430*, 158
lunatum Ang. & Dmz., **299**, 315, *430*, 159
luojiense Ang., **288**, 308, *430*, 158
luridum Ang., **344**, 354, *440*, 161

M

Macroceble Angelini, **169**, **375**, 170, *447*, 163
macrocephalum Ang., **385**, 397, *450*, 164
macrotibiale Ang. & Dmz., **283**, 305, *430*, 157
maculatum Ang. & Cooter, **325**, 331, *436*, 160
maculatum Ang. & Cooter, gruppo, **323**, 323, *435*, 160
maculicolle Champion, **339**, 351, *440*, 161
madurense Port., **200**, 218, *412*, 152
madurense Port., gruppo, **194**, **195**, 195, *409*, 152
magnificum Ang., **328**, 333, *436*, 160
malayanum Ang. & Dmz., **388**, 399, *450*, 164
malaysicum Ang. & Dmz., **379**, 393, *450*, 163
malignum Ang. & Dmz., **325**, 331, *436*, 160
manangense Ang. & Dmz., **259**, 273, *424*, 156
manasicum Ang. & Dmz., **367**, 375, *445*, 163
marginatum Sturm, gruppo, **176**, **188**, 176, *408*, 151
marshalli Ang. & Cooter, **216**, 229, *412*, 154
martensi Ang. & Dmz., **268**, 279, *424*, 157
martensianum Ang. & Dmz., **294**, 312, *430*, 158
megacephalum Ang., **390**, 400, *450*, 164
meghalayanum Ang. & Dmz., **206**, 223, *412*, 153
meifengense Ang. & Dmz., **302**, 317, *430*, 159
melanarium Ang. & Švec, **335**, 348, *441*, 160
melancholicum Ang. & Cooter, **291**, 310, *431*, 158
melanocephalum Ang. & Dmz., **302**, 317, *431*, 159
memnonium Ang. & Dmz., **261**, 274, *424*, 156
mentawaicum Ang., **366**, 374, *445*, 163
mequignoni Roubal, **232**, 241, *418*, 154
michaeli Ang., **255**, 271, *424*, 156

Microceble Ang. & Dmz., **169**, **322**, 170, *435*, 160
microreticulatum Ang. & Dmz., **233**, 242, *418*, 154
mingchiense Ang., **180**, 185, *407*, 151
minusculum Ang., **359**, 369, *445*, 162
minutissimum Ang. & Dmz., **257**, 271, *424*, 156
mirificum Ang. & Dmz., **342**, 353, *441*, 161
modestum Ang., **208**, 224, *412*, 153
modiglianii Ang., **339**, 351, *441*, 161
montanellum Hlisn., **303**, 317, *431*, 159
montanum Ang. & Dmz., **295**, 313, *431*, 159
monticola Ang. & Dmz., **337**, 349, *441*, 161
montivagum Ang. & Dmz., **215**, 229, *413*, 154
montuosum Ang. & Dmz., **320**, 321, *435*, 160
mussardi Ang. & Dmz., **362**, 372, *445*, 162

N

nahangense Ang., **203**, 220, *413*, 152
nanum Ang., **381**, 394, *450*, 163
narusawae Hoshina, **384**, 396, *450*, 164
nebulosum Ang. & Dmz., **326**, 332, *436*, 160
nefandum Ang., **204**, 221, *413*, 153
negritos Ang., **215**, 229, *413*, 154
Neoceble Gozis, **168**, **175**, 169, *405*, 151
nepalense Ang. & Dmz., **256**, 271, *424*, 156
neurayi Ang., **208**, 224, *413*, 153
newari Ang. & Dmz., **211**, 226, *413*, 153
newtoni Ang., **382**, 395, *450*, 163
nigerrimum Ang., **265**, 277, *424*, 157
nigripenne (F.), gruppo, **176**, **180**, 176, *406*, 151
nigritulum Ang., **205**, 222, *413*, 153
nigrocastaneum Ang. & Dmz., **181**, 186, *407*, 151
nitidulum Ang. & Cooter, **256**, 271, *424*, 156
nitidum Ang. & Dmz., **363**, 372, *445*, 162
nivale Ang. & Dmz., **237**, 244, *418*, 155
nomurai Hoshina, **363**, 373, *445*, 162
nubile Ang., **190**, 191, *408*, 152

O

obesum Ang., **329**, 334, *436*, 160
oblitum Ang. & Dmz., **384**, 396, *450*, 164
obscurum Ang., **205**, 222, *413*, 153
obsoletum Ang., **214**, 228, *413*, 154
occultum Ang. & Dmz., **200**, 219, *413*, 152

oculatum Ang. & Dmz., **185**, 188, *407*, 151
okinawaense Hoshina, **286**, 306, *431*, 158
optatum Ang. & Dmz., **325**, 331, *436*, 160
opulentum Ang. & Dmz., **344**, 354, *441*, 161
ornatum Ang. & Dmz., **269**, 279, *424*, 157
ovatum Ang. & Dmz., **292**, 311, *431*, 158

P

pahangense Ang., **336**, 349, *441*, 160
pakistanicum Ang. & Dmz., **230**, 240, *418*, 154
palmi Ang., **389**, 400, *450*, 164
palnicum Ang. & Dmz., **357**, 368, *445*, 162
paralasti Ang. & Cooter, **207**, 224, *413*, 153
paratianmuense Ang. & Cooter, **282**, 304, *431*, 157
parbaticum Ang. & Dmz., **235**, 243, *418*, 154
paria Ang. & Dmz., **295**, 313, *431*, 159
patris Ang. & Cooter, **204**, 221, *413*, 153
pauperum Ang. & Dmz., **250**, 253, *420*, 155
pecki Ang., **202**, 220, *413*, 152
pedemontanum Ang. & Dmz., **197**, 217, *414*, 152
peninsulare Ang., **389**, 400, *450*, 164
penultimum Ang. & Cooter, **381**, 394, *450*, 163
phulcokiense Ang. & Dmz., **293**, 312, *431*, 158
pictum Ang. & Dmz., **299**, 315, *431*, 159
pileti Ang. & Dmz., **324**, 330, *436*, 160
pilosellum Ang. & Dmz., **378**, 392, *450*, 163
pinorum Ang. & Dmz., **231**, 240, *418*, 154
plumbeum Ang., **204**, 221, *414*, 153
pocsi Ang., **359**, 369, *445*, 162
poggii Ang., **342**, 353, *441*, 161
pothanaense Ang., **295**, 312, *432*, 159
praeustum Ang. & Dmz., **183**, 187, *407*, 151
procerum Ang. & Dmz., **263**, 276, *424*, 156
prosperum Ang., **303**, 317, *432*, 159
proximum Ang., **267**, 278, *424*, 157
pseudoconfusum Ang. & Dmz., **184**, 188, *408*, 151
pseudomadurense Ang. & Dmz., **199**, 218, *414*, 152
pseudomontanellum Ang. & Dmz., **303**, 317, *432*, 159
pseudopalnicum Ang. & Švec, **358**, 369, *445*, 162
pseudoparia Ang. & Dmz., **296**, 314, *432*, 159
pseudoscutellare Ang., **377**, 392, *451*, 163
pseudotianmuense Ang. & Cooter, **282**, 304, *432*, 157
pseudotibiale Ang. & Dmz., **283**, 305, *432*, 157

pseudouniforme Ang., **289**, 308, *432*, 158
puetzi Ang. & Švec, **287**, 307, *432*, 158
punctatum Ang. & Dmz., **234**, 242, *418*, 154
puncticolle Cooter, **346**, 355, *441*, 162
pusillum Ang. & Dmz., **283**, 305, *432*, 157

Q
quadrimaculatum Ang. & Dmz., **326**, 331, *436*, 160
quaterfoveatum Ang. & Dmz., **386**, 398, *451*, 164
querceum Ang. & Dmz., **270**, 280, *425*, 157

R
raffaellae Ang. & Dmz., **248**, 252, *420*, 155
rama Ang. & Dmz., **335**, 348, *441*, 160
ravana Ang. & Dmz., **360**, 370, *445*, 162
recurvum Ang., **326**, 332, *437*, 160
relictum Ang., **214**, 228, *414*, 154
riedeli Ang., **213**, 228, *414*, 154
robustum Ang. & Dmz., **249**, 252, *420*, 155
rougemonti Ang., **388**, 399, *451*, 164
rubiginosum Ang., **266**, 277, *425*, 157
rubrum Ang. & Dmz., **259**, 273, *425*, 156
rufescens Ang. & Dmz., **258**, 272, *425*, 156
rufifrons Ang. & Dmz., **268**, 279, *425*, 157
rufoatrum Ang. & Dmz., **362**, 371, *445*, 162
rufomarginatum Ang. & Dmz., **192**, 193, *409*, 152
rurale Ang., **263**, 276, *425*, 156
rusticanum Ang. & Dmz., **266**, 278, *425*, 157

S
sabahense Ang. & Dmz., **327**, 332, *437*, 160
sadhu Ang. & Dmz., **250**, 254, *420*, 155
saigoi Hoshina, **210**, 225, *414*, 153
sarawakense Ang. & Cooter, **347**, 356, *441*, 162
saundersi Ang. & Cooter, **335**, 348, *441*, 160
schawalleri Ang. & Dmz., **387**, 398, *451*, 164
schillhammeri Ang., **337**, 349, *442*, 161
schuelkei Ang., **286**, 307, *432*, 158
schuelkeicum Ang., **205**, 222, *414*, 153
schuhi Ang. & Dmz., **365**, 373, *446*, 163
schwendingeri Ang., **213**, 227, *414*, 154
scutellare Ang. & Dmz., **377**, 392, *451*, 163
selangoricum Ang. & Dmz., **381**, 394, *451*, 163

semiarcuatum Ang., **329**, 333, *437*, 160
semicastaneum Ang., **184**, 188, *408*, 151
seminigrum Ang. & Dmz., **269**, 280, *425*, 157
seminulum (L.), gruppo, **194**, **229**, 195, *416*, 154
semipunctatum Ang. & Dmz., **230**, 240, *418*, 154
semireticulatum Ang. & Dmz., **260**, 273, *425*, 156
semirufum Ang. & Dmz., **341**, 352, *442*, 161
senile Ang. & Dmz., **285**, 306, *432*, 158
senoi Ang., **202**, 220, *414*, 152
separatum Ang., **196**, 216, *414*, 152
serratum Ang., **359**, 370, *446*, 162
sescentesimum Ang., **385**, 397, *451*, 164
sevokense Ang. & Dmz., **360**, 370, *446*, 162
shaanxiense Ang. & Švec, **182**, 186, *408*, 151
shennongjiaense Ang. & Cooter, **290**, 309, *432*, 158
shermathangense Ang. & Dmz., **383**, 395, *451*, 164
sherpa Ang. & Dmz., **387**, 398, *451*, 164
shillongense Ang. & Dmz., **200**, 219, *414*, 152
shimlense Ang. & Steph., **257**, 272, *425*, 156
siamense Ang., **213**, 227, *414*, 154
sichuanicum Ang. & Dmz., **189**, 190, *408*, 151
signatum Ang. & Dmz., **201**, 219, *414*, 152
sikh Ang. & Dmz., **248**, 252, *420*, 155
sikkimense Ang. & Dmz., **284**, 305, *433*, 157
silvarum Ang. & Dmz., **335**, 348, *442*, 160
silvestre Ang. & Dmz., **205**, 222, *414*, 153
simplex Ang., **264**, 276, *425*, 156
simulator Ang., **208**, 224, *415*, 153
simum Ang. & Dmz., **337**, 350, *442*, 161
singmaricum Ang. & Dmz., **382**, 395, *451*, 163
sinuatum Ang., **289**, 309, *433*, 158
siva Ang. & Dmz., **266**, 277, *425*, 157
smetanai Ang. & Dmz., **237**, 245, *419*, 155
smetanaicum Ang., **287**, 307, *433*, 158
solutum Ang. & Dmz., **357**, 368, *446*, 162
soror Ang. & Cooter, **386**, 397, *452*, 164
sparsum Ang. & Dmz., **296**, 313, *433*, 159
splendidulum Ang. & Dmz., **301**, 316, *433*, 159
subalpinum Ang. & Dmz., **263**, 275, *426*, 156
subnitidum Ang. & Dmz., **210**, 225, *415*, 153
subobscurum Ang. & Dmz., **202**, 220, *415*, 152
subopacum Ang. & Dmz., **233**, 242, *419*, 154
subsinuatum Ang., **301**, 316, *433*, 159

substriatum Ang. & Dmz., **234**, 243, *419*, 154
sudra Ang. & Dmz., **388**, 399, *452*, 164
sulawesicum Ang. & Cooter, **346**, 355, *438*, 162
sumatrense Ang. & Dmz., **366**, 374, *446*, 163
sveci Ang., **211**, 226, *415*, 153
swaticum Ang. & Dmz., **256**, 271, *426*, 156

T

taichungense Ang. & Dmz., **263**, 275, *426*, 156
taiwanense Ang. & Dmz., **366**, 374, *446*, 163
tardum Ang. & Dmz., **205**, 222, *415*, 153
tarokoense Ang. & Dmz., **190**, 191, *408*, 152
tarsale Ang., **385**, 397, *452*, 164
taru Ang. & Dmz., **339**, 351, *442*, 161
tenebricosum Ang. & Dmz., **294**, 312, *433*, 158
tenebroides Ang. & Dmz., **298**, 314, *433*, 159
tersum Ang. & Dmz., **368**, 375, *446*, 163
tessellatum Ang. & Dmz., **300**, 316, *433*, 159
testaceum Ang. & Dmz., **230**, 240, *419*, 154
thaii Ang., **201**, 219, *415*, 152
thochungense Ang. & Dmz., **236**, 244, *419*, 155
tianmuense Ang. & Cooter, **282**, 304, *433*, 157
tianmuoides Ang. & Cooter, **281**, 304, *433*, 157
tibiale Ang. & Dmz., **258**, 272, *426*, 156
tonkinense Ang. & Cooter, **367**, 375, *446*, 163
topali Ang. & Dmz., **365**, 373, *446*, 163
transversum Ang. & Dmz., **293**, 311, *434*, 158
tridentatum Ang. & Dmz., **296**, 313, *434*, 159
truncatum Ang., **384**, 397, *452*, 164
tschungi Ang., **264**, 276, *426*, 156

U

uliginosum Ang. & Švec, **248**, 252, *421*, 155
ultimum Ang. & Cooter, **386**, 397, *452*, 164
umbratum Ang. & Dmz., **299**, 315, *434*, 159
unicolorum Ang. & Dmz., **182**, 186, *408*, 151
uniforme Ang. & Dmz., **285**, 306, *434*, 157
unumvesciculatum Ang. & Dmz., **386**, 398, *452*, 164
urbanii Ang. & Dmz., **214**, 228, *415*, 154

V

vagum Ang. & Dmz., **208**, 224, *415*, 153
variabile Ang. & Dmz., **267**, 278, *426*, 157

varians Beck, gruppo, **176**, 176, *405*, 151
varuna Ang. & Dmz., **205**, 222, *415*, 153
venustum Ang. & Dmz., **364**, 373, *446*, 162
vestitum Ang. & Dmz., **192**, 192, *409*, 152
vile Ang. & Dmz., **231**, 241, *419*, 154
visnu Ang. & Dmz., **250**, 254, *421*, 155
vulneratum Ang. & Dmz., **338**, 350, *442*, 161

W

wallacei Ang. & Cooter, **330**, 334, *437*, 160
wangi Ang. & Cooter, **361**, 371, *447*, 162
wangianum Ang., **171**, 173, *405*, 151
wannianicum Ang., **289**, 309, *434*, 158
watrousi Ang., **201**, 220, *415*, 152
wheeleri Ang., **201**, 220, *415*, 152
wittmeri Ang. & Dmz., **283**, 305, *434*, 157
wutangshanense Ang., **172**, 174, *405*, 151
wuyishanicum Ang. & Cooter, **367**, 375, *447*, 163

X

xerampelinum Ang. & Dmz., **328**, 333, *437*, 160
xianggangense Ang. & Cooter, **285**, 306, *434*, 157
xilingense Ang., **367**, 375, *447*, 163

Y

yaanense Ang., **341**, 352, *442*, 161
yamputhinense Ang. & Dmz., **343**, 353, *442*, 161
yeti Ang. & Dmz., **197**, 217, *415*, 152
yunnanicum Ang. & Švec, **291**, 310, *434*, 158
yushanicum Ang. & Dmz., **171**, 173, *405*, 151

Z

zdeneki Ang., **288**, 308, *434*, 158
zhoui Ang. & Cooter, **189**, 191, *408*, 152
zijinense Ang. & Cooter, **256**, 271, *426*, 156

Fig. 1 - Numero di specie di *Agathidium* presenti nelle varie nazioni e isole della regione orientale.

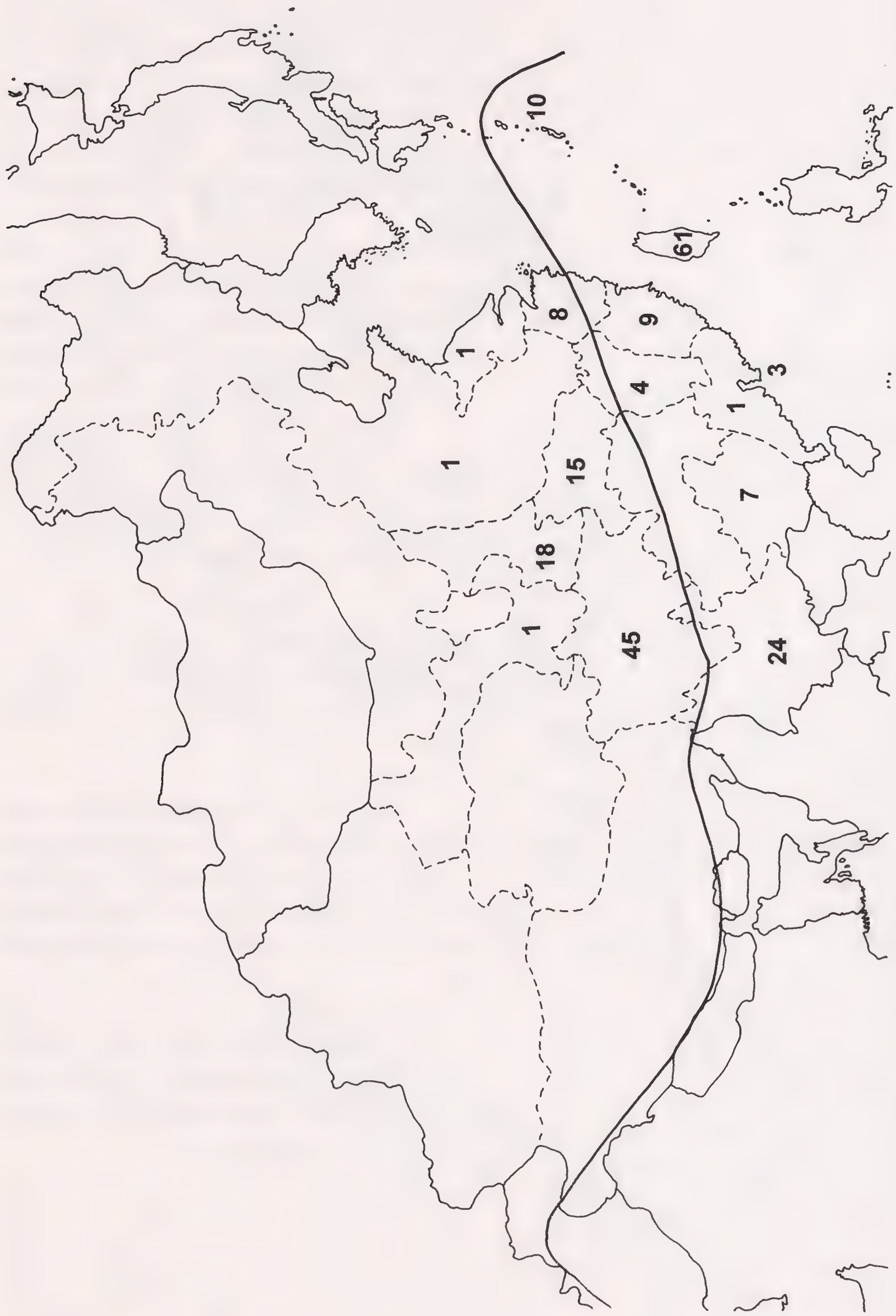

Fig. 2 - Numero di specie di *Agathidium* presenti nelle varie province o regioni della Cina.

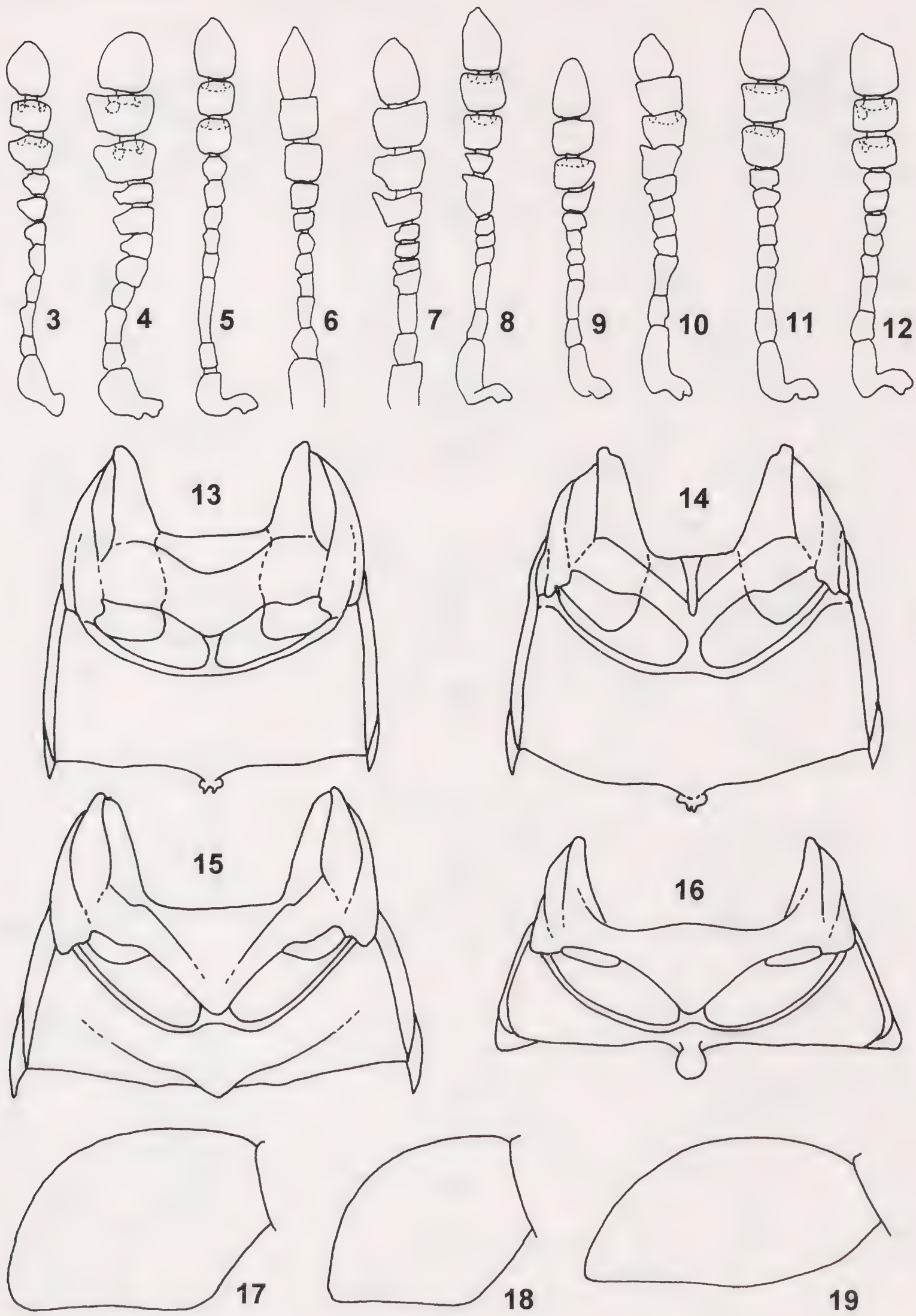

Figg. 3-19 - Antenna di: 3, *Agathidium* (*Cyphoceble*) *glabrum* Ang. & Dmz.; 4, *A.* (*Neoceble*) *bonzi* Ang. & Dmz.; 5, *A.* (*Agathidium*) *querceum* Ang. & Dmz.; 6, *A.* (*Euryceble*) *acridulum* Ang.; 7, *A.* (*E.*) *leytense* Ang.; 8, *A.* (*Microceble*) *taru* Ang. & Dmz.; 9, *A.* (*M.*) *modiglianii* Ang.; 10, *A.* (*M.*) *cooteri* Ang. & Dmz.; 11, *A.* (*M.*) *darbyi sulawesicum* Ang. & Cooter; 12, *A.* (*Macroceble*) *jaccoudi* Ang. & Dmz. Meso- e metasterno di: 13, *A.* (*Cyphoceble*) *glabrum* Ang. & Dmz.; 14, *A.* (*Neoceble*) *pseudoconfusum* Ang. & Dmz.; 15, *A.* (*Agathidium*) *laevigatum laevigatum* Er.; 16, *A.* (*Macroceble*) *brancuccii* Ang. & Dmz. Elitre in visione laterale di: 17, *A.* (*Cyphoceble*) *glabrum* Ang. & Dmz.; 18, *A.* (*Neoceble*) *pseudoconfusum* Ang. & Dmz.; 19, *A.* (*Agathidium*) *alatum alatum* Ang. & Dmz.

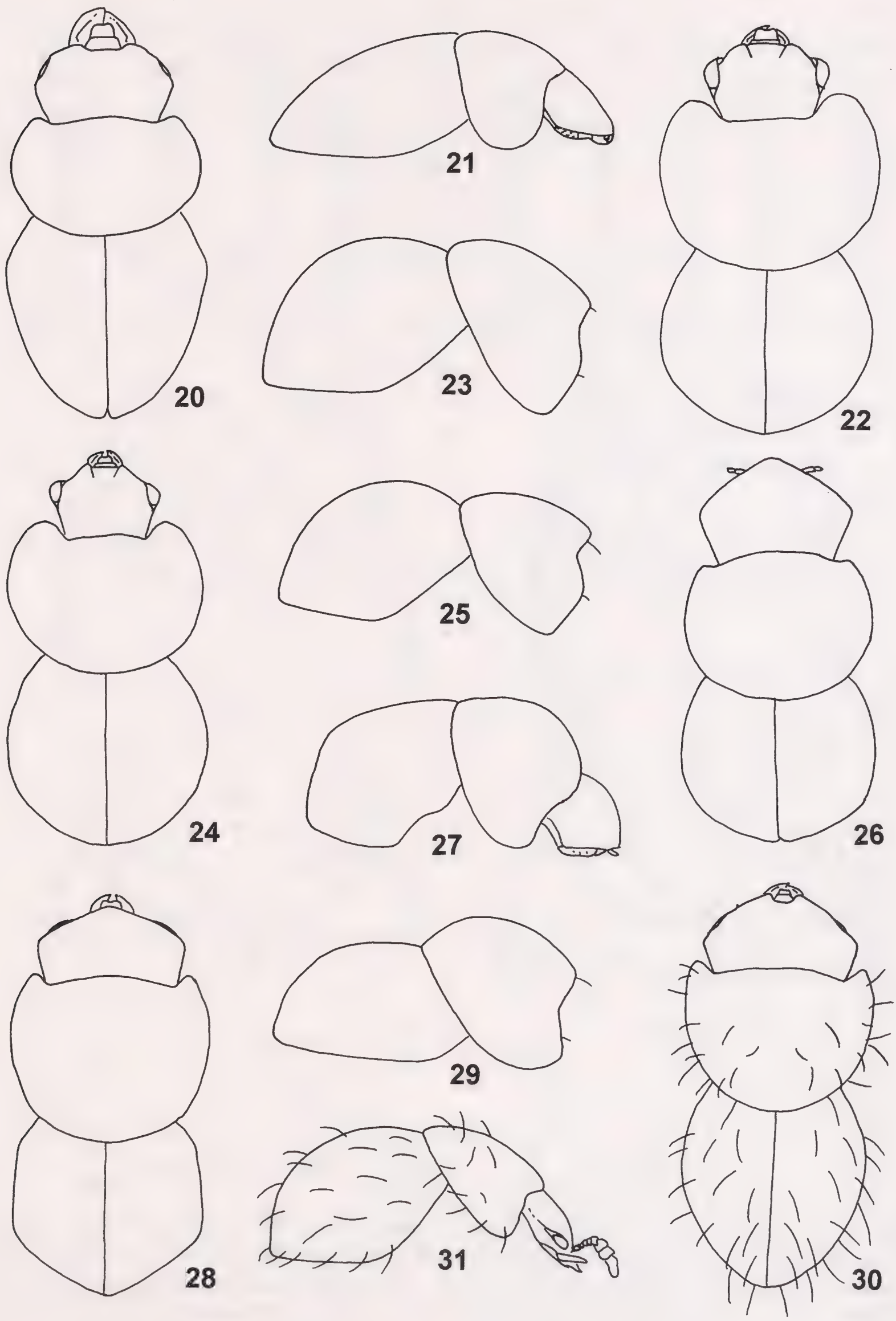

Figg. 20-31 - Habitus (visione dorsale e laterale) di: 20-21, *Agathidium (Agathidium) shimlense* Ang. & Steph.; 22-23, *A.* (*Euryceble*) *acridulum* Ang.; 24-25, *A.* (*Microceble*) *cooteri* Ang. & Dmz.; 26-27, *A.* (*Macroceble*) *pseudoscutellare* Ang.; 28-29, *A.* (*Macr.*) *scutellare* Ang. & Dmz.; 30-31, *A.* (*Macr.*) *pilosellum* Ang. & Dmz.

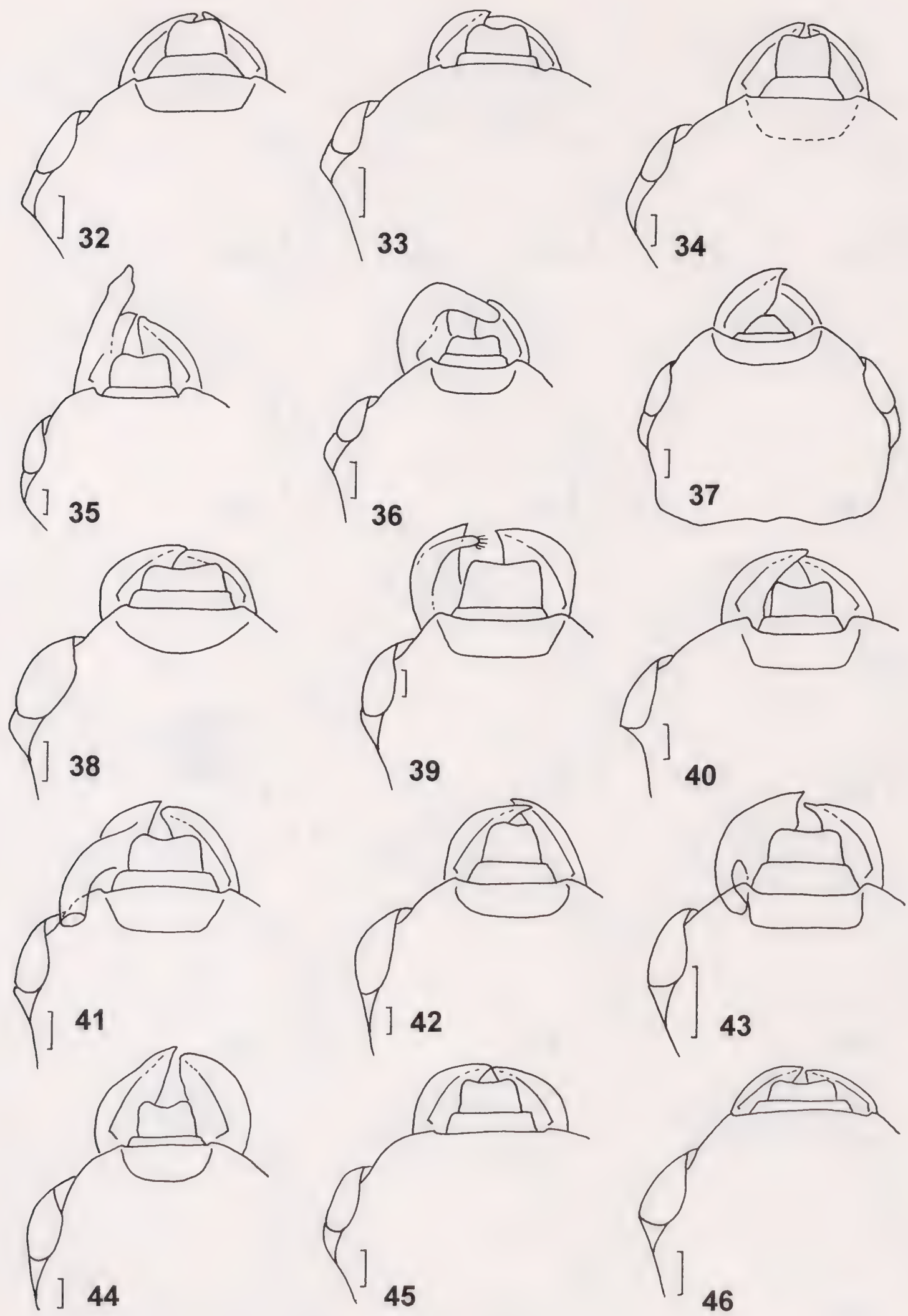

Figg. 32-46 - Capo (visione dorsale) di: 32, *Agathidium* (*Cyphoceble*) *yushanicum* Ang. & Dmz.; 33, *A.* (*C.*) *wangianum* Ang.; 34, *A.* (*C.*) *inquisitor* Ang. & Dmz.; 35, *A.* (*C.*) *aeneonigrum* Ang.; 36, *A.* (*C.*) *wutangshanense* Ang.; 37, *A.* (*C.*) *glabrum* Ang. & Dmz.; 38, *A.* (*Neoceble*) *daxuense* Ang. & Švec; 39, *A.* (*N.*) *dundai* Ang. & Švec; 40, *A.* (*N.*) *nigrocastaneum* Ang. & Dmz.; 41, *A.* (*N.*) *shaanxiense* Ang. & Švec; 42, *A.* (*N.*) *praeustum* Ang. & Dmz.; 43, *A.* (*N.*) *brunnipes* Ang. & Švec; 44, *A.* (*N.*) *semicastaneum* Ang.; 45, *A.* (*N.*) *sichuanicum* Ang. & Dmz.; 46, *A.* (*N.*) *abbreviatum* Ang. Scala: 0,1 mm.

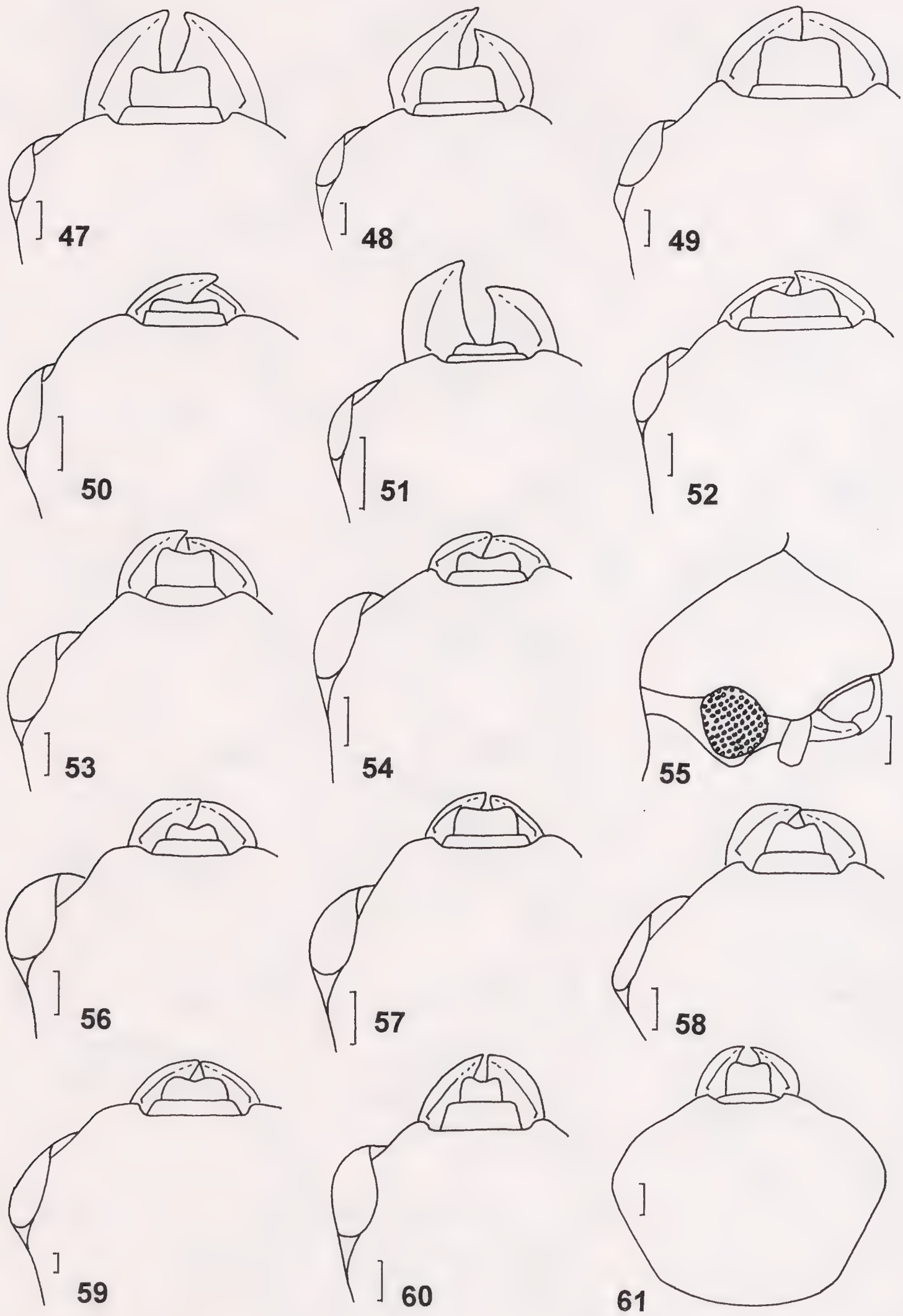

Figg. 47-61 - Capo (visione dorsale) di: 47, *Agathidium* (*Neoceble*) *vestitum* Ang. & Dmz.; 48, *A.* (*N.*) *rufomarginatum* Ang. & Dmz.; 49, *A.* (*Agathidium*) *alatum heishuiense* Ang. & Švec; 50, *A.* (*A.*) *pedemontanum* Ang. & Dmz.; 51, *A.* (*A.*) *gratiosum* Ang. & Švec; 52, *A.* (*A.*) *occultum* Ang. & Dmz.; 53, *A.* (*A.*) *thaii* Ang.; 54-55, *A.* (*A.*) *watrousi* Ang. (visione dorsale e laterale); 56, *A.* (*A.*) *pecki* Ang. ; 57, *A.* (*A.*) *plumbeum* Ang.; 58, *A.* (*A.*) *lijiangense* Ang.; 59, *A.* (*A.*) *giganteum* Ang. & Švec; 60, *A.* (*A.*) *lewisi* Ang.; 61, *A.* (*A.*) *pinorum* Ang. & Dmz. Scala: 0,1 mm.

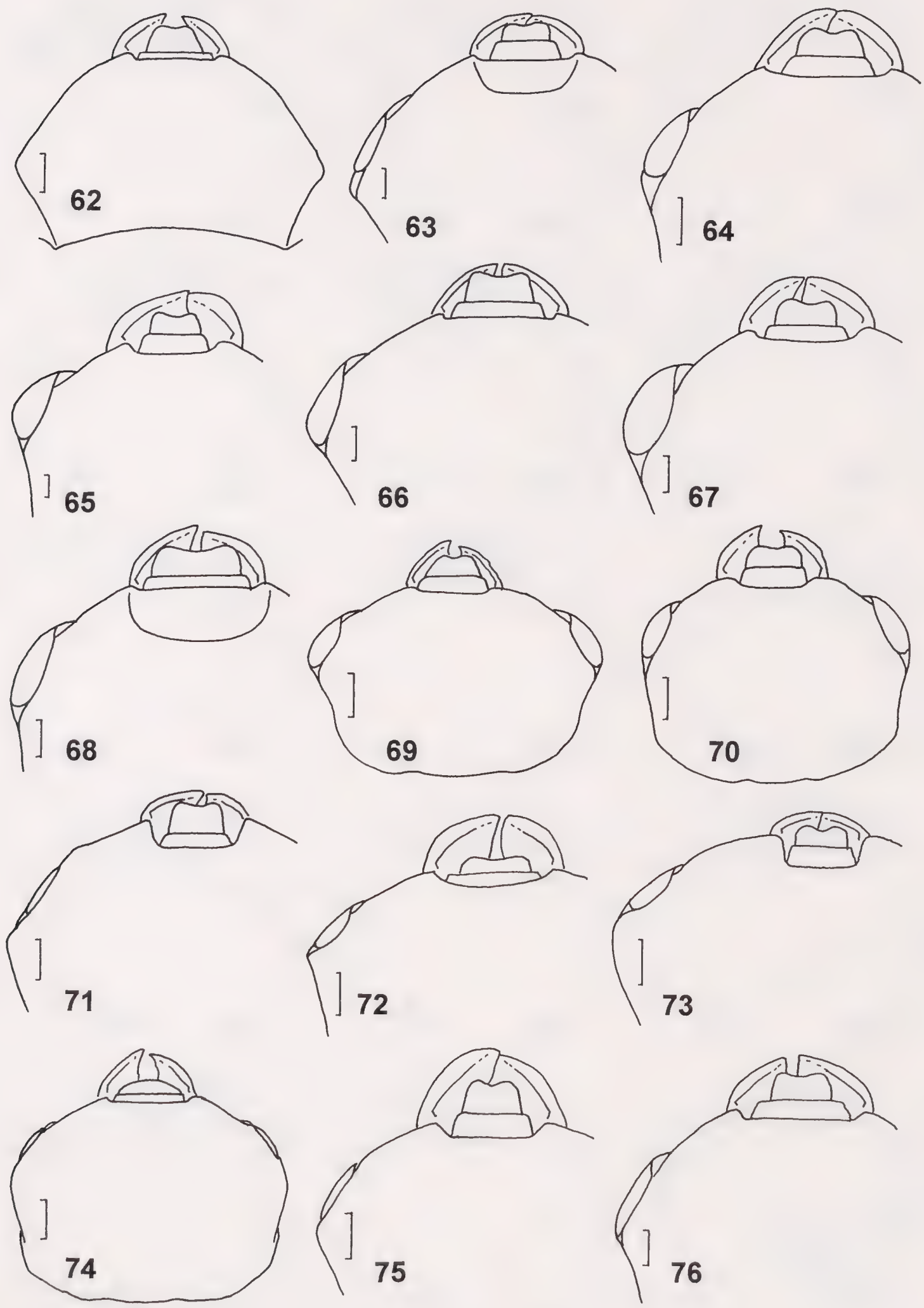

Figg. 62-76 - Capo (visione dorsale) di: 62, *Agathidium* (*Agathidium*) *vile* Ang. & Dmz.; 63, *A.* (*A.*) *jatanai* Ang. & Švec; 64, *A.* (*A.*) *mequignoni* Roubal (da Angelini, 1995); 65, *A.* (*A.*) *jendeki* Ang. & Švec; 66, *A.* (*A.*) *ineptum* Ang. & Dmz.; 67, *A.* (*A.*) *amamiense* Hoshina (originale); 68, *A.* (*A.*) *uliginosum* Ang. & Švec; 69, *A.* (*A.*) *kashmirense* Ang. & Dmz.; 70, *A.* (*A.*) *hamanni* Ang. & Dmz.; 71, *A.* (*A.*) *celatum* Ang. & Dmz.; 72, *A.* (*A.*) *michaeli* Ang.; 73, *A.* (*A.*) *zijinense* Ang. & Cooter; 74, *A.* (*A.*) *minutissimum* Ang. & Dmz.; 75, *A.* (*A.*) *shimlense* Ang. & Steph.; 76, *A.* (*A.*) *armatum* Ang. Scala: 0,1 mm.

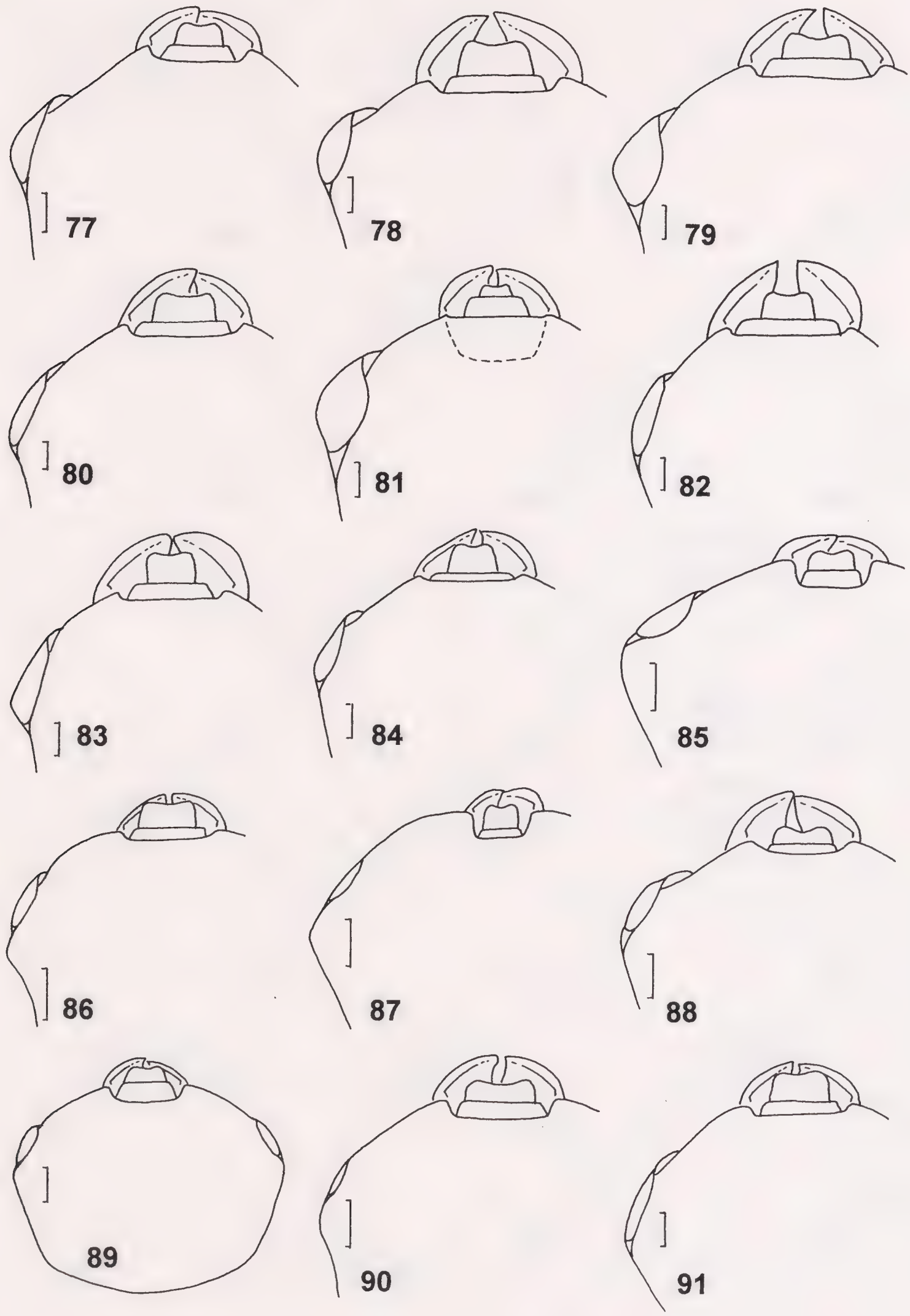

Figg. 77-91 - Capo (visione dorsale) di: 77, *Agathidium* (*Agathidium*) *subalpinum* Ang. & Dmz.; 78, *A.* (*A.*) *garrattii* Ang. & Cooter; 79, *A.* (*A.*) *simplex* Ang.; 80, *A.* (*A.*) *gonggaense* Ang. & Dmz.; 81, *A.* (*A.*) *nigerrimum* Ang.; 82, *A.* (*A.*) *jaechi* Ang.; 83, *A.* (*A.*) *rubiginosum* Ang.; 84, *A.* (*A.*) *rusticanum* Ang. & Dmz.; 85, *A.* (*A.*) *tianmuoides* Ang. & Cooter; 86, *A.* (*A.*) *aikanae* Hoshina (originale); 87, *A.* (*A.*) *jiuchongense* Ang. & Cooter; 88, *A.* (*A.*) *pseudotibiale* Ang. & Dmz.; 89, *A.* (*A.*) *macrotibiale* Ang. & Dmz.; 90, *A.* (*A.*) *curtum* Ang. & Dmz.; 91, *A.* (*A.*) *deoralicum* Ang. & Dmz. Scala: 0,1 mm.

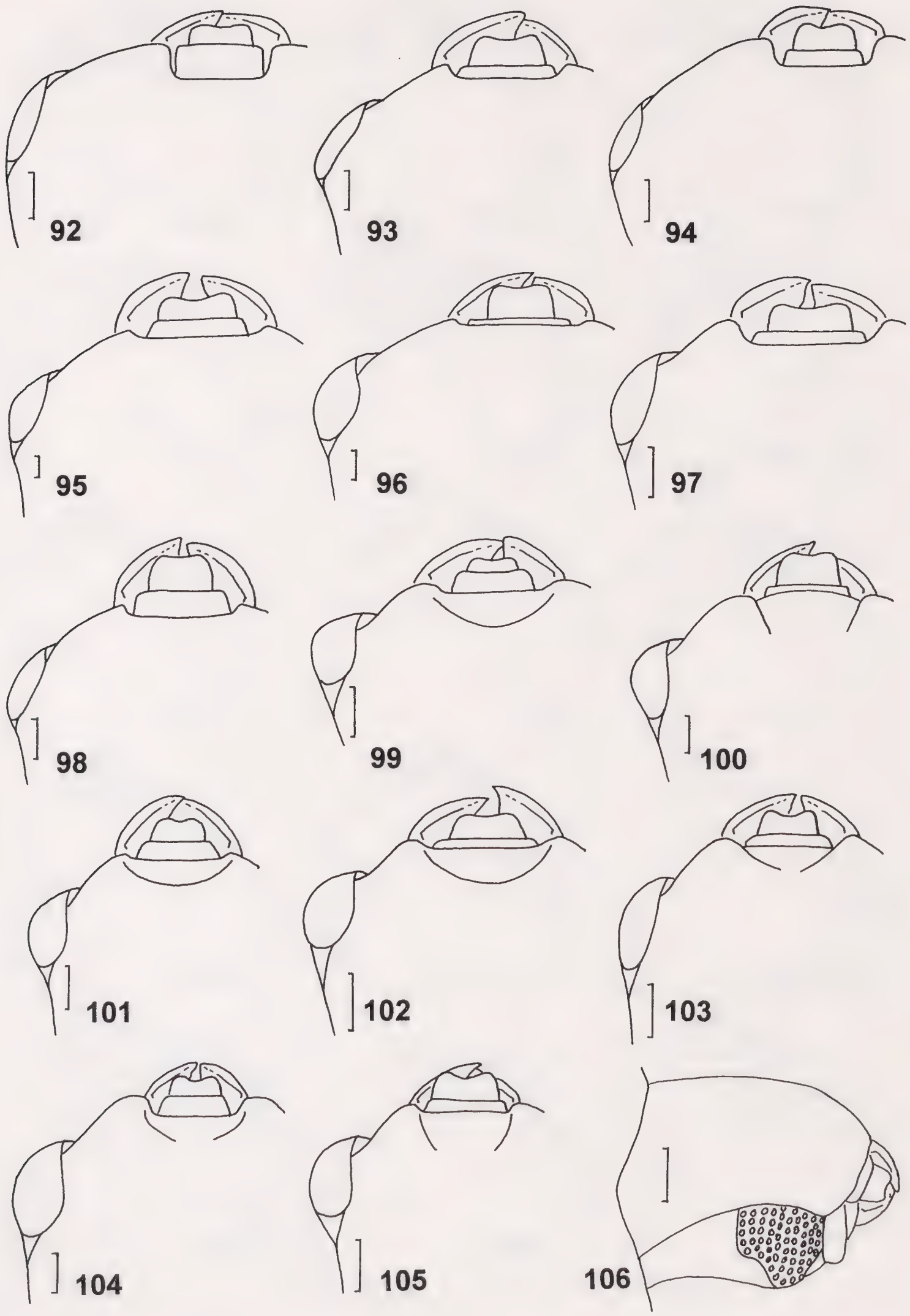

Figg. 92-106 - Capo (visione dorsale) di: 92, *Agathidium* (*Agathidium*) *xianggangense* Ang. & Cooter; 93, *A.* (*A.*) *huaense* Ang. & Dmz.; 94, *A.* (*A.*) *gutianense* Ang. & Cooter; 95, *A.* (*A.*) *inerme* Ang. & Dmz.; 96, *A.* (*A.*) *grandicolle* Ang.; 97, *A.* (*A.*) *bowringi* Ang. & Cooter; 98, *A.* (*A.*) *acutum* Ang.; 99, *A.* (*Euryceble*) *capito* Ang.; 100, *A.* (*E.*) *acridulum* Ang.; 101, *A.* (*Microceble*) *kuchingense* Ang.; 102, *A.* (*Micr.*) *sabahense* Ang. & Dmz.; 103, *A.* (*Micr.*) *xerampelinum* Ang. & Dmz.; 104, *A.* (*Micr.*) *semiarcuatum* Ang.; 105-106, *A.* (*Micr.*) *pahangense* Ang. (visione dorsale e laterale). Scala: 0,1 mm.

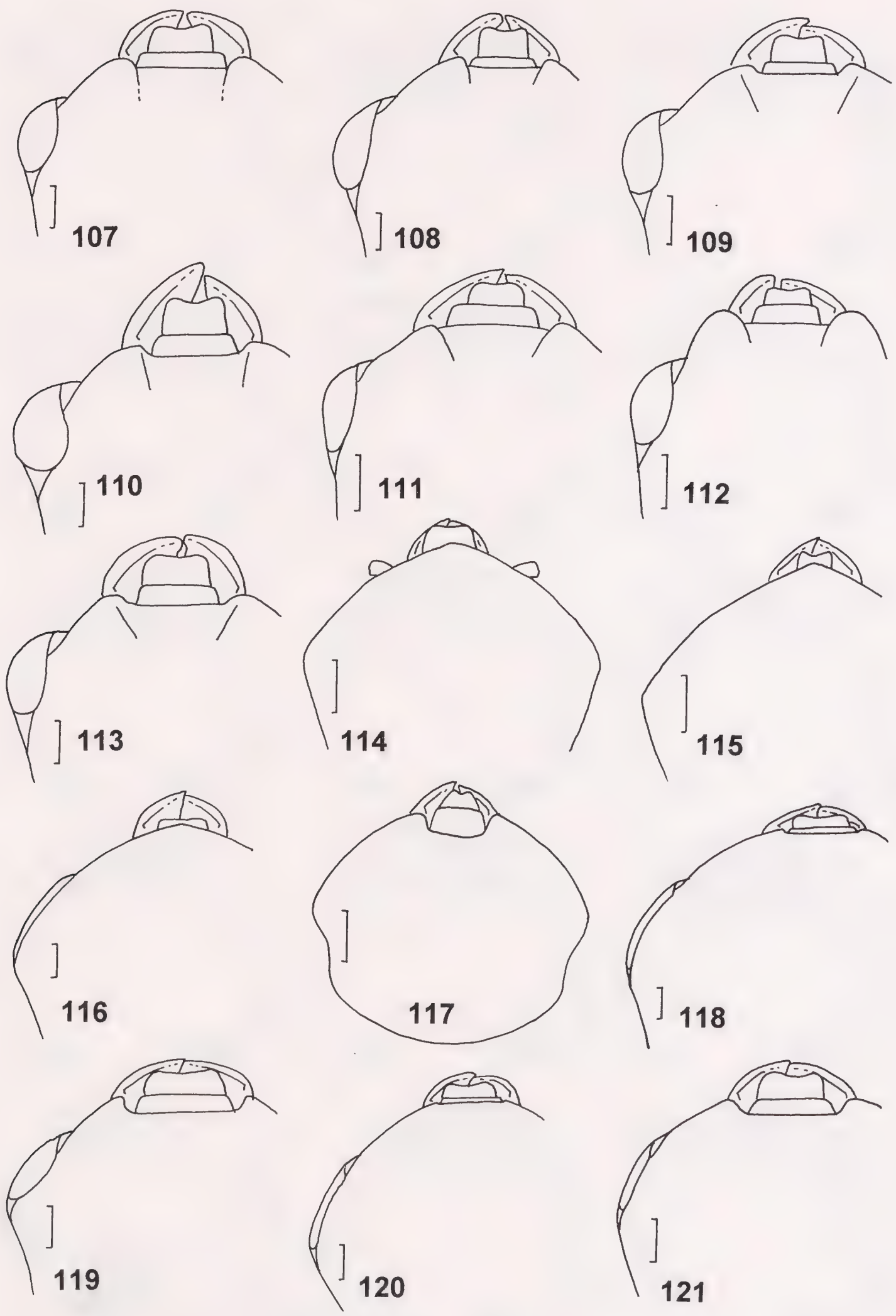

Figg. 107-121 - Capo (visione dorsale) di: 107, *Agathidium* (*Microceble*) *corticinum* Ang. & Dmz.; 108, *A.* (*Micr.*) *poggii* Ang.; 109, *A.* (*Micr.*) *amictum* Ang. & Dmz.; 110, *A.* (*Micr.*) *farkaci* Ang.; 111, *A.* (*Micr.*) *globulosum* Hlisn. (originale); 112, *A.* (*Micr.*) *filiforme* Ang.; 113, *A.* (*Micr.*) *venustum* Ang. & Dmz.; 114, *A.* (*Macroceble*) *pseudoscutellare* Ang.; 115, *A.* (*Macr.*) *ivani* Ang.; 116, *A.* (*Macr.*) *cameronicum* Ang. & Dmz.; 117, *A.* (*Macr.*) *anophthalmicum* Ang. & Dmz.; 118, *A.* (*Macr.*) *distinctum* Ang. & Dmz.; 119, *A.* (*Macr.*) *hlavaci* Ang. & Cooter; 120, *A.* (*Macr.*) *aterrimum* Ang. & Dmz.; 121, *A.* (*Macr.*) *amoenum* Ang. & Dmz. Scala: 0,1 mm.

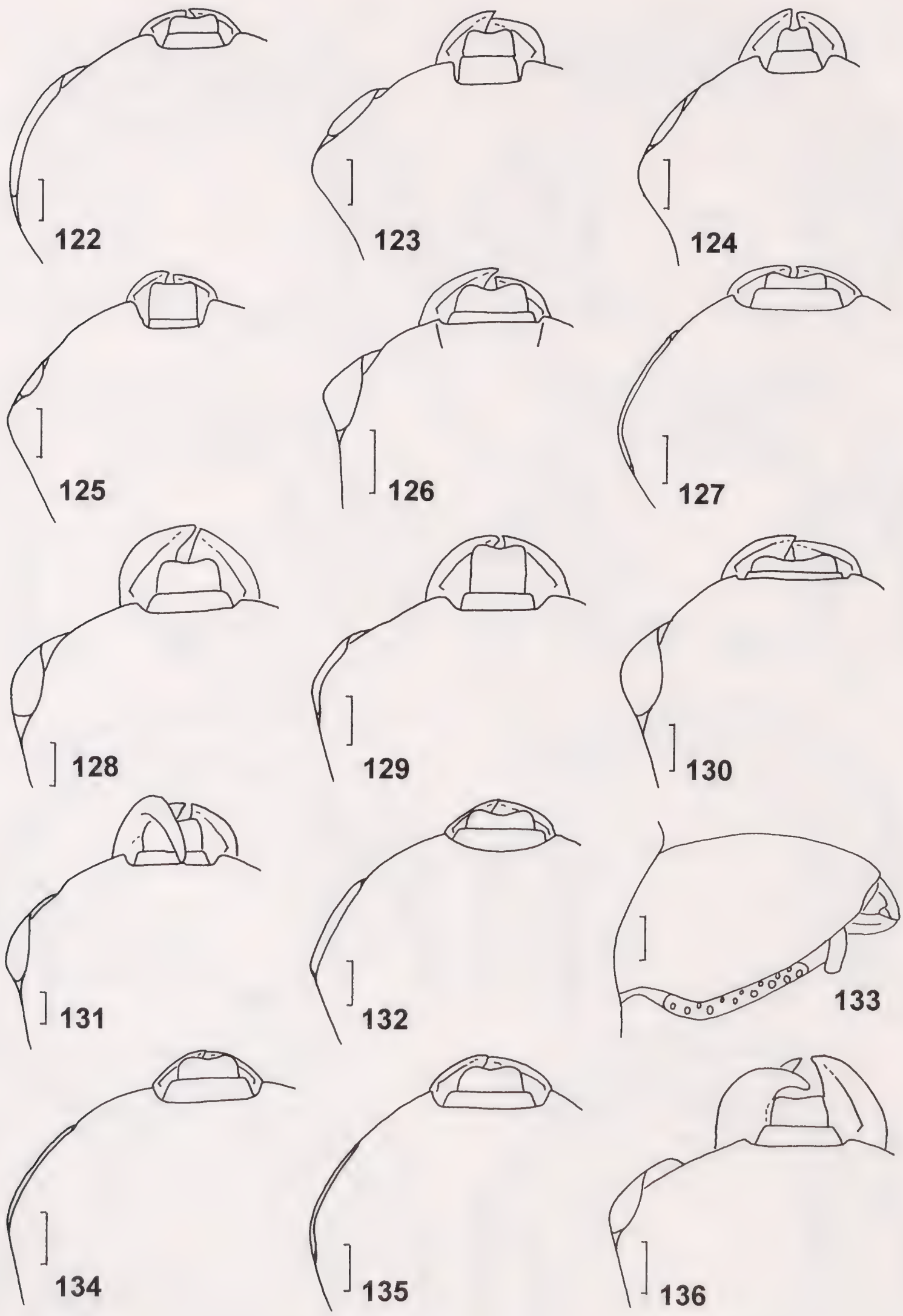

Figg. 122-136 - Capo (visione dorsale) di: 122, *A.* (*Macroceble*) *selangoricum* Ang. & Dmz.; 123, *A.* (*Macr.*) *nanum* Ang.; 124, *A.* (*Macr.*) *dongnanense* Ang. & Cooter; 125, *A.* (*Macr.*) *penultimum* Ang. & Cooter; 126, *A.* (*Macr.*) *newtoni* Ang.; 127, *A.* (*Macr.*) *inopinatum* Ang.; 128, *A.* (*Macr.*) *macrocephalum* Ang.; 129, *A.* (*Macr.*) *tarsale* Ang.; 130, *A.* (*Macr.*) *soror* Ang. & Cooter; 131, *A.* (*Macr.*) *fulcratum* Ang. & Dmz.; 132-133, *A.* (*Macr.*) *rougemonti* Ang. (visione dorsale e laterale); 134, *A.* (*Macr.*) *cuccodoroi* Ang.; 135, *A.* (*Macr.*) *peninsulare* Ang.; 136, *A.* (*Macr.*) *kurbatovianum* Ang. Scala: 0,1 mm.

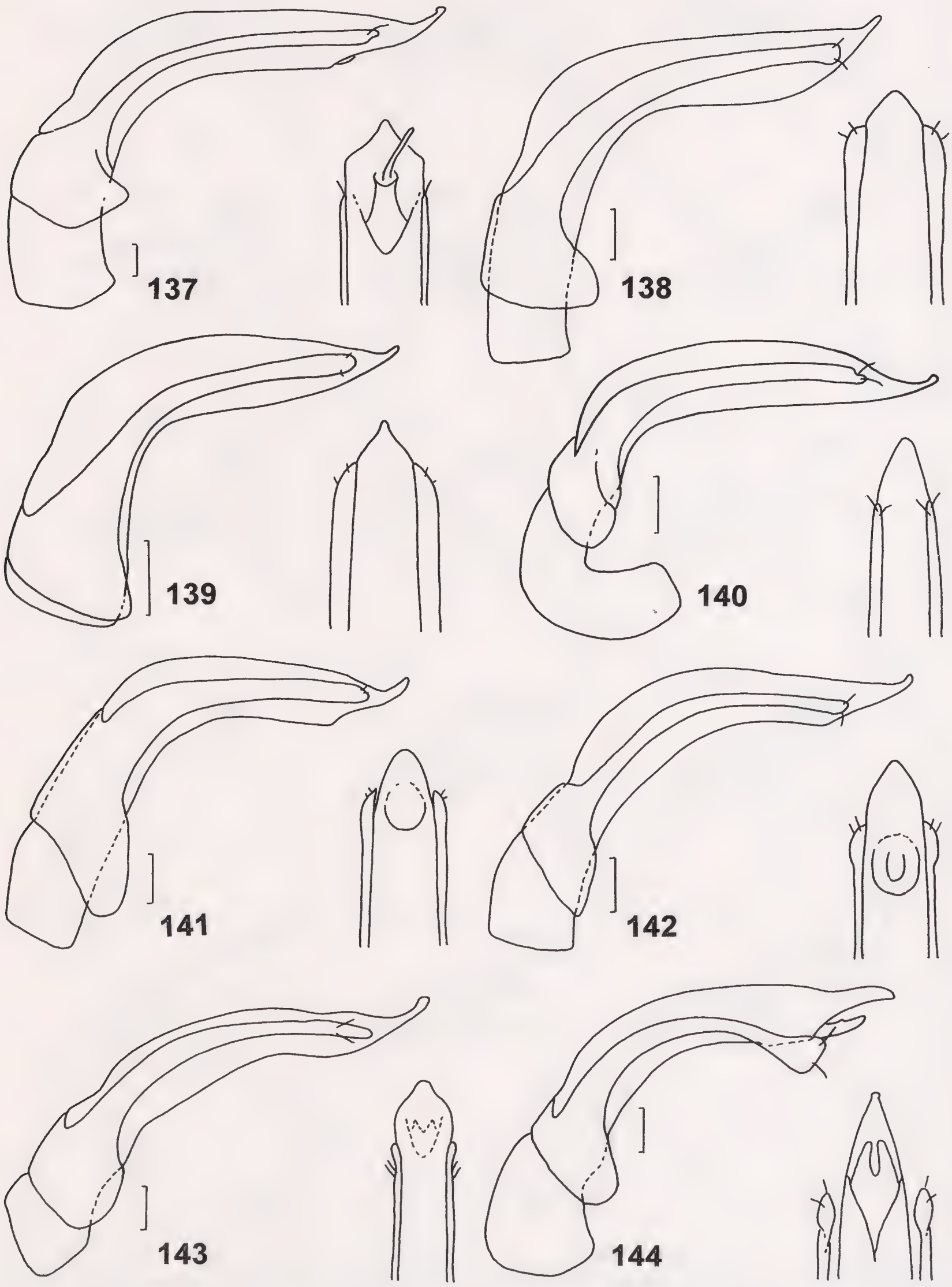

Figg. 137-144 - Edeago (visione laterale, ventrale o dorsale) di: 137, *Agathidium* (*Cyphoceble*) *yushanicum* Ang. & Dmz.; 138, *A.* (*C.*) *aeneonigrum* Ang.; 139, *A.* (*C.*) *wutangshanense* Ang.; 140, *A.* (*C.*) *geniculatum* Ang. & Dmz.; 141, *A.* (*C.*) *glabrum* Ang. & Dmz.; 142, *A.* (*Neoceble*) *daxuense* Ang. & Švec; 143, *A.* (*N.*) *dundai* Ang. & Švec; 144, *A.* (*N.*) *longicorne* Port. (da Angelini & De Marzo, 1990). Scala: 0,1 mm.

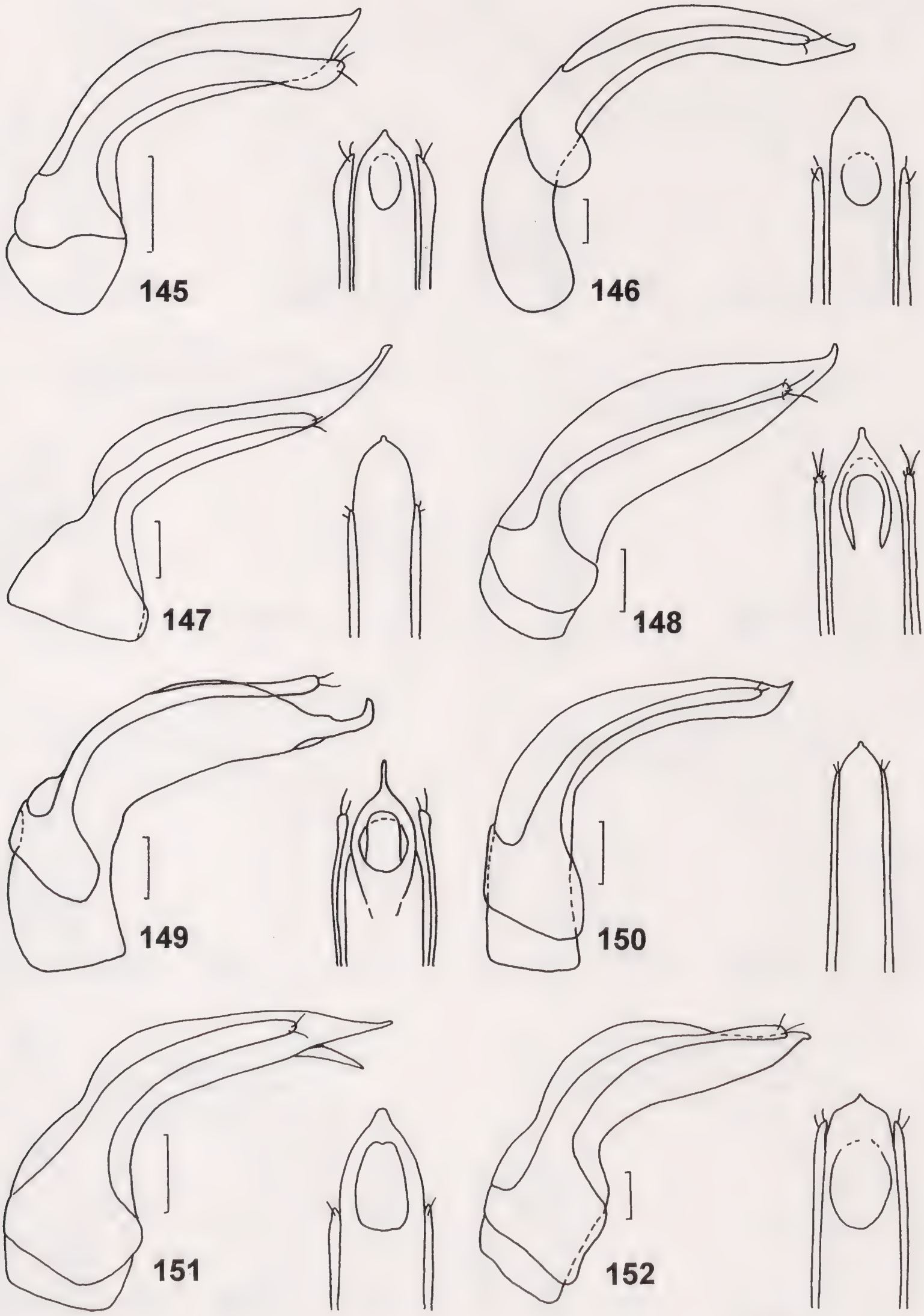

Figg. 145-152 - Edeago (visione laterale, ventrale o dorsale) di: 145, *Agathidium* (*Neoceble*) *coloratum* Ang. & Dmz.; 146, *A.* (*N.*) *cribratum* Port. (da Angelini & De Marzo, 1990); 147, *A.* (*N.*) *mingchiense* Ang.; 148, *A.* (*N.*) *kumaonicum* Ang. & Dmz.; 149, *A.* (*N.*) *kyotoense* Ang. & Dmz. (da Angelini & De Marzo, 1990); 150, *A.* (*N.*) *kandingense* Ang.; 151, *A.* (*N.*) *nigrocastaneum* Ang. & Dmz.; 152, *A.* (*N.*) *unicolorum* Ang. & Dmz. Scala: 0,1 mm.

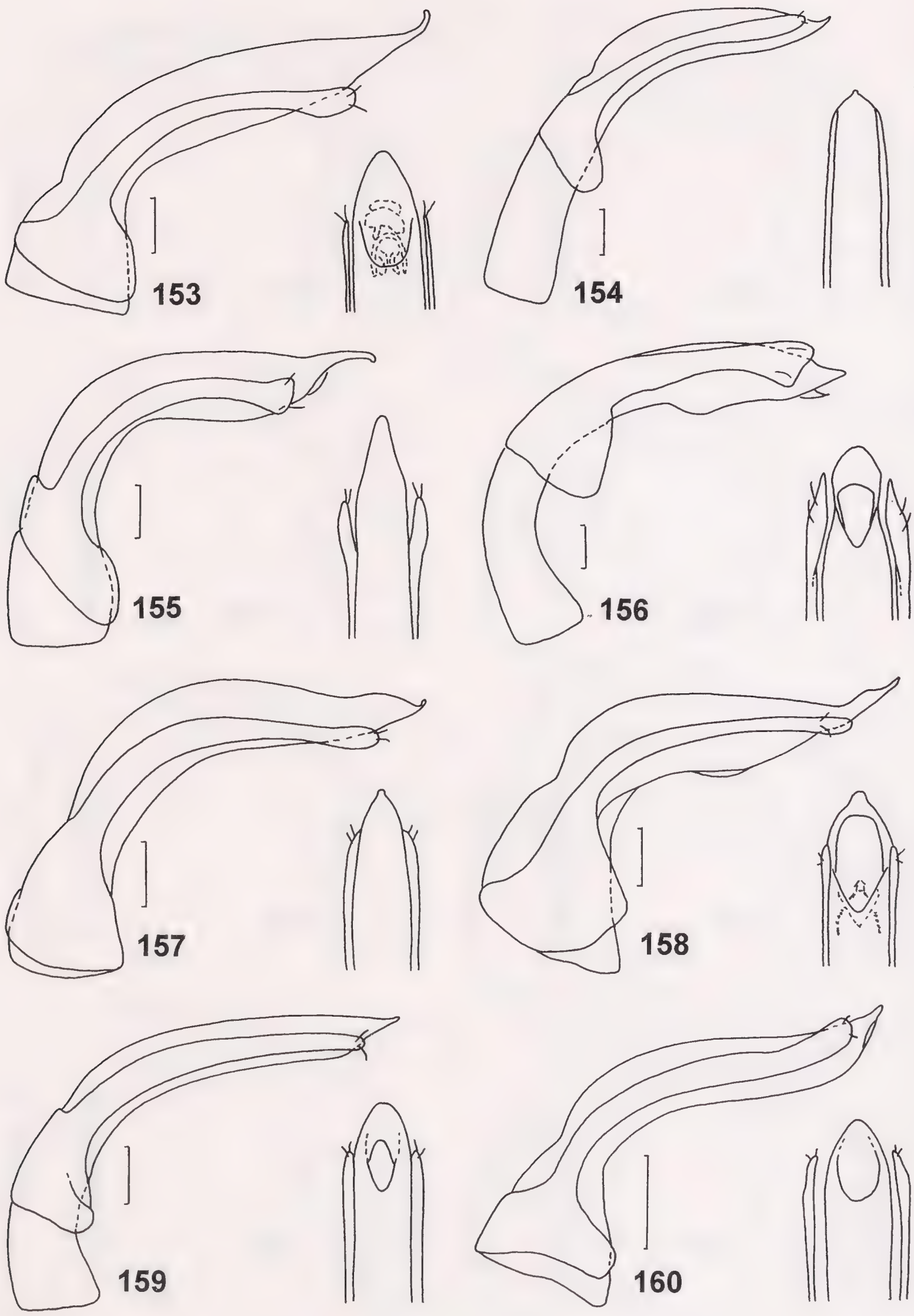

Figg. 153-160 - Edeago (visione laterale, ventrale o dorsale) di: 153, *Agathidium* (*Neoceble*) *shaanxiense* Ang. & Švec; 154, *A.* (*N.*) *angulatum* Ang. (da Angelini & Švec, 2002); 155, *A.* (*N.*) *fuscatum* Ang.; 156, *A.* (*N.*) *bonzi* Ang. & Dmz.; 157, *A.* (*N.*) *jonathani* Ang.; 158, *A.* (*N.*) *brunnipes* Ang. & Švec; 159, *A.* (*N.*) *confusum* Bris. (da Angelini, 1995); 160, *A.* (*N.*) *pseudoconfusum* Ang. & Dmz. Scala: 0,1 mm.

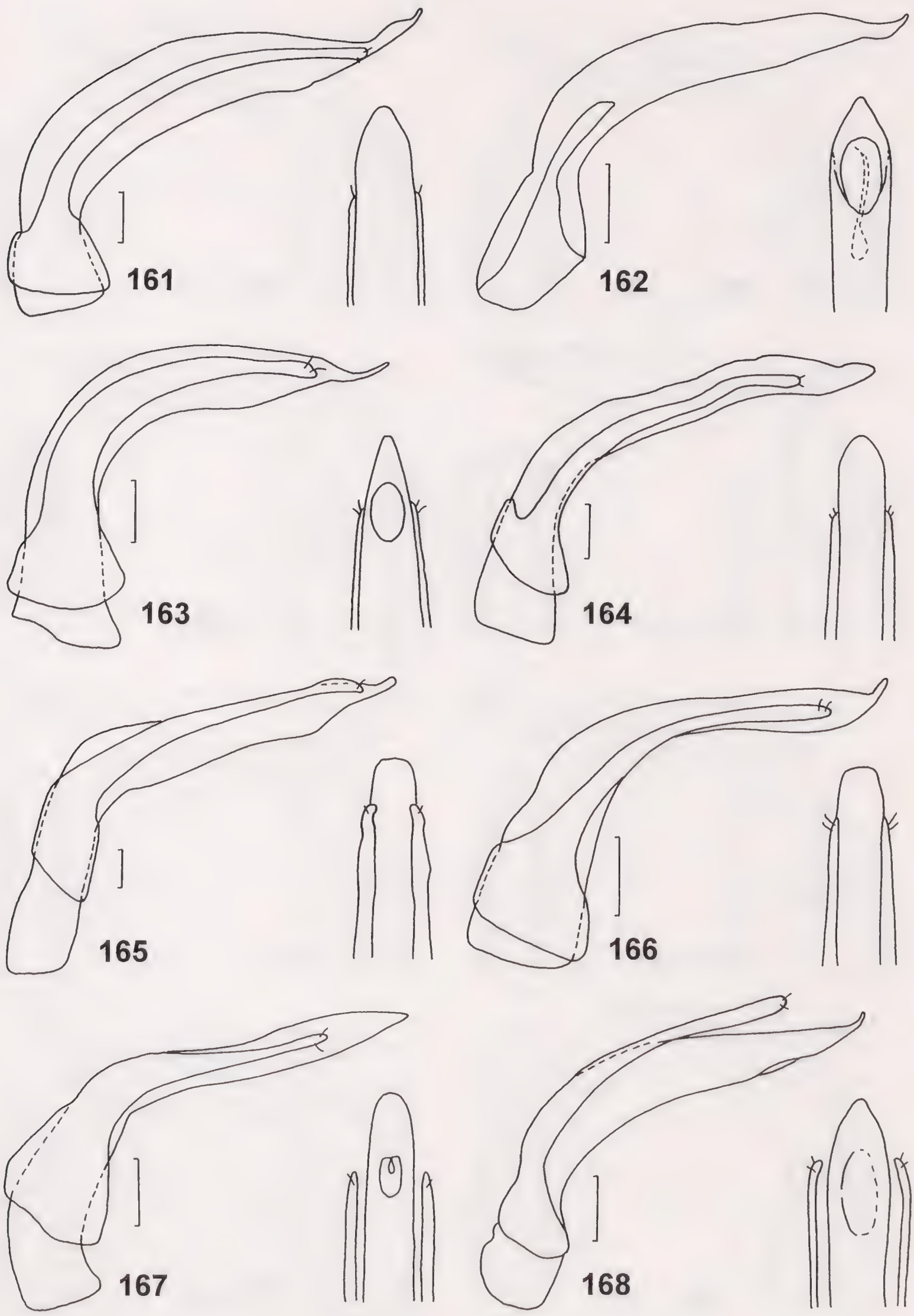

Figg. 161-168 - Edeago (visione laterale, dorsale o ventrale) di: 161, *Agathidium* (*Neoceble*) *semicastaneum* Ang.; 162, *A.* (*N.*) *oculatum* Ang. & Dmz.; 163, *A.* (*N.*) *sichuanicum* Ang. & Dmz.; 164, *A.* (*N.*) *abbreviatum* Ang.; 165, *A.* (*N.*) *kunmingense* Ang.; 166, *A.* (*N.*) *zhoui* Ang. & Cooter; 167, *A.* (*N.*) *tarokoense* Ang. & Dmz.; 168, *A.* (*N.*) *vestitum* Ang. & Dmz. Scala: 0,1 mm.

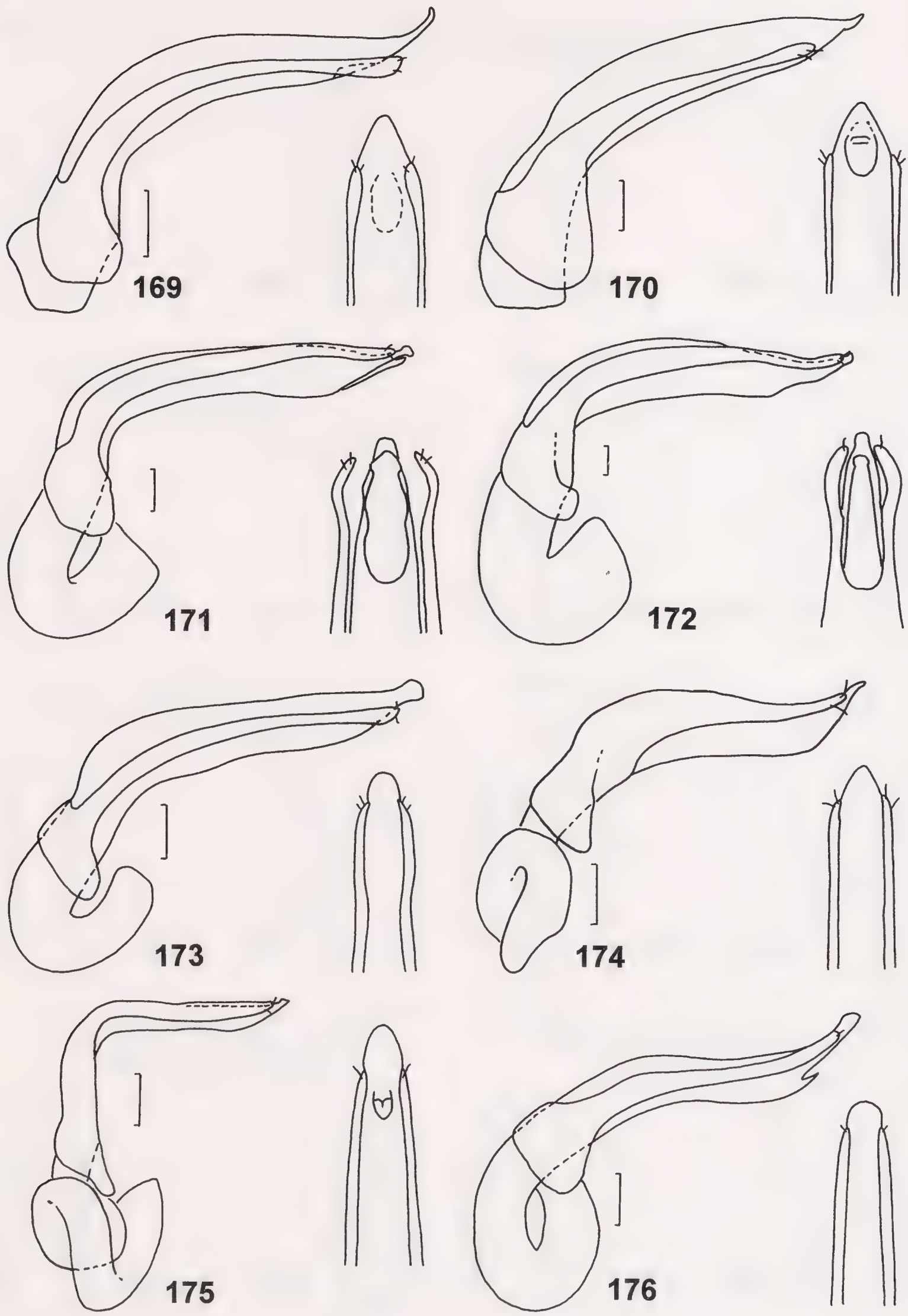

Figg. 169-176 - Edeago (visione laterale, ventrale o dorsale) di: 169, *Agathidium* (*Neoceble*) *rufomarginatum* Ang. & Dmz.; 170, *A.* (*N.*) *dardi* Ang. & Dmz.; 171, *A.* (*Agathidium*) *alatum alatum* Ang. & Dmz.; 172, *A.* (*A.*) *alatum heishuiense* Ang. & Švec; 173, *A.* (*A.*) *separatum* Ang. (originale); 174, *A.* (*A.*) *pedemontanum* Ang. & Dmz.; 175, *A.* (*A.*) *yeti* Ang. & Dmz.; 176, *A.* (*A.*) *krali* Ang. & Švec. Scala: 0,1 mm.

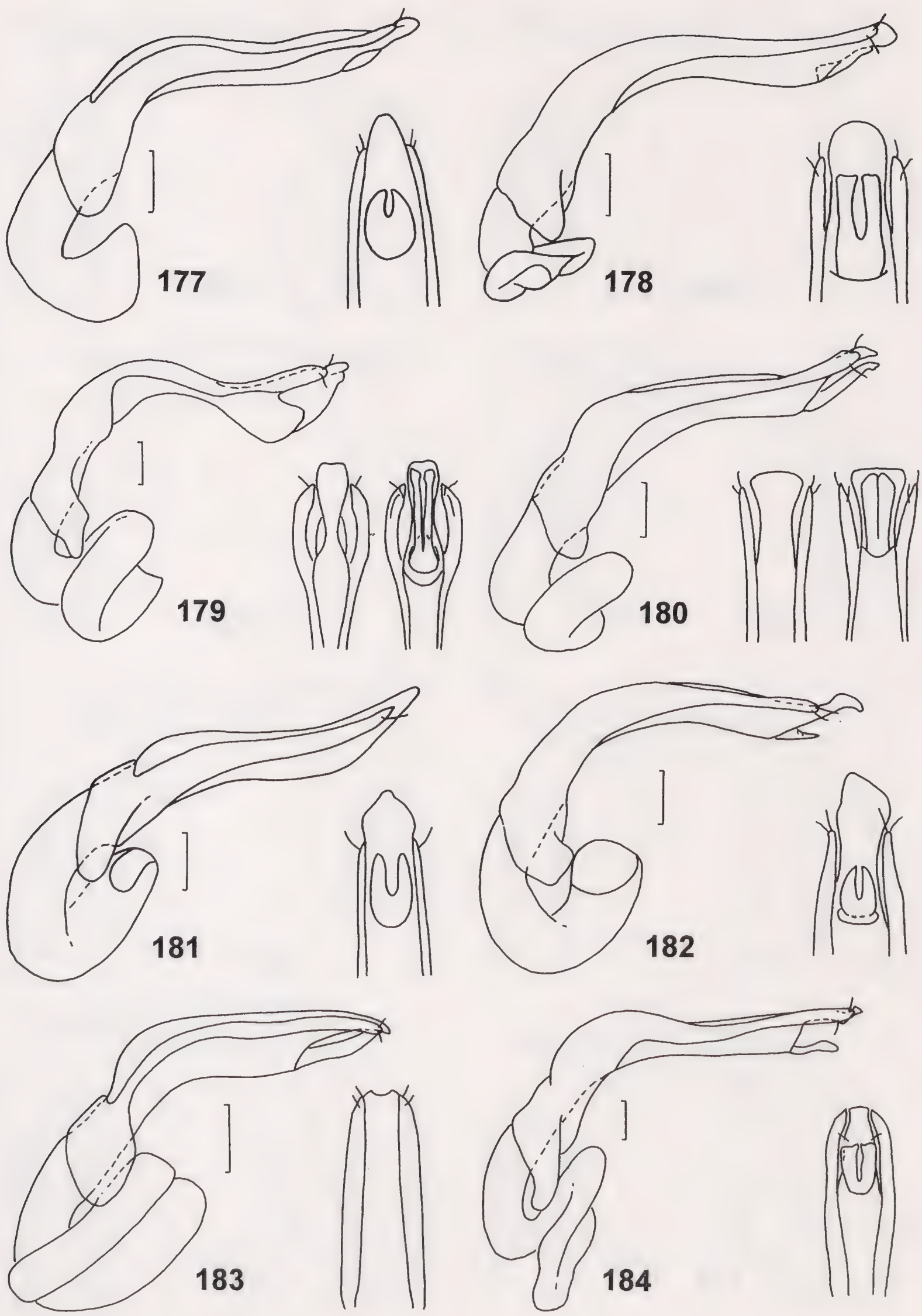

Figg. 177-184 - Edeago (visione laterale, dorsale e/o ventrale) di: 177, *Agathidium* (*Agathidium*) *kejvali* Ang. & Švec; 178, *A.* (*A.*) *luctuosum* Ang. & Dmz.; 179, *A.* (*A.*) *formosum* Ang. & Dmz.; 180, *A.* (*A.*) *inelegans* Ang.; 181, *A.* (*A.*) *becvari* Ang. & Švec; 182, *A.* (*A.*) *familiare* Ang. & Dmz.; 183, *A.* (*A.*) *keralaense* Ang.; 184, *A.* (*A.*) *pseudomadurense* Ang. & Dmz. Scala: 0,1 mm.

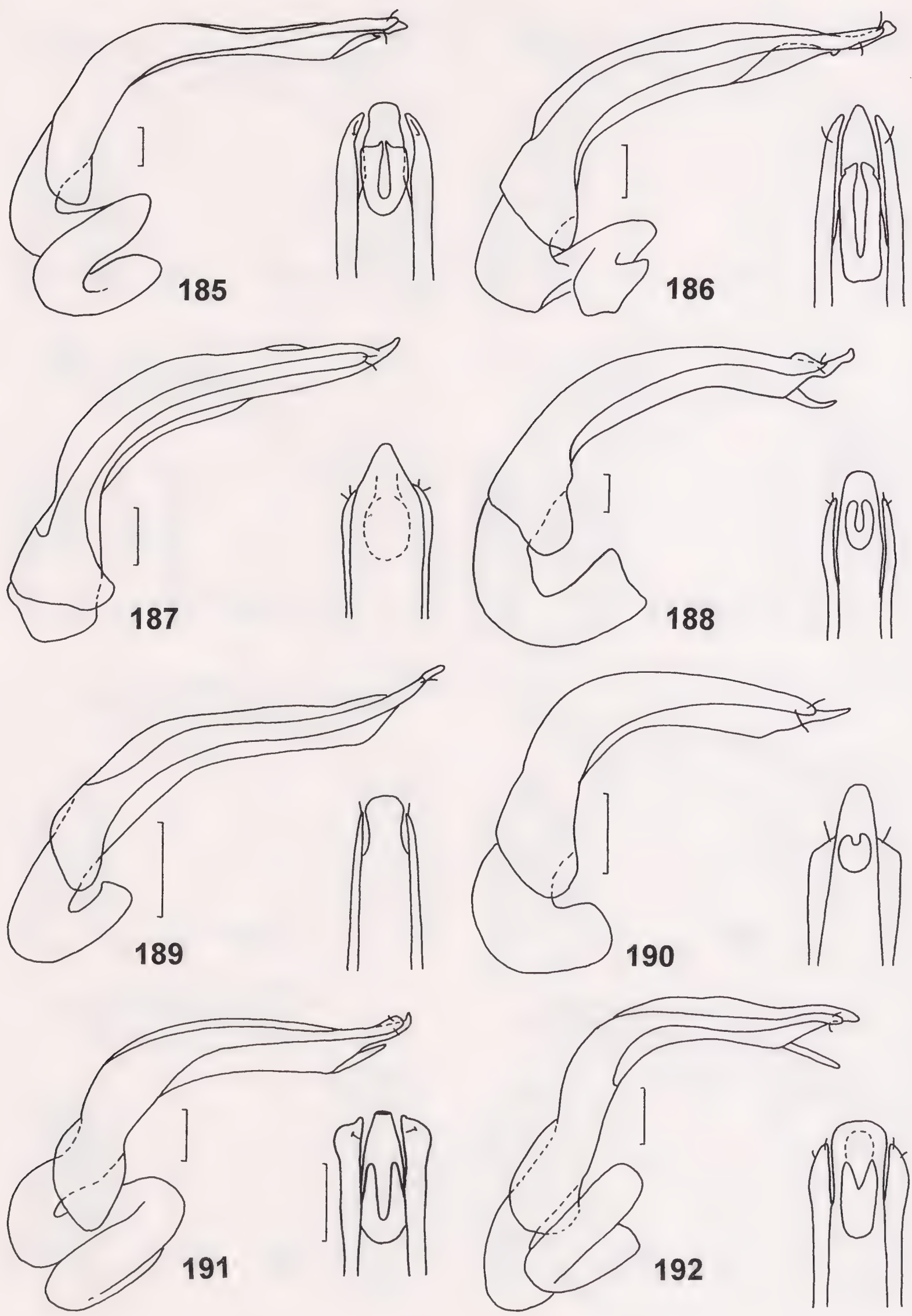

Figg. 185-192 - Edeago (visione laterale, ventrale o dorsale) di: 185, *Agathidium* (*Agathidium*) *madurense* Port.; 186, *A.* (*A.*) *shillongense* Ang. & Dmz.; 187, *A.* (*A.*) *gratiosum* Ang. & Švec; 188, *A.* (*A.*) *occultum* Ang. & Dmz.; 189, *A.* (*A.*) *thaii* Ang.; 190, *A.* (*A.*) *signatum* Ang. & Dmz.; 191, *A.* (*A.*) *watrousi* Ang.; 192, *A.* (*A.*) *wheeleri* Ang. Scala: 0,1 mm.

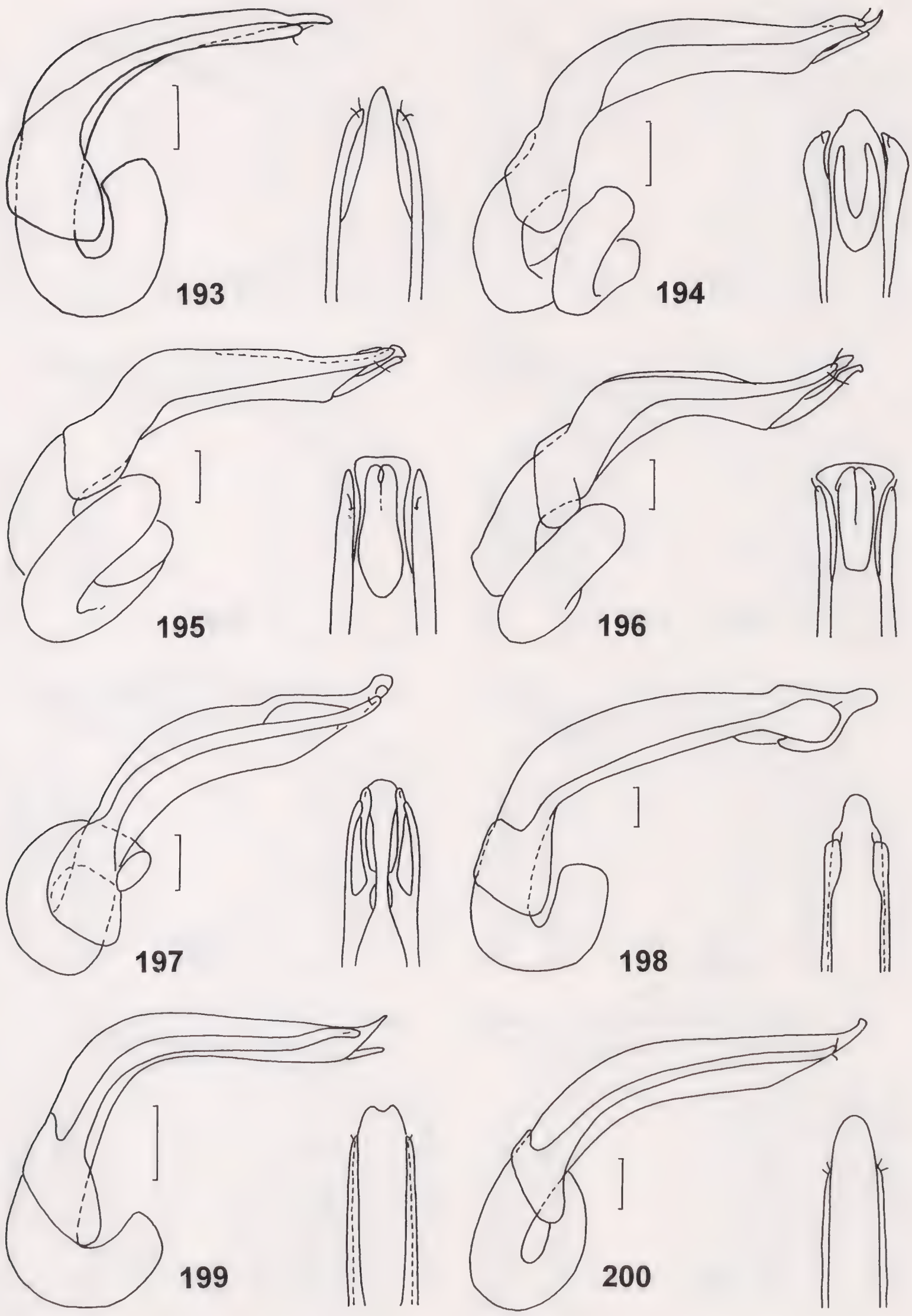

Figg. 193-200 - Edeago (visione laterale, dorsale o ventrale) di: 193, *Agathidium* (*Agathidium*) *senoi* Ang. (originale); 194, *A.* (*A.*) *subobscurum* Ang. & Dmz.; 195, *A.* (*A.*) *hlisnikovskyi* Ang. & Dmz.; 196, *A.* (*A.*) *calvum* Ang.; 197, *A.* (*A.*) *pecki* Ang.; 198, *A.* (*A.*) *nahangense* Ang.; 199, *A.* (*A.*) *caovansungi* Ang.; 200, *A.* (*A.*) *apocryphum* Ang. (originale). Scala: 0,1 mm.

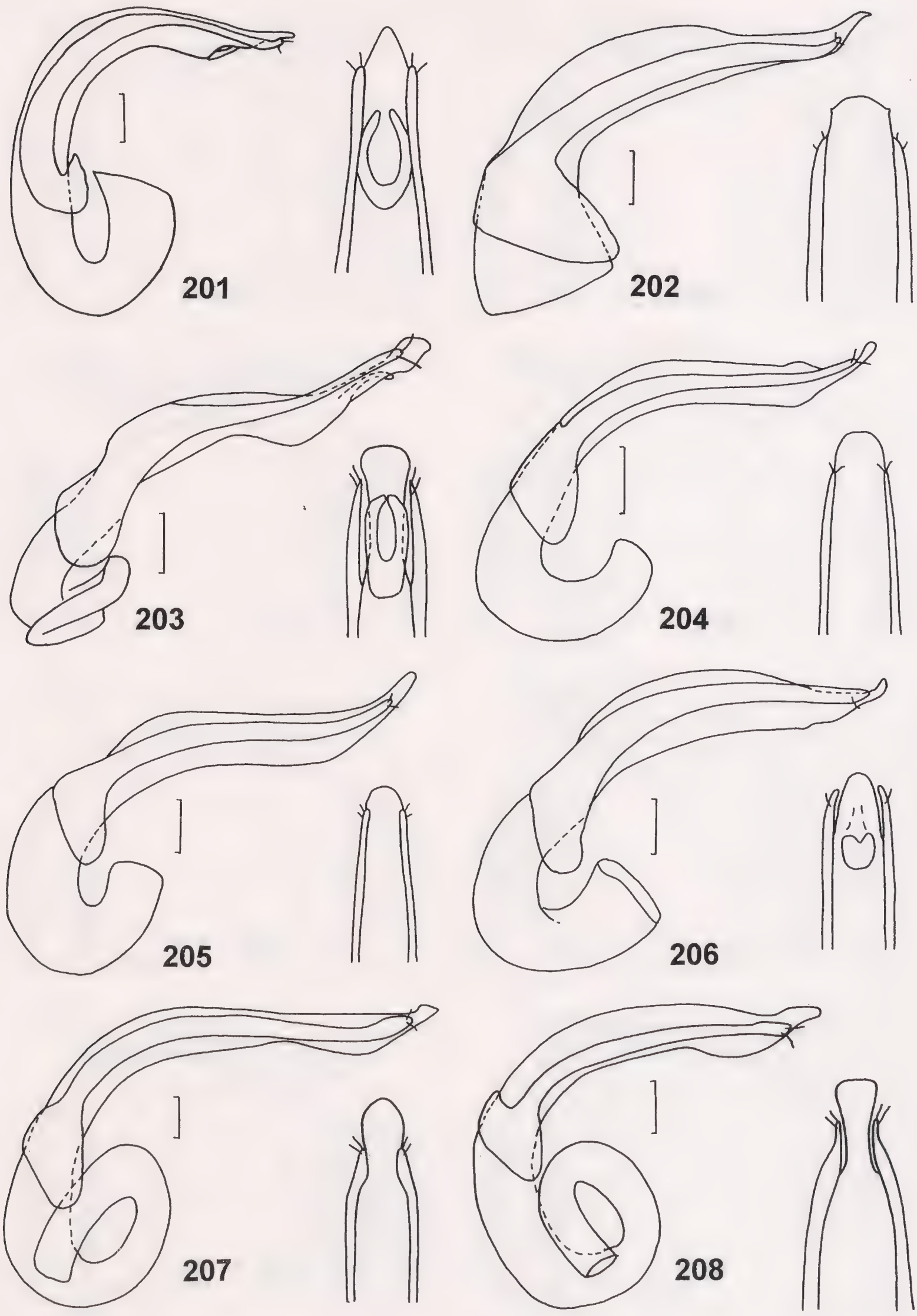

Figg. 201-208 - Edeago (visione laterale, ventrale o dorsale) di: 201, *Agathidium* (*Agathidium*) *kryzhanovskii* Ang.; 202, *A.* (*A.*) *patris* Ang. & Cooter; 203, *A.* (*A.*) *nefandum* Ang.; 204, *A.* (*A.*) *plumbeum* Ang.; 205, *A.* (*A.*) *schuelkeicum* Ang.; 206, *A.* (*A.*) *tardum* Ang. & Dmz.; 207, *A.* (*A.*) *obscurum* Ang.; 208, *A.* (*A.*) *nigritulum* Ang. Scala: 0,1 mm.

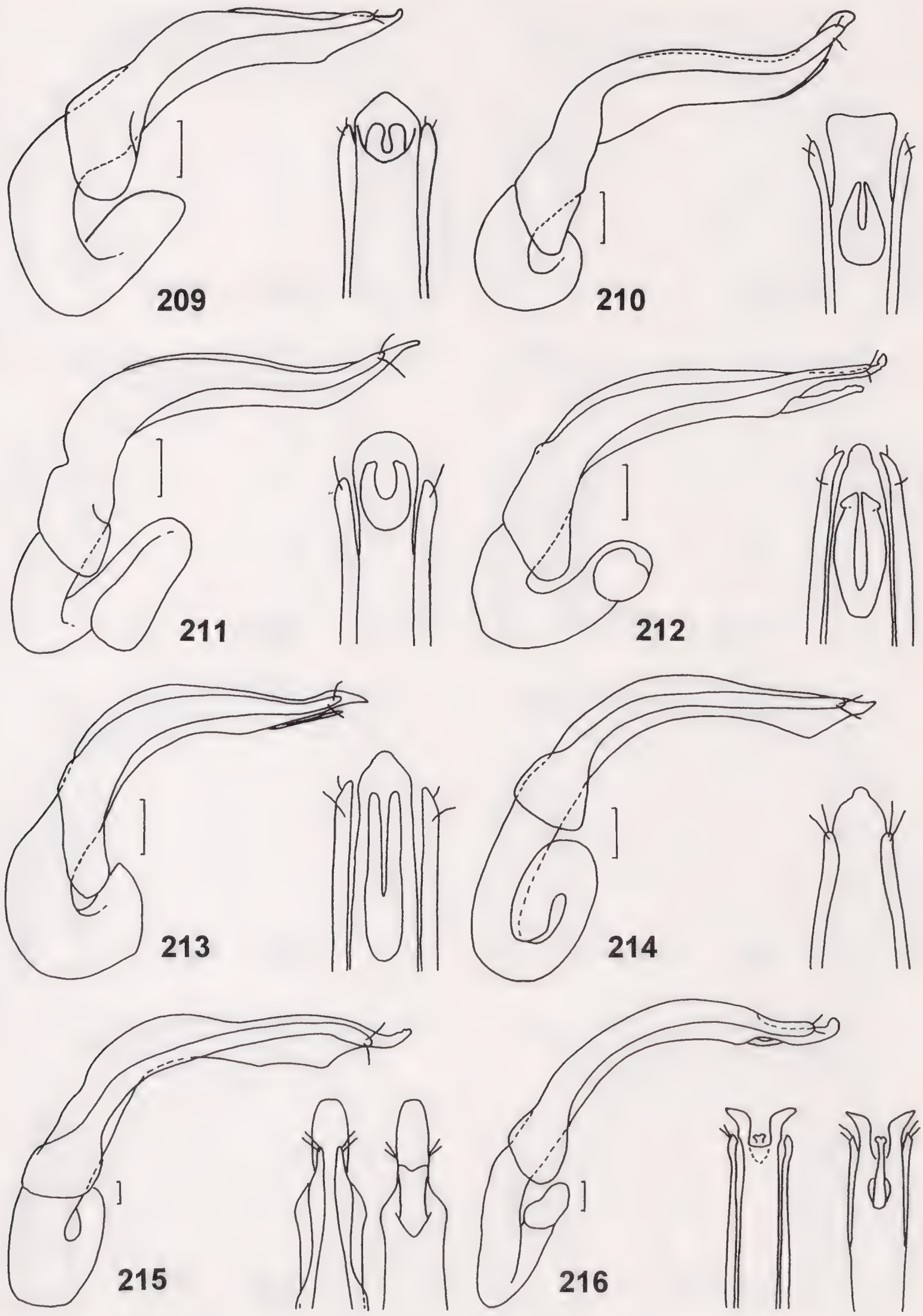

Figg. 209-216 - Edeago (visione laterale, dorsale e/o ventrale) di: 209, *Agathidium* (*Agathidium*) silvestre Ang. & Dmz.; 210, *A.* (*A.*) *varuna* Ang. & Dmz.; 211, *A.* (*A.*) *khasicum* Ang. & Dmz.; 212, *A.* (*A.*) *meghalayanum* Ang. & Dmz.; 213, *A.* (*A.*) *lebongense* Ang. & Dmz.; 214, *A.* (*A.*) *lijiangense* Ang.; 215, *A.* (*A.*) *giganteum* Ang. & Švec; 216, *A.* (*A.*) *lasti* Ang. & Cooter. Scala: 0,1 mm.

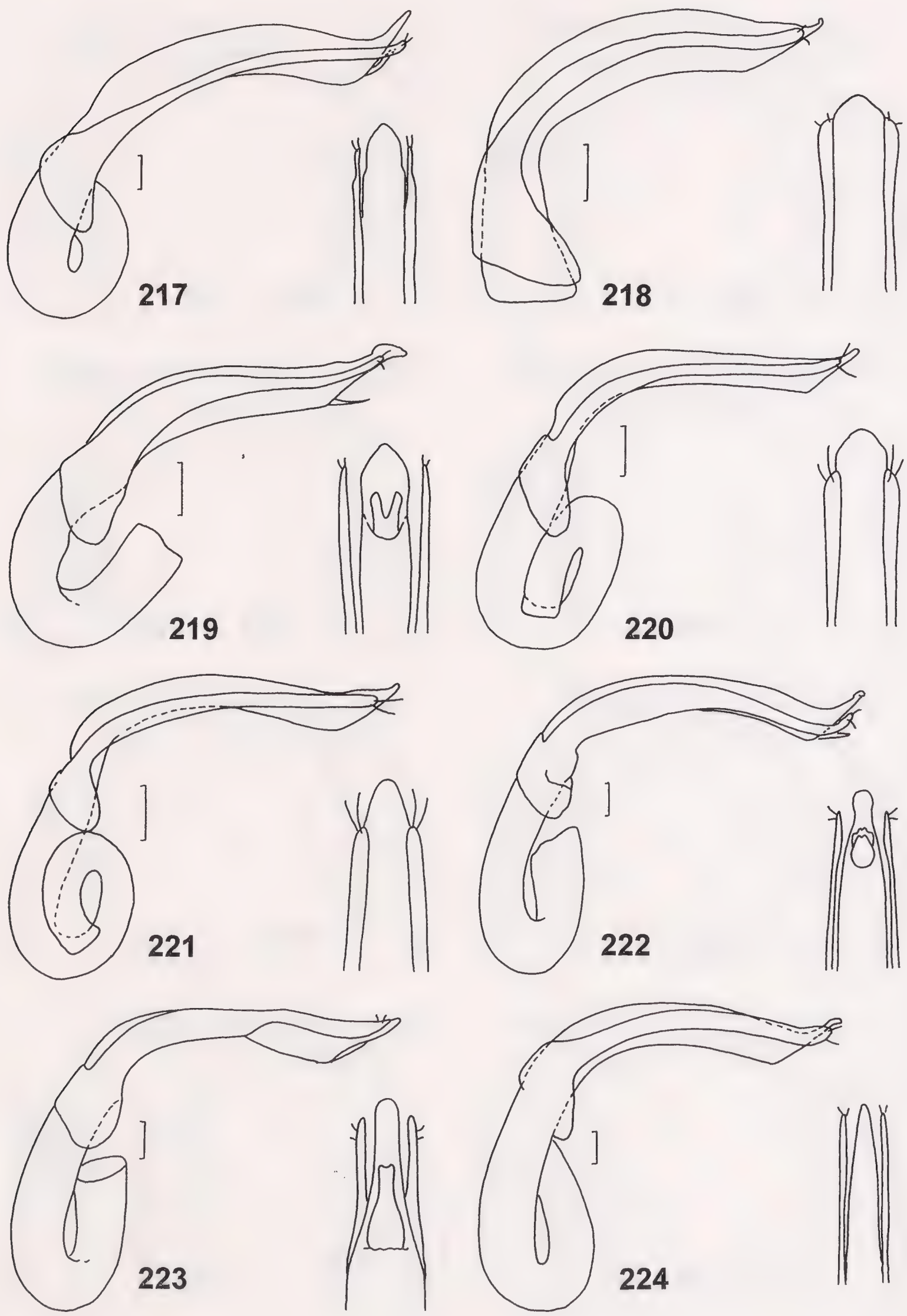

Figg. 217-224 - Edeago (visione laterale, dorsale o ventrale) di: 217, *Agathidium* (*Agathidium*) *paralasti* Ang. & Cooter; 218, *A.* (*A.*) *simulator* Ang.; 219, *A.* (*A.*) *vagum* Ang. & Dmz.; 220, *A.* (*A.*) *modestum* Ang.; 221, *A.* (*A.*) *neurayi* Ang.; 222, *A.* (*A.*) *alesi* Ang. & Dmz.; 223, *A.* (*A.*) *distinguendum* Ang. & Dmz.; 224, *A.* (*A.*) *lucifugum* Ang. Scala: 0,1 mm.

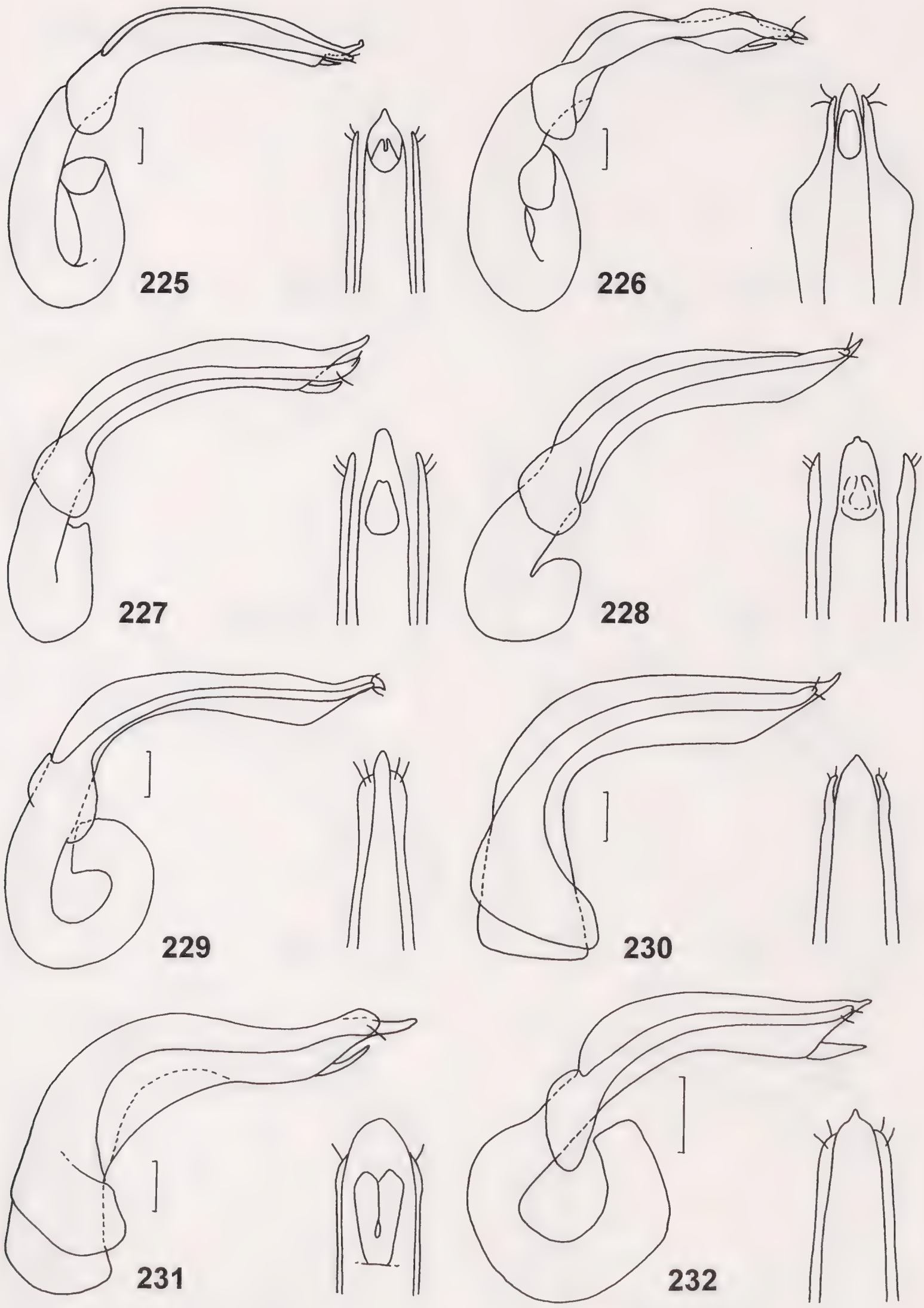

Figg. 225-232 - Edeago (visione laterale, ventrale o dorsale) di: 225, *Agathidium* (*Agathidium*) *delicatulum* Ang. & Dmz.; 226, *A.* (*A.*) *subnitidum* Ang. & Dmz.; 227, *A.* (*A.*) *ishigakiense* Hoshina; 228, *A.* (*A.*) *saigoi* Hoshina; 229, *A.* (*A.*) *lashioense* Ang.; 230, *A.* (*A.*) *herberti* Ang.; 231, *A.* (*A.*) *kuaiense* Ang. & Cooter; 232, *A.* (*A.*) *hoabinhense* Ang. Scala: 0,1 mm.

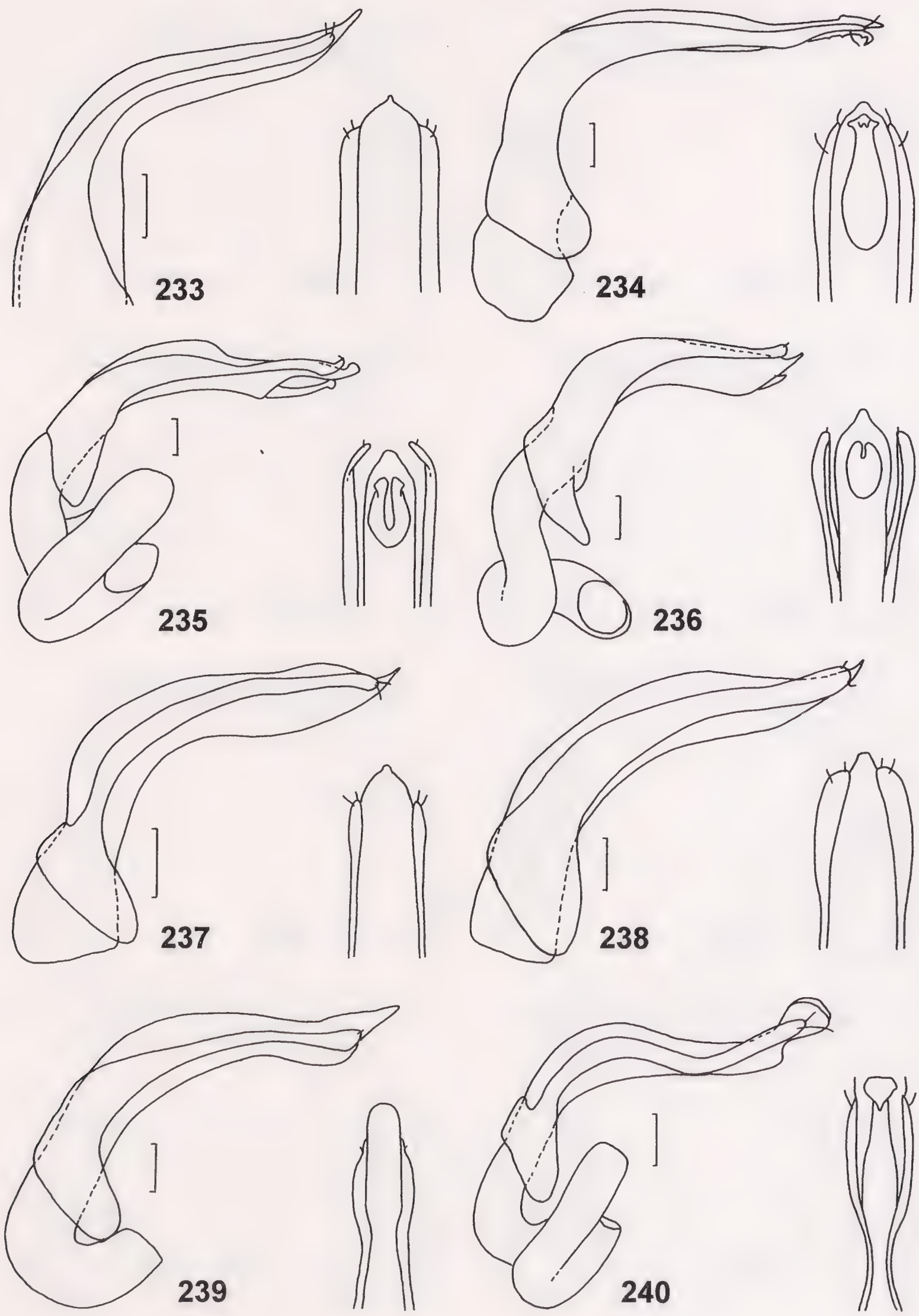

Figg. 233-240 - Edeago (visione laterale, dorsale o ventrale) di: 233, *Agathidium* (*Agathidium*) *sveci* Ang.; 234, *A.* (*A.*) *newari* Ang. & Dmz.; 235, *A.* (*A.*) *crassum* Ang. & Dmz.; 236, *A.* (*A.*) *darjeelingense* Ang. & Dmz.; 237, *A.* (*A.*) *lewisi* Ang.; 238, *A.* (*A.*) *aeratum* Ang.; 239, *A.* (*A.*) *schwendingeri* Ang. (originale); 240, *A.* (*A.*) *impressum* Ang. Scala: 0,1 mm.

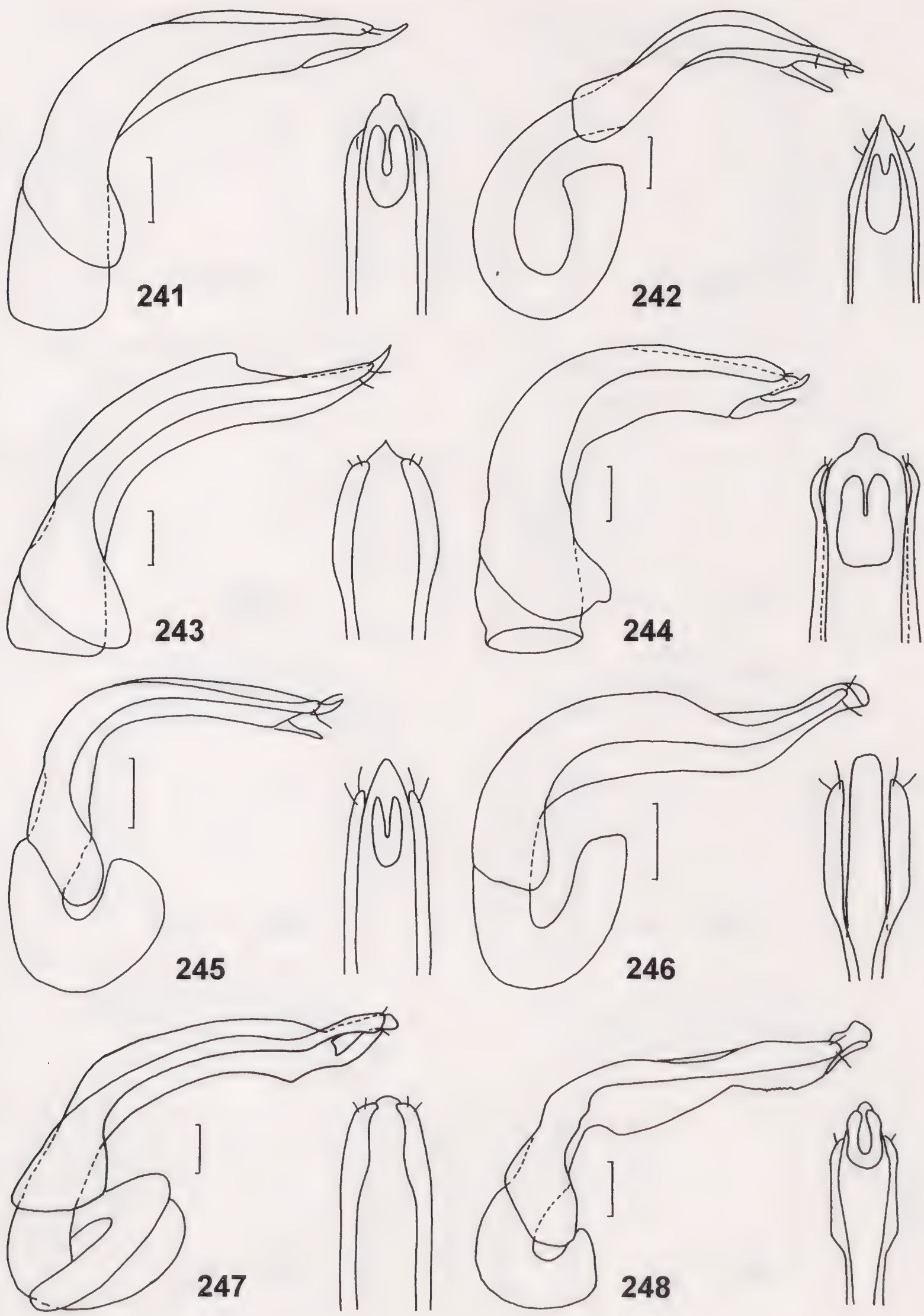

Figg. 241-248 - Edeago (visione laterale, ventrale o dorsale) di: 241, *Agathidium* (*Agathidium*) *siamense* Ang.; 242, *A.* (*A.*) *riedeli* Ang.; 243, *A.* (*A.*) *relictum* Ang.; 244, *A.* (*A.*) *urbanii* Ang. & Dmz.; 245, *A.* (*A.*) *acuminatum* Ang. & Dmz.; 246, *A.* (*A.*) *lepidum* Ang.; 247, *A.* (*A.*) *obsoletum* Ang. (originale); 248, *A.* (*A.*) *brahamano* Ang. & Dmz. Scala: 0,1 mm.

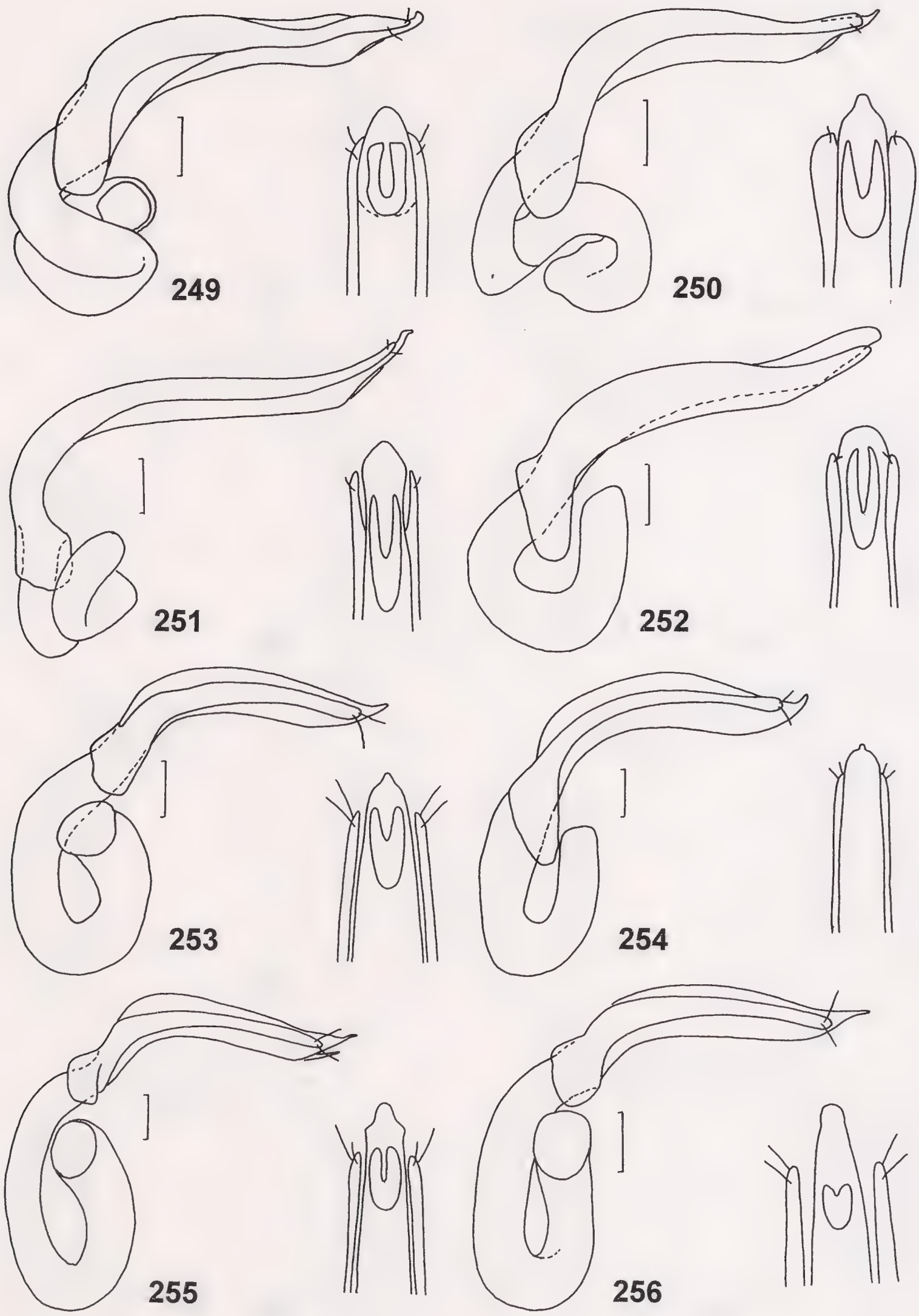

Figg. 249-256 - Edeago (visione laterale, ventrale o dorsale) di: 249, *Agathidium* (*Agathidium*) *kualalumpurense* Ang. & Dmz.; 250, *A.* (*A.*) *montivagum* Ang. & Dmz.; 251, *A.* (*A.*) *agostii* Ang. & Dmz.; 252, *A.* (*A.*) *marshalli* Ang. & Cooter (originale); 253, *A.* (*A.*) *pakistanicum* Ang. & Dmz.; 254, *A.* (*A.*) *semipunctatum* Ang. & Dmz. (originale); 255, *A.* (*A.*) *testaceum* Ang. & Dmz.; 256, *A.* (*A.*) *pinorum* Ang. & Dmz. Scala: 0,1 mm.

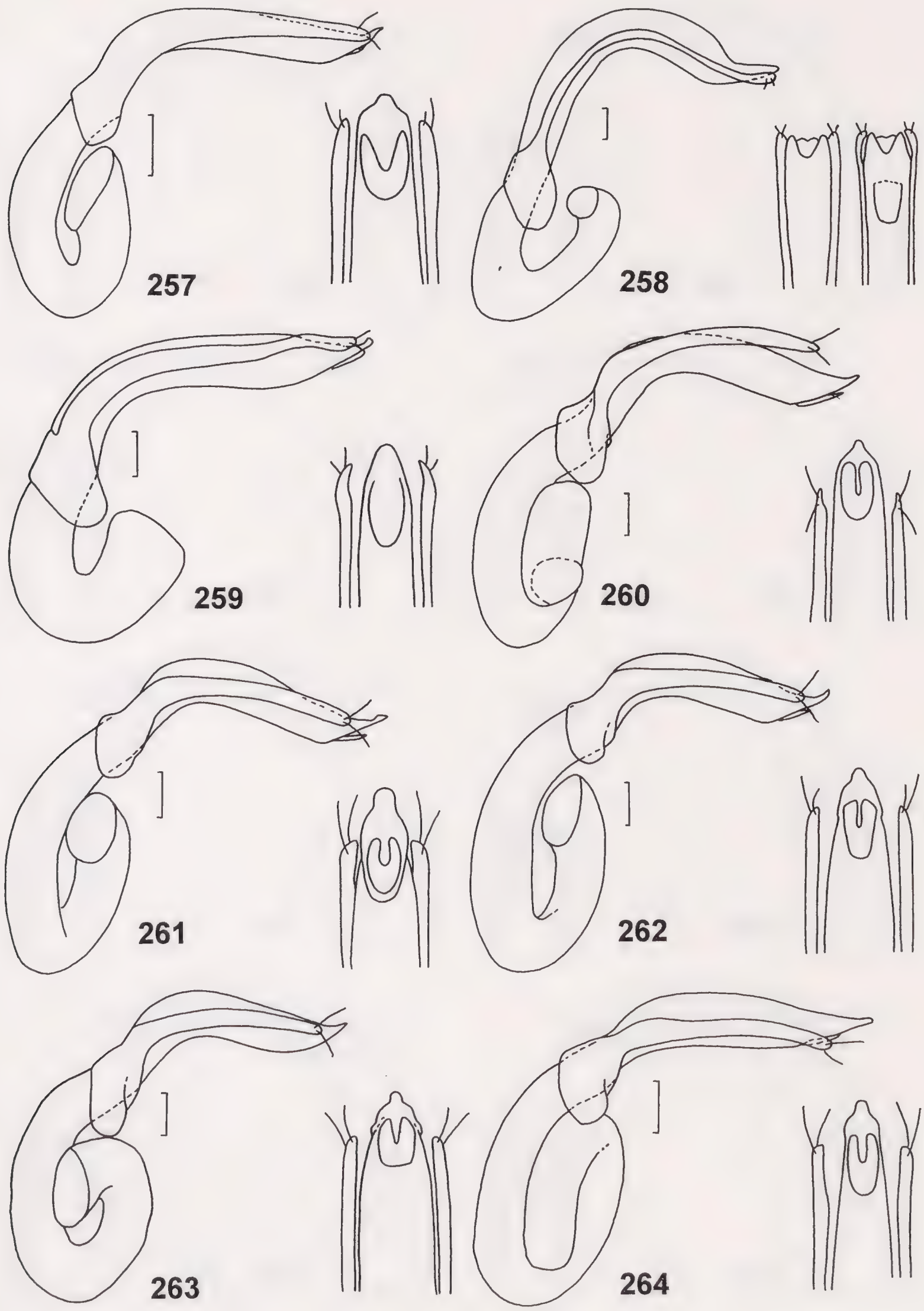

Figg. 257-264 - Edeago (visione laterale, dorsale e/o ventrale) di: 257, *Agathidium* (*Agathidium*) *vile* Ang. & Dmz.; 258, *A.* (*A.*) *jatanai* Ang. & Švec; 259, *A.* (*A.*) *mequignoni* Roubal (da Angelini, 1995); 260, *A.* (*A.*) *glaciale* Ang. & Dmz.; 261, *A.* (*A.*) *barahbisense* Ang. & Dmz.; 262, *A.* (*A.*) *fulungense* Ang. & Dmz.; 263, *A.* (*A.*) *subopacum* Ang. & Dmz.; 264, *A.* (*A.*) *microreticulatum* Ang. & Dmz. Scala: 0,1 mm.

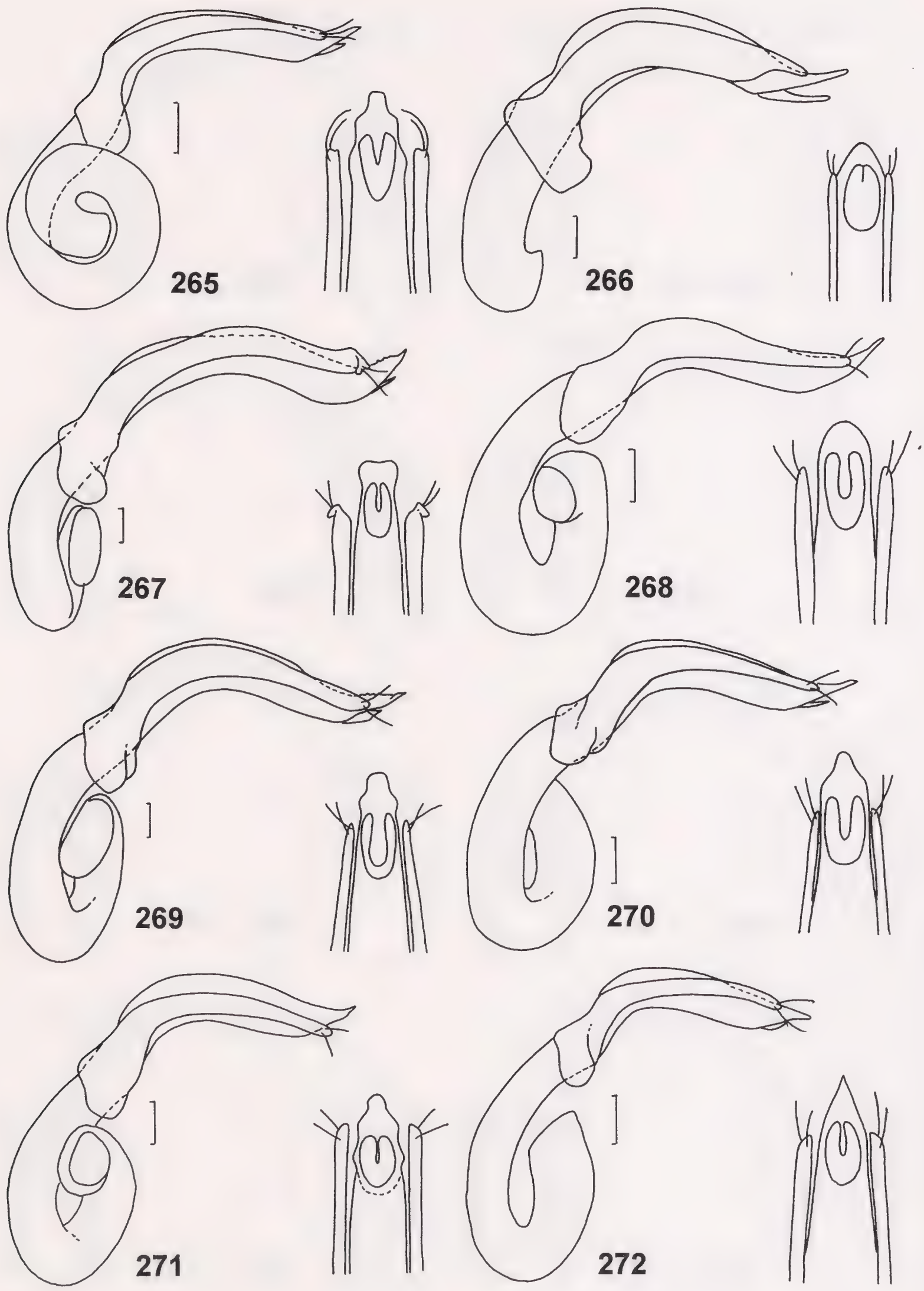

Figg. 265-272 - Edeago (visione laterale e ventrale) di: 265, *Agathidium* (*Agathidium*) *castaneum* Ang. & Dmz.; 266, *A.* (*A.*) *jendeki* Ang. & Švec; 267, *A.* (*A.*) *punctatum* Ang. & Dmz.; 268, *A.* (*A.*) *substriatum* Ang. & Dmz.; 269, *A.* (*A.*) *johnsoni* Ang. & Dmz.; 270, *A.* (*A.*) *parbaticum* Ang. & Dmz.; 271, *A.* (*A.*) *bagmaticum* Ang. & Dmz.; 272, *A.* (*A.*) *brunneum* Ang. & Dmz. Scala: 0,1 mm.

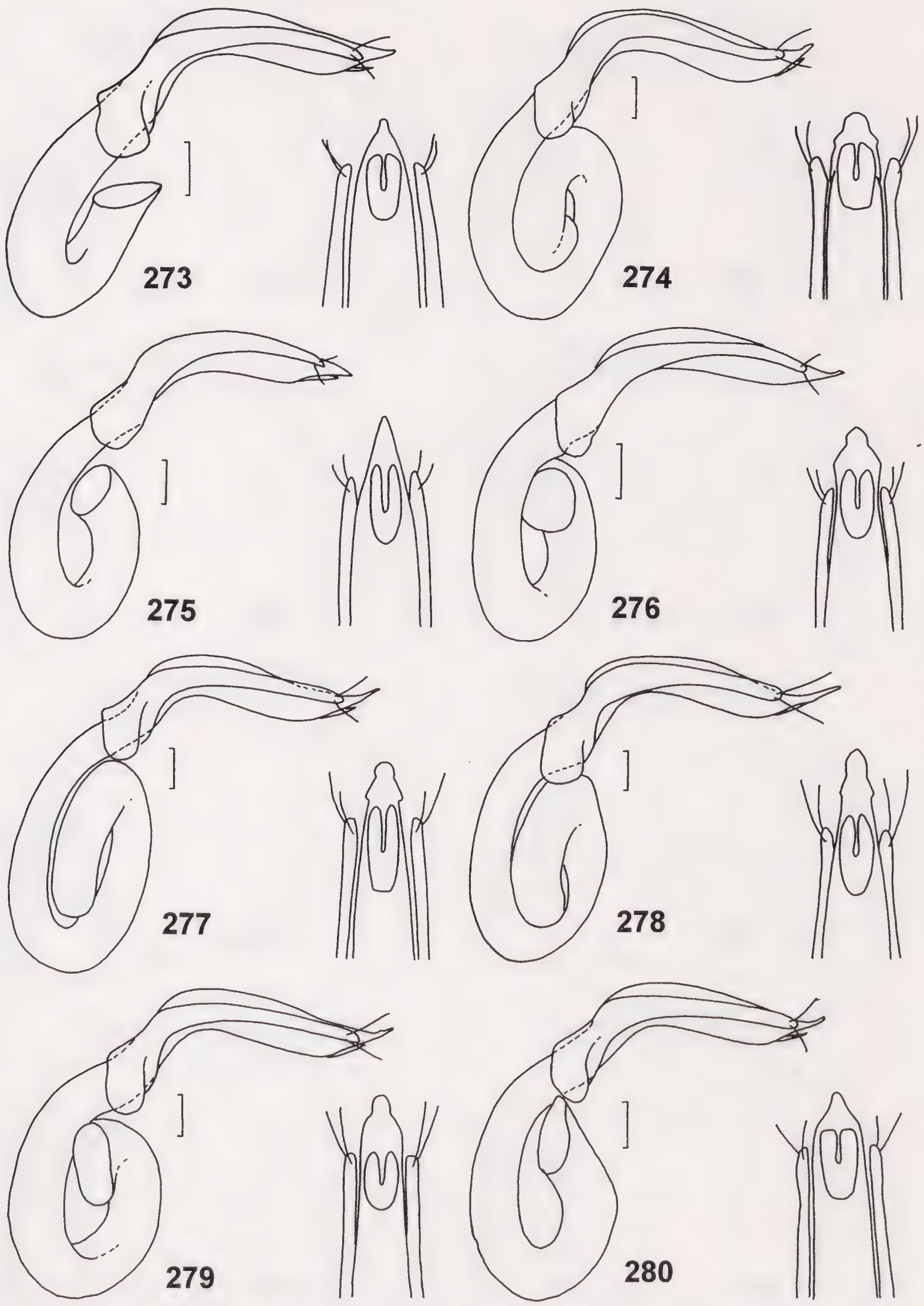

Figg. 273-280 - Edeago (visione laterale e ventrale) di: 273, *Agathidium* (*Agathidium*) *indistinctum* Ang. & Dmz.; 274, *A.* (*A.*) *thochungense* Ang. & Dmz.; 275, *A.* (*A.*) *ineptum* Ang. & Dmz.; 276, *A.* (*A.*) *kuwapanicum* Ang. & Dmz.; 277, *A.* (*A.*) *nivale* Ang. & Dmz.; 278, *A.* (*A.*) *kali* Ang. & Dmz.; 279, *A.* (*A.*) *smetanai* Ang. & Dmz.; 280, *A.* (*A.*) *dargharicum* Ang. & Dmz. Scala: 0,1 mm.

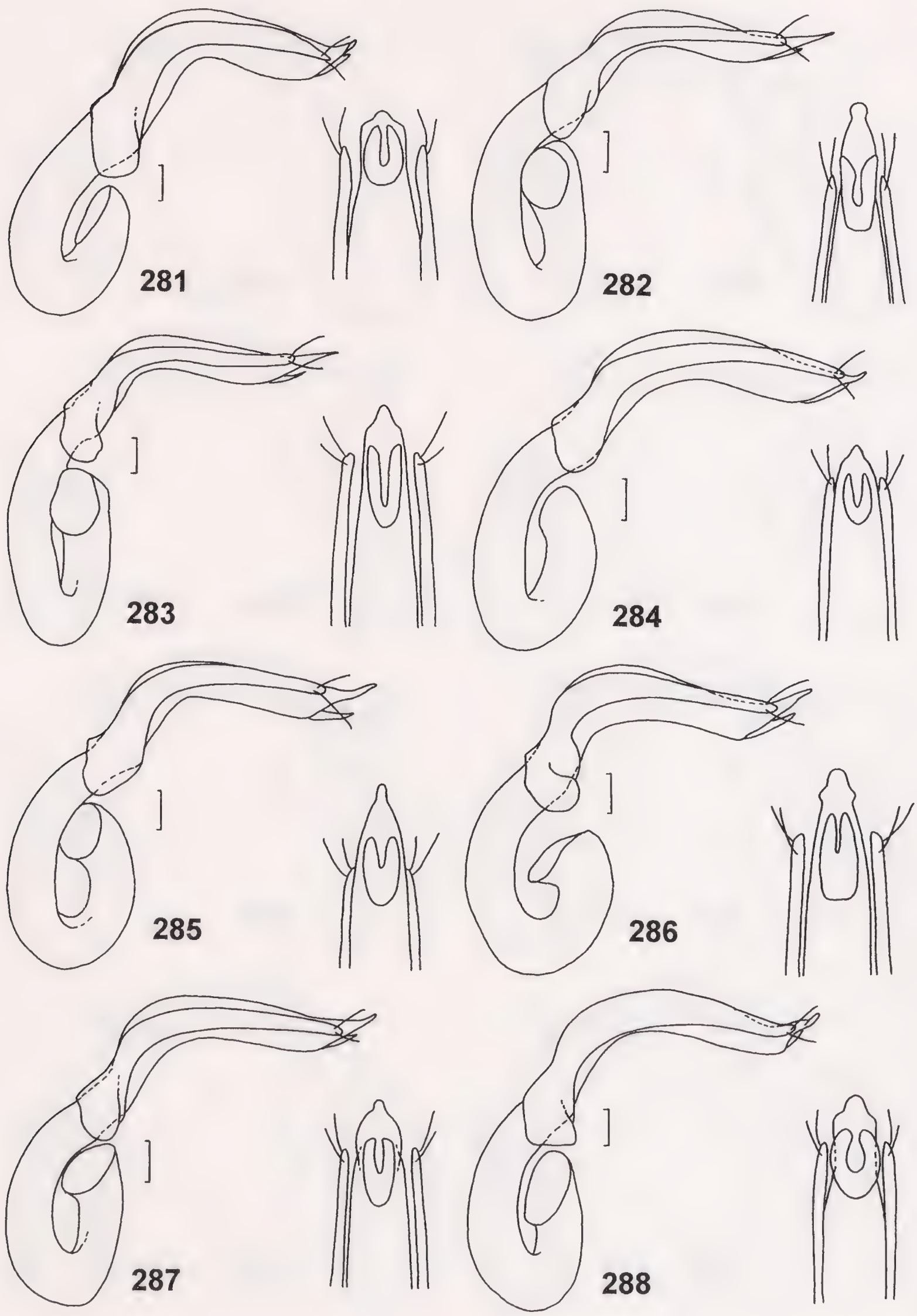

Figg. 281-288 - Edeago (visione laterale e ventrale) di: 281, *Agathidium* (*Agathidium*) *apterum* Ang. & Dmz.; 282, *A.* (*A.*) *ilamense* Ang. & Dmz.; 283, *A.* (*A.*) *indicum* Ang. & Dmz.; 284, *A.* (*A.*) *conspersum* Ang. & Dmz.; 285, *A.* (*A.*) *kharkaense* Ang. & Dmz.; 286, *A.* (*A.*) *francae* Ang. & Dmz.; 287, *A.* (*A.*) *concolor* Ang. & Dmz.; 288, *A.* (*A.*) *confluens* Ang. & Dmz. Scala: 0,1 mm.

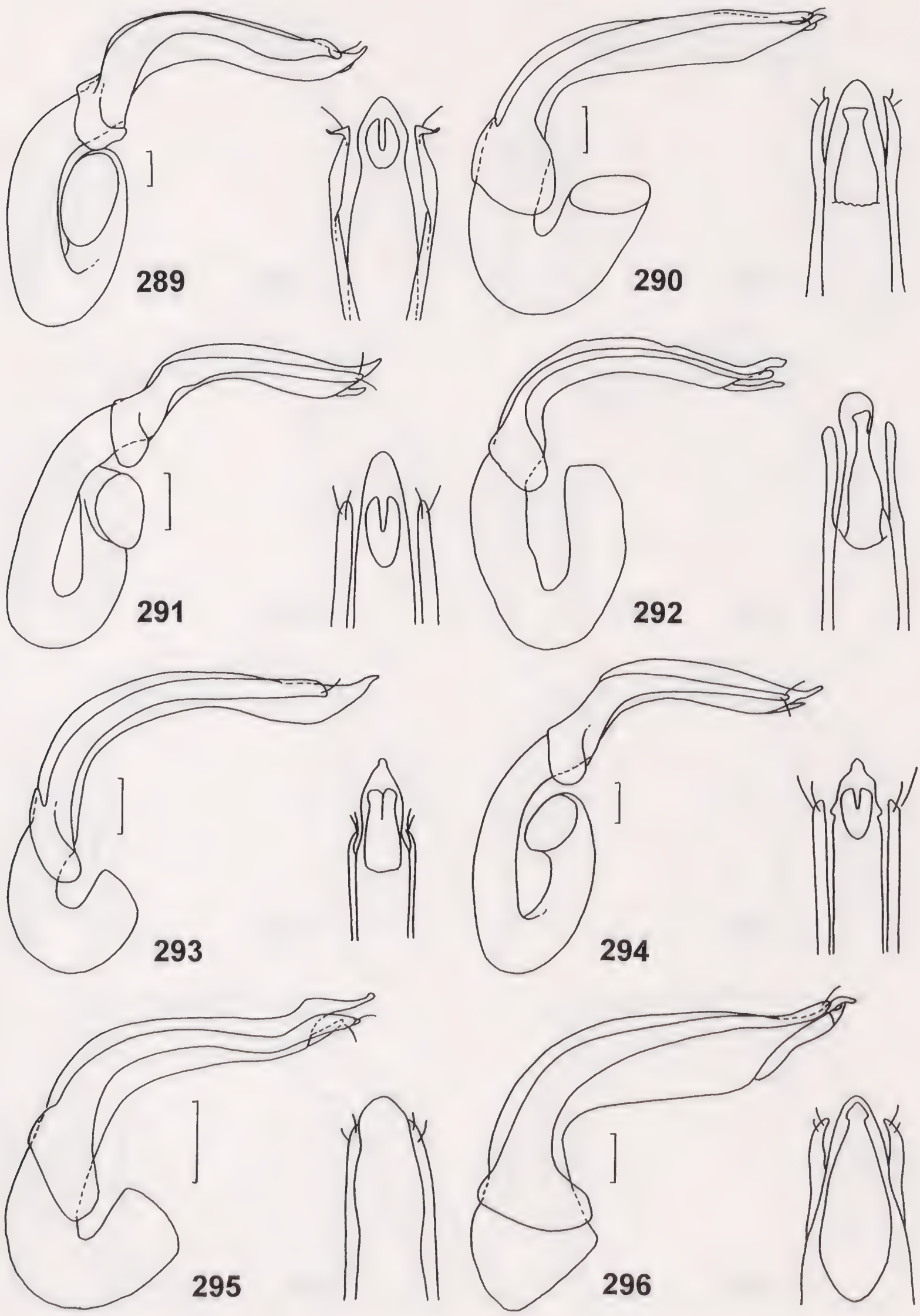

Figg. 289-296 - Edeago (visione laterale, ventrale o dorsale) di: 289, *Agathidium* (*Agathidium*) *ausobskyi* Ang. & Dmz.; 290, *A.* (*A.*) *glabricolle* Ang. & Dmz.; 291, *A.* (*A.*) *gulmargense* Ang. & Dmz.; 292, *A.* (*A.*) *amamiense* Hoshina; 293, *A.* (*A.*) *uliginosum* Ang. & Švec; 294, *A.* (*A.*) *raffaellae* Ang. & Dmz.; 295, *A.* (*A.*) *sikh* Ang. & Dmz.; 296, *A.* (*A.*) *chinense* Hlisn. (da Angelini, 1995). Scala: 0,1 mm.

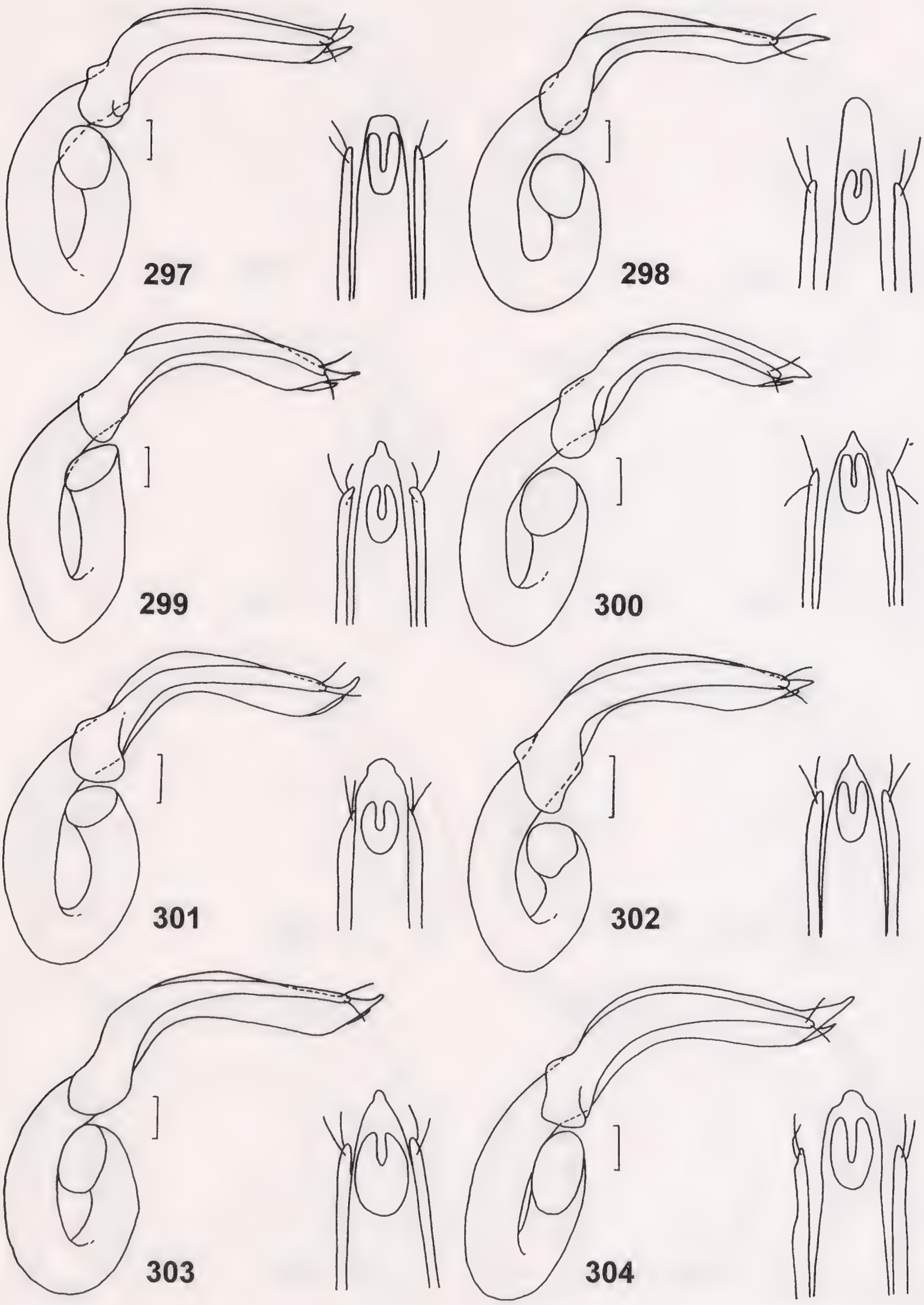

Figg. 297-304 - Edeago (visione laterale e ventrale) di: 297, *Agathidium* (*Agathidium*) *robustum* Ang. & Dmz.; 298, *A.* (*A.*) *laevipenne* Port. (originale); 299, *A.* (*A.*) *kashmirense* Ang. & Dmz.; 300, *A.* (*A.*) *fallax* Ang. & Dmz.; 301, *A.* (*A.*) *pauperum* Ang. & Dmz.; 302, *A.* (*A.*) *visnu* Ang. & Dmz.; 303, *A.* (*A.*) *garhwalense* Ang. & Dmz.; 304, *A.* (*A.*) *sadhu* Ang. & Dmz. Scala: 0,1 mm.

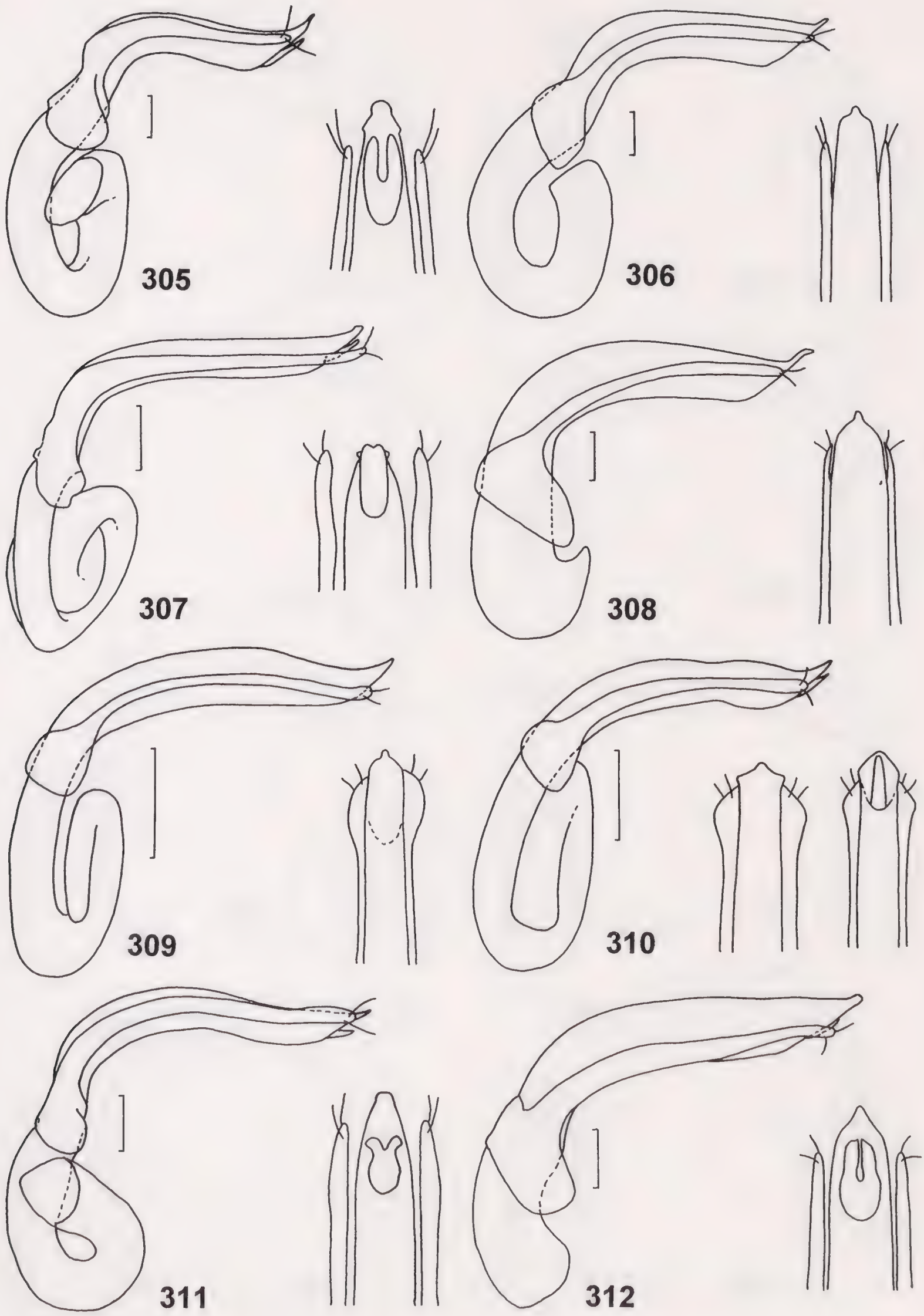

Figg. 305-312 - Edeago (visione laterale, dorsale e/o ventrale) di: 305, *Agathidium* (*Agathidium*) *dinguaricum* Ang. & Dmz.; 306, *A.* (*A.*) *kabateki* Ang.; 307, *A.* (*A.*) *celatum* Ang. & Dmz.; 308, *A.* (*A.*) *michaeli* Ang.; 309, *A.* (*A.*) *nitidulum* Ang. & Cooter; 310, *A.* (*A.*) *zijinense* Ang. & Cooter; 311, (*A.*) *swaticum* Ang. & Dmz.; 312, *A.* (*A.*) *nepalense* Ang. & Dmz. Scala: 0,1 mm.

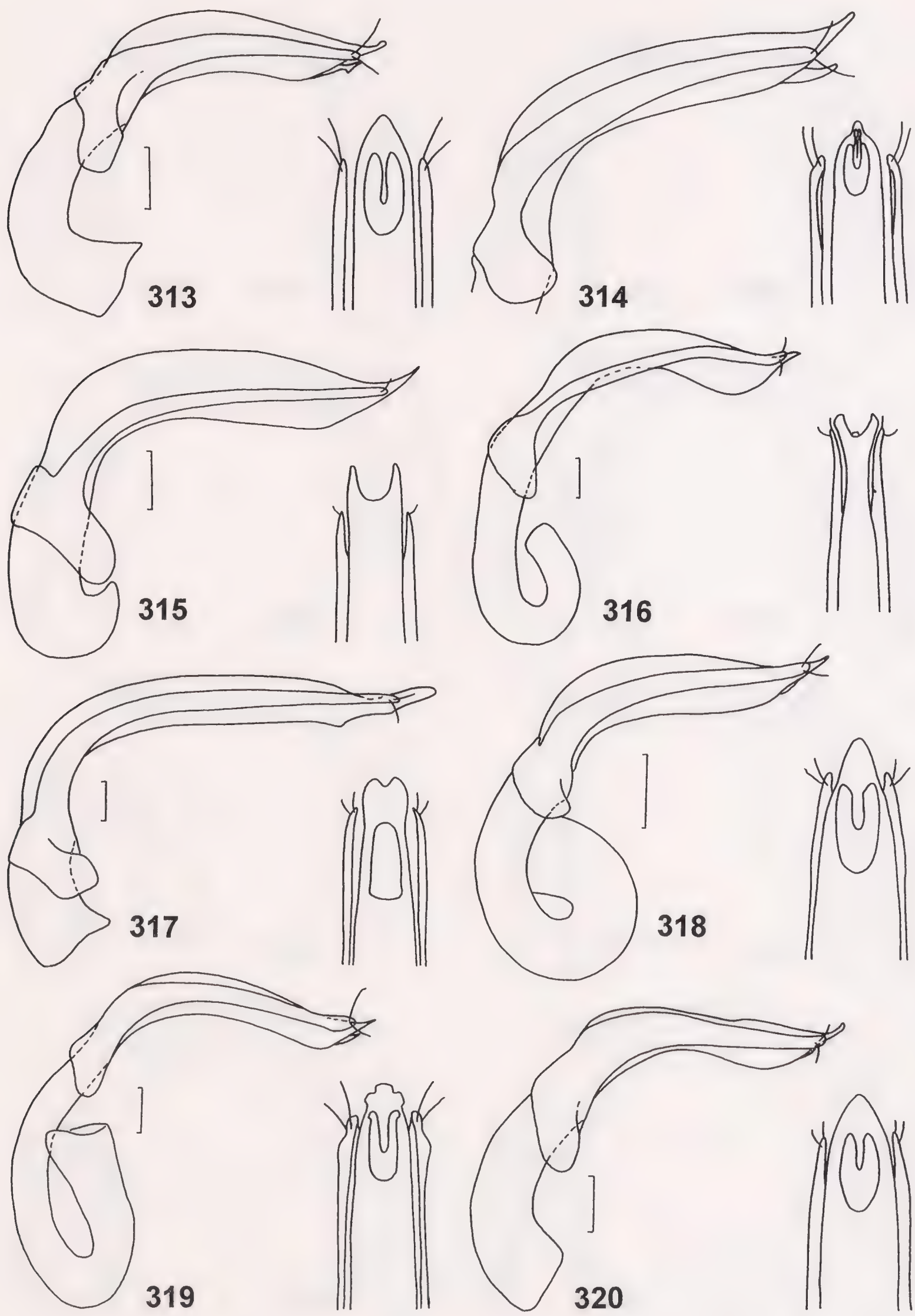

Figg. 313-320 - Edeago (visione laterale, ventrale o dorsale) di: 313, *Agathidium* (*Agathidium*) *minutissimum* Ang. & Dmz.; 314, *A.* (*A.*) *shimlense* Ang. & Steph.; 315, *A.* (*A.*) *armatum* Ang.; 316, *A.* (*A.*) *huangganshanicum* Ang. & Cooter; 317, *A.* (*A.*) *rufescens* Ang. & Dmz.; 318, *A.* (*A.*) *guagir* Ang. & Dmz.; 319, *A.* (*A.*) *himalayanum* Ang. & Dmz.; 320, *A.* (*A.*) *tibiale* Ang. & Dmz. Scala: 0,1 mm.

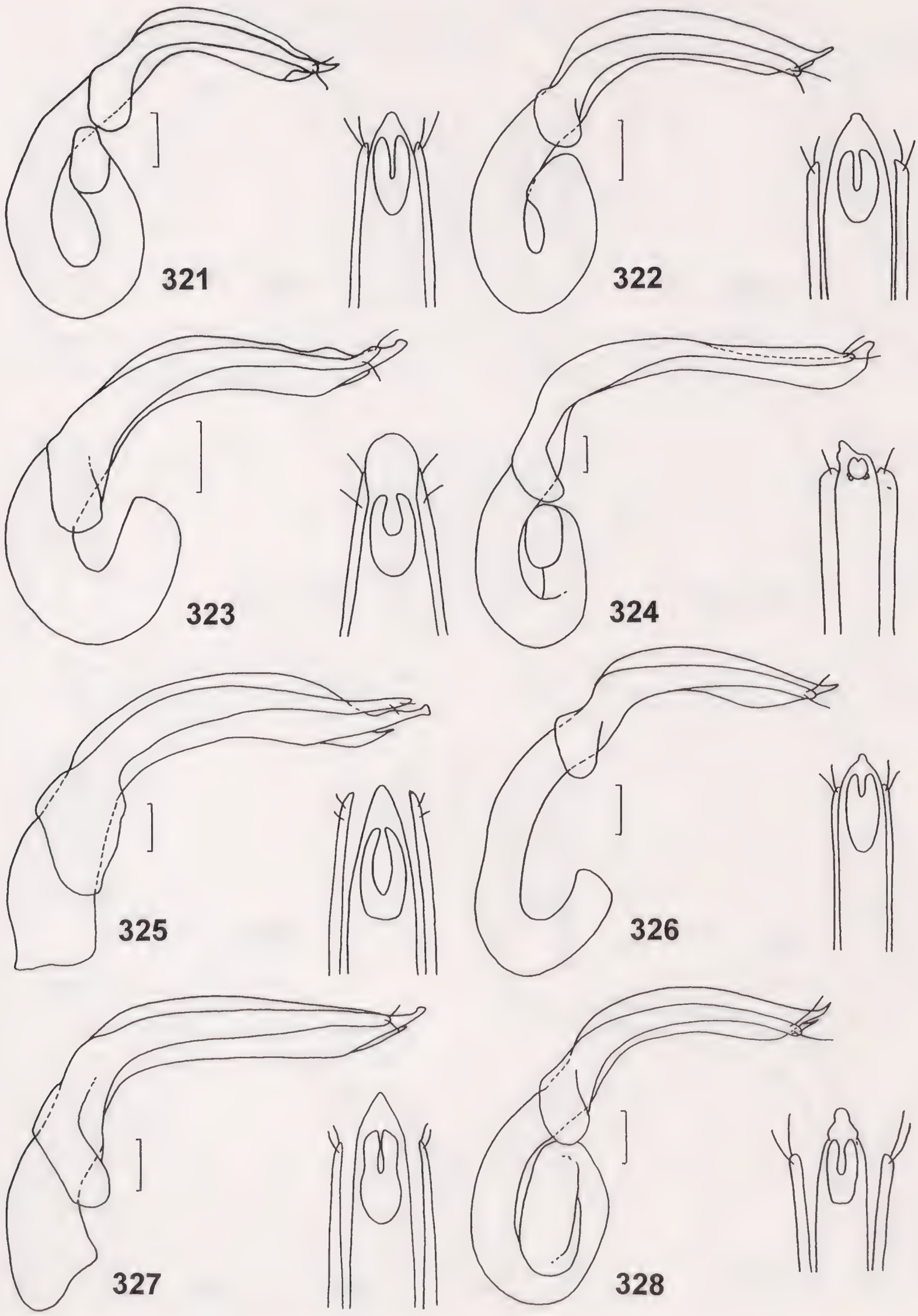

Figg. 321-328 - Edeago (visione laterale e ventrale) di: 321, *Agathidium* (*Agathidium*) *lividum* Ang. & Dmz.; 322, *A.* (*A.*) *rubrum* Ang. & Dmz.; 323, *A.* (*A.*) *manangense* Ang. & Dmz.; 324, *A.* (*A.*) *lassethamense* Ang. & Dmz.; 325, *A.* (*A.*) *laevigatum* Er. (da Angelini, 1995); 326, *A.* (*A.*) *detritum* Ang. & Dmz.; 327, *A.* (*A.*) *semireticulatum* Ang. & Dmz.; 328, *A.* (*A.*) *goropanicum* Ang. & Dmz. Scala: 0,1 mm.

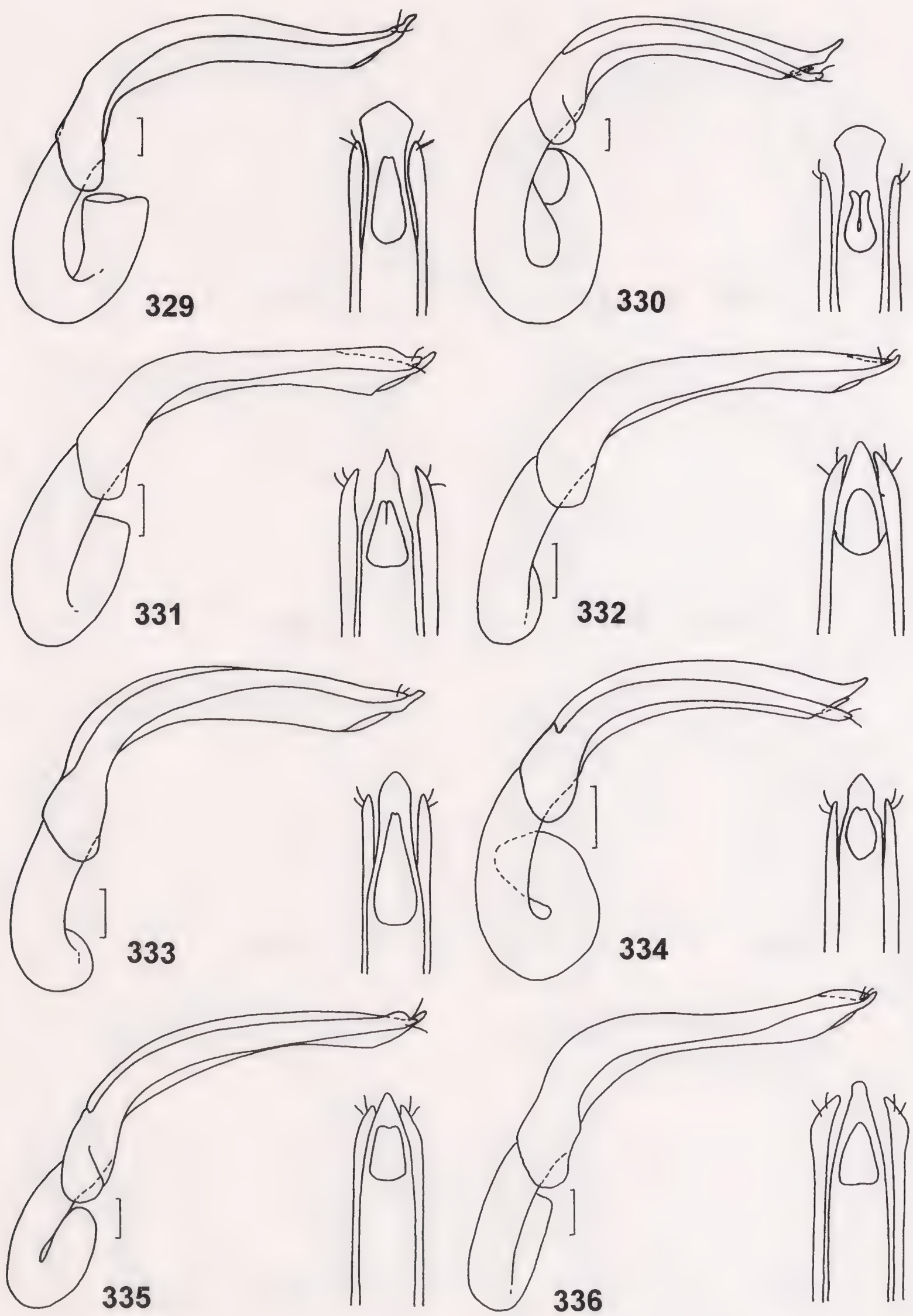

Figg. 329-336 - Edeago (visione laterale e ventrale) di: 329, *Agathidium* (*Agathidium*) *angustatum* Ang. & Dmz.; 330, *A.* (*A.*) *memnonium* Ang. & Dmz.; 331, *A.* (*A.*) *inustum* Ang. & Dmz.; 332, *A.* (*A.*) *furcatum* Ang. & Dmz.; 333, *A.* (*A.*) *comptum* Ang. & Dmz.; 334, *A.* (*A.*) *egregium* Ang. & Dmz.; 335, *A.* (*A.*) *exoletum* Ang. & Dmz.; 336, *A.* (*A.*) *alpestre* Ang. & Dmz. Scala: 0,1 mm.

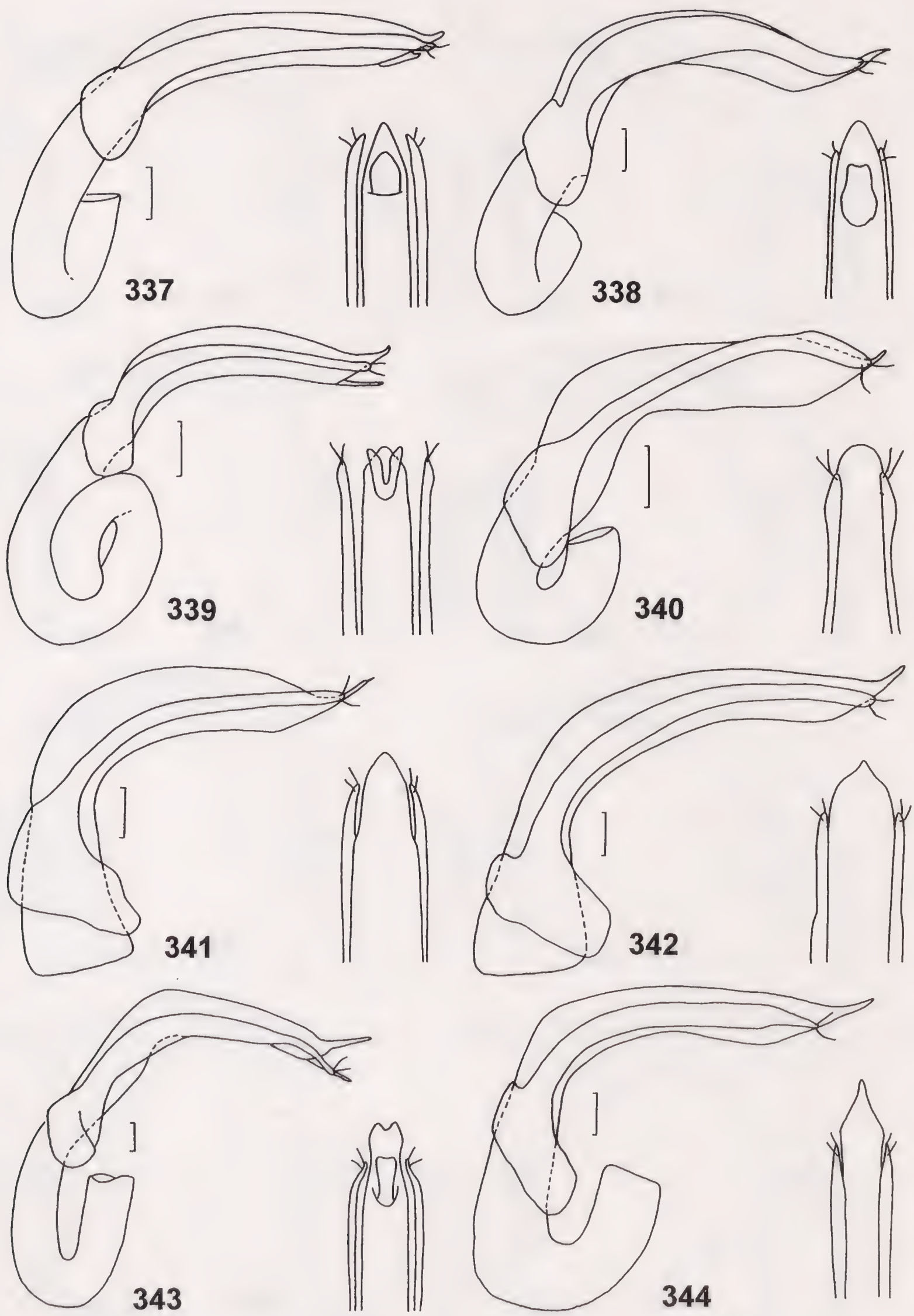

Figg. 337-344 - Edeago (visione laterale, ventrale o dorsale) di: 337, *Agathidium* (*Agathidium*) *subalpinum* Ang. & Dmz.; 338, *A.* (*A.*) *taichungense* Ang. & Dmz.; 339, *A.* (*A.*) *procerum* Ang. & Dmz.; 340, *A.* (*A.*) *tschungi* Ang.; 341, *A.* (*A.*) *consimile* Ang.; 342, *A.* (*A.*) *simplex* Ang.; 343, *A.* (*A.*) *gonggaense* Ang. & Dmz.; 344, *A.* (*A.*) *nigerrimum* Ang. Scala: 0,1 mm.

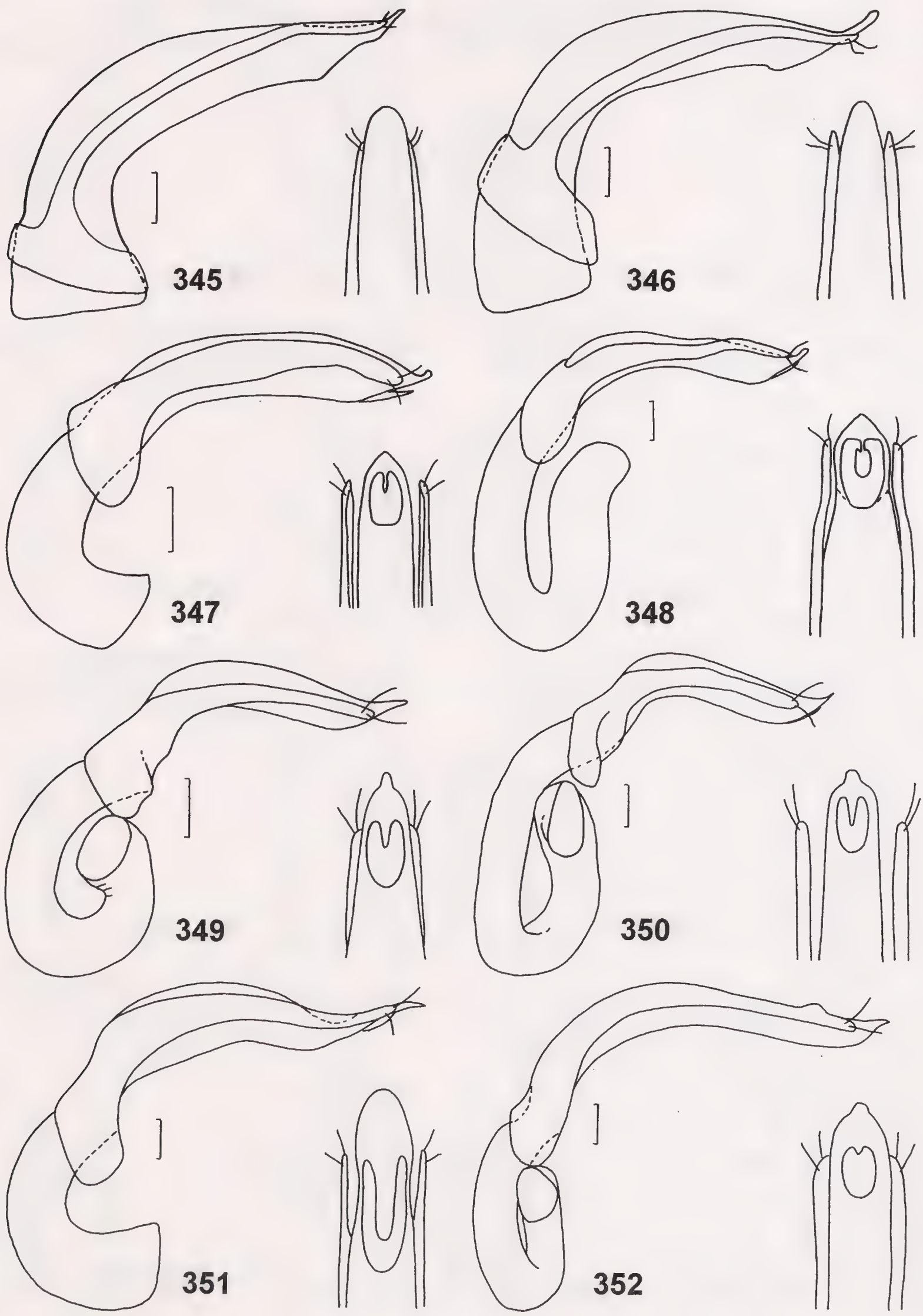

Figg. 345-352 - Edeago (visione laterale, dorsale o ventrale) di: 345, *Agathidium* (*Agathidium*) *jaechi* Ang.; 346, *A.* (*A.*) *rubiginosum* Ang.; 347, *A.* (*A.*) *kathmanduense* Ang. & Dmz.; 348, *A.* (*A.*) *siva* Ang. & Dmz.; 349, *A.* (*A.*) *rusticanum* Ang. & Dmz.; 350, *A.* (*A.*) *franzi* Ang. & Dmz.; 351, *A.* (*A.*) *proximum* Ang.; 352, *A.* (*A.*) *imitator* Ang. & Dmz. Scala: 0,1 mm.

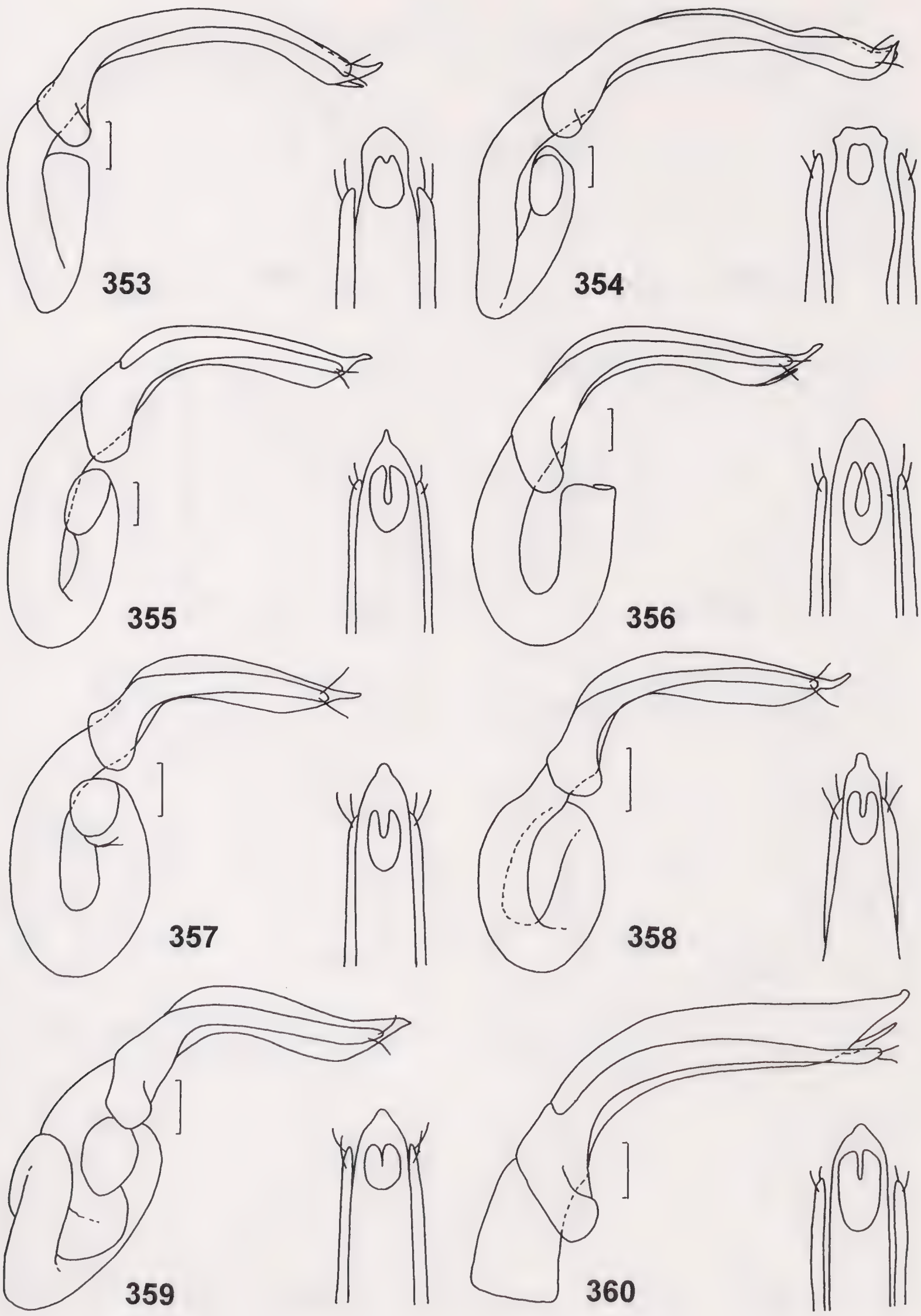

Figg. 353-360 - Edeago (visione laterale e ventrale) di: 353, *Agathidium* (*Agathidium*) *variabile* Ang. & Dmz.; 354, *A.* (*A.*) *martensi* Ang. & Dmz.; 355, *A.* (*A.*) *rufifrons* Ang. & Dmz.; 356, *A.* (*A.*) *circumflexum* Ang. & Dmz.; 357, *A.* (*A.*) *inquietum* Ang. & Dmz.; 358, *A.* (*A.*) *excelsum* Ang. & Dmz.; 359, *A.* (*A.*) *dobaticum* Ang. & Dmz.; 360, *A.* (*A.*) *ornatum* Ang. & Dmz. Scala: 0,1 mm.

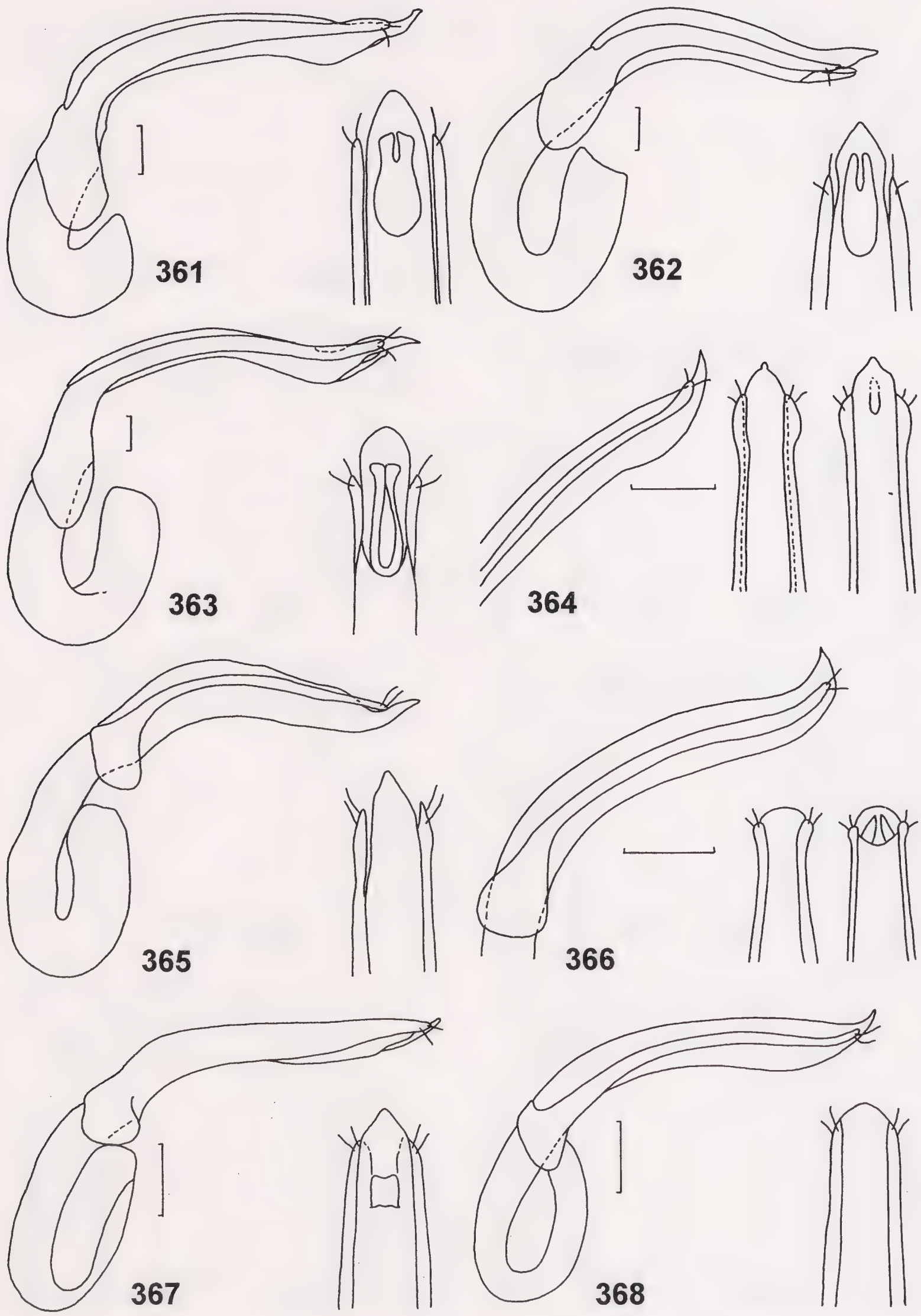

Figg. 361-368 - Edeago (visione laterale, dorsale e/o ventrale) di: 361, *Agathidium* (*Agathidium*) *ishvara* Ang. & Dmz.; 362, *A.* (*A.*) *fulgens* Ang. & Dmz.; 363, *A.* (*A.*) *querceum* Ang. & Dmz.; 364, *A.* (*A.*) *tianmuoides* Ang. & Cooter; 365, *A.* (*A.*) *aikanae* Hoshina; 366, *A.* (*A.*) *paratianmuense* Ang. & Cooter; 367, *A.* (*A.*) *pseudotianmuense* Ang. & Cooter; 368, *A.* (*A.*) *jiuchongense* Ang. & Cooter. Scala: 0,1 mm.

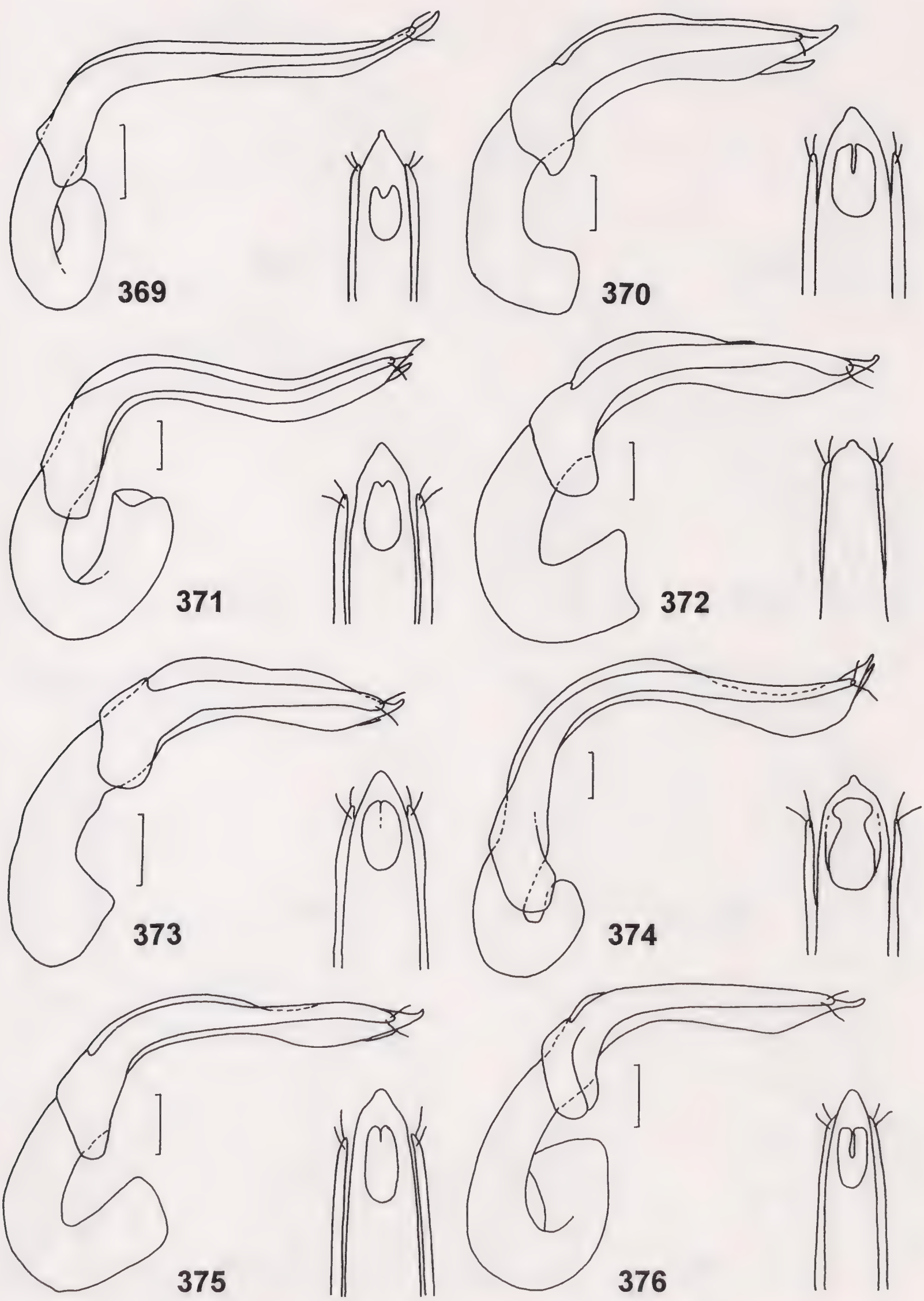

Figg. 369-376 - Edeago (visione laterale, ventrale o dorsale) di: 369, *Agathidium* (*Agathidium*) *tianmuense* Ang. & Cooter; 370, *A.* (*A.*) *pusillum* Ang. & Dmz.; 371, *A.* (*A.*) *wittmeri* Ang. & Dmz.; 372, *A.* (*A.*) *pseudotibiale* Ang. & Dmz.; 373, *A.* (*A.*) *macrotibiale* Ang. & Dmz.; 374, *A.* (*A.*) *sikkimense* Ang. & Dmz.; 375, *A.* (*A.*) *indra* Ang. & Dmz.; 376, *A.* (*A.*) *curtum* Ang. & Dmz. Scala: 0,1 mm.

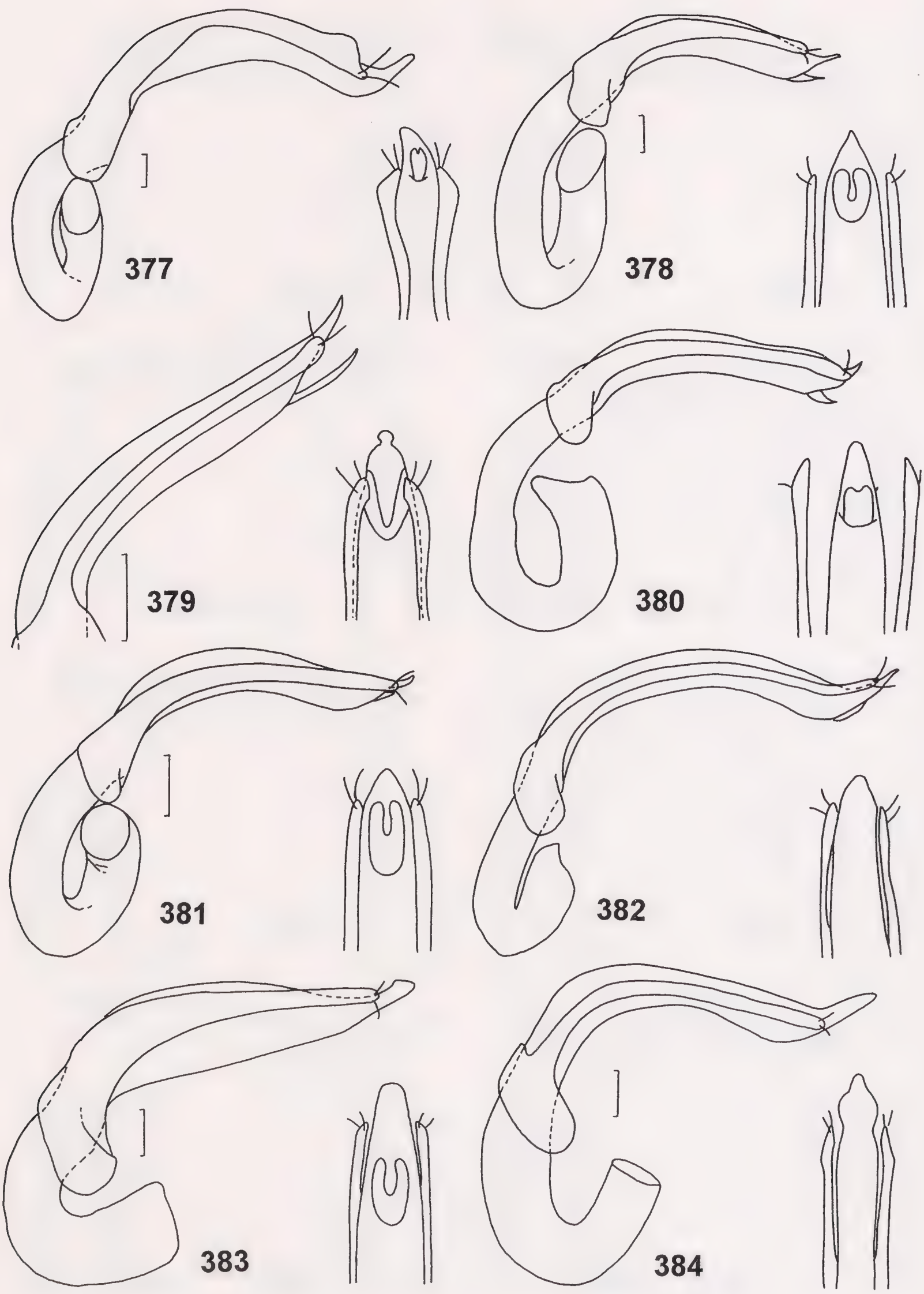

Figg. 377-384 - Edeago (visione laterale, ventrale o dorsale) di: 377, *Agathidium* (*Agathidium*) *deoralicum* Ang. & Dmz.; 378, *A.* (*A.*) *uniforme* Ang. & Dmz.; 379, *A.* (*A.*) *xianggangense* Ang. & Cooter; 380, *A.* (*A.*) *fujisakiae* Hoshina; 381, *A.* (*A.*) *senile* Ang. & Dmz.; 382, *A.* (*A.*) *okinawaense* Hoshina; 383, *A.* (*A.*) *fujianense* Ang. & Dmz.; 384, *A.* (*A.*) *schuelkei* Ang. Scala: 0,1 mm.

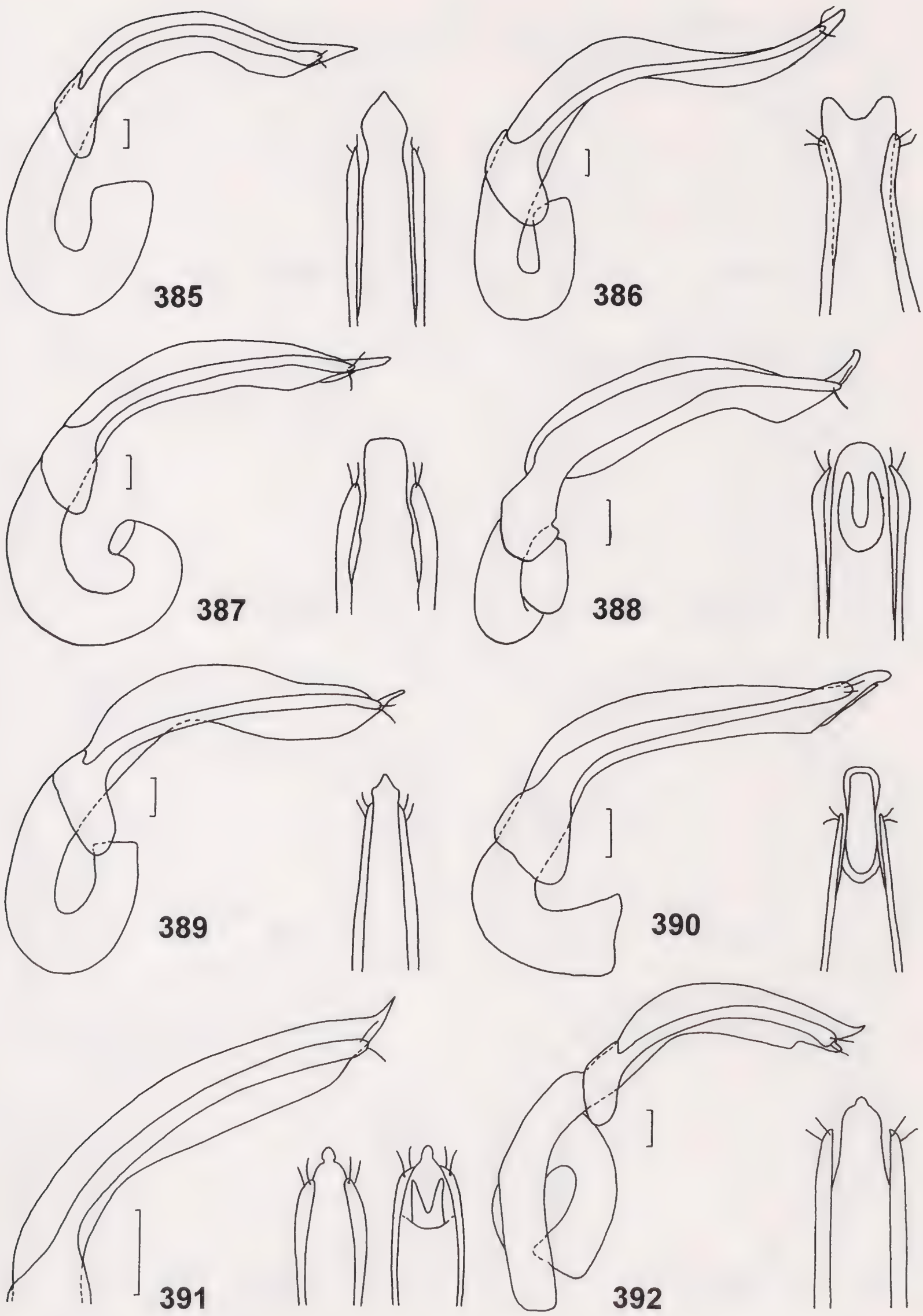

Figg. 385-392 - Edeago (visione laterale, dorsale e/o ventrale) di: 385, *Agathidium* (*Agathidium*) *hoshinai* Ang.; 386, *A.* (*A.*) *smetanaicum* Ang.; 387, *A.* (*A.*) *puetzi* Ang. & Švec; 388, *A.* (*A.*) *brunneipenne* Ang. & Dmz.; 389, *A.* (*A.*) *zdeneki* Ang.; 390, *A.* (*A.*) *huaense* Ang. & Dmz.; 391, *A.* (*A.*) *gutianense* Ang. & Cooter; 392, *A.* (*A.*) *luojiense* Ang. Scala: 0,1 mm.

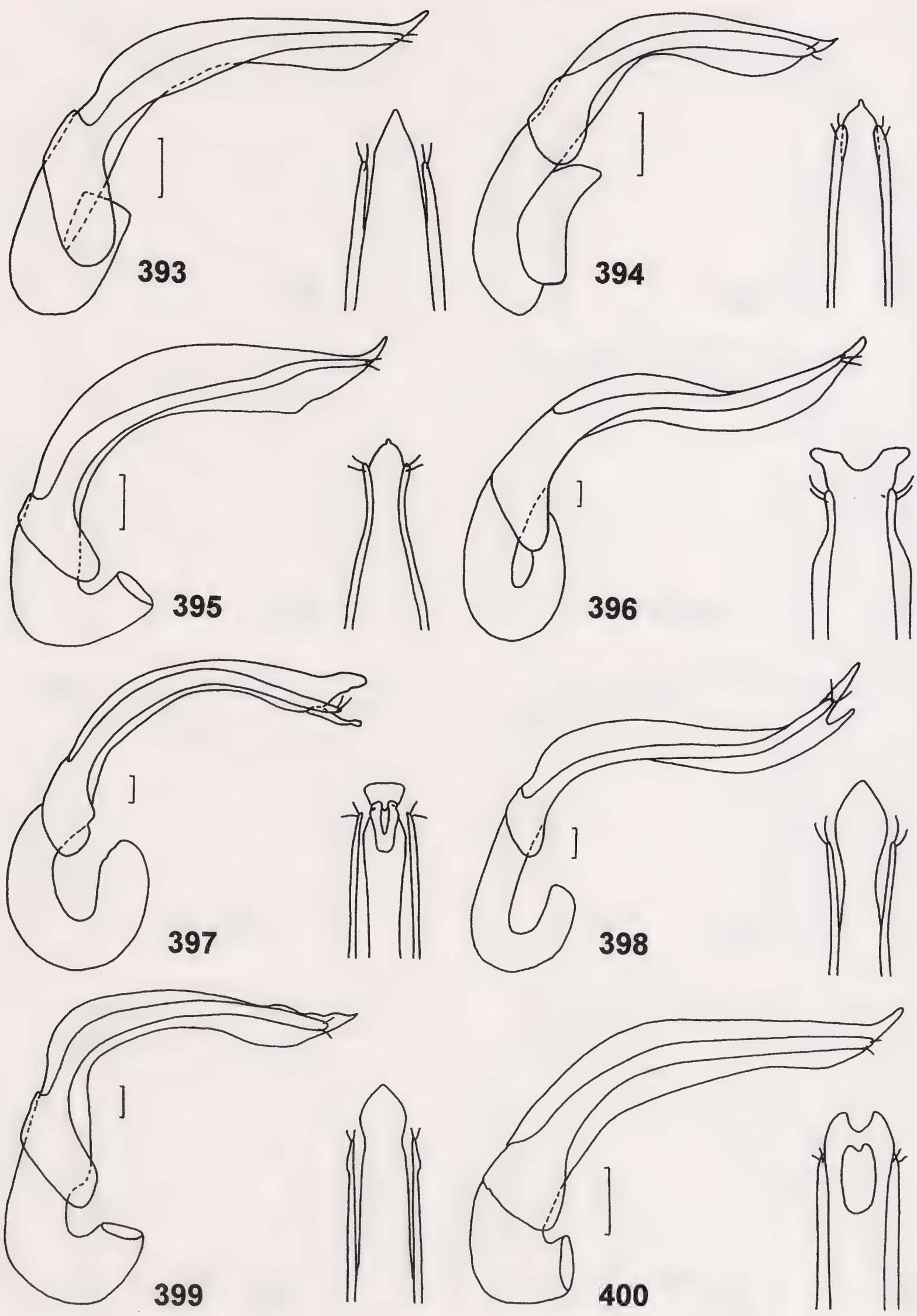

Figg. 393-400 - Edeago (visione laterale, dorsale o ventrale) di: 393, *Agathidium* (*Agathidium*) *pseudouniforme* Ang.; 394, *A.* (*A.*) *wannianicum* Ang.; 395, *A.* (*A.*) *sinuatum* Ang.; 396, *A.* (*A.*) *hubeicum* Ang. & Cooter; 397, *A.* (*A.*) *inerme* Ang. & Dmz.; 398, *A.* (*A.*) *shennongjiaense* Ang. & Cooter; 399, *A.* (*A.*) *grandicolle* Ang.; 400, *A.* (*A.*) *bowringi* Ang. & Cooter. Scala: 0,1 mm.

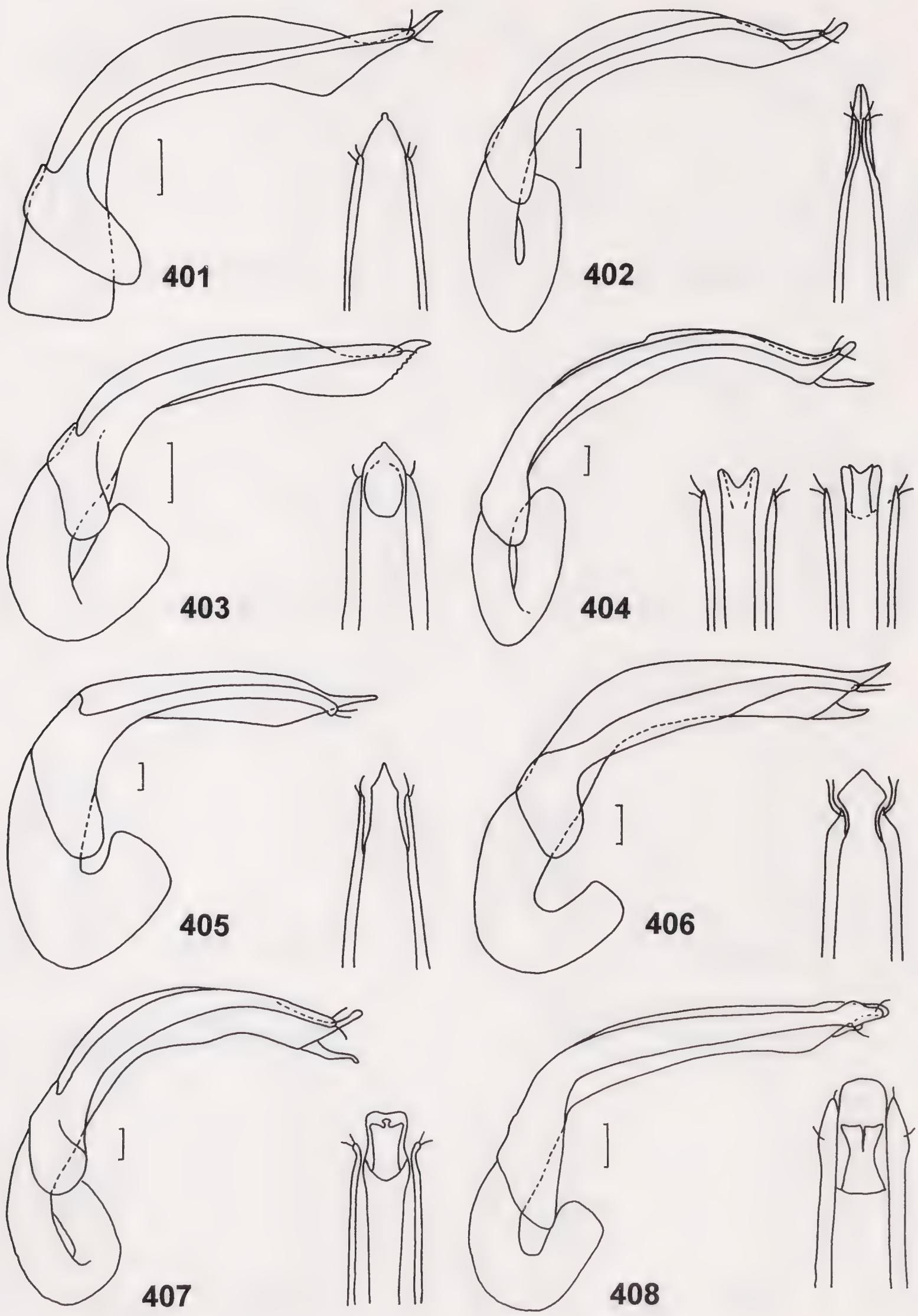

Figg. 401-408 - Edeago (visione laterale, dorsale e/o ventrale) di: 401, *Agathidium* (*Agathidium*) *acutum* Ang.; 402, *A.* (*A.*) *acuticorne* Ang.; 403, *A.* (*A.*) *yunnanicum* Ang. & Švec; 404, *A.* (*A.*) *indubium* Ang. & Dmz.; 405, *A.* (*A.*) *melancholicum* Ang. & Cooter; 406, *A.* (*A.*) *hani* Ang.; 407, *A.* (*A.*) *lugubre* Ang. & Dmz.; 408, *A.* (*A.*) *ovatum* Ang. & Dmz.Scala: 0,1 mm.

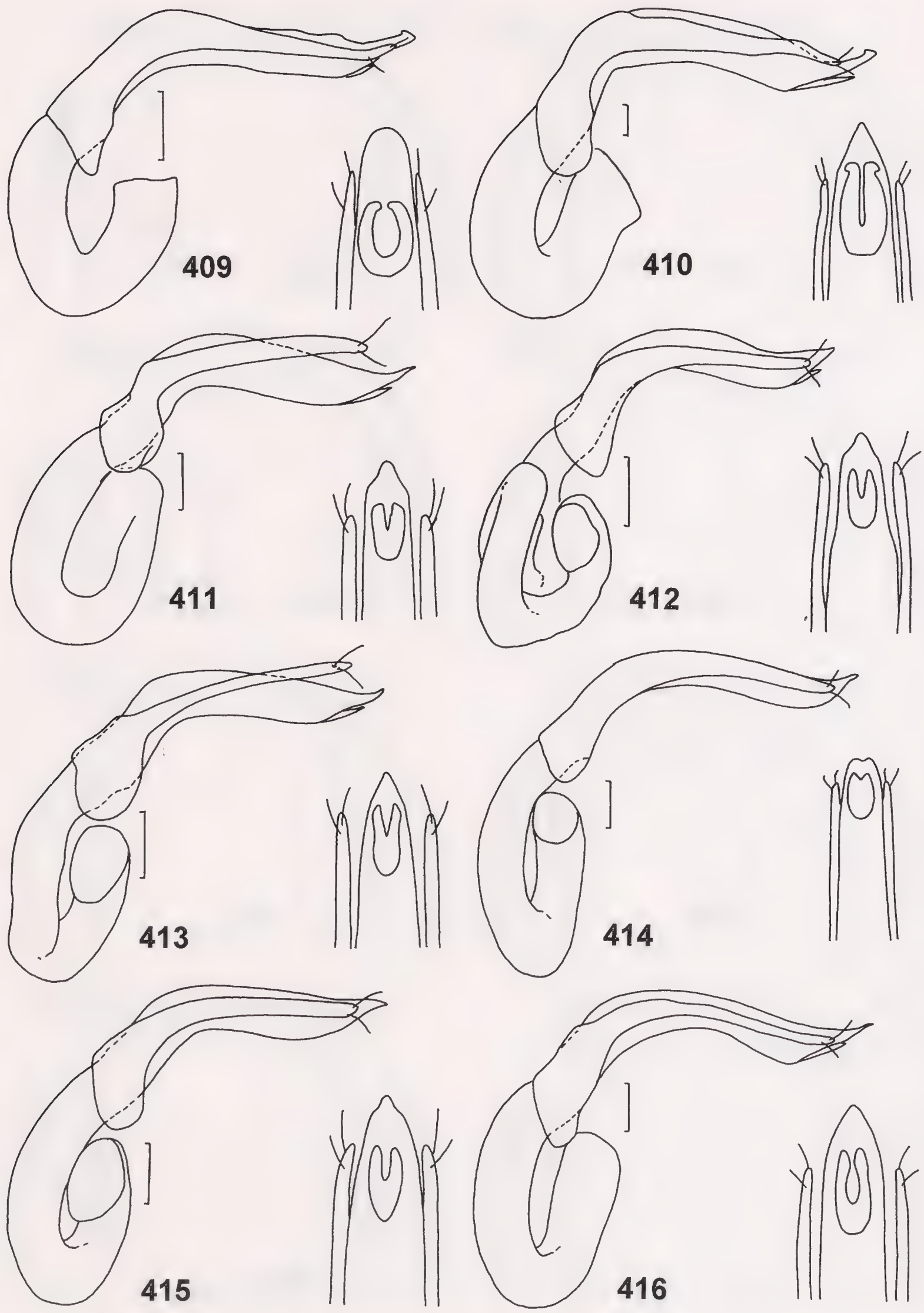

Figg. 409-416 - Edeago (visione laterale e ventrale) di: 409, *Agathidium* (*Agathidium*) *harmandi* Port.; 410, *A.* (*A.*) *gurka* Ang. & Dmz.; 411, *A.* (*A.*) *transversum* Ang. & Dmz.; 412, *A.* (*A.*) *phulcokiense* Ang. & Dmz.; 413, *A.* (*A.*) *cinereum* Ang. & Dmz.; 414, *A.* (*A.*) *martensianum* Ang. & Dmz.; 415, *A.* (*A.*) *tenebricosum* Ang. & Dmz.; 416, *A.* (*A.*) *fulvum* Ang. & Dmz. Scala: 0,1 mm.

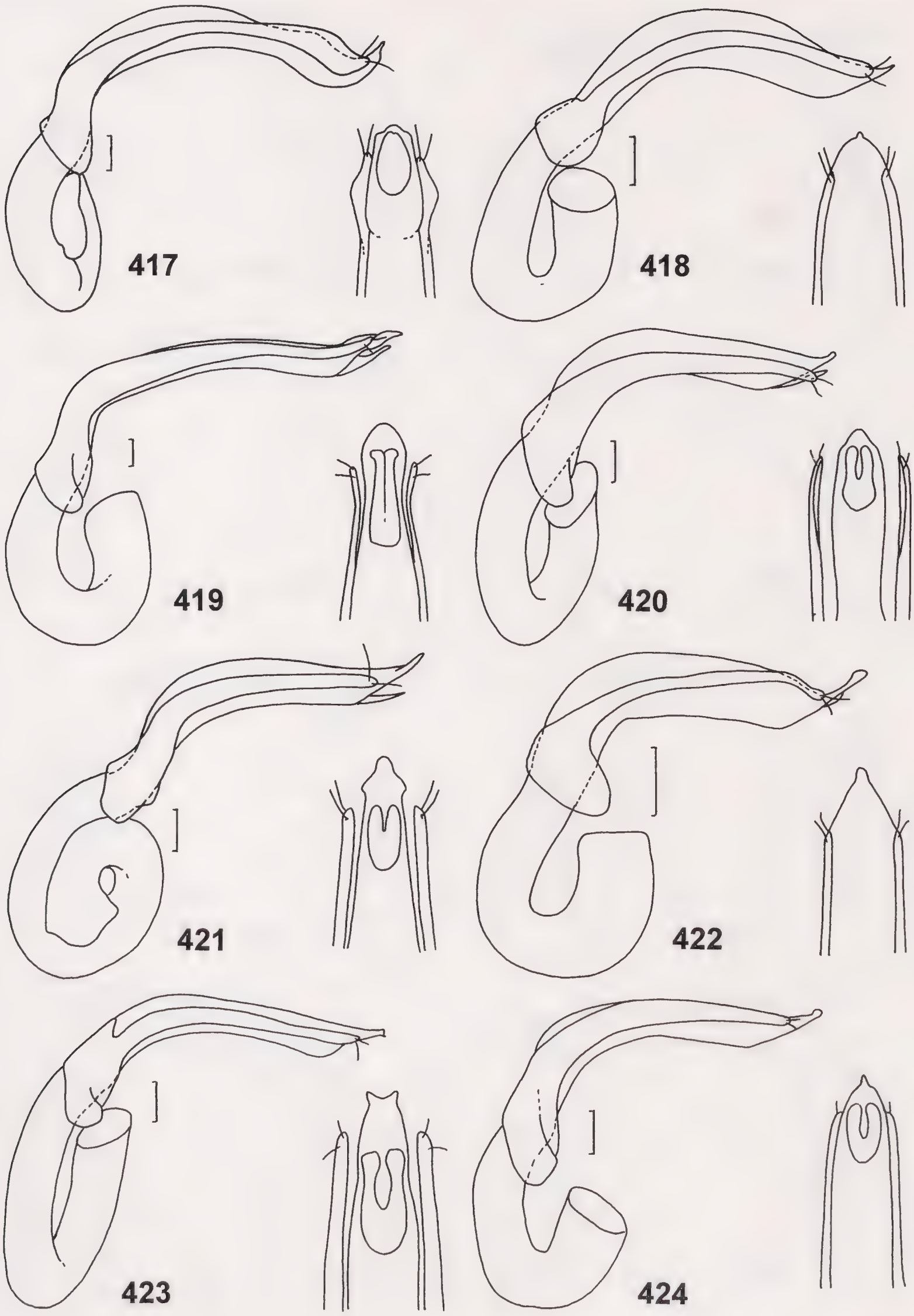

Figg. 417-424 - Edeago (visione laterale, ventrale o dorsale) di: 417, *Agathidium* (*Agathidium*) *daamsae* Ang. & Dmz.; 418, *A.* (*A.*) *pothanaense* Ang.; 419, *A.* (*A.*) *paria* Ang. & Dmz.; 420, *A.* (*A.*) *eremita* Ang. & Dmz.; 421, *A.* (*A.*) *montanum* Ang. & Dmz.; 422, *A.* (*A.*) *connexum* Ang.; 423, *A.* (*A.*) *bidentatum* Ang. & Dmz.; 424, *A.* (*A.*) *sparsum* Ang. & Dmz. Scala: 0,1 mm.

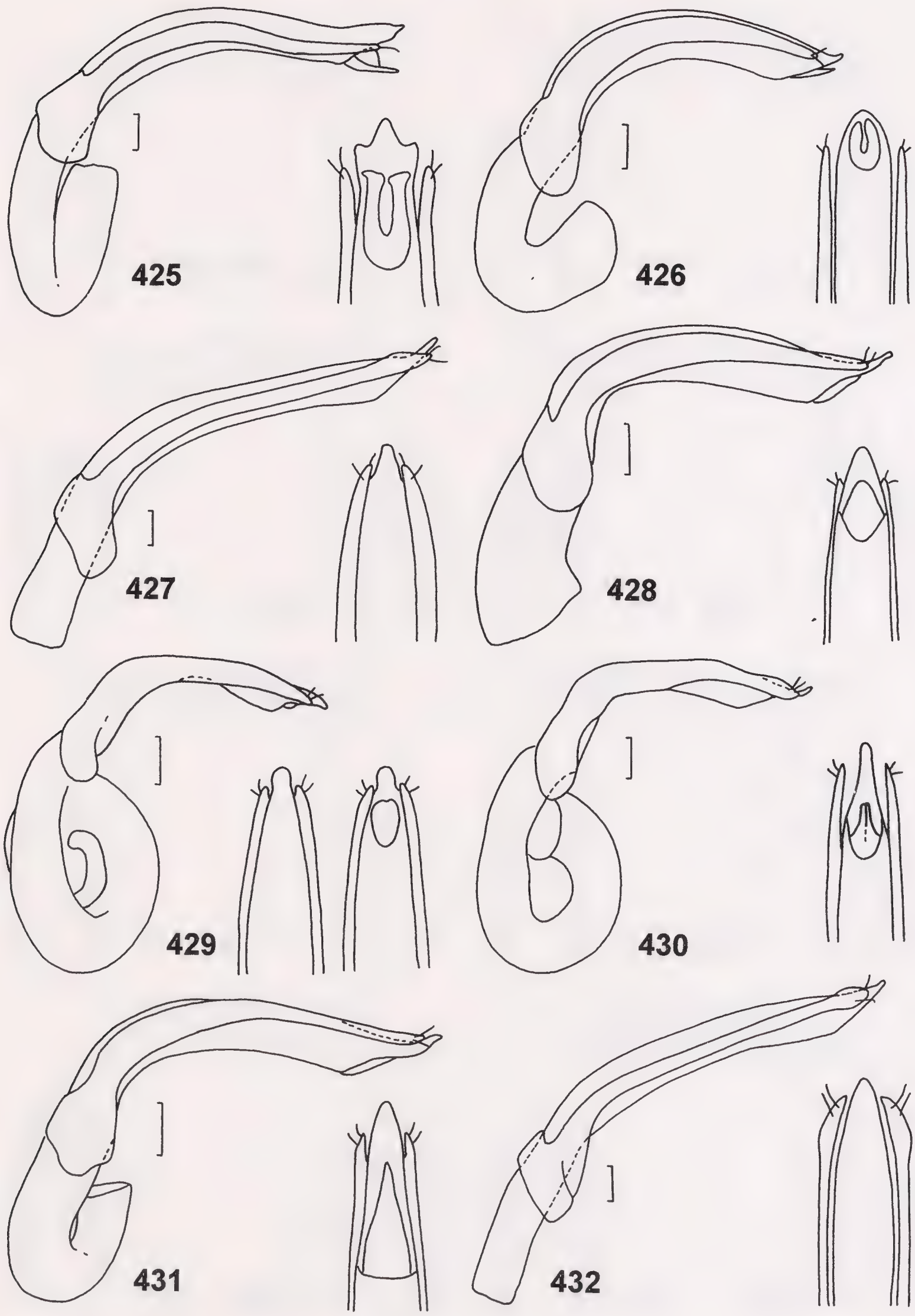

Figg. 425-432 - Edeago (visione laterale, dorsale e/o ventrale) di: 425, *Agathidium* (*Agathidium*) *tridentatum* Ang. & Dmz.; 426, *A.* (*A.*) *pseudoparia* Ang. & Dmz.; 427, *A.* (*A.*) *grossum* Ang.; 428, *A.* (*A.*) *lucidum* Ang. & Dmz.; 429, *A.* (*A.*) *honestum* Ang. & Dmz.; 430, *A.* (*A.*) *asphaltinum* Ang. & Dmz.; 431, *A.* (*A.*) *tenebroides* Ang. & Dmz.; 432, *A.* (*A.*) *griseum* Ang. Scala: 0,1 mm.

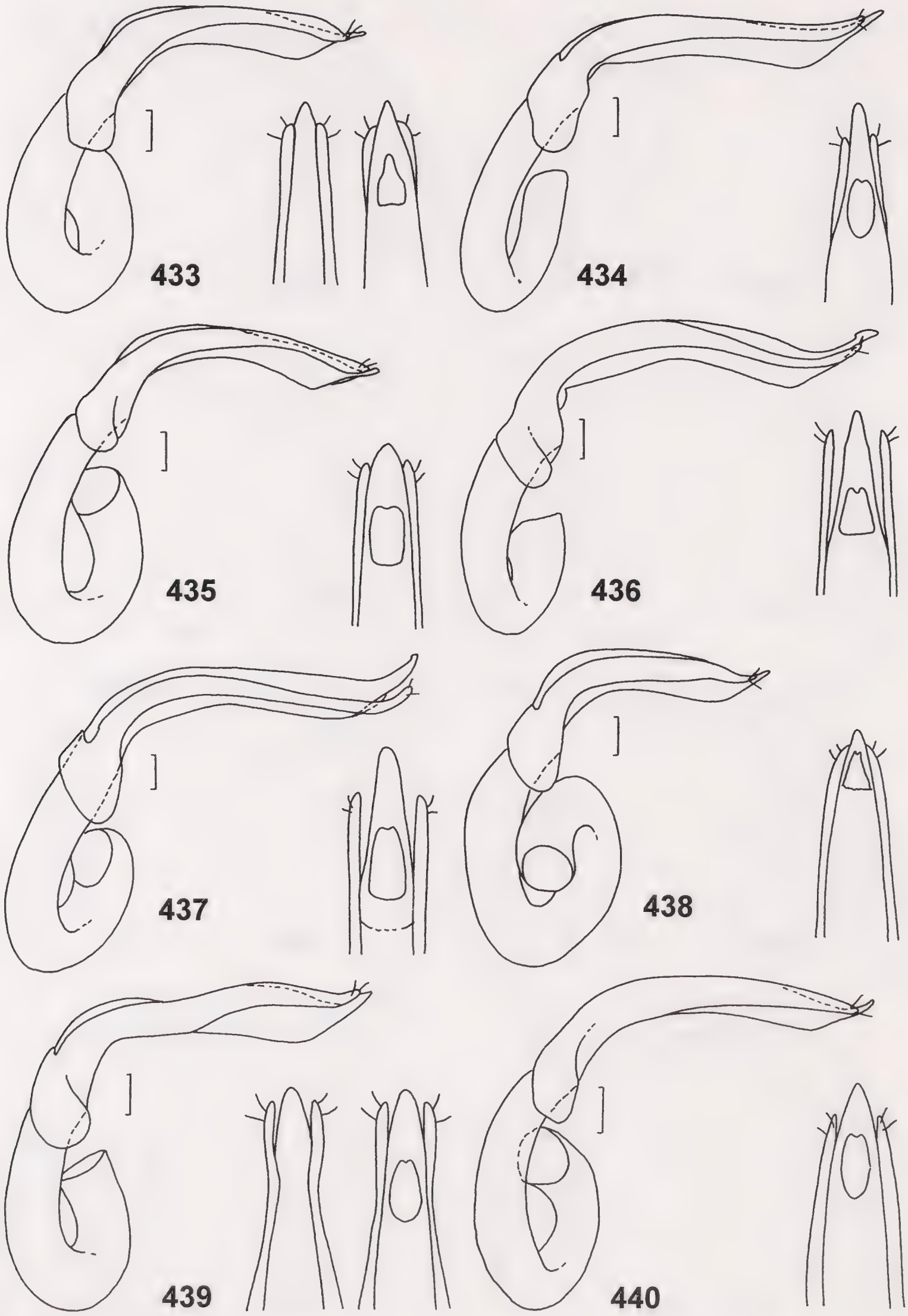

Figg. 433-440 - Edeago (visione laterale, dorsale e/o ventrale) di: 433, *Agathidium* (*Agathidium*) *fuscum* Ang. & Dmz.; 434, *A.* (*A.*) *umbratum* Ang. & Dmz.; 435, *A.* (*A.*) *lunatum* Ang. & Dmz.; 436, *A.* (*A.*) *pictum* Ang. & Dmz.; 437, *A.* (*A.*) *fenestratum* Ang. & Dmz.; 438, *A.* (*A.*) *fuliginosum* Ang. & Dmz.; 439, *A.* (*A.*) *chiaicum* Ang. & Dmz.; 440, *A.* (*A.*) *kaohsiungense* Ang. & Dmz. Scala: 0,1 mm.

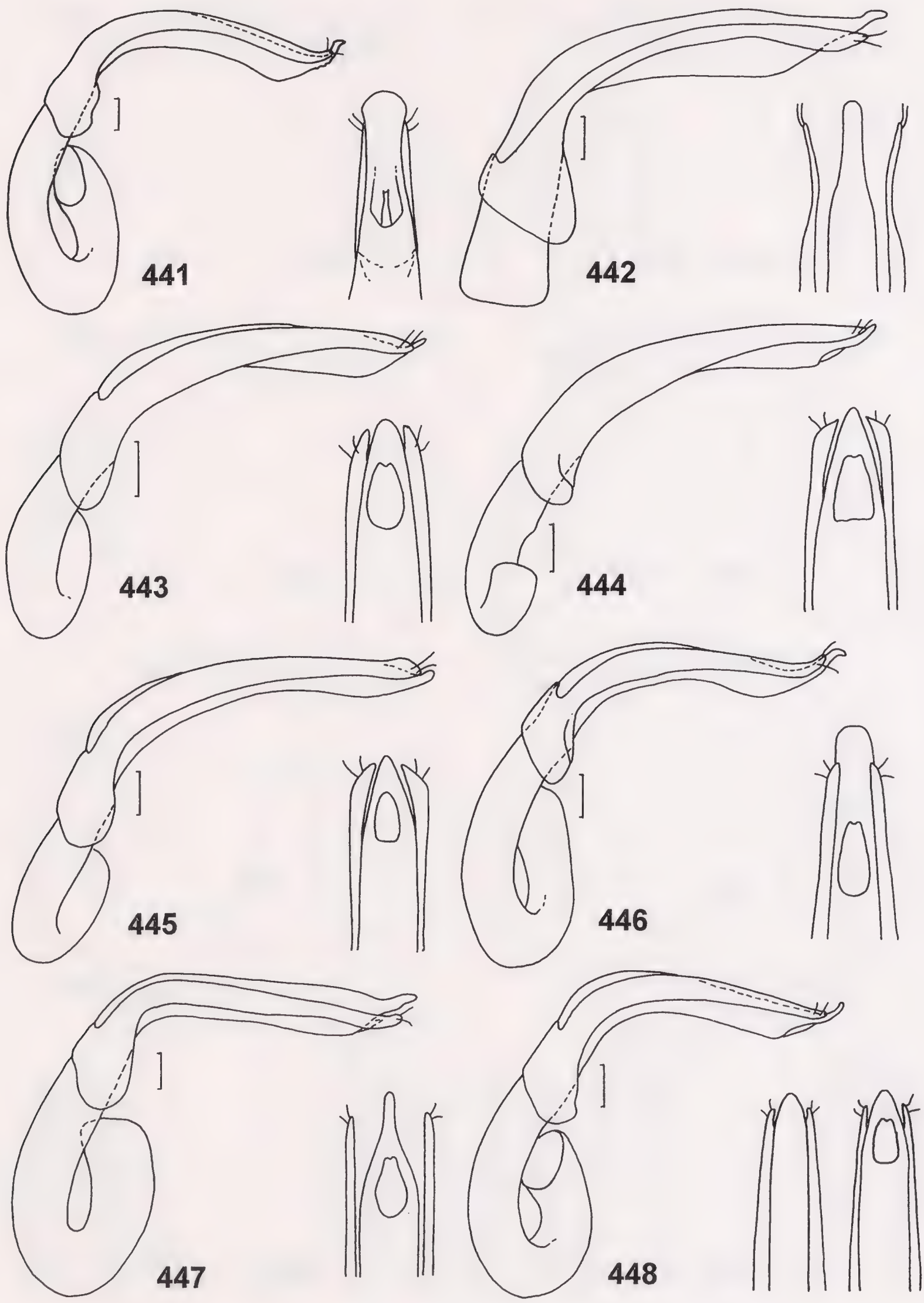

Figg. 441-448 - Edeago (visione laterale, dorsale e/o ventrale) di: 441, *Agathidium* (*Agathidium*) *tessellatum* Ang. & Dmz.; 442, *A.* (*A.*) *subsinuatum* Ang.; 443, *A.* (*A.*) *discretum* Ang. & Dmz.; 444, *A.* (*A.*) *chalconotum* Ang. & Dmz.; 445, *A.* (*A.*) *splendidulum* Ang. & Dmz.; 446, *A.* (*A.*) *intricatum* Ang. & Dmz.; 447, *A.* (*A.*) *melanocephalum* Ang. & Dmz.; 448, *A.* (*A.*) *anmashanense* Ang. & Dmz. Scala: 0,1 mm.

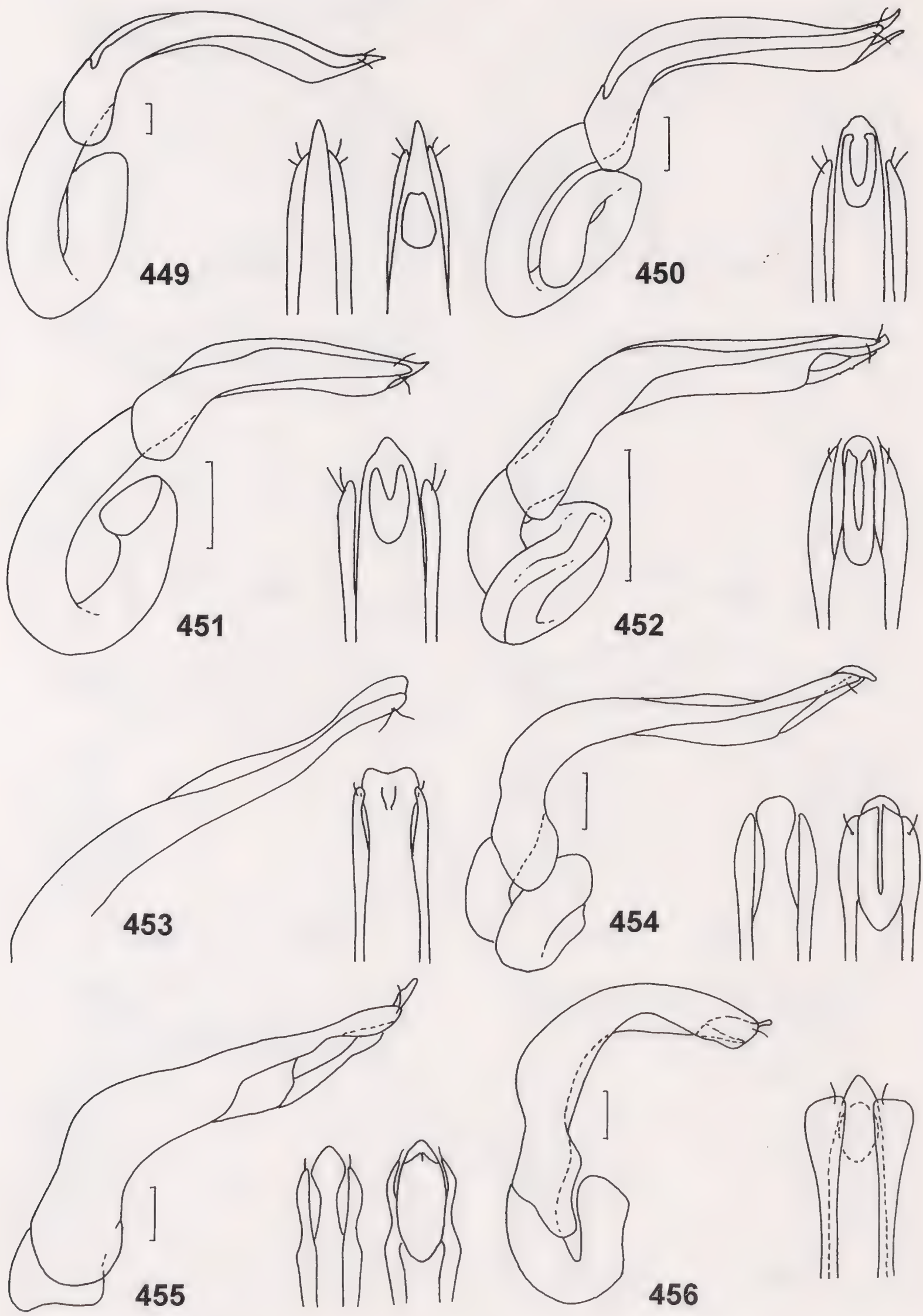

Figg. 449-456 - Edeago (visione laterale, dorsale e/o ventrale) di: 449, *Agathidium* (*Agathidium*) *meifengense* Ang. & Dmz.; 450, *A.* (*A.*) *ducentesimum* Ang. & Dmz.; 451, *A.* (*A.*) *ilvense* Ang. & Dmz.; 452, *A.* (*A.*) *pseudomontanellum* Ang. & Dmz.; 453, *A.* (*A.*) *collinsi* Ang. & Cooter; 454, *A.* (*Euryceble*) *illustre* Ang. & Dmz.; 455, *A.* (*E.*) *acridulum* Ang.; 456, *A.* (*E.*) *leytense* Ang. Scala: 0,1 mm.

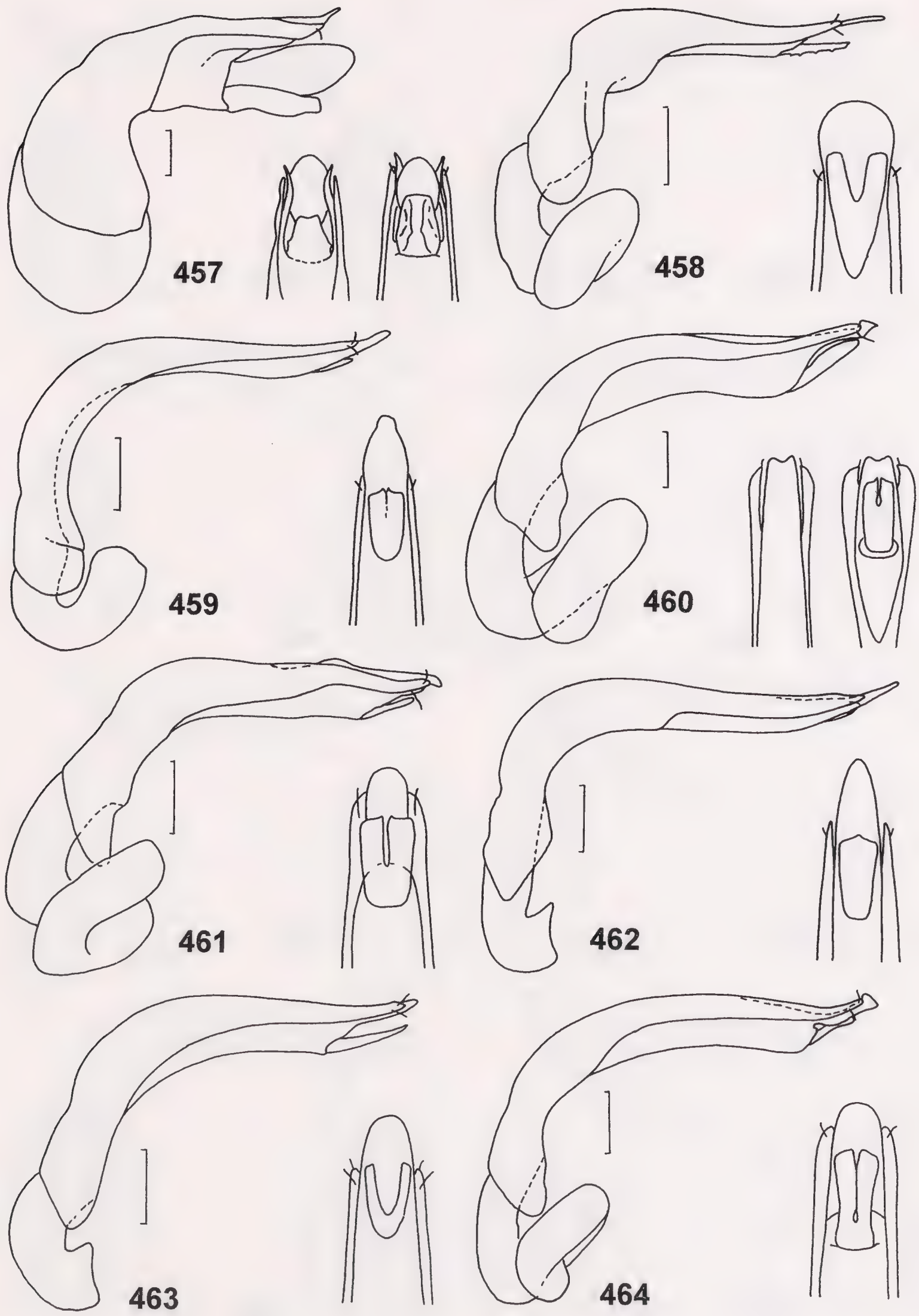

Figg. 457-464 - Edeago (visione laterale, dorsale e/o ventrale) di: 457, *Agathidium* (*Euryceble*) *montuosum* Ang. & Dmz.; 458, *A.* (*Microceble*) *loeblianum* Ang. & Dmz.; 459, *A.* (*Micr.*) *pileti* Ang. & Dmz.; 460, *A.* (*Micr.*) *kuchingense* Ang.; 461, *A.* (*Micr.*) *maculatum* Ang. & Cooter (originale); 462, *A.* (*Micr.*) *crockerense* Ang. & Dmz.; 463, *A.* (*Micr.*) *malignum* Ang. & Dmz.; 464, *A.* (*Micr.*) *optatum* Ang. & Dmz. Scala: 0,1 mm.

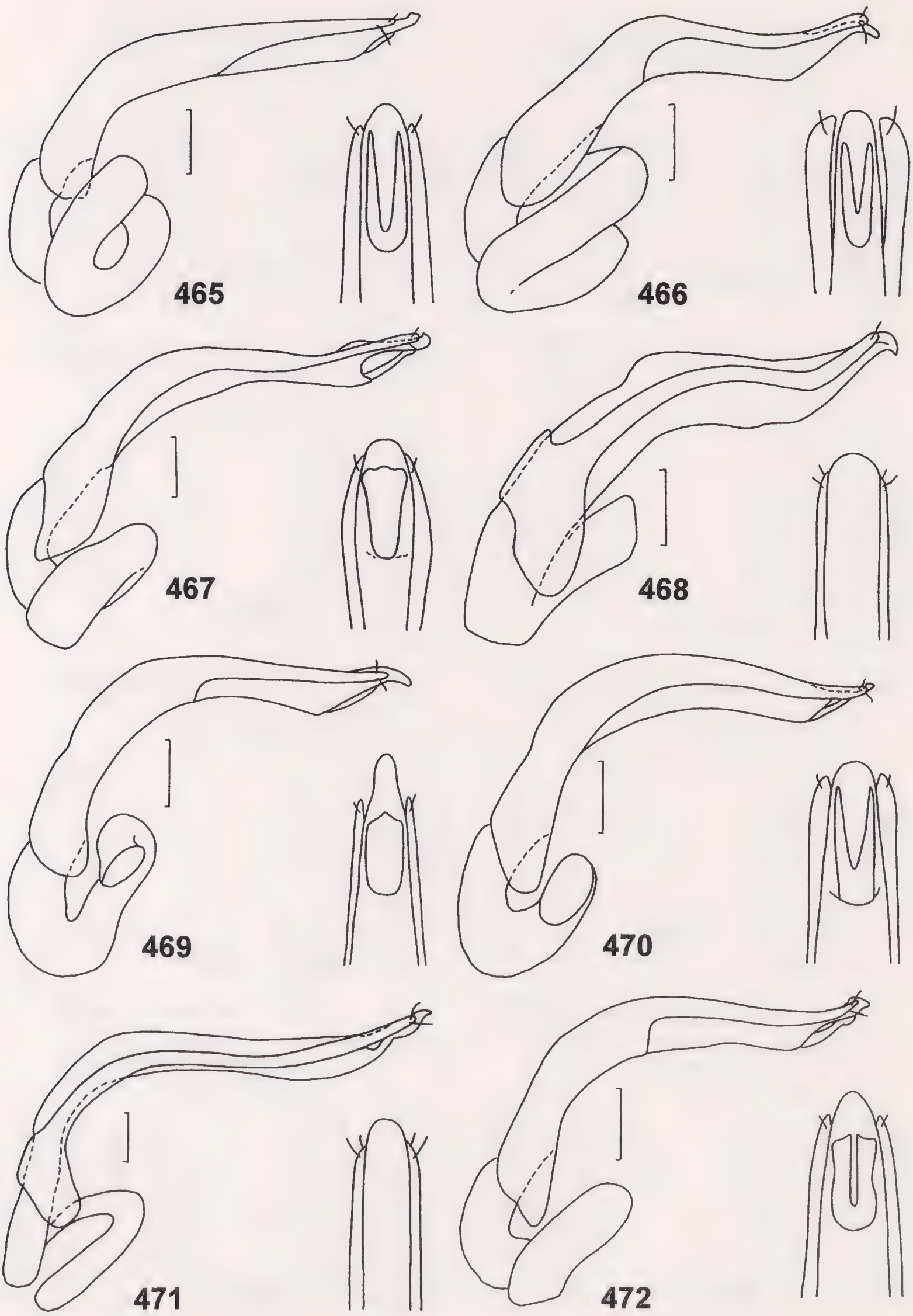

Figg. 465-472 - Edeago (visione laterale, ventrale o dorsale) di: 465, *Agathidium* (*Microceble*) *quadrimaculatum* Ang. & Dmz.; 466, *A.* (*Micr.*) *abiectum* Ang. & Dmz.; 467, *A.* (*Micr.*) *nebulosum* Ang. & Dmz.; 468, *A.* (*Micr.*) *recurvum* Ang.; 469, *A.* (*Micr.*) *sabahense* Ang. & Dmz.; 470, *A.* (*Micr.*) *aequale* Ang. & Dmz.; 471, *A.* (*Micr.*) *elongatum* Ang.; 472, *A.* (*Micr.*) *indefinitum* Ang. & Dmz. Scala: 0,1 mm.

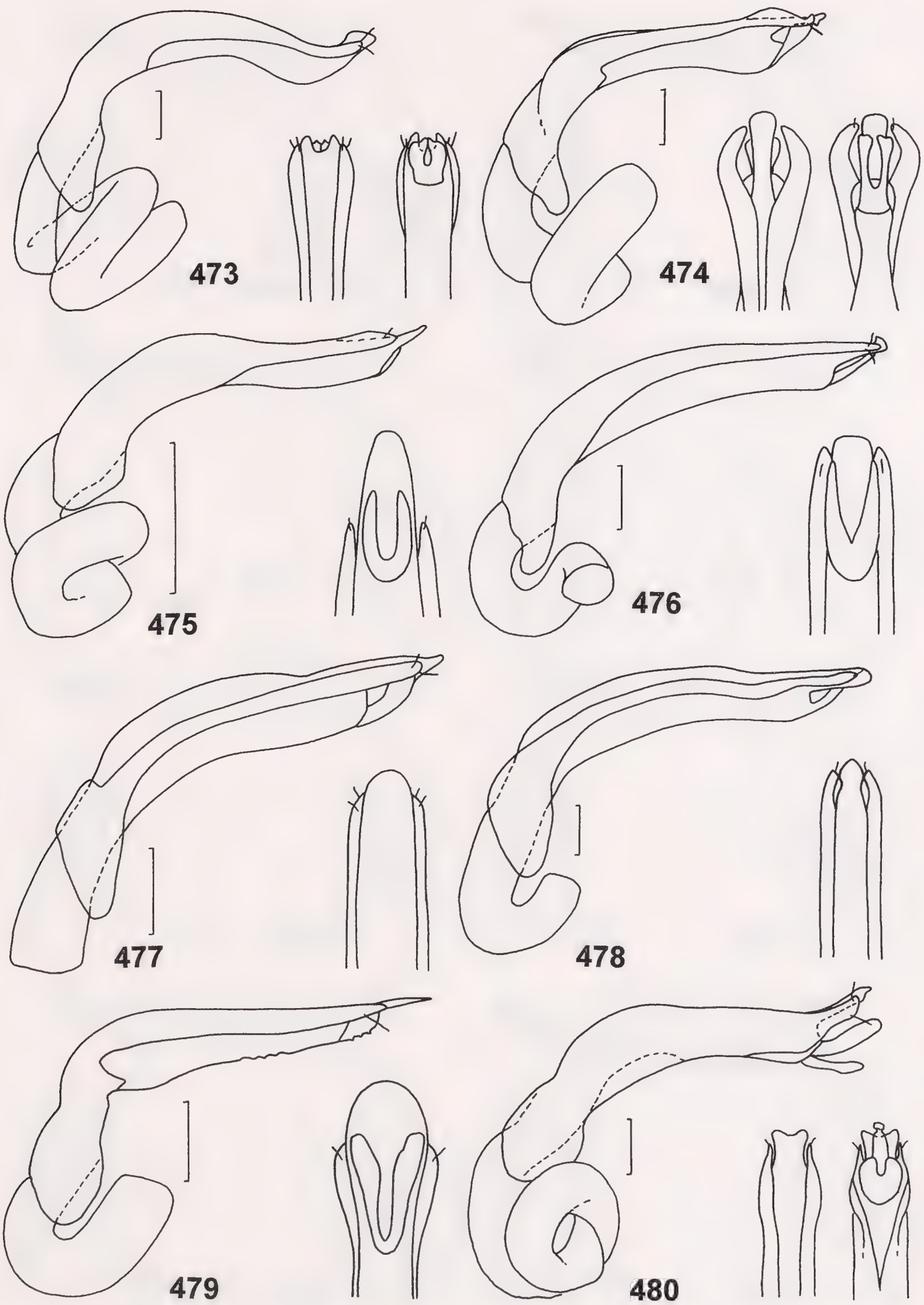

Figg. 473-480 - Edeago (visione laterale, dorsale e/o ventrale) di: 473, *Agathidium* (*Microceble*) *magnificum* Ang.; 474, *A.* (*Micr.*) *aeternum* Ang. & Dmz.; 475, *A.* (*Micr.*) *xerampelinum* Ang. & Dmz.; 476, *A.* (*Micr.*) *arcuatum* Ang. & Cooter; 477, *A.* (*Micr.*) *semiarcuatum* Ang.; 478, *A.* (*Micr.*) *obesum* Ang.; 479, *A.* (*Micr.*) *interruptum* Ang. & Dmz.; 480, *A.* (*Micr.*) *saundersi* Ang. & Cooter (originale). Scala: 0,1 mm.

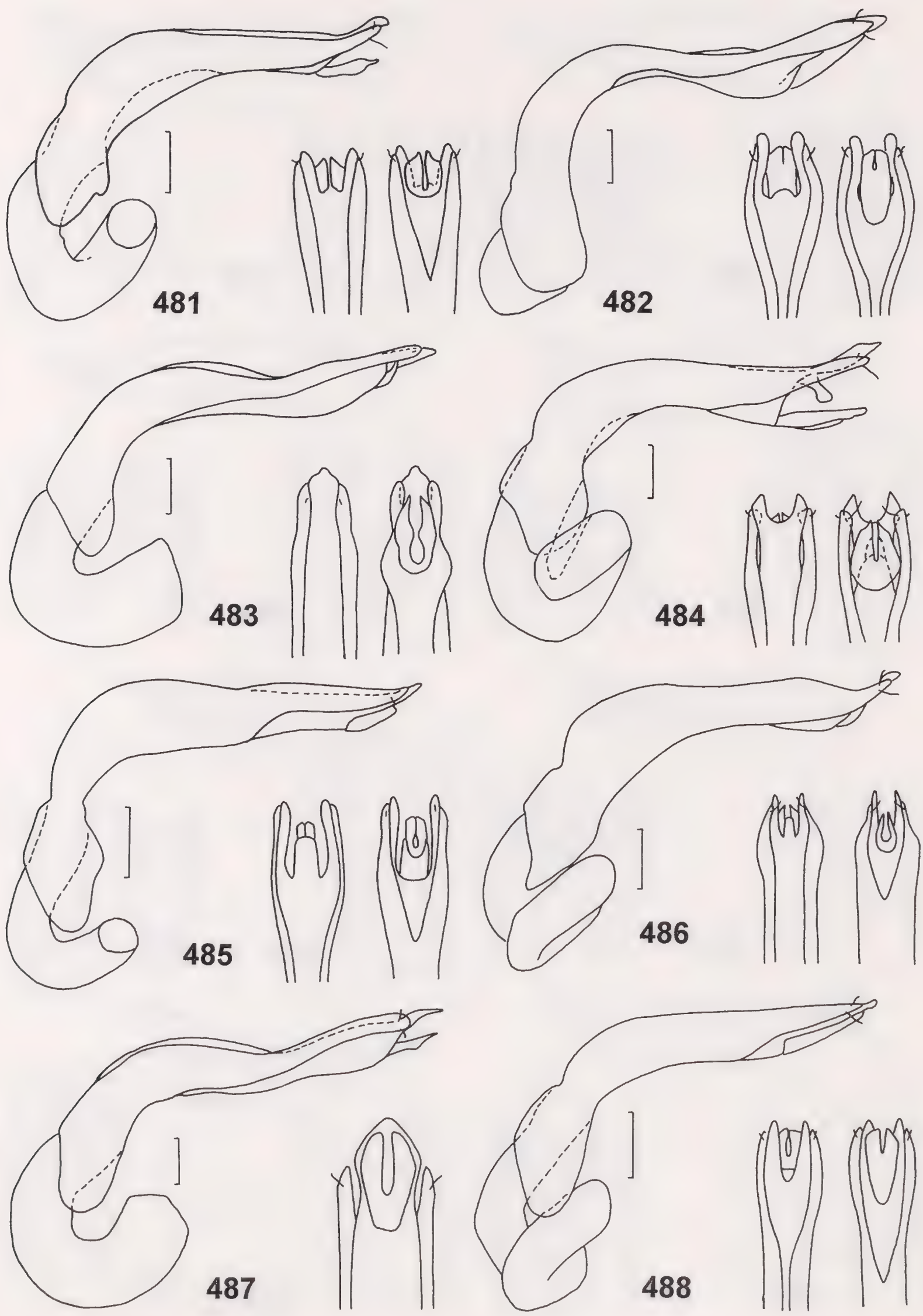

Figg. 481-488 - Edeago (visione laterale, dorsale e/o ventrale) di: 481, *Agathidium* (*Microceble*) *silvarum* Ang. & Dmz.; 482, *A.* (*Micr.*) *rama* Ang. & Dmz.; 483, *A.* (*Micr.*) *melanarium* Ang. & Švec; 484, *A.* (*Micr.*) *pahangense* Ang.; 485, *A.* (*Micr.*) *javanicum* Ang. & Dmz.; 486, *A.* (*Micr.*) *gentingense* Ang. & Dmz.; 487, *A.* (*Micr.*) *klapperichi* Ang. & Dmz.; 488, *A.* (*Micr.*) *monticola* Ang. & Dmz. Scala: 0,1 mm.

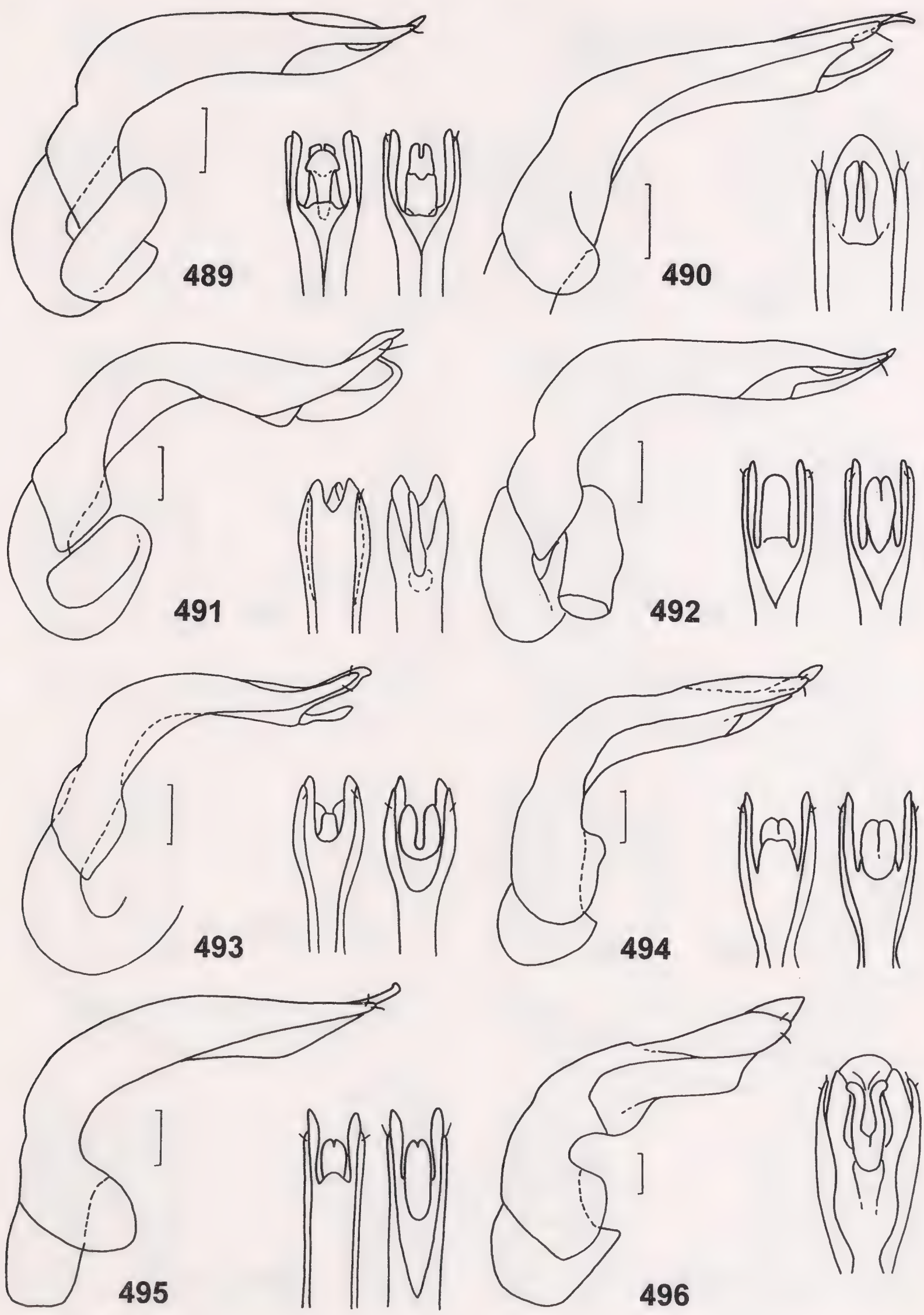

Figg. 489-496 - Edeago (visione laterale, dorsale e/o ventrale) di: 489, *Agathidium* (*Microceble*) *schillhammeri* Ang.; 490, *A.* (*Micr.*) *corticinum* Ang. & Dmz.; 491, *A.* (*Micr.*) *simum* Ang. & Dmz.; 492, *A.* (*Micr.*) *vulneratum* Ang. & Dmz.; 493, *A.* (*Micr.*) *infuscatum* Ang. & Dmz.; 494, *A.* (*Micr.*) *gracile* Ang. & Dmz.; 495, *A.* (*Micr.*) *immodicum* Ang. & Dmz.; 496, *A.* (*Micr.*) *taru* Ang. & Dmz. Scala: 0,1 mm.

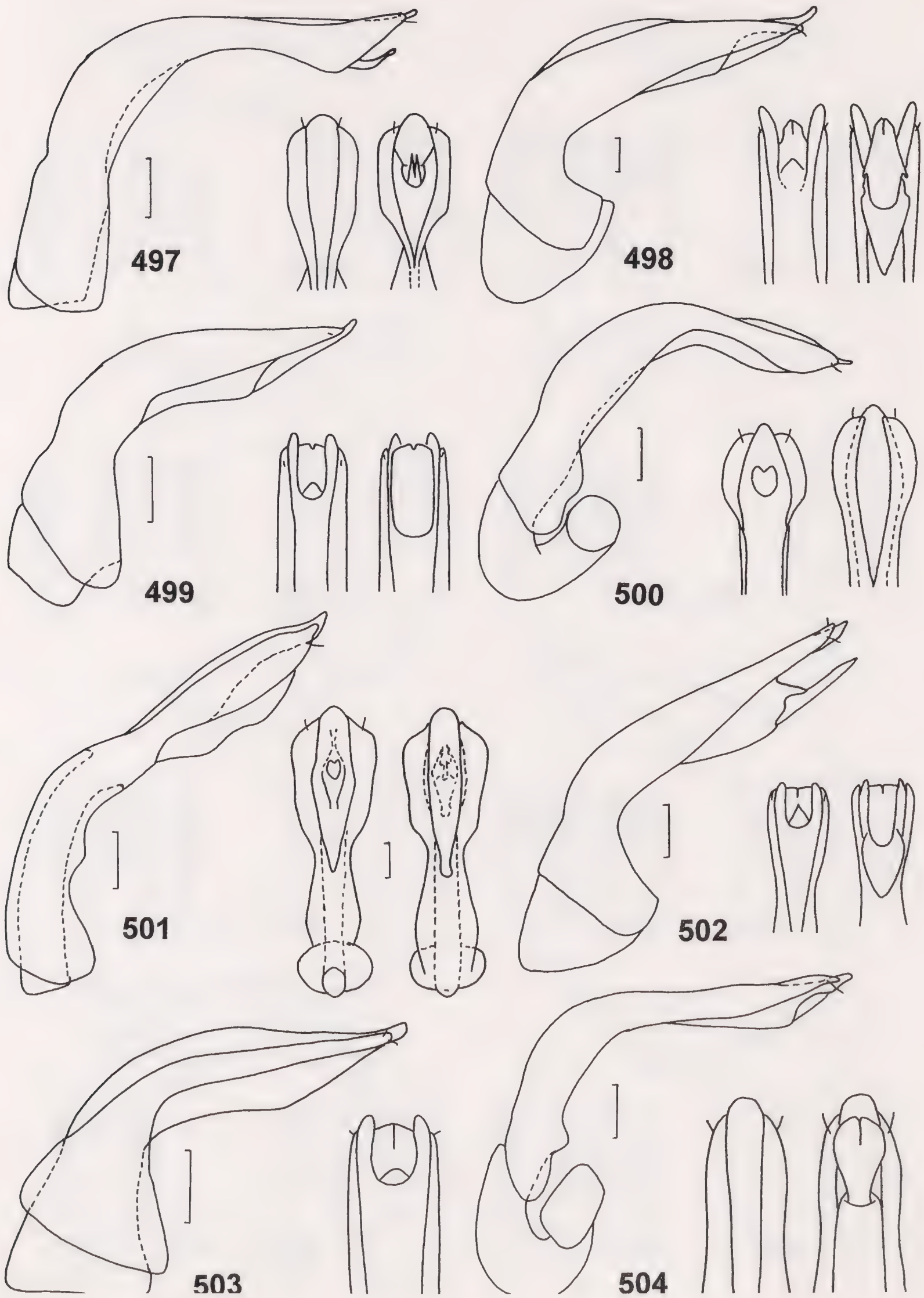

Figg. 497-504 - Edeago (visione laterale, ventrale e/o dorsale) di: 497, *Agathidium* (*Microceble*) *modiglianii* Ang.; 498, *A.* (*Micr.*) *maculicolle* Champ.; 499, *A.* (*Micr.*) *fumosum* Ang. & Dmz.; 500, *A.* (*Micr.*) *deharvengi* Ang.; 501, *A.* (*Micr.*) *enigmaticum* Ang. & Cooter; 502, *A.* (*Micr.*) *laticorne* Port.; 503, *A.* (*Micr.*) *yaanense* Ang.; 504, *A.* (*Micr.*) *amplum* Ang. & Dmz. Scala: 0,1 mm.

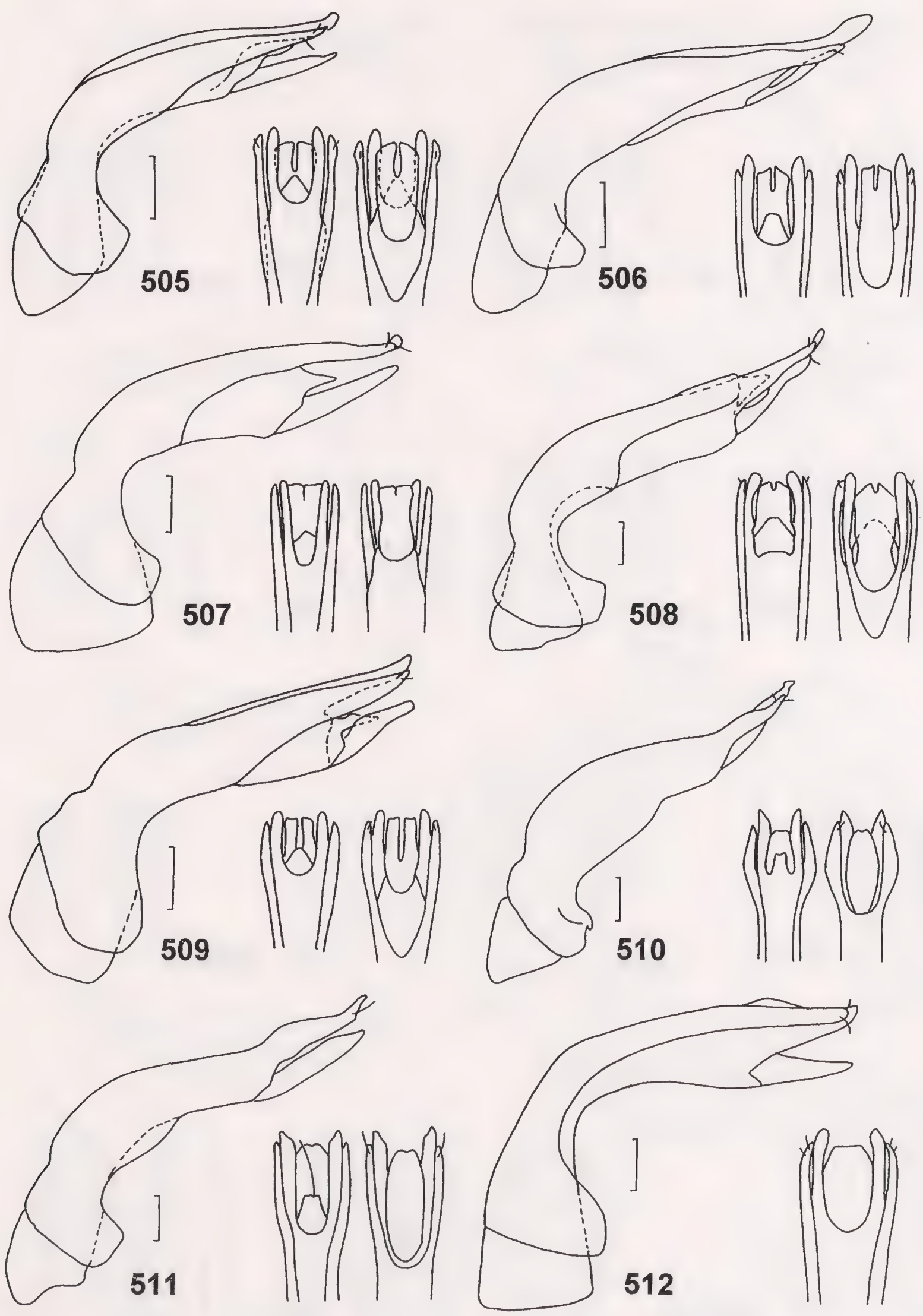

Figg. 505-512 - Edeago (visione laterale, ventrale e/o dorsale) di: 505, *Agathidium* (*Microceble*) *semirufum* Ang. & Dmz.; 506, *A.* (*Micr.*) *kinabaluense* Ang. & Dmz.; 507, *A.* (*Micr.*) *grouvellei* Port.; 508, *A.* (*Micr.*) *poggii* Ang.; 509, *A.* (*Micr.*) *mirificum* Ang. & Dmz.; 510, *A.* (*Micr.*) *godawaricum* Ang. & Dmz.; 511, *A.* (*Micr.*) *yamputhinense* Ang. & Dmz.; 512, *A.* (*Micr.*) *kaderi* Ang. Scala: 0,1 mm.

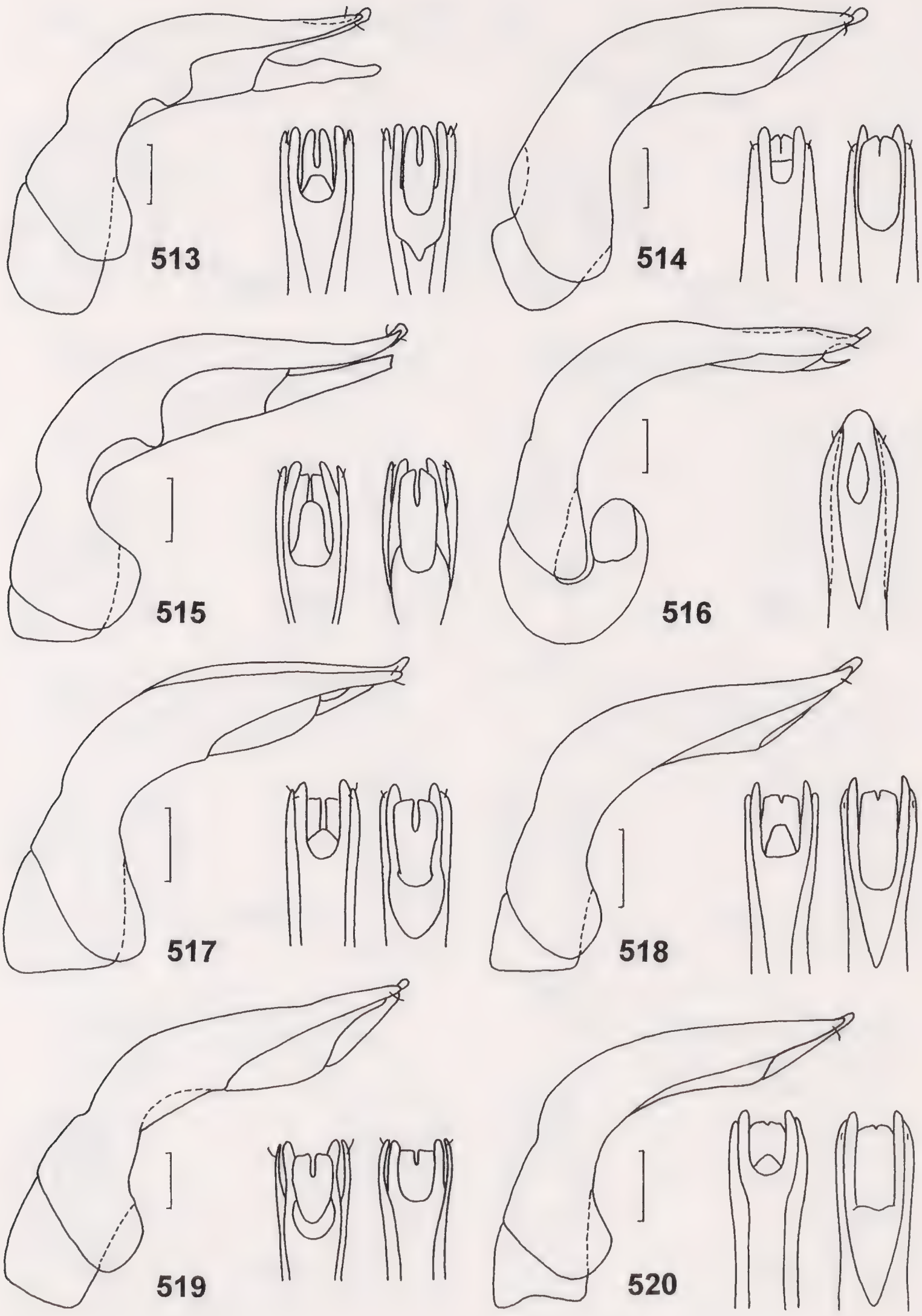

Figg. 513-520 - Edeago (visione laterale, dorsale e/o ventrale) di: 513, *Agathidium* (*Microceble*) *insolitum* Ang. & Dmz.; 514, *A.* (*Micr.*) *opulentum* Ang. & Dmz.; 515, *A.* (*Micr.*) *jambicum* Ang. & Dmz.; 516, *A.* (*Micr.*) *cooteri* Ang. & Dmz.; 517, *A.* (*Micr.*) *amictum* Ang. & Dmz.; 518, *A.* (*Micr.*) *darbyi darbyi* Ang. & Cooter; 519, *A.* (*Micr.*) *bolmi* Ang.; 520, *A.* (*Micr.*) *argutum* Ang. & Dmz. Scala: 0,1 mm.

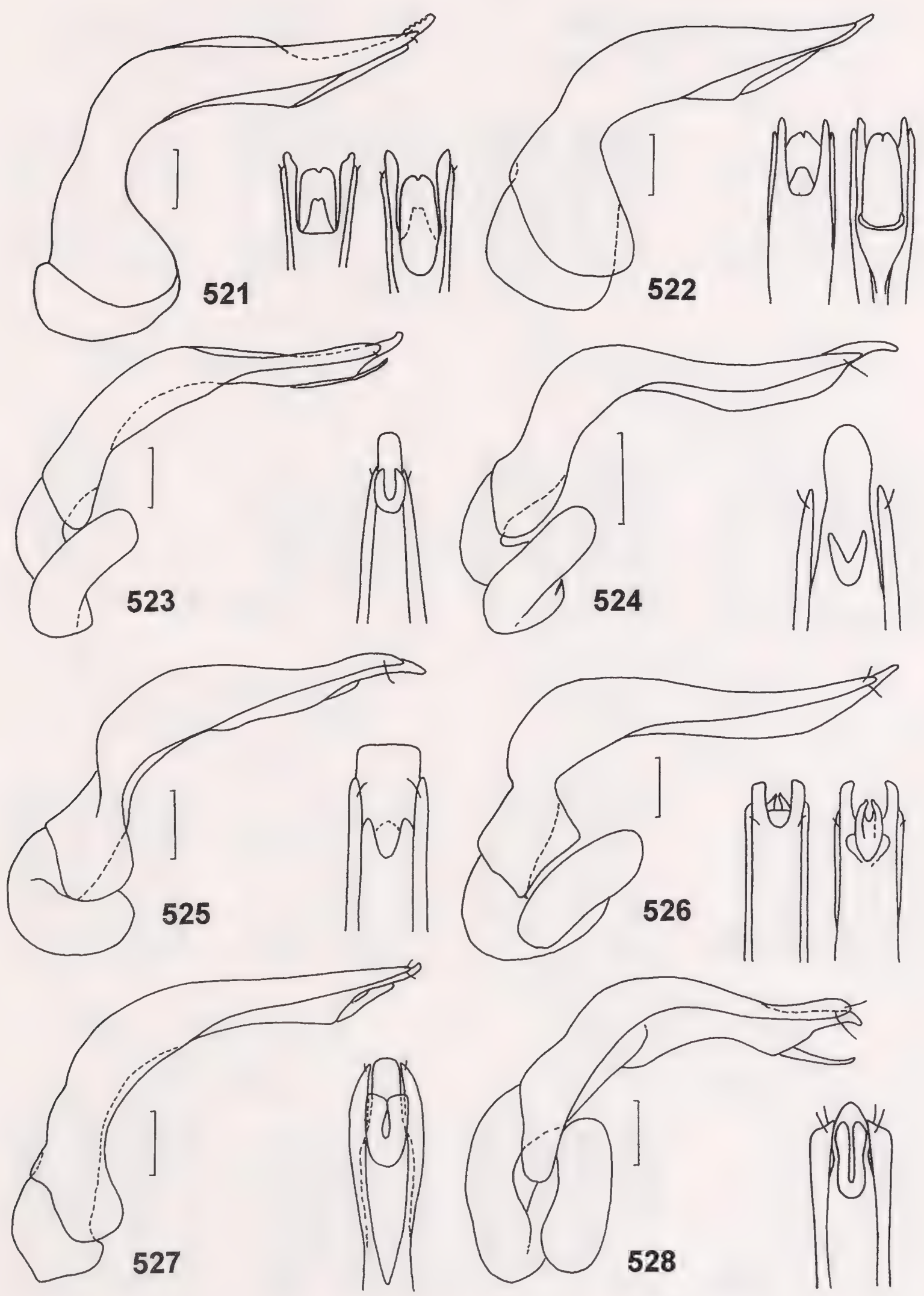

Figg. 521-528 - Edeago (visione laterale, dorsale e/o ventrale) di: 521, *Agathidium* (*Microceble*) *puncticolle* Cooter; 522, *A.* (*Micr.*) *darbyi sulawesicum* Ang. & Cooter; 523, *A.* (*Micr.*) *sarawakense* Ang. & Cooter (originale); 524, *A.* (*Micr.*) *abruptum* Ang. & Dmz.; 525, *A.* (*Micr.*) *ebeninum* Ang. & Dmz.; 526, *A.* (*Micr.*) *exaratum* Ang. & Dmz.; 527, *A.* (*Micr.*) *palnicum* Ang. & Dmz.; 528, *A.* (*Micr.*) *solutum* Ang. & Dmz. Scala: 0,1 mm.

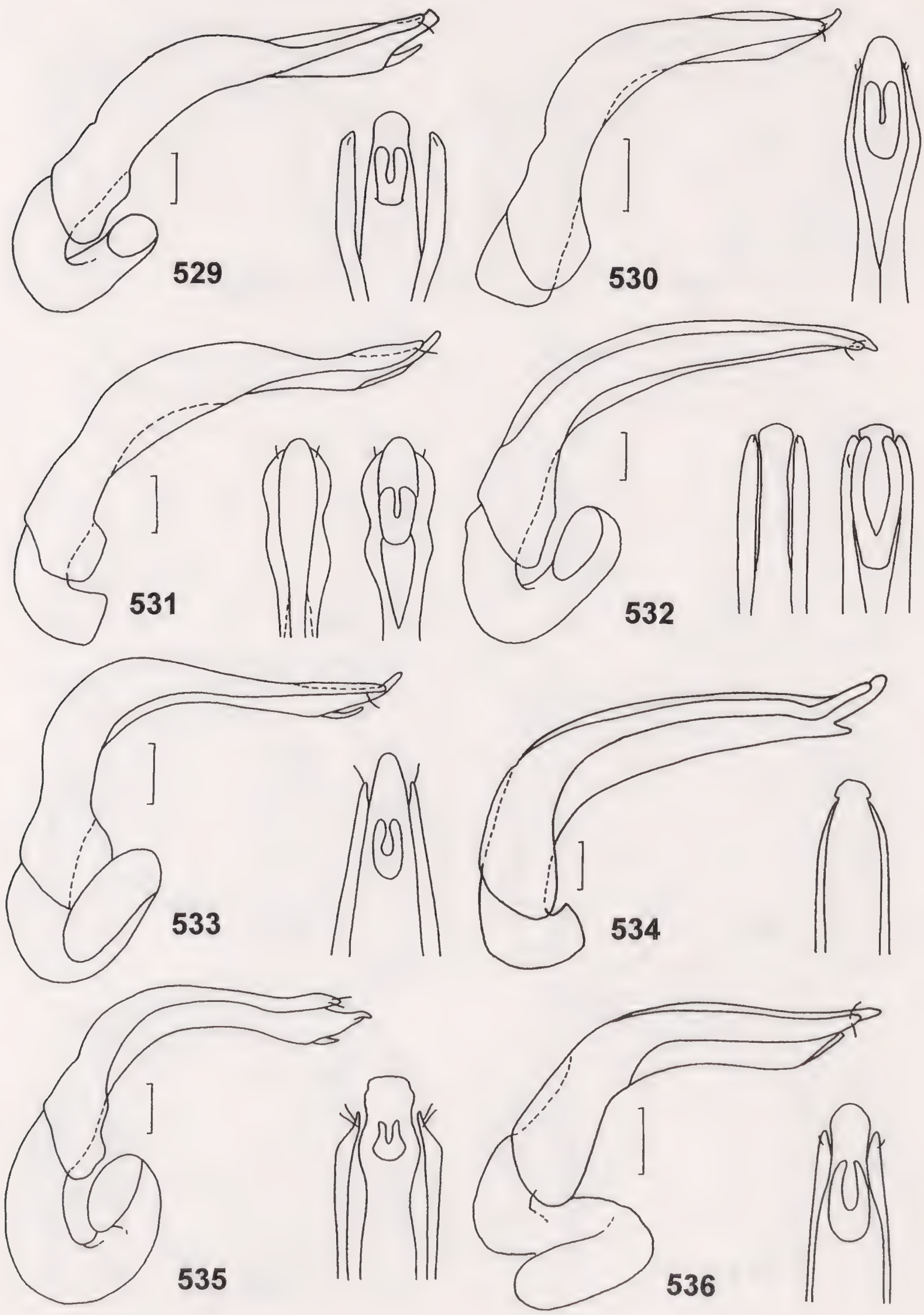

Figg. 529-536 - Edeago (visione laterale, dorsale e/o ventrale) di: 529, *Agathidium* (*Microceble*) *andrewesi* Port.; 530, *A.* (*Micr.*) *assamense* Ang. & Dmz.; 531, *A.* (*Micr.*) *pseudopalnicun* Ang. & Švec; 532, *A.* (*Micr.*) *elegans* Ang. & Dmz.; 533, *A.* (*Micr.*) *minusculum* Ang.; 534, *A.* (*Micr.*) *serratum* Ang.; 535, *A.* (*Micr.*) *duofoveatum* Ang. & Dmz.; 536, *A.* (*Micr.*) *sevokense* Ang. & Dmz. Scala: 0,1 mm.

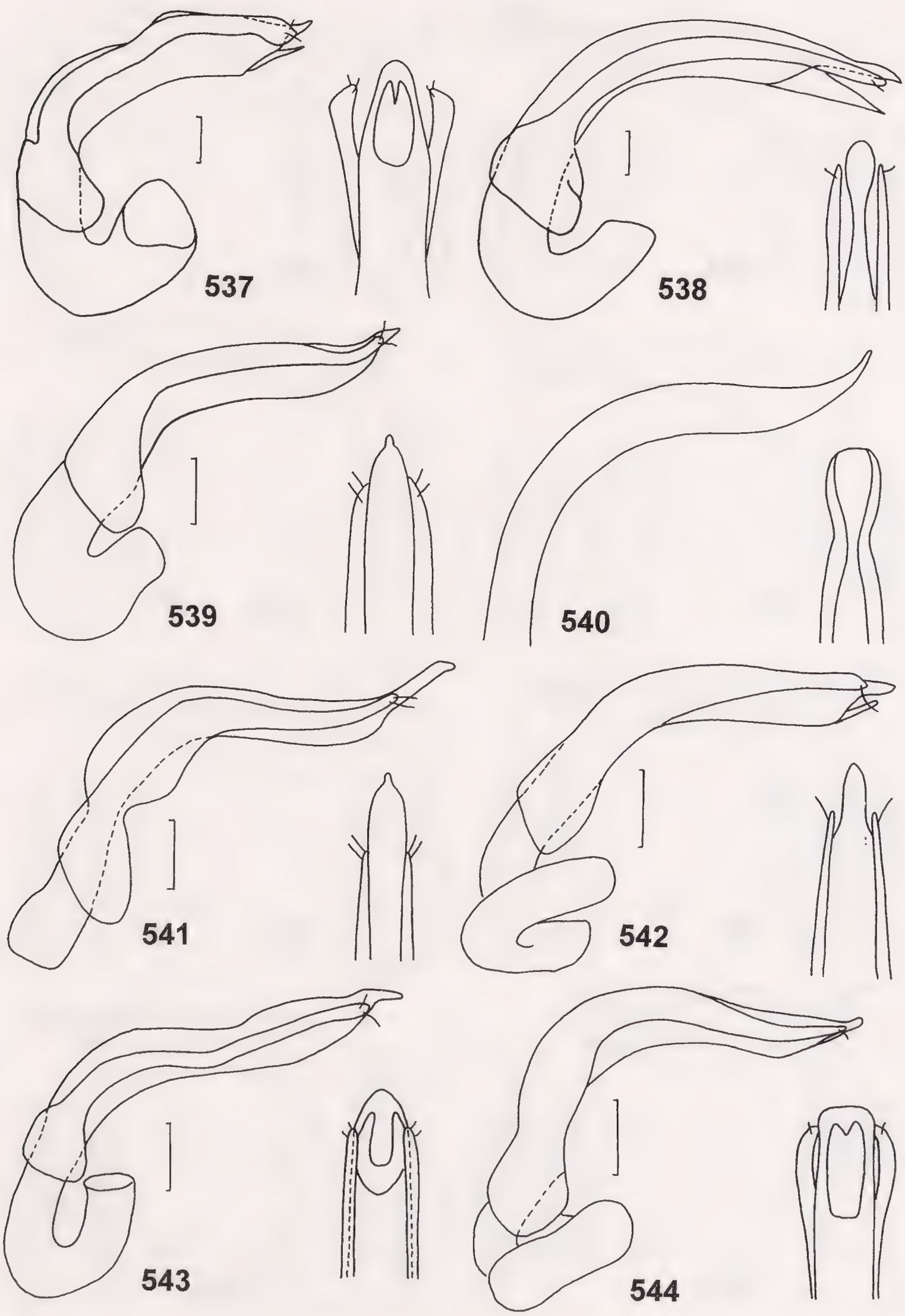

Figg. 537-544 - Edeago (visione laterale, ventrale o dorsale) di: 537, *Agathidium* (*Microceble*) *ravana* Ang. & Dmz.; 538, *A.* (*Micr.*) *farkaci* Ang.; 539, *A.* (*Micr.*) *limbatum* Ang.; 540, *A.* (*Micr.*) *globulosum* Hlisn. (da Hlisnikovský, 1972; 541, *A.* (*Micr.*) *filiforme* Ang.; 542, *A.* (*Micr.*) *hammondi* Ang. & Cooter (originale); 543, *A.* (*Micr.*) *wangi* Ang. & Cooter; 544, *A.* (*Micr.*) *rufoatrum* Ang. & Dmz. Scala: 0,1 mm.

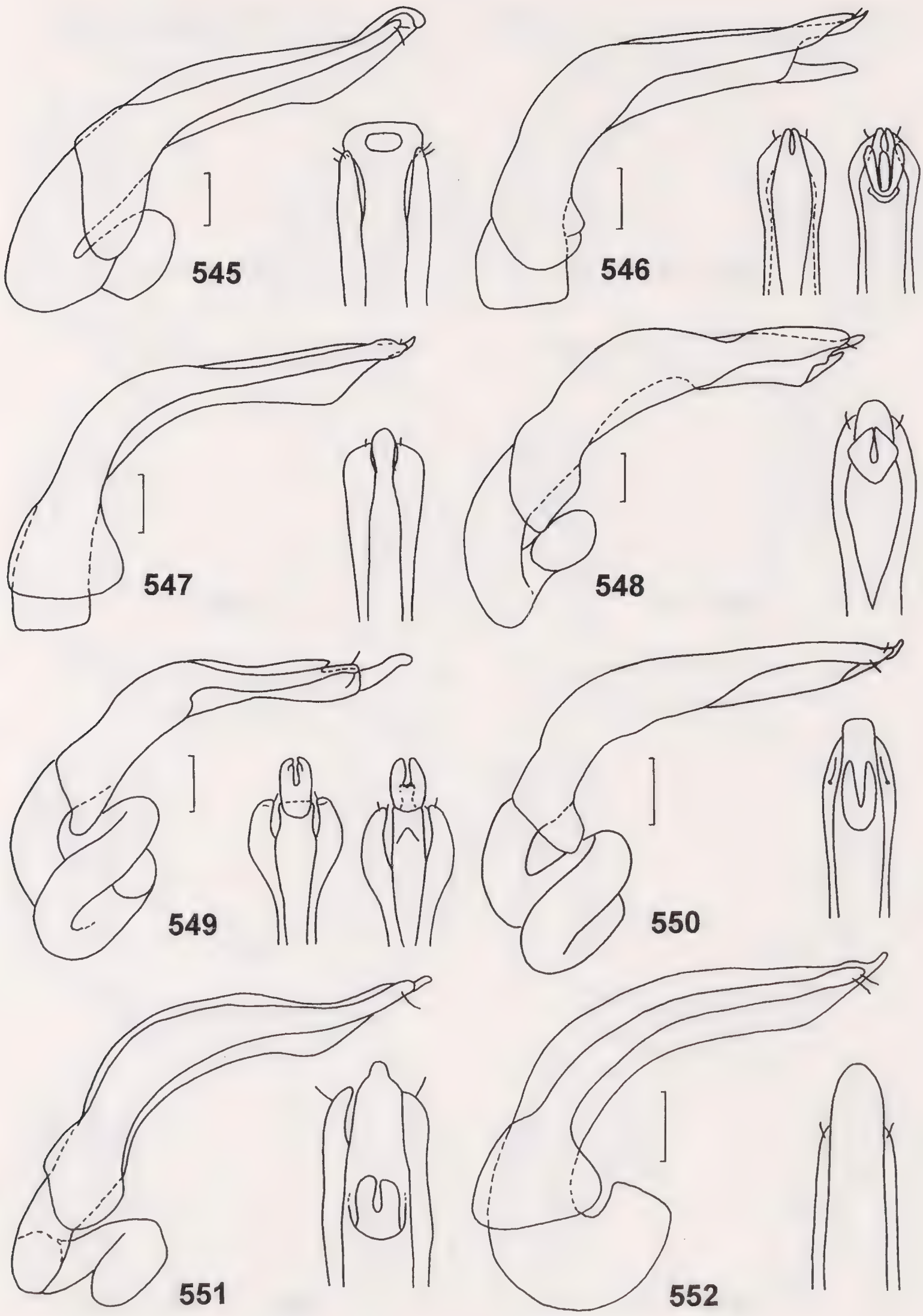

Figg. 545-552 - Edeago (visione laterale, dorsale e/o ventrale) di: 545, *Agathidium* (*Microceble*) *bicoloratum* Ang.; 546, *A.* (*Micr.*) *mussardi* Ang. & Dmz.; 547, *A.* (*Micr.*) *karnatakaense* Ang. & Švec; 548, *A.* (*Micr.*) *biimpressum* Champ.; 549, *A.* (*Micr.*) *coomani* Port.; 550, *A.* (*Micr.*) *nitidum* Ang. & Dmz.; 551, *A.* (*Micr.*) *nomurai* Hoshina; 552, *A.* (*Micr.*) *imitans* Ang. Scala: 0,1 mm.

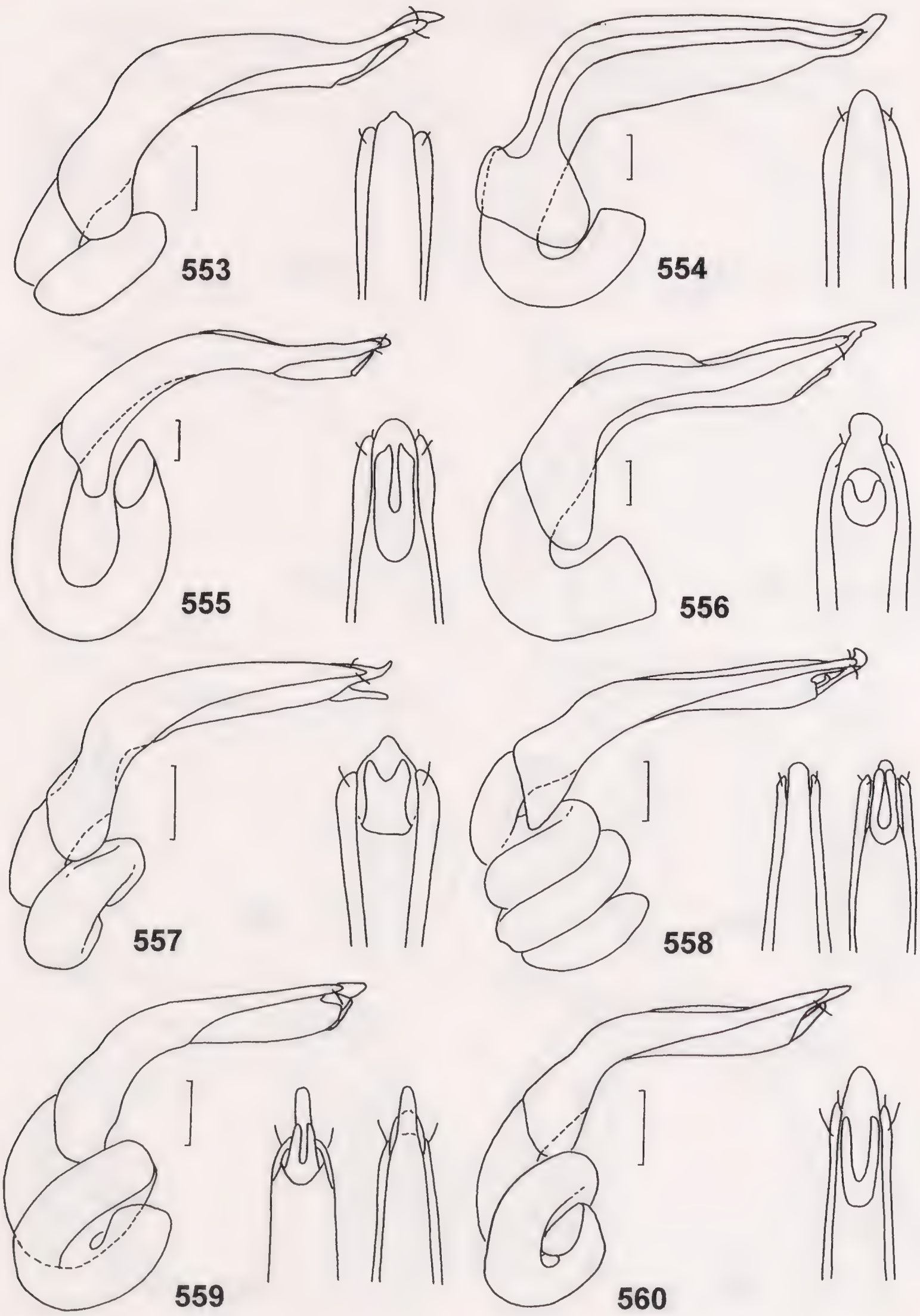

Figg. 553-560 - Edeago (visione laterale, dorsale e/o ventrale) di: 553, *Agathidium* (*Microceble*) *venustum* Ang. & Dmz.; 554, *A.* (*Micr.*) *fenchihuense* Ang.; 555, *A.* (*Micr.*) *inornatum* Ang. & Dmz.; 556, *A.* (*Micr.*) *topali* Ang. & Dmz.; 557, *A.* (*Micr.*) *capitulatum* Ang. & Dmz.; 558, *A.* (*Micr.*) *schuhi* Ang. & Dmz.; 559, *A.* (*Micr.*) *celebense* Port.; 560, *A.* (*Micr.*) *sumatrense* Ang. & Dmz. Scala: 0,1 mm.

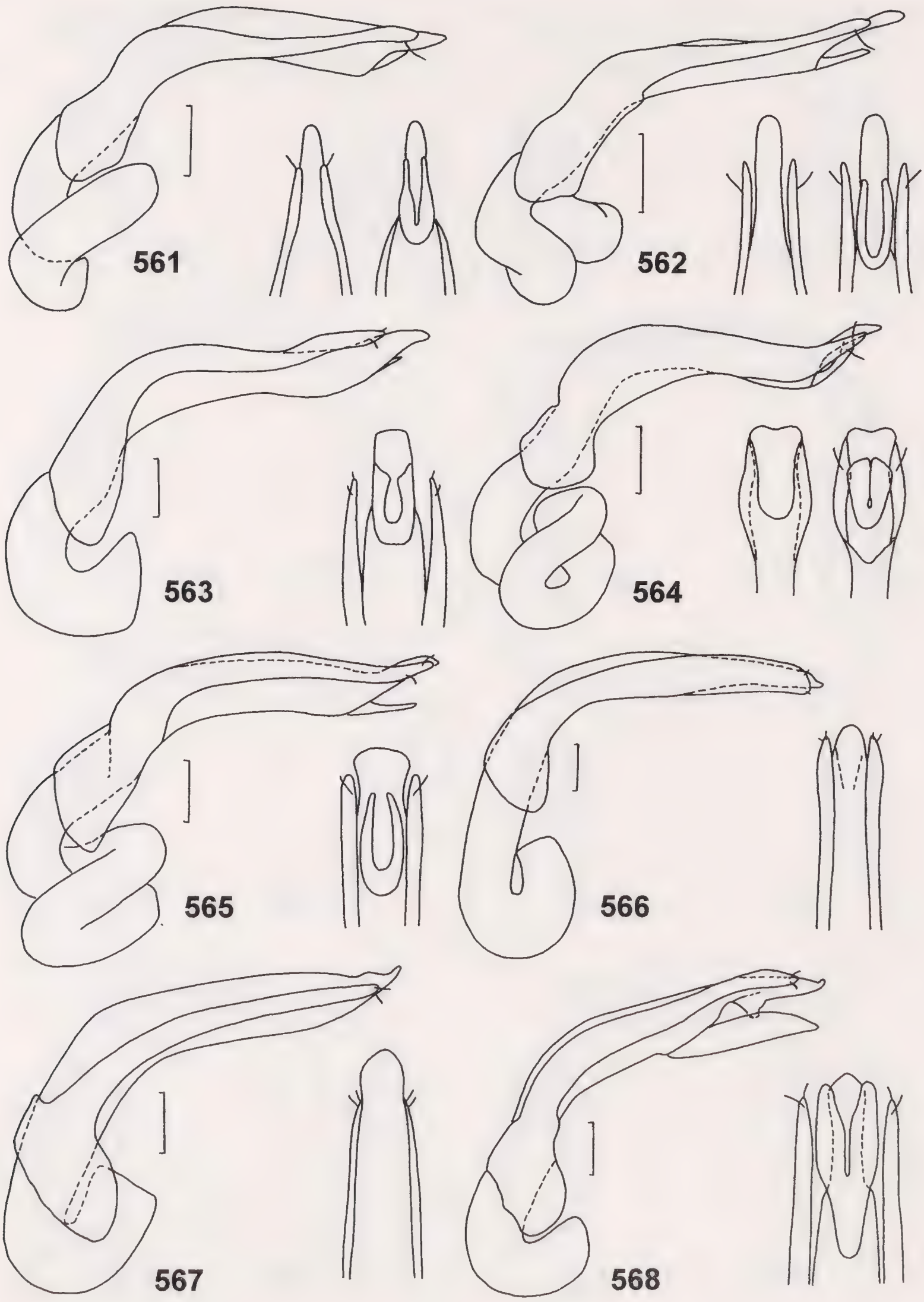

Figg. 561-568 - Edeago (visione laterale, dorsale e/o ventrale) di: 561, *Agathidium* (*Microceble*) *mentawaicum* Ang.; 562, *A.* (*Micr.*) *angelinii* Cooter; 563, *A.* (*Micr.*) *taiwanense* Ang. & Dmz.; 564, *A.* (*Micr.*) *manasicum* Ang. & Dmz.; 565, *A.* (*Micr.*) *tonkinense* Ang. & Cooter (originale); 566, *A.* (*Micr.*) *wuyishanicum* Ang. & Cooter; 567, *A.* (*Micr.*) *xilingense* Ang.; 568, *A.* (*Micr.*) *brahma* Ang. & Dmz. Scala: 0,1 mm.

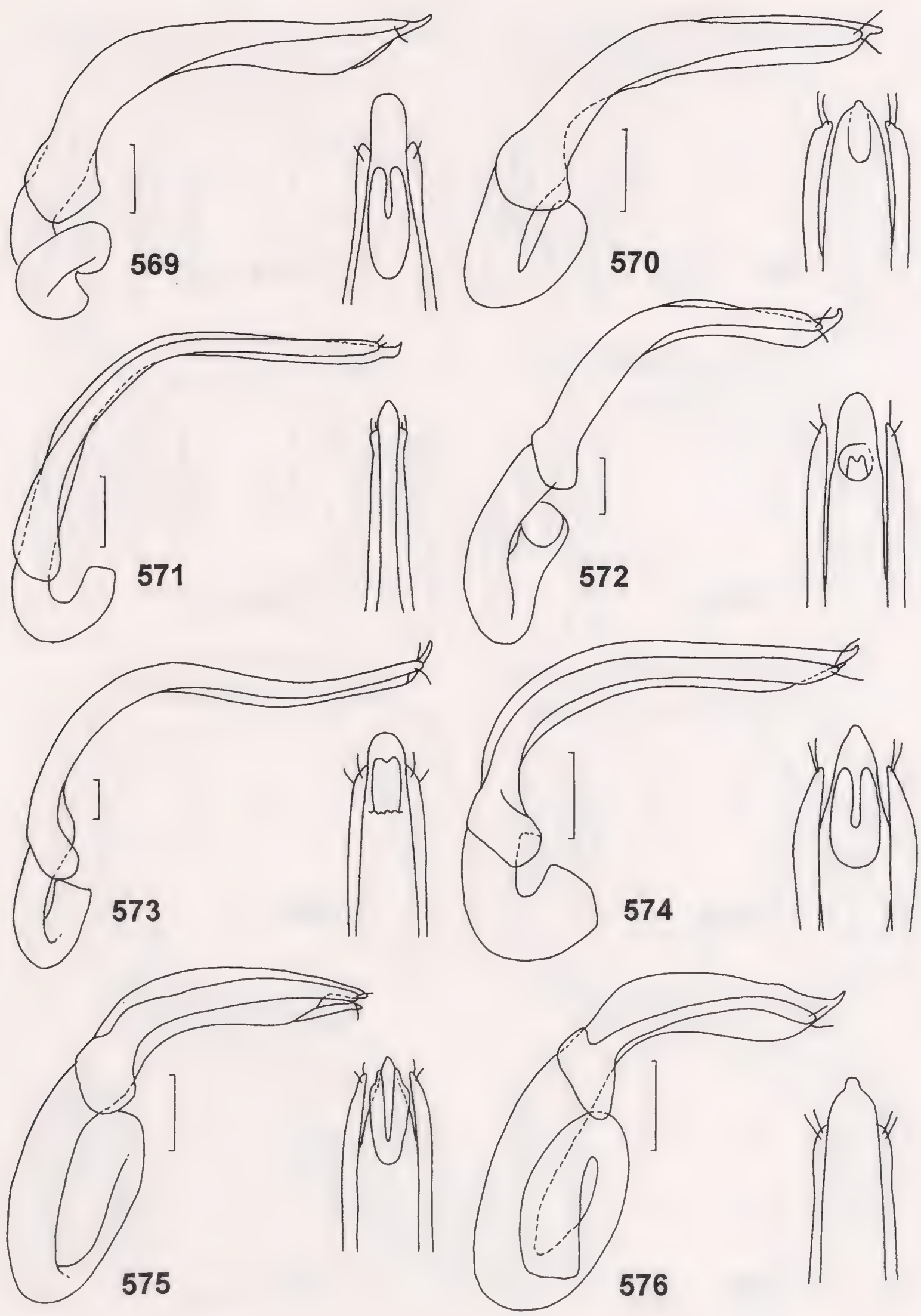

Figg. 569-576 - Edeago (visione laterale, ventrale o dorsale) di: 569, *Agathidium* (*Microceble*) *tersum* Ang. & Dmz.; 570, *A.* (*Macroceble*) *pseudoscutellare* Ang.; 571, *A.* (*Macr.*) *ivani* Ang.; 572, *A.* (*Macr.*) *scutellare* Ang. & Dmz.; 573, *A.* (*Macr.*) *cameronicum* Ang. & Dmz.; 574, *A.* (*Macr.*) *anophthalmicum* Ang. & Dmz.; 575, *A.* (*Macr.*) *pilosellum* Ang. & Dmz.; 576, *A.* (*Macr.*) *ambiguum* Ang. Scala: 0,1 mm.

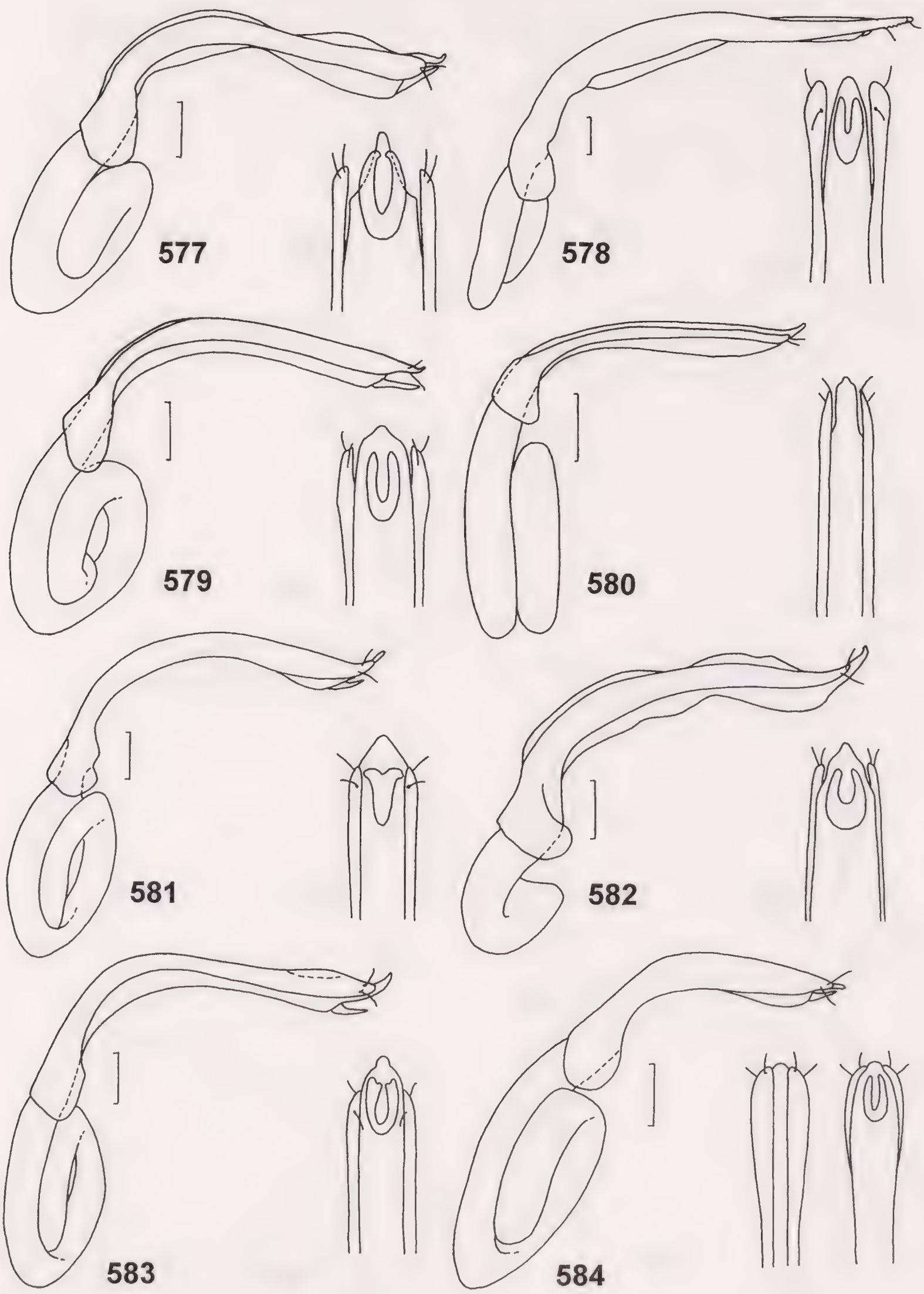

Figg. 577-584 - Edeago (visione laterale, dorsale e/o ventrale) di: 577, *Agathidium* (*Macroceble*) *malaysicum* Ang. & Dmz.; 578, *A.* (*Macr.*) *distinctum* Ang. & Dmz.; 579, *A.* (*Macr.*) *jaccoudi* Ang. & Dmz.; 580, *A.* (*Macr.*) *hlavaci* Ang. & Cooter; 581, *A.* (*Macr.*) *aterrimum* Ang. & Dmz.; 582, *A.* (*Macr.*) *austerum* Ang. & Dmz.; 583, *A.* (*Macr.*) *amoenum* Ang. & Dmz.; 584, *A.* (*Macr.*) *selangoricum* Ang. & Dmz. Scala: 0,1 mm.

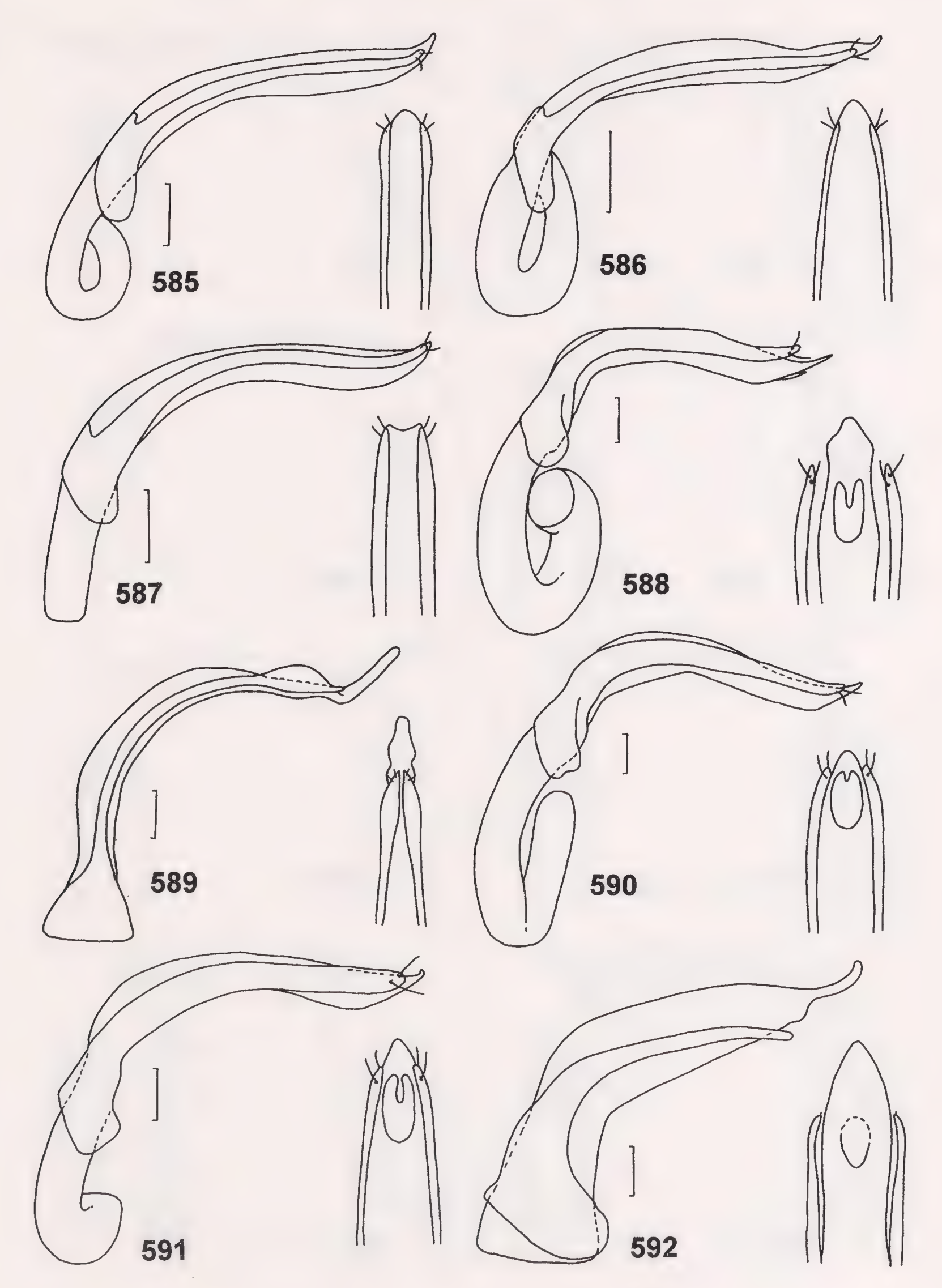

Figg. 585-592 - Edeago (visione laterale, dorsale o ventrale) di: 585, *Agathidium* (*Macroceble*) *nanum* Ang.; 586, *A.* (*Macr.*) *dongnanense* Ang. & Cooter; 587, *A.* (*Macr.*) *penultimum* Ang. & Cooter; 588, *A.* (*Macr.*) *singmaricum* Ang. & Dmz.; 589, *A.* (*Macr.*) *newtoni* Ang.; 590, *A.* (*Macr.*) *invalidum* Ang. & Dmz.; 591, *A.* (*Macr.*) *geminatum* Ang. & Dmz.; 592, *A.* (*Macr.*) *shermathangense* Ang. & Dmz. Scala: 0,1 mm. Scala: 0,1 mm.

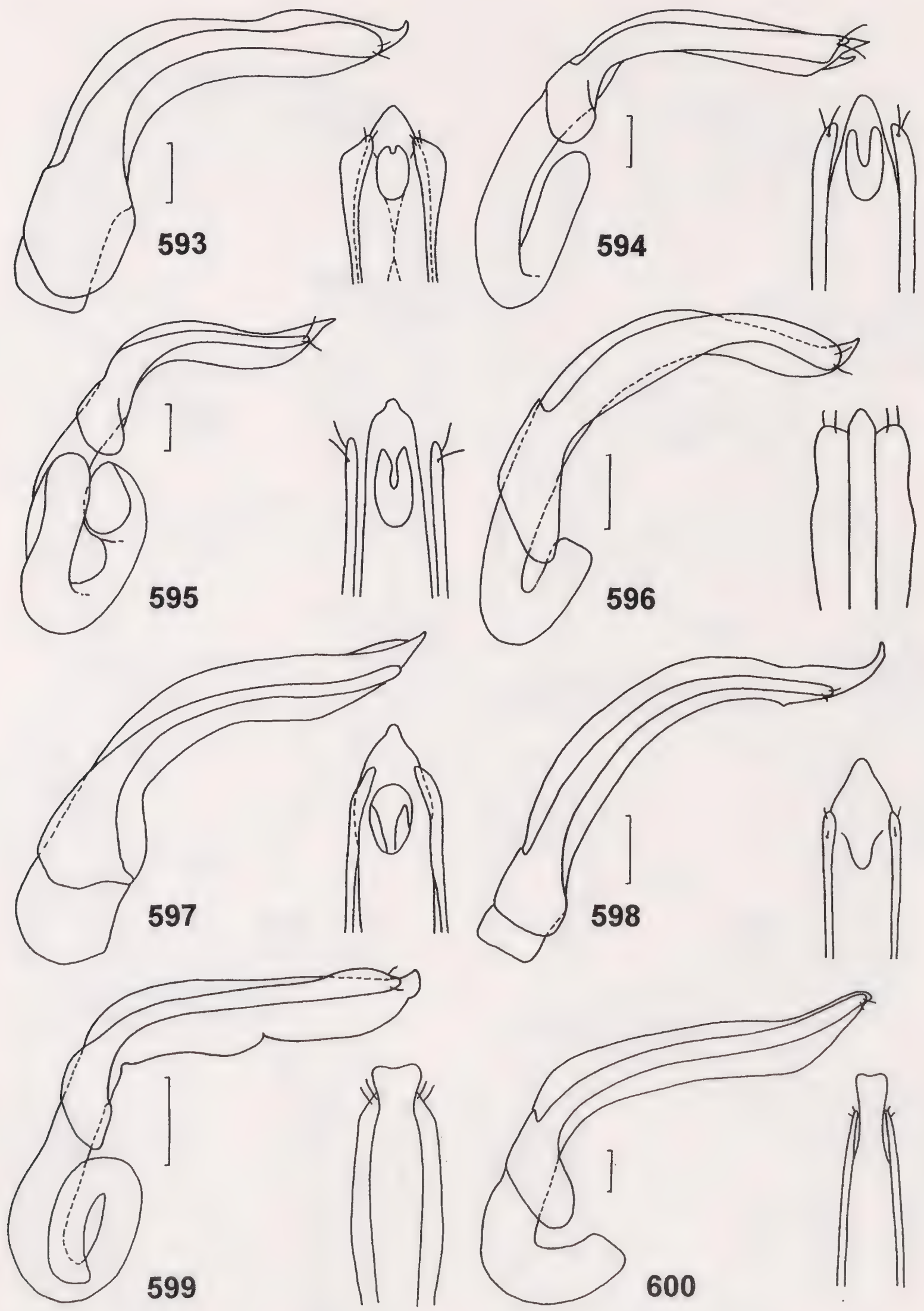

Figg. 593-600 - Edeago (visione laterale, ventrale o dorsale) di: 593, *Agathidium* (*Macroceble*) *fatuum* Ang. & Dmz.; 594, *A.* (*Macr.*) *longum* Ang. & Dmz.; 595, *A.* (*Macr.*) *breve* Ang. & Dmz.; 596, *A.* (*Macr.*) *inopinatum* Ang.; 597, *A.* (*Macr.*) *narusawae* Hoshina; 598, *A.* (*Macr.*) *oblitum* Ang. & Dmz.; 599, *A.* (*Macr.*) *truncatum* Ang.; 600, *A.* (*Macr.*) *sescentesimum* Ang. Scala: 0,1 mm.

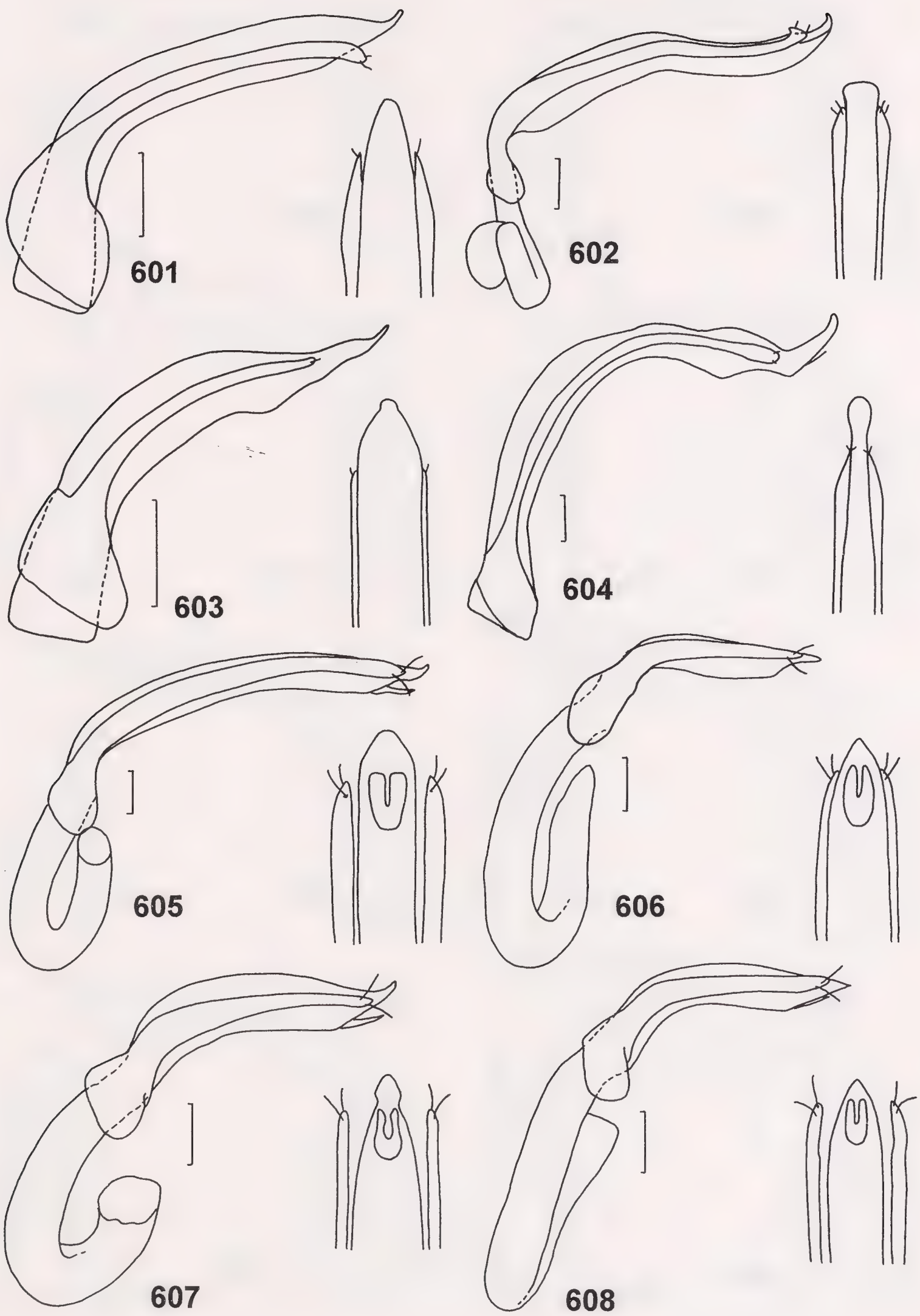

Figg. 601-608 - Edeago (visione laterale, dorsale o ventrale) di: 601, *Agathidium* (*Macroceble*) *macrocephalum* Ang.; 602, *A.* (*Macr.*) *tarsale* Ang.; 603, *A.* (*Macr.*) *emeicum* Ang.; 604, *A.* (*Macr.*) *ultimum* Ang. & Cooter; 605, *A.* (*Macr.*) *quaterfoveatum* Ang. & Dmz.; 606, *A.* (*Macr.*) *schawalleri* Ang. & Dmz.; 607, *A.* (*Macr.*) *sherpa* Ang. & Dmz.; 608, *A.* (*Macr.*) *brancuccii* Ang. & Dmz. Scala: 0,1 mm.

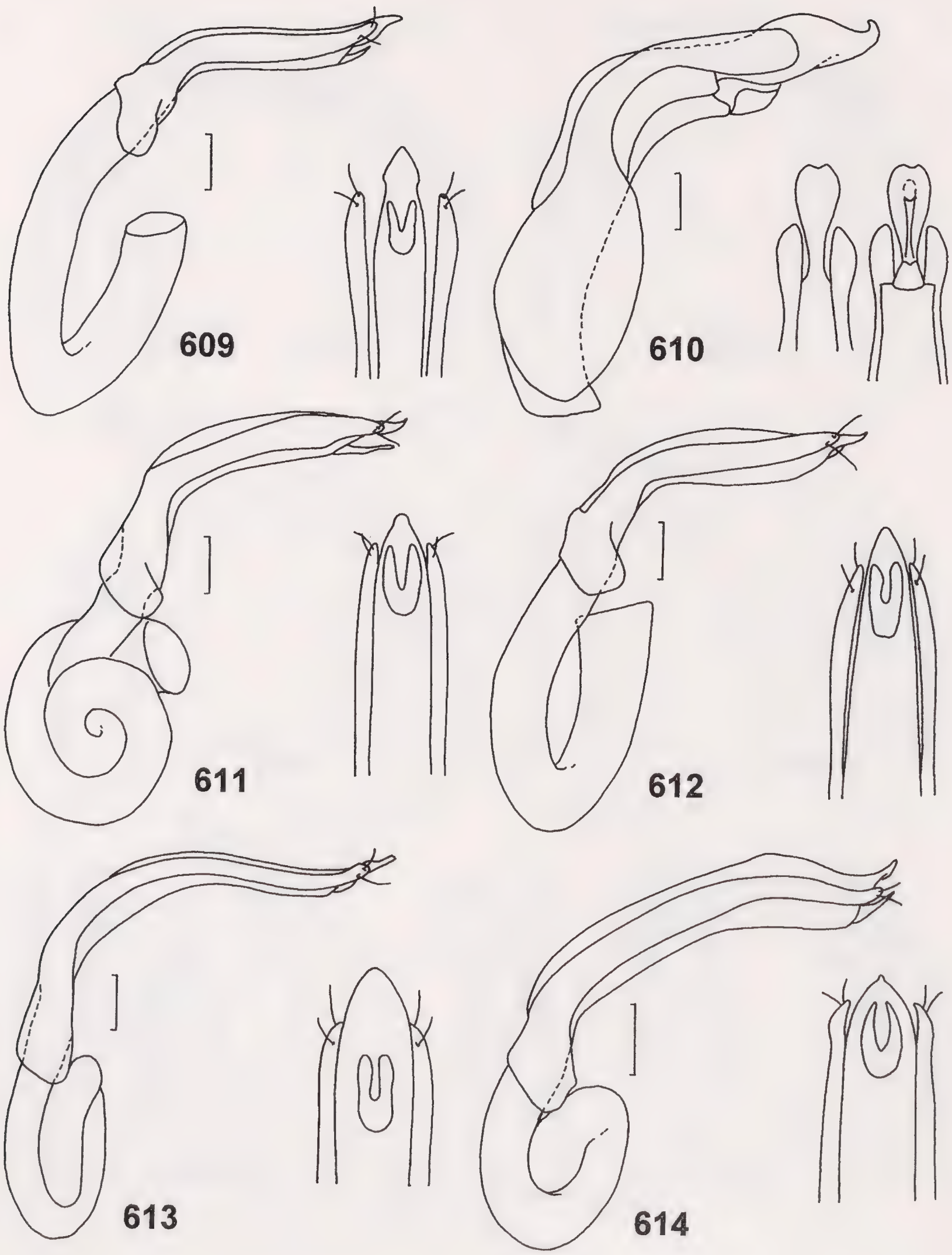

Figg. 609-614 - Edeago (visione laterale, dorsale e/o ventrale) di: 609, *Agathidium* (*Macroceble*) *caelebs* Ang. & Dmz.; 610, *A.* (*Macr.*) *fulcratum* Ang. & Dmz.; 611, *A.* (*Macr.*) *dissimile* Ang. & Dmz.; 612, *A.* (*Macr.*) *sudra* Ang. & Dmz.; 613, *A.* (*Macr.*) *rougemonti* Ang.; 614, *A.* (*Macr.*) *malayanum* Ang. & Dmz. Scala: 0,1 mm.

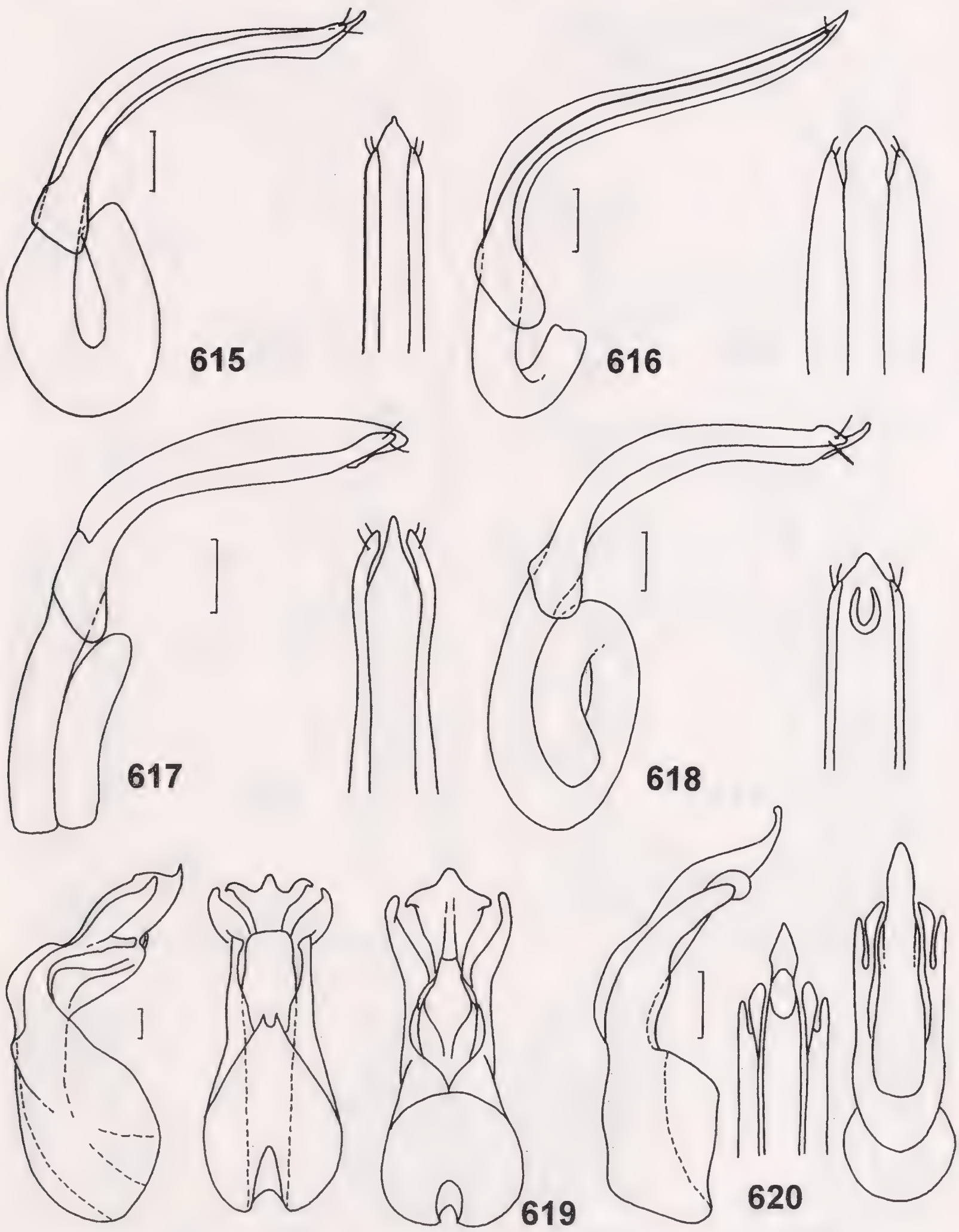

Figg. 615-620 - Edeago (visione laterale, dorsale e/o ventrale) di: 615, *Agathidium* (*Macroceble*) *cuccodoroi* Ang.; 616, *A.* (*Macr.*) *peninsulare* Ang.; 617, *A.* (*Macr.*) *palmi* Ang.; 618, *A.* (*Macr.*) *calamei* Ang. & Dmz.; 619, *A.* (*Macr.*) *abominabile* Ang. & Dmz.; 620, *A.* (*Macr.*) *fraternum* Ang. Scala: 0,1 mm.

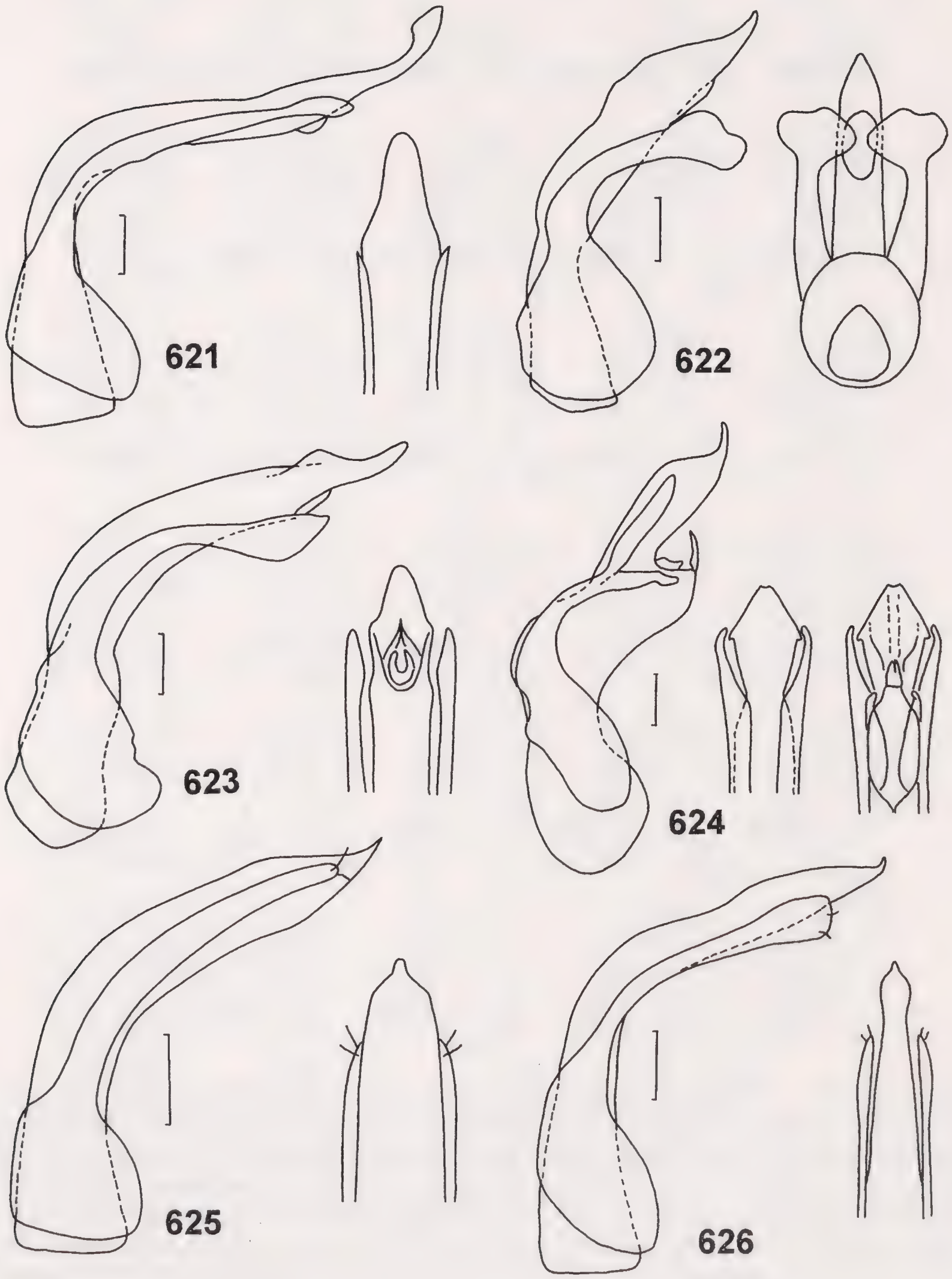

Figg. 621-626 - Edeago (visione laterale, dorsale e/o ventrale) di: 621, *Agathidium* (*Macroceble*) *megacephalum* Ang.; 622, *A.* (*Macr.*) *fungivorum* Ang. & Dmz.; 623, *A.* (*Macr.*) *incognitum* Ang. & Dmz.; 624, *A.* (*Macr.*) *crinitum* Ang. & Dmz.; 625, *A.* (*Macr.*) *kurbatovianum* Ang.; 626, *A.* (*Macr.*) *impunctatum* Ang. Scala: 0,1 mm.

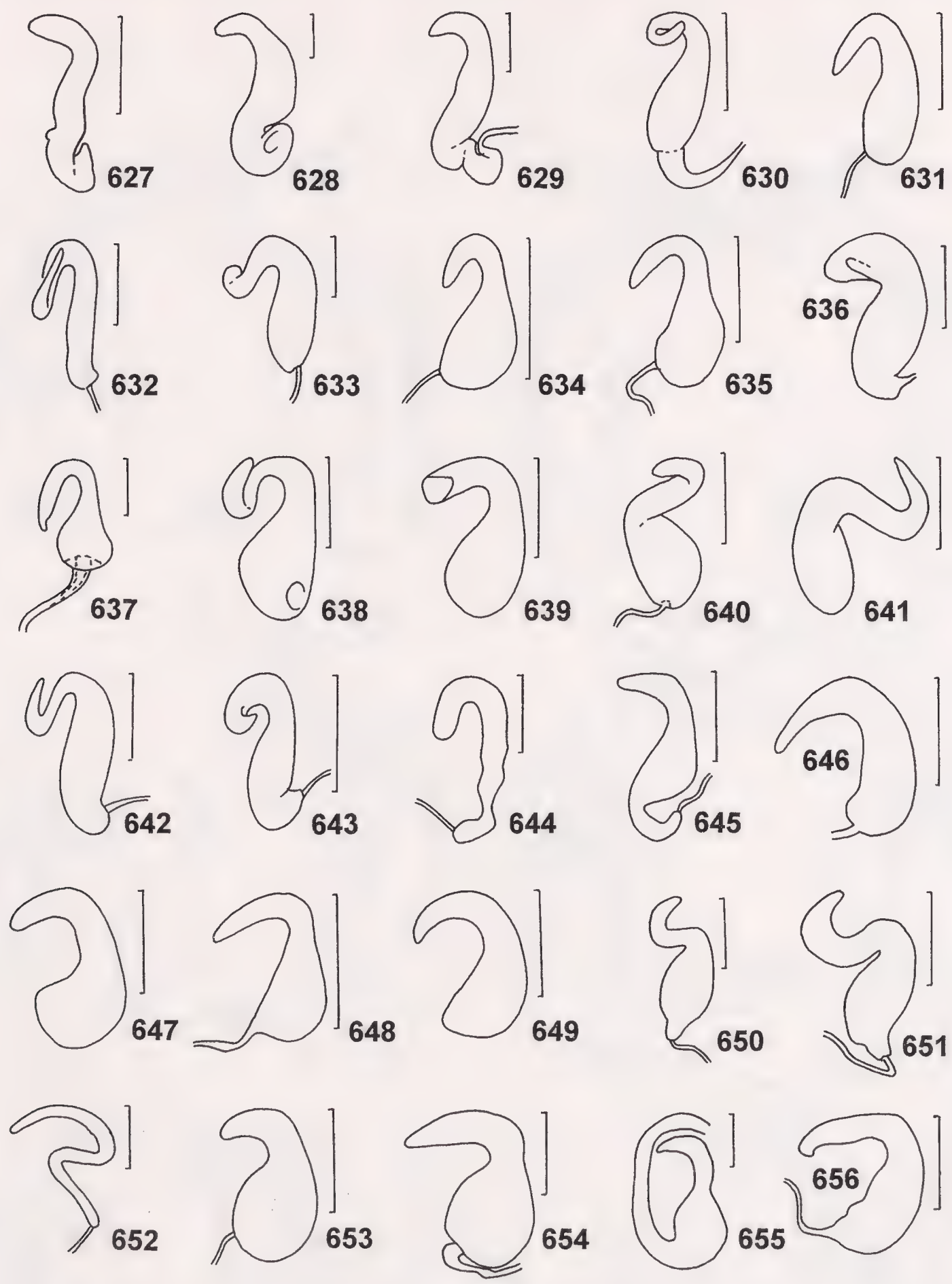

Figg. 627-656 - Spermateca di: 627, *Agathidium* (*Cyphoceble*) *yushanicum* Ang. & Dmz.; 628, *A.* (*C.*) *wangianum* Ang.; 629, *A.* (*C.*) *inquisitor* Ang. & Dmz.; 630, *A.* (*C.*) *geniculatum* Ang. & Dmz.; 631, *A.* (*C.*) *glabrum* Ang. & Dmz.; 632, *A.* (*Neoceble*) *dundai* Ang. & Švec; 633, *A.* (*N.*) *cribratum* Port. (da Angelini & De Marzo, 1990); 634, *A.* (*N.*) *kumaonicum* Ang. & Dmz.; 635, *A.* (*N.*) *kyotoense* Ang. & Dmz. (da Angelini & De Marzo, 1990); 636, *A.* (*N.*) *kandingense* Ang.; 637, *A.* (*N.*) *unicolorum* Ang. & Dmz.; 638, *A.* (*N.*) *angulatum* Ang.; 639, *A.* (*N.*) *bhutanense* Ang.; 640, *A.* (*N.*) *praeustum* Ang. & Dmz.; 641, *A.* (*N.*) *brunnipes* Ang. *pseudoconfusum* Ang. & Dmz.; 644, *A.* (*N.*) *oculatum* Ang. & Dmz.; 645, *A.* (*N.*) *sichuanicum* Ang. & Dmz.; 646, *A.* (*N.*) *abbreviatum* Ang.; 647, *A.* (*N.*) *zhoui* Ang. & Cooter; 648, *A.* (*N.*) *tarokoense* Ang. & Dmz.; 649, *A.* (*N.*) *nubile* Ang.; 650, *A.* (*N.*) *vestitum* Ang. & Dmz.; 651, *A.* (*N.*) *rufomarginatum* Ang. & Dmz.; 652, *A.* (*N.*) *dardi* Ang. & Dmz.; 653, *A.* (*Agathidium*) *alatum alatum* Ang. & Dmz.; 654, *A.* (*A.*) *alatum heishuiense* Ang. & Švec; 655, *A.* (*A.*) *luctuosum* Ang. & Dmz.; 656, *A.* (*A.*) *formosum* Ang. & Dmz. Scala: 0,1 mm.

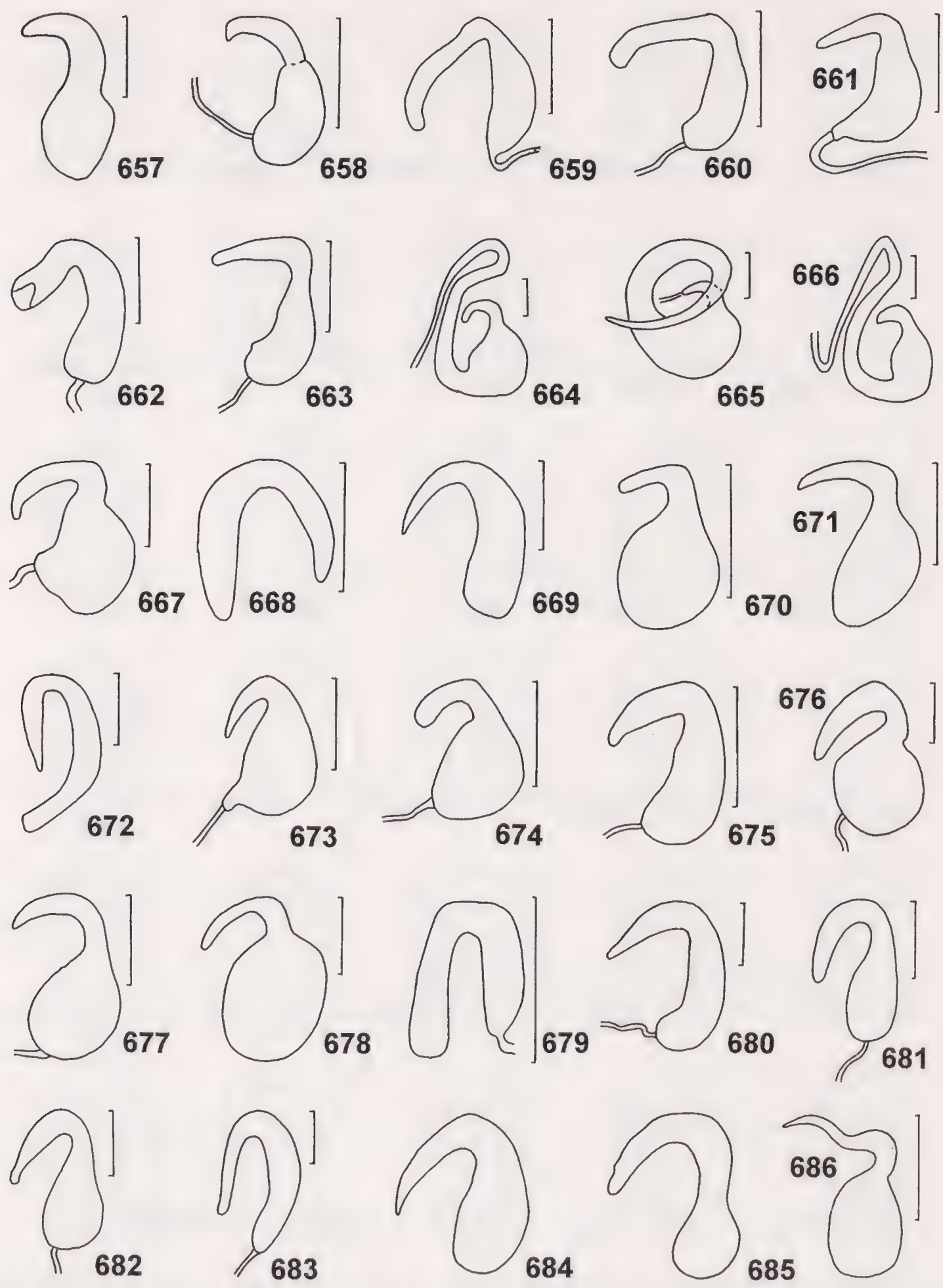

Figg. 657-686 - Spermateca di: 657, *Agathidium* (*Agathidium*) *becvari* Ang. & Švec; 658, *A.* (*A.*) *familiare* Ang. & Dmz.; 659, *A.* (*A.*) *pseudomadurense* Ang. & Dmz.; 660, *A.* (*A.*) *madurense* Port.; 661, *A.* (*A.*) *shillongense* Ang. & Dmz.; 662, *A.* (*A.*) *gratiosum* Ang. & Švec; 663, *A.* (*A.*) *occultum* Ang. & Dmz.; 664, *A.* (*A.*) *watrousi* Ang.; 665, *A.* (*A.*) *wheeleri* Ang.; 666, *A.* (*A.*) *subobscurum* Ang. & Dmz.; 667, *A.* (*A.*) *hlisnikovskyi* Ang. & Dmz.; 668, *A.* (*A.*) *pecki* Ang. (originale); 669, *A.* (*A.*) *caovansungi* Ang.; 670, *A.* (*A.*) *apocryphum* Ang.; 671, *A.* (*A.*) *patris* Ang. & Cooter; 672, *A.* (*A.*) *schuelkeicum* Ang.; 673, *A.* (*A.*) *khasicum* Ang. & Dmz.; 674, *A.* (*A.*) *meghalayanum* Ang. & Dmz.; 675, *A.* (*A.*) *lebongense* Ang. & Dmz.; 676, *A.* (*A.*) *giganteum* Ang. & Švec; 677, *A.* (*A.*) *lasti* Ang. & Cooter; 678, *A.* (*A.*) *paralasti* Ang. & Cooter; 679, *A.* (*A.*) *modestum* Ang.; 680, *A.* (*A.*) *alesi* Ang. & Dmz.; 681, *A.* (*A.*) *distinguendum* Ang. & Dmz.; 682, *A.* (*A.*) *delicatulum* Ang. & Dmz.; 683, *A.* (*A.*) *subnitidum* Ang. & Dmz.; 684, *A.* (*A.*) *ishigakiense* Hoshina; 685, *A.* (*A.*) *saigoi* Hoshina; 686, *A.* (*A.*) *sveci* Ang. Scala: 0,1 mm.

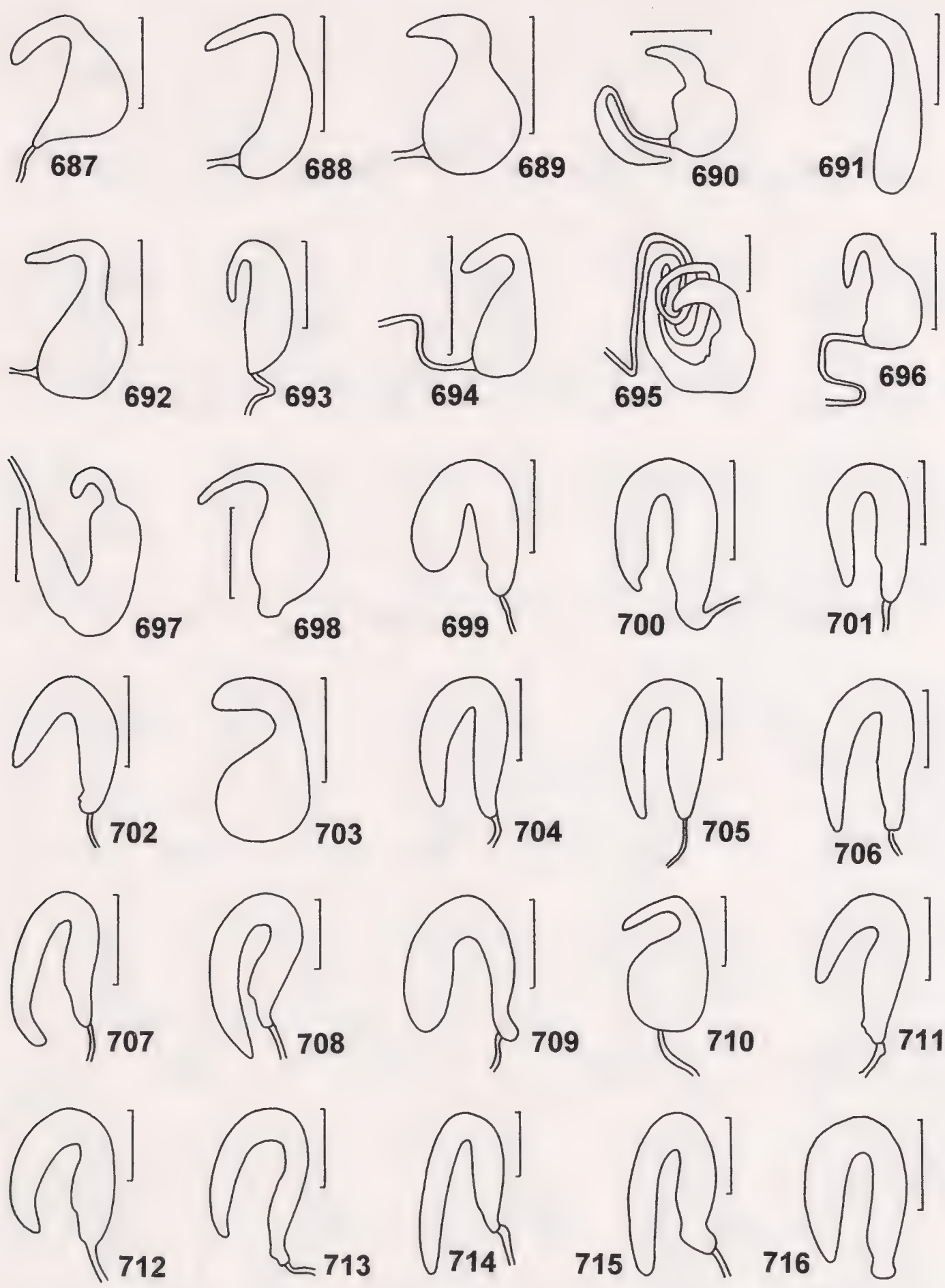

Figg. 687-716 - Spermateca di: 687, *Agathidium* (*Agathidium*) *crassum* Ang. & Dmz.; 688, *A.* (*A.*) *schwendingeri* Ang.; 689, *A.* (*A.*) *siamense* Ang.; 690, *A.* (*A.*) *riedeli* Ang.; 691, *A.* (*A.*) *relictum* Ang.; 692, *A.* (*A.*) *acuminatum* Ang. & Dmz.; 693, *A.* (*A.*) *brahamano* Ang. & Dmz.; 694, *A.* (*A.*) *kualalumpurense* Ang. & Dmz.; 695, *A.* (*A.*) *montivagum* Ang. & Dmz.; 696, *A.* (*A.*) *negritos* Ang.; 697, *A.* (*A.*) *agostii* Ang. & Dmz.; 698, *A.* (*A.*) *marshalli* Ang. & Cooter; 699, *A.* (*A.*) *pakistanicum* Ang. & Dmz.; 700, *A.* (*A.*) *semipunctatum* Ang. & Dmz.; 701, *A.* (*A.*) *pinorum* Ang. & Dmz.; 702, *A.* (*A.*) *vile* Ang. & Dmz.; 703, *A.* (*A.*) *mequignoni* Roubal (da Angelini, 1995); 704, *A.* (*A.*) *glaciale* Ang. & Dmz.; 705, *A.* (*A.*) *barahbisense* Ang. & Dmz.; 706, *A.* (*A.*) *fulungense* Ang. & Dmz.; 707, *A.* (*A.*) *subopacum* Ang. & Dmz.; 708, *A.* (*A.*) *microreticulatum* Ang. & Dmz.; 709, *A.* (*A.*) *castaneum* Ang. & Dmz.; 710, *A.* (*A.*) *jendeki* Ang. & Švec; 711, *A.* (*A.*) *substriatum* Ang. & Dmz.; 712, *A.* (*A.*) *johnsoni* Ang. & Dmz.; 713, *A.* (*A.*) *parbaticum* Ang. & Dmz.; 714, *A.* (*A.*) *bagmaticum* Ang. & Dmz.; 715, *A.* (*A.*) *brunneum* Ang. & Dmz.; 716, *A.* (*A.*) *indistinctum* Ang. & Dmz. Scala: 0,1 mm.

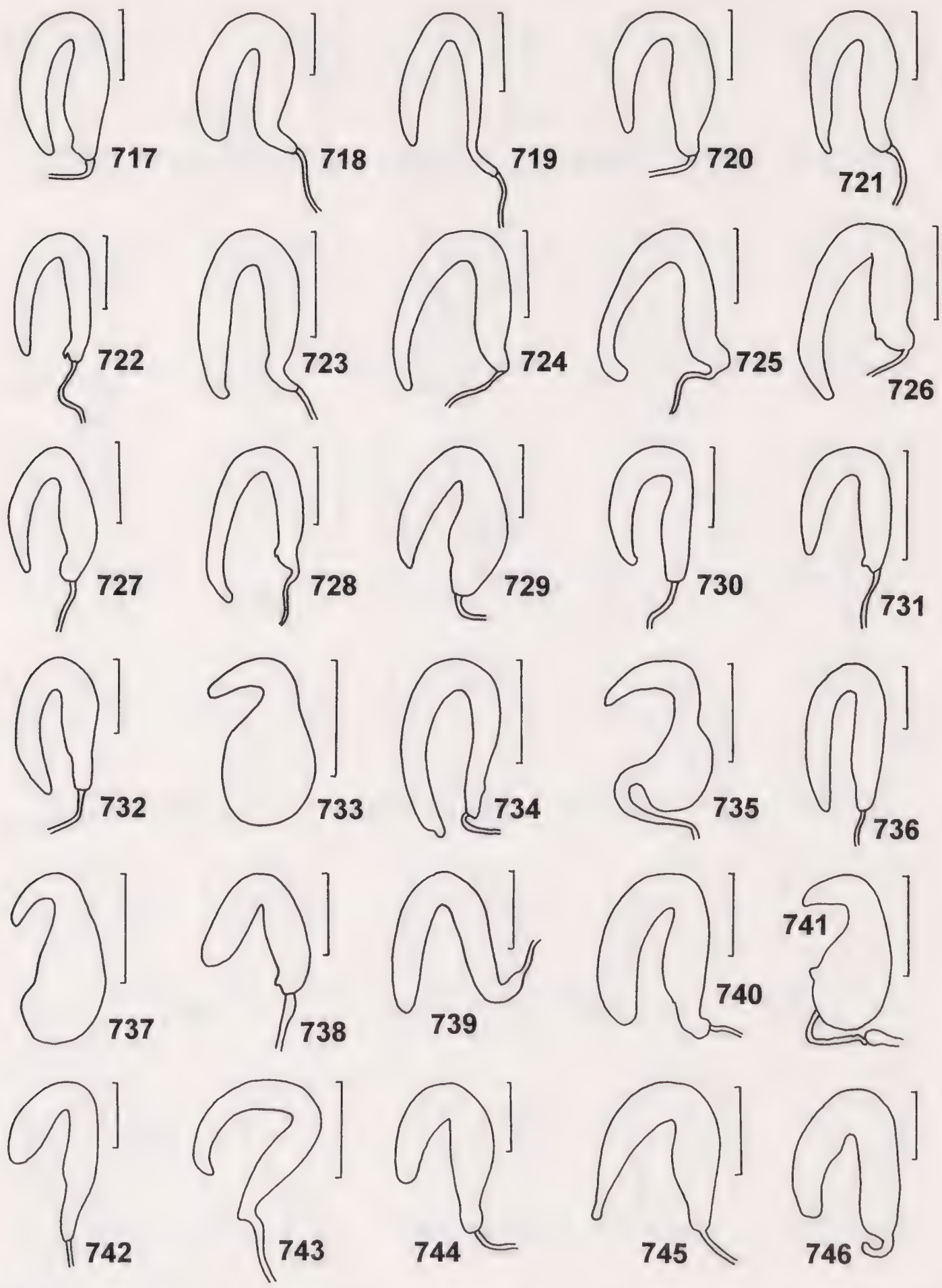

Figg. 717-746 - Spermateca di: 717, *Agathidium* (*Agathidium*) *thochungense* Ang. & Dmz.; 718, *A.* (*A.*) *ineptum* Ang. & Dmz.; 719, *A.* (*A.*) *kuwapanicum* Ang. & Dmz.; 720, *A.* (*A.*) *nivale* Ang. & Dmz.; 721, *A.* (*A.*) *kali* Ang. & Dmz.; 722, *A.* (*A.*) *smetanai* Ang. & Dmz.; 723, *A.* (*A.*) *dargharicum* Ang. & Dmz.; 724, *A.* (*A.*) *apterum* Ang. & Dmz.; 725, *A.* (*A.*) *ilamense* Ang. & Dmz.; 726, *A.* (*A.*) *indicum* Ang. & Dmz.; 727, *A.* (*A.*) *conspersum* Ang. & Dmz.; 728, *A.* (*A.*) *kharkaense* Ang. & Dmz.; 729, *A.* (*A.*) *francae* Ang. & Dmz.; 730, *A.* (*A.*) *concolor* Ang. & Dmz.; 731, *A.* (*A.*) *confluens* Ang. & Dmz.; 732, *A.* (*A.*) *ausobskyi* Ang. & Dmz.; 733, *A.* (*A.*) *glabricolle* Ang. & Dmz.; 734, *A.* (*A.*) *gulmargense* Ang. & Dmz.; 735, *A.* (*A.*) *uliginosum* Ang. & Švec; 736, *A.* (*A.*) *raffaellae* Ang. & Dmz.; 737, *A.* (*A.*) *chinense* Hlisn. (da Angelini, 1995); 738, *A.* (*A.*) *robustum* Ang. & Dmz.; 739, *A.* (*A.*) *kashmirense* Ang. & Dmz.; 740, *A.* (*A.*) *fallax* Ang. & Dmz.; 741, *A.* (*A.*) *hamanni* Ang. & Dmz.; 742, *A.* (*A.*) *pauperum* Ang. & Dmz.; 743, *A.* (*A.*) *visnu* Ang. & Dmz.; 744, *A.* (*A.*) *garhwalense* Ang. & Dmz.; 745, *A.* (*A.*) *sadhu* Ang. & Dmz.; 746, *A.* (*A.*) *kabateki* Ang. Scala: 0,1 mm.

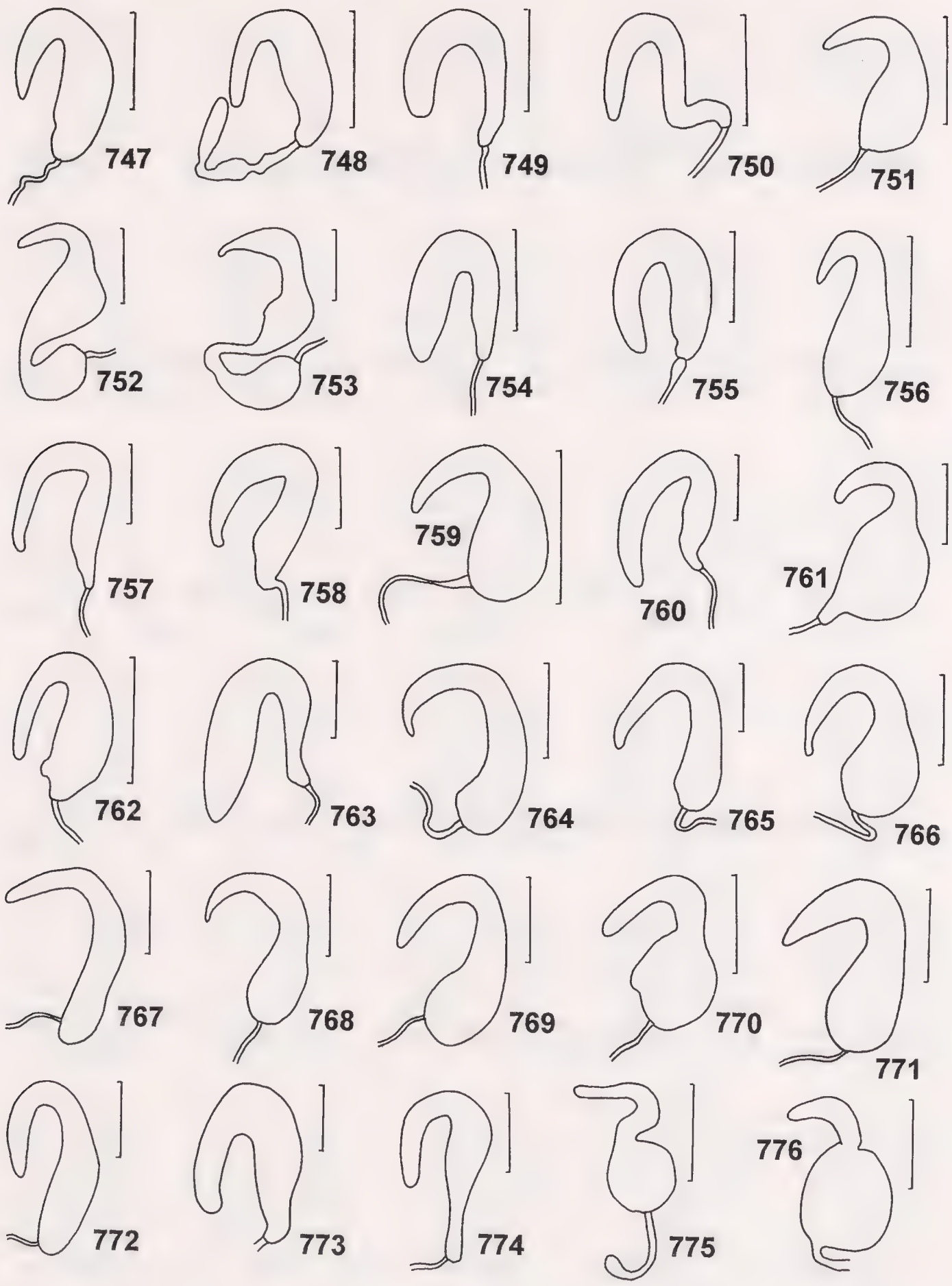

Figg. 747-776 - Spermateca di: 747, *Agathidium* (*Agathidium*) *celatum* Ang. & Dmz.; 748, *A.* (*A.*) *zijinense* Ang. & Cooter; 749, *A.* (*A.*) *swaticum* Ang. & Dmz.; 750, *A.* (*A.*) *nepalense* Ang. & Dmz.; 751, *A.* (*A.*) *minutissimum* Ang. & Dmz. (originale); 752, *A.* (*A.*) *armatum* Ang.; 753, *A.* (*A.*) *rufescens* Ang. & Dmz.; 754, *A.* (*A.*) *guagir* Ang. & Dmz.; 755, *A.* (*A.*) *himalayanum* Ang. & Dmz.; 756, *A.* (*A.*) *tibiale* Ang. & Dmz.; 757, *A.* (*A.*) *lividum* Ang. & Dmz.; 758, *A.* (*A.*) *rubrum* Ang. & Dmz.; 759, *A.* (*A.*) *manangense* Ang. & Dmz.; 760, *A.* (*A.*) *lassethamense* Ang. & Dmz.; 761, *A.* (*A.*) *laevigatum* Er. (da Angelini, 1995); 762, *A.* (*A.*) *semireticulatum* Ang. & Dmz.; 763, *A.* (*A.*) *goropanicum* Ang. & Dmz.; 764, *A.* (*A.*) *angustatum* Ang. & Dmz.; 765, *A.* (*A.*) *memnonium* Ang. & Dmz.; 766, *A.* (*A.*) *inustum* Ang. & Dmz.; 767, *A.* (*A.*) *comptum* Ang. & Dmz.; 768, *A.* (*A.*) *egregium* Ang. & Dmz.; 769, *A.* (*A.*) *exoletum* Ang. & Dmz.; 770, *A.* (*A.*) *alpestre* Ang. & Dmz.; 771, *A.* (*A.*) *subalpinum* Ang. & Dmz.; 772, *A.* (*A.*) *taichungense* Ang. & Dmz.; 773, *A.* (*A.*) *rurale* Ang.; 774, *A.* (*A.*) *procerum* Ang. & Dmz.; 775, *A.* (*A.*) *garrattii* Ang. & Cooter; 776, *A.* (*A.*) *simplex* Ang. Scala: 0,1 mm.

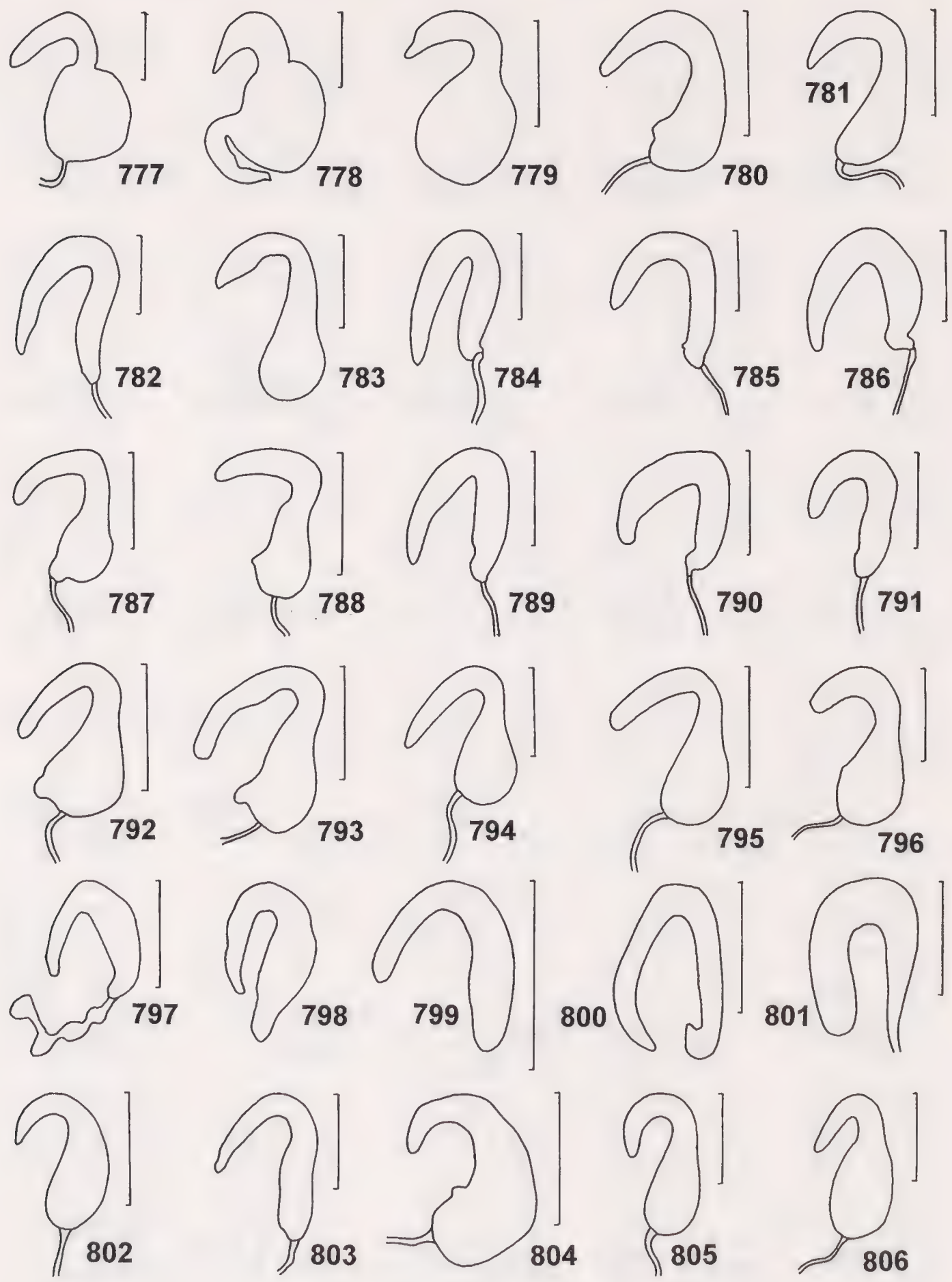

Figg. 777-806 - Spermateca di: 777, *Agathidium* (*Agathidium*) *gonggaense* Ang. & Dmz.; 778, *A.* (*A.*) *nigerrimum* Ang.; 779, *A.* (*A.*) *rubiginosum* Ang.; 780, *A.* (*A.*) *kathmanduense* Ang. & Dmz.; 781, *A.* (*A.*) *siva* Ang. & Dmz.; 782, *A.* (*A.*) *franzi* Ang. & Dmz.; 783, *A.* (*A.*) *proximum* Ang.; 784, *A.* (*A.*) *imitator* Ang. & Dmz.; 785, *A.* (*A.*) *variabile* Ang. & Dmz.; 786, *A.* (*A.*) *martensi* Ang. & Dmz.; 787, *A.* (*A.*) *rufifrons* Ang. & Dmz.; 788, *A.* (*A.*) *circumflexum* Ang. & Dmz.; 789, *A.* (*A.*) *inquietum* Ang. & Dmz.; 790, *A.* (*A.*) *excelsum* Ang. & Dmz.; 791, *A.* (*A.*) *dobaticum* Ang. & Dmz.; 792, *A.* (*A.*) *ornatum* Ang. & Dmz.; 793, *A.* (*A.*) *seminigrum* Ang. & Dmz.; 794, *A.* (*A.*) *ishvara* Ang. & Dmz.; 795, *A.* (*A.*) *fulgens* Ang. & Dmz.; 796, *A.* (*A.*) *querceum* Ang. & Dmz.; 797, *A.* (*A.*) *tianmuoides* Ang. & Cooter; 798, *A.* (*A.*) *aikanae* Hoshina; 799, *A.* (*A.*) *paratianmuense* Ang. & Cooter; 800, *A.* (*A.*) *pseudotianmuense* Ang. & Cooter; 801, *A.* (*A.*) *tianmuense* Ang. & Cooter; 802, *A.* (*A.*) *pusillum* Ang. & Dmz.; 803, *A.* (*A.*) *wittmeri* Ang. & Dmz.; 804, *A.* (*A.*) *pseudotibiale* Ang. & Dmz.; 805, *A.* (*A.*) *macrotibiale* Ang. & Dmz.; 806, *A.* (*A.*) *sikkimense* Ang. & Dmz. Scala: 0,1 mm.

Figg. 807-836 - Spermateca di: 807, *Agathidium* (*Agathidium*) *indra* Ang. & Dmz.; 808, *A.* (*A.*) *deoralicum* Ang. & Dmz.; 809, *A.* (*A.*) *uniforme* Ang. & Dmz.; 810, *A.* (*A.*) *xianggangense* Ang. & Cooter; 811, *A.* (*A.*) *fujisakiae* Hoshina; 812, *A.* (*A.*) *senile* Ang. & Dmz.; 813, *A.* (*A.*) *okinawaense* Hoshina; 814, *A.* (*A.*) *schuelkei* Ang.; 815, *A.* (*A.*) *hoshinai* Ang.; 816, *A.* (*A.*) *smetanaicum* Ang.; 817, *A.* (*A.*) *puetzi* Ang. & Švec (originale); 818, *A.* (*A.*) *brunneipenne* Ang. & Dmz.; 819, *A.* (*A.*) *zdeneki* Ang.; 820, *A.* (*A.*) *huaense* Ang. & Dmz.; 821, *A.* (*A.*) *gutianense* Ang. & Cooter; 822, *A.* (*A.*) *luojiense* Ang.; 823, *A.* (*A.*) *pseudouniforme* Ang.; 824, *A.* (*A.*) *wannianicum* Ang.; 825, *A.* (*A.*) *inerme* Ang. & Dmz. (originale); 826, *A.* (*A.*) *shennongjiaense* Ang. & Cooter; 827, *A.* (*A.*) *indubium* Ang. & Dmz.; 828, *A.* (*A.*) *hani* Ang.; 829, *A.* (*A.*) *lugubre* Ang. & Dmz.; 830, *A.* (*A.*) *ovatum* Ang. & Dmz.; 831, *A.* (*A.*) *harmandi* Port.; 832, *A.* (*A.*) *gurka* Ang. & Dmz.; 833, *A.* (*A.*) *transversum* Ang. & Dmz.; 834, *A.* (*A.*) *phulcokiense* Ang. & Dmz.; 835, *A.* (*A.*) *martensianum* Ang. & Dmz.; 836, *A.* (*A.*) *tenebricosum* Ang. & Dmz. Scala: 0,1 mm.

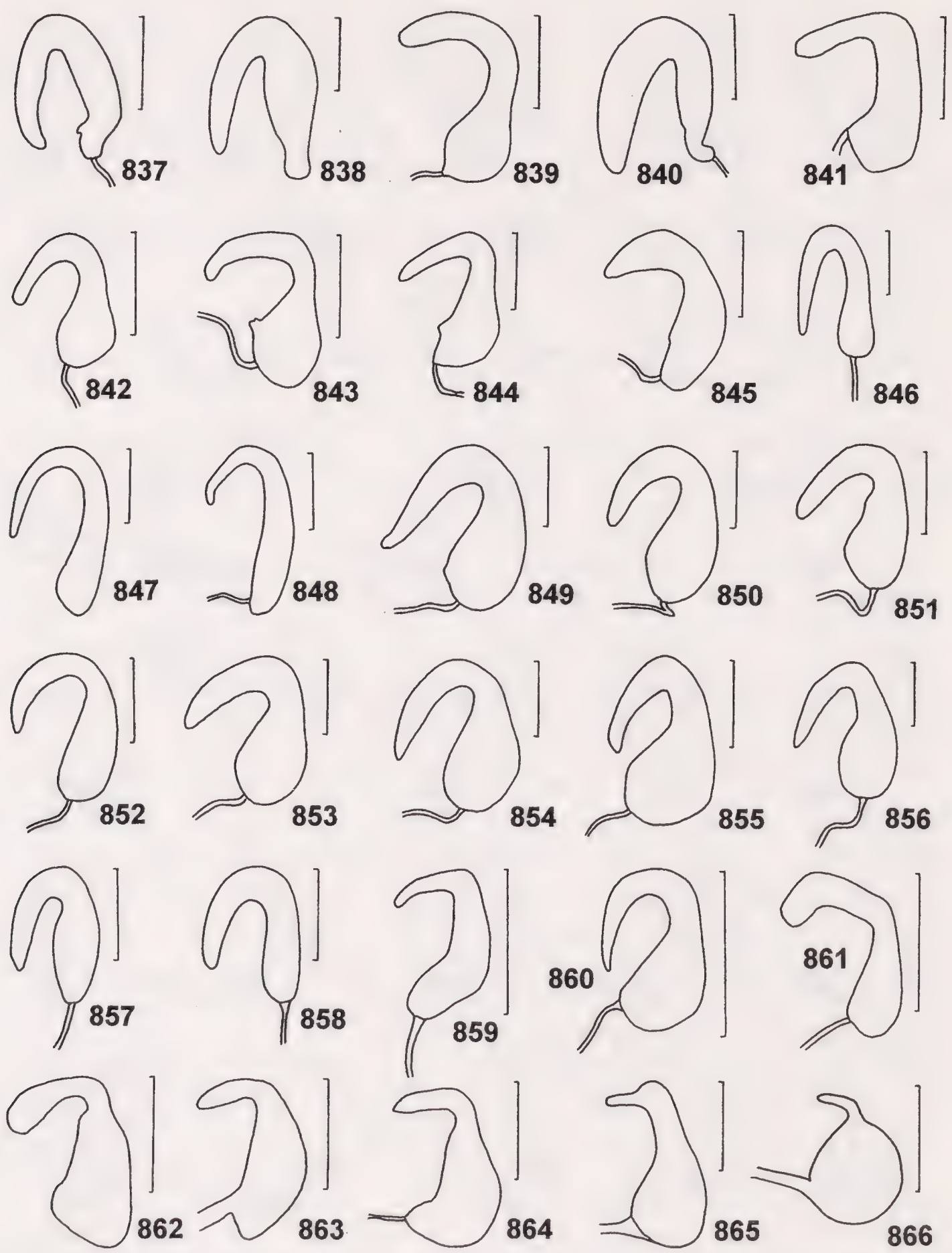

Figg. 837-866 - Spermateca di: 837, *Agathidium* (*Agathidium*) *daamsae* Ang. & Dmz.; 838, *A.* (*A.*) *pothanaense* Ang.; 839, *A.* (*A.*) *paria* Ang. & Dmz.; 840, *A.* (*A.*) *montanum* Ang. & Dmz.; 841, *A.* (*A.*) *connexum* Ang.; 842, *A.* (*A.*) *bidentatum* Ang. & Dmz.; 843, *A.* (*A.*) *sparsum* Ang. & Dmz.; 844, *A.* (*A.*) *pseudoparia* Ang. & Dmz.; 845, *A.* (*A.*) *lucidum* Ang. & Dmz.; 846, *A.* (*A.*) *honestum* Ang. & Dmz.; 847, *A.* (*A.*) *asphaltinum* Ang. & Dmz.; 848, *A.* (*A.*) *tenebroides* Ang. & Dmz.; 849, *A.* (*A.*) *fenestratum* Ang. & Dmz.; 850, *A.* (*A.*) *chiaicum* Ang. & Dmz.; 851, *A.* (*A.*) *kaohsiungense* Ang. & Dmz.; 852, *A.* (*A.*) *tessellatum* Ang. & Dmz.; 853, *A.* (*A.*) *splendidulum* Ang. & Dmz.; 854, *A.* (*A.*) *melanocephalum* Ang. & Dmz.; 855, *A.* (*A.*) *anmashanense* Ang. & Dmz.; 856, *A.* (*A.*) *meifengense* Ang. & Dmz.; 857, *A.* (*A.*) *ducentesimum* Ang. & Dmz.; 858, *A.* (*A.*) *ilvense* Ang. & Dmz.; 859, *A.* (*A.*) *montanellum* Hlisn. (originale); 860, *A.* (*A.*) *pseudomontanellum* Ang. & Dmz.; 861, *A.* (*A.*) *prosperum* Ang.; 862, *A.* (*Euryceble*) *antennatum* Hlisn. (originale); 863, *A.* (*E.*) *capito* Ang.; 864, *A.* (*E.*) *illustre* Ang. & Dmz.; 865, *A.* (*E.*) *acridulum* Ang.; 866, *A.* (*E.*) *leytense* Ang. Scala: 0,1 mm.

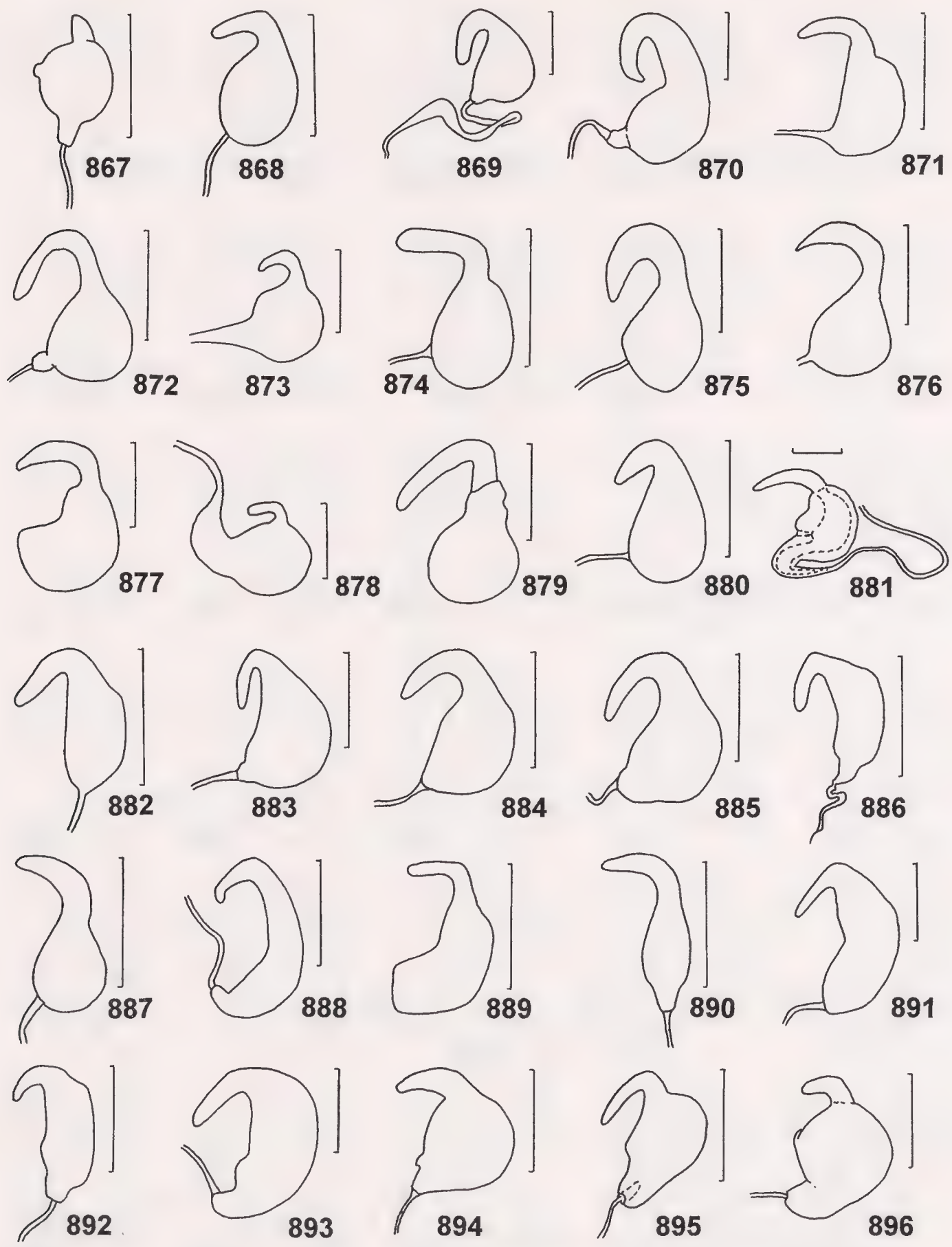

Figg. 867-896 - Spermateca di: 867, *Agathidium* (*Euryceble*) *montuosum* Ang. & Dmz.; 868, *A.* (*Microceble*) loeblianum Ang. & Dmz.; 869, *A.* (*Micr.*) *crockerense* Ang. & Dmz.; 870, *A.* (*Micr.*) *malignum* Ang. & Dmz.; 871, *A.* (*Micr.*) *optatum* Ang. & Dmz.; 872, *A.* (*Micr.*) *quadrimaculatum* Ang. & Dmz.; 873, *A.* (*Micr.*) *abiectum* Ang. & Dmz.; 874, *A.* (*Micr.*) *nebulosum* Ang. & Dmz.; 875, *A.* (*Micr.*) *sabahense* Ang. & Dmz.; 876, *A.* (*Micr.*) *aequale* Ang. & Dmz. (da Angelini & Cooter, 2002); 877, *A.* (*Micr.*) *elongatum* Ang.; 878, *A.* (*Micr.*) *xerampelinum* Ang. & Dmz.; 879, *A.* (*Micr.*) *arcuatum* Ang. & Cooter; 880, *A.* (*Micr.*) *interruptum* Ang. & Dmz.; 881, *A.* (*Micr.*) *wallacei* Ang. & Cooter; 882, *A.* (*Micr.*) *saundersi* Ang. & Cooter; 883, *A.* (*Micr.*) *silvarum* Ang. & Dmz.; 884, *A.* (*Micr.*) *rama* Ang. & Dmz.; 885, *A.* (*Micr.*) *pahangense* Ang.; 886, *A.* (*Micr.*) *javanicum* Ang. & Dmz.; 887, *A.* (*Micr.*) *klapperichi* Ang. & Dmz.; 888, *A.* (*Micr.*) *monticola* Ang. & Dmz.; 889, *A.* (*Micr.*) *schillhammeri* Ang.; 890, *A.* (*Micr.*) *corticinum* Ang. & Dmz.; 891, *A.* (*Micr.*) *simum* Ang. & Dmz.; 892, *A.* (*Micr.*) *vulneratum* Ang. & Dmz.; 893, *A.* (*Micr.*) *infuscatum* Ang. & Dmz.; 894, *A.* (*Micr.*) *taru* Ang. & Dmz.; 895, *A.* (*Micr.*) *modiglianii* Ang.; 896, *A.* (*Micr.*) *maculicolle* Champ. Scala: 0,1 mm.

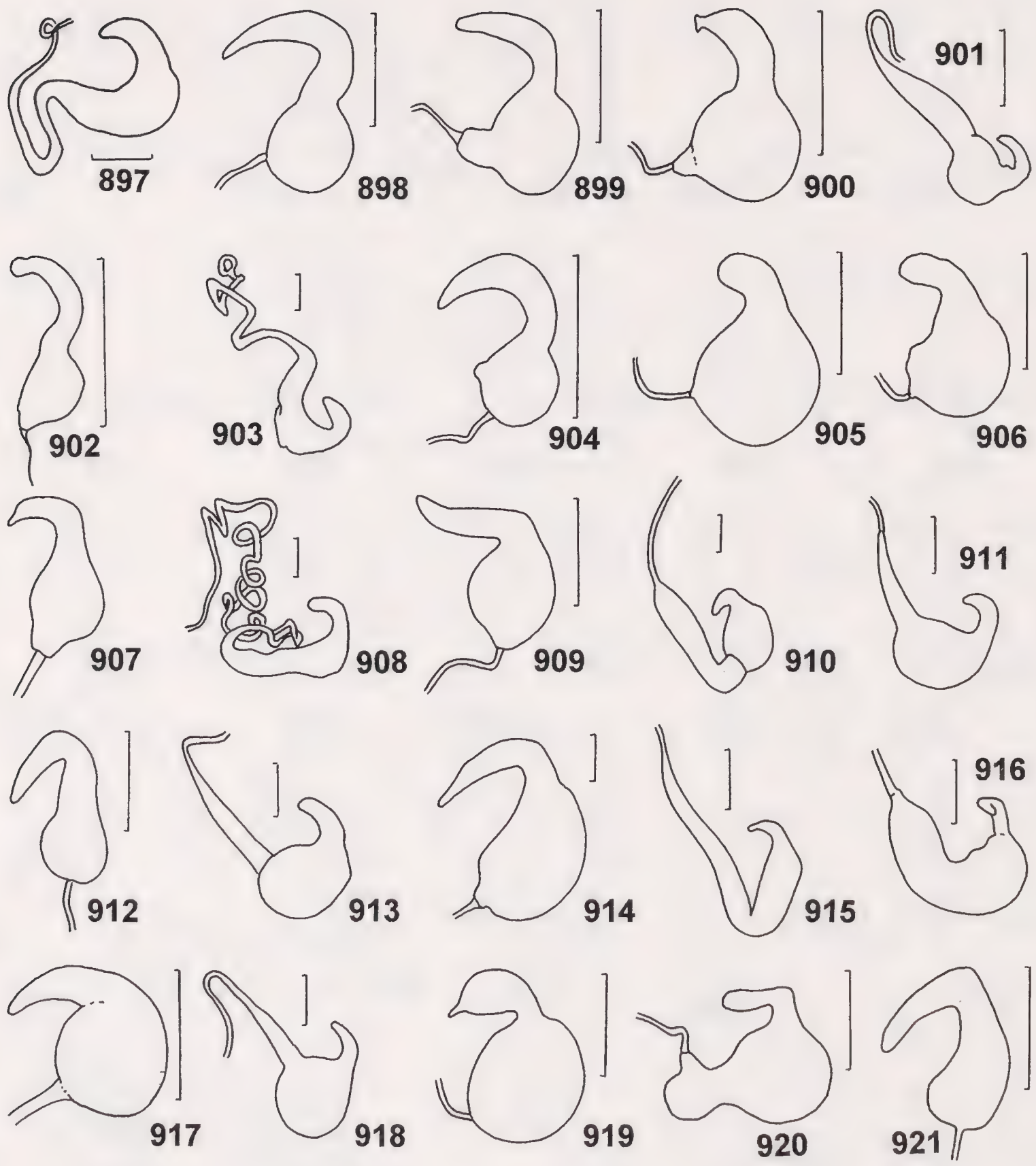

Figg. 897-921 - Spermateca di: 897, *Agathidium* (*Microceble*) *fumosum* Ang. & Dmz.; 898, *A.* (*Micr.*) *laticorne* Port.; 899, *A.* (*Micr.*) *amplum* Ang. & Dmz.; 900, *A.* (*Micr.*) *semirufum* Ang. & Dmz.; 901, *A.* (*Micr.*) *kinabaluense* Ang. & Dmz.; 902, *A.* (*Micr.*) *grouvellei* Port.; 903, *A.* (*Micr.*) *poggii* Ang.; 904, *A.* (*Micr.*) *mirificum* Ang. & Dmz.; 905, *A.* (*Micr.*) *godawaricum* Ang. & Dmz.; 906, *A.* (*Micr.*) *yamputhinense* Ang. & Dmz.; 907, *A.* (*Micr.*) *insolitum* Ang. & Dmz.; 908, *A.* (*Micr.*) *opulentum* Ang. & Dmz.; 909, *A.* (*Micr.*) *jambicum* Ang. & Dmz.; 910, *A.* (*Micr.*) *luridum* Ang.; 911, *A.* (*Micr.*) *cooteri* Ang. & Dmz.; 912, *A.* (*Micr.*) *amictum* Ang. & Dmz.; 913, *A.* (*Micr.*) *darbyi darbyi* Ang. & Cooter; 914, *A.* (*Micr.*) *bolmi* Ang.; 915, *A.* (*Micr.*) *limatum* Ang. & Dmz.; 916, *A.* (*Micr.*) *argutum* Ang. & Dmz.; 917, *A.* (*Micr.*) *puncticolle* Cooter; 918, *A.* (*Micr.*) *darbyi sulawesicum* Ang. & Cooter; 919, *A.* (*Micr.*) *sarawakense* Ang. & Cooter; 920, *A.* (*Micr.*) *abruptum* Ang. & Dmz.; 921, *A.* (*Micr.*) *carinense* Ang. Scala: 0,1 mm.

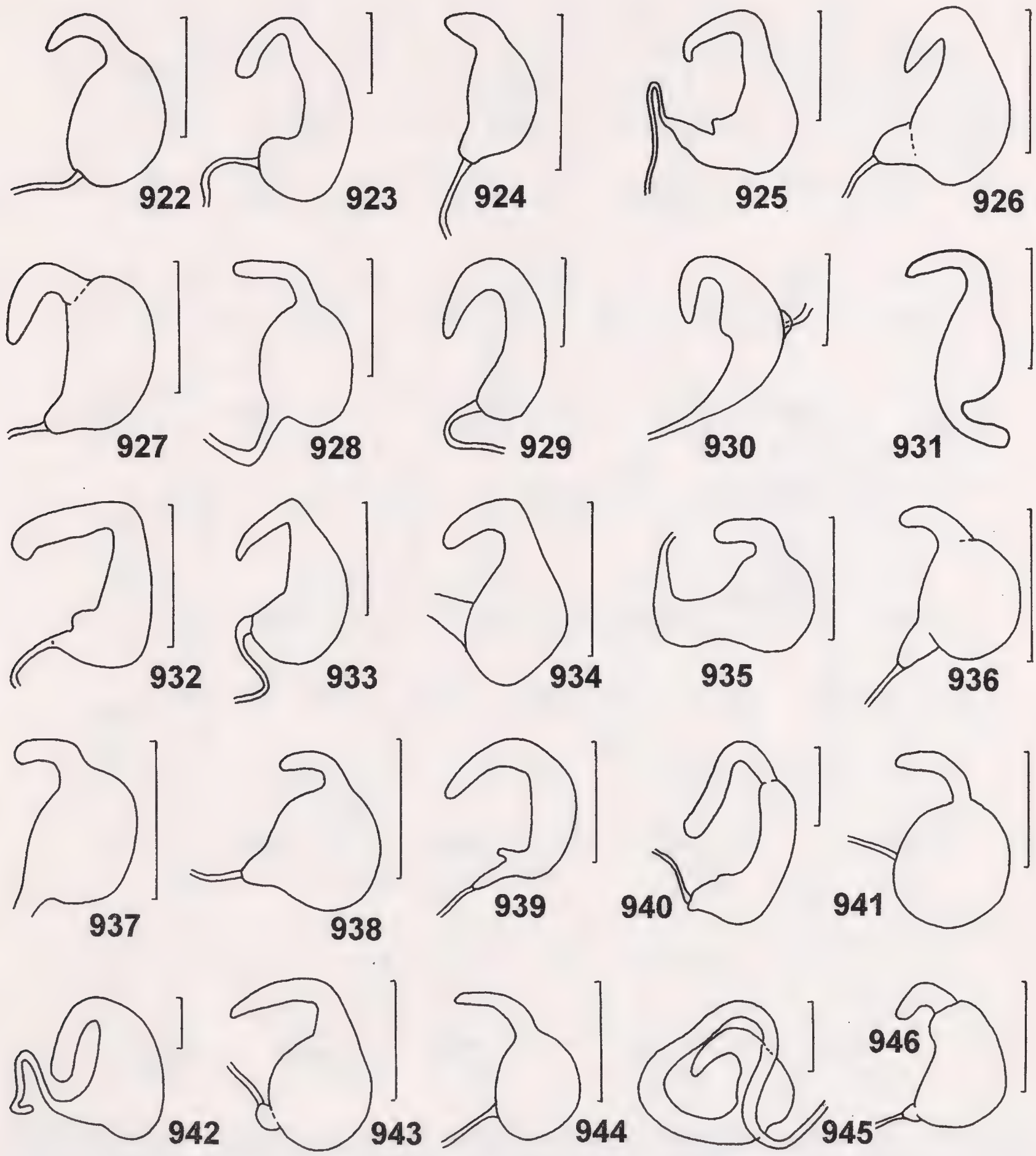

Figg. 922-946 - Spermateca di: 922, *Agathidium* (*Microceble*) *ebeninum* Ang. & Dmz.; 923, *A.* (*Micr.*) *exaratum* Ang. & Dmz.; 924, *A.* (*Micr.*) *palnicum* Ang. & Dmz.; 925, *A.* (*Micr.*) *solutum* Ang. & Dmz.; 926, *A.* (*Micr.*) *andrewesi* Port.; 927, *A.* (*Micr.*) *assamense* Ang. & Dmz.; 928, *A.* (*Micr.*) *pseudopalnicun* Ang. & Švec; 929, *A.* (*Micr.*) *elegans* Ang. & Dmz.; 930, *A.* (*Micr.*) *pocsi* Ang.; 931, *A.* (*Micr.*) *serratum* Ang.; 932, *A.* (*Micr.*) *duofoveatum* Ang. & Dmz.; 933, *A.* (*Micr.*) *sevokense* Ang. & Dmz.; 934, *A.* (*Micr.*) *globulosum* Hlisn. (originale); 935, *A.* (*Micr.*) *hammondi* Ang. & Cooter; 936, *A.* (*Micr.*) *mussardi* Ang. & Dmz.; 937, *A.* (*Micr.*) *karnatakaense* Ang. & Švec; 938, *A.* (*Micr.*) *biimpressum* Champ.; 939, *A.* (*Micr.*) *coomani* Port.; 940, *A.* (*Micr.*) *nitidum* Ang. & Dmz.; 941, *A.* (*Micr.*) *venustum* Ang. & Dmz.; 942, *A.* (*Micr.*) *inornatum* Ang. & Dmz. (originale); 943, *A.* (*Micr.*) *topali* Ang. & Dmz.; 944, *A.* (*Micr.*) *schuhi* Ang. & Dmz.; 945, *A.* (*Micr.*) *celebense* Port.; 946, *A.* (*Micr.*) *sumatrense* Ang. & Dmz. Scala: 0,1 mm.

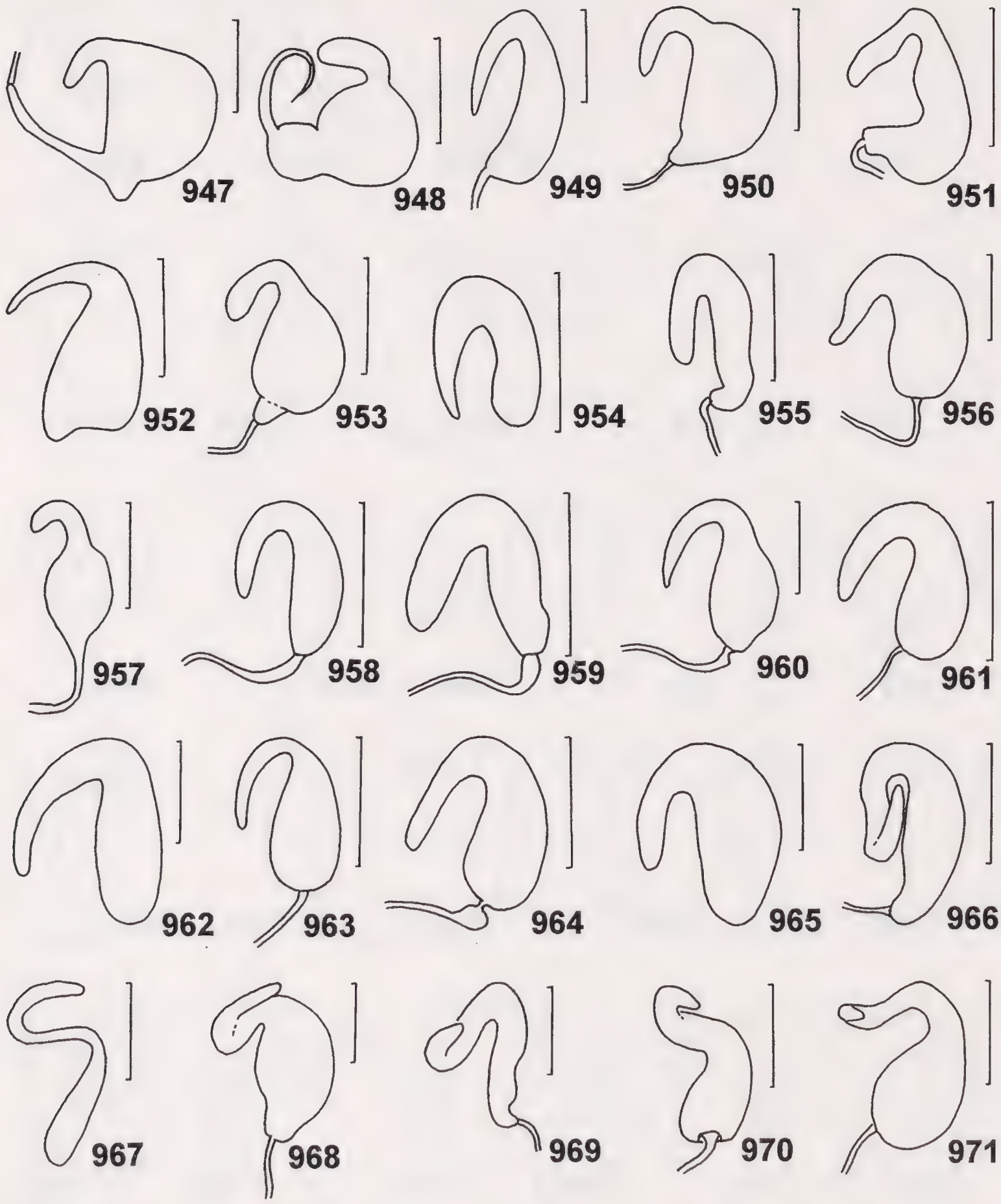

Figg. 947-971 - Spermateca di: 947, *Agathidium* (*Microceble*) *mentawaicum* Ang.; 948, *A.* (*Micr.*) *angelinii* Cooter; 949, *A.* (*Micr.*) *feai* Ang.; 950, *A.* (*Micr.*) *manasicum* Ang. & Dmz.; 951, *A.* (*Micr.*) *tonkinense* Ang. & Cooter; 952, *A.* (*Micr.*) *wuyishanicum* Ang. & Cooter; 953, *A.* (*Micr.*) *brahma* Ang. & Dmz.; 954, *A.* (*Macroceble*) *ivani* Ang.; 955, *A.* (*Macr.*) *scutellare* Ang. & Dmz.; 956, *A.* (*Macr.*) *cameronicum* Ang. & Dmz.; 957, *A.* (*Macr.*) *anophthalmicum* Ang. & Dmz.; 958, *A.* (*Macr.*) *pilosellum* Ang. & Dmz.; 959, *A.* (*Macr.*) *malaysicum* Ang. & Dmz.; 960, *A.* (*Macr.*) *distinctum* Ang. & Dmz.; 961, *A.* (*Macr.*) *jaccoudi* Ang. & Dmz.; 962, *A.* (*Macr.*) *hlavaci* Ang. & Cooter; 963, *A.* (*Macr.*) *amoenum* Ang. & Dmz.; 964, *A.* (*Macr.*) *selangoricum* Ang. & Dmz.; 965, *A.* (*Macr.*) *penultimum* Ang. & Cooter; 966, *A.* (*Macr.*) *singmaricum* Ang. & Dmz.; 967, *A.* (*Macr.*) *newtoni* Ang.; 968, *A.* (*Macr.*) *invalidum* Ang. & Dmz.; 969, *A.* (*Macr.*) *geminatum* Ang. & Dmz.; 970, *A.* (*Macr.*) *shermathangense* Ang. & Dmz.; 971, *A.* (*Macr.*) *longum* Ang. & Dmz. Scala: 0,1 mm.

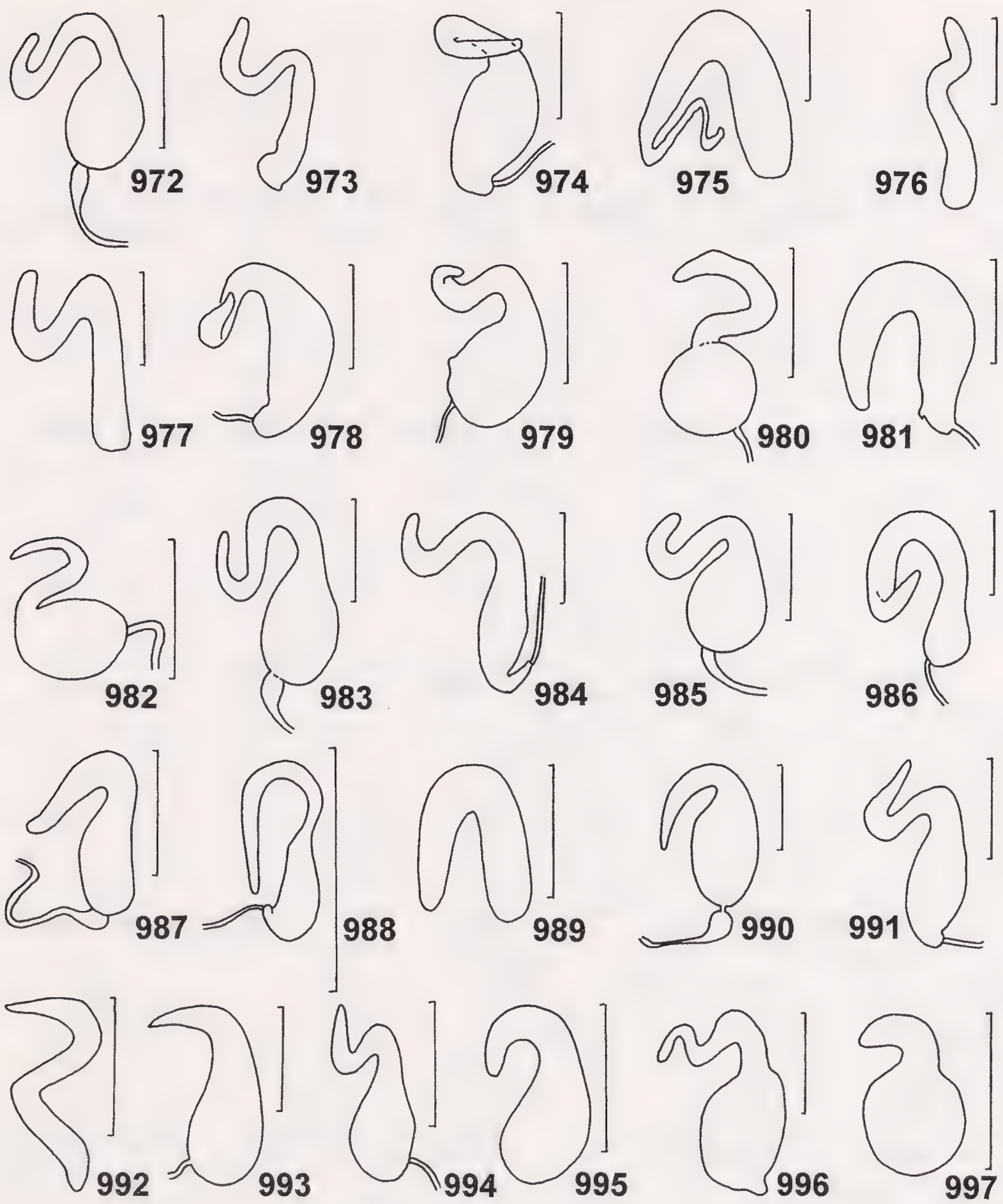

Figg. 972-997 - Spermateca di: 972, *Agathidium* (*Macroceble*) *breve* Ang. & Dmz.; 973, *A.* (*Macr.*) *narusawae* Hoshina; 974, *A.* (*Macr.*) *oblitum* Ang. & Dmz.; 975, *A.* (*Macr.*) *truncatum* Ang.; 976, *A.* (*Macr.*) *soror* Ang. & Cooter; 977, *A.* (*Macr.*) *ultimum* Ang. & Cooter; 978, *A.* (*Macr.*) *unumvesciculatum* Ang. & Dmz.; 979, *A.* (*Macr.*) *quaterfoveatum* Ang. & Dmz.; 980, *A.* (*Macr.*) *schawalleri* Ang. & Dmz.; 981, *A.* (*Macr.*) *sherpa* Ang. & Dmz.; 982, *A.* (*Macr.*) *brancuccii* Ang. & Dmz.; 983, *A.* (*Macr.*) *caelebs* Ang. & Dmz.; 984, *A.* (*Macr.*) *fulcratum* Ang. & Dmz.; 985, *A.* (*Macr.*) *dissimile* Ang. & Dmz.; 986, *A.* (*Macr.*) *sudra* Ang. & Dmz.; 987, *A.* (*Macr.*) *rougemonti* Ang.; 988, *A.* (*Macr.*) *malayanum* Ang. & Dmz.; 989, *A.* (*Macr.*) *cuccodoroi* Ang.; 990, *A.* (*Macr.*) *calamei* Ang. & Dmz.; 991, *A.* (*Macr.*) *abominabile* Ang. & Dmz.; 992, *A.* (*Macr.*) *fraternum* Ang.; 993, *A.* (*Macr.*) *megacephalum* Ang.; 994, *A.* (*Macr.*) *fungivorum* Ang. & Dmz.; 995, *A.* (*Macr.*) *incognitum* Ang. & Dmz.; 996, *A.* (*Macr.*) *kurbatovianum* Ang.; 997, *A.* (*Macr.*) *impunctatum* Ang. Scala: 0,1 mm.

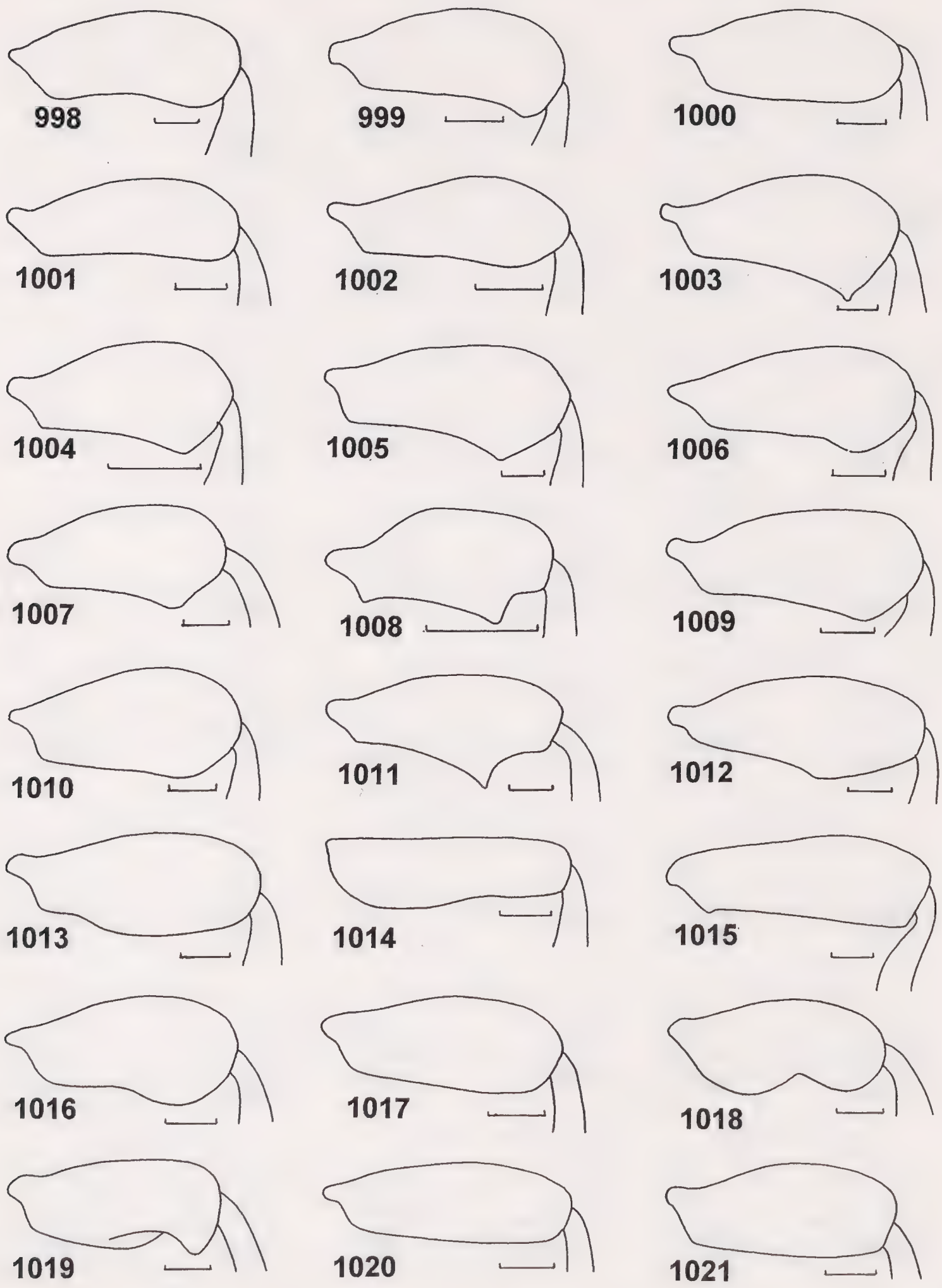

Figg. 998-1021 - Metafemore del ♂ di: 998, *Agathidium* (*Agathidium*) *alatum alatum* Ang. & Dmz.; 999, *A.* (*A.*) *alatum heishuiense* Ang. & Švec; 1000, *A.* (*A.*) *separatum* Ang.; 1001, *A.* (*A.*) *pedemontanum* Ang. & Dmz.; 1002, *A.* (*A.*) *yeti* Ang. & Dmz.; 1003, *A.* (*A.*) *krali* Ang. & Švec; 1004, *A.* (*A.*) *kejvali* Ang. & Švec; 1005, *A.* (*A.*) *luctuosum* Ang. & Dmz.; 1006, *A.* (*A.*) *formosum* Ang. & Dmz.; 1007, *A.* (*A.*) *inelegans* Ang.; 1008, *A.* (*A.*) *becvari* Ang. & Švec; 1009, *A.* (*A.*) *familiare* Ang. & Dmz. (originale); 1010, *A.* (*A.*) *keralaense* Ang.; 1011, *A.* (*A.*) *pseudomadurense* Ang. & Dmz.; 1012, *A.* (*A.*) *madurense* Port.; 1013, *A.* (*A.*) *shillongense* Ang. & Dmz.; 1014, *A.* (*A.*) *gratiosum* Ang. & Švec; 1015, *A.* (*A.*) *occultum* Ang. & Dmz.; 1016, *A.* (*A.*) *thaii* Ang.; 1017, *A.* (*A.*) *signatum* Ang. & Dmz.; 1018, *A.* (*A.*) *watrousi* Ang.; 1019, *A.* (*A.*) *wheeleri* Ang.; 1020, *A.* (*A.*) *senoi* Ang.; 1021, *A.* (*A.*) *subobscurum* Ang. & Dmz. Scala: 0,1 mm.

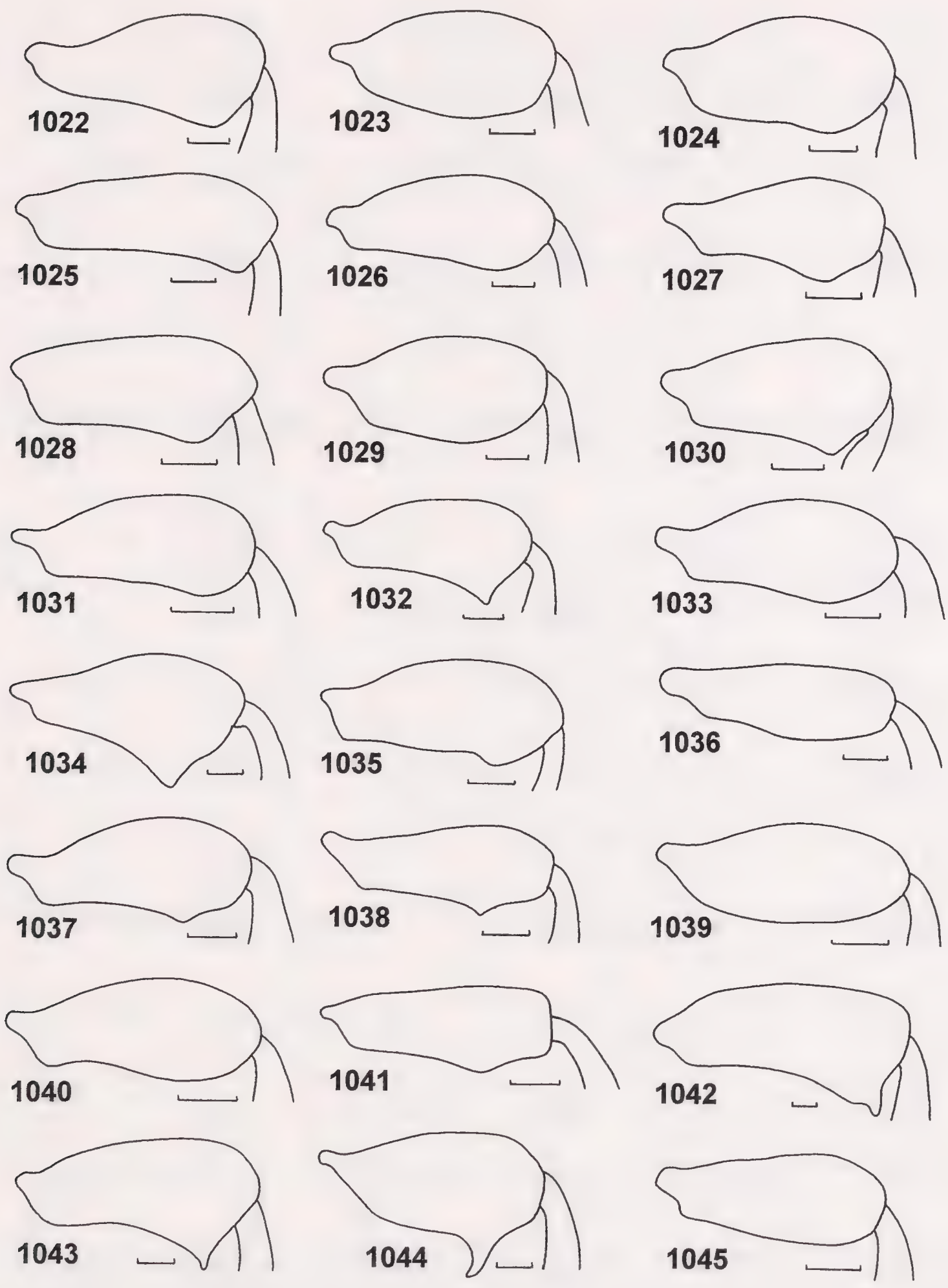

Figg. 1022-1045 - Metafemore del ♂ di: 1022, *Agathidium* (*Agathidium*) *hlisnikovskyi* Ang. & Dmz.; 1023, *A.* (*A.*) *calvum* Ang.; 1024, *A.* (*A.*) *pecki* Ang.; 1025, *A.* (*A.*) *nahangense* Ang.; 1026, *A.* (*A.*) *caovansungi* Ang.; 1027, *A.* (*A.*) *apocryphum* Ang.; 1028, *A.* (*A.*) *kryzhanovskii* Ang.; 1029, *A.* (*A.*) *patris* Ang. & Cooter; 1030, *A.* (*A.*) *nefandum* Ang.; 1031, *A.* (*A.*) *plumbeum* Ang.; 1032, *A.* (*A.*) *schuelkeicum* Ang.; 1033, *A.* (*A.*) *tardum* Ang. & Dmz. (originale); 1034, *A.* (*A.*) *obscurum* Ang.; 1035, *A.* (*A.*) *nigritulum* Ang.; 1036, *A.* (*A.*) *silvestre* Ang. & Dmz.; 1037, *A.* (*A.*) *varuna* Ang. & Dmz.; 1038, *A.* (*A.*) *khasicum* Ang. & Dmz.; 1039, *A.* (*A.*) *meghalayanum* Ang. & Dmz.; 1040, *A.* (*A.*) *lebongense* Ang. & Dmz.; 1041, *A.* (*A.*) *lijiangense* Ang.; 1042, *A.* (*A.*) *giganteum* Ang. & Švec; 1043, *A.* (*A.*) *lasti* Ang. & Cooter; 1044, *A.* (*A.*) *paralasti* Ang. & Cooter; 1045, *A.* (*A.*) *simulator* Ang. Scala: 0,1 mm.

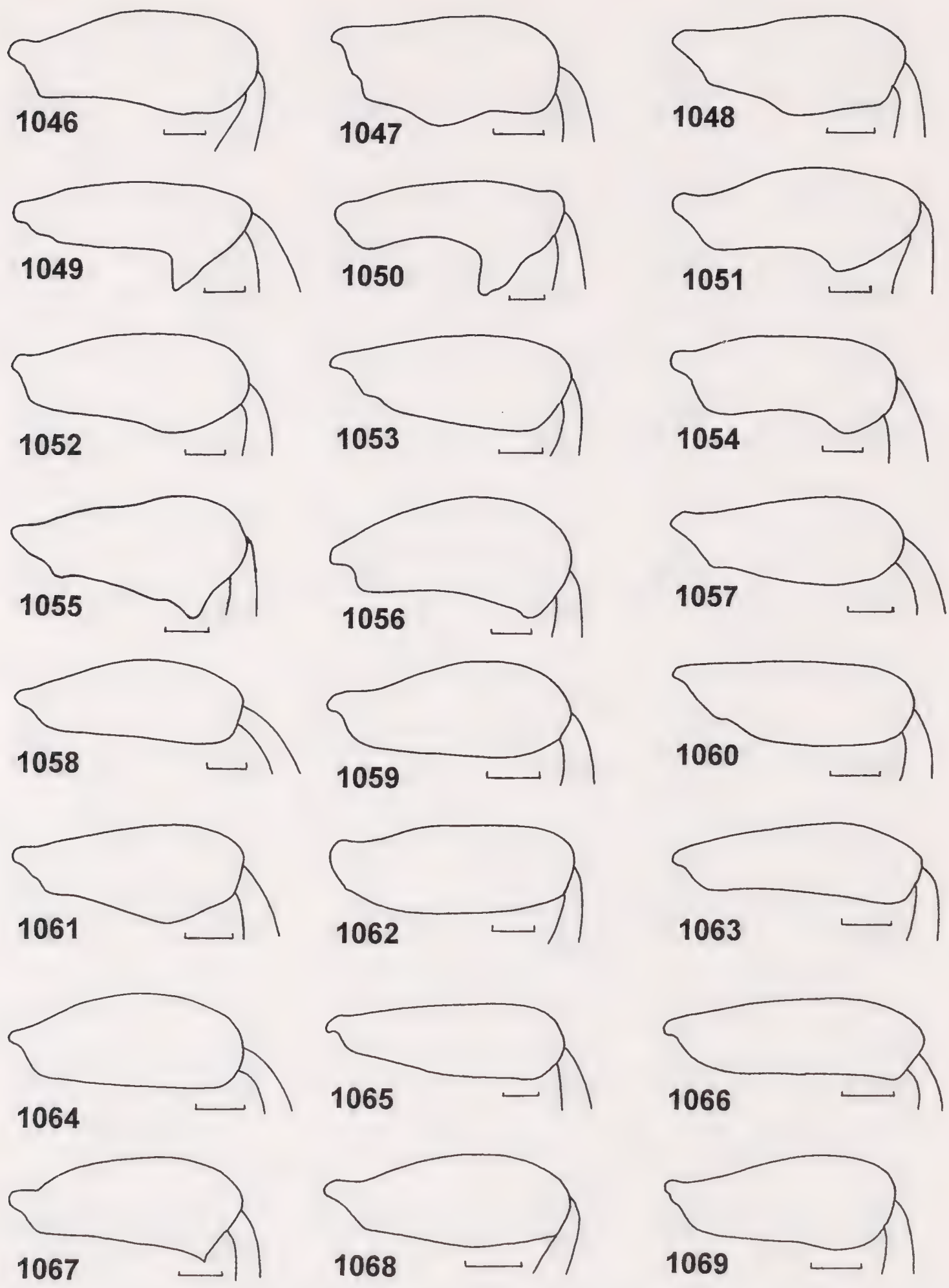

Figg. 1046-1069 - Metafemore del ♂ di: 1046, *Agathidium* (*Agathidium*) *vagum* Ang. & Dmz.; 1047, *A.* (*A.*) *modestum* Ang.; 1048, *A.* (*A.*) *neurayi* Ang.; 1049, *A.* (*A.*) *alesi* Ang. & Dmz.; 1050, *A.* (*A.*) *distinguendum* Ang. & Dmz. (originale); 1051, *A.* (*A.*) *lucifugum* Ang.; 1052, *A.* (*A.*) *delicatulum* Ang. & Dmz.; 1053, *A.* (*A.*) *subnitidum* Ang. & Dmz.; 1054, *A.* (*A.*) *ishigakiense* Hoshina (originale); 1055, *A.* (*A.*) *saigoi* Hoshina (originale); 1056, *A.* (*A.*) *lashioense* Ang.; 1057, *A.* (*A.*) *herberti* Ang.; 1058, *A.* (*A.*) *kuaiense* Ang. & Cooter; 1059, *A.* (*A.*) *hoabinhense* Ang.; 1060, *A.* (*A.*) *sveci* Ang.; 1061, *A.* (*A.*) *newari* Ang. & Dmz.; 1062, *A.* (*A.*) *crassum* Ang. & Dmz.; 1063, *A.* (*A.*) *darjeelingense* Ang. & Dmz.; 1064, *A.* (*A.*) *lewisi* Ang.; 1065, *A.* (*A.*) *aeratum* Ang.; 1066, *A.* (*A.*) *schwendingeri* Ang.; 1067, *A.* (*A.*) *impressum* Ang.; 1068, *A.* (*A.*) *siamense* Ang.; 1069, *A.* (*A.*) *riedeli* Ang. Scala: 0,1 mm.

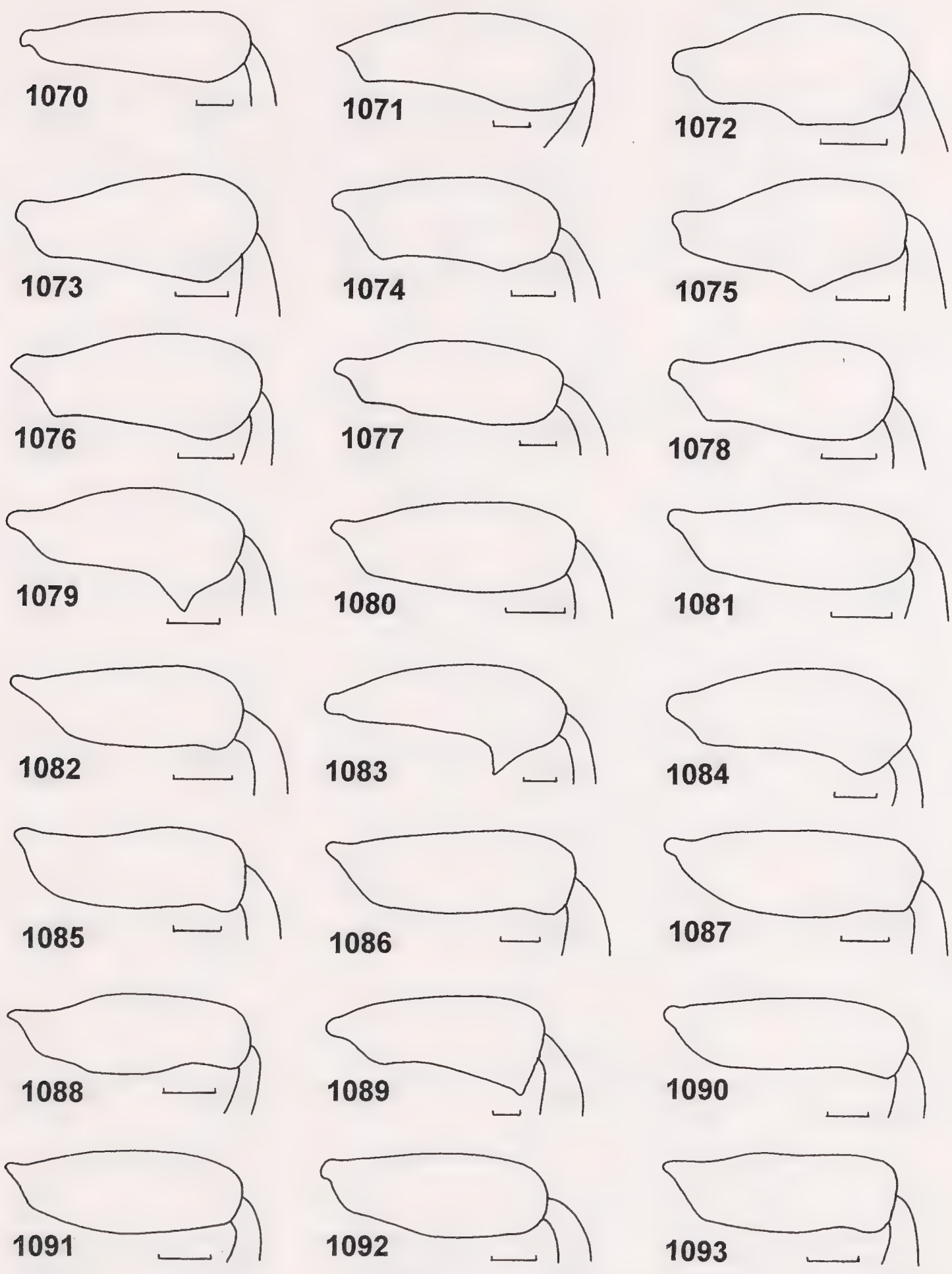

Figg. 1070-1093 - Metafemore del ♂ di: 1070, *Agathidium* (*Agathidium*) *relictum* Ang.; 1071, *A.* (*A.*) *urbanii* Ang. & Dmz.; 1072, *A.* (*A.*) *acuminatum* Ang. & Dmz.; 1073, *A.* (*A.*) *lepidum* Ang.; 1074, *A.* (*A.*) *obsoletum* Ang.; 1075, *A.* (*A.*) *kualalumpurense* Ang. & Dmz.; 1076, *A.* (*A.*) *montivagum* . Ang. & Dmz.; 1077, *A.* (*A.*) *negritos* Ang. (metafemore ♀); 1078, *A.* (*A.*) *agostii* Ang. & Dmz.; 1079, *A.* (*A.*) *marshalli* Ang. & Cooter; 1080, *A.* (*A.*) *pakistanicum* Ang. & Dmz.; 1081, *A.* (*A.*) *pinorum* Ang. & Dmz.; 1082, *A.* (*A.*) *vile* Ang. & Dmz.; 1083, *A.* (*A.*) *jatanai* Ang. & Švec; 1084, *A.* (*A.*) *mequignoni* Roubal (da Angelini, 1995); 1085, *A.* (*A.*) *barahbisense* Ang. & Dmz. (originale); 1086, *A.* (*A.*) *subopacum* Ang. & Dmz.; 1087, *A.* (*A.*) *microreticulatum* Ang. & Dmz.; 1088, *A.* (*A.*) *castaneum* Ang. & Dmz.; 1089, *A.* (*A.*) *jendeki* Ang. & Švec; 1090, *A.* (*A.*) *substriatum* Ang. & Dmz.; 1091, *A.* (*A.*) *parbaticum* Ang. & Dmz.; 1092, *A.* (*A.*) *bagmaticum* Ang. & Dmz. (originale); 1093, *A.* (*A.*) *brunneum* Ang. & Dmz. Scala: 0,1 mm.

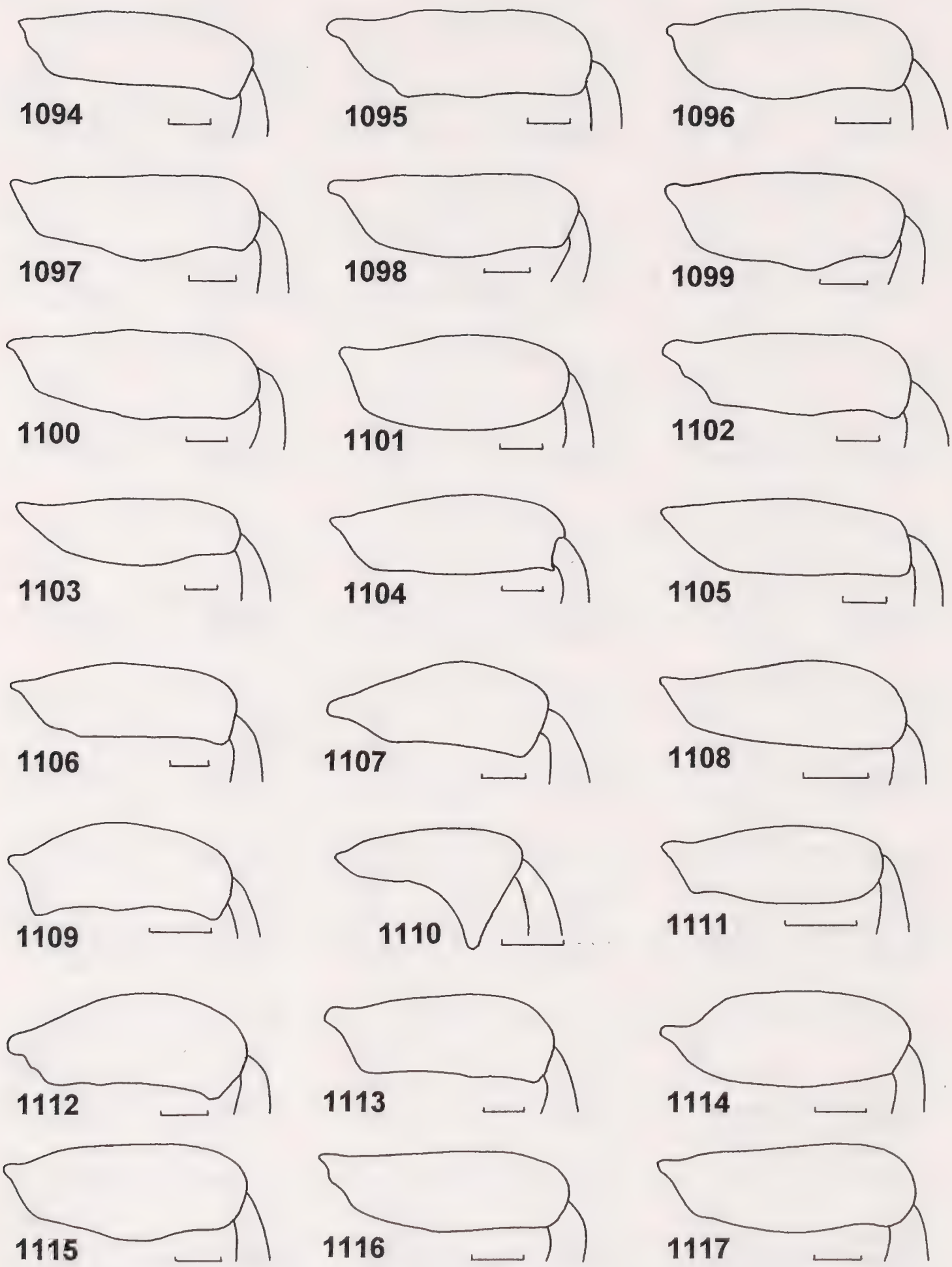

Figg. 1094-1117 - Metafemore del ♂ di: 1094, *Agathidium* (*Agathidium*) *thochungense* Ang. & Dmz.; 1095, *A.* (*A.*) *ineptum* Ang. & Dmz.; 1096, *A.* (*A.*) *kuwapanicum* Ang. & Dmz.; 1097, *A.* (*A.*) *nivale* Ang. & Dmz.; 1098, *A.* (*A.*) *smetanai* Ang. & Dmz. (originale); 1099, *A.* (*A.*) *dargharicum* Ang. & Dmz.; 1100, *A.* (*A.*) *apterum* Ang. & Dmz.; 1101, *A.* (*A.*) *ilamense* Ang. & Dmz.; 1102, *A.* (*A.*) *conspersum* Ang. & Dmz.; 1103, *A.* (*A.*) *kharkaense* Ang. & Dmz.; 1104, *A.* (*A.*) *francae* Ang. & Dmz.; 1105, *A.* (*A.*) *confluens* Ang. & Dmz.; 1106, *A.* (*A.*) *ausobskyi* Ang. & Dmz.; 1107, *A.* (*A.*) *glabricolle* Ang. & Dmz.; 1108, *A.* (*A.*) *gulmargense* Ang. & Dmz.; 1109, *A.* (*A.*) *amamiense* Hoshina (originale); 1110, *A.* (*A.*) *uliginosum* Ang. & Švec; 1111, *A.* (*A.*) *sikh* Ang. & Dmz.; 1112, *A.* (*A.*) *chinense* Hlisn. (da Angelini, 1995); 1113, *A.* (*A.*) *robustum* Ang. & Dmz.; 1114, *A.* (*A.*) *laevipenne* Port. (originale); 1115, *A.* (*A.*) *pauperum* Ang. & Dmz.; 1116, *A.* (*A.*) *visnu* Ang. & Dmz. (originale); 1117, *A.* (*A.*) *garhwalense* Ang. & Dmz. Scala: 0,1 mm.

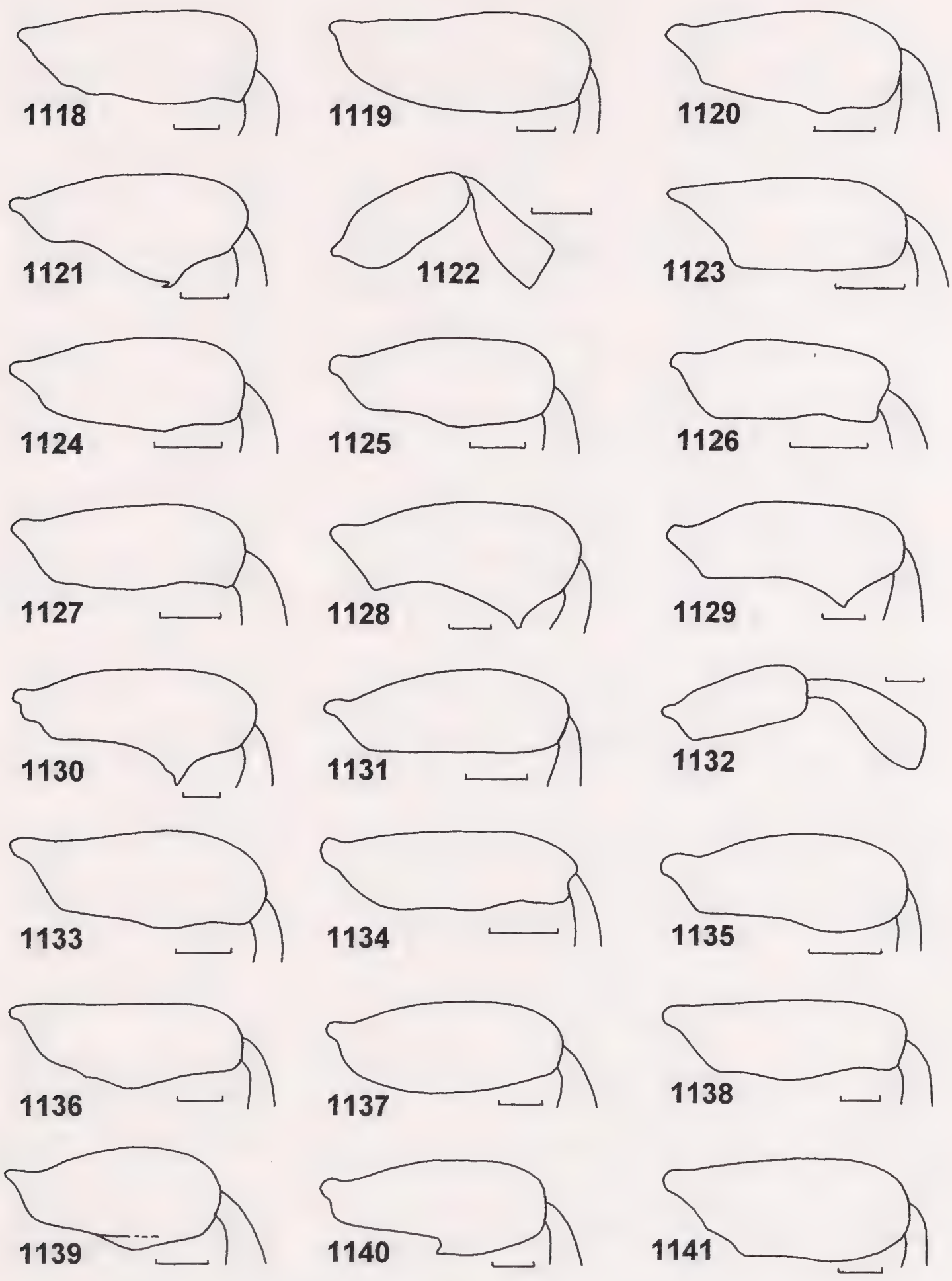

Figg. 1118-1141 - Metafemore del ♂ di: 1118, *Agathidium* (*Agathidium*) *sadhu* Ang. & Dmz.; 1119, *A.* (*A.*) *kabateki* Ang.; 1120, *A.* (*A.*) *celatum* Ang. & Dmz.; 1121, *A.* (*A.*) *michaeli* Ang.; 1122, *A.* (*A.*) *nitidulum* Ang. & Cooter; 1123, *A.* (*A.*) *zijinense* Ang. & Cooter; 1124, *A.* (*A.*) *swaticum* Ang. & Dmz.; 1125, *A.* (*A.*) *nepalense* Ang. & Dmz.; 1126, *A.* (*A.*) *minutissimum* Ang. & Dmz.; 1127, *A.* (*A.*) *shimlense* Ang. & Steph.; 1128, *A.* (*A.*) *armatum* Ang.; 1129, *A.* (*A.*) *huangganshanicum* Ang. & Cooter; 1130, *A.* (*A.*) *rufescens* Ang. & Dmz.; 1131, *A.* (*A.*) *guagir* Ang. & Dmz.; 1132, i. (*A.*) *tibiale* Ang. & Dmz.; 1133, *A.* (*A.*) *lividum* Ang. & Dmz.; 1134, *A.* (*A.*) *rubrum* Ang. & Dmz.; 1135, *A.* (*A.*) *manangense* Ang. & Dmz. (originale); 1136, *A.* (*A.*) *lassethamense* Ang. & Dmz.; 1137, *A.* (*A.*) *laevigatum* Er. (da Angelini, 1995); 1138, *A.* (*A.*) *detritum* Ang. & Dmz.; 1139, *A.* (*A.*) *semireticulatum* Ang. & Dmz.; 1140, *A.* (*A.*) *angustatum* Ang. & Dmz.; 1141, *A.* (*A.*) *memnonium* Ang. & Dmz. Scala: 0,1 mm.

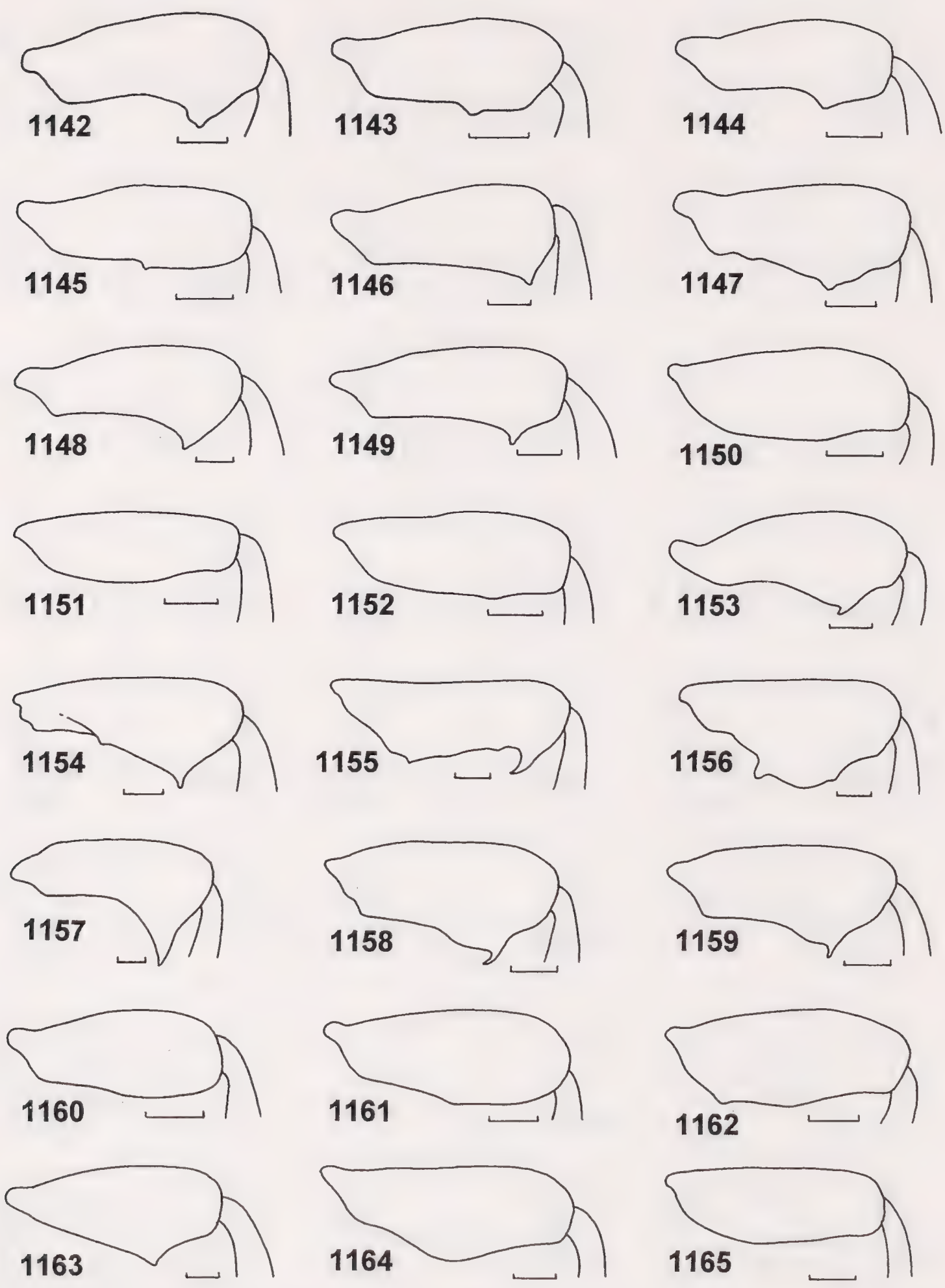

Figg. 1142-1165 - Metafemore del ♂ di: 1142, *Agathidium* (*Agathidium*) *inustum* Ang. & Dmz.; 1143, *A.* (*A.*) *furcatum* Ang. & Dmz.; 1144, *A.* (*A.*) *comptum* Ang. & Dmz.; 1145, *A.* (*A.*) *egregium* Ang. & Dmz.; 1146, *A.* (*A.*) *exoletum* Ang. & Dmz.; 1147, *A.* (*A.*) *alpestre* Ang. & Dmz.; 1148, *A.* (*A.*) *subalpinum* Ang. & Dmz.; 1149, *A.* (*A.*) *taichungense* Ang. & Dmz.; 1150, *A.* (*A.*) *rurale* Ang. (metafemore ♀); 1151, *A.* (*A.*) *procerum* Ang. & Dmz.; 1152, *A.* (*A.*) *tschungi* Ang.; 1153, *A.* (*A.*) *consimile* Ang.; 1154, *A.* (*A.*) *garrattii* Ang. & Cooter (metafemore ♀); 1155, *A.* (*A.*) *simplex* Ang.; 1156, *A.* (*A.*) *gonggaense* Ang. & Dmz.; 1157, *A.* (*A.*) *nigerrimum* Ang.; 1158, *A.* (*A.*) *jaechi* Ang.; 1159, *A.* (*A.*) *rubiginosum* Ang.; 1160, i. (*A.*) *kathmanduense* Ang. & Dmz.; 1161, *A.* (*A.*) *siva* Ang. & Dmz.; 1162, *A.* (*A.*) *rusticanum* Ang. & Dmz.; 1163, *A.* (*A.*) *proximum* Ang.; 1164, *A.* (*A.*) *imitator* Ang. & Dmz.; 1165, *A.* (*A.*) *variabile* Ang. & Dmz. Scala: 0,1 mm.

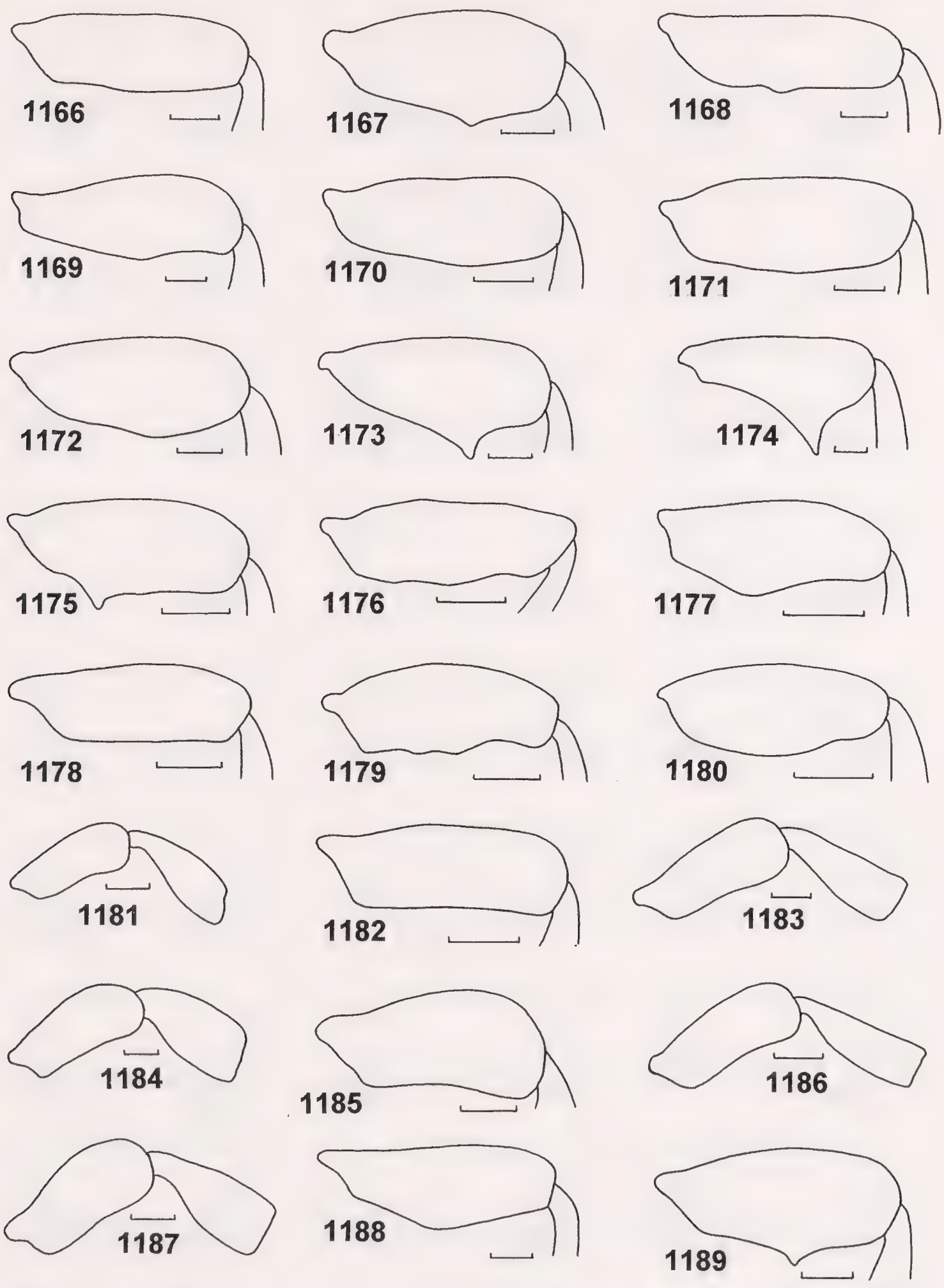

Figg. 1166-1189 - Metafemore del ♂ di: 1166, *Agathidium* (*Agathidium*) *martensi* Ang. & Dmz.; 1167, *A.* (*A.*) *rufifrons* Ang. & Dmz.; 1168, *A.* (*A.*) *inquietum* Ang. & Dmz.; 1169, *A.* (*A.*) *excelsum* Ang. & Dmz.; 1170, *A.* (*A.*) *dobaticum* Ang. & Dmz.; 1171, *A.* (*A.*) *ornatum* Ang. & Dmz. (originale); 1172, *A.* (*A.*) *ishvara* Ang. & Dmz.; 1173, *A.* (*A.*) *fulgens* Ang. & Dmz.; 1174, *A.* (*A.*) *querceum* Ang. & Dmz.; 1175, *A.* (*A.*) *tianmuoides* Ang. & Cooter; 1176, *A.* (*A.*) *aikanae* Hoshina (originale); 1177, *A.* (*A.*) *paratianmuense* Ang. & Cooter; 1178, *A.* (*A.*) *pseudotianmuense* Ang. & Cooter; 1179, *A.* (*A.*) *jiuchongense* Ang. & Cooter; 1180, *A.* (*A.*) *tianmuense* Ang. & Cooter; 1181, *A.* (*A.*) *pusillum* Ang. & Dmz.; 1182, *A.* (*A.*) *wittmeri* Ang. & Dmz.; 1183, *A.* (*A.*) *pseudotibiale* Ang. & Dmz.; 1184, *A.* (*A.*) *macrotibiale* Ang. & Dmz.; 1185, *A.* (*A.*) *sikkimense* Ang. & Dmz.; 1186, *A.* (*A.*) *indra* Ang. & Dmz.; 1187, *A.* (*A.*) *curtum* Ang. & Dmz.; 1188, *A.* (*A.*) *deoralicum* Ang. & Dmz.; 1189, *A.* (*A.*) *uniforme* Ang. & Dmz. Scala: 0,1 mm.

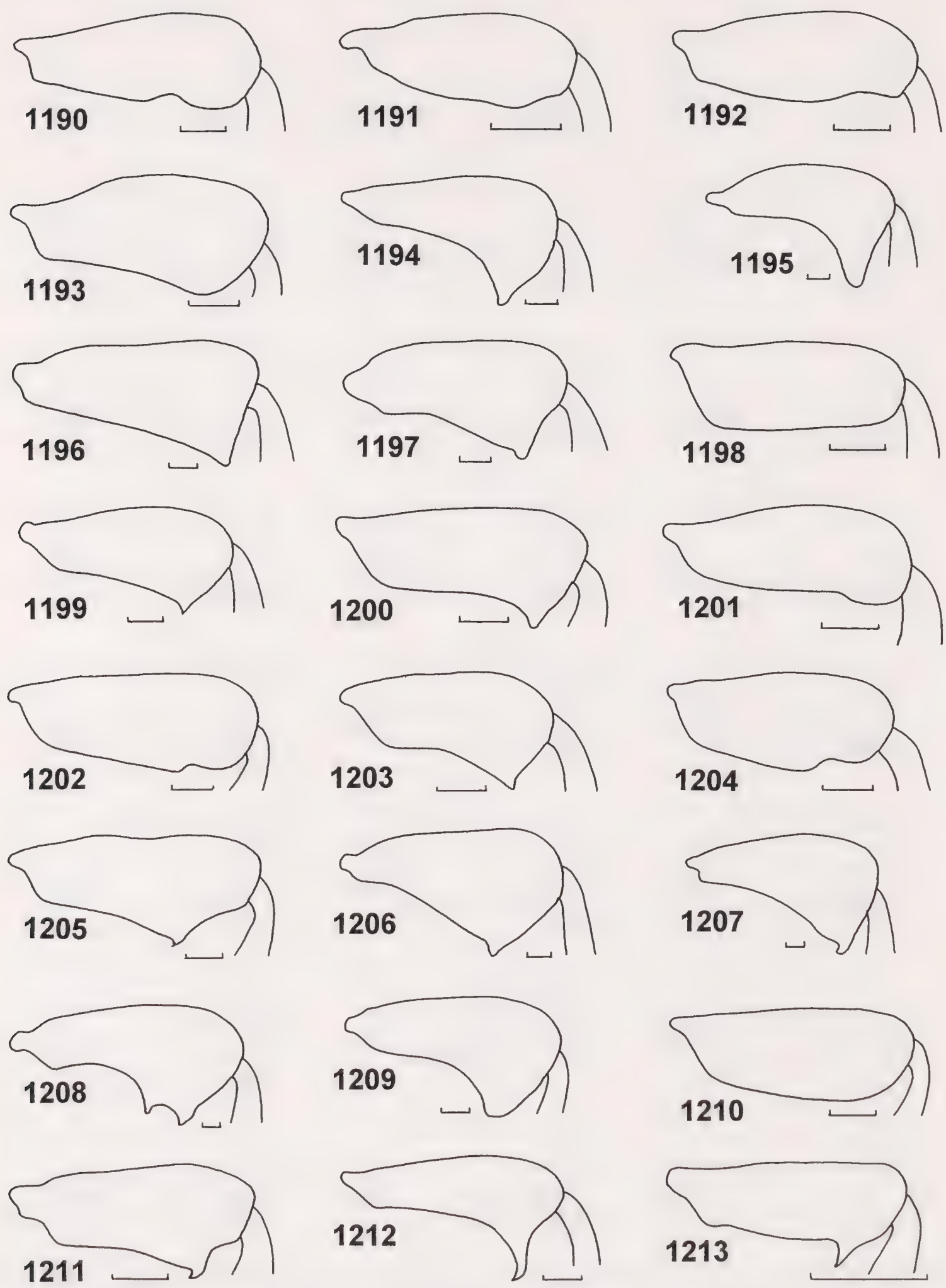

Figg. 1190-1213 - Metafemore del ♂ di: 1190, *Agathidium* (*Agathidium*) *xianggangense* Ang. & Cooter; 1191, *A.* (*A.*) *fujisakiae* Hoshina (originale); 1192, *A.* (*A.*) *senile* Ang. & Dmz.; 1193, *A.* (*A.*) *fujianense* Ang. & Dmz.; 1194, *A.* (*A.*) *schuelkei* Ang.; 1195, *A.* (*A.*) *hoshinai* Ang.; 1196, *A.* (*A.*) *smetanaicum* Ang.; 1197, *A.* (*A.*) *puetzi* Ang. & Švec; 1198, *A.* (*A.*) *brunneipenne* Ang. & Dmz.; 1199, *A.* (*A.*) *zdeneki* Ang.; 1200, *A.* (*A.*) *huaense* Ang. & Dmz.; 1201, *A.* (*A.*) *gutianense* Ang. & Cooter; 1202, *A.* (*A.*) *luojiense* Ang.; 1203, *A.* (*A.*) *pseudouniforme* Ang.; 1204, *A.* (*A.*) *wannianicum* Ang.; 1205, *A.* (*A.*) *sinuatum* Ang.; 1206, *A.* (*A.*) *hubeicum* Ang. & Cooter; 1207, *A.* (*A.*) *inerme* Ang. & Dmz.; 1208, *A.* (*A.*) *shennongjiaense* Ang. & Cooter; 1209, *A.* (*A.*) *grandicolle* Ang.; 1210, *A.* (*A.*) *bowringi* Ang. & Cooter; 1211, *A.* (*A.*) *acutum* Ang.; 1212, *A.* (*A.*) *acuticorne* Ang.; 1213, *A.* (*A.*) *yunnanicum* Ang. & Švec. Scala: 0,1 mm.

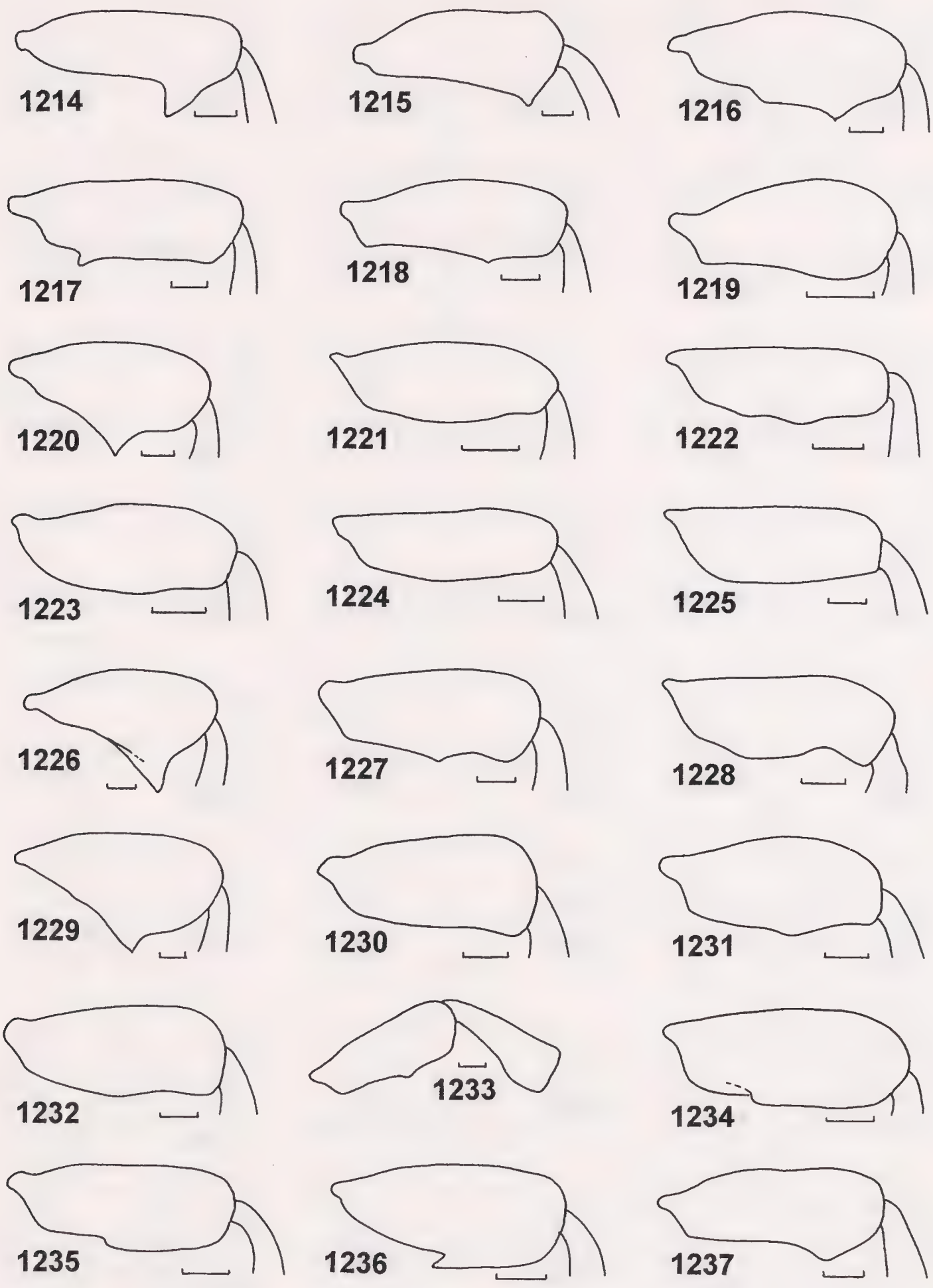

Figg. 1214-1237 - Metafemore del ♂ di: 1214, *Agathidium* (*Agathidium*) *indubium* Ang. & Dmz.; 1215, *A.* (*A.*) *melancholicum* Ang. & Cooter; 1216, *A.* (*A.*) *hani* Ang.; 1217, *A.* (*A.*) *lugubre* Ang. & Dmz.; 1218, *A.* (*A.*) *ovatum* Ang. & Dmz.; 1219, *A.* (*A.*) *harmandi* Port.; 1220, *A.* (*A.*) *gurka* Ang. & Dmz.; 1221, *A.* (*A.*) *phulcokiense* Ang. & Dmz.; 1222, *A.* (*A.*) *martensianum* Ang. & Dmz.; 1223, *A.* (*A.*) *tenebricosum* Ang. & Dmz. (originale); 1224, *A.* (*A.*) *daamsae* Ang. & Dmz.; 1225, *A.* (*A.*) *pothanaense* Ang.; 1226, *A.* (*A.*) *paria* Ang. & Dmz.; 1227, *A.* (*A.*) *eremita* Ang. & Dmz.; 1228, *A.* (*A.*) *montanum* Ang. & Dmz.; 1229, *A.* (*A.*) *connexum* Ang.; 1230, *A.* (*A.*) *bidentatum* Ang. & Dmz.; 1231, *A.* (*A.*) *sparsum* Ang. & Dmz.; 1232, *A.* (*A.*) *tridentatum* Ang. & Dmz.; 1233, *A.* (*A.*) *pseudoparia* Ang. & Dmz.; 1234, *A.* (*A.*) *grossum* Ang.; 1235, *A.* (*A.*) *lucidum* Ang. & Dmz. (originale); 1236, *A.* (*A.*) *honestum* Ang. & Dmz.; 1237, *A.* (*A.*) *asphaltinum* Ang. & Dmz. Scala: 0,1 mm.

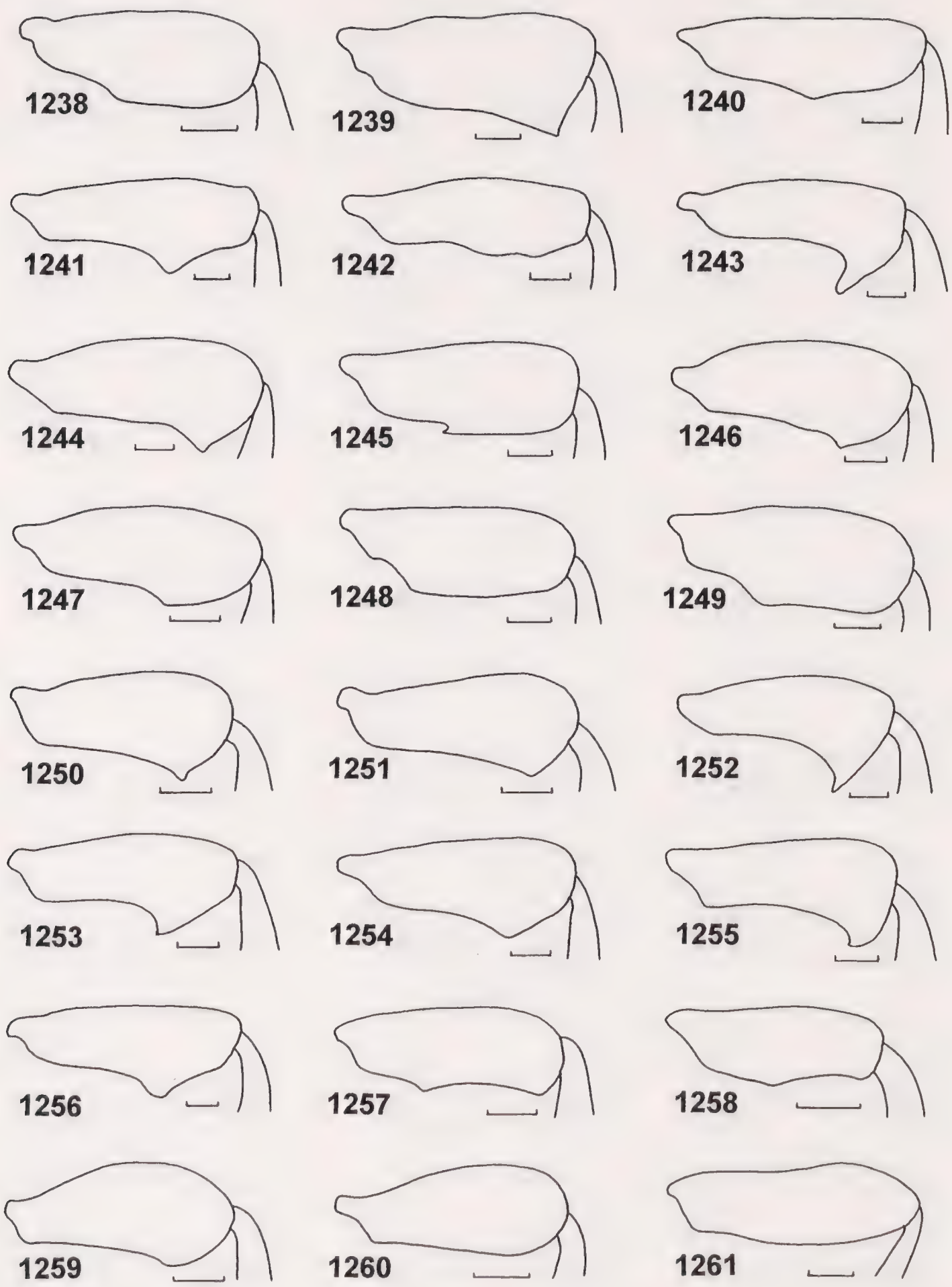

Figg. 1238-1261 - Metafemore del ♂ di: 1238, *Agathidium* (*Agathidium*) *tenebroides* Ang. & Dmz. (originale); 1239, *A.* (*A.*) *griseum* Ang.; 1240, *A.* (*A.*) *fuscum* Ang. & Dmz.; 1241, *A.* (*A.*) *umbratum* Ang. & Dmz.; 1242, *A.* (*A.*) *lunatum* Ang. & Dmz.; 1243, *A.* (*A.*) *pictum* Ang. & Dmz.; 1244, *A.* (*A.*) *fenestratum* Ang. & Dmz.; 1245, *A.* (*A.*) *fuliginosum* Ang. & Dmz.; 1246, *A.* (*A.*) *chiaicum* Ang. & Dmz.; 1247, *A.* (*A.*) *kaohsiungense* Ang. & Dmz.; 1248, *A.* (*A.*) *tessellatum* Ang. & Dmz.; 1249, *A.* (*A.*) *subsinuatum* Ang.; 1250, *A.* (*A.*) *discretum* Ang. & Dmz.; 1251, *A.* (*A.*) *chalconotum* Ang. & Dmz.; 1252, *A.* (*A.*) *splendidulum* Ang. & Dmz.; 1253, *A.* (*A.*) *intricatum* Ang. & Dmz.; 1254, *A.* (*A.*) *melanocephalum* Ang. & Dmz.; 1255, *A.* (*A.*) *anmashanense* Ang. & Dmz.; 1256, *A.* (*A.*) *meifengense* Ang. & Dmz.; 1257, *A.* (*A.*) *ducentesimum* Ang. & Dmz.; 1258, *A.* (*A.*) *ilvense* Ang. & Dmz.; 1259, *A.* (*A.*) *montanellum* Hlisn. (originale) (metafemore ♀); 1260, *A.* (*A.*) *pseudomontanellum* Ang. & Dmz.; 1261, *A.* (*A.*) *prosperum* Ang. (metafemore ♀). Scala: 0,1 mm.

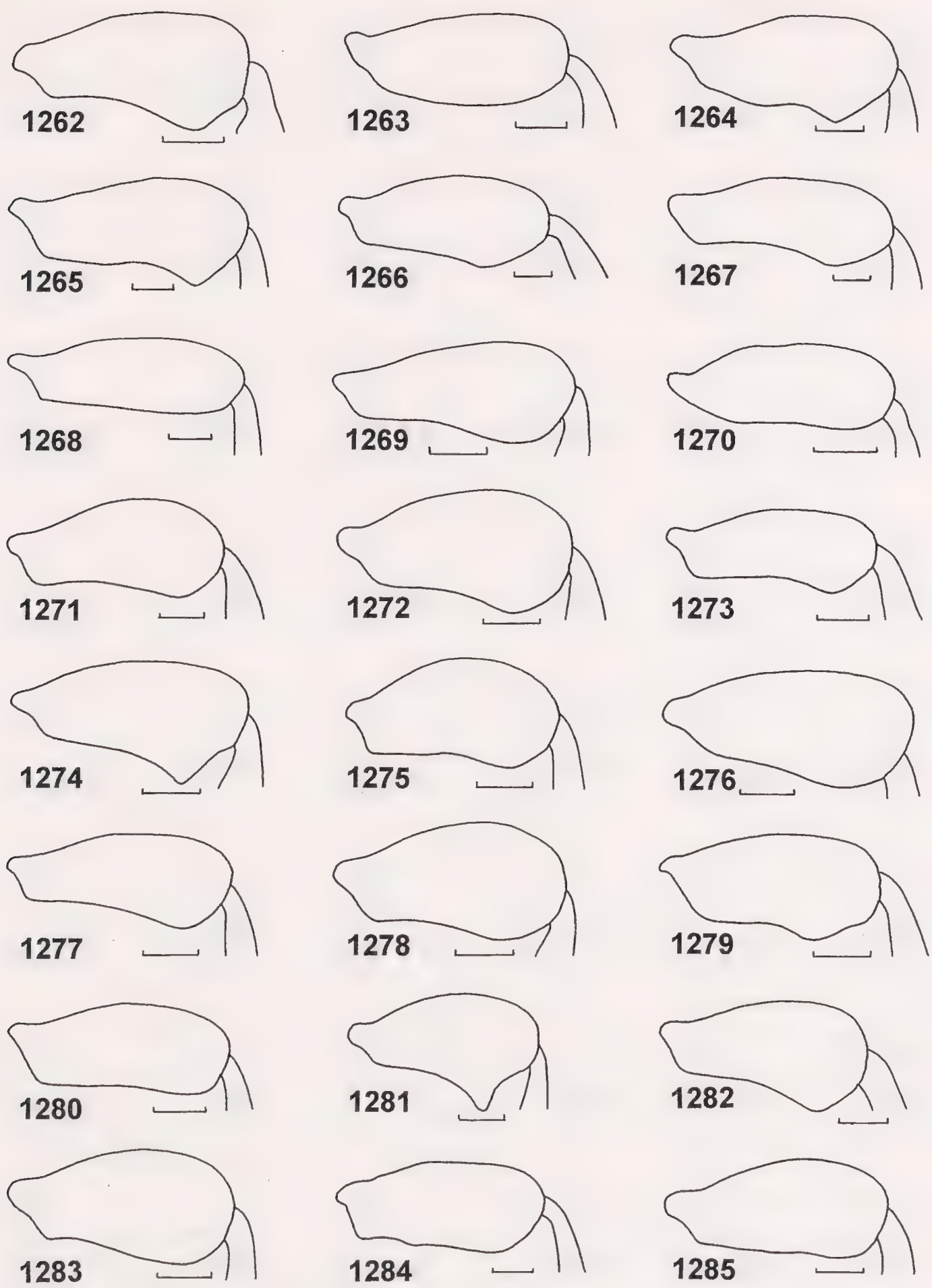

Figg. 1262-1285 - Metafemore del ♂ di: 1262, *Agathidium* (*Agathidium*) *collinsi* Ang. & Cooter; 1263, *A.* (*Euryceble*) *antennatum* Hlisn. (originale) (metafemore ♀); 1264, *A.* (*E.*) *capito* Ang. (metafemore ♀); 1265, *A.* (*E.*) *illustre* Ang. & Dmz.; 1266, *A.* (*E.*) *acridulum* Ang.; 1267, *A.* (*E.*) *leytense* Ang.; 1268, *A.* (*E.*) *montuosum* Ang. & Dmz.; 1269 *A.* (*Microceble*) *loeblianum* Ang. & Dmz.; 1270, *A.* (*Micr.*) *pileti* Ang. & Dmz.; 1271, *A.* (*Micr.*) *kuchingense* Ang.; 1272, *A.* (*Micr.*) *maculatum* Ang. & Cooter (originale); 1273, *A.* (*Micr.*) *crockerense* Ang. & Dmz.; 1274, *A.* (*Micr.*) *malignum* Ang. & Dmz.; 1275, *A.* (*Micr.*) *optatum* Ang. & Dmz.; 1276, *A.* (*Micr.*) *quadrimaculatum* Ang. & Dmz.; 1277, *A.* (*Micr.*) *abiectum* Ang. & Dmz.; 1278, *A.* (*Micr.*) *nebulosum* Ang. & Dmz.; 1279, *A.* (*Micr.*) *recurvum* Ang.; 1280, *A.* (*Micr.*) *sabahense* Ang. & Dmz.; 1281, *A.* (*Micr.*) *aequale* Ang. & Dmz.; 1282, *A.* (*Micr.*) *elongatum* Ang.; 1283, *A.* (*Micr.*) *indefinitum* Ang. & Dmz.; 1284, *A.* (*Micr.*) *magnificum* Ang.; 1285, *A.* (*Micr.*) *aeternum* Ang. & Dmz. Scala: 0,1 mm.

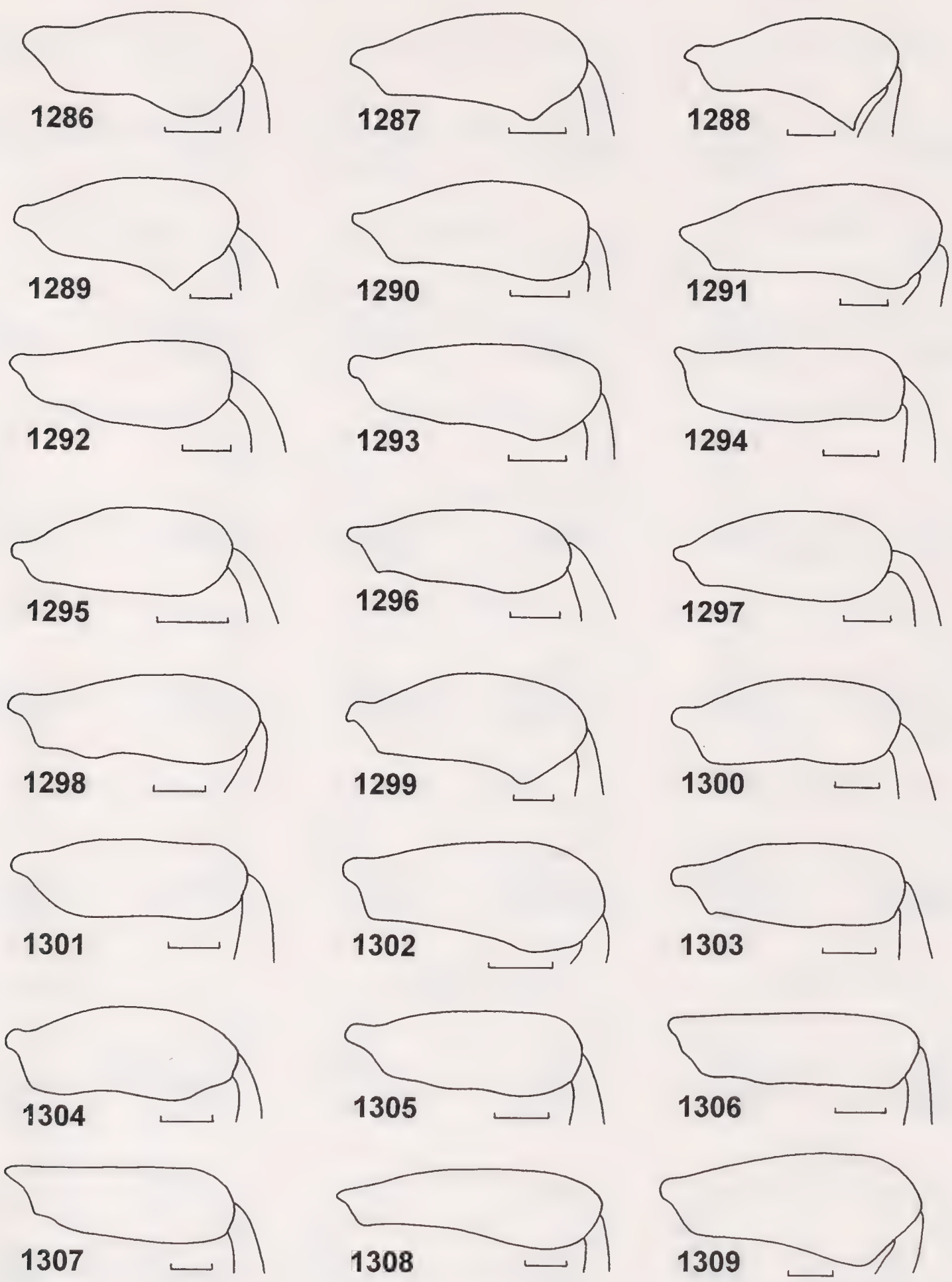

Figg. 1286-1309 - Metafemore del ♂ di: 1286, *Agathidium* (*Microceble*) *xerampelinum* Ang. & Dmz.; 1287, *A.* (*Micr.*) *arcuatum* Ang. & Cooter; 1288, *A.* (*Micr.*) *semiarcuatum* Ang.; 1289, *A.* (*Micr.*) *obesum* Ang.; 1290, *A.* (*Micr.*) *interruptum* Ang. & Dmz.; 1291, *A.* (*Micr.*) *wallacei* Ang. & Cooter (metafemore ♀); 1292, *A.* (*Micr.*) *saundersi* Ang. & Cooter; 1293, *A.* (*Micr.*) *silvarum* Ang. & Dmz.; 1294, *A.* (*Micr.*) *rama* Ang. & Dmz.; 1295, *A.* (*Micr.*) *melanarium* Ang. & Švec; 1296, *A.* (*Micr.*) *pahangense* Ang.; 1297, *A.* (*Micr.*) *javanicum* Ang. & Dmz.; 1298, *A.* (*Micr.*) *gentingense* Ang. & Dmz.; 1299, *A.* (*Micr.*) *klapperichi* Ang. & Dmz.; 1300, *A.* (*Micr.*) *monticola* Ang. & Dmz.; 1301, *A.* (*Micr.*) *schillhammeri* Ang.; 1302, *A.* (*Micr.*) *corticinum* Ang. & Dmz.; 1303, *A.* (*Micr.*) *simum* Ang. & Dmz.; 1304, *A.* (*Micr.*) *vulneratum* Ang. & Dmz.; 1305, *A.* (*Micr.*) *infuscatum* Ang. & Dmz.; 1306, *A.* (*Micr.*) *gracile* Ang. & Dmz.; 1307, *A.* (*Micr.*) *immodicum* Ang. & Dmz.; 1308, *A.* (*Micr.*) *taru* Ang. & Dmz.; 1309, *A.* (*Micr.*) *modiglianii* Ang. Scala: 0,1 mm.

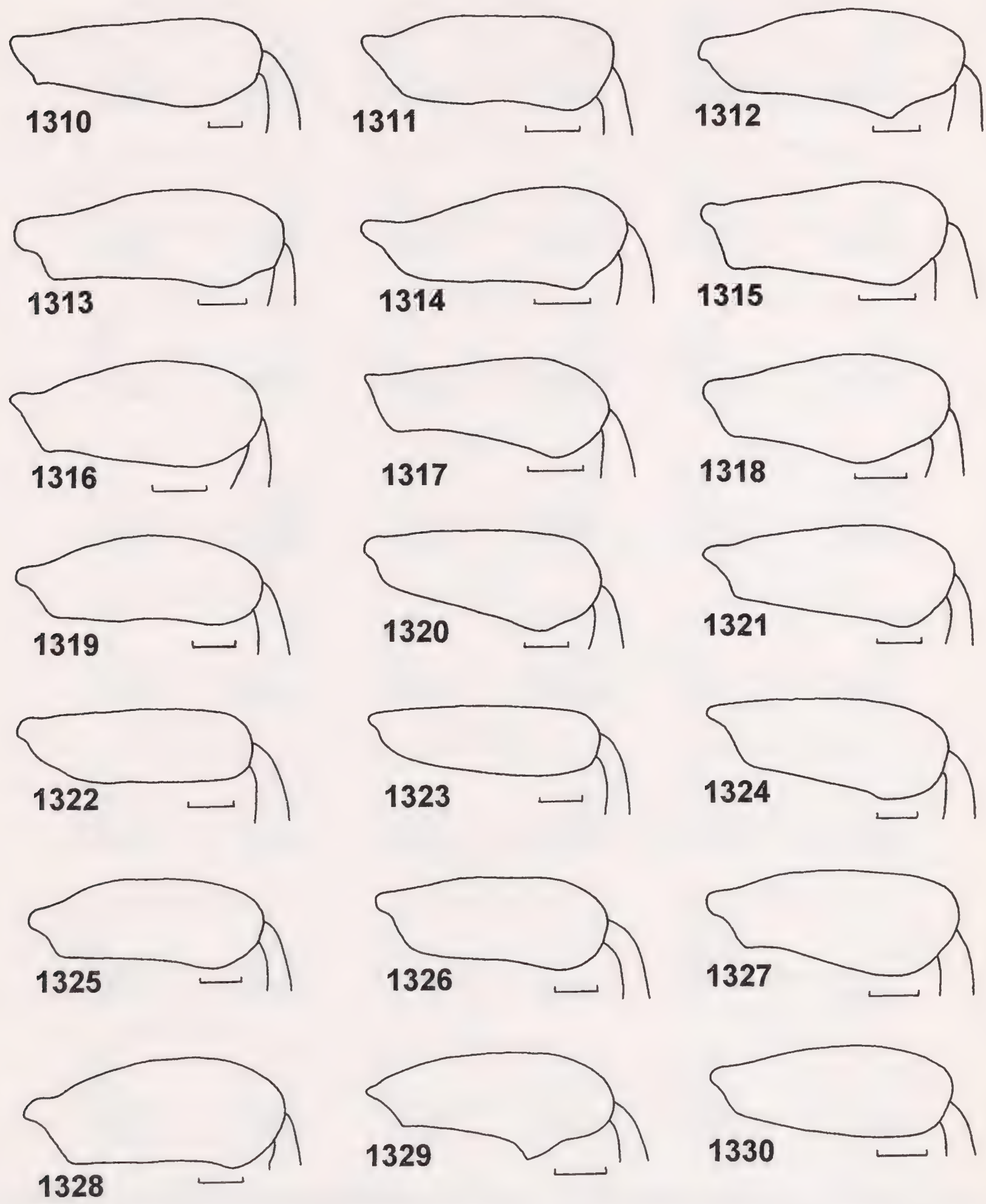

Figg. 1310-1330 - Metafemore del ♂ di: 1310, *Agathidium* (*Microceble*) *maculicolle* Champ.; 1311, *A.* (*Micr.*) *fumosum* Ang. & Dmz.; 1312, *A.* (*Micr.*) *deharvengi* Ang.; 1313, *A.* (*Micr.*) *enigmaticum* Ang. & Cooter; 1314, *A.* (*Micr.*) *laticorne* Port. (originale); 1315, *A.* (*Micr.*) *yaanense* Ang.; 1316, *A.* (*Micr.*) *amplum* Ang. & Dmz.; 1317, *A.* (*Micr.*) *semirufum* Ang. & Dmz.; 1318, *A.* (*Micr.*) *kinabaluense* Ang. & Dmz.; 1319, *A.* (*Micr.*) *grouvellei* Port.; 1320, *A.* (*Micr.*) *poggii* Ang.; 1321, *A.* (*Micr.*) *mirificum* Ang. & Dmz.; 1322, *A.* (*Micr.*) *godawaricum* Ang. & Dmz.; 1323, *A.* (*Micr.*) *yamputhinense* Ang. & Dmz.; 1324, *A.* (*Micr.*) *kaderi* Ang.; 1325, *A.* (*Micr.*) *insolitum* Ang. & Dmz.; 1326, *A.* (*Micr.*) *opulentum* Ang. & Dmz.; 1327, *A.* (*Micr.*) *jambicum* Ang. & Dmz.; 1328, *A.* (*Micr.*) *luridum* Ang. (metafemore ♀); 1329, *A.* (*Micr.*) *cooteri* Ang. & Dmz.; 1330, *A.* (*Micr.*) *amictum* Ang. & Dmz. Scala: 0,1 mm.

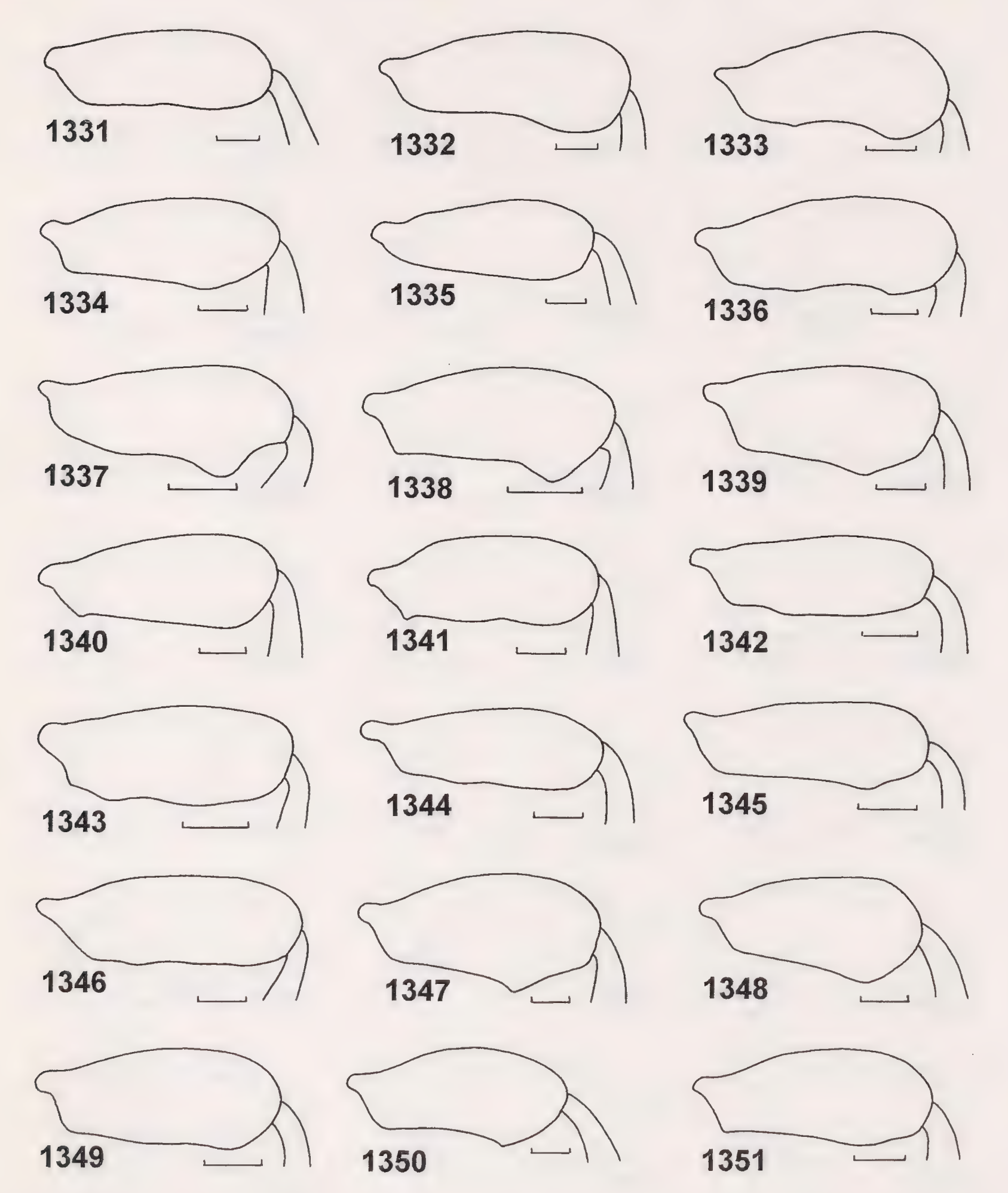

Figg. 1331-1351 - Metafemore del ♂ di: 1331, *Agathidium* (*Microceble*) *darbyi darbyi* Ang. & Cooter; 1332, *A.* (*Micr.*) *bolmi* Ang.; 1333, *A.* (*Micr.*) *limatum* Ang. & Dmz. (originale) (metafemore ♀); 1334, *A.* (*Micr.*) *argutum* Ang. & Dmz.; 1335, *A.* (*Micr.*) *puncticolle* Cooter; 1336, *A.* (*Micr.*) *darbyi sulawesicum* Ang. & Cooter; 1337, *A.* (*Micr.*) *sarawakense* Ang. & Cooter; 1338, *A.* (*Micr.*) *abruptum* Ang. & Dmz.; 1339, *A.* (*Micr.*) *carinense* Ang. (metafemore ♀); 1340, *A.* (*Micr.*) *ebeninum* Ang. & Dmz.; 1341, *A.* (*Micr.*) *exaratum* Ang. & Dmz.; 1342, *A.* (*Micr.*) *palnicum* Ang. & Dmz.; 1343, *A.* (*Micr.*) *solutum* Ang. & Dmz.; 1344, *A.* (*Micr.*) *andrewesi* Port.; 1345, *A.* (*Micr.*) *assamense* Ang. & Dmz.; 1346, *A.* (*Micr.*) *pseudopalnicun* Ang. & Švec; 1347, *A.* (*Micr.*) *elegans* Ang. & Dmz.; 1348, *A.* (*Micr.*) *minusculum* Ang.; 1349, *A.* (*Micr.*) *pocsi* Ang. (metafemore ♀); 1350, *A.* (*Micr.*) *serratum* Ang.; 1351, *A.* (*Micr.*) *sevokense* Ang. & Dmz. Scala: 0,1 mm.

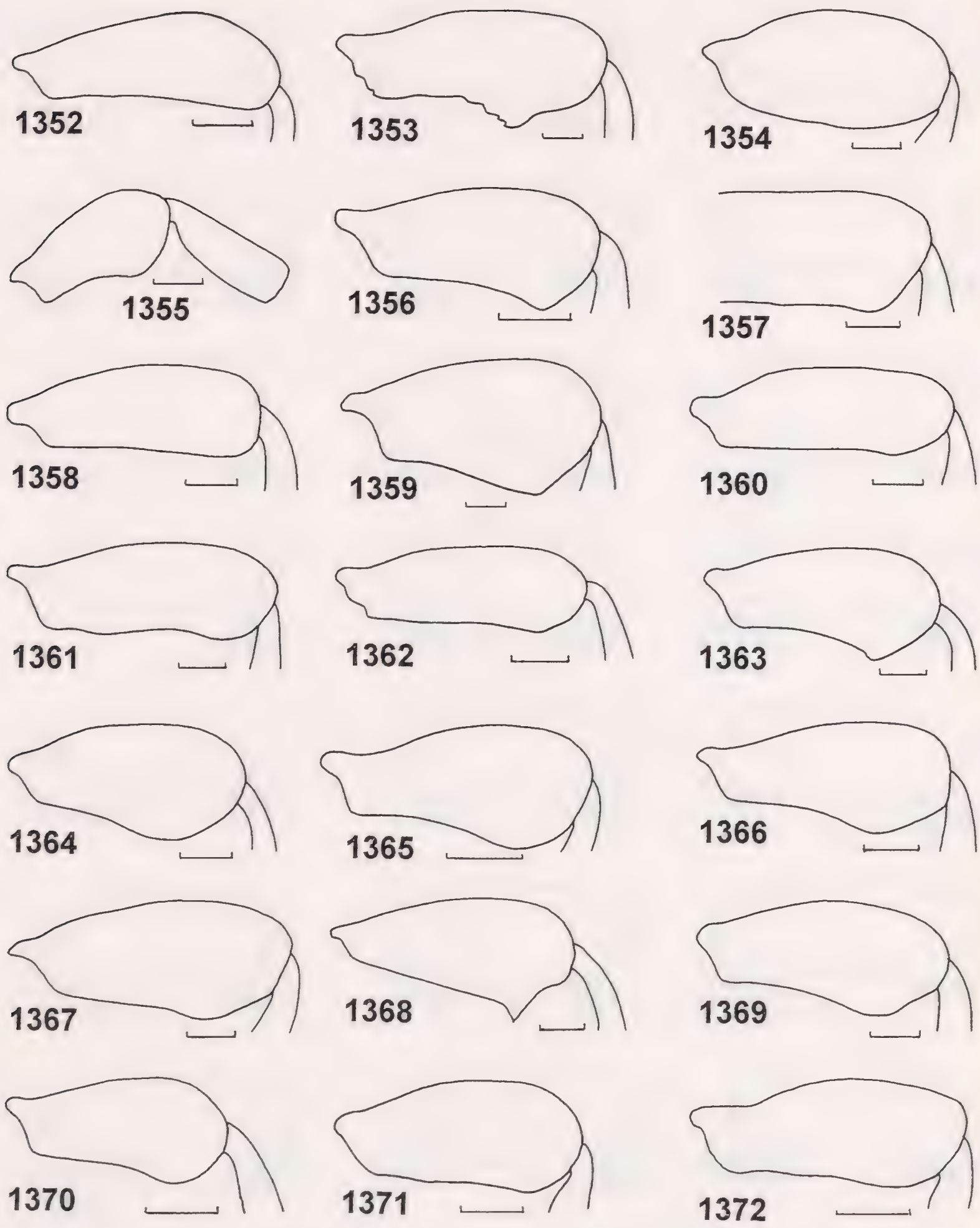

Figg. 1352-1372 - Metafemore del ♂ di: 1352, *Agathidium* (*Microceble*) *ravana* Ang. & Dmz.; 1353, *A.* (*Micr.*) *farkaci* Ang.; 1354, *A.* (*Micr.*) *limbatum* Ang.; 1355, *A.* (*Micr.*) *filiforme* Ang.; 1356, *A.* (*Micr.*) *hammondi* Ang. & Cooter; 1357, *A.* (*Micr.*) *wangi* Ang. & Cooter; 1358, *A.* (*Micr.*) *rufoatrum* Ang. & Dmz.; 1359, *A.* (*Micr.*) *bicoloratum* Ang.; 1360, *A.* (*Micr.*) *mussardi* Ang. & Dmz. (originale); 1361, *A.* (*Micr.*) *karnatakaense* Ang. & Švec; 1362, *A.* (*Micr.*) *biimpressum* Champ.; 1363, *A.* (*Micr.*) *coomani* Port.; 1364, *A.* (*Micr.*) *nitidum* Ang. & Dmz.; 1365, *A.* (*Micr.*) *imitans* Ang.; 1366, *A.* (*Micr.*) *venustum* Ang. & Dmz.; 1367, *A.* (*Micr.*) *fenchihuense* Ang.; 1368, *A.* (*Micr.*) *inornatum* Ang. & Dmz.; 1369, *A.* (*Micr.*) *topali* Ang. & Dmz.; 1370, *A.* (*Micr.*) *capitulatum* Ang. & Dmz.; 1371, *A.* (*Micr.*) *schuhi* Ang. & Dmz.; 1372, *A.* (*Micr.*) *celebense* Port. Scala: 0,1 mm.

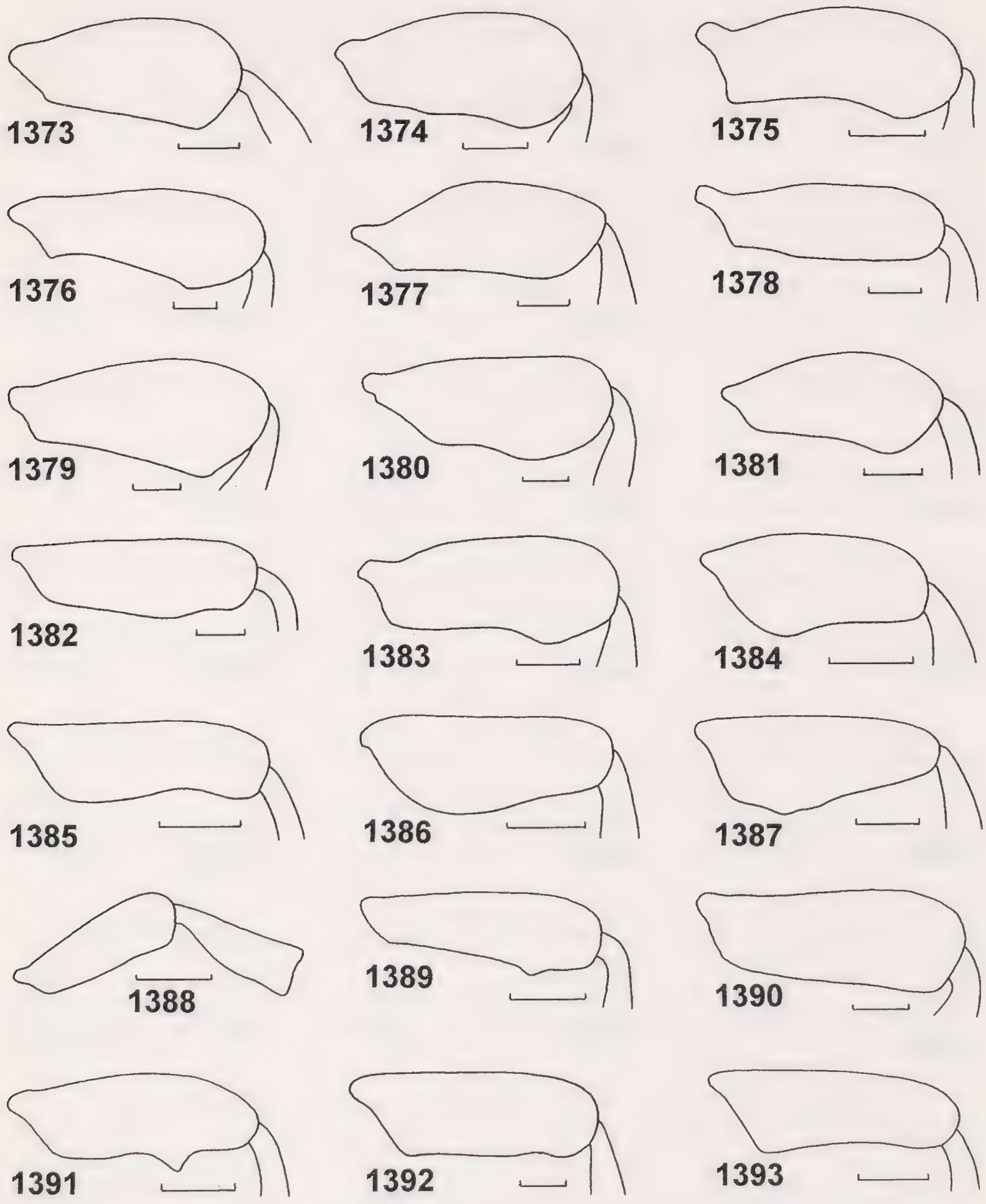

Figg. 1373-1393 - Metafemore del ♂ di: 1373, *Agathidium* (*Microceble*) *sumatrense* Ang. & Dmz.; 1374, *A.* (*Micr.*) *mentawaicum* Ang.; 1375, *A.* (*Micr.*) *angelinii* Cooter; 1376, *A.* (*Micr.*) *feai* Ang. (metafemore ♀); 1377, *A.* (*Micr.*) *taiwanense* Ang. & Dmz.; 1378, *A.* (*Micr.*) *manasicum* Ang. & Dmz.; 1379, *A.* (*Micr.*) *tonkinense* Ang. & Cooter; 1380, *A.* (*Micr.*) *wuyishanicum* Ang. & Cooter; 1381, *A.* (*Micr.*) *xilingense* Ang.; 1382, *A.* (*Micr.*) *brahma* Ang. & Dmz. (originale); 1383, *A.* (*Micr.*) *tersum* Ang. & Dmz.; 1384, *A.* (*Macroceble*) *pseudoscutellare* Ang.; 1385, *A.* (*Macr.*) *ivani* Ang.; 1386, *A.* (*Macr.*) *scutellare* Ang. & Dmz.; 1387, *A.* (*Macr.*) *cameronicum* Ang. & Dmz.; 1388, *A.* (*Macr.*) *anophthalmicum* Ang. & Dmz.; 1389, *A.* (*Macr.*) *pilosellum* Ang. & Dmz.; 1390, *A.* (*Macr.*) *ambiguum* Ang.; 1391, *A.* (*Macr.*) *malaysicum* Ang. & Dmz.; 1392, A. (*Macr.*) *distinctum* Ang. & Dmz.; 1393, *A.* (*Macr.*) *jaccoudi* Ang. & Dmz. Scala: 0,1 mm.

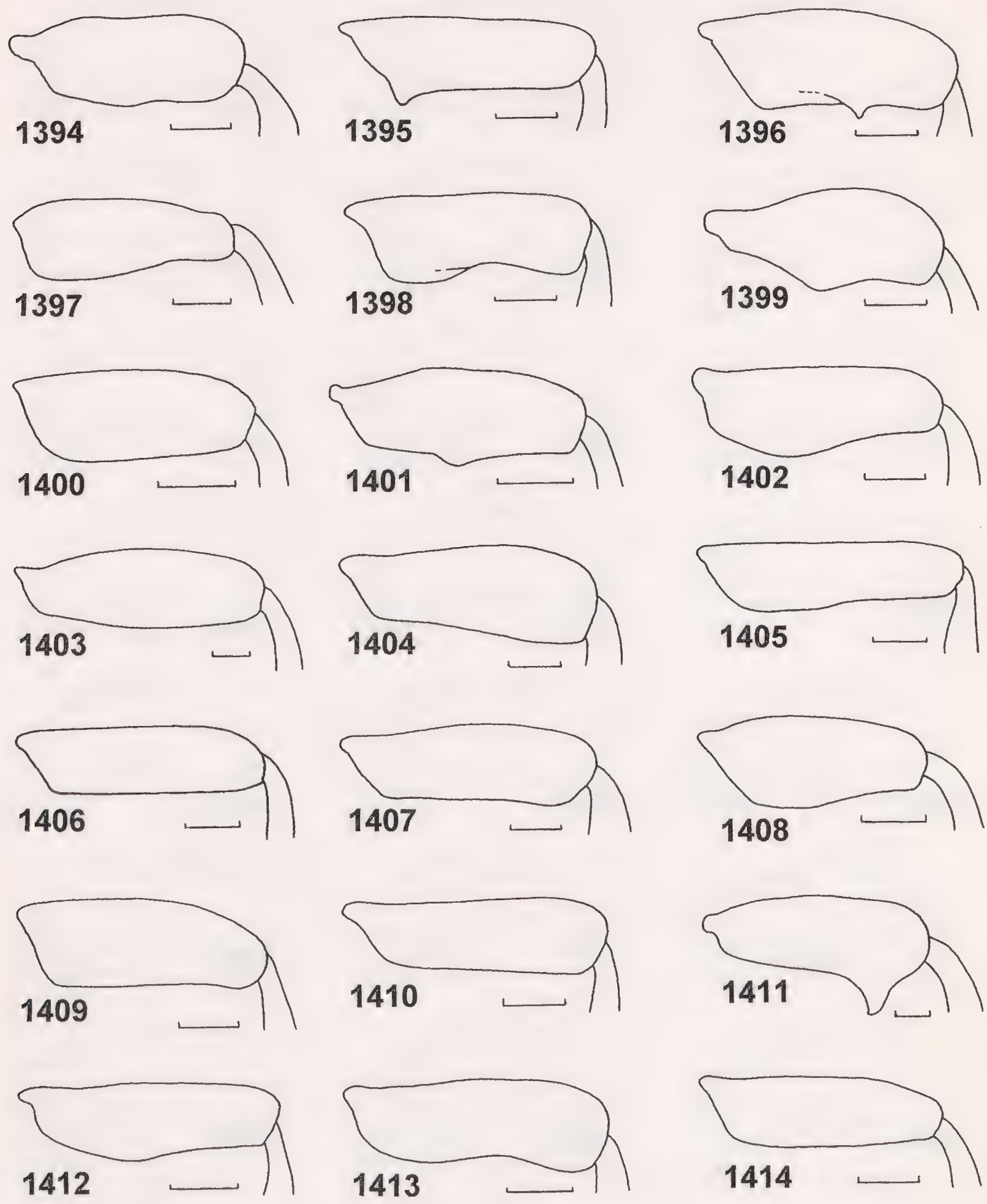

Figg. 1394-1414 - Metafemore del ♂ di: 1394, *Agathidium* (*Macroceble*) *hlavaci* Ang. & Cooter; 1395, *A.* (*Macr.*) *aterrimum* Ang.; 1396, *A.* (*Macr.*) *austerum* Ang. & Dmz.; 1397, *A.* (*Macr.*) *amoenum* Ang. & Dmz.; 1398, *A.* (*Macr.*) *selangoricum* Ang. & Dmz.; 1399, *A.* (*Macr.*) *nanum* Ang.; 1400, *A.* (*Macr.*) *dongnanense* Ang. & Cooter; 1401, *A.* (*Macr.*) *penultimum* Ang. & Cooter; 1402, *A.* (*Macr.*) *newtoni* Ang.; 1403, *A.* (*Macr.*) *invalidum* Ang. & Dmz.; 1404, *A.* (*Macr.*) *geminatum* Ang. & Dmz.; 1405, *A.* (*Macr.*) *shermathangense* Ang. & Dmz.; 1406, *A.* (*Macr.*) *fatuum* Ang. & Dmz.; 1407, *A.* (*Macr.*) *longum* Ang. & Dmz. (originale); 1408, *A.* (*Macr.*) *inopinatum* Ang.; 1409, *A.* (*Macr.*) *oblitum* Ang. & Dmz.; 1410, *A.* (*Macr.*) *truncatum* Ang.; 1411, *A.* (*Macr.*) *sescentesimum* Ang.; 1412, *A.* (*Macr.*) *macrocephalum* Ang.; 1413, *A.* (*Macr.*) *tarsale* Ang.; 1414, *A.* (*Macr.*) *emeicum* Ang. Scala: 0,1 mm.

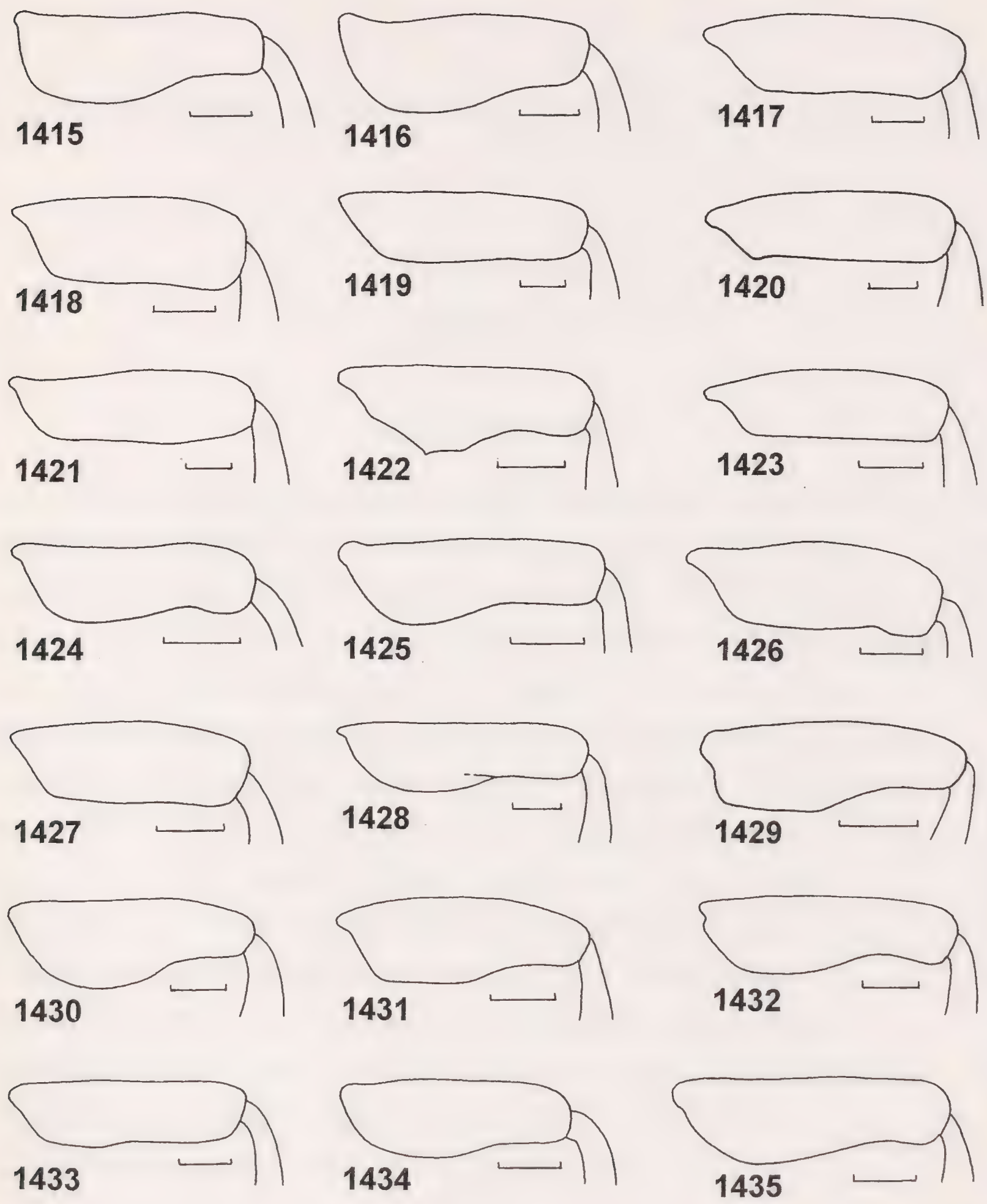

Figg. 1415-1435 - Metafemore del ♂ di: 1415, *Agathidium* (*Microceble*) *soror* Ang. & Cooter (metafemore ♀); 1416, *A.* (*Macr.*) *ultimum* Ang. & Cooter; 1417, *A.* (*Macr.*) *quaterfoveatum* Ang. & Dmz.; 1418, *A.* (*Macr.*) *schawalleri* Ang. & Dmz.; 1419, *A.* (*Macr.*) *fulcratum* Ang. & Dmz.; 1420, *A.* (*Macr.*) *dissimile* Ang. & Dmz.; 1421, *A.* (*Macr.*) *sudra* Ang. & Dmz.; 1422, *A.* (*Macr.*) *rougemonti* Ang.; 1423, *A.* (*Macr.*) *malayanum* Ang. & Dmz.; 1424, *A.* (*Macr.*) *cuccodoroi* Ang.; 1425, *A.* (*Macr.*) *peninsulare* Ang.; 1426, *A.* (*Macr.*) *palmi* Ang.; 1427, *A.* (*Macr.*) *calamei* Ang. & Dmz.; 1428, *A.* (*Macr.*) *abominabile* Ang. & Dmz.; 1429, *A.* (*Macr.*) *fraternum* Ang.; 1430, *A.* (*Macr.*) *megacephalum* Ang.; 1431, *A.* (*Macr.*) *fungivorum* Ang. & Dmz.; 1432, *A.* (*Macr.*) *incognitum* Ang. & Dmz.; 1433, *A.* (*Macr.*) *crinitum* Ang. & Dmz.; 1434, *A.* (*Macr.*) *kurbatovianum* Ang.; 1435, *A.* (*Macr.*) *impunctatum* Ang. Scala: 0,1 mm.

GRUPPI E FORME NUOVE DESCRITTI NEL PRESENTE VOLUME

INSECTA

Coleoptera

Leiodidae

Pag.

Agathidium (*Agathidium*) *huangganshanicum* Angelini & Cooter, n.sp. 10
Agathidium (*Agathidium*) *hubeicum* Angelini & Cooter, n.sp. 15
Agathidium (*Agathidium*) *jiuchongense* Angelini & Cooter, n.sp... 12
Agathidium (*Agathidium*) *melancholicum* Angelini & Cooter, n.sp. 17
Agathidium (*Agathidium*) *paralasti* Angelini & Cooter, n.sp. 8
Agathidium (*Agathidium*) *patris* Angelini & Cooter, n.sp. 7
Agathidium (*Agathidium*) *shennongjiaense* Angelini & Cooter, n.sp. 16
Agathidium (*Macroceble*) *dongnanense* Angelini & Cooter, n.sp. .. 24
Agathidium (*Macroceble*) *hlavaci* Angelini & Cooter, n.sp. 22
Agathidium (*Macroceble*) *penultimum* Angelini & Cooter, n.sp. ... 26
Agathidium (*Macroceble*) *soror* Angelini & Cooter, n.sp. 29
Agathidium (*Macroceble*) *ultimum* Angelini & Cooter, n.sp. 31
Agathidium (*Microceble*) *wuyishanicum* Angelini & Cooter, n.sp.. 20
Agathidium (*Neoceble*) *zhoui* Angelini & Cooter, n.sp. 6
Cyrtoplastus fujianus Angelini & Cooter, n.sp. 2

Scarabaeidae

Microserica beccarii Ahrens, n.sp. 44
Microserica bifasciata Ahrens, n.sp. 46
Microserica lampungensis Ahrens, n.sp. 49
Microserica larutensis Ahrens, n.sp. 39
Microserica nuda Ahrens, n.sp. 59

Pag.

Elateridae

Priopus baumi Platia & Schimmel, n.sp. 112
Priopus beauchenei Platia & Schimmel, n.sp. 105
Priopus bispinosus Platia & Schimmel, n.sp. 104
Priopus decoratus Platia & Schimmel, n.sp. 106
Priopus dissimilis Platia & Schimmel, n.sp. 107
Priopus everetti Platia & Schimmel, n.sp. 113
Priopus fasciatus Platia & Schimmel, n.sp. 122
Priopus horaki Platia & Schimmel, n.sp. 114
Priopus humeralis Platia & Schimmel, n.sp. 115
Priopus jucundus Platia & Schimmel, n.sp. 116
Priopus kirschi Platia & Schimmel, n.sp. 108
Priopus laoticus Platia & Schimmel, n.sp. 109
Priopus mindoroensis Platia & Schimmel, n.sp. 123
Priopus pahangensis Platia & Schimmel, n.sp. 117
Priopus philippinus Platia & Schimmel, n.sp. 124
Priopus politoides Platia & Schimmel, n.sp. 125
Priopus schultzei Platia & Schimmel, n.sp. 126
Priopus seramensis Platia & Schimmel, n.sp. 118
Priopus steinkeae Platia & Schimmel, n.sp. 110
Priopus sumatrensis Platia & Schimmel, n.sp. 120

INDICE

Pagg.

Ahrens D. - New species of the genus *Microserica* Brenske, 1894 from Sumatra and Malay Peninsula, with notes on synonymy (Coleoptera, Scarabaeidae, Sericini). (16.I.2004) 35-64

Angelini F. - Chiavi dicotomiche e catalogo delle specie di *Agathidium* Panzer dell'Asia sudorientale e della Cina (Coleoptera, Leiodidae, Agathidiini). (30.III.2004)..... 135-577

Angelini F. & Cooter J. - New data and species of Agathidiini (Coleoptera, Leiodidae) from China. (18.XII.2003) 1-34

Galuppo C. & Borgo E. - I Trochilidae del Museo Civico di Storia Naturale "G. Doria" di Genova (Aves, Trochiliformes). (20.II.2004)..... 65-102

Platia G. & Schimmel R. - Descrizione di nuovi *Priopus* Castelnau con note geonemiche e sinonimiche (Coleoptera, Elateridae, Melanotinae). (2.III.2004) 103-134

REGISTRATO AL TRIBUNALE DI GENOVA AL N. 74 IN DATA 17 giugno 1949
DOTT. ROBERTO POGGI - *DIRETTORE RESPONSABILE*

Finito di stampare nel mese di maggio 2004
PRINTED IN ITALY

NORME PER GLI AUTORI

Gli *Annali del Museo Civico di Storia Naturale "Giacomo Doria"*, fondati nel 1870, e *Doriana*, fondato nel 1949, sono periodici scientifici su cui vengono pubblicati lavori originali ed inediti di argomento naturalistico. Sono preferiti i contributi di taglio sistematico basati su materiali appartenenti alle collezioni del Museo di Genova; sono esclusi gli articoli divulgativi o di scienze applicate.

Tutti i lavori - redatti in italiano, inglese, francese, spagnolo o tedesco, ma con preferenza per le prime due lingue - devono essere inviati alla Direzione del Museo (Via Brigata Liguria 9, 16121 Genova), che si riserva di sottoporli al giudizio di consulenti ed esperti e di decidere circa la accettazione e la successiva stampa sugli *Annali* o su *Doriana*.

Il testo del lavoro deve essere presentato su supporto informatico IBM compatibile (dischetto da 3,5") e in due copie stampate su fogli numerati di formato A4, scritti su una sola facciata, con doppia spaziatura e con margini di almeno cm 2,5.

Lo schema da adottare è il seguente: nome e cognome per esteso dell'Autore o degli Autori, con indirizzo in nota a pie' di pagina; titolo, con indicazione fra parentesi del gruppo sistematico trattato; testo, scritto in modo conciso, chiaro e secondo le consuete norme della letteratura scientifica; eventuali ringraziamenti; bibliografia e in ultimo riassunto in due lingue, comprensivo di traduzione del titolo nella seconda lingua (nel caso di testi in italiano è raccomandato un Abstract in inglese, nel caso di testi in lingua straniera è obbligatorio un riassunto in italiano).

I riferimenti relativi al materiale appartenente al Museo di Genova devono essere indicati con la sigla MSNG, seguita eventualmente dal numero di catalogo.

Si raccomanda di non apporre sottolineature, di non usare grassetti e di scrivere in corsivo esclusivamente i nomi generici, specifici e sottospecifici.

I riferimenti bibliografici vanno compilati secondo i seguenti esempi:

GESTRO R., 1924 - Contributo allo studio dei Paussidi della Somalia - *Boll. Soc. ent. ital.*, Genova, 56, (2): 17-19. [nel caso di un articolo su un periodico]

BINAGHI G., 1950 - Coleotteri d'Italia. Vita, ambienti, utilità, mezzi di lotta - Ed. Briano, Genova, 210 pp., 104 figg. [nel caso di un'opera monografica]

CAPRA F., 1987 - Italian and European Dermaptera of the museums of Florence and Milan studied by H. Steinmann (pp. 157-173) - In: Baccetti B. (ed.), Evolutionary Biology of Orthopteroid Insects, E. Horwood Ltd., Chichester, 612 pp. [nel caso di un capitolo di un volume]

I titoli dei periodici (in corsivo) vanno abbreviati secondo l'uso consueto e la città di pubblicazione va sempre indicata (in tondo) se non è già compresa nel titolo stesso.

Le figure devono essere inviate in originale cartaceo e in copia (aggiungendo anche, se disponibile, la versione su supporto informatico), separate dal testo, numerate progressivamente e già composte in modo da rispettare, con le possibili riduzioni, la giustezza della pagina: altezza massima 17,5 cm, comprensivi della didascalia, e larghezza massima 11 cm; le didascalie devono essere raggruppate su fogli separati dal testo.

Il numero delle tabelle e delle figure deve essere limitato allo stretto necessario; le spese per la riproduzione e la stampa di tavole a colori sono a totale carico degli Autori, così come quelle per le immagini in bianco e nero se il lavoro non tratta materiale del Museo di Genova. Gli Autori possono indicare sul testo la posizione preferita delle illustrazioni; la Redazione si riserva comunque la facoltà di apportare modifiche nella distribuzione e nel formato di tabelle e figure.

Gli Autori riceveranno di norma una sola bozza, da correggere e restituire alla Redazione a stretto giro di posta; nel caso di più Coautori le bozze saranno inviate solo al primo, che dovrà farsi carico di inviarne copia ai colleghi. Nelle bozze sono ammesse soltanto correzioni degli errori di stampa; ogni altra modifica al testo originario sarà addebitata all'Autore.

Per ogni articolo sono concessi 30 estratti gratuiti, che, nel caso di più Coautori, saranno inviati al primo Autore; nel licenziare le bozze gli Autori indicheranno l'eventuale numero di estratti in più che desiderano sia stampato a loro spese.

Testi e figure dei lavori non conformi alle presenti norme verranno restituiti agli Autori per le necessarie modifiche, effettuate le quali potranno essere presi in considerazione dalla Redazione.

SMITHSONIAN INSTITUTION LIBRARIES
3 9088 01119 6391

STAMPA PERIODICA BIENNALE